



8.99
74
Q
113
S97
1908aZ
Bd. 2
NIX

WISSENSCHAFTLICHE ERGEBNISSE
DER
SCHWEDISCHEN
SÜDPOLAR-EXPEDITION
1901—1903

UNTER MITWIRKUNG ZAHLREICHER FACHGENOSSEN

HERAUSGEGEBEN DURCH

OTTO NORDENSKJÖLD
LEITER DER EXPEDITION

BAND II
METEOROLOGIE



STOCKHOLM
LITHOGRAPHISCHES INSTITUT DES GENERALSTABS
1910

A. ASHER & Co
BERLIN W

HAAR & STEINERT, A. EICHLER, SUCCOR
PARIS

DULAU & Co
LONDON W

STOCKHOLM

KUNGL. BOKTRYCKERIET, P. A. NORSTEDT & SÖNER
1910.

19
199

INHALT

DES ZWEITEN BANDES.

	Seiten
Lief. 1. Bodman, G. Das Klima als eine Funktion von Temperatur und Windgeschwindigkeit. Mit 1 Tafel	1—22.
Lief. 2. Bodman, G. Stündliche Beobachtungen bei Snow Hill. Mit 3 Tafeln und 1 Karte	1—56. sowie Tabellen 1—364.
Lief. 3. Bodman, G. Beobachtungen an Bord der »Antarctic« und auf der Paulet-Insel. Mit 1 Tafel und 1 Karte	1—114.
Lief. 4. Bodman, G. Schlittenfahrt 30 Sept.—4 Nov. 1902. — Zusammenfassung der allgemeinen Resultate. Mit 62 Tafeln . . .	1—160.

500.11
.5974

WISSENSCHAFTLICHE ERGEBNISSE
DER SCHWEDISCHEN SÜDPOLAR-EXPEDITION
1901—1903

UNTER LEITUNG VON DR. OTTO NORDENSKJÖLD

BAND II. LIEFERUNG I

DAS KLIMA
ALS EINE FUNKTION VON
TEMPERATUR UND WINDGESCHWINDIGKEIT

IN IHRER VERBINDUNG

VON

GÖSTA BODMAN

MIT 1 TAFEL



STOCKHOLM
LITHOGRAPHISCHES INSTITUT DES GENERALSTABS
1908

A. ASHER & Co
BERLIN W

HAAR & STEINERT, A. EICHLER, SUCC:R
PARIS

DULAU & Co
LONDON W

Das Klima als eine Funktion von Temperatur und Windgeschwindigkeit in ihrer Verbindung.

Von

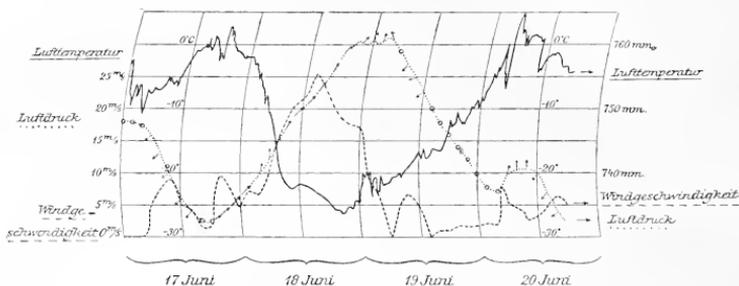
Dr GÖSTA BODMAN.

Es ist ja eine allgemein bekannte Tatsache, dass unsere Auffassung von der Härte oder Strenge des Wetters nicht nur von der Temperatur abhängig ist. Gewiss ist ja der Thermometer das am meisten benützte und unter allen Gesellschaftsklassen verbreitetste meteorologische Instrument; und namentlich während des Winters fragt man gern den vor dem Fenster angebrachten Thermometer um Rat, um zu sehen, wie man sich für einen Spaziergang kleiden soll. Unsere Erfahrung lehrt uns indessen, dass der Ausschlag des Thermometers uns in Betreff unserer Kleidung oft schlecht raten kann. Unsere Kälteempfindung beruht ja nicht nur auf der Temperatur, sondern auch auf anderen Faktoren, besonders auf dem Winde, seiner Stärke oder Geschwindigkeit. Ist es still, kann man ja -15° à -20° sogar ebensogut vertragen wie ein recht schönes Wetter, aber bläst es einigermaßen frisch, 6 à 8 m/s, so empfindet man es selbst bei ca. 5° unter dem Gefrierpunkt als beissend kalt.

Während der schwedischen Südpolarexpedition 1901—1903 erhielt ich eine besondere Veranlassung, den Zusammenhang zwischen unserer Kälteempfindung auf der einen Seite und der Temperatur in Verbindung mit Windgeschwindigkeit auf der anderen Seite etwas näher zu ergründen. Dort lernten wir eine Wetterart kennen, über welche ich schon früher im »Ymer«, Jahrgang 1904, berichtet habe. Zur klareren Anschauung erkläre ich noch einmal in graphischer Darstellung den Zusammenhang zwischen Luftdruck, Temperatur und Windgeschwindigkeit, wie er sich aus einigen typischen Tagen, 17. Juni—20. Juni 1902, ergibt. Von Interesse ist zunächst

¹²⁸³/08 Schwedische Südpolar-Expedition 1901—1903. II: 1.

der Zusammenhang zwischen Temperatur und Windgeschwindigkeit, welchen man in wenigen Worten in der Regel zusammenfassen kann: *Wenn die Windgeschwindigkeit sich vermindert, steigt die Temperatur; wenn die Windgeschwindigkeit sich steigert, fällt die Temperatur.* Eine Wetterart, welche folglich der reine Gegensatz ist zu der, welche in den arktischen Gegenden herrscht, und welche dem Klima Snow-Hills eine besondere Strenge verlieh.



17 Juni—20 Juni 1902: Lufttemperatur, Luftdruck und Windgeschwindigkeit.

Bei der Überwinterungspartie auf der Insel Snow-Hill befand sich auch ein Matrose, ein Norweger, Ole Jonassen; er hatte schon früher an einer Polarüberwinterung teilgenommen, nämlich mit der »Stella Polare« auf Franz Josephsland 1899—1900, und hatte Temperaturen bis hinunter zu -45° à -50° erlebt; er sah deshalb der Kälte unseres ersten Winters sehr ruhig entgegen. Aber er musste doch zugeben, dass er da oben im Norden niemals ein Unwetter, welches unserem an Strenge gleichkam, mitgemacht hatte, und das, obgleich Snow-Hills Temperatur nur ausnahmsweise bis zu -40° herab ging und im ganzen nur 4 Tage bis unter -35° fiel. Und die Ursache? Ja, die musste nach Jonassen in der so ungleichen Windgeschwindigkeit auf Franz Josephsland und Snow-Hill liegen.

Dieses war sozusagen des Naturkinds des ungeschulter subjektiver Vergleich zwischen der Strenge der beiden Wetterarten: 1) extreme Kälte mit relativer Stille, 2) mässige Kälte mit sturmartiger Windgeschwindigkeit. Und die Untersuchungen, welche ich mit ganz objektiven Apparaten gemacht habe, bekräftigen diese unsere gewöhnliche Auffassung, dass der erste Typus weniger angreift als der letztere.

Schon im Jahr 1890 hat VINCENT in Brüssel eine Untersuchung publiziert, welche er ausführte, um die Abhängigkeit der Hauttemperatur von den beiden Faktoren, von welchen hier die Rede ist, von Temperatur und Windgeschwindigkeit, zu ergründen.

Er bezeichnete mit

» H » die Temperatur der Haut in Celsiusgraden,

» L » » » » Luft,

» S » den Unterschied zwischen der Lufttemperatur im Sonnenschein und im Schatten,

» V » die Windgeschwindigkeit in m/s

und deduzierte aus 365 Messungen die Formel

$$H = 26,5 + 0,3 L + 0,2 S - 1,2 V.$$

Er gradierte darauf das Wetter in eine 7-gradige Skala nach den verschiedenen Werten, welche er für H bekam.

- 1) $> 37,5$: sehr heiss.
- 2) $34,5 - 37,5$: heiss.
- 3) $31,5 - 34,5$: lau.
- 4) $29 - 31,5$: gemässigt, indifferent.
- 5) $26 - 29$: frisch.
- 6) $22 - 26$: kalt.
- 7) < 22 : sehr kalt.

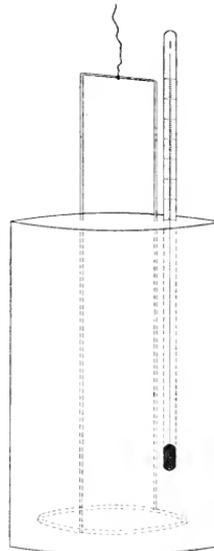
Für ein gewöhnliches temperiertes Klima ist ja diese Skala recht zufriedenstellend, aber wenn man zwei Polarwetter mit einander vergleichen will, versagt sie in einer wesentlichen Hinsicht, nämlich darin, dass sie in gewissem Masse subjektiv ist, so dass zum 7-ten Grade auf der Skala, »sehr kalt«, ein Hauttemperaturgebiet gerechnet werden muss, welches bedeutend grösser ist als die übrigen 6 Grade zusammen.

Das ganze Intervall für H zwischen »sehr heiss« und »sehr kalt« ist ja $15,5^\circ$; aber zu »sehr kalt«, folglich zu Grad 7), soll auch ein solcher Wettertypus wie -30° in 30 m/s gerechnet werden, welches für H einen Wert $= -18,5^\circ$ gibt, folglich umfasst Grad 7) allein ein Intervall von mindestens $40,5^\circ$.

Aber — die in Frage stehende Formel ist wohl für keine so strenge Witterung wie die von Polargebieten aufgestellt.

Meine Untersuchung hat nun zum Zweck, die Strenge und Härte des Wetters durch eine mathematische, auf objektivem Wege erhaltene Formel auszudrücken und so zu formulieren, dass sie einen direkten Vergleich zwischen ungleichen Wettertypen zulässt, so dass ich also wenigstens annähernd sagen könnte, der eine Typus sei z. B. 3 mal so streng wie der andere.

Und dieses Resultat glaube ich auf die Weise erzielen zu können, dass ich bei verschiedenen Temperaturen und Windgeschwindigkeiten die abkühlende Einwirkung des Wetters auf ein und denselben Gegenstand untersuchte und feststellte, wie viel Zeit in den verschiedenen Fällen verging, bis der fragliche Gegenstand eine gewisse konstante Anzahl Kalorien verlor.



Abkühlungsgefäß.

Der Apparat, welchen ich benutzte, war gewiss kein Präcisionsinstrument, sondern mit den Hilfsmitteln zusammengefügt, welche mir auf Snow-Hill zur Verfügung standen. Er bestand, wie die Figur zeigt, aus einem Cylinder aus Eisenblech; in den Deckel bohrte ich 3 Löcher, eines für einen Thermometer, gradiert in $\frac{1}{10}^{\circ}$, und die zwei übrigen für Umrührer, bestehend aus einem Blechring, welcher auf- und niedergezogen wurde. Der Durchmesser des Cylinders war = 15,5 cm und seine Höhe = 22,8 cm. Der Cylinder wog mit Deckel und Umrührer 221 g, und setzt man die spezifische Wärme des Eisens zu 0,115, so beträgt der Wasserwert des Apparates = 25 g.

In den Cylinder goss ich Wasser von ungefähr + 35°, immer so exakt wie möglich 3 Liter, was mit Hinsicht auf das spezifische Gewicht des Wassers 2987 g entspricht.

Für den totalen Wasserwert des Apparates und Wassers können also 3012 g gesetzt werden.

Jeder Versuch bestand darin, dass ich bei einer gewissen Gelegenheit bei bekannter Umgebungstemperatur und Windgeschwindigkeit die Zeit erforschte, welche

verging, bis die Quecksilbersäule des Thermometers von + 30° bis + 20° herunterging.

Diese Grenztemperaturen + 30° und + 20° waren vielleicht am meisten mit Hinsicht auf den Thermometervorrat gewählt, da ich mich genötigt sah, ein Thermometer anzuwenden, welches möglichst genaue Ablesung gestattete; doch meine ich auch, dass die Mitteltemperatur + 25° ziemlich nahe dem Luftwärmegrad liegt, welcher in physiologischer Beziehung unseren Körper wenig affiziert. VINCENT gibt ja die normale Hauttemperatur als ca. + 30° an.

Der Wärmeverlust, welchen der ganze Apparat bei einem Temperaturfall von 10° erlitt, betrug folglich 30120 Grammkalorien.

Die umgebende Temperatur — die Versuche wurden immer im Schutz vor die Sonne gemacht — nahm ich als Mittel der Lufttemperaturen, welche der Thermograph unmittelbar vor und nach den Versuchen registrierte.

Die Windgeschwindigkeit erhielt ich zu Anfang von dem registrierten Resultat des Anemometers, arrangierte es aber nach einigen Versuchen so, dass ich auf derselben Kiste, auf welcher der Abkühlungscylinder stand, einen kleinen Handanemometer festgeschraubte, welcher in Tätigkeit war, während der Abkühlungsversuch vor sich ging. Auf diese Weise bekam ich ja nach gebührend vorgenommener Korrektion die umgebende Temperatur und die Windgeschwindigkeit.

Während ununterbrochener Arbeit mit dem Umrührer las ich auf die Sekunde die Zeit ab, wenn der 30° Strich passiert wurde und ebenso, wenn die Temperatur gerade 20° war.

Bei einigermaßen angenehmem Wetter, wenn der Wind nicht bis über 15 m/s ging, konnte diese Arbeit leicht von einer und derselben Person ausgeführt werden, aber bei grösserer Geschwindigkeit benötigte es eines besonderen Observators an der Uhr, weil der Apparat manchmal in Gefahr war, bei dem Winde das Gleichgewicht zu verlieren. Bei den schwersten Stürmen mussten wir unsere Beobachtungen auf der Erde liegend machen, von unseren Windkleidern gegen die beissende Abkühlung des Wetters geschützt.

Ehe ich daran gehe, die Observationsziffern und deren Behandlung zu referieren, halte ich es für nötig, darauf hinzuweisen, dass diese Untersuchung keinesfalls darauf Anspruch macht, frei von Einwendungen zu sein, da bei der Ausführung der Versuche Fehler mit unterliefen, deren Quelle ich unmöglich beseitigen konnte. Vor Wärmeverlust durch Strahlung schützte ich den Apparat dadurch, dass ich den Cylinder mit einem dünnen Firnislager überzog; vor Leitung schützte ich ihn dadurch, dass ich ihn auf eine trockene Holzkiste stellte. Das, wogegen ich das Instrument aber nicht schützen konnte, waren indessen die Niederschläge. An ruhigen oder relativ ruhigen Tagen machte ich natürlicherweise meine Versuche, wenn keine Niederschläge fielen, aber wenn ich bei stürmischem Wetter arbeiten wollte, war es eine Seltenheit,

dass es gelang, den heranbrausenden Schneestürmen zu entgehen. Der Schnee schlug gegen die warmen Wände des Cylinders und schmolz augenblicklich; hierbei ging ein grosser Teil Wärme verloren, ein Verlust, welcher mithin weder von der Temperatur noch von der Windgeschwindigkeit herrührte.

Um einen Begriff von dem durch das Schneetreiben verursachten Wärmeverlust zu geben, will ich anführen, dass ich einmal bei normalem Schneetreiben, -25° ca. 20 m/s, den Apparat auf einen Teller stellte, um so den geschmolzenen Schnee aufzusammeln zu können. Nach 10 Minuten hatten sich auf dem Teller 10 bis 12 g Wasser gesammelt, was ungefähr einem Wärmeverlust des Cylinders von 1000 Grammkalorien entspricht.¹ Das ist ja eine recht ansehnliche Ziffer, 3 à 4 % von der ganzen abgegebenen Wärme, und es wird dadurch ein Teil der ungleichen Resultate erklärt. Indessen ist zu merken, dass bei einem derartigen Wetter die Observation nicht länger als 5 à 6 Minuten dauert, und dass also der Verlust nicht höher als ca. 2 % gerechnet werden darf.

Ein anderer Faktor, welcher recht wesentlich ist, wenn es sich um die Strenge des Wetters gegenüber lebenden Organismen handelt, ist ja die Feuchtigkeit, die absolute und vielleicht noch mehr die relative. Welche Rolle die Feuchtigkeit als Abkühlungsfaktor spielt, habe ich natürlich mit meinen Versuchen nicht erforschen können.

TAB. I.

Observationen mit dem Abkühlungsgefäss.

Nr.	t°	v	τ	Nr.	t°	v	τ
		m/s	min.			m/s	min.
1	+ 3.9	0.0	94.9	13	- 24.5	26.6	3.5
2	+ 1.7	0.0	97.0	14	- 24.8	24.3	3.8
3	\pm 0.0	0.0	89.3	15	- 24.9	0.0	30.1
4	- 3.1	0.9	69.6	16	- 25.0	20.1	5.45
5	- 4.5	4.2	18.9	17	- 25.4	18.5	5.7
6	- 9.2	9.1	10.3	18	- 25.5	18.7	5.4
7	- 17.9	8.2	9.3	19	- 25.7	10.1	7.2
8	- 18.5	0.5	26.4	20	- 26.0	9.6	8.4
9	- 19.5	0.0	33.3	21	- 26.0	19.6	4.7
10	- 21.7	17.7	5.2	22	- 26.0	28.5	3.75
11	- 22.0	14.0	6.2	23	- 27.0	20.0	4.2
12	- 23.7	18.7	5.4	24	- 27.8	21.0	5.15

¹ Auf dieses Absorbieren der Schneewehen an einer warmen Fläche sollte man die Konstruktion eines Apparates zur Abschätzung der kolossalen Schneemassen, welche bei den gewaltigen Stürmen durch die Luft dahinfahren, gründen können.

In Tabelle I habe ich das Ziffernresultat der verschiedenen Versuche referiert, indem ich sie nach fallenden Temperaturen geordnet habe.

- »*t*« gibt die Temperatur der umgebenden Luft an,
 »*v*« » die Windgeschwindigkeit in m/s an, und
 »*t*« » die Zeit an, welche verging, bis die Temperatur des Cylinders von + 30° bis 20° fiel.

Die Zeit notierte ich allerdings in Sekunden, aber hier habe ich sie in Minuten und Teilen derselben angegeben.

Die Versuche 1—4 sind im Hause gemacht, aber alle übrigen im Freien. Die Windgeschwindigkeit bei No. 9 und 15, als 0 m/s angegeben, bedeutet nicht allein, dass der Anemometer still stand, sondern auch, dass der Rauch, wie man zu sagen pflegt, senkrecht zum Himmel aufstieg.

Schon bei dem ersten Blick auf die Tabelle fällt es in die Augen, wie die Zeit, welche verging, keineswegs der fallenden Temperatur, dem gesteigerten Temperaturunterschied, folgt, sondern dass sie hauptsächlich von der gesteigerten Windgeschwindigkeit bestimmt zu werden scheint.

Bei Ausnützung dieser Observationen wollte ich versuchen, eine Formel zu deduzieren, mit welcher ich die Strengung eines beliebigen Wetters direkt angeben könnte, wenn ich die Temperatur, t , und die Windgeschwindigkeit, v m/s, kannte. Weil ich mich eines Apparates mit der Mitteltemperatur von + 25°, bediente, wird also die Strengung für einen Körper mit dieser Temperatur angegeben. Ich musste da ein bestimmtes, aber vollständig beliebig gewähltes, typisches Wetter nehmen, für welches ich die Strengung = 1 nannte und nahm als solches den Typus, wo $t = 0^\circ$ und $v = 0$ m/s.

Da nun die Strengung, S , eine Funktion von Temperatur und Windgeschwindigkeit sein sollte, dürfte man etwa folgende Formel aufstellen:

$$S = (1 + at + bt^2 + ct^3 + \dots) (1 + \alpha v + \beta v^2 + \gamma v^3 + \dots).$$

Mit dem begrenzten Material, welches mir zur Verfügung stand, hielt ich es nicht für der Mühe wert, die Koeffizienten für die höheren Potenzen von t und v zu suchen und habe mich deshalb darauf beschränkt, die verkürzte Formel aufzustellen

$$S = (1 + at) (1 + \alpha v),$$

wo also die mathematischen Werte für die Konstanten a und α gesucht werden.

Bei der Bearbeitung des Materiales für obenstehenden Zweck habe ich zwei verschiedene Wege eingeschlagen.

Der eine gründet sich auf NEWTONS Abkühlungsgesetz und ist schon von LESLIE, welcher um das Jahr 1800 Messungen machte, welche bezweckten, den Zusammenhang zwischen Windgeschwindigkeit und Abkühlungsschnelligkeit zu zeigen, benutzt worden. Dieser Zusammenhang konnte, wie LESLIE¹ zeigte, durch die Formel ausgedrückt werden:

$$v = m \frac{R-r}{r},$$

wo

v = Windgeschwindigkeit in m/s,

m = Konstant,

R = »Term of cooling« oder »Abkühlungsgrösse« bei 0 m/s,

r = »Term of cooling« oder »Abkühlungsgrösse« bei dem Versuch.

Die Abkühlungsgrösse wiederum erhält er durch einen Abkühlungsversuch nach der Formel

$$R = \log e \cdot \frac{d\theta}{\log t_2 - \log t_1},$$

wo

e = Basis der natürlichen Logarithmen,

$d\theta$ = Zeit, welche für Abkühlung vergeht,

t_2 = Unterschied zwischen der Temperatur des Körpers und der Luft zu Anfang,

t_1 = Unterschied zwischen der Temperatur des Körpers und derjenigen der Luft zu Schluss des Versuches.

Weil der Begriff Abkühlungsgrösse, R , nicht zu den häufig vorkommenden gehört, dürfte ein Exempel zur Klarlegung des fraglichen Begriffes nicht überflüssig sein. Abkühlungsgrösse, R , ist die Zeit, ausgedrückt in der bei einem Versuche angewandten Einheit, welche vergehet, bis dass der Versuchskörper die Temperatur der umgebenden Luft annehmen würde, *unter der Voraussetzung, dass die Abkühlung mit derselben absoluten Schnelligkeit vor sich ginge wie während der ersten Versuchsintervalle*. Ein systematisches Experiment zur Erlangung von R wird so ausgeführt, dass man während bestimmter, relativ kleiner Zeitintervalle die Temperatur des abkühlenden Körpers abliest und aus den so erhaltenen Temperaturen die logarithmische Differenz zwischen zwei konsekutiven Temperaturen berechnet.

In Tabelle II habe ich Versuch No. 3 im einzelnen angeführt. In der ersten Kolonne stehen die Zeitintervalle von Anfang an in Minuten ausgedrückt; in der zweiten steht die Temperatur des Abkühlungscylinders, und weil die umgebende Luft 0° war, gibt diese Kolonne auch den Unterschied zwischen der Temperatur der Luft

¹ »Experimental Inquiry into the Nature of Heat«, Edinburg 1804; siehe auch »Antarctic Manual«, London 1901, Seite 130 u. ff.

TAB. II.

Einzelheiten vom Abkühlungsexperiment No. 3.

Intervall.	Zeit Min.	$t_{\text{obs.}}$	$\text{Log } t$	$\frac{\text{Log } t_n - \text{log } t_{(n+1)}}{\log t_{(n+1)}}$	$t_{\text{ber.}}$
1	0	29.94°	1.47625	0.02049	29.94
2	10	28.56	1.45576	0.01976	28.59
3	20	27.29	1.43600	0.02103	27.31
4	30	26.00	1.41497	0.01947	26.10
5	40	24.86	1.39550	0.01947	24.94
6	50	23.77	1.37603	0.01981	23.84
7	60	22.71	1.35622	0.01936	22.78
8	70	21.72	1.33686	0.01880	21.76
9	80	20.80	1.31806		20.80
				Med. 0.01977	

und des Körpers an; in der dritten Kolonne sind die Logarithmen für die Zahlen in der zweiten und in der vierten der Unterschied zwischen zwei auf einander folgenden Logarithmen der vorhergehenden Kolonne angegeben.

Nach NEWTONS Abkühlungsgesetz dürfte nun diese logarithmische Differenz der vierten Kolonne konstant sein; sie verändert sich indessen nach beiden Seiten um einen Mittelwert = $0,01977$.

$0,01977$ ist also der Logarithmus für das Verhältnis zwischen dem Wärmeüberschuss, welcher zu Anfang eines Intervalles und am Schluss desselben Intervalles vorhanden war.

$0 - 0,01977 = 0,98023 - 1$ ist also der Logarithmus einer Zahl, welche angibt, wie gross der Wärmeüberschuss, welcher nach einem Intervall übrig ist, im Verhältnis zu dem ursprünglich vorhandenen ist

$$0,98023 - 1 = \log 0,9555.$$

Drücke ich nun $0,9555$ mit der Formel $\frac{n}{n+1}$ aus, so bekomme ich nahezu die Zahl $21/22$. Während des ersten Intervalles ist folglich $1/22$ von dem ursprünglichen Wärmeüberschuss verloren gegangen. Wenn deshalb in den folgenden Intervallen derselbe absolute Wärmeüberschuss verloren ginge, würden für die Abkühlung 22 Intervalle, ein jedes zu 10 Minuten, vergehen, also $R = 220$.

LESLIE hatte einen Apparat mit ungefähr $1/2$ l Wasser und arbeitete nur mit kleinen Windgeschwindigkeiten; er fand den Wert der Konstanten $m = 2,032$.

Als ich nun daran ging, mein Material zu bearbeiten, wollte ich einen Wert für m erhalten und musste da erst den Wert für die Abkühlungsgrösse bei Windstille, R , suchen.

¹²⁸³/₀₈ Schwedische Südpolar-Expedition 1901—1903. II: 1.

TAB. III.

Abkühlungsversuche bei Windstille, $v = 0$ m/s.

No.	t	v	τ	R	Kalorien- verlust pr Minute.
		m/s	Min.		
1	+ 3.9	0.0	94.9	200	212 317
2	+ 1.7	0.0	97.0	227	
3	\pm 0.0	0.0	89.3	224	
4	- 3.1	0.0	69.6	189	
9	- 19.5	0.0	33.3	148	148 905
15	- 24.9	0.0	30.1	149	
					1010

Als ich aus den für diesen Zweck angewandten Versuchen No. 1, 2, 3, 4, 9, 15 R berechnete, bekam ich die Werte in zwei markierten Gruppen, siehe Tab. III. Die Versuche im Hause ergaben nämlich im Durchschnitt die Ziffer $R = 212$, während die beiden Versuche ausserhalb des Hauses den Wert $R = 148$ ergaben. Dieses war zu erwarten; ein solcher Unterschied hat seine Erklärung darin, dass Stille ausserhalb des Hauses niemals dasselbe ist, wie im Hause.¹ Da die ganze übrige Serie ausserhalb des Hauses genommen ist, habe ich ebensowie LESLIE als Abkühlungsgrösse bei 0 m/s den genommen, welchen ich bei die Arbeit ausserhalb des Hauses erhielt.

In Tab. IV habe ich für die verschiedenen Versuche den Wert für $r =$ Abkühlungsgrösse angegeben. Mit Kenntnis von R und r nebst v habe in jedem Fall den Wert für m , die Konstante, kalkuliert; das Mittel, mit Ausnahme des ersten Versuches ist

$$m = 3.7.$$

Dass ich die Konstante = 3,7 gefunden habe, während LESLIE $m = 2$ setzte, bedeutet mit Hinsicht auf das schliessliche Ziel der Untersuchung, dass ich den Einfluss des Windes auf die Abkühlung niedriger setzte, als es LESLIE getan hat. (Der andere Wert für die Abkühlungsgrösse bei 0 m/s $R = 212$, gewonnen bei Versuchen im Hause, gibt für m einen Wert = 2,35.)

Ich bin indessen durch einen anderen leichter fasslichen Schluss zu demselben Resultat hinsichtlich des Einflusses der Windgeschwindigkeit auf die Abkühlungsschnelligkeit gekommen, obschon das Resultat da in einer anderen Form dargestellt wird.

¹ In »Antarctic Manual» 1901, Seite 133 citiert F. J. BUCHANAN einige besonders sorgfältig gemachte Abkühlungsversuche in Edinburgh 1894 mit ein und demselben Körper einmal in Stille im Hause und das andere Mal in Stille ausserhalb des Hauses. Aus den ersten Versuchen erhielt man $R = 65$, in dem späteren als Mittel $R = 44.5$, zwei Werte, welche sich zufällig zu einander gerades verhalten wie 212 zu 148.

TAB. IV.

Berechnung der Abkühlungsversuche bei $v > 0$ m s.

Nr.	t	v	r (obs.)	r (ber.)	r	m	k'_{ρ_0}	k'_{ρ_v}	α
		m/s	min.	min.					
5	— 4.5°	4.2	18.9	23.5	55.2	2.50	597	1590	0.395
6	— 9.2	9.1	10.3	12.5	35.0	2.82	692	2925	0.334
7	— 17.9	8.2	9.3	10.7	39.7	3.00	868	3420	0.334
8	— 18.5	0.5	26.4	26.8	72.2	3.75	879	1140	0.267
10	— 21.7	17.7	5.2	5.4	24.2	3.46	945	5790	0.290
11	— 22.0	14.0	6.2	6.6	29.0	3.42	950	4860	0.295
12	— 23.7	18.7	5.4	5.0	26.2	4.00	986	5570	0.266
13	— 24.5	26.6	3.5	3.7	17.3	3.52	1001	8600	0.286
14	— 24.8	24.3	3.8	3.9	18.9	3.53	1007	7930	0.277
16	— 25.0	20.1	5.4	4.6	27.1	4.50	1011	5530	0.223
17	— 25.1	18.5	5.7	4.9	28.5	4.41	1013	5290	0.229
18	— 25.5	18.7	5.1	4.8	25.6	3.90	1021	5900	0.256
19	— 25.7	10.1	7.0	7.8	35.3	3.17	1025	4300	0.315
20	— 26.0	9.6	8.1	8.1	41.2	3.70	1031	3720	0.269
21	— 26.0	19.6	4.7	4.6	23.9	3.77	1031	6110	0.266
22	— 26.0	28.5	3.7	3.3	19.1	4.50	1031	8050	0.238
23	— 27.0	20.0	4.2	4.4	21.7	3.59	1051	7170	0.291
24	— 27.8	21.0	5.1	4.2	27.1	4.71	1067	5850	0.213

Es hat bei diesem Schluss als selbstverständlich bei mir festgestanden, dass man ein Wetter für 2, 3, 4 etc. mal so schwer als ein anderes halten muss, wenn es in der Zeiteinheit einen gewissen gegebenen Körper von bestimmter Temperatur einer Wärmemenge beraubt, welche 2, 3, 4 etc. mal so gross ist wie die durch dieses Standardwetter entzogene Wärmemenge. Wollte ich nun auf diesem Grunde die Strenge der verschiedenen Witterungen gradieren, so müsste ich ja, um den Einfluss der Windgeschwindigkeit zu bekommen, in erster Linie versuchen, die Strenge als Funktion der Temperatur bei einer Windgeschwindigkeit = 0 m/s zu finden. Ebenso wie bei obenangeführtem Schluss, wo es galt, den Wert für R , die Abkühlungsgrösse bei 0 m/s zu erhalten, habe ich auch nun dieselben Versuche angewandt. No. 1, 2, 3, 4, 9 und 15, und für jeden ausgerechnet, wie viele Kalorien per Minute verloren gegangen sind.

Die Resultate der Versuche bei verschiedenen Temperaturen müssten da selbstverständlich ungleich werden, grösserer Wärmeverlust per Zeiteinheit in demselben Grade wie der Temperaturunterschied zwischen dem Apparate und der Luft wächst. Die Anzahl der per Minute abgegebenen Kalorien wird proportional zu diesem Temperaturunterschied sein, ein Temperaturunterschied, welcher gerechnet werden

muss zwischen der Temperatur der Luft und der Mitteltemperatur des Cylinders d. h. + 25°. Schon aus den verschiedenen Werten für »R« (siehe Tab. III) geht hervor, dass es sich nicht so verhält; innerhalb des Hauses ein relativ bedeutend geringerer Wärmeverlust als ausserhalb des Hauses. Aus Gründen, welche oben angeführt wurden, habe ich die zwei ausserhalb des Hauses vorgenommenen Versuche No. 9 und 15 als Ausgangsziffern für gut angenommen.

In dem ersten Falle ist die Temperatur = - 19,5°, folglich der Temperaturunterschied = 44,5°, und in diesem Fall wurden 905 Kalorien in der Minute abgegeben (30 120 Kalorien in 33,3 Minuten). In dem letzteren Fall ist die Temperatur = - 24,9°, folglich der Temperaturunterschied = 49,9°, und bei diesem letzteren Versuch entwichen 1050 Kalorien in der Minute (30 120 Kalorien in 30,1 Minuten).

$$\frac{905}{1010} = 0,895; \quad \frac{44,5}{49,9} = 0,892.$$

Hier liegt folglich die gewünschte Proportionalität vor.

Mit Benutzung dieser Werte kann man ja leicht berechnen, dass bei $\pm 0^\circ$ resp. - 25°, d. h. bei einem Temperaturunterschied von 25° resp. 50° der Apparat in der Minute 506 resp. 1012 Kalorien abgibt, welches also unter anderem bedeutet, dass, wenn der Temperaturunterschied sich um 1° steigert, die Kalorienanzahl mit 20,2 wächst. Lasse ich unter oben angeführten Versuchsbedingungen $k_{f,v}$ die Anzahl der per Minute abgegebenen Kalorien bezeichnen, wo die Lufttemperatur t° und die Windgeschwindigkeit v m/s ist, so wird also

$$k_{f,0} = k_{0,0} - t \cdot 20,2$$

oder da

$$k_{0,0} = 506,$$

$$k_{f,0} = 506 (1 - t \cdot 0,04).$$

Die Wärmemenge, welche per Minute entweicht, wenn der Wind nicht länger 0 m/s ist, sondern v m/s, dürfte nun aus zwei Ausdrücken zusammengesetzt sein, der erste = der Wärmemenge, welche fortgehen würde, wenn $v = 0$ m/s wäre, also $k_{f,0}$, der andere = einer Wärmemenge proportional teils zu $k_{f,0}$ und teils zu der Windgeschwindigkeit v , ein Ausdruck, welcher also das Aussehen hätte $\alpha \cdot v \cdot k_{f,0}$.

Also

$$k_{f,v} = k_{f,0} (1 + \alpha \cdot v).$$

Bei Versuchen während grosser Windgeschwindigkeit tritt die Rolle des Windes auf die prägnanteste Weise hervor. Ein Wärmeverlust, welcher das Fünffache, Sechsfache ja sogar Achtfache von dem ist, welcher bei Windstille berechnet wird, ist zu verzeichnen.

In Tab. IV habe ich für jeden Versuch teils $k_{f'v}$ teils $k_{f'o}$ angegeben, so wie ich diesen Ausdruck aus der Temperatur und der Formel berechnete. Aus diesen Werten und v , Windgeschwindigkeit, erhalte ich für jeden Fall den Wert für α aus der Formel

$$\alpha = \left(\frac{k_{f'v}}{k_{f'o}} - 1 \right) \cdot \frac{1}{v'}$$

Das Mittel sämtlicher Versuche mit Ausnahme des ersten, ergibt

$$\alpha = 0,272.$$

Die Formel

$$k_{f'v} = 506 (1 - t \cdot 0,04) (1 + v \cdot 0,272)$$

würde folglich für den angewandten Apparat gelten.

Um zu sehen, wie etwa diese Formel mit den observierten Werten stimmt, habe ich zurückkalkuliert, um zu erforschen, welche Abkühlungszeiten diese Formel ergibt im Vergleich mit den faktisch observierten; man braucht ja nur in jedem Fall den totalen Wärmeverlust mit dem dividieren, welcher nach Berechnung per Minute eintritt

$$t_{(ber.)} = \frac{30 \cdot 120}{k_{f'v}}$$

Die Vergleichung zeigt ja nicht die Übereinstimmung, welche man von einer mit Präzisionsanordnung gemachten Versuchsserie fordern kann, aber wie ich sagte, haben ja die Bedingungen bei den Versuchen, besonders gegenüber den Schneewehen vieles zu wünschen übrig gelassen.

Mit Benutzung der so deducierten Formel ist es alsdann leicht, die sogenannte Strenge eines Wettertypus zu berechnen. Es ist nur der Wärmeverlust per Zeiteinheit mit demselben Wärmeverlust während des Wetters, dessen Strenge man als Einheit wählt, zu dividieren, also in dem Falle, dass ich $t = 0^\circ$ $v = 0$ m/s als Einheit wählte, also

$$S = \frac{k_{f'v}}{k_{f'o}} = \frac{506 (1 - t \cdot 0,04) (1 + v \cdot 0,272)}{506} \\ S (1 - t \cdot 0,04) (1 + v \cdot 0,272)$$

für einen Körper von $+25^\circ$ und unter der Annahme, dass $S_{f'o} = 1$ ist.

Obleich ich selbst diesen Koeffizienten $0,272$ nicht für definitiv feststehend halte, glaubte ich doch, dass es von gewissem Interesse sein würde, zu sehen, wie das Resultat sich gestaltet, wenn ich die fragliche Formel auf die meteorologischen Ziffern der verschiedenen Polarexpeditionen anwende. Leider liegen indes-

Die Strenge einiger Polarstationen.

TAB. V A.

Station.	Vegetation 1878—1879			Nansen (Fram) 1893—1896.			Spitzbergen 1899.			Sverdrup, Gannsefjord 1898—1902.			Finlay, Franz Josephsland 1903—1905.			Scott's, Süd Orkney 1903—1904.		
	t	v	S	t	v	S	t	v	S	t	v	S	t	v	S	t	v	S
Die vier grimmigsten Tage.	10.6	8.1	10.5	33.0	13.0	10.5	22.9	10.5	41.6	14.9	13.4	28.1	32.9	21.2	1.1	20.4	6.8	
	20.4	12.7	8.1	44.2	10.0	10.2	15.0	20.4	43.5	14.1	13.2	21.3	28.5	26.2	10.2	14.1	6.7	
	36.8	8.2	7.9	31.5	12.8	10.1	12.2	20.7	17.1	24.4	12.9	31.4	16.6	12.4	2.6	16.2	5.9	
	25.0	9.4	7.2	33.6	12.0	10.0	26.4	12.2	8.9	49.7	11.5	36.5	14.2	12.0	6.0	13.5	5.7	
	20.6	10.6	7.1	25.0	14.3	9.8	32.2	10.3	8.7	47.1	12.0	29.8	16.2	11.8	10.8	11.0	5.7	
	20.2	8.3	7.1	33.6	11.2	9.5	11.8	18.6	8.6	37.1	13.2	11.4	17.5	11.6	28.5	6.1	5.7	
	23.7	9.4	7.9	35.7	10.3	9.3	6.2	21.1	8.4	39.6	12.5	11.4	14.0	22.3	10.9	6.4	13.0	
Die zehn grimmigsten Tage.	10.4	6.7	31.5	11.3	9.2	24.4	11.4	8.2	41.3	11.8	11.2	15.7	19.1	10.1	19.1	7.9	5.6	
	4.9	0.5	3.1	43.8	7.6	8.5	29.6	9.7	8.0	42.0	11.7	11.2	25.3	14.0	9.7	7.6	11.8	
	38.4	0.1	2.5	24.5	11.8	8.3	15.0	14.6	7.9	44.0	11.3	11.2	35.6	9.0	8.3	8.9	10.6	
Die vier grimmigsten Monate.	22.8	6.7	5.4	34.7	5.9	6.3	27.2	5.5	5.2	38.9	6.8	7.3	26.6	11.0	8.2	8.3	7.4	
	10.6	7.9	5.2	35.0	5.8	6.2	22.8	6.2	5.1	34.2	6.4	6.5	22.7	10.8	7.5	12.5	6.0	
	25.1	5.0	4.7	37.3	5.4	6.2	10.5	9.1	5.0	34.4	5.8	6.1	26.4	8.2	6.6	8.4	7.1	
	18.9	5.5	4.4	37.1	4.6	5.6	8.5	8.5	4.5	35.3	5.6	6.1	28.4	7.5	6.5	7.3	6.9	
Jahr.	12.0	5.7	3.8	19.2	4.5	4.0	9.8	5.8	3.6	47.1	3.7	2.6	13.2	6.5	4.2	4.8	6.1	

TAB. V B.

Station.	Snow-Hill 1902—1903			Cap. Adare 1898—1900.			Belgica 1897—1899.		
	t	v	S	t	v	S	t	v	S
Die vier grimmigsten Monate.	24.4	11.4	8.1	24.9	3.1	3.7	11.9	4.7	3.4
	18.1	11.3	7.0	25.3	2.1	3.2	15.5	3.0	3.0
	11.4	13.6	6.9	22.8	2.3	3.1	23.7	1.4	2.7
	17.0	11.2	9.8	24.7	2.1	3.1	18.6	1.9	2.7
Jahr.	11.9	8.1	4.7	14.0	2.9	2.8	—	—	—

sen Windgeschwindigkeitsziffern nicht von so vielen Seiten vor, weshalb ich mich auf einige wenige Expeditionen beschränken muss. In nebenstehender Tabelle V habe ich für verschiedene Plätze aus den meteorologischen Tabellen die Tage aus- gesucht, welche an Grimmigkeit die hervorragendsten waren, und ausserdem solche, welche die strengste Kälte aufwiesen, obgleich ja diese Tage infolge niedriger Wind- geschwindigkeit im allgemeinen nicht von so grosser Strenge sind.

In welchem hervorragenden Grade es die Windgeschwindigkeit ist, welche die Strenge des Wetters bestimmt, wird aus dieser Tabelle ersichtlich.

Von den arktischen Observationsserien habe ich »Vegas« Serie von Pitlekaj im Nordsibirien, NANSENS Reise mit der »Fram« über das centrale Polargebiet, Schwe- dische Gradmessungsexpeditions Serie von Spitzbergen, die FIALA-Expedition nach Franz Josephsland und schliesslich als Repräsentant für das amerikanische Polargebiet SVERDRUPS Serie von Gaasefjord mit aufgenommen. Im grossen und ganzen kann man sagen, dass die Strenge dieser Gegenden ihre obere Grenze ungefähr zwischen 10 und 11 hat. SVERDRUP hat zusammen in drei Wintern zehn Tage strenger als 11 bis hinauf zu 13 gehabt, aber diese Grenze wird in ganz eminentem Grade über- schritten von den Beobachtungen auf Cap Flora auf Franz Josephsland. Allerdings nur sechs Tage in zwei Wintern, welche bis über 11 hinaufgingen, aber von diesen der eine mit Strenge 16,2 und der andere hinauf bis zu dem Maximum $S=21,2$, d. h. ungefähr doppelt so grimmiges Wetter wie das schlimmste auf der »Fram« beobachtete.

Und welcherart ist das Wetter während solcher schweren Tage? Ja, erwartet man Beispiele von extremen Kältegraden, so irrt man sich. Der Typus ist relativ geringe Kälte mit harter, manchmal orkanartiger Windgeschwindigkeit.

Wende ich mich den Stationen im Südpolargebiet zu, so wird die Ausbeute ziemlich mager. Mit Ausnahme von Snow-Hill liegen bis dato Windgeschwindigkeitsziffern, welche mit Anemometern aufgenommen wurden, nur seitens der schottischen Expedi- tion von den Süd Orkney-Inseln vor, einer Station, welche wohl auf dem Grenz- gebiet der Antarktis liegt, aber in jedem Fall nicht darauf Anspruch machen kann, ein Repräsentant des arktischen Klimas zu sein.

Auf den Süd Orkney-Inseln hat man zwar mit keiner so unansehnlichen Wind- geschwindigkeit zu rechnen, aber diesen Stürmen folgt häufig relativ hohe Tempera- tur, weshalb auch die Strenge nicht die Werte der Nordpolargebiete erreicht; $S=6,8$ ist das Maximum, welches ich angetroffen habe.

Betrachte ich dann Snow-Hill, so treffen wir dort ein Klima, welchem ein Gegen- stück im Norden vollständig fehlt. Die maximale Strenge $S=20,6$ während der zwei Winter, welche ich dort zubrachte, steigt allerdings nicht bis zu dem Rekord von Franz Josephsland $S=21,2$, aber hier bei Snow-Hill sinkt die Strenge nicht ganz plötzlich bis 11 oder 12 herab wie bei Gaasefjord und Cap Flora, sondern von hier liegen nicht weniger als 31 Beispiele von Tagen vor mit $S > 12$. Derartig ist die

TAB. VI.
Die grimmigsten Tage auf Snow-Hill.
 $S > 12.$

Jahr, Monat und Tag.			t°	v m/s	S
				m/s	
1902	August	10	- 31.1	30.1	20.6
1902	Juli	17	- 28.8	27.3	18.1
1902	Juni	9	- 27.7	25.0	16.4
1902	Mai	29	- 26.1	25.2	16.2
1902	August	11	- 28.5	23.1	15.5
1902	Mai	3	- 23.0	25.8	15.4
1903	September	25	- 24.2	24.5	15.0
1903	August	24	- 22.8	24.6	14.7
1902	Mai	28	- 23.6	24.0	14.6
1902	Juni	10	- 24.4	23.6	14.6
1902	Juli	18	- 24.6	23.5	14.6
1902	Juni	4	- 26.4	22.6	14.6
1902	August	6	- 36.2	17.8	14.2
1902	Juni	2	- 27.7	20.9	14.1
1903	Oktober	1	- 24.4	22.3	14.0
1903	April	23	- 23.5	22.6	13.8
1902	Juni	7	- 23.9	22.1	13.7
1902	Juli	16	- 30.9	18.8	13.6
1902	Mai	2	- 24.0	21.7	13.5
1903	Juli	3	- 24.7	21.4	13.5
1903	September	30	- 25.8	20.7	13.5
1902	September	28	- 19.8	23.6	13.3
1902	August	15	- 26.8	19.9	13.3
1903	August	25	- 20.2	23.1	13.2
1902	Juni	6	- 24.6	20.8	13.2
1902	Juni	3	- 27.0	19.4	13.0
1902	Oktober	25	- 17.6	23.5	12.6
1902	September	25	- 21.4	20.7	12.3
1902	Juli	20	- 21.3	20.7	12.3
1903	April	24	- 24.2	19.2	12.3
1902	Juli	21	- 24.4	18.8	12.1

Wirkung der Kombination von relativ niedriger Temperatur mit starken Stürmen, auf die ich oben hingewiesen habe.

Ausser für einzelne Tage habe ich auch mit Mitteltemperatur und Mittelwindgeschwindigkeit die Strenge für die vier schwersten Monate, wie auch für das Jahr für eine jede der verschiedenen Observationsstellen kalkuliert.

Im nördlichen Polargebiet scheinen die schwersten Monate sich mit $S = 6$ à 7 zu halten; doch weist auch hier die FIALA-Expedition einen Maximalwert von $S = 8,2$ auf.¹

Von der Southern-Cross Expedition bei Cap Adare und von der Belgica-Expedition liegen keine direkten anemometrischen Ziffern vor, sondern nur subjektive Abschätzungen nach BEAUFORTS Skala. Die Durchschnittszahlen habe ich nach KÖPFEN auf Windgeschwindigkeiten in m/s reduziert. Die Südpolargegenden mit Ausnahme von Snow-Hill zeigen entschieden niedrige Werte, aber Snow-Hill tritt mit vier Monaten von ungefähr gleicher Strenge wie auf Franz Josephsland auf.

Ausser für die gewöhnlichen Monate habe ich auch einige Perioden von mehr als gewöhnlich schwerem Wetter teils von NANSENS Expedition teils von Snow-Hill citieren wollen. Während der Zeit von 15 Tagen hielt sich bei NANSEN die Temperatur ununterbrochen unter -40° . Die Mitteltemperatur für diese Zeit $= -44,7^{\circ}$ und die Mittelwindgeschwindigkeit $4,5$ m/s geben für $S = 6,2$, also trotz der niedrigen Temperatur recht mässig. Von Snow-Hill führe ich an teils den 1.—10. Juni 1902, Mitteltemperatur $= -25,4^{\circ}$, Mittelwindgeschwindigkeit $= 20,2$ m/s $\therefore S = 13,2$, teils den Monat 16. Juli—15. August 1902, Mitteltemperatur $= -28,8^{\circ}$, Mittelwindgeschwindigkeit $= 11,6$ m/s $\therefore S = 8,8$, also einen Monat, welcher den Rekordmonat auf Franz Josephsland erreicht und denselben sogar übertrifft.

Nach den Resultaten, welche ich oben geliefert habe, könnte es leicht scheinen, als hätte ich meine Kalkulationen in der Absicht gemacht, einige Rekordziffern für die Strenge von Snow-Hill zu erhalten. Man könnte vielleicht dadurch andere Werte erhalten, dass man ein anderes Normalwetter als Einheit nähme? Dass die Windgeschwindigkeit dieses Normalwetters 0 m/s sein muss, liegt aber nach meiner Ansicht ausser Diskussion, und folglich bleibt der Windfaktor unverändert. Was wird denn der Unterschied, wenn ich anstatt Wetter »0°, 0 m/s« beispielsweise »+15°, 0 m/s« als Normalwetter setze? Ja, die Ziffern für Strenge wachsen recht wesentlich, man bekommt nicht mehr eine Skala, welche sich zwischen 0 und 20 bewegt, sondern zwischen 0 und 50, aber wohl zu merken ist, dass sämtliche Werte in der gleichen Proportion wachsen, und da der Unterschied somit nur ein scheinbarer ist, dürfte kein Grund

¹ Man sollte vielleicht erwarten, dass eine Monats-Strenge nicht ohne weiteres mit Anwendung von Mitteltemperatur und Mittelwindgeschwindigkeit berechnet werden darf, wie aus dem extremen Exempel hier unten hervorgeht. Ich habe indessen die Strenge für einen Monat bei Snow-Hill nach beiden Methoden ausgerechnet und dieselben Werte bekommen. Die Berechnung mit Durchschnittszahlen ist also zulässig.

t°	v m/s	S
0	30	9.2
30	0	2.2
15	15	8.2

vorliegen, ein anderes Normalwetter als das von mir vorgeschlagene »0°, 0 m/s« zu wählen. Ausser dem Natürlichen, welches darin liegt, diese Standardwerte als Normalwetter zu wählen, hat man auch in der vereinfachten Formel einen Vorteil.

Die Parenthese mit dem Temperaturfaktor hat eigentlich das Aussehen

$$\left(1 - \frac{t - \delta}{25 - \delta}\right) \text{ oder } \left(\frac{25 - t}{25 - \delta}\right),$$

wo t = der Lufttemperatur,

δ = gewählter Normaltemperatur,

25° = der Temperatur des sich abkühlenden Körpers ist.

Setzt man $\delta = 0$, so bekommt die Parenthese das Aussehen

$$(1 - 0,04 \cdot t).$$

Setzt man $\delta = 15$, so bekommt die Parenthese das Aussehen

$$[1 - 0,1 (t - 15)].$$

Dass das Verhältnis zwischen der Strenge zweier ungleichen Wetter unabhängig von der gewählten Normaltemperatur, δ , ist, ist leicht zu zeigen.

Setzt man

$$S_1 = \left(\frac{25 - t_1}{25 - \delta}\right) (1 + v_1 \cdot 0,272),$$

$$S_2 = \left(\frac{25 - t_2}{25 - \delta}\right) (1 + v_2 \cdot 0,272),$$

so ist

$$\frac{S_1}{S_2} = \frac{(25 - t_1) (1 + v_1 \cdot 0,272)}{(25 - t_2) (1 + v_2 \cdot 0,272)}$$

ein Verhältnis, welches also unabhängig von δ ist.

Ebenso wenig kann man behaupten, dass ich bei der Wahl des Windfaktor $0,272$ für die hohen Windstärken parteiisch gewesen bin. Dieser Faktor ist in der Tat

$$\alpha = \frac{1}{m} = \frac{1}{3,1705} \cdot \epsilon$$

Mein anderer Wert für m , erhalten dadurch, dass ich R den Versuchen innerhalb des Hauses entnahm, war $m = 2,35$, und LESLIES Wert war $m = 2,032$; diese Werte würden als Windkoeffizienten die Zahlen $0,146$ resp. $0,192$ ergeben haben.

Zur Vergleichung will ich die Strenge bei drei mit verschiedenen Windkoeffizienten kalkulierten Typen anführen.

* m aus der Formel $v = m \frac{R - r}{r}$.

		t	v m/s	Nach BODMAN: $S=(1-0.4 \cdot t)(1+v \cdot 0.272)$	Nach LESLIE: $S=(1-0.4 \cdot t)(1+v \cdot 0.491)$
»Fram«	1893—96	—49.6°	4.0	6.3	8.6
Snow-Hill	1902—03	—17.6	23.5	12.6	21.5
Snow-Hill	1902—03	—31.1	30.1	20.6	35.5

Folglich für das zweite Exempel nach BODMAN Strengung 2 mal den ersten Fall; nach LESLIE Strengung 2,5 mal den ersten Fall.

TAB. VII.

Tabelle zur Erläuterung des Zusammenhanges zwischen S, t und v.

S	$\pm 0^\circ$	-5°	-10°	-15°	-20°	-25°	-30°	-40°	-50°
	m/s	m/s	m/s	m/s	m/s	m/s	m/s	m/s	m/s
1	0.0	—	—	—	—	—	—	—	—
2	3.7	2.5	1.6	0.9	0.4	0.0	—	—	—
3	7.4	5.5	4.2	3.2	2.5	1.8	1.3	0.6	0.0
4	11.0	8.6	6.8	5.5	4.5	3.7	3.0	2.0	1.2
5	14.7	11.7	9.5	7.8	6.6	5.5	4.7	3.4	2.5
6	18.4	14.7	12.1	10.1	8.6	7.4	6.4	4.8	3.7
7	22.0	17.8	14.7	12.4	10.7	9.2	8.0	6.3	4.9
8	25.7	20.8	17.3	14.7	12.7	11.0	9.7	7.7	6.1
9	29.4	23.9	20.0	17.0	14.7	12.9	11.4	9.1	7.4
10	33.1	27.0	22.5	19.3	16.7	14.7	13.1	10.5	8.6
11	36.8	30.1	25.2	21.6	18.8	16.6	14.7	11.9	9.8
12	40.5	33.1	27.8	23.9	20.8	18.4	16.4	13.3	11.0
13	—	36.2	30.4	26.2	22.8	20.3	18.1	14.7	12.3
14	—	39.3	33.1	28.5	24.9	22.0	19.9	16.2	13.5
15	—	42.4	35.7	30.8	26.9	23.9	21.4	17.6	14.7
16	—	—	38.3	33.1	29.0	25.7	23.0	19.0	15.9
17	—	—	41.2	35.4	31.1	27.6	24.7	20.4	17.2
18	—	—	—	37.7	33.1	29.4	26.5	21.7	18.4
19	—	—	—	40.0	35.2	31.3	28.2	23.3	19.6
20	—	—	—	—	37.2	33.1	29.8	24.7	20.8
21	—	—	—	—	39.3	34.9	31.5	26.0	22.0
22	—	—	—	—	41.3	36.8	33.2	27.5	23.3
23	—	—	—	—	—	38.6	34.7	28.9	24.5
24	—	—	—	—	—	40.5	36.4	30.3	25.7
25	—	—	—	—	—	—	38.1	31.7	27.0

Mit dem Aufsatz folgen einige auf kariertem Papier gezeichnete Kurven, mit deren Hilfe man in einem Augenblick graphisch die Streuge von Wettertypen mit einer Temperatur zwischen $\pm 0^\circ$ und -50° und mit Windgeschwindigkeiten zwischen 0 m/s und 40 m/s aufsuchen kann; doch hielt ich es nicht für nötig, die Kurven höher als bis $S = 25$, anzulegen.

Wie man sich der fraglichen Kurven bedient, ist klar. In der Abscissenachse wird die Windgeschwindigkeit abgesetzt und in der Ordinatenachse die Temperatur; die so erhaltene Lage im Verhältnis zu den gegebenen Kurven gibt die Streuge.

Die Kurven, oder richtiger gesagt die gebrochenen Linien, sind dadurch erhalten, dass die in der Tabelle VII angegebenen Punkte verbunden wurden. In dieser habe ich nach meiner Formel zu Anfang für jeden fünften und später für jeden zehnten Grad für eine gewisse Ordinate, die Temperatur, ausgerechnet, wie gross die Windgeschwindigkeit sein muss, damit die Streuge, $S = 1, 2, 3, 4$ etc. wird.

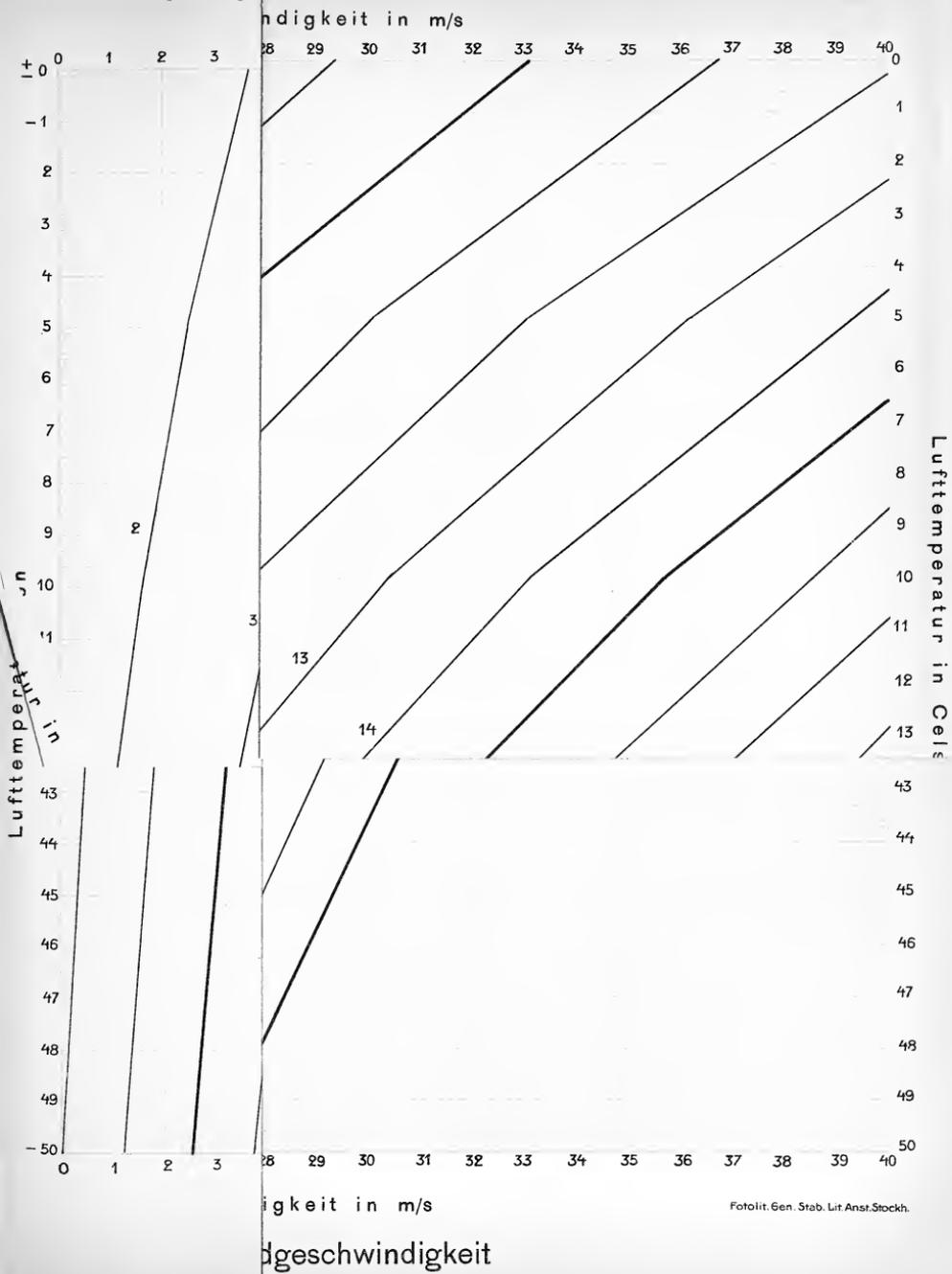
Mit der fraglichen Tabelle sucht man also die Windgeschwindigkeit, wenn die Streuge und Temperatur gegeben sind.

Da ich diese meine Untersuchung publiziere, obgleich ich einsehe, dass der Windkoeffizient, den ich erhalten habe, sicherlich nicht der definitive ist, war es meine Absicht hervorzuheben, wie man bei der Abschätzung des Klimas bisher gar zu wenig die bedeutende Rolle berücksichtigt hat, welche die Windgeschwindigkeit spielt. Hätte man dieses nicht übersehen, würden wohl nicht moderne teure Polar-Expeditionen hinausgegangen sein, ohne sich mit einem erstklassigen Vorrat von dem Instrumente, dem Anemometer, zu versehen, welches im Verein mit dem Thermometer eine bedeutend bessere Auffassung von einem Klima gibt als das letztere allein.

Eine genaue Untersuchung dürfte uns den exakten Wert für den Windkoeffizienten geben, und alsdann dürfte es wohl keine anderen Schwierigkeiten geben als die Kosten, um ein Instrument zu konstruieren, welches, kombiniert aus einem registrierenden Thermometer und Anemometer, in jedem Augenblicke die herrschende Streuge registriert. Ein Instrument, welches, einmal vollendet, den gleichen Rangplatz im Dienst der Meteorologie erhalten dürfte, welchen nun der Thermograph, der Barograph und der Anemometer inne haben.

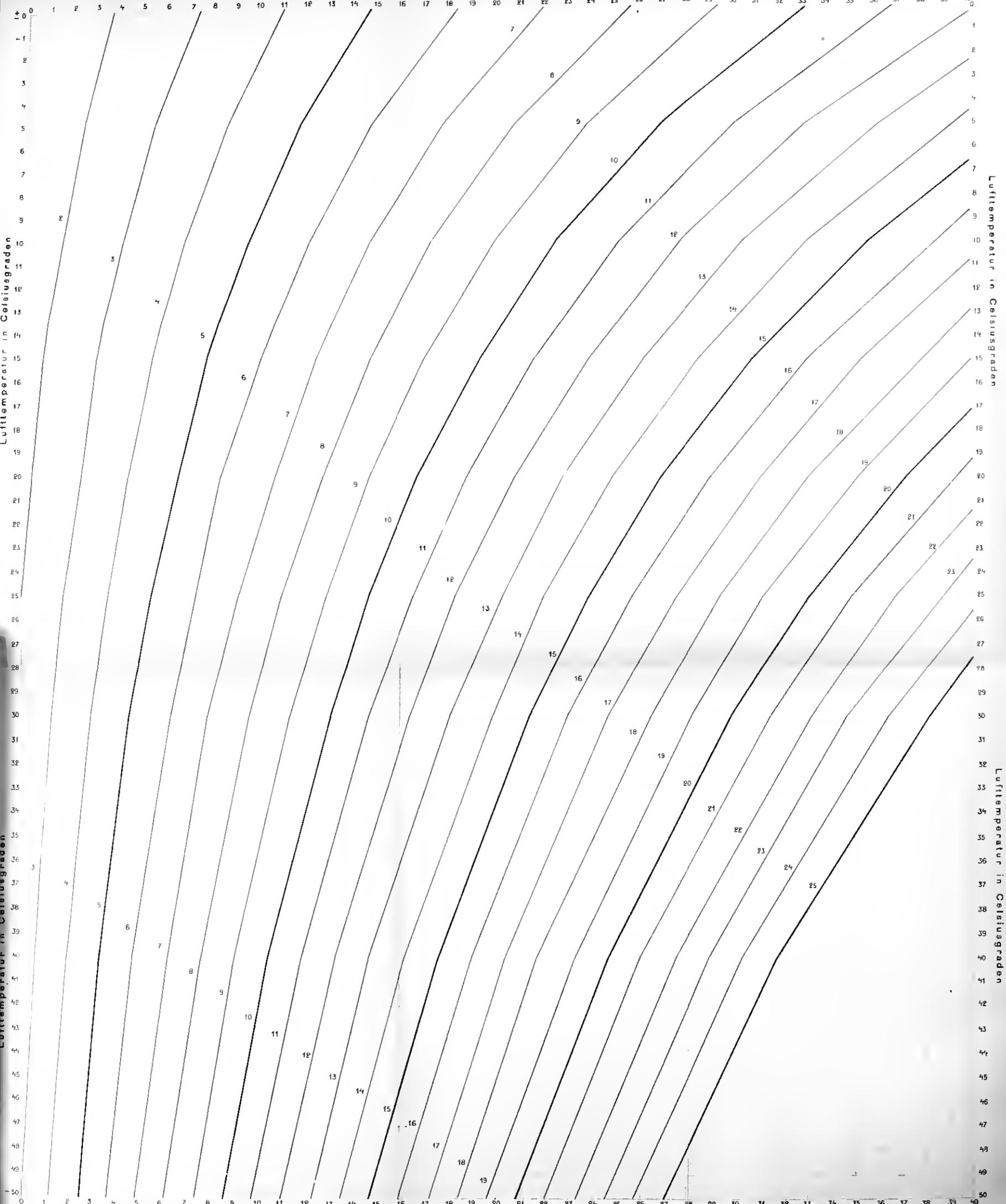
Während der Drucklegung des vorliegenden Aufsatzes ist der Bericht über die meteorologischen Ergebnisse der englischen Südpolarexpedition erschienen: »*National Antarctic Expedition 1901—1904 Meteorology Part I*«. Aus den Ziffern die da vorliegen in Betreff der Lufttemperatur und der Windgeschwindigkeit habe ich mit Benutzung meiner Formel die Strenge des Wetters in einigen Fällen berechnet. Das Resultat ergibt sich aus der nachstehenden Tabelle.

	»Discovery» 1902—1904 Victoria-land		
	t	v	S
	C°	m/s	
Die zehn grimmigsten Tage.	—29.4	13.8	10.3
	—35.2	11.5	9.8
	—35.1	11.5	9.8
	—31.0	11.9	9.4
	—34.5	10.8	9.3
	—19.5	15.3	9.2
	—31.4	11.2	9.1
	—30.7	11.2	9.0
	—28.6	11.2	8.7
	—30.9	10.1	8.3
Die vier grimmigsten Monate.	—24.7	7.3	5.9
	—26.7	5.3	5.1
	—26.9	5.1	5.0
	—26.9	5.0	5.0
Jahr.	—18.5	4.2	3.8



Windgeschwindigkeit in m/s

Windgeschwindigkeit in m/s



Windgeschwindigkeit in m/s

Windgeschwindigkeit in m/s

Die Strenge des Wetters als eine Funktion von Lufttemperatur und Windgeschwindigkeit

RESEARCH IN CHEMISTRY

100
90
80
70
60
50
40
30
20
10
0



de creșterii și scăderii

5974

WISSENSCHAFTLICHE ERGEBNISSE
DER SCHWEDISCHEN SÜDPOLAR-EXPEDITION
1901—1903

UNTER LEITUNG VON DR. OTTO NORDENSKJÖLD

BAND II. LIEFERUNG 2

METEOROLOGISCHE ERGEBNISSE
DER SCHWEDISCHEN SÜDPOLAR-EXPEDITION

I

STÜNDLICHE BEOBACHTUNGEN

BEI

SNOW HILL

BEARBEITET VON

GÖSTA BODMAN

MIT 3 TAFELN UND 1 KARTE



STOCKHOLM

LITHOGRAPHISCHES INSTITUT DES GENERALSTABS

1908

A. ASHER & Co
BERLIN W

HAAR & STEINERT, A. EICHLER, SUCC:R
PARIS

DULAU & Co
LONDON W





Meteorologische Beobachtungen der schwedischen Südpolarexpedition.

1. Stündliche Observationen bei Snow-Hill

bearbeitet von

Dr. GÖSTA BODMAN.

Einleitung.

Am 16. Oktober 1901 ging die schwedische Südpolarexpedition an Bord der »Antarctic« von Gotenburg ab. Zu ihrem Programm gehörte es unter anderem, in den antarktischen Gegenden selbst wie auch unterwegs meteorologische Arbeiten auszuführen. Im ersten Monat unserer Reise waren wir jedoch von Installierungs- und Anpassungsarbeiten, zu denen wir in den letzten unruhigen Wochen an Land keine Zeit gefunden hatten, so sehr in Anspruch genommen, dass keine Wetterbeobachtungen angestellt werden konnten. Erst als wir 30° südl. Breite passierten, d. h. am 2. Dez. 1901, nahmen diese Arbeiten, wenn auch nach einem ziemlich begrenzten Programm ihren Anfang. Von diesem Tage an wurden die üblichen Beobachtungen des Luftdruckes *, der Temperatur, Feuchtigkeit, der Wind- und Wolkenverhältnisse um 7^ha, 2^hp und 9^hp der Ortszeit sowie ausserdem, dem internationalen Programme gemäss, um 0^hp G. M. Z. vorgenommen. Abgesehen von unserem Aufenthalte in Buenos-Aircs vom 15.—21. Dez. 1901 wurden die meteorologischen Arbeiten nach diesem Programm bis zum Tage unserer Landung auf Snow-Hill, dem 14. Febr. 1902, fortgesetzt.

An diesen Arbeiten beteiligten sich ausser dem Verfasser der Leutnant S. A. DUSE, der Kandidat K. A. ANDERSSON und der Leutnant J. M. SOBRAL. Als ich am 14. Februar 1902 mit der Ueberwinterungsabteilung die »Antarctic« verliess, übernahm Leutnant DUSE die Leitung der meteorologischen Arbeiten an Bord des Schiffes und behielt dieselbe bis zum 29. Dez. 1902, wo er nebst dem Dozenten

* Vom 2. Dez. 1901—12. Febr. 1903 war auf der »Antarctic« ununterbrochen ein Barograph in Tätigkeit.

1537/07. Schwedische Südpolar-Expedition 1901—1903. II: 2.

MAY 29 1933

J. G. ANDERSSON und dem Matrosen GRUNDEN bei der »Hoffnungsbucht« landete, um der Snow-Hill-Abteilung Entsatz zu bringen.

Leiter der meteorologischen Beobachtungen an Bord des Schiffes war von nun an bis zum 12. Febr. 1903, an welchem Tage die »Antarctic« unterging, K. A. ANDERSSON. Nachdem sich die Schiffsbesatzung nach schweren Strapazen auf die Pauletinsel gerettet hatte, wurden auch hier nach derselben Zeiteinteilung wie auf dem Schiffe die meteorologischen Arbeiten von K. A. ANDERSSON und C. J. SKOTTSBERG fortgesetzt. Infolge der dürftigen und minimalen Ausrüstung mit Instrumenten beschränkten sich diese Arbeiten jedoch auf Beobachtungen der Temperatur sowie der Wind- und Wolkenverhältnisse.*

Die von der Winterstationsabteilung auf Snow-Hill ausgeführten Arbeiten mitgerechnet liegt daher folgendes Beobachtungsmaterial von der Expedition vor:

a. *Beobachtungen an Bord der »Antarctic« in der Zeit vom 2. Dez. 1901—12. Febr. 1903.*

b. *Die Beobachtungen von der Pauletinsel in der Zeit von März 1903—Nov. 1903, die zwar, wie oben angedeutet, recht knapp, aber als Vergleichsmaterial mit dem Snow-Hill-Klima von ziemlich hohem Interesse sind.*

c. *Die Beobachtungen von der Snow-Hill-Insel, welche die Zeit vom 1. März 1902—7. Nov. 1903 umfassen, und die teilweise bearbeitet in vorliegendem Teile dargelegt werden.*

Eine eingehendere Bearbeitung dieser Ergebnisse sowie Windrosen und eine Reihe authentischer Registrierungskurven zur Beleuchtung des Snow-Hill eigentümlichen Wittertypus wird ebenso wie die »Antarctic«- und »Paulet«-Beobachtungen in einem späteren Teile veröffentlicht werden.

Indem ich nun den ersten Teil der meteorologischen Ergebnisse der schwedischen Südpolarexpedition der Öffentlichkeit übergebe, ist es mir eine angenehme Pflicht, gleichzeitig meinen Arbeitsgefährten, in erster Reihe Herrn Leutnant SOBRAL, der ohne jemals müde zu werden sich mit mir in die Snow-Hillarbeit geteilt hat, alsdann den Herrn Prof. NORDENSKJÖLD und Dr. EKELÖF, die auch ihre Ruhe und ihren Schlaf zum Opfer brachten, um bei den nächtlichen Beobachtungen zu helfen, meinen Dank auszusprechen. Auch den Herrn Kapitän DUSE, Dr. K. A. ANDERSSON und Dr. SKOTTSBERG danke ich für die Gewissenhaftigkeit, mit der sie die Wetterbeobachtungen an Bord des Schiffes und nachher auf der Pauletinsel ausgeführt haben. Schliesslich will ich auch die Gelegenheit benutzen und meiner Frau innigst danken für die unschätzbare Hilfe, die sie mir bei dem mühsamen und anstrengenden Korrekturlesen der grossen Masse von Tabellen geleistet hat.

* Mit Hilfe eines Aneroidbarometers wurde zwar auch der Luftdruck beobachtet; diese Beobachtungen sind aber nahezu wertlos, da das Barometer viel zu wünschen übrig liess.

Die Lage der Snow-Hill-Station.

Die astronomische Lage von Snow-Hill wurde vermittelt astronomischer Messungen mit Sextant und Passageinstrument bestimmt:

Breite = $64^{\circ} 21' 54''$ S.

Länge = $56^{\circ} 59' 45''$ W = $3^{\text{st}} 47^{\text{m}} 59^{\text{s}}$.

Die meteorologische Lage der Station liess jedoch viel zu wünschen übrig. Sie lag nämlich keineswegs so frei und offen, dass die Beobachtungen als vollgültige Exponenten für die klimatischen Verhältnisse jener Gegend angesehen werden können.

Ein Blick auf die Karte zeigt, dass unsere Station auf dem östlichen Teile jener Landstrecke lag, die unter dem Namen König Oskar II Land und Grahamland in der Richtung von SW nach NE sich aus der Antarktis nach dem südamerikanischen Kontinent zu erhebt. Die Lage war also im grossen betrachtet offen nach NE—SE—SW, also nach der Ostseite hin. Nach Westen wiederum war die Gegend von einer relativ hohen Bergkette (1000—2000 m hoch) begrenzt, einem Gebirgszuge, der ja schon seinerseits dazu beiträgt, die meteorologischen Elemente einer Gegend zu verschieben. Bei näherer Detailuntersuchung der Lage ersieht man, dass die Station sich auf jener Seite der Snow-Hill-Insel befindet, die nach dem Admiraltätssund, d. h. nach NW zu liegt. Bei einer solchen Lage befand sich die Station wie in einem Trichter mit der Röhre nach SW. und der Mündung nach NE., die eine Seite wurde also von der hohen Ross-Insel und dem ungefähr 2000 m hohen Haddingtonberge gebildet und die andere Seite von unserer eigenen Insel Snow-Hill und ihrer Fortsetzung, der Seymour-Insel, die beide 100—150 m hoch sind.

Aber mit diesem grossen Trichter war es noch nicht abgetan; in ganz unmittelbarer Nähe der Station bildete die Landeskonfiguration einen ähnlichen Trichter, der dieselbe Richtung wie der grosse hatte. Die eine Seite, die östliche, wurde von der ziemlich steil abfallenden, ungefähr 150 m hohen Küste von Snow-Hill gebildet, die andere, die westliche, war eine auf dem äussersten Uferstreifen zwischen der Station und dem Meere hinziehende Gletscherzunge mit abschüssigen Wänden, die sich bis zu einer Höhe von 25—30 m erhoben. (Pl. I.)

Wenn auch eine derartige meteorologische Lage auf die meteorologischen Elemente im allgemeinen keine so grosse Einwirkung ausübt, so ist doch natürlich ihr Einfluss auf die Winde, die Richtung und Stärke derselben ein wesentlicher; doch darauf werde ich bei dem Kapitel über die Winde näher eingehen.

Nach den verschiedenen Himmelsrichtungen wurde die Station also in folgender Weise begrenzt. In der Richtung NE—WSW lag der Admiraltätssund, der während der Zeit vom 5. Mai 1902—7. Nov. 1903 mit Eis bedeckt war. Am Horizont nach NNE erhob sich die Insel Cockburn, ungefähr 400 m hoch und 18 km von Snow-Hill entfernt. Im N—WSW wurde der Admiraltätssund von der Rossinsel begrenzt,

der Sund war jedoch überall in runder Zahl 2 Meilen breit und wurde nur nach SW etwas schmaler. SW—S von der Station lag der 100—250 m hohe, gletscherbedeckte südwestliche Teil von Snow-Hill; nur an einigen Stellen ragten einzelne Nunataks aus dem Gletscher hervor. SSW—S—E von der Station in ihrer unmittelbaren Nähe erhob sich das Snow-Hill-Plateau bis zu einer Höhe* von 100 à 150 m, das praktisch genommen gletscher- und das ganze Jahr hindurch schneefrei war. In einer Breite von einigen Kilometern fiel dasselbe auf der SE-Seite steil ins Meer hinab.

Programm und Verteilung der Arbeit.

Wie vorher erwähnt landete die Ueberwinterungsabteilung 6 Mann stark am 14. Febr. 1902 auf der Insel Snow-Hill. Mit aller Kraft machten wir uns sofort an die Arbeit, unser künftiges Wohnhaus unter Dach zu bringen. Während dieser Zeit, der ersten Woche, wohnten wir in dem provisorisch aufgestellten und nur notdürftig zusammengenagelten späteren Magnethaus. Die meisten meteorologischen Instrumente lagen noch in ihren Kasten, aber einen Teil von ihnen wie den Barographen, die Barometer und auch die Chronometer hatten wir in einer Ecke der Magnethütte unter Pelzdecken verwahrt. In der Nacht auf den 20. Februar erlebten wir den ersten Sturm, dessen Stärke wir auf ungefähr 19 m in der Sekunde schätzten. Er schüttelte und riss an unserem Magnethaus und hob schliesslich das Dach ab, das er einige 10 m weit wegschleuderte mit dem Resultat natürlich, dass alsdann die Wände zu einem wüsten Ducheinander umgeweht wurden. Glücklicherweise war jedoch die Beschädigung der Instrumente keine so schwere, wie man sie hätte erwarten können, nur ein einziges wurde nämlich beschädigt, ein Barometer Turretini N:o 31, das vollständig unbrauchbar gemacht wurde. Noch eine Woche oder bis zum 1. März ungefähr waren wir mit Auspenden und dem Einrichten unseres Wohnhauses beschäftigt. Erst am 1. März 1902 beginnt die meteorologische Arbeit, in geringem Umfange anfangs, aber nach und nach immer mehr erweitert. Am 1. März wird der Barograph in Gang gesetzt, und tags darauf sind Thermograph, Hygrometer, Psychrometer und die Thermometer in ihren Häuschen untergebracht. Am 2. März beginnt der Anemometer seine Registrierung der Windgeschwindigkeit. Noch eine Woche vergeht mit Vorbereitungsarbeiten für den kommenden Winter — das Magnethaus mit seinen gemauerten Pfeilern sollte errichtet, ein astronomisches Observatorium für das Passageinstrument erbaut werden —, so dass, abgesehen von den sich selbst registrierenden Erscheinungen, erst seit dem 9. März regelmässige Beobachtungen stattfinden. Am 22. März beginnt der Apparat zur Registrierung des Sonnenscheins seine Tätigkeit. Am 29. März gerät infolge von Sturmbeschädigung

* Ueber dem Plateau auf der Westseite erhob sich ein Basaltfelsen, der Basaltgipfel genannt, bis zu einer Höhe von ungefähr 175 m, der nach Osten hin sanft abfiel.

der registrierende Anemometer in Unordnung, weshalb besondere Nachtwachen eingerichtet werden müssen, um mit Hilfe des Handanemometers die Windgeschwindigkeit zu bestimmen. Anfang April beginnen wir häufigere Notizen vom Wetter im allgemeinen zu machen z. B. von der Richtung der Wolken und des Windes. Jedoch beschränkte sich selbst am 11. April die gewöhnliche Arbeit auf Tagesbeobachtungen d. h. von 7^{ha}—9^{hp} mit den festen Ablesungsstunden 7^{ha}, 2^{hp}, 9^{hp} und 8^{ba} der Ortszeit, bis auf einen Unterschied von 12 Minuten entspricht letztere Stunde 0^{hp} G. M. Z. Auch am 11. April teilte ich mich mit SOBRAL in diese Arbeit, so dass jeder von uns jeden zweiten Tag, wenn die Reihe an ihn kam, die Beobachtungen anstellte.

Am 12. April waren jedoch die äusseren und inneren Einrichtungsarbeiten unseres Wohnhauses so weit gediehen, dass wir unsere Beobachtungen Tag und Nacht anstellen konnten. Eine derartige Tätigkeit war natürlich für nur 2 Personen zu anstrengend, weshalb die Nachtarbeit, d. h. 10^{hp}—6^{ba}, unter die 4 Gelehrten NORDENSKJÖLD, EKELÖF, SOBRAL und BODMAN verteilt wurde. Diese Nachtarbeit wurde zu den verschiedenen Zeiten nach folgenden Angaben ausgeführt.

12. April 1902—12. Juni 1902. Mit einigen wenigen Ausnahmen wurde während dieser Zeit die Arbeit zu gleichen Teilen unter den Vieren verteilt, so dass die Nachtzeit für jeden wie folgt eingeteilt wurde:

in der ersten Nacht: die Wache von 10^{hp}—2^{ba},

in der zweiten Nacht: frei,

in der dritten Nacht: die Wache von 4^{ba}—6^{ba},

in der vierten Nacht: frei,

in der fünften Nacht: wie in der ersten u. s. w

Die Beobachtungen wurden also mit Ausnahme von 3^{ba} zu allen Tages- und Nachtstunden abgelesen, und das wurde in dieser Weise bis zum 13. Juni 1902 fortgesetzt.

13. Juni 1902—12. Juli 1902. An diesem Tage nahm eine Reihe von Gezeitenbeobachtungen ihren Anfang, die ohne Unterbrechung und daher auch um 3^{ba} angestellt werden sollten. Da durch die zuweilen geradezu gefährlichen und sehr aufreibenden Touren nach dem Flutmast hinaus die Arbeit viel anstrengender wurde, wurde in diesem Monat, wo die Gezeitenbeobachtungen stattfanden, auch die Hilfe der beiden übrigen Teilnehmer der Ueberwinterungsabteilung, der Matrosen JONASEN und ÅKERLUNDH in Anspruch genommen, die wir auch mit Leichtigkeit für den meteorologischen Nachtdienst instruierten. Die Nachtarbeit wurde von nun an nach einem andern Schema ausgeführt, da es sich als vorteilhafter erwies, dass einer die gesamte Nachtwache übernahm. Wir obengenannten Vier und JONASEN übernahmen nun die Wache abwechselnd, so dass jeder von uns jede fünfte Nacht, d. h. von 10^{hp}—5^{ba}, die Observationen besorgte. Die Beobachtungen um 6^{ba} hatte täglich ÅKERLUNDH auszuführen, da er ja so wie so ziemlich zeitig aufstehen musste, um den Herd anzuzünden und das Frühstück fertig zu stellen.

13. Juli 1902—30. Sept. 1902. Am 13. Juli schlossen wir die Gezeitbeobachtungen ab und begannen nun die Observationstätigkeit aufs neue nach demselben Programm wie vor dem 13. Juli mit Wachen von 10^hp—2^ha und von 4^ha—6^ha, in welche sich die vier Gelehrten teilten. In dieser Weise wurde die Arbeit bis zum 30. Sept. 1902 fortgesetzt.

30. Sept. 1902—5. Nov. 1902. An diesem Tage machte sich eine Schlittenexpedition, die aus 3 Personen, NORDENSKJÖLD, SOBRAL und JONASEN bestand, auf den Weg nach Süden und überliess die Arbeit bei der Station den drei zurückbleibenden EKELÖF, ÅKERLUNDH und BODMAN. Natürlich mussten nun die nächtlichen Beobachtungen eingeschränkt werden. Alle drei sollten sich zu gleichen Teilen an der Arbeit beteiligen und wurde dieselbe in folgender Weise verteilt. Zur ersten Wache gehörte die Zeit von 10^hp—12^hp sowie 3^ha, zur zweiten Wache die Zeit von 6^ha—8^ha. Jeder einzelne von uns hatte daher

in der ersten Nacht: die Wache von 10^hp—12^hp und 3^ha,

in der zweiten Nacht: die Wache von 6^ha—8^ha,

in der dritten Nacht: frei,

in der vierten Nacht: wie in der ersten u. s. w.

Während der Zeit vom 1. Okt.—5. Nov., dem Tage, wo die Schlittenexpedition zurückkehrte, wurden also in den Stunden 1^ha, 2^ha, 4^ha und 5^ha in der Regel keine Beobachtungen angestellt. Da jedoch der Oktober ein sogenannter Magnetmonat war, d. h. ein Monat mit ausgedehnteren Beobachtungen der magnetischen Variationsinstrumente, liegen doch 9 vollständige meteorologische Tage vor.

5. Nov. 1902—8. Nov. 1903. Vom 5. Nov. 1902 bis zu unserem Aufbruch am 8. Nov. 1903 wurde die Arbeit nach demselben Programm fortgesetzt mit nur geringen Abweichungen für die Zeiten, wo kürzere Schlittenexpeditionen gemacht wurden. Die Beobachtungen um 2^ha und 4^ha liessen wir fallen und teilten die Arbeit zwischen uns 4 Gelehrten so zu gleichen Teilen, dass die erste Wache die Zeit von 10^hp—1^ha und 3^ha umfasste, die 2. Wache die Zeit von 5^ha—8^ha. Dass wir 2 Beobachtungsstunden fallen liessen, hatte u. a. seinen Grund darin, dass unser Vorrat an Brennmaterial es uns im zweiten Winter nicht gestattete, bis tief in die Nacht hinein das Feuer anzuhalten. Die schnell sinkende Temperatur war deshalb für den, der die Wache hatte, recht fühlbar. Da jedoch Luftdruck, Temperatur und Windgeschwindigkeit (wie auch Feuchtigkeit) ununterbrochen registriert wurden, waren diese Lücken in den Beobachtungsreihen nur für die Windrichtung sowie für die Wolken- und Hydrometerbeobachtungen von Bedeutung. Windrichtung und Bewölkung habe ich deshalb interpoliert und hat diese Interpolation, wie ich glaube, ziemlich grosse Wahrscheinlichkeit für sich, da ja das Wetter in diesen Gegenden, sobald sich die Windgeschwindigkeit auf demselben Höhegrad hielt, so beständig war.

Der Luftdruck.

Zur Messung des Luftdrucks nahmen wir zwei Quecksilberbarometer Turretini N:o 21 und Adie N:o 1905 und ausserdem einen selbstregistrierenden Barograph Richard N:o 23961 mit ans Land.

Wie schon oben erwähnt kam von beiden ersteren nur Adie N:o 1905 zur Anwendung, da Turretini N:o 31 schon in der ersten Woche unseres Landaufenthaltes unbrauchbar wurde. Richard N:o 23961 war für 7-tägigen Gang konstruiert und verzeichnete auf dem Papier einen Ausschlag von 1 mm bei einer Luftdrucksveränderung von 1 mm.

Von diesen beiden in brauchbarem Zustand befindlichen Apparaten wurde der Barograph am 1. März 1902 in Tätigkeit gesetzt, während die Ablesung des Barometers erst am 10. März begann.

Bei Polarexpeditionen ist nun besonders die Placierung des Quecksilberbarometers eine recht schwierige Geschichte, da man ihn ja so viel wie möglich gegen allzu plötzlichen Temperaturwechsel schützen muss; denn bei einem solchen kann man ja nicht erwarten, dass das Barometerquecksilber mit dem Barometerthermometer gleichen Schritt hält. Um den Barometer vor solchen schädlichen schnellen Temperaturveränderungen zu schützen, brachte ich ihn in einem der Schlafzimmer an, wo er also weder der Wärmeausstrahlung des Herdes noch der des Kamins ausgesetzt war. Er wurde in der Nähe des Fensters aufgehängt, musste jedoch in den Sommermonaten durch eine angebrachte Gardine vor den Sonnenstrahlen in den frühesten Morgenstunden geschützt werden. Obwohl wir also, so weit es auf uns ankam, alles versuchten, um das Instrument vor heftigen Temperaturumschlägen zu schützen, konnten wir doch die ziemlich grossen Temperaturunterschiede, die im Hause zwischen Morgen, Mittag und Abend herrschten und die für die Wohnhäuser der Polarexpeditionen kennzeichnend sind, nicht vermeiden.

Der Barograph hing in der ersten Woche neben dem Barometer, aber während der Zeit vom 22. März 1902—4. Sept. 1902 stand er auf einem Regal in unserem »Versammlungszimmer«, da ja die Barographkurven ein mehr als gewöhnliches allgemeines Interesse hatten. Am 4. Sept. 1902 wurde er wieder an seinem alten Platz neben dem Barometer aufgehängt, wo er alsdann bis zu unserer Abreise am 8. Nov. 1903 verblieb.

Um die Zahlen der Tab. I zu erhalten, wurden diese beiden Instrumente in folgender Weise benutzt. Jeden Tag um 7^ha, 8^ha (= 0^hp G. M. Z.), 2^hp und 9^hp wurde der Quecksilberbarometer und seine Temperatur abgelesen, gleichzeitig auch der Barograph, worauf mit dem Barographstift auf dem Papier ein senkrechter Strich gezogen wurde, um bei späteren Ablesungen die nötige Kontrolle über den Gang

der Barographenuhr zu haben. Auf Grund der Beobachtungen am Quecksilberbarometer rechnete ich den auf 0° reduzierten Luftdruck aus, wonach die Korrektion des Instrumentes angebracht wurde. Mit diesen korrigierten, auf 0° reduzierten Luftdruckswerten verglich ich alsdann die gleichzeitig abgelesenen Barographzahlen. Da jedes Barographpapier eine Woche umfasste, erhielt ich auf diese Weise 28 Vergleiche oder Korrekturen. Im allgemeinen unterschieden sich diese äusserst wenig von einander, deshalb habe ich für jedes Papier das Mittel sämtlicher 28 Korrekturen genommen und alsdann auf die Kurve der ganzen Woche die so erhaltene Mittelkorrektion angewandt.

Was die Barographkurven angeht, so ist zu bemerken, dass sich dieselben zuweilen durch ihre Dicke oder Breite recht deutlich von den Netzen und scharfen Linien unterschieden, wie man sie von einem erstklassigen Observatorium zu sehen gewohnt ist. Da es sich schon von vornherein zeigte, dass diese breiten Linien, die oft eine Breite von $0,5$ — $0,8$ mm hatten, mit den schwersten Stürmen zusammenfielen, kam ich auf die Vermutung, dass der Grund hierfür in den mechanischen Erschütterungen des Hauses selbst zu suchen sei, die sich alsdann auf den Barographen fortpflanzten. Diese Annahme stellte sich jedoch als unrichtig heraus, denn obwohl ich die sorgfältigsten Massnahmen für den Standort des Instrumentes traf, wurden die Linien weder schmaler noch schärfer. Bei genauer Betrachtung des Barographenstiftes fand ich jedoch bald heraus, dass diese scheinbar mangelhafte Schärfe des Instrumentes in Wirklichkeit darauf beruhte, dass dasselbe bei seiner Empfindlichkeit augenblicklich auf die verschiedenen Windstösse reagierte, so dass die Stiftspitze bald an der unteren bald an der oberen Kante der vorgezeichneten Linie stand.*

Beim Ablesen solcher breiten Linien habe ich das Mittel ihres obersten und untersten Randes genommen.

Was die Sicherheit oder Genauigkeit der angegebenen Barometerzahlen betrifft, so beruht dieselbe ja ausser auf der Ablesung selbst auch auf der eigenen Beschaffenheit des zur Anwendung gekommenen Standardinstrumentes. Unser Quecksilberbarometer Adie N:o 1905 wurde vor der Abreise von Dr. M. JANSSON mit dem Barometer der meteorologischen Anstalt zu Upsala verglichen, und dasselbe geschah auch mit den beiden anderen Barometern Turretini N:o 31 und Adic N:o 493 (letzterer war während der ganzen Zeit an Bord des Schiffes stationiert).

Bei unserer Heimreise Ende des Jahres 1903 war von diesen drei Barometern nur noch der auf Snow-Hill benutzte Adie N:o 1905 übrig, deshalb war es von Wichtigkeit, diesen so bald als möglich zu vergleichen. Zu diesem Zwecke landeten wir am 18. Nov. 1903 auf der Neujahrsinsel (Staateninsel), wo Argentinien ja eine erstklassige meteorologische Station errichtet hatte. Bis zur Landung war der Baro-

* Diese Stösse konnte man auch leicht ausserhalb des Hauses mit Hilfe des Aneroidbarometers wahrnehmen, dessen Zeiger hin- und herging.

meter in gutem Zustand, aber während des Transportes ans Land wurde er trotz der erteilten nötigen Instruktionen unvorsichtig behandelt, und konnte deshalb leider kein Vergleich angestellt werden. Das Einzige, was ich tun konnte, war also das, dass ich für die ganze Zeit die Korrektion anbrachte, die im Sommer 1901 für diesen Barometer festgestellt worden war.

Die Aufstellung der Tabelle I bedarf keiner besonderen Erklärung. Die Barometerzahlen geben den auf 0° reduzierten Luftdruck an; ich habe sie aber weder für die Höhe über dem Meeresspiegel noch für den Breitengrad des Ortes korrigiert. In jeder Abteilung findet man jedoch eine kleine Zusammenstellung von Zahlen, mit deren Hilfe man für die einzelnen Fälle leicht eine derartige Reduktion vornehmen kann, und will ich dies an einem Beispiel veranschaulichen. Gesetzt der auf 0° Meeresspiegel und den 45. Breitengrad reduzierte Luftdruck, der am 2. Mai 1902 um 1 Uhr Nachm. auf Snow-Hill geherrscht hat, werde gesucht; die betreffende Stunde hat die Zahl 753,2; für einen zwischen 749,81 und 755,98 beobachteten Druck gilt eine Korrektion = + 1,22 mm, daher ist der gesuchte reduzierte Druck = 754,4. Wie man sieht, kann man für die einzelnen Fälle, wo es sich nur um Durchschnittswerte handelt, die Korrektion + 1,2 mm als gültige runde Zahl benutzen.

Die Lufttemperatur.

Zur Bestimmung der Lufttemperatur führten wir mit

1. zwei Richardsche selbstregistrierende Thermographen N:o 25641 und N:o 25636,
2. einen Assmannschen Aspirationspsychrometer mit den zugehörigen Quecksilber- und Alkoholthermometern,
3. einige Maximum- und Minimumthermometer von FUESS in Berlin und
4. schliesslich eine ziemlich grosse Sammlung von Thermometern von RUDOLF GRAVE in Stockholm.

Letztere, die von + 50° à + 30° bis — 40° eingeteilt waren, waren von ziemlich grossem Schlage und ungefähr 30 cm lang. Dies hatte den Vorteil mit sich, dass der grosse Abstand zwischen den Teilstrichen ein schnelles, aber doch genaues Ablesen gestattete. Mit einem gewöhnlichen Thermometer wäre dies bei unserm stürmischen Wettertypus geradezu unmöglich gewesen, ohne dass im Dunkeln die Wärmeausstrahlung der Beobachtungslanterne auf den Thermometer eingewirkt hätte. Diese Graveschen Thermometer waren zum Teil in ganze, zum Teil in halbe Grade eingeteilt.

Vor unserer Ausreise nahm ich die Nullpunktsbestimmungen für sämtliche Thermometer vor. Während unseres Aufenthaltes auf Snow-Hill wurde dies wiederholt, ausserdem wurden ab und zu Vergleiche angestellt mit den feineren Assmann-

schen Thermometern, deren Korrekptionsbescheinigungen von der Reichsanstalt in Berlin beigefügt waren. Eine Nullpunktsbestimmung, die 1904 an den glücklich mit nach Hause gebrachten Thermometern vorgenommen wurde, gab uns die letzte nötige Kontrolle.

Zur Benutzung dieser thermischen Instrumente wurden zwei Thermometerhäuschen (Taf. II) mit Wänden aus rechtwinkligen Schindeln errichtet. Beide wurden im astronomischen Norden und Süden aufgestellt, so dass also die Tür des Häuschens sich nach Süden d. h. nach der Schattenseite zu öffnete. Das kleinere wurde auf vier Pfähle gestellt und ausserdem durch Stützen verstärkt, damit es nicht von den schweren Stürmen umgeweht würde. In ihm wurden 4 Thermometer in waagrechter Stellung placiert. Da sich der Fussboden des Thermometerhäuschens nur 73 cm über der Erde befand, war die Höhe der verschiedenen Thermometerkugeln über der Erde folgende:

des Luftthermometers	= 106 cm	über der Erde
des Minimumthermometers	= 94 cm	» » »
des Maximumthermometers	= 88 cm	» » »
des Psychrometerthermometers	= 82 cm	» » »

Für die Richardschen Registrierapparate hatten wir ein zweites Häuschen, das grösser als das vorhererwähnte und ebenfalls mit Schindelwänden versehen war, bei uns. Es wurde auf zwei mit Steinen gefüllten Tonnen errichtet, musste aber ebenfalls noch durch Stützen und Stage gefestigt werden. Das Häuschen hatte folgende Dimensionen:

Höhe	= 79 cm,
Breite, in der Richtung von Osten nach Westen	= 82 cm,
Tiefe, in der Richtung von Norden nach Süden	= 51 cm.

Der Fussboden des Häuschens befand sich 87 cm über der Erde; im Innern war es durch zwei schmale, etwa 6 cm breite Latten in zwei Stockwerke geteilt. Im untersten d. h. auf dem Fussboden stand ein Richardscher Hygrometer mit Haaren 108 cm über der Erde und über diesem auf den ebenerwähnten Latten der Thermograph mit Behälter, 133 cm über der Erde.

Die Thermographen waren von der grösseren Sorte, so dass eine Temperaturveränderung von 1° am Thermographen einen Ausschlag von 3 mm erzeugte; der Zylinder drehte sich in 7 Tagen einmal herum. Was die Installation des Thermographen betrifft, so ist zu bemerken, dass ich den Behälter nicht mit dem gewöhnlichen Drahtgeflecht umgab, denn gleich von vornherein zeigte es sich, dass in dieser Schutzhülle bei den Schneestürmen eine solche relative Ruhe herrschte, dass sich das Geflecht recht bald mit Schnee füllte. Gegen einen solchen Übelstand gab es

keine andere Abhilfe als den Behälter ganz einfach von diesem Schutze zu befreien. Hierdurch wurde zwar das Risiko beim Transport der Apparate an jedem Montagmorgen behufs Erneuerung des Papiers vergrößert, und eine Folge hiervon war es auch, dass der Thermograph beim Transport während des Sturmes vom 20. Juli 1902 durch einen Stoss gegen den Behälter unbrauchbar wurde. Es war dies der Thermograph N:o 25641, der also vom 2. März 1902—20. Juli 1902 in Tätigkeit gewesen war. Da wir glücklicherweise einen andern N:o 25636 in Reserve hatten, trat dieser unmittelbar in Tätigkeit und fungierte bis incl. den 8. Nov. 1903. Im allgemeinen arbeiteten die Thermographen, ohne dass etwas auszusetzen war; doch kam es ab und zu vor, dass das Uhrwerk infolge von Schneemassen, die sich um seine vertikale Achse dicht aufschichteten, in Unordnung geriet, und daher ist zuweilen, besonders an Sturmtagen, die Thermometerkurve nicht au niveau mit den Stundenstrichen.

Die Zahlen in Tab. II erhielt ich aus den Thermographenpapieren, indem ich ihre Werte mit Hilfe von Korrekturen in normale reduzierte. Um zu diesen Korrekturen zu kommen, verfuhr ich in analoger Weise wie bei der Entzifferung des Barographen. Zu diesem Zwecke wurde um 7^ha, 8^ha, 2^hp und 9^hp der Thermometer in dem kleinen und der im grösseren Häuschen abgelesen und ausserdem auf dem Thermographenpapier das Stundenzeichen vermerkt; ferner wurde um 7^ha der Maximumthermometer und um 2^hp der Minimumthermometer abgelesen. Aus den Vergleichen zwischen den Ergebnissen des Thermometers und des Thermographen erhielt ich auf diese Weise für jeden Tag 6 Korrektionswerte. Indem ich nun für jedes Papier den Durchschnitt aller dieser 42 Vergleiche nahm, erhielt ich eine Durchschnittskorrektion, eine Wochenkorrektion, die ich alsdann auf das Papier der ganzen Woche anwandte. Während der kalten Jahreszeit — 10 Monaten von 12 — erwies sich dies Verfahren mit einer gemeinsamen Wochenkorrektion als voll berechtigt, da die verschiedenen Korrektionswerte nur zufällig grössere Abweichungen vom Mittel aufwiesen. In den Monaten Dezember und Januar stellten sich jedoch bei dieser Art der Handhabung der Korrektionszahlen gewisse Schwierigkeiten heraus, denn die Abweichungen zeigten eine Regelmässigkeit, die darauf hindeutete, dass die Korrektion von der Höhe der Sonne über dem Horizont abhängig sei. Dies findet ja auch seine ziemlich wahrscheinliche Erklärung darin, dass der Thermometer und der Thermograph in verschiedenen Abständen von der Erde standen, so dass also der Thermograph als der höher stehende sozusagen dem Wirkungskreis der Wärmeausstrahlung, die von der durch die Sommerisolation stark erhitzten Erde ausging, mehr entrückt war.

Es stellte sich jedoch heraus, dass, wenn ich das eine Mal die Thermographenkurve mit ein und derselben Durchschnittskorrektion für die ganze Woche ausdrückte und das andere Mal mit einer variierenden Korrektion, die wöchentlichen Mitteltemperaturen in beiden Fällen völlig gleich waren. Deshalb habe ich auch für die Monate

Dezember und Januar die erste Methode mit konstanter Wochenkorrektion benutzt. Für die genannten Sommermonate hat dies Verfahren zur Folge, dass die tägliche Amplitude vielleicht etwas geringer ist, als dies bei einem direkten Ablesen des Thermometers in dem kleinen Häuschen der Fall gewesen wäre.

Da es hier und da vorkam, dass das Uhrwerk des Thermographen stehen blieb und aus dem einen oder anderen Grunde nicht unmittelbar wieder in Gang gesetzt werden konnte, nahmen wir jede oder jede zweite Stunde direkte Ablesungen an dem Luftthermometer des kleinen Häuschens vor. Falls eine solche Unterbrechung der Temperaturregistrierung einmal vorkam, aber erst mehrere Stunden nachher bemerkt wurde, habe ich die Temperatur interpoliert, indem ich dabei annahm, dass sie sich proportional mit der Zeit verändert habe.

Was die Kontrollierungen des trocknen Thermometers angeht, so habe ich solche wie oben erwähnt teils durch Nullpunktsfeststellung, teils unter Anwendung der feinen Assmannschen Thermometer durch Kältemischungen und teils unter Benutzung des Assmannschen Aspirationspsychrometers in üblicher Weise vorgenommen. Ich will jedoch besonders betonen, dass diese letzte Art Vergleiche, wenigstens wenn es sich um -20° oder darunter handelte, stets eine Reihe Schwierigkeiten darbot, die auf dem Snow-Hill herrschenden Wittertypus beruhten. Die konstantesten Temperaturen — die ja bei einem solchen Vergleich von grösstem Vorteil sind —, hatten wir bei unseren schweren Stürmen zu verzeichnen, bei denen die tägliche Amplitude oft nicht mehr als einen oder zwei Grade betrug,* aber bei einem solchen Wetter lohnte sich ein Versuch, den Assmannschen Thermometer mit seiner feinen Quecksilbersäule in zufriedenstellender Weise auszunutzen, nicht der Mühe und der Unannehmlichkeit. Trat Ruhe ein, so folgten mit der Ruhe gewöhnlich besonders schnelle Temperaturveränderungen. Bei solchen Variationen Vergleiche mit diesem Instrument anzustellen, war geradezu völlig wertlos, vor allem infolge der verschiedenen thermischen Trägheit der Instrumente: auf der einen Seite des Assmannschen Thermometers mit einer Luftzirkulation von 2,5 m in der Sekunde, auf der anderen des in relativer Ruhe befindlichen Thermometers und Thermographen.

Die Frage dieser verschiedenen Anpassungs- oder Akkommodationsschnelligkeit für verschiedene Thermometer, "Term of Cooling", ist ja auch im "Antarctic Manual" von BUCHANAN erörtert worden, der dasselbst nachwies, wie selten es in Wirklichkeit sein müsse, dass zwei an einem ruhigen Orte (in einem Thermometerhäuschen) aufgestellte Thermometer in ihren Resultaten übereinstimmen, falls sie nicht identische Dimensionen haben. Deshalb habe ich auch das grösste Gewicht auf die Vergleiche gelegt, die mit Kältemischungen oder Nullpunktsbestimmungen vorgenommen worden sind.

* Als Beispiel will ich den Sturm während der 4 Tage 2.—5. Juni 1902 anführen, bei dem die Temperatur nur zwischen $-25,6^{\circ}$ und $-28,6^{\circ}$ schwankte, also eine Amplitude = $2,6^{\circ}$.

Zum Verständnis der Tab. II bedarf es wohl keiner Erklärungen. Die Temperatur ist natürlich in Celsiusgraden angegeben. Die Zeit für die Maximum- und die Minimumtemperatur ist der Thermographenkurve entnommen.

Die Feuchtigkeit.

In Tab. III ist die Feuchtigkeit teils als absoluter Feuchtigkeitsdruck teils als relative Feuchtigkeit angegeben. Die Werte sind aus den Beobachtungen des im kleinen Thermometerhäuschen aufgestellten Psychrometers berechnet, die im ersten Jahre um 7^ha, 8^ha, 2^hp und 9^hp gemacht wurden, von Anfang April 1903 aber nur um 7^ha, 2^hp und 9^hp. Der feuchte Thermometer wurde im allgemeinen 30 à 45 Minuten vor dem Ablesen angefeuchtet, damit er Zeit habe, den endgültigen Wert anzunehmen, was infolge von Überkältungserscheinungen ziemlich lange dauern konnte. Dieser Thermometer sowohl wie auch der trockne Thermometer waren in halbe Grade eingeteilt und gestatteten also eine Abschätzung von zwanzigstel Graden. Da aber bei Temperaturen unter -10° à -20° der Temperaturunterschied des Psychrometers im allgemeinen nur einige Zehntelgrade beträgt, hat der wahrscheinliche oder mögliche Fehler beim Ablesen einen solchen Einfluss auf die berechneten Endwerte, dass ihre Gewissheit manches zu wünschen übrig lässt. Ich glaube deshalb nicht berechtigt zu sein, beim Feuchtigkeitsdruck mehr als eine Dezimalstelle anzugeben, ebenso habe ich, wo es sich um die relative Feuchtigkeit handelt, Dezimalstellen überhaupt fallen lassen.

Wie ich schon im vorigen Kapitel angedeutet habe, hatten wir auch ein Richard'sches Haarhygrometer No 23021, dessen Grösse der des Thermographen entsprach, das also Papier für einen siebentägigen Gang enthielt. Ich stellte dasselbe im grösseren Thermometerhäuschen auf, musste mit ihm aber ebenfalls dieselben Vorsichts-massregeln treffen wie mit dem Thermographen und die um das Haarbüschel befindliche Drahtumhüllung entfernen. Hier wie auch beim Thermographen hatte diese Umhüllung nur eine Schneeanhäufung um die empfindlicheren Apparateile zur Folge. Der Hygrometer war die ganze Zeit vom 2. März 1902 bis zum 7. Nov. 1903 incl. in Tätigkeit, aber dennoch habe ich es nicht für der Mühe wert gehalten, diese Kurven zu entziffern, denn die Ergebnisse bei den niedrigen Temperaturen, um die es sich hier handelt, scheinen mir bei weitem nicht so sicher zu sein, dass es sich der Mühe verlohnt, eine solche Entzifferung vorzunehmen. Vielleicht finde ich in einem späteren Hefte bei der Behandlung einiger charakteristischer Wettertypen Gelegenheit, einige unserer Hygrometerkurven zu reproduzieren.

Wind.

Die Windbeobachtungen zerfallen in die beiden üblichen Abteilungen, Windrichtung und Windgeschwindigkeit, die in Tab. IV mitgeteilt werden.

a. *Windrichtung.*

Die Windrichtung ist mit »E» als Zeichen für Osten und mit »W» als Zeichen für Westen angegeben, mit »C» als Zeichen für Stille und mit »Var» als Zeichen für wechselnde Windrichtungen. Die Windrichtung wurde mit Hilfe einer Wetterfahne bestimmt, die auf einer Stange am Nordostende der Dachfirst 1¹/₂ à 2 m über der Dachfirst befestigt war. Nach vorgenommenen astronomischen Beobachtungen wurde das Kreuz der Wetterfahne so angebracht, dass es die Himmelsrichtung astronomisch richtig angab.

Am 3. Mai 1902 wurde die Stange der Wetterfahne vom Sturm abgebrochen, aber am 5. Mai, nachdem sich der Sturm gelegt hatte, wieder aufgestellt.

Auch am 8. Juni 1903 ging die Stange entzwei, wurde aber tags darauf wieder aufgerichtet.

In stürmischen, dunklen Nächten war es manchmal recht schwer, um nicht zu sagen unmöglich, diese Wetterfahne 5 à 6 m über der Erde zu unterscheiden; aber bei unserer Kenntnis von der Lage des Gebäudes in der Richtung SW—NE machte es uns doch keine Schwierigkeit, in völlig zufriedenstellender Weise die Windrichtung bis zur gewünschten Genauigkeit, der in 16 Felder geteilten Windrose, zu bestimmen.

Wie aus dem vorhergehenden Bericht über die Arbeitsverteilung und das Arbeitsprogramm hervorgeht, waren es immer 1 oder 2 Stunden in der Nacht, wo keine Beobachtung stattfand. Nichtsdestoweniger glaubte ich aus dem allgemeinen meteorologischen Zustand in der Mehrzahl der Fälle die Windrichtung durch Interpolation bestimmen zu können, wobei ich von den ständig registrierten Windgeschwindigkeiten sehr unterstützt wurde. Ein besonderes Zeichen für diese durch Interpolation erhaltenen Windrichtungen glaubte ich nicht einführen zu brauchen.*

Wenn nun die Windtabellen auch die Windrichtung, so wie sie beim Stationshause beobachtet wurde, für jede Stunde angeben, so leiden sie doch an einem ziemlich grossen Fehler, der in der meteorologischen Lage der Station seinen Grund hat. Der Einfluss, den diese Lage auf die Windrichtung ausübte, geht unter andern aus den zahlreichen den Wind betreffenden Zusätzen hervor. In ihnen werden nämlich eine Reihe von Beobachtungen angeführt, die teils auf den Anhöhen oder dem Snow-Hill-Plateau östlich von der Station selbst in einer Höhe von ungefähr

* Im Oktober 1902, wo das Personal um 1^h a, 2^h a, 4^h a und 5^h a schlief, habe ich nur dann Interpolationen vorgenommen, wenn die Schnelligkeitsregistrierung auf Stille hinwies; die übrigen vollständigen Nachtbeobachtungen im Okt. 1902 sind durch direkte Wahrnehmung gewonnen.

125 m gemacht wurden, teils auf Schlittenfahrten oder Spaziergängen draussen auf dem Eise des Admiralitätssundes angestellt wurden, also NW von der Station und in einer solchen Entfernung vom Lande, dass der Landrücken von Snow-Hill dem Winde noch keine andere Richtung gegeben haben konnte.

Sämtliche diese Beobachtungen deuten darauf hin, dass der Wind, der beim Stationshause als zum NE-Quadranten gehörig wahrgenommen wird, auch eine Reihe von Winden zwischen NW und N umfassen muss. Dies konnte nämlich oft oben auf dem Basaltgipfel, dem höchsten Punkte der Insel, beobachtet werden und zwar nicht nur aus dem Unterschied in der Windrichtung zwischen dort oben und unten bei der Station, sondern auch mit besonders hervortretender Deutlichkeit bei schwachem und niedrigem Schneetreiben. An den Schneestreifen konnte man deutlich sehen, wie der Wind anfangs d. h. weiter draussen auf dem Eise z. B. in der Richtung NNW → SSE ging. Wandte man dann den Blick näher dem Lande zu, so sah man, wie sich die Streifen immer mehr von ihrer ursprünglichen Richtung entfernten, was darauf beruhte, dass der Wind seine Richtung über N und NNE änderte, so dass sie bei der Station beinahe direkt NE wurde. Da nun im Journal die Winde so verzeichnet wurden, wie sie beim Stationshause selbst waren, so liegt in obenerwähntem Verhältnisse eine Erklärung, warum in Tab. IV die Winde zwischen W und N so äusserst selten sind; diese sind also im allgemeinen zu NE-Winden oder ihnen naheliegenden verändert und als solche beobachtet worden.

In anderer Weise hat die Gestaltung des Landes auf die Winde zwischen E und SSE eingewirkt. Wenn diese von der Höhe in unsere Grube herabkamen, erhielten sie beinahe jede beliebige Richtung, wodurch das zahlreiche Vorkommen der Windart »Var« seine Erklärung findet. »Var« gibt also an, dass bei Vornahme der Beobachtung die Wetterfahne keine bestimmte Lage hatte, sondern in verschiedenen Stellungen von einer Minute zur anderen hin- und herschwankte.

Obwohl also infolge der Gestaltung des Landes die Winde W—NNW einen allzu kärglich bemessenen Platz in den Beobachtungen erhalten haben, habe ich doch aus unserem Material eine Reihe von Windrosen ausgearbeitet, Frequenz-, dynamische, barische und thermische, welche Resultate ich in einem späteren Hefte dieses Bandes vorlegen werde.

Was die Windtabellen betrifft, so habe ich sie für jeden Monat auf vier Seiten d. h. zwei Abteilungen verteilen müssen; die eine enthält die Vormittags-, die andere die Nachmittagsbeobachtungen. In letzterer Abteilung findet sich unten eine Zusammenstellung der Frequenz der verschiedenen Windrichtungen mit zwei Zahlen für jede Windart. Von diesen Zahlen gibt die erste, mit fettgedruckten Ziffern, an, wie viele Stunden im Monat die betreffende Windrichtung wahrgenommen worden ist und die zweite, im Parenthese stehende, die Frequenz der betreffenden Windrichtung ausgedrückt in promille des gesamten monatlichen Beobachtungsmaterials.

Beispiel: Mai 1902 hat »S: 48 (66)«, das bedeutet, der S-Wind ist 48 Mal wahrgenommen worden und da die Beobachtungszahl mit 729 angegeben ist, macht dies 6,6% oder 6,6 % S-Winde.

b. *Windgeschwindigkeit.*

Zur Bestimmung der Windstärke oder richtiger der Windgeschwindigkeit hatten wir zwei Anemometer bei uns, einen registrierenden von C. SEEMANN N:o 25 und einen Handanemometer von FUESS N:o 221. Der Handanemometer war derselbe, der 1899—1900 von der schwedischen Gradmessungsexpedition auf Spitzbergen benutzt worden war; ihm war eine Tabelle beigegeben, die den Korrektionsfaktor für eine Geschwindigkeit bis zu 24 m in der Sekunde angab. Der andere war durch das freundliche Entgegenkommen des Herrn Direktor Dr. G. v. NEUMAYER vor unserer Ausreise bei der Deutschen Seewarte in Hamburg einer eingehenden Prüfung für Geschwindigkeiten bis zu 23 m in der Sekunde unterzogen worden.

Bei jeder 500. Umdrehung der Achse trat ein Kontakt in einer elektrischen Strombahn ein. Bei diesem Stromschluss machte ein Stift ein Zeichen, einen Punkt auf einem Telegraphenpapierstreifen, der von einem Uhrwerk * mit einer Geschwindigkeit von ungefähr 74 cm in der Stunde vorwärts bewegt wurde.

Anfangs benutzte ich eine gewöhnliche Bleifeder, aber nach einem Monat wurde mir das ständige Nachsehen des Bleistiftes zu peinlich, und führte ich deshalb statt dessen die Registrierung mit Tinte ein, indem ich eine gewöhnliche Richardsche Feder für das Registrierwerk aptierte. Jede halbe Stunde z. B. 2^h30^mp, 3^h30^mp, 4^h30^mp musste der wachhabende Meteorolog auf dem Streifen gegenüber der Registrierfeder einen Strich ziehen. Alsdann brauchte man nur von Stunde zu Stunde die Anzahl Punkte zählen, die auf dem Papier standen, und konnte so aus ihnen die Windgeschwindigkeit berechnen. Die Geschwindigkeit ist also die mittlere Windgeschwindigkeit um die Stunde, welche die Tabelle angibt. Beispiel: Für den 6. Mai 1903 2^ha ist die Geschwindigkeit zu 11,9 m in der Sekunde angegeben; dies bedeutet also, dass 11,9 m in der Sek. die mittlere Windgeschwindigkeit für die Zeit von 1^h30^ma bis 2^h30^ma ist.

Es war indessen nicht so einfach, wie es auf den ersten Blick erscheinen kann, aus der Anzahl der Kontakte die entsprechende mittlere Windgeschwindigkeit zu berechnen. Die Stürme, die wir durchzumachen hatten, nahmen unser Instrument viel zu sehr mit, als dass es sich ohne empfindlichen Schaden hätte halten können.

* Diese Speise- und Registrieruhr wurde mir von Dr. J. WESTMAN gütigst zur Verfügung gestellt und war dieselbe bei obenerwähnter Spitzbergenexpedition benutzt worden. Auf den Rat des Dr. WESTMAN nahm ich jedoch eine Änderung vor, so dass die Länge des Papierstreifens pr. Stunde ungefähr 3 mal so gross wurde als auf Spitzbergen, wo sie nur 20 cm in der Stunde betragen hatte; diese Massnahme erwies sich als durchaus notwendig, da die Zahl der Kontakte bei der stärksten Windgeschwindigkeit bis zu 200 à 300 in der Stunde betrug.

Dass dies nicht der Fall sein würde, war schon von vornherein zu erwarten, deshalb hatte ich vom Instrumentenmacher ROSE in Upsala ein Reservekreuz anfertigen lassen, das ebenso grosse Schalen wie das Original hatte, die aber nicht an einfachen relativ dünnen Drahtarmen befestigt waren, sondern an einer festen, kreisrunden Scheibe. Es zeigte sich, dass das ursprüngliche Schalenkreuz ziemlich bald, nach drei Monaten, mit dem in Upsala anfertigten ersetzt werden musste, welches alsdann bis zu unserer Abreise in Gebrauch war.

Hier unten habe ich eine Reihe von Auszügen aus Journalen und Tagebüchern mitgeteilt, die von unserem Anemometer und seiner Geschichte handeln und die bezeugen, dass es keineswegs eine Sinkure war, die Windregistrierung in Ordnung zu halten. Noch schärfer geht dies aus unserer Arbeitsordnung hervor, die bestimmte, dass in der Zeit, wo der registrierende Anemometer ausgebessert wurde, die Windgeschwindigkeit in jeder Stunde vom wachhabenden Meteorologen mit dem Handanemometer aufgenommen werden sollte.

1902: 4. März wurde der Anemometer auf einer 2,5 m hohen Stange am Abhang neben dem Wohnhause ungefähr 50 m über dem Meeresspiegel befestigt.

2. April. Da die Reparationen und die Beaufsichtigung des Anemometers viel Beschwerde verursachen, wird derselbe auf einer kleinen Anhöhe zwischen unserm Wohnhaus und dem Strande aufgestellt, wo er dann während der ganzen Beobachtungszeit verbleibt. Er wurde auf einer mit Stagen versehenen Bambusstange 2 m über der Erde, ungefähr 4 m über dem Meeresspiegel befestigt (siehe Taf. I).

10.—12. April. Das Registrierungswerk ist in Unordnung, aber der Anemometer arbeitet deutlich, ohne dass etwas auszusetzen ist. Die Beobachtungen werden mit dem Handanemometer vorgenommen.

10. Juni. Um 4^ha hört plötzlich die Windregistrierung auf, weshalb Beobachtungen mit dem Handanemometer ihren Anfang nehmen. Es stellt sich heraus, dass das Schalenkreuz von der Achse fortgeweht und nicht wiederzufinden ist. Um 10^ha ist das neue Schalenkreuz aufgesetzt und fungiert ausgezeichnet.

18. Juni. Die Anemometerachse ist von einem Wind, Max. = 31,0 m in der Sek., abgebrochen; am 19. Juni um 4^ha ist der Apparat repariert und wieder in Gang.

15. Juli. Das Schalenkreuz hat sich losgelöst, wird an der Achse fest gelötet.

16. Juli. Um 10^ha bricht die Achse bei einem Wind von 15 m in der Sek. ab, wird sofort repariert und ist um 4^hp in Gang; aber in derselben Nacht 12^hp hört die Registrierung auf; es stellt sich heraus, dass die Achse bei einem Wind von 28 m in der Sek. abgebrochen und das Kreuz weggeweht ist. Das Kreuz wird am 19. jedoch wiedergefunden. Drei von den Schalen sind zusammengedrückt, aber die Achse und die Grundscheibe sind unversehrt. An die Achse wird durch Niete eine Blockradsachse angesetzt und am 20. um 6^hp ist der Apparat wieder in Gang.

¹⁵³⁷07 Schwedische Südpolar-Expedition 1901—1903. II: 2.

22. *Juli*. Die neue Achse war zu dünn, konnte den Angriffen des Windes von ungefähr 20 m in der Sek. nicht widerstehen, bricht, wird aber in einigen Stunden repariert.

15. *August*. Eine der Nieten der Achse ist abgebrochen, die Achse bricht daher bei einem Wind = 30 m in der Sek., das Schalenkreuz wird weggeweht, aber wiedergefunden. Nach 12-stündiger Reparatur ist der Apparat wieder im Gebrauch.

19. *August*. Die Achse ist an einer neuen Stelle gebrochen; als obere Achsenhälfte wird eine Pfieme aptiert, die in üblicher Weise an den unbeschädigten unteren mit Schraubenzügen versehenen Teile festgenietet wird. Es stellt sich heraus, dass das obere Achsenlager von Messing ziemlich abgenützt ist, und da das sich hieraus ergebende Anschlagen der Achse eine Praedisposition für Bruchschaden in sich schliesst, wird dasselbe durch ein Eisenlager, einen hohlen Schlüsselbart, ersetzt oder verstärkt.

24. *August*. Die Achse ist gebrochen, aber nicht an der Verbindungsstelle, sondern an der alten Achse ist ein neuer Bruch entstanden. Nach drei Stunden ist der Schaden repariert, und am folgenden Tage wird ein grosses neues oberes Eisenlager eingesetzt.

17. *September*. Das Kreuz hat sich gelockert und dreht sich, ohne dass die Achse mitfolgt; es muss an der Achse festgelötet werden.

24. *Sept.* 10^hp—30. *Sept.* 6^hp. Die Anemometerleitung ist in Unordnung; der Fehler konnte erst gefunden werden, nachdem sich der Sturm gelegt hatte. Unterdessen werden die Beobachtungen jede Stunde mit dem Handanemometer angestellt.

7. *Oktober*. Da der Anemometer auffallend niedrige Werte anzeigt, und dies wahrscheinlich darauf beruht, dass das untere Lager zu sehr angegriffen ist, wird ein neues unteres Lager aus Messing gefertigt und eingesetzt.

17. *Oktober*. Das neue untere Messinglager ist abgenutzt, wahrscheinlich infolge mangelhaften Zentrierens; ein neues Lager aus Eisen wird statt dessen angebracht.

1903: 7. *März*. Das Schalenkreuz wird vom Winde fortgeweht, Max. = 22,0 m in der Sek.; es wird am Strande wiedergefunden; die Achse ist gebrochen, wird mit einer Pfieme geflickt.

15. *März*. Beim Schmieren der Achse bremste ich den Apparat zu hastig mit der Folge, dass die Achse abbricht; aus dem Stahl einer Schlittschuhschiene wird eine neue Achse angefertigt und am Abend des 16. aptiert.

31. *März*. Bei einem Wind, Max. = 22,7 m in der Sek., bricht die Achse wiederum; der Bruch entsteht dadurch, dass die Lötung sich löst, worauf eine der Niete herausgerissen wird; wird repariert.

9. *Mai*. Die Achse geht bei einem Wind in Stärke von 20,8 m in der Sek. entzwei; das Ganze kommt daher, dass die Lötung aufgegangen ist.

22. *Mai.* Beim Putzen und Schmieren des Anemometers stellt es sich heraus, dass die untere Achsenspitze abgebrochen ist. Durch Feilen muss ich den untersten Schraubenzug entfernen, und wird der Apparat auf diese Weise wieder brauchbar.

25. *August.* Das Schalenkreuz ist von einem Wind, Max. = 32,7 m in der Sek., fortgeweht worden; die Achse ist entzwei, diesmal direkt unter dem Kreuze. Das Kreuz wird tags darauf gefunden; die Achse wird geflickt, jetzt mit dickerem Schlittschuhstahl als das vorige Mal.

Diese Auszüge behandeln nur die einschneidenderen Beschädigungen des Anemometers; hinzuzufügen wäre eine ganze Reihe von Störungen der Registrieruhr und der elektrischen Drahtleitung, die jedoch als unwesentlich hier nicht verzeichnet sind. Letztere Störungen haben mich zu der Auffassung gebracht, dass grober unisolierter Kupferdraht isoliertem bei weitem vorzuziehen ist, besonders deshalb, weil in ersterem Falle ein Bruch der Leitung leichter lokalisiert ist als in letzterem.

Es kann nun sonderbar erscheinen, dass so viele, etwa zehn Achsenbrüche zu verzeichnen waren, mit anderen Worten, dass die Ausbesserungen nicht haltbarer gemacht werden konnten, so dass sie längere Zeit hielten. Eine Erklärung für das ungünstige Resultat der Reparationen liegt in folgenden Ursachen.

1. Zur Erlangung des elektrischen Kontakts befand sich am untern Teil der ursprünglichen Achse eine mit Schraubenzug verschene Partie, die alsdann auf ein Zahnrad im Getriebe wirkte. Diese untere Schraubenpartie konnte ich unmöglich nachmachen, leider hatte ich auch keine fertige Achse in Reserve. Bei jedem Achsenbruch musste ich daher an diesen unteren Teil ein neues Achsenstück ansetzen, damit das Ganze die nötige Länge hatte.

2. Das Ansetzen geschah immer in der Weise, dass ich mit zwei feinen, schmalen Nieten die beiden Achsenteile verband und das Ganze alsdann vermittels Schlaglot zu verstärken suchte. Es war mir jedoch beinahe unmöglich, mit Hilfe der Primuslampe die hierzu nötige Temperatur zu erzielen. Das Schlaglot, das Messing, schmolz oft nur unvollständig, und infolgedessen liess die Haltbarkeit zu wünschen übrig.

3. Die Achse mit ihren Lagern war ursprünglich für ein Schalenkreuz leichterer Konstruktion und geringeren Gewichtes abgesehen. Zapfen und Lager waren also nicht darauf berechnet, der grösseren Reibung ausgesetzt zu werden, die das neue, schwere und festere Schalenkreuz notwendig hervorrufen musste. Wenn deshalb das obere Lager einmal zu gross geworden war, vergrösserte sich der Umfang des Achsenloches immer mehr, und auch das Anstossen an den Wänden wurde immer häufiger. Schliesslich wurde dann die Öffnung so gross und infolgedessen das Anstossen so stark, dass die Achse bei einem schnellen und gewaltsamen Stoss nicht Kraft genug besass, um der grossen Anstrengung zu widerstehen, sondern brach.

Da nun eine solche Menge von Reparationen des Anemometers ausgeführt werden mussten, ist es selbstverständlich, dass ich die ursprüngliche Formel nicht kritiklos auf die Kontaktenzahl in Anwendung bringen konnte. In dem Fuessschen Handanemometer hatte ich jedoch ein Instrument zu meiner Verfügung, mit dessen Hilfe ich die nötigen Kontrollarbeiten des registrierenden Apparates vornahm. Bevor ich zu diesen Vergleichen komme, will ich indessen einiges über diesen Fuessschen Anemometer sagen.

Die Anwendung dieses Apparates scheint ja sehr einfach zu sein, wenn es sich um Messung einer mässigen Windgeschwindigkeit bei Tageslicht handelt. Im Dunkeln dagegen ist die Sache von komplizierterer Natur. Da man ja eine Hand für die Uhr braucht und wenigstens eine Hand zur Handhabung des Anemometers, bietet die Arbeit nach Einbruch der Dunkelheit gleich Schwierigkeiten. Mit einer Laterne auf der Brust kann man zwar die Uhr beleuchten; erhebt sich aber die Windgeschwindigkeit über 15 m in der Sek., wird diese Beleuchtungsmethode ungenügend, da alsdann die Laterne im Wind hin- und herschwankt und einen zu unsicheren Schein von sich gibt. Bei solchem Wetter hat man faktisch beide Hände zum Manövrieren des Anemometers nötig, weshalb man also eine besondere Person zur Handhabung der Uhr haben muss.

Da eine solche Inanspruchnahme von Arbeitshilfe nichts weniger als zufriedenstellend war, führte ich eine Methode ein, mit Hilfe des Gehörs die Zeit mit einer Genauigkeit zu bestimmen, die selbst über das gewöhnliche Ablesen der Uhr hinausgeht. Eine Taschenuhr macht nämlich gewöhnlich 150 Schläge, Tick-Tack, in der Minute d. h. 25 Schläge in 10 Sekunden. Mit Hilfe der an der Mütze befindlichen Ohrenklappen wurde die Uhr fest und dicht ans Ohr gedrückt, und alsdann hatte man nur die Anzahl der Tick-Tacks von dem Augenblicke an zu zählen, wo der Anemometer ausgelöst, bis zu dem Augenblicke, wo er abgestellt wurde. Diese Methode, durch die man von der Laterne unabhängig wurde, erwies sich als völlig zufriedenstellend sicher und bequem, sogar bei orkanartigen Stürmen bis zu 30 m in der Sekunde, wo es einem alle Mühe machte, bei den schweren Windstößen den Anemometer, ohne das Gleichgewicht zu verlieren, hoch in der Luft zu halten. In einem solchen Wettertypus wäre es sonst geradezu unmöglich gewesen, eine gute Beobachtung anzustellen, selbst wenn man zum Ablesen der Zeit Hilfe gehabt hätte, denn bei einer solchen Umgebung wäre es kaum möglich gewesen, Signale genau zu erfassen.

Nachdem man für jede laufende Stunde die Anzahl der Kontakte vom registrierenden Anemometer notiert oder durch Anwendung des Handanemometers einen unkorrigierten Wert für die Windgeschwindigkeit erhalten hatte, galt es aus diesen Beobachtungen endgültige Werte für die Windgeschwindigkeit in m per Sek. abzuleiten. Solange das ursprüngliche Schalenkreuz in Ordnung war d. h. bis zum 10.

Juni 1902, habe ich mich ohne weiteres der Formel bedient, die dem Apparat von der Deutschen Seewarte beigegeben war:

$$v = 1,049 + 0,1142 \cdot n$$

wo v = Windgeschwindigkeit in m per Sekunde.

n = Anzahl der Kontakte in der Stunde sind.

Nach dem Verluste des ursprünglichen Anemometerkreuzes besass ich nur den Fuessschen Handanemometer als Standardinstrument und musste daher die Windgeschwindigkeit später aus den Kontaktziffern unter Rücksichtnahme auf die Komparationen zwischen dem registrierenden Anemometer und dem Fuessschen berechnen. Bei unserer Abreise von Schweden hatte ich von Dr. J. WESTMAN für den Handanemometer eine Korrektionstabelle in Form von Korrektionsfaktoren erhalten, um sie auf verschiedene beobachtete Windgeschwindigkeiten anzuwenden. Nach unserer Rückkehr nach Schweden liess ich bei FUESS eine neue Untersuchung anstellen wobei ich unten angegebene Resultate erhielt.

Korrektionsfaktoren für den Fuessschen Handanemometer N:o 221.

Abgelesene Geschwindigkeit.	Faktor 1901.	Faktor 1904.	Faktor 1902—1903.
m/s			
1	1.44	1.53	1.48
2	1.23	1.24	1.24
3	1.07	1.11	1.09
4	1.02	1.06	1.04
5	1.03	1.04	1.03
6	1.05	1.02	1.03
7	1.06	1.01	1.03
8	1.07	1.00	1.03
12	1.06	0.99	1.03
16	1.08	0.98	1.03
20	—	0.97	1.02
24	1.09	0.96	1.02
28	—	0.96	1.02
32	—	0.95	1.02
36	—	0.95	1.02
40	—	0.95	1.02

Wie die Tabelle zeigt, liefern diese Vergleiche 1901 und 1904 ziemlich übereinstimmende Werte für Windgeschwindigkeit bis zu 7 à 10 m in der Sekunde, aber bei zunehmender Geschwindigkeit werden die Unterschiede immer grösser. Eine abgelesene Geschwindigkeit von 16 m in der Sek. wird mit dem Faktor von 1901 =

17.1 m in der Sek., aber mit dem Faktor von 1904 = 15.7 m in der Sek., ein Unterschied von 1.4 m in der Sek., eine beobachtete Geschwindigkeit von 24 m in der Sek. ist gemäss 1901 = 26.2 m in der Sek., gemäss 1904 = 23.0 m in der Sek., ein Unterschied von 3.2 m in der Sek.

Die einzige Art, die ich anwenden zu dürfen glaubte, da ich keinen Anlass zu einem Verdachte hatte, dass der Anemometer sich an einem bestimmten Datum verändert habe, war die, für die ganze Zeit mit Faktoren zu rechnen, die ich als Durchschnitt der beiden angegebenen Serien erhalten hatte. Diese Durchschnittskorrektionsfaktoren habe ich also auf alle mit dem Handanemometer gemachten Beobachtungen angewendet, ob es sich nun um eine Beobachtung handelte zu einer Zeit, wo der registrierende Apparat aus dem einen oder anderen Grunde streikte oder um eine Komparationsserie.

Zu Vergleichszwecken zwischen den beiden Apparaten errichtete ich einige Meter von dem registrierenden Apparat entfernt eine 2 m hohe Stange, und auf ihr war während der Komparationsserien der Handanemometer angebracht.

Bei diesen Vergleichen wollte ich soweit als möglich die Fehler eliminieren, die infolge der verschiedenen Trägheitsmomente der beiden Apparate entstehen und sich daher bei zufälligen schnellen Veränderungen der Windgeschwindigkeit geltend machen konnten. Dies erreichte ich ziemlich gut auf die Weise, dass ich die Vergleiche auf ganze Stunden, auf 60 Minuten ausdehnte, und nur in wenigen Ausnahmen wurden dieselben auf eine so kurze Zeit wie 30 Minuten und in einem Falle nur auf 20 Minuten beschränkt. Aus der Anzahl Umdrehungen, die der Handanemometer machte, erhielt ich einen Wert für die unkorrigierte mittlere Windgeschwindigkeit. Durch Anwendung obenerwähnter Korrektionsfaktoren erhielt ich dann die wirkliche Windgeschwindigkeit = v . Gleichzeitig gab mir der registrierende Anemometer eine gewisse Anzahl Kontakte in der Stunde, die auf zehntel Intervalle abgeschätzt werden konnten unter der Voraussetzung, dass das Papier mit gleicher Geschwindigkeit vorwärtsbewegt wurde. Aus dieser Kontaktenziffer berechnete ich mit Hilfe der ursprünglichen Formel $v = 1.049 + 0.1142 \cdot n$ die registrierte unkorrigierte mittlere Windgeschwindigkeit = v .

Setzt man $I' = k \cdot v$, so erhält man bei jedem Vergleich einen Wert für dieses k , den man den Korrektionsfaktor des registrierenden Anemometers nennen kann. Zwar konnte ein Vergleich nur bei Windgeschwindigkeiten mit ziemlich geringer Variation angestellt werden, aber ich habe den so erhaltenen Korrektionsfaktor » k « doch für alle Windregistrierungen während einer gewissen Zeit, sowohl für schwächere wie für stärkere Winde angenommen und benutzt.

Die Resultate dieser Komparationen werden in folgender Tabelle mitgeteilt. Die zweite Kolumne gibt die Grenzen an, zwischen denen bei den Vergleichen die mittlere Windgeschwindigkeit variiert hat, die dritte Kolumne die Anzahl Kompara-

tionsperioden, von denen sich jede in der Regel auf 1 Stunde erstreckt, und die letzte Kolonne den Korrektionsfaktor » k « des registrierenden Anemometers als Durchschnitt aller Beobachtungsperioden.

Anemometervergleich.

	Wind- geschwindigkeit.	Anzahl Perioden.	k .
1902	m s		
Juni 17	1.3—8.8	7	0.87
Juni 20	2.2—6.5	6	0.89
Juni 21	8.9—10.5	5	1.00
Juni 22	3.1—5.2	6	0.89
Juli 11	15.1—16.5	5	0.97
Juli 24	9.4—10.4	4	1.11
August 17	12.7—13.4	2	1.06
August 22	6.1—7.4	4	0.97
August 24	12.5	1	1.13
August 28	7.3—9.4	3	0.95
August 29	12.0—15.4	6	0.96
Oktober 3	5.2—12.9	4	1.24
Oktober 10	1.6—11.5	6	1.03
Oktober 20	18.6	1	0.99
November 5	6.7—7.3	3	1.24
November 6	12.4—12.5	2	1.02
November 14	2.8—4.4	4	0.99
November 15	11.6—12.1	2	1.16
November 16	15.7—17.3	2	1.03
Dezember 23	8.4	1	0.92
1903			
Januar 5	12.4	1	1.14
Januar 7	6.9	1	1.00
Januar 13	5.6	1	1.08
Februar 10	11.9	1	0.94
März 28	11.8	1	0.98
Mai 30	8.0—9.1	3	0.96
August 17	11.8	1	1.02
September 9	11.2—12.3	3	0.94

Aus diesen verschiedenen Komparationsserien habe ich die in untenstehender Tabelle mitgeteilten verkürzten Korrektionsfaktoren abgeleitet, sowie sie zu den verschiedenen Epochen der Tätigkeit des Anemometers angewandt wurden.

P e r i o d e.		Korrektionsfaktor = k .
1902	2. März — 1902 10. Juni	1.0
»	10. Juni — » 18. Juni	1.0 *
»	19. Juni — » 16. Juli	1.0 *
»	21. Juli — » 15. August	1.1
»	16. August — » 19. August	1.05
»	20. August — » 24. August	1.1
»	25. August — » 24. September	1.0
»	1. Oktober — » 7. Oktober	1.2
»	7. Oktober — » 3. November	1.0
»	4. November — » 10. November	1.2
»	10. November—1903 4. Januar	1.0
1903	4. Januar — » 7. Januar	1.1
»	7. Januar — » 8. November	1.0

Wolkenformen, Bewölkung, Hydrometeore.

In Tabelle V, in der ersten Kolumne für jede Stunde, habe ich die Wolkenformen so angegeben, wie sie zur betreffenden Stunde im Beobachtungsjournal verzeichnet sind. Was die Identifizierung der verschiedenen Wolkenarten angeht, so geschah dieselbe unter ständiger Kontrolle vermittels des internationalen Wolkenatlas. Bei einem solchen Vergleichsmittel glaube ich, dass sich bei der Beurteilung keine nennenswerte Inhomogenität geltend gemacht hat, trotzdem die Wahrnehmungen von vier verschiedenen Beobachtern angestellt worden sind.

Wurden mehrere verschiedene Wolkenformen gleichzeitig wahrgenommen, so habe ich sie in der Regel so geordnet, dass die höchsten zuerst stehen und die niedrigeren Wolkenarten darauf folgen; ich habe sie also nicht nach Quantität, sondern nach Qualität geordnet.

Hinsichtlich des Zuges und der Richtung der Wolken wurden keine regelmässigen Beobachtungen angestellt; die angestellt wurden, beziehen sich ausser auf den Zug der Wolken auch auf die Wolkenradiation und sind im Anhang aufgeführt. Die Bestimmungen der Wolkenrichtung, die man dort findet, sind im allgemeinen vermittels Zenithalbeobachtungen und nur manchmal mit Hilfe des Finemanschen Nephoskop vorgenommen wurden. Dieser Apparat war nämlich in diesen Gegenden kaum zu gebrauchen und sehr schwer zu handhaben, teils infolge der schweren Stürme, teils weil infolge der niedrigen Temperatur der Spiegel durch kondensierten Atem so schnell unbrauchbar wurde.

* bei $v \leq 7$ m/s: $k = 0.9$.

Die Bewölkung ist in der Skala 0—10 angegeben; da aber ein grosser Teil des südlichen Himmelsgewölbes durch die Gebirgswand verdeckt war, ist die Bewölkung in Zehntel des sichtbaren Himmels angegeben. Eine Reihe von Werten besonders für den späteren Teil der Nacht stehen in Parenthese, wodurch angezeigt wird, dass dieselben durch Interpolation erhalten wurden unter Rücksichtnahme auf den allgemeinen Zustand im übrigen.

Was die Hydrometeore angeht, so habe ich die üblichen Zeichen benutzt: ● = Regen; * = fallender Schnee; † = treibender Schnee; △ = Graupeln; ▲ = Hagel; ~ = Glatteis; ≡ = Nebel und ⊔ = Reif.

Oftmals war es schwer, zwischen fallendem * und treibendem Schnee †, Schneetreiben, zu unterscheiden, und zuweilen trifft man diese beiden Zeichen gleichzeitig, was darauf hindeutet, dass es zwischen ihnen keine bestimmte Grenze gibt, sondern dass sie sozusagen unvermerkt in einander übergehen.

Äusserlich unterschied sich der treibende Schnee vom fallenden, der zumeist in der gewöhnlichen sechseckigen Sternform auftrat, dadurch, dass ersterer einen feinkörnigen, staubähnlichen Habitus hatte, was wahrscheinlich daher kam, dass er beim Dahinwirbeln durch die Luft abgeschliffen wurde. Dieser feine Flugschnee besass eine besonders ausgeprägte Fähigkeit, bei starkem Wind in die geschütztesten Stellen einzudringen. Im Aussehen des Thermographen und des Hygrometers hatten wir auch ein ziemlich gutes Unterscheidungsmerkmal zwischen fallendem und treibendem Schnee, zwischen Schneesturm in gewöhnlicher Bedeutung und Sturm mit Schneetreiben. Bei Schneesturm, *, wurde der Schnee oft in das Häuschen hineingetrieben und setzte sich dort in Ecken und Winkeln fest, verursachte aber keine Störung im Gang des Uhrwerkes; denn dies war durch eine Kappe geschützt. Herrschte dagegen Sturm mit Schneetreiben, †, dann war die Ventilierung im Häuschen so stark, dass der umhertreibende, feinkörnige Schnee sich im Häuschen selbst nicht anhäufen konnte. Er drang dagegen leicht durch die engen Ritzen der beiden Apparate ein und legte sich oft so fest rings um das Uhrwerk und dessen Achse, dass der Zylinder stehen blieb (siehe Taf. II).

Also

1) hatten wir Sturm und Schnee, *, dann war das Gehäuse in Unordnung, die Instrumente aber klar;

2) hatten wir Sturm und Schneetreiben, †, dann war das Gehäuse klar, die Instrumente aber in Unordnung.

Ein weiterer Unterschied zwischen * und † trat auch in der Entstehung von Schneewehen zu Tage. Bestand das Unwetter in Schneesturm, *, dann bildete sich hier und da auf der Erde ein Schneewehen nach dem andern, die von Stunde zu Stunde an ihrem ursprünglichen Platz an Tiefe zunahmen. Sobald der Schnee, *, zu fallen aufhörte, und der Sturm nur mit Flugschnee, †, dahinfegte, dann begannen

die Schneehaufen sich in der Windrichtung zu bewegen, ungefähr so wie Dünen, indem ihre Mächtigkeit immer mehr abnahm, bis schliesslich nach wenigen Stunden der Boden wie reingekehrt war.

Ich machte auch einige Versuche, die Niederschlagsmenge zu messen, aber mit geringem Erfolg. In der Nähe des Anemometers stellte ich einen Hellmannschen Niederschlagsmesser auf, aber die Brauchbarkeit desselben in seiner ursprünglichen Form war nur illusorisch. Denn in diesen Gegenden, wo Sturm mit Flugschnee den vorherrschenden Wettertypus bildet, blieb niemals Schnee in der oberen dazu bestimmten Hälfte liegen, während sich das untere Schutzgefäss mit staubfeinem Schnee füllte, der durch die Ritzen eindrang. Das Resultat wurde auch dadurch nicht besser, dass ich ein Schneekreuz einsetzte, das das Wirbeln verhindern sollte. Vereinzelt Male habe ich allerdings bei Schneefällen bei schwachem Wind wirkliche Werte erhalten, aber ich glaube nicht berechtigt zu sein, diese vereinzelt Ziffern als Exponenten für die Niederschläge in diesen Gegenden zu zitieren.

Ein besseres Mass für die Niederschläge dürfte man wohl aber durch die Zahlen erhalten, welche das Anwachsen und Abnehmen des Gletschers in den verschiedenen Jahresperioden angeben, wenn man sie mit den Ziffern zusammenstellt, die der Verdunstungsmesser geliefert hat.

Optische Erscheinungen.

In den »Erklärungen und Erläuterungen« finden sich mehr oder weniger detaillierte Angaben über die optischen Erscheinungen, die wir während unseres Aufenthaltes auf Snow-Hill notiert haben, wie Haloerscheinungen, Mondring, Luftspiegelung, Iriswolken. Manchmal werden die Erscheinungen im Detail beschrieben, oft aber, wenn es sich um Halowahrnehmungen handelt, steht nur 22° Halo ☉. Hierdurch wird nur angegeben, dass grössere oder kleinere Parteien des 22-gradigen Ringes um die Sonne beobachtet worden sind, ohne dass eine eingehendere Beschreibung im Tagebuch angeführt ist.

Recht bemerkenswert ist das häufige Vorkommen der Mondkorona. Da diese Erscheinung kleine Dunsttropfen in der Atmosphäre voraussetzt, liegt die Erklärung hierfür wahrscheinlich in einem auch im Winter nicht allzuweit entfernten offenen und relativ warmen Meere.

In innigem Zusammenhang mit einem Teil der optischen Erscheinungen, den Haloerscheinungen, steht das Vorkommen feiner Eisnadeln in der Atmosphäre. In die Anmerkungen habe ich auch eine besondere Abteilung mitaufgenommen, worin ich die Gelegenheiten mitgeteilt habe, bei denen wir das Fallen derartiger Eisnadeln in den allerniedrigsten Luftschichten beobachtet haben, ein Phänomen, das ja das häufige Vorkommen von Haloerscheinungen in Polargegenden erklärt.

Sonnenschein.

In Tabelle VI wird die Zeit des Sonnenscheins so angegeben, wie sie mit einem Sunshine-Recorder von CAMPBELL-STOKES registriert wurde. Diesen Apparat stellte ich am 22. März 1902 an der nördlichen Ecke unseres Wohnhauses auf einer Kiste einige dm über der Erde auf. Eine schützende Glasglocke erhielt die Kugel nicht, denn die Übelstände einer solchen würden sich bald geltend gemacht haben, da sie natürlich einer Zerstörung durch Hunde und Stürme ausgesetzt war. Die Glaskugel lag also frei und ungeschützt auf ihrem Stativ, war aber doch vermittelt dünner Kupferdrähte gegen äussere Erschütterungen gesichert.

Auf diesem Platz N:o I stand sie bis zum 14. Sept. 1902, wo sie auf einem Hügel südlich vom Wohnhause ungefähr 25 m höher aufgestellt wurde. Die Wahl des neuen Platzes war getroffen worden, um die Wirkungszeit des Apparates durch Erweiterung der Aussicht nach Westen zu verlängern, ohne deshalb die Morgensonne in besonderem Masse zu reduzieren. Wie aus der Tabelle hervorgeht, war die Wirkung die, dass die Tageslänge, die Zeit zwischen Sonnenaufgang und Sonnenuntergang mit Hinsicht auf den terrestrischen Horizont, auf ein Mal um 50 Minuten vergrössert wurde.

Auf dem Platz N:o II stand der Apparat bis zum 7. April 1903, wo er wieder auf Platz I beim Wohnhause aufgestellt wurde. Unter anderem geschah dies aus Bequemlichkeitsgründen, denn bei den winterkalten Stürmen war die Arbeit, mit blossen Fingern das Papier des Apparates auszuwechseln, so schmerzhaft und quälend, dass man sie zuweilen in mehreren Absätzen vornehmen musste, damit nicht die Finger von der Kälte beschädigt würden. Auf diese Weise verloren wir zwar auf ein Mal 50 Minuten an der theoretischen Tageslänge, aber in Wirklichkeit war dieser Verlust nur ein scheinbarer, denn im Winter ist es geradezu unmöglich, in der letzten Tagesstunde ein Zeichen auf dem Papier zu sehen.

Tabelle VI gibt nun für jede Stunde an, wie lange die Zeit des Sonnenscheins gewesen ist, ausgedrückt in Stunden und Teilen derselben unter Anwendung von Dezimalbrüchen*; dann kommt eine Kolumne, in die ich die Sonnenscheinssumme für jeden Tag, in Stunden und Stundenteilen ausgedrückt, aufgenommen habe. Zum Vergleich mit dieser registrierten Sonnenscheinzeit folgt die Tageslänge, die ebenfalls in Stunden und Stundenteilen, also nicht in Stunden und Minuten angegeben ist. Diese Tageslänge erhält man aus den beiden letzten Kolumnen, den Zeiten für den Aufgang und den Untergang der Sonne, die in Stunden und Minuten angegeben sind. Diese Zeiten geben jedoch nicht den Zeitpunkt für die betreffenden Erscheinungen mit

* Die Summe per Stunde wurde in ähnlicher Weise berechnet wie bei der Windgeschwindigkeit: so z. B. umfasst 11^h in der Tabelle die Zeit von 10^h30^{ma}—11^h30^{ma}.

Rücksicht auf den astronomischen Horizont an, sondern so wie sie waren in ihrer Abhängigkeit von den wirklichen Horizonten der beiden Punkte I und II.

Um diese wirklichen Horizonte zu finden, nahm ich von den verschiedenen Plätzen I und II Messungen des einen Punktes nach dem anderen auf der Horizontlinie vor, Messungen von Azimut und Höhe. Was das Aussehen des Horizonts betrifft, so verweise ich auf die Bilder. In groben Zügen wird derselbe von folgenden Zahlen angegeben. Von Norden gerechnet zeigt die östliche Seite, abgesehen von der niedrigen, etwa 1° hohen Cockburninsel und der flachen, $0,2^\circ$ hohen Seymourinsel, klaren Horizont bis 37° östl. Azimut, wo sie mit 2° Höhe beginnt und sich allmählich bis zu $4,6^\circ$ Höhe bei 55° E erhebt. Dann fängt eine steilere Steigung an bis zu $11,4^\circ$ Höhe, dem Basaltgipfel, bei 62° Azimut. Abgesehen von einer schwachen Senkung bis zu $9,1^\circ$ Höhe bei Azimut = $67^\circ 50'$ E hält sich die Höhe zwischen 11° und 12° bis zu einem Azimut = 87° .

Der westliche Horizont ist klar bis zu $9\frac{1}{2}^\circ$ Azimut. Von hier bis zu $21\frac{1}{2}^\circ$ Azimut ist die Höhe $1,0^\circ$ — $1,3^\circ$, steigt aber alsdann etwas rascher, so dass sie $4,4^\circ$ bei 31° Azimut, $5,4^\circ$ bei 42° Azimut ist und nach 52° Azimut zwischen $6,0^\circ$ und $6,8^\circ$ liegt.

Aus den exakten Werten von Azimut und Höhe konnte ich den Aufgang und den Untergang der Sonne berechnen.

Zur Kontrolle stellte ich eine Reihe von Vergleichen zwischen den berechneten und den gefundenen Zeiten für den Aufgang und den Untergang der Sonne an, und da ich für die Refraktion keine Korrektion angebracht habe, müssen die beobachteten Unterschiede von 1 à 2 Zeitminuten eine Genauigkeit aufweisen, die für diese Zwecke vollkommen genügt.

Betreffs der Zahlen in Tabelle VI muss ich jedoch bemerken, dass ihnen ein Fehler anhaftet, der darauf beruht, dass der Sunshine-Recorder von CAMPBELL-STOKES Resultate angibt, deren Genauigkeit mit den Jahreszeiten variiert. Im Sommer, wo die Insolation stark ist, bedarf es scharfen Sonnenscheins nur während des Bruchteils einer Minute, um auf dem Papier ein grosses breites Zeichen einzubrennen, das einer Zeitlänge von mehreren Minuten entspricht. Bei kontinuierlichem Sonnenschein spielt dieses Verhältnis ja eine geringere Rolle und wirkt nur auf den Anfang und das Ende des Zeichens ein. Bei intermittierendem Sonnenschein dagegen kann aus diesem Grunde der Unterschied zwischen der registrierten und der wirklichen Sonnenscheinszeit ein recht beträchtlicher sein. Im Winter wiederum bei niedrigem Sonnenstand und strenger Kälte kann selbst klarer Sonnenschein in der ersten und letzten halben Stunde des Tages kein Brandzeichen hervorrufen, und an den grimmigsten Tagen mit Wind und niedriger Temperatur, aber doch vollem Sonnenschein ist das Zeichen nur sehr schwach, selbst wenn der Himmel von diesen dünnen und feinen Ci-S und A-S Schleiern, die so gewöhnlich sind, vollständig frei ist.

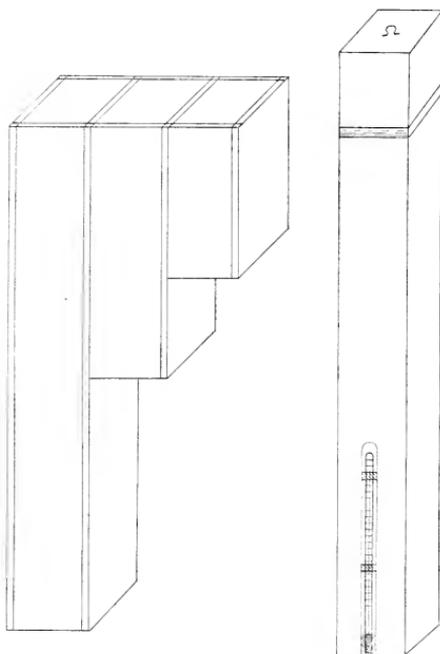
Diese beiden Fehler wirken also in der Richtung, dass die Sonnenscheinmenge im Sommer zu gross und im Winter zu klein registriert wird; ich kann jedoch nicht auf Grund von Beobachtungen in Zahlen angeben, in welchem Grade dies geschieht.

Erdtemperatur.

Zur Bestimmung der Erdtemperatur hatten wir zwar keine speziell feinen Thermometer mit uns, ich glaubte aber doch, mit Hilfe der uns zu Gebote stehenden Thermometer einige Versuche in dieser Richtung anstellen zu sollen. Zum Versuchsplatz wählte ich einen kleinen sanft abfallenden Hügel, der sich unmittelbar an den anschloss, auf welchem unser Wohnhaus lag, und der nur mit wenigen Ausnahmen die ganze Zeit hindurch schneefrei war. Mitten auf diesem Hügel 5 à 8 m vom nächsten Abhang entfernt, wurde die Grube für unsere Erdthermometer gegraben oder ausgehauen. Aus 1½ cm dicken Brettern wurde eine »Kiste« mit drei Fächern von nebenstehendem Typus angefertigt. Als Boden erhielt jeder der quadratischen Tuben ein Stück Eisenblech, das mit Nägeln befestigt wurde. Zu jeder Kiste passte ein Holzstab mit quadratischem Durchschnitt, im unteren Teile desselben befand sich ein Ausschnitt, in den der Thermometer eingelassen war; das Fussende des Stabes war vollständig mit Blech beschlagen und an diesem Blech ruhte der Quecksilberbehälter des Thermometers. Die Thermometerkugel kam also durch die beiden Blechteile in einen möglichst intimen Kontakt mit der betreffenden Erdschicht. Nachdem ich durch diese Anordnungen die grösstmögliche Garantie dafür gewonnen hatte, dass die Temperatur der Erdschicht auf die einzelnen Thermometer überleitet werde, schützte ich den Thermometer dadurch gegen etwaige Veränderungen des Resultates beim Herausziehen bis zum Augenblick des Ablesens, dass ich die Thermometerkugel nach aussen hin sorgfältig durch Watte isolierte. Um Luftströmungen an den Wänden zu verhindern und vor allem um das Herabfallen von Schnee anzuschliessen, befestigte ich am obersten Rande des Stabes einige schmale Filzstreifen, die, wenn der Stab ordentlich hinabgedrückt wurde, die kleinen Ritzen dicht abschlossen. Über den ganzen Apparat, der sich einige Centimeter über die Erdoberfläche erhob, wurde zum weiteren Schutz eine niedrige Holzkappe gestellt.

Der Apparat wurde so in die Erde hinabgelassen, dass die Abstände von der Erdoberfläche bis zu den drei Böden resp. 3, 5 und 10 dm betragen. Der Thermometer, der in einer Tiefe von 3 dm stand, war in ganze Grade eingeteilt, die Thermometer in einer Tiefe von 5 und 10 dm in halbe Grade. Letztere gestatteten deshalb auch eine Abschätzung der Temperatur in zwanzigstel Graden, was auch hier und da aus Tabelle VII hervorgeht.

Am 9. April 1902 wurde der Apparat hinabgelassen; am 11. April begannen die Observationen, dieselben wurden aber anfangs so unregelmässig angestellt, dass



Erdthermometeranordnung.

ich die Tabellen erst mit Mai 1902 beginnen liess. Um, wenn möglich, den täglichen Verlauf der Temperatur in den verschiedenen Tiefen zu erhalten und um einige Masse für die Fortpflanzungsgeschwindigkeit der Wärme- und KälteWellen nach den verschiedenen Schichten zu erzielen, begnügten wir uns nicht mit nur einmaligen täglichen Ablesungen, sondern wir nahmen solche in einem Zwischenraum von drei Stunden vor. Im ersten Halbjahre bis einschliesslich Oktober wurden jedoch keine nächtlichen Beobachtungen, sondern nur um 9^ha, Mttg, 3^hp, 6^hp, 9^hp angestellt, eine Arbeit, die also ausschliesslich dem Tagesbeobachter zufiel. Vom 1. Nov. 1902 bis zum 28. Febr. 1903 wurden diese Observationen auch auf die Stunden Mttn., 3^ha und 6^ha, also auf Tag und Nacht ausgedehnt, mit Ausnahme jedoch des Thermometers in 5 dm Tiefe, der sich in der letzten Hälfte des Februar Tag aus Tag ein beinahe konstant verhielt. Während der übrigen Zeit, also vom 1. März 1903 wurden täglich 7 Observationen vorgenommen, indem die Beobachtung um 3^ha eingestellt wurde.

In Tabelle VII sind nun diese Erdtemperaturen für die Tiefen von 3 dm und 5 dm angegeben. Die Temperatur der Tiefe von 10 dm aber zeigte eine so geringe Variation von einer Stunde zur andern, dass ich es nicht für nötig hielt, die zu dieser Tiefe gehörigen Temperaturen im einzelnen auszuführen, ich habe mich vielmehr damit begnügt, in der Zusammenstellungstabelle »Temperaturmittel« die mittleren Temperature für die Tiefe von 10 dm in zwanzigstel Graden anzugeben. Ich habe ausserdem in der darauf folgenden Tabelle (p. 344) durch die Zitierung der Maxima und Minima für eine Tiefe von 10 dm nebst zugehörigen Zeitangaben die Daten angeführt, die nötig sind, um die Passage der Temperaturwellen durch die 10 dm-Schicht zu studieren.

Was die Resultate angeht, so will ich vorläufig nur hervorheben, wie deutlich die Wirkung der Isolation hervortritt, wenn man die Sommertemperaturen der Luft und der verschiedenen Erdschichten mit einander vergleicht. Ein derartiger Vergleich zeigt, dass die mittlere Sommertemperatur in einer Tiefe von 3 dm nicht weniger als 2.8° und die in 5 dm Tiefe 1.2° höher ist als die entsprechende Lufttemperatur. Ein anderes auffälliges Resultat ist das, dass die Nullgradtiefe wenigstens in unserem kalten Sommer 1902—03 nicht tiefer hinabging als bis zu 5 dm Tiefe. Eine Erklärung für das langsame Hinabsteigen der Wärme liegt unter anderm darin, dass, wenigstens bis zu einer gewissen Tiefe, mit der Tiefe auch die Feuchtigkeit zunimmt. Eine Reihe von Untersuchungen über die Abhängigkeit der Erdfeuchtigkeit von der Tiefe, die ich bei Snow-Hill ausgeführt habe, werde ich indessen erst in einem späteren Hefte zusammen mit einigen anderen Arbeiten vorlegen, die mit der Erdtemperatur in engem Zusammenhange stehen, nämlich einigen Beobachtungen über die Temperatur des Meereises und die des Gletschereises.

Als der zweite Winter seinem Ende entgegenging und mit dem Frühling die Sonne höher stieg, beabsichtigte ich, auch die Schicht von 1.5 dm Tiefe in diese Erdtemperaturuntersuchungen mitaufzunehmen. Da ich zu diesem Zwecke einen kleinen Thermometer nötig hatte, war ich gezwungen, einen Réaumurthermometer, den ich für ein altes magnetisches Instrument in Reserve hatte, dafür herzurichten. Der Thermometer sass in einer Bambushülse mit metallischem Boden, er wurde ungefähr so wie die übrigen Erdthermometer arrangiert und zur selben Zeit wie diese abgelesen. Am 5. Sept. 1903 begann ich mit den Ablesungen, aber es wurde nur eine Serie von einigen Wochen daraus, denn am 22. Sept. stellte es sich heraus, dass der Thermometer von den Hunden herausgezogen und vollständig vernichtet worden war. Hier unten habe ich indessen die Resultate angegeben, die ich natürlich in Celsiusgrade umgerechnet habe.

Erdtemperatur in 1.5 dm Tiefe.

Sept. 03.	6 a.	9 a.	Mittg.	3 p.	6 p.	9 p.	Mittn.	Med.
5	—	—	—	—	—	—12.7	—12.6	—
6	—10.6	—10.1	— 9.4	— 8.1	— 7.7	— 7.1	— 8.1	— 8.6
7	—11.7	—12.5	—12.7	—12.5	—12.7	—13.5	—13.9	—12.8
8	—14.2	—14.0	—13.0	—11.2	—10.7	—11.7	—12.0	—12.4
9	—11.4	—10.5	— 9.0	— 8.2	— 8.0	— 8.0	— 7.7	— 8.9
10	— 9.0	— 9.2	— 8.0	— 6.7	— 6.4	— 5.9	— 6.9	— 7.5
11	— 9.1	— 9.0	— 7.7	— 7.2	— 9.0	—10.1	—11.2	— 9.1
12	—12.5	—12.9	—12.6	—12.4	—12.9	—13.9	—15.2	—13.2
13	—16.7	—17.7	—17.6	—17.6	—17.7	—18.0	—18.0	—17.6
14	—19.2	—19.0	—17.1	—16.6	—16.5	—16.7	—16.7	—17.4
15	—16.9	—16.2	—15.5	—13.9	—14.1	—14.2	—14.4	—15.0
16	—14.5	—14.5	—14.0	—13.4	—13.5	—13.9	—14.9	—14.1
17	—15.6	—15.6	—14.1	—12.5	—12.7	—13.9	—16.5	—14.4
18	—18.1	—18.7	—18.2	—18.2	—18.7	—19.0	—18.7	—18.7
19	—18.2	—17.7	—17.6	—17.8	—18.0	—18.5	—19.0	—18.1
20	—19.9	—20.1	—19.2	—17.7	—17.2	—18.5	—18.2	—18.7
21	—19.7	—20.5	—18.2	—16.4	—16.6	—16.7	—16.7	—17.8
22	—17.4	—17.0	—15.7	—14.5	—14.4	—	—	—

Verdunstung.

Um einige Werte für die Verdunstung in den antarktischen Gegenden zu erhalten, hatten wir einen Verdunstungsmesser nach WILD's System mitgenommen. Schon von vornherein beschloss ich, mich auf die Verdunstung von Süßwasser und

Süsswassereis zu beschränken — und also vom Salzwasserphänomen abzusehen —, denn Gletscher und Meereis bildeten die Umgebung, in der wir arbeiteten. Statt dessen erweiterte ich die Untersuchung dieser Frage in der Richtung, dass ich gleichzeitig mit zwei Schalen arbeitete. Die eine stand frei und war ohne Schutz, die andere war immer gegen die Sonne sowie auch gegen eine Reihe von Winden vom N-Quadranten geschützt.

Die Beobachtungen wurden mit Wasser angestellt, das ich durch Schmelzen von Gletschereis erhalten hatte, und erstreckten sich auf 18 Monate.

Der Evaporometer wurde schon am 5. April 1902 aufgestellt, aber ich habe nur die Werte vom 11. Mai ab benutzt, weil vor dieser Zeit einige Lücken in der Serie entstanden und die Aufstellung der beiden Schalen erst am 11. Mai definitiv geordnet war.

Die freie Schale wurde auf dem Dache des grösseren Thermometerhäuschens, die andere auf dem Dache des kleinen Thermometerhäuschens aufgestellt; letztere war nach Norden hin durch einen Schirm gegen Sonnenstrahlung und direkte N-Winde geschützt. Der Schirm liess jedoch den Wind von der S-Seite her ziemlich ungehindert herankommen.

Die Ablesungen wurden nicht zu bestimmten Stunden bewerkstelligt, wurden aber sämtlich auf Mittag des Beobachtungstages reduziert, und zwar geschah dies in der willkürlichen Annahme, dass die Verdunstung sich proportional zur Zeit verhielt.

Im Winter setzte sich bisweilen Reif auf die Schalen und verhinderte die Verdunstung, auch kam es manchmal nach einem Schneefall vor, dass die Schalen zum Teil voll Schnee waren. Solange dies bei Temperaturen unter dem Gefrierpunkte geschah, fiel es nicht so sehr ins Gewicht, da ja bei Schneefall und Reifbildung die Verdunstung so wie so nur ein Minimum sein konnte. Der Reif und der Schnee liessen sich ja auch jedenfalls vor dem Abwiegen leicht entfernen. Schlimmer war es, wenn Schneefall oder überhaupt Niederschläge zu einer Zeit eintraten, wo der Inhalt einer der Schalen in flüssigem Zustand war. In solchen Fällen wurden die Serien manchmal so gestört, dass man nur Annäherungswerte erhalten konnte. Einen anderen störenden Faktor, der aber doch dazu beitrug, die Verdunstung scheinbar zu erhöhen, bildeten die Fälle, wo nach warmer, eisschmelzender Witterung plötzlich ein Sturm mit solcher Gewalt kam, dass das Wasser zum Teil aus der Schale geweht wurde, bevor es noch hatte gefrieren können. Auch in solchen Fällen habe ich mich mit Annäherungswerten begnügen müssen. Diese Störungen kamen jedoch nur selten vor, so dass sie keinen Einfluss auf die Monatsresultate haben konnten.

Bis zum 27. Aug. 1903 benutzte ich für diese Arbeiten den Wildschen Evaporometer mit seinen Originalschalen. An diesem Tage wurde jedoch die eine Schale vom Winde davongeführt und konnte trotz eifrigen Suchens nicht wiedergefunden

^{1531/07.} Schwedische Südpolar-Expedition 1901—1903. II: 2.

werden. Sie wurde dann unmittelbar mit einem kreisrunden Blechdeckel von ungefähr gleich grosser Fläche wie die ursprüngliche Schale ersetzt. Der Umfang der neuen Schale betrug 57.6 cm, ihr Durchmesser 18.4 cm, welche beiden Werte eine Fläche von 266 cm² abgeben anstatt der ursprünglichen von 250 cm².

Diese Schale wurde zur Observation an der geschützten Stelle aufgestellt. Die Zahlen, die ich mit dieser neuen Schale bei direkter Benutzung der Wildschen Wage erhielt, mussten deshalb mit dem Faktor $\frac{250}{266}$ multipliziert werden, um die exakten Verdunstungswerte, in mm Wasserhöhe ausgedrückt, anzugeben.

In Tabelle VIII sind die Beobachtungen mit zwei Kolumnen für jeden Monat aufgeführt; die erste, die A-Kolumne, bezieht sich auf die freie Schale, die zweite, die B-Kolumne, auf die geschützte.

Die Zahlen geben die Verdunstung in mm fliessenden Wassers an, die seit der letzten Observation stattgefunden hatte. Das Zeichen »**« zeigt an, dass bei Vor- nahme der Observation der gesamte Inhalt der Schale flüssig war; das Zeichen »*« bedeutet, dass der Inhalt nur zum Teil geschmolzen war, dass er also aus einer Mischung von Wasser und Eis bestand. Zur Erläuterung will ich ein Beispiel an- führen. Am 8. Okt. 1902 wurde notiert A = **4.40; B = *2.40. Dies besagt, dass die freie Schale nur flüssiges Wasser enthielt, und dass seit dem 6. Okt. aus derselben 4.40 mm Wasser verdunstet waren; ferner dass die geschützte Schale eine Mischung von Wasser und Eis enthielt und aus ihr seit dem 6. Okt. 2.40 mm verdunstet waren.

Für jeden Monat habe ich in beiden Kolumnen sowohl die Summe wie den Tagesdurchschnitt der Verdunstung angeben, sowohl der freien wie der gegen die Sonne geschützten Schale.

Allgemeine Resultate.

Schliesslich habe ich teils die mittleren Stundenzahlen für die gewöhnlichen meteorologischen Elemente, teils die Frequenz einer Reihe meteorologischer Er- scheinungen nach Monat, Jahreszeit und Jahr in Tabellenform zusammengefasst. Die Aufstellung dieser Tabellen bedarf keiner eingehenden Auseinandersetzung, aber die eine oder andere Erklärung dürfte wohl doch nicht ganz unangebracht sein.

Nach der Rekapitulation für jeden Monat habe ich diese Monatsmedia zu Zahlen zusammengestellt, die für jede Jahreszeit gelten. Diese Jahreszeiten sind:

Herbst	=	Monate März, April, Mai
Winter	=	» Juni, Juli, August
Frühling	=	» September, Oktober, November
Sommer	=	» Dezember, Januar, Februar.

Unter den Zeilen, die sich auf die wirklichen Jahreszeiten beziehen, so wie sie vom Herbst 1902 bis zum Frühjahr 1903 gewesen sind, habe ich vier Zeilen mit einer Art Durchschnittszahl für jede Jahreszeitperiode angeführt, so wie ich sie, nach meiner Meinung, aus dem mir zur Verfügung stehenden Material ableiten konnte. Ich muss jedoch näher erläutern, wie ich diese Berechnung gemacht habe.

1) *Herbst*: In Tab. IX und Tab. X steht ganz einfach die Durchschnittszahl der beiden Herbste 1902 und 1903, die ja, was Luftdruck und Lufttemperatur angeht, in vollständigen Beobachtungsreihen vorliegen.

In Tab. XI, XII, XIII (zum Teil) und XIV, wo der Monat März 1902 fehlt oder nicht vollständig ist und deshalb der Herbst 1902 nicht kalkuliert ist, habe ich den Wert für Herbst durch folgende Berechnung erhalten:

$$\frac{1}{6} (\text{April } 02 + \text{Mai } 02 + 2 \text{ März } 03 + \text{April } 03 + \text{Mai } 03).$$

Schliesslich habe ich in Tab. XIII (zum Teil) und Tab. XV, wo sowohl März 1902 wie April 1902 fehlen, folgende Formel angewandt:

$$\frac{1}{6} (\text{Mai } 02 + 2 \text{ März } 03 + 2 \text{ April } 03 + \text{Mai } 03).$$

2) *Winter*: In sämtlichen Tabellen steht das arithmetische Mittel der beiden vollständigen Winter 1902 und 1903.

3) *Frühling*: Da der Frühling 1903 keineswegs vollständig ist — es fehlen 23 Tage des November — habe ich mich einer ähnlichen Berechnung bedient wie bei den *Herbst*-berechnungen und die Durchschnittszahl für den Frühling aus der Formel erhalten:

$$\frac{1}{6} (\text{September } 02 + \text{Oktober } 02 + 2 \text{ November } 02 + \text{September } 03 + \text{Oktober } 03).$$

4) *Sommer*: Dezember 02, Januar 03, Februar 03.

Die letzte Zeile schliesslich, »*Jahr*«, gibt die mittleren Jahreszahlen an, so wie ich sie aus den Ziffern für die vier ebenerwähnten Jahreszeiten erhalten habe.

In Tab. XII habe ich die verschiedenen Tage je nach ihrer Bewölkung in Durchschnittszahlen zusammengestellt, damit man auf diese Weise mit einem Mal einen Überblick erhält über die Zahl der klaren, der fast klaren, der halbklaren, der trüben und der fast trüben Tage.

In Tab. XIII habe ich unter anderem ausser dem Verdunstungsdurchschnitt der freien und der gegen die Sonne geschützten Schale auch die Durchschnittszahl der Lufttemperatur, der Windgeschwindigkeit und die Summe der Sonnenscheinstunden, die drei Faktoren, angeführt, mit denen man zu rechnen hat, wenn es sich darum handelt, den Grund für die Verschiedenheit der beiden Verdunstungsergebnisse zu finden.

In Tabelle XIII habe ich auf der letzten Seite die Frequenz sowohl der Hydrometeore als auch einer Reihe optischer Erscheinungen zusammengestellt; in beiden Fällen habe ich die Zahlen direkt aus den Aufstellungen erhalten, die hier unten folgen.

Ergänzungen und Erläuterungen zu den nachfolgenden Zifertabellen.

I. Ergänzungen zu den Windobservationen.

a) Windrichtung. Windgeschwindigkeit. Genaue Zeitangaben.	
1902.	1902.
März	Juni
26	14
4 ^h 0 ^m p: Wind dreht N→W→SW.	5 ^h a: kommt Wind dauernd bis um
28	5 ^h 45 ^m a; dann Windstille 20 Mi-
10 ^h 40 ^m p: Ein kräftiger Wind beginnt.	nuten, danach neuer Wind.
29	15
0 ^h 45 ^m a: Windstärke am geringsten.	11 ^h 25 ^m a: kommt SW à 12 m/s.
April.	16
5	2 ^h 50 ^m p: Wind nimmt zu.
7 ^h 10 ^m a: Der Wind dreht sich.	17
6	5 ^h 35 ^m a: kommt NE.
6 ^h 30 ^m p: beginnt S.	20
10 ^h 20 ^m a: Wind kommt.	4 ^h 40 ^m a—6 ^h 15 ^m : kräftiger SSW.
7	21
1 ^h 15 ^m p: Windstille.	5 ^h a: Wind nimmt ab.
9	9 ^h 40 ^m a: Wind nimmt zu.
4 ^h 15 ^m a: beginnt der Wind.	22
9 ^h 45 ^m p: beginnt SW.	7 ^h 15 ^m a: kommt Wind.
20	23
1 ^h 0 ^m p: Wind dreht sich ENE→E→SSE.	11 ^h 10 ^m a: Windgeschwindigkeit nimmt zu.
Mai	25
6	7 ^h 10 ^m p: » » »
7 ^h 15 ^m a: Die Windstille wird plötzlich von einem relativ lauwarmen Windstosse gestört. Die abnorm hohe Temperatur wird mit Schleudermometer als +7.2° konstatiert.	27
9 ^h p: Wind dreht sich SSE→ENE.	10 ^h 45 ^m p: beginnt plötzlich S à 8 m/s.
8	Juli
2 ^h 0 ^m p: Wind nimmt zu: in 5 à 10 Minuten von 2 m/s zu 15 à 20 m/s.	3
9	10 ^h 40 ^m a: Wind nimmt plötzlich ab.
10 ^h 15 ^m a: Wind nimmt ab.	5
10	10 ^h 5 ^m p: beginnt SW à 6 m/s.
2 ^h 10 ^m a: SW kommt.	7
24	3 ^h 50 ^m p: endet der S Wind.
7 ^h 20 ^m p: Wind nimmt zu.	11
Juni	4 ^h 35 ^m a: kommt plötzlich SW.
1	13
1 ^h 45 ^m a: Plötzlich kräftiger SSW à 15 m/s.	6 ^h 15 ^m p: SW nimmt zu.
6	26
2 ^h 25 ^m a: Der Wind nimmt zu.	11 ^h 50 ^m p: Wind nimmt stetig zu.
8	27
2 ^h 50 ^m p: beginnt SW à 20 m/s.	10 ^h p: Windstille.
11	Aug.
12 ^h 50 ^m p: Wind nimmt ab.	2
13	3 ^h 5 ^m a: kommt SW.
4 ^h 35 ^m a: kommt plötzlich SSW mit hoher Temperatur.	4 ^h 40 ^m a—5 ^h 15 ^m a: relativ Windstille.
1 ^h p: plötzliche Windstille.	3
	8 ^h 5 ^m p: SSW nimmt zu.
	9 ^h 25 ^m p—9 ^h 55 ^m p: Wind schwächer.
	7
	9 ^h a: beginnt NE.
	8
	10 ^h 45 ^m p: kommt NE.
	9
	4 ^h a: Wind nimmt ab.

a) *Windrichtung. Windgeschwindigkeit. Genaue Zeitangaben.*

1902.		1902.	
Aug.		Okt.	
11	11h15mp: endet der Sturm plötzlich.	2	11h45ma: Windstille.
14	7h47mp: kommt SW.		10h50mp—11h20mp: relativ Windstille.
18	1h10mp: endet der NNE; dann schwacher NW bis um 1h30mp, dann SSW.	3	5h15mp: Windstille.
20	2h 5ma: beginnt SSE.	5	1h15ma: Wind beginnt.
26	2h26mp: kommt SSW à 16 m/s.	12	0h 5ma: kommt Wind mit steigender Temperatur.
28	5h15mp: E-Wind.	15	0h45ma: Windstille.
29	1h25ma: Wind nimmt zu.	17	10h15ma: kommt WSW.
Sept.		28	1h15ma: Windstille.
1	9h50m: Wind nimmt zu.		3h40ma—4h10ma: S-Wind.
6	1h50ma: kommt SW.		7h15m: SSW à 6 m/s beginnt.
	11h30ma: der Wind dreht sich.	31	3h20ma: kommt Wind.
7	8h15mp: SSW kommt.	Nov.	
10	1hp—2hp: kommen S- und SSW-Winde mit steigender Temperatur.	8	5h25mp: kommt SSE mit Regen.
12	1h45mp—2h15mp: Schneesturm.	20	3hp: Var. = SSE—NE.
13	5h30ma: kommt NE.		10hp: Var. = SSW—E.
	11h30ma: nordwestlich von Station weht NW-Wind à 14 m/s.	25	2h5m—2h45m: Windstille.
14	7h0ma—7h35ma: Wind dreht sich E→SE →S→SW.	29	10h30mp—10h55m: Windstille.
16	8ha: nordwestlich von Station ist NNW-Wind.	Dec.	
	3hp—5hp: Auf Snow-Hill-Plateau: NNW-Wind à 8 m/s.	1	Mtg: Auf Snow-Hill-Plateau E-Wind à 4 m/s.
	5h15mp—6h0mp: beinahe Windstille.	3	0hp—1hp: Auf Cap-Seymour-Plateau weht N-Wind.
18	4 p: Auf Snow-Hill-Plateau N und NNW.	5	4hp—5hp: Auf Snow-Hill-Plateau ist E-Wind.
19	5h35mp—6h35mp: Windstille.	6	2h45ma: Windgeschwindigkeit nimmt zu.
	8h45mp—9h50mp: SW-Wind.	7	4h20mp: Windstille.
	10h45mp: kommt SSW à 9 m/s.	8	2h15ma: ENE beginnt.
24	7h10ma: Windstille einige Augenblicke, dann kommt E-Wind und dann dreht sich der Wind langsam E→NE→N →WNW→WSW.	11	5h20mp: beginnt WSW à 6 m/s.
	7h42ma: bleibend SSW.	12	6h 5mp: Windstille.
29	11h30ma—Mtg: der Wind dreht sich SSW→SSE→SE→E→NE→N.	15	9h15ma: Windstille.
	2hp: Auf Snow-Hill-Plateau starker NW-Wind.	18	10h10mp: kommt SSW.
30	6h5m: kommt S mit steigender Temperatur.	23	0h25ma: SW beginnt.
Okt.		24	4h10ma: Windstille.
1	8h15m: Windstille.		8h40mp: Wind nimmt ab.
2	5h20ma: kommt S.	25	11h 0ma: WSW beginnt.
		27	6hp: Auf Snow-Hill-Plateau ist Wind à 9,0 m/s.
		28	11hp: Var. = SSW—SSE.
		29	1hp: nordwestlich von Station ist N-Wind
		30	Mtg: Auf Snow-Hill-Plateau weht ESE.

a) *Windrichtung. Windgeschwindigkeit. Genaue Zeitangaben.*

1903		1903	
Jan.		März	
5	9h40 ^{ma} : beginnt SW.	4	8h10 ^{mp} : kommt SSW.
14	4hp—7hp: Auf Snow-Hill-Plateau S- und SE-Winde.	5	4h55 ^{ma} : beginnt plötzlich ESE. 6h30 ^{mp} : kommt SSW mit fallender Temperatur.
15	5ha: Var. = S—ENE. 7ha: Var. = SSW—E.	13	2h10 ^{ma} : Wind nimmt zu. 3h50 ^{mp} : Windstille. 5h30 ^{mp} —6h5 ^{mp} : WSW-Wind.
17	10hp: Var. = NNE—SE. 11hp: Var. = E—S.		11h50 ^{mp} : beginnt SSW-Wind.
18	3hp: Var. = NW—S.	14	0h55 ^{ma} : Wind nimmt zu.
19	2hp: Var. = S—E. 4hp—5hp: Auf Snow-Hill-Plateau veränderliche Winde.	22	9h50 ^{mp} : Windstille.
20	11ha—1hp: Nordwestlich von Station ENE-Wind.	23	5h15 ^{mp} : kommt SW.
21	1hp: Auf Snow-Hill-Plateau weht schwacher SE-Wind.	April	
22	11ha—2hp: Auf Snow-Hill-Plateau S- und SE-Winde.	2	2h45 ^{mp} : Mit fallender Temperatur dreht, der Wind NNE→N→NW→W→SW. 3h10 ^{mp} : SW-Wind endet. 9h50 ^{mp} : kommt E-Wind.
23	0h40 ^{ma} : kommt WSW.	3	Mittg: Auf Snow-Hill-Plateau Wind à 4 m/s. 11h50 ^{mp} : kommt NE.
24	5hp: Auf Snow-Hill-Plateau NNW-Wind à 15 m/s.	4	4h55 ^{ma} —5h10 ^{ma} : Windstille. Mittg: Auf Snow-Hill-Plateau NW-Wind à 8 m/s.
Febr.			1hp: Auf Snow-Hill-Plateau N-Wind à 2 m/s. 7h35 ^{mp} : kommt S.
5	10ha—Mittg: Auf Snow-Hill-Plateau NNW-Wind à 13 m/s. 6h15 ^{mp} : kommt SW à 5 m/s.	5	3h40 ^{ma} : Wind nimmt zu.
8	11h 5 ^{mp} : Windstille.	8	9h30 ^{ma} —10h25 ^{ma} : Windstille.
9	1hp: Auf Snow-Hill-Plateau N- und NNW-Winde à 16 m/s.	9	7h15 ^{mp} : Wind nimmt zu.
10	0h55 ^{ma} : beginnt WSW.	10	9h15 ^{mp} : Plötzlich SW à 12 m/s.
17	6h50 ^m —7h10 ^m : Wind schwächer.	11	0h 0 ^{mp} : Wind kommt. 8h30 ^{mp} : SW beginnt.
21	11h30 ^{ma} —1hp: Auf Snow-Hill-Plateau N-Wind à 6 m/s. 5hp: Auf Snow-Hill-Plateau SW-Wind. 6hp—7hp: Auf Snow-Hill-Plateau SSW-Wind.	16	3ha: relativ Windstille. 9h5 ^{ma} —9h15 ^{ma} : Windstille, danach NE-Wind.
23	10h5 ^{mp} : kommt S.		10ha: Var. = NE—SE.
25	1h50 ^{ma} —2h50 ^{ma} : Windstille.		9h22 ^{mp} : kommt plötzlich S-Wind à 7 m/s mit steigender Temperatur.
27	9hp: Var. = SE—NE. 11hp, Mittg: Var. = S—ENE.		9h32 ^{mp} : kommt NE mit fallender Temperatur.
28	1hp—1h30 ^{ma} : Windstille; 1h30 ^{ma} kommt Wind à 5 m/s.	17	2h35 ^{ma} —3h20 ^{ma} : SSW-Wind.
März		18	7hp: Wind nimmt ab.
1	6h45 ^{mp} : dreht sich der Wind über W-quadrant.	19	0h30 ^{mp} —3hp: nordwestlich von Station weht NNW à 7 m/s. 4h35 ^{mp} : kommt starker WSW.
2	6h10 ^{mp} : Windstille.		
3	6hp—8hp: 3 à 4 km. nordwestlich von Station ist SSW-Wind.		

a) *Windrichtung. Windgeschwindigkeit. Genaue Zeitangaben.*

1903		1903	
April		Juni	
21	3h20 ^{ma} : kommt Wind.	12	3h20 ^{ma} : SSW kommt.
25	3h45 ^{ma} —5h5 ^{ma} : Windstille.	14	1h35 ^{ma} : Windstille.
	11h45 ^m : Windstille.	15	0hp—1hp: Auf Snow-Hill-Plateau stetig zunehmender SW 2 m/s—6 m/s.
	4h 7 ^m : kommt plötzlich SE mit steigender Temperatur.		1h15 ^{mp} : kommt relativ warmer SSW.
	8h30 ^m : beginnt SSW.	20	0hp: Auf Snow-Hill-Plateau ist SSE à 3 m/s.
Mai			1hp: » » » » NE à 4 m/s.
2	0h 5 ^{mp} : Wind kommt.	21	11h50 ^{ma} : kommt Wind.
4	1h45 ^{ma} —2h25 ^{ma} : Windstille.	22	0h 0 ^{ma} : kommt SW-Wind.
6	0h 5 ^{mp} : Wind nimmt stetig ab.		10h30 ^{ma} : Windstille.
12	3h 5 ^{ma} : Windstille.	24	7h10 ^{ma} : beginnt SSW-Wind.
14	6h50 ^{ma} : kommt ENE.	25	0h15 ^{ma} : kommt NE-Wind.
	9h30 ^{mp} —9h45 ^{mp} : Windstille.		10h15 ^{mp} : Wind nimmt stetig ab.
16	2hp: kommt NE.	26	11h25 ^{ma} : beginnt SSW à 11 m/s.
18	2h45 ^{mp} —3h0 ^{mp} : relativ Windstille, dann plötzlich SW à 9 m/s.	27	7h35 ^{mp} : plötzliche Windstille.
19	1h30 ^{mp} —1h45 ^{mp} : NE-Wind.	28	1h0 ^{ma} —3h35 ^{ma} : ENE-Wind.
20	7h40 ^{ma} : Wind nimmt schnell ab.	29	2h10 ^{ma} : kommt Wind.
23	6h15 ^{mp} : kommt SW.		0hp—2hp: Auf Snow-Hill-Plateau weht NNE à 3 m/s.
25	0h45 ^{mp} : Windstille.	30	7ha: Var. = SSE—NE.
	9h 0 ^{mp} : kommt WSW à 6 m/s.		7h20 ^{ma} —7h35 ^{ma} : Windstille.
26	10h15 ^{ma} : kommt NE.		9h 5 ^{ma} : beginnt SSW.
	5h30 ^{mp} —5h50 ^{mp} : relativ Windstille; der Wind dreht.	Juli	
28	8ha: Var. = E—SW.	2	10ha—2hp: nordwestlich von Station SE, der jedoch unter Land variabel wird = SSE—E.
	1h50 ^{mp} : kommt SSW à 8 m/s.	4	8h10 ^{mp} : kommt ENE.
	7h30 ^{mp} —7h55 ^{mp} : Windstille.	6	11ha—1hp: Auf Snow-Hill-Plateau weht NNE à 5 m/s.
29	10ha—1hp: Auf Snow-Hill-Plateau weht NNW à 15 m/s.	7	0h15 ^{mp} : beginnt warmer S-Wind à 9 m/s.
30	6h45 ^{ma} : kommt NE.	9	3h 5 ^{mp} : Wind nimmt zu.
31	6h45 ^{ma} : kommt SSE mit steigender Temperatur.		11h45 ^{mp} —11h57 ^{mp} : Windstille, dann plötzlich SSW-Wind.
Juni		10	2h15 ^{ma} : relativ Windstille.
1	7h55 ^{ma} : kommt SW.	11	3h30 ^{ma} —4h10 ^{ma} : Windstille.
	1h15 ^{mp} : Wind nimmt ab.		11h45 ^{ma} : Wind nimmt zu.
	5h50 ^{mp} : Wind nimmt zu.	12	8h30 ^{ma} —8h45 ^{ma} : Windstille.
2	0ha: Wind nimmt zu.	13	10h55 ^{mp} —11h0 ^{mp} : Windstille.
4	4h35 ^{mp} : Windstille.	14	9h0 ^{mp} : kommt Wind.
	10h55 ^{mp} : Windstille.	16	5h45 ^{mp} —5h55 ^{mp} : Windstille.
7	8h33 ^{ma} : kommt NE.	17	1h45 ^{mp} : kommt ENE.
9	2h20 ^{mp} : Windstille.	18	9ha—10ha: nordwestlich von Station N- und NNW-Winde.
11	5h10 ^{mp} : Windstille.		

a) *Windrichtung. Windgeschwindigkeit. Genaue Zeitangaben.*

1903		1903	
Juli		Aug.	
18	2hp: Auf Snow-Hill-Plateau weht N à 18 m/s.	20	2h15mp: Wind dreht SE→E→ENE; Temperatur fällt.
19	Mttg: » » » » N à 17 m/s.	21	9h 5ma: NE kommt.
20	11ha: » » » » NW à 10 m/s. 7h20mp: kommt SW à 12 m/s, nach 2 Minuten Windstille.	22	0h 5mp: Windstille. 6h10mp: Wind nimmt stetig zu.
21	1h40mp: Wind nimmt schnell zu. 8h5mp—9h0mp: Windstille.	27	9h30mp—9h55mp: Windstille. 10h40m—11h5mp: Windstille, dann SSW.
22	0hp—1hp: Auf Snow-Hill-Plateau N-Wind, der um 1h30mp weht à 17 m/s. 10h50mp: Der Wind springt plötzlich um von NE à 10 m/s nach SW à 12 m/s.	30	6h45ma—7h0ma: Windstille, dann SSW.
23	7hp: Wind nimmt ab.	Sept.	
24	7h25mp: beginnt NE.	1	9h55ma: S-Wind hört auf. 7h 5mp: Windstille.
26	9h50mp: kommt SSW.	2	10h30mp: kommt SSW.
28	7h30ma: beginnt SSW, 9h15ma: Wind nimmt zu, 15 m/s.	5	11ha—3hp: Auf Snow-Hill-Plateau schwache N-Winde. 4hp: Auf Snow-Hill-Plateau schwache E-Winde.
Aug.		6	8h10m: Windstille. 10h15m: S-Wind beginnt.
1	Mttg: Auf Snow-Hill-Plateau NE-Winde à 2 m/s.	8	1hp: Auf Snow-Hill-Plateau NE à 3 m/s.
4	6h0ma: Windstille. 10ha: Var = ESE—WSW. 11ha—Mttg: Laue SW-Winde.	9	11ha: nordwestlich von Station NE-Wind. 1hp—2hp: Auf Snow-Hill-Plateau NE-Wind à 16 m/s. 9h50mp: Windstille.
5	6h0ma—6h10ma: Windstille.	10	0hp: Auf Snow-Hill-Plateau beginnt WSW-Wind à 2 m/s. 4h45mp—5h15mp: Windstille.
6	0h 5ma: beginnt plötzlich SSW mit fallender Temperatur.	11	1h15mp: kommt plötzlich SSW à 12 m/s.
7	2h50mp: beginnt NE.	15	6h55mp: kommt Wind.
8	11h15ma: Wind dreht sich NNE→N→NW mit fallender Temperatur.	16	9h 5ma: beginnt WSW. 8h15mp: Windstille.
11	11h 0ma: kommt WSW à 5 m/s.	17	4h45mp: kommt SW à 15 m/s mit schnellem Temperaturfall.
12	1hp—2hp: Auf Snow-Hill-Plateau weht NE à 5 m/s.	18	8h15mp: Windstille.
13	10ha—11ha: nordwestlich von Station ist NNE-Wind. 1hp—2hp: Auf Snow-Hill-Plateau ist NNW-Wind.	19	8h30ma: Wind nimmt zu.
14	1h30mp: Auf Snow-Hill-Plateau ist NNE à 10 m/s.	24	1h15ma: Windstille.
15	0h15mp: Der Wind nimmt ab, gleichzeitig sich drehend W→SW→S→E. 1h15mp: nordwestlich von Station ist SW à 4 m/s.	26	3h20mp: Windstille.
17	8h30mp—8h45mp: relativ Windstille.	27	11hp: Relativ Windstille; der Wind dreht sich.
20	7h15ma: SSW nimmt schnell ab.	29	6h 5mp: SW kommt.
		Okt.	
		3	1hp: Auf Snow-Hill-Plateau ist N-Wind.
		5	7hp: Der Wind dreht sich NE→N→NW →W→SW.

a) *Windrichtung. Windgeschwindigkeit. Genaue Zeitangaben.*

1903. Okt.		1903. Okt.	
6	3 ^h 35 ^{ma} : Windstille. 6 ^{hp} : Auf Snow-Hill-Plateau weht NNW à 6 m/s. 9 ^h 0 ^{mp} : kommt ENE.	26	8 ^h 15 ^{mp} : Windstille.
7	11 ^h a—12 ^h a: nordwestlich von Station ist WSW. 2 ^h 0 ^{mp} : Wind nimmt zu.	28	11 ^h a: nordwestlich von Station ist NNW à 6 m/s.
11	10 ^h a—3 ^h p: nordwestlich von Station ist WSW à 3 m/s.	29	Mittg: nordwestlich von Station ist NNW. 4 ^h 20 ^{mp} : beginnt WSW à 10 m/s.
13	2 ^h 20 ^{mp} : beginnt SSW.	31	10 ^h a: nordwestlich von Station weht SE-Wind à 7 m/s.
14	7 ^h 15 ^{mp} : Wind nimmt zu.	Nov.	
17	11 ^h a—1 ^h p: Auf Snow-Hill-Plateau ist N-Wind.	3	8 ^h 15 ^{ma} : kommt SW. 10 ^h a—1 ^h p: Auf Snow-Hill-Plateau weht NNW à 7 m/s.
19	8 ^h 15 ^{mp} : Windstille.		7 ^h 30 ^{mp} : beginnt ENE-Wind.
21	11 ^h a: Auf Snow-Hill-Plateau ist NNW-Wind.	6	0 ^h a—0 ^h 25 ^{ma} : relativ Windstille, dann SW-Winde.
22	10 ^h 0 ^{ma} : kommt SW à 6 m/s.		5 ^h 10 ^{ma} : Windstille.
26	3 ^h 45 ^{mp} : kommt SSW.	7	1 ^h 45 ^{ma} —2 ^h 15 ^{ma} : Windstille.

b) *Windwirkung mit Windgeschwindigkeit zusammengestellt.*

Um einen greifbareren Beweis für die Bedeutung der SW-Stürme zu liefern, die bei Snow-Hill so oft wüteten, will ich hier unten einige Auszüge aus dem Journal und den Tagebüchern über die mechanischen Wirkungen des Windes anführen.

1902.	Das Dach des provisorisch aufgestellten Magnethauses wird 10 à 15 m weit fortgeführt und die Wände umgeweht.	1902. April	
März		15	Das Eis im Admiralitätssund, das seit dem 18. März lag, geht auf und wird von einem dreitägigen Sturm von 16 m in der Sek. ins Meer hinausgetrieben.
14	Nach dem Sturm vom 12. und 13., dessen Maximum mit 26 m in der Sek. registriert wurde, war eines unserer zwei Kajaken vollständig weggeweht, obwohl es gegen SW-Winde gestützt war. Das zweite Kajak von etwas schwererem Material war ebenfalls in Bewegung gesetzt worden, blieb aber nach einem Weg von 20 m an einem Vorratslager von Fässern und Kisten hängen. Die kleine Schiffsjolle war vom Wind umgekippt worden.	25	Nach einem Sturm, der eine Stärke von 23,9 m in der Sek. erreichte, zeigt es sich, dass die Kiste für das astronomische Passageinstrument 100 à 125 m weit fortgeweht ist.
		Maï	
16	Nach einem Sturme von 18 m in der Sek. stellt sich heraus, dass sich die Wasser- tonne und eine Zinkwanne davongemacht haben und nicht entdeckt werden können.	1	In der Nacht wurde ich, als ich mich auf dem Wege zum Magnethause befand, von starken Windstößen umgeworfen.
30	Nach einem Sturm, Max. = 27,7 m in der Sek., zeigt es sich, dass sich das grosse Boot 2,5 m von seinem früheren Platz entfernt hat. Das Wohnhaus erbebt unter dem Druck, es wird am 12. April mit groben Bohlen gestützt und an allen Ecken mit Stagen versehen.	3	Bei einem Wind, der bis auf 29,9 m in der Sek. ging, bricht die Stange der Wetterfahne. Die Tür des grösseren Thermometerhäuschens wird von einem Windstoss aufgerissen.
		4	In der Nacht hat der Sturm das Eis auf- gebrochen und ins Meer hinausgetrieben.
		9	Die Magnet-Observationsserie musste heute Nacht abgebrochen werden, da man im Sturm kaum den Kurs halten konnte. Das Haus zittert und bebt bei Windstößen von 30 m in der Sek., so dass man schwer ein- schlafen kann.

b) *Windwirkung mit Windgeschwindigkeit zusammengestellt.*

1902.		1902.	
Mai		Aug.	
29	Nordenskjöld und ich sind mit einigen Versuchen zur Bestimmung der Abkühlungsfähigkeit des Wetters beschäftigt; diese Versuche müssen wir in unseren Winterkleidern auf der Erde liegend vornehmen, da es unmöglich ist, in aufrechter Stellung Zeit und Temperatur abzulesen.	11	Vom Sturme, Max. = 33,7 m in der Sek., werden einige Kisten mit fortgeführt. Ein kleines Kistchen, das zu Lloyds magnetischer Wage gehört, von schwerem und dickem Material, wird in kleine Stücke zerschlagen wiedergefunden. Eine grosse, schwere, dicke Kiste für die beiden Edelmannschen Variationsinstrumente, wird vom Wind den Stationshügel hinabgewälzt. Die Eiskiste ist verschwunden und wird unter am Strand in kleinen Stücken wiedergefunden. Das unbefestigte Dach des astronomischen Observatoriums, etwa 15 × 10 dm wird losgerissen und 200 à 250 m weiter entfernt aufgefund. Es sieht aus, als sei es 120 m in der Luft dahingeflogen, bevor es zum ersten Mal auf die Erde fiel.
Juni		Sept.	
8	An einem der letzten drei Tage mit Maxima bis zu 26,6 m in der Sek. ist das grosse Boot von seiner Vertäuung an einem erdfesten oder am Boden angefrohrenen Stein losgerissen und vom Sturm 30 à 40 m weit von seinem ursprünglichen Platze fortgeschleudert worden, bis es schliesslich auf dem entzweigeschraubten Strandeis sitzen blieb. Nach dem Eise zu bezeichnenden einige Holzstücke den Weg, den es alsdann genommen haben würde. In Lee vom Boote lag unsere Eistonne, die also von ihrem Platze beim Wohnhaus einen Weg von 3 à 400 m zurückgelegt hatte.	23	Auf einer Tour nach dem östlichen Teil der Insel wird in dem nördlichen der beiden ins Meer mündenden Täler eine Latte gefunden, die zwar nur einige Dezimeter lang und einige Centimeter breit ist, aber der Wind muss sie doch quer über eine Höhe von etwa 150 m dorthin transportiert haben.
10	In den Morgenstunden musste man auf dem Weg zum Magnethause auf allen Vieren um die Hausecke kriechen; denn bei einem solchen Wind von 30 m in der Sek. war es unmöglich, an der Hausecke, wo der Wind wahrscheinlich eine Stärke von 35 à 36 m in der Sek. erreichte, aufrecht zu stehen. Das Schalenkreuz des Anemometers wird fortgeweht. Eine mit Schiffszwieback gefüllte Tonne, die in der Ebene unterhalb von unserem Wohnhause gestanden hatte, ist vom Winde fortgeführt worden, wird aber am 12. draussen auf dem Eise 3 à 400 m von ihrem ursprünglichen Platze entfernt wiederaufgefunden.	28	Während des Sturmes, Max. = 29,4 m in der Sek., schmettern die ganze Zeit kleine Steine gegen die Fenster der Luvsseite und zertrümmern schliesslich zwei von den kleinen Scheiben, die sich in einer Höhe von 1 1/2 m über der Erde befinden.
Juli		Okt.	
3	In der Nacht, bei einem Wind-Max. = 20,8 m in der Sek., verschwand eine Kiste, die auf der Luvsseite des Hauses stand und zur Hälfte mit Eis, etwa 1 Hektoliter, gefüllt war. Sie wurde später 3 à 400 m vom Hause entfernt, entzweigeschlagen unten am Strande gefunden.	24	Der Verfasser wird auf dem Weg zwischen dem Wohnhause und dem magnetischen Observatorium einmalig vom Wind, Max. = 26,4 m in der Sek., aus dem Kurs getrieben.
8	Die Kombination von Sturm, Windgeschwindigkeit = 20 m in der Sek., mit dichtem Schneegestöber verwirrt Nordenskjölds Ortskenntnis, als er in dieser Nacht die Beobachtungen von Ebbe und Flut vornimmt, so dass er ungefähr eine halbe Stunde unherirrt, ehe er zum Wohnhause zurückgelangt.	1903.	
16	Beim Sturm in dieser Nacht, Max. = 34,4 m in der Sek., erbebt das Wohnhaus mit einem donnerähnlichen Getöse; man glaubt in einem Nachtzug zu reisen. Das Anemometerkreuz wird fortgeweht.	März	
		10	An der Wand zum Trocknen festgenagelte Robbenfelle werden vom Wind, Max. = 20,8 m in der Sek., losgerissen.
		Juni	
		3	In der Nacht hatte der Sturm, Max. = 24,5 m in der Sek., 1.) das Dach des astronomischen Observatoriums abgehoben und bis zu den Booten d. h. 200 à 300 m weit fortgeschleudert; 2.) einen Reisekoffer normaler Grösse, der zur Hälfte mit Kleidern gefüllt und an der Erde festgefroren war, losgerissen und 20 bis 30 m weit fortgeschleppt; 3.) das kleine Boot, das vorher sehr fest angefrohren war, vom Platze gerückt.

b) *Windwirkung mit Windgeschwindigkeit zusammengestellt.*

1903. Juni		1903. Sept.	
9	I der Nacht hat der Wind, Max. = 20,7 m in der Sek., die Wetterfahnenstange abgebrochen.	25	Beim heutigen Sturm, Max. = 27,3 m in der Sek., springen zwei Scheiben in den Fenstern auf der Luvsseite. Die Tür des grösseren Thermometerhäuschens wird aufgerissen und aus ihren Angeln gehoben. Das Fenster des Magnethauses ist zertrümmert worden, trotzdem ein feines Gewebe aus Messingdraht vor demselben festgenagelt war; unter dem Fenster lag ein Stein im Gewicht von einigen Hundert Gramm, der wohl den Schaden veranlasst hat.
Aug.			
24	Der heutige Sturm, Max. = 32,7 m in der Sek., entführt ein kleineres Fass, das im Schutze des Hauses stand und unter anderen einen Hellmannschen Niederschlägemesser enthielt.		
25	Die eine Verdunstungsschale wird vom Sturm, Max. = 27,4 m in der Sek., davongetragen.		

c) *Luftelektrische Erscheinungen bei stürmischem Wetter.*

1902. Mai		1902. Juni	
8	Man sieht Lichterscheinungen an Mütze, Mützenbändern, Ärmelkanten und Fingerspitzen.	9	1 ^{hp} —10 ^{hp} : Elektrische Entladungen.
27	Mttn.: Elektrische Funken an der Anemometeruhr.	10	5 ^{ba} : Elektrische Funken an der Anemometeruhr.
28	10 ^{hp} —Mttn.: Elektrische Funken an der Anemometeruhr.	Aug.	
29	1 ^{ba} —2 ^{ba} : Elektrische Funken an der Anemometeruhr.	11	5 ^{ba} —6 ^{ba} : Elektrizität an der Anemometeruhr.
Juni		Sept.	
4	Im Laufe des ganzen Tages, elektrische Entladungssphänomene an der Anemometeruhr.	25	2 ^{ba} : Von den Fingerspitzen der Handschuhe geht ein phosphoreszierendes Licht aus.
6	11 ^{hp} —Mttn.: Elektrische Funken an der Anemometeruhr.	28	10 ^{hp} : Lichterscheinungen an den Handschuhspitzen.
7	1 ^{ba} —6 ^{ba} : Elektrische Funken an der Anemometeruhr.	1903. Aug.	
8	3 ^{hp} —9 ^{hp} : Elektrische Entladungen.	24	3 ^{ba} : Elektrische Phänomene sowohl an der Anemometeruhr wie auch an den Handschuhen.

II. Ergänzungen zu den Wolkenbeobachtungen.

a) *Radiation. Bewegungsrichtung.*

1902. März		1902. April	
25	9 ^{hp} : Die A-Cu kommen von W.	6	8 ^{ba} : Die Ci kommen von SW; 3 ^{hp} : Die Ci kommen von W.
27	7 ^{ba} : Die A-Cu kommen von WSW.	7	7 ^{ba} : Die A-Cu kommen von W.
April		17	10 ^{ba} : Die S kommen von NW.
4	5 ^{hp} : Die S gehen für SW-Wind.	19	8 ^{hp} : Die A-Cu gehen sehr langsam von NE.
5	6 ^{ba} : Die Wolken kommen von W.		

a) Radiation. Bewegungsrichtung.

1902.		1902.	
April		Juni	
21	5 ^{ha} : Die S zeigen Radiation N—S; 7 ^{hp} : A-S kommen in N auf; 10 ^{hp} : Die S-Cu kommen von ENE.	23	5 ^{ha} : Eine Menge von Wölkchen gehen bei starkem WSW-Wind; 1 ^{hp} : Ci-Cu mit Radiation W—E gehen von W; 10 ^{hp} : Ci und Ci-S mit Radiation WSW—ENE.
26	4 ^{hp} : Die S gehen von SSW.	24	5 ^{ha} : Einige niedrige F-S gehen von W.
28	6 ^{ha} : Die Ci zeigen Radiation NE—SW. Mittn.: Eine Wolkenbank kommt in NW auf.	27	3 ^{ha} : Ci und Ci-S mit Radiation N—S.
29	8 ^{ha} : Die Cn zeigen Radiation W—E; 11 ^{ha} : Die Ci haben Radiation WSW—ENE; Mittg.: Die Ci haben Radiation SW—NE.	Juli	
30	10 ^{ha} : Die Ci gehen von S 35° W.	5	8 ^{ha} : Die A-Cu mit Radiation SW—NE; ebenso die S-Cu.
Mai		10	8 ^{hp} : S-Cu gehen von W.
7	1 ^{ha} : Die Sternen leuchten durch einen dünnen Schleier, der doch um 2 ^{ha} in Richtung von W nach E weg geht.	12	6 ^{hp} : Ci mit Radiation N—S.
10	1 ^{hp} : Die S-Cu gehen von SW.	13	5 ^{hp} , 7 ^{hp} : Die Wolken scheinen von W nach E gehen.
12	3 ^{hp} : Die Ci zeigen Radiation W—E und gehen von W, die S-Cu haben Radiation N—S.	24	2 ^{hp} : Ci-Cu mit Radiation W—E.
13	1 ^{hp} , 2 ^{hp} : Die Ci, mit Radiation WSW—ENE, gehen von SW.	28	4 ^{hp} : Ci mit Radiation SW—NE.
15	9 ^h 10 ^{mp} : S-Cu kommen in SW auf.	Aug.	
18	1 ^{ha} : A-Cu gehen von SW.	2	9 ^{ha} : A-S mit Radiation W—E.
31	9 ^{ha} : Ci und Ci-S zeigen Radiation W—E.	3	9 ^{ha} : Ci mit Radiation WSW—ENE.
Juni		12	8 ^{hp} : Die S gehen von N.
11	11 ^{ha} —1 ^{hp} : Ci und Ci-S mit Radiation NNW—SSE.	16	9 ^{hp} : Ci mit Radiation SSW—NNE; 11 ^{hp} : Radiation N—S.
12	10 ^{hp} : Ci mit Radiation S—N.	17	2 ^{ha} : Eine dichte Wolkenbank kommt in W auf.
15	7 ^{ha} : Ci mit Radiation WSW—ENE; Mittn.: ein dünner Schleier kommt in W auf.	18	9 ^{ha} : Die S-Cu gehen von NW.
17	6 ^{hp} : Die S-Cu gehen von WSW; 10 ^{hp} : die Ci gehen von W.	19	6 ^{hp} : Ci und Ci-S mit Radiation NW—SE.
19	4 ^{ha} : A-S kommen in W auf; 5 ^{hp} : Ci und Ci-S mit Radiation SSW—NNE; 7 ^{hp} : A-Cu mit Radiation SSW—NNE gehen von SW.	21	5 ^{ha} : Die A-S ziehen von SW nach NE.
20	3 ^{ha} : S-Cu mit Radiation SW—NE; 7 ^{ha} : Ci und Ci-S mit Radiation NNW—SSE; Dicke Wolkenbänke in W und in N.	22	9 ^{ha} : S-Cu kommen in W herauf.
21	4 ^{ha} : Einige Wölkchen kommen in W auf; 8 ^{hp} : die S-Cu in zwei Schichten, die eine mit Radiation N—S, die andere mit Radiation W—E.	23	9 ^{ha} : S-Cu kommen schnell von S herauf.
		27	6 ^{ha} , 7 ^{ha} : S-Cu mit Radiation SSW—NNE.
		11 ^{ha} : Die niedrigen Wolken gehen von W.	
		29	3 ^{hp} : A-Cu mit Radiation SSW—NNE.
		30	Mittg.: Ci-S kommen in W auf.
		Sept.	
		1	10 ^{ha} : Ci-S kommen in W auf.
		3	7 ^{ha} : Ci-Cu mit Radiation S—N.
		6	7 ^{hp} : S-Cu kommen in W auf.
		7	7 ^{ha} : S-Cu mit Radiation W—E; 4 ^{hp} : Ci mit Radiation WSW—ENE; 10 ^{hp} : Ci-S kommen von SW herauf.
		10	8 ^{ha} : A-Cu. mit Radiation NW—SE, kommen in SSW auf; 9 ^{ha} : A-Cu gehen von S.

a) Radiation. Bewegungsrichtung.

1902.		1902.	
Sept.		Nov.	
11	9hp: Ci mit Radiation S—N; 11hp: ebenso.	8	11hp: A-Cu gehen von NW.
12	1ba: Ci-S mit Radiation SW—NE; 2ba: Ci-S mit Radiation WSW—ENE; 4hp: Die Ni gehen von W; 7hp, 8hp: Die Ci-S gehen von W.	9	1ba: A-Cu, mit Radiation NW—SE, gehen ganz schnell von W; 10ba: A-Cu gehen von SW.
14	4ba—6ba: Die Ni gehen von NW; 8ba: Ci-S kommen in SW auf; 8hp: Die S-Cu kommen in WSW auf.	11	5ba: S-Cu gehen von SW.
15	7ba: Die A-Cu gehen von W; Mttg, 1hp: Ci-S mit Radiation SW—NE.	13	2hp: S-Cu gehen von WSW; 3hp: S-Cu gehen von SW.
16	6ba: Die Ni gehen von WNW.	14	1hp: A-Cu gehen von SSW; 5hp: S-Cu kommen in SW auf.
18	6ba: Die Ni gehen von NNE.	17	4hp: A-Cu gehen von SSW; 6hp: A-Cu gehen von S.
23	3ba: Die Wolken kommen in SW auf.	19	2hp: F-Ni gehen von SSE; 4hp: A-Cu gehen von SSE. 5hp: A-Cu gehen von SE.
Okt.		25	5ba: Ci gehen von S.
1	9ba: Ci und Ci-S mit Radiation S—N.	30	1hp: Ni gehen von E.
4	5ba: S-Cu gehen von WNW; 6ba: S-Cu mit Radiation WNW—ESE.	Dec.	
8	4ba: Ci und Ci-S mit Radiation N—S; 7ba: A-Cu gehen von WSW.	1	5hp: A-Cu gehen von SSW; 9hp: Ci-Cu mit Radiation WSW—ENE.
9	9hp: Ci-S mit Radiation NNW—SSE; 10hp: Ci-S mit Radiation WNW—ESE.	2	2ba: Ci-S mit Radiation S—N; 3ba: Ci-S mit Radiation SSE—NNW.
10	8ba: A-Cu und S-Cu gehen von NNW; 11ba: Die A-Cu kommen in W auf.	4	10ba—1hp: S gehen von E.
11	10hp: S-Cu gehen von WSW.	7	10ba: Die niedrigen S gehen von SW.
12	7hp: A-Cu kommen in SW auf.	8	3ba: Ci mit Radiation WSW—ENE.
13	7hp: Ci-S mit Radiation W—E. 9hp—Mtn: Ci-S mit Radiation WSW—ENE.	9	5ba: S-Cu gehen von NE.
17	10hp: Ci-S mit Radiation SW—NE.	11	8hp: S-Cu gehen von NNW; 9hp: A-Cu gehen von NNW.
18	1ba: A-Cu kommen in SW auf; 4ba: Ci-Cu mit Radiation W—E; 8ba: A-Cu mit Radiation WNW—ESE; 7hp: Ci mit Radiation WSW—ENE; 10hp: S-Cu gehen von SW; 11hp: Ci mit Radiation WSW—ENE.	13	7hp: A-Cu gehen von N.
21	1hp: Ci mit Radiation W—E.	14	9ba: S-Cu gehen von N.
22	4ba: A-Cu gehen von SW.	15	8hp: Ci-Cu mit Radiation W—E.
27	2hp: A-Cu gehen sehr langsam von SE.	19	8ba: A-Cu gehen NE—SW sehr langsam; 9ba: einige F-S gehen von ESE; 4hp: Ci-S in zwei Schichten, der untere mit Radiation E—W, die obere mit Radiation NW—SE;
30	10hp: Ci mit Radiation SW—NE.	6hp:	Die unteren Ci-S mit Radiation ENE—WSW, die oberen mit Radiation NNW—SSE;
Nov.		7hp:	Ci gehen von WSW; Mtn: Ci-S mit Radiation WSW—ENE.
3	Mttg: Ci mit Radiation SW—NE.	20	1ba: Ci-Cu mit Radiation W—E.
4	3ba: A-S mit Radiation WSW—ENE; 9ba: A-S mit Radiation SW—NE.	21	5hp: S-Cu kommen in W auf.
5	6ba: A-Cu mit Radiation WSW—ENE; 4hp: Ci mit Radiation WNW—ESE.	26	8ba: A-Cu kommen in SW auf.
7	7hp: A-Cu, mit Radiation SSW—NNE, gehen von SSW.	29	1hp: Ci-S mit Radiation W—E; 2hp: A-Cu gehen von SW, unterhalb derselben S-Cu, die von ENE gehen; 6hp: S-Cu gehen von NE; 8hp: A-Cu gehen von WSW.

a) *Radiation. Bewegungsrichtung.*

1903.		1903.	
Jan.		April	
1	11ba: F-S gehen von NE; 11bp: Ci-S mit Radiation WSW—ENE.	6	6ba: Ci-Cu mit Radiation W—E; 11bp: Ci-S mit Radiation SW—NE.
2	7ba—10ba: Ci-S mit Radiation WSW—ENE.	7	5bp: Ci-Cu mit Radiation NW—SE.
3	10bp: S-Cu mit Radiation W—E.	8	Mttg: S-Cu gehen von W.
7	4bp: Ci mit Radiation WSW—ENE; 7bp: A-Cu gehen von NE.	9	5bp: Ci mit Radiation SW—NE.
11	7bp: F-N gehen von S.	11	6ba: Ci-Cu mit Radiation S—N.
13	9ba: Ci-S mit Radiation WSW—ENE.	14	2bp: Ci-Cu gehen von SSW; 3bp: Ci-Cu mit Radiation SSW—NNE.
14	3bp: A-Cu gehen von W.	15	Mitn.: S-Cu mit Radiation WSW—ENE.
15	7bp: A-Cu mit Radiation SW—NE.	16	9ba: Ci-S mit Radiation N—S; 4bp: A-Cu gehen von WNW.
16	7ba: F-S, niedrige, gehen von NNW.	11bp: Ci, mit Radiation WNW—ESE, gehen von SSW.	
19	2bp: Ci und Ci-S kommen in NW auf.	17	10ba: Ci und Ci-S mit Radiation SE—NW.
22	Mitn.: S-Cu gehen von SSE.	18	11ba: Ci-Cu mit Radiation SE—NW; Mttg: F-Cu gehen von W.
25	3bp: S-Cu gehen von WSW; 7bp: A-Cu gehen von WNW.	19	8ba—Mttg: Ci mit Radiation WSW—ENE.
26	11bp: Die Wolken gehen von NNW.	29	4bp: S-Cu mit Radiation NNW—SSE.
Febr.		Mai	
3	11ba—2bp: S-Cu gehen von SW.	1	11ba: Ci mit Radiation WSW—ENE; Mttg: Ci gehen von WSW.
5	11ba: S-Cu gehen von NW.	2	7ba: Ci-S mit Radiation WSW—ENE; Mttg: ebenso.
9	6ba: Ci mit Radiation SSW—NNE.	7	3bp: Ci mit Radiation W—E; 10bp: Ci und Ci-S mit Radiation WNW—ESE.
11	1ba: Ci mit Radiation W—E.	8	3bp: Ci und Ci-S mit Radiation SSW—NNE.
17	8ba: Ci-S mit Radiation N—S.	13	9bp: Ci mit Radiation N—S.
23	Mttg: Ci mit Radiation N—S; 1bp: Ci mit Radiation NNW—SSE. 2bp: Ci mit Radiation NW—SE.	14	11ba: A-Cu gehen von W; 4bp: Ci kommen in NW auf.
27	1bp: F-S gehen von NNE; 4bp: F-S gehen von NNE; S-Cu gehen von WNW.	15	2bp: Ci-S mit Radiation W—E.
März		16	10ba: Ci-Cu mit Radiation WSW—ENE; 11bp: A-Cu gehen von NNW.
1	6bp: F-S gehen von NNW.	17	11ba: S-Cu gehen von W.
3	1bp—5bp: A-Cu und S-Cu gehen von WNW.	29	4bp: Ci mit Radiation WSW—ENE.
4	8ba: S-Cu gehen von WNW; 9ba: Ci mit Radiation WSW—ENE. 9bp: Ci mit Radiation WSW—ENE.	30	2bp: S-Cu mit Radiation WSW—ENE.
11	5bp: S-Cu gehen von S.	31	8ba—Mttg: Ci mit Radiation W—E.
14	10bp: Ci-S mit Radiation N—S.	Juni	
22	6bp: A-Cu mit Radiation W—E.	1	10ba: A-Cu gehen von WNW; 11ba: Ci mit Radiation WSW—ENE.
April		3	11ba: Ci mit Radiation WSW—ENE.
2	6bp: F-S gehen von N.	10	10bp: A-Cu gehen von W.
4	10ba: A-Cu gehen von WNW; 2bp: A-Cu gehen von W. 5bp: Ci und Ci-S mit Radiation NNW—SSE.	11	11bp: Ci-Cu gehen von W; 7bp: Ci mit Radiation NW—SE.

a) Radiation. Bewegungsrichtung.

1903.		1903.	
Juni		Sept.	
15	3 ^{hp} : S-Cu kommen in SW auf.	3	4 ^{hp} : Ci mit Radiation SSW—NNE.
17	Mttg: Ci gehen von W.	7	1 ^{hp} : A-Cu gehen von WSW.
19	6 ^{ha} : Ci mit Radiation N—S; 11 ^{ha} : Ci mit Radiation SW—NE.	9	5 ^{ha} : Ci-S mit Radiation WSW—ENE; 3 ^{hp} : A-Cu gehen von WNW; 11 ^{30mp} : Ci mit Radiation WSW—ENE.
28	1 ^{hp} : A-S mit Radiation NNW—SSE.	11	6 ^{ha} : Ci mit Radiation WSW—ENE.
Juli		19	3 ^{hp} : Ci gehen von WNW.
1	5 ^{hp} : Ci mit Radiation W—E.	20	6 ^{hp} : Ci mit Radiation W—E.
7	11 ^{ha} : F-Ni gehen von W; Mttg: Ci mit Radiation W—E. 1 ^{hp} : Ci mit Radiation WNW—ESE.	26	10 ^{hp} : A-Cu kommen in NE auf.
9	5 ^{ha} : A-Cu mit Radiation N—S.	27	Mttg: F-S gehen schnell von N.
10	7 ^{hp} : Ci mit Radiation WSW—ENE.	28	10 ^{hp} , 11 ^{hp} : Ci mit Radiation SSW—NNE.
21	Mttg: Ci mit Radiation WSW—ENE; 1 ^{hp} : A-Cu gehen von W.	Okt.	
22	10 ^{ha} : Ci mit Radiation WSW—ENE.	3	5 ^{ha} : Ci mit Radiation SW—NE; 5 ^{hp} : A-Cu gehen von W.
26	9 ^{hp} : Wolken kommen in SW auf.	4	6 ^{ha} : S-Cu mit Radiation N—S; Mttg: Ci mit Radiation SW—NE.
Aug.		9	4 ^{hp} : F-S gehen von NNE.
3	3 ^{ha} : Ci-S mit Radiation NNW—SSE; 10 ^{hp} : Ci-S mit Radiation WNW—ESE.	13	6 ^{hp} : Die Wolken gehen SW—→NE.
4	7 ^{hp} : Ci-S mit Radiation SSE—NNW.	16	3 ^{ha} : Ci mit Radiation W—E.
5	11 ^{ha} : Ci. mit Radiation WNW—ESE, gehen von W.	19	Mttg: S-Cu gehen von WNW.
9	10 ^{hp} , 11 ^{hp} : Ci-S mit Radiation N—S.	21	4 ^{hp} : Ci mit Radiation NW—SE.
10	11 ^{ha} : Ci mit Radiation N—S.	24	4 ^{hp} : A-Cu mit Radiation W—E.
12	6 ^{ha} : Ci-Cu mit Radiation W—E; 1 ^{hp} : Ci mit Radiation WSW—ENE; 2 ^{hp} : A-Cu gehen von W.	25	2 ^{hp} : Ci mit Radiation SW—NE.
14	10 ^{ha} : In ca 200 m Höhe gehen F-S von N; darüber S von NW; darüber S-Cu von W; 11 ^{ha} : ebenso; Mttg: F-S gehen von E; S gehen von NNW.	27	7 ^{ha} : Ci und A-Cu gehen von WNW; 3 ^{hp} : A-Cu gehen von WNW; Mttg: Ci mit Radiation W—E.
15	7 ^{ha} : F-S gehen von NNW.	28	5 ^{hp} : A-Cu, mit Radiation NW—SE, gehen von NW.
16	10 ^{ha} : Ci-Cu gehen von NW; Mttg: F-S gehen von NW.	30	11 ^{hp} : Ci-S mit Radiation W—E.
20	3 ^{hp} : Ci mit Radiation: SSW—ENE.	Nov.	
26	4 ^{hp} : Eine Wolkenbank kommt in WSW auf.	2	4 ^{ha} : Ci mit Radiation N—S.
28	10 ^{ha} : A-Cu gehen von NW; 1 ^{hp} : Ci kommen in W auf; 7 ^{hp} : A-Cu mit Radiation NW—SE.	3	4 ^{hp} : Ci-Cu mit Radiation W—E.
		4	6 ^{hp} : F-N gehen von SW.
		5	7 ^{ha} : F-S gehen von N nach S; 1 ^{hp} : Ci-S mit Radiation WSW—ENE.
		7	6 ^{ha} : Ci-Cu mit Radiation W—E.

b) <i>Irisierende Wolken.</i>			
1902.		1902.	
Juni		Sept.	
22	9h ¹⁵ ma: Eine schön irisierende Wolke in N ⁷ /aW ca 21' über dem Horizont. Bis um 6hp war dieselbe Wolke schwach leuchtend.	11	5hp: Wolken, schwach irisierend.
		13	5hp: Irisierende Wolken, welche noch um 7h ¹⁵ mp beleuchtet sind.
		1903.	
23	9ha—Mttg: Irisierende Wolke in NW. Dieselbe war schwach beleuchtet noch um 5hp, aber nicht um 6hp.	Jan.	
		22	3hp: Ci-Cu in NW sind irisierend.
Juli		30	4hp, 5hp: Ci-Cu und Ci sind irisierend.
6	3hp: Eine kleine Iriswolke in NE.	März	
		4	5h ²⁵ mp: Im Westen irisierende Ci-Wolken.
Sept.		Aug.	
6	6hp, 7hp: In W irisierende Wolke.	13	5h ³⁰ mp: Im Nordwesten ca 40° über dem Horizont sieht man einige kleine Wolken, die noch beleuchtet sind.
7	4hp: Iriswolken.		

III. Ergänzungen zu den Hydrometeoren.

a) <i>Regen</i> (●).			
1902.		1903.	
Mai		März	
11	3hp: ● nur einige Tropfen; 6h ³⁰ mp kommt mit steigender Temperatur zuerst ● und dann etwas zwischen △ und ▲.	5	9h ³⁰ ma: ●; 10ha: nur einige Tropfen; 1—6 p: ●, die letztere Stunde mit ✕ gemischt.
		April	
13	1hp: kommt ✕ mit ● gemischt.	10	7hp: ● grosse Tropfen, ziemlich reichlich; ● bis um 9hp.
8	5h ²⁵ mp: kommt SSW-Wind mit ●; 6hp—7hp ✕ und ● gemischt.	Mai	
Dec.		29	10hp: ✕ gemischt mit ●.
15	11ha: Feiner Sprühregen.	Juli	
1903.		18	7ha: feucht ✕ und ●; 10hp—Mttg: ●.
Jan.		19	10hp: ✕ und ● in Mischung.
7	1hp: ✕ mit ein wenig ● gemischt.	Aug.	
9	10ha: ● und sehr nasser ✕.	6	3ha: Niederschlag, eine Mischung von ≡ und ●.
Febr.		14	2hp: Einige Regentropfen; 6hp—7hp ● und ✕.
15	Mttg—1hp: ●; 9hp—9h ¹⁰ ≡ und Sprühregen.	15	8ha: Einige Regentropfen; dann Mischung von ✕ und ●.
März		Okt.	
1	2h ⁵⁰ mp: kommt ein wenig ●; 5hp ● als Platzregen.	14	11hp, Mttg: ● aber sehr wenig.

b) *Hagel* (▲).

1903		1903	
Jan.		Febr.	
5	11 ^{ha} ▲ ganz reichlich.	16	10 ^{ha} ▲.

c) *Graupeln* (△).

1902		1903	
Mai		Jan.	
11	6 ^{h30mp} : △ mit ● gemischt.	6	10 ^{h45mp} , 11 ^{hp} : △.
Okt.		8	7 ^{hp} : △.
23	4 ^{hp} ; 5 ^{hp} : △ mit ✕ gemischt.	10	2 ^{h30ma} : △ sehr reichlich.
Nov.		Febr.	
29	11 ^{hp} , Mtn: △.	3	9 ^{hp} : △.
30	1 ^{ha} , 2 ^{ha} : △.	April	
Dec.		2	11 ^{ha} : △.
12	3 ^{ha} ; 5 ^{ha} : △.	Mai	
17	1 ^{h30mp} : △.	18	Mttg: △.
20	8 ^{hp} : △.	Okt.	
30	7 ^{ha} : △ mit feinen Eisnadeln gemischt.	19	1 p: △.

d) *Reif* (⊖).

1902.		1902.	
April		Okt.	
4	7 ^{ha} : ⊖.	8	6 ^{ha} : ⊖.
11	7 ^{ha} : ⊖.	11	7 ^{ha} : ⊖.
20	8 ^{hp} , 9 ^{hp} : ⊖.	31	10 ^{ha} : ⊖.
21	4 ^{ha} , 5 ^{ha} : ⊖.	Nov.	
22	5 ^{hp} —9 ^{hp} : ⊖.	29	5 ^{ha} —7 ^{ha} : ⊖.
23	5 ^{ha} : ⊖ sehr kräftig; 9 ^{ha} : ⊖.	1903	
27	1 ^{hp} : ⊖.	Jan.	
Mai		22	3 ^{ha} —7 ^{ha} : ⊖ stark.
31	8 ^{ha} : ⊖.	Febr.	
Juni		6	6 ^{ha} : ⊖ sehr wenig.
8	11 ^{ha} : ⊖.	23	5 ^{ha} : ⊖.
26	2 ^{hp} , 3 ^{hp} : ⊖.	24	7 ^{ha} : ⊖.
Aug.		April	
3	2 ^{hp} : ⊖.	21	6 ^{ha} —7 ^{ha} : ⊖ sehr kräftig.
9	7 ^{ha} : ⊖ sehr stark.	30	Mtn: ⊖ an der SE-Seite der Stageseile.
17	4 ^{ha} : ⊖.	Mai	
Sept.		1	5 ^{ha} —9 ^{ha} : ⊖.
4	9 ^{hp} : ⊖, neblicht.	13	5 ^{ha} —10 ^{ha} : ⊖.
24	5 ^{ha} , 6 ^{ha} : ⊖.	19	10 ^{ha} —Mttg; 10 ^{hp} , 11 ^{hp} : ⊖.
		21	5 ^{ha} —7 ^{ha} : ⊖.

d) <i>Reif</i> (⊔).			
1903		1903	
Mai		Aug.	
23	7 ^{ba} —Mittg: ⊔.	1	5 ^{ba} —9 ^{ba} : ⊔.
29	5 ^{ba} —7 ^{ba} : ⊔.	21	6 ^{ba} : ⊔.
Juni		31	6 ^{ba} ; 11 ^{ba} ; Mittg: ⊔.
7	10 ^{hp} , 11 ^{hp} : ⊔.		
8	1 ^{ba} ; 7 ^{ba} , 8 ^{ba} : ⊔ an der E-Seite der Gegenstände.	Sept.	
12	7 ^{ba} : ⊔.	2	Mittg: sehr schöne Reifblumen.
20	5 ^{hp} —9 ^{hp} : ⊔.	8	8 ^{ba} : ⊔.
21	Mittg: ⊔.	11	6 ^{ba} : ⊔.
23	6 ^{ba} : ⊔.	16	4 ^{ba} ; 5 ^{hp} : ⊔.
28	Mittg—3 ^{hp} : ⊔.	17	6 ^{ba} : ⊔ sehr kräftig.
30	9 ^{hp} : ⊔.	29	1 ^{hp} : ⊔ sehr schön ausgebildet.
Juli		Okt.	
9	8 ^{ba} —Mittg: ⊔ kräftig.	6	5 ^{ba} —7 ^{ba} : ⊔.
11	9 ^{hp} —Mittg: ⊔.	11	5 ^{ba} : ⊔.
12	11 ^{ba} —1 ^{hp} : ⊔.	12	5 ^{ba} —7 ^{ba} ; 11 ^{hp} , Mittg: ⊔.
13	Mittg: ⊔.		

e) <i>Glätteis</i> (∞).			
1902		1903	
Dec.		Febr.	
26	6 ^{hp} : ∞.	15	Mittg, 1 ^{hp} : ∞.
1903		Aug.	
Jan.		6	3 ^{ba} : ∞.
9	6 ^{hp} : ∞ an der Windseite der Gegenstände.		
28	11 ^{hp} : ∞.		

f) <i>Niederschlag von Eisnadeln.</i>			
1902.		1902.	
April		Aug.	
28	10 ^{30ma} : Niederschlag von sehr kleinen Eisnadeln, wahrnehmbar nur bei Sonnenreflexion.	2	2 ^{ba} : Niederschlag in der Gestalt feiner Kristallnadeln; Mittg: d.o.
Mai		Sept.	
31	5 ^{ba} : Eisnadeln, in der Luft schwebend.	24	10 ^{ba} , 11 ^{ba} : Der Schnee mit kleinen Eisnadeln gemischt.
Juni		Nov.	
19	7 ^{hp} : In der Luft schillern eine Menge von Eisnadeln.	2	6 ^{ba} : Der Niederschlag sehr feinkristallinisch.
Juli		6	11 ^{ba} : Wenig Niederschlag als feine Kristallnadeln.
24	Mittg: Eisnadeln in geringer Höhe vom Boden geben Halophänomene.		

f) Niederschlag von Eisnadeln.

1902		1903	
Dec.		April	
4	2 ^{hp} —4 ^{hp} : In der Luft schweben feine Eiskristalle.	27	8 ^{ba} : Die ganze Nacht kam Niederschlag von Eiskristallen.
5	9 ^{hp} : Eisnadeln fallen.	27	10 ^{ba} : Mit dem Nebel kommen in der Luft unzählige Eiskristalle, teils Nadeln, teils gewöhnliche, sechsseitige sehr flache Prismen, bisweilen allem Anscheine nach Zwillingbildungen und Zusammenwachsungen.
7	8 ^{ba} : Eisnadeln in der Luft.		
30	7 ^{ba} : Niederschlag von feinen Eisnadeln, mit Graupeln gemischt.		
1903		Mai	
Jan.		10	6 ^{hp} : Nahe am Boden ein dünner Schleier von Eisnadeln.
13	9 ^{ba} , 10 ^{ba} : Eisnadeln schweben in der Luft.	13	11 ^{ba} —3 ^{hp} : Niederschlag von Eisnadeln.
27	2 ^{hp} : Nebel mit Eisnadeln gemischt.	15	9 ^{hp} : Eisnadeln schweben in der Luft.
28	11 ^{h30a} : Dann und wann Eisnadeln in der Luft.	25	1 ^{hp} : Eiskristalle in der Luft.
Febr.		Juni	
1	11 ^{h10p} : Ein wenig Niederschlag in Form feiner Eisnadeln.	28	11 ^{ba} , Mtg: Eiskristalle in der Luft.
6	8 ^{ba} : Niederschlag von Eisnadeln.	Juli	
25	Mtg: Die Luft von halproduzierenden Eisnadeln erfüllt.	13	9 ^{hp} : Nebel und Eisnadeln in der Luft.
März		Aug.	
12	7 ^{ba} : Fracto-Strati-förmliche dünne Wolken, die aus Eisnadeln bestehen.	12	10 ^{ba} : Dünne Stratiwolken, aus Eisprismen bestehend, geben sehr schöne Haloerscheinungen.

IV. Optische Erscheinungen.

a) Sonnenhalo. (Halo ☉).

1902		1902	
März		Aug.	
23	4 ^{h30p} : 22° Halo ☉. Ungefähr am Platze der Nebensonnen gehen Tangenten aus, die ca. 5° von der Lotlinie abweichen.	3	9 ^{ba} : 22° Halo ☉.
Mai		18	11 ^{h30a} —12 ^{h30a} : Östliche Nebensonne stark leuchtend.
31	9 ^{ba} —11 ^{ba} : 22° Halo ☉.	Okt.	
Juli		6	0 ^{h30p} : 22° Halo ☉ mit Nebensonnen.
6	2 ^{hp} : 22° Halo ☉.	21	5 ^{hp} : 22° Halo ☉.
10	2 ^{hp} : Östliche Nebensonne.	Nov.	
24	Mtg: 22° Halo ☉, nur zwei vertikale Streifen.	4	10 ^{ba} : 22° Halo ☉; 11 ^{ba} : schwächer.
Aug.		1903	
1	9 ^{ba} : Nebensonne gerade an Cockburn Insel projiziert. 10 ^{ba} : Nebensonne. 1 ^{hp} : 22° Halo ☉; sehr ausgeprägte Nebensonnen; obere Tangentenbogen; untere Tangentenbogen; östliche infralaterale Tangente zu 46° Halo ☉.	Jan.	
		12	5 ^{hp} : 22° Halo ☉ sehr schwach.
		18	9 ^{ba} : 22° Halo ☉.
		21	10 ^{ba} —1 ^{hp} : 22° Halo ☉; nebelige Luft.

a) *Sonnenhalo* (Halo ☉).

1903		1903	
Febr.		Juni	
23	2 ^{hp} : 22° Halo ☉.	1	10 ^{h30} _{ma} : Westliche Nebensonne.
25	Mitg: Sehr schöne Halophänomene: 22° Halo ☉; westliche Nebensonne. Obere und untere Tangentenbogen sehr kräftig. Östliche und westliche infralaterale Tangentenbogen kräftig in klaren Farben. Oberer Teil von 46° Halo mit parahelischem Kreis, schwach aber deutlich.	7	10 ^{h30} _{ma} : Kräftige Nebensonnen; 11 ^{ba} nur westliche Nebensonne. Mitg, 1 ^{hp} : Beide Nebensonnen.
März		19	11 ^{ba} : Schwache Nebensonnen.
12	7 ^{h30} _a —8 ^{h30} _a : 22° Halo ☉; ausgeprägte Nebensonnen; Circumzenithbogen, 30° à 40° gross.	26	11 ^{ba} : 22° Halo ☉.
April		Juli	
6	2 ^{hp} —3 ^{hp} : 22° Halo ☉, sehr schwach.	2	11 ^{ba} —Mitg: Beide Nebensonnen scharf hervortretend.
27	1 ^{hp} : 22° Halo ☉; östliche und westliche Nebensonnen; oberer Tangentenbogen; unterer Sonnenpfeiler. 46° Halo ☉; Circumzenithbogen; parahelische Kreise mit westlichem Antheilum ca 120° von der Sonne.	21	11 ^{ba} : Schwache Nebensonnen; untere solpeltare.
30	2 ^{hp} : Nur die zwei Nebensonnen und untere. 3 ^{hp} : 22° Halo ☉ mit Nebensonnen nur schwach hervortretend.	Aug.	
Mai		12	9 ^{h50} _{ma} : 22° Halo ☉; 10 ^{ba} : Beide Nebensonnen sehr stark ausgeprägt; Seitentangenten des 22°-igen Halos beginnen einige Grade unter den Nebensonnen und weichen ca 5° von der Lotlinie ab. Unten Sonnenpfeiler und Andeutung zum parahelischen Kreis; 10 ^{h30} _a : westliche 46°-ige Nebensonne erscheint unmittelbar über dem Horizonte; 11 ^{ba} : oberer Tangentenbogen.
12	11 ^{ba} : Nebensonne, östliche und westliche; 1 ^{hp} : unterer Sonnenpfeiler.	Sept.	
13	9 ^{ba} : Östliche und westliche Nebensonne; Sonnenpfeiler; 10 ^{ba} : 22° Halo ☉. 11 ^{ba} : Unterer Sonnenpfeiler.	17	7 ^{ba} : Westliche Nebensonne schwach angedeutet.
20	2 ^{hp} : Oberer Sonnenpfeiler.	21	10 ^{ba} , 11 ^{ba} : 22° Halo ☉ schwach.
22	Mitg: 1 ^{h30} _{mp} : Nebensonne, östliche und westliche.	Okt.	
26	10 ^{ba} , 11 ^{ba} : 22° Halo ☉ fragmentarisch; östliche und westliche Nebensonne; Mitg: wie vorher; zudem Andeutung zum oberen Tangentenbogen.	3	2 ^{hp} : 22° Halo ☉.
		17	10 ^{ba} : 22° Halo ☉: 11 ^{ba} desgleichen, ausserdem beide Nebensonnen.
		20	5 ^{hp} : Beide Nebensonnen.
		Nov.	
		3	2 ^{hp} : Ungefärbte schwache Nebensonnen.

b) *Mondhalo*. (Halo ☾).

1902		1902	
März		Mai	
23	8 ^{hp} : 22° Halo ☾, obere Hälfte.	17	10 ^{hp} : 22° Halo ☾.
April		24	5 ^{ba} : 22° Halo ☾.
15	7 ^{hp} , 8 ^{hp} : 22° Halo ☾, obere Hälfte.	31	5 ^{ba} : östliche und westliche Nebenmonde; 6 ^{ba} : Nebenmonde sind schwächer, der untere Tangentenbogen beginnt hervorzutreten.
17	6 ^{hp} : 22° Halo ☾, obere Hälfte.		
Mai			
13	6 ^{h30} _{mp} : 22° Halo ☾.		

b) *Mondhalo.* (Halo ☾).

1902		1903	
Mai		April	
31	6 ^h 30 ^m —6 ^h 45 ^{ma} : 22° Halo ☾, der ganze Kreis mit stark ausgeprägtem und gefärbtem Nebenmonde; unterer Tangentenbogen; oberer Tangentenbogen schwach, ebenso ein Teil vom circumzenithalen Bogen; vollständiges Mondkreuz. 7 ^{ha} keine Haloerscheinungen.	15	5 ^{ha} : 22° Halo ☾.
		19	5 ^h 30 ^{ma} : 22° Halo ☾.
		Mai	
		2	6 ^{hp} : Östlicher Nebenmond und schwacher Mondpfeiler; 7 ^{hp} östlicher Nebenmond sehr scharf und farbenprächtig.
Juni		3	8 ^{hp} , 9 ^{hp} : Oberer Mondpfeiler.
1	5 ^{ha} : 22° Halo ☾.	10	6 ^{hp} : Dünne Wolkenschleier nahe am Boden bewirken 22° Halo ☾ mit Nebenmonden.
12	10 ^{hp} : 22° Halo ☾.	14	1 ^{ba} : 22° Halo ☾.
18	6 ^{hp} : 22° Halo ☾; paraselenische Kreise; 7 ^{hp} : paraselenische Kreise und Mondpfeiler.	18	6 ^{ha} : 22° Halo ☾.
23	6 ^h 30 ^p , 11 ^{hp} : 22° Halo ☾.	Juni	
26	6 ^{hp} : 22° Halo ☾.	6	5 ^{hp} , 6 ^{hp} : 22° Halo ☾.
27	1 ^{ba} : 22° Halo ☾.	12	11 ^{hp} —Mttm: 22° Halo ☾.
Juli		13	1 ^{ba} : 22° Halo ☾.
14	5 ^{hp} —10 ^{hp} : 22° Halo ☾.	19	6 ^{ha} , 7 ^{ha} : 22° Halo ☾.
24	11 ^{hp} : 22° Halo ☾.	Juli	
25	1 ^{ba} : 22° Halo ☾.	9	9 ^{hp} : 22° Halo ☾.
Aug.		10	3 ^{ha} : 22° Halo ☾.
11	9 ^{hp} —11 ^{hp} : 22° Halo ☾.	13	9 ^{hp} , 10 ^{hp} : 22° Halo ☾; oberer Tangentenbogen.
14	4 ^{ha} : Östliche und westliche Nebenmonde; Mondpfeiler; Andeutung zur oberen Tangente.	Aug.	
16	Mttm: 22° Halo ☾ schwach.	2	11 ^{hp} , Mttm: 22° Halo ☾.
21	10 ^{hp} : 22° Halo ☾.	3	7 ^{hp} , 8 ^{hp} : 22° Halo ☾.
Sept.		7	9 ^{hp} —Mttm: 22° Halo ☾.
10	7 ^{hp} , 8 ^{hp} : 22° Halo ☾.	8	1 ^{ba} : 22° Halo ☾.
Okt.		9	10 ^{hp} , 11 ^{hp} : 22° Halo ☾.
9	9 ^{hp} : 22° Halo ☾, obere Teil.	10	3 ^{ha} : 22° Halo ☾.
13	9 ^{hp} : 22° Halo ☾ schwach; 10 ^{hp} —Mttm: 22° Halo ☾.	Sept.	
1903		2	9 ^{hp} : 22° Halo ☾.
Febr.		8	11 ^{hp} , Mttm: 22° Halo ☾.
25	6 ^h 30 ^{mp} : Nebenmonde.	11	5 ^{ha} : 22° Halo ☾.
März		28	10 ^{hp} , 11 ^{hp} : 22° Halo ☾.
12	3 ^{ha} : 22° Halo ☾; Mondpfeiler.	30	8 ^{hp} , 9 ^{hp} : 22° Halo ☾.
14	10 ^{hp} : 22° Halo ☾.	Okt.	
April		1	11 ^{hp} : 22° Halo ☾.
7	11 ^{hp} : Nebenmond.	3	1 ^{ba} : 22° Halo ☾.
9	11 ^{hp} : 22° Halo ☾.	6	Mttm: 22° Halo ☾.
11	3 ^{ha} : 22° Halo ☾.	Nov.	
		3	1 ^{ba} : 22° Halo ☾.
		4	Mttm: 22° Halo ☾ sehr schwach.

c) *Mondcorona.* (*Corona* ☾).

1902		1902	
April		Okt.	
16	5 ^h 30 ^m p—8 ^h p: Corona ☾.	9	10 ^h p, Mitn: Corona ☾.
19	8 ^h p—9 ^h p: Corona ☾.	10	1 ^h a: Corona ☾.
21	6 ^h p: Corona ☾.		
27	6 ^h a: Corona ☾.	1903	
28	2 ^h a—6 ^h a: Corona ☾; 11 ^h p: Corona ☾.	März	
30	2 ^h a: Corona ☾.	12	3 ^h a: Corona ☾.
Mai		14	10 ^h p—11 ^h p: Corona ☾.
1	4 ^h a: Corona ☾.	April	
6	6 ^h a: Corona Veneris.	14	3 ^h a: Corona ☾.
15	9 ^h 45 ^m p: Corona ☾.	15	3 ^h a: Corona ☾.
17	10 ^h p: Corona ☾.	19	5 ^h 30 ^m a: Corona ☾.
24	5 ^h a: Corona ☾.	Mai	
Juni		7	7 ^h p: Corona ☾.
12	5 ^h p: Corona ☾.	9	8 ^h p: Corona ☾.
14	5 ^h p—7 ^h p: Corona ☾.	10	7 ^h p, 10 ^h p: Corona ☾.
15	Mitn: Corona ☾.	11	10 ^h p: Corona. Der Halbmesser des kleinsten roten Kreises = 1'45".
16	1 ^h a—3 ^h a: Corona ☾.	13	8 ^h p—Mitn: Corona ☾.
18	6 ^h p—8 ^h p: Corona ☾.	14	1 ^h a: Corona ☾.
19	8 ^h p, 10 ^h p: Corona ☾.	17	5 ^h a: Corona ☾.
21	8 ^h p: Corona ☾.	18	5 ^h a: Corona ☾.
23	11 ^h p: Corona ☾.	19	1 ^h a, 3 ^h a: Corona ☾.
27	2 ^h a: Corona ☾.	31	5 ^h a: Corona um die grössten Sterne.
Juli		Juni	
19	6 ^h p, 7 ^h p, 10 ^h p: Corona ☾.	6	7 ^h p: Corona ☾.
24	6 ^h a: Corona ☾.	7	9 ^h p—11 ^h p: Corona ☾.
Aug.		12	10 ^h p—Mitn: Corona ☾.
11	9 ^h p—11 ^h p: Corona ☾.	30	8 ^h p: Corona ☾.
12	8 ^h p—Mitn: Corona ☾.	Juli	
13	1 ^h a: Corona ☾.	4	5 ^h p: Corona ☾.
14	4 ^h a: Corona ☾; 8 ^h p, 9 ^h p: Corona ☾.	6	6 ^h p, 7 ^h p, 10 ^h p, Mitn: Corona ☾.
16	6 ^h p, 9 ^h p: Corona ☾.	7	1 ^h a: Corona ☾.
Sept.		8	4 ^h a: Corona ☾; 5 ^h p—Mitn: Corona ☾.
11	8 ^h p: Corona ☾.	9	1 ^h a: Corona ☾; 8 ^h p, 10 ^h p: Corona ☾.
12	11 ^h p: Corona ☾.	10	1 ^h a, 3 ^h a: Corona ☾; 7 ^h p—11 ^h p: Corona ☾.
13	7 ^h p, 9 ^h p, 10 ^h p: Corona ☾.	13	10 ^h p, 11 ^h p: Corona ☾.
14	10 ^h p, 11 ^h p: Corona ☾.	16	5 ^h a: Corona ☾.
16	8 ^h p: Corona ☾; 10 ^h p—Mitn: Corona ☾.	Aug.	
17	1 ^h a: Corona ☾.	1	9 ^h p—Mitn: Corona ☾.
18	2 ^h a: Corona ☾.	2	10 ^h p—Mitn: Corona ☾.
		3	6 ^h p—8 ^h p: Corona ☾; 9 ^h p ebenso.

c) *Mondcorona* (*Corona* ☾).

1903		1903	
Aug.		Sept.	
4	3 ^{ha} : <i>Corona</i> ☾.	5	1 ^{ha} —6 ^{ba} : <i>Corona</i> ☾.
5	5 ^{hp} —9 ^{hp} : <i>Corona</i> ☾.	8	11 ^{hp} : <i>Corona</i> ☾.
6	10 ^{hp} —Mittn: <i>Corona</i> ☾.		
7	1 ^{ba} : <i>Corona</i> ☾; 8 ^{hp} , 9 ^{hp} : <i>Corona</i> ☾.	Okt.	
8	3 ^{ba} : <i>Corona</i> ☾.	1	11 ^{hp} : <i>Corona</i> ☾.
9	10 ^{hp} , 11 ^{hp} : <i>Corona</i> ☾.	3	1 ^{ba} : <i>Corona</i> ☾.
10	11 ^h 15 ^p —12 ^h 15 ^p : <i>Corona</i> ☾.	4	9 ^{hp} : <i>Corona</i> ☾.
29	6 ^{hp} —8 ^{hp} : <i>Corona</i> ☾.	5	3 ^{ba} : <i>Corona</i> ☾.
Sept.		24	9 ^{hp} : <i>Corona</i> ☾.
2	8 ^{hp} —10 ^{hp} : <i>Corona</i> ☾.	Nov.	
4	7 ^{hp} —Mittn: <i>Corona</i> ☾.	4	Mittn: <i>Corona</i> ☾.

d) *Übrige Sonnen- und Monderscheinungen.*

1903		1903	
Jan.		März	
21	6 ^{ba} : Im schwachen Nebel sieht man einen »ungefärbten Regenbogen«, Nebelbogen, Ulloas Ring.	26	10 ^{ba} : <i>Corona</i> ☉.
		Sept.	
22	Mittg: <i>Corona</i> ☉.	8	2 ^{hp} : Auf Snow-Hill-Plateau sah man, als der Nebel kam, einen Nebelbogen mit Diameter = 60° à 70°.

e) *Luftspiegelung.*

1902		1903	
Sept.		Juni.	
3	7 ^{ba} : Luftspiegelung in NE.	14	Mittg—1 ^{hp} : Luftspiegelung.
10	10 ^{ba} —1 ^{hp} : Luftspiegelungen in NW.	21	9 ^{ba} : Luftspiegelung in N.
Okt.		Aug.	
2	7 ^{ba} : Luftspiegelung in NE—NNW; das schneebedeckte Joinville Land erscheint als riesengrosser Eisberg.	20	Mittg: Luftspiegelung in N.
		Sept.	
6	5 ^{hp} : Luftspiegelung in NNE, so dass es scheint, als wäre offenes Meer S von Cockburn Insel.	3	10 ^{hp} : Luftspiegelungen in N.
		2	2 ^h 30 ^{mp} : Vom Snow-Hill-Plateau sehr starke Luftspiegelungen, die den beiden Inseln Cockburn und Faulst sehr phantastische Formen geben. Die Phänomene kräftiger vom Plateau als von der Meereshöhe gesehen.
1903			
April		4	2 ^{hp} : Luftspiegelungen von der Station, aber nicht vom Plateau sichtbar; Temperatur in der Meereshöhe — 12°, auf dem Plateau ca — 6°.
3	11 ^{ba} —3 ^{hp} : Starke Luftspiegelungen vom Lande in WSW.		
Mai		Nov.	
6	Mittg: Luftspiegelung in NNE.	3	11 ^{ba} —3 ^{hp} : Luftspiegelung in NNE.
15	8 ^{ba} : Starke Luftspiegelung in N.		
10 ^{ba} —11 ^{ba} : Luftspiegelung in NNW, Cap Gordon.			

Berichtigungen zu den Tabellen.

- S. 77 Juni 30 Diff: lies 23,5 statt 2,35.
» 109 Z. 2 v. unten: lies *SSW 125* (200) statt *SSIV 125* (20).
» » » » » : lies *NIV I* (2).
» 121 Z. 2 v. unten: *SIV o* (o) streichen.
» 140 December 22 7p: lies NNE statt NEN.
» 157 Z. 2 v. unten: lies *HSIV 57* (80).
» 168 Juli 23 5p: lies WSW statt SWW.
» » Z. 2 v. unten: lies *NE 57* (77) statt *NE 37* (77).
» 169 Juli 9 11p: lies NNE statt NEN.
» 247 lies Mttg. statt Mtn.
» 302 Überschrift des zweiten Tabellen: lies 5 dm statt 3 dm.
» 316 Med.; Mtn: lies 6,20 statt 9,20.
» 319 Med. 6p: lies 11,24 statt 11,57.
-

TAB. I.

LUFTDRUCK

Luftdruck bei 0°

Barometer: 13.0 m. über Meeresniveau.

März 1902

Korr. f. Red. zu (Bar.: 706.60 — 12.78 — 18.95 — 25.13 — 31.30
Normalschwere) Korr.: +1.15; +1.16; +1.17; +1.18

Dat.	1 a. m.	2 a. m.	3 a. m.	4 a. m.	5 a. m.	6 a. m.	7 a. m.	8 a. m.	9 a. m.	10 a. m.	11 a. m.	Mittg.	1 p. m.	2 p. m.	3 p. m.
	mm.	mm.	mm.	mm.	mm.	mm.	mm.	mm.	mm.	mm.	mm.	mm.	mm.	mm.	mm.
1
2	753.2	752.6	752.4	752.3	751.8	751.7	751.5	751.5	751.5	751.5	751.5	751.4	751.5	751.4	751.4
3	51.4	51.4	51.3	51.2	51.1	51.0	50.8	50.4	50.5	50.4	50.4	50.3	50.2	50.2	50.3
4	49.8	50.0	50.1	50.2	50.4	50.4	51.3	51.7	52.3	52.6	53.3	53.9	54.3	54.7	55.3
5	58.3	58.4	58.4	58.5	58.5	58.5	58.5	58.5	58.5	58.5	58.5	58.3	58.3	58.2	58.1
6	58.2	58.2	58.2	58.2	58.2	58.2	58.2	57.9	57.5	57.4	57.2	57.0	57.0	57.0	56.8
7	54.3	53.4	52.8	52.1	51.3	50.3	49.3	47.8	46.8	45.1	44.3	43.4	43.2	43.3	44.3
8	50.3	50.7	51.3	51.3	51.3	51.3	51.3	51.1	50.7	50.5	50.7	50.5	50.1	50.1	49.6
9	44.3	43.8	43.3	43.3	43.2	43.0	42.9	43.0	43.1	43.5	43.7	44.1	44.3	44.8	45.2
10	47.8	48.3	49.3	50.1	50.5	51.0	50.3	50.3	50.3	50.3	49.6	49.3	49.1	48.9	48.8
11	45.5	45.3	44.8	44.2	43.6	43.1	42.8	43.1	43.2	42.8	42.2	41.6	41.3	40.6	40.3
12	39.5	38.4	37.6	36.4	35.4	34.1	32.4	30.6	29.8	28.5	27.5	26.6	26.0	26.0	26.2
13	28.8	28.8	29.7	30.3	30.3	30.6	30.6	31.1	32.6	34.5	34.6	35.1	35.5	35.6	36.2
14	39.6	39.6	39.6	39.6	39.6	39.1	38.6	38.4	38.3	37.8	38.3	38.0	38.0	38.0	37.6
15	34.5	33.7	33.8	34.0	34.6	34.6	34.6	34.1	35.1	34.8	35.1	35.4	35.5	34.9	35.6
16	38.2	38.2	38.4	38.5	38.5	38.6	38.7	38.7	38.7	38.7	38.8	38.7	38.7	38.7	38.7
17	38.6	38.6	38.7	38.8	39.6	40.3	40.7	41.0	41.5	41.8	42.3	42.3	42.4	42.3	42.4
18	40.5	40.5	40.8	40.9	41.4	41.5	42.0	42.5	43.5	44.1	45.1	45.5	46.4	47.5	48.4
19	52.2	52.3	52.3	51.8	51.8	51.5	51.5	51.2	51.0	50.9	50.5	50.5	50.1	49.7	49.3
20	45.8	45.1	44.8	44.4	43.5	42.6	42.1	41.7	41.5	41.1	40.6	40.5	39.8	39.8	39.6
21	38.8	38.8	38.7	38.9	38.9	39.7	39.8	40.5	41.0	41.6	42.0	42.4	42.5	43.5	43.8
22	44.7	44.7	44.7	44.7	44.5	44.4	43.8	43.8	43.7	44.5	44.5	44.7	44.4	44.4	44.2
23	42.4	41.6	41.4	41.0	40.8	40.5	40.4	39.8	40.0	40.1	40.5	40.7	40.9	41.4	41.6
24	44.9	44.9	45.2	45.3	45.6	46.0	46.4	46.5	46.8	47.0	47.0	47.2	47.2	47.1	47.1
25	47.2	46.9	46.8	46.8	46.6	46.5	46.0	45.7	45.3	44.8	44.7	44.6	43.8	43.5	42.8
26	40.8	40.8	40.8	40.7	40.7	40.7	40.8	40.9	40.8	40.7	40.3	40.2	40.0	39.8	39.8
27	41.4	41.6	41.8	41.8	43.2	43.8	44.9	45.0	45.6	46.3	46.1	46.3	46.2	46.9	46.9
28	39.1	38.0	36.8	36.1	35.5	35.3	35.4	35.8	35.9	35.5	35.8	35.6	35.8	35.8	35.8
29	19.6	17.0	16.5	15.8	15.6	15.6	15.8	16.2	17.0	17.5	17.6	17.6	17.0	19.0	22.5
30	26.3	26.6	27.0	27.0	27.6	27.9	28.3	28.5	29.1	28.3	29.0	29.2	29.3	30.0	31.0
31	33.9	34.1	35.5	35.8	36.2	36.8	36.9	36.6	37.8	39.5	38.6	38.6	39.5	39.6	40.0
Med.	743.00	742.74	742.76	742.67	742.66	742.62	742.55	742.46	742.65	742.69	742.68	742.65	742.61	742.73	742.99

Absolutes Maximum = 758.5 (5:7^h 0^m a)

Luftdruck bei 0°

Barometer: 13.0 m. über Meeresniveau

Bar.: 731.30 — 37.47 — 43.64 — 49.81 — 55.98 — 62.15
 Korr.: +1.19; +1.20; +1.21; +1.22; +1.23

1902 März

4 p. m.	5 p. m.	6 p. m.	7 p. m.	8 p. m.	9 p. m.	10 p. m.	11 p. m.	Mittn.	Med.	Maximum		Minimum		Diff.	Dat.
mm.	mm.	mm.	mm.	mm.	mm.	mm.	mm.	mm.	mm.	h. m.	mm.	h. m.	mm.	mm.	
751.5	751.6	751.7	751.6	751.6	751.6	751.6	751.5	751.5	751.72	1.0 a	753.2	0.0 p	751.4	1.8	1
50.3	50.2	50.1	50.1	49.9	49.8	49.8	49.7	49.6	50.43	1.0 a	51.4	12.0 p	49.6	1.8	3
55.6	55.6	55.9	56.3	56.8	57.3	57.4	58.1	58.2	53.81	12.0 p	58.2	1.0 a	49.8	8.4	4
58.0	57.9	57.9	58.0	58.1	58.3	58.1	58.2	58.2	58.28	7.0 a	58.5	5.0 p	57.9	0.6	5
56.4	56.3	56.2	56.1	55.8	55.4	55.3	54.7	54.5	56.91	7.0 a	58.2	12.0 p	54.5	3.7	6
44.3	44.3	44.3	44.9	45.5	47.3	48.2	48.8	49.3	47.44	1.0 a	54.3	1.0 p	43.2	11.1	7
49.3	48.8	48.1	47.7	46.8	46.3	45.5	45.3	44.8	49.31	6.0 a	51.3	12.0 p	44.8	6.5	8
45.5	45.9	46.0	46.5	47.0	47.2	47.3	47.4	47.3	44.82	11.0 p	47.4	7.0 a	42.9	4.5	9
48.5	48.4	48.3	48.1	47.8	47.5	46.8	46.6	46.1	48.83	6.0 a	51.0	12.0 p	46.1	4.9	10
40.3	40.4	40.5	41.3	41.5	41.3	40.8	40.3	39.9	42.11	1.0 a	45.5	12.0 p	39.9	5.6	11
26.4	25.7	25.7	26.1	27.9	26.2	26.3	27.6	28.1	29.79	1.0 a	39.5	6.0 p	25.7	13.8	12
36.6	37.4	37.9	38.5	38.4	38.4	38.5	38.7	39.4	34.50	12.0 p	39.4	1.0 a	28.8	10.6	13
37.5	37.5	37.3	36.6	36.6	35.9	36.4	36.1	35.4	37.89	3.0 a	39.6	12.0 p	35.4	4.2	14
35.6	35.7	35.7	36.1	37.3	37.8	37.9	38.1	37.8	35.51	11.0 p	38.1	1.30 a	33.4	4.7	15
38.7	38.7	38.7	38.6	38.6	38.6	38.6	38.6	38.6	38.60	11.0 a	38.8	0.30 a	38.0	0.8	16
42.4	42.1	41.9	41.7	41.5	41.1	40.9	40.7	40.6	41.01	1.0 a	42.4	4.0 p	38.6	3.8	17
48.9	49.7	50.0	50.5	50.7	51.3	51.5	51.7	52.0	46.12	12.0 p	52.0	1.0 a	40.5	11.5	18
48.8	48.6	48.4	48.4	48.2	47.5	47.3	46.5	46.2	49.85	2.0 a	52.3	12.0 p	46.2	6.1	19
39.6	39.3	39.2	39.8	38.8	38.8	38.8	38.8	38.8	41.03	1.0 a	45.8	12.0 p	38.8	7.0	20
43.6	44.4	44.4	44.4	44.6	44.5	44.5	44.6	44.6	42.10	12.0 p	44.6	3.0 a	38.7	5.9	21
44.1	44.3	44.0	44.0	43.7	43.4	43.1	42.9	42.5	44.07	4.0 a	44.7	12.0 p	42.5	2.2	22
42.3	42.6	43.1	43.5	43.5	43.5	44.2	44.5	44.8	41.88	12.0 p	44.8	8.0 a	39.8	5.0	23
47.2	47.4	47.6	47.7	47.7	47.6	47.5	47.4	47.3	46.73	7.0 p	47.7	1.0 a	44.9	2.8	24
42.7	42.7	42.1	41.8	41.4	41.0	40.8	40.8	40.8	44.00	1.0 a	47.2	12.0 p	40.8	6.4	25
39.8	39.8	39.8	40.0	39.8	40.0	39.8	40.3	40.8	40.33	8.0 a	40.9	5.0 p	39.8	1.1	26
46.9	46.9	46.8	46.3	45.8	44.6	43.8	42.3	40.8	44.67	5.0 p	46.9	1.0 a	41.4	5.5	27
35.8	34.7	33.8	32.4	30.1	28.1	25.0	23.0	21.1	33.59	1.0 a	39.1	12.0 p	21.1	18.0	28
23.5	23.5	24.0	24.8	24.3	24.5	25.8	25.0	26.0	20.07	12.0 p	26.0	5.0 a	15.6	10.4	29
31.0	30.9	31.2	31.3	31.0	31.1	30.7	31.0	31.6	29.37	7.0 p	31.3	1.0 a	26.3	5.0	30
39.8	40.3	40.7	40.8	40.9	41.0	41.2	41.2	41.1	38.60	10.0 p	41.2	0.30 a	32.9	8.3	31
743.03	743.05	743.04	743.13	743.05	742.89	742.78	742.68	742.59	742.78		744.24		738.37	5.87	Med.
Absolutes Minimum = 715.6 (29: 5 ^h 0 ^m a)															

Luftdruck bei 0°

Barometer: 13,0 m. über Meeresniveau.

April 1902

Korr. f. Red. zu } Bar.: 706.60 — 12.78 — 18.95 — 25.13 — 31.30
Normalschwere } Korr.: +1.15; +1.16; +1.17; +1.18;

Dat.	1 a. m.	2 a. m.	3 a. m.	4 a. m.	5 a. m.	6 a. m.	7 a. m.	8 a. m.	9 a. m.	10 a. m.	11 a. m.	Mittg.	1 p. m.	2 p. m.	3 p. m.
	mm.	mm.	mm.	mm.	mm.	mm.	mm.	mm.	mm.	mm.	mm.	mm.	mm.	mm.	mm.
1	741.0	740.8	740.5	740.3	739.8	739.8	739.5	739.3	739.1	738.9	738.8	738.7	738.7	738.7	739.0
2	38.0	36.9	36.3	35.8	35.5	35.3	35.6	36.4	36.6	36.7	36.9	36.7	36.4	35.8	35.5
3	32.8	33.0	33.0	33.0	33.0	33.0	33.0	33.2	33.2	33.5	33.6	34.1	34.4	34.6	35.1
4	38.3	37.6	36.9	35.6	34.5	33.6	32.5	30.7	29.9	29.1	28.8	28.8	28.6	29.5	29.6
5	29.6	29.1	28.6	28.1	27.1	27.0	26.6	27.5	28.1	29.3	30.5	30.6	31.5	32.2	32.6
6	27.5	26.2	23.6	21.9	20.1	18.6	20.6	23.5	25.6	26.6	28.3	28.9	29.8	30.8	31.5
7	30.6	30.6	30.6	30.6	30.7	30.7	31.0	31.0	31.9	32.6	32.9	33.1	33.2	33.4	33.5
8	32.4	32.6	32.6	33.6	34.7	33.8	36.8	37.7	37.5	38.2	38.1	38.3	39.5	39.9	40.5
9	44.2	44.3	44.2	44.1	43.8	43.5	42.6	42.2	41.3	40.8	40.6	40.5	40.2	40.2	39.8
10	41.7	42.4	43.5	44.7	45.3	45.7	46.9	47.6	47.9	48.7	49.0	49.4	49.6	49.8	50.1
11	54.7	55.4	55.7	56.3	56.6	56.7	56.9	57.4	57.8	57.7	58.5	58.6	58.7	59.1	59.5
12	61.0	60.7	60.7	60.5	59.7	59.5	58.8	58.5	57.5	57.1	56.5	55.5	54.7	54.4	53.7
13	49.7	51.0	51.3	50.5	50.4	50.4	49.5	48.7	48.5	48.4	48.0	47.1	46.0	46.5	45.8
14	44.2	44.2	43.7	43.7	43.7	43.8	43.9	44.2	44.6	44.8	44.8	45.0	45.7	45.9	46.7
15	49.2	49.2	49.3	49.9	50.3	50.3	50.4	50.4	50.7	50.7	50.2	50.2	50.2	50.2	50.7
16	51.0	50.7	50.5	50.5	50.4	50.0	49.6	49.4	48.9	48.3	47.9	47.7	47.6	47.0	46.8
17	44.7	44.0	43.5	42.7	42.0	41.7	41.2	40.5	40.6	40.2	40.7	40.7	40.9	41.2	41.7
18	48.6	48.8	48.7	48.7	48.7	48.1	48.2	48.1	48.1	48.3	48.0	47.9	47.7	47.6	47.7
19	47.3	47.3	47.2	47.2	47.0	47.1	46.9	46.7	46.7	46.7	46.6	46.5	45.8	45.9	46.0
20	46.8	46.9	47.3	47.3	47.5	47.8	48.1	48.1	48.4	48.5	48.6	48.8	49.1	49.1	49.6
21	52.0	52.0	52.3	52.4	52.5	52.6	52.7	52.8	53.1	53.2	53.3	53.5	53.5	53.5	53.8
22	55.0	55.4	55.6	55.8	55.8	55.9	56.4	56.6	56.9	56.9	56.9	56.9	56.9	56.9	56.9
23	55.5	55.4	54.9	54.6	53.9	53.7	52.9	52.4	51.9	51.4	50.6	49.9	49.4	48.7	47.9
24	38.2	37.2	36.2	35.2	35.3	35.2	35.7	35.7	35.7	35.8	36.2	36.4	37.2	37.7	37.8
25	38.3	38.2	38.1	38.1	37.7	38.1	38.2	38.3	38.4	38.6	38.7	38.8	39.1	39.1	39.7
26	44.9	45.9	46.9	47.9	48.7	49.3	49.3	49.6	50.6	50.9	51.4	52.0	52.1	52.5	53.3
27	52.0	51.7	50.9	50.3	49.4	49.1	48.9	48.6	48.6	48.3	47.9	48.1	48.3	48.7	49.0
28	51.7	51.7	51.8	51.6	51.2	51.0	50.6	49.9	49.6	49.1	48.9	48.6	47.8	47.3	47.0
29	45.8	45.9	46.0	46.0	46.2	46.3	46.8	47.0	47.7	47.7	47.9	47.9	48.3	48.7	48.8
30	46.8	46.4	45.8	45.1	44.8	44.8	44.7	44.8	44.7	44.5	44.2	43.6	43.3	42.9	42.6
Med.	744.45	744.38	744.21	744.07	743.88	743.72	743.83	743.89	744.00	744.05	744.11	744.09	744.14	744.26	744.41

Absolutes Maximum = 761.5 (11: 11^h 0^m p)

Luftdruck bei 0°

Barometer: 13.0 m. über Meeresniveau.

Bar.: 731.30 — 37.47 — 43.64 — 49.81 — 55.98 — 62.15
Korr.: +1.19; +1.20; +1.21; +1.22; +1.23

1902 April

4 p. m.	5. p. m.	6 p. m.	7 p. m.	8 p. m.	9 p. m.	10 p. m.	11 p. m.	Mittn.	Med.	Maximum		Minimum		Diff.	Dat.
										h. m.	mm.	h. m.	mm.		
739.0	739.5	739.7	739.8	739.8	740.1	740.0	739.5	738.6	739.54	1.0 a	741.0	1.0 p	738.7	2.3	1
35.1	34.8	34.4	33.6	33.3	32.8	32.7	32.8	32.8	35.28	0.30 a	38.3	10.0 p	30.6	7.7	2
35.6	36.3	36.6	36.8	37.6	38.1	38.1	38.5	38.4	34.94	11.0 p	38.5	1.0 a	32.8	5.7	3
29.5	30.0	30.5	29.7	30.6	30.6	30.6	30.6	29.8	31.50	1.0 a	38.3	1.0 p	28.6	9.7	4
33.2	33.0	33.0	33.2	32.6	31.8	31.1	30.6	30.2	30.30	7.0 p	33.2	6.45 a	26.4	6.8	5
31.6	31.6	31.6	31.6	31.2	30.6	30.6	30.6	30.6	27.65	7.0 p	31.6	5.50 a	18.5	13.1	6
33.6	33.7	33.4	33.1	32.8	32.5	32.0	32.2	32.3	32.17	5.0 p	33.7	1.0 a	30.6	3.1	7
40.7	41.5	41.9	42.5	42.8	43.3	43.5	43.7	43.9	38.75	12.0 p	43.9	1.0 a	32.4	11.5	8
39.1	37.5	37.0	37.6	37.7	38.3	38.8	39.8	41.0	40.80	2.0 a	44.3	5.45 p	36.9	7.4	9
50.6	51.1	51.6	52.0	52.4	52.6	53.4	54.1	54.5	48.94	12.0 p	54.5	1.0 a	41.7	12.8	10
59.5	60.0	60.5	60.5	60.6	61.0	61.5	61.5	61.3	58.58	11.0 p	61.5	1.0 a	54.7	6.8	11
53.7	53.6	53.7	54.0	53.0	52.5	52.6	52.0	50.5	56.02	1.0 a	61.0	12.0 p	50.5	10.5	12
46.0	45.5	45.1	44.1	44.0	44.1	43.8	44.3	44.3	47.21	0.30 a	50.1	10.0 p	43.8	6.3	13
46.9	47.2	47.6	47.8	48.1	48.3	48.7	48.9	49.1	45.90	12.0 p	49.1	4.0 a	43.7	5.4	14
51.2	51.1	50.7	50.6	50.3	50.5	51.2	51.6	51.2	50.43	11.0 p	51.6	1.0 a	49.2	2.4	15
47.0	46.8	46.7	46.7	46.6	46.4	45.9	45.6	45.2	48.05	1.0 a	51.0	12.0 p	45.2	5.8	16
42.6	43.5	43.9	44.2	45.2	45.7	46.7	47.2	47.9	43.05	12.0 p	47.9	10.0 a	40.2	7.7	17
47.8	47.8	47.7	47.7	47.7	47.7	47.7	47.6	47.6	48.02	2.0 a	48.8	12.0 p	47.6	1.2	18
46.5	46.6	46.6	46.6	46.6	46.6	46.7	46.7	46.7	46.69	1.0 a	47.3	1.0 p	45.8	1.5	19
49.9	50.3	50.7	50.8	50.9	51.1	51.7	51.7	51.8	49.20	12.0 p	51.8	1.0 a	46.8	5.0	20
54.0	54.4	54.4	54.7	54.8	54.8	54.9	54.9	54.9	53.54	12.0 p	54.9	1.0 a	52.0	2.9	21
56.9	56.9	56.8	56.8	56.7	56.4	56.2	56.0	55.9	56.39	11.0 a	56.9	1.0 a	55.0	1.9	22
46.9	45.9	44.7	43.3	42.1	40.9	40.4	39.8	38.9	48.58	1.0 a	55.5	12.0 p	38.9	16.6	23
38.2	38.2	38.7	38.5	38.7	39.1	38.9	38.7	38.4	37.20	9.0 p	39.1	5.0 a	35.0	4.1	24
39.7	40.4	40.5	40.7	40.9	42.5	43.1	43.2	43.2	39.65	12.0 p	44.2	5.0 a	37.7	6.5	25
53.4	53.7	53.6	53.6	53.7	53.6	53.1	52.9	53.5	51.10	5.0 p	53.7	0.30 a	44.6	9.1	26
49.5	49.9	50.0	50.3	50.3	50.6	51.3	51.7	51.7	49.80	1.0 a	52.0	11.0 a	47.9	4.1	27
46.5	46.3	46.7	46.3	46.1	46.3	45.9	45.9	45.8	48.48	3.0 a	51.8	12.0 p	45.8	6.0	28
49.0	49.3	49.3	49.3	48.8	48.6	48.4	48.2	47.7	47.73	6.0 p	49.3	1.0 a	45.8	3.5	29
42.1	41.8	41.2	40.8	40.6	39.8	38.6	37.6	37.2	42.86	0.30 a	47.2	12.0 p	37.2	10.0	30
744.51	744.61	744.63	744.57	744.55	744.57	744.60	744.61	744.50	744.28		747.40		740.82	6.58	Med.

Absolutes Minimum = 718.5 (6: 5^h 50^m a)

Luftdruck bei 0°

Barometer: 13.0 m. über Meeresniveau.

Mai 1902

Korr. f. Red. zu } Bar.: 706.60 — 12.78 — 18.95 — 25.13 — 31.30
Normalschwere.} Korr.: + 1.15; + 1.16; + 1.17; + 1.18;

Det.	1 a. m.	2 a. m.	3 a. m.	4 a. m.	5 a. m.	6 a. m.	7 a. m.	8 a. m.	9 a. m.	10 a. m.	11 a. m.	Mittg.	1 p. m.	2 p. m.	3 p. m.
	mm.	mm.	mm.	mm.	mm.	mm.	mm.	mm.	mm.	mm.	mm.	mm.	mm.	mm.	mm.
1	737.5	737.5	737.9	738.3	739.1	739.3	739.8	740.6	741.6	741.7	741.9	741.9	741.8	741.3	741.0
2	37.6	37.0	36.6	36.1	36.8	35.8	35.7	36.1	36.2	35.6	35.6	35.6	35.6	35.6	35.6
3	34.1	33.6	31.9	32.1	32.4	31.2	31.4	31.2	30.6	32.0	32.5	32.2	33.1	33.8	34.5
4	41.3	41.3	41.3	41.7	42.5	43.2	43.3	43.3	44.2	44.3	44.6	44.9	45.2	44.9	45.3
5	47.7	47.8	47.8	47.9	48.2	48.4	48.7	48.8	49.1	49.1	48.8	48.7	48.0	47.6	46.8
6	41.8	41.4	40.8	39.9	39.8	39.1	37.8	39.1	39.4	39.9	40.3	41.3	41.6	41.6	43.3
7	43.9	43.5	42.8	42.2	41.1	40.9	40.8	40.9	40.8	40.9	41.4	41.8	42.3	42.9	43.6
8	44.9	44.9	44.9	44.8	44.7	44.1	43.8	43.1	42.2	40.8	39.8	39.8	39.0	38.6	38.6
9	46.3	47.7	48.4	49.7	51.7	52.7	53.7	54.7	54.9	54.9	55.0	53.9	54.5	53.9	53.1
10	45.8	45.7	45.6	45.7	45.8	46.0	46.3	46.4	46.8	46.8	46.8	46.8	46.8	46.8	46.9
11	48.0	47.6	47.4	46.0	45.9	45.3	44.3	43.7	42.8	41.7	39.8	39.0	38.2	36.1	34.5
12	23.1	23.1	22.9	22.5	23.1	23.3	23.6	24.3	24.9	25.8	26.7	27.2	27.7	27.7	27.7
13	27.0	27.5	27.6	27.6	27.5	27.5	27.6	27.7	27.7	27.7	27.8	27.9	27.8	27.8	28.4
14	29.5	29.1	28.5	28.3	27.1	26.9	26.7	26.7	26.8	26.7	26.7	26.7	26.7	26.8	27.0
15	30.9	30.7	30.6	29.9	29.3	28.7	28.0	27.7	26.7	26.7	25.8	25.7	25.0	24.8	24.7
16	23.6	23.1	22.9	22.6	22.7	21.7	21.7	21.7	21.7	21.7	21.9	22.2	22.2	22.7	22.7
17	25.6	25.7	25.7	25.7	26.0	25.9	26.6	27.0	27.5	27.2	26.8	26.7	27.0	26.8	27.2
18	28.9	28.9	28.9	29.2	29.6	29.7	30.5	30.6	30.7	30.8	31.2	31.9	32.0	32.5	32.6
19	33.1	33.2	33.1	33.7	34.2	34.1	35.2	36.1	36.6	37.4	38.1	38.3	39.3	39.8	40.3
20	44.3	44.8	45.3	45.3	45.5	45.8	46.3	46.5	47.7	48.2	48.3	48.4	48.5	49.0	49.2
21	51.2	51.3	51.4	51.5	51.8	52.1	52.3	52.5	53.1	53.3	53.4	53.5	53.5	53.5	53.3
22	53.6	53.6	53.4	53.4	53.3	53.3	52.8	53.1	53.2	53.2	53.1	52.8	52.5	52.3	52.0
23	49.2	48.7	48.5	48.4	47.9	48.0	47.7	47.9	47.9	47.5	47.0	46.5	46.2	46.2	45.9
24	46.1	46.1	46.1	45.6	45.5	45.2	45.2	45.6	45.6	45.2	45.2	45.3	45.2	45.2	45.1
25	44.2	44.2	44.1	44.0	43.9	43.7	43.4	43.2	43.3	43.3	43.2	43.2	43.1	42.9	42.4
26	41.5	41.3	41.3	41.2	41.2	40.8	41.1	41.2	41.4	41.7	40.9	40.8	40.8	40.0	39.8
27	38.0	37.8	37.7	37.3	36.8	36.7	36.6	36.6	36.8	36.8	36.7	35.6	35.4	34.6	34.6
28	35.3	35.4	35.1	35.1	35.2	35.6	35.2	35.1	35.8	35.6	35.6	35.6	35.6	35.7	36.0
29	39.8	40.0	40.3	41.2	41.8	41.8	41.3	43.0	43.3	43.3	44.2	45.1	45.9	46.9	46.9
30	50.0	50.1	50.0	50.7	50.3	49.9	50.3	51.7	52.3	52.8	52.8	52.3	52.4	52.2	52.1
31	46.3	44.9	44.7	43.3	42.2	40.5	40.2	39.3	38.3	37.3	36.3	35.3	34.8	34.0	32.6
Med.	739.68	739.60	739.47	739.38	739.45	739.26	739.29	739.53	739.67	739.67	739.62	739.58	739.60	739.50	739.47

Absolutes Maximum = 755.0 (9:11^h0^ma)

Luftdruck bei 0°

Barometer: 13.0 m. über Meeresniveau.

Bar.: 731.30 — 37.47 — 43.64 — 49.81 — 55.98 — 62.15
Korr.: +1.19; +1.20; +1.21; +1.22; +1.23

1902 Mai

4 p. m.	5 p. m.	6 p. m.	7 p. m.	8 p. m.	9 p. m.	10 p. m.	11 p. m.	Mttm.	Med.	Maximum.		Minimum.		Diff.	Dat.
mm.	mm.	mm.	mm.	mm.	mm.	mm.	mm.	mm.	mm.	h. m.	mm.	h. m.	mm.	mm.	
741.1	740.9	741.0	740.6	739.8	739.8	739.1	738.6	738.0	740.00	12.0 a	741.9	1.0 a	737.5	4.7	1
35.6	36.6	36.6	35.6	35.6	35.6	35.6	35.1	34.5	35.93	1.0 a	37.6	2.0 p	35.6	2.0	2
36.1	38.1	38.6	37.8	39.0	39.1	40.4	41.2	41.1	34.92	11.0 p	41.2	9.0 a	30.6	10.6	3
45.8	45.8	46.0	46.6	46.9	47.3	47.5	46.9	47.8	44.66	12.0 p	47.8	1.0 a	41.3	6.5	4
46.4	45.3	44.6	41.0	43.8	43.3	42.9	42.8	42.6	46.63	10.0 a	49.1	12.0 p	42.6	6.5	5
43.9	44.7	44.7	44.3	44.0	45.8	45.4	45.2	44.5	42.07	9.0 p	45.8	7.30 a	38.0	7.8	6
43.8	44.3	44.6	44.8	44.8	44.8	44.8	44.8	44.8	42.97	8.0 p	44.8	7.0 a	40.8	4.0	7
38.6	39.8	41.3	42.3	43.0	42.6	43.5	43.7	44.9	42.24	3.0 a	44.9	3.0 p	38.6	6.3	8
52.3	51.8	50.8	49.2	48.6	47.5	46.8	46.7	45.8	51.02	11.0 a	55.0	12.0 p	45.8	9.2	9
47.3	47.7	47.7	47.7	47.8	47.8	48.0	48.0	48.0	46.88	11.0 p	48.0	3.0 a	45.6	2.4	10
32.3	30.1	28.8	27.3	25.4	23.7	23.3	23.1	23.1	36.56	1.0 a	48.0	12.0 p	23.1	24.9	11
27.9	28.0	28.0	27.9	27.7	27.7	27.2	27.5	27.0	25.94	6.0 p	28.0	3.0 a	22.9	5.1	12
28.6	29.5	29.6	29.9	30.5	30.5	30.5	30.4	29.9	28.52	1.0 a	30.5	1.0 a	27.0	3.5	13
27.5	27.7	28.7	28.7	29.2	29.6	29.9	30.0	30.6	28.00	12.0 p	30.6	11.0 a	26.7	3.9	14
24.7	24.6	24.5	24.3	24.6	24.5	24.7	24.6	23.7	26.48	1.0 a	30.9	12.0 p	23.7	7.2	15
22.9	22.7	23.4	23.9	24.3	24.6	24.9	25.0	25.3	23.00	12.0 p	25.3	6.0 a	21.7	3.6	16
27.7	27.9	28.2	28.4	28.6	28.7	28.7	28.7	28.7	27.21	12.0 p	28.7	1.0 a	25.6	3.1	17
32.7	32.7	32.6	32.6	32.6	32.7	32.7	32.9	33.7	31.38	12.0 p	33.7	1.0 a	28.9	4.8	18
41.3	41.1	41.4	42.1	42.1	42.3	43.3	43.7	44.1	38.50	12.0 p	44.1	1.0 a	33.1	11.0	19
49.4	50.2	50.3	50.3	50.3	50.5	50.9	51.1	51.1	48.22	12.0 p	51.1	1.0 a	44.3	6.8	20
53.3	53.4	53.4	53.5	53.7	53.8	54.1	53.8	53.8	52.94	10.0 p	54.1	1.0 a	51.2	2.9	21
51.8	51.6	51.4	50.8	50.7	50.7	50.2	50.2	50.0	52.21	1.0 a	53.6	12.0 p	49.7	3.9	22
45.7	45.4	46.1	46.1	45.7	45.7	45.4	45.8	46.0	46.89	1.0 a	49.2	10.0 p	45.4	3.8	23
45.1	45.1	45.1	45.1	45.0	44.7	44.5	44.3	44.2	45.22	1.0 a	46.1	12.0 p	44.2	1.9	24
42.7	42.3	42.3	42.3	42.3	42.3	42.2	42.2	42.1	45.03	2.0 a	44.2	12.0 p	42.1	2.1	25
39.8	39.8	39.8	39.4	39.1	39.0	38.6	38.6	38.5	40.32	10.0 a	41.7	12.0 p	38.5	3.2	26
34.6	34.1	34.3	34.3	34.5	34.6	34.6	35.0	35.1	35.80	1.0 a	38.0	5.0 p	34.1	3.9	27
36.4	37.1	37.4	37.6	38.5	39.1	39.1	39.6	39.9	36.52	12.0 p	39.9	3.0 a	35.1	4.8	28
47.1	47.8	47.8	48.8	48.8	49.3	49.3	49.7	49.4	45.12	11.0 p	49.7	1.0 a	39.9	9.8	29
51.8	52.2	51.8	51.3	50.5	49.8	49.3	48.9	47.3	50.95	10.0 a	52.8	12.0 p	47.3	5.5	30
22.2	31.5	30.8	30.6	29.4	29.1	28.6	28.3	28.2	35.78	0.30 a	46.8	12.0 p	28.5	18.3	31
739.56	739.67	739.73	739.62	739.57	739.56	739.55	739.56	739.47	739.54		742.68		736.42	6.26	Med.

Absolutes Minimum = 721.7 (16:6 h₀ m a)

Luftdruck bei 0°

Barometer: 13.0 m. über Meeresebene

Juni 1902

Korr. f. Red. zu } Bar.: 706.60 — 12.78 — 18.95 — 25.13 — 31.30
Normalschwere f } Korr.: +1.15; +1.16; +1.17; +1.18;

Dat.	1 a. m.	2 a. m.	3 a. m.	4 a. m.	5 a. m.	6 a. m.	7 a. m.	8 a. m.	9 a. m.	10 a. m.	11 a. m.	Mittg.	1 p. m.	2 p. m.	3 p. m.
	mm.	mm.	mm.	mm.	mm.	mm.	mm.	mm.	mm.	mm.	mm.	mm.	mm.	mm.	mm.
1	728.5	728.6	729.1	729.4	730.4	731.1	732.0	733.4	734.5	735.5	736.1	736.6	736.7	737.5	738.3
2	742.3	42.2	42.1	42.0	41.8	42.3	42.3	42.4	42.8	42.8	42.8	42.7	42.6	42.6	42.6
3	43.1	42.8	42.8	42.8	42.6	42.6	41.9	42.6	42.7	43.5	43.5	43.1	43.1	43.1	43.1
4	43.1	43.1	42.6	42.6	42.5	42.6	42.1	42.1	42.5	42.3	40.8	42.2	40.8	41.1	40.6
5	42.1	42.1	42.1	42.1	42.1	41.8	41.6	42.1	42.0	42.6	42.8	42.7	43.4	43.6	43.6
6	47.8	47.9	47.3	47.0	47.2	47.4	47.6	47.9	48.3	48.5	48.6	48.0	47.8	47.1	47.1
7	45.5	45.6	45.6	45.7	45.8	45.9	46.5	46.4	47.1	47.1	47.1	47.1	47.3	47.8	48.3
8	46.2	45.8	44.6	42.6	41.3	39.9	38.2	36.9	36.1	34.4	33.4	32.1	30.9	30.1	30.6
9	35.9	35.9	36.2	36.0	36.1	35.9	36.4	36.8	37.2	37.2	37.8	37.9	38.5	38.9	39.2
10	44.6	45.8	47.3	48.9	49.2	50.9	51.5	52.3	52.3	52.6	53.4	53.8	53.1	52.4	52.1
11	54.7	55.0	54.9	54.7	55.0	55.1	55.1	55.3	55.7	55.7	56.1	56.5	56.6	56.7	56.6
12	57.5	57.2	56.9	56.4	55.7	55.4	54.6	54.4	53.7	53.1	52.6	51.7	51.1	50.1	49.1
13	46.9	47.0	47.2	47.3	46.8	46.7	47.0	47.9	49.3	49.6	49.7	49.7	50.6	52.0	52.7
14	57.6	57.5	57.6	56.9	56.4	55.7	55.3	55.1	54.6	54.5	53.7	53.6	53.3	53.1	53.2
15	53.4	52.9	53.0	53.1	53.1	53.1	53.1	53.8	53.7	54.0	54.6	55.9	56.3	57.1	57.5
16	60.1	58.6	57.6	56.6	54.6	52.9	52.1	50.5	49.0	48.1	48.0	47.1	45.3	44.2	43.3
17	47.9	47.8	47.9	47.3	46.9	45.9	45.4	42.9	41.0	39.6	37.7	36.6	35.3	34.3	33.5
18	37.2	38.3	39.3	39.9	40.4	41.9	43.4	44.9	46.4	48.2	49.4	50.5	50.9	51.4	52.2
19	60.4	60.3	61.0	60.7	59.8	59.0	58.4	57.3	56.4	55.1	53.9	52.0	51.5	50.0	48.7
20	38.7	38.1	37.9	37.4	37.6	39.3	40.0	40.4	40.7	40.6	40.3	40.1	39.7	36.7	36.0
21	39.3	41.6	41.9	42.9	42.9	43.9	43.9	43.9	43.1	41.7	40.0	39.6	37.3	36.4	34.9
22	33.5	34.2	34.1	33.4	33.3	33.2	33.3	33.4	33.7	33.9	33.2	33.1	32.2	31.8	31.5
23	31.8	31.9	31.3	31.2	30.3	30.2	28.8	29.0	28.8	28.3	28.5	30.4	32.4	33.9	35.8
24	42.1	42.7	43.5	44.1	44.9	45.9	46.0	46.4	47.1	47.2	47.2	46.9	46.8	46.1	45.1
25	36.9	36.4	35.4	35.2	35.0	34.7	34.6	34.7	35.2	35.1	35.4	35.7	36.4	37.0	37.4
26	43.4	48.5	50.0	51.0	52.6	53.1	53.8	54.2	55.1	55.2	55.2	55.2	55.1	55.1	55.0
27	51.1	51.1	51.1	51.1	51.1	51.4	51.6	51.6	52.0	51.7	51.7	51.7	52.0	52.0	52.0
28	52.9	53.1	53.1	53.1	53.1	53.6	53.8	53.4	54.1	54.1	54.1	54.1	54.1	54.0	53.9
29	51.5	50.7	50.6	50.1	49.0	48.5	47.6	47.6	47.3	46.6	46.0	45.4	44.6	44.7	44.9
30	42.6	42.1	42.1	42.1	41.9	41.4	41.6	41.6	41.6	41.6	41.3	41.1	41.1	40.7	40.7
Med.	745.45	745.49	745.54	745.45	745.31	745.38	745.32	745.37	745.47	745.35	745.16	745.10	744.89	744.72	744.68

Absolutes Maximum = 761.0 (19: 3^h 0^m p)

Luftdruck bei O°

Barometer: 13.0 m. über Meeresniveau

Bar.: 734.30 — 37.47 — 43.64 — 49.81 — 55.98 — 62.15
Korr.: + 1.19; + 1.20; + 1.21; + 1.22; + 1.23

1902 Juni

4 p. m.	5 p. m.	6 p. m.	7 p. m.	8 p. m.	9 p. m.	10 p. m.	11 p. m.	Mittn.	Med.	Maximum		Minimum		Diff.	Dat.
mm.	mm.	mm.	mm.	mm.	mm.	mm.	mm.	mm.	mm.	h. m.	mm.	h. m.	mm.	mm.	
739.1	739.8	739.8	740.6	740.7	741.3	741.4	741.8	742.3	736.02	12.0 p	742.3	1.0 a	728.5	13.8	1
42.6	42.6	42.6	42.6	42.6	42.6	42.6	42.6	42.6	43.0	12.0 p	43.0	5.0 a	41.8	1.2	2
43.1	43.1	43.1	43.2	43.1	43.2	43.5	43.1	43.1	42.99	10.0 p	43.5	7.0 a	41.9	1.6	3
40.8	40.6	40.5	40.8	41.4	41.8	42.1	42.1	42.1	41.80	1.0 a	43.1	6.0 p	40.5	2.6	4
44.1	44.1	44.8	45.3	45.1	45.4	46.1	46.1	47.1	43.53	12.0 p	47.1	7.0 a	41.6	5.5	5
47.1	46.0	46.1	45.9	45.5	45.2	45.5	45.6	45.4	46.99	11.0 a	48.6	9.0 p	45.2	3.4	6
48.5	48.6	49.1	48.6	49.1	48.6	47.6	47.2	47.1	47.22	6.0 p	49.1	1.0 a	45.5	3.6	7
30.9	31.4	32.4	32.5	33.4	34.4	35.0	35.9	35.9	36.04	0.30 a	46.7	2.0 p	30.1	16.6	8
39.4	39.8	39.8	40.3	40.7	40.7	41.8	43.1	44.2	38.57	12.0 p	44.2	1.0 a	35.9	8.3	9
52.6	53.8	53.6	53.1	53.6	55.1	55.0	54.6	54.6	51.92	9.30 p	55.7	1.0 a	44.6	11.1	10
56.7	57.2	57.2	57.5	57.5	57.4	57.0	56.6	56.7	56.15	9.0 p	57.5	1.0 a	54.7	2.8	11
48.6	47.9	47.6	47.5	47.1	47.0	46.7	46.6	46.7	51.47	1.0 a	57.5	11.0 p	46.6	10.9	12
52.7	53.6	54.6	55.0	55.6	55.9	56.6	56.8	57.1	51.22	12.0 p	57.1	6.0 a	46.7	10.4	13
53.6	53.6	53.6	53.5	53.5	53.4	53.4	53.4	53.4	54.55	3.0 a	57.6	2.0 p	53.1	4.5	14
57.6	57.4	58.6	60.6	60.1	62.2	60.5	60.6	60.5	56.36	7.15 p	60.7	2.0 a	52.9	7.8	15
45.0	46.3	46.2	46.1	46.3	46.9	47.4	47.5	47.8	49.48	1.0 a	60.1	3.0 p	43.3	16.8	16
33.0	32.4	32.6	33.5	33.7	34.8	35.2	36.2	36.4	39.08	3.0 a	47.9	5.0 p	32.4	15.5	17
54.0	55.9	57.3	59.0	59.7	60.7	60.2	59.9	60.7	50.11	12.0 p	60.7	0.30 a	36.8	23.9	18
48.0	47.3	46.2	45.0	44.4	43.4	41.9	40.9	39.8	51.72	3.0 p	61.0	12.0 p	39.8	21.2	19
34.2	33.0	32.3	32.0	31.7	32.0	33.2	33.2	38.2	36.89	9.0 a	40.7	8.0 p	31.7	9.0	20
33.2	31.3	29.2	27.5	27.3	27.7	28.8	31.2	32.4	36.75	7.0 a	43.9	8.0 p	27.3	16.6	21
31.5	32.1	32.1	31.7	31.8	32.0	32.0	32.2	32.0	32.72	2.0 a	34.2	3.0 p	31.5	2.7	22
36.6	37.7	38.5	38.9	40.0	40.2	40.8	41.0	41.7	34.08	12.0 p	41.7	10.0 a	28.3	13.4	23
44.6	44.1	43.1	42.1	41.1	40.3	39.4	38.4	37.8	43.87	11.0 a	47.2	12.0 p	37.8	9.4	24
38.4	39.2	40.2	41.5	41.8	43.1	44.4	46.1	47.5	38.22	12.0 p	47.5	7.0 a	34.6	12.9	25
54.6	54.2	53.8	53.3	53.0	52.2	51.8	51.0	51.1	53.02	11.0 a	55.2	0.30 a	48.0	7.2	26
52.0	51.9	52.0	51.6	52.1	52.1	52.3	52.1	52.2	51.73	10.0 p	52.3	1.0 a, 5.0 a	51.1	1.2	27
53.6	53.4	53.3	53.1	53.0	52.9	52.4	51.4	51.5	53.30	0.0 p	54.1	11.0 p	51.4	2.7	28
44.4	43.6	43.6	43.6	43.4	43.1	42.9	42.4	42.4	46.02	1.0 a	51.5	12.0 p	42.4	9.1	29
40.9	40.6	40.6	40.6	40.6	40.6	41.0	40.2	40.2	41.20	1.0 a	42.6	12.0 p	40.2	2.4	30
744.71	744.73	744.81	744.88	744.96	745.21	745.32	745.39	745.70	745.18		749.81		740.87	8.97	Med.

Absolutes Minimum = 727.3 (21: 8^h 0^m p)

Luftdruck bei 0°

Barometer: 13.0 m. über Meeresniveau

Juli 1902

Korr. f. Red. zu } Bar: 706.60 — 12.78 — 18.95 — 25.13 — 31.30
Normalschwere } Korr: +1.15; +1.19; +1.17; +1.18;

Dat.	1 a. m.	2 a. m.	3 a. m.	4 a. m.	5 a. m.	6 a. m.	7 a. m.	8 a. m.	9 a. m.	10 a. m.	11 a. m.	Mittg.	1 a. m.	2 p. m.	3 p. m.
	mm.	mm.	mm.	mm.	mm.	mm.	mm.	mm.	mm.	mm.	mm.	mm.	mm.	mm.	mm.
1	740.1	739.8	739.6	739.5	739.4	739.0	738.7	737.8	737.8	737.8	737.6	737.0	736.5	736.5	736.1
2	38.3	37.5	38.4	38.0	38.0	38.0	38.4	39.0	39.8	39.8	40.6	40.2	40.2	40.2	41.2
3	43.8	44.3	44.7	45.2	46.0	46.2	46.2	46.2	47.1	47.2	48.2	48.2	48.2	48.2	48.2
4	46.4	46.2	46.2	46.2	46.1	46.2	46.1	46.1	46.1	46.2	46.2	46.2	46.1	45.8	45.6
5	42.9	41.5	41.1	40.0	39.7	38.9	38.2	37.4	36.6	35.6	34.7	34.2	32.6	31.2	30.0
6	25.6	25.7	25.7	26.0	26.5	28.0	29.7	33.0	35.9	36.5	37.5	38.2	38.5	38.8	38.0
7	38.4	38.9	39.0	39.0	38.8	38.7	38.2	38.1	37.9	36.9	37.1	36.6	36.1	35.3	34.4
8	29.8	29.6	28.9	29.4	29.1	28.6	28.0	28.7	28.6	28.4	28.6	28.9	29.2	29.6	29.8
9	33.8	35.6	36.1	37.0	38.7	39.8	40.6	41.0	42.3	42.8	43.8	44.3	44.5	44.4	44.3
10	44.8	44.2	44.1	44.0	43.5	42.7	42.5	42.3	42.1	41.3	41.3	40.8	40.1	39.6	39.3
11	36.8	37.6	37.9	38.4	38.9	39.6	40.3	41.3	41.4	42.0	42.6	42.8	43.3	43.4	43.5
12	43.0	42.6	42.8	42.3	42.4	43.2	43.3	43.2	42.3	42.3	42.6	42.3	41.8	41.4	41.1
13	37.3	36.7	36.3	35.6	34.6	33.6	32.1	30.8	29.6	28.8	28.5	27.6	27.2	26.6	26.6
14	32.5	34.3	34.5	34.6	35.0	35.6	36.4	36.7	37.1	37.3	38.3	38.4	39.0	39.3	39.6
15	40.5	40.5	41.3	42.3	42.4	42.4	42.6	43.1	43.2	43.3	43.5	43.8	44.7	44.9	45.3
16	47.4	47.0	46.5	46.3	46.3	46.3	45.9	45.8	45.6	45.3	44.7	43.9	43.8	43.7	43.1
17	41.8	41.8	41.4	40.8	40.8	41.1	40.8	41.3	41.3	40.8	40.4	40.3	39.8	39.8	40.3
18	39.0	39.1	39.2	39.3	39.3	39.1	39.3	39.2	39.1	39.5	39.4	39.7	39.8	39.6	39.2
19	39.3	38.7	38.7	38.2	38.5	38.5	38.1	38.2	38.1	38.2	38.2	38.3	38.6	38.2	38.8
20	38.1	38.0	38.0	37.8	38.3	38.1	38.1	38.3	38.2	39.1	39.3	39.6	39.8	39.8	40.0
21	43.4	43.5	44.2	44.3	44.2	43.8	43.6	43.8	44.2	45.0	45.1	45.5	46.1	46.6	46.8
22	46.9	47.1	46.9	47.3	48.2	48.3	48.4	48.8	48.8	49.0	49.0	49.0	49.6	49.6	49.6
23	50.8	51.2	51.3	51.0	51.0	51.4	51.3	50.9	50.9	51.0	51.0	51.0	50.9	50.7	51.1
24	51.0	50.6	50.6	50.3	50.3	50.3	50.2	50.9	51.1	51.2	51.6	51.6	51.5	51.5	51.5
25	53.3	53.4	54.1	53.8	53.9	54.1	54.2	54.3	54.5	54.9	54.8	54.6	54.2	54.2	54.0
26	52.2	52.0	51.6	51.8	51.7	51.6	51.6	51.5	51.3	51.3	50.8	50.3	49.8	48.8	47.8
27	45.3	45.8	46.5	46.3	47.3	48.0	47.6	47.9	48.3	48.5	49.3	49.2	48.7	48.4	48.3
28	47.5	47.4	47.5	47.4	47.5	47.2	47.6	47.7	47.3	47.4	47.6	47.8	48.2	48.2	48.7
29	46.5	45.7	45.2	44.7	44.2	44.1	43.2	42.7	42.3	42.2	41.9	41.8	42.0	42.7	42.7
30	43.1	42.9	42.5	42.1	41.7	41.5	40.8	40.2	39.4	38.9	38.5	38.4	38.0	37.6	37.7
31	40.7	41.7	41.7	42.0	42.3	42.6	42.9	43.0	43.3	43.4	43.6	43.6	43.5	43.8	43.6
Med.	741.95	742.03	742.02	741.97	742.08	742.15	742.09	742.23	742.31	742.33	742.46	742.39	742.33	742.21	742.14

Absolutes Maximum = 754.9 (25: 10^h0^ma)

Luftdruck bei O°
Barometer: 13.0 m. über Meeresniveau

Bar: 731.30 — 37.47 — 43.64 — 49.81 — 55.98 — 62.15
Korr: +1.19; +1.20; +1.21; +1.22; +1.23

1902 Juli

4 p. m.	5 p. m.	6 p. m.	7 p. m.	8 p. m.	9 p. m.	10 p. m.	11 p. m.	Mttu.	Med.	Maximum		Minimum		Diff.	Dat.
mm.	mm.	mm.	mm.	mm.	mm.	mm.	mm.	mm.	mm.	h. m.	mm.	h. m.	mm.	mm.	
736.5	736.0	736.3	736.3	736.5	737.0	737.0	737.5	737.9	737.68	1.0 a	740.1	5.0 p	736.0	4.1	1
42.0	42.3	42.6	43.0	42.9	43.2	42.9	43.3	43.2	40.54	11.0 p	43.3	2.0 a	37.5	5.8	2
47.7	47.7	47.8	47.6	47.4	47.2	47.0	46.9	46.6	46.82	2.0 p	48.2	1.0 a	43.8	4.4	3
45.6	45.2	45.2	45.2	44.9	44.5	44.1	43.6	43.0	45.55	1.0 a	46.4	12.0 p	43.0	3.4	4
29.0	28.1	27.5	25.7	24.7	24.3	24.3	25.2	25.0	32.85	1.0 a	42.9	9.30 p	23.7	19.2	5
58.0	38.0	38.1	38.0	37.9	37.5	37.1	37.1	37.7	34.29	2.0 p	38.8	1.0 a	25.6	13.2	6
34.1	33.2	33.1	32.6	32.1	32.1	31.6	31.7	30.6	35.60	3.0 a	39.0	12.0 p	30.6	8.4	7
29.8	30.2	30.3	30.9	30.9	31.6	32.1	32.6	33.1	29.86	12.0 p	33.1	7.0 p	28.0	5.1	8
44.3	45.0	45.3	44.8	45.2	46.0	45.7	45.9	45.0	42.35	9.0 p	46.0	0.30 a	33.4	12.6	9
38.5	38.3	37.6	37.4	36.8	36.6	36.6	36.7	36.8	40.32	1.0 a	44.8	11.0 p	36.6	8.2	10
43.3	43.3	43.5	43.7	44.3	43.7	43.1	43.1	43.3	41.71	8.0 p	44.3	1.0 a	36.8	7.5	11
40.6	40.1	39.9	39.7	39.6	39.1	38.7	38.0	37.9	41.26	7.0 a	43.3	12.0 p	37.9	5.4	12
26.5	26.7	26.6	27.2	27.8	29.0	30.1	31.6	31.8	30.38	1.0 a	37.3	4.0 p	26.5	10.8	13
39.8	39.8	40.3	40.3	40.2	40.3	40.4	40.5	40.5	37.96	12.0 p	40.5	0.30 a	32.2	8.3	14
45.5	46.3	46.4	47.6	47.4	47.2	47.9	47.6	47.7	44.46	10.0 p	47.9	1.0 a	40.5	7.4	15
43.6	43.1	43.3	42.9	43.1	43.0	42.6	42.0	41.8	44.46	1.0 a	47.4	12.0 p	41.8	5.6	16
39.8	39.7	39.6	39.8	39.8	39.8	39.7	39.4	39.1	40.38	2.0 a	41.8	12.0 p	39.1	2.7	17
39.2	39.2	39.8	39.8	39.8	39.2	39.6	39.0	39.1	39.35	7.0 p	39.8	1.0 a	39.0	0.8	18
39.2	38.9	38.4	39.6	38.8	39.1	38.7	38.1	38.2	38.57	7.0 p	39.6	11.0 p	38.1	1.5	19
40.3	40.0	39.4	40.2	40.2	40.6	41.4	42.2	42.8	39.48	12.0 p	42.8	1.30 a	37.5	5.3	20
47.0	47.0	47.3	47.6	47.3	47.1	47.0	47.3	47.3	45.62	12.0 p	47.3	1.0 a	43.4	3.9	21
49.7	50.3	49.8	50.2	50.9	50.9	50.9	51.4	50.9	49.23	11.0 p	51.4	1.0 a	46.9	4.5	22
51.2	51.2	51.1	51.2	51.2	51.2	51.0	51.1	51.2	51.08	6.0 a	51.4	1.0 a	50.8	0.6	23
51.8	52.1	52.3	52.7	52.5	52.7	52.7	52.8	53.2	51.54	12.0 p	53.2	7.0 a	50.2	3.0	24
54.3	53.8	53.8	53.4	53.3	52.9	52.8	52.4	52.3	53.80	10.0 a	54.9	12.0 p	52.3	2.6	25
47.0	46.5	46.1	45.2	44.9	44.2	43.9	44.2	44.3	48.77	1.0 a	52.2	10.0 p	43.9	8.3	26
48.4	48.5	48.0	47.6	47.4	47.5	47.4	47.4	47.5	47.71	11.0 a	49.3	1.0 a	45.3	4.0	27
48.8	49.1	49.4	49.1	48.4	48.2	47.8	47.3	46.8	47.91	6.0 p	49.4	6.0 a	47.2	2.2	28
43.0	42.7	43.2	43.4	43.3	43.7	43.4	42.9	43.1	43.36	1.0 a	46.5	12.0 a	41.8	4.7	29
37.5	37.6	38.2	38.8	38.9	39.8	39.8	40.5	40.6	39.79	1.0 a	43.1	4.0 p	37.5	5.6	30
43.5	43.2	43.2	43.3	43.2	42.6	42.7	42.2	41.9	42.81	2.0 p	43.8	1.0 a	40.7	3.1	31
742.11	742.04	742.05	742.09	741.99	741.99	741.94	741.98	741.94	742.11		744.83		738.95	5.88	Med.

Absolutes Minimum = 723.7 (5 : 9^h 30^{mp})

Luftdruck bei 0°

Barometer: 13.0 m. über Meeresniveau.

Augusti 1902

Korr. f. Red. zu } Bar: 706.60 — 12.78 — 18.95 — 25.13 — 31.30
Normalschwere } Korr: +1.15; +1.16; +1.17; +1.18;

Dat.	1 a. m.	2 a. m.	3 a. m.	4 a. m.	5 a. m.	6 a. m.	7 a. m.	8 a. m.	9 a. m.	10 a. m.	11 a. m.	Mittg.	1 p. m.	2 p. m.	3 p. m.
	mm.	mm.	mm.	mm.	mm.	mm.	mm.	mm.	mm.	mm.	mm.	mm.	mm.	mm.	mm.
1	741.3	741.0	740.2	739.5	739.4	738.5	737.8	737.6	737.0	737.0	736.4	735.5	734.5	733.7	733.0
2	28.2	28.3	28.5	28.8	28.9	29.3	29.8	30.5	30.7	31.6	32.2	33.3	33.6	34.0	34.1
3	34.6	34.1	33.6	33.0	32.2	31.7	31.0	30.3	30.0	29.5	29.0	28.5	27.9	27.1	26.6
4	22.6	22.7	22.8	23.0	22.6	22.6	23.3	23.8	22.2	24.1	24.6	24.2	23.0	23.2	23.2
5	25.8	27.1	27.0	27.0	27.0	26.9	26.8	26.7	26.7	26.5	27.5	27.5	27.7	28.0	28.4
6	28.7	28.4	28.0	28.0	28.1	28.4	29.1	30.2	30.8	31.0	31.4	32.1	32.5	32.7	33.7
7	36.9	36.8	36.7	36.8	37.0	37.1	37.7	38.0	37.9	37.8	37.7	37.7	37.0	36.6	36.6
8	37.6	37.7	37.7	37.7	37.7	37.8	38.1	38.6	38.9	39.2	38.7	38.7	38.4	38.7	38.7
9	37.2	37.2	37.2	37.6	36.9	36.8	36.2	35.8	35.2	34.8	33.9	33.1	30.7	29.7	28.7
10	22.8	22.4	22.5	22.2	23.2	24.2	25.1	26.2	26.8	27.7	28.6	29.1	30.2	30.7	32.7
11	36.7	35.9	36.6	36.2	34.9	35.1	36.0	36.4	37.2	36.5	36.6	36.5	35.2	35.2	35.6
12	33.2	33.4	32.9	32.5	32.6	33.0	33.4	33.4	33.5	33.6	33.9	33.6	33.7	34.0	34.1
13	31.0	31.0	31.2	31.5	31.6	32.5	33.8	34.5	35.5	36.1	36.5	37.5	38.5	38.1	39.5
14	40.7	40.2	39.1	38.4	37.5	36.5	36.0	35.5	35.0	34.6	34.2	33.7	33.1	32.5	32.0
15	34.5	35.5	35.0	38.0	39.0	39.7	41.2	43.2	46.7	48.7	49.5	50.4	51.7	52.7	53.3
16	58.4	58.4	59.2	59.6	60.1	60.4	60.8	61.1	61.1	61.1	60.4	60.2	60.2	59.4	58.9
17	48.7	47.6	46.2	45.2	43.5	42.7	40.7	39.6	38.6	38.1	37.9	37.0	35.6	35.9	34.6
18	27.5	27.0	27.4	27.2	26.5	25.1	24.6	24.6	23.0	23.0	21.6	22.0	22.3	22.0	22.1
19	26.2	27.5	28.0	28.5	29.0	29.9	30.4	31.0	31.1	31.0	31.0	31.0	30.9	30.8	31.0
20	31.0	31.1	31.2	31.2	31.7	31.7	31.8	31.8	31.8	31.6	31.7	32.1	32.5	33.0	33.1
21	33.8	33.9	33.9	33.5	33.3	33.3	34.0	34.0	34.2	34.5	34.8	34.5	34.5	35.0	35.0
22	37.1	36.8	36.4	36.0	36.1	36.2	36.0	36.0	35.9	36.0	35.8	35.4	35.4	35.3	35.2
23	36.8	36.8	36.9	36.9	36.9	36.6	36.5	36.6	36.7	36.8	38.0	39.0	40.5	40.5	40.7
24	45.9	46.2	47.2	47.4	47.9	48.4	48.7	48.8	49.4	49.6	49.7	49.7	49.8	50.2	49.8
25	51.7	51.7	52.2	52.2	52.7	53.1	53.2	53.2	53.3	53.5	53.8	53.8	53.6	53.3	53.2
26	45.8	44.5	43.3	42.1	41.1	40.2	38.9	37.6	36.2	34.6	33.2	31.7	30.6	29.1	29.2
27	34.6	34.6	34.5	34.0	33.6	33.1	32.6	31.9	30.9	30.5	30.1	30.1	30.0	29.8	29.8
28	26.0	26.1	26.2	26.5	26.6	26.6	27.6	28.3	28.8	29.1	30.1	30.6	30.6	30.6	30.6
29	28.3	28.6	29.4	29.8	30.4	30.5	30.7	31.1	31.9	31.9	32.0	32.1	32.4	33.0	33.6
30	36.4	36.5	36.6	36.6	36.6	36.7	36.6	36.6	36.5	36.3	35.9	35.6	35.0	34.7	34.6
31	37.7	38.1	39.0	40.0	40.8	41.8	42.8	43.6	44.7	45.2	46.6	46.8	47.5	48.1	48.6
Med.	735.41	735.59	735.37	735.38	735.34	735.37	735.52	735.69	735.75	735.85	735.91	735.90	735.78	735.73	735.81

Absolutes Maximum = 761.1 (16:9^h0^m a)

Luftdruck bei 0°

Barometer: 13.0 m. über Meeresniveau.

Bar.: 731.30 — 37.47 — 43.64 — 49.81 — 55.98 — 62.15
Korr.: +1.19; +1.20; +1.21; +1.22; +1.23

1902 Augusti

4 p. m.	5 p. m.	6 p. m.	7 p. m.	8 p. m.	9 p. m.	10 p. m.	11 p. m.	Mttm.	Med.	Max.	Min.	Diff.	Dat.		
mm.	mm.	mm.	mm.	mm.	mm.	mm.	mm.	mm.	mm.	h. m.	mm.	h. m.	mm.	mm.	
732.5	732.4	731.6	730.7	730.2	729.0	728.7	728.5	728.3	734.76	1.0 a	74.1.3	12.0 p	728.3	13.0	1
34.3	35.0	34.8	35.0	35.2	34.7	34.8	35.1	34.6	32.30	8.0 p	35.2	1.0 a	28.2	7.0	2
26.3	25.7	25.6	25.4	24.7	23.8	23.7	23.5	23.4	28.38	1.0 a	34.6	12.0 p	23.4	11.2	3
23.0	23.2	23.7	24.1	24.5	25.3	25.3	25.7	25.7	23.68	12.0 p	25.7	9.0 a	22.2	3.5	4
28.5	28.5	28.5	28.5	28.5	28.5	28.6	28.4	28.6	27.63	10.0 p	28.6	1.0 a	25.8	2.8	5
34.2	34.5	34.8	35.2	35.2	34.0	35.1	36.7	36.4	32.05	11.0 p	36.7	3.0 a	28.0	8.7	6
36.6	36.3	36.3	36.2	36.1	36.3	36.7	36.8	37.1	36.95	8.0 a	38.0	8.0 p	36.1	1.9	7
38.8	38.8	38.9	38.8	38.7	38.5	38.2	38.1	37.9	38.37	10.0 a	39.2	1.0 a	37.6	1.6	8
28.2	27.3	26.7	25.7	24.7	24.2	23.8	23.8	23.7	31.21	4.0 a	37.6	12.0 p	23.7	13.9	9
34.4	35.1	34.7	34.7	34.6	34.3	35.1	34.4	35.4	29.46	12.0 p	35.4	4.0 a	22.2	13.2	10
35.6	35.1	35.5	35.2	35.0	34.0	34.0	33.9	34.0	35.54	9.0 a	37.2	11.0 p	33.9	13.3	11
34.0	34.1	33.7	33.4	32.8	32.5	32.5	32.0	31.5	33.22	5.0 p	34.1	12.0 p	31.5	2.6	12
40.2	41.4	40.7	40.7	41.7	41.7	41.7	41.8	41.4	37.09	9.0 p	41.7	1.0 a	31.0	10.7	13
31.5	30.9	30.5	30.5	30.5	32.0	32.7	33.5	34.5	34.40	0.30 a	41.0	7.0 p	30.5	10.5	14
54.2	54.8	55.2	56.2	56.7	57.2	57.5	58.3	58.4	48.65	12.0 p	58.4	1.0 a	34.5	23.9	15
58.3	57.6	57.1	55.7	55.1	53.2	52.3	51.3	50.2	57.92	9.0 a	61.1	12.0 p	50.2	10.9	16
33.0	31.7	31.1	30.4	29.6	29.0	28.6	28.5	28.3	36.75	0.30 a	49.4	12.0 p	28.3	21.1	17
22.0	22.1	22.2	22.4	23.0	23.0	23.7	24.5	25.5	23.93	1.0 a	27.5	11.0 a	21.6	5.9	18
31.0	31.5	31.5	31.2	31.1	31.0	31.0	31.0	31.0	30.32	5.0 p	31.5	0.30 a	25.9	5.6	19
33.1	33.3	33.4	33.5	34.0	33.8	33.7	33.5	33.5	32.46	8.0 p	34.0	1.0 a	31.0	3.0	20
35.5	36.4	36.5	37.2	37.5	37.8	37.7	37.4	37.2	35.22	9.0 p	37.8	5.0 a	33.3	4.5	21
35.2	35.7	35.5	35.6	36.1	36.1	36.1	36.5	36.8	35.92	1.0 a	37.1	3.0 p	35.2	1.9	22
42.0	42.8	43.6	43.7	44.1	44.2	44.6	45.1	45.5	40.08	12.0 p	45.5	7.0 a	36.5	9.0	23
50.2	51.0	51.5	51.6	51.6	51.6	51.6	51.4	51.6	49.62	9.0 p	51.6	1.0 a	45.9	5.7	24
53.0	52.5	52.2	51.7	51.1	50.2	49.1	48.1	46.8	52.05	0.0 p	53.8	12.0 p	46.8	7.0	25
30.1	31.5	32.9	32.9	33.1	33.1	33.4	34.5	34.2	35.58	0.30 a	46.3	2.0 p	29.1	17.2	26
30.0	30.1	30.4	30.1	29.1	28.1	27.7	27.1	26.7	30.81	2.0 a	34.6	12.0 p	26.7	7.9	27
30.6	30.5	30.5	29.7	28.9	28.2	27.9	27.8	27.8	28.59	2.0 p	30.6	1.0 a	26.0	4.6	28
34.0	34.3	34.8	35.1	35.0	35.4	35.6	35.8	35.9	32.57	12.0 p	35.9	1.0 a	28.3	7.6	29
34.6	34.6	34.6	35.0	35.0	35.1	35.8	36.4	36.8	35.80	12.0 p	36.8	4.0 p	34.6	2.2	30
49.8	50.1	50.3	50.7	51.5	51.9	52.3	52.8	53.3	46.42	12.0 p	53.3	1.0 a	37.7	15.6	31
735.96	736.09	736.11	736.03	735.96	735.73	735.79	735.88	735.87	735.73		739.73		731.10	8.63	Med.

Absolutes minimum = 721.6 (18: 11^h0^ma)

Luftdruck bei 0°

Barometer: 13.0 m. über Meeresebene

September 1902

Korr. f. Red. zu } Bar.: 706.60 — 12.78 — 18.95 — 25.13 — 31.30
Normalschwere } Korr.: +1.15; +1.16; +1.17; +1.18;

Dat.	1 a. m.	2 a. m.	3 a. m.	4 a. m.	5 a. m.	6 a. m.	7 a. m.	8 a. m.	9 a. m.	10 a. m.	11 a. m.	Mittg.	1 p. m.	2 p. m.	3 p. m.
	mm.	mm.	mm.	mm.	mm.	mm.	mm.	mm.	mm.	mm.	mm.	mm.	mm.	mm.	mm.
1	754.0	754.2	754.3	754.6	854.6	754.6	754.7	754.7	754.6	754.4	754.0	753.6	753.5	753.4	753.3
2	53.6	53.8	53.9	54.2	54.2	54.3	54.2	54.2	54.2	54.3	54.1	53.6	53.6	53.5	53.5
3	49.2	48.9	48.3	48.0	47.8	47.4	47.5	47.2	46.6	46.3	45.7	45.3	44.2	43.3	41.7
4	36.0	35.8	35.5	35.4	35.4	34.6	34.1	34.0	33.8	33.1	32.8	32.7	32.5	32.1	31.9
5	29.6	29.5	29.5	29.0	29.7	30.2	31.3	32.4	33.6	34.2	36.5	37.5	38.1	38.5	38.7
6	29.5	30.4	31.6	33.2	36.5	38.5	39.4	40.4	41.3	41.2	42.3	41.9	42.6	43.1	42.6
7	38.9	38.5	38.3	38.2	38.1	38.1	38.1	38.0	37.3	36.6	36.4	35.6	35.5	34.8	34.6
8	34.2	34.4	34.7	35.5	35.7	35.7	36.1	36.2	36.7	36.9	37.2	36.6	36.3	36.9	37.0
9	39.4	39.8	39.6	40.4	40.9	41.4	41.7	42.6	43.3	43.5	44.3	44.5	44.9	45.2	45.3
10	45.6	45.5	45.3	45.1	44.4	43.8	43.5	43.2	42.3	42.3	42.3	41.3	40.8	40.5	39.8
11	41.1	41.0	41.1	41.2	41.3	41.3	41.2	41.6	41.3	41.7	41.5	41.3	41.3	41.1	40.7
12	35.2	34.9	34.6	34.3	33.4	32.8	33.0	31.8	32.2	31.7	31.3	30.8	31.4	32.5	33.5
13	32.5	31.6	31.0	30.7	30.3	29.8	27.6	27.0	26.1	25.0	24.6	23.4	23.1	22.4	22.2
14	21.5	20.8	19.7	19.5	19.7	19.6	20.2	19.9	19.8	20.6	21.1	21.5	22.1	22.7	23.7
15	30.8	30.1	29.1	27.6	26.9	26.6	25.6	26.2	27.5	28.8	30.4	32.1	34.6	35.2	36.3
16	37.5	37.9	38.1	38.2	38.9	39.0	39.8	40.0	40.4	40.5	40.6	40.5	40.4	40.5	40.5
17	41.8	42.3	41.5	41.5	41.4	41.3	41.7	41.4	40.6	39.8	41.4	40.0	38.8	37.9	38.4
18	36.0	35.7	35.5	34.1	33.7	33.9	33.9	33.1	32.8	32.1	32.7	32.6	31.1	31.1	30.6
19	30.2	30.7	30.7	30.8	30.9	31.0	31.2	31.6	31.6	31.4	31.0	30.9	30.8	30.8	30.9
20	29.8	29.8	29.6	29.3	28.3	28.1	28.1	28.2	28.9	29.5	29.9	30.5	30.8	31.7	31.9
21	35.0	35.1	35.5	36.1	36.5	36.9	37.4	37.6	38.2	38.2	38.7	38.9	38.8	38.9	39.0
22	41.6	41.9	42.1	43.0	43.5	44.0	44.5	45.1	45.3	44.9	45.1	46.0	46.6	47.6	48.2
23	49.9	49.9	49.9	49.9	50.1	50.3	50.9	50.9	50.9	50.8	50.3	50.1	50.2	50.2	49.9
24	44.7	44.1	43.1	42.2	41.5	41.4	40.3	40.2	40.1	39.8	39.4	39.4	39.2	38.8	38.4
25	34.6	34.5	34.4	34.3	34.3	34.2	33.8	34.3	34.4	34.4	34.6	34.8	35.2	34.9	34.9
26	36.3	36.5	36.6	37.3	37.5	37.8	37.6	38.1	38.6	39.4	39.4	39.8	40.1	41.0	41.4
27	45.0	45.1	45.1	45.1	45.1	45.1	45.1	45.4	45.3	45.1	44.8	44.7	44.1	44.1	44.1
28	43.5	43.9	44.1	43.8	43.8	43.8	43.6	44.4	46.2	46.7	47.1	47.6	48.6	49.1	50.0
29	57.1	57.3	57.2	57.2	56.8	57.3	55.9	55.1	55.1	55.2	54.9	55.0	54.9	54.2	53.8
30	50.8	50.3	50.7	50.8	50.3	50.0	49.3	48.5	48.0	47.1	46.8	46.1	45.9	46.5	46.0
Med.	739.50	739.47	739.35	739.35	739.38	739.43	739.37	739.44	739.57	739.52	739.71	739.62	739.67	739.75	739.76

Absolutes Maximum = 757.4 (29: 2^h 30^m a)

Luftdruck bei 0°

Barometer: 13,0 m. über Meeresniveau

Bar.: 731.30 — 37.47 — 43.64 — 49.81 — 55.98 — 62.15
Korr.: +1.19; +1.20; +1.21; +1.22; +1.23

1902 September

4 p. m.	5 p. m.	6 p. m.	7 p. m.	8 p. m.	9 p. m.	10 p. m.	11 p. m.	Mittn.	Med.	Maximum		Minimum		Diff.	Dat.
mm.	mm.	mm.	mm.	mm.	mm.	mm.	mm.	mm.	mm.	h. m.	mm.	h.m.	mm.	mm.	
753.2	753.3	753.3	753.3	753.4	753.5	753.5	753.4	753.6	753.88	7.0 a	754.7	4.0 p	753.2	1.5	1
53.9	53.7	53.2	53.0	52.8	52.0	51.0	50.3	49.9	53.29	6.0 a	54.3	12.0 p	49.3	5.0	2
40.6	39.8	39.0	38.4	37.5	36.7	36.5	36.2	36.1	43.26	0.30 a	49.5	12.0 p	36.1	13.4	3
31.2	30.6	30.7	30.6	30.6	30.5	30.5	29.7	29.5	32.65	1.0 a	36.0	12.0 p	29.5	6.5	4
38.4	38.0	37.3	36.5	35.3	33.0	32.0	30.7	30.0	33.37	3.0 p	38.7	4.0 a	29.0	9.7	5
42.2	42.2	42.2	41.5	41.1	40.6	40.3	39.8	39.6	39.33	2.0 p	43.1	1.0 a	29.5	13.6	6
34.2	33.5	33.5	33.0	33.7	32.5	32.7	33.0	33.5	35.69	0.30 a	39.2	9.0 p	32.5	6.7	7
37.0	37.9	38.0	38.3	38.2	37.0	36.8	37.7	39.0	36.67	12.0 p	39.0	1.0 a	34.2	4.8	8
45.1	45.2	45.6	45.7	45.7	46.0	46.0	45.8	45.7	43.65	9.0 p	46.0	1.0 a	39.4	6.6	9
39.5	39.8	40.4	40.5	40.6	40.5	41.2	41.3	41.3	42.12	1.0 a	45.6	4.0 p	39.8	5.8	10
40.7	40.5	40.1	39.5	38.0	37.1	36.5	35.8	35.6	40.10	10.0 a	41.7	12.0 p	35.6	6.1	11
34.0	34.3	34.2	34.4	34.2	33.8	33.5	33.2	32.6	33.23	1.0 a	35.2	0.0 p	30.8	4.4	12
22.0	22.3	22.1	22.3	21.7	21.0	21.4	21.7	21.9	25.15	1.0 a	32.5	9.0 p	21.0	11.5	13
25.1	26.0	27.1	27.5	28.8	29.3	29.6	29.8	30.0	23.57	12.0 p	30.0	4.0 a	19.5	10.5	14
37.0	37.6	37.3	36.9	36.8	36.8	36.7	36.7	36.9	32.52	5.0 p	37.6	7.0 a	25.6	12.0	15
41.1	40.7	41.5	42.2	42.5	41.6	42.1	42.3	42.1	40.37	8.0 p	42.5	1.0 a	37.5	5.0	16
38.2	38.4	39.2	38.6	37.5	37.7	37.6	37.6	36.4	59.62	2.0 a	42.3	12.0 p	36.4	5.9	17
30.5	30.7	30.6	30.6	30.6	30.5	30.3	30.2	30.3	32.22	1.0 a	36.0	12.0 p	30.3	5.7	18
30.9	31.0	31.0	31.1	31.2	31.0	30.8	30.6	30.1	30.92	9.0 a	31.6	12.0 p	30.1	1.5	19
32.5	32.8	33.4	33.7	33.8	33.9	34.7	34.8	34.9	31.20	12.0 p	34.9	7.0 a	28.1	6.8	20
39.6	39.8	39.8	40.5	40.5	40.6	40.8	40.9	41.1	38.52	12.0 p	41.1	1.0 a	35.0	6.1	21
48.6	48.3	49.0	49.5	49.7	49.7	49.7	49.9	49.9	46.40	12.0 p	49.3	1.0 a	41.6	7.7	22
49.3	49.0	48.7	48.2	48.0	47.2	46.4	46.2	45.4	49.28	7.0 a	50.9	12.0 p	45.4	5.5	23
37.8	37.5	37.3	36.7	36.4	35.9	35.5	35.3	35.1	39.17	1.0 a	44.7	12.0 p	35.1	9.6	24
34.6	34.8	35.0	34.9	35.1	35.5	35.7	35.8	36.2	34.80	12.0 p	36.2	7.0 a	33.8	2.4	25
42.1	42.4	43.0	43.5	44.0	44.2	44.6	44.9	45.1	40.47	12.0 p	45.1	1.0 a	36.3	8.8	26
44.1	44.1	44.1	44.0	44.1	44.1	44.0	43.8	43.7	44.55	8.30 a	45.5	12.0 p	43.7	1.8	27
51.0	52.1	53.0	53.1	53.9	54.2	55.2	56.1	56.3	48.80	12.0 p	56.3	1.0 a	43.5	12.8	28
53.1	51.9	51.8	51.7	51.2	51.1	51.2	51.6	50.9	54.23	2.30 a	57.4	12.0 p	50.8	6.6	29
46.6	44.3	44.5	44.0	44.1	44.1	44.0	44.1	44.7	46.98	4.0 a	50.8	10.0 p	44.0	6.8	30
739.80	739.75	739.86	739.79	739.70	739.39	739.36	739.31	739.25	739.55		742.92		735.89	7.03	Med.

Absolutes Minimum = 719.5 (14 : 4^h 0^m a)

Luftdruck bei 0°
Barometer 13,0 m. über Meeresniveau

Oktober 1902

Korr. f. Red. zu Bar.: 706.60 — 12.78 — 18.95 — 25.13 — 31.30
Normalschwere f. Korr.: +1.15; +1.16; +1.17; +1.18;

Dat.	1 a. m.	2 a. m.	3 a. m.	4 a. m.	5 a. m.	6 a. m.	7 a. m.	8 a. m.	9 a. m.	10 a. m.	11 a. m.	Mittg.	1 p. m.	2 p. m.	3 p. m.
	mm.	mm.	mm.	mm.	mm.	mm.	mm.	mm.	mm.	mm.	mm.	mm.	mm.	mm.	mm.
1	744.5	744.3	743.8	743.9	744.0	744.0	744.0	744.0	743.8	743.7	743.6	743.2	743.2	743.2	743.5
2	45.1	45.3	45.5	45.9	46.4	46.9	47.5	47.2	47.9	48.5	49.8	50.0	50.1	49.9	49.5
3	42.3	42.0	42.0	40.7	39.8	39.1	38.3	37.5	37.2	37.6	38.3	39.2	39.8	40.5	41.1
4	43.9	43.3	43.0	42.9	43.4	42.0	41.1	40.8	39.9	39.8	39.4	39.5	38.8	38.3	37.8
5	33.2	33.1	32.8	32.6	32.6	32.6	32.9	33.2	33.4 ⁹⁹	34.1	35.2	35.8	37.3	38.3	39.4
6	44.9	44.9	44.9	44.3	44.0	43.1	42.3	41.3	40.7	40.0	39.9	39.4	39.3	38.8	38.6
7	40.7	41.4	42.0	43.1	43.9	44.4	45.4	46.1	47.1	47.4	48.2	49.0	49.4	50.1	50.4
8	51.7	51.2	50.8	50.3	50.0	49.8	49.6	49.0	48.5	48.3	48.2	48.0	48.0	47.9	47.9
9	45.5	45.1	44.9	44.7	44.2	44.0	43.9	43.7	43.3	42.9	42.7	42.1	42.0	41.9	41.7
10	39.8	39.6	39.6	39.6	39.7	39.6	39.4	39.3	39.2	39.2	38.7	38.4	38.3	38.3	38.3
11	38.6	38.3	37.7	37.4	37.2	37.1	36.3	35.4	34.7	34.1	33.6	32.9	32.3	31.6	30.5
12	20.7	21.0	21.4	23.2	22.3	22.4	22.8	23.1	23.6	25.0	26.2	26.8	28.3	28.5	29.0
13	34.3	34.7	34.6	34.6	34.6	34.4	34.3	33.7	33.3	33.0	32.9	32.1	31.7	31.3	30.7
14	29.2	29.3	29.2	29.1	28.9	29.0	29.1	29.6	29.9	30.5	30.5	30.6	30.7	30.9	31.1
15	32.5	32.4	32.1	32.0	31.7	31.6	31.5	31.2	31.0	30.7	30.5	29.9	29.6	29.6	29.6
16	27.7	27.6	27.6	27.6	27.6	27.6	27.7	27.8	28.3	28.6	28.8	28.9	29.7	30.1	30.6
17	34.8	34.7	34.6	34.5	34.4	33.9	33.4	33.0	32.6	31.9	31.3	30.7	30.5	29.7	29.3
18	28.9	29.4	29.6	29.8	29.9	29.9	29.9	29.9	30.0	29.9	30.6	30.7	30.7	30.9	31.0
19	32.6	32.1	31.7	31.7	31.0	30.6	30.0	28.7	27.9	27.0	26.5	26.0	26.0	25.9	25.6
20	28.6	28.6	28.6	28.6	28.6	28.5	28.6	28.6	28.0	27.6	27.8	28.1	28.1	29.1	29.3
21	34.1	34.6	35.1	35.6	36.1	36.6	37.0	37.3	37.5	37.6	37.7	37.7	37.9	37.9	38.3
22	39.3	39.4	39.5	39.6	39.6	39.7	39.7	39.6	39.7	39.8	39.8	39.8	39.7	39.6	39.5
23	39.7	39.7	39.7	39.8	39.8	39.8	39.8	39.8	39.6	39.6	39.6	39.5	39.3	39.0	38.6
24	36.5	36.3	35.9	35.6	35.4	34.9	34.5	34.4	33.9	33.5	32.5	32.1	31.6	31.4	31.1
25	27.4	26.7	27.0	26.2	26.1	26.6	26.7	26.4	26.4	26.6	26.9	27.1	27.2	27.6	28.1
26	29.8	29.6	30.8	31.2	30.6	31.8	32.5	32.8	32.9	32.9	32.8	33.1	33.5	33.6	33.6
27	35.8	35.5	36.3	36.2	36.1	36.5	36.1	35.7	36.1	36.2	36.2	36.0	36.3	36.0	35.9
28	34.4	33.7	33.0	32.7	32.6	31.8	31.9	31.7	31.7	31.7	31.6	31.4	31.3	31.6	31.7
29	33.6	33.7	33.8	33.8	34.5	34.7	34.7	34.8	35.0	35.2	35.5	35.7	35.9	36.2	37.0
30	40.3	39.8	39.8	40.4	40.4	41.4	41.4	41.7	41.6	41.8	41.3	41.4	41.4	41.3	41.4
31	40.5	40.5	40.5	40.4	40.3	40.3	40.1	40.1	40.1	40.0	39.9	39.8	39.8	40.0	40.1
Med.	736.48	736.38	736.38	736.39	736.31	736.28	736.21	736.06	735.96	735.96	736.02	735.96	736.05	736.10	736.14
Absolutes Maximum = 752.4 (7: 8 ^h 0 ^m p)															

Luftdruck bei 0°
Barometer 13.0 m. über Meeresniveau

Bar.: 731.30 — 37.47 — 43.64 — 49.81 — 55.98 — 62.15
Korr.: + 1.19; + 1.20; + 1.21; + 1.22; + 1.23

1902 Oktober

4 p. m.	5 p. m.	6 p. m.	7 p. m.	8 p. m.	9 p. m.	10 p. m.	11 p. m.	Mttn.	Med.	Maximum		Minimum		Diff.	Dat.
mm.	mm.	mm.	mm.	mm.	mm.	mm.	mm.	mm.	mm.	h. m.	mm.	h. m.	mm.	mm.	
743.7	744.0	744.0	744.0	744.1	744.3	744.6	744.7	744.9	743.96	12.0 p	744.9	1.0 p	743.2	1.7	1
49.0	48.5	47.8	47.1	46.5	45.5	44.7	44.0	42.9	47.15	1.0 p	50.1	12.0 p	42.9	7.2	2
41.3	41.6	42.0	42.5	42.9	43.0	43.6	43.5	43.8	40.82	12.0 p	43.8	8.30 a	36.8	7.0	3
37.3	36.6	35.6	35.2	34.6	34.1	33.4	33.3	33.3	38.64	1.0 a	43.9	12.0 p	33.3	10.6	4
39.9	40.9	42.0	43.1	43.9	44.3	45.3	45.3	45.0	37.76	11.0 p	45.3	5.30 a	32.4	12.9	5
38.4	38.2	38.1	38.2	38.4	39.0	39.5	40.0	40.4	40.69	1.0 a	44.9	6.0 p	38.1	6.8	6
50.4	51.2	51.7	52.1	52.4	52.1	52.3	52.0	51.9	48.11	8.0 p	52.4	1.0 a	40.7	11.7	7
47.8	47.7	47.7	47.3	47.2	47.0	46.4	46.1	46.0	48.43	1.0 a	51.7	12.0 p	46.0	5.7	8
41.6	41.4	41.2	41.0	40.9	40.6	40.2	40.1	39.8	42.48	1.0 a	45.5	12.0 p	39.8	5.7	9
39.0	39.2	39.3	39.6	39.8	39.5	39.3	39.2	39.1	39.21	1.0 a	39.8	2.0 p	38.3	1.5	10
29.8	29.0	28.2	26.8	25.6	23.7	22.0	21.3	20.4	31.44	1.0 a	38.6	12.0 p	20.4	18.2	11
29.6	31.1	32.3	32.5	32.8	33.3	34.1	34.0	33.8	27.41	12.0 p	33.8	1.0 a	20.7	13.1	12
30.7	30.4	30.2	29.9	29.8	29.6	29.5	29.6	29.4	32.05	2.0 a	34.7	12.0 p	29.4	5.3	13
31.4	31.2	31.6	31.7	32.1	32.0	32.5	32.6	32.5	30.63	11.0 p	32.6	5.0 a	28.9	3.7	14
29.6	29.5	28.9	28.8	28.9	28.7	28.6	27.9	27.6	30.18	1.0 a	32.5	12.0 p	27.6	4.9	15
31.6	31.8	32.2	33.0	33.6	33.9	34.3	34.4	34.7	30.24	12.0 p	34.7	3.0 a	27.6	7.1	16
28.5	28.3	28.0	28.0	28.1	28.1	28.3	28.6	28.7	31.00	1.0 a	34.8	6.0 p	28.0	6.8	17
31.0	31.5	31.8	31.9	32.5	32.7	32.9	33.0	32.9	30.89	11.0 p	33.0	1.0 a	28.9	4.1	18
25.7	26.3	26.6	26.4	26.7	27.5	27.0	27.7	28.2	28.14	1.0 a	32.6	3.0 p	25.6	7.0	19
29.8	30.1	30.4	30.9	31.4	31.8	32.2	32.6	33.4	29.55	12.0 p	33.4	6.0 a	28.5	4.9	20
38.5	38.5	38.6	38.6	38.7	38.6	39.1	39.1	39.5	37.51	12.0 p	39.5	1.0 a	34.1	5.4	21
39.5	39.5	39.6	39.6	39.6	39.7	39.7	39.8	39.7	39.62	0.0 p	39.8	1.0 a	39.3	0.5	22
38.6	38.5	38.3	38.0	37.8	37.6	37.5	36.9	36.7	38.88	7.0 a	39.8	12.0 p	36.7	3.1	23
29.8	29.6	29.4	29.1	28.6	28.4	27.6	27.2	27.1	31.93	1.0 a	36.5	12.0 p	27.1	9.4	24
28.3	28.4	28.3	28.6	28.8	28.8	29.0	29.3	30.6	27.63	12.0 p	32.6	5.0 a	26.1	4.5	25
33.5	34.0	34.1	34.6	34.7	35.1	35.7	35.8	35.7	33.11	11.0 p	35.8	2.0 a	29.6	6.2	26
35.7	35.7	35.7	35.7	35.6	35.5	35.0	34.8	34.6	35.80	10.0 a	36.2	12.0 p	34.6	1.6	27
31.7	31.8	32.0	32.6	32.7	32.9	32.9	33.3	33.3	32.33	1.0 a	34.4	1.0 p	31.3	3.1	28
37.7	37.8	38.0	38.7	39.4	39.8	40.2	40.2	40.4	36.51	12.0 p	40.4	1.0 a	33.6	6.8	29
41.4	41.5	41.4	41.2	41.0	41.1	40.7	40.6	40.5	41.03	10.0 a	41.8	2.0 a	39.8	2.0	30
40.2	40.3	40.3	40.4	40.4	40.5	40.5	40.6	40.5	40.25	11.0 p	40.6	12.0 p	39.8	0.8	31
736.16	736.26	736.30	736.36	736.44	736.41	736.41	736.37	736.36	736.24		739.30		733.20	6.10	Med.

Absolutes Minimum = 720.4 (11: 12^h 0^m p)

Luftdruck bei 0°

Barometer: 13.0 m. über Meeresniveau

November 1902

Korr. f. Red. zu Bar.: 706.60 — 12.78 — 18.95 — 25.13 — 31.30
Normalschwere f. Korr.: +1.15; +1.16; +1.17; +1.18;

Dat.	1 a. m.	2 a. m.	3 a. m.	4 a. m.	5 a. m.	6 a. m.	7 a. m.	8 a. m.	9 a. m.	10 a. m.	11 a. m.	Mittg.	1 p. m.	2 p. m.	3 p. m.
	mm.	mm.	mm.	mm.	mm.	mm.	mm.	mm.	mm.	mm.	mm.	mm.	mm.	mm.	mm.
1	740.6	740.7	741.3	741.3	741.3	741.4	741.5	741.6	742.0	742.3	742.3	742.4	742.4	742.6	741.7
2	44.3	44.2	44.3	44.3	44.2	44.1	43.9	43.4	43.3	42.8	42.8	42.6	42.4	42.4	42.2
3	40.4	39.8	39.7	39.7	39.7	39.7	39.7	39.3	38.9	38.9	38.1	37.9	37.8	37.6	37.0
4	37.4	37.3	37.5	37.5	37.7	37.8	38.1	38.5	38.8	39.2	39.5	39.6	39.8	40.1	40.2
5	41.3	41.4	41.7	41.8	42.2	42.3	43.0	43.0	42.8	42.6	42.6	42.7	42.8	42.7	43.0
6	42.6	42.5	42.4	42.4	42.3	42.2	42.2	42.2	42.4	42.5	42.3	42.3	42.2	42.2	42.2
7	42.1	42.1	42.0	41.7	41.4	41.1	40.5	40.1	39.8	39.4	38.6	38.0	37.4	36.6	35.7
8	30.4	29.8	29.2	28.5	27.4	26.9	25.9	25.0	24.0	23.5	22.8	22.6	22.4	21.6	21.0
9	23.8	25.4	25.8	26.6	26.8	26.6	26.4	26.4	26.4	26.5	26.5	26.5	25.9	25.8	25.6
10	24.2	24.6	25.2	25.4	26.2	26.0	26.6	27.2	27.7	28.0	28.5	29.1	29.6	30.3	30.7
11	32.5	32.5	32.5	32.5	32.5	32.6	32.4	32.3	32.0	32.0	31.9	31.7	31.6	31.5	31.5
12	32.4	32.5	32.4	32.4	32.5	32.5	32.5	32.5	32.5	32.5	32.6	32.6	32.6	32.7	32.8
13	33.7	33.8	33.8	34.0	34.5	34.6	34.7	34.6	34.6	34.6	34.5	34.5	34.6	34.9	35.0
14	36.6	36.6	36.6	36.6	36.6	36.6	36.6	36.5	36.5	36.6	36.6	36.6	36.6	36.6	36.6
15	36.7	36.8	36.9	37.2	37.5	37.6	37.8	38.3	38.5	38.6	38.6	38.8	39.3	39.3	39.7
16	42.8	43.2	43.8	44.1	44.4	45.0	45.1	45.4	45.6	46.0	46.1	46.5	47.0	47.1	47.3
17	51.5	51.3	51.9	52.0	52.4	52.5	53.2	53.7	53.7	53.9	53.9	54.0	54.0	54.2	54.5
18	54.7	54.6	54.6	54.6	54.5	54.0	53.8	53.7	53.5	53.4	53.1	52.9	52.7	52.6	52.7
19	53.6	53.7	53.7	53.8	53.8	53.9	54.2	54.3	54.5	54.6	54.5	54.6	54.5	54.5	54.5
20	55.1	55.1	55.3	55.5	55.6	55.7	55.8	55.9	56.0	55.9	55.9	55.8	55.9	56.1	56.3
21	57.1	57.1	57.1	57.2	57.1	56.9	56.7	56.6	56.6	56.4	56.3	56.1	55.8	55.7	55.7
22	54.5	54.5	54.6	54.6	54.6	54.6	54.6	54.7	54.8	54.7	54.7	54.7	54.7	54.7	54.7
23	55.1	55.1	55.0	55.0	55.1	55.1	55.0	54.9	54.8	54.8	54.7	54.7	54.6	54.6	54.5
24	53.7	53.6	53.5	53.5	53.5	53.4	53.2	52.9	52.9	52.8	52.4	52.2	52.1	51.9	51.7
25	50.3	49.8	49.5	48.9	48.5	48.2	47.5	46.6	45.8	45.4	44.8	44.4	43.7	43.4	42.8
26	42.5	42.5	42.5	42.4	42.3	42.2	42.2	41.9	41.6	41.6	41.5	41.5	41.4	41.3	41.3
27	42.6	42.6	43.0	43.3	43.5	43.7	44.1	44.4	44.7	45.1	45.7	46.5	46.8	47.5	48.0
28	52.4	52.6	53.0	53.5	53.7	54.0	54.2	54.4	54.4	54.6	54.8	54.9	55.1	55.5	55.6
29	56.1	55.8	55.5	55.5	55.4	55.1	54.7	54.5	54.1	53.7	53.5	53.4	53.0	52.5	52.3
30	49.5	49.4	49.0	48.9	48.6	48.5	48.4	48.2	48.1	48.1	48.2	48.2	48.2	48.4	48.7
Med.	743.68	743.70	743.78	743.82	743.84	743.83	743.82	743.77	743.71	743.70	743.61	743.61	743.56	743.56	743.55

Absolutes Maximum=757.2

$$\begin{cases} 20: (12^{\text{h}} \text{ o m p}) \\ 21: (4^{\text{h}} \text{ o m a}) \end{cases}$$

Luftdruck bei 0°

Barometer: 13.0 m. über Meeresniveau

Bar.: 731.30 -- 37.47 -- 43.64 -- 49.81 -- 55.98 -- 62.15
Korr.: +1.19; +1.20; +1.21; +1.22; +1.23;

1902 November

4 p. m.	5 p. m.	6 p. m.	7 p. m.	8 p. m.	9 p. m.	10 p. m.	11 p. m.	Mtn.	Med.	Maximum		Minimum		Diff.	Dat.
mm.	mm.	mm.	mm.	mm.	mm.	mm.	mm.	mm.	mm.	h. m.	mm.	h. m.	mm.	mm.	
743.2	743.3	743.6	743.8	744.0	744.4	744.4	744.4	744.3	742.58	10.0 p	744.4	1.0 a	740.6	3.8	1
41.7	41.6	41.5	41.4	41.2	40.9	40.5	40.6	40.4	42.54	1.0 a	44.3	12.0 p	40.4	3.9	2
37.1	37.4	37.5	37.6	37.6	37.7	37.5	37.8	37.6	38.42	1.0 a	40.4	3.0 p	37.0	3.4	3
40.2	40.2	40.3	40.3	40.5	40.5	40.8	41.1	41.2	39.94	12.0 p	41.2	2.0 a	37.3	3.9	4
42.7	42.8	42.9	42.9	42.8	42.6	42.5	42.4	42.7	42.51	7.0 a	43.0	1.0 a	41.3	1.7	5
42.3	42.3	42.2	42.1	42.0	42.0	42.1	42.1	42.2	42.26	1.0 a	42.6	8.0 p	42.0	0.6	6
35.4	34.7	33.9	33.7	33.3	32.6	32.3	31.7	31.1	37.30	1.0 a	42.1	12.0 p	31.1	11.0	7
20.5	20.1	20.5	20.6	21.2	21.8	22.5	22.8	23.6	23.94	1.0 a	30.4	5.0 p	20.1	10.3	8
25.5	25.4	25.3	25.1	24.9	24.6	24.5	24.3	24.0	25.61	5.0 a	26.8	0.30 a	23.8	3.0	9
31.2	31.6	32.0	32.5	32.5	32.6	32.7	32.6	32.5	29.12	10.0 p	32.7	1.0 a	24.2	8.5	10
31.5	31.5	31.5	31.6	31.7	31.9	32.0	32.1	32.4	32.01	6.0 a	32.6	3.0 p	31.5	1.1	11
33.4	33.1	33.3	33.3	33.3	33.5	33.5	33.6	33.6	32.86	12.0 p	33.6	1.0 a	32.4	1.2	12
35.4	35.5	35.7	36.0	36.2	36.1	36.5	36.6	36.5	35.04	11.0 p	36.6	1.0 a	33.7	2.9	13
36.6	36.6	36.6	36.6	36.6	36.6	36.6	36.6	36.7	36.60	12.0 p	36.7	8.0 a	36.5	0.2	14
40.1	40.1	40.4	40.7	41.4	41.8	42.2	42.4	42.7	39.31	12.0 p	42.7	1.0 a	36.7	6.0	15
47.8	48.3	49.0	49.5	49.8	50.3	50.5	50.8	51.2	46.94	12.0 p	51.2	1.0 a	42.8	8.4	16
54.5	54.5	54.8	54.8	54.7	54.7	54.8	54.7	54.7	53.70	6.0 p	54.8	2.0 a	51.3	3.5	17
52.9	52.9	52.9	52.9	53.0	53.4	53.5	53.6	53.7	53.51	1.0 a	54.7	2.0 p	52.6	2.1	18
54.5	54.5	54.4	54.5	54.6	54.8	54.9	55.0	55.0	54.37	12.0 p	55.0	1.0 a	53.6	1.4	19
56.5	56.7	56.7	56.8	57.0	57.0	57.1	57.2	57.2	56.17	12.0 p	57.2	1.0 a	55.1	2.1	20
55.6	55.6	55.5	55.2	55.2	55.1	55.0	54.7	54.6	56.04	4.0 a	57.2	12.0 p	54.6	2.6	21
54.7	54.8	55.0	55.0	55.1	55.4	55.4	55.5	55.4	54.83	11.0 p	55.5	1.0 a	54.5	1.0	22
54.1	54.1	53.9	53.9	53.9	53.9	53.8	53.8	53.8	54.51	1.0 a	55.1	12.0 p	53.8	1.3	23
51.5	51.5	51.4	51.3	51.2	50.8	50.6	50.5	50.4	52.19	1.0 a	53.7	12.0 p	50.4	3.3	24
42.6	42.5	42.4	42.5	42.6	42.6	42.7	42.7	42.6	45.12	1.0 a	50.3	6.0 p	42.4	7.9	25
41.3	41.4	41.5	41.5	41.6	42.0	42.3	42.4	42.5	41.88	1.0 a	42.5	3.0 p	41.3	1.2	26
48.5	49.3	50.0	50.4	50.7	51.3	51.5	51.7	51.9	46.95	12.0 p	51.9	1.0 a	42.6	9.3	27
55.7	55.8	56.0	56.1	56.2	56.4	56.4	56.4	56.3	54.92	11.0 p	56.4	1.0 a	52.4	4.0	28
51.9	51.6	51.4	51.2	50.8	50.6	50.5	50.3	49.8	53.05	1.0 a	56.1	12.0 p	49.8	6.3	29
48.9	49.4	49.6	50.1	50.5	50.8	51.1	51.3	51.5	49.23	12.0 p	51.5	10.0 a	48.1	3.4	30
743.59	743.64	743.72	743.80	743.87	743.96	744.02	744.06	744.07	743.76		745.77		741.80	3.97	Med.

Absolutes Minimum = 720.1 (8:5^h0^mp)

Luftdruck bei 0°

Barometer: 13.0 m. über Meereseiveau

December 1902

Korr. f. Red. zu Bar.: 706.60 — 12.78 — 18.95 — 25.13 — 31.30
Normalschwere f. Korr.: +1.15; +1.16; +1.17; +1.18;

Dat.	1 a. m.	2 a. m.	3 a. m.	4 a. m.	5 a. m.	6 a. m.	7 a. m.	8 a. m.	9 a. m.	10 a. m.	11 a. m.	Mittg.	1 p. m.	2 p. m.	3 p. m.
	mm.	mm.	mm.	mm.	mm.	mm.	mm.	mm.	mm.	mm.	mm.	mm.	mm.	mm.	mm.
1	751.8	752.2	752.6	753.2	753.4	753.7	754.3	754.4	754.4	754.6	754.7	754.8	754.9	755.1	755.2
2	57.0	57.1	57.1	57.2	57.3	57.3	57.3	57.1	57.1	57.1	57.1	57.1	57.1	57.0	56.9
3	56.6	56.3	56.0	55.6	55.5	55.2	54.7	54.4	54.2	53.7	53.4	53.3	53.0	52.4	52.2
4	50.1	50.0	49.9	49.9	49.9	49.9	49.6	49.4	49.4	49.4	49.3	49.3	49.3	49.3	49.3
5	48.4	48.4	48.2	48.2	48.2	48.1	47.9	47.4	47.3	47.1	46.8	46.5	46.3	46.3	46.3
6	47.2	47.3	47.3	47.6	47.8	47.8	48.0	48.4	48.5	48.6	48.7	49.1	49.2	49.3	49.4
7	51.1	51.2	51.2	51.3	51.3	51.3	51.3	51.2	51.2	51.1	51.0	50.8	50.8	50.7	50.6
8	49.3	49.1	48.7	48.5	48.3	48.3	48.1	47.6	47.4	47.4	47.3	47.3	47.2	46.9	46.7
9	46.0	45.9	45.8	45.7	45.7	45.7	45.5	45.5	45.4	45.4	45.3	45.2	45.2	45.1	45.1
10	44.4	44.3	44.2	44.1	44.0	43.7	43.5	43.3	43.2	42.8	42.7	42.6	42.4	42.3	42.3
11	42.9	42.9	42.9	43.0	43.1	43.1	43.0	43.0	42.9	42.8	42.8	42.8	42.9	43.1	43.1
12	43.9	43.9	44.0	44.0	44.1	44.2	44.3	44.2	44.2	44.2	44.2	44.2	44.2	44.3	44.2
13	43.0	42.8	42.6	42.4	42.3	42.1	41.6	41.3	41.2	41.0	40.7	40.5	40.3	40.2	40.0
14	37.6	37.5	37.3	37.1	37.0	36.6	36.5	36.1	35.8	35.4	35.0	34.7	34.2	33.7	33.6
15	28.7	28.3	27.7	27.2	26.8	26.5	26.0	25.6	25.6	25.7	26.1	26.3	26.6	27.1	27.7
16	31.5	32.1	33.0	33.7	34.2	34.7	35.0	35.5	36.3	37.0	37.5	37.8	38.1	38.7	39.0
17	40.8	40.9	41.2	41.4	41.5	41.7	41.7	41.8	41.7	41.7	41.7	41.8	41.8	42.0	42.2
18	43.4	43.5	43.5	43.6	43.7	43.7	43.7	43.7	43.7	43.6	43.4	43.1	43.1	43.0	43.0
19	42.5	42.4	42.4	42.4	42.4	42.5	42.5	42.5	42.5	42.5	42.6	42.6	42.6	42.7	42.7
20	42.8	42.7	42.6	42.4	42.0	41.7	41.3	40.8	40.4	39.8	39.8	39.5	39.0	38.4	38.0
21	34.7	34.5	34.5	34.7	34.9	35.0	35.1	35.1	35.1	35.2	35.3	35.3	35.3	35.3	35.4
22	34.3	34.0	34.0	33.9	33.8	33.8	33.6	33.3	33.2	33.1	32.9	32.7	32.6	32.2	32.1
23	30.5	30.5	30.6	30.7	30.9	31.0	31.2	31.3	31.3	31.3	31.6	31.5	31.5	31.6	31.7
24	32.8	32.9	33.0	33.4	33.8	34.0	34.1	34.2	34.8	34.9	35.0	35.1	35.3	35.7	36.1
25	38.9	39.0	39.2	39.1	39.1	39.1	39.0	39.0	39.1	39.1	39.1	39.0	39.0	39.0	39.0
26	39.3	39.3	39.3	39.3	39.7	39.8	39.9	39.8	39.8	39.8	39.8	39.8	39.8	39.8	40.2
27	42.2	42.4	42.7	43.0	43.3	43.5	43.7	43.7	43.7	43.7	43.7	43.7	43.6	43.7	43.9
28	45.5	45.5	45.7	45.8	46.2	46.2	46.3	46.3	46.1	46.2	46.4	46.6	46.6	46.7	46.8
29	47.6	47.6	47.6	47.6	47.6	47.5	47.2	46.7	46.3	45.8	45.6	44.9	44.1	43.8	42.7
30	42.0	42.5	42.9	43.3	43.8	44.0	44.4	44.7	44.9	45.0	45.1	45.4	45.7	45.8	45.9
31	47.6	47.8	48.3	48.8	49.1	49.7	49.3	50.3	50.5	50.8	51.0	51.1	51.2	51.5	51.8
Med.	743.05	743.06	743.10	743.16	743.25	743.27	743.21	743.15	743.14	743.09	743.08	743.05	743.00	742.99	743.00

Absolutes Maximum = 757.3 (2: 7^h 0^m a)

Luftdruck bei 0°

Barometer: 13.0 m. über Meeresniveau

Bar.: 731.30 — 37.47 — 43.64 — 49.81 — 55.98 — 62.15
Korr.: +1.19; +1.20; +1.21; +1.22; +1.23;

1902 December

4 p. m.	5 p. m.	6 p. m.	7 p. m.	8 p. m.	9 p. m.	10 p. m.	11 p. m.	Mtn.	Med.	Maximum		Minimum		Diff.	Dat.
mm.	mm.	mm.	mm.	mm.	mm.	mm.	mm.	mm.	mm.	h. m.	mm.	h. m.	mm.	mm.	
755.5	755.8	756.1	756.3	756.4	756.6	756.7	756.9	757.0	754.86	12.0 p	757.0	1.0 a	751.8	5.2	1
57.1	57.1	57.1	57.2	57.2	57.2	57.2	57.2	57.0	57.12	7.0 a	57.3	12.0 p	57.0	0.3	2
51.7	51.5	51.3	51.2	50.6	50.5	50.3	50.3	50.3	53.09	1.0 a	56.6	12.0 p	50.3	6.3	3
49.2	49.1	49.1	49.0	48.9	48.6	48.6	48.6	48.5	49.32	1.0 a	50.1	12.0 p	48.5	1.6	4
46.2	46.2	46.3	46.3	46.3	46.3	46.4	46.6	46.9	47.04	1.0 a	48.4	4.0 p	46.2	2.2	5
49.5	49.8	50.2	50.3	50.3	50.6	50.9	51.0	51.1	49.08	12.0 p	51.1	1.0 a	47.2	3.9	6
50.6	50.5	50.5	50.3	50.3	50.2	49.7	49.6	49.4	50.72	6.0 a	51.3	12.0 p	49.4	1.9	7
46.5	46.4	46.4	46.4	46.3	46.2	46.2	46.1	46.0	47.28	1.0 a	49.3	12.0 p	46.0	3.3	8
45.1	45.0	45.1	45.0	45.0	44.9	44.6	44.5	44.4	45.25	1.0 a	46.0	12.0 p	44.4	1.6	9
42.3	42.3	42.3	42.3	42.5	42.8	42.9	42.9	42.9	43.04	1.0 a	44.4	3.0 p	42.3	2.1	10
43.2	43.3	43.4	43.4	43.5	43.8	43.8	43.9	43.9	43.19	12.0 p	43.9	11.0 a	42.8	1.1	11
44.2	44.2	44.1	44.0	44.0	43.9	43.7	43.6	43.3	44.05	2.0 p	44.3	12.0 p	43.3	1.0	12
39.8	39.8	39.6	39.2	38.9	38.6	38.5	38.2	37.9	40.52	1.0 a	43.0	12.0 p	37.9	5.1	13
33.3	33.0	32.5	31.7	31.1	30.6	30.0	29.6	29.3	34.13	1.0 a	37.6	12.0 p	29.3	8.3	14
28.3	29.1	29.9	30.2	30.3	30.8	30.9	30.9	31.1	28.06	12.0 p	31.1	9.0 a	25.6	5.5	15
39.4	39.8	39.8	40.0	40.3	40.6	40.5	40.6	40.7	37.32	12.0 p	40.7	1.0 a	31.5	9.2	16
42.4	42.7	42.8	42.9	42.9	43.0	43.1	43.1	43.2	42.08	12.0 p	43.2	1.0 a	40.8	2.4	17
43.1	42.9	42.9	42.7	42.7	42.7	42.7	42.6	42.6	43.19	9.0 a	43.7	12.0 p	42.6	1.1	18
42.8	42.8	42.9	43.0	43.0	43.0	43.1	43.0	43.0	42.68	11.0 p	43.0	3.0 a	42.4	0.6	19
37.6	37.1	36.7	36.1	35.9	35.3	35.1	35.0	35.0	38.96	1.0 a	42.8	12.0 p	35.0	7.8	20
35.5	35.5	35.5	35.5	35.3	35.2	35.0	34.9	34.6	35.10	6.0 p	35.5	2.0 a	34.5	1.0	21
32.0	31.9	31.5	31.1	31.0	30.9	30.8	30.7	30.6	32.50	1.0 a	34.3	12.0 p	30.6	3.7	22
31.8	31.9	32.0	32.1	32.1	32.2	32.2	32.4	32.7	31.52	12.0 p	32.7	2.0 a	30.5	2.2	23
36.5	37.0	37.3	37.7	37.9	38.3	38.6	38.7	38.8	35.66	12.0 p	38.8	1.0 a	32.8	6.0	24
39.0	39.0	39.1	39.1	39.2	39.2	39.3	39.6	39.4	39.11	11.0 p	39.6	1.0 a	38.9	0.7	25
40.6	40.7	40.8	41.1	41.2	41.4	41.7	42.0	42.1	40.29	12.0 p	42.1	1.0 a	39.3	2.8	26
44.1	44.5	44.6	44.7	44.7	44.9	45.1	45.3	45.4	43.91	12.0 p	45.4	1.0 a	42.2	3.2	27
46.8	47.0	47.0	47.2	47.5	47.6	47.6	47.6	47.6	46.62	12.0 p	47.6	1.0 a	45.5	2.1	28
42.0	41.7	41.0	41.0	40.9	40.9	41.2	41.5	41.8	44.36	1.0 a	47.6	8.0 p	40.8	6.8	29
45.9	46.1	46.3	46.5	46.7	46.9	46.9	47.1	47.3	45.21	12.0 p	47.3	1.0 a	42.0	5.3	30
51.9	52.3	52.7	52.9	53.0	53.5	53.9	54.0	54.2	51.13	12.0 p	54.2	1.0 a	47.6	6.6	31
743.03	743.10	743.12	743.11	743.09	743.14	743.14	743.16	743.16	743.11		744.84		741.26	3.58	Med.

Absolutes Minimum = 725.6 (15: 9^h 0^{ma})

Luftdruck bei 0°

Barometer: 13.0 m. über Meeresniveau

Januari 1903

Korr. f. Red. zu } Bar.: 706.60 — 12.78 — 18.95 — 25.13 — 31.30
Normalschwere } Korr.: +1.15; +1.16; +1.17; +1.18;

Dat.	1 a. m.	2 a. m.	3 a. m.	4 a. m.	5 a. m.	6 a. m.	7 a. m.	8 a. m.	9 a. m.	10 a. m.	11 a. m.	Mittg.	1 p. m.	2 p. m.	3 p. m.
	mm.	mm.	mm.	mm.	mm.	mm.	mm.	mm.	mm.	mm.	mm.	mm.	mm.	mm.	mm.
1	754.4	754.6	754.8	755.0	755.3	755.7	756.0	756.2	756.5	756.7	756.8	756.9	756.9	757.1	757.5
2	57.4	57.0	57.0	56.9	56.9	56.9	56.8	56.8	56.7	56.8	56.9	56.9	56.9	56.9	56.6
3	51.9	51.7	51.2	50.7	50.2	49.9	49.8	49.7	49.5	49.3	49.2	49.3	49.7	49.8	49.9
4	53.2	53.2	53.6	53.8	53.8	53.8	53.7	53.5	53.3	53.0	52.8	52.7	52.4	52.1	51.9
5	49.9	49.1	48.7	48.7	48.6	48.3	47.7	47.7	47.2	46.9	46.5	45.6	44.2	44.3	43.7
6	41.0	40.9	40.9	41.1	41.3	41.5	41.7	41.8	41.8	41.8	41.9	41.9	42.2	42.3	42.7
7	44.1	44.4	44.7	44.7	44.9	45.0	45.1	45.5	45.6	45.8	45.9	45.9	46.0	46.2	46.8
8	49.0	49.1	49.1	49.6	49.8	50.0	50.0	49.9	50.0	49.9	50.0	50.1	50.0	50.0	49.9
9	48.8	48.7	48.1	48.1	48.0	48.0	47.9	47.9	47.3	47.7	47.6	47.4	47.0	47.6	47.7
10	46.0	45.4	44.9	44.6	44.6	44.4	44.0	43.8	43.4	42.9	42.8	42.0	41.9	41.8	41.7
11	43.3	43.6	43.9	44.3	44.9	45.3	45.7	45.9	46.0	46.2	46.7	46.7	46.8	46.9	46.9
12	46.9	46.8	46.7	46.7	46.7	46.6	46.3	46.0	45.9	45.8	45.8	45.6	45.2	44.9	44.8
13	42.7	42.6	42.5	42.5	42.5	42.5	42.6	42.6	42.6	42.6	42.6	42.7	42.8	43.0	43.0
14	44.1	44.1	44.0	44.1	44.2	44.2	44.3	44.3	44.2	44.1	43.8	43.7	43.7	43.6	43.6
15	41.0	40.7	40.3	40.2	40.2	40.1	40.1	40.2	40.5	40.7	40.9	41.4	41.7	42.1	42.7
16	46.7	46.9	46.9	47.0	47.2	47.5	47.7	47.8	47.8	47.8	47.8	47.8	47.9	47.9	47.9
17	48.2	48.1	48.1	48.0	48.0	48.0	47.7	47.7	47.3	46.9	46.9	46.8	46.8	46.7	46.6
18	46.0	46.0	46.0	46.1	46.4	46.6	46.7	46.5	46.5	46.4	46.3	46.3	46.3	46.3	46.5
19	47.2	47.3	47.4	47.6	47.8	47.9	47.9	48.2	48.2	48.3	48.6	48.6	48.5	48.6	48.7
20	48.8	48.7	48.7	48.6	48.5	48.5	48.2	47.9	47.7	47.5	47.2	47.0	46.9	46.8	46.7
21	45.5	45.5	45.5	45.5	45.4	45.4	45.1	44.8	44.8	44.8	44.7	44.7	44.7	44.8	44.8
22	45.7	45.7	45.7	45.7	45.7	45.8	45.9	45.9	45.9	45.9	45.8	45.8	45.7	45.7	45.6
23	44.3	44.2	44.2	43.8	44.0	44.4	44.6	44.5	44.4	44.5	44.5	44.5	44.6	44.6	44.5
24	43.4	42.8	42.2	41.7	41.4	40.9	39.9	39.8	39.1	38.9	37.7	37.4	37.0	37.0	36.1
25	31.1	30.2	29.9	29.4	29.2	29.0	28.8	28.4	28.3	28.1	28.0	28.0	28.0	28.0	28.0
26	30.7	30.9	31.0	31.4	31.9	32.2	32.8	32.9	33.1	33.4	33.9	34.2	34.4	34.4	34.6
27	35.3	35.3	35.2	35.1	34.9	34.6	34.3	34.2	33.7	33.4	33.1	32.5	32.2	31.7	31.4
28	29.3	29.1	29.1	29.0	29.2	29.2	29.2	29.2	29.1	29.2	29.4	29.4	29.5	29.4	29.4
29	29.7	29.6	29.6	29.6	29.7	30.2	30.4	30.6	30.7	30.9	31.0	31.4	31.5	31.5	31.6
30	34.5	34.6	34.8	35.1	35.3	35.4	35.7	36.1	36.3	36.4	36.6	36.8	37.1	37.3	37.4
31	39.6	39.7	39.8	39.8	40.0	40.1	40.2	40.2	40.5	40.7	40.9	41.0	41.1	41.1	41.1
Med.	743.86	743.76	743.69	743.69	743.76	743.80	743.77	743.76	743.71	743.40	743.63	743.58	743.53	743.56	743.56

Absolutes Maximum = 757.7 (1: 11^h 0^m)

Luftdruck bei 0°

Barometer: 13.0 m. über Meeresniveau

Bar.: 731.30 — 37.47 — 43.64 — 49.81 — 55.98 — 62.15
Korr.: +1.19; +1.20; +1.21; +1.22; +1.23;

1903 Januari

4 p. m.	5 p. m.	6 p. m.	7 p. m.	8 p. m.	9 p. m.	10 p. m.	11 p. m.	Mtn.	Med.	Maximum		Minimum		Diff.	Dat.
mm.	mm.	mm.	mm.	mm.	mm.	mm.	mm.	mm.	mm.	h. m.	mm.	h. m.	mm.	mm.	
757.7	757.6	757.6	757.8	757.7	757.6	757.7	757.8	757.7	756.65	11.0 p	757.7	1.0 a	754.3	3.4	1
56.1	55.6	55.3	54.9	54.7	54.2	53.9	53.4	52.9	56.02	1.0 a	57.4	12.0 p	52.9	4.5	2
50.4	50.7	51.0	51.4	51.8	52.0	52.3	52.7	52.9	50.71	12.0 p	52.9	11.0 a	49.2	3.7	3
51.8	51.6	51.6	51.4	51.1	50.9	50.8	50.8	50.2	52.38	6.0 a	53.8	12.0 p	50.2	3.6	4
43.6	43.0	42.8	43.0	43.0	42.7	41.2	40.9	41.4	45.36	1.0 a	51.9	11.0 p	40.9	11.0	5
42.9	43.0	43.1	43.4	43.7	43.9	43.9	44.2	44.1	42.38	12.0 p	44.1	1.30 a	40.8	3.3	6
47.0	47.4	47.9	47.9	47.9	48.2	48.7	48.9	49.0	46.40	12.0 p	49.0	1.0 a	44.1	4.9	7
49.9	49.9	49.9	49.9	49.8	49.7	49.6	49.1	48.9	49.71	0.0 p	50.1	12.0 p	48.9	1.2	8
47.6	47.7	47.7	47.3	47.3	46.9	46.9	46.3	46.3	47.58	1.0 a	48.8	12.0 p	46.3	2.5	9
41.7	41.8	41.9	42.0	42.3	42.6	42.8	42.9	43.0	43.18	1.0 a	46.0	3.0 p	41.7	4.3	10
47.0	47.2	47.3	47.3	47.0	47.0	47.0	47.0	46.9	46.12	7.0 p	47.3	1.0 a	43.3	4.0	11
44.7	44.7	44.5	44.2	44.0	43.7	43.6	43.2	42.9	45.26	1.0 a	46.9	12.0 p	42.9	4.0	12
43.2	43.6	43.7	43.8	43.8	43.8	43.9	44.0	44.1	43.07	12.0 p	44.1	4.0 a	42.5	1.6	13
43.6	43.5	43.4	43.0	42.8	42.7	42.3	42.0	41.7	43.54	7.0 a	44.3	12.0 p	41.7	2.6	14
42.9	43.7	44.0	44.6	45.2	45.7	46.0	46.1	46.5	42.48	12.0 p	46.5	7.0 a	40.1	6.4	15
48.0	48.1	48.3	48.3	48.5	48.6	48.5	48.6	48.4	47.83	9.0 p	48.6	1.0 a	46.7	1.9	16
46.4	46.1	45.9	45.9	45.9	45.8	45.9	45.9	45.9	46.90	1.0 a	48.2	9.0 p	45.8	2.4	17
46.6	46.7	46.8	46.8	46.8	47.0	47.0	47.0	47.1	46.53	12.0 p	47.1	1.0 a	46.0	1.1	18
48.7	48.9	49.2	49.4	49.5	49.5	49.4	49.1	49.1	48.48	9.0 p	49.5	1.0 a	47.2	2.3	19
46.6	46.5	46.0	45.7	45.6	45.6	45.5	45.6	45.6	47.10	1.0 a	48.8	10.0 p	45.5	3.3	20
44.7	44.9	45.1	45.3	45.5	45.8	45.9	45.9	45.7	45.20	11.0 p	45.9	11.0 a	44.7	1.2	21
45.5	45.2	45.1	45.0	44.9	44.7	44.7	44.6	44.6	45.45	9.0 a	45.9	12.0 p	44.6	1.3	22
44.6	44.7	44.6	44.6	44.5	44.1	43.9	43.8	43.7	44.34	5.0 p	44.7	12.0 p	43.7	1.0	23
35.3	35.2	35.0	34.1	33.9	33.4	32.9	32.4	31.8	37.57	1.0 a	43.4	12.0 p	31.8	11.6	24
28.1	28.7	28.9	29.0	29.2	29.7	30.0	30.0	30.2	29.01	1.0 a	31.1	1.0 p	28.0	3.1	25
34.6	34.7	35.1	35.3	35.4	35.4	35.5	35.4	35.3	33.69	10.0 p	35.5	1.0 a	30.7	4.8	26
31.3	30.6	30.4	30.3	29.9	29.5	29.5	29.4	29.4	32.38	1.0 a	35.3	12.0 p	29.4	5.9	27
29.5	29.5	29.5	29.6	29.7	29.8	29.9	30.1	29.8	29.42	11.0 p	30.1	4.0 a	29.0	1.1	28
32.3	32.5	32.5	32.8	33.2	33.4	34.3	34.4	34.4	31.58	12.0 p	34.4	3.0 a	29.6	4.8	29
37.6	37.9	38.2	38.5	38.8	39.1	39.3	39.5	39.5	36.99	12.0 p	39.5	1.0 a	34.5	5.0	30
41.3	41.4	41.6	41.9	41.9	41.8	41.8	41.6	41.4	40.85	8.0 p	41.9	1.0 a	39.6	2.3	31
743.59	743.63	743.67	743.69	743.72	743.70	743.70	743.63	743.56	743.66		745.51		741.83	3.68	Med.
Absolutes Minimum = 728.0 (25 : 1 ^h 0 ^m p)															

Luftdruck bei 0°

Barometer: 13.0 m. über Meeresniveau

Februari 1903

Korr. f. Red. zu } Dar.: 706.60 — 12.78 — 18.95 — 25.13 — 31.30
Normalschweré } Korr.: +1.15; +1.16; +1.17; +1.18;

Dat.	1 a. m.	2 a. m.	3 a. m.	4 a. m.	5 a. m.	6 a. m.	7 a. m.	8 a. m.	9 a. m.	10 a. m.	11 a. m.	Mttg.	1 p. m.	2 p. m.	3 p. m.
	mm.	mm.	mm.	mm.	mm.	mm.	mm.	mm.	mm.	mm.	mm.	mm.	mm.	mm.	mm.
1	741.2	741.0	740.7	740.4	740.2	740.0	739.5	739.3	739.0	738.5	738.4	738.0	737.6	737.2	736.6
2	35.1	35.1	35.2	35.2	35.2	35.4	35.5	35.6	35.7	35.8	36.1	36.3	36.4	36.8	37.1
3	38.3	38.3	38.5	38.5	38.9	39.0	39.1	39.1	39.1	39.1	39.2	39.3	39.3	39.4	39.5
4	41.2	41.4	41.7	41.8	42.0	42.1	42.4	42.6	42.6	42.5	42.5	42.3	42.1	42.1	42.1
5	41.3	41.0	41.0	41.0	40.9	40.7	40.3	40.2	40.0	40.5	40.4	40.4	40.1	40.0	40.1
6	41.3	41.7	41.9	42.2	42.3	42.7	43.1	43.3	43.1	43.4	43.6	43.3	43.1	43.0	42.6
7	34.4	32.5	31.3	30.3	29.0	29.1	28.8	29.3	29.3	29.7	29.8	30.1	30.1	30.3	30.8
8	32.2	32.1	33.2	34.2	35.0	36.0	36.9	37.8	38.9	39.8	40.8	41.8	42.4	43.9	44.9
9	49.1	49.1	49.1	49.0	48.8	48.7	47.9	47.2	47.1	46.4	45.4	44.2	43.7	43.6	43.3
10	35.8	35.5	35.0	34.7	34.6	34.4	33.9	33.6	33.1	32.8	32.6	32.2	32.0	32.0	32.2
11	32.8	32.7	32.7	32.8	32.9	33.0	33.0	33.1	32.9	32.8	32.8	32.7	32.6	32.5	32.2
12	31.6	31.6	31.6	31.6	31.6	31.5	31.5	30.9	30.8	30.8	30.7	30.5	30.1	30.0	29.9
13	27.8	27.7	27.7	27.5	26.9	26.7	26.5	26.2	25.7	25.7	25.7	25.5	25.2	25.1	25.0
14	23.8	23.8	23.7	23.7	23.6	23.6	23.7	24.4	24.6	24.8	24.8	24.8	25.0	25.0	25.7
15	28.8	28.8	29.3	29.7	29.8	30.0	30.5	30.7	31.0	31.2	31.6	31.8	32.0	32.2	32.6
16	35.8	35.9	36.3	36.7	37.2	37.7	37.9	38.1	38.6	38.7	38.5	38.6	38.7	38.9	39.1
17	39.6	39.5	39.4	39.3	39.3	39.4	39.4	39.3	39.2	39.1	39.1	39.0	38.9	39.0	39.1
18	40.1	40.1	40.1	40.2	40.7	41.0	41.1	41.3	41.6	42.0	42.1	42.2	42.7	43.0	43.2
19	45.6	45.9	46.1	46.2	47.0	47.3	47.6	48.1	48.5	48.5	49.0	49.1	49.2	49.3	49.9
20	51.0	51.0	51.0	51.0	51.0	50.8	51.5	51.5	50.1	49.2	48.7	48.0	47.1	46.2	45.7
21	39.7	39.5	39.3	39.3	39.2	39.1	38.9	38.6	38.5	38.4	38.4	38.4	38.4	38.4	38.3
22	40.3	40.7	41.0	41.3	41.5	41.9	42.4	42.8	43.2	43.3	43.6	43.9	44.1	44.2	44.4
23	45.2	45.1	45.1	45.1	45.1	45.2	45.3	45.5	45.9	45.9	45.8	45.7	45.7	45.7	45.4
24	44.6	44.6	44.6	44.2	43.9	43.9	43.7	43.4	43.1	42.9	42.8	42.5	42.1	41.7	41.1
25	37.1	37.0	36.9	36.9	36.8	36.8	36.4	36.4	36.3	36.5	37.0	36.4	36.5	36.2	36.1
26	32.4	31.7	31.1	30.6	30.4	30.2	30.1	29.9	29.2	28.7	28.2	27.4	27.0	26.5	26.1
27	30.7	31.5	32.3	33.0	33.2	34.1	34.4	35.0	35.3	35.4	35.2	35.1	34.9	34.6	34.4
28	36.8	37.6	38.1	38.7	39.2	39.8	40.1	40.8	41.1	41.3	41.5	41.6	41.5	41.5	41.5
Med.	737.63	737.59	737.64	737.68	737.73	737.86	737.91	738.00	737.98	737.99	738.01	737.99	737.80	737.80	737.82
Absolutes Maximum=751.0 (20: 3 ^h 0 ^m a)															

Luftdruck bei 0°

Barometer: 13.0 m. über Meeresniveau

Bar.: 731.30 — 37.47 — 43.64 — 49.81 — 55.98 — 62.15
Korr.: +1.19; +1.20; +1.21; +1.22; +1.23;

1903 Februari

4 p. m.	5 p. m.	6 p. m.	7 p. m.	8 p. m.	9 p. m.	10 p. m.	11 p. m.	Mttm.	Med.	Maximum		Minimum		Diff.	Dat.
mm.	mm.	mm.	mm.	mm.	mm.	mm.	mm.	mm.	mm.	h. m.	mm.	h. m.	mm.	mm.	
736.4	736.2	735.9	735.6	735.4	735.3	735.3	735.3	735.2	737.84	1.0 a	741.2	12.0 p	735.2	6.0	1
37.2	37.3	37.7	37.8	38.0	38.2	38.3	38.3	38.3	36.57	12.0 p	38.3	1.0 a	35.1	3.2	2
39.7	39.8	40.0	40.2	40.5	40.8	41.0	41.0	41.1	39.53	12.0 p	41.1	1.0 a	38.3	2.8	3
42.1	42.1	42.1	42.2	42.2	42.2	42.1	42.0	41.7	42.09	8.0 a	42.6	1.0 a	41.2	1.4	4
39.8	40.0	40.1	40.1	40.4	40.8	41.0	41.2	41.5	40.53	12.0 p	41.5	4.0 p	39.8	1.7	5
42.1	41.6	41.0	40.2	39.5	38.5	37.3	36.8	36.2	41.41	11.0 a	43.6	12.0 p	36.2	7.4	6
31.2	32.3	32.4	33.2	33.2	33.3	33.3	33.3	33.0	31.26	0.30 a	35.3	6.30 a	28.8	6.5	7
45.0	46.4	47.1	47.8	48.0	48.7	48.9	49.0	49.1	41.66	12.0 p	49.1	1.30 a	31.7	7.4	8
42.7	42.5	41.6	40.5	39.8	38.7	37.7	37.0	36.3	44.14	1.0 a	49.1	12.0 p	36.3	12.8	9
32.0	32.0	32.7	32.7	32.7	32.7	32.7	32.8	32.8	33.23	1.0 a	35.8	1.0 p	32.0	3.8	10
32.2	32.0	31.9	31.9	31.8	31.8	31.8	31.8	31.7	32.43	8.0 a	33.1	12.0 p	31.7	1.4	11
29.8	29.7	29.7	29.5	29.4	29.1	29.0	28.8	28.7	30.35	1.0 a	31.6	12.0 p	28.7	2.9	12
25.0	24.7	24.6	24.6	24.6	24.5	24.1	23.9	23.8	25.61	0.30 a	28.2	12.0 p	23.8	4.4	13
26.0	26.5	26.8	27.0	27.4	27.7	27.9	28.5	28.7	25.48	12.0 p	28.7	5.0 a	23.6	5.1	14
32.7	33.2	33.7	34.1	34.4	34.7	35.0	35.5	35.7	32.04	12.0 p	35.7	1.0 a	28.8	6.9	15
39.1	39.2	39.5	39.8	39.8	39.9	39.8	39.8	39.8	38.48	9.0 p	39.9	1.0 a	35.8	4.1	16
39.2	39.4	39.5	39.6	39.8	39.9	40.0	40.1	40.1	39.42	12.0 p	40.1	1.0 p	38.9	11.2	17
43.7	44.0	44.2	44.8	45.2	45.5	45.6	45.8	45.6	42.74	11.0 p	45.8	1.0 a	40.1	5.7	18
49.9	50.0	50.2	50.4	50.4	50.8	50.7	50.8	50.9	48.81	12.0 p	50.9	1.0 a	45.6	5.3	19
45.2	44.4	43.8	43.2	42.5	42.0	41.2	40.5	40.1	46.95	3.0 a	51.0	12.0 p	40.1	10.9	20
38.4	38.4	38.5	38.6	39.3	39.4	39.6	39.7	40.1	38.93	3.0 p	40.1	12.0 p	38.3	1.8	21
44.6	44.7	45.1	45.1	45.2	45.2	45.2	45.2	45.2	43.50	12.0 p	45.2	1.0 a	40.3	4.9	22
45.4	45.1	45.0	44.9	44.9	45.1	45.0	44.9	44.9	45.29	10.0 a	45.9	12.0 p	44.9	1.0	23
40.7	40.2	39.8	39.4	39.3	39.1	38.5	38.3	37.6	41.75	1.0 a	44.6	12.0 p	37.6	7.0	24
36.0	35.6	35.3	35.1	35.1	34.6	34.2	33.7	33.1	35.92	1.0 a	37.1	12.0 p	33.1	4.0	25
25.5	25.4	25.5	25.9	26.4	27.1	28.1	29.1	30.0	28.44	1.0 a	32.4	5.0 p	25.4	7.0	26
34.2	34.3	34.5	34.6	34.5	34.8	35.0	35.3	36.0	34.26	12.0 p	36.0	1.0 a	30.7	5.3	27
41.4	41.2	41.0	40.5	39.9	39.3	38.4	37.9	37.1	39.91	0.0 p	41.6	1.0 a	36.8	4.8	28
737.76	737.79	737.83	737.83	737.84	737.85	737.74	737.72	737.65	737.81		740.20		734.96	5.24	Med.

Absolutes Minimum=723.6 (14: 5^h 0^m a)

Luftdruck bei 0°

Barometer: 13.0 m. über Meeresniveau

März 1903

Korr. f. Red. zu } Bar.: 706.60 — 12.78 — 18.95 — 25.13 — 31.30
Normalschwere } Korr.: +1.15; +1.16; +1.17; +1.18;

Dat.	1 a. m.	2 a. m.	3 a. m.	4 a. m.	5 a. m.	6 a. m.	7 a. m.	8 a. m.	9 a. m.	10 a. m.	11 a. m.	Mttg.	1 p. m.	2 p. m.	3 p. m.
	mm.	mm.	mm.	mm.	mm.	mm.	mm.	mm.	mm.	mm.	mm.	mm.	mm.	mm.	mm.
1	735.9	735.1	734.5	733.9	733.3	733.1	732.9	732.8	732.1	731.2	730.7	730.2	729.5	729.1	728.7
2	28.4	28.9	29.0	29.2	29.9	30.2	31.2	31.6	32.0	32.1	32.6	33.2	33.5	34.1	34.6
3	37.8	37.8	38.0	38.0	37.9	37.7	37.6	37.3	37.3	37.4	37.4	37.5	37.8	38.1	38.4
4	42.9	42.9	43.0	42.9	42.8	42.4	42.1	41.3	41.0	40.3	40.1	39.8	39.6	39.5	39.4
5	42.1	42.1	42.7	42.7	42.6	42.4	42.0	42.0	41.9	41.8	41.4	41.1	40.9	40.5	40.0
6	37.7	37.3	36.9	36.5	36.3	36.3	36.1	36.1	36.2	36.2	36.7	36.8	36.8	37.1	37.8
7	38.4	38.3	38.3	38.3	38.0	37.6	37.9	37.8	37.3	36.4	37.0	37.3	37.2	37.0	36.8
8	34.3	34.4	34.2	34.5	34.1	33.2	33.0	32.8	33.1	33.5	33.0	32.7	32.5	32.5	32.7
9	32.2	31.8	31.4	31.6	31.3	31.1	31.3	30.8	31.2	31.2	30.8	30.8	31.0	31.0	30.9
10	33.3	33.4	33.5	33.8	33.9	34.6	34.8	35.4	35.9	36.1	36.5	36.8	37.3	37.7	38.3
11	42.2	42.4	42.8	43.0	44.2	44.5	44.7	44.9	44.9	45.1	45.3	45.4	45.3	45.8	45.9
12	46.9	46.8	46.9	46.9	46.8	46.8	46.8	47.0	47.2	46.9	47.2	47.1	46.9	46.9	46.8
13	44.5	43.9	43.3	43.0	42.9	42.8	42.4	41.7	41.2	40.7	40.2	39.8	39.5	38.7	38.4
14	36.1	35.9	35.5	35.2	34.7	34.3	34.2	34.0	34.0	34.1	34.1	34.2	34.2	34.2	34.4
15	34.3	34.2	34.2	34.2	34.0	33.9	33.6	33.4	33.3	33.2	32.9	32.5	32.0	31.9	31.6
16	29.1	29.3	29.3	29.4	29.7	30.2	30.8	31.3	32.0	32.6	32.6	33.1	33.4	33.9	34.6
17	36.3	35.5	35.7	35.5	35.4	35.0	34.6	34.1	33.8	33.5	33.9	32.8	32.8	32.8	33.0
18	31.0	30.7	30.5	30.5	30.0	29.8	29.5	29.8	29.9	29.8	29.7	29.6	29.4	29.4	29.4
19	27.8	27.6	27.6	27.6	27.7	27.5	28.4	28.6	29.1	29.6	30.1	30.6	31.1	31.6	31.9
20	34.3	34.3	34.1	33.8	33.7	33.6	33.6	33.6	33.7	33.8	33.7	33.4	33.1	33.0	32.8
21	31.8	31.7	31.4	31.3	31.4	31.6	31.8	32.3	32.4	32.6	32.8	33.4	33.7	33.9	34.6
22	37.1	37.3	37.5	37.6	37.7	38.0	38.3	38.6	39.1	39.1	39.5	39.6	39.7	39.8	39.8
23	40.2	40.2	40.0	39.9	39.8	39.8	39.5	39.4	39.3	38.8	38.4	37.6	36.7	36.3	35.4
24	25.5	24.5	23.7	23.0	22.5	21.9	21.6	21.3	21.5	21.5	21.5	21.5	21.7	22.2	22.5
25	28.5	28.7	28.6	29.1	29.8	29.9	29.8	29.8	30.5	31.1	31.4	31.5	31.7	32.2	32.4
26	35.1	35.6	35.9	35.7	35.5	35.7	36.1	37.5	37.4	37.6	37.6	37.6	38.3	38.9	38.4
27	39.8	40.1	40.6	40.0	39.8	39.8	39.8	40.0	40.2	40.8	40.4	40.4	40.5	40.7	41.0
28	39.8	39.7	39.5	39.6	39.5	39.8	40.3	40.2	39.9	39.8	39.6	39.4	39.2	39.0	39.0
29	36.5	35.9	35.5	35.5	35.7	35.5	35.4	35.5	34.4	33.9	33.5	33.6	33.8	33.8	33.4
30	31.1	31.3	31.3	31.5	32.5	32.5	32.5	31.5	31.4	31.6	31.5	31.6	32.2	32.6	32.7
31	32.6	33.4	33.9	34.4	34.9	34.7	35.3	35.6	36.5	36.6	37.0	37.4	37.6	37.9	38.2
Med.	735.60	735.52	735.44	735.42	735.43	735.35	735.42	735.42	735.47	735.45	735.45	735.43	735.45	735.54	735.61
Absolutes Maximum = 747.4 (11: 11 ^h om p)															

Luftdruck bei 0°

Barometer: 13.0 m. über Meeresniveau

Bar: 731.30 — 37.47 — 43.64 — 49.81 — 55.98 — 62.15

Korr: +1.19; +1.20; +1.21; +1.22; +1.23

1903 März

4 p. m.	5 p. m.	6 p. m.	7 p. m.	8 p. m.	9 p. m.	10 p. m.	11 p. m.	Mittn.	Med.	Max.		Min.		Diff.	Dat.
mm.	mm.	mm.	mm.	mm.	mm.	mm.	mm.	mm.	mm.	h. m.	mm.	h. m.	mm.	mm.	
728.2	727.4	727.2	727.2	727.3	727.3	727.3	727.3	727.8	730.42	1.0a	735.9	7.0p	727.2	8.7	1
35.2	35.7	36.3	36.8	37.3	37.5	37.6	37.7	37.8	33.43	12.0p	37.8	1.0a	28.4	9.4	2
38.7	39.4	39.8	40.7	41.4	42.0	42.3	42.7	42.8	38.99	12.0p	42.8	9.0a	37.3	5.5	3
39.4	39.5	39.6	40.0	40.5	41.0	41.1	41.6	42.1	41.03	3.0a	43.0	4.0p	39.4	3.6	4
39.8	39.6	39.4	39.3	39.1	39.0	38.8	38.4	38.1	40.74	4.0a	42.7	12.0p	38.1	4.6	5
38.1	38.3	38.4	38.4	38.5	38.5	38.5	38.2	38.4	37.34	9.0p	38.5	7.0a	36.1	2.4	6
36.5	36.1	36.1	35.8	35.9	35.5	35.3	35.0	33.9	36.82	1.0a	38.4	12.0p	33.9	4.5	7
32.7	32.8	32.5	32.5	32.6	32.6	32.5	32.5	32.4	33.07	4.0a	34.5	12.0p	32.4	2.1	8
31.1	31.5	31.9	32.1	32.4	32.7	32.9	32.9	33.2	31.63	12.0p	33.2	11.0a	30.8	2.4	9
38.5	39.4	39.8	39.9	39.9	40.9	41.1	41.4	41.9	37.20	12.0p	41.9	1.0a	33.3	8.6	10
46.1	46.9	47.1	47.2	47.1	47.0	47.3	47.4	47.1	45.38	11.0p	47.4	1.0a	42.2	5.2	11
46.7	46.6	46.5	46.3	46.1	45.9	45.3	45.0	44.9	46.53	11.0a	47.2	12.0p	45.9	1.3	12
38.0	37.8	37.4	37.2	37.1	37.0	36.6	36.4	36.3	39.99	1.0a	44.5	12.0p	36.3	8.2	13
34.5	34.6	35.0	35.1	35.2	34.7	34.5	34.5	34.4	34.65	1.0a	36.1	8.0a	34.0	2.1	14
31.2	31.2	31.0	30.5	30.2	29.6	29.4	29.3	29.2	32.12	1.0a	34.3	12.0p	29.2	5.1	15
34.8	35.3	35.6	35.7	35.8	36.1	36.1	36.4	36.4	33.06	12.0p	36.4	1.0a	29.1	7.3	16
32.6	32.7	32.5	32.5	32.4	32.0	31.6	31.6	31.3	33.50	1.0a	36.3	12.0p	31.3	5.0	17
29.3	29.1	28.9	28.9	28.9	28.8	28.4	27.9	27.8	29.46	1.0a	31.0	12.0p	27.8	3.2	18
32.3	32.6	33.0	33.4	33.7	34.0	34.1	34.1	34.1	30.75	12.0p	34.1	6.0a	27.5	6.6	19
32.7	32.7	32.7	32.6	32.2	31.9	31.8	31.7	31.6	33.10	1.0a	34.3	12.0p	31.6	2.7	20
35.1	35.5	35.7	35.8	35.9	35.6	36.0	36.3	36.3	33.70	12.0p	36.3	4.0a	31.3	5.0	21
39.8	39.8	39.9	40.1	40.3	40.3	40.3	40.4	40.3	39.16	11.0p	40.4	1.0a	37.1	3.3	22
34.7	33.8	32.8	31.8	30.9	29.7	28.6	27.5	26.3	35.72	1.0a	40.2	12.0p	26.3	13.9	23
23.2	24.6	24.8	25.5	25.8	26.2	26.7	27.2	29.5	33.66	12.0p	27.5	8.0a	21.3	6.2	24
32.7	33.2	33.7	34.3	34.2	34.5	34.7	34.8	35.1	31.76	12.0p	35.1	1.0a	28.5	6.6	25
38.5	38.3	38.8	39.4	39.6	39.8	39.9	39.9	40.1	37.80	12.0p	40.1	1.0a	35.1	5.0	26
40.9	40.9	41.0	41.0	40.7	40.8	40.5	40.3	40.4	40.40	3.30p	41.1	1.0a	38.8	2.3	27
38.5	38.6	38.5	38.0	38.3	38.2	37.6	37.4	36.6	39.00	7.0a	40.3	12.0p	36.6	3.7	28
33.4	33.4	32.8	32.5	32.3	32.4	31.8	31.5	31.2	33.88	1.0a	36.5	12.0p	31.2	5.3	29
33.3	33.3	33.1	32.9	33.0	32.6	32.2	31.9	31.8	32.16	4.0p	33.3	1.0a	31.1	2.2	30
38.5	39.0	39.1	39.6	40.9	40.2	40.7	41.4	41.6	37.33	12.0p	41.6	1.0a	32.6	9.0	31
735.65	735.79	735.84	735.90	735.95	735.91	735.85	735.83	735.76	735.60		738.15		732.96	5.51	Med.
Absolutes minimum = 721.3 (24 : 8 ^h 0 ^m a)															

Luftdruck bei 0°

Barometer: 13,0 m. über Meeresebene

April 1903

Korr. f. Red. zu } Bar.: 706.60 — 12.78 — 18.95 — 25.13 — 31.30
Normalschwere } Korr.: +1.15; +1.16; +1.17; +1.18;

Dat.	1 a. m.	2 a. m.	3 a. m.	4 a. m.	5 a. m.	6 a. m.	7 a. m.	8 a. m.	9 a. m.	10 a. m.	11 a. m.	Mittg.	1 p. m.	2 p. m.	3 p. m.
	mm.	mm.	mm.	mm.	mm.	mm.	mm.	mm.	mm.	mm.	mm.	mm.	mm.	mm.	mm.
1	741.5	742.0	742.4	742.9	744.0	744.2	745.0	744.7	746.1	746.6	747.2	747.8	748.9	749.3	749.9
2	48.3	47.2	46.3	45.9	44.6	43.6	42.6	40.6	40.0	38.2	36.4	35.5	34.6	34.4	34.4
3	31.6	31.5	29.3	29.4	29.5	29.4	29.4	29.5	29.4	29.3	30.6	30.8	31.5	32.5	33.0
4	31.9	31.5	31.1	30.6	30.2	29.5	28.5	28.1	27.5	27.3	27.6	27.2	26.7	27.0	27.3
5	31.9	31.5	31.5	31.4	31.0	30.5	30.1	30.2	30.8	31.0	31.7	31.9	31.8	31.9	31.8
6	35.5	35.7	36.5	36.6	37.4	37.8	37.6	38.1	39.0	38.6	39.4	40.0	40.2	40.3	40.4
7	42.5	42.4	42.2	42.1	42.3	42.7	42.4	42.4	43.0	43.0	43.0	42.8	42.9	43.0	42.8
8	41.8	41.7	41.2	41.1	41.2	41.1	40.9	40.5	40.3	40.1	40.2	39.9	39.8	39.6	39.5
9	37.7	38.0	38.3	38.6	38.8	39.3	40.1	40.3	41.0	41.3	41.9	42.1	42.9	43.3	44.2
10	44.1	43.2	42.9	42.1	41.6	41.4	41.3	41.1	40.9	41.1	40.9	40.9	40.2	40.8	40.4
11	40.3	40.7	41.8	42.5	43.3	43.9	44.1	44.3	44.3	44.9	44.3	44.6	44.1	43.8	43.3
12	41.1	41.0	40.7	40.3	40.2	40.1	40.2	40.2	40.1	40.7	40.5	40.1	39.9	39.5	39.5
13	34.7	34.4	34.3	34.4	34.8	34.9	34.9	35.6	36.6	36.9	37.7	37.8	37.3	37.5	37.7
14	39.1	39.2	39.8	39.8	39.9	40.2	40.7	40.9	41.1	41.3	41.7	41.4	41.7	41.7	41.7
15	38.0	37.8	37.2	37.0	36.9	36.6	36.4	36.0	35.7	35.2	34.8	34.4	34.0	33.3	32.8
16	39.0	40.0	41.4	42.2	42.5	42.8	43.6	44.2	44.6	44.8	44.8	44.6	43.9	43.5	42.9
17	40.6	41.0	41.4	41.7	42.5	42.7	43.1	43.4	43.7	43.9	44.7	44.7	44.7	44.3	43.9
18	39.8	39.8	39.8	39.8	39.7	39.3	38.9	38.8	38.9	39.1	39.2	39.8	40.1	40.8	41.6
19	44.4	44.0	43.5	43.4	43.5	43.4	43.0	42.4	42.0	41.3	40.1	39.2	38.9	37.9	37.0
20	48.9	49.4	49.9	50.0	50.4	50.5	50.4	50.2	50.3	49.7	49.6	49.2	49.0	48.5	48.2
21	41.4	40.9	40.1	39.8	39.6	39.0	38.5	38.0	37.4	37.0	36.5	36.0	35.4	35.0	34.6
22	34.5	35.0	36.0	36.3	36.9	37.2	37.7	38.2	38.4	39.0	39.4	39.4	39.0	38.6	38.5
23	34.5	34.2	33.1	33.1	33.2	33.0	32.1	32.1	32.3	33.5	33.9	34.0	34.2	34.3	34.3
24	34.7	34.5	34.6	34.7	34.0	34.0	34.3	34.7	35.5	35.9	36.0	36.0	36.5	36.9	37.3
25	37.9	37.3	36.8	36.3	35.4	34.4	32.8	31.3	29.8	28.5	26.9	25.7	24.8	24.4	23.5
26	22.6	22.5	22.5	22.5	22.5	22.5	22.6	22.6	22.6	23.0	23.6	23.1	23.6	24.0	24.7
27	30.5	30.5	30.5	30.5	30.4	30.5	30.6	30.8	31.3	31.7	32.1	32.3	32.6	33.2	34.0
28	38.1	38.0	37.9	37.8	37.7	37.6	37.4	37.2	37.2	37.7	37.5	37.8	38.2	39.0	39.4
29	43.8	44.0	44.5	44.9	45.7	45.3	45.1	45.3	45.3	45.5	45.7	45.9	46.0	46.4	46.7
30	41.8	41.8	41.9	41.9	41.9	41.4	41.0	41.1	41.0	41.8	42.0	42.0	41.2	41.4	41.3
Med.	738.42	738.36	738.30	738.32	738.39	738.29	738.18	738.09	738.20	738.25	738.33	738.23	738.15	738.20	738.22

Absolutes Maximum = 751.2 (1: 8^h 0^m p)

Luftdruck bei 0°

Barometer: 13.0 m. über Meeresniveau

Bar.: 731.30 — 37.47 — 49.81 — 55.98 — 62.15

Korr.: + 1.19; + 1.20; + 1.21; + 1.22;

1903 April

4 p. m.	5 p. m.	6 p. m.	7 p. m.	8 p. m.	9 p. m.	10 p. m.	11 p. m.	Mttn.	Med.	Maximum		Minimum		Diff.	Dat.
mm.	mm.	mm.	mm.	mm.	mm.	mm.	mm.	mm.	mm.	h. m.	mm.	h. m.	mm.	mm.	
750.2	750.6	751.0	751.2	751.2	751.2	750.9	750.5	749.4	747.45	8.0 p	751.2	1.0 a	741.5	9.7	1
34.4	34.2	34.3	33.9	33.3	32.9	32.5	32.4	31.5	38.00	1.0 a	48.3	12.0 p	31.5	16.8	2
33.3	33.6	33.9	34.3	34.0	33.8	33.4	33.0	32.5	31.60	7.0 p	34.3	3.0 a	29.3	5.0	3
27.4	28.0	28.5	29.1	29.4	30.4	31.2	31.8	32.0	29.16	12.0 p	32.0	1.0 p	26.7	5.3	4
32.4	32.3	32.5	33.2	33.0	33.5	34.4	34.7	35.2	32.09	12.0 p	35.2	7.0 a	30.1	5.1	5
40.8	41.5	41.9	42.2	42.7	42.4	42.4	42.3	42.3	39.65	9.0 p	42.4	1.0 a	35.5	6.9	6
42.8	42.7	42.7	42.7	42.4	42.3	42.1	42.0	41.9	42.55	9.0 a	43.0	12.0 p	41.9	1.1	7
39.4	39.0	38.5	38.5	38.4	38.3	38.0	37.8	37.7	39.77	1.0 a	41.8	12.0 p	37.7	4.1	8
44.3	44.8	45.0	45.0	45.1	45.2	45.1	45.1	44.5	42.16	9.0 p	45.2	1.0 a	37.7	7.5	9
40.3	39.9	39.6	38.5	37.7	37.4	38.1	39.1	39.6	40.55	1.0 a	44.1	8.30 p	37.2	6.9	10
43.3	43.2	42.8	42.3	41.9	41.9	41.8	41.5	41.2	42.92	10.0 a	44.8	1.0 a	40.3	4.5	11
39.6	39.6	38.9	38.2	37.1	36.1	35.1	34.9	34.6	39.09	1.0 a	41.1	12.0 p	34.6	6.5	12
37.8	38.1	38.0	38.1	38.2	38.5	38.7	38.7	39.0	36.86	12.0 p	39.0	3.0 a	34.3	4.7	13
41.7	41.6	41.5	40.8	40.5	39.9	39.4	39.0	38.8	40.55	2.0 p	41.7	12.0 p	38.8	2.9	14
32.5	32.0	32.1	32.7	33.0	33.2	34.1	36.0	37.1	34.95	1.0 a	38.0	5.0 p	32.0	6.0	15
42.4	41.9	41.7	41.2	40.2	39.8	39.4	39.8	39.8	42.12	10.0 a	44.8	0.30 a	38.0	6.8	16
43.8	43.6	42.9	42.5	42.2	41.7	41.3	40.9	40.5	42.74	0.0 p	44.7	12.0 p	40.5	4.2	17
42.6	43.2	44.0	44.7	45.0	45.3	45.1	45.0	44.7	41.46	9.0 p	45.3	7.30 a	38.6	6.7	18
36.3	38.0	40.7	43.1	44.8	45.8	47.7	47.8	48.5	42.36	12.0 p	48.5	4.0 p	36.3	12.2	19
47.9	47.2	46.4	45.9	45.1	44.5	44.2	43.2	42.3	47.95	6.0 a	50.5	12.0 p	42.3	8.2	20
34.0	33.5	33.5	33.1	33.0	33.0	33.0	33.6	34.0	36.37	1.0 a	41.4	9.0 p	33.0	8.4	21
38.5	37.9	37.5	36.8	35.8	35.3	35.7	35.5	35.4	39.47	11.0 a	39.4	1.0 a	34.5	4.9	22
34.2	34.9	35.1	34.8	35.1	34.0	33.9	34.5	34.6	33.87	8.0 p	35.1	8.0 a	32.1	3.0	23
37.8	37.0	37.6	38.1	38.3	38.6	38.5	38.2	37.8	36.31	9.0 p	38.6	6.0 a	34.0	4.6	24
22.6	22.6	22.6	22.5	22.6	22.2	22.4	22.3	22.4	27.83	1.0 a	37.9	9.0 p	22.2	15.7	25
25.7	26.8	27.1	27.8	28.5	29.3	29.6	30.1	30.4	25.01	12.0 p	30.4	4.0 a	22.5	7.9	26
34.8	35.5	36.2	36.6	37.2	37.2	37.7	37.7	38.1	33.44	12.0 p	38.1	5.0 a	30.4	7.7	27
39.8	40.1	41.0	41.8	42.0	42.2	42.9	43.1	43.4	39.35	12.0 p	43.4	9.0 a	37.2	6.2	28
46.8	45.9	45.6	45.1	44.6	43.9	43.4	42.4	42.4	45.01	4.0 p	46.8	12.0 p	42.4	4.4	29
41.2	41.4	41.2	41.1	41.6	41.8	41.7	41.3	41.0	41.49	0.0 p	42.0	7.0 a	41.0	1.0	30
738.29	738.35	738.48	738.53	738.46	738.40	738.45	738.47	738.40	738.32		741.63		735.14	6.49	Med.
Absolutes Minimum = 722.2 (25.9 h ₀ mp)															

Luftdruck bei 0°

Barometer: 13.0 m. über Meeresniveau

Mai 1903

Korr. f. Red. zu | Bar.: 706.60 — 12.78 — 18.95 — 25.13 — 31.30
Normalschwere | Korr.: + 1.25; + 1.16; + 1.17; + 1.18;

Dat.	1 a. m.	2 a. m.	3 a. m.	4 a. m.	5 a. m.	6 a. m.	7 a. m.	8 a. m.	9 a. m.	10 a. m.	11 a. m.	Mittg.	1 p. m.	2 p. m.	3 p. m.
	mm.	mm.	mm.	mm.	mm.	mm.	mm.	mm.	mm.	mm.	mm.	mm.	mm.	mm.	mm.
1	740.9	740.7	740.2	739.8	739.8	739.6	739.4	739.2	739.2	739.1	739.0	739.1	739.2	739.2	739.2
2	38.3	38.0	37.8	37.4	37.2	37.2	37.2	37.0	37.0	36.9	36.6	36.4	36.2	36.1	36.1
3	35.9	35.8	35.8	35.7	35.6	35.6	35.9	36.1	36.1	36.2	36.1	35.7	35.3	35.2	34.7
4	33.0	33.2	33.4	34.2	34.9	35.1	36.0	36.3	36.4	37.0	37.9	38.3	38.9	39.2	38.8
5	40.6	40.9	40.8	41.0	41.2	41.4	41.8	42.0	42.4	43.1	43.8	44.1	44.0	44.9	45.0
6	45.9	46.2	46.5	46.8	47.0	47.1	47.5	47.4	47.5	48.0	48.1	48.2	48.7	48.8	48.7
7	46.9	46.8	46.1	45.9	45.1	45.1	45.0	45.0	45.0	44.9	44.8	44.7	44.2	44.1	44.2
8	41.0	40.0	39.5	39.3	39.0	38.8	38.6	38.3	37.7	37.4	37.2	36.6	36.0	35.4	34.9
9	35.9	36.3	37.0	37.2	37.7	37.8	38.5	39.1	39.4	39.8	40.3	40.8	41.0	41.8	41.7
10	46.0	46.3	46.6	46.8	46.9	46.9	47.6	47.9	48.5	49.0	49.1	49.1	49.1	49.2	49.7
11	51.8	51.9	52.0	51.9	51.9	52.1	52.8	52.9	53.1	53.9	54.4	55.2	55.3	56.1	56.3
12	60.1	60.3	60.8	60.8	60.9	61.0	61.2	61.3	61.3	61.3	61.3	60.7	60.2	60.2	60.0
13	60.1	59.8	59.7	59.6	59.3	59.1	58.7	58.5	58.5	59.2	59.0	58.5	58.4	58.2	57.2
14	51.1	50.2	48.9	48.2	47.2	45.4	43.6	41.8	41.1	40.2	40.3	40.6	41.6	42.3	43.3
15	48.4	48.4	48.4	48.3	48.2	48.2	48.3	48.4	49.0	49.0	48.8	48.8	49.0	48.7	48.5
16	48.4	48.3	48.3	47.4	47.3	46.9	46.3	45.7	45.3	45.1	44.4	44.2	43.4	43.3	42.9
17	36.3	36.3	36.3	36.3	35.9	35.6	35.4	35.1	35.3	35.4	35.4	35.5	35.5	35.7	36.4
18	41.4	42.2	43.3	43.5	43.6	43.4	43.2	42.5	41.3	42.3	41.1	39.8	38.4	36.5	36.2
19	38.9	38.8	37.9	37.7	36.5	35.7	34.4	33.1	31.9	31.0	29.8	28.8	28.1	28.3	28.1
20	24.0	24.2	24.3	24.5	25.1	25.5	25.5	25.6	25.2	25.0	24.8	24.1	23.1	22.7	22.0
21	28.4	28.2	28.1	28.0	28.0	27.6	27.8	27.7	27.1	27.1	26.5	26.0	24.9	24.1	23.9
22	23.8	23.1	22.3	21.6	21.6	21.6	21.9	23.0	24.0	25.0	27.0	28.8	29.6	30.5	31.3
23	39.1	39.3	39.3	39.7	39.8	39.8	39.8	40.1	40.0	40.1	39.8	39.8	39.3	39.1	38.9
24	35.8	35.6	34.8	34.3	34.1	33.7	32.9	32.3	31.6	32.3	32.1	31.5	31.1	30.5	30.6
25	33.5	33.3	34.1	35.0	35.2	35.3	36.6	36.8	37.0	38.0	37.9	38.0	38.2	38.8	39.3
26	43.8	44.0	44.7	45.3	46.0	46.6	46.9	47.2	47.3	47.4	47.2	46.8	46.5	46.0	45.5
27	40.6	40.4	39.9	39.3	39.1	39.2	39.1	39.2	39.5	39.3	39.8	39.8	39.8	39.8	40.4
28	41.2	40.7	40.5	39.8	39.1	38.3	37.7	36.7	36.2	35.9	35.4	35.2	35.2	35.7	37.1
29	48.5	48.5	48.5	48.2	47.8	47.5	46.9	46.7	46.4	45.8	45.3	44.2	43.0	41.8	40.9
30	50.2	51.0	51.8	52.1	52.5	52.5	52.4	52.1	51.6	50.6	49.5	48.7	48.6	48.0	47.2
31	40.4	40.3	39.8	39.0	38.3	37.6	37.7	38.1	38.6	38.8	38.9	38.6	38.0	37.2	36.2
Med.	741.62	741.60	741.53	741.44	741.35	741.20	741.18	741.07	741.02	741.10	741.02	740.86	740.64	740.56	740.49
Absolutes Maximum = 761.3 (12 : 10 ^b om a)															

Luftdruck bei C°

Barometer: 13.0 m. über Meeresniveau

Bar.: 731.30 — 37.47 — 43.64 — 49.81 — 55.98 — 62.15
Korr: + 1.19; + 1.20; + 1.21; + 1.22; + 1.23;

1903 Mai

4 p. m.	5 p. m.	6 p. m.	7 p. m.	8 p. m.	9 p. m.	10 p. m.	11 p. m.	Mttm.	Med.	Maximum		Minimum		Diff.	Dat.
mm.	mm.	mm.	mm.	mm.	mm.	mm.	mm.	mm.	mm.	h. m.	mm.	h. m.	mm.	mm.	
739.2	739.3	739.2	739.2	739.2	739.1	739.1	739.0	738.4	739.39	1.0 a	740.9	12.0 p	738.4	2.5	1
36.1	36.1	36.1	36.0	36.0	36.0	36.0	36.0	35.9	36.65	1.0 a	38.3	12.0 p	35.9	2.4	2
34.3	34.3	34.2	34.1	33.6	33.4	33.2	33.2	33.1	34.96	10.0 a	36.2	12.0 p	33.1	3.1	3
38.8	39.4	39.3	39.5	39.7	39.8	40.1	40.0	40.0	37.47	12.0 p	40.0	1.0 a	33.0	7.0	4
45.1	45.1	45.2	45.0	45.1	45.3	46.0	45.9	46.0	43.57	12.0 p	46.0	1.0 a	40.6	5.4	5
48.8	48.8	48.7	48.3	48.2	48.1	47.9	47.3	47.0	47.73	5.0 p	48.8	1.0 a	45.9	2.9	6
44.3	44.2	44.1	43.5	43.2	42.8	42.7	42.0	41.6	44.42	1.0 a	46.9	12.0 p	41.6	5.3	7
34.4	33.8	33.3	33.4	33.5	34.3	34.3	34.8	35.3	36.53	1.0 a	41.0	6.0 p	33.3	7.7	8
42.0	42.6	43.5	43.9	44.1	44.6	45.0	45.2	45.4	40.86	12.0 p	45.4	1.0 a	35.9	9.5	9
50.3	50.9	51.0	51.1	51.2	51.1	51.0	51.2	51.4	49.08	12.0 p	51.4	1.0 a	46.0	5.4	10
56.7	57.2	57.6	58.3	58.2	58.4	59.1	59.7	60.0	55.28	12.0 p	60.0	1.0 a	51.8	8.2	11
60.1	60.1	60.2	59.7	59.6	60.0	60.2	60.2	60.2	60.49	10.0 a	61.3	8.0 p	59.6	1.7	12
57.1	56.6	56.3	56.1	55.6	54.8	53.7	52.6	51.7	57.43	1.0 a	60.1	12.0 p	51.7	8.4	13
43.7	43.8	44.7	46.3	46.3	46.5	47.3	48.0	48.2	45.02	1.0 a	51.1	10.0 a	40.2	10.9	14
48.4	48.5	48.7	49.1	49.0	48.8	48.6	48.6	48.5	48.61	7.0 p	49.1	6.0 a	48.2	0.9	15
42.4	41.0	40.4	39.8	39.4	38.6	37.6	36.9	36.7	43.33	1.0 a	48.4	12.0 p	36.7	11.7	16
36.7	37.7	38.6	38.8	39.5	39.6	41.1	40.8	41.4	37.11	12.0 p	41.4	8.0 a	35.1	6.3	17
35.7	35.6	36.1	36.6	37.4	38.1	38.2	38.4	38.8	39.71	5.0 a	43.6	5.0 p	35.6	8.0	18
27.9	27.7	27.4	27.0	26.4	26.1	25.2	24.8	24.3	30.66	1.0 a	38.9	12.0 p	24.3	14.6	19
22.1	22.4	22.9	24.1	24.5	25.4	26.7	27.4	28.2	24.55	12.0 p	28.2	3.0 p	22.0	6.2	20
24.1	24.1	24.0	23.9	23.9	24.0	24.2	24.1	24.2	25.83	1.0 a	28.4	3.0 p	23.9	4.5	21
32.1	33.1	34.0	35.4	36.1	36.9	37.5	38.1	38.4	29.03	12.0 p	38.4	5.0 a	21.6	16.8	22
38.4	38.2	37.8	37.6	37.0	36.6	36.3	36.2	35.9	38.66	8.0 a	40.1	12.0 p	35.9	4.2	23
31.0	30.8	31.1	31.6	32.0	32.1	32.3	33.1	33.3	32.52	1.0 a	35.8	2.0 p	30.5	5.3	24
39.5	39.8	40.3	40.6	41.1	42.0	42.3	42.8	42.1	38.23	12.0 p	42.9	2.0 a	33.3	9.6	25
44.4	43.8	43.4	43.3	42.9	42.6	41.8	41.6	40.8	44.82	10.0 a	47.4	12.0 p	40.8	6.6	26
40.5	40.6	40.7	40.9	41.1	41.3	41.6	41.6	41.4	40.20	11.0 p	41.6	5.0 a	39.1	2.5	27
38.4	39.3	40.4	42.3	44.4	44.9	46.0	46.8	47.7	39.79	12.0 p	47.7	1.0 p	35.2	12.5	28
41.5	41.6	42.7	43.6	45.1	46.6	47.7	48.6	49.1	45.73	12.0 p	49.1	3.0 p	40.9	8.2	29
46.4	45.6	45.4	44.4	43.4	42.0	41.5	41.0	41.2	47.90	6.0 a	52.5	12.0 p	40.9	11.6	30
35.9	35.1	34.7	34.2	33.7	32.9	32.7	32.2	32.1	36.71	1.0 a	40.4	12.0 p	32.1	8.3	31
740.53	740.55	740.71	740.89	740.98	741.05	741.19	741.23	741.22	741.04		744.56		737.52	7.04	Med.

Absolutes Minimum = 721.6 (22 : 5^h 0^m a)

Luftdruck bei 0°

Barometer: 13.0 m. über Meeresniveau

Juni 1903

Korr. f. Red. zu } Bar.: 706.60 — 12.78 — 18.95 — 35.13 — 32.30
Normalschwere } Korr.: +1.15; +1.16; +1.17; +1.18;

Dat.	1 a. m.	2 a. m.	3 a. m.	4 a. m.	5 a. m.	6 a. m.	7 a. m.	8 a. m.	9 a. m.	10 a. m.	11 a. m.	Mtg.	1 p. m.	2 p. m.	3 p. m.
	mm.	mm.	mm.	mm.	mm.	mm.	mm.	mm.	mm.	mm.	mm.	mm.	mm.	mm.	mm.
1	732.0	732.0	732.1	732.5	732.8	732.7	733.0	733.2	733.6	733.8	733.9	734.0	733.9	734.0	733.4
2	23.7	23.0	21.6	21.1	20.7	20.3	20.0	19.2	19.2	19.2	18.6	17.2	17.9	16.4	15.1
3	08.8	10.2	11.0	12.0	14.0	14.5	16.1	16.4	17.0	17.9	18.6	19.3	20.3	21.2	22.4
4	35.6	36.5	37.4	38.4	40.4	42.2	43.7	44.3	45.9	47.6	48.7	49.4	49.7	49.9	50.5
5	47.3	46.8	46.8	46.4	46.0	45.8	45.4	45.2	45.1	45.4	45.4	45.4	45.4	45.7	45.3
6	43.1	42.7	42.2	41.8	41.5	41.3	41.3	41.8	42.0	42.9	43.9	44.1	44.3	44.9	45.5
7	50.9	51.1	51.8	52.1	52.2	52.2	52.0	51.9	51.7	51.4	51.1	50.9	50.9	50.6	49.9
8	45.9	45.3	45.0	44.7	44.4	44.0	43.6	43.2	43.1	42.9	42.6	42.5	42.2	42.7	42.3
9	43.3	42.9	42.3	42.0	41.9	41.8	40.9	40.0	40.5	40.1	39.4	39.3	39.0	38.4	37.9
10	31.3	31.3	31.2	31.2	31.2	31.1	30.7	30.6	30.5	30.2	30.2	30.2	30.1	29.7	29.4
11	32.0	32.1	31.7	30.5	31.1	30.7	31.0	31.6	32.0	33.0	33.6	33.9	33.3	33.4	33.3
12	31.6	31.4	31.5	31.5	31.8	31.9	32.2	32.3	32.5	33.4	34.3	34.5	34.3	34.4	35.4
13	38.5	38.7	39.5	39.5	39.5	39.9	40.0	40.3	40.9	41.0	41.7	41.8	42.4	42.7	42.7
14	45.0	45.3	44.9	44.8	44.6	44.4	44.0	43.9	43.6	43.6	43.7	43.3	43.0	42.8	42.4
15	40.7	40.2	39.9	40.0	40.3	40.2	40.3	40.3	40.4	40.7	41.1	41.1	41.1	41.1	41.5
16	42.8	42.9	43.3	43.8	44.3	44.9	45.2	45.0	46.3	47.1	47.3	47.4	47.9	48.6	48.9
17	49.6	49.4	49.2	49.0	49.0	49.0	48.9	48.7	48.7	49.0	48.7	48.6	48.4	48.1	47.8
18	50.9	51.2	51.3	51.6	51.7	51.9	52.1	52.1	52.1	52.7	53.6	53.3	53.1	53.2	54.0
19	53.8	53.9	53.8	53.4	53.1	53.1	52.9	52.9	52.9	52.9	52.9	52.5	52.3	52.0	51.9
20	52.0	51.9	52.0	51.9	51.4	51.0	51.0	50.9	50.9	50.9	51.3	51.7	51.7	51.8	52.2
21	55.1	56.6	56.8	57.0	56.9	56.9	56.8	56.2	55.9	55.8	55.1	54.8	53.9	53.1	52.3
22	44.3	44.7	44.8	44.9	45.0	45.2	45.5	45.3	45.4	45.9	46.2	46.3	46.5	46.8	46.8
23	46.8	46.7	46.6	46.1	45.9	45.7	45.3	44.7	44.4	44.0	43.9	43.8	43.0	43.0	42.7
24	40.1	39.8	39.8	39.5	39.1	38.9	38.8	38.3	38.1	38.1	38.0	37.7	37.1	37.1	36.5
25	33.5	33.1	32.9	32.6	32.6	33.0	33.3	33.9	34.1	34.3	34.4	35.2	35.2	35.1	36.1
26	36.7	36.5	36.1	35.9	35.3	35.0	34.4	34.0	34.0	34.1	34.1	33.9	34.1	34.6	34.5
27	36.2	36.1	36.3	36.4	36.1	36.0	36.1	36.0	36.1	36.2	36.5	36.2	35.9	36.1	36.2
28	34.8	34.4	34.1	33.8	33.4	33.2	33.1	32.9	32.8	32.3	32.1	31.3	31.0	30.2	29.5
29	26.1	23.1	28.6	29.0	30.8	31.3	32.0	32.4	33.1	33.6	34.1	34.0	34.0	33.9	33.5
30	10.2	10.0	29.6	29.9	29.4	29.6	29.9	29.9	10.2	30.4	30.6	31.2	31.6	32.4	33.2
Med.	739.42	739.49	739.47	739.44	739.55	739.59	739.65	739.58	739.77	740.01	740.19	740.16	740.10	740.12	740.10

Absolutes Maximum = 757.0 (21: 4^h 0^m a)

Luftdruck bei 0°

Barometer: 13.0 m. über Meeresniveau

Bar.: 731.30 — 37.47 — 43.64 — 49.81 — 55.98 — 62.15
Korr.: +1.19; +1.20; +1.21; +1.22; +1.23

1903 Juni

4 p. m.	5 p. m.	6 p. m.	7 p. m.	8 p. m.	9 p. m.	10 p. m.	11 p. m.	Mtn.	Med.	Maximum		Minimum		Diff.	Dat.
										h. m.	mm.	h. m.	mm.		
732.7	732.3	731.4	730.0	729.4	728.2	727.1	725.6	724.8	731.60	0.0 p	734.0	12.0 p	724.8	9.2	1
15.6	14.9	13.6	13.7	13.4	12.7	11.6	11.0	10.8	17.10	1.0 a	23.7	12.0 p	10.8	12.9	2
22.7	24.3	26.2	27.4	28.9	29.7	31.1	33.0	34.4	20.72	12.0 p	34.4	1.0 a	08.8	25.6	3
50.1	50.5	50.9	50.4	49.7	49.4	48.7	48.4	47.7	46.08	6.0 p	50.9	1.0 a	35.6	15.3	4
45.6	45.7	45.9	45.8	45.2	44.9	44.2	43.8	43.6	45.50	1.0 a	47.3	12.0 p	43.6	3.7	5
46.2	47.1	47.7	48.6	48.7	49.3	49.1	49.4	50.1	44.98	12.0 p	50.1	7.0 a	41.3	8.8	6
49.9	49.4	48.9	48.7	48.6	47.9	47.4	46.8	46.3	50.19	5.0 a	52.2	12.0 p	46.3	5.9	7
42.3	42.2	42.9	43.4	43.4	43.7	43.3	43.4	43.5	43.44	1.0 a	45.9	1.0 p	42.2	3.7	8
37.4	36.7	36.1	35.2	34.6	34.0	33.2	32.4	31.9	38.38	1.0 a	43.3	12.0 p	31.9	11.4	9
29.5	29.5	30.1	30.3	30.9	31.2	31.4	31.3	31.8	30.59	12.0 p	31.8	2.0 p	29.4	2.4	10
33.3	33.2	33.1	33.0	32.3	32.2	32.2	32.0	31.6	32.34	0.0 p	33.9	4.0 a	30.5	3.4	11
35.5	36.1	36.3	36.6	37.0	37.4	37.8	38.1	38.2	34.42	12.0 p	38.2	2.0 a	31.4	6.8	12
43.0	43.1	44.0	44.8	44.8	44.9	44.5	44.8	44.9	42.00	9.0 p	44.9	1.0 a	38.5	6.4	13
42.1	42.1	42.0	41.9	41.9	41.9	41.5	41.1	40.9	43.11	2.0 a	45.3	12.0 p	40.9	4.4	14
41.5	41.7	41.6	41.6	41.4	41.9	42.0	42.3	42.7	41.07	12.0 p	42.7	3.0 a	41.9	0.8	15
49.0	49.4	49.9	49.9	49.6	50.0	49.8	49.7	49.9	47.20	9.0 p	50.0	1.0 a	42.8	7.2	16
47.9	48.4	48.9	49.0	48.9	49.7	50.1	50.4	50.7	49.00	12.0 p	50.7	3.0 p	47.8	2.9	17
54.4	54.7	54.3	54.1	54.4	54.3	54.2	53.9	53.8	53.04	5.0 p	54.7	1.0 a	50.9	3.8	18
51.9	52.0	52.2	52.5	52.0	52.0	51.9	51.9	51.9	52.61	2.0 a	53.9	3.0 p	51.9	2.0	19
52.7	53.2	53.2	53.5	53.7	54.1	54.6	55.0	55.3	52.41	12.0 p	55.3	9.0 a	50.9	4.4	20
51.5	50.6	49.3	47.9	47.0	45.6	44.9	44.0	44.1	52.42	4.0 a	57.0	11.0 p	44.0	13.0	21
46.9	47.0	47.0	47.3	47.4	47.4	47.3	47.1	46.9	46.16	9.0 p	47.4	1.0 a	44.3	3.1	22
42.6	42.4	42.1	41.8	41.8	41.7	41.3	40.9	40.7	43.66	1.0 a	46.8	12.0 p	40.7	6.1	23
36.4	36.2	36.2	36.0	35.3	35.0	34.6	34.1	33.9	37.15	1.0 a	40.1	12.0 p	33.9	6.2	24
36.4	37.1	37.3	37.5	37.5	37.2	37.1	37.1	37.1	35.15	7.0 p	37.5	4.0 a	32.6	4.9	25
35.0	35.1	35.5	36.0	36.1	36.2	36.3	36.3	36.4	35.25	1.0 a	36.7	0.0 p	33.9	2.8	26
36.3	36.4	36.7	36.4	36.2	36.0	35.9	35.2	35.0	36.10	6.0 p	36.7	12.0 p	35.0	1.7	27
29.1	28.1	27.1	25.7	25.1	24.8	24.7	24.8	25.2	30.15	1.0 a	34.8	10.0 p	24.7	10.1	28
33.2	33.2	32.7	32.4	32.3	31.8	31.2	30.9	30.6	31.78	11.0 a	34.1	1.0 a	26.1	8.0	29
34.0	34.5	35.3	35.9	35.4	35.1	34.3	33.7	33.2	32.06	7.0 p	35.9	5.0 a	29.4	6.5	30
740.16	740.24	740.28	740.24	740.10	740.01	739.78	739.61	739.60	739.86		743.01		736.23	6.78	Med.
Absolutes Minimum = 708.8 (3: 1 ^h 0 ^m a)															

Luftdruck bei 0°

Barometer: 13,0 m. über Meeresniveau

Juli 1903

Korr. f. Red. zu | Bar: 706.60 — 12.78 — 18.95 — 25.13 — 31.30
Normalschwere | Korr. +1.15; +1.16; +1.17; +1.18;

Dat.	1 a. m.	2 a. m.	3 a. m.	4 o. m.	5 a. m.	6 a. m.	7 o. m.	8 a. m.	9 a. m.	10 a. m.	11 a. m.	Mittg.	1 p. m.	2 p. m.	3 p. m.
	mm.	mm.	mm.	mm.	mm.	mm.	mm.	mm.	mm.	mm.	mm.	mm.	mm.	mm.	mm.
1	733.0	732.9	732.3	732.5	732.3	732.3	732.5	733.1	733.3	733.6	733.5	733.9	734.0	734.9	735.0
2	33.2	32.9	31.0	29.9	28.7	27.9	27.1	26.4	25.6	25.1	24.0	23.5	22.2	21.1	20.3
3	23.3	23.4	24.2	24.5	25.1	25.7	26.5	27.1	27.7	28.6	29.2	30.0	30.5	30.7	32.0
4	36.0	36.3	36.9	37.2	37.3	37.6	38.1	38.1	38.0	37.5	38.1	38.0	37.9	37.9	38.2
5	38.9	39.0	39.1	39.3	39.9	39.8	39.8	40.9	41.1	41.6	42.1	42.0	41.9	41.5	41.2
6	39.3	38.9	37.7	37.2	37.4	36.2	35.1	34.9	34.3	33.9	33.4	33.1	32.6	32.5	32.1
7	29.5	29.3	29.2	29.1	29.0	28.8	29.0	28.8	29.1	29.1	29.1	28.9	28.8	29.0	29.5
8	37.2	37.7	38.3	38.9	39.3	39.5	39.8	39.8	39.8	39.8	39.8	39.9	39.9	40.0	39.9
9	39.8	39.8	39.3	38.9	38.4	37.8	37.6	36.9	36.2	35.9	35.3	34.6	33.7	32.7	31.4
10	25.2	27.1	27.1	28.3	28.6	29.8	30.7	31.2	32.1	33.1	34.4	35.0	35.9	36.5	37.2
11	37.2	36.8	36.7	36.1	35.9	35.5	35.1	34.5	34.0	33.7	33.1	33.0	32.9	32.4	32.2
12	33.0	33.1	33.7	33.4	33.9	34.1	34.4	34.8	35.0	35.2	35.3	35.1	35.2	35.7	36.3
13	37.2	37.1	36.7	36.1	35.7	34.7	34.8	34.3	34.0	33.7	33.3	33.2	33.1	31.6	32.2
14	24.6	25.7	27.5	28.1	28.7	29.8	30.9	31.4	32.2	32.5	33.4	34.1	35.0	35.5	36.4
15	37.7	36.6	35.6	35.0	34.7	33.3	32.6	32.3	32.8	32.9	32.6	32.3	32.3	32.4	32.4
16	34.0	34.4	35.1	35.3	35.7	36.1	36.4	36.7	37.3	38.7	39.0	39.8	40.0	40.6	41.4
17	43.8	43.1	42.6	42.1	41.1	40.7	40.2	40.0	39.9	39.8	39.8	39.3	39.2	39.3	39.1
18	38.3	37.9	38.1	38.3	38.3	38.4	38.6	38.4	39.0	38.8	38.5	38.1	38.3	38.3	38.0
19	38.3	37.9	37.9	37.7	37.3	37.2	37.5	37.3	37.3	37.4	37.5	37.6	37.6	37.7	37.5
20	31.3	31.2	31.5	30.7	29.3	28.9	28.3	29.1	29.3	29.7	30.0	29.9	30.0	30.0	30.1
21	34.8	35.7	36.5	37.1	37.9	38.1	38.3	38.3	38.2	38.0	37.4	36.8	35.9	35.0	34.0
22	35.3	36.3	37.6	38.9	39.7	40.3	40.9	41.3	41.0	41.0	40.7	40.3	40.1	40.4	39.9
23	25.7	25.4	24.6	24.0	23.2	23.0	22.7	22.5	23.2	24.2	24.9	25.2	25.9	26.5	27.5
24	37.4	37.4	37.3	37.1	37.3	38.1	38.7	39.1	39.8	39.8	40.6	41.0	40.9	40.9	40.8
25	38.3	38.4	38.2	37.5	37.2	36.9	36.6	36.4	36.7	37.2	37.2	37.2	37.1	37.0	36.4
26	35.9	35.2	34.2	33.4	32.6	31.6	30.6	29.9	28.9	28.4	27.9	27.0	26.2	24.9	23.2
27	16.5	17.1	17.5	18.2	18.2	18.9	19.1	20.0	20.8	20.9	21.0	21.1	21.5	21.6	21.8
28	22.0	22.1	22.7	23.0	23.7	24.3	25.3	26.0	26.2	27.5	28.0	29.2	29.8	31.2	32.5
29	41.1	41.2	41.9	42.4	43.0	43.4	43.2	43.1	43.7	44.2	45.0	45.5	46.2	47.2	48.2
30	51.3	51.3	51.4	51.1	50.8	51.8	51.8	52.6	52.9	53.5	52.8	52.4	53.1	53.2	53.9
31	56.3	56.2	55.5	55.1	54.7	54.0	53.2	53.4	53.7	53.9	53.7	53.2	53.5	52.6	52.5
Med.	735.01	735.08	735.09	735.05	735.00	734.98	735.01	735.12	735.26	735.46	735.50	735.49	735.52	735.50	735.58

Absolutes Maximum = 756.3 (31: 1^h 0^m a)

Luftdruck bei 0°

Barometer: 13.0 m. über Meeresniveau

Bar. 731.30 — 37.47 — 43.64 — 49.81 — 55.98 — 62.15
Korr. +1.19; +1.20; +1.21; +1.22; +1.23

1903 Juli

4 p. m.	5 p. m.	6 p. m.	7 p. m.	8 p. m.	9 p. m.	10 p. m.	11 p. m.	Mttm.	Med.	Maximum		Minimum		Diff.	Dat.
mm.	mm.	mm.	mm.	mm.	mm.	mm.	mm.	mm.	mm.	h. m.	mm.	h. m.	mm.	mm.	
735.8	736.2	736.3	736.4	736.3	736.0	735.3	734.2	733.9	734.15	7.0 p	736.4	5.0 a	732.3	4.1	1
20.2	21.4	21.4	22.3	22.4	22.2	22.2	22.2	22.6	24.82	1.0 a	33.2	5.0 p	21.4	11.8	2
32.7	34.2	34.7	35.1	35.1	35.3	36.2	36.6	36.4	30.20	11.0 p	36.6	1.0 a	23.3	13.3	3
38.2	38.3	38.2	38.0	38.1	37.8	37.6	38.1	38.4	37.74	12.0 p	38.4	1.0 a	36.0	2.4	4
41.6	41.1	41.3	41.5	41.4	41.2	40.7	40.3	39.8	40.71	11.0 a	42.1	1.0 a	38.9	3.2	5
32.4	32.3	32.2	32.1	31.9	31.5	31.1	30.2	30.0	33.85	1.0 a	39.3	12.0 p	30.0	9.3	6
30.1	30.9	32.3	33.9	34.0	34.5	35.1	35.9	36.2	30.80	12.0 p	36.2	1.0 p	28.8	7.4	7
(39.9)	(39.9)	(39.9)	(39.9)	(39.9)	(39.8)	(39.8)	(39.8)	(39.8)	39.51	5.0 p	40.3	1.0 a	37.2	3.1	8
31.1	30.0	28.7	28.1	26.8	26.6	25.2	24.8	24.9	33.10	1.0 a	39.8	11.0 p	24.8	15.0	9
38.1	38.4	38.6	38.9	38.9	38.6	38.4	38.2	38.0	34.10	7.0 p	38.9	1.0 a	25.2	13.7	10
32.1	32.1	32.1	32.0	31.9	31.5	31.3	32.2	32.5	33.64	1.0 a	37.2	9.0 p	31.5	5.7	11
36.2	36.8	37.0	37.2	37.3	37.3	37.3	37.1	37.1	35.48	9.0 p	37.3	1.0 a	33.0	4.3	12
31.3	30.6	29.6	28.0	26.5	27.3	25.4	23.7	25.1	31.68	1.0 a	37.2	10.0 p	23.4	13.8	13
36.8	37.5	38.1	38.5	38.9	38.9	38.9	38.7	38.4	33.77	9.0 p	38.9	1.0 a	24.6	14.3	14
32.4	32.5	32.8	33.0	33.2	33.3	33.3	33.7	34.0	33.49	1.0 a	37.7	8.0 a	32.3	5.4	15
42.4	43.2	43.6	43.9	44.1	44.4	44.5	44.4	44.1	39.80	10.0 p	44.5	1.0 a	34.0	10.5	16
38.7	38.7	38.7	38.1	38.4	38.3	38.1	38.1	38.1	39.80	1.0 a	43.8	12.0 p	38.1	5.7	17
38.7	37.8	37.5	37.8	37.9	37.5	37.5	38.7	38.4	38.21	9.0 a	39.0	5.0 p	37.0	2.0	18
37.5	36.5	36.3	36.1	35.5	34.5	33.8	32.8	32.1	36.62	1.0 a	38.3	12.0 p	32.1	6.2	19
30.2	30.0	30.0	30.0	31.2	32.2	33.1	33.4	34.4	30.58	12.0 p	34.4	7.0 a	28.3	6.1	20
33.9	32.5	31.5	30.4	30.2	30.9	31.3	32.9	34.1	34.99	7.0 a	38.3	8.0 p	30.2	8.1	21
38.6	37.8	36.2	34.0	31.2	29.2	27.0	25.9	25.9	36.65	8.0 a	41.3	12.0 p	35.9	5.4	22
28.2	29.2	29.9	33.2	35.2	35.6	36.2	36.4	37.1	27.89	12.0 p	37.1	8.0 a	22.5	14.6	23
40.8	40.7	40.6	40.5	40.1	39.5	39.4	39.4	39.3	39.44	0.0 p	41.0	4.0 a	37.1	3.9	24
36.4	36.5	36.5	36.5	36.4	36.5	36.7	36.4	36.3	36.94	2.0 a	38.4	12.0 p	36.3	2.1	25
21.8	20.5	19.5	17.5	16.3	15.1	14.5	15.0	15.7	25.24	1.0 a	35.9	10.0 p	14.5	21.4	26
21.8	21.6	21.1	21.1	21.2	21.2	21.3	21.6	21.8	20.29	12.0 p	21.8	1.0 a	16.5	5.3	27
34.0	35.8	37.0	38.3	39.0	39.7	40.4	40.7	40.4	30.78	11.0 p	40.7	1.0 a	22.0	18.7	28
48.7	50.4	50.6	51.3	51.4	51.5	51.5	51.1	51.0	46.53	10.0 p	51.5	1.0	41.1	10.4	29
54.0	54.7	54.8	54.7	54.7	54.8	55.5	55.6	56.1	53.28	12.0 p	56.1	5.0 a	50.8	5.3	30
52.2	52.3	52.2	51.9	51.7	51.4	51.1	50.7	50.5	53.15	1.0 a	56.3	12.0 p	50.5	5.8	31
735.70	735.82	735.78	735.81	735.71	735.52	735.44	735.45	735.56	735.39		739.61		731.28	8.33	Med.

Absolutes Minimum = 714.5 (26 : 10^h0^mp)

Luftdruck bei 0°

Barometer: 13.0 m. über Meeresniveau

Augusti 1903

Korr. f. Red zu Bar.: 706.60 — 12.78 — 18.95 — 25.13 — 31.30
Normalschwere f Korr.: +1.15; +1.16; +1.17; +1.18;

Dat.	1 a. m.	2 a. m.	3 a. m.	4 a. m.	5 a. m.	6 a. m.	7 a. m.	8 a. m.	9 a. m.	10 a. m.	11 a. m.	Mtg.	1 p. m.	2 p. m.	3 p. m.
	mm.	mm.	mm.	mm.	mm.	mm.	mm.	mm.	mm.	mm.	mm.	mm.	mm.	mm.	mm.
1	750.1	749.7	749.1	748.8	748.6	749.9	747.7	747.1	746.9	746.8	746.6	746.1	746.0	745.7	745.7
2	48.6	48.4	48.7	49.1	49.1	49.5	49.7	49.8	49.8	49.8	49.7	49.4	48.8	48.6	48.3
3	43.9	43.6	43.1	42.5	42.0	41.7	41.4	40.9	40.6	39.9	39.8	39.5	38.8	38.6	38.2
4	41.2	41.2	41.4	41.4	40.9	40.8	40.8	40.1	39.8	39.0	37.9	37.5	36.0	35.0	33.8
5	26.3	25.9	24.3	22.0	20.8	20.5	20.5	19.7	19.0	17.5	17.5	17.3	17.0	16.9	16.0
6	15.3	15.6	16.3	16.8	17.1	18.0	19.0	20.2	20.7	21.0	22.2	23.1	22.4	23.1	24.4
7	32.7	33.5	35.0	36.0	37.0	37.6	38.9	39.7	40.1	41.3	41.5	41.9	42.0	42.6	43.1
8	42.1	41.6	40.6	39.8	39.0	38.2	38.0	37.4	37.4	37.4	37.4	37.9	37.7	37.4	37.0
9	36.5	36.2	36.0	35.9	35.4	35.2	35.2	35.3	35.3	35.6	35.8	35.9	35.8	35.8	35.1
10	38.1	38.1	38.0	38.0	37.9	37.9	37.9	37.8	37.7	37.6	37.7	37.6	37.4	37.3	37.4
11	36.9	36.8	36.3	36.2	35.9	35.6	34.9	34.6	34.3	34.0	33.6	33.4	33.2	33.0	32.9
12	32.1	32.0	31.9	31.8	31.5	31.4	30.9	30.8	30.2	29.8	29.8	29.7	29.7	29.6	29.6
13	28.7	30.3	31.7	32.2	33.6	33.8	32.8	32.0	31.8	31.4	31.7	31.9	32.0	32.2	32.8
14	36.4	36.8	35.7	35.2	34.4	35.0	32.9	29.9	29.4	30.9	29.7	29.1	27.9	25.9	23.9
15	26.9	26.9	27.0	26.8	26.9	27.1	27.2	26.8	25.9	26.0	25.2	25.3	24.3	24.0	23.9
16	31.8	31.7	31.9	32.5	32.8	33.1	33.5	33.9	33.9	33.3	34.4	33.6	33.8	34.3	34.0
17	30.3	29.7	28.9	28.9	27.7	27.9	26.8	26.5	26.6	27.1	27.0	27.1	27.6	28.0	27.9
18	27.4	27.4	27.8	28.6	29.9	30.0	31.0	31.8	32.6	33.3	33.7	34.4	34.8	35.1	36.5
19	42.4	43.2	44.1	45.4	46.4	47.2	48.0	48.6	48.8	49.7	50.2	50.8	51.0	51.9	52.5
20	57.6	57.5	57.5	57.5	57.7	58.0	58.2	59.6	59.7	59.7	61.0	60.8	60.7	60.6	61.2
21	60.3	59.7	59.3	58.7	58.4	57.9	57.3	56.8	56.2	55.5	54.8	54.0	53.5	52.6	52.2
22	45.5	43.8	44.9	44.2	43.8	43.1	42.2	41.8	41.3	41.0	40.7	40.5	45.2	39.8	39.8
23	37.9	37.8	37.9	38.0	38.1	38.1	38.1	38.2	38.3	38.3	38.6	39.2	39.6	39.6	40.0
24	39.9	39.6	39.8	39.8	40.0	41.2	41.0	40.4	40.2	40.5	40.7	41.3	41.7	41.8	42.3
25	42.5	42.7	42.6	41.8	43.2	43.2	41.5	41.9	42.1	42.8	43.2	42.5	42.5	43.2	43.7
26	42.6	43.1	43.6	43.4	43.6	43.4	43.4	43.2	43.4	43.4	43.6	43.6	44.2	43.5	43.5
27	43.0	43.1	42.9	42.6	42.5	42.5	42.5	42.3	42.8	42.8	42.9	42.7	42.6	43.2	43.5
28	45.6	45.6	45.6	46.0	46.0	46.3	46.5	46.7	47.1	47.4	47.7	48.0	48.3	48.3	48.5
29	51.5	51.6	52.3	52.3	51.9	52.4	52.7	52.8	52.9	53.1	53.3	53.5	53.5	53.5	53.5
30	53.6	53.5	53.4	53.4	53.4	53.7	53.7	53.6	53.7	53.9	54.0	54.0	53.5	53.5	53.2
31	47.9	47.4	46.5	46.2	45.9	45.5	45.1	45.1	45.5	46.3	46.4	47.1	47.5	48.5	49.3
Med.	739.86	739.81	739.81	739.74	739.72	739.80	739.65	739.53	739.52	739.55	739.62	739.63	739.65	739.48	739.51
Absolutes Maximum = 761.6 (20: 7 ^h 0 ^m p)															

Luftdruck bei 0°
Barometer: 13,0 m. über Meeresniveau

Bar.: 731.30 — 37.47 — 43.64 — 49.81 — 55.98 — 62.15
Korr.: + 1.19; + 1.20; + 1.21; + 1.22; + 1.23

1903 Augusti

4 p. m.	5 p. m.	6 p. m.	7 p. m.	8 p. m.	9 p. m.	10 p. m.	11 p. m.	Mtn.	Med.	Maximum		Minimum		Diff.	Dat.
mm.	mm.	mm.	mm.	mm.	mm.	mm.	mm.	mm.	mm.	h. m.	mm.	h. m.	mm.	mm.	
745.6	745.7	745.8	746.0	746.1	746.7	747.1	747.7	747.7	747.18	1.0 a	750.1	4.0 p	745.6	4.5	1
47.8	47.5	47.3	46.9	46.4	45.6	45.4	44.9	44.7	43.08	9.0 a	49.8	12.0 p	44.7	5.1	2
38.0	38.8	39.0	39.5	39.6	39.9	40.0	40.2	40.9	40.43	1.0 a	43.9	3.0 p	38.2	5.7	3
32.2	30.8	30.0	29.7	29.0	28.8	28.0	27.4	27.0	35.40	3.0 a	41.4	12.0 p	27.0	14.4	4
16.0	16.1	15.9	15.4	14.9	14.2	14.1	14.7	15.0	18.23	1.0 a	26.3	10.0 p	14.1	12.2	5
26.2	27.5	27.9	28.6	29.0	29.6	30.7	31.4	31.9	23.25	12.0 p	31.9	1.0 a	15.3	16.6	6
43.4	43.3	43.4	43.6	43.6	43.6	43.1	43.0	42.7	40.53	9.0 p	43.6	1.0 a	32.7	10.9	7
37.0	37.0	36.9	37.0	37.0	37.0	36.9	36.9	36.5	37.96	1.0 a	42.1	12.0 p	36.5	5.6	8
36.6	36.9	37.1	37.2	37.4	37.9	37.9	38.1	38.1	36.38	12.0 p	38.1	6.0 a	35.2	2.9	9
37.5	37.6	37.8	37.8	37.7	37.2	37.2	37.2	37.3	37.65	1.0 a	38.1	10.0 p	37.2	0.9	10
32.9	32.9	32.6	32.9	32.9	32.8	32.2	32.1	32.0	33.95	1.0 a	36.9	12.0 p	32.0	4.9	11
29.4	28.9	28.2	28.2	27.7	26.8	26.5	25.6	25.4	29.48	1.0 a	32.1	11.30 p	25.0	7.1	12
33.0	33.7	34.0	34.6	34.8	34.4	34.6	34.9	35.7	32.86	12.0 p	35.7	1.0 a	28.7	7.0	13
22.3	22.8	22.6	22.9	23.1	23.9	24.9	25.9	26.8	28.68	2.0 a	36.8	4.0 p	22.3	14.5	14
24.5	25.6	26.7	29.2	31.2	31.9	32.5	32.9	32.7	27.39	11.0 p	32.9	3.0 p	23.9	9.0	15
34.2	34.6	34.2	34.3	33.9	33.2	32.8	32.0	31.7	33.31	5.0 p	34.6	2.0 a	31.7	2.9	16
28.0	28.4	27.9	27.6	27.3	27.0	26.8	27.0	27.6	27.73	1.0 a	30.3	8.0 a	26.5	3.8	17
37.1	38.0	38.2	39.0	39.4	39.8	39.8	39.8	41.4	34.48	12.0 p	41.4	1.0 a	27.4	14.0	18
52.7	53.2	53.8	54.3	54.8	55.5	55.7	56.5	56.6	50.55	12.0 p	56.6	1.0 a	42.4	14.2	19
61.4	61.5	61.6	61.6	61.5	61.4	61.3	61.2	60.7	59.98	7.0 p	61.6	2.0 a	57.5	4.1	20
51.6	51.2	50.5	49.5	49.1	48.3	47.6	47.1	47.0	53.71	1.0 a	60.3	12.0 p	47.0	13.3	21
39.7	39.5	39.1	38.9	38.2	38.2	38.0	37.8	37.8	41.03	1.0 a	45.5	12.0 p	37.8	7.7	22
39.7	40.3	40.6	39.8	39.9	40.3	40.1	39.8	39.8	39.08	6.0 p	40.6	2.0 a	37.8	2.8	23
42.6	42.5	42.7	41.8	41.5	42.0	42.2	42.3	42.2	41.25	6.0 p	42.7	2.0 a	39.6	3.1	24
43.7	44.2	43.5	42.9	43.0	42.9	42.7	43.5	43.4	42.88	5.0 p	44.2	7.0 a	41.5	2.7	25
43.5	43.8	43.7	43.5	43.5	43.5	43.7	43.5	43.2	43.48	1.0 p	44.2	1.0 a	42.6	1.6	26
43.7	43.5	43.7	44.1	44.4	44.8	45.5	45.6	45.7	43.45	12.0 p	45.7	8.0 a	42.3	3.4	27
48.7	49.5	49.6	50.1	50.4	50.6	50.9	51.3	51.5	48.18	12.0 p	51.5	1.0 a	45.6	5.9	28
53.5	53.6	53.7	53.8	53.9	53.9	53.7	53.6	53.7	53.09	9.0 p	53.9	1.0 a	51.5	2.4	29
52.7	52.5	52.3	51.8	51.2	50.5	50.2	49.3	48.6	52.63	11.0 a	54.0	12.0 p	48.6	5.4	30
49.6	49.9	50.5	51.3	50.7	51.3	51.6	52.0	52.0	48.30	12.0 p	52.0	7.0 a	45.1	6.9	31
739.51	739.72	739.70	739.80	739.78	739.79	739.80	739.85	739.91	739.70		743.19		736.24	6.95	Med.
Absolutes Minimum = 714.1 (5: 10 ^h m p)															

Luftdruck bei 0°

Barometer: 13,0 m. über Meeresniveau

September 1903

Korr. f. Red. zu | Bar.: 760.60 — 12.78 — 18.95 — 25.13 — 31.30
Normalschwere | Korr.: +1.15; +1.16; +1.17; +1.18;

Dat.	1 a. m.	2 a. m.	3 a. m.	4 a. m.	5 a. m.	6 a. m.	7 a. m.	8 a. m.	9 a. m.	10 a. m.	11 a. m.	Mitg.	1 p. m.	2 p. m.	3 p. m.
	mm.	mm.	mm.	mm.	mm.	mm.	mm.	mm.	mm.	mm.	mm.	mm.	mm.	mm.	mm.
1	751.9	751.5	751.6	751.6	750.9	750.7	750.6	750.6	750.5	750.3	750.0	749.5	748.6	748.3	747.6
2	43.7	43.5	43.7	43.7	43.7	43.6	43.7	43.7	43.3	43.2	43.3	43.3	42.7	42.5	42.4
3	41.7	42.1	43.6	44.9	45.5	46.5	47.4	48.0	48.4	49.2	50.1	49.9	49.7	49.3	49.3
4	47.5	47.0	46.7	46.6	46.4	46.4	46.3	46.3	46.3	45.8	45.9	45.4	45.5	45.2	44.9
5	43.7	43.6	44.2	44.2	44.1	44.2	44.2	44.2	43.5	43.3	43.3	42.3	42.3	42.1	41.3
6	37.8	37.6	37.5	37.8	38.8	38.9	39.0	40.3	40.9	40.9	42.1	42.2	42.8	43.5	44.3
7	51.3	52.9	53.3	54.5	55.7	56.2	56.8	57.3	58.1	58.3	59.1	59.3	59.9	60.3	60.4
8	59.5	59.2	58.5	58.2	58.0	57.5	56.7	56.5	56.2	56.0	55.6	55.3	54.7	54.4	53.5
9	46.4	45.5	44.5	43.4	42.7	42.3	41.2	40.4	40.0	39.0	38.9	37.9	37.0	35.9	35.4
10	29.8	29.7	29.4	29.2	29.1	29.0	29.3	29.5	29.5	29.0	30.4	30.7	30.8	30.9	31.7
11	34.6	34.1	33.9	33.5	32.8	32.8	32.0	31.5	31.4	31.0	30.4	30.0	30.0	30.1	30.5
12	32.1	32.1	32.0	32.4	32.7	32.7	32.7	32.9	33.1	33.5	33.7	33.7	33.7	33.9	34.2
13	37.7	37.7	37.7	37.7	38.4	38.6	38.8	39.6	39.7	39.8	39.9	40.0	40.2	40.4	40.8
14	42.3	42.4	42.5	42.4	42.4	42.4	42.4	42.4	42.3	42.4	42.5	42.4	42.2	41.9	41.7
15	39.8	39.7	39.0	38.8	38.8	38.8	38.7	38.5	38.5	38.3	38.2	38.2	38.2	38.2	38.2
16	38.9	39.0	39.2	39.4	39.8	39.8	40.1	40.5	40.8	41.1	41.7	41.9	42.3	42.6	43.3
17	45.5	45.2	44.6	44.3	43.7	42.7	42.5	41.5	40.1	39.3	38.0	37.1	35.8	35.6	35.8
18	35.6	35.1	34.7	34.2	34.0	33.6	33.6	33.7	34.0	34.4	34.6	35.1	35.4	35.8	
19	36.8	36.3	35.3	34.1	32.8	31.0	29.8	28.7	28.5	28.0	28.0	28.0	28.1	28.1	28.7
20	35.2	36.8	37.5	37.5	38.0	39.0	39.6	39.8	40.7	41.6	42.5	42.7	43.5	43.5	44.2
21	45.6	45.5	45.5	45.4	45.4	45.3	45.0	44.7	44.7	45.3	45.3	45.3	45.2	45.0	44.9
22	45.3	45.2	45.2	45.3	45.5	45.5	45.5	45.5	45.7	45.7	45.6	45.5	45.3	45.4	45.2
23	44.6	44.5	44.4	44.4	44.2	44.1	44.1	44.2	44.2	44.4	44.6	44.7	45.2	45.9	46.7
24	50.8	51.2	51.1	50.8	50.6	50.7	50.6	50.5	50.6	50.7	50.6	50.5	50.3	49.9	49.7
25	43.4	42.3	40.9	40.2	38.8	38.0	37.0	36.4	35.7	34.0	34.4	34.6	34.8	34.6	34.8
26	37.2	37.8	37.9	37.9	38.0	38.5	38.8	38.9	39.1	39.5	39.7	39.8	39.8	40.3	40.4
27	37.7	36.8	35.8	35.0	34.6	34.0	33.2	32.8	32.6	31.8	31.8	32.0	32.3	33.0	33.6
28	32.5	32.4	32.3	32.1	32.1	31.9	31.9	31.7	31.8	31.3	32.2	32.2	32.2	33.1	33.4
29	38.9	39.3	39.6	39.8	39.8	39.9	39.9	40.0	39.9	39.8	39.9	39.9	39.8	39.5	39.3
30	37.0	37.0	36.7	36.2	35.6	35.2	35.0	34.6	34.4	34.5	34.4	34.3	34.3	34.2	34.7
Med.	741.49	741.43	741.29	741.19	741.10	740.99	740.88	740.84	740.81	740.70	740.88	740.77	740.77	740.78	740.92
Absolutes Maximum = 761.0 (7: 7 ^h 0 ^m p)															

Luftdruck bei 0°

Barometer: 13.0 m. über Meeresniveau

Bar.: 731.30 — 37.47 — 43.64 — 49.81 — 55.98 — 62.15
Korr.: +1.19; +1.20; +1.21; +1.22; +1.23

1903 September

4 p. m.	5 p. m.	6 p. m.	7 p. m.	8 p. m.	9 p. m.	10 p. m.	11 p. m.	Mtn.	Med.	Maximum		Minimum		Diff.	Dat.
mm.	mm.	mm.	mm.	mm.	mm.	mm.	mm.	mm.	mm.	h. m.	mm.	h. m.	mm.	mm.	
747.1	746.2	745.8	745.4	745.1	744.7	744.3	744.3	744.2	748.39	1.0 a	751.9	12.0 p	744.2	7.7	1
42.3	42.1	41.9	40.6	40.6	41.5	42.1	42.0	42.2	42.72	5.0 a	43.7	9.0 p	41.5	2.2	2
49.7	49.7	49.7	49.6	49.4	49.1	48.7	48.2	48.3	47.83	11.0 a	50.1	1.0 a	41.7	8.4	3
45.1	44.8	45.1	45.1	44.7	44.6	44.3	44.1	44.0	45.58	1.0 a	47.5	12.0 p	44.0	3.5	4
41.1	41.3	41.1	40.6	40.3	39.8	39.6	38.9	38.4	42.15	4.0 a	44.3	12.0 p	38.4	5.9	5
44.9	45.5	46.2	47.4	48.2	48.9	49.7	49.7	50.7	43.15	12.0 p	50.7	3.0 a	37.5	13.2	6
60.5	60.6	60.8	61.0	60.2	60.7	60.4	60.2	59.7	58.23	7.0 p	61.0	1.0 a	51.3	9.7	7
53.2	52.4	51.6	50.8	50.2	49.4	48.6	47.3	47.3	54.19	1.0 a	59.5	12.0 p	47.3	12.2	8
34.7	34.0	33.0	32.3	31.8	31.3	30.9	30.4	30.1	37.46	1.0 a	46.4	12.0 p	30.1	16.3	9
32.1	32.8	33.6	34.3	32.2	34.3	34.6	34.6	34.7	31.30	12.0 p	34.7	6.0 a	29.0	5.7	10
30.7	31.0	31.2	31.4	31.7	31.8	32.0	32.0	31.9	31.76	1.0 a	34.6	1.0 p	30.0	4.6	11
34.2	34.8	35.2	35.7	35.9	36.4	37.0	37.4	37.4	34.14	12.0 p	37.4	3.0 p	33.0	5.7	12
41.4	42.1	42.3	42.4	42.4	42.5	42.6	42.6	42.4	40.32	10.0 p	42.6	2.0 a	37.7	4.9	13
42.1	42.3	42.2	41.8	41.6	41.2	40.7	40.4	40.2	41.96	3.0 a	42.5	12.0 p	40.2	2.3	14
38.3	38.5	38.8	38.8	38.8	38.8	38.9	38.9	38.9	38.69	1.0 a	39.8	1.0 p	38.2	1.6	15
43.6	44.0	44.5	44.7	45.2	45.3	45.5	45.5	45.6	42.26	12.0 p	45.6	1.0 a	38.9	6.7	16
33.7	33.9	34.2	34.6	34.5	34.5	34.6	34.9	35.5	38.42	1.0 a	45.5	4.0 p	33.7	11.8	17
36.3	37.2	37.3	37.7	38.0	38.0	38.0	37.9	37.6	35.65	9.0 p	38.0	7.0 a	33.6	4.4	18
28.8	30.0	31.0	31.9	32.5	33.0	32.8	33.8	34.8	31.28	1.0 a	36.8	11.0 a	28.0	8.8	19
44.5	44.7	45.0	45.5	45.5	45.5	45.5	45.8	45.7	42.08	11.0 p	45.8	1.0 a	35.2	10.6	20
44.8	44.8	45.1	45.2	45.2	45.3	45.3	45.3	45.3	45.18	1.0 a	45.6	8.0 a	44.7	0.9	21
45.3	45.3	45.3	45.3	45.0	45.0	45.0	45.0	44.7	45.30	10.0 a	45.7	12.0 p	44.7	1.0	22
47.2	47.7	48.3	48.9	49.4	49.6	49.6	50.4	50.6	46.33	12.0 p	50.6	7.0 a	44.1	6.5	23
49.3	49.2	48.8	48.6	47.8	47.7	46.7	45.5	44.7	49.45	2.0 a	51.2	12.0 p	44.7	6.5	24
35.0	35.1	35.0	35.5	36.2	36.3	36.6	36.8	36.8	36.80	1.0 a	43.4	10.0 a	34.0	9.4	25
40.4	40.5	40.4	40.3	40.1	39.8	39.8	39.2	38.8	39.29	5.0 p	40.5	1.0 a	37.2	3.3	26
33.9	33.7	33.5	33.8	33.8	33.3	33.2	33.1	32.8	33.67	1.0 a	37.7	10.30 a	31.6	6.1	27
34.4	35.5	35.9	36.6	37.3	37.6	37.9	38.4	38.8	34.07	12.0 p	38.8	10.0 a	31.3	7.5	28
39.2	39.0	39.0	38.7	38.7	38.5	38.3	38.1	37.2	39.25	8.0 a	40.0	12.0 p	37.2	2.8	29
35.2	35.3	35.5	35.6	35.7	35.6	35.6	36.0	36.1	35.36	1.0 a	37.0	2.0 p	34.2	2.8	30
740.98	741.13	741.24	741.34	741.27	741.33	741.29	741.22	741.18	741.08		744.31		737.88	6.43	Med.

Absolutes Minimum = 728.0 (19: 11^h 0^m a)

Luftdruck bei 0°

Barometer: 13,0 m. über Meeresniveau

Oktober 1903

Korr. f. Red. zu | Bar.: 706.60 — 12.78 — 18.95 — 25.13 — 31.30
Normalschwere f | Korr.: +1.15; +1.16; +1.17; +1.18;

Dat.	1 a. m.	2 a. m.	3 a. m.	4 a. m.	5 a. m.	6 a. m.	7 a. m.	8 a. m.	9 a. m.	10 a. m.	11 a. m.	Mtg.	1 p. m.	2 p. m.	3 p. m.
	mm.	mm.	mm.	mm.	mm.	mm.	mm.	mm.	mm.	mm.	mm.	mm.	mm.	mm.	mm.
1	736.0	736.1	736.0	735.9	736.1	736.2	736.2	736.5	737.3	738.0	738.4	738.3	739.1	740.2	741.7
2	46.8	46.9	48.0	48.4	49.1	49.7	50.1	50.7	51.5	52.0	52.1	52.9	53.1	53.9	54.0
3	53.6	53.1	52.7	52.5	52.1	51.9	51.7	51.5	51.1	50.9	50.6	50.0	49.8	49.6	49.4
4	46.7	46.8	46.9	46.5	46.5	45.8	44.9	44.8	44.4	44.0	44.1	43.9	43.7	43.6	42.7
5	39.2	38.3	37.0	36.3	36.4	36.4	36.3	36.6	37.1	37.2	37.3	37.2	37.1	37.2	37.3
6	37.6	37.7	37.5	37.5	37.3	37.3	37.0	36.5	36.4	36.3	36.1	35.4	35.1	34.8	34.3
7	33.2	33.4	34.0	33.7	33.6	33.8	34.3	34.3	34.7	34.8	34.9	35.2	35.2	35.3	35.5
8	38.3	38.3	38.4	38.5	38.8	38.8	39.0	38.9	38.7	39.1	38.5	38.5	38.3	38.3	38.3
9	37.2	37.0	36.7	36.7	36.6	36.5	36.4	36.3	36.1	35.7	35.6	35.5	35.3	35.3	35.2
10	33.2	33.3	33.3	33.3	34.0	34.2	34.3	34.7	35.0	35.3	35.5	35.5	35.8	36.3	36.6
11	38.6	38.9	39.0	39.3	39.4	39.8	39.9	40.2	40.4	40.8	41.1	41.4	41.8	42.0	42.4
12	44.1	44.0	43.9	43.7	43.4	43.2	43.0	43.0	42.5	42.3	42.0	41.7	41.5	41.1	41.0
13	42.2	42.3	42.8	43.1	43.7	43.8	44.8	44.8	45.1	45.6	45.9	46.0	46.7	47.0	47.7
14	52.0	51.8	51.8	51.7	51.5	51.2	50.7	49.8	48.8	48.7	47.8	47.0	46.8	45.9	45.3
15	38.1	36.8	36.8	35.8	36.4	37.8	38.3	39.8	41.1	42.1	42.9	43.7	44.2	44.5	44.8
16	45.8	45.7	45.5	45.6	45.7	45.6	45.2	44.8	44.4	43.9	43.6	43.0	42.1	42.0	42.1
17	39.8	39.5	38.9	38.8	38.3	38.0	37.6	37.3	36.4	36.1	35.0	33.6	33.3	32.5	30.3
18	29.1	29.2	30.1	30.4	31.0	31.3	32.2	32.2	32.4	32.9	33.1	33.2	33.4	34.3	34.4
19	32.6	32.0	32.1	32.8	33.1	32.1	32.0	32.1	31.9	32.4	33.0	33.7	34.2	35.4	36.2
20	40.2	40.7	41.7	42.4	43.5	44.3	45.2	45.5	46.0	46.7	47.3	47.8	48.1	48.3	48.8
21	50.0	49.9	49.8	49.8	49.7	49.3	48.8	48.1	47.4	46.9	46.0	44.8	44.0	43.7	43.0
22	38.5	38.3	38.2	37.8	37.6	37.5	37.3	37.2	37.2	37.2	37.0	37.0	37.5	38.1	38.4
23	34.8	33.4	32.1	31.0	28.3	26.3	25.1	21.0	17.0	15.7	13.3	11.4	10.4	10.3	10.0
24	15.1	15.0	14.1	13.5	13.0	12.5	12.5	13.3	14.0	14.3	14.6	14.9	16.1	16.5	16.9
25	20.8	21.3	22.3	22.6	23.3	24.3	24.7	25.3	25.7	26.0	27.0	27.3	27.8	28.1	28.5
26	29.3	29.4	29.4	29.5	29.7	29.8	29.8	29.4	29.3	29.4	29.5	29.9	30.4	30.8	31.2
27	33.2	32.4	32.3	31.4	30.3	30.0	30.0	30.4	31.4	32.3	33.4	33.4	33.7	34.4	34.7
28	35.8	35.2	34.5	34.0	33.1	32.3	31.2	30.8	30.0	29.4	29.4	28.4	28.0	26.7	26.6
29	26.4	26.6	26.7	27.0	26.5	26.3	25.4	24.8	23.4	22.2	21.7	21.2	21.3	21.4	21.7
30	29.5	30.3	32.0	33.2	34.4	35.4	36.4	36.6	37.3	38.0	38.9	39.4	40.0	40.5	41.2
31	45.4	45.0	44.4	43.3	42.5	42.0	40.9	40.1	39.3	38.3	37.2	36.6	35.6	35.7	35.6
Med.	737.52	737.37	737.58	737.28	737.25	737.21	737.14	737.01	736.88	736.92	736.86	736.70	736.75	736.89	736.96
Absolutes Maximum = 755.2 (2:7 ^h 0 ^m)															

Luftdruck bei 0°
Barometer: 13.0 m. über Meeresniveau

Bar.: 731.30 — 37.47 — 43.64 — 49.81 — 55.98 — 62.15
Korr.: +1.19; +1.20; +1.21; +1.22; +1.23

1903 Oktober

4 p. m.	5 p. m.	6 p. m.	7 p. m.	8 p. m.	9 p. m.	10 p. m.	11 p. m.	Mtg.	Med.	Maximum		Minimum		Diff.	Dat.
mm.	mm.	mm.	mm.	mm.	mm.	mm.	mm.	mm.	mm.	h. m.	mm.	h. m.	mm.	mm.	
741.4	741.1	741.9	741.9	742.9	743.8	744.0	744.2	744.9	739.50	12.0 p	744.9	1.0 a	736.0	8.9	1
54.7	54.9	55.0	55.2	55.1	54.9	54.3	54.3	53.9	52.17	7.0 p	55.2	1.0 a	46.8	8.4	2
48.8	48.3	48.1	47.6	47.5	47.3	46.9	46.9	46.9	49.95	1.0 a	53.6	12.0 p	46.1	7.5	3
42.7	41.4	41.2	41.6	41.1	41.0	40.7	40.8	40.1	43.57	3.0 a	46.9	12.0 p	40.1	6.8	4
37.2	37.3	37.3	37.4	37.4	37.5	37.5	37.5	37.7	37.24	1.0 a	39.2	4.0 a	36.3	2.9	5
34.2	34.0	34.1	33.8	33.6	33.9	33.3	33.1	33.0	35.41	2.0 a	37.7	12.0 p	33.0	4.7	6
35.8	36.2	36.3	36.5	36.9	37.3	37.5	37.7	38.1	35.34	12.0 p	38.1	1.0 a	33.2	4.9	7
38.3	38.3	38.2	38.2	38.2	37.9	37.5	37.3	37.3	38.33	7.0 a	39.0	12.0 p	37.3	1.7	8
34.5	34.3	34.4	34.3	34.3	34.1	33.6	33.5	33.2	35.35	1.0 a	37.2	12.0 p	33.2	4.0	9
36.7	37.4	37.8	38.2	38.2	38.3	38.3	38.3	38.4	35.91	12.0 p	38.4	1.0 a	33.2	5.2	10
42.7	43.1	43.7	43.9	44.0	44.0	44.0	44.1	44.2	41.61	12.0 p	44.2	1.0 a	38.6	5.6	11
41.9	40.9	40.8	40.9	40.9	41.0	41.3	41.6	41.7	42.14	1.0 a	44.1	6.0 p	40.8	3.3	12
48.2	49.9	50.1	51.0	50.9	50.9	51.2	51.8	52.0	46.98	12.0 p	52.0	1.0 a	42.2	9.8	13
44.7	43.8	43.2	42.4	41.2	39.8	39.8	39.2	38.7	46.39	1.0 a	52.0	12.0 p	38.7	13.3	14
45.0	45.5	45.6	45.8	45.8	45.9	45.9	45.7	45.8	42.25	10.0 p	45.9	4.0 a	35.8	10.1	15
42.5	42.3	42.1	41.7	41.4	40.9	40.7	40.4	39.9	43.20	1.0 a	45.8	12.0 p	39.9	5.9	16
30.7	29.5	28.9	28.7	28.6	28.1	28.2	28.2	28.3	33.52	1.0 a	39.8	9.0 p	28.1	11.7	17
34.7	34.1	34.8	34.9	34.9	34.0	33.6	33.3	33.0	32.77	7.0 p	34.9	1.0 a	29.1	5.8	18
36.9	37.5	38.5	38.6	38.9	39.2	39.4	39.6	39.8	35.17	12.0 p	39.8	9.0 a	31.9	7.9	19
49.0	49.3	49.4	49.9	50.0	50.2	50.2	50.1	50.0	46.86	9.0 p	50.2	1.0 a	40.2	10.0	20
42.2	41.7	41.1	40.7	40.1	39.8	39.3	39.0	38.7	44.74	1.0 a	50.0	12.0 p	38.7	11.3	21
38.7	39.1	39.4	39.8	39.6	39.3	38.5	37.6	36.8	38.07	7.0 p	39.8	12.0 p	36.8	3.0	22
09.5	10.3	11.1	12.8	13.4	13.8	14.8	15.0	14.9	18.15	1.0 a	34.8	4.0 p	09.5	25.3	23
16.6	17.5	17.5	17.7	18.1	18.5	19.3	19.5	20.3	15.89	12.0 p	20.3	7.0 a	12.5	7.8	24
29.2	29.6	29.7	30.0	29.8	28.8	29.5	29.4	29.3	26.68	7.0 p	30.0	1.0 a	20.8	9.2	25
31.4	32.1	32.9	33.3	34.2	34.3	34.4	34.3	34.0	31.15	10.0 p	34.4	1.0 a	29.3	5.1	26
34.8	35.0	35.1	35.2	35.4	35.6	35.7	36.0	36.2	33.43	12.0 p	36.2	6.0 a	30.0	6.2	27
26.3	25.6	25.5	25.9	25.9	26.2	26.0	25.8	25.8	29.10	1.0 a	35.8	6.0 p	25.5	10.3	28
22.0	22.8	23.9	24.3	25.3	25.9	26.7	27.5	28.7	24.57	12.0 p	28.7	0.0 p	21.2	7.5	29
41.9	42.6	43.6	44.1	44.3	44.7	45.1	45.4	45.2	39.15	12.0 p	45.2	1.0 a	29.5	15.7	30
35.4	35.1	35.4	35.4	35.6	35.9	36.1	36.2	36.4	38.48	1.0 a	45.1	5.0 a	35.4	9.7	31
737.05	737.11	737.31	737.47	737.53	737.51	737.54	737.52	737.51	737.19		741.27		733.22	8.05	Med.
Absolutes Minimum = 709.5 (23 : 4 ^h 0 ^m p)															

Luftdruck bei 0°

Barometer: 130 m. über Meeresniveau

November 1903

Korr. f. Red. zul Bar.: 706.60 — 12.78 — 18.95 — 25.13 — 31.30
Normalschwere / Korr.: +1.15; +1.16; +1.17; +1.18;

Dat.	1 a. m.	2 a. m.	3 a. m.	4 a. m.	5 a. m.	6 a. m.	7 a. m.	8 a. m.	9 a. m.	10 a. m.	11 a. m.	Mittg.	1 p. m.	2 p. m.	3 p. m.
	mm.	mm.	mm.	mm.	mm.	mm.	mm.	mm.	mm.	mm.	mm.	mm.	mm.	mm.	mm.
1	736.9	737.4	737.8	738.5	738.9	739.8	740.5	741.1	741.4	741.8	742.1	742.2	742.7	743.1	743.1
2	44.7	44.9	44.9	45.0	45.0	45.0	44.9	44.9	45.0	44.9	45.0	45.0	45.1	45.7	46.5
3	43.8	43.5	43.4	43.3	42.9	42.5	42.3	42.1	41.7	41.5	41.8	41.5	41.8	43.7	43.2
4	35.0	33.8	33.6	32.0	32.9	33.9	34.8	34.8	35.2	34.9	34.9	35.6	35.6	35.9	36.1
5	44.5	45.1	45.7	47.2	47.6	48.5	49.0	49.1	49.5	49.5	49.5	49.3	49.1	49.0	48.9
6	36.9	37.8	37.9	38.4	38.3	38.0	37.2	36.9	36.8	36.5	36.9	37.0	37.5	37.9	38.0
7	42.8	43.2	43.4	43.6	44.3	44.7	45.0	45.5	45.7	45.9	46.4	46.5	46.8	47.0	47.3
8	49.5	49.6	49.6	49.6	49.6	49.7	49.7	49.6	49.5	49.2	49.0	48.6	48.5	48.5	48.5
Med.	742.39	742.54	742.66	742.83	743.06	743.39	743.55	743.63	743.73	743.65	743.70	743.71	743.76	743.85	743.95
Absolutes Maximum = 749.7 (8:6 ^h 30 ^m p)															

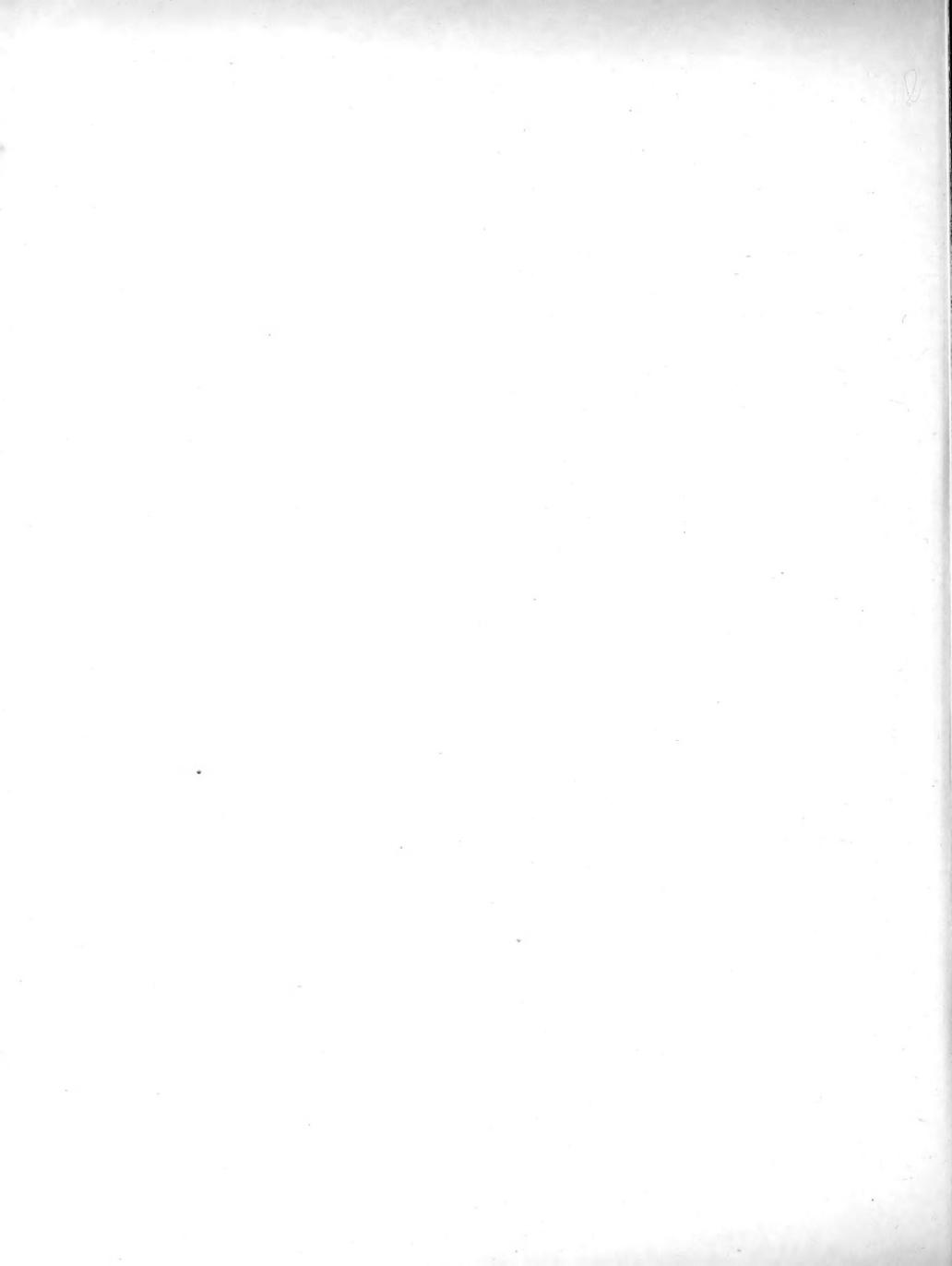
Luftdruck bei 0°

Barometer: 13.0 m. über Meeresniveau

Bar.: 731.30 — 37.47 — 43.64 — 49.81 — 55.98 — 62.15
 Korr.: + 1.19; + 1.20; + 1.21; + 1.22; + 1.23;

1903 November

4 p. m.	5 p. m.	6 p. m.	7 p. m.	8 p. m.	9 p. m.	10 p. m.	11 p. m.	Mtn.	Med.	Maximum		Minimum		Diff.	Dat.
mm.	mm.	mm.	mm.	mm.	mm.	mm.	mm.	mm.	mm.	h. m.	mm.	h. m.	mm.	mm.	
743.2	743.8	743.8	744.1	744.2	744.4	744.6	744.5	744.6	746.02	12.0 p	744.6	1.0 a	736.9	7.7	1
46.7	47.0	47.7	48.0	48.6	48.7	49.0	48.9	48.9	46.25	10.0 p	49.0	1.0 a	44.7	4.3	2
42.5	41.9	41.0	40.0	39.6	38.0	36.8	36.3	35.8	39.66	1.0 a	48.8	12.0 p	35.8	13.0	3
36.9	37.9	38.7	39.8	40.5	41.1	41.6	42.5	43.6	36.73	12.0 p	43.6	3.30 a	32.6	11.0	4
48.3	47.6	46.5	44.5	43.3	41.2	39.0	38.3	37.0	46.13	10.0 a	49.5	12.0 p	37.0	12.5	5
38.7	38.9	39.6	39.8	40.5	40.9	41.5	42.3	42.6	38.62	12.0 p	42.6	10.0 a	36.5	6.1	6
47.7	48.3	48.3	48.4	48.6	48.8	49.2	49.3	49.5	46.51	12.0 p	49.5	1.0 a	42.8	6.7	7
48.4	48.3	48.2	48.0	48.0	47.8	47.7	47.5	47.3	48.74	6.30	49.7	12.0 p	47.3	2.4	8
744.05	744.21	744.22	744.07	744.16	743.86	743.67	743.70	743.66	743.59		747.16		739.20	7.96	Med.
Absolutes Minimum = 732.6 (4 : 3 ^h 30 ^m a)															



TAB. II.

LUFTTEMPERATUR

Lufttemperatur

Höhe des Thermographen: 1.3 m. über Erdofläche; 12 m. über Meeresniveau

März 1902

Dat.	1 a. m.	2 a. m.	3 a. m.	4 a. m.	5 a. m.	6 a. m.	7 a. m.	8 a. m.	9 a. m.	10 a. m.	11 a. m.	Mittg.	1 p. m.	2 p. m.	3 p. m.
1
2
3	- 2.8	- 3.2	- 2.9	- 2.9	- 3.0	- 2.6	- 2.8	- 0.8	+ 0.1	+ 8.3	- 0.2	+ 0.9	+ 1.1	+ 0.5	+ 0.5
4	- 4.0	- 4.8	- 4.4	- 4.2	- 5.7	- 1.2	- 3.2	- 4.3	- 4.0	- 3.0	- 1.4	- 2.2	- 1.7	- 0.8	- 0.3
5	- 8.0	- 8.0	- 8.1	- 8.2	- 8.5	- 8.7	- 8.7	- 8.3	- 9.0	- 8.0	- 7.9	- 7.2	- 7.0	- 6.6	- 6.6
6	- 6.4	- 7.4	- 7.2	- 7.0	- 8.0	- 8.4	- 8.3	- 8.0	- 7.7	- 7.4	- 6.7	- 5.1	- 4.9	- 4.3	- 4.3
7	- 4.6	- 4.3	- 4.6	- 4.2	- 4.4	- 4.4	- 4.0	- 4.3	- 4.2	- 4.0	- 2.9	- 2.9	- 2.9	- 2.7	- 1.5
8	- 0.1	- 1.0	- 1.0	- 2.4	- 3.8	- 5.0	- 4.4	- 4.6	- 5.0	- 5.7	- 3.8	- 4.7	- 4.0	- 3.0	- 1.7
9	- 4.0	- 4.3	- 4.6	- 4.8	- 4.4	- 4.3	- 4.5	- 5.4	- 5.5	- 5.2	- 5.3	- 4.7	- 4.0	- 3.9	- 3.4
10	- 5.0	- 2.0	- 0.8	- 1.5	- 4.6	- 4.7	- 6.7	- 8.9	- 9.8	- 6.9	- 0.6	- 1.3	- 1.6	- 1.1	- 1.1
11	- 2.1	- 2.1	- 2.4	- 2.4	- 2.1	- 2.1	- 2.1	- 0.2	- 0.1	+ 5.4	+ 5.3	+ 5.6	+ 5.9	+ 7.4	+ 5.3
12	+ 2.3	- 0.7	- 0.1	- 0.3	- 0.3	+ 0.3	+ 0.9	+ 2.0	+ 2.2	+ 2.0	+ 2.2	+ 2.6	+ 2.3	+ 4.9	+ 3.2
13	- 14.1	- 14.2	- 14.9	- 15.0	- 15.3	- 15.3	- 15.5	- 15.5	- 15.5	- 15.5	- 15.2	- 15.1	- 15.6	- 15.6	- 15.7
14	- 12.0	- 11.8	- 12.0	- 12.5	- 12.4	- 12.4	- 12.9	- 12.9	- 11.9	- 11.8	- 12.6	- 11.3	- 12.7	- 12.7	- 12.3
15	- 12.4	- 13.1	- 14.0	- 14.6	- 15.0	- 14.4	- 14.4	- 13.5	- 13.0	- 12.6	- 12.6	- 12.5	- 11.8	- 11.7	- 11.3
16	- 10.2	- 9.7	- 9.8	- 8.7	- 9.0	- 8.4	- 8.1	- 7.6	- 6.7	- 6.8	- 6.9	- 5.2	- 5.3	- 5.0	- 5.1
17	- 11.7	- 11.7	- 11.6	- 11.3	- 11.1	- 13.0	- 15.9	- 14.9	- 13.1	- 12.9	- 12.7	- 12.9	- 13.2	- 11.8	- 11.8
18	- 10.2	- 10.0	- 9.7	- 9.5	- 11.2	- 12.2	- 12.0	- 12.0	- 11.2	- 12.7	- 12.0	- 11.9	- 11.5	- 11.8	- 12.1
19	- 14.3	- 14.6	- 14.7	- 14.8	- 14.9	- 14.9	- 15.0	- 15.9	- 14.0	- 14.0	- 13.6	- 13.2	- 12.2	- 12.5	- 12.4
20	- 16.6	- 16.9	- 17.2	- 16.8	- 16.2	- 15.2	- 13.4	- 12.8	- 12.0	- 11.3	- 11.1	- 10.8	- 10.6	- 10.3	- 10.0
21	- 9.6	- 9.7	- 9.7	- 9.6	- 9.8	- 9.9	- 10.1	- 10.3	- 10.8	- 10.8	- 11.2	- 11.7	- 11.8	- 12.3	- 12.2
22	- 13.2	- 13.0	- 13.2	- 13.6	- 13.7	- 13.8	- 13.7	- 13.9	- 14.2	- 14.0	- 13.4	- 12.4	- 12.1	- 12.2	- 13.0
23	- 12.1	- 13.2	- 13.5	- 14.0	- 14.4	- 14.2	- 14.5	- 13.6	- 12.8	- 12.5	- 11.7	- 10.2	- 9.5	- 10.0	- 11.0
24	- 18.0	- 17.4	- 16.6	- 15.7	- 17.4	- 19.3	- 20.1	- 18.0	- 17.0	- 16.0	- 15.8	- 15.4	- 14.5	- 13.9	- 14.3
25	- 16.1	- 15.9	- 15.6	- 16.2	- 16.7	- 16.4	- 16.2	- 15.4	- 12.4	- 11.4	- 11.2	- 10.0	- 9.0	- 8.0	- 8.7
26	- 8.9	- 9.1	- 9.3	- 9.3	- 9.2	- 10.5	- 11.0	- 10.7	- 11.5	- 9.5	- 9.1	- 9.8	- 7.3	- 7.7	- 9.4
27	- 16.7	- 17.0	- 17.5	- 17.9	- 17.2	- 16.4	- 16.8	- 17.2	- 17.3	- 16.2	- 16.4	- 15.2	- 15.5	- 15.1	- 15.1
28	- 12.3	- 9.3	- 7.1	- 5.9	- 4.5	- 5.2	- 6.2	- 6.3	- 11.2	- 11.0	- 11.7	- 12.3	- 13.0	- 13.1	- 12.9
29	- 1.2	- 2.2	- 12.2	- 16.0	- 17.7	- 18.6	- 19.2	- 18.7	- 18.7	- 18.7	- 18.5	- 17.7	- 17.7	- 17.5	- 17.5
30	- 16.9	- 16.9	- 16.8	- 16.4	- 16.7	- 16.6	- 16.7	- 16.3	- 16.6	- 17.4	- 16.9	- 16.0	- 15.3	- 14.2	- 14.3
31	- 14.3	- 14.4	- 15.1	- 15.1	- 14.9	- 14.7	- 14.6	- 14.7	- 14.2	- 14.3	- 14.4	- 13.6	- 12.6	- 12.5	- 13.6
Med.	- 9.50	- 9.58	- 9.88	- 10.03	- 10.42	- 10.43	- 10.69	- 10.00	- 9.90	- 9.12	- 8.93	- 8.50	- 8.23	- 7.87	- 8.06
Absolutes Maximum = + 7.8 (11: 3 ^h 00 ^m p)															

Lufttemperatur

Höhe des Thermografen: 1,3 m. über Erdoberfläche; 12 m. über Meeresniveau

1902 März

4 p. m.	5 p. m.	6 p. m.	7 p. m.	8 p. m.	9 p. m.	10 p. m.	11 p. m.	Mtn.	Med.	Maximum		Minimum		Diff.	Dat.
										h. m.		h. m.			
+ 0.5	+ 1.2	- 0.6	- 1.0	- 1.8	- 2.0	- 2.7	- 2.7	- 3.0	+ 0.12	1
+ 1.5	+ 0.8	- 0.9	- 1.2	- 2.3	- 2.8	- 3.2	- 3.5	- 3.7	- 1.31	1.45 p	+ 1.6	1.45 a	- 15.4	17.0	2
- 0.1	+ 0.3	+ 0.0	- 1.3	- 1.6	- 4.1	- 4.6	- 6.1	- 7.7	- 2.95	4.45 p	+ 0.4	12.00 p	- 7.8	8.2	3
- 6.3	- 6.1	- 5.9	- 5.4	- 5.7	- 6.5	- 6.6	- 6.1	- 6.1	- 7.23	6.00 p	- 5.5	8.10 a	- 9.0	3.5	4
- 4.3	- 4.4	- 4.4	- 4.7	- 4.9	- 5.0	- 5.3	- 5.2	- 5.0	- 6.01	3.00 p	- 4.3	6.00 a	- 8.4	4.1	5
+ 5.5	+ 3.0	+ 1.1	+ 0.8	+ 1.1	+ 0.9	+ 0.8	+ 0.2	+ 0.0	- 1.77	1.30 p	+ 5.9	0.10 a	- 4.5	10.4	6
- 1.0	- 0.2	- 1.2	- 1.4	- 2.1	- 2.7	- 3.6	- 3.8	- 4.0	- 2.93	3.00 p	+ 0.4	7.00 a	- 6.0	6.4	7
- 2.2	- 1.7	- 1.6	- 1.6	- 2.1	- 2.8	- 3.5	- 3.8	- 4.0	- 3.82	5.00 p	- 1.1	6.00 a	- 5.7	4.6	8
- 1.7	- 2.0	- 2.2	- 2.2	- 2.6	- 2.7	- 2.2	- 2.3	- 2.2	- 3.20	3.45 a	- 0.5	9.45 a	- 10.1	9.6	9
+ 5.1	+ 5.1	+ 4.8	+ 1.3	+ 0.5	+ 1.5	+ 1.4	+ 2.2	+ 2.2	+ 1.81	3.00 p	+ 7.8	3.50 a	- 3.5	11.3	10
+ 3.3	+ 3.1	+ 2.6	+ 1.7	- 1.6	- 8.4	- 10.8	- 12.5	- 13.2	- 0.52	2.15 p	+ 6.4	12.00 p	- 13.2	19.6	11
- 15.2	- 14.3	- 13.4	- 13.2	- 13.1	- 12.4	- 11.7	- 11.7	- 11.4	- 14.35	12.00 p	- 11.4	3.45 p	- 16.0	4.6	12
- 12.2	- 12.3	- 12.2	- 12.4	- 12.1	- 12.1	- 12.3	- 12.0	- 12.0	- 12.24	0.00 p	- 11.3	1.30 p	- 13.0	1.7	13
- 10.8	- 9.8	- 9.2	- 10.1	- 12.0	- 12.6	- 12.2	- 12.0	- 12.1	- 12.40	7.00 p	- 8.4	5.00 a	- 14.9	6.5	14
- 6.0	- 7.1	- 8.1	- 8.4	- 8.8	- 8.9	- 8.8	- 8.5	- 8.7	- 7.74	1.30 p	- 4.5	1.00 a	- 10.2	5.7	15
- 11.6	- 11.7	- 11.3	- 11.3	- 11.4	- 11.7	- 11.3	- 10.7	- 10.4	- 12.12	1.00 a	- 7.8	7.00 a	- 16.0	8.2	16
- 13.2	- 13.5	- 13.8	- 13.6	- 13.7	- 13.8	- 13.8	- 14.0	- 13.8	- 12.22	4.15 a	- 9.4	11.30 p	- 14.0	4.6	17
- 13.3	- 13.9	- 14.7	- 14.7	- 15.5	- 14.2	- 16.8	- 16.8	- 16.3	- 14.47	1.30 p	- 12.2	11.00 p	- 16.8	4.6	18
- 9.8	- 9.8	- 9.7	- 9.7	- 9.6	- 9.3	- 9.3	- 9.6	- 9.6	- 11.98	10.00 p	- 9.3	3.00 a	- 17.2	7.9	19
- 12.2	- 12.2	- 12.7	- 12.7	- 12.8	- 12.4	- 12.7	- 12.7	- 13.2	- 11.38	4.00 a	- 9.6	12.00 p	- 13.2	3.6	20
- 13.0	- 13.6	- 14.9	- 15.9	- 15.1	- 14.8	- 13.3	- 12.4	- 12.2	- 13.52	4.30 p	- 11.2	7.15 p	- 16.0	4.8	21
- 12.0	- 15.7	- 16.2	- 17.9	- 18.4	- 16.0	- 16.0	- 17.0	- 19.0	- 13.98	1.15 p	- 8.0	12.00 p	- 19.0	11.0	22
- 14.2	- 14.3	- 15.3	- 15.2	- 15.2	- 15.2	- 15.7	- 15.7	- 16.0	- 16.09	3.45 p	- 32.2	5.45 a	- 20.5	7.3	23
- 8.6	- 9.3	- 10.1	- 10.7	- 10.2	- 9.3	- 8.7	- 8.7	- 8.4	- 11.80	1.15 p	- 7.9	6.15 a	- 17.2	9.3	24
- 10.7	- 11.3	- 12.0	- 12.7	- 12.9	- 14.1	- 14.5	- 15.5	- 15.4	- 10.88	1.30 p	- 6.5	9.30 p	- 16.0	9.5	25
- 13.4	- 13.7	- 15.8	- 14.7	- 15.4	- 14.5	- 14.8	- 15.0	- 14.0	- 15.78	3.45 p	- 13.3	2.15 a	- 18.1	4.8	26
- 11.0	- 12.8	- 12.2	- 11.4	- 10.2	- 9.9	- 8.2	- 4.7	- 4.0	- 9.43	10.50 p	- 3.2	10.15 a	- 13.8	10.6	27
- 16.8	- 16.8	- 16.0	- 16.3	- 16.7	- 17.0	- 17.2	- 17.0	- 17.3	- 15.97	0.50 a	- 0.7	7.00 a	- 19.2	18.5	28
- 14.8	- 15.4	- 15.1	- 14.7	- 14.7	- 14.6	- 14.6	- 14.7	- 14.5	- 15.71	2.30 p	- 13.8	10.10 a	- 17.5	3.7	29
- 14.8	- 15.1	- 15.7	- 15.4	- 14.9	- 14.4	- 14.5	- 14.8	- 13.6	- 14.42	1.45 p	- 12.0	5.30 p	- 15.9	3.9	30
- 7.78	- 8.12	- 8.56	- 8.87	- 9.19	- 9.39	- 9.56	- 9.57	- 9.63	- 9.24		- 5.61	- 13.38	7.77	Med.	31
Absolutes Minimum = - 20.5 (24 : 5 ^h 45 ^{ma})															

Lufttemperatur

Höhe des Thermographen: 1.3 m. über Erdoberfläche; 12 m. über Meeresniveau

April 1902

Dat.	1 a. m.	2 a. m.	3 n. m.	4 a. m.	5 a. m.	6 n. m.	7 a. m.	8 a. m.	9 a. m.	10 a. m.	11 a. m.	Mittg.	1 p. m.	2 p. m.	3 p. m.
1	-12.9	-13.2	-13.3	-13.4	-13.2	-13.1	-12.9	-12.7	-12.9	-14.1	-15.2	-16.2	-16.2	-16.0	-15.9
2	-13.2	-13.0	-12.2	-13.4	-15.9	-17.4	-17.3	-17.6	-15.8	-14.2	-13.9	-11.1	-9.4	-8.6	-6.4
3	-12.4	-14.9	-14.1	-14.7	-15.1	-15.9	-16.2	-15.8	-17.8	-17.7	-18.3	-17.7	-16.9	-16.2	-15.9
4	-12.4	-12.6	-12.5	-12.7	-12.4	-12.3	-12.0	-11.2	-9.3	-11.4	-15.0	-16.0	-16.4	-16.8	-17.1
5	-15.6	-15.2	-14.8	-14.4	-14.2	-13.4	-13.6	-18.0	-18.4	-16.6	-15.6	-15.0	-15.0	-14.7	-14.7
6	-1.2	-0.4	+0.6	+0.9	+0.1	+0.1	-12.7	-9.2	-6.8	-7.0	-13.2	-6.4	-4.4	-3.9	-5.0
7	+0.1	-0.4	-0.9	-1.4	-1.1	-1.6	-3.3	-6.3	-5.7	-9.0	-13.1	-9.3	-13.6	-15.3	-16.9
8	-16.2	-15.9	-15.2	-15.2	-15.6	-16.2	-17.0	-17.3	-16.0	-14.0	-13.4	-12.7	-13.6	-13.6	-12.5
9	-13.7	-14.3	-13.3	-11.8	-11.5	-10.6	-9.6	-7.1	-4.5	-4.5	-2.3	-1.3	-0.6	-0.3	+0.9
10	-1.0	-2.2	-0.5	-4.5	-4.0	-3.0	-5.5	-4.2	-2.0	-3.2	-3.0	-3.2	-2.3	-1.6	-3.7
11	-11.5	-13.5	-13.8	-14.1	-14.7	-14.6	-13.4	-13.3	-15.1	-16.8	-16.1	-16.4	-16.6	-17.4	-18.0
12	-17.1	-16.4	-17.5	-17.6	-16.8	-16.5	-15.7	-15.2	-15.2	-14.8	-14.0	-14.1	-13.7	-14.7	-15.4
13	-17.1	-17.7	-17.1	-14.5	-13.4	-14.2	-14.8	-14.1	-14.4	-15.4	-14.5	-12.2	-10.2	-11.6	-11.3
14	-14.3	-14.2	-13.9	-13.6	-13.4	-13.3	-13.2	-13.4	-13.3	-13.3	-13.3	-13.2	-12.8	-12.8	-12.6
15	-13.0	-13.1	-13.6	-13.8	-14.0	-14.1	-14.7	-14.1	-14.0	-13.4	-13.0	-12.3	-12.3	-12.3	-12.1
16	-10.2	-8.3	-6.6	-8.8	-9.5	-9.6	-10.2	-10.5	-9.1	-8.1	-8.0	-8.7	-8.3	-7.0	-7.1
17	-1.0	+0.2	+0.2	+2.0	+1.8	+2.7	+3.3	+1.8	+1.0	+1.9	+2.3	+2.5	+3.4	+5.7	+4.5
18	-14.3	-13.9	-13.1	-13.4	-14.7	-14.7	-15.2	-15.2	-15.0	-15.5	-15.0	-15.1	-15.4	-15.1	-16.2
19	-15.4	-16.5	-16.6	-16.5	-16.6	-16.7	-16.9	-16.8	-14.5	-14.8	-15.0	-15.4	-15.6	-16.4	-17.6
20	-23.0	-22.9	-22.7	-22.8	-22.6	-22.7	-22.5	-21.0	-20.4	-20.5	-20.6	-20.9	-19.4	-20.4	-19.4
21	-20.0	-19.6	-19.4	-19.4	-19.5	-19.9	-20.1	-19.7	(-18.4)	(-17.0)	-15.7	-15.0	-14.5	-12.9	-13.2
22	-12.2	-12.9	-13.2	-13.8	-14.5	-18.6	-19.3	-20.0	-19.6	-19.8	-19.1	-19.0	-16.6	-17.6	-19.0
23	-20.9	-20.8	-20.7	-20.5	-19.9	-20.1	-20.2	-19.6	-18.9	-18.3	-17.6	-17.0	-18.0	-18.0	-19.3
24	-22.1	-22.3	-22.6	-22.5	-22.8	-22.7	-22.2	-22.3	-22.3	-21.5	-21.4	-21.4	-20.7	-20.8	-21.0
25	-22.4	-22.6	-22.5	-22.5	-22.3	-22.1	-21.6	-21.5	-20.9	-20.4	-20.3	-20.6	-21.0	-20.8	-20.9
26	-21.1	-20.8	-20.8	-20.9	-20.8	-20.9	-20.9	-20.6	-20.9	-21.0	-20.7	-20.5	-20.6	-20.9	-21.6
27	-20.0	-19.8	-19.7	-19.4	-19.3	-19.1	-19.0	-19.2	-19.0	-17.6	-16.9	-16.5	-16.8	-17.5	-17.8
28	-17.6	-16.5	-17.0	-17.6	-17.2	-16.8	-16.5	-16.5	-15.0	-12.9	-11.4	-10.2	-10.2	-10.5	-11.3
29	-11.4	-11.3	-13.4	-13.4	-12.8	-7.4	-12.7	-11.5	-11.7	-10.8	-12.0	-11.2	-11.1	-9.9	-9.4
30	-6.2	-6.9	-8.4	-8.1	-6.5	-4.3	-4.2	-5.7	-5.2	-3.5	-3.2	-1.8	-0.9	+0.3	+2.0
Med.	-13.64	-13.70	-13.61	-13.73	-13.75	-13.63	-14.34	-14.26	-13.70	-13.51	-13.62	-12.93	-12.66	-12.59	-12.80
Absolutes Maximum = + 6.1 (17: 2 ^h romp)															

Lufttemperatur

Höhe des Thermographen: 1.3 m. über Erdoberfläche; 12 m. über Meeresniveau

1902 April

4 p. m.	5 p. m.	6 p. m.	7 p. m.	8 p. m.	9 p. m.	10 p. m.	11 p. m.	Mtn.	Med.	Maximum		Minimum		Diff.	Dat.
										h. m.		h. m.			
-15.9	-16.0	-16.6	-16.1	-15.9	-15.5	-13.7	-13.3	-13.9	-14.50	8.45 a	-12.0	6.00 p	-16.2	4.2	1
-5.1	-5.3	-4.2	-2.6	-2.7	-4.2	-7.9	-11.1	-12.4	-10.62	8.10 p	-2.2	8.00 a	-17.6	15.4	2
-15.8	-15.7	-15.7	-15.7	-15.5	-15.0	-14.2	-13.5	-13.1	-15.57	1.15 a	-11.2	11.45 a	-18.5	7.3	3
-17.2	-17.5	-18.1	-17.7	-17.3	-17.0	-16.2	-16.1	-15.7	-14.70	8.45 a	-8.2	6.40 p	-18.0	9.8	4
-13.6	-13.1	-12.4	-7.7	-2.1	-0.1	-0.6	-1.2	-0.9	-11.70	10.45 p	+0.9	9.00 a	-18.4	19.3	5
-5.9	-4.9	-2.6	-1.7	-1.6	-1.3	-1.4	-0.4	-0.8	-3.71	4.50 a	+0.8	7.10 a	-12.9	13.7	6
-15.7	-16.7	-16.6	-17.2	-17.3	-17.0	-16.8	-16.3	-16.0	-10.31	1.00 a	+1.2	8.00 p	-17.1	18.3	7
-12.7	-13.3	-14.1	-13.1	-13.1	-12.7	-13.3	-13.6	-13.5	-14.32	5.45 p	-12.2	8.00 a	-17.3	5.1	8
-0.1	+0.2	+0.5	+1.4	+1.5	+0.8	+3.7	+2.6	-1.0	-3.91	10.10 p	+3.9	1.10 a	-14.1	18.0	9
-5.1	-4.0	-5.3	-6.7	-6.6	-7.0	-8.2	-8.5	-10.5	-4.41	1.00 a	+0.7	12.00 p	-10.5	11.2	10
-17.2	-16.7	-16.5	-16.3	-16.5	-16.4	-16.7	-17.0	-17.3	-15.66	0.10 a	-10.5	2.30 p	-17.3	6.8	11
-15.6	-15.7	-16.3	-16.5	-16.2	-15.6	-16.3	-16.6	-16.7	-15.84	1.30 p	-13.5	4.10 a	-17.0	3.5	12
-12.4	-10.7	-12.4	-12.7	-13.0	-13.6	-14.0	-14.3	-14.3	-13.75	1.50 p	-9.6	2.00 a	-17.6	8.0	13
-12.6	-12.3	-11.7	-10.5	-11.1	-12.2	-12.3	-12.4	-12.6	-12.85	6.00 p	-10.5	1.00 a	-14.3	3.8	14
-12.4	-12.3	-11.8	-11.4	-10.7	-10.5	-11.7	-11.8	-11.6	-12.65	5.10 p	-10.5	6.30 a	-14.8	4.3	15
-7.5	-8.7	-7.5	-7.6	-7.3	-5.7	-4.4	-4.3	-2.5	-7.73	12.00 p	-2.5	0.10 a	-11.3	8.8	16
+3.0	+2.0	±0.0	-0.5	-8.0	-11.4	-12.0	-12.3	-12.8	-0.82	2.10 p	+6.1	9.50 p	-12.6	18.7	17
-16.8	-16.0	-17.3	-17.2	-16.2	-16.1	-16.1	-16.1	-16.3	-15.41	3.00 a	-13.1	6.30 p	-17.3	4.2	18
-19.0	-19.8	-20.5	-20.5	-20.7	-20.9	-21.5	-22.2	-22.9	-17.89	9.10 a	-14.2	12.00 p	-22.9	8.7	19
-20.4	-21.4	-20.3	-20.2	-20.0	-20.2	-20.3	-20.3	-20.2	-21.05	11.15 a	-18.3	1.30 a	-28.5	10.2	20
-15.3	-16.2	-16.1	-15.0	-14.1	-13.0	-11.2	-11.5	-11.5	-26.18	9.45 p	-10.5	7.00 a	-20.1	9.6	21
-19.6	-20.8	-19.8	-20.7	-20.0	-20.2	-20.7	-20.9	-21.0	-18.29	0.10 a	-11.8	3.15 p	-21.5	9.7	22
-19.8	-20.1	-20.2	-21.4	-21.3	-22.4	-22.9	-23.0	-22.8	-20.15	0.00 p	-17.0	11.30 a	-23.0	6.0	23
-21.4	-21.4	-21.4	-21.3	-21.5	-21.7	-21.7	-22.1	-22.2	-21.80	2.10 p	-20.5	5.00 a	-22.8	2.3	24
-20.5	-20.7	-19.8	-20.5	-20.6	-20.5	-20.7	-21.0	-21.3	-21.17	6.15 p	-19.6	3.00 a	-22.5	2.9	25
-21.7	-20.5	-20.7	-20.3	-20.2	-20.9	-19.7	-20.1	-20.3	-20.72	10.00 p	-19.7	4.00 p	-21.7	2.0	26
-19.1	-14.1	-13.6	-13.3	-9.8	-16.8	-17.4	-19.1	-18.5	-17.47	7.30 p	-9.0	1.00 a	-20.0	11.0	27
-12.3	-11.8	-13.0	-12.9	-12.6	-13.6	-13.4	-12.3	-12.2	-13.80	11.50 a	-9.4	4.10 a	-18.1	8.7	28
-10.9	-11.1	-11.3	-11.2	-9.2	-6.7	-6.8	-7.3	-7.9	-10.52	10.45 p	-5.9	3.10 a	-14.0	8.1	29
+1.6	+1.6	+0.3	+1.6	+0.8	-0.1	+0.6	+0.1	+1.6	-2.27	3.10 p	+2.6	2.20 a	-9.3	11.9	30
-13.23	-13.10	-13.17	-12.85	-12.62	-12.92	-12.93	-13.20	-13.37	-13.33		-8.52		-17.57	9.05	Med.
Absolutes Minimum = - 28.5 (20 : 1 ^h 30 ^m a)															

Lufttemperatur

Höhe des Thermographen: 1.3 m. sber Erdfäche; 12 m. über Meeresniveau

Mai 1902

Dat.	1 a. m.	2 a. m.	3 a. m.	4 a. m.	5 a. m.	6 a. m.	7 a. m.	8 a. m.	9 a. m.	10 a. m.	11 a. m.	Mtn	1 p. m.	2 p. m.	3 p. m.
1	+ 1.6	+ 1.5	+ 0.6	+ 0.6	+ 1.8	+ 3.6	+ 2.8	± 0.0	+ 0.6	+ 0.7	- 0.6	- 0.4	- 1.6	- 1.4	- 4.0
2	- 21.0	- 21.6	- 22.0	- 22.0	- 22.6	- 23.0	- 23.4	- 24.1	- 25.0	- 25.2	- 25.3	- 25.3	- 24.9	- 24.5	- 25.1
3	- 23.0	- 22.5	- 22.4	- 22.2	- 22.1	- 22.1	- 22.2	- 22.6	- 22.3	- 22.4	- 23.3	- 23.1	- 23.1	- 22.8	- 22.3
4	-(26.0)	-(26.6)	-(27.2)	-(27.8)	-(28.4)	-(29.0)	- 29.6	- 27.9	-(27.2)	-(26.5)	-(25.8)	-(25.1)	-(24.4)	- 23.7	-(23.3)
5	-(19.2)	-(19.5)	-(19.3)	-(19.1)	-(18.9)	-(18.7)	- 18.5	- 18.5	- 18.2	- 17.3	- 16.4	- 16.2	- 15.7	- 14.4	- 14.7
6	- 10.3	- 10.2	- 9.7	- 9.4	- 8.7	- 7.0	- 5.4	+ 1.6	+ 0.8	+ 2.4	+ 3.1	+ 0.2	- 0.2	+ 1.7	- 2.4
7	+ 0.8	- 0.9	- 1.2	- 3.1	- 3.0	- 0.4	- 0.4	- 2.5	- 2.2	± 0.0	+ 0.2	- 0.3	- 0.3	- 2.3	- 2.6
8	- 6.2	- 5.2	- 6.0	- 7.4	- 6.0	- 6.2	- 4.7	- 5.6	- 4.4	- 3.2	- 3.5	- 1.7	- 1.8	- 2.1	- 11.8
9	- 22.1	- 22.1	- 22.1	- 22.0	- 21.8	- 21.6	- 21.4	- 21.3	- 21.7	- 21.7	- 19.7	- 16.2	- 17.4	- 17.4	- 16.7
10	- 13.0	- 11.7	- 8.5	- 6.2	- 5.2	- 3.1	- 1.5	- 0.8	- 1.0	- 2.3	- 1.9	- 2.4	- 2.5	- 1.5	- 1.3
11	- 3.6	- 3.9	- 4.0	- 4.2	- 3.9	- 4.0	- 4.3	- 4.2	- 3.7	- 2.8	- 2.6	- 1.4	- 0.7	- 0.5	- 0.2
12	+ 0.1	- 0.7	+ 1.8	+ 2.2	+ 5.2	+ 4.3	+ 3.8	+ 2.0	+ 2.8	+ 2.5	+ 2.0	- 0.3	- 0.9	- 0.7	+ 0.6
13	- 3.5	- 3.2	- 3.2	- 2.7	- 2.8	- 4.6	- 5.5	- 6.2	- 5.6	- 4.9	- 4.2	- 3.5	- 3.0	- 6.8	- 9.7
14	- 19.1	- 19.5	- 19.7	- 19.9	- 20.3	- 20.3	- 20.3	- 20.8	- 20.8	- 20.6	- 20.6	- 20.6	- 21.2	- 21.3	- 21.0
15	- 22.3	- 21.7	- 21.2	- 21.2	- 21.1	- 21.5	- 21.2	- 21.5	- 21.2	-(21.3)	-(21.4)	-(21.5)	-(21.7)	- 21.9	- 22.2
16	- 23.5	- 23.1	- 23.2	- 24.0	- 24.6	- 23.6	- 22.7	- 21.7	- 21.9	- 23.2	- 23.2	- 22.6	- 21.5	- 21.4	- 20.7
17	- 20.9	- 20.9	- 20.7	- 20.9	- 21.1	- 21.3	- 21.7	- 22.0	- 22.4	- 22.2	- 21.0	- 20.6	- 20.9	- 21.5	- 21.1
18	- 18.3	- 17.4	- 17.5	- 18.0	- 18.5	- 18.8	- 19.5	- 20.0	- 20.8	- 20.4	- 20.2	- 20.8	- 22.1	- 22.6	- 22.9
19	- 20.8	- 20.2	- 19.4	- 19.5	- 19.4	- 19.7	- 19.7	- 20.1	- 20.1	- 18.9	- 19.3	- 18.6	- 18.8	- 19.0	- 18.9
20	- 19.5	- 19.3	- 19.2	- 19.1	- 18.6	- 18.2	- 18.1	- 18.5	- 19.6	- 19.3	- 19.0	- 18.1	- 17.9	- 18.2	- 17.9
21	- 15.9	- 16.3	- 16.9	- 17.7	- 19.1	- 19.1	- 19.0	- 19.3	- 19.1	- 19.6	- 20.2	- 20.0	- 20.0	- 20.6	- 20.6
22	- 22.0	- 21.9	- 22.4	- 22.1	- 22.0	- 21.6	- 21.5	- 21.9	- 21.8	- 21.6	- 21.6	- 21.8	- 21.6	- 21.5	- 21.4
23	- 21.0	- 21.0	- 21.0	- 21.5	- 21.0	- 21.1	- 21.4	- 21.2	- 20.8	- 21.4	- 21.0	- 20.8	- 21.2	- 21.1	- 20.7
24	- 19.4	- 19.4	- 19.2	- 18.7	- 19.2	- 19.8	- 20.7	- 19.7	- 19.4	- 19.1	- 19.6	- 19.1	- 18.5	- 18.8	- 18.8
25	- 17.9	- 18.8	- 18.5	- 18.3	- 17.4	- 17.6	- 16.8	- 17.0	- 18.4	- 17.8	- 17.9	- 18.5	- 18.6	- 19.0	- 19.1
26	- 21.4	- 22.1	- 22.8	- 23.9	- 24.6	- 23.9	- 24.7	- 24.8	- 24.4	- 24.9	- 24.2	- 24.5	- 24.8	- 24.5	- 24.5
27	- 22.8	- 24.2	- 24.6	- 24.2	- 22.9	- 24.2	- 24.0	- 24.1	- 24.1	- 24.0	- 23.7	- 23.3	- 23.5	- 23.5	- 20.9
28	- 23.1	- 23.3	- 23.3	- 23.7	- 23.8	- 23.8	- 23.8	- 23.7	- 23.7	- 23.4	- 23.3	- 23.1	- 23.0	- 23.0	- 22.7
29	- 25.6	- 25.6	- 25.7	- 26.0	- 25.9	- 25.7	- 25.7	- 25.9	- 25.7	- 25.8	- 26.2	- 26.0	- 25.8	- 26.3	- 25.9
30	- 26.4	- 26.3	- 26.0	- 26.2	- 26.0	- 26.3	- 26.7	- 26.5	- 26.7	- 26.0	- 26.0	- 25.9	- 25.9	- 25.7	- 23.3
31	- 23.0	- 22.6	- 22.5	- 22.4	- 22.5	- 21.8	- 21.5	- 20.5	- 19.8	- 18.5	- 17.1	- 17.5	- 16.5	- 16.1	- 17.4
Med.	-17.03	-17.10	-17.00	-17.12	-16.92	-16.78	-16.75	-16.75	-16.70	-16.41	-16.24	-16.10	-16.13	-16.21	-16.51
Absolutes Maximum = + 6.8 (6 : 7 ^h 30 ^{ma})															

Lufttemperatur

Höhe des Thermographen: 1.3 m. über Erdoberfläche; 12 m. über Meeresniveau

1902 Mai

4 p. m.	5 p. m.	6 p. m.	7 p. m.	8 p. m.	9 p. m.	10 p. m.	11 p. m.	Mtn.	Med.	Maximum		Minimum		Diff.	Dat.
										h. m.		h. m.			
- 6.6	- 8.9	- 11.1	- 14.6	- 15.2	- 17.3	- 17.8	- 18.8	- 19.6	- 5.17	6.45 a	+ 4.4	12.00 p	- 19.6	24.0	1
- 25.3	- 25.3	- 25.4	- 25.0	- 24.6	- 24.2	- 24.4	- 24.3	- 23.5	- 24.04	0.10 a	- 19.7	5.10 p	- 25.4	5.7	2
- 23.0	- 22.6	- 22.0	- 23.1	- 23.8	- 23.5	- 24.2	(-24.8)	(-25.4)	- 22.95	5.00 a	- 22.1	12.00 p	- 25.4	3.3	3
(-22.9)	(-22.5)	(-22.1)	(-21.7)	(-21.3)	- 21.0	(-20.7)	(-20.4)	(-20.1)	- 24.63	.	- 20.1	.	- 30.1	10.0	4
- 14.8	- 14.4	- 14.0	- 14.1	- 11.0	- 10.5	- 10.0	- 9.2	- 9.7	- 15.51	11.10 p	- 9.1	.	- 24.7	15.6	5
- 3.1	- 3.9	- 3.1	- 2.3	- 1.1	- 1.1	- 0.4	+ 0.9	+ 1.0	- 2.78	7.30 a	+ 6.8	1.50 a	- 10.3	17.1	6
- 3.0	- 3.6	- 1.9	- 1.1	- 4.5	- 5.0	- 5.7	- 5.8	- 5.2	- 2.25	1.15 a	+ 1.9	11.00 p	- 6.3	8.2	7
- 14.6	- 16.2	- 17.7	- 18.8	- 19.4	- 20.7	- 21.3	- 22.0	- 22.1	- 10.36	1.30 p	- 1.3	12.00 a	- 22.1	20.8	8
- 17.2	- 17.4	- 17.2	- 16.4	- 16.5	- 15.6	- 15.4	- 15.0	- 14.0	- 18.75	12.00 p	- 14.0	6.30 a	- 22.3	8.3	9
- 1.3	- 1.6	- 1.2	- 0.9	- 1.0	- 0.7	- 0.9	- 2.0	- 2.7	- 3.13	7.15 p	- 0.2	0.10 a	- 13.8	13.6	10
- 0.4	± 0.0	+ 1.3	+ 1.8	+ 1.1	+ 0.9	± 0.0	- 1.0	- 0.4	- 1.70	8.50 p	+ 3.0	6.30 a	- 5.0	8.0	11
- 2.5	- 2.6	- 3.5	- 4.7	- 4.8	- 4.6	- 4.0	- 4.3	- 3.8	- 0.42	5.00 a	+ 5.2	7.10 p	- 5.5	10.7	12
- 12.7	- 13.8	- 14.5	- 15.6	- 16.9	- 17.7	- 18.2	- 17.8	- 18.8	- 8.98	1.30 a	- 1.9	12.00 p	- 18.8	16.9	13
- 21.3	- 21.1	- 22.5	- 22.2	- 22.3	- 22.5	- 23.1	- 23.3	- 22.5	- 21.12	1.00 a	- 19.1	11.00 p	- 23.0	3.9	14
(-22.2)	(-22.1)	(-22.0)	- 21.9	- 22.5	- 22.4	- 22.4	- 22.5	- 23.0	- 21.83	5.00 a	- 21.1	12.00 p	- 23.0	1.9	15
- 20.4	- 20.5	- 20.6	- 20.7	- 21.3	- 21.7	- 21.5	- 21.5	- 21.2	- 22.10	4.00 p	- 20.4	5.00 a	- 24.4	4.0	16
- 20.9	- 20.6	- 20.4	- 20.5	- 20.4	- 19.4	- 19.5	- 20.0	- 18.3	- 20.80	12.00 p	- 18.3	9.15 a	- 22.5	4.2	17
- 24.2	- 23.0	- 22.4	- 23.3	- 23.0	- 22.6	- 23.8	- 22.4	- 22.1	- 21.02	1.50 a	- 16.5	4.00 p	- 24.2	7.7	18
- 19.1	- 18.7	- 18.6	- 18.8	- 18.7	- 19.2	- 19.4	- 19.2	- 19.1	- 19.30	0.00 p	- 18.6	0.10 a	- 21.8	3.2	19
- 17.7	- 17.7	- 17.3	- 17.0	- 16.6	- 17.1	- 16.6	- 16.9	- 15.8	- 18.05	12.00 p	- 16.1	9.00 a	- 20.1	4.0	20
- 21.4	- 21.5	- 21.5	- 21.1	- 21.6	- 21.5	- 21.8	- 22.0	- 22.0	- 19.91	0.30 a	- 16.0	12.00 p	- 22.2	6.2	21
- 21.5	- 21.6	- 21.6	- 21.0	- 21.2	- 21.2	- 21.1	- 21.1	- 20.9	- 21.58	11.30 p	- 20.7	2.15 a	- 22.4	1.7	22
- 21.1	- 21.3	- 21.2	- 21.3	- 21.4	- 21.2	- 21.1	- 19.9	- 19.3	- 21.00	12.00 p	- 19.3	9.00 a	- 22.3	3.0	23
- 18.8	- 18.5	- 18.6	- 18.7	- 19.1	- 18.9	- 19.1	- 18.5	- 18.4	- 19.08	11.10 p	- 18.2	5.30 a	- 20.0	1.8	24
- 19.4	- 19.6	- 19.7	- 19.8	- 20.1	- 19.8	- 20.6	- 21.2	- 21.3	- 18.88	7.00 a	- 16.8	12.00 p	- 21.3	4.5	25
- 24.7	- 24.1	- 23.8	- 24.3	- 24.0	- 23.5	- 23.9	- 23.4	- 22.5	- 23.92	1.00 a	- 21.4	7.30 a	- 24.9	3.5	26
- 20.8	- 21.2	- 22.9	- 22.5	- 23.0	- 23.0	- 22.4	- 22.0	- 22.9	- 23.11	3.10 p	- 20.0	3.00 a	- 24.8	4.8	27
- 23.0	- 23.2	- 23.3	- 23.5	- 23.9	- 24.3	- 24.7	- 24.7	- 25.0	- 23.60	2.45 p	- 22.6	12.00 p	- 25.0	2.4	28
- 26.1	- 26.4	- 26.6	- 26.7	- 26.9	- 26.9	- 26.7	- 26.8	- 26.8	- 26.15	0.10 a	- 25.2	9.00 p	- 26.9	1.7	29
- 22.2	- 23.1	- 23.2	- 23.0	- 22.9	- 23.8	- 22.8	- 22.6	- 22.7	- 24.84	3.30 p	- 22.0	9.00 a	- 26.7	4.7	30
- 18.0	- 16.8	- 16.7	- 16.0	- 16.0	- 15.0	- 15.6	- 20.6	- 18.5	- 18.87	9.10 p	- 14.5	5.30 a	- 24.0	9.5	31
- 17.10	- 17.22	- 17.27	- 17.38	- 17.55	- 17.58	- 17.72	- 17.84	- 17.63	- 16.96		- 13.40		- 20.93	7.53	Med.

Absolute Minimum = - 30.1 (4: - a)

Lufttemperatur

Höhe des Thermographen: 1.3 m. über Erdoberfläche; 12 m. über Meeresniveau

Juni 1902

Dat.	1 a. m.	2 a. m.	3 a. m.	4 a. m.	5 a. m.	6 a. m.	7 a. m.	8 a. m.	9 a. m.	10 a. m.	11 a. m.	Mittg.	1 p. m.	2 p. m.	3 p. m.
1	-18.0	-18.4	-22.4	-21.0	-20.9	-22.0	-22.4	-22.7	-23.4	-23.2	-23.6	-23.4	-24.2	-24.2	-24.8
2	-27.9	-28.1	-(28.0)	-(27.9)	-(27.8)	-(27.7)	-27.6	-27.5	-(27.5)	-27.5	-27.1	-27.0	-26.9	-26.7	-26.8
3	-27.6	-27.4	-27.2	-26.9	-26.9	-26.9	-26.5	-27.0	-27.3	-27.0	-27.1	-27.1	-27.1	-27.0	-27.0
4	-27.1	-27.0	-27.1	-27.2	-26.7	-26.4	-26.4	-26.6	-26.4	-26.2	-26.6	-26.4	-26.1	-26.5	-26.2
5	-25.8	-25.8	-25.6	-25.4	-25.4	-25.4	-25.2	-25.1	-25.1	-25.0	-25.0	-24.9	-25.4	-25.6	-25.5
6	-25.0	-24.9	-25.5	-25.6	-26.9	-25.6	-24.2	-24.1	-23.8	-24.5	-25.4	-24.7	-24.8	-24.4	-24.2
7	-24.2	-23.8	-24.6	-24.6	-24.5	-24.2	-24.2	-23.9	-24.5	-25.5	-24.9	-24.5	-24.3	-23.8	-23.1
8	-22.0	-23.4	-23.4	-22.2	-21.1	-19.4	-18.9	-18.5	-19.5	-22.2	-21.5	-21.1	-19.6	-19.2	-22.7
9	-30.3	-30.8	-31.0	-(30.2)	-(29.5)	-(28.8)	-28.0	-27.9	-27.9	-(27.8)	-27.6	-27.6	-27.8	-27.5	-27.4
10	-25.4	-25.4	-25.4	-25.2	-25.2	-25.4	-25.6	-25.5	-25.4	-25.5	-25.7	-25.4	-25.6	-25.2	-24.8
11	-23.9	-24.8	-24.2	-24.1	-23.8	-22.7	-22.2	-22.7	-24.1	-25.0	-24.7	-25.9	-25.9	-26.5	-26.1
12	-26.5	-26.4	-26.0	-25.5	-26.5	-26.3	-26.0	-26.4	-25.7	-25.6	-24.9	-24.1	-23.5	-24.2	-23.9
13	-21.0	-20.4	-20.1	-19.9	-7.8	-9.1	-7.0	-7.2	-9.2	-9.2	-9.0	-8.2	-12.1	-15.8	-17.5
14	-19.3	-17.3	-16.8	-15.4	-12.1	-12.1	-8.5	-10.0	-11.0	-10.9	-10.6	-9.5	-9.4	-12.2	-13.4
15	-14.1	-12.3	-12.1	-12.0	-11.4	-10.3	-14.5	-13.6	-11.1	-6.8	-8.4	-14.5	-13.8	-14.4	-15.6
16	-17.8	-18.8	-19.4	-19.0	-17.3	-17.1	-13.7	-13.1	-10.4	-9.7	-9.4	-10.9	-13.2	-6.0	-0.2
17	-8.2	-6.3	-6.3	-8.9	-7.8	-7.3	-7.3	-5.7	-5.5	-6.0	-4.1	-2.1	-0.9	-0.6	-0.7
18	-2.5	-4.0	-5.4	-8.3	-9.1	-11.6	-14.7	-18.7	-20.7	-21.7	-22.2	-21.4	-21.8	-22.0	-22.4
19	-21.0	-20.8	-21.4	-22.9	-21.5	-21.6	-20.5	-20.0	-19.6	-18.9	-17.8	-16.6	-16.9	-17.5	-16.0
20	-8.5	-4.5	-3.2	-2.2	+ 3.5	+ 1.9	+ 0.5	+ 1.1	+ 1.3	+ 1.3	- 3.9	- 1.9	- 1.3	- 1.4	- 2.5
21	-7.1	-9.0	-9.8	-9.7	-8.9	-11.4	-11.0	-11.5	-11.0	-8.4	-8.1	-6.7	-4.5	-4.5	-14.7
22	-5.8	-4.7	-6.0	-4.9	-5.7	-6.1	-5.5	-2.6	-2.4	-3.5	-4.1	-3.7	-2.6	-3.3	-3.7
23	-3.0	-1.9	-2.8	-1.4	-0.6	+ 0.3	+ 0.9	+ 0.4	+ 0.3	+ 0.3	+ 0.2	-8.5	-11.4	-12.5	-13.3
24	-11.4	-11.4	-11.5	-11.9	-12.1	-12.4	-13.0	-12.8	-14.0	-14.1	-13.2	-12.7	-12.4	-11.2	-10.7
25	-10.0	-14.2	-16.0	-16.7	-16.1	-16.6	-16.7	-16.7	-16.8	-16.8	-16.5	-17.0	-16.2	-16.0	-15.9
26	-17.2	-20.5	-17.6	-18.1	-18.0	-20.6	-20.5	-20.2	-20.4	-20.9	-17.5	-17.2	-17.3	-16.8	-16.3
27	-13.7	-12.9	-17.7	-19.8	-21.9	-22.8	-23.3	-22.7	-22.4	-21.4	-20.9	-20.1	-19.7	-18.1	-19.0
28	-16.7	-19.2	-20.2	-21.5	-23.0	-23.6	-23.5	-23.8	-23.7	-23.8	-23.8	-23.6	-23.5	-23.7	-23.5
29	-23.3	-23.7	-23.1	-22.7	-22.6	-22.2	-22.6	-21.3	-21.7	-21.9	-21.5	-22.0	-22.4	-22.3	-22.7
30	-22.6	-22.2	-22.4	-22.5	-22.5	-22.1	-22.0	-22.5	-22.5	-22.5	-21.9	-21.8	-21.6	-21.4	-22.7
Med.	-18.23	-18.34	-18.74	-18.79	-18.00	-18.18	-18.00	-17.96	-18.05	-18.00	-17.89	-18.02	-18.07	-18.02	-18.11
Absolutes Maximum = + 4.2 (20: 5 ^h 10 ^m a)															

Lufttemperatur

Höhe des Thermographen: 1.3 m. über Erdoberfläche; 12 m. über Meeresniveau

1902 Juni

4 p. m.	5 p. m.	6 p. m.	7 p. m.	8 p. m.	9 p. m.	10 p. m.	11 p. m.	Mtn.	Med.	Maximum		Minimum		Diff.	Dat.
										h. m.	h. m.	h. m.	h. m.		
-25.3	-25.6	-26.4	-26.9	-27.2	-26.8	-26.8	-27.4	-27.9	-23.95	1.15 a	-16.5	11.30 p	-28.1	11.6	1
-27.3	-27.7	-28.2	-28.7	-28.5	-28.4	-28.3	-27.8	-28.5	-27.72	2.00 p	-26.7	7.00 p	-28.6	1.9	2
-27.0	-26.9	-26.9	-27.0	-26.7	-26.5	-27.0	-27.1	-27.2	-27.01	9.00 p	-26.5	1.00 p	-27.6	1.1	3
-26.1	-26.4	-26.0	-25.9	-25.9	-25.9	-26.0	-26.2	-25.7	-26.38	12.00 p	-25.7	0.30 a	-27.2	1.5	4
-24.9	-25.2	-25.4	-25.6	-25.8	-25.8	-25.6	-25.4	-25.4	-25.39	0.00 p	-24.9	2.00 a	-25.8	0.9	5
-25.0	-24.7	-23.8	-24.2	-24.0	-24.2	-23.9	-23.6	-23.5	-24.60	12.00 p	-23.5	5.15 a	-27.0	3.5	6
-23.0	-23.3	-23.3	-23.4	-23.4	-23.4	(-23.3)	(-23.1)	-22.8	-23.90	12.00 p	-22.8	10.00 a	-25.5	2.7	7
-23.0	-24.6	-25.5	-26.4	-27.6	-28.4	-29.4	-30.0	-30.1	-23.32	6.45 a	-18.0	12.00 p	-30.1	12.1	8
-27.5	-27.0	-26.6	-26.2	-26.1	-26.0	-25.7	-25.5	-25.2	-27.75	12.00 p	-25.2	4.00 a	-31.2	6.0	9
-22.9	-22.4	-22.4	-22.3	-22.7	-22.3	-22.6	-22.8	-23.3	-24.35	5.00 p	-22.3	7.30 a	-25.7	3.4	10
-27.1	-27.2	-28.1	-27.5	-25.9	-25.8	-24.9	-25.6	-26.0	-25.20	7.00 a	-22.2	5.10 p	-28.0	5.8	11
-23.7	-23.2	-22.7	-24.2	-23.4	-23.5	-22.0	-20.6	-21.3	-24.42	11.30 p	-19.8	0.30 a	-27.1	7.3	12
-17.6	-17.2	-17.6	-19.6	-20.2	-17.5	-17.0	-18.1	-18.5	-14.87	7.45 a	-6.5	0.45 a	-21.4	14.9	13
-15.1	-13.1	-14.3	-11.3	-15.0	-14.7	-15.4	-10.8	-12.0	-12.84	6.15 a	-8.2	1.10 a	-19.8	11.6	14
-16.1	-16.9	-17.4	-13.2	-18.2	-15.4	-16.6	-14.9	-18.2	-13.82	10.00 a	-5.6	7.50 p	-19.0	13.4	15
-2.2	-6.0	-5.7	-4.1	-4.2	-3.2	-2.8	-4.9	-4.4	-9.73	3.10 p	+0.1	3.00 a	-19.1	19.2	16
+1.2	-0.1	-1.9	+2.4	+0.3	-1.4	-1.3	-1.7	-2.0	-3.42	6.30 p	+2.9	3.45 a	-11.5	14.4	17
-23.4	-23.7	-24.6	-25.1	-25.8	-25.9	-25.3	-24.9	-24.5	-18.74	0.10 a	-1.8	9.00 p	-25.9	24.1	18
-16.2	-16.5	-14.1	-12.1	-11.0	-12.2	-10.8	-8.7	-9.8	-16.87	11.00 p	-8.7	0.10 a	-24.1	15.4	19
-3.3	-4.5	-3.9	-4.2	-4.4	-4.9	-5.0	-5.4	-6.9	-2.60	5.10 a	+4.2	0.45 a	-9.0	13.2	20
-4.0	-3.8	-2.9	-1.0	+2.0	+0.3	-1.0	-4.8	-5.3	-6.12	7.45 p	+2.9	6.00 a	-17.4	20.3	21
-4.1	-4.7	-3.7	-2.5	-2.8	-2.2	-2.4	-2.1	-2.9	-3.83	8.30 p	-0.6	2.45 a	-7.5	6.9	22
-13.2	-12.8	-10.9	-10.3	-12.5	-10.3	-15.5	-14.7	-10.2	-6.81	5.50 a	+1.6	10.10 a	-16.1	17.7	23
-10.7	-9.7	-9.2	-8.1	-7.9	-7.5	-6.9	-6.9	-8.4	-10.84	11.45 p	-6.5	8.30 a	-15.2	8.7	24
-16.6	-16.2	-15.5	-14.1	-14.5	-14.3	-16.0	-17.3	-17.7	-15.85	0.10 a	-9.0	11.15 p	-18.9	9.9	25
-16.7	-16.5	-15.3	-13.1	-13.1	-12.9	-11.5	-11.0	-12.9	-16.75	11.10 p	-10.5	9.45 a	-21.6	11.1	26
-16.4	-17.7	-17.7	-18.1	-18.3	-19.0	-18.4	-18.7	-16.7	-19.06	2.00 a	-12.9	7.00 a	-23.1	10.2	27
-23.6	-24.2	-24.2	-24.4	-23.6	-24.4	-24.6	-22.7	-24.1	-23.04	1.00 a	-16.7	10.00 p	-24.6	7.9	28
-23.3	-22.8	-22.8	-22.6	-22.5	-22.5	-22.5	-22.2	-22.7	-22.50	8.00 a	-21.3	0.10 a	-24.0	2.7	29
-22.9	-22.9	-20.7	-21.9	-23.9	-24.4	-24.1	-23.2	-24.1	-22.55	5.00 p	-20.7	9.30 p	-25.4	4.7	30
-18.23	-18.45	-18.26	-17.72	-18.09	-17.98	-18.02	-17.94	-18.27	-18.14		-13.05		-22.52	9.47	Med.
Absolutes Minimum = -31.2 (9:4 ^h 00 ^m a)															

Lufttemperatur

Höhe des Thermographen: 1.3 m. über Erdoberfläche; 12 m. über Meeresniveau

Juli 1902

Dat.	1 a. m.	2 a. m.	3 a. m.	4 a. m.	5 a. m.	6 a. m.	7 a. m.	8 a. m.	9 a. m.	10 a. m.	11 a. m.	Mttg.	1 p. m.	2 p. m.	3 p. m.
1	-23.3	-22.3	-24.0	-23.2	-23.1	-23.8	-24.0	-21.0	-21.3	-21.8	-21.0	-19.8	-20.0	-21.6	-22.2
2	-22.0	-22.2	-22.2	-23.1	-22.8	-23.1	-23.0	-23.2	-22.7	-23.3	-24.9	-24.8	-25.5	-25.6	-26.2
3	-24.6	-24.2	-24.2	-24.0	-23.3	-23.2	-22.2	-20.3	-18.6	-16.4	-20.0	-19.0	-23.4	-22.7	-24.3
4	-21.4	-22.3	-23.2	-21.4	-19.4	-18.9	-17.1	-17.2	-18.2	-16.3	-17.4	-17.4	-16.4	-14.9	-17.4
5	-15.0	-14.6	-14.6	-12.1	-11.4	-13.2	-11.1	-10.4	-9.3	-9.4	-8.3	-7.9	-7.0	-8.0	-9.2
6	-3.4	-3.3	-5.2	-7.9	-9.7	-13.3	-17.7	-20.1	-21.0	-21.2	-22.1	-22.5	-22.5	-25.1	-22.0
7	-24.4	-24.5	-26.5	-26.5	-(26.9)	-(27.3)	-27.7	-28.0	-26.0	-25.5	-25.2	-25.8	-24.9	-24.7	-22.3
8	-22.7	-20.8	-20.8	-21.8	-22.0	-22.3	-21.2	-20.4	-20.4	-20.4	-20.3	-19.5	-19.6	-19.9	-19.8
9	-23.4	-23.1	-24.7	-25.8	-27.0	-23.2	-28.1	-28.1	-28.1	-28.2	-28.6	-29.4	-29.2	-28.9	-28.0
10	-24.2	-22.6	-21.6	-(21.1)	-(20.6)	-(20.1)	-19.5	-19.5	-18.8	-18.0	-17.1	-16.2	-15.5	-15.5	-18.3
11	-17.0	-20.7	-20.4	-17.2	-20.4	-21.0	-22.7	-23.0	-22.8	-23.5	-24.6	-24.4	-24.5	-23.5	-23.1
12	-20.7	-19.8	-19.2	-18.7	-19.0	-19.6	-20.6	-19.9	-19.4	-19.6	-16.5	-19.0	-20.0	-20.1	-20.0
13	-17.0	-18.3	-18.1	-17.8	-17.7	-16.5	-17.6	-13.3	-13.9	-19.4	-19.0	-10.0	-9.0	-9.9	-10.2
14	-25.4	-26.4	-25.4	-24.2	-26.0	-27.0	-26.6	-27.7	-27.0	-27.1	-27.4	-25.6	-27.3	-27.5	-28.0
15	-28.0	-29.9	-29.3	-29.2	-28.0	-27.9	-27.6	-27.6	-27.1	-27.1	-26.2	-26.0	-26.1	-26.3	-26.4
16	-30.2	-29.9	-29.8	-29.2	-28.8	-29.0	-29.4	-29.5	-30.4	-30.5	-30.4	-30.8	-31.5	-31.8	-31.2
17	-33.8	-34.2	-33.9	-33.5	-33.5	-33.2	-32.0	-31.0	-31.0	-30.9	-30.1	-29.4	-28.8	-28.2	-27.4
18	-24.1	-24.9	-25.0	-24.9	-25.5	-25.1	-25.2	-25.1	-25.2	-25.3	-25.4	-24.8	-24.4	-24.1	-24.8
19	-22.5	-21.8	-21.2	-20.8	-20.9	-20.8	-21.4	-21.3	-22.0	-21.8	-21.1	-21.6	-21.0	-20.0	-19.6
20	-20.4	-20.3	-20.1	-20.0	-20.2	-21.1	-21.3	-21.5	-21.3	-21.8	-22.0	-22.2	-21.9	-21.6	-21.4
21	-22.0	-22.3	-22.5	-23.3	-22.8	-(22.6)	-22.5	-22.4	-22.4	-22.5	-24.2	-24.9	-25.6	-25.7	-26.4
22	-25.1	-25.9	-25.9	-25.9	-25.5	-25.6	-26.1	-25.7	-25.8	-25.8	-26.0	-26.0	-26.0	-26.0	-26.4
23	-30.4	-29.9	-29.8	-28.5	-29.7	-30.4	-29.4	-28.7	-28.2	-28.1	-28.6	-29.9	-29.4	-27.9	-28.1
24	-28.0	-27.7	-27.8	-27.4	-27.4	-28.9	-28.1	-28.7	-28.8	-29.1	-29.5	-29.9	-29.9	-29.3	-29.1
25	-29.9	-29.9	-30.0	-30.6	-32.1	-31.7	-30.0	-31.2	-31.2	-31.6	-31.9	-30.4	-30.0	-30.0	-33.0
26	-29.0	-28.9	-28.9	-29.4	-30.4	-30.8	-32.3	-33.9	-35.0	-34.5	-33.6	-32.3	-31.0	-28.6	-30.0
27	-29.1	-29.0	-27.8	-27.8	-30.0	-30.3	-28.6	-26.4	-24.8	-24.3	-21.0	-27.8	-26.9	-27.0	-27.8
28	-26.6	-26.0	-26.0	-25.8	-25.8	-25.8	-24.7	-23.0	-22.5	-21.6	-21.0	-20.7	-20.5	-20.7	-21.3
29	-22.8	-24.2	-25.2	-25.2	-25.4	-25.3	-25.5	-25.9	-26.2	-26.7	-26.8	-27.3	-27.4	-28.0	-28.6
30	-29.7	-29.7	-29.7	-29.8	-30.0	-30.0	-30.0	-30.2	-30.4	-30.5	-30.6	-30.6	-30.6	-30.9	-30.8
31	-31.2	-30.7	-30.3	-31.0	-31.0	-30.9	-30.8	-30.9	-30.7	-30.2	-29.7	-29.7	-29.7	-30.0	-30.1
Med.	-24.11	-24.20	-24.30	-24.10	-24.40	-24.58	-24.67	-24.36	-24.21	-24.27	-24.44	-24.05	-24.05	-24.00	-24.30
Absolutes Maximum = -1.4 (5:7 ^h 45 ^m p)															

Lufttemperatur

Höhe des Thermographen: 1.3 m. über Erdfäche; 12 m. über Meeresniveau

1902 Juli

4 p. m.	5 p. m.	6 p. m.	7 p. m.	8 p. m.	9 p. m.	10 p. m.	11 p. m.	Mtn.	Med.	Maximum	Minimum	Dif.	Dat.		
										h. m.	h. m.				
-21.9	-22.0	-22.1	-22.4	-22.0	-22.6	-22.5	-22.5	-22.5	-22.20	0.15 p	-19.1	7.00 a	-24.0	4.9	1
-26.2	-26.1	-26.5	-25.9	-26.0	-26.4	-25.5	-25.4	-25.2	-24.49	1.30 a	-21.7	6.00 p	-26.5	4.8	2
-21.3	-21.9	-21.0	-20.4	-20.4	-19.3	-21.0	-24.4	-24.2	-21.85	10.30 a	-15.1	1.00 a	-24.6	9.5	3
-15.0	-14.6	-13.1	-17.8	-14.5	-14.0	-13.0	-12.7	-13.0	-16.94	11.15 p	-11.7	1.30 a	-24.1	12.4	4
-13.3	-14.6	-12.4	-13.0	-13.3	-10.4	-6.4	-6.7	-2.9	-10.60	7.45 p	-1.4	1.45 a	-15.7	14.3	5
-21.7	-23.6	-23.5	-25.0	-25.3	-23.0	-23.0	-22.8	-23.5	-18.68	0.10 a	-1.7	12.00 p	-25.1	23.4	6
-26.0	-27.4	-23.8	-20.0	-20.0	-21.4	-22.8	-22.3	-22.0	-24.66	7.30 p	-19.0	5.30 a	-28.6	9.6	7
-19.8	-19.9	-20.0	-20.9	-21.1	-21.5	-22.1	-22.2	-22.4	-20.94	0.30 p	-19.3	1.10 a	-23.0	3.7	8
-28.2	-28.1	-27.9	-27.5	-27.3	-27.0	-28.4	-27.0	-25.3	-27.10	0.10 a	-23.0	11.30 a	-29.6	6.6	9
-17.7	-19.2	-18.4	-19.4	-20.6	-19.1	-18.2	-19.2	-18.2	-19.11	1.45 p	-15.2	0.10 a	-18.0	2.8	10
-22.9	-23.1	-23.3	-23.8	-24.0	-23.6	-23.3	-22.7	-21.8	-22.39	1.10 a	-16.1	11.00 a	-24.5	8.4	11
-19.9	-19.3	-19.7	-19.4	-19.7	-19.2	-19.1	-19.2	-18.8	-19.43	11.10 a	-15.4	0.10 a	-21.5	6.1	12
-2.7	-9.0	-8.7	-11.6	-14.0	-19.6	-26.0	-27.0	-26.4	-15.53	4.15 p	-2.7	11.30 p	-27.1	24.4	13
-27.0	-27.2	-27.5	-26.4	-24.9	-26.5	-27.1	-27.2	-27.4	-26.66	0.10 a	-23.8	7.30 a	-28.5	4.7	14
-26.5	-27.9	-29.0	-29.8	-30.8	-30.9	-31.1	-30.0	-30.6	-28.30	0.00 p	-26.0	9.30 p	-31.3	5.3	15
-31.7	-31.0	-31.6	-31.6	-31.8	-32.0	-32.2	-33.0	-33.7	-30.88	4.15 a	-28.7	12.00 p	-33.7	5.0	16
-26.6	-26.0	-25.2	-24.4	-23.8	-23.5	-24.0	-23.8	-24.0	-28.33	9.00 p	-23.5	2.00 a	-34.2	10.7	17
-25.0	-25.0	-25.0	-24.9	-24.5	-24.0	-23.2	-22.6	-22.7	-24.61	12.00 p	-22.7	5.00 a	-25.5	2.8	18
-20.0	-19.3	-19.0	-20.7	-21.0	-20.1	-18.4	-17.8	-19.9	-20.58	11.10 p	-17.4	0.10 a	-22.6	5.2	19
-21.5	-21.5	-21.5	-21.6	-21.6	-21.7	-21.5	-21.6	-21.7	-21.30	1.00 a	-20.4	12.00 a	-22.2	1.8	20
-26.9	-26.8	-26.6	-26.2	-25.6	-25.5	-24.8	-25.7	-25.8	-24.42	0.10 a	-22.0	4.00 p	-26.9	4.9	21
-26.3	-26.8	-27.0	-27.7	-28.2	-28.5	-29.4	(-29.7)	(-30.0)	-26.72	4.45 a	-24.1	11.00 p	-30.0	5.9	22
-30.2	-29.6	-29.8	-28.7	-29.0	-28.2	-27.8	-27.8	-28.2	-29.01	10.00 p	-27.8	0.30 p	-31.1	3.3	23
-29.9	-29.1	-29.7	-29.5	-30.0	-29.4	-29.5	-30.0	-29.8	-29.02	4.30 a	-27.4	0.30 p	-30.6	3.2	24
-33.5	-33.7	-33.4	-31.9	-30.5	-30.0	-29.3	-29.9	-30.0	-31.07	10.45 p	-28.6	10.10 a	-32.5	3.9	25
-29.3	-29.6	-29.4	-29.0	-29.6	-28.5	-27.7	-27.5	-27.0	-30.26	11.50 p	-23.4	9.00 a	-34.8	11.4	26
-27.9	-28.5	-28.3	-28.4	-28.6	-28.3	-28.0	-27.5	-27.7	-27.87	10.10 a	-21.6	1.30 a	-30.6	9.0	27
-22.4	-22.0	-22.7	-23.6	-23.0	-23.1	-23.0	-23.0	-23.0	-23.24	2.30 p	-19.8	0.10 a	-27.3	7.5	28
-29.0	-29.4	-29.8	-29.7	-29.8	-30.0	-30.2	-30.2	-30.0	-27.44	1.00 a	-22.8	11.00 p	-30.2	7.4	29
-32.7	-30.2	-30.4	-30.7	-31.1	-31.1	-31.1	-31.1	-31.1	-30.46	1.00 a	-29.7	12.00 p	-31.1	1.4	30
-30.3	-29.7	-29.9	-29.5	-29.8	-30.3	-30.9	-31.7	-29.7	-30.16	11.30 a	-29.6	11.10 p	-32.4	2.8	31
-24.24	-24.58	-24.39	-24.56	-24.57	-24.47	-24.53	-24.65	-24.47	-24.35		-20.02		-27.35	7.33	Med.
Absolutes Minimum = -34.8 (26:9 ^h 00 ^m a)															

Lufttemperatur

Höhe des Thermographen: 1.3 m. über Erdoberfläche; 12 m. über Meeresniveau

Augusti 1902

Dat.	1 a. m.	2 a. m.	3 a. m.	4 a. m.	5 a. m.	6 a. m.	7 a. m.	8 a. m.	9 a. m.	10 a. m.	11 a. m.	Mittg.	1 p. m.	2 p. m.	3 p. m.
1	-30.2	-30.8	-31.5	-30.3	-30.2	-31.1	-31.7	-32.1	-31.2	-31.3	-31.0	-29.8	-29.7	-29.2	-30.0
2	-27.6	-29.3	-29.9	-29.7	-30.1	-29.7	-30.3	-30.0	-28.9	-27.7	-28.4	-31.2	-31.8	-28.5	-27.7
3	-28.6	-28.8	-28.8	-28.3	-26.7	-27.6	-28.7	-26.8	-26.2	-24.7	-25.6	-26.0	-27.8	-27.5	-29.0
4	-24.4	-25.3	-24.7	-24.8	-23.6	-23.7	-23.6	-26.7	-26.5	-28.0	-27.6	-29.2	-29.1	-27.1	-26.0
5	-26.3	-29.0	-28.0	-27.4	-29.5	-29.7	-29.6	-29.5	-29.4	-28.3	-27.6	-28.5	-29.6	-28.9	-29.5
6	-32.4	-32.3	-32.3	-32.3	-32.7	-32.8	-33.2	-33.7	-34.0	-34.6	-35.3	-35.9	-36.1	-36.5	-37.3
7	-39.7	-40.0	-40.1	-39.8	-39.6	-39.0	-38.5	-37.1	-38.3	-37.7	-37.2	-36.6	-36.9	-35.8	-34.6
8	-33.9	-34.0	-34.4	-33.5	-33.5	-33.5	-32.0	-31.8	-31.0	-29.5	-27.6	-26.4	-26.5	-25.7	-27.0
9	-6.0	-6.0	-6.5	-7.0	-7.5	-9.3	-9.5	-14.3	-18.2	-19.5	-22.5	-24.5	-27.8	-29.5	-29.5
10	-30.2	-30.5	-30.7	-30.9	-30.7	-30.5	-31.1	-31.1	-31.2	-31.3	-31.3	-31.2	-31.5	-31.6	-31.6
11	-29.9	-29.7	-29.7	-29.7	-29.4	-29.2	-29.1	-29.4	-29.6	-29.5	-29.2	-29.2	-28.2	-28.7	-28.0
12	-26.1	-27.8	-26.7	-29.3	-30.2	-31.0	-31.7	-31.5	-31.7	-30.6	-28.0	-26.8	-27.1	-26.9	-29.0
13	-28.1	-28.3	-29.2	-29.8	-29.7	-28.6	-31.0	-31.1	-28.2	-30.5	-28.7	-28.5	-28.5	-28.3	-33.0
14	-32.9	-33.1	-33.0	-32.1	-32.1	-32.3	-31.4	-29.7	-28.8	-28.0	-25.8	-25.2	-23.8	-23.2	-24.5
15	-15.0	-18.0	-23.1	(-23.9)	(-24.7)	-25.5	-26.0	-31.5	-26.7	-27.8	-28.2	-29.3	-29.8	-30.4	-30.5
16	-25.0	-24.0	-29.0	-31.1	-30.8	-30.1	-31.5	-31.1	-29.0	-28.0	-27.8	-28.4	-28.6	-26.7	-26.8
17	-15.8	-14.5	-13.0	-11.3	-9.4	-7.5	-5.9	-2.4	-2.7	-1.2	-2.0	-2.6	-4.9	-4.8	-4.6
18	± 0.0	+ 0.2	+ 0.6	- 0.5	± 0.0	+ 0.5	+ 0.3	+ 0.1	- 0.3	- 0.4	- 0.9	- 1.4	- 1.5	- 4.2	- 7.1
19	-9.2	-9.5	-9.4	-8.6	-9.0	-11.0	-12.2	-11.6	-11.0	-8.1	-9.5	-9.3	-7.5	-8.3	-6.6
20	-6.0	-5.8	-4.5	-5.8	-8.0	-12.0	-11.5	-11.4	-11.2	-12.9	-13.6	-16.3	-20.5	-21.3	-20.0
21	-21.4	-21.5	-21.4	-21.4	-21.4	-21.5	-21.0	-21.3	-21.3	-21.3	-21.5	-21.6	-21.7	-22.0	-21.3
22	-22.6	-22.6	-22.5	-22.6	-22.5	-22.3	-21.7	-21.8	-21.7	-20.3	-19.4	-19.4	-19.0	-18.3	-19.4
23	-24.4	-25.0	-27.4	-28.1	-28.0	-27.5	-26.0	-25.1	-21.2	-21.2	-22.0	-29.5	-28.2	-29.0	-28.2
24	-20.7	-21.3	-21.4	-22.1	-21.8	-22.3	-22.7	-21.6	-20.2	-19.0	-17.7	-16.5	-16.5	-17.4	-16.2
25	-14.3	-15.1	-15.2	-15.5	-14.2	-17.4	-15.0	-15.0	-14.8	-13.4	-12.4	-19.5	-18.4	-17.0	-17.4
26	-15.9	-15.2	-13.7	-13.7	-13.4	-14.8	-16.2	-14.9	-11.8	-8.4	-6.0	-3.8	-3.6	-1.9	-15.4
27	-13.4	-17.5	-18.1	-16.8	-16.4	-16.2	-16.0	-15.6	-14.7	-12.0	-10.2	-13.0	-8.0	-4.8	-5.6
28	-2.5	-0.9	-1.1	-4.6	-4.7	-4.7	-7.0	-7.7	-7.1	-9.3	-11.1	-10.0	-8.6	-8.3	-7.3
29	-15.0	-14.7	-17.2	-18.0	-17.4	-19.6	-20.6	-21.3	-22.0	-21.7	-21.8	-21.4	-21.3	-21.4	-21.7
30	-25.2	-25.3	-25.3	-25.2	-25.8	-25.7	-25.1	-26.2	-26.0	-25.2	-23.8	-24.1	-23.6	-24.2	-23.8
31	-29.4	-29.7	-29.5	-30.3	-30.3	-31.3	-31.1	-31.2	-30.7	-29.6	-29.2	-28.5	-29.2	-29.1	-29.0
Med.	-21.68	-22.11	-22.47	-22.72	-22.69	-23.13	-23.25	-23.18	-22.76	-22.29	-22.03	-22.70	-22.74	-22.47	-23.15

Absolutes Maximum = + 1.1 (27: 4^h45^m p)

Lufttemperatur

Höhe des Thermographen: 1.3 m. über Erdoberfläche; 12 m. über Meeresniveau

1902 Augusti

4 p. m.	5 p. m.	6 p. m.	7 p. m.	8 p. m.	9 p. m.	10 p. m.	11 p. m.	Mttn.	Med.	Maximum	Minimum	Diff.	Dat.		
										h. m.	h. m.				
-30.2	-30.0	-29.7	-29.8	-29.1	-24.5	-28.1	-29.1	-28.8	-29.98	9.10 p	-24.0	3.10 a	-32.0	8.0	1
-30.9	-31.8	-31.7	-31.0	-29.8	-29.4	-28.6	-28.4	-28.5	-29.60	9.30 a	-25.5	5.30 p	-32.2	6.7	2
-30.0	-30.2	-30.6	-30.2	-23.7	-20.7	-20.7	-20.8	-24.7	-26.78	9.15 p	-19.6	6.45 p	-32.3	12.7	3
-27.5	-26.5	-27.2	-27.3	-26.0	-27.2	-28.4	-26.0	-26.2	-26.36	5.00 a	-26.7	0.10 p	-29.7	3.0	4
-29.6	-29.5	-30.0	-31.2	-31.8	-32.0	-31.9	-32.5	-32.5	-29.66	0.50 a	-25.5	11.00 p	-32.6	7.1	5
-38.0	-38.8	-39.6	-40.3	-40.2	-40.7	-41.4	-40.4	-39.0	-36.24	2.00 a	-32.2	10.30 p	-41.4	9.2	6
-34.3	-34.4	-34.5	-34.5	-34.5	-34.2	-33.5	-33.3	-33.5	-36.57	10.30 p	-32.7	3.00 a	-40.1	7.4	7
-25.3	-25.2	-24.5	-15.3	-18.2	-11.5	-11.2	7.0	7.1	-25.23	11.10 p	-4.8	3.00 a	-34.4	29.6	8
-30.0	-30.2	-30.7	-30.5	-29.8	-30.2	-30.0	-30.1	-30.2	-21.22	2.30 a	-4.9	11.30 p	-30.4	25.5	9
-32.0	-31.9	-31.8	(-31.6)	-31.4	-31.0	(-30.7)	-30.5	-30.2	-31.10	1.00 a	-30.2	4.00 p	-32.0	1.8	10
-28.0	-27.7	-27.8	-27.5	-27.9	-26.1	-25.3	-26.7	-27.5	-28.46	9.45 p	-25.1	0.10 a	-30.0	4.9	11
-30.3	-31.0	-30.3	-31.0	-27.3	-29.2	-29.3	-28.4	-28.7	-29.16	1.00 a	-26.1	7.00 a	-31.7	5.6	12
-33.5	-33.1	-27.9	-27.0	-32.0	-30.6	-32.4	-33.0	-33.7	-30.20	7.10 a	-26.9	3.10 p	-35.2	8.3	13
-16.4	-15.0	-14.1	-13.2	7.0	-11.1	-11.7	-13.5	-14.5	-23.02	7.50 p	-6.5	0.10 a	-33.6	27.1	14
-30.4	-30.6	-30.0	-29.7	-29.0	-29.2	-25.8	-26.8	-27.0	-26.80	0.30 a	-14.3	2.10 p	-30.5	16.2	15
-28.3	-26.9	-24.4	-23.0	-22.7	-19.2	-18.8	-16.5	-15.9	-25.98	11.50 p	-15.3	8.10 a	-31.9	16.6	16
-4.2	-4.0	-2.8	-2.1	1.0	-1.7	0.3	+ 0.8	0.5	-4.93	11.00 p	+ 0.7	0.30 a	-16.4	17.1	17
-8.5	-9.7	-10.0	-9.9	-9.9	-9.5	-9.2	-9.9	-9.3	-4.19	1.50 a	+ 0.7	10.50 p	-10.0	10.7	18
-8.3	-11.1	-6.7	-6.6	-6.4	-5.8	-5.2	-5.4	-4.9	-8.38	0.45 p	-3.0	11.45 a	-13.4	10.4	19
-19.9	-19.5	-19.5	-19.0	-18.6	-18.8	-20.1	-20.2	-21.1	-14.90	3.00 p	-4.4	1.30 p	-22.6	18.2	20
-20.6	-20.3	-20.5	-20.4	-20.5	-21.1	-22.3	-22.7	-23.0	-21.38	5.00 p	-20.3	11.30 p	-23.0	2.7	21
-20.0	-19.4	-19.7	-21.4	-25.9	-25.9	-26.3	-26.3	-25.2	-21.92	1.50 p	-18.0	11.10 p	-26.4	8.4	22
-26.6	-27.1	-26.7	-25.0	-23.6	-22.8	-22.0	-20.9	-20.7	-25.26	9.15 a	-19.9	0.10 p	-29.8	9.9	23
-16.3	-17.2	-18.7	-16.2	-15.2	-17.4	-16.0	-14.0	-13.3	-18.40	8.30 p	-11.9	6.50 a	-23.9	12.0	24
-18.9	-17.7	-17.2	-17.0	-17.1	-17.2	-17.2	-17.3	-16.3	-16.26	10.50 a	-12.1	12.00 a	-19.8	7.7	25
(-16.4)	-16.4	-17.2	-18.0	-17.6	-15.9	-14.6	-15.4	-14.9	-13.13	1.30 p	-1.7	4.45 p	-18.8	17.1	26
-3.4	-3.4	-6.3	-8.4	-4.6	-9.2	-3.5	-2.1	-2.1	-10.05	4.45 p	+ 1.1	3.00 a	-18.1	19.2	27
-7.5	-9.4	-9.0	-11.5	-11.2	-12.0	-12.2	-13.4	-14.4	-8.15	2.12 a	-0.2	12.00 p	-14.4	14.2	28
-21.4	-22.2	-22.6	-22.5	-22.7	-23.0	-23.3	-24.2	-25.0	-20.92	0.30 a	-14.0	12.00 p	-25.0	11.0	29
-24.2	-24.6	-27.8	-28.2	-29.7	-28.6	-29.1	-29.6	-29.5	-26.08	1.00 a	-25.2	11.00 p	-29.6	4.4	30
-29.7	-29.0	-27.8	-25.7	-25.3	-25.6	-25.7	-25.7	-26.7	-28.72	7.45 p	-24.6	7.50 a	-31.8	7.2	31
-23.25	-23.35	-23.14	-22.74	-22.25	-21.98	-21.77	-21.59	-21.77	-22.55		-15.91		-27.52	11.61	Med.
Absolutes Minimum = - 41.4 (6: 10 ^h 30 ^m p)															

Lufttemperatur

Höhe des Thermographen: 1.3 m. über Erdoberfläche; 12 m. über Meeresniveau

September 1902

Dat.	1 a. m.	2 a. m.	3 a. m.	4 a. m.	5 a. m.	6 a. m.	7 a. m.	8 a. m.	9 a. m.	10 a. m.	11 a. m.	Mittg.	1 p. m.	2 p. m.	3 p. m.
1	-27.0	-28.9	-29.7	-31.5	-32.1	-32.2	-32.7	-32.9	-30.7	-28.7	-28.7	-27.9	-27.0	-27.3	-27.9
2	-32.4	-32.7	-33.2	-31.8	-34.6	-32.8	-30.5	-33.0	-33.3	-31.0	-30.3	-29.1	-27.4	-29.2	-27.7
3	-29.8	-30.8	-31.8	-31.5	-31.4	-30.1	-29.3	-26.7	-9.6	-6.5	-17.5	-15.1	-11.3	-12.4	-10.4
4	-8.5	-7.8	-5.0	-11.8	-11.3	-6.9	-10.7	-9.8	-12.3	-12.7	-13.1	-13.3	-13.0	-13.5	-13.7
5	-17.9	-18.0	-17.9	-18.5	-18.9	-19.5	-20.1	-20.3	-20.7	-20.5	-20.6	-20.4	-20.1	-20.0	-21.8
6	-18.8	-11.1	-15.0	-16.0	-18.8	-18.9	-20.2	-19.7	-21.7	-18.6	-18.0	-17.8	-17.0	-19.1	-19.3
7	-21.0	-21.1	-21.0	-22.0	-20.8	-20.3	-20.0	-9.0	-13.5	-16.6	-14.8	-8.1	-14.9	-5.3	-11.4
8	-23.8	-25.1	-25.3	-26.3	-26.1	-28.0	-27.3	-25.8	-25.8	-24.5	-24.5	-23.6	-23.0	-22.1	-22.3
9	-24.8	-25.2	-24.8	-24.6	-24.9	-24.7	-25.1	-25.6	-25.3	-25.2	-24.0	-22.8	-22.7	-22.8	-23.0
10	-25.5	-24.5	-25.5	-25.9	-26.5	-28.0	-27.8	-27.8	-26.0	-25.0	-24.0	-18.2	-12.3	-18.6	-9.5
11	-11.8	-11.8	-12.7	-14.8	-15.6	-15.0	-4.3	-11.9	-2.4	-9.1	-5.5	-7.7	-4.2	-4.2	-4.7
12	-4.2	-4.0	-4.2	-5.2	-0.2	+4.8	+0.4	+3.0	± 0.0	+0.4	+0.8	+0.7	+1.7	-4.1	-3.9
13	-12.1	-9.5	-5.4	-5.3	-6.7	-6.3	-5.6	-3.5	-0.7	+0.2	+1.0	± 0.0	-1.0	-0.8	-0.8
14	-5.2	-6.5	-6.8	-5.5	-5.0	-5.2	-6.5	-6.3	-5.9	-5.2	-5.0	-4.7	-5.8	-4.8	-5.7
15	-6.3	-5.0	-4.9	-5.0	-4.1	-3.6	-3.1	-0.4	+1.7	+2.0	-1.8	-5.2	-3.8	-4.4	-2.5
16	+2.3	+2.8	+1.4	+2.7	+1.6	+1.2	+5.7	+3.5	+3.0	+5.5	+2.1	+2.6	+2.9	+2.7	+2.7
17	-1.8	-0.7	-0.5	-0.5	-1.3	-1.7	-0.2	-1.2	-0.5	-0.7	-0.9	-1.4	-1.2	-0.5	-0.8
18	-1.5	-2.2	-1.6	-2.5	-2.1	-2.5	-1.8	-1.7	-1.0	-0.7	-0.5	-0.3	-0.2	± 0.0	-0.4
19	-11.7	-13.0	-10.9	-11.3	-12.0	-10.5	-11.8	-13.5	-12.0	-11.5	-11.0	-11.0	-13.1	-12.7	-11.8
20	-15.7	-16.8	-16.9	-16.9	-16.5	-17.0	-17.5	-17.6	-17.7	-18.1	-18.0	-18.1	-18.5	-18.1	-18.3
21	-20.1	-19.7	-19.0	-19.1	-19.9	-20.5	-20.5	-20.0	-20.1	-19.5	-19.3	-18.9	-18.4	-18.0	-17.3
22	-13.5	-13.0	-12.7	-12.8	-12.3	-12.6	-13.3	-13.8	-13.7	-13.8	-13.3	-13.3	-13.3	-13.4	-13.4
23	-13.9	-13.8	-14.7	-14.1	-14.4	-14.8	-14.5	-14.0	-13.7	-13.6	-12.9	-11.8	-11.6	-11.0	-11.7
24	-13.0	-11.0	-10.5	-10.0	-9.8	-12.8	-13.7	-14.2	-13.6	-13.0	-14.3	-13.9	-14.0	-14.5	-14.9
25	-17.8	-18.2	-18.6	-19.2	-19.4	-19.9	-19.8	-19.9	-20.0	-20.0	-19.9	-19.8	-19.1	-19.4	-19.7
26	-19.7	-19.6	-19.6	-19.4	-19.5	-19.3	-19.2	-19.3	-19.0	-19.1	-19.2	-19.2	-19.5	-19.7	-19.9
27	-21.0	-21.9	-21.9	-22.3	-22.4	-22.7	-22.9	-23.0	-23.3	-23.3	-23.6	-23.8	-23.7	-23.7	-24.0
28	-24.8	-24.0	-24.0	-23.6	-23.1	-22.1	-21.2	-20.4	-20.0	-19.7	-19.5	-19.1	-18.8	-18.4	-18.1
29	(-17.9)	-17.6	(-17.4)	-17.1	-16.7	-16.2	-14.8	-12.5	-10.3	-8.3	-5.8	-9.4	-10.8	-8.0	-8.6
30	-5.5	-4.1	-3.7	-14.5	-15.1	-13.2	-9.4	-7.7	-7.3	-6.0	-7.9	-9.0	-7.7	-8.1	-5.0
Med.	-15.49	-15.16	-15.13	-15.88	-16.00	-15.71	-15.26	-14.83	-13.85	-13.43	-13.67	-13.32	-12.96	-13.05	-12.86
Absolutes Maximum = + 7.6 (16: 8 ^h 30 ^{ma})															

Lufttemperatur

Höhe des Thermographen: 1.3 m. über Erdofläche; 12 m. über Meeresniveau

1902 September

4 p. m.	5 p. m.	6 p. m.	7 p. m.	8 p. m.	9 p. m.	10 p. m.	11 p. m.	Mittn.	Med.	Maximum		Minimum		Diff.	Dat.
										h. m.		h. m.			
-28.5	-28.8	-29.8	-29.4	-30.1	-32.9	-32.9	-31.5	-31.3	-30.02	1.00 p	-27.0	10.00 p	-32.9	5.9	1
-29.0	-30.1	-31.8	-31.6	-29.1	-29.1	-29.4	-28.8	-28.7	-30.69	1.00 p	-27.4	5.15 p	-34.9	7.5	2
-10.8	-13.2	-10.8	-11.3	-11.2	-15.6	-10.8	-8.8	-5.6	-17.60	11.30 a	-4.5	3.00 a	-31.8	27.3	3
-13.7	-14.0	-14.3	-14.6	-15.4	-15.6	-16.2	-16.1	-17.1	-12.52	3.15 a	-4.8	12.00 p	-17.1	12.3	4
-22.6	-24.0	-20.2	-19.0	-22.0	-20.5	-19.7	-18.3	-19.0	-20.00	0.15 a	-16.6	5.00 p	-24.0	7.4	5
-19.8	-20.2	-20.2	-20.3	-20.3	-20.8	-20.3	-20.9	-21.1	-18.91	2.00 a	-11.1	9.00 a	-21.7	10.6	6
-10.3	-8.0	-6.3	-7.6	-5.3	-6.9	-16.0	-24.0	-24.0	-14.51	2.10 p	-5.0	11.00 p	-24.0	19.0	7
-22.5	-23.7	-24.1	-25.3	-26.0	-25.0	-24.3	-24.2	-24.5	-24.71	2.00 p	-22.1	6.15 a	-28.1	6.0	8
-22.1	-23.7	-22.6	-22.5	-22.4	-22.8	-22.8	-21.5	-26.1	-23.83	10.50 p	-21.2	11.30 p	-26.5	5.3	9
-8.6	-7.6	-7.7	-10.4	-8.7	-5.6	-5.3	-13.7	-10.0	-17.61	9.30 p	-4.3	6.15 a	-28.9	24.6	10
-7.5	-9.2	-9.5	-8.8	-5.7	-6.2	-6.0	-2.7	-4.1	-8.14	9.00 a	-1.7	4.50 a	-17.6	15.9	11
-4.6	-4.8	-4.9	-5.7	-7.8	-7.0	-6.9	-7.0	-5.7	-2.85	6.00 a	+4.8	7.50 p	-8.3	13.1	12
-1.6	-2.8	-3.2	-2.8	-5.5	-5.0	-4.5	-3.7	-4.6	-3.76	11.30 a	+1.2	1.45 a	-10.5	11.7	13
-6.9	-7.5	-7.9	-7.1	-6.3	-5.8	-8.1	-8.4	-8.1	-6.26	6.00 a	+4.8	9.30 p	-11.1	15.9	14
-1.6	-1.2	-2.5	-2.5	-0.9	+1.4	+0.5	+0.7	+1.1	-2.14	10.15 a	+2.5	0.45 a	-7.6	10.1	15
+1.9	+1.1	+2.9	+1.8	+1.0	-1.0	-1.2	-0.5	-1.3	+1.97	8.30 a	+7.6	9.10 p	-1.5	9.1	16
-0.7	-2.1	-2.6	-1.2	-1.5	-1.4	-1.5	-1.3	-1.5	-1.20	7.10 a	+0.3	5.15 p	-2.7	3.0	17
-1.5	-6.8	-8.2	-9.3	-11.2	-10.6	-10.4	-10.8	-12.0	-4.12	1.30 p	+0.3	12.00 p	-12.0	12.3	18
-13.8	-13.2	-14.4	-14.1	-13.7	-14.2	-12.3	-15.1	-15.3	-12.66	6.00 a	-10.5	12.00 p	-20.5	10.0	19
-18.6	-19.3	-19.4	-19.6	-19.1	-19.3	-20.1	-20.0	-20.5	-18.23	0.15 a	-15.3	0.15 a	-21.1	5.8	20
-17.0	-16.9	-17.0	-16.5	-16.0	-16.5	-16.1	-15.5	-14.3	-18.17	12.00 p	-14.3	0.10 a	-20.9	6.6	21
-13.3	-13.3	-13.5	-13.3	-13.5	-13.2	-13.4	-13.6	-13.5	-13.28	5.00 a	-12.3	10.00 a	-13.3	1.5	22
-11.4	-11.0	-12.0	-12.5	-12.7	-12.6	-12.3	-12.5	-12.3	-12.91	2.00 p	-11.0	5.50 a	-15.2	4.2	23
-14.9	-15.3	-15.6	-16.3	-16.6	-16.3	-17.3	-17.4	-17.7	-14.19	5.00 a	-9.8	12.00 p	-17.7	7.9	24
-19.5	-19.5	-19.5	-19.4	-19.4	-19.3	-19.5	-19.7	-19.6	-19.42	1.00 a	-17.8	9.00 p	-20.0	2.2	25
-20.0	-20.4	-20.6	-20.9	-21.2	-21.1	-21.4	-21.5	-21.4	-19.99	9.00 a	-19.0	11.00 p	-21.5	2.5	26
-24.2	-24.4	-24.6	-24.6	-24.6	-24.4	-24.6	-24.3	-24.2	-23.51	0.30 a	-21.7	7.00 p	-24.6	2.9	27
-17.7	-17.9	-18.1	(-17.7)	(-17.3)	-17.0	(-17.3)	-17.7	-18.2	-19.79	9.00 p	-17.0	1.00 a	-24.0	7.0	28
-8.5	-9.8	-9.0	-9.6	-9.4	-4.6	-7.7	-10.1	-5.9	-11.08	9.00 p	-4.6	1.00 a	-17.9	13.3	29
-7.3	-9.0	-7.7	-3.0	-4.0	-3.4	-7.2	-7.0	-6.1	-7.45	7.10 p	-1.2	5.30 a	-16.4	15.2	30
-13.22	-13.89	-13.84	-13.84	-13.86	-13.74	-14.17	-14.53	-14.40	-14.25		-9.29		-19.16	0.87	Med.

Absolutes Minimum = -34.9 (2:5^h 15^mp) .

Lufttemperatur

Höhe des Thermographen: 1.3 m. über Erdoberfläche; 12 m. über Meeresniveau

Oktober 1902

Dat.	1 a. m.	2 a. m.	3 a. m.	4 a. m.	5 a. m.	6 a. m.	7 a. m.	8 a. m.	9 a. m.	10 a. m.	11 a. m.	Mittg.	1 p. m.	2 p. m.	3 p. m.
1	- 5.2	- 4.5	- 3.5	- 4.6	- 3.5	- 1.5	- 2.5	- 1.2	- 4.5	- 4.0	- 3.2	- 2.7	- 3.5	- 3.0	- 4.1
2	- 10.9	- 7.8	- 10.6	- 12.0	- 11.7	- 4.7	- 5.5	- 3.9	- 2.9	- 2.5	- 6.5	- 6.2	- 4.7	- 5.7	- 4.2
3	- 4.9	- 4.3	- 3.0	- 1.9	- 0.9	- 0.7	± 0.0	+ 1.0	+ 0.9	+ 4.8	+ 3.3	+ 2.0	- 0.2	- 1.3	+ 0.3
4	- 1.0	- 2.6	- 2.6	- 2.6	- 2.4	- 2.4	- 2.3	- 1.2	- 1.2	- 0.7	- 0.4	- 5.2	- 2.1	± 0.0	- 0.7
5	- 6.2	- 0.2	- 2.2	- 2.7	- 3.0	- 2.6	- 3.2	- 3.9	- 5.4	- 5.8	- 6.3	- 6.8	- 6.2	- 9.0	- 10.4
6	- 5.6	- 2.4	- 11.7	- 8.2	- 9.7	- 7.7	- 7.0	- 5.7	- 4.5	- 3.7	- 3.0	- 2.5	- 3.0	± 0.0	± 0.0
7	- 3.5	- 4.0	- 5.6	- 7.4	- 7.6	- 8.2	- 7.1	- 7.5	- 7.5	- 8.3	- 8.3	- 7.9	- 7.0	- 6.7	- 5.0
8	- 7.6	- 7.9	- 8.0	- 7.5	- 6.0	- 6.5	- 9.0	- 6.6	- 3.9	- 3.7	- 1.5	- 2.1	- 1.4	- 2.2	- 2.6
9	- 6.2	- 3.9	- 3.3	- 4.5	- 2.7	- 9.0	- 5.3	- 1.2	- 1.5	± 0.0	+ 3.5	+ 2.9	+ 3.0	+ 3.2	+ 2.2
10	- 2.2	- 3.0	- 4.0	- 3.5	- 2.6	- 2.0	- 0.7	- 1.2	- 2.5	+ 1.5	+ 4.0	+ 3.2	+ 2.4	+ 2.6	- 4.0
11	- 13.4	- 13.0	- 12.9	- 12.8	- 12.8	- 12.8	- 12.1	- 10.7	- 9.6	- 8.7	- 7.8	- 7.1	- 6.3	- 4.7	- 4.7
12	± 0.0	- 4.0	- 8.3	- 12.0	- 14.5	- 14.4	- 16.4	- 16.9	- 17.0	- 17.1	- 17.0	- 17.1	- 17.4	- 17.3	- 17.4
13	- 20.7	- 20.2	- 20.6	- 21.3	- 21.3	- 21.6	- 21.0	- 20.8	- 18.7	- 17.3	- 16.5	- 16.5	- 16.3	- 16.7	- 16.9
14	- 22.5	- 22.6	- 22.7	- 22.6	- 22.4	- 22.7	- 22.1	- 22.3	- 21.8	- 21.1	- 21.0	- 20.5	- 20.0	- 19.7	- 19.6
15	- 20.4	- 21.7	- 21.8	- 22.2	- 20.4	- 17.9	- 17.3	- 16.5	- 15.1	- 14.2	- 13.0	- 11.3	- 10.4	- 10.2	- 12.1
16	- 19.5	- 20.0	- 20.1	- 20.8	- 21.1	- 21.1	- 20.7	- 21.0	- 20.7	- 20.5	- 20.4	- 20.0	- 19.8	- 20.0	- 19.9
17	- 20.7	- 20.7	- 20.0	- 19.7	- 19.6	- 19.6	- 19.6	- 19.2	- 18.6	- 17.6	- 20.1	- 20.6	- 20.9	- 21.5	- 21.5
18	- 24.5	- 24.6	- 24.7	- 24.8	- 24.7	- 24.3	- 23.1	- 22.3	- 21.4	- 21.1	- 20.7	- 20.4	- 20.3	- 19.2	- 20.0
19	- 21.3	- 21.1	- 21.9	- 22.0	- 22.2	- 22.5	- 23.0	- 23.6	- 23.4	- 23.1	- 22.6	- 22.4	- 22.1	- 22.0	- 22.0
20	- 21.6	- 21.4	- 21.2	- 21.1	- 21.0	- 20.6	- 20.5	- 20.0	- 19.6	- 18.9	- 18.6	- 17.8	- 17.8	- 17.7	- 17.2
21	- 16.5	- 16.7	- 16.7	- 16.5	- 16.2	- 15.9	- 16.2	- 16.1	- 15.7	- 15.0	- 14.3	- 14.0	- 13.4	- 13.7	- 13.9
22	- 16.0	- 15.3	- 15.2	- 15.3	- 15.0	- 14.9	- 14.3	- 13.5	- 13.0	- 12.8	- 11.8	- 11.7	- 11.2	- 11.2	- 10.8
23	- 13.4	- 13.6	- 13.5	- 13.4	- 13.7	- 13.9	- 14.5	- 14.0	- 13.9	- 12.8	- 12.6	- 12.3	- 10.9	- 11.3	- 11.6
24	- 16.3	- 16.9	- 17.3	- 17.9	- 18.2	- 18.4	- 18.4	- 18.3	- 18.2	- 18.0	- 17.8	- 17.8	- 17.7	- 17.7	- 17.6
25	- 19.1	- 19.2	- 19.2	- 19.2	- 19.0	- 18.9	- 18.8	- 18.7	- 18.5	- 18.3	- 17.8	- 17.7	- 17.2	- 17.0	- 16.8
26	- 16.1	- 16.3	- 16.5	- 16.6	- 16.9	- 17.3	- 17.5	- 17.7	- 17.7	- 17.5	- 17.3	- 17.3	- 17.3	- 17.3	- 17.3
27	- 16.4	- 16.3	- 16.3	- 16.3	- 16.2	- 16.1	- 15.8	- 15.6	(-15.4)	- 15.2	- 15.0	- 14.6	- 14.5	- 14.3	- 13.9
28	- 14.3	- 14.4	- 14.6	- 13.2	- 14.1	- 12.2	- 13.7	- 14.8	- 15.2	- 15.5	- 15.4	- 15.2	- 15.2	- 15.7	- 15.5
29	- 17.8	- 17.7	- 17.3	- 17.2	- 17.4	- 17.2	- 16.9	- 16.5	- 16.0	- 15.6	- 15.3	- 15.4	- 14.5	- 14.3	- 14.2
30	- 14.9	- 14.8	- 15.1	- 15.0	- 14.6	- 14.5	- 14.5	- 14.2	- 13.8	- 13.3	- 13.2	- 12.7	- 12.3	- 11.4	- 11.5
31	- 16.0	- 16.7	- 16.0	- 15.1	- 14.9	- 14.9	- 14.5	- 14.6	- 14.1	- 13.9	- 14.1	- 14.2	- 14.4	- 14.1	- 14.2
Med.	- 13.38	- 13.15	- 13.75	- 13.87	- 13.75	- 13.45	- 13.34	- 12.86	- 12.59	- 11.93	- 11.64	- 11.67	- 11.37	- 11.26	- 11.52
Absolutes Maximum = + 6.3 (3:9 ^b 30 ^{ma})															

Lufttemperatur

Höhe des Thermographen: 1,3 m. über Erdoberfläche; 12 m. über Meeresniveau

1902 Oktober

4 p. m.	5 p. m.	6 p. m.	7 p. m.	8 p. m.	9 p. m.	10 p. m.	11 p. m.	Mittn.	Med.	Maximum		Minimum		Diff.	Dat.
										h. m.		h. m.			
- 3.2	- 3.3	- 2.5	- 1.5	- 1.3	- 1.5	- 9.5	- 7.8	- 8.0	- 3.75	9.30 p	- 0.5	11.30 p	- 10.0	9.5	1
- 4.9	- 4.9	- 3.6	- 3.2	- 5.7	- 4.0	- 2.7	- 4.3	- 4.1	- 5.72	10.30 a	- 2.3	3.30 a	- 13.2	10.9	2
+ 2.3	+ 3.2	- 0.6	- 0.6	- 0.7	+ 2.8	- 1.7	- 1.8	- 4.0	- 0.25	9.30 a	+ 6.3	2.30 a	- 5.6	11.9	3
+ 0.3	+ 1.0	- 0.3	- 1.7	- 3.4	- 5.2	- 4.5	- 4.2	- 4.5	- 2.08	5.00 a	+ 1.0	11.30 p	- 5.7	6.7	4
- 10.6	- 11.1	- 11.7	- 12.1	- 13.0	- 12.5	- 10.2	- 8.8	- 7.9	- 7.16	2.00 a	- 0.2	8.00 p	- 13.0	12.8	5
+ 0.5	- 0.2	+ 3.5	+ 3.0	+ 1.7	+ 0.4	+ 0.4	- 1.5	- 2.7	- 2.90	5.50 p	+ 4.0	3.10 a	- 12.0	16.0	6
- 4.5	- 3.4	- 5.8	- 8.7	- 10.1	- 9.1	- 8.2	- 8.4	- 8.4	- 7.01	0.30 a	- 1.5	7.50 p	- 10.5	9.0	7
- 2.5	- 3.5	- 3.9	- 4.1	- 3.3	- 4.0	- 3.5	- 2.9	- 3.8	- 4.50	1.00 p	- 1.0	6.50 a	- 9.7	8.7	8
+ 2.4	+ 1.2	+ 0.6	+ 0.4	+ 0.4	- 0.6	- 2.2	- 3.4	- 1.1	- 1.05	11.15 a	+ 4.1	6.15 a	- 9.7	13.8	9
- 7.0	- 8.5	- 10.0	- 11.2	- 12.3	- 12.6	- 12.7	- 12.4	- 13.3	- 4.67	11.10 a	+ 4.2	12.00 p	- 13.3	17.5	10
- 4.8	- 2.9	- 4.8	- 6.1	- 6.2	- 4.2	- 4.8	- 5.7	- 5.0	- 8.08	5.00 p	- 2.9	4.30 a	- 13.9	11.0	11
- 17.8	- 18.8	- 19.1	- 19.7	- 19.6	- 20.0	- 20.3	- 20.5	- 20.7	- 15.97	0.15 a	+ 2.0	12.00 p	- 20.7	22.7	12
- 18.0	- 18.7	- 19.1	- 20.5	- 20.5	- 20.9	- 21.6	- 21.9	- 22.3	- 19.58	11.30 a	- 16.0	12.00 p	- 22.3	6.3	13
- 19.4	- 19.4	- 19.6	- 19.8	- 20.0	- 19.8	- 20.4	- 20.6	- 19.8	- 20.93	5.30 p	- 19.3	6.00 a	- 22.5	3.2	14
- 14.0	- 13.2	- 15.0	- 18.3	- 18.9	- 19.2	- 18.5	- 18.6	- 19.0	- 16.63	2.00 p	- 10.2	4.45 a	- 23.2	13.0	15
- 19.9	- 20.4	- 20.4	- 20.3	- 20.6	- 20.7	- 20.7	- 20.6	- 20.6	- 20.41	0.30 a	- 19.2	5.30 a	- 21.4	2.2	16
- 21.7	- 21.8	- 21.8	- 22.0	- 22.3	- 22.5	- 22.9	- 23.8	- 24.2	- 20.95	10.00 a	- 17.6	12.00 p	- 24.2	6.6	17
- 20.2	- 21.1	- 22.2	- 22.4	- 21.8	- 21.7	- 22.4	- 21.5	- 21.5	- 22.10	2.00 p	- 19.2	4.00 a	- 24.8	5.6	18
- 22.1	- 22.3	- 22.7	- 23.0	- 22.7	- 22.6	- 22.5	- 22.3	- 22.0	- 22.39	1.30 a	- 21.1	8.15 a	- 23.8	2.7	19
- 17.1	- 16.9	- 16.6	- 16.6	- 16.4	- 16.7	- 16.5	- 16.6	- 16.4	- 18.53	8.00 p	- 16.4	1.00 a	- 21.6	5.2	20
- 14.2	- 14.7	- 15.0	- 15.4	- 15.5	- 16.0	- 16.0	- 16.2	- 16.0	- 15.41	1.00 p	- 13.2	2.15 a	- 16.8	3.6	21
- 11.1	- 11.1	- 11.4	- 11.7	- 11.9	- 12.0	- 12.8	- 12.5	- 12.3	- 12.87	3.00 p	- 10.8	1.00 a	- 16.0	5.2	22
- 11.9	- 12.2	- 12.8	- 13.4	- 14.3	- 15.3	- 15.7	- 15.9	- 15.9	- 13.45	1.00 p	- 10.9	12.00 p	- 15.9	5.0	23
- 17.6	- 18.0	- 18.2	- 18.7	- 19.0	- 19.0	- 19.0	- 19.0	- 19.0	- 18.08	1.00 a	- 16.3	12.00 p	- 19.0	2.7	24
- 16.9	- 16.7	- 16.4	- 16.2	- 16.1	- 16.0	- 16.0	- 16.0	- 16.1	- 17.58	10.00 p	- 16.0	1.00 a	- 19.0	3.0	25
- 17.3	- 17.2	- 17.2	- 17.2	- 17.2	- 17.1	- 17.1	- 16.9	- 16.7	- 17.10	1.00 a	- 16.1	8.00 a	- 17.7	1.6	26
- 13.8	- 14.0	- 13.9	- 14.2	- 14.3	- 14.3	- 14.2	- 14.2	- 14.5	- 14.97	11.10 p	- 13.6	1.00 a	- 16.4	2.8	27
- 16.3	- 16.3	- 16.8	- 17.4	- 17.3	- 17.2	- 17.3	- 17.9	- 17.8	- 15.55	6.00 a	- 12.2	11.30 p	- 18.0	5.8	28
- 14.2	- 14.0	- 14.1	- 14.1	- 14.3	- 14.4	- 14.5	- 14.6	- 15.0	- 15.52	5.00 p	- 14.8	1.00 a	- 17.0	2.2	29
- 11.8	- 11.6	- 12.0	- 12.8	- 13.5	- 13.3	- 12.9	- 13.3	- 15.4	- 13.43	3.30 p	- 11.1	3.00 a	- 15.1	4.0	30
- 14.2	- 14.4	- 14.6	- 14.6	- 14.6	- 14.8	- 14.9	- 15.2	- 15.4	- 14.77	10.10 a	- 13.6	1.00 a	- 16.7	3.1	31
- 11.66	- 11.78	- 12.19	- 12.71	- 13.05	- 13.03	- 13.40	- 13.52	- 13.66	- 12.69		- 8.85	- 16.41	7.56	Med.	
Absolutes Minimum = - 24.8 (18 : 4 h ⁰⁰ ma)															

Lufttemperatur

Höhe des Thermographen: 1.3 m. über Erdoberfläche; 12 m. über Meeresniveau

November 1902

Dat.	1 a. m.	2 a. m.	3 a. m.	4 a. m.	5 a. m.	6 a. m.	7 a. m.	8 a. m.	9 a. m.	10 a. m.	11 a. m.	Mittg.	1 p. m.	2 p. m.	3 p. m.
1	-15.6	-15.4	-15.6	-16.0	-17.0	-16.1	-16.4	-16.7	-16.0	-15.5	-15.3	-14.8	-14.1	-13.5	-13.7
2	-14.1	-14.2	-14.2	-14.3	-14.6	-14.5	-14.4	-14.3	-14.1	-13.8	-13.6	-13.5	-13.4	-13.4	-13.2
3	-13.8	-14.0	-14.3	-14.6	-14.5	-14.8	-15.0	-15.7	-16.2	-15.6	-14.7	-14.3	-14.2	-14.2	-13.9
4	-12.2	-12.1	-12.0	-11.3	-12.8	-12.9	-12.0	-12.2	-11.9	-10.8	-9.8	-10.4	-8.7	-7.8	-6.4
5	-10.7	-10.8	-11.4	-11.7	-13.0	-13.2	-14.8	-12.4	-11.3	-10.2	-10.1	-10.3	-9.6	-9.8	-10.8
6	-12.0	-11.2	-10.9	-11.6	-11.1	-10.8	-10.7	-10.9	-10.6	-9.8	-8.9	-7.9	-7.1	-6.3	-6.2
7	-10.3	-12.9	-13.3	-13.2	-13.2	-13.6	-6.7	-7.2	-6.7	-6.3	-5.3	-4.8	-4.4	-3.5	-3.8
8	-5.6	-5.9	-4.9	-5.6	-4.7	-4.2	-2.4	-1.2	-0.6	+0.4	+1.4	-1.5	+1.4	+4.7	+3.8
9	-7.6	-8.7	-9.6	-10.7	-12.1	-10.6	-9.0	-7.3	-7.1	-7.5	-7.6	-7.4	-6.3	-6.4	-6.6
10	-8.6	-8.4	-8.0	-7.8	-7.6	-7.3	-6.1	-5.8	-4.7	-5.3	-5.2	-5.1	-4.8	-5.0	-5.1
11	-7.9	-8.0	-8.6	-9.0	-9.0	-9.1	-9.2	-9.2	-9.4	-9.1	-9.1	-9.0	-8.7	-8.5	-8.0
12	-10.7	-10.6	-10.2	-10.3	-10.3	-10.4	-10.4	-10.3	-10.2	-9.6	-9.0	-8.7	-8.3	-8.6	-7.8
13	-9.8	-9.9	-10.3	-10.9	-11.1	-11.6	-11.7	-10.7	-9.6	-9.5	-8.5	-8.5	-7.7	-7.4	-7.7
14	-10.0	-10.1	-10.3	-10.5	-10.9	-10.6	-9.8	-9.8	-9.2	-8.3	-7.3	-6.4	-5.0	-5.0	-4.6
15	-6.6	-7.1	-7.4	-7.5	-7.8	-8.2	-8.4	-7.5	-7.5	-7.5	-6.6	-6.5	-6.3	-5.7	-5.5
16	-6.4	-7.8	-8.5	-8.5	-8.5	-8.3	-8.0	-7.8	-7.5	-7.4	-7.8	-8.3	-8.6	-9.3	-9.2
17	-10.3	-10.3	-10.1	-10.8	-10.9	-10.6	-10.5	-10.5	-10.3	-10.4	-9.7	-8.8	-8.1	-7.5	-7.7
18	-11.8	-11.8	-11.3	-11.8	-11.4	-12.3	-12.6	-12.2	-12.3	-12.4	-12.5	-12.2	-12.3	-12.2	-12.2
19	-11.1	-11.2	-11.6	-11.5	-11.3	-11.1	-10.8	-10.5	-9.8	-9.3	-8.0	-7.8	-7.1	-6.3	-6.2
20	-6.4	-6.8	-6.9	-6.9	-6.9	-7.0	-7.1	-6.7	-6.8	-6.6	-5.6	-5.2	-6.6	-6.5	-6.6
21	-10.3	-10.5	-10.8	-10.8	-10.6	-10.1	-9.7	-9.2	-9.3	-9.0	-9.8	-9.5	-9.4	-9.4	-9.5
22	-10.7	-10.7	-10.7	-10.2	-10.3	-9.8	-9.7	-9.3	-8.2	-8.3	-6.7	-6.8	-7.6	-7.4	-7.5
23	-7.5	-7.8	-7.9	-7.7	-7.2	-6.8	-6.2	-5.6	-5.3	-4.5	-5.2	-4.1	-4.5	-4.5	-4.7
24	-7.3	-7.5	-7.8	-7.9	-8.0	-7.8	-7.0	-6.4	-6.2	-5.9	-5.3	-5.1	-4.7	-4.3	-4.4
25	-5.9	-8.9	-9.8	-8.5	-6.0	-5.1	-4.7	-3.8	-3.0	-2.4	-1.5	-1.2	-0.8	-0.5	-0.8
26	-6.4	-6.8	-6.6	-7.2	-6.6	-6.4	-7.0	-6.0	-5.4	-5.6	-5.9	-4.6	-4.5	-3.9	-4.2
27	-7.4	-7.7	-7.7	-7.6	-7.4	-7.2	-6.8	-6.5	-5.9	-7.7	-7.7	-7.7	-7.2	-7.1	-7.0
28	-7.4	-7.5	-7.5	-7.2	-6.1	-6.0	-5.3	-4.5	-2.1	-1.2	-1.4	-0.9	-0.4	-0.2	-2.3
29	-5.0	-4.9	-5.4	-5.4	-5.4	-5.3	-5.0	-4.5	-4.1	-2.8	-2.5	-2.6	-2.1	-2.0	-1.8
30	-3.8	-3.9	-3.9	-3.9	-3.8	-3.7	-3.2	-3.0	-3.0	-2.8	-2.1	-2.6	-1.8	-1.2	-1.9
Med.	-9.11	-9.45	-9.58	-9.70	-9.67	-9.51	-9.02	-8.59	-8.14	-7.82	-7.38	-7.21	-6.76	-6.42	-6.52
Absolutes Maximum = + 6.4 (8: 5 ^h 30 ^{mp})															

Lufttemperatur

Höhe des Thermographen: 1.3 m. über Erdoberfläche; 12 m. über Meeresniveau

1902 November

4 p. m.	5 p. m.	6 p. m.	7 p. m.	8 p. m.	9 p. m.	10 p. m.	11 p. m.	M(tn.)	Med.	Maximum		Minimum		Diff.	Dat.
										h. m.		h. m.			
- 13.7	- 13.8	- 13.6	- 14.0	- 14.0	- 13.9	- 14.0	- 13.8	- 13.9	- 14.85	2.00 p	- 13.5	5.00 a	- 17.0	3.5	1
- 13.2	- 13.2	- 13.3	- 13.5	- 13.8	- 13.7	- 13.6	- 13.8	- 13.7	- 13.81	3.00 p	- 13.2	5.00 a	- 14.6	1.4	2
- 14.4	- 14.2	- 14.4	- 14.6	- 14.4	- 14.4	- 13.5	- 13.5	- 13.2	- 14.43	3.15 p	- 13.5	9.00 a	- 16.2	2.7	3
- 6.7	- 7.1	- 6.3	- 9.4	- 10.1	- 11.0	- 11.6	- 12.5	- 12.4	- 10.43	6.00 p	- 6.3	4.45 a	- 13.2	6.9	4
- 10.8	- 10.5	- 10.7	- 10.7	- 11.4	- 11.6	- 12.2	- 12.4	- 12.4	- 11.37	1.00 p	- 9.5	6.30 a	- 15.0	5.5	5
- 6.3	- 6.9	- 6.3	- 6.1	- 7.6	- 7.1	- 8.1	- 9.6	- 11.3	- 8.97	7.15 p	- 5.9	1.00 a	- 12.0	6.1	6
- 3.4	- 3.4	- 3.5	- 4.7	- 4.0	- 6.2	- 5.4	- 5.8	- 5.5	- 6.96	2.45 p	- 3.2	4.30 a	- 14.4	11.2	7
+ 3.4	+ 5.4	+ 3.4	+ 2.5	+ 1.4	- 0.6	- 4.6	- 5.3	- 6.3	- 1.07	5.30 p	+ 6.4	12.00 p	- 6.3	12.7	8
- 7.0	- 7.1	- 7.7	- 8.8	- 9.8	- 9.4	- 9.1	- 9.0	- 8.9	- 8.39	1.30 p	- 5.8	4.45 a	- 12.5	6.7	9
- 5.3	- 5.5	- 5.9	- 6.2	- 6.5	- 7.2	- 7.3	- 7.5	- 7.3	- 6.40	1.00 p	- 4.8	1.00 a	- 8.6	3.8	10
- 8.1	- 8.2	- 8.3	- 8.6	- 9.2	- 9.5	- 9.7	- 10.0	- 10.9	- 8.93	1.00 a	- 7.9	12.00 p	- 10.9	3.0	11
- 7.3	- 7.0	- 7.2	- 7.3	- 7.6	- 7.8	- 8.3	- 8.5	- 9.0	- 8.98	4.45 p	- 6.8	0.30 a	- 9.8	3.0	12
- 8.0	- 8.3	- 8.4	- 8.7	- 8.7	- 8.7	- 9.4	- 10.0	- 10.0	- 9.38	6.30 p	- 6.9	6.15 a	- 11.9	5.0	13
- 4.6	- 6.0	- 6.1	- 6.1	- 6.1	- 6.5	- 6.9	- 6.9	- 6.8	- 7.66	2.45 p	- 4.3	5.00 a	- 10.9	6.6	14
- 5.5	- 5.3	- 5.4	- 5.1	- 6.2	- 7.2	- 7.5	- 7.0	- 7.0	- 6.76	6.30 p	- 5.0	5.45 a	- 8.7	3.7	15
- 9.0	- 9.4	- 9.7	- 9.8	- 9.5	- 9.5	- 9.6	- 9.8	- 10.0	- 8.68	0.45 a	- 6.3	12.00 p	- 10.0	3.7	16
- 8.0	- 8.3	- 8.9	- 9.7	- 9.9	- 10.5	- 10.3	- 10.3	- 10.8	- 9.72	2.00 p	- 7.5	5.00 a	- 10.9	3.4	17
- 12.0	- 12.2	- 12.0	- 12.0	- 11.8	- 11.9	- 11.4	- 11.3	- 11.3	- 11.97	0.30 a	- 10.9	10.30 a	- 12.6	1.7	18
- 5.3	- 6.0	- 6.3	- 6.7	- 7.1	- 7.2	- 6.3	- 6.0	- 6.3	- 8.39	2.45 p	- 5.1	3.00 a	- 11.6	6.5	19
- 7.1	- 7.6	- 7.8	- 8.3	- 8.5	- 9.0	- 9.0	- 9.4	- 10.0	- 7.30	12.00 a	- 5.2	12.00 p	- 10.0	4.8	20
- 9.4	- 9.5	- 9.3	- 9.8	- 9.8	- 10.2	- 10.5	- 10.5	- 10.5	- 9.89	9.15 a	- 8.7	4.00 a	- 10.8	2.1	21
- 7.5	- 7.5	- 7.3	- 7.5	- 7.4	- 7.7	- 7.7	- 7.7	- 7.5	- 8.40	11.00 a	- 6.7	1.30 a	- 10.8	4.1	22
- 4.2	- 5.0	- 5.3	- 5.3	- 5.3	- 5.3	- 5.8	- 6.5	- 7.0	- 5.80	0.30 p	- 3.8	3.00 a	- 7.9	4.1	23
- 4.3	- 4.8	- 4.8	- 5.1	- 5.4	- 5.7	- 5.7	- 5.7	- 6.1	- 5.97	3.50 p	- 4.0	5.15 a	- 8.1	4.1	24
- 1.1	- 1.8	- 2.3	- 5.2	- 6.0	- 6.7	- 7.0	- 6.9	- 6.6	- 4.44	2.00 p	- 0.5	3.00 a	- 8.9	8.4	25
- 4.8	- 4.8	- 5.8	- 6.2	- 6.3	- 6.8	- 7.0	- 7.1	- 7.3	- 5.97	2.00 p	- 3.9	12.00 p	- 7.3	3.4	26
- 6.9	- 7.3	- 7.4	- 7.5	- 7.5	- 7.6	- 7.6	- 7.4	- 7.4	- 7.30	9.15 a	- 5.7	10.00 a	- 7.7	2.0	27
- 2.6	- 2.5	- 2.9	- 3.5	- 3.5	- 3.5	- 4.3	- 4.6	- 4.8	- 3.84	2.00 p	- 0.2	1.30 a	- 7.6	7.4	28
- 1.5	- 1.9	- 1.8	- 2.4	- 2.6	- 3.1	- 3.2	- 3.2	- 4.6	- 3.46	4.00 p	- 1.5	5.00 a	- 5.4	3.9	29
- 2.8	- 3.2	- 3.4	- 4.3	- 4.5	- 4.7	- 4.9	- 4.9	- 5.3	- 3.44	1.50 p	- 1.2	12.00 p	- 5.3	4.1	30
- 6.60	- 6.76	- 6.96	- 7.49	- 7.77	- 8.14	- 8.38	- 8.56	- 8.80	- 8.10		- 5.71		- 10.56	4.85	Med.
Absolutes Minimum = - 17.0 (1: 5 ^h 00 ^m a)															

Lufttemperatur

Höhe des Thermographen: 1.3 m. über Erdoberfläche; 12 m. über Meeresniveau

December 1902

Dat.	1 a. m.	2 a. m.	3 a. m.	4 a. m.	5 a. m.	6 a. m.	7 a. m.	8 a. m.	9 a. m.	10 a. m.	11 a. m.	Mittg.	1 p. m.	2 p. m.	3 p. m.
1	-5.6	-5.8	-5.9	-6.0	-6.0	-5.9	-6.4	-6.2	-6.0	-5.9	-5.4	-5.5	-5.5	-5.0	-5.3
2	-4.2	-9.4	-8.9	-8.9	-9.2	-7.8	-6.2	-5.9	-4.9	-5.1	-4.7	-4.7	-4.6	-4.7	-4.7
3	-5.5	-5.5	-5.5	-5.4	-5.1	-3.5	-3.4	-2.4	-1.7	-0.7	+0.1	+0.7	+0.8	+0.7	+0.5
4	-8.0	-8.7	-8.2	-8.2	-8.1	-6.3	-4.5	-3.2	-2.6	-1.5	-1.0	-1.3	-1.0	-0.2	-0.2
5	-4.7	-5.1	-5.1	-5.1	-5.0	-5.0	-4.9	-4.5	-4.2	-3.5	-2.6	-2.2	-1.1	-1.3	-1.3
6	-4.0	-3.9	-3.6	-3.4	-3.4	-3.1	-2.9	-2.5	-2.4	-1.6	-1.0	± 0.0	+ 0.3	± 0.0	-0.6
7	-2.9	-3.6	-3.7	-3.6	-3.8	-3.8	-2.8	-2.1	-1.6	-0.6	+0.2	+1.1	+1.4	+1.4	+1.7
8	-2.7	-2.2	-2.1	-3.2	-3.2	-2.7	-2.4	-0.4	-0.5	+0.2	+0.8	+1.4	+1.0	+1.3	+0.9
9	-1.0	-1.2	-1.1	-1.1	-1.0	-0.8	-0.5	-0.2	-0.1	+0.4	+0.6	+0.8	+0.9	+1.0	+1.3
10	-1.4	-1.4	-1.4	-1.5	-1.5	-1.6	-1.3	-1.0	-1.0	-1.0	-0.4	± 0.0	± 0.0	+1.6	+0.2
11	-1.9	-1.9	-2.2	-2.6	-2.6	-2.0	-1.4	-0.8	-0.4	-0.1	+0.3	+0.7	+0.5	+0.7	+0.7
12	-1.8	-1.9	-1.8	-1.6	-1.2	-1.6	-2.4	-2.0	-1.7	-1.7	-1.6	-1.4	-1.4	-0.7	-0.8
13	-2.1	-2.1	-2.1	-2.1	-2.0	-2.0	-1.4	-1.4	-0.3	-0.9	-0.9	-0.3	+0.1	± 0.0	-0.2
14	-3.4	-3.4	-2.9	-2.8	-2.7	-2.6	-2.4	-2.2	-1.7	-0.8	-1.1	-1.3	-1.0	-1.2	-1.5
15	-4.4	-4.0	-3.6	-3.2	-2.8	-2.4	-2.0	-1.2	± 0.0	-0.3	-0.1	+0.7	+1.1	+0.7	+0.3
16	-1.0	-1.4	-1.5	-1.6	-1.6	-1.6	-1.8	-2.1	-2.1	-2.0	-2.0	-2.1	-2.0	-1.7	-1.7
17	-2.7	-3.0	-2.9	-2.7	-2.7	-2.3	-1.9	-1.9	-1.6	-1.2	-1.4	-1.3	-1.1	-1.2	-0.8
18	-4.8	-2.9	-3.5	-3.7	-3.3	-4.2	-2.7	-2.2	-1.8	-1.0	-1.0	± 0.0	-0.9	-0.3	± 0.0
19	-2.0	-2.0	-2.0	-2.0	-2.1	-2.1	-2.0	-1.4	-0.7	-0.3	+0.7	+0.2	+0.3	± 0.0	± 0.0
20	-3.1	-4.9	-5.0	-3.0	-2.3	-2.3	-2.3	-2.6	-1.3	-1.4	-1.3	-1.7	-1.7	-1.4	-1.7
21	-3.3	-3.4	-3.6	-3.6	-3.6	-3.5	-3.3	-3.1	-3.2	-2.7	-2.1	-1.7	-1.7	-1.7	-1.0
22	-3.3	-3.2	-3.3	-3.3	-3.0	-2.2	-2.0	-1.3	-0.9	-0.5	-0.4	+0.1	+0.1	+0.3	± 0.0
23	-1.0	-1.4	-1.7	-1.7	-1.4	-1.1	-1.4	-2.1	-1.8	-1.9	-1.7	-1.1	-0.9	-0.8	-1.6
24	-5.3	-5.1	-4.9	-7.5	-7.1	-3.8	-3.0	-2.0	-3.7	-1.8	-1.0	-0.6	-0.3	± 0.0	-0.1
25	-6.8	-6.8	-7.4	-6.8	-7.0	-5.6	-4.9	-3.9	-2.9	-0.4	+0.6	-0.3	+0.7	+0.9	+0.9
26	-4.7	-5.0	-5.8	-6.0	-5.8	-4.7	-4.2	-4.1	-3.0	-2.8	-2.5	-2.2	-2.0	-1.7	-1.8
27	-2.6	-2.7	-3.0	-3.4	-3.2	-3.2	-2.5	-2.6	-2.1	-1.4	-0.9	-0.8	-1.1	-0.2	-0.6
28	-2.5	-2.7	-3.3	-3.1	-3.6	-3.2	-2.5	-1.6	-1.3	-0.7	+0.1	+0.7	+1.0	+0.9	+0.8
29	-3.0	-5.0	-6.8	-7.2	-7.0	-2.5	-1.8	-1.2	+0.2	+0.6	+0.9	+1.4	+1.5	+1.6	+1.0
30	-0.4	-0.5	-0.5	-0.7	-0.8	-0.4	-0.5	+0.3	+1.2	+1.5	+2.0	+1.1	+1.3	+1.1	+1.3
31	-1.3	-1.4	-1.5	-1.5	-1.5	-1.4	-1.0	-0.6	+1.6	+0.8	+2.0	+1.9	+0.4	+1.2	+1.4
Med.	-3.43	-3.60	-3.70	-3.76	-3.66	-3.07	-2.67	-2.21	-1.71	-1.27	-0.82	-0.56	-0.46	-0.31	-0.42
Absolutes Maximum = + 3.0 (29: 5 ^h 45 ^m p.) (31: 11 ^h 30 ^m a.)															

Lufttemperatur

Höhe des Thermographen: 1.3 m. über Erdoberfläche; 12 m. über Meeresniveau

1902 December

4 p. m.	5 p. m.	6 p. m.	7 p. m.	8 p. m.	9 p. m.	10 p. m.	11 p. m.	Mithn.	Med.	Maximum		Minimum		Diff.	Dat.
										h. m.		h. m.			
-5.2	-5.0	-5.5	-5.4	-6.1	-6.8	-7.5	-8.5	-9.5	-6.08	2.45 p	-3.9	12.00 p	-9.6	5.7	1
-4.5	-4.4	-4.4	-4.7	-4.7	-5.5	-5.5	-5.7	-5.6	-6.00	5.00 p	-4.0	1.45 a	-9.8	5.8	2
+0.5	± 0.0	-0.5	-1.4	-2.4	-3.0	-3.3	-3.9	-4.5	-2.27	1.45 p	+0.9	1.30 a	-5.7	6.6	3
-1.6	-2.2	-2.2	-2.8	-2.8	-3.0	-3.8	-4.2	-4.3	-3.87	11.30 a	+0.6	2.00 a	-9.1	9.7	4
-0.5	-1.8	-2.0	-2.4	-3.0	-3.9	-4.1	-4.3	-4.3	-3.41	4.00 p	+0.1	1.15 a	-5.1	5.2	5
-0.6	-0.6	-0.8	-1.1	-1.2	-1.4	-0.9	-2.0	-2.2	-1.79	1.00 p	+0.5	1.30 a	-4.4	4.9	6
+1.3	+1.4	-0.2	-0.4	-0.8	-0.9	-1.5	-2.1	-2.8	-1.20	2.15 p	+1.8	4.30 a	-4.3	6.1	7
+0.7	+0.6	+0.1	-0.2	-0.2	-0.4	-0.4	-0.4	-0.5	-0.60	0.00 p	+2.1	4.30 a	-3.6	5.7	8
+1.3	+0.9	+1.0	+0.6	+0.2	± 0.0	-0.2	-0.6	-1.0	+0.01	3.15 p	+1.8	2.00 a	-1.3	3.1	9
+0.5	-0.1	-0.5	-0.9	-1.0	-1.4	-2.4	-2.2	-2.1	-0.91	1.50 p	+1.7	10.00 p	-2.6	4.3	10
+0.6	± 0.0	± 0.0	-0.8	-0.9	-1.3	-1.8	-1.7	-1.7	-0.86	3.15 p	+0.9	4.00 a	-2.8	3.7	11
-0.8	-0.7	-0.6	-1.5	-1.6	-2.0	-2.0	-1.9	-2.0	-1.53	6.00 p	-0.5	7.15 a	-2.8	2.3	12
-0.8	-0.6	-0.8	-0.6	-1.3	-1.4	-1.8	-2.7	-3.0	-1.28	0.45 p	+0.4	12.00 p	-3.2	3.6	13
-1.4	-1.5	-4.4	-4.8	-5.0	-5.2	-4.9	-4.9	-4.8	-2.83	11.00 a	-0.1	8.15 p	-5.3	5.2	14
+0.1	+0.7	-0.2	-0.2	-0.8	-0.8	-1.5	-1.7	-0.6	-1.09	1.00 p	+1.2	0.30 a	-4.8	6.0	15
-1.9	-2.0	-2.1	-2.2	-2.2	-2.2	-2.7	-3.7	-3.0	-2.01	0.30 a	-0.9	11.00 p	-3.9	3.0	16
-0.6	-1.1	-1.3	-1.3	-1.5	-2.2	-3.3	-2.8	-3.0	-1.91	3.30 p	-0.7	9.50 p	-3.5	2.8	17
-0.1	-1.1	-1.0	-1.5	-1.5	-1.3	-1.3	-2.0	-1.9	-1.83	2.30 p	+0.7	3.10 a	-5.4	6.1	18
± 0.0	-0.3	-0.6	-1.0	-1.1	-2.1	-1.7	-2.3	-3.7	-1.18	11.00 a	+1.7	11.50 p	-4.3	6.0	19
-1.6	-2.2	-2.1	-2.2	-2.1	-2.3	-2.8	-3.1	-3.2	-2.40	11.00 a	-0.9	3.00 a	-5.4	4.5	20
-1.1	-1.4	-1.5	-1.8	-2.3	-2.8	-3.0	-2.9	-3.3	-2.57	3.15 p	-0.1	4.00 a	-3.7	3.6	21
+0.4	+0.3	+0.5	+0.2	+0.1	+0.2	+0.2	+0.2	+0.2	-0.86	5.30 p	+1.2	3.15 a	-3.4	4.6	22
-1.6	-1.6	-1.7	-2.0	-2.1	-2.2	-3.0	-4.4	-5.0	-1.88	1.15 p	-0.7	12.15 p	-5.0	4.3	23
-0.3	-1.0	-1.8	-2.3	-3.6	-3.4	-3.9	-6.0	-6.8	-3.14	1.45 p	+1.0	4.10 a	-7.8	8.8	24
+0.5	-0.4	-1.0	-1.9	-2.7	-3.6	-4.0	-4.0	-4.4	-2.97	2.30 p	+1.1	2.15 a	-8.8	9.9	25
-2.8	-3.4	-3.4	-3.3	-3.2	-3.2	-3.1	-3.2	-3.0	-3.54	2.00 p	-1.7	4.30 a	-6.2	4.5	26
-0.5	-0.4	-0.6	-1.2	-1.5	-1.9	-2.0	-2.1	-2.2	-1.74	1.10 p	± 0.0	4.00 a	-3.4	3.4	27
+0.7	+0.3	-0.7	-1.5	-2.1	-2.7	-2.7	-2.8	-3.3	-1.49	2.45 p	+1.1	3.10 a	-4.0	5.1	28
+1.0	+1.4	+1.6	+0.9	+0.1	-0.4	-0.7	-0.6	-0.4	-1.02	5.45 p	+3.0	3.45 a	-7.8	10.8	29
+1.7	+0.6	+0.3	-0.1	-0.4	-0.6	-0.8	-1.0	-1.1	+0.19	10.30 a	+2.9	12.00 p	-1.2	4.1	30
+1.5	+1.0	+0.3	+0.1	-0.1	-1.6	-0.9	-1.2	-1.2	-0.12	11.30 a	+3.0	9.45 p	-2.0	5.0	31
-0.49	-0.79	-1.16	-1.54	-1.86	-2.24	-2.49	-2.86	-3.04	-2.01		+0.46		-4.84	5.30	Med.
Absolute Minimum = -9.8 (2:1 ^h 45 ^m a)															

Lufttemperatur

Höhe des Thermographen: 1.3 m. über Erdoberfläche; 12 m. über Meeresniveau

Januari 1903

Dat.	1 a. m.	2 a. m.	3 a. m.	4 a. m.	5 a. m.	6 a. m.	7 a. m.	8 a. m.	9 a. m.	10 a. m.	11 a. m.	Mittg.	1 p. m.	2 p. m.	3 p. m.
1	-1.7	-1.9	-2.1	-2.1	-1.4	-1.2	-1.2	-0.4	-0.2	-0.2	-0.1	+0.3	+0.3	+0.3	±0.0
2	-1.4	-1.7	-1.3	-1.0	-0.3	-0.6	+0.3	+0.3	+1.3	+1.5	+1.4	+1.2	+1.4	+0.9	+0.8
3	-1.3	-1.3	-1.3	-0.9	-0.5	-0.4	-0.4	-0.4	-0.8	-0.5	-0.7	-0.1	-0.5	-0.5	-0.5
4	-1.5	-1.9	-2.4	-1.9	-1.9	-1.9	-1.9	-1.8	-1.0	-0.5	+0.3	+0.6	+1.0	+1.5	+1.7
5	+1.4	+1.0	+1.1	+0.3	±0.0	+0.6	+1.0	+0.6	-0.1	-0.2	-0.4	+0.5	+0.8	-0.8	-0.7
6	-2.8	-3.0	-3.0	-3.0	-2.8	-2.5	-2.3	-2.1	-1.9	-1.8	-1.6	-1.6	-1.6	-1.3	-1.2
7	-0.8	-1.5	-1.2	-1.4	-1.2	-1.3	-1.2	-0.9	-0.8	-0.4	-0.2	+0.1	+0.2	+0.3	+0.9
8	-1.1	-1.3	-1.7	-2.5	-3.0	-2.7	-2.9	-2.7	-3.2	-2.3	-1.5	-1.7	-1.3	-0.5	-0.7
9	-1.4	-1.4	-2.2	-2.2	-2.1	-2.1	-2.3	-2.3	-2.0	-1.9	-1.7	-1.3	-1.1	-1.0	-0.6
10	-1.4	-1.3	-1.1	-1.1	-1.5	-2.0	-2.1	-2.1	-2.3	-2.1	-2.0	-1.9	-1.6	-1.5	-1.3
11	-1.9	-1.9	-1.8	-1.5	-1.5	-1.5	-1.4	-1.4	-1.5	-1.5	-1.2	-1.0	-1.0	-0.9	-0.9
12	-1.8	-2.6	-2.2	-2.8	-3.2	-2.4	-2.0	-1.2	-0.6	-0.5	-0.3	-0.2	+0.3	+1.0	+1.9
13	-1.0	-1.7	-2.1	-2.0	-1.9	-1.5	-1.5	-1.4	-1.5	-0.9	-0.7	+0.1	-0.3	±0.0	+0.1
14	-2.3	-2.2	-2.9	-2.9	-2.7	-2.7	-2.6	-2.1	-1.0	-0.8	±0.0	+0.2	±0.0	+0.6	+0.4
15	-2.0	-2.0	-2.3	-2.3	-2.2	-2.1	-2.5	-2.5	-2.4	-1.8	-1.5	-0.2	-0.2	-0.4	-1.4
16	-4.4	-4.3	-4.2	-4.3	-4.0	-3.9	-3.4	-1.7	-2.0	-1.9	-1.8	-1.8	-2.0	-1.0	-1.4
17	-2.7	-2.5	-2.4	-2.4	-2.5	-2.5	-2.5	-2.5	-2.1	-1.7	-1.4	-1.6	-1.7	-2.4	-2.2
18	-3.6	-4.0	-3.7	-3.8	-3.7	-3.0	-2.6	-1.8	-2.0	-1.8	-1.3	-1.2	-0.9	-0.9	-0.3
19	-2.2	-2.3	-2.4	-2.3	-2.3	-2.1	-1.8	-1.7	-1.4	-1.6	-1.6	-0.1	+1.0	±0.0	+0.3
20	-1.5	-1.9	-1.4	-2.9	-2.1	-1.5	-1.1	-0.7	-0.9	-0.7	-0.4	+0.3	+0.7	+1.2	+0.9
21	-1.7	-2.3	-2.3	-2.2	-2.0	-1.8	-1.2	-0.7	-0.7	+1.5	+1.2	+1.9	+3.2	+3.5	+4.4
22	-2.4	-2.8	-3.7	-4.4	-4.3	-4.0	-1.0	±0.0	+1.0	+2.8	+3.7	+2.6	+4.0	+4.4	+5.0
23	±0.0	+1.8	+1.3	+1.4	+1.8	+1.6	+0.9	+1.7	+1.9	+2.8	+3.0	+3.2	+3.2	+3.8	+4.0
24	-0.6	-0.8	-1.6	-1.8	-1.9	-1.8	-0.2	-0.5	+1.3	+0.5	+0.6	+0.9	+0.6	+1.3	+0.6
25	-1.2	-0.8	-1.0	-0.6	-0.9	-0.6	-0.2	±0.0	+0.2	+0.4	+1.0	+1.6	+2.4	+1.4	+1.2
26	-0.4	-0.5	-0.5	-0.3	-0.4	-0.5	-0.8	-0.3	+1.4	+1.3	+1.3	+3.7	+2.8	+2.6	+1.4
27	-1.3	-1.7	-1.6	-1.7	-1.3	-1.3	-1.3	-1.2	-0.8	-0.9	-0.6	-0.9	-1.0	-0.8	-0.8
28	-1.6	-2.0	-2.2	-2.3	-2.2	-2.1	-1.9	-1.5	-1.3	-0.9	-0.5	±0.0	±0.0	+0.1	-0.1
29	-2.4	-2.5	-2.6	-2.6	-2.4	-2.5	-2.3	-2.4	-2.3	-2.2	-2.0	-1.8	-1.5	-1.0	-0.8
30	-1.7	-1.9	-2.0	-2.0	-2.1	-2.1	-1.7	-1.4	-1.1	-0.8	±0.0	+0.8	+0.7	+0.3	+0.1
31	-1.5	-1.4	-1.6	-2.0	-2.2	-1.7	-1.2	-0.7	-0.2	+0.5	+1.3	+0.5	+0.8	+2.3	±0.0
Med.	-1.62	-1.76	-1.88	-1.98	-1.89	-1.75	-1.46	-1.16	-0.87	-0.54	-0.25	+0.07	+0.23	+0.40	+0.35

Absolutes Maximum = + 5.6 (21: 4^h15^m p)

Lufttemperatur

Höhe des Thermographen: 1.3 m. über Erdoberfläche; 12 m. über Meeresniveau

1903 Januari

4 p. m.	5 p. m.	6 p. m.	7 p. m.	8 p. m.	9 p. m.	10 p. m.	11 p. m.	Mtn.	Med.	Maximum	Minimum	Diff.	Dat.		
										h. m.	h. m.				
-0.4	-0.4	-0.5	-0.7	-1.2	-1.3	-1.6	-1.7	-2.1	-0.90	0.30 p	+0.1	3.10 a	-2.6	2.7	1
+1.0	+0.5	+0.5	+0.2	±0.0	-0.4	-0.6	-0.9	-1.1	+0.08	10.30 a	+2.1	0.15 a	-2.0	4.1	2
-0.6	-0.5	-0.5	-0.7	-0.8	-0.9	-1.1	-1.2	-1.1	-0.73	2.10 p	±0.0	2.30 a	-2.4	2.4	3
+4.1	+3.5	+3.1	+3.6	+3.4	+2.1	+2.0	+1.6	+1.7	+0.56	8.10 p	+4.8	3.30 a	-3.3	8.1	4
-1.1	-1.0	+1.4	-1.9	-2.1	-2.2	-2.3	-2.6	-2.9	-0.62	1.30 a	+2.1	12.00 p	-2.9	5.0	5
-0.8	-0.8	-1.0	-1.2	-1.3	-1.5	-1.5	-1.5	-1.6	-1.82	4.15 p	-0.8	3.00 a	-3.0	2.2	6
+0.7	+0.8	+0.8	-0.1	-0.2	-0.7	-1.9	-1.6	-1.6	-0.55	4.30 p	+1.1	9.30 p	-2.2	3.3	7
-0.9	-1.2	-1.0	-1.3	-1.3	-1.0	-1.2	-1.5	-1.5	-1.67	1.45 p	-0.3	9.15 a	-3.3	3.0	8
-0.8	-1.0	-1.2	-1.3	-1.5	-1.5	-1.7	-1.8	-1.5	-1.58	3.00 p	-0.6	8.00 a	-2.3	1.7	9
-1.3	-1.5	-1.5	-1.5	-1.7	-1.6	-1.7	-1.8	-1.9	-1.68	4.00 a	-1.1	9.00 a	-2.3	1.2	10
-0.8	-0.7	-0.8	-1.0	-1.3	-1.4	-1.6	-1.8	-1.8	-1.34	5.00 p	-0.7	1.00 a	-1.9	1.2	11
+1.2	+0.9	±0.0	-0.4	-0.6	-0.7	-0.6	-0.9	-1.2	-0.79	3.15 p	+2.3	5.10 a	-3.6	5.9	12
-0.2	-0.5	-1.1	-1.2	-1.5	-1.6	-2.0	-2.0	-2.2	-1.19	0.00 p	+0.1	12.00 p	-2.2	2.3	13
+0.5	+0.2	-0.5	-1.0	-0.9	-1.2	-1.3	-1.6	-1.7	-1.19	2.15 p	+1.2	3.30 a	-3.0	4.2	14
-1.9	-2.2	-2.4	-3.0	-3.3	-4.1	-5.4	-4.5	-5.0	-2.40	1.15 p	-0.1	9.45 p	-5.7	5.6	15
-1.8	-1.8	-2.1	-2.2	-2.4	-2.3	-2.6	-2.4	-2.4	-2.59	8.10 a	-0.8	1.00 a	-4.4	3.6	16
-2.1	-2.1	-2.3	-2.6	-2.7	-2.8	-3.0	-3.0	-4.0	-2.40	10.30 a	-1.1	12.00 p	-4.0	2.9	17
-0.8	-1.5	-1.3	-1.3	-1.3	-1.3	-1.3	-1.4	-1.9	-1.95	3.00 p	-0.3	2.00 a	-4.0	3.7	18
-0.1	-0.1	-0.3	-1.0	-2.0	-2.0	-2.2	-2.0	-1.7	-1.33	2.30 p	+1.9	3.00 a	-2.4	4.3	19
+0.2	-0.1	-0.2	±0.0	+1.3	+1.5	+1.1	+0.2	-1.3	-0.39	9.30 p	+1.7	4.00 a	-2.9	4.6	20
+5.3	+2.7	+2.1	+0.7	+1.9	+1.7	-1.2	-1.5	-2.0	+0.44	4.15 p	+5.6	3.00 a	-2.3	7.9	21
+5.4	+5.0	+3.7	+3.4	+2.9	+2.5	-1.0	-0.8	-0.8	+0.88	0.30 p	+5.5	4.15 a	-4.7	10.2	22
+3.2	+3.0	+3.0	+1.6	+0.9	+0.4	-0.1	-0.5	-0.6	+1.81	11.30 a	+4.5	11.45 p	-0.9	5.4	23
+0.3	+0.1	-0.2	-0.4	-0.6	-0.6	-0.8	-1.0	-1.0	-0.32	8.45 a	+1.7	5.10 a	-2.0	3.7	24
+1.8	+1.0	+0.8	+1.1	+0.8	-0.4	-0.7	-0.7	-0.7	+0.25	1.00 p	+2.4	1.00 a	-1.2	3.6	25
+1.6	+0.6	+0.3	-0.2	-0.5	-1.1	-0.7	-1.2	-1.2	+0.35	0.00 p	+3.7	12.00 p	-1.2	4.9	26
-1.0	-1.2	-1.3	-1.4	-1.4	-1.4	-1.3	-1.4	-1.5	-1.21	11.15 a	-0.4	2.30 a	-2.0	1.6	27
-0.1	-0.5	-0.8	-0.7	-1.5	-1.9	-2.1	-2.3	-2.4	-1.28	2.30 p	+0.2	4.30 a	-2.4	2.6	28
-1.0	-1.1	-1.1	-1.2	-1.3	-1.5	-1.8	-1.8	-1.8	-1.83	3.00 p	-0.8	3.00 a	-2.6	1.8	29
+0.6	+0.2	-0.1	-0.8	-1.2	-1.5	-1.7	-1.9	-1.7	-0.96	0.15 p	+1.0	6.00 a	-2.1	3.1	30
+1.0	±0.0	-0.7	-1.2	-1.1	-1.3	-2.2	-2.5	-2.7	-0.78	2.15 p	+2.4	10.30 p	-3.0	5.4	31
+0.36	+0.01	-0.26	-0.57	-0.73	-0.97	-1.42	-1.55	-1.72	-0.87		+1.21		-2.73	3.94	Med.
Absolutes Minimum = - 5.7 (15 : 9 ^h 45 ^m p)															

Lufttemperatur

Höhe des Thermographen: 1.3 m. über Erdoberfläche; 12 m. über Meeresniveau

Februari 1903

Dat.	1 a. m.	2 a. m.	3 a. m.	4 a. m.	5 a. m.	6 a. m.	7 a. m.	8 a. m.	9 a. m.	10 a. m.	11 a. m.	Mittg.	1 p. m.	2 p. m.	3 p. m.
1	- 2.5	- 2.5	- 2.0	- 1.5	- 1.5	- 0.7	- 0.5	- 0.5	+ 0.2	+ 0.7	+ 0.8	+ 1.0	+ 1.0	+ 0.5	+ 0.4
2	- 2.6	- 2.6	- 2.4	- 2.1	- 1.8	- 1.8	- 2.0	- 2.0	- 1.7	- 1.4	- 1.0	- 0.3	+ 0.1	± 0.0	- 0.1
3	- 3.5	- 3.6	- 3.7	- 4.1	- 4.9	- 4.6	- 4.3	- 3.9	- 3.4	- 2.4	- 1.8	- 1.7	- 1.2	- 1.0	- 1.2
4	- 2.9	- 2.8	- 2.9	- 2.9	- 3.0	- 2.4	- 2.2	- 1.5	- 1.9	- 1.7	± 0.0	+ 0.9	+ 1.0	+ 1.2	+ 0.7
5	- 0.9	- 0.8	- 0.9	- 0.8	- 0.2	- 0.1	± 0.0	+ 0.6	+ 1.2	+ 1.1	+ 1.9	+ 1.7	+ 2.2	+ 1.5	+ 1.6
6	- 2.5	- 3.0	- 3.4	- 3.6	- 3.7	- 3.9	- 3.8	- 3.5	- 3.3	- 2.7	- 2.0	- 1.8	- 1.4	- 1.0	- 0.5
7	+ 1.3	+ 1.2	+ 1.0	+ 1.0	+ 1.2	+ 1.7	- 0.9	- 1.2	- 1.4	- 1.0	- 1.2	- 1.5	- 2.2	- 2.2	- 2.7
8	- 2.9	- 2.8	- 2.8	- 2.7	- 2.6	- 2.4	- 2.2	- 2.1	- 1.9	- 1.8	- 1.8	- 1.7	- 1.5	- 1.3	- 1.2
9	- 3.2	- 3.8	- 4.8	- 2.2	- 2.3	- 2.1	- 1.3	- 0.5	+ 1.0	+ 1.6	+ 1.7	+ 1.2	+ 0.7	- 0.2	- 0.3
10	- 1.5	- 2.6	- 2.6	- 2.4	- 3.0	- 3.1	- 3.1	- 2.6	- 2.3	- 2.2	- 1.3	- 0.7	- 0.9	- 0.5	- 0.3
11	- 2.5	- 2.5	- 2.5	- 2.8	- 2.8	- 3.2	- 2.8	- 2.6	- 1.9	- 2.2	- 1.8	- 1.9	- 1.6	- 1.4	- 1.3
12	- 4.3	- 4.5	- 4.8	- 5.2	- 5.3	- 5.1	- 4.8	- 4.5	- 4.5	- 4.1	- 4.0	- 3.8	- 3.8	- 3.6	- 3.7
13	- 4.8	- 4.9	- 4.9	- 4.7	- 4.6	- 4.6	- 4.5	- 4.2	- 4.2	- 4.1	- 4.3	- 4.1	- 4.0	- 3.9	- 4.0
14	- 4.8	- 4.7	- 4.5	- 4.3	- 4.1	- 3.9	- 3.7	- 3.7	- 3.5	- 3.2	- 3.1	- 2.9	- 2.6	- 2.5	- 2.6
15	- 3.3	- 3.4	- 3.4	- 3.5	- 3.4	- 3.4	- 3.2	- 3.0	- 2.8	- 2.7	- 2.3	- 2.0	- 1.8	- 1.7	- 1.1
16	- 2.5	- 2.5	- 2.5	- 2.6	- 2.6	- 2.5	- 2.4	- 2.4	- 2.2	- 2.1	- 1.4	- 1.4	- 1.2	- 1.0	- 1.6
17	- 4.0	- 4.0	- 4.0	- 4.1	- 4.1	- 4.1	- 4.0	- 3.8	- 3.4	- 3.3	- 2.8	- 2.8	- 3.8	- 4.7	- 4.8
18	- 8.4	- 8.6	- 8.6	- 8.8	- 9.2	- 9.4	- 9.5	- 9.4	- 9.3	- 8.9	- 8.6	- 8.3	- 8.4	- 8.4	- 8.5
19	- 11.0	- 11.3	- 11.8	- 11.9	- 12.0	- 11.9	- 12.0	- 11.7	- 11.6	- 11.3	- 10.9	- 10.3	- 10.4	- 10.9	- 10.1
20	- 10.3	- 10.8	- 12.8	- 14.4	- 11.1	- 11.3	- 9.5	- 8.9	- 7.6	- 6.5	- 5.7	- 5.0	- 3.8	- 3.1	- 2.5
21	- 2.8	- 2.9	- 3.3	- 4.1	- 5.3	- 4.8	- 4.0	- 1.9	- 2.0	- 1.0	+ 0.1	+ 0.8	+ 1.0	+ 1.5	+ 1.0
22	- 5.4	- 6.8	- 8.5	- 8.7	- 7.8	- 7.3	- 7.6	- 9.2	- 9.4	- 9.6	- 8.2	- 7.2	- 4.0	- 3.4	- 3.6
23	- 8.3	- 8.5	- 9.4	- 10.1	- 9.8	- 9.0	- 9.0	- 8.0	- 7.8	- 5.6	- 5.3	- 3.8	- 3.2	- 2.3	- 1.9
24	- 6.6	- 8.0	- 9.3	- 10.8	- 11.8	- 12.1	- 12.2	- 9.8	- 8.3	- 8.2	- 7.8	- 7.5	- 6.1	- 6.2	- 5.2
25	- 3.8	- 4.5	- 4.8	- 7.8	- 9.4	- 9.3	- 8.9	- 6.1	- 5.8	- 5.3	- 4.7	- 5.5	- 3.6	- 2.9	- 1.9
26	- 2.5	- 2.3	- 2.3	- 2.1	- 2.1	- 2.6	- 2.2	- 2.8	- 1.6	- 0.8	- 1.0	+ 0.7	+ 0.4	- 0.8	- 1.0
27	- 2.0	- 3.8	- 4.0	- 4.2	- 4.3	- 5.6	- 6.7	- 3.6	- 4.4	- 4.1	- 3.7	- 3.3	- 3.1	- 1.8	- 1.3
28	- 5.3	- 6.3	- 7.1	- 7.0	- 7.1	- 7.2	- 5.7	- 5.5	- 5.8	- 5.4	- 4.8	- 4.4	- 3.7	- 3.8	- 4.0
Med.	- 4.10	- 4.41	- 4.75	- 4.94	- 4.95	- 4.88	- 4.75	- 4.22	- 3.91	- 3.51	- 3.04	- 2.70	- 2.35	- 2.28	- 2.20
Absolutes Maximum = + 2.9 (6: 10 ^h 30 ^m p)															

Lufttemperatur

Höhe des Thermographen: 1.3 m. über Erdoberfläche; 12 m. über Meeresniveau

1903 Februari

4 p. m.	5 p. m.	6 p. m.	7 p. m.	8 p. m.	9 p. m.	10 p. m.	11 p. m.	Mtn.	Med.	Maximum		Minimum		Diff.	Dat.
										h. m.		h. m.			
- 0.4	- 0.3	- 0.4	- 0.5	- 2.2	- 2.8	- 2.9	- 2.8	- 2.7	- 0.92	0.45 a	+ 1.9	1.30 a	- 3.0	4.9	1
- 0.5	- 0.4	- 0.6	- 0.9	- 1.4	- 1.7	- 2.1	- 2.7	- 3.1	- 1.46	1.30 p	+ 0.3	12.00 p	- 3.1	3.4	2
- 1.6	- 1.6	- 1.9	- 2.2	- 2.4	- 2.5	- 2.5	- 2.5	- 2.6	- 2.71	1.30 p	- 0.8	4.45 a	- 5.2	4.4	3
+ 0.5	+ 0.1	- 0.4	- 0.5	- 0.8	- 1.3	- 0.8	- 0.8	- 0.8	- 1.05	2.00 p	+ 1.2	5.00 a	- 3.0	4.2	4
+ 1.4	+ 1.5	+ 1.0	- 0.6	- 1.0	- 0.6	- 1.3	- 1.5	- 1.8	+ 0.22	0.30 p	+ 2.4	12.00 p	- 1.8	4.2	5
+ 0.4	- 0.6	+ 0.2	- 0.2	+ 1.7	+ 1.5	+ 2.2	+ 1.8	+ 1.1	- 1.33	10.30 p	+ 2.9	6.30 a	- 4.0	6.9	6
- 2.8	- 2.3	- 2.0	- 2.3	- 2.8	- 3.0	- 3.0	- 3.1	- 3.0	- 1.30	5.30 a	+ 1.7	11.00 p	- 3.1	4.8	7
- 0.8	- 0.9	- 0.9	- 0.9	- 1.1	- 1.5	- 1.1	- 1.0	- 0.9	- 1.70	12.00 p	- 0.9	1.00 a	- 2.9	2.0	8
- 0.6	- 0.8	- 0.4	- 0.8	- 1.0	- 0.9	- 0.7	- 0.2	- 0.4	- 0.85	11.00 a	+ 1.7	3.00 a	- 4.8	6.5	9
- 0.3	- 0.7	- 1.5	- 1.8	- 2.6	- 3.0	- 3.0	- 2.8	- 2.3	- 1.96	2.30 p	- 0.1	6.45 a	- 3.4	3.3	10
- 2.0	- 1.8	- 2.0	- 2.8	- 3.1	- 3.2	- 3.5	- 3.8	- 4.0	- 2.50	3.30 p	- 1.1	12.00 p	- 4.0	2.9	11
- 3.7	- 4.0	- 4.0	- 4.5	- 4.6	- 4.5	- 4.7	- 4.6	- 4.6	- 4.38	1.15 p	- 3.3	5.00 a	- 5.3	2.0	12
- 4.1	- 4.1	- 4.0	- 4.1	- 4.3	- 4.3	- 4.6	- 4.8	- 4.8	- 4.37	7.00 p	- 4.1	2.30 a	- 5.0	0.9	13
- 2.7	- 2.8	- 2.7	- 3.0	- 3.0	- 3.0	- 3.2	- 3.2	- 3.3	- 3.38	2.00 p	- 2.5	1.00 a	- 4.8	2.3	14
- 0.6	- 0.9	- 1.0	- 1.1	- 1.5	- 1.8	- 2.3	- 2.0	- 2.2	- 2.27	3.15 p	± 0.0	4.00 a	- 3.5	3.5	15
- 1.7	- 2.2	- 2.8	- 3.4	- 3.4	- 3.7	- 3.8	- 3.9	- 3.9	- 2.49	2.00 p	- 1.0	12.00 p	- 3.9	2.9	16
- 5.0	- 5.4	- 5.0	- 4.7	- 5.5	- 6.5	- 7.5	- 8.0	- 8.5	- 4.74	11.15 a	- 2.0	12.00 p	- 8.5	6.5	17
- 8.8	- 8.9	- 9.0	- 9.5	- 9.8	- 10.3	- 10.5	- 10.7	- 10.6	- 9.18	0.00 p	- 8.3	11.00 p	- 10.7	2.4	18
- 10.1	- 9.8	- 9.2	- 9.3	- 8.0	- 8.3	- 7.0	- 8.0	- 9.8	- 10.36	10.15 p	- 6.9	7.00 a	- 12.0	5.1	19
- 2.4	- 1.5	- 2.1	- 2.8	- 2.2	- 1.9	- 2.3	- 3.1	- 3.6	- 6.05	5.00 p	- 1.5	3.45 a	- 14.5	13.0	20
+ 0.5	+ 0.1	- 1.1	- 1.3	- 2.7	- 3.7	- 5.5	- 5.8	- 6.7	- 2.25	1.45 p	+ 1.6	12.00 p	- 6.7	8.3	21
- 4.0	- 4.8	- 6.4	- 7.0	- 8.2	- 8.0	- 7.3	- 7.8	- 8.5	- 7.03	2.00 p	- 3.4	10.30 a	- 9.9	6.5	22
- 1.8	- 2.3	- 3.0	- 5.0	- 3.9	- 6.1	- 6.3	- 3.5	- 6.6	- 5.85	3.30 p	- 1.5	3.30 a	- 11.1	9.6	23
- 5.0	- 4.9	- 4.2	- 4.4	- 4.5	- 4.0	- 4.1	- 3.8	- 3.9	- 7.03	11.00 p	- 3.8	6.50 a	- 12.4	8.6	24
- 1.4	- 0.9	- 0.3	- 0.2	- 4.8	- 5.3	- 4.2	- 4.4	- 3.6	- 4.56	7.00 p	- 0.2	5.30 a	- 9.9	9.7	25
- 1.2	- 0.9	- 1.4	- 2.0	- 2.0	- 2.4	- 3.1	- 3.5	- 2.7	- 1.76	1.15 p	+ 1.0	11.30 p	- 3.6	4.6	26
- 0.6	- 0.8	- 1.0	- 2.3	- 3.1	- 3.3	- 4.0	- 4.3	- 4.8	- 3.38	3.45 p	- 0.4	6.45 a	- 6.9	6.5	27
- 4.6	- 4.6	- 4.1	- 3.4	- 2.7	- 2.5	- 2.1	- 2.1	- 2.1	- 4.64	11.00 p	- 2.1	2.30 a	- 7.7	6.6	28
- 2.28	- 2.38	- 2.51	- 2.91	- 3.25	- 3.52	- 3.62	- 3.68	- 3.95	- 3.55		- 1.04		- 6.24	5.20	Med.
Absolutes Minimum = - 14.5 (20 : 3 ^h 45 ^m a)															

Lufttemperatur

Höhe des Thermographen: 1.3 m. über Erdoberfläche; 12 m. über Meeresniveau

März 1903

Dat.	1 a. m.	2 a. m.	3 a. m.	4 a. m.	5 a. m.	6 a. m.	7 a. m.	8 a. m.	9 a. m.	10 a. m.	11 a. m.	Mittg.	1 p. m.	2 p. m.	3 p. m.
1	- 1.8	- 2.0	- 1.2	- 1.3	- 1.2	- 0.7	- 0.1	+ 0.2	+ 2.6	+ 2.3	+ 2.5	+ 2.4	+ 1.0	+ 1.4	+ 0.6
2	- 5.6	- 5.8	- 5.7	- 6.0	- 5.7	- 6.0	- 6.5	- 6.8	- 6.3	- 5.8	- 5.0	- 4.7	- 4.7	- 2.6	- 1.3
3	- 3.2	- 3.3	- 3.5	- 3.6	- 3.9	- 3.2	- 2.6	- 2.7	- 2.9	- 2.8	- 2.2	- 1.7	- 0.3	+ 0.9	+ 2.3
4	- 0.5	- 2.3	- 4.7	- 2.3	- 2.9	- 2.5	- 2.0	- 0.4	+ 0.7	+ 2.3	+ 2.0	+ 3.2	+ 3.8	+ 4.9	+ 5.3
5	+ 2.7	- 0.8	- 2.0	- 1.6	+ 1.2	+ 0.8	+ 0.8	+ 2.3	+ 1.5	+ 1.3	+ 1.3	+ 1.8	+ 1.3	+ 1.7	+ 1.8
6	- 6.8	- 6.7	- 6.7	- 6.7	- 7.0	- 7.2	- 7.1	- 7.1	- 6.9	- 7.0	- 7.5	- 8.0	- 8.4	- 8.9	- 9.7
7	- 11.7	- 11.7	- 11.8	- 11.9	- 12.0	- 12.0	- 12.0	- 11.9	- 11.5	- 11.3	- 10.7	- 11.0	- 10.7	- 10.7	- 10.7
8	- 12.2	- 12.4	- 12.1	- 12.7	- 12.8	- 12.9	- 12.7	- 12.6	- 12.4	- 12.1	- 11.7	- 11.4	- 11.0	- 10.8	- 10.5
9	- 11.6	- 11.7	- 11.7	- 11.7	- 11.9	- 12.0	- 11.8	- 11.6	- 11.4	- 11.7	- 11.3	- 10.9	- 11.0	- 11.1	- 11.2
10	- 12.0	- 11.7	- 11.3	- 11.0	- 10.4	- 10.2	- 10.1	- 10.0	- 10.0	- 10.0	- 10.1	- 10.3	- 10.6	- 11.1	- 11.5
11	- 14.7	- 14.8	- 15.1	- 15.2	- 15.6	- 15.6	- 15.5	- 15.5	- 15.4	- 15.0	- 14.7	- 14.7	- 14.3	- 13.9	- 14.3
12	- 16.5	- 16.4	- 17.2	- 18.0	- 18.0	- 17.3	- 17.9	- 17.4	- 17.2	- 16.9	- 16.8	- 16.2	- 16.1	- 16.2	- 16.5
13	- 15.1	- 14.3	- 13.6	- 13.8	- 13.6	- 13.6	- 13.2	- 13.1	- 12.6	- 11.6	- 10.7	- 9.4	- 8.6	- 7.9	- 7.0
14	- 12.4	- 13.8	- 14.1	- 14.0	- 14.1	- 14.0	- 13.8	- 14.5	- 14.2	- 14.2	- 14.1	- 13.6	- 13.6	- 13.5	- 14.0
15	- 16.2	- 16.2	- 16.3	- 16.8	- 16.5	- 16.4	- 16.6	- 16.0	- 16.1	- 16.0	- 15.8	- 15.6	- 15.1	- 14.8	- 14.4
16	- 14.8	-(14.9)	-(15.0)	-(15.1)	-(15.2)	-(15.3)	- 15.3	- 15.4	- 15.3	- 15.2	- 14.7	- 14.5	- 14.6	- 14.2	- 14.2
17	- 14.7	- 14.7	- 16.0	- 16.1	- 15.7	- 15.0	- 14.7	- 15.6	- 15.1	- 15.8	- 14.9	- 14.7	- 14.1	- 14.0	- 14.4
18	- 14.2	- 14.1	- 13.7	- 13.3	- 13.3	- 13.4	- 13.3	- 12.9	- 12.9	- 12.7	- 12.7	- 12.8	- 12.3	- 12.4	- 13.0
19	- 13.1	- 13.2	- 13.3	- 13.4	- 13.5	- 13.6	- 14.0	- 14.1	- 14.2	- 14.2	- 14.1	- 14.1	- 14.0	- 13.9	- 13.8
20	- 12.7	- 12.6	- 12.6	- 12.3	- 12.3	- 12.4	- 12.7	- 12.8	- 12.6	- 12.4	- 12.1	- 12.0	- 12.1	- 12.1	- 12.0
21	- 14.8	- 15.4	- 15.2	- 14.8	- 14.5	- 14.6	- 14.8	- 14.7	- 14.5	- 13.9	- 13.2	- 13.1	- 13.6	- 13.8	- 13.6
22	- 13.8	- 13.7	- 13.4	- 13.2	- 12.8	- 12.8	- 12.3	- 12.0	- 11.5	- 11.4	- 11.2	- 11.1	- 10.6	- 10.3	- 10.3
23	- 11.1	- 11.3	- 11.1	- 10.0	- 9.6	- 9.6	- 9.9	- 9.6	- 9.3	- 9.1	- 9.1	- 9.2	- 9.0	- 9.2	- 9.5
24	- 14.3	- 14.3	- 14.4	- 14.3	- 14.8	- 14.9	- 15.7	- 15.9	- 15.9	- 15.9	- 15.9	- 15.8	- 15.6	- 15.4	- 15.6
25	- 16.2	- 16.1	- 16.0	- 15.8	- 15.6	- 15.5	- 15.1	- 14.8	- 14.7	- 14.3	- 14.0	- 14.0	- 13.8	- 13.7	- 14.0
26	- 14.1	- 14.1	- 13.7	- 13.6	- 13.8	- 13.7	- 14.2	- 13.9	- 13.3	- 13.2	- 12.3	- 11.6	- 12.3	- 12.1	- 11.9
27	- 11.3	- 11.3	- 11.2	- 11.1	- 11.1	- 10.9	- 11.3	- 11.5	- 11.3	- 11.2	- 10.7	- 10.0	- 10.1	- 10.3	- 10.4
28	- 11.5	- 11.8	- 12.1	- 12.3	- 12.3	- 12.4	- 12.4	- 12.4	- 12.5	- 12.5	- 12.6	- 12.7	- 13.3	- 13.2	- 13.5
29	- 14.3	- 14.3	- 14.2	- 14.4	- 14.5	- 15.2	- 15.2	- 14.6	- 14.1	- 14.1	- 14.0	- 13.7	- 13.8	- 14.1	- 14.4
30	- 14.8	- 15.0	- 15.1	- 15.1	- 15.1	- 15.3	- 15.5	- 15.5	- 15.7	- 15.8	- 15.8	- 15.4	- 15.4	- 15.4	- 15.5
31	- 17.7	- 17.7	- 16.9	- 16.8	- 17.0	- 17.3	- 17.8	- 18.0	- 18.3	- 18.5	- 18.2	- 17.9	- 17.9	- 17.7	- 17.8
Med.	-11.65	-11.88	-11.96	-11.88	-11.79	-11.76	-11.78	-11.64	-11.40	-11.25	-10.98	-10.73	-10.67	-10.46	-10.48
Absolutes Maximum = + 5.4 (4 : 6 ^h 20 ^m p)															

Lufttemperatur

Höhe des Thermographen: 1.3 m. über Erdofläche; 12 m. über Meeresniveau

1903 März

4 p. m.	5 p. m.	6 p. m.	7 p. m.	8 p. m.	9 p. m.	10 p. m.	11 p. m.	Mittn.	Med.	Maximum	Minimum	Diff.	Dat.		
										h. m.	h. m.				
+ 1.2	+ 1.1	+ 0.7	- 0.3	- 2.9	- 4.0	- 3.6	- 4.5	- 5.9	- 0.56	11.50 a	+ 2.7	12.00 p	- 5.9	- 8.6	1
- 2.1	- 3.2	- 3.3	- 3.3	- 3.3	- 3.6	- 3.9	- 4.6	- 3.8	- 4.57	2.30 p	- 0.8	8.00 a	- 6.8	- 6.0	2
+ 3.3	+ 2.6	+ 0.5	- 2.4	- 2.6	- 2.2	- 2.9	- 1.9	- 1.3	- 1.65	4.00 p	+ 3.3	5.00 a	- 3.9	- 7.2	3
+ 3.8	+ 3.1	+ 4.7	+ 1.6	+ 2.2	+ 2.3	+ 3.3	+ 3.3	+ 0.3	+ 1.22	6.20 p	+ 5.4	2.45 a	- 5.7	- 11.1	4
+ 2.0	+ 1.5	+ 1.2	- 3.8	- 5.8	- 5.9	- 6.7	- 6.5	- 6.0	- 0.66	1.15 a	+ 3.2	11.30 p	- 7.3	- 10.5	5
- 10.1	- 10.4	- 10.9	- 11.6	- 11.7	- 11.7	- 11.7	- 11.7	- 11.7	- 8.88	3.00 a	- 6.7	8.00 p	- 11.7	- 5.0	6
- 10.9	- 10.9	- 11.2	- 11.3	- 11.5	- 11.7	- 11.8	- 12.0	- 11.8	- 11.45	10.00 a	- 10.3	6.00 a	- 12.0	- 1.7	7
- 10.4	- 10.5	- 10.7	- 10.5	- 10.5	- 11.0	- 11.4	- 11.3	- 11.9	- 11.60	4.00 p	- 10.4	6.00 a	- 12.9	- 2.5	8
- 11.3	- 11.7	- 12.1	- 12.2	- 12.2	- 12.1	- 12.1	- 12.2	- 12.2	- 11.70	0.00 p	- 10.9	12.00 p	- 12.2	- 1.3	9
- 11.6	- 12.2	- 13.1	- 13.3	- 14.1	- 14.4	- 14.2	- 14.3	- 14.6	- 11.75	9.45 a	- 9.8	12.00 p	- 14.6	- 4.8	10
- 14.5	- 13.7	- 12.8	- 12.6	- 11.2	- 13.0	- 15.6	- 16.8	- 15.7	- 14.59	8.15 p	- 11.1	11.00 p	- 16.8	- 5.7	11
- 16.5	- 15.6	- 15.5	- 16.2	- 16.6	- 16.3	- 15.5	- 15.9	- 14.2	- 16.54	11.15 p	- 15.4	7.10 a	- 18.2	- 2.8	12
- 9.0	- 9.8	- 10.3	- 8.7	- 10.3	- 10.5	- 11.1	- 11.2	- 11.5	- 11.27	3.45 p	- 5.9	1.30 a	- 15.5	- 9.6	13
- 14.3	- 14.7	- 15.1	- 15.4	- 15.5	- 15.6	- 16.3	- 16.2	- 16.0	- 14.46	0.45 a	- 11.0	10.00 p	- 16.3	- 5.3	14
- 14.2	- 14.3	- 14.3	- 14.3	- 14.3	- 14.2	- 14.3	- 14.8	- 14.8	- 15.35	9.00 p	- 14.2	1.30 a	- 16.8	- 2.6	15
- 14.3	- 14.0	- 15.1	- 14.9	- 14.6	- 14.5	- 14.4	- 14.2	- 14.1	- 14.74	5.10 a	- 13.7	8.00 a	- 15.4	- 1.7	16
- 14.9	- 14.5	- 14.9	- 15.2	- 14.2	- 14.0	- 14.3	- 13.9	- 14.3	- 14.82	11.30 a	- 13.6	4.00 a	- 16.1	- 2.5	17
- 13.0	- 13.1	- 12.8	- 13.3	- 13.3	- 13.0	- 13.0	- 13.1	- 13.1	- 13.11	0.50 a	- 12.0	1.00 a	- 14.2	- 2.2	18
- 13.9	- 14.0	- 13.8	- 13.5	- 13.6	- 13.4	- 13.2	- 13.1	- 13.0	- 13.67	12.00 p	- 13.0	9.00 a	- 14.2	- 1.2	19
- 12.5	- 12.8	- 13.1	- 13.5	- 14.0	- 14.5	- 14.7	- 14.8	- 14.8	- 12.93	3.00 p	- 12.0	11.00 p	- 14.8	- 2.8	20
- 13.4	- 13.5	- 14.2	- 14.3	- 14.1	- 13.6	- 13.5	- 13.4	- 13.3	- 14.08	0.00 p	- 13.1	2.00 a	- 15.4	- 2.3	21
- 10.2	- 9.7	- 9.7	- 10.1	- 9.7	- 9.6	- 10.0	- 11.2	- 11.1	- 11.32	8.30 p	- 9.5	1.50 a	- 14.0	- 4.5	22
- 9.8	- 10.5	- 11.0	- 12.0	- 12.4	- 12.5	- 13.7	- 14.1	- 14.3	- 10.70	1.00 p	- 9.0	12.00 p	- 14.3	- 5.3	23
- 15.8	- 15.9	- 16.0	- 16.0	- 16.1	- 16.3	- 16.3	- 16.3	- 16.4	- 15.58	4.00 a	- 14.3	12.00 p	- 16.4	- 2.1	24
- 14.2	- 14.2	- 14.0	- 14.1	- 14.1	- 14.3	- 14.4	- 14.3	- 14.1	- 14.64	2.00 p	- 13.7	1.00 a	- 16.2	- 2.5	25
- 11.9	- 11.6	- 11.7	- 11.7	- 11.8	- 11.7	- 11.6	- 11.4	- 11.3	- 12.60	11.30 p	- 11.2	7.00 a	- 14.2	- 3.0	26
- 10.5	- 10.7	- 10.9	- 11.0	- 11.4	- 11.6	- 11.8	- 12.0	- 11.6	- 11.05	0.15 p	- 9.6	11.00 p	- 12.0	- 2.4	27
- 13.5	- 13.6	- 14.0	- 14.0	- 14.0	- 13.8	- 13.8	- 14.2	- 14.2	- 13.02	1.00 a	- 11.5	12.00 p	- 14.2	- 2.7	28
- 14.2	- 14.1	- 14.3	- 14.4	- 14.6	- 14.7	- 14.7	- 14.7	- 14.8	- 14.39	0.30 p	- 13.6	6.30 a	- 15.4	- 1.8	29
- 15.7	- 15.5	- 15.6	- 15.6	- 16.0	- 17.3	- 17.3	- 17.8	- 17.6	- 15.78	1.00 a	- 14.8	11.00 p	- 17.8	- 3.0	30
- 17.7	- 18.0	- 18.0	- 18.0	- 18.3	- 18.3	- 18.0	- 18.3	- 17.8	- 17.83	4.00 a	- 16.8	10.00 a	- 18.5	- 1.7	31
- 10.65	- 10.79	- 11.01	- 11.48	- 11.69	- 11.84	- 12.02	- 12.17	- 12.16	- 11.42		- 9.46		- 13.54	4.08	Med.
Absolutes Minimum = - 18.5 (31: 10 ^h 00 ^m a)															

Lufttemperatur

Höhe des Thermographen: 1.3 m. über Erdoberfläche; 12 m. über Meeresniveau

April 1903

Dat.	1 a. m.	2 a. m.	3 a. m.	4 a. m.	5 a. m.	6 a. m.	7 a. m.	8 a. m.	9 a. m.	10 a. m.	11 a. m.	Mittg.	1 p. m.	2 p. m.	3 p. m.
1	-17.7	-18.0	-17.8	-17.4	-16.9	-16.6	-16.4	-16.3	-15.9	-15.5	-14.9	-14.9	-14.5	-14.4	-14.3
2	-13.5	-12.8	-12.3	-10.3	-9.3	-9.0	-7.1	-5.8	-5.0	-3.9	-3.0	-0.6	-0.8	-0.3	-6.7
3	+ 1.0	+ 1.2	- 0.8	- 1.3	- 1.1	- 1.3	- 2.0	- 1.0	± 0.0	- 7.1	- 6.5	- 5.3	- 4.8	- 7.1	- 7.6
4	- 3.0	- 2.1	- 2.5	± 0.0	- 0.9	- 1.1	- 0.4	- 1.1	- 0.5	- 0.6	- 0.3	- 0.3	- 1.3	- 0.7	- 0.6
5	- 9.5	- 4.9	- 8.3	- 13.3	- 15.3	- 18.1	- 18.8	- 18.0	- 17.3	- 16.1	- 14.8	- 15.1	- 13.8	- 13.8	- 14.2
6	- 16.0	- 15.8	- 15.7	- 15.9	- 16.7	- 17.2	- 17.1	- 16.8	- 16.7	- 17.1	- 17.1	- 17.1	- 17.0	- 16.9	- 16.7
7	- 16.3	- 16.3	- 16.3	- 16.0	- 17.4	- 17.6	- 16.1	- 17.0	- 16.8	- 16.4	- 16.4	- 15.9	- 16.2	- 16.3	- 16.3
8	- 18.4	- 17.5	- 16.8	- 16.5	- 19.0	- 17.3	- 16.8	- 17.2	- 16.6	- 15.5	- 15.0	- 16.4	- 17.3	- 17.4	- 17.3
9	- 16.2	- 15.8	- 15.7	- 16.2	- 16.3	- 16.2	- 17.5	- 17.5	- 17.1	- 15.9	- 14.9	- 14.9	- 15.0	- 14.3	- 14.3
10	- 13.0	- 12.4	- 11.1	- 10.3	- 9.4	- 11.0	- 11.0	- 10.6	- 12.1	- 11.3	- 12.5	- 11.3	- 13.4	- 12.8	- 12.8
11	- 19.0	- 18.7	- 19.1	- 19.5	- 17.8	- 16.3	- 16.1	- 17.5	- 16.2	- 15.3	- 14.3	- 14.0	- 13.1	- 12.8	- 13.6
12	- 18.9	- 19.1	- 19.1	- 18.6	- 18.4	- 18.2	- 18.0	- 18.5	- 18.0	- 17.4	- 18.2	- 18.0	- 17.9	- 18.1	- 18.2
13	- 14.6	- 14.6	- 14.6	- 14.5	- 14.5	- 14.1	- 13.9	- 14.1	- 14.3	- 14.7	- 14.4	- 14.4	- 14.2	- 14.0	- 13.9
14	- 14.2	- 14.2	- 14.3	- 14.4	- 13.7	- 13.1	- 14.2	- 12.4	- 11.2	- 10.8	- 12.4	- 12.5	- 12.4	- 11.0	- 11.7
15	- 8.9	- 8.0	- 6.4	- 5.0	- 7.2	- 5.7	- 8.2	- 4.0	- 6.2	- 3.8	- 2.6	- 3.7	+ 1.8	+ 3.4	+ 2.6
16	- 11.2	- 12.2	- 13.2	- 12.6	- 11.7	- 9.6	- 9.5	- 10.2	- 7.4	- 10.6	- 9.3	- 9.1	- 8.9	- 9.0	- 7.9
17	- 1.8	- 2.7	+ 1.3	- 5.8	- 6.2	- 4.0	- 4.0	- 5.5	- 2.5	- 5.9	- 5.2	- 2.5	- 1.9	- 0.9	- 1.8
18	+ 3.6	+ 0.6	+ 2.6	+ 3.2	+ 3.3	+ 3.2	+ 4.0	+ 5.5	+ 7.0	+ 3.7	+ 4.8	+ 5.0	+ 3.2	+ 3.6	+ 3.6
19	- 2.2	- 2.1	- 2.8	- 5.5	- 7.7	- 5.6	- 8.2	- 2.2	- 3.4	- 3.6	- 0.5	+ 0.8	+ 1.9	+ 4.0	+ 2.7
20	- 15.2	- 12.0	- 16.0	- 16.0	- 17.1	- 17.5	- 17.0	- 16.4	- 16.0	- 15.7	- 15.0	- 15.0	- 15.3	- 15.5	- 16.2
21	- 16.8	- 16.7	- 16.5	- 16.9	- 17.1	- 17.8	- 18.2	- 18.8	- 19.2	- 19.3	- 19.4	- 20.0	- 20.0	- 19.9	- 20.2
22	- 24.2	- 24.5	- 25.1	- 25.2	- 24.6	- 24.7	- 24.9	- 24.5	- 24.2	- 24.2	- 24.1	- 24.1	- 24.4	- 24.4	- 24.5
23	- 24.0	- 24.0	- 23.9	- 23.7	- 23.5	- 23.4	- 23.3	- 23.2	- 23.1	- 23.0	- 22.8	- 22.5	- 22.5	- 22.8	- 23.0
24	- 24.3	- 24.3	- 24.0	- 24.3	- 24.0	- 24.2	- 24.6	- 24.8	- 24.3	- 24.5	- 24.5	- 24.5	- 24.1	- 24.1	- 23.9
25	- 24.7	- 23.9	- 22.8	- 24.6	- 25.9	- 21.6	- 21.3	- 21.2	- 21.0	- 20.6	- 20.3	- 19.9	- 19.2	- 18.3	- 16.4
26	- 16.9	- 15.4	- 17.0	- 15.9	- 15.0	- 16.2	- 17.0	- 13.5	- 15.4	- 14.9	- 15.0	- 14.7	- 14.4	- 16.7	- 16.3
27	- 25.6	- 22.7	- 22.1	- 22.1	- 23.6	- 21.3	- 21.4	- 22.5	- 21.5	- 21.3	- 22.7	- 21.4	- 21.9	- 23.4	- 24.7
28	- 23.1	- 22.5	- 22.7	- 22.3	- 22.4	- 22.2	- 22.2	- 21.9	- 20.0	- 20.1	- 20.9	- 21.8	- 20.9	- 22.8	- 23.0
29	- 22.2	- 23.8	- 23.8	- 23.1	- 24.5	- 26.0	- 22.0	- 20.0	- 18.1	- 20.2	- 19.7	- 18.5	- 19.0	- 19.7	- 20.1
30	- 18.3	- 18.5	- 19.2	- 18.9	- 18.7	- 18.2	- 17.8	- 17.4	- 17.7	- 18.2	- 19.4	- 19.3	- 19.0	- 19.1	- 18.5
Med.	-14.84	-14.46	-14.53	-14.76	-15.09	-14.73	-14.71	-14.15	-13.69	-13.99	-13.71	-13.40	-13.21	-13.18	-13.53
Absolutes Maximum = + 7.9 (18:9 ^h 15 ^m a)															

Lufttemperatur

Höhe des Thermographen: 1.3 m. über Erdoberfläche; 12 m. über Meeresniveau

1903 April

4 p. m.	5 p. m.	6 p. m.	7 p. m.	8 p. m.	9 p. m.	10 p. m.	11 p. m.	Mtn.	Med.	Maximum		Minimum		Diff.	Dat.
										h. m.		h. m.			
-14.5	-15.2	-14.5	-13.5	-14.4	-15.5	-15.4	-13.8	-13.2	-15.48	7.10 p	-13.4	2.00 a	-18.0	4.6	1
-4.0	-6.0	-6.3	-1.1	-0.7	-0.1	-0.5	-0.2	-0.3	-4.98	2.15 p	+ 0.1	0.30 a	-13.5	13.6	2
-9.1	-8.6	-11.1	-11.2	-9.4	-9.3	-9.8	-6.5	-3.3	-5.08	2.10 a	+ 1.8	7.00 p	-11.1	12.9	3
-1.0	-1.5	-2.1	-4.1	-0.9	-5.5	-4.3	-10.0	-7.7	-2.19	7.45 a	+ 0.4	10.45 p	-10.5	10.9	4
-14.6	-15.0	-15.4	-15.8	-15.7	-15.9	-15.8	-15.6	-15.7	-14.62	2.10 a	-4.4	6.00 a	-18.8	14.4	5
-16.7	-17.1	-17.1	-16.6	-16.7	-17.1	-17.3	-16.9	-16.7	-16.75	3.00 a	-15.7	10.00 p	-17.3	1.6	6
-16.5	-16.7	-16.7	-16.6	-16.6	-16.8	-17.0	-17.1	-17.5	-16.62	7.30 a	-15.8	5.45 a	-18.1	2.3	7
-17.5	-17.4	-17.3	-17.3	-18.0	-17.4	-17.3	-17.2	-16.8	-17.13	10.50 a	-14.6	5.00 a	-19.0	4.4	8
-14.4	-14.1	-15.2	-14.9	-14.2	-14.4	-14.5	-14.9	-14.2	-15.36	5.00 p	-14.1	8.10 a	-17.8	3.7	9
-12.7	-13.8	-15.2	-8.3	-7.6	-7.3	-19.1	-18.3	-18.4	-12.32	5.10 a	-9.2	10.00 p	-19.1	9.9	10
-13.3	-12.3	-12.8	-12.4	-13.4	-15.6	-17.8	-18.3	-18.9	-15.75	5.00 p	-12.3	1.30 a	-19.6	7.3	11
-17.9	-17.7	-17.5	-16.4	-16.1	-15.8	-15.0	-14.8	-14.7	-17.52	12.00 p	-14.7	2.00 p	-19.1	4.4	12
-14.2	-14.0	-13.9	-13.4	-13.4	-13.7	-13.5	-13.3	-13.7	-14.08	11.00 p	-13.3	1.00 a	-14.6	1.3	13
-12.5	-12.9	-13.0	-12.4	-12.4	-12.2	-11.5	-11.0	-10.1	-12.52	1.45 p	-10.1	7.10 a	-14.7	4.6	14
+ 1.8	+ 3.4	+ 4.8	+ 4.1	+ 2.0	+ 1.5	-0.7	-4.2	-9.2	-2.43	6.10 p	+ 5.0	8.45 a	-10.3	15.3	15
-8.0	-7.7	-9.0	-6.9	-6.0	-5.9	-4.2	-5.5	-4.7	-8.76	9.30 p	+ 5.8	5.15 a	-14.2	20.0	16
-1.8	-2.0	± 0.0	+ 0.8	+ 0.7	± 0.0	+ 0.8	+ 1.2	+ 3.5	-1.92	12.00 p	+ 3.5	9.30 a	-9.3	12.8	17
+ 2.7	+ 2.4	+ 2.8	+ 1.3	+ 1.5	-1.2	-0.9	-3.0	-2.0	+ 2.52	9.15 a	+ 7.9	10.45 p	-4.6	12.5	18
+ 3.3	-3.4	-7.4	-9.4	-10.1	-10.2	-11.2	-12.2	-13.0	-4.50	4.30 p	+ 4.4	12.00 p	-13.0	17.4	19
-16.5	-16.7	-17.2	-17.0	-16.9	-16.8	-16.6	-16.3	-16.2	-16.09	1.50 a	-11.9	6.00 a	-17.5	5.6	20
-21.2	-21.8	-22.5	-23.0	-23.0	-23.4	-23.4	-23.4	-23.4	-20.08	3.00 a	-16.5	12.00 p	-23.4	6.9	21
-24.8	-25.0	-25.0	-24.7	-24.8	-24.7	-24.7	-24.4	-24.2	-24.58	0.30 a	-23.6	4.00 a	-25.2	1.6	22
-23.2	-23.6	-24.0	-24.1	-24.0	-24.0	-24.0	-24.2	-24.4	-23.51	1.00 p	-22.5	12.00 p	-24.4	1.9	23
-24.2	-24.3	-24.2	-23.6	-23.7	-24.0	-24.4	-24.8	-24.1	-24.24	8.00 a	-23.6	7.00 p	-24.8	1.2	24
-17.9	-17.2	-18.9	-19.5	-16.1	-13.5	-11.4	-9.1	-14.2	-19.15	11.30 p	-9.0	5.00 a	-25.9	16.9	25
-20.1	-21.0	-22.8	-22.2	-21.8	-22.7	-21.6	-24.8	-25.2	-18.19	8.30 a	-12.5	5.50 p	-25.9	13.4	26
-25.0	-25.3	-26.8	-27.2	-26.7	-28.0	-27.0	-27.9	-23.4	-23.98	0.15 p	-20.0	9.15 p	-28.2	8.2	27
-24.5	-23.7	-23.6	-22.1	-21.6	-22.8	-24.0	-25.5	-25.3	-22.59	9.15 a	-19.8	11.00 p	-25.5	5.7	28
-22.0	-19.2	-18.3	-18.7	-17.8	-22.4	-20.7	-19.7	-20.1	-20.82	9.30 a	-16.7	5.50 a	-26.7	10.0	29
-18.8	-17.8	-17.5	-18.0	-18.4	-18.6	-19.7	-19.8	-20.1	-18.62	8.30 a	-17.4	12.00 p	-20.1	2.7	30
-13.97	-14.17	-14.59	-14.14	-13.87	-14.44	-14.75	-15.05	-14.91	-14.24		-10.07		-18.34	8.27	Med.

Absolutes Minimum = - 28.2 (27 : 9^h 15^m p)

Lufttemperatur

Höhen des Thermographen: 1,3 m. über Erdoberfläche; 12 m. über Meeresniveau

Mai 1903

Dat.	1 a. m.	2 a. m.	3 a. m.	4 a. m.	5 a. m.	6 a. m.	7 a. m.	8 a. m.	9 a. m.	10 a. m.	11 a. m.	Mittg.	1 p. m.	2 p. m.	3 p. m.
1	-20.1	-20.4	-20.3	-20.4	-20.0	-20.2	-20.0	-20.0	-21.1	-22.2	-22.1	-21.3	-21.0	-20.9	-21.5
2	-25.1	-25.0	-24.7	-24.8	-25.1	-25.2	-25.1	-24.9	-24.3	-23.3	-22.8	-22.1	-20.9	-23.1	-24.0
3	-23.0	-22.6	-22.3	-20.7	-21.1	-21.0	-20.5	-20.0	-19.5	-19.4	-19.3	-19.1	-18.3	-17.0	-16.1
4	-14.8	-17.4	-22.0	-25.2	-25.1	-24.9	-24.4	-24.5	-24.8	-26.5	-24.8	-24.3	-23.8	-23.6	-24.2
5	-26.2	-25.7	-25.2	-25.4	-26.0	-26.6	-26.8	-27.3	-27.7	-27.6	-27.6	-27.5	-27.9	-28.1	-28.2
6	-26.9	-27.3	-27.3	-27.6	-27.2	-27.5	-27.5	-27.6	-26.5	-26.6	-26.1	-25.6	-27.4	-28.3	-28.2
7	-27.8	-28.0	-28.7	-27.9	-28.1	-27.5	-27.0	-26.8	-25.8	-25.6	-25.1	-25.3	-24.5	-24.8	-26.6
8	-21.4	-19.0	-16.1	-12.0	-7.8	-7.6	-8.3	-6.0	-5.9	-4.0	-2.8	-2.4	-1.8	-2.4	-1.6
9	-23.7	-24.8	-24.5	-24.9	-24.7	-24.7	-24.9	-24.9	-24.9	-24.5	-24.4	-24.1	-24.6	-24.9	-25.3
10	-24.5	-25.0	-24.0	-23.3	-23.2	-23.2	-22.8	-23.0	-23.5	-24.4	-23.7	-23.3	-23.7	-23.0	-24.2
11	-25.5	-25.3	-25.1	-25.2	-25.5	-25.5	-24.9	-24.5	-24.2	-24.3	-24.3	-24.4	-24.1	-23.9	-23.2
12	-21.0	-20.8	-23.5	-24.1	-25.0	-25.2	-25.9	-25.1	-25.0	-22.9	-23.0	-22.4	-22.7	-21.3	-22.0
13	-23.5	-25.1	-22.0	-20.2	-20.2	-16.1	-16.5	-20.2	-21.6	-20.6	-23.0	-22.5	-21.2	-21.8	-22.0
14	-18.2	-18.1	-17.5	-17.5	-13.7	-8.4	-3.7	± 0.0	+ 1.0	± 0.0	-10.0	-13.5	-13.8	-14.1	-10.0
15	-18.0	-19.4	-16.7	-15.1	-15.2	-15.2	-15.5	-20.4	-19.3	-17.0	-9.2	-6.9	-9.8	-13.0	-16.5
16	-13.1	-12.1	-13.5	-12.0	-12.0	-11.8	-11.4	-9.2	-9.0	-8.8	-9.1	-8.6	-8.0	-8.3	-8.4
17	-4.0	-3.8	-4.7	-1.5	-6.0	-4.4	-4.4	-6.0	-6.0	-7.9	-6.0	-8.1	-3.0	-0.7	-1.0
18	-20.0	-20.5	-21.0	-20.5	-20.1	-19.1	-18.9	-19.2	-18.7	-18.3	-17.7	-17.6	-17.4	-17.7	-19.0
19	-19.7	-21.1	-21.2	-20.9	-20.8	-19.8	-19.8	-19.7	-19.7	-18.2	-16.9	-19.3	-21.2	-24.9	-24.8
20	-26.1	-26.3	-26.4	-26.3	-26.4	-26.5	-26.4	-24.7	-25.2	-24.2	-23.8	-22.7	-21.8	-21.3	-21.2
21	-23.9	-22.7	-20.5	-20.0	-19.0	-18.2	-18.4	-21.2	-18.0	-20.7	-19.3	-9.0	-8.6	-6.5	-5.3
22	-13.3	-9.0	-9.8	-6.0	-5.2	-4.8	-8.4	-11.0	-10.0	-16.0	-23.0	-21.8	-22.2	-22.6	-19.8
23	-27.2	-27.2	-27.6	-27.1	-26.5	-26.1	-26.3	-25.9	-25.8	-25.0	-25.7	-25.2	-24.5	-23.3	-22.5
24	-29.0	-28.6	-28.5	-28.7	-28.8	-28.9	-28.7	-28.5	-28.3	-28.0	-27.8	-27.5	-27.0	-26.4	-26.2
25	-24.9	-25.0	-24.4	-25.0	-25.0	-25.2	-24.9	-24.9	-24.4	-24.6	-24.8	-24.8	-24.3	-26.0	-27.0
26	-25.5	-27.0	-27.1	-27.9	-28.9	-28.3	-29.1	-30.7	-29.8	-27.1	-23.4	-23.2	-23.4	-21.9	-21.2
27	-27.3	-26.8	-26.7	-26.5	-26.5	-26.5	-25.9	-(25.7)	-(25.5)	-(25.2)	-(24.9)	-(24.6)	-(24.3)	-24.0	-(23.9)
28	-(22.4)	-(22.2)	-(22.0)	-(21.8)	-(21.7)	-(21.5)	-21.5	-20.2	-19.9	-20.8	-19.2	-18.9	-17.6	-16.9	-20.2
29	-24.4	-23.0	-22.6	-22.1	-21.6	-20.6	-20.4	-19.4	-18.9	-15.7	-13.9	-10.1	-7.0	-5.0	-2.0
30	-7.0	-5.9	-7.2	-7.6	-10.4	-8.5	-4.7	-3.1	-3.9	-3.6	-3.0	-2.7	-1.1	-1.0	-0.6
31	+ 2.1	+ 2.1	+ 2.7	+ 4.3	+ 7.0	+ 5.2	+ 4.2	+ 4.4	+ 5.0	+ 3.0	- 0.4	+ 0.4	- 1.9	+ 1.1	- 3.9
Med.	-20.82	-20.74	-20.66	-20.13	-19.99	-19.48	-19.32	-19.36	-19.07	-19.03	-18.94	-18.34	-18.03	-17.92	-18.08

Absolutes Maximum = + 7.2 (31: 5^h05^m a)

Lufttemperatur

Höhe des Termographen: 1.3 m. über Erdoberfläche; 12 m. über Meeresniveau

1903 Mai

4 p. m.	5 p. m.	6 p. m.	7 p. m.	8 p. m.	9 p. m.	10 p. m.	11 p. m.	Mtn.	Med.	Maximum		Minimum		Diff.	Dat.
										h. m.		h. m.			
-22.1	-22.8	-23.2	-23.6	-23.4	-23.4	-23.8	-24.8	-25.0	-21.82	4.45 a	-19.8	12.00 p	-25.0	5.2	1
-25.1	-25.2	-24.6	-24.5	-24.8	-23.9	-23.4	-23.9	-23.0	-24.12	1.15 p	-19.8	6.15 a	-25.3	5.5	2
-16.5	-16.0	-15.5	-15.0	-14.9	-14.6	-14.7	-15.8	-15.0	-18.25	9.15 p	-14.5	1.00 a	-25.1	10.6	3
-24.1	-23.5	-23.6	-25.3	-24.9	-24.8	-25.4	-25.3	-25.8	-23.88	1.00 a	-14.8	10.00 a	-26.5	11.7	4
-28.3	-28.4	-28.0	-28.0	-27.5	-27.0	-27.2	-27.5	-27.1	-27.29	3.30 a	-24.9	5.30 p	-28.6	3.7	5
-27.8	-28.9	-28.9	-27.5	-27.0	-27.3	-27.5	-27.7	-27.6	-27.41	0.15 p	-25.5	5.30 p	-29.5	4.0	6
-26.8	-27.8	-27.7	-26.3	-26.0	-24.1	-23.6	-22.0	-21.8	-26.07	12.00 p	-21.8	3.00 a	-28.7	6.9	7
-2.5	-1.3	-1.0	-16.8	-20.8	-21.6	-22.7	-22.8	-22.8	-10.48	5.45 p	-0.6	12.00 p	-22.8	22.2	8
-25.8	-25.3	-25.7	-25.0	-24.7	-24.2	-24.1	-24.3	-24.0	-24.70	1.00 a	-23.7	4.30 p	-25.8	2.1	9
-24.3	-24.0	-24.2	-24.5	-24.7	-24.0	-24.2	-25.3	-25.0	-23.96	7.00 a	-23.8	11.00 p	-24.3	1.5	10
-23.2	-23.3	-23.4	-23.2	-22.5	-22.0	-20.9	-20.7	-22.1	-23.80	11.30 p	-20.0	6.30 a	-25.8	5.8	11
-21.2	-21.6	-22.4	-21.7	-19.6	-20.7	-21.4	-20.7	-20.4	-22.48	8.00 p	-19.6	7.00 a	-25.9	6.3	12
-21.3	-22.3	-22.4	-23.8	-19.9	-18.9	-18.3	-19.2	-19.0	-20.90	6.00 a	-16.1	0.45 a	-25.3	9.2	13
-9.0	-3.2	-12.2	-16.2	-16.3	-12.0	-13.1	-16.2	-11.2	-11.12	9.30 a	+ 2.7	0.30 a	-18.5	21.2	14
-13.0	-8.5	-10.1	-17.0	-19.3	-16.4	-14.7	-14.8	-14.5	-14.81	0.15 p	-5.0	8.00 a	-20.4	15.4	15
-7.0	-9.6	-5.7	-4.0	-4.0	-3.9	-3.9	-3.2	-4.1	-8.24	10.45 p	-2.9	0.15 a	-14.0	11.1	16
-4.6	-10.2	-14.5	-15.8	-18.4	-21.0	-19.4	-21.7	-20.4	-8.90	2.30 p	-0.1	10.30 p	-22.2	22.1	17
-19.9	-21.8	-22.4	-22.5	-22.7	-21.9	-22.0	-22.3	-21.1	-20.10	0.00 p	-17.4	7.45 p	-22.9	5.5	18
-24.7	-24.6	-24.4	-24.5	-24.4	-24.8	-24.8	-25.6	-25.6	-22.14	10.45 a	-14.5	12.00 p	-25.6	11.1	19
-23.5	-26.3	-26.0	-26.6	-26.7	-26.2	-26.6	-25.2	-25.7	-25.09	3.00 p	-21.2	9.30 p	-26.8	5.6	20
-11.0	-8.8	-9.6	-12.0	-13.9	-15.0	-14.5	-11.7	-12.8	-15.02	2.45 p	-3.8	0.30 a	-25.6	21.8	21
-20.2	-22.0	-24.3	-25.5	-26.7	-26.7	-28.8	-28.4	-26.5	-18.00	4.15 a	-3.4	10.00 p	-28.8	25.4	22
-22.6	-23.1	-22.9	-23.0	-25.1	-25.5	-26.8	-27.8	-29.4	-25.50	5.45 p	-21.0	12.00 p	-29.4	8.4	23
-26.0	-25.8	-26.4	-26.1	-25.7	-25.5	-25.1	-25.0	-25.1	-27.15	11.00 p	-25.0	1.00 a	-29.0	4.0	24
-27.5	-28.1	-28.2	-28.7	-28.6	-28.0	-27.9	-28.0	-24.7	-26.04	0.30 p	-23.7	8.30 p	-28.9	5.2	25
-20.1	-20.0	-20.7	-23.1	-24.4	-24.5	-25.9	-28.0	-27.0	-25.34	5.30 p	-19.3	8.00 a	-30.7	11.4	26
-(23.8)	-(23.8)	-(23.6)	-(23.4)	-(23.2)	-(23.0)	-(22.8)	-(22.6)	-(22.6)	-24.74	12.00 p	-22.7	1.00 a	-27.3	4.6	27
-21.8	-21.1	-19.7	-17.8	-21.5	-22.4	-21.9	-22.4	-24.0	-20.81	1.45 p	-16.2	11.30 p	-24.6	8.4	28
-3.0	-0.3	-0.4	-0.2	-1.4	-4.0	-4.9	-4.2	-4.3	-11.22	5.45 p	+ 1.5	1.00 a	-24.4	25.9	29
+ 0.8	-1.0	+ 0.8	+ 1.0	+ 1.6	-1.3	-1.5	+ 1.2	+ 1.6	-2.80	6.45 p	+ 3.5	5.10 a	-11.8	15.3	30
-3.2	+ 2.5	-4.9	-3.0	+ 2.7	+ 1.0	-2.1	-3.8	-3.9	+ 0.86	5.05 a	+ 7.2	3.15 p	-6.0	13.2	31
-18.36	-18.16	-18.90	-19.79	-19.96	-19.93	-20.13	-20.32	-20.00	-19.39			-13.72	-24.37	10.65	Med.
Absolutes Minimum = - 30.7 (26 : 8 ^h 00 ^{ma})															

Lufttemperatur

Höhe des Thermographen: 1.3 m. über Erdfläche; 12 m. über Meeresniveau

Juni 1903

Dat.	1 a. m.	2 a. m.	3 a. m.	4 a. m.	5 a. m.	6 a. m.	7 a. m.	8 a. m.	9 a. m.	10 a. m.	11 a. m.	Mittg.	1 p. m.	2 p. m.	3 p. m.
1	- 1.6	- 2.9	- 2.8	- 4.1	± 0.0	- 1.3	- 5.7	- 2.0	- 4.2	- 4.7	- 5.9	- 6.3	- 7.3	- 7.8	- 8.2
2	- 15.3	- 15.9	- 15.9	- 15.9	- 16.3	- 16.6	- 17.5	- 17.1	- 16.8	- 16.8	- 16.7	- 16.8	- 17.0	- 16.9	- 16.2
3	- 11.2	- (12.2)	- (13.1)	- (13.9)	- (14.7)	- (15.5)	- 16.2	- (15.8)	- (15.4)	- 15.0	- 14.9	- 14.4	- 14.3	- 14.6	- 14.7
4	- 15.2	- 15.4	- 15.9	- 16.3	- 17.1	- 18.0	- 18.5	- 18.9	- 20.3	- 21.7	- 21.2	- 20.4	- 19.9	- 18.0	- 16.6
5	- 20.4	- 20.1	- 22.8	- 20.8	- 20.1	- 14.3	- 14.9	- 14.4	- 21.1	- 13.2	- 12.1	- 19.1	- 19.8	- 18.5	- 19.1
6	- 19.5	- 15.1	- 12.3	- 11.3	- 15.6	- 11.4	- 10.2	- 13.1	- 14.1	- 20.1	- 18.3	- 18.5	- 18.6	- 18.0	- 18.9
7	- 18.9	- 22.9	- 23.2	- 24.7	- 25.1	- 27.0	- 26.1	- 25.1	- 20.9	- 20.6	- 20.9	- 21.2	- 21.7	- 21.7	- 20.4
8	- 14.7	- 16.1	- 17.5	- 18.2	- 19.6	- 21.1	- 21.7	- 24.1	- 23.1	- 25.2	- 25.0	- 25.1	- 25.0	- 25.2	- 27.0
9	- 26.7	- 26.7	- 27.2	- 27.2	- 27.7	- 28.0	- 28.3	- 28.6	- 28.1	- 28.0	- 28.1	- 27.5	- 26.9	- 26.1	- 27.2
10	- 28.0	- 28.8	- 28.2	- 29.0	- 26.7	- 29.1	- 26.2	- 28.1	- 26.9	- 22.0	- 21.2	- 22.0	- 23.3	- 18.0	- 16.9
11	- 17.0	- 15.3	- 12.9	- 16.5	- 19.5	- 19.7	- 20.7	- 22.3	- 21.7	- 21.4	- 22.1	- 23.1	- 23.0	- 22.7	- 24.0
12	- 24.1	- 24.6	- 24.3	- 26.0	- 27.9	- (26.9)	- 25.9	- (24.9)	- 23.9	- 27.0	- 27.9	- 27.9	- 27.2	- 27.5	- 28.0
13	- 26.7	- 27.1	- 28.7	- 28.5	- 28.0	- 28.8	- 29.0	- 29.1	- 28.6	- 28.8	- 27.6	- 27.7	- 28.4	- 27.5	- 27.6
14	- 26.0	- 29.6	- 29.8	- 30.7	- 28.8	- 29.1	- 29.4	- 30.8	- 31.6	- 33.3	- 31.0	- 29.7	- 29.0	- 29.5	- 29.8
15	- 25.3	- 24.2	- 22.0	- 22.7	- 24.0	- 17.4	- 16.5	- 16.1	- 18.8	- 27.6	- 24.7	- 24.3	- 24.9	- 18.5	- 18.4
16	- 20.5	- 20.1	- 20.6	- 21.3	- 21.2	- 21.9	- 22.3	- 21.9	- 24.8	- 26.8	- 26.6	- 26.9	- 26.8	- 26.8	- 25.3
17	- 23.9	- 25.3	- 26.4	- 25.4	- 25.1	- 25.5	- 24.7	- 25.0	- 25.2	- 25.1	- 25.2	- 26.7	- 25.8	- 24.8	- 24.3
18	- 23.0	- 23.3	- 23.2	- 22.9	- 24.0	- 24.4	- 24.9	- 24.2	- 24.6	- 24.1	- 25.5	- 26.2	- 24.3	- 25.5	- 26.9
19	- (23.8)	- (24.1)	- (24.3)	- (24.6)	- (24.9)	- (25.2)	- 25.5	- (26.7)	- (27.8)	- 28.8	- 29.8	- 28.1	- 28.5	- 28.9	- 27.1
20	- 34.2	- 32.9	- 34.7	- 33.9	- 31.9	- 31.8	- 33.7	- 35.8	- 35.0	- 30.3	- 30.5	- 32.8	- 32.8	- 27.5	- 32.0
21	- 33.0	- 31.6	- 31.6	- 31.3	- 30.6	- 30.1	- 29.5	- 30.2	- 31.4	- 31.4	- 31.3	- 25.8	- 25.8	- 25.0	- 24.5
22	- 24.8	- 26.0	- 26.2	- 26.3	- 26.8	- 26.4	- 26.2	- 25.8	- 25.8	- 25.0	- 24.8	- 24.8	- 27.2	- 27.5	- 27.4
23	- 23.3	- 23.5	- 23.0	- 23.0	- 22.8	- 22.2	- 21.0	- 18.6	- 19.3	- 18.8	- 18.3	- 20.0	- 20.1	- 20.5	- 20.0
24	- 21.1	- 20.3	- 20.2	- 20.1	- 19.7	- 20.0	- 19.6	- 19.6	- 19.6	- 19.9	- 19.7	- 21.7	- 21.8	- 21.7	- 21.0
25	- 7.8	- 9.5	- 11.6	- 11.7	- 14.6	- 13.4	- 14.3	- 16.8	- 23.0	- 23.3	- 22.8	- 20.3	- 22.8	- 21.7	- 20.6
26	- 17.6	- 19.6	- 22.4	- 21.9	- 23.0	- 21.1	- 23.9	- 24.0	- 25.7	- 25.3	- 21.9	- 23.4	- 26.8	- 26.4	- 26.8
27	- 24.5	- 24.8	- 25.0	- 24.4	- 24.3	- 24.4	- 24.6	- 24.6	- 24.7	- 24.7	- 25.0	- 25.2	- 25.4	- 25.5	- 25.8
28	- 26.0	- 25.6	- 25.5	- 25.4	- 25.5	- 25.6	- 25.6	- 25.8	- 24.6	- 23.8	- 23.7	- 22.8	- 22.5	- 23.0	- 22.8
29	- 6.6	- 4.3	- 4.3	- 1.6	+ (0.3)	- (4.7)	- 9.7	- 7.7	- 8.1	- 6.6	- 4.0	- 3.2	- 3.8	- 3.6	- 2.4
30	- 1.6	- 1.6	- 1.4	± 0.0	- 0.5	- 0.1	- 1.0	- 11.0	- 6.4	- 14.3	- 16.9	- 17.3	- 17.2	- 18.2	- 19.3
Med.	-20.08	-20.31	-20.57	-20.65	-20.86	-20.70	-21.11	-21.60	-22.05	-22.45	-22.12	-22.31	-22.60	-21.90	-21.97
Absolutes Maximum == + 2.3 (1: 5 ^h 50 ^m a)															

Lufttemperatur

Höhe des Thermographen: 1,3 m. über Erdoberfläche; 12 m. über Meeresniveau

1903 Juni

4 p. m.	5 p. m.	6 p. m.	7 p. m.	8 p. m.	9 p. m.	10 p. m.	11 p. m.	Mtn.	Med.	Maximum		Minimum		Diff.	Dat.
										h. m.			h. m.		
- 9.1	- 9.8	-10.2	-11.2	-12.4	-13.5	-13.9	-14.3	-15.2	- 7.27	5.50 a	+ 2.3	12.00 p	-15.2	17.5	1
-16.0	-14.9	-14.2	-13.3	-12.8	-12.5	-12.1	-11.9	-11.7	-15.30	12.00 p	-11.7	7.50 a	-17.4	5.7	2
-14.9	-15.0	-15.4	-15.9	-16.0	-15.7	-15.3	-15.2	-15.3	-14.77	1.00 a	-11.0	8.00 p	-16.0	5.0	3
-15.4	-18.8	-19.5	-18.1	-16.1	-15.8	-15.0	-17.9	-15.5	-17.73	4.45 p	-14.0	10.00 a	-21.7	7.7	4
-18.5	-18.1	-20.1	-17.1	-17.6	-16.9	-15.3	-14.8	-18.6	-17.82	7.50 a	- 9.9	3.30 a	-23.2	13.3	5
-18.7	-18.6	-17.8	-18.8	-17.9	-17.0	-19.1	-18.7	-18.9	-16.69	3.45 a	- 9.4	10.15 a	-22.0	12.6	6
-19.9	-18.1	-16.2	-15.7	-15.8	-15.5	-15.8	-15.8	-14.6	-20.32	12.00 p	-14.6	5.10 a	-27.1	12.5	7
-28.1	-26.5	-28.1	-26.6	-26.2	-26.4	-26.7	-26.7	-26.2	-23.75	1.00 a	-14.7	3.30 p	-28.5	13.8	8
-28.0	-28.0	-28.0	-28.7	-27.8	-27.0	-25.7	-25.7	-24.8	-27.33	11.30 p	-24.5	4.45 a	-30.0	5.5	9
-17.1	-19.1	-21.0	-21.8	-25.5	-18.9	-21.2	-18.0	-18.4	-23.14	11.50 p	-13.7	8.50 a	-30.7	17.0	10
-23.9	-22.3	-21.9	-24.3	-22.4	-21.7	-23.8	-24.8	-24.6	-21.32	3.15 a	-11.2	7.45 p	-24.9	13.7	11
-28.0	-28.3	-28.1	-27.6	-27.5	-27.2	-27.3	-27.4	-26.8	-26.76	9.20 a	-23.9	5.00 p	-28.3	4.4	12
-28.0	-28.3	-28.5	-28.3	-28.1	-28.3	-28.8	-28.0	-26.8	-28.14	1.00 a	-26.7	6.45 a	-29.6	2.9	13
-30.4	-28.4	-29.7	-31.3	-28.7	-27.0	-28.4	-30.2	-26.3	-29.52	11.50 p	-25.1	11.15 p	-33.5	8.4	14
-19.1	-19.5	-19.4	-19.1	-19.3	-19.8	-20.1	-20.2	-20.0	-20.91	8.50 a	-15.5	0.30 a	-29.0	13.5	15
-26.2	-25.6	-25.5	-25.3	-25.6	-25.0	-24.6	-24.5	-24.7	-24.20	2.00 a	-20.1	1.30 p	-27.5	7.4	16
-23.3	-23.5	-23.3	-23.0	-22.5	-22.6	-22.4	-23.1	-23.1	-24.38	8.15 p	-21.8	2.45 a	-27.3	5.5	17
-27.8	-27.0	-26.7	-27.0	-27.0	-26.4	-24.5	-24.6	-23.6	-25.07	3.15 a	-22.7	4.00 p	-27.8	5.1	18
-27.0	-27.3	-31.3	-30.4	-30.0	-29.8	-29.5	-30.7	-31.4	-27.73	1.00 a	-23.1	5.50 p	-32.0	8.9	19
-31.6	-29.1	-29.2	-29.6	-30.3	-31.2	-31.8	-28.3	-28.9	-31.66	10.30 p	-26.3	8.00 a	-35.8	9.5	20
-24.1	-23.5	-21.9	-20.8	-19.5	-19.4	-19.0	-20.0	-21.0	-26.35	10.45 p	-18.6	1.00 a	-33.0	14.4	21
-26.5	-25.9	-23.5	-25.2	-25.8	-26.0	-25.1	-23.8	-23.1	-25.66	6.45 p	-23.0	2.00 p	-27.5	4.5	22
-20.0	-21.4	-20.8	-20.8	-21.0	-21.5	-21.5	-21.6	-21.2	-21.01	10.50 a	-16.0	1.00 a	-23.3	7.3	23
-22.4	-22.4	-22.0	-21.8	-20.8	-18.5	-12.8	- 9.8	- 8.0	-19.35	12.00 p	- 8.0	4.45 p	-22.7	14.7	24
-21.6	-21.8	-19.9	-19.2	-19.2	-18.5	-17.0	-13.0	-15.4	-17.49	0.45 a	- 6.8	9.30 a	-23.7	16.9	25
-25.9	-25.7	-25.9	-25.4	-24.9	-24.9	-25.0	-25.0	-24.7	-24.05	0.30 a	-15.5	1.30 p	-28.0	12.5	26
-25.6	-26.2	-26.9	-26.3	-26.8	-27.6	-29.6	-30.1	-30.5	-25.94	5.30 a	-24.0	11.15 p	-30.8	6.8	27
-22.8	-22.4	-19.8	-10.7	- 7.0	- 8.0	- 7.8	- 7.6	- 7.8	-20.09	8.00 p	- 7.0	0.30 a	-27.8	20.8	28
- 1.6	- 2.5	- 2.9	- 2.1	- 1.1	- 3.0	- 2.0	- 1.1	- 1.1	- 3.65	4.30 p	+ 0.6	7.10 a	-11.6	12.2	29
-12.7	-16.0	-20.1	-22.9	-20.1	-19.5	-18.7	-18.0	-16.2	-12.12	6.10 a	+ 0.6	7.00 p	-22.9	2.35	30
-21.81	-21.81	-21.93	-21.61	-21.19	-20.84	-20.66	-20.36	-20.15	-21.32		-15.18		-25.96	10.78	Med.
Absolutes Minimum = - 35.8 (20 : 8 ^h 00 ^m a)															

Lufttemperatur

Hohe des Thermographen: 1.3 m. über Erdoberfläche; 12 m. über Meeresniveau

Juli 1903

Dat.	1 a. m.	2 a. m.	3 a. m.	4 a. m.	5 a. m.	6 a. m.	7 a. m.	8 a. m.	9 a. m.	10 a. m.	11 a. m.	Mttg.	1 p. m.	2 p. m.	3 p. m.
1	-13.3	-16.1	-12.6	-9.9	-10.4	-10.9	-16.5	-21.4	-23.6	-25.8	-23.0	-25.0	(-22.7)	-20.5	-26.4
2	-19.1	-17.5	-14.9	-13.0	-11.8	-10.7	-10.0	-8.8	-9.2	-11.0	-10.7	-11.3	-11.6	-12.5	-15.1
3	-23.1	-23.1	-24.1	-24.8	-25.7	-25.7	-25.4	-25.6	-25.2	-25.1	-25.1	-25.1	-25.1	-24.8	-25.1
4	-22.1	-21.2	-20.7	-20.1	-20.0	-19.8	-19.8	-21.0	-20.3	-19.7	-20.8	-20.0	-19.1	-19.5	-20.9
5	-28.1	-29.1	-23.0	-25.2	-33.0	-26.7	-28.3	-33.8	-30.7	-30.3	-29.2	-29.2	-29.4	-28.8	-27.0
6	-26.1	-26.5	-26.1	-26.2	-25.5	-24.7	-24.2	-26.1	-25.7	-21.6	-19.9	-16.9	-19.3	-19.0	-19.1
7	-11.0	-12.2	-13.1	-11.5	-12.0	-8.0	-10.8	-7.7	-9.1	-9.7	-10.1	-7.2	-4.1	-5.8	-4.1
8	-24.1	-23.1	-25.1	-26.9	-27.1	-26.9	-24.5	-26.0	-25.0	-27.1	-23.1	-23.1	-22.7	-22.5	-22.5
9	-21.5	-21.3	-20.8	-20.7	-20.1	-20.0	-19.2	-18.9	-18.8	-18.4	-15.9	-15.6	-17.1	-12.1	-5.8
10	-19.6	-21.0	-21.2	-23.1	-24.6	-25.1	-24.9	-22.7	-22.8	-24.2	-25.5	-24.7	-21.2	-22.3	-24.8
11	-19.4	-18.7	-19.1	-19.4	-21.1	-20.1	-20.9	-21.6	-21.8	-21.5	-20.9	-22.6	-24.8	-26.3	-26.8
12	-29.6	-29.6	-29.6	-29.4	-28.6	-28.3	-28.6	-28.4	-28.8	-28.6	-28.1	-28.5	-28.5	-28.7	-29.4
13	-32.2	-32.3	-32.1	-32.2	-31.4	-31.1	-31.0	-30.8	-30.8	-30.2	-30.3	-30.1	-29.8	-29.2	-29.9
14	-27.0	-27.3	-29.4	-29.4	-26.0	-23.5	-25.8	-27.5	-28.3	-29.1	-28.1	-28.9	-21.8	-28.0	-22.7
15	-23.8	-23.6	-23.1	-22.5	-21.3	-20.3	-20.5	-20.8	-26.1	-26.9	-26.8	-27.0	-27.1	-28.0	-28.6
16	-30.4	-30.5	-30.7	-29.9	-30.4	-30.2	-29.7	-29.1	-28.7	-27.9	-27.9	-28.6	-28.2	-28.3	-27.3
17	-29.5	-28.3	-27.4	-28.2	-25.8	-26.3	-24.1	-23.8	-15.5	-11.8	-11.1	(-8.5)	-5.9	-2.5	-1.9
18	+ 1.6	+ 2.7	+ 1.1	- 1.2	+ 0.4	+ 0.3	+ 0.3	+ 0.8	- 0.5	+ 0.1	+ 0.2	+ 0.4	+ 0.6	+ 1.5	+ 0.3
19	- 0.1	+ 1.6	+ 0.8	+ 1.6	+ 2.5	+ 2.0	+ 2.1	+ 0.2	- 0.4	+ 0.1	± 0.0	- 1.1	- 1.1	- 0.6	- 0.9
20	- 0.8	- 1.7	- 0.2	+ 0.1	- 1.0	- 1.0	- 0.5	- 0.6	- 0.7	- 1.0	- 2.5	- 1.8	- 2.6	- 1.9	- 2.0
21	-18.4	-17.9	-18.2	-11.3	-19.8	-19.7	-19.9	-19.6	-15.0	-14.1	-12.3	-11.2	-9.3	-7.7	-7.8
22	-3.4	-4.6	-3.7	-5.3	-3.5	-8.8	-10.3	-6.0	-7.0	-6.6	-5.0	-3.5	-3.9	-2.9	-4.0
23	-16.0	-14.7	-17.6	-19.4	-19.9	-20.0	-20.0	-20.6	-19.7	-19.6	-19.0	-18.9	-18.8	-18.5	-17.6
24	-9.1	-9.5	-8.9	-7.8	-8.2	-9.9	-10.9	-10.0	-10.0	-8.3	-13.3	-12.5	(-11.5)	-10.5	-12.0
25	-2.4	-2.7	-2.8	-2.3	-3.2	-3.2	-4.3	-4.3	-3.8	-5.9	-1.7	-6.7	-6.0	-5.2	-5.9
26	-9.1	-9.1	-8.1	-6.3	-7.6	-3.6	-3.9	-1.5	-2.6	-4.8	-4.1	-2.0	-2.1	-3.5	-1.4
27	-14.8	-17.8	-18.8	-19.1	-19.7	-20.0	-21.7	-23.0	-24.1	-23.6	-23.3	-23.2	-23.6	-23.8	-24.9
28	-30.0	-30.6	-26.9	-29.7	-30.5	-30.5	-31.0	-18.9	-21.9	-23.5	-20.9	-17.9	-13.5	-14.0	-15.1
29	-16.8	-17.9	-17.7	-17.4	-17.3	-17.3	-17.2	-17.2	-17.2	-17.7	-17.9	-18.0	-18.1	-18.2	-19.0
30	-20.7	-21.7	-22.0	-21.9	-21.8	-21.0	-21.5	-21.8	-22.4	-22.1	-20.9	-21.1	-21.4	-21.9	-22.1
31	-21.2	-21.2	-19.8	-19.7	-18.9	-18.9	-19.0	-17.5	-16.9	-17.6	-14.9	-10.9	-16.1	-10.1	-15.1
Med.	-18.10	-18.27	-17.93	-17.81	-18.20	-17.74	-18.13	-17.87	-17.83	-17.86	-17.16	-16.80	-16.32	-16.00	-16.29

Absolutes Maximum = + 4.1 (17: 9^h 30^m p)

Lufttemperatur

Höhe des Thermographen: 1.3 m. über Erdoberfläche; 12 m. über Meeresniveau

1903 Juli

4 p. m.	5 p. m.	6 p. m.	7 p. m.	8 p. m.	9 p. m.	10 p. m.	11 p. m.	Mittn.	Med.	Maximum		Minimum		Diff.	Dat.
										h. m.		h. m.			
-24.0	-28.0	-28.9	-28.3	-25.5	-22.5	-22.9	-19.9	-20.7	-20.78	2.15 a	- 8.3	6.50 p	-29.6	21.3	1
-16.0	-16.1	-16.1	-17.4	-18.2	-20.0	-21.0	-22.0	-22.6	-14.86	8.15 a	- 8.2	12.00 p	-22.6	14.4	2
-25.1	-25.0	-24.9	-24.8	-24.6	-24.3	-24.2	-24.1	-23.6	-24.73	1.00 a	-23.1	5.00 a	-25.7	2.6	3
-20.3	-23.1	-21.9	-20.0	-22.2	-21.9	-22.4	-24.0	-24.1	-21.04	10.45 a	-18.7	12.00 p	-24.1	5.4	4
-26.2	-24.0	-24.2	-25.4	-28.6	-30.3	-27.2	-27.1	-27.1	-28.00	5.30 p	-20.4	8.00 a	-33.8	13.4	5
-18.0	-16.5	-14.0	-18.1	-16.2	-16.8	-11.1	-12.6	-10.6	-20.03	10.15 a	- 9.1	7.50 a	-27.1	18.0	6
- 5.7	-10.1	-15.6	-15.4	-17.5	-18.1	-17.9	-19.1	-19.1	-11.45	7.30 a	- 0.1	11.15 p	-20.2	20.1	7
-22.8	-22.1	-22.4	-22.4	-21.7	-21.5	-20.5	-21.1	-21.7	-23.58	0.45 a	-18.5	8.30 a	-29.9	11.4	8
- 2.8	- 2.2	- 4.9	- 5.8	- 5.0	- 4.8	- 4.8	- 4.9	- 4.9	-12.76	3.50 p	- 1.9	1.00 a	-24.1	22.2	9
-27.3	-27.3	-25.7	-27.8	-25.3	-23.0	-21.6	-21.4	-21.2	-23.68	1.00 a	-19.6	6.30 p	-28.0	8.4	10
-27.4	-27.5	-27.9	-(28.2)	-(28.5)	-28.8	-28.7	-28.6	-29.5	-24.17	2.30 a	-18.4	12.00 p	-29.5	11.1	11
-29.4	-29.5	-29.7	-29.9	-30.0	-29.5	-30.6	-31.1	-32.0	-29.35	5.45 a	-28.0	12.00 p	-32.0	4.0	12
-29.6	-28.4	-29.2	-29.0	-29.3	-28.8	-27.1	-26.8	-27.5	-29.96	10.30 p	-26.1	3.45 a	-32.4	6.3	13
-24.3	-27.2	-28.8	-25.7	-24.8	-22.0	-21.1	-21.8	-24.0	-25.94	3.45 p	-19.8	11.50 a	-29.6	9.8	14
-28.8	-28.7	-28.7	-28.7	-29.3	-29.5	-29.7	-29.9	-30.0	-26.24	6.00 a	-20.3	10.30 p	-30.3	10.0	15
-27.0	-27.8	-28.4	-27.0	-26.0	-27.6	-30.7	-29.6	-28.9	-28.78	8.30 p	-25.4	10.45 p	-32.8	7.4	16
+ 1.3	+ 2.1	+ 2.2	+ 2.5	+ 2.1	- 0.9	+ 4.6	+ 1.1	+ 0.5	-10.78	9.30 p	+ 4.1	0.30 a	-29.8	33.9	17
+ 0.4	+ 1.2	- 0.1	± 0.0	+ 0.1	+ 0.4	+ 1.2	+ 1.8	+ 0.2	+ 0.53	2.45 a	+ 4.0	3.45 a	- 1.9	5.9	18
+ 0.2	- 0.9	- 1.7	- 2.4	- 0.9	- 1.7	- 1.6	- 1.4	- 0.8	- 0.19	6.30 a	+ 3.0	7.30 p	- 3.4	6.4	19
- 3.2	- 3.2	- 4.2	- 2.7	-15.5	-19.3	-20.1	-19.5	-18.0	- 5.16	3.30 a	+ 0.2	10.00 p	-20.1	20.3	20
- 6.0	- 6.2	- 5.4	- 4.5	- 4.6	- 4.8	- 5.4	- 5.3	- 4.3	-11.20	9.45 a	- 4.0	7.30 a	-20.8	16.8	21
- 4.5	- 4.2	- 4.5	- 4.5	- 3.1	- 3.0	- 2.4	-13.0	-15.4	- 5.55	10.15 p	- 0.9	10.50 a	-16.3	15.4	22
-17.2	-16.1	-15.6	-14.8	-14.7	-14.8	-14.3	-10.5	-10.0	-17.01	10.10 p	- 9.0	8.30 a	-20.8	11.8	23
-10.5	-11.8	- 9.8	- 7.0	- 3.0	- 4.3	- 3.8	- 3.5	- 1.9	- 8.67	11.40 p	- 1.5	11.30 a	-14.5	13.0	24
- 9.2	-10.1	- 8.8	-10.1	-11.5	-12.1	- 9.6	- 7.3	-13.8	- 6.37	2.30 a	- 1.0	11.50 p	-15.9	14.9	25
- 2.3	- 1.6	- 2.5	- 3.1	- 3.1	- 3.5	- 3.3	- 8.6	-13.0	- 4.61	3.30 p	+ 0.1	1.15 a	-14.3	14.4	26
-23.5	-23.4	-23.9	-25.5	-25.8	-24.8	-26.4	-26.9	-28.7	-22.93	0.30 a	-14.1	11.45 p	-29.5	15.4	27
-15.5	-15.8	-15.7	-15.7	-15.8	-16.0	-17.3	-17.8	-17.9	-20.93	1.45 p	-13.0	5.15 a	-32.0	19.0	28
-19.1	-20.2	-20.2	-20.0	-19.7	-20.2	-20.6	-20.5	-20.4	-18.58	1.00 a	-16.8	10.00 p	-20.6	3.8	29
-21.9	-21.7	-20.0	-20.4	-21.7	-21.6	-22.2	-22.1	-21.9	-21.58	5.45 p	-20.0	11.30 p	-23.3	3.3	30
-13.1	-14.0	-16.6	-21.1	-20.5	-18.3	-18.2	-15.2	-15.4	-17.09	2.00 p	-10.1	6.45 p	-20.5	12.4	31
-16.17	-16.46	-16.71	-16.88	-17.11	-17.24	-16.80	-17.18	-17.69	-17.27		-11.13		-23.79	-12.66	Med.
Absolutes Minimum == - 33.8 (5: 8 ^h 00 ^m a)															

Lufttemperatur

Höhe des Thermographen: 1.3 m. über Erdoberfläche; 12 m. über Meeresniveau

Augusti 1903

Dat.	1 a. m.	2 a. m.	3 a. m.	4 a. m.	5 a. m.	6 a. m.	7 a. m.	8 a. m.	9 a. m.	10 a. m.	11 a. m.	Mittg.	1 p. m.	2 p. m.	3 p. m.
1	-15.3	-15.5	-15.0	-14.7	-14.7	-15.0	-15.0	-15.5	-15.3	-13.7	-12.1	-11.6	-10.6	-11.3	-13.2
2	-15.9	-14.6	-19.1	-19.9	-15.1	-19.5	-20.6	-14.0	-11.1	-9.5	-9.1	-8.1	-9.2	-9.0	-10.1
3	-9.6	-8.9	-7.4	-7.2	-7.2	-6.4	-5.6	-5.8	-15.1	-13.2	-13.3	-13.1	-13.6	-15.5	-11.1
4	-6.6	-6.3	-5.8	-5.7	-4.1	-3.0	-8.9	-7.3	-7.0	-5.0	-1.6	-1.1	+2.0	-0.3	+1.2
5	+3.3	+2.9	+6.7	+ (8.0)	+ 9.3	+ (7.4)	+ 3.8	+ 2.7	+ 2.7	+ 4.0	+ 3.8	+ 4.5	+ 2.8	+ 3.7	+ 4.6
6	-10.4	-13.6	-15.7	-16.2	-17.2	-17.7	-19.6	-19.7	-19.6	-20.6	-20.7	-21.6	-21.4	-21.6	-21.4
7	-16.5	-16.9	-17.7	-18.9	-18.4	-18.1	-18.0	-21.3	-21.7	-20.6	-18.4	-16.6	-14.9	-14.4	-20.1
8	-17.1	-16.7	-16.1	-15.0	-13.5	-11.3	-10.7	-8.5	-9.1	-7.5	-7.3	-13.2	-15.2	-13.6	-10.6
9	-24.8	-25.1	-25.3	-25.7	-25.3	-25.1	-25.2	-25.3	-25.1	-24.8	-24.7	-24.8	-24.6	-24.5	-24.0
10	-22.0	-21.7	-21.6	-21.1	-21.0	-21.0	-20.9	-20.6	-21.3	-21.2	-21.0	-20.4	-20.3	-20.5	-20.7
11	-24.0	-23.3	-23.3	-21.1	-23.6	-22.7	-22.5	-22.2	-21.0	-20.2	-19.3	-18.7	-18.8	-18.9	-18.7
12	-25.5	-25.7	-24.1	-24.7	-25.2	-22.8	-9.9	-21.7	-21.6	-19.4	-18.0	-15.0	-12.3	-11.6	-11.1
13	-11.6	-10.9	-14.0	-15.0	-17.0	-13.3	-8.3	-6.3	-4.4	-4.1	-2.7	± 0.0	+ 2.0	+ 1.1	+ 1.0
14	+ 2.3	+ 3.7	+ 4.3	+ 4.8	+ 4.0	+ 2.5	- 0.5	- 0.6	- 0.6	+ 0.7	+ 1.2	+ 1.0	+ 0.7	+ 0.3	+ 0.4
15	- 9.6	- 6.7	-11.0	+ 0.5	+ 0.2	+ 1.9	+ 1.7	+ 1.0	+ 1.1	+ 0.7	- 0.7	- 4.3	- 7.2	- 9.5	-20.0
16	-16.6	-10.0	- 9.3	- 6.2	- 5.6	- 4.0	- 4.0	- 3.8	- 3.7	- 4.0	- 2.7	- 2.9	- 2.7	- 1.1	- 3.0
17	- 3.9	- 4.0	- 3.5	+ 0.4	- 2.7	- 2.7	- 2.7	- 2.8	-15.0	-17.8	-21.1	-22.4	-22.4	-22.0	-22.2
18	-21.2	-21.7	-21.1	-20.6	-20.4	-19.9	-19.3	-19.0	-16.0	-16.0	-16.1	-15.0	-13.4	-13.9	-14.0
19	-13.2	-14.2	-16.0	-20.3	-17.4	-16.0	-15.8	-14.5	-14.0	-12.9	-13.8	-12.6	-14.0	-12.3	-14.7
20	-17.9	-16.7	-16.1	-16.2	-17.6	-16.8	-15.9	-13.7	-17.9	-13.8	-16.3	-14.2	-12.4	-10.7	-16.6
21	-18.0	-17.1	-21.2	-17.0	-20.1	-19.1	-18.5	-20.3	-16.6	-12.3	-11.5	-11.1	-10.0	- 9.4	- 8.7
22	- 4.7	- 4.5	- 4.6	- 4.4	- 4.1	- 4.0	- 3.7	- 3.5	- 3.6	- 3.4	- 3.2	- 5.0	- 5.6	- 8.0	-10.4
23	-17.1	-15.6	-16.4	-19.1	-18.0	-19.5	-20.3	-21.1	-22.0	-21.6	-22.3	-21.9	-23.4	-23.6	-22.5
24	-21.7	-21.6	-21.4	-21.9	(-22.4)	(-22.9)	-23.4	-23.5	-23.9	-24.0	-24.0	-23.3	-23.1	-22.7	-23.3
25	-22.6	-22.3	-22.0	-22.0	-22.1	-21.8	-22.2	-21.6	-21.7	-22.1	-21.3	-20.3	-19.7	-19.1	-20.0
26	-18.4	-20.0	-20.2	-20.3	-19.3	-19.4	-19.8	-20.0	-20.2	-20.0	-23.6	-20.7	-21.0	-21.4	-21.3
27	-22.3	-22.5	-22.2	-21.9	-21.8	-21.8	-22.2	-22.0	-21.7	-21.9	-22.1	-22.3	-22.3	-23.1	-22.8
28	-22.3	-21.5	-21.3	-24.7	-24.3	-26.0	-27.5	-28.3	-26.8	-24.4	-23.1	-22.1	-24.3	-23.5	-23.3
29	-24.8	-25.0	-27.0	-26.1	-28.0	-28.0	-28.1	-29.0	-29.2	-28.0	-28.1	-28.2	-27.5	-27.0	-27.0
30	-28.0	-27.8	-28.6	-27.3	-28.5	-29.9	-30.5	-31.0	-29.1	-29.6	-27.8	-28.7	-28.4	-28.5	-27.2
31	-27.0	-26.8	-27.1	-27.4	-27.6	-26.0	-26.6	-25.9	-25.4	-25.0	-27.5	-32.0	-33.0	-33.0	-32.1
Med.	-16.23	-15.83	-16.23	-15.71	-15.76	-15.56	-15.83	-15.65	-16.00	-15.20	-14.58	-15.02	-14.96	-15.00	-15.58
Absolutes Maximum = + 9.3 (5: 5 ^h 00 ^m a)															

Lufttemperatur

Höhe des Thermographen: 1.3 m. über Erdfläche; 12 m. über Meeresniveau

1903 Augusti

4 p. m.	5 p. m.	6 p. m.	7 p. m.	8 p. m.	9 p. m.	10 p. m.	11 p. m.	Mtta.	Med.	Maximum	Minimum	Diff.	Dat.		
-12.2	-10.0	-11.1	-16.8	-15.8	-14.3	-17.8	-14.0	-14.1	-13.94	5.00 p	-10.0	9.45 p	-20.0	10.0	1
-10.5	-10.7	-11.3	-13.1	-13.5	-14.3	-14.0	-18.8	-22.9	-13.91	0.15 p	-7.0	12.00 p	-22.9	15.9	2
-9.4	-3.1	-3.2	-4.3	-5.4	-8.1	-6.9	-6.1	-6.3	-8.53	4.45 p	-2.2	6.45 a	-17.1	14.9	3
-0.2	+1.7	+3.4	+4.1	+4.7	-0.2	+2.5	-0.4	-1.3	-1.88	8.00 p	+4.7	7.00 a	-8.9	13.6	4
+4.3	+0.3	+1.8	+2.2	+3.1	-1.0	+1.8	± 0.0	+1.8	+3.52	5.00 a	+9.3	8.45 p	-2.1	11.4	5
-21.4	-20.7	-20.3	-19.6	-19.3	-19.0	-18.8	-17.7	-18.5	-18.85	0.30 a	-5.0	2.00 p	-21.6	16.6	6
-22.1	-18.3	-18.2	-17.6	-17.6	-17.4	-17.8	-18.9	-18.6	-18.29	2.00 p	-14.4	4.00 p	-22.1	7.7	7
-13.2	-15.2	-13.6	-19.4	-22.1	-22.0	-23.3	-23.6	-24.3	-15.09	11.00 a	-7.3	12.00 p	-24.3	17.0	8
-23.9	-23.9	-24.0	-23.7	-23.4	-22.6	-23.0	-23.0	-22.5	-24.35	12.00 p	-22.5	4.00 a	-25.7	3.2	9
-20.7	-20.5	-20.2	-19.6	-20.0	-19.6	-19.4	-23.2	-22.9	-20.89	10.00 p	-19.4	10.45 p	-24.7	5.3	10
-18.9	-18.9	-18.2	-21.5	-20.0	-20.1	-19.9	-22.7	-25.1	-20.98	6.00 p	-18.2	12.00 p	-25.1	6.9	11
-10.0	-7.3	-6.4	-3.2	-3.0	-2.6	-0.9	-0.8	± 0.0	-13.87	12.00 p	± 0.0	1.30 a	-27.1	27.1	12
+1.0	+1.7	+2.4	+1.9	+3.0	+5.2	+6.5	+6.0	+4.7	-2.96	10.30 p	+6.8	3.30 a	-18.0	24.8	13
+0.8	+1.2	+1.6	-1.9	-12.2	-18.0	-17.6	-16.5	-15.2	-2.23	4.30 a	+6.2	9.45 p	-18.7	24.9	14
-21.8	-22.3	-22.8	-22.9	-23.0	-22.6	-22.1	-21.4	-18.0	-10.78	6.00 a	+1.9	10.00 p	-23.1	25.0	15
-3.1	-3.2	-3.0	-3.0	-4.0	-3.3	-3.5	-2.2	-4.0	-4.54	2.00 p	-1.1	1.00 a	-16.6	15.5	16
-22.9	-22.9	-23.1	-23.3	-23.4	-23.4	-23.6	-22.8	-22.1	-15.51	4.00 a	+0.4	10.00 p	-23.6	24.0	17
-14.9	-13.0	-13.3	-12.9	-12.4	-11.8	-11.9	-13.8	-14.9	-16.10	10.30 p	-11.4	1.30 a	-22.0	10.6	18
-15.0	-14.9	-15.1	-16.0	-16.7	-16.1	-17.7	-16.8	-17.8	-15.32	2.00 p	-12.3	4.00 a	-20.3	8.0	19
-17.2	-21.1	-22.7	-22.6	-24.1	-25.0	-25.2	-25.8	-21.5	-18.25	2.10 p	-10.3	11.00 p	-25.8	15.5	20
-8.7	-9.7	-7.2	-6.4	-6.7	-5.6	-5.5	-5.0	-4.7	-12.10	12.00 p	-4.7	0.45 a	-23.6	18.9	21
-11.8	-12.3	-13.1	-16.2	-17.6	-17.8	-18.5	-16.4	-17.9	-8.93	11.00 a	-3.2	11.45 p	-19.5	16.3	22
-22.5	-21.8	-21.6	-21.5	-21.4	-21.2	-21.5	-21.5	-22.1	-20.81	2.00 a	-15.6	1.30 p	-23.8	8.2	23
-22.5	-22.9	-23.3	-22.9	-24.4	-21.9	-21.9	-21.8	-22.7	-22.81	3.00 a	-21.4	10.00 a	-24.0	2.6	24
-20.2	-19.5	-18.3	-17.8	-16.6	-18.1	-17.6	-18.2	-18.2	-20.22	7.30 p	-16.2	1.00 a	-22.6	6.4	25
-21.5	-21.5	-21.3	-21.8	-21.8	-22.1	-22.3	-23.2	-22.6	-20.86	1.00 a	-18.4	11.00 p	-23.2	4.8	26
-21.7	-21.2	-20.7	-20.2	-19.6	-20.9	-25.2	-26.1	-22.8	-22.14	7.45 p	-19.5	11.00 p	-26.1	6.6	27
-25.1	-25.5	-25.6	-26.9	-28.0	-25.2	-26.0	-25.2	-25.0	-24.85	3.10 a	-20.6	8.10 a	-28.3	7.7	28
-25.6	-28.3	-28.8	-29.2	-30.0	-28.9	-28.5	-28.3	-28.3	-27.87	1.00 a	-24.8	7.45 p	-30.2	5.4	29
-28.1	-28.3	-29.4	-31.4	-27.8	-30.0	-26.8	-27.6	-28.3	-28.69	2.30 p	-26.5	6.30 p	-31.6	5.1	30
-31.6	-30.5	-30.3	-30.6	-30.4	-30.6	-30.3	-29.9	-30.9	-29.06	9.30 a	-24.5	1.30 p	-33.3	8.8	31
-15.89	-15.57	-15.38	-16.07	-16.43	-16.73	-16.67	-16.96	-17.00	-15.84		-9.91	-22.45	12.54	Med.	
Absolutes Minimum = - 33.3 (31: 1 ^h 30 ^m p)															

Lufttemperatur

Höhe des Thermographen: 1,3 m. über Erdoberfläche; 12 m. über Meeresniveau

September 1903

Dat.	1 a. m.	2 a. m.	3 a. m.	4 a. m.	5 a. m.	6 a. m.	7 a. m.	8 a. m.	9 a. m.	10 a. m.	11 a. m.	Mittg.	1 p. m.	2 p. m.	3 p. m.
1	-30.6	-30.8	-31.0	-30.2	-30.7	-30.0	-29.6	-30.5	-29.4	-30.0	-28.5	-27.6	-27.5	-26.5	-27.2
2	-28.8	-26.0	-30.0	-29.0	-32.0	-29.8	-30.1	-29.8	-27.7	-24.5	-20.5	-19.9	-18.4	-17.5	-17.3
3	-11.4	-14.9	-16.4	-19.5	-16.1	-15.4	-19.0	-20.8	-15.6	-22.1	-20.1	-20.9	-17.4	-14.3	-16.6
4	-20.6	-20.9	-21.1	-20.8	-20.4	-20.9	-23.2	-22.4	-18.5	-17.1	-15.6	-15.7	-14.0	-11.5	-10.2
5	-7.4	-7.4	-10.4	-7.4	-7.7	-6.4	-4.3	-6.8	-4.1	-4.1	-4.2	-4.6	+ 0.7	-3.0	± 0.0
6	-0.9	+ 0.3	+ 3.7	+ 3.7	+ 0.9	+ 1.9	- 0.2	- 3.1	- 1.6	+ 0.3	+ 2.7	+ 3.2	+ 3.4	+ 4.1	+ 3.4
7	-11.8	-13.3	-13.4	-14.0	-14.5	-15.0	-15.8	-15.8	-16.0	-16.2	-16.0	-15.8	-15.7	-14.9	-14.8
8	-13.9	-14.2	-14.3	-14.7	-14.7	-15.0	-14.9	-14.8	-13.5	-11.8	-11.9	-11.3	-10.0	-8.8	-7.1
9	-6.6	-6.2	-5.7	-4.1	-2.3	-2.6	-1.9	-2.3	-2.6	-3.4	-2.9	-2.2	-2.6	-2.5	-2.4
10	-2.0	-3.0	-5.3	-3.3	-2.1	-3.3	-4.6	-5.2	-4.5	-1.6	-1.3	-0.2	+ 2.1	+ 2.5	+ 2.0
11	-2.3	-6.9	-7.3	-3.7	-5.3	-6.7	-4.2	+ 2.2	-0.3	-0.4	+ 0.8	-0.3	-1.0	-9.3	-10.0
12	-14.7	-15.0	-15.2	-15.3	-15.5	-15.3	-15.5	-15.3	-14.8	-15.3	-15.3	-14.8	-14.8	-15.2	-15.5
13	-22.5	-22.8	-22.9	-23.0	-23.3	-23.4	-23.0	-23.3	-23.7	-23.5	-23.3	-23.2	-23.2	-23.0	-23.3
14	-23.2	-23.6	-22.4	-22.1	-22.2	-22.0	-22.5	-21.8	-21.4	-20.7	-20.7	-20.5	-20.2	-18.8	-19.7
15	-18.2	-18.4	-18.5	-18.3	-18.4	-18.2	-18.1	-17.9	-17.4	-17.0	-16.4	-15.7	-15.2	-15.0	-14.8
16	-14.4	-14.4	-14.5	-14.6	-14.8	-15.0	-14.9	-14.3	-15.0	-16.7	-16.9	-16.3	-17.2	-17.8	-15.8
17	-18.1	-18.0	-17.9	-17.9	-17.9	-17.6	-17.3	-15.8	-14.2	-13.2	-12.5	-11.2	-9.0	-9.0	-(8.0)
18	-24.8	-24.9	-23.1	-24.5	-24.5	-24.3	-24.4	-24.3	-24.8	-23.6	-23.3	-23.3	-23.4	-23.4	-23.0
19	-19.6	-19.4	-18.9	-18.0	-17.7	-16.2	-14.2	-16.7	-20.0	-21.2	-21.7	-22.1	-21.7	-21.2	-20.6
20	-22.2	-22.6	-21.8	-21.0	-21.9	-26.0	-23.5	-22.3	-24.2	-22.8	-22.6	-21.2	-20.0	-20.5	-19.7
21	-20.9	-21.2	-21.2	-21.2	-21.2	-20.0	-20.5	-19.0	-18.3	-18.4	-17.9	-17.6	-18.0	-17.8	-17.6
22	-18.0	-17.8	-17.8	-17.6	-17.5	-17.4	-17.3	-17.0	-16.6	-16.6	-16.5	-16.5	-16.1	-16.0	-16.0
23	-19.4	-19.7	-19.4	-18.6	-19.8	-20.0	-20.2	-20.2	-19.9	-19.8	-19.7	-20.1	-20.2	-20.0	-18.7
24	-18.3	-18.1	-17.9	-18.1	-17.9	-17.8	-17.6	-17.6	-17.1	-17.9	-18.1	-17.5	-17.6	-18.0	-18.0
25	-21.9	-22.3	-22.5	-23.3	-23.8	-24.1	-24.4	-25.0	-25.2	-25.1	-25.0	-25.0	-24.9	-24.7	-24.7
26	-24.0	-24.1	-24.1	-24.1	-23.8	-23.9	-23.8	-23.6	-22.5	-20.8	-19.1	-18.6	-18.8	-19.0	-18.3
27	-17.5	-17.6	-15.8	-15.0	-14.3	-14.3	-14.1	-14.0	-13.3	-11.5	-14.2	-20.3	-20.7	-20.7	-20.7
28	-22.3	-22.3	-22.2	-22.0	-21.3	-20.8	-20.8	-20.5	-20.5	-20.3	-20.2	-20.1	-20.2	-20.2	-20.8
29	-23.5	-23.3	-23.2	-22.9	-23.2	-22.3	-24.4	-24.4	-22.8	-23.2	-22.0	-21.2	-20.7	-20.1	-20.6
30	-25.6	-25.7	-26.0	-26.2	-26.4	-26.2	-25.9	-26.2	-26.2	-26.2	-26.0	-25.7	-25.3	-25.2	-25.2
Med.	-17.51	-17.82	-17.88	-17.56	-17.68	-17.60	-17.67	-17.62	-17.06	-16.82	-16.30	-16.21	-15.59	-15.58	-15.37
Absolutes Maximum = + 6.0 (6:3 ^h 50 ^m a)															

Lufttemperatur

Höhe des Thermographen: 1.3 m. über Erdoberfläche; 12 m. über Meeresniveau

1903 September

4 p. m.	5 p. m.	6 p. m.	7 p. m.	8 p. m.	9 p. m.	10 p. m.	11 p. m.	Mttm.	Med.	Maximum		Minimum		Diff.	Dat.
										h. m.		h. m.			
-27.6	-27.7	-27.2	-27.1	-27.1	-27.4	-26.6	-25.3	-25.9	-28.42	11.00 p	-25.3	3.00 a	-31.0	5.7	1
-17.4	-17.8	-17.1	-20.0	-19.0	-21.5	-22.6	-12.1	-13.5	-22.60	11.00 p	-12.1	7.30 a	-32.5	20.4	2
-23.4	-24.0	-24.4	-25.0	-22.6	-22.2	-21.4	-21.4	-21.0	-19.41	1.30 a	-10.8	7.30 p	-25.1	14.3	3
-10.9	-9.3	-14.3	-14.4	-13.1	-9.3	-9.1	-11.4	-7.3	-15.50	8.30 p	-6.6	7.15 a	-23.3	16.7	4
-2.0	-3.9	-3.8	-5.3	-6.7	-8.7	-7.0	-11.2	-4.3	-5.42	3.50 p	+4.1	2.30 a	-11.8	15.9	5
+2.0	+2.7	+3.0	+0.7	+0.2	-5.9	-7.0	-7.6	-10.3	-0.02	3.50 a	+6.0	12.00 p	-10.3	16.3	6
-16.2	-16.1	-16.1	-15.6	-15.3	-15.5	-15.1	-14.4	-14.2	-15.06	1.00 a	-11.8	8.45 a	-17.3	5.5	7
-7.3	-9.1	-9.5	-7.3	-7.3	-8.4	-7.3	-9.0	-7.1	-10.97	3.30 p	-6.4	6.00 a	-15.0	8.6	8
-2.3	-2.2	-2.2	-1.7	-1.5	-1.1	-0.2	± 0.0	-1.3	-2.62	10.15 p	+0.7	1.00 a	-6.6	7.3	9
+1.7	+1.1	+1.9	+3.0	+2.8	+2.2	-4.6	-0.3	-5.5	-1.15	2.15 p	+3.2	7.15 a	-7.5	10.7	10
-12.8	-13.5	-13.8	-14.1	-14.2	-14.4	-14.4	-14.7	-14.5	-7.55	8.00 a	+2.7	11.00 p	-14.7	17.4	11
-16.2	-16.5	-16.9	-18.0	-18.9	-20.2	-21.0	-21.6	-22.2	-16.62	0.45 a	-14.3	12.00 p	-22.2	7.9	12
-23.3	-23.7	-23.2	(-23.2)	(-23.1)	-23.0	-23.4	-22.6	-22.2	-23.13	11.30 p	-22.2	5.00 p	-23.7	1.7	13
-20.5	-20.6	-20.6	-20.2	-20.2	-20.0	-18.9	-18.9	-18.6	-20.85	12.00 p	-18.6	2.00 a	-23.6	5.0	14
-14.7	-14.6	-15.1	-14.0	-14.7	-13.8	-14.2	-14.7	-14.5	-16.16	9.00 p	-13.8	3.00 a	-18.5	4.7	15
-16.6	-18.3	-18.3	-18.1	-16.9	-16.7	-17.0	-17.6	-17.8	-16.25	8.00 a	-14.3	5.00 p	-18.3	4.0	16
-6.6	-10.7	-19.2	-20.2	-21.0	-22.1	-23.1	-24.0	-25.0	-16.23	4.45 p	-6.2	12.00 p	-25.0	18.8	17
-22.9	-22.2	-21.5	-21.0	-20.4	-22.5	-24.2	-24.5	-21.2	-23.33	7.45 p	-20.2	11.15 p	-24.7	4.5	18
-21.4	-21.9	-21.7	-22.0	-22.0	-22.1	-22.6	-22.2	-22.0	-20.30	7.30 a	-12.7	10.00 p	-22.6	9.9	19
-20.3	-20.0	-20.8	-22.2	-22.2	-24.4	-23.0	-22.0	-21.2	-22.02	3.30 p	-19.5	6.15 a	-27.0	7.5	20
-17.8	-17.8	-18.1	-18.0	-17.6	-18.0	-17.6	-17.7	-17.9	-18.80	1.30 p	-17.4	5.30 a	-21.3	3.9	21
-15.8	-15.9	-18.2	-18.0	-18.5	-20.0	-19.8	-19.9	-19.9	-17.53	5.00 p	-15.8	10.30 p	-20.3	4.5	22
-18.0	-17.7	-17.8	-18.0	-18.6	-18.5	-18.7	-19.5	-18.6	-19.21	10.15 p	-16.4	7.00 a	-20.2	3.8	23
-18.3	-18.1	-18.3	-19.7	-20.1	-20.5	-20.3	-20.4	-21.1	-18.51	9.15 a	-16.9	12.00 p	-21.1	4.2	24
-24.7	-24.7	-24.5	-24.4	-24.4	-24.3	-24.2	-24.0	-23.9	-24.21	1.00 a	-21.9	9.00 a	-25.2	3.3	25
-18.3	-19.2	-18.3	-18.5	-18.5	-18.8	-19.3	-18.0	-18.0	-20.64	12.00 p	-18.0	3.00 a	-24.1	6.1	26
-20.9	-21.3	-21.5	-21.8	-22.0	-22.0	-22.0	-21.7	-21.6	-18.28	10.50 a	-10.5	8.45 p	-22.7	12.2	27
-20.5	-21.6	-22.2	-23.3	-24.0	-23.5	-24.7	-23.9	-24.1	-21.76	0.00 p	-20.1	10.00 p	-24.7	4.6	28
-20.6	-20.5	-20.6	-23.1	-24.3	-24.6	-24.9	-25.2	-25.5	-22.80	2.00 p	-20.1	7.30 p	-25.9	5.8	29
-25.3	-25.3	-25.2	-25.4	-26.0	-26.2	-26.1	-26.1	-26.0	-25.82	2.00 p	-25.2	5.00 a	-26.4	1.2	30
-15.96	-16.35	-16.85	-17.20	-17.24	-17.78	-18.01	-17.73	-17.54	-17.04		-12.67		-21.08	8.41	Med.
Absolutes Minimum = - 32.5 (2:7 ^h 30 ^m a)															

Lufttemperatur

Höhe des Thermographen: 1.3 m. über Erdoberfläche; 12 m. über Meeresniveau

Oktober 1903

Dat.	1 a. m.	2 a. m.	3 a. m.	4 a. m.	5 a. m.	6 a. m.	7 a. m.	8 a. m.	9 a. m.	10 a. m.	11 a. m.	Mittg.	1 p. m.	2 p. m.	3 p. m.
1	-25.7	-25.7	-25.2	-25.3	-25.4	-25.4	-25.7	-25.5	-25.4	-25.1	-25.1	-25.0	-24.8	-24.8	-24.2
2	-21.7	-22.0	-22.1	-22.0	-22.6	-22.2	-21.9	-21.0	-21.1	-20.2	-20.2	-20.2	-16.0	-14.6	-14.2
3	-16.9	-16.0	-14.8	-14.3	-14.0	-13.8	-13.0	-12.2	-11.5	-10.0	-8.0	-7.2	-5.8	-5.7	-5.0
4	-13.9	-4.6	-4.4	-4.2	-4.0	-4.1	-3.3	-2.2	-1.7	-1.7	-1.0	-0.6	-0.5	-0.4	+0.6
5	-1.0	-1.2	-1.1	-0.8	-1.0	-0.6	-0.3	-14.0	-12.7	-11.2	-10.2	-9.0	-11.1	-12.8	-13.2
6	-17.9	-17.7	-16.8	-16.0	-16.0	-14.5	-13.8	-13.7	-12.8	-12.3	-10.2	-9.1	-8.2	-9.2	-8.1
7	-1.7	-2.0	-1.4	-3.7	-3.9	-5.2	-8.0	-6.2	-6.4	-7.7	-9.5	-10.8	-12.3	-13.0	-15.4
8	-19.9	-19.8	-20.2	-20.1	-20.0	-19.9	-19.6	-19.6	-19.4	-18.7	-18.4	-18.1	-17.9	-17.7	-17.7
9	-16.3	-16.2	-16.2	-16.4	-15.9	-15.2	-14.7	-15.2	-13.8	-12.7	-12.4	-12.2	-11.4	-12.4	-11.7
10	-9.2	-10.3	-11.8	-12.5	-15.2	-16.2	-16.2	-16.5	-16.8	-16.5	-16.5	-16.4	-16.5	-16.2	-16.2
11	-16.1	-16.0	-15.8	-15.7	-15.9	-15.5	-14.6	-14.7	-15.0	-14.2	-13.9	-12.4	-12.0	-11.5	-13.5
12	-19.0	-17.5	-17.2	-16.7	-15.9	-15.3	-15.2	-13.7	-11.2	-11.2	-9.7	-9.0	-9.0	-8.1	-8.2
13	-14.8	-14.9	-17.3	-16.8	-16.4	-14.9	-14.8	-13.5	-10.6	-11.0	-10.3	-9.1	-8.0	-7.1	-8.3
14	-14.7	-13.5	-11.3	-12.0	-11.5	-10.7	-9.7	-9.1	-7.2	-7.1	-4.2	-1.2	-1.0	-1.1	-1.0
15	+0.1	-0.7	-0.2	+0.7	+2.7	+1.3	+0.2	+0.2	+1.4	+1.3	+2.4	+4.1	+3.1	+4.4	+4.6
16	-1.5	-1.3	-3.3	-0.4	+1.1	+1.0	-3.6	-2.6	±0.0	+0.5	+0.7	+1.1	+1.7	+3.7	+1.8
17	-4.5	-4.3	+1.0	-4.8	-1.6	-0.4	+0.6	+0.7	+1.7	+2.2	+2.2	+3.9	+1.7	+1.7	+4.7
18	+3.6	+4.3	+3.6	+3.5	+2.2	+1.7	+1.7	+1.8	+3.7	+4.4	+4.3	+4.7	+5.0	+6.2	+6.7
19	+2.7	+3.5	+3.5	+1.1	+1.3	+0.7	+1.0	+0.7	+2.9	-0.3	-0.6	-0.3	-0.4	-0.2	-0.8
20	-5.0	-5.1	-6.5	-7.2	-9.4	-7.7	-5.7	-4.5	-3.3	-2.2	-1.3	-1.5	-0.7	+0.1	+0.1
21	-2.5	-2.7	-2.2	-4.9	-3.2	-4.0	-3.8	-3.0	-2.9	-2.5	±0.0	+0.5	+3.0	+5.5	+2.2
22	+0.1	-3.0	+0.8	+1.6	-3.2	-1.1	±0.0	±0.0	+1.0	+2.5	+3.0	+2.9	+2.5	+1.9	+3.0
23	-2.0	-2.0	-1.9	-1.2	+2.2	-0.5	-1.5	-0.3	+0.2	+0.3	+0.7	+1.4	+2.3	+4.5	+5.6
24	-2.1	-5.0	-1.0	±0.0	-0.4	-1.2	-6.5	-8.4	-11.0	-10.8	-9.7	-9.5	-8.3	-7.5	-7.7
25	-10.7	-10.7	-10.6	-10.9	-11.1	-11.5	-11.3	-10.9	-9.3	-8.8	-7.8	-7.0	-6.6	-5.7	-4.8
26	-4.0	-3.0	-1.7	-0.9	-1.0	±0.0	+0.2	+0.5	+1.2	+2.3	+2.7	+2.1	+1.8	-0.4	-0.8
27	-2.4	-2.7	-0.2	-1.0	-1.0	+1.0	+3.7	+5.0	+6.0	+5.5	+5.5	+5.1	+4.5	+4.7	+4.7
28	+4.2	+2.5	+4.3	+4.0	+4.0	+4.4	+2.7	+4.1	+4.3	+4.0	+4.2	+2.1	+2.8	+3.3	+2.7
29	+4.7	+3.8	+2.6	+2.2	+1.8	+1.6	+0.9	+0.9	+1.0	+2.1	+2.4	+3.3	+2.6	+4.1	+4.3
30	-8.3	-8.3	-9.1	-8.5	-8.5	-8.2	-7.0	-6.7	-6.3	-3.2	-1.2	-0.3	+0.5	+0.8	+1.0
31	-4.9	-4.1	-3.9	-3.8	-3.8	-4.3	-4.6	-5.3	-5.9	-6.1	-6.5	-7.2	-7.5	-7.2	-7.7
Med.	-7.46	-7.62	-7.11	-7.32	-7.28	-7.12	-7.22	-7.25	-6.48	-6.08	-5.44	-5.00	-4.73	-4.35	-4.40
Absolutes Maximum = + 7.1 (18: 3 ^h 15 ^m p)															

Lufttemperatur

Höhe des Thermographen: 1.3 m. über Erdfläche; 12 m. über Meeresniveau

1903 Oktober

4 p. m.	5 p. m.	6 p. m.	7 p. m.	8 p. m.	9 p. m.	10 p. m.	11 p. m.	Mttn.	Med.	Maximum		Minimum		Diff.	Dat.
										h. m.		h. m.			
-24.0	-23.7	-23.6	-23.5	-23.0	-22.8	-22.4	-22.2	-22.1	-24.40	12.00 p	-22.1	1.00 a	-25.7	3.6	1
-13.6	-15.1	-17.8	-18.1	-18.5	-18.2	-18.8	-17.7	-17.7	-19.06	4.30 p	-11.8	5.00 a	-22.6	10.8	2
-4.9	-5.4	-4.4	-4.5	-4.3	-3.5	-3.6	-3.1	-3.5	-8.56	11.00 p	-2.9	1.00 a	-16.9	14.0	3
± 0.0	-0.3	-0.7	-1.7	-0.8	-1.9	-1.2	-0.8	-0.9	-1.85	3.00 p	+ 0.6	2.30 a	-4.7	5.3	4
-14.3	-15.8	-16.4	-16.6	-16.8	-17.6	-17.6	-17.7	-17.6	-10.44	6.45 a	+ 0.1	11.00 p	-17.7	17.8	5
-8.1	-10.2	-12.0	-9.2	-5.1	-4.2	-2.3	-1.5	-2.2	-10.46	9.30 p	-0.4	2.30 a	-18.1	17.7	6
-17.0	-17.1	-18.1	-18.7	-19.1	-19.5	-19.2	-19.2	-19.5	-11.44	3.30 a	-1.0	12.00 p	-19.5	18.5	7
-17.6	-17.6	-17.6	-17.6	-17.7	-18.0	-17.4	-17.4	-16.5	-18.52	12.00 p	-16.5	3.30 a	-20.3	3.8	8
-10.2	-9.7	-9.6	-10.8	-11.2	-10.7	-9.2	-9.2	-7.5	-12.53	12.00 p	-7.5	1.30 a	-16.9	9.4	9
-16.8	-16.7	-16.6	-16.5	-15.9	-15.4	-15.7	-15.2	-15.9	-15.32	0.30 a	-8.8	8.30 a	-17.0	8.2	10
-14.5	-15.5	-17.5	-18.7	-17.4	-19.4	-20.0	-19.8	-21.5	-15.88	2.00 p	-11.5	12.00 p	-21.5	10.0	11
-7.9	-8.1	-8.2	-8.7	-8.6	-10.0	-12.2	-12.2	-13.1	-11.94	4.45 p	-7.6	1.00 a	-19.0	11.4	12
-8.8	-10.3	-10.3	-9.7	-8.8	-10.5	-5.6	-8.9	-10.1	-11.28	10.00 p	-5.4	3.30 a	-17.7	12.3	13
-3.3	-4.0	-3.3	-3.4	-1.3	-1.3	-1.3	-0.5	-1.0	-5.61	9.45 p	± 0.0	1.00 a	-14.7	14.7	14
+ 5.0	+ 3.1	+ 1.9	+ 1.1	+ 1.5	-2.3	-1.3	-0.8	-2.4	+ 1.31	4.00 p	+ 5.0	8.30 p	-2.5	7.5	15
+ 0.7	+ 0.2	-0.1	-0.2	-1.4	-3.5	-5.4	-4.9	-5.9	-0.90	2.45 p	+ 5.0	9.15 p	-7.2	12.2	16
+ 3.8	+ 1.7	+ 1.8	+ 2.1	+ 1.2	+ 2.0	+ 1.4	+ 1.6	+ 2.5	+ 0.95	2.45 p	+ 6.3	3.45 a	-5.1	11.4	17
+ 5.0	+ 4.7	+ 6.8	+ 4.6	+ 4.1	+ 3.4	+ 3.8	+ 2.5	+ 2.7	+ 3.96	3.15 p	+ 7.1	+4.15 a	+ 0.7	6.4	18
-1.7	-2.5	-3.0	-2.4	-2.1	-4.6	-6.2	-4.6	-4.0	-0.68	0.30 a	+ 3.7	10.00 p	-6.2	9.9	19
-0.2	-0.8	-1.7	-3.0	-3.3	-2.7	-2.2	-3.5	-2.5	-3.34	2.15 p	+ 0.7	5.15 a	-9.7	10.4	20
+ 1.3	+ 1.4	+ 1.8	+ 1.0	+ 1.2	+ 0.5	-4.0	-2.0	-1.5	-0.87	2.00 p	+ 5.5	4.00 a	-4.9	10.4	21
+ 2.9	+ 2.7	+ 1.8	± 0.0	+ 0.6	-1.0	-2.2	-1.1	-1.8	+ 0.58	4.30 p	+ 3.5	1.30 a	-5.8	9.3	22
+ 4.1	+ 4.2	+ 3.4	+ 1.5	-0.4	-2.4	-4.5	-4.6	-4.1	+ 0.21	3.15 p	+ 6.0	10.30 p	-4.9	10.9	23
-7.9	-8.3	-8.5	-8.5	-8.5	-9.1	-9.6	-10.0	-10.2	-7.07	4.00 a	± 0.0	9.00 a	-11.0	11.0	24
-5.1	-6.0	-6.0	-5.7	-5.4	-5.5	-3.6	-3.6	-4.3	-7.62	11.00 p	-3.6	6.30 a	-11.6	8.0	25
-4.3	-5.0	-7.0	-7.6	-7.9	-7.8	-7.3	-6.5	-4.7	-2.46	11.00 a	+ 2.7	7.30 p	-7.9	10.6	26
+ 4.4	+ 4.2	+ 4.5	+ 4.2	+ 4.1	+ 3.7	+ 4.3	+ 4.7	+ 5.5	+ 3.25	9.30 a	+ 6.7	1.45 a	-3.0	9.7	27
+ 3.2	+ 4.0	+ 5.0	+ 4.5	+ 4.0	+ 4.5	+ 4.1	+ 4.7	+ 6.0	+ 3.90	6.30 a	+ 6.2	0.15 p	+ 2.0	4.2	28
+ 4.6	-1.0	-3.6	-5.8	-5.8	-6.8	-6.7	-7.3	-7.6	-0.07	0.30 a	+ 6.0	12.00 p	-7.6	13.6	29
+ 0.7	-0.3	-2.0	-2.7	-2.8	-2.5	-3.6	-4.3	-5.9	-4.03	2.50 p	+ 2.4	4.15 a	-10.0	12.4	30
-8.0	-8.3	-8.6	-9.0	-9.1	-9.3	-9.5	-11.4	-12.0	-7.00	4.30 a	-3.7	12.00 p	-12.0	8.3	31
-4.92	-5.66	-6.12	-6.57	-6.40	-6.98	-7.09	-6.98	-7.07	-6.36		-1.14		-11.58	10.44	Med.

Absolutes Minimum = - 25.7 (1: 1^h00^ma)

Lufttemperatur

Höhe des Thermographen: 1.3 m. über Erdoberfläche; 12 m. über Meeresniveau

November 1903

Dat.	1 a. m.	2 a. m.	3 a. m.	4 a. m.	5 a. m.	6 a. m.	7 a. m.	8 a. m.	9 a. m.	10 a. m.	11 a. m.	Mittg.	1 p. m.	2 p. m.	3 p. m.
1	-12.4	-12.5	-12.5	-12.3	-12.5	-12.8	-12.9	-12.2	-11.8	-11.2	-10.6	-10.1	-9.8	-9.0	-8.7
2	-10.0	-8.7	-8.2	-9.0	-9.5	-7.6	-4.4	-3.0	-3.0	-1.9	-2.0	-1.0	-0.2	-0.7	+0.6
3	-3.2	-3.6	-2.8	-3.2	-3.5	-4.5	-2.4	-1.6	+2.2	+3.8	+1.3	+1.8	+4.0	+3.5	+3.8
4	+3.0	+6.3	+5.8	+6.4	+5.8	+5.0	+3.2	+2.4	+3.0	+3.5	+3.6	+4.3	+3.0	+1.2	-0.4
5	-3.7	-3.2	-3.2	-4.0	-6.5	-3.7	-4.3	-2.6	-1.8	-1.6	-0.7	-0.2	+0.5	+1.0	+0.1
6	+2.6	+6.2	+4.0	+3.3	+4.4	+2.7	+4.0	+4.1	+3.7	+4.4	+5.4	+4.9	+4.3	+5.2	+5.1
7	+0.4	-3.8	+0.5	+0.9	+1.3	+0.1	+0.5	-0.2	+0.1	+0.4	+1.3	+1.6	+2.2	+3.7	+4.7
8	-2.5	-3.7	-1.8	-2.3	-3.0	-0.5	+0.6	+1.5	+2.7	+3.2	+2.8	+4.8	+2.3	+3.3	.
Med.	-3.33	-2.76	-2.63	-2.84	-2.93	-2.97	-2.33	-1.87	-1.09	-0.37	-0.24	+0.19	+0.57	+0.70	+0.74
Absolutes Maximum = +7.7 (4: 3 ^h 45 ^m a)															

Lufttemperatur

Höhe des Thermographen: 1.3 m. über Erdfäche; 12 m. über Meeresniveau

1903 November

4 p. m.	5 p. m.	6 p. m.	7 p. m.	8 p. m.	9 p. m.	10 p. m.	11 p. m.	Mtn.	Med.	Maximum		Minimum		Diff.	Dat.
										h. m.		h. m.			
- 8.0	- 7.6	- 5.9	- 7.8	- 9.8	- 8.5	- 9.3	- 8.4	- 10.3	- 10.29	6.45 p	- 5.2	6.30 a	- 13.0	7.8	1
+ 1.2	+ 2.0	- 1.2	- 3.7	- 4.7	- 6.3	- 5.8	- 6.0	- 3.2	- 4.01	3.45 p	+ 3.7	10.45 p	- 7.0	10.7	2
+ 3.7	+ 7.0	+ 2.3	+ 4.3	+ 4.2	+ 3.0	+ 3.8	+ 3.5	+ 2.8	+ 1.26	5.00 p	+ 7.0	6.00 a	- 4.5	11.5	3
- 1.1	- 1.8	- 1.7	- 2.4	- 3.5	- 3.3	- 3.2	- 3.7	- 3.9	+ 1.31	3.45 a	+ 7.7	12.00 p	- 3.9	11.6	4
- 0.3	+ 0.4	+ 1.0	+ 1.3	+ 2.3	+ 4.0	+ 1.8	+ 1.2	+ 1.6	- 0.86	9.00 p	+ 4.0	5.00 a	- 6.5	10.5	5
+ 3.9	+ 3.6	+ 2.6	+ 2.0	+ 1.9	+ 1.5	+ 0.7	+ 0.2	+ 0.1	+ 3.37	11.30 a	+ 6.9	12.00 p	+ 0.1	6.8	6
+ 0.8	+ 1.1	+ 0.3	- 0.6	- 1.5	- 1.6	- 1.8	- 2.0	- 1.9	+ 0.27	3.00 p	+ 4.7	2.00 a	- 3.8	8.5	7
.	0.00 p	+ 4.8	2.00 a	- 3.7	8.5	8
+ 0.03	+ 0.67	- 0.37	- 0.99	- 1.59	- 1.60	- 1.97	- 2.17	- 2.11	- 1.30		- 4.20		- 5.29	9.49	Med.
Absolutes Minimum = - 13.0 (1: 6 ^h 30 ^{ma})															



TAB. III.

FEUCHTIGKEIT

Feuchtigkeit

Höhe des Psychrometers: 0.9 m. über Erdoberfläche; 11.6 m. über Meeresniveau

März 1902

Dat.	7 a. m.		8 a. m.		2 p. m.		9 p. m.	
	mm.	%	mm.	%	mm.	%	mm.	%
1
2
3
4
5
6
7
8
9
10	1.5	50
11	3.1	60
12	3.4	67	.	.	3.4	52	1.8	81
13	0.6	49	.	.	1.1	81	1.5	85
14	1.2	76	1.3	74	1.2	69	1.4	81
15	1.0	70	1.3	83	1.5	85	1.2	70
16	.	.	1.3	49	1.4	50	1.7	75
17	1.0	76	1.0	73	1.2	67	1.1	64
18	1.4	78	1.3	74	1.3	68	1.2	79
19	1.1	78	1.2	83	1.1	66	0.9	62
20	1.3	83	1.4	88	1.7	83	.	.
21	1.7	80	1.6	83	1.3	77	1.3	76
22	1.1	71	1.0	66	1.1	59	1.2	82
23	1.2	70	0.9	71
24	0.7	74	0.9	79	0.9	60	0.9	71
25	0.9	67	0.9	65	1.4	51	1.5	71
26	1.3	68	1.4	67	1.3	51	0.9	64
27	0.9	74	0.9	79	0.9	64	1.0	66
28	2.5	90	2.1	76	1.1	65	1.8	87
29	0.7	75	0.7	76	0.8	78	0.9	78
30	.	.	0.9	84	1.1	81	1.1	82
31	1.1	78	1.1	73	1.1	66	1.0	70
Med.	1.3	72	1.2	75	1.3	67	1.3	78
Med. { 1.3 mm. 73 %								

April 1902

Dat.	7 a. m.		8 a. m.		2 p. m.		9 p. m.	
	mm.	%	mm.	%	mm.	%	mm.	%
1	1.3	80	1.3	73	1.0	81	1.0	72
2	0.9	79	.	.	2.0	88	2.5	75
3	1.1	90	0.9	71	1.0	81	1.1	82
4	1.5	85	1.6	85	0.9	80	0.6	79
5	1.3	83	0.8	78	1.2	87	3.3	72
6	.	.	2.0	88	1.9	55	3.5	92
7	2.5	72	2.3	82	1.1	81	0.9	79
8	0.8	69	0.9	79	1.1	67	1.4	84
9	1.9	87	2.1	81	3.3	74	4.8	98
10	2.7	90	2.4	73	.	.	2.2	83
11	1.3	84	1.3	84	.	.	1.2	100
12	1.1	85	1.1	81	1.2	82	1.1	81
13	0.9	65	1.0	66	1.4	78	1.4	88
14	1.5	92	1.5	92	1.2	73	1.5	85
15	1.3	91	1.4	96	1.6	93	1.4	70
16	1.8	87	1.8	90	1.8	68	2.1	72
17	4.3	75	4.3	82	4.1	60	.	.
18	1.2	91	1.2	91	1.2	87	1.1	85
19	0.9	75	1.0	85	1.0	80	0.7	86
20	0.7	92	0.7	79	0.7	80	0.8	86
21	0.7	80	0.8	81	1.0	65	1.4	84
22	0.8	81	0.7	80	0.7	67	0.7	74
23	0.7	74	0.7	75	0.8	78	0.5	69
24	0.5	61	0.4	61	0.6	72	0.5	63
25	0.5	63	0.6	64	0.7	65	0.6	73
26	.	.	0.5	59	0.4	52	0.5	65
27	0.7	76	0.7	76	0.8	78	0.6	54
28	1.0	80	1.0	80	1.4	70	1.2	75
29	1.0	61	1.3	68	1.1	46	2.2	81
30	2.2	68	2.1	72	3.2	69	3.7	81
Med.	1.3	79	1.3	78	1.4	73	1.5	79
Med. { 1.4 mm. 77 %								

Feuchtigkeit

Höhe des Psychrometers: 0.9 m. über Erdfäche; 11.6 m. über Meeresniveau

Mai 1902

Dat.	7 a. m.		8 a. m.		2 p. m.		9 p. m.	
	mm.	%	mm.	%	mm.	%	mm.	%
1	3.2	57	2.7	60	2.7	66	0.9	79
2	0.3	50	3.4	56	0.3	55	0.3	55
3	0.5	61	0.5	69	0.4	52	0.2	33
4	0.1	34	0.1	29	0.2	32	0.2	22
5	0.6	61	0.6	55	1.0	70	1.7	86
6	.	.	3.0	58	3.7	71	2.7	63
7	3.0	66	2.1	54	2.4	63	2.1	66
8	2.0	62	2.3	77	2.5	63	0.6	72
9	0.5	64	0.5	65	0.6	52	1.0	76
10	2.3	56	2.0	46	2.1	51	2.2	49
11	2.5	75	2.4	73	2.5	57	3.2	65
12	2.5	42	2.5	48	2.1	49	2.2	67
13	1.5	52	1.7	61	1.5	57	0.7	62
14	0.7	74	0.6	72	0.6	71	0.5	69
15	0.6	79	0.5	64	0.4	62	0.4	53
16	0.5	68	0.5	63	0.4	50	0.5	63
17	0.5	70	0.5	62	0.4	61	0.4	61
18	0.6	62	0.6	61	0.4	61	0.4	61
19	0.6	68	0.7	74	0.5	52	1.1	81
20	.	.	0.6	61	0.6	61	0.9	79
21	0.7	76	0.7	75	0.6	73	0.6	71
22	0.5	64	0.5	70	0.6	71	0.4	56
23	0.6	71	0.6	72	0.6	72	0.5	64
24	0.6	65	0.7	70	0.7	71	0.8	76
25	0.9	80	0.9	79	0.7	76	0.7	74
26	0.3	48	0.3	46	0.2	36	0.4	66
27	0.4	65	0.4	56	0.4	66	0.4	59
28	0.4	66	0.4	66	0.4	59	0.4	64
29	0.3	51	0.3	50	0.3	49	0.2	50
30	0.2	37	0.2	39	0.2	42	0.4	57
31	0.6	71	0.6	73	1.0	81	1.1	82
Med.	1.0	62	1.0	61	1.0	60	0.9	63
Med. $\left\{ \begin{array}{l} 1.0 \text{ mm.} \\ 62 \% \end{array} \right.$								

Juni 1902

Dat.	7 a. m.		8 a. m.		2 p. m.		9 p. m.	
	mm.	%	mm.	%	mm.	%	mm.	%
1	0.4	61	0.4	52	0.3	48	0.2	38
2	0.1	31	0.2	46	0.2	37	0.2	42
3	0.3	48	0.3	56	0.2	47	0.3	48
4	0.3	49	0.2	51	0.3	48	0.3	50
5	0.3	53	0.2	46	0.3	52	0.3	51
6	0.3	48	0.4	56	0.3	55	0.4	64
7	0.4	64	0.4	56	0.4	57	0.4	58
8	0.6	64	0.7	65	0.7	76	0.2	42
9	0.2	53	0.3	53	0.3	55	0.3	50
10	0.4	61	0.4	62	0.3	53	0.4	61
11	0.3	40	0.1	20	0.1	18	0.1	19
12	0.3	60	0.3	49	0.3	50	0.4	66
13	1.6	59	1.4	54	1.0	81	0.8	78
14	1.4	58	1.4	67	1.1	63	1.1	78
15	0.9	61	1.1	71	1.2	83	0.9	67
16	1.2	75	1.2	76	1.3	46	1.4	40
17	2.1	81	2.0	67	2.6	59	2.4	58
18	1.0	69	0.7	71	0.5	62	0.3	50
19	0.6	73	0.7	74	0.9	84	1.5	85
20	2.9	61	2.7	55	2.5	60	2.8	88
21	1.3	69	1.5	82	2.2	68	2.7	59
22	2.0	65	1.8	48	2.0	56	2.1	53
23	2.9	60	3.7	78	0.9	54	0.8	43
24	0.9	52	0.9	53	1.4	71	2.3	89
25	1.0	80	0.9	75	0.8	62	1.1	74
26	0.6	66	0.7	74	0.9	80	1.3	80
27	0.4	58	0.4	60	0.9	84	0.7	76
28	0.4	66	0.4	66	0.4	66	0.3	55
29	0.5	69	0.6	71	0.4	61	0.5	69
30	0.5	62	0.5	69	0.5	64	0.3	55
Med.	0.9	61	0.9	61	0.8	60	0.9	59
Med. $\left\{ \begin{array}{l} 0.9 \text{ mm.} \\ 60 \% \end{array} \right.$								

Feuchtigkeit

Höhe des Psychrometers: 0.9 m. über Erdoberfläche; 11.7 m. über Meeresniveau

Juli 1902

Augusti 1902

Dat.	7 a. m.		8 a. m.		2 p. m.		9 p. m.	
	mm.	%	mm.	%	mm.	%	mm.	%
1	0.3	49	0.6	72	0.5	63	0.4	61
2	0.4	51	0.4	58	0.3	52	0.3	49
3	0.4	54	0.5	60	0.4	52	0.7	75
4	0.9	79	0.7	58	0.8	55	1.1	71
5	1.5	75	1.3	67	1.8	74	1.7	83
6	0.9	78	0.7	74	0.3	53	0.3	46
7	0.1	19	0.1	34	0.1	26	0.3	42
8	0.4	62	0.6	67	0.7	74	0.6	71
9	0.1	30	0.2	42	0.1	23	0.2	47
10	0.7	75	0.7	75	0.8	58	0.7	76
11	0.5	68	0.5	68	0.4	58	0.4	58
12	0.6	66	0.6	62	0.6	68	0.7	76
13	0.9	78	1.3	84	1.8	84	0.5	56
14	.	.	0.1	18	0.1	18	.	.
15	0.1	31	0.1	31	0.2	41	0.1	24
16	0.1	36	0.2	51	.	.	0.1	37
17	0.1	41	0.1	43	0.1	27	0.4	60
18	0.3	53	0.3	53	0.4	56	0.3	49
19	0.5	64	0.5	64	0.6	61	0.5	55
20	0.6	71	0.6	71	0.6	71	0.5	70
21	0.5	69	0.5	69	0.2	42	0.3	52
22	.	.	0.2	42	0.3	50	0.2	42
23	0.1	36	0.1	26	0.1	29	0.1	27
24	0.1	30	0.1	39	0.1	40	0.1	21
25	0.1	18	0.1	22	.	.	0.1	47
26	0.1	36	0.1	24	0.1	39	0.2	42
27	0.1	39	0.2	51	0.3	56	0.1	28
28	0.4	64	0.3	44	0.6	65	0.4	58
29	0.3	52	0.3	50	0.1	29	0.1	19
30	0.1	19	0.1	18	0.1	25	0.1	18
31	0.1	19	0.1	25	0.1	19	.	.
Med.	0.4	50	0.4	50	0.4	48	0.4	50
Med. { 0.4 mm. 49 %								

Dat.	7 a. m.		8 a. m.		2 p. m.		9 p. m.	
	mm.	%	mm.	%	mm.	%	mm.	%
1	0.1	19	0.1	19	0.1	21	0.4	63
2	0.1	30	0.1	33	0.1	26	0.1	36
3	0.2	39	0.2	38	0.1	18	0.3	40
4	0.2	42	0.2	37	0.2	34	0.1	20
5	0.1	34	0.1	20	0.1	38	0.1	18
6	0.1	18	0.1	18
7	0.1	18
8	0.1	18	0.1	38	.	.	1.6	89
9	2.0	91	0.8	53	0.1	34	0.2	48
10	0.1	25	0.1	25	0.1	19	0.1	20
11	0.2	53	0.1	36	0.2	43	0.1	20
12	0.1	39	0.1	22
13
14	0.1	41	0.2	50	.	.	1.0	55
15	0.3	60	0.3	51	0.2	31	0.1	36
16	0.1	22	0.1	25	0.1	24	0.6	57
17	2.1	72	3.3	87	2.8	88	3.5	86
18	3.8	81	4.2	92	2.4	73	.	.
19	1.1	63	1.3	71	1.3	55	1.5	52
20	1.3	68	1.2	64	0.6	71	0.8	76
21	0.6	72	0.5	64	0.5	70	0.5	65
22	0.4	56	0.4	55	0.5	49	0.3	50
23	0.5	90	0.3	53	0.1	38	0.4	52
24	0.4	52	0.4	49	0.4	43	0.4	43
25	1.1	82	1.0	73	0.7	59	0.9	79
26	1.0	81	1.2	82	2.6	66	1.0	81
27	1.0	81	1.1	86	2.5	79	1.3	56
28	2.0	75	1.9	75	1.3	55	1.4	81
29	0.6	73	0.5	64	0.5	64	0.5	68
30	0.2	47	0.2	41	.	.	0.1	26
31	0.1	25	0.1	42	0.1	21	0.1	22
Med.	0.7	52	0.7	50	0.8	46	0.7	52
Med. { 0.7 mm. 50 %								

Feuchtigkeit

Höhe des Psychrometers: 0.9 m. über Erdfäche; 11.6 m. über Meeresniveau

September 1902

Dat.	7 a. m.		8 a. m.		2 p. m.		9 p. m.	
	mm.	%	mm.	%	mm.	%	mm.	%
1	0.1	33	0.1	33	0.1	35	0.1	20
2	0.2	46	.	.	0.1	21	0.2	50
3	0.2	48	0.4	79	0.8	43	0.6	44
4	1.4	73	1.5	76	1.2	80	1.1	81
5	0.7	74	0.6	67	0.7	74	0.5	59
6	0.7	74	0.6	62	0.5	52	0.6	72
7	0.8	86	0.7	35	1.1	37	1.7	62
8	0.2	35	0.2	42	0.4	48	0.2	47
9	0.3	53	0.3	52	0.4	52	0.2	38
10	0.3	53	0.3	53	0.2	18	0.8	28
11	0.4	13	1.1	63	1.2	36	1.2	41
12	2.5	54	2.3	39	3.0	89	1.6	59
13	2.1	70	2.3	65	3.2	66	2.7	88
14	1.4	50	1.3	45	1.3	41	1.6	55
15	2.6	72	2.4	54	1.9	59	3.3	64
16	2.3	34	3.1	52	3.4	60	3.2	74
17	3.3	74	3.3	71	3.2	71	3.1	76
18	3.4	84	3.4	84	4.3	94	1.6	83
19	.	.	1.3	84	1.4	84	1.2	83
20	0.8	78	0.9	78	0.8	72	0.5	57
21	0.6	73	0.7	74	0.7	67	1.0	80
22	1.3	84	1.3	83	1.3	84	1.4	84
23	1.2	82	1.3	83	1.4	72	1.4	84
24	1.3	84	1.2	83	1.2	82	0.9	70
25	0.7	74	0.6	68	0.7	69	0.7	75
26	0.7	70	0.7	75	0.6	68	0.5	65
27	0.4	60	0.4	51	0.4	57	0.3	55
28	0.6	72	0.6	73	0.8	77	0.9	79
29	0.6	43	0.8	47	0.3	53	1.3	42
30	1.8	81	1.9	75	.	.	1.2	34
Med.	1.1	63	1.2	63	1.3	61	1.2	62
Med. $\left\{ \begin{array}{l} 1.2 \text{ mm.} \\ 62 \% \end{array} \right.$								

Oktober 1902

Dat.	7 a. m.		8 a. m.		2 p. m.		9 p. m.	
	mm.	%	mm.	%	mm.	%	mm.	%
1	1.5	40	1.4	33	1.9	53	2.6	62
2	1.7	58	1.7	51	1.3	45	1.9	57
3	2.9	63	3.2	65	3.1	74	2.9	53
4	.	.	2.6	61	2.8	61	2.4	78
5	3.2	89	2.9	87	2.0	88	1.4	85
6	2.2	83	2.3	77	2.3	51	2.6	55
7	1.7	64	1.6	64	1.5	55	1.7	75
8	.	.	2.5	89	2.3	59	2.3	68
9	2.4	80	2.6	63	3.7	65	3.1	71
10	2.9	68	2.4	57	4.2	75	1.4	81
11	1.6	89	1.7	86	2.9	90	2.8	84
12	0.9	75	0.9	75	0.8	73	0.6	61
13	0.4	52	0.5	59	0.6	49	0.5	65
14	0.4	54	0.4	53	0.5	56	0.6	62
15	0.8	73	0.9	75	1.6	76	0.7	76
16	0.6	65	0.6	72	0.7	74	0.5	59
17	0.7	79	0.6	73	0.7	85	0.4	61
18	0.5	75	0.5	69	0.6	57	0.5	70
19	0.6	92	.	.	0.7	92	0.5	76
20	0.6	73	0.6	68	0.9	84	1.0	80
21	0.9	76	1.0	81	1.1	71	1.0	81
22	1.0	70	1.1	67	.	.	1.4	78
23	1.1	74	1.3	83	1.1	61	1.0	72
24	0.7	72	0.7	66	0.9	78	0.7	76
25	0.8	76	0.8	77	0.9	79	1.0	81
26	0.8	73	0.8	73	0.9	79	0.9	74
27	1.0	81	1.1	81	1.2	79	1.1	74
28	1.2	79	1.0	73	1.0	76	0.9	79
29	0.9	80	1.0	80	1.2	80	1.2	82
30	1.2	82	1.2	83	1.4	75	1.1	68
31	1.1	78	1.1	78	1.1	75	1.2	82
Med.	1.2	73	1.4	71	1.5	70	1.3	72
Med. $\left\{ \begin{array}{l} 1.3 \text{ mm.} \\ 72 \% \end{array} \right.$								

Feuchtigkeit

Höhe des Psychrometers: 0,9 m. über Erdfläche; 11,6 m. über Meersniveau

November 1902

Dat.	7 a. m.		8 a. m.		2 p. m.		9 p. m.	
	mm.	%	mm.	%	mm.	%	mm.	%
1	0.9	75	1.0	80	1.1	71	1.2	79
2	1.1	78	1.2	79	1.3	80	1.2	79
3	1.1	77	0.9	71	1.0	70	1.0	66
4	1.0	56	1.1	63	1.1	43	1.0	52
5	0.8	56	0.8	47	0.9	42	1.2	64
6	1.5	76	1.5	76	1.1	41	1.2	45
7	1.2	44	1.5	56	2.0	58	2.3	82
8	2.1	55	2.3	55	3.9	60	4.1	92
9	0.9	42	1.0	36	1.3	48	1.5	69
10	2.5	87	2.5	85	2.5	83	2.2	87
11	1.9	84	1.8	81	2.0	85	1.8	84
12	1.7	83	1.7	83	2.0	88	2.1	83
13	1.5	82	1.6	80	2.0	78	1.9	82
14	1.6	77	1.6	74	1.6	49	1.0	38
15	1.7	73	1.7	69	2.4	82	2.2	84
16	2.0	83	2.1	83	1.9	87	1.8	84
17	1.7	83	1.7	83	2.0	78	1.5	73
18	1.4	81	1.4	77	1.5	85	1.5	85
19	1.5	76	1.6	80	2.0	74	2.0	78
20	1.8	69	1.8	65	1.9	68	1.5	66
21	1.2	58	1.3	56	1.2	56	1.4	70
22	1.7	77	1.6	72	1.7	67	1.8	72
23	2.3	82	2.2	75	2.2	68	2.3	76
24	1.9	70	2.1	74	1.9	59	2.2	75
25	2.5	79	2.6	75	3.1	70	2.1	78
26	1.9	73	2.1	74	1.9	58	1.9	70
27	2.2	84	2.4	87	2.1	81	2.2	86
28	2.3	76	2.6	79	.	.	2.7	76
29	2.5	81	2.6	81	2.5	64	2.7	74
30	2.5	70	2.5	70	3.0	73	2.3	72
Med.	1.7	73	1.8	72	1.9	68	1.9	74
Med. { 1.8 mm. 72 %								

December 1902

Dat.	7 a. m.		8 a. m.		2 p. m.		9 p. m.	
	mm.	%	mm.	%	mm.	%	mm.	%
1	1.9	68	1.7	59	1.3	43	1.5	57
2	1.8	67	1.7	63	2.0	61	2.1	70
3	2.5	73	2.7	72	3.3	72	2.6	72
4	2.0	64	2.2	64	3.2	73	2.9	80
5	2.7	84	2.6	77	3.7	85	2.9	84
6	3.1	83	3.0	79	3.6	83	3.2	78
7	2.8	76	2.9	74	3.1	62	2.7	63
8	3.2	78	3.4	77	3.6	69	4.0	90
9	3.5	79	3.5	76	3.8	75	3.6	79
10	3.2	76	3.1	74	3.5	74	3.0	77
11	2.6	62	2.6	61	3.1	66	3.2	78
12	3.3	85	3.1	78	3.0	70	3.2	82
13	3.6	86	3.2	80	3.3	71	3.0	72
14	2.9	75	2.8	70	3.1	73	2.7	87
15	3.3	85	3.4	84	3.6	72	3.1	73
16	3.3	85	3.3	87	3.2	80	2.7	71
17	2.6	67	2.5	64	2.7	66	2.7	69
18	2.7	72	2.8	73	3.1	68	2.7	65
19	.	.	3.0	73	3.0	63	2.7	68
20	3.2	81	3.1	81	3.3	82	3.1	81
21	2.6	72	2.7	72	2.5	60	2.9	78
22	3.0	76	3.0	72	3.7	73	4.1	89
23	3.4	82	3.2	81	3.3	76	2.8	73
24	2.1	57	1.9	50	3.3	71	2.2	61
25	2.2	71	2.1	62	2.7	56	2.4	67
26	1.8	55	2.0	61	2.2	56	3.0	83
27	2.5	66	2.5	66	3.0	68	3.4	84
28	2.7	70	2.6	64	3.2	66	2.7	70
29	2.9	74	3.2	76	3.8	73	3.5	81
30	3.6	81	.	.	3.2	65	2.9	68
31	2.6	61	2.8	63	3.3	65	3.0	74
Med.	2.8	74	2.8	71	3.1	69	2.9	75
Med. { 2.9 mm. 73 %								

Feuchtigkeit

Höhe des Psychrometers: 0.9 m. über Erdfläche; 11.6 m. über Meersniveau

Januari 1903

Februari 1903

Dat.	7 a. m.		8 a. m.		2 p. m.		9 p. m.	
	mm.	%	mm.	%	mm.	%	mm.	%
1	3.0	71	3.1	71	3.3	72	3.1	76
2	3.4	74	3.8	78	4.1	82	3.6	81
3	3.6	81	3.6	81	.	.	3.8	86
4	3.8	92	3.6	90	4.3	82	4.6	87
5	4.6	92	4.6	94	3.7	88	3.5	89
6	3.2	83	3.4	87	3.6	88	3.5	86
7	4.0	98	3.6	84	4.3	92	3.1	71
8	3.1	83	3.3	85	4.1	92	3.4	78
9	3.4	89	3.4	87	3.5	82	3.4	82
10	3.4	85	3.3	85	3.5	86	3.5	88
11	3.2	78	2.7	66	3.0	70	3.3	78
12	2.8	71	2.9	69	3.6	73	3.2	74
13	3.1	78	3.2	76	4.0	89	2.7	66
14	3.2	85	3.3	84	3.8	86	2.8	67
15	3.0	79	3.0	79	3.3	75	2.7	79
16	2.0	57	2.7	63	2.9	67	2.9	77
17	3.0	77	2.8	74	3.2	81	3.2	87
18	2.7	71	2.7	68	2.9	66	3.2	76
19	2.8	70	2.8	70	.	.	3.2	82
20	4.4	89	4.2	82
21	3.6	86	.	.	4.5	77	4.0	77
22	3.9	92	3.7	81	4.4	70	4.7	84
23	4.1	84	4.5	88	4.3	72	4.5	94
24	3.5	78	3.7	83	4.0	80	3.7	85
25	3.8	85	4.1	87	4.1	82	3.6	81
26	3.7	85	3.9	87	4.3	77	3.6	84
27	3.5	82	3.5	82	3.7	85	3.4	82
28	3.3	82	3.5	84	3.1	78	3.3	82
29	3.2	83	3.5	92	3.8	88	3.5	84
30	3.5	86	3.6	86	3.7	78	3.0	74
31	3.3	78	3.2	73	3.6	66	3.0	73
Med.	3.3	81	3.4	81	3.8	80	3.5	80
Med. { 3.6 mm. 80 %								

Dat.	7 a. m.		8 a. m.		2 p. m.		9 p. m.	
	mm.	%	mm.	%	mm.	%	mm.	%
1	3.5	79	3.5	79	4.0	85	3.2	85
2	3.2	82	3.4	86	3.7	81	3.2	80
3	2.4	73	2.6	75	2.9	67	3.0	79
4	2.6	67	2.6	62	3.6	72	3.2	76
5	4.3	92	4.4	92	4.6	91	3.6	81
6	3.0	87	3.0	87	3.5	79	4.1	80
7	2.8	71	3.2	87
8	3.4	87	3.5	90	3.7	88	3.4	82
9	3.6	86	3.3	75	3.9	87	3.9	90
10	2.8	78	3.0	79	3.4	77	3.0	83
11	3.0	81	3.0	79	2.9	70	3.0	85
12	2.5	79	2.6	79	2.5	74	2.6	79
13	2.8	86	2.8	84	2.9	87	2.8	84
14	2.9	87	2.9	84	3.0	79	2.9	80
15	2.9	80	2.9	80	3.3	82	3.4	86
16	2.8	74	2.9	75	2.9	67	2.6	76
17	2.5	75	2.6	75	2.3	72	2.3	84
18	1.8	81	1.8	84	1.9	82	1.6	80
19	1.5	85	1.4	78	1.3	66	0.9	58
20	1.4	65	1.6	72	2.2	61	2.4	60
21	1.9	57	2.1	54	3.2	62	1.4	40
22	1.5	58	1.4	63	1.5	41	2.2	88
23	1.6	72	2.0	80	3.0	53	1.8	61
24	1.5	85	1.8	87	2.4	80	2.8	82
25	1.9	85	2.2	77	2.0	55	2.0	68
26	2.5	65	2.8	76	3.2	71	.	.
27	1.9	70	2.5	71	2.8	72	2.9	82
28	2.1	72	2.1	70	2.9	84	3.1	81
Med.	2.5	77	2.6	77	2.9	74	2.7	77
Med. { 2.7 mm. 76 %								

Feuchtigkeit

Höhe des Psychrometers: 0.9 m. über Erdfäche; 11.6 m. über Meeresniveau

März 1903

April 1903

Dat.	7 a. m.		8 a. m.		2 p. m.		9 p. m.	
	mm.	%	mm.	%	mm.	%	mm.	%
1	3.2	70	3.2	71	4.1	82	2.5	75
2	2.3	84	2.1	78	2.5	63	2.5	73
3	3.4	89	.	.	3.6	70	2.6	75
4	2.2	56	2.3	53	3.9	60	2.8	53
5	2.9	61	3.1	58	4.9	93	2.5	85
6	2.2	83	2.2	81	1.8	79	1.5	82
7	1.5	81	1.5	82	1.5	76	1.4	78
8	1.2	73	1.2	73	1.4	73	1.4	72
9	.	.	1.5	82	1.6	82	1.4	81
10	1.8	87	1.8	87	1.6	86	1.2	82
11	1.0	77	1.1	81	1.1	74	0.9	57
12	0.8	73	0.9	79	0.9	71	1.0	81
13	1.4	84	1.4	84	2.1	83	1.7	83
14	1.3	84	1.2	82	1.2	79	0.9	72
15	0.8	70	1.0	73	1.1	78	1.2	79
16	1.0	77	1.0	77	1.1	74	1.0	69
17	1.0	69	1.0	77	1.1	75	1.0	67
18	.	.	1.3	80	1.4	81	1.4	84
19	1.3	83	1.2	79	1.2	79	1.3	80
20	1.3	80	.	.	1.4	81	1.2	82
21	1.2	82	1.2	82	1.2	79	1.2	75
22	1.3	74	1.2	70	1.3	61	1.2	56
23	1.5	71	1.6	71	1.7	75	1.4	81
24	1.0	76	0.8	70	1.1	81	1.0	80
25	1.1	81	1.1	78	1.2	79	1.1	78
26	1.1	74	1.2	79	1.2	70	1.3	71
27	1.4	75	1.4	75	1.6	76	1.5	82
28	1.3	74	1.3	77	1.2	76	1.2	79
29	1.0	77	1.1	74	1.2	79	1.1	78
30	1.1	81	1.1	81	1.1	81	0.9	78
31	0.8	73	0.8	73	0.8	73	0.7	67
Med.	1.5	75	1.4	75	1.7	76	1.4	75
Med. { 1.5 mm. 75 %								

Dat.	7 a. m.		2 p. m.		9 p. m.	
	mm.	%	mm.	%	mm.	%
1	0.9	76	1.1	74	1.1	81
2	2.3	86	4.2	90	3.6	81
3	2.9	72	1.3	55	1.5	79
4	3.6	79	1.9	43	2.1	70
5	0.7	71	1.2	79	1.0	81
6	0.9	49	0.9	74	0.9	74
7	0.9	71	0.9	75	0.9	79
8	0.8	70	0.8	73	0.9	79
9	0.9	78	0.9	62	1.2	82
10	1.6	83	1.4	81	2.4	89
11	0.8	62	1.3	80	1.1	80
12	0.9	78	0.8	77	1.1	81
13	1.3	83	1.3	83	1.2	75
14	1.1	74	1.2	62	1.6	89
15	1.4	50	4.0	68	4.6	91
16	1.1	53	1.8	78	2.2	74
17	1.8	53	2.2	52	2.2	47
18	2.1	35	3.1	52	2.2	52
19	2.3	68	3.0	49	1.7	84
20	0.8	70	1.1	81	0.9	80
21	0.8	77	0.7	74	0.4	58
22	0.3	54	0.3	55	0.4	63
23	0.5	67	0.4	60	0.4	64
24	0.3	46	0.4	56	0.4	56
25	0.6	71	0.9	83	1.1	67
26	0.9	74	0.9	75	0.3	44
27	0.4	62	0.5	67	0.2	53
28	0.5	69	0.4	60	0.4	52
29	0.4	54	0.5	56	0.6	72
30	0.8	78	0.7	70	0.8	77
Med.	1.1	68	1.3	68	1.3	72
Med. { 1.2 mm. 69 %						

Feuchtigkeit

Höhe des Psychrometers: 0.9 m. über Erdoberfläche; 11.6 m. über Meeresniveau

Mai 1903

Juni 1903

Dat.	7 a. m.		2 p. m.		9 p. m.	
	mm.	%	mm.	%	mm.	%
1	0.7	74	0.7	79	0.4	66
2	0.4	63	0.4	58	0.4	66
3	0.6	73	1.0	84	1.2	82
4	0.4	63	0.4	66	.	.
5	0.3	56	0.2	43	0.2	34
6	0.3	54	0.2	30	0.3	55
7	0.3	56	0.4	63	0.4	63
8	2.0	85	2.6	69	0.5	63
9	0.3	54	0.3	54	0.3	48
10	0.4	52	0.3	42	0.3	48
11	0.3	54	0.3	50	0.5	70
12	0.3	60	0.5	57	0.7	79
13	1.0	80	.	.	0.8	76
14	3.0	89	1.1	70	0.9	52
15	1.1	76	1.4	84	.	.
16	1.3	68	1.6	67	2.3	69
17	1.8	56	2.1	48	.	.
18	0.6	64	0.8	73	0.4	62
19	0.7	74	0.3	54	0.4	64
20	0.3	49	0.6	71	0.3	59
21	0.8	77	2.2	82	0.9	68
22	1.3	55	0.3	53	0.3	58
23	0.4	69	0.5	75	0.4	62
24	.	.	0.3	59	0.4	62
25	0.4	63	0.3	45	0.2	53
26	0.2	50	0.5	70	0.4	72
27	0.3	60	0.4	56	0.3	50
28	0.6	78	0.9	75	0.4	61
29	0.6	73	2.1	69	2.0	60
30	2.4	74	2.9	67	3.3	78
31	2.9	47	2.7	54	3.9	79
Med.	0.9	65	0.9	62	0.8	63
Med. { 0.9 mm. 63 %						

Dat.	7 a. m.		2 p. m.		9 p. m.	
	mm.	%	mm.	%	mm.	%
1	2.1	70	2.0	80	1.3	84
2	0.8	78	0.9	80	1.4	85
3	1.0	81	1.2	82	1.1	81
4	0.8	78	0.7	67	1.0	76
5	1.1	78	0.7	65	.	.
6	1.5	73	0.9	84	0.9	74
7	0.3	60	0.5	70	1.1	81
8	0.5	70	0.4	60	0.3	59
9	.	.	0.2	40	0.4	69
10	0.4	80	0.8	73	0.7	70
11	0.4	48	0.4	52	0.5	70
12	0.3	60	0.3	55	0.3	56
13	0.1	35	0.2	43	0.2	52
14	0.1	30	0.2	43	0.2	36
15	0.3	30	0.2	19	0.5	50
16	0.6	76	0.3	57	0.4	63
17	0.4	64	0.3	54	0.3	53
18	0.4	63	0.3	52	0.2	40
19	0.2	43	0.2	38	0.2	59
20	.	.	0.3	55	0.1	43
21	0.2	60	0.3	54	0.7	69
22	0.3	59	0.3	55	0.3	60
23	0.7	79	0.7	79	0.6	78
24	0.8	81	0.5	63	0.8	78
25	1.2	79	0.5	63	0.7	72
26	0.4	65	0.3	59	0.4	63
27	0.4	63	0.3	52	0.3	54
28	0.4	61	0.5	68	1.8	74
29	1.7	77	1.4	41	3.1	85
30	2.8	65	0.7	66	0.8	81
Med.	0.7	64	0.5	59	0.7	66
Med. { 0.6 mm. 63 %						

Feuchtigkeit

Höhe des Psychrometers: 0.9 m. über Erdofläche; 11.6 m. über Meeresniveau

Juli 1903

Dat.	7 a. m.		2 p. m.		9 p. m.	
	mm.	%	mm.	%	mm.	%
1	.	.	0.6	66	0.5	69
2	1.1	51	1.4	81	0.6	68
3	0.4	62	0.3	45	0.3	48
4	0.6	62	0.6	62	0.4	48
5	0.2	35
6	0.5	82	0.5	47	.	.
7	1.2	59	1.7	55	0.8	72
8	.	.	0.5	69	.	.
9	0.7	76	1.3	74	2.5	79
10	0.4	63	.	.	0.3	42
11	0.5	65	0.2	40	0.2	50
12	0.2	52	0.2	53	0.2	45
13	0.1	43	0.1	21	0.2	40
14	.	.	0.1	30	0.5	70
15	0.6	66	0.1	30	0.1	34
16	.	.	0.2	40	0.1	18
17	0.2	41	2.3	60	.	.
18	3.6	76	3.6	71	3.9	83
19	3.9	73	3.6	81	3.1	76
20	3.8	86	3.3	82	0.7	69
21	0.6	62	1.1	43	2.6	81
22	1.1	54	1.5	40	3.3	89
23	0.7	74	0.7	65	0.9	65
24	0.8	40	0.7	37	1.9	59
25	2.2	66	1.9	61	1.0	59
26	1.2	35	2.6	74	2.9	85
27	0.4	56	0.2	28	0.3	45
28	0.1	43	1.3	83	0.9	71
29	0.8	68	0.8	72	0.5	61
30	0.5	64	0.4	55	0.3	43
31	.	.	0.3	17	0.5	49
Med.	1.0	60	1.0	54	1.1	60
	Med. { 1.1 mm. 58 %					

Augusti 1903

Dat.	7 a. m.		2 p. m.		9 p. m.	
	mm.	%	mm.	%	mm.	%
1	1.1	82	0.8	43	1.1	74
2	0.2	24	1.4	60	.	.
3	0.9	31	0.8	58	1.2	47
4	1.1	48	1.9	43	2.8	61
5	3.7	60	3.2	54	2.7	63
6	0.6	68	0.4	49	0.4	36
7	0.5	51	0.5	35	0.6	52
8	1.6	80	1.4	88	0.5	62
9	0.3	44	0.4	63	0.3	44
10	0.3	39	0.5	53	0.6	62
11	0.4	61	0.6	64	0.6	68
12	0.7	80	1.2	64	2.8	74
13	1.3	55	2.4	48	2.9	44
14	3.2	71	4.3	92	0.7	67
15	4.1	78	1.4	65	0.3	38
16	2.3	68	2.7	63	2.8	78
17	2.5	66	0.5	62	0.4	58
18	0.6	63	0.9	58	0.9	49
19	0.6	48	0.8	44	0.5	35
20	0.5	42	0.6	30	0.2	45
21	0.8	78	1.6	72	2.4	80
22	2.9	84	1.9	80	0.7	67
23	0.5	60	0.3	50	0.4	51
24	0.4	58
25	.	.	0.7	70	0.8	78
26	0.6	68	0.5	64	0.5	61
27	0.5	61	0.4	58	0.5	59
28	0.4	77	0.3	51	.	.
29	0.4	88	0.4	78	0.4	100
30	0.4	100	0.3	63	.	.
31	0.3	100
Med.	1.1	63	1.1	59	1.0	61
	Med. { 1.1 mm. 61 %					

Feuchtigkeit

Höhe des Psychrometers: 0.9 m. über Erdfäche; 11.6 m. über Meeresniveau

September 1903

Oktober 1903

November 1903

Dat.	7 a. m.		2 p. m.		9 p. m.		7 a. m.		2 p. m.		9 p. m.		7 a. m.		2 p. m.		9 p. m.	
	mm.	%	mm.	%	mm.	%	mm.	%	mm.	%	mm.	%	mm.	%	mm.	%	mm.	%
1	0.3	73	0.4	80	0.5	81	0.8	56	1.3	80	1.5	66	1.6	67
2	.	.	0.6	57	.	.	0.6	77	0.8	56	0.9	89	2.1	67	2.5	53	1.9	66
3	0.5	52	0.7	46	0.7	85	1.4	84	2.4	80	2.8	80	2.4	63	3.3	55	4.2	74
4	0.3	50	0.9	50	0.6	30	3.0	85	3.4	76	3.3	82	3.1	53	3.7	73	2.9	82
5	2.1	63	2.2	61	1.3	57	3.4	76	1.4	84	0.9	84	2.2	86	3.7	75	3.4	56
6	2.7	60	4.7	77	1.8	62	1.4	92	1.8	81	2.6	79	3.7	61	2.8	43	2.4	48
7	1.0	81	1.0	69	1.3	100	2.2	88	1.3	76	0.8	87	2.1	46	1.9	31	2.8	70
8	1.4	100	1.9	82	2.1	88	0.8	87	0.9	84	1.0	95
9	2.7	68	3.1	81	3.2	74	1.3	91	1.4	81	1.8	94
10	2.3	72	2.9	54	2.8	53	1.1	85	1.1	85	1.0	77
11	2.9	86	1.9	87	1.3	92	1.2	87	1.4	75	0.8	81
12	1.1	81	1.1	81	0.8	86	1.3	95	1.9	77	1.8	87
13	0.7	100	0.5	76	0.4	51	.	1.8	67	1.8	90
14	0.5	76	0.8	76	0.7	80	1.8	84	2.5	59	2.8	69
15	0.9	84	1.2	87	1.4	92	3.1	67	3.1	50	2.5	65
16	1.3	91	1.0	95	1.1	90	2.7	78	2.5	81	2.2	63
17	1.1	95	2.1	94	0.6	77	2.9	61	4.1	80	4.0	75
18	0.6	91	0.6	83	0.5	69	2.5	48	2.8	39	2.3	40
19	1.2	83	0.7	86	0.6	77	3.7	75	2.1	47	1.9	58
20	0.5	74	0.6	73	.	.	1.6	55	2.3	49	2.5	66
21	0.7	79	0.7	67	0.8	73	2.0	60	2.6	39	2.7	57
22	0.8	73	0.8	66	0.8	86	2.6	56	3.0	57	2.4	56
23	0.7	80	0.8	86	0.9	89	3.3	77	.	.	3.2	83
24	0.9	84	0.8	78	0.7	79	2.0	71	1.7	67	1.5	69
25	.	.	0.5	81	.	.	1.5	78	1.8	62	2.3	77
26	0.6	100	0.7	70	0.9	88	4.0	85	4.3	96	2.3	92
27	1.3	88	0.7	86	0.7	85	3.6	60	.	.	3.4	57
28	0.8	93	0.7	80	0.5	74	4.1	74	4.1	71	3.0	47
29	0.3	55	0.7	80	0.5	91	3.9	79	3.4	55	2.2	81
30	.	.	0.5	81	0.5	100	1.7	65	1.8	37	1.4	36
31	2.8	86	2.0	78	1.9	84
Med.	1.1	79	1.2	75	1.1	77	2.3	76	2.2	68	2.1	74	2.4	63	2.7	56	2.7	66
Med. { 1.1 mm. 77 %						Med. { 2.2 mm. 73 %						Med. { 2.2 mm. 73 %						

TAB. IV.

WINDRICHTUNG
WINDGESCHWINDIGKEIT

Windrichtung—Windgeschwindigkeit

Höhe des Anemometers: 2 m. über Erdofläche; 4 m. über Meeresniveau

März 1902

Dat.	1 a. m.		2 a. m.		3 a. m.		4 a. m.		5 a. m.		6 a. m.	
		m/s		m/s		m/s		m/s		m/s		m/s
1
2
3
4
5	.	9.6	.	8.3	.	5.9	.	5.9	.	5.8	.	5.5
6
7
8	.	13.2	.	13.2	.	13.8	.	13.8	.	14.2	.	15.2
9	.	5.5	.	6.1	.	4.3	.	3.6	.	3.9	.	3.8
10	.	13.6	.	15.6	.	14.8	.	15.6	.	10.1	.	8.9
11	.	1.9	.	1.1	.	1.5	.	1.1	.	0.0	.	0.0
12	.	3.4	.	3.4	.	3.6	.	4.2	.	4.1	.	5.2
13
14
15
16
17	.	8.8	.	7.2	.	7.8	.	7.8	.	7.0	.	8.5
18	.	5.8	.	5.1	.	3.4	.	3.7	.	6.4	.	6.8
19	.	6.9	.	6.1	.	9.3	.	6.7	.	5.2	.	5.8
20
21
22
23
24	.	4.7	.	6.1	.	6.2	.	6.5	.	3.3	.	3.0
25	.	1.9	.	2.9	.	3.5	.	5.5	.	5.3	.	7.8
26	.	2.6	.	1.9	.	1.5	.	1.5	.	2.9	.	4.7
27	.	17.9	9.3	.	9.9
28	.	9.0	.	8.6	.	12.0	.	10.1	.	10.3	.	3.7
29	.	10.6	.	9.4	.	11.1
30	.	15.8	.	14.1	.	14.1	.	12.6	.	10.2	.	13.6
31	.	24.1	.	24.0	.	22.5	.	20.1	.	24.6	.	17.6
Med.												

Windrichtung—Windgeschwindigkeit

Höhe des Anemometers: 2 m. über Erdofläche; 4 m. über Meeresniveau

1902 März

7 a. m.		8 a. m.		9 a. m.		10 a. m.		11 a. m.		Mittg.	Dat.	
	m/s		m/s		m/s		m/s		m/s			
.	1	
.	2	
.	3	
.	14.8	.	15.7	.	14.6	.	15.0	4
.	3.8	.	3.9	.	2.0	.	1.7	.	1.5	.	1.1	5
.	2.4	6
.	2.1	.	5.1	7
.	11.9	.	14.7	.	14.8	.	12.8	.	8.0	.	7.1	8
.	4.5	.	4.6	.	3.1	.	2.6	.	2.6	.	3.1	9
.	9.4	.	4.3	.	1.9	NE	2.2	.	3.1	.	4.7	10
.	1.2	.	4.5	.	7.2	.	8.2	.	9.5	.	8.4	11
NE	5.0	NE	4.0	.	4.8	.	4.9	.	3.5	.	2.8	12
SW	.	SW	13
SW	12.1	SW	10.8	14
SW	14.3	SW	16.1	15
SSE	.	SE	.	.	4.0	.	4.2	.	4.9	.	5.0	16
SSW	7.5	SSW	10.5	.	8.2	17
S	4.2	S	6.1	.	3.3	.	7.7	.	9.5	.	10.9	18
SW	4.6	SW	4.1	.	7.7	.	6.6	.	5.8	.	9.4	19
SSW	.	SSW	20
SW	14.1	SW	14.8	21
S	.	S	22
S	.	S	4.4	.	1.8	.	2.4	23
C	1.9	SW	6.2	.	7.5	.	2.9	.	2.3	.	3.0	24
NE	5.7	NE	6.0	.	5.7	.	6.4	.	5.5	.	5.4	25
C	2.8	C	1.8	.	3.1	.	2.4	.	2.1	.	2.3	26
WSW	11.0	WSW	12.1	.	13.4	.	8.1	.	14.0	.	12.0	27
WSW	2.3	NW	3.8	.	11.0	.	12.4	.	14.0	.	12.7	28
SW	21.2	SW	21.1	.	22.7	.	24.5	.	27.7	.	26.7	29
SW	16.4	SW	14.2	.	17.4	.	21.5	.	25.2	.	25.4	30
WSW	18.7	WSW	19.7	.	19.4	.	15.1	.	17.1	.	19.6	31
											Med.	

Windrichtung—Windgeschwindigkeit

Höhe des Anemometers: 2 m. über Erdfläche; 4 m. über Meeresniveau

März 1902

Dat.	1 p. m.		2 p. m.		3 p. m.		4 p. m.		5 p. m.		6 p. m.		7 p. m.	
		m/s		m/s		m/s		m/s		m/s		m/s		m/s
1
2
3
4	.	14.6	.	14.2	.	12.9	.	13.2	.	13.2	.	14.4	.	13.2
5	.	1.2	.	1.3	.	1.5	.	1.6	.	1.1	.	1.9	.	1.8
6	.	2.2	.	1.5	.	1.5	.	1.7	.	1.5	.	1.8	.	2.0
7	.	12.1	.	8.9	.	10.4	.	10.6	.	14.0	.	17.8	.	16.6
8	.	5.9	.	3.2	.	4.5	.	4.6	.	4.5	.	4.7	.	5.1
9	.	3.1	.	2.8	.	3.1	.	3.3	.	3.1	.	2.4	.	2.5
10	.	5.8	.	4.7	.	5.1	.	5.0	.	3.8	.	2.5	.	2.0
11	.	4.0	.	4.0	.	2.0	.	1.2	.	2.8	.	9.5	.	6.4
12	.	2.4	SW	4.8	.	6.5	.	11.6
13	.	.	SW
14	.	.	SW
15	.	.	SW	18.2
16	.	5.8	NNE	5.8	.	5.0	.	3.8	.	4.1	.	5.0	.	5.7
17	.	.	S	4.0	.	1.9	.	2.4	.	2.7	.	5.0	.	6.2
18	.	10.3	S	9.0	.	8.3	.	11.9	.	9.0	.	8.3	.	9.8
19	.	10.4	SW	9.4	.	8.5	.	8.2	.	8.1	.	8.8	.	6.3
20	.	.	SW
21	.	.	SW	15.3
22	.	.	SW
23	.	3.4	SW	4.1	.	3.1	.	5.0	.	6.9	.	5.4	.	8.0
24	.	3.4	WSW	2.9	.	2.6	.	2.3	.	1.7	.	1.8	.	2.4
25	.	3.1	C	2.4	2.2	.	1.1
26	.	1.8	WNW	2.1	.	2.2	W	1.6	SW	1.3	.	2.4	.	6.0
27	.	15.0	SSW	11.4	4.2	ESE	4.8	.	4.7
28	.	11.5	SW	11.5	.	10.5	.	4.7	.	3.5	.	5.0	.	3.7
29	.	27.2	SW	27.2	.	27.1	.	16.9	.	20.4	.	18.7	.	22.6
30	SW	20.4	SW	22.3	WSW	20.3	WSW	22.4	WSW	24.0	.	23.5	.	23.9
31	.	13.4	WSW	13.6	.	11.8	.	9.4	SW	10.4	SSW	13.3	SSW	11.9
Med.														
N : 0 (0); NNE : 1 (12); NE : 5 (63); ENE : 2 (25); E : 1 (13); ESE : 0 (0); SE : 2 (25); SSE : 1 (13); C : 5 (63)														

Windrichtung—Windgeschwindigkeit

Höhe des Anemometers: 2 m. über Erdoberfläche; 4 m. über Meeresebene

1902 März

8 p. m.	9 p. m.	10 p. m.	11 p. m.	Mittn.	Med.	Max.	Min.	Diff.	Dat.	
m/s	m/s	m/s	m/s	m/s	m/s	m/s	m/s	m/s		
.	1	
.	2	
.	3	
.	8.8	8.0	.	9.0	7.8	6.7	15.7	6.7	9.0	4
.	3.4	2.4	9.6	1.1	8.5	5
.	1.6	1.3	2.4	1.3	1.1	6
.	17.2	17.5	.	15.0	12.5	12.8	17.8	2.1	15.7	7
.	5.0	4.2	.	5.1	5.5	5.3	15.2	3.2	12.0	8
.	1.9	3.2	SW	6.6	12.3	13.8	13.8	1.9	11.9	9
.	1.9	2.5	.	2.4	1.1	1.8	15.6	1.1	14.5	10
.	4.3	SW	6.7	8.3	10.1	6.5	10.1	0.0	10.1	11
.	11.1	SW	22.5	26.0	26.3	.	26.3	2.4	23.9	12
.	.	SW	13
.	.	SW	15.0	14
.	.	SW	14.0	15
.	5.9	SE	4.6	3.8	4.6	7.1	7.1	3.8	3.3	16
.	6.8	NE	6.6	7.1	N	5.6	8.8	1.9	6.9	17
.	9.0	S	7.8	9.4	7.0	8.5	11.9	3.3	8.6	18
.	2.7	SW	5.0	.	.	.	10.4	2.7	7.7	19
.	.	SW	20
.	.	SW	21
.	.	ENE	22
.	8.2	SSW	9.4	5.5	2.8	2.4	9.4	1.8	7.6	23
.	2.2	.	2.1	2.4	2.4	1.9	7.5	1.7	5.8	24
.	1.4	C	1.4	0.0	0.0	1.5	7.8	0.0	7.8	25
.	9.5	SW	10.2	16.0	23.6	21.1	23.6	1.3	22.3	26
.	5.6	ENE	6.2	6.4	7.8	8.3	17.9	4.2	13.7	27
.	7.4	E	6.0	8.2	14.7	16.0	16.0	3.7	12.3	28
.	21.4	SW	23.9	19.4	20.8	18.4	27.7	9.4	18.3	29
.	25.1	WSW	27.1	25.2	27.4	26.7	27.4	10.2	17.2	30
SSW	10.4	SW	8.7	5.6	SSW	5.6	N	0.0	24.6	31
Windgeschwindigkeit als Mittel von 464 Observationen =						8.41	14.85	2.90	11.95	Med.
S: 9 (114); SSW: 6 (76); SW: 37 (468); WSW: 8 (101); W: 0 (0); WNW: 1 (13); NW: 1 (13); NNW: 0 (0); Observationszahl: 70 (1000).										

Windrichtung—Windgeschwindigkeit

Höhe des Anemometers: 2 m. über Erdfläche; 4 m. über Meeresniveau.

April 1902

Dat.	1 a. m.		2 a. m.		3 a. m.		4 a. m.		5 a. m.		6 a. m.	
		m/s		m/s		m/s		m/s		m/s		m/s
1	NE	2.8	ENE	2.8	E	2.4	ESE	3.4	ESE	5.2	E	2.5
2	E	2.7	ENE	3.5	NE	3.2	SSW	9.2	SSW	7.2	SSW	11.1
3
4	.	1.8	.	4.2	.	4.9	.	6.5	.	7.0	.	6.9
5	SE	4.1	ESE	3.9	SE	4.7	SE	4.2	ESE	5.0	NE	6.3
6	N	6.2	NNW	12.5	.	12.2	.	13.2	.	10.7	.	.
7	.	5.5	.	2.6	.	3.4	NE	2.3	ENE	2.6	.	1.6
8	SW	(18.8)	SW	(17.1)	SW	(16.4)	SW	(15.7)	SW	(15.1)	SW	(14.4)
9	.	1.7	.	1.8	.	1.8	ENE	2.0	ENE	4.5	E	4.2
10	SSW	11.1	SSW	11.3	.	(9.8)	.	(8.2)	.	(6.6)	.	(5.0)
11	SE	2.4	SE	1.6	C	1.4	C	1.0	S	1.6	.	2.0
12	SSW	12.7	SSW	13.4	SSW	11.4	SW	8.7	SW	9.7	SSW	10.6
13	SSW	24.8	SSW	23.3	SSW	18.5	SSW	16.8	SW	15.8	SW	16.1
14	SW	15.4	SW	14.8	SW	15.2	SW	15.2	SW	15.3	SSW	15.2
15	SW	17.3	SW	19.2	WSW	20.0	WSW	17.5	WSW	17.7	WSW	18.1
16	SSW	8.3	S	8.0	S	4.7	C	1.5	NE	2.2	ENE	2.3
17	NE	(1.3)	NE	2.7	NE	4.3	NE	6.4	NE	7.9	ENE	6.5
18	SSW	10.9	SSW	10.6	SSW	10.3	SSW	9.7	SSW	10.7	SSW	10.6
19	SW	6.1	SW	6.3	SW	6.4	SW	4.8	SW	4.9	WSW	4.7
20	SE	2.5	ESE	3.0	SSW	2.8	SSE	2.6	S	1.9	ESE	2.4
21	NNE	1.2	C	0.0	C	0.0	NE	0.6	NE	1.1	NE	0.6
22	E	2.6	E	2.8	.	2.0	C	1.2	NE	1.9	C	1.3
23	SE	3.0	ESE	2.5	SE	2.6	SE	2.4	SE	2.4	SSE	2.3
24	S	19.5	SSW	21.9	SW	20.8	WSW	22.1	WSW	21.6	WSW	21.6
25	SSW	8.9	SW	11.0	SW	13.6	SW	12.5	SW	15.0	SW	14.4
26	SW	19.8	SW	18.8	SW	18.8	SW	16.6	SW	15.3	SW	13.7
27	NNE	3.4	NE	3.1	NE	3.1	ENE	3.0	ENE	2.9	ENE	2.5
28	C	1.1	C	1.1	C	1.1	C	1.1	ESE	1.2	C	1.6
29	C	1.7	C	1.7	ENE	1.6	C	1.6	C	1.6	C	1.3
30	NE	5.7	E	3.1	.	2.4	C	1.7	ENE	2.8	ENE	4.3
Med.	.	7.70	.	8.06	.	7.58	.	7.30	.	7.50	.	7.29

Windrichtung—Windgeschwindigkeit

Höhe des Anemometers: 2 m. über Erdofläche; 4 m. über Meeresniveau.

1902 April

7 a. m.		8 a. m.		9 a. m.		10 a. m.		11 a. m.		Mittg.	Dat.	
	m/s		m/s		m/s		m/s		m/s			
E	2.5	ESE	3.3	WSW	1.8	SSW	2.5	SSW	8.2	SSW	8.9	1
SSW	12.4	SSW	10.3	SSW	5.0	C	0.0	ENE	3.7	E	3.5	2
SSW	.	NW	.	SSW	10.5	SSW	11.5	SSW	15.4	SSW	14.7	3
NE	3.7	SSW	1.7	SW	3.2	SW	6.7	SSW	13.4	SSW	14.0	4
SSW	7.5	SSW	12.2	SSW	9.9	SSW	6.4	.	3.2	.	2.4	5
SW	23.8	SW	16.0	SW	10.3	SW	14.1	SW	11.3	WSW	8.1	6
C	1.8	WSW	2.1	SW	1.6	SW	9.5	SW	9.7	SW	6.9	7
SW	13.7	S	7.0	WSW	13.7	SSW	10.4	SW	11.1	WSW	11.0	8
E	5.6	NE	5.0	NE	6.3	.	4.0	.	3.3	.	2.2	9
SSW	3.4	SSW	5.1	NE	2.4	ESE	(2.4)	.	(2.4)	.	(2.3)	10
SSW	2.9	SW	3.2	SSW	1.9	.	4.4	.	6.8	.	7.6	11
SSW	9.0	SE	7.6	SSW	6.8	SSW	4.0	SSW	3.0	NNW	0.9	12
SW	14.3	SW	15.6	WSW	15.7	WSW	15.8	SW	16.2	SW	16.3	13
SW	15.4	WSW	15.4	WSW	15.2	WSW	15.7	WSW	16.0	WSW	15.1	14
SW	18.8	SW	17.9	WSW	17.1	SW	19.3	SW	18.7	SW	(19.2)	15
E	1.2	ENE	2.7	ENE	3.0	.	3.8	.	3.8	.	3.0	16
ENE	6.5	NNE	9.0	NE	7.7	E	6.2	NE	.	NE	.	17
SSW	9.6	SSW	9.3	SSW	9.7	SSW	8.8	SSW	8.2	SSW	10.2	18
WSW	4.7	SW	3.6	SSW	2.5	SW	1.3	C	0.0	SSW	1.1	19
S	2.5	S	1.9	C	0.0	C	0.6	C	1.6	ENE	3.4	20
E	2.3	E	1.6	E	2.0	E	3.3	C	0.0	ENE	2.7	21
C	0.0	C	0.0	C	1.2	N	1.3	C	1.2	C	1.1	22
C	1.6	ESE	1.5	ENE	1.5	N	1.5	ENE	1.7	ESE	1.2	23
WSW	21.9	WSW	22.8	WSW	21.9	WSW	23.4	SW	20.2	SW	19.3	24
SW	13.8	SW	15.1	SW	15.9	SW	16.8	SW	18.0	SW	19.4	25
SW	16.2	SW	15.8	SW	15.8	SW	14.4	SW	13.4	SSW	12.1	26
ENE	2.5	C	1.3	C	0.0	C	1.3	C	0.0	C	1.2	27
C	1.5	C	0.0	C	1.1	C	1.3	C	1.2	N	1.8	28
C	2.2	C	1.5	C	1.6	.	1.7	SW	1.6	N	1.5	29
C	2.8	C	2.2	C	1.2	C	1.1	SW	1.1	.	2.0	30
.	7.73	.	7.27	.	6.88	.	7.12	.	7.39	.	7.35	Med.

Windrichtung—Windgeschwindigkeit

Höhe des Anemometers: 2 m. über Erdoberfläche; 4 m. über Meeresniveau.

April 1902

Dat.	1 p. m.		2 p. m.		3 p. m.		4 p. m.		5 p. m.		6 p. m.		7 p. m.	
		m/s		m/s		m/s		m/s		m/s		m/s		m/s
1	SSW	11.2	SSW	10.3	SW	10.2	SSW	12.5	SSW	12.4	SSW	12.7	SSW	12.4
2	ENE	4.4	NNE	4.8	NE	2.7	NE	3.1	NE	2.4	NE	2.6	NE	(1.7)
3	SSW	10.6	SSW	11.8	SW	15.8	SW	15.0	SW	14.3	SSW	11.3	SSW	8.9
4	SSW	13.6	SSW	14.3	SSW	13.1	SSW	12.9	SSW	12.9	SSW	10.7	SSW	10.2
5	.	2.1	NW	3.0	.	2.9	.	1.9	.	1.8	.	1.5	C	0.0
6	SSW	6.0	NE	2.8	.	1.4	WNW	1.5	.	1.7	.	1.6	.	1.4
7	SW	5.6	SW	7.4	SW	8.2	SSW	7.1	SSW	7.2	SW	6.6	SW	9.6
8	SW	8.0	SW	8.6	SSW	5.6	S	5.2	.	2.4	.	1.5	ESE	3.8
9	.	1.7	SSE	1.9	NE	7.1	NE	7.4	NE	8.4	NE	(6.0)	NE	4.6
10	.	(2.3)	SSE	(2.3)	.	(2.2)	.	(2.2)	.	2.1	SSE	2.1	C	0.9
11	.	8.6	SW	11.0	.	10.4	.	12.3	.	13.7	.	12.4	SSW	16.4
12	C	0.0	S	2.3	E	1.1	Var	3.1	S	4.1	S	5.8	SW	10.1
13	WSW	17.8	WSW	18.7	WSW	18.5	WSW	14.0	WSW	16.0	WSW	16.2	SW	16.3
14	WSW	14.0	WSW	12.4	WSW	12.5	WSW	12.5	WSW	12.5	WSW	12.1	WSW	(12.6)
15	SW	19.8	SW	20.1	SW	21.3	SW	18.5	SW	15.7	SW	18.4	SW	17.0
16	.	2.0	NE	3.1	NE	3.0	NE	1.9	C	1.1	C	1.2	C	0.0
17	.	.	SE	.	.	2.2	.	1.7	SE	6.9	S	10.3	S	13.0
18	SSW	11.2	SSW	10.1	SSW	9.9	SSW	11.0	SSW	10.9	SSW	11.8	SSW	10.2
19	Var	1.5	Var	2.2	NE	3.2	.	4.1	ENE	3.5	ENE	4.0	Var	3.8
20	SSE	2.2	WSW	1.6	WSW	1.2	WSW	2.3	WSW	2.8	C	0.0	C	1.1
21	.	3.2	E	5.3	.	3.1	.	2.3	.	1.7	NE	2.0	NE	2.5
22	C	1.1	N	1.3	W	1.5	.	1.0	SW	2.8	.	1.5	C	1.1
23	W	1.2	C	0.0	ENE	1.2	.	1.3	SW	2.2	WSW	2.4	SW	5.6
24	WSW	19.3	WSW	17.2	SW	19.8	SW	15.5	SW	15.3	SW	15.5	SW	13.9
25	SW	19.4	SW	20.8	WSW	22.7	WSW	21.2	SW	21.0	SW	21.0	SW	20.9
26	WSW	11.6	SSW	7.7	SSW	6.2	SSW	6.6	SSW	5.1	SSW	4.3	SSW	2.3
27	C	1.1	WSW	2.0	.	1.3	W	1.7	SSW	3.1	SW	4.8	SW	3.4
28	.	1.9	SW	1.5	C	1.3	C	1.1	C	1.2	C	1.3	C	1.2
29	C	1.6	WSW	1.3	C	1.2	C	0.0	C	1.1	C	0.0	C	4.7
30	.	2.2	ENE	3.2	NE	5.6	NE	7.1	NE	8.6	NNE	9.5	NE	8.2
Med.	.	7.08	.	7.21	.	7.21	.	6.93	.	7.16	.	7.04	.	7.56
N: 7 (11); NNE: 8 (13); NE: 60 (96); ENE: 35 (56); E: 24 (39); ESE: 14 (23); SE: 20 (32); SSE: 9 (14); C: 92 (148); Var: 7 (11)														

Windrichtung—Windgeschwindigkeit

Höhe des Anemometers: 2 m. über Erdoberfläche; 4 m. über Meeresniveau.

1902 April

8 p. m.		9 p. m.		10 p. m.		11 p. m.		Mttm.	Med.	Max.	Min.	Diff.	Dat.	
	m/s		m/s		m/s		m/s	m/s	m/s	m/s	m/s	m/s		
SSW	8.0	SSW	7.3	E	2.0	E	0.8	ESE	3.2	6.22	12.7	0.8	11.9	1
NNE	(0.8)	C	0.0	4.73	12.4	0.0	12.4	2
.	8.5	SSE	7.5	.	6.3	.	5.8	.	4.1	10.75	15.8	4.1	11.7	3
SW	8.0	SW	4.5	C	1.9	SE	2.1	SE	4.0	7.59	14.3	1.7	12.6	4
.	7.2	NE	8.2	NE	8.7	N	6.3	NNE	11.2	5.19	12.2	0.0	12.2	5
.	3.4	NE	3.2	NE	5.3	NE	3.1	NE	5.2	7.61	23.8	1.4	22.4	6
SW	11.2	SW	14.4	SW	17.0	SW	17.9	SW	19.8	7.57	19.8	1.6	18.2	7
SE	3.4	E	2.3	C	0.0	C	0.0	.	2.2	8.64	(18.8)	0.0	(18.8)	8
.	1.5	.	1.6	SW	5.6	SSW	9.7	SSW	10.9	4.53	10.9	0.5	9.4	9
.	(2.7)	SE	4.6	SSE	3.7	SSE	3.5	SE	2.6	4.22	11.3	0.9	10.4	10
SSW	14.9	SSW	15.7	SSW	17.5	SSW	20.0	SSW	14.0	8.49	20.0	1.0	19.0	11
SW	17.1	SW	20.4	SSW	18.8	SW	18.7	SSW	21.3	9.19	21.3	0.0	21.3	12
SW	16.6	SW	16.9	SW	16.9	SSW	15.9	SW	14.6	16.98	24.8	14.0	10.8	13
WSW	13.2	WSW	16.4	WSW	16.0	WSW	16.8	SW	16.9	14.66	16.9	12.1	4.8	14
WSW	16.9	SW	16.9	SSW	15.0	SSW	10.9	SW	(9.6)	17.54	21.3	(9.6)	(11.7)	15
C	0.0	C	1.2	NE	(0.6)	C	0.0	C	0.0	2.44	8.3	0.0	8.3	16
SSW	14.3	S	17.2	SSW	15.9	SSW	12.2	SSW	10.4	8.13	17.2	(1.3)	(15.9)	17
SSW	10.2	SSW	(9.0)	SSW	7.9	SSW	7.0	SSW	6.4	10.13	11.8	6.4	5.4	18
Var	3.4	Var	3.1	W	2.6	S	2.7	SE	3.0	3.48	6.4	0.0	6.4	19
C	0.0	SE	1.6	NE	1.8	C	1.3	C	1.2	1.76	3.4	0.0	3.4	20
NNE	3.0	NE	3.1	ENE	3.9	NE	3.1	ENE	2.2	2.12	5.3	0.0	5.3	21
ENE	0.6	S	1.2	C	0.0	C	1.2	Var	2.3	1.34	2.8	0.0	2.8	22
SSW	7.2	SSW	6.4	SSW	7.9	S	13.0	SSW	14.4	3.63	14.4	0.0	14.4	23
SW	12.7	SW	11.9	SSW	13.2	SSW	8.9	S	8.0	17.84	23.4	8.0	15.4	24
WSW	23.9	SW	19.3	SW	20.7	SW	21.8	SW	21.8	17.87	23.9	8.9	15.0	25
.	2.5	ENE	2.5	ENE	2.4	E	2.6	NE	2.8	10.30	19.8	2.3	17.5	26
SW	4.8	NE	2.4	C	1.9	S	1.6	C	1.3	2.24	4.8	0.0	4.8	27
C	1.1	C	1.2	C	1.5	C	1.3	C	1.6	1.26	1.9	0.0	1.9	28
C	0.0	.	2.8	E	3.4	ENE	3.8	E	5.8	1.89	5.8	0.0	5.8	29
NE	8.0	ENE	7.0	ENE	9.0	NE	9.0	NE	6.6	4.77	9.5	1.1	8.4	30
.	7.50	.	7.66	.	7.84	.	7.62	.	7.84	7.41	13.83	2.55	11.28	Med.
S : 20 (32); SSW : 125 (20); SW : 137 (220); WSW : 57 (91); W : 4 (6); WNW : 1 (2); NNW : 2 (3); Observationszahl: 620 (1000).														

Windrichtung—Windgeschwindigkeit

Hohe des Anemometers: 2 m. über Erdfläche; 4 m. über Meeresniveau

Mai 1902

Dat.	1 a. m.		2 a. m.		3 a. m.		4 a. m.		5 a. m.		6 a. m.	
		m/s		m/s		m/s		m/s		m/s		m/s
1	ENE	3.6	ENE	3.0	C	1.2	C	1.3	C	1.8	SSW	5.0
2	SSW	20.0	SSW	21.0	SSW	21.6	SSW	21.3	SSW	23.1	SSW	23.1
3	SW	24.3	SW	26.3	SW	25.0	SW	24.3	SW	25.6	SW	27.3
4	SW	20.0	SW	17.6	SW	18.0	SW	21.3	SW	20.1	SSW	18.8
5	SSW	3.1	WNW	1.8	.	2.6	C	1.8	SSW	2.0	S	1.5
6	C	1.2	C	1.6	.	1.5	S	1.5	E	1.8	C	2.0
7	C	2.8	ESE	1.3	C	1.2	C	1.6	SE	1.3	.	4.8
8	C	1.3	C	1.6	C	0.0	C	1.5	C	1.6	C	1.3
9	WSW	30.1	WSW	29.1	WSW	28.8	WSW	27.0	WSW	24.9	WSW	22.8
10	C	1.2	SW	5.3	SW	10.2	SW	10.4	SW	10.9	SW	10.1
11	SE	1.3	C	1.1	.	1.8	C	1.3	NE	1.8	NNE	2.7
12	C	2.0	C	1.8	SW	4.0	SE	2.5	SSW	8.1	SW	9.3
13	SE	2.0	SSW	4.9	SSW	3.2	SW	3.8	S	4.1	S	1.3
14	SSW	10.3	SW	11.8	SW	13.8	SW	13.4	SW	12.5	SW	15.0
15	S	8.1	SW	8.4	SW	7.2	SSW	7.3	SSW	6.1	SSW	5.8
16	SSW	6.4	SSW	6.4	SSW	6.6	SSW	7.8	SSW	9.0	S \ddot{S} W	11.6
17	WSW	14.7	SW	12.8	SW	14.5	SW	14.0	SSW	12.8	SW	13.2
18	SSW	4.0	SSW	5.2	SSW	8.2	SSW	10.6	SSW	8.3	SSW	10.1
19	SW	16.0	WSW	16.9	WSW	19.2	WSW	20.8	WSW	19.4	WSW	20.9
20	SSW	10.4	SSW	9.0	SSW	8.1	SSW	8.2	SSW	9.5	SSW	7.5
21	NE	3.8	E	2.9	C	1.5	SW	3.8	S	5.5	SSW	5.2
22	SW	16.4	SSW	16.3	SSW	16.6	SW	16.2	SW	16.6	SW	16.1
23	SW	20.4	SW	20.9	SW	20.4	SW	20.1	SW	18.8	SW	19.8
24	SSW	8.3	SSW	7.8	SSW	7.8	SSW	7.4	SSW	7.0	SSW	6.2
25	SW	6.7	SW	5.5	SW	5.6	SSW	5.2	SW	4.9	SSW	7.4
26	S	11.0	S	11.3	S	12.7	S	12.1	S	10.2	S	11.4
27	SSW	12.6	SSW	12.1	SSW	13.8	SSW	13.1	SSW	12.6	SSW	(12.3)
28	SW	20.7	SW	21.6	SW	23.5	SW	24.4	SW	23.8	SW	23.3
29	SW	26.6	SW	27.1	SW	25.8	SW	26.6	SW	26.5	SW	22.6
30	SW	22.7	SW	22.7	SW	24.3	SW	22.2	SW	23.4	SW	22.1
31	C	0.0	C	0.0	C	0.0	C	0.0	C	0.0	C	0.0
Med.	.	10.71	.	10.81	.	11.25	.	11.38	.	11.42	.	11.63

Windrichtung—Windgeschwindigkeit

Höhe des Anemometers: 2 m. über Erdfläche; 4 m. über Meeresniveau

Mai 1902

7 a. m.		8 a. m.		9 a. m.		10 a. m.		11 a. m.		Mittg	Dat.	
	m/s		m/s		m/s		m/s		m/s			
SSW	10.1	SSW	10.1	SSW	8.2	SSW	7.8	ENE	2.3	SSE	2.3	1
SW	23.2	WSW	23.5	WSW	20.6	WSW	21.8	WSW	22.2	WSW	22.5	3
SW	27.7	SW	29.0	WSW	29.9	WSW	28.5	WSW	29.7	WSW	28.9	3
WSW	17.6	WSW	20.3	S	17.7	S	17.9	SSW	16.2	SSW	15.7	4
C	1.2	ENE	2.3	C	2.5	ENE	(3.2)	NE	4.0	NE	5.3	5
C	2.5	SSW	5.0	SSW	9.1	SW	9.0	SW	5.6	C	1.5	6
ENE	3.5	ENE	3.1	.	1.9	S	3.1	ENE	3.9	SSE	2.8	7
C	1.7	E	1.6	S	1.6	C	1.2	C	2.2	NE	3.6	8
WSW	20.8	SW	20.1	SW	18.7	S	12.7	SSW	7.9	SSW	9.1	9
SW	8.4	SW	7.2	SW	7.4	SW	6.9	SW	6.4	SW	5.2	10
C	1.6	ENE	2.2	C	1.3	ENE	2.6	ENE	3.3	NNE	3.6	11
SW	13.2	SW	11.4	SW	12.4	SSW	12.1	SSW	10.1	SSW	8.1	12
.	1.6	.	1.5	E	1.2	S	1.2	C	1.2	C	1.3	13
SW	14.3	SW	14.4	SW	14.1	SW	14.5	SW	14.5	SSW	13.8	14
SSW	6.5	SSW	6.2	SSW	4.8	SSW	5.7	SSW	6.2	SSW	5.0	15
SW	11.3	SW	11.3	SW	12.8	SSW	13.6	SSW	9.7	SSW	11.4	16
SSW	13.4	SSW	11.0	SW	12.2	SSW	11.4	SSW	13.4	SSW	12.7	17
SSW	6.5	SSW	8.2	S	9.0	SSW	9.5	SW	9.9	SSW	10.2	18
WSW	20.3	WSW	17.9	WSW	20.0	WSW	19.3	WSW	18.5	WSW	18.7	19
S	5.3	S	4.7	S	3.4	S	3.6	ENE	2.8	SSW	1.7	20
S	5.0	SSW	6.2	SSW	5.7	SSW	5.6	SSW	6.7	SSW	5.8	21
SW	16.5	SW	17.5	SW	18.5	SSW	16.9	SSW	17.8	SW	18.0	22
SW	19.9	SW	18.9	SW	19.3	SW	18.3	SW	17.6	SW	17.9	23
SSW	6.5	WSW	2.6	SW	1.5	NNW	1.5	NNW	1.5	NE	1.1	24
SSW	7.9	SSW	9.0	S	7.4	S	7.2	S	7.7	S	8.7	25
S	11.8	SSW	11.8	SSW	11.9	SSW	11.5	SSW	13.3	SSW	13.3	26
SSW	12.0	SSW	11.2	SW	10.9	SSW	10.9	SSW	9.4	SSW	13.1	27
SW	23.6	SW	23.8	SW	23.4	SW	23.4	SW	24.0	SW	24.2	28
SW	27.8	SW	27.5	SW	27.4	SW	27.5	SW	27.5	SW	26.4	29
SSW	20.5	SW	22.6	SSW	21.9	SSW	19.4	SW	19.3	SSW	15.3	30
C	0.0	C	1.1	C	0.0	C	0.0	C	1.1	C	0.0	31
.	11.68	.	11.68	.	11.51	.	11.22	.	10.83	.	10.55	Med.

Windrichtung—Windgeschwindigkeit

Höhe des Anemometers: 2 m. über Erdoberfläche; 4 m. über Meeresniveau

Mai 1902

Dat.	1 p. m.		2 p. m.		3 p. m.		4 p. m.		5 p. m.		6 p. m.		7 p. m.	
		m/s		m/s		m/s		m/s		m/s		m/s		m/s
1	ESE	2.6	ESE	4.1	SSE	8.0	.	7.8	SSW	6.9	SSW	7.0	SSW	9.3
2	WSW	21.4	WSW	21.4	WSW	21.9	WSW	21.8	WSW	20.9	WSW	20.4	WSW	20.4
3	WSW	28.9	WSW	28.8	WSW	29.2	WSW	26.8	SW	22.8	SW	22.8	SW	24.0
4	SW	16.4	SW	14.4	SW	13.8	SW	13.3	SW	13.6	SW	10.4	SW	9.8
5	NE	6.1	NE	7.3	NE	(6.7)	NE	6.1	NNE	6.3	ENE	6.1	ENE	5.6
6	.	5.3	.	12.3	.	6.4	S	5.5	S	6.1	.	10.5	.	14.0
7	ENE	3.5	C	2.3	SW	4.3	SW	6.7	S	7.4	SSW	6.2	SSW	5.6
8	C	2.7	WSW	8.3	WSW	21.9	WSW	25.1	WSW	27.1	WSW	23.2	WSW	26.2
9	SW	3.5	E	4.3	ENE	5.5	NE	6.4	NE	5.7	NE	5.8	NE	6.2
10	SW	5.8	SSW	7.1	SSW	7.5	SSW	8.1	SSW	8.4	SSW	8.2	SSW	8.0
11	NNE	4.1	NE	4.0	C	4.2	ENE	1.7	Var	2.2	C	1.9	NE	3.1
12	SSW	5.1	SSW	10.4	SSW	7.5	E	3.8	SSE	3.4	C	3.1	.	2.3
13	SSW	2.8	ESE	6.7	E	7.5	E	8.3	E	8.1	E	7.4	SW	6.1
14	SSW	15.2	SSW	15.0	SSW	13.8	SSW	13.8	SSW	13.4	SSW	11.2	SSW	13.5
15	SSW	5.2	SSW	4.5	SSW	4.9	SSW	6.1	S	5.3	S	5.5	SSW	5.0
16	SW	11.4	SW	12.1	SW	12.8	SW	13.5	SW	14.2	SW	14.9	SW	15.5
17	SSW	13.2	SSW	12.0	SW	9.9	SW	9.8	SW	8.1	SW	8.2	WSW	7.7
18	SSW	9.8	SSW	11.0	SSW	9.0	S	8.7	SW	12.6	SW	16.8	SW	16.3
19	WSW	16.8	WSW	15.3	WSW	13.6	WSW	13.0	WSW	15.5	WSW	15.5	SW	14.4
20	SW	2.5	ESE	2.0	C	1.3	C	1.5	C	1.1	C	1.3	E	2.2
21	SSW	5.7	S	7.7	SSW	8.9	SSW	9.9	SSW	11.5	SSW	13.0	S	11.6
22	SW	17.5	SSW	18.0	SW	18.2	SW	18.8	SW	18.9	SW	19.5	SW	20.0
23	SW	18.1	SW	16.6	SW	17.8	SW	16.6	SW	13.7	SSW	12.5	SSW	12.3
24	ENE	2.3	SE	1.6	SW	2.5	SW	3.5	SW	1.3	SW	1.6	SW	1.7
25	SSW	9.9	SSW	9.9	S	9.9	S	9.9	S	10.9	SSW	11.1	SW	12.5
26	SSW	11.6	SSW	12.1	SSW	11.3	SSW	12.0	SSW	11.4	SSW	12.6	SSW	11.4
27	SSW	16.0	SSW	16.4	SSW	14.6	SSW	14.3	SW	15.0	SW	14.6	SW	13.6
28	SW	23.8	SW	25.9	SW	24.8	SW	24.4	SW	24.6	SW	24.5	SW	24.8
29	SW	25.7	SW	24.3	SW	23.9	SW	23.3	SW	23.1	SW	24.5	SW	23.8
30	SSW	13.7	SSW	13.4	SSW	15.5	SSW	11.4	SW	9.8	SSW	6.7	SSW	6.4
31	C	0.0	C	0.0	C	0.3	C	1.1	C	0.0	C	0.0	C	0.0
Med.	.	10.54	.	11.35	.	11.53	.	11.39	.	11.27	.	11.45	.	11.40
N: 1 (1); NNE: 4 (5); NE: 23 (32); ENE: 25 (34); E: 11 (15); ESE: 5 (7); SE: 7 (10); SSE: 6 (8); C: 80 (110); Var: 2 (3)														

Windrichtung—Windgeschwindigkeit

Höhe des Anemometers: 2 m. über Erdofläche; 4 m. über Meeresniveau

Mai 1902

8 p. m.		9 p. m.		10 p. m.		11 p. m.		Mittn.		Med.		Max.	Min.	Diff.	Dat.
	m/s		m/s		m/s		m/s		m/s		m/s	m/s	m/s	m/s	
SW	12.3	SSW	12.8	SSW	14.4	SSW	17.5	SSW	18.2	7.40	18.2	1.2	17.0	1	
WSW	22.1	WSW	21.4	SW	21.1	SW	22.2	SW	24.0	21.79	24.0	20.0	4.0	2	
SW	23.9	SW	23.2	SW	22.7	SW	19.4	SW	20.0	25.79	29.9	19.4	10.5	3	
SW	7.2	SW	7.2	SW	8.2	SSW	7.9	SSW	3.8	14.47	21.3	3.8	17.5	4	
ENE	5.2	NE	4.5	ENE	2.7	C	2.4	C	1.9	3.84	7.3	1.2	6.1	5	
SSE	13.9	ENE	6.1	SSW	5.7	SSW	6.3	SSW	5.0	5.81	14.0	1.2	12.8	6	
C	3.0	C	1.3	C	1.6	C	1.5	C	1.3	3.09	7.4	1.2	6.2	7	
WSW	25.2	WSW	28.2	WSW	27.8	WSW	29.9	WSW	29.2	12.27	29.9	0.0	29.9	8	
NE	5.1	NE	4.2	NE	2.8	SW	2.0	ENE	1.5	12.71	30.1	1.5	28.6	9	
SSW	8.4	SSW	7.9	S	6.7	SSW	3.5	C	2.3	7.15	10.9	1.2	9.7	10	
C	3.3	C	2.3	C	1.3	SE	1.9	Var	2.4	2.37	4.2	1.1	3.1	11	
.	2.5	ENE	3.0	ENE	1.7	C	2.7	SE	1.3	5.93	13.2	1.7	11.5	12	
SW	7.4	SW	7.5	SSW	7.5	S	8.8	SSW	8.8	4.76	8.8	1.2	7.6	13	
SSW	12.3	SSW	13.1	SSW	10.4	SSW	10.2	SSW	10.1	13.10	15.2	10.1	5.1	14	
SSW	5.5	SSW	5.2	SSW	4.5	SSW	5.2	SSW	5.0	5.80	8.4	4.5	3.9	15	
SW	15.0	SW	15.0	SW	15.0	SW	14.6	SW	15.3	11.97	15.5	6.4	9.1	16	
WSW	7.5	WSW	7.5	WSW	5.0	SW	3.5	SW	6.1	10.61	14.7	3.5	11.2	17	
SW	18.1	SW	17.9	SW	17.1	SW	18.1	WSW	15.5	11.28	18.1	4.0	14.1	18	
SW	15.9	SW	15.4	SSW	14.2	SSW	12.2	SSW	12.6	16.76	20.9	12.2	8.7	19	
WNW	1.7	N	1.8	WNW	1.7	C	1.3	ENE	3.0	3.98	10.4	1.1	9.3	20	
SSW	14.6	SSW	15.7	SSW	15.5	SSW	16.5	SSW	17.5	8.58	17.5	1.5	16.0	21	
SW	20.1	SW	20.1	SW	20.4	SW	19.1	SW	20.0	18.08	20.4	16.1	4.3	22	
S	12.1	S	11.6	S	11.6	S	9.9	SSW	9.0	16.42	20.9	9.0	11.9	23	
SW	4.6	SW	4.8	SSW	5.2	SSW	5.9	SSW	6.6	4.20	8.3	1.1	7.2	24	
SSW	12.8	SSW	11.8	SSW	11.8	SSW	10.9	S	11.4	9.00	12.8	4.9	7.9	25	
SSW	12.7	SSW	12.8	SSW	14.0	S	11.2	SSW	11.2	11.94	13.3	10.2	3.1	26	
SW	15.1	SSW	15.1	SSW	18.5	SW	20.4	SW	22.1	14.15	22.1	9.4	12.7	27	
SW	23.3	SW	23.8	SW	25.4	SW	25.1	SW	24.9	23.96	25.9	20.7	5.2	28	
SW	23.4	SW	23.1	SW	24.0	SW	22.7	SW	23.8	25.17	27.8	22.6	5.2	29	
C	0.0	SSE	0.0	NE	3.8	NE	3.5	NE	2.9	14.40	24.3	0.0	24.3	30	
C	0.0	C	0.0	C	0.0	C	0.0	C	0.0	0.15	1.1	0.0	1.1	31	
.	11.43	.	11.11	.	11.04	.	10.85	.	10.88	11.19	16.67	6.19	10.48	Med.	
S: 48 (66); SSW: 216 (296); SW: 230 (316); WSW: 66 (90); W: 0 (0); WNW: 3 (4); NW: 0 (0); NNW: 2 (3); Observationszahl: 729 (1000).															

Windrichtung—Windgeschwindigkeit

Höhe des Anemometers: 2 m. über Erdfäche; 4 m. über Meeresniveau

Juni 1902

Dat.	1 a. m.		2 a. m.		3 a. m.		4 a. m.		5 a. m.		6 a. m.	
		m/s		m/s		m/s		m/s		m/s		m/s
1	C	0.0	SSW	11.2	SSW	17.3	SSW	13.8	SSW	22.5	SW	20.3
2	SW	16.8	SW	18.2	SW	19.2	WSW	19.4	SW	20.2	SW	19.6
3	SW	19.6	SSW	20.4	SW	21.0	SW	20.5	SW	20.3	SW	20.1
4	SW	20.4	SW	20.8	SW	22.8	SW	22.9	SW	21.8	SW	22.6
5	SW	21.0	SW	20.7	SSW	20.5	SW	20.9	SW	19.8	SW	20.4
6	SSW	13.7	SSW	14.0	SW	18.9	SSW	19.8	SSW	21.8	SSW	19.6
7	SW	24.5	SW	24.6	SW	25.5	SW	25.4	SW	25.4	SW	25.6
8	S	7.5	SW	2.8	C	1.1	C	2.2	C	1.6	SE	5.0
9	WSW	25.1	SW	25.6	SW	24.3	SW	24.5	SW	21.9	SW	20.2
10	SW	31.0	SSW	(30.6)	SW	(30.1)	WSW	29.6	WSW	(27.3)	SW	25.0
11	WSW	11.3	WSW	9.5	SW	8.4	SSW	8.1	SSW	7.5	SSW	7.9
12	SW	4.4	SW	5.0	.	3.4	C	1.5	C	0.0	C	0.0
13	C	0.0	C	1.0	C	1.2	C	1.0	SSW	9.6	SSW	13.1
14	C	1.0	C	1.0	.	0.0	ENE	2.2	NE	3.9	C	4.4
15	C	1.2	C	1.5	NE	1.5	C	1.6	NE	1.8	C	1.6
16	NE	3.3	ENE	1.9	ENE	2.5	C	1.6	NE	2.8	NE	3.4
17	C	1.5	C	1.1	C	0.0	C	0.0	C	1.1	NE	4.4
18	SSW	5.7	SSW	6.9	S	6.1	SSW	6.0	SW	9.8	S	10.7
19	SSW	12.4	SSW	9.5	Var	5.9	ESE	7.0	C	0.0	C	0.0
20	ENE	1.8	C	2.1	C	1.6	C	1.8	SSW	8.3	Var	5.0
21	SW	11.5	SW	9.9	S	9.1	S	10.4	S	4.7	E	4.8
22	SW	8.3	SW	4.7	NE	2.0	NE	3.5	N	6.7	N	3.4
23	NE	5.7	ENE	6.0	NE	6.7	NNE	8.0	NE	5.3	N	5.5
24	ENE	3.7	ENE	3.4	ENE	3.7	E	2.9	E	3.5	E	3.8
25	WSW	3.0	SW	8.4	SW	10.3	SSW	9.8	SSW	11.0	SSW	12.1
26	SSW	12.5	S	16.5	S	15.8	S	11.6	S	9.1	NE	7.7
27	ENE	3.3	C	1.9	C	1.2	C	1.0	C	0.0	N	1.1
28	SSW	10.2	SSW	10.2	S	12.8	SSW	14.0	SSW	15.1	SSW	15.7
29	SW	11.2	SSW	10.7	SW	8.4	SSW	7.3	SSW	11.8	SW	11.6
30	SW	18.6	SW	19.6	WSW	18.9	SW	18.7	SW	19.1	SW	19.1
Med.	.	10.37	.	10.66	.	10.67	.	10.73	.	11.12	.	11.12

Windrichtung—Windgeschwindigkeit

Höhe des Anemometers: 2 m. über Erdofläche; 4 m. über Meeresniveau

1902 Juni

7 a. m.		8 a. m.		9 a. m.		10 a. m.		11 a. m.		Mittg.		Dat.
	m/s		m/s		m/s		m/s		m/s		m/s	
SW	18.7	SW	18.3	SW	20.5	SW	20.2	SW	18.2	SW	18.8	1
SW	20.2	SW	20.8	SW	21.0	SW	20.8	SW	21.2	SW	21.2	2
SW	20.3	WSW	19.1	SSW	19.4	SW	18.7	SW	18.8	SW	19.2	3
SW	21.8	SW	23.0	SW	22.6	SW	23.1	SW	22.8	SSW	23.9	4
SW	19.9	SW	19.9	SW	20.1	SW	19.3	SW	18.9	SW	18.7	5
SSW	20.2	SSW	19.9	SSW	20.4	SSW	20.2	SW	18.7	SW	19.4	6
SW	24.3	WSW	24.3	WSW	26.1	SW	25.8	SW	26.6	WSW	26.4	7
E	5.0	NE	4.2	NE	3.3	C	1.7	C	0.0	C	1.1	8
SW	23.8	WSW	26.2	WSW	23.0	WSW	22.2	WSW	21.5	WSW	22.0	9
SW	24.9	SW	27.7	SW	(26.7)	SW	27.8	SW	24.0	SW	22.9	10
SSW	8.1	SSW	8.6	SSW	8.6	SSW	8.1	SSW	8.6	SSW	9.3	11
C	0.0	ENE	1.3	E	1.2	ENE	2.0	NE	1.2	NE	1.3	12
SW	12.1	SW	12.0	SW	11.4	SW	9.8	SW	11.0	WSW	10.7	13
ENE	5.5	.	1.5	.	1.9	C	1.0	C	1.0	C	1.0	14
ENE	1.9	NE	2.0	ESE	2.0	WSW	2.5	SW	2.5	SW	13.5	15
NE	5.6	NE	3.2	NNE	3.3	NNE	1.9	C	1.2	Var	1.5	16
NE	5.7	NE	7.3	ENE	7.7	ENE	8.9	ENE	8.3	NE	4.8	17
SSW	14.7	SW	16.3	SW	18.9	SW	20.4	SW	20.2	SW	21.9	18
NE	5.8	NE	4.9	ENE	5.8	ENE	7.0	ENE	5.2	NE	4.9	19
SW	2.5	S	4.3	S	4.3	S	2.5	S	1.2	NE	2.9	20
NE	2.7	ENE	3.0	ENE	2.6	NE	3.0	NE	4.9	NE	8.2	21
SW	3.1	SW	2.9	SE	3.2	.	1.9	.	5.1	N	3.8	22
N	4.5	N	4.7	NE	6.0	Var	4.7	SSW	5.9	S	13.2	23
E	3.3	E	2.0	C	1.3	NE	1.5	NE	2.6	NE	2.6	24
S	11.3	SSW	11.1	SSW	10.3	SSW	10.7	SSW	11.0	SSW	10.2	25
E	3.3	Var	2.9	.	3.0	NE	1.2	ENE	3.4	ESE	3.8	26
C	1.2	C	1.1	C	1.0	C	1.1	C	1.0	C	1.1	27
SSW	15.7	SSW	15.1	SSW	21.8	SSW	14.9	SSW	16.8	SSW	14.6	28
SSW	13.3	SSW	10.7	SSW	10.9	SSW	13.1	SSW	13.4	SSW	12.8	29
SW	18.7	SW	16.9	SW	16.0	SW	15.5	SW	16.5	SW	13.4	30
.	11.27	.	11.17	.	11.48	.	11.05	.	11.06	.	11.64	Med.

Windrichtung—Windgeschwindigkeit

Höhe des Anemometers: 2 m. über Erdoberfläche; 4 m. über Meeresniveau

Juni 1902

Dat.	1 p. m.		2 p. m.		3 p. m.		4 p. m.		5 p. m.		6 p. m.		7 p. m.	
		m/s		m/s		m/s		m/s		m/s		m/s		m/s
1	SW	18.5	WSW	19.1	SSW	20.4	SW	16.8	SW	14.7	SSW	16.2	SSW	16.2
2	SW	20.8	SSW	21.6	SW	21.1	SW	21.4	SW	21.9	SW	22.5	SW	22.8
3	SW	18.8	SW	17.9	SW	18.3	SW	19.2	SW	19.2	SW	19.8	SW	18.5
4	WSW	22.3	SW	25.9	SW	23.6	WSW	23.5	SW	23.9	SW	24.4	SSW	23.8
5	SW	15.9	SW	13.9	SW	16.3	SW	16.2	SW	17.3	SW	16.3	SW	15.8
6	SSW	21.3	SSW	21.5	SW	22.0	SSW	20.8	SW	22.5	SW	23.5	SW	23.7
7	WSW	24.8	WSW	25.1	WSW	23.8	WSW	23.1	WSW	22.3	SW	19.5	SW	19.6
8	SW	1.1	ESE	1.2	SW	13.7	SW	26.8	SW	26.7	SW	27.8	SW	28.3
9	WSW	21.1	WSW	21.8	WSW	23.0	SSW	24.0	SW	24.9	SW	26.8	SW	27.7
10	SW	23.5	SW	25.6	SW	24.3	SW	24.3	SW	20.7	SW	20.9	SW	21.4
11	SSW	9.1	SSW	9.6	SSW	9.3	SSW	11.3	SSW	9.9	SSW	10.1	SSW	8.9
12	C	1.1	C	0.0	C	0.0	C	0.0	C	0.0	C	0.0	C	0.0
13	W	5.2	C	1.3	.	1.7	C	1.0	W	1.3	C	1.1	C	0.0
14	C	1.0	C	0.0	C	1.1	C	1.2	C	1.3	C	1.8	C	1.3
15	SW	20.3	SW	18.3	SW	20.1	SSW	20.8	SSW	19.6	SSW	16.4	S	13.1
16	SW	1.6	WSW	2.0	SSW	5.3	SW	10.1	SSW	9.0	SSW	9.4	S	9.4
17	NE	5.5	NE	3.9	ESE	2.1	C	1.4	C	1.2	C	2.0	SSW	6.3
18	SW	23.4	SW	25.4	SW	24.8	SW	23.5	SW	21.4	SW	13.1	SW	11.3
19	C	0.0	C	0.0	C	0.0	C	1.0	C	1.1	C	1.0	C	1.2
20	NE	3.4	ENE	4.2	ENE	5.9	E	5.8	SE	4.9	Var	4.4	Var	4.4
21	NNE	10.5	N	8.9	N	10.5	NE	10.2	NNE	9.9	NNE	10.2	Var	4.7
22	N	3.8	NE	4.0	NE	4.1	NE	6.3	NE	5.4	NE	4.5	ENE	5.0
23	SW	9.6	SW	8.8	SSW	6.1	SSW	6.0	SW	3.8	SW	3.9	WSW	2.5
24	ENE	2.8	NE	4.4	NE	5.9	ENE	5.2	NE	5.7	NE	5.1	ENE	7.3
25	S	10.5	S	9.6	S	9.5	SSW	9.4	SSW	7.5	SSW	4.5	SSW	5.7
26	E	4.1	ENE	3.6	ENE	4.6	NE	5.0	NE	8.1	ENE	8.2	ENE	8.8
27	C	0.0	C	0.0	C	1.0	C	1.1	C	0.0	C	1.1	C	1.0
28	SSW	12.2	SW	13.5	SW	14.9	SW	12.3	SW	14.0	SSW	12.2	S	11.6
29	SSW	13.4	S	13.6	S	13.1	S	12.3	S	14.6	SW	16.9	SW	17.2
30	S	11.3	SSW	13.2	SSW	13.0	SW	11.3	SW	11.3	SW	11.5	SW	21.2
Med.	.	11.23	.	11.26	.	11.98	.	12.38	.	12.14	.	11.84	.	11.96
N: 10 (14); NNE: 7 (10); NE: 58 (81); ENE: 42 (59); E: 13 (18); ESE: 5 (7); SE: 3 (4); SSE: 0 (0); C: 106 (149); Var: 12 (17)														

Windrichtung—Windgeschwindigkeit

Höhe des Anemometers: 2 m. über Erdfäche; 4 m. über Meeresniveau

1902 Juni

8 p. m.		9 p. m.		10 p. m.		11 p. m.		Mtt.		Med.	Max.	Min.	Diff.	Det.
	m/s		m/s		m/s		m/s		m/s		m/s		m/s	
SW	16.8	SW	16.5	SW	17.5	SSW	16.4	SW	16.4	17.10	22.5	0.0	22.5	1
SW	22.6	SW	21.9	SW	22.5	SSW	22.0	SSW	21.8	20.90	22.8	16.8	6.0	2
SW	18.9	SSW	19.3	SSW	18.8	SW	19.4	SW	21.0	19.44	21.1	17.9	3.2	3
SSW	22.8	SSW	20.8	SW	20.1	SW	21.1	SW	20.8	22.56	25.9	20.1	5.8	4
SW	15.9	SW	16.3	SW	15.1	SW	15.5	SW	14.3	17.87	21.0	13.9	7.1	5
SW	23.9	SW	23.1	SW	23.1	SW	23.5	SW	24.3	20.83	24.3	13.7	10.6	6
SSW	17.5	SSW	14.4	S	15.5	SSW	12.0	SSW	8.9	22.07	26.6	8.9	17.7	7
SW	27.5	SW	26.6	SW	26.1	WSW	24.9	WSW	27.1	12.22	28.3	0.0	28.3	8
SW	29.7	SW	31.1	SW	31.4	SW	29.6	SW	29.4	25.03	31.4	20.2	11.2	9
SW	21.4	SW	16.5	SSW	14.2	SW	13.6	SW	12.2	23.59	31.0	12.2	18.8	10
S	8.8	S	8.3	S	8.2	SSW	8.6	SSW	8.8	8.95	11.3	7.5	3.8	11
NE	1.1	C	0.0	C	0.0	C	0.0	C	0.0	0.98	5.0	0.0	5.0	12
C	1.0	C	1.2	C	1.0	C	1.0	C	0.0	4.53	13.1	0.0	13.1	13
C	1.4	SSW	1.9	C	1.8	NE	1.5	C	1.0	1.65	5.5	0.0	5.5	14
S	14.2	S	11.9	S	8.9	E	3.0	S	1.3	8.40	20.8	1.2	19.6	15
SSW	10.7	SSW	9.7	SSW	5.9	SSW	2.9	S	1.9	4.59	10.7	1.2	9.5	16
SW	9.9	SSW	9.1	SW	7.7	SW	4.3	SW	4.2	4.52	9.9	0.0	9.9	17
SW	12.5	SW	14.4	SW	17.9	SW	18.5	SSW	17.7	15.90	25.4	5.7	19.7	18
C	1.6	C	1.0	C	1.6	C	1.9	C	1.9	3.36	12.4	0.0	12.4	19
Var	3.7	Var	4.2	Var	3.8	S	6.7	SW	5.8	3.98	8.3	1.2	7.1	20
NNE	2.9	Var	3.0	WSW	10.1	WSW	14.0	SW	10.5	7.51	14.0	2.6	11.4	21
NE	3.4	NE	2.1	NE	5.4	NE	6.1	NE	5.5	4.34	8.3	1.9	6.4	22
C	2.5	C	1.5	C	1.5	C	1.4	E	3.6	5.31	13.2	1.4	11.8	23
ENE	7.5	ENE	6.7	ENE	5.1	ENE	5.2	NW	3.0	4.09	6.7	1.3	5.4	24
SSW	11.5	SW	13.5	SSW	11.8	SW	11.5	SW	8.6	9.70	13.5	3.0	10.5	25
ENE	10.3	ENE	9.3	ENE	9.5	ENE	8.3	ENE	5.0	7.32	16.5	1.2	15.3	26
ENE	1.1	C	1.3	C	1.2	SSW	4.0	S	10.2	1.54	10.2	0.0	10.2	27
SSW	11.8	SW	11.4	S	10.2	S	10.3	SW	13.6	13.54	21.8	10.2	11.6	28
SW	15.0	SW	14.9	S	16.8	SSW	18.1	SSW	18.7	13.34	18.7	7.3	11.4	29
SW	21.0	SW	8.2	SW	7.7	SW	7.3	SW	6.7	14.78	21.2	6.7	14.5	30
.	12.30	.	11.34	.	11.35	.	11.09	.	10.81	11.33	17.38	5.87	11.51	Med.
S: 42 (59); SSW: 127 (178); SW: 248 (349); WSW: 36 (51); W: 2 (3); WNW: 0 (0); NW: 1 (1); NNW: 0 (0); Observationszahl: 712 (1000).														

Windrichtung—Windgeschwindigkeit

Höhe des Anemometers: 2 m. über Erdofläche; 4 m. über Meeresniveau

Juli 1902

Dat.	1 a. m.		2 a. m.		3 a. m.		4 a. m.		5 a. m.		6 a. m.	
		m/s		m/s		m/s		m/s		m/s		m/s
1	SW	8.0	SW	8.6	SW	8.8	SW	9.0	SW	8.4	SW	8.7
2	SW	18.9	SW	18.6	SW	18.4	SW	14.7	SW	17.9	SSW	15.1
3	SW	19.5	SW	20.8	SW	20.0	SW	19.6	SW	18.2	SW	15.1
4	C	0.0	C	0.0	C	0.0	C	0.0	C	0.0	C	0.0
5	C	1.1	C	0.0	C	0.0	C	1.0	C	0.0	C	0.0
6	SSW	4.5	SSW	8.9	SSW	10.6	SSW	13.6	SSW	13.1	SSW	13.9
7	S	4.1	SSW	4.6	SW	6.0	SW	7.3	SW	8.8	SW	9.4
8	SSW	11.4	SSW	12.5	SSW	17.2	SSW	15.1	SSW	15.3	SSW	16.3
9	SW	13.9	SSW	9.3	S	8.7	S	10.2	S	9.9	SW	13.1
10	SW	16.5	SW	16.0	SW	14.9	SW	16.4	S	12.2	SW	14.9
11	C	1.5	C	0.0	C	0.0	C	0.0	SW	13.5	SW	13.4
12	SW	21.0	SW	21.4	SW	20.8	SW	20.1	SW	20.7	WSW	17.1
13	C	0.0	C	0.0	C	0.0	C	0.0	C	1.0	C	0.0
14	SSW	10.6	SSW	6.5	SSW	5.5	SSW	4.8	C	1.9	SW	1.8
15	SW	12.2	SW	11.6	SW	12.3	SW	13.2	SW	14.1	SW	15.0
16	SW	19.8	WSW	19.1	SW	18.5	SW	17.5	SW	16.5	SW	15.9
17	SW	(27.9)	SW	27.5	SW	31.1	SW	27.5	SW	34.4	SW	(30.9)
18	SW	25.7	SW	23.8	SW	23.7	SW	23.8	SW	25.8	SW	25.7
19	WSW	20.7	WSW	21.7	WSW	22.9	WSW	23.9	WSW	22.7	WSW	20.7
20	SW	24.0	SW	23.2	SW	17.6	SW	17.3	SW	16.3	SW	16.7
21	WSW	18.1	WSW	17.8	WSW	19.8	WSW	20.8	WSW	21.3	WSW	22.5
22	S	15.2	S	15.8	S	15.8	S	18.7	SW	14.9	SW	15.1
23	S	16.5	SSW	15.9	S	12.0	S	12.4	SSW	15.4	SSW	13.6
24	SW	12.0	S	11.8	S	12.1	S	9.9	S	10.2	S	10.3
25	SW	10.9	SW	9.6	WSW	6.0	SW	3.9	SW	2.7	SW	2.1
26	E	4.6	E	5.2	E	3.7	C	1.4	C	0.0	C	0.0
27	S	17.1	SSW	18.7	S	16.8	S	14.8	S	16.3	SSW	15.7
28	C	0.0	C	0.0	C	0.0	C	0.0	C	0.0	C	0.0
29	SW	2.6	S	5.2	S	8.0	S	9.1	S	9.9	S	10.0
30	S	7.2	SW	8.0	SSW	6.2	SSW	5.9	SSW	6.5	SSW	6.9
31	S	7.6	S	6.2	S	8.7	S	8.4	S	8.1	S	9.5
Med.	.	12.04	.	11.88	.	11.81	.	11.71	.	12.13	.	11.92

Windrichtung—Windgeschwindigkeit

Höhe des Anemometers: 2 m. über Erdfäche; 4 m. über Meeresniveau

1902 Juli

7 a. m.		8 a. m.		9 a. m.		10 a. m.		11 a. m.		Mittg.	Dat.	
	m/s		m/s		m/s		m/s		m/s			
S	9.1	S	11.2	SW	12.8	SW	13.0	SW	14.4	SW	15.7	1
SW	16.9	SW	16.0	SW	15.2	SW	15.5	SW	11.5	SW	12.2	2
SSW	14.6	SSW	13.7	SSW	11.8	SSW	9.8	C	4.8	SW	4.0	3
C	0.0	C	0.0	C	0.0	C	0.0	C	0.0	C	0.0	4
C	0.0	C	0.0	C	0.0	C	0.0	C	0.0	C	0.0	5
SW	16.8	SW	13.7	SW	14.2	SW	15.8	WSW	17.5	WSW	11.3	6
SSW	8.8	SSW	7.5	SSW	7.1	S	8.9	S	8.7	SSW	7.1	7
WSW	15.5	WSW	20.4	WSW	20.7	WSW	21.3	WSW	19.9	WSW	20.0	8
WSW	15.8	WSW	17.0	SW	15.8	SW	16.6	SW	18.7	SW	18.1	9
SW	12.5	SW	10.5	SSW	9.8	SSW	9.6	SSW	8.1	S	6.0	10
WSW	13.9	WSW	17.1	WSW	17.6	SW	17.1	SW	17.3	SW	17.6	11
SW	14.3	SSW	11.8	S	12.7	WSW	5.0	S	4.2	SE	3.4	12
C	0.0	C	1.3	C	1.2	C	0.0	C	1.3	C	1.1	13
SE	1.4	C	0.0	C	1.1	C	1.1	C	0.0	SSW	4.5	14
SW	15.9	SW	16.8	SW	17.7	SW	18.6	SW	17.5	SW	18.7	15
SW	15.3	SW	15.7	SW	15.1	SW	14.7	SW	15.2	SW	18.3	16
SW	27.5	SW	31.3	SW	26.2	SW	29.1	SW	31.3	SW	28.2	17
SW	23.8	WSW	24.3	WSW	25.0	WSW	25.4	WSW	24.8	WSW	23.7	18
WSW	19.1	WSW	20.8	WSW	23.6	WSW	22.1	WSW	20.9	WSW	20.1	19
SW	18.4	SW	17.6	SW	18.0	SW	18.2	SW	19.4	WSW	20.1	20
WSW	23.5	WSW	23.1	WSW	22.5	SW	19.7	SW	19.5	SW	19.4	21
SW	13.7	WSW	13.3	WSW	14.1	WSW	14.0	SW	10.0	SW	17.0	22
SSW	12.0	SSW	12.9	SSW	15.1	SSW	15.4	SSW	14.5	SW	15.2	23
S	11.2	S	10.3	SSW	9.3	SSW	10.1	S	11.0	S	9.6	24
C	1.5	C	2.1	C	0.0	C	0.0	C	0.0	C	0.0	25
C	0.0	C	1.5	C	0.0	C	0.0	C	1.2	C	1.2	26
SSW	15.2	SW	12.5	SW	11.2	C	6.6	C	2.0	C	1.4	27
C	1.4	C	0.0	C	0.0	C	0.0	C	0.0	C	0.0	28
SSW	9.2	SSW	9.1	SSW	9.6	SSW	12.4	SSW	14.1	SSW	15.2	29
SSW	7.5	SSW	8.3	SW	12.9	SW	14.0	SW	14.5	SW	13.2	30
S	9.9	SW	11.2	SW	11.0	SW	13.1	SW	13.4	SW	12.0	31
.	11.76	.	11.97	.	11.98	.	11.84	.	11.47	.	11.43	Med.

Windrichtung—Windgeschwindigkeit

Höhe des Anemometers: 2 m. über Erdofläche; 4 m. über Meeresniveau

Juli 1902

Dat.	1 p. m.		2 p. m.		3 p. m.		4 p. m.		5 p. m.		6 p. m.		7 p. m.	
		m/s		m/s		m/s		m/s		m/s		m/s		m/s
1	SW	16.3	S	14.3	S	15.5	S	18.7	SW	18.5	SW	19.1	WSW	21.0
2	SW	15.9	SW	14.7	SW	11.8	SW	10.6	SW	12.7	SW	13.5	SW	13.4
3	C	1.4	C	1.0	C	0.0	C	0.0	C	0.0	C	0.0	C	0.0
4	C	0.0	C	0.0	C	0.0	C	0.0	C	0.0	C	0.0	C	0.0
5	C	0.0	ESE	1.2	C	0.0	C	1.2	C	1.3	C	1.9	C	2.0
6	S	8.0	S	7.5	S	6.5	SE	5.8	SE	3.5	C	1.4	C	1.2
7	SW	8.4	S	9.4	S	8.0	ENE	3.2	C	1.2	SW	3.2	SW	8.1
8	WSW	16.1	SW	16.2	SW	15.8	SW	16.2	SW	14.5	SW	14.6	SW	15.7
9	SW	18.8	SW	19.1	SW	20.2	SW	20.1	SW	21.4	SW	20.0	SW	21.9
10	S	5.1	S	3.7	C	1.3	C	0.0	C	0.0	C	0.0	C	0.0
11	SW	16.0	SW	15.5	SW	15.1	SW	16.1	SW	16.1	SW	18.4	SW	19.1
12	SE	5.8	ESE	4.3	ESE	4.6	E	4.8	ENE	4.5	E	4.6	E	3.7
13	C	1.5	C	2.0	C	2.3	SW	3.3	SW	3.4	SW	4.1	SW	9.1
14	SSW	7.1	SSW	8.2	SSW	7.5	SSW	9.1	S	7.5	S	8.2	S	7.1
15	SW	16.6	SW	15.1	SW	14.9	SW	16.9	SW	18.1	SW	19.6	SW	21.1
16	SW	16.6	SW	15.4	SW	21.4	SW	19.8	SW	18.4	SW	19.4	SW	20.7
17	SW	27.5	SW	28.6	SW	25.2	SW	28.2	SW	27.0	SW	27.7	SW	25.6
18	WSW	25.0	SW	23.7	SW	23.6	WSW	22.7	WSW	23.5	WSW	21.2	WSW	21.0
19	SW	20.1	SW	22.0	SW	20.7	SW	17.5	SW	20.6	SW	22.8	SW	18.7
20	WSW	20.2	WSW	21.4	WSW	20.0	WSW	20.1	WSW	23.5	WSW	25.0	WSW	23.9
21	SW	18.5	SW	17.5	SW	17.2	SW	17.9	SW	19.0	SW	17.3	SW	15.7
22	SW	16.1	SW	12.7	SSW	13.9	SW	18.2	SW	10.9	SSW	12.5	SW	14.9
23	SW	13.5	SSW	14.0	SSW	13.8	S	11.6	SSW	11.8	S	13.1	S	12.4
24	SW	10.5	S	9.1	S	9.6	S	9.5	SW	8.7	SSW	9.2	S	8.7
25	C	0.0	C	0.0	C	0.0	C	0.0	C	0.0	C	0.0	C	0.0
26	C	0.0	C	1.6	C	1.4	NE	1.9	NE	1.8	C	0.0	C	0.0
27	C	1.5	NE	2.8	NE	3.3	NE	3.7	C	1.8	NNE	2.4	C	1.4
28	C	0.0	C	1.2	NNE	2.4	E	1.5	C	1.9	C	2.0	C	0.0
29	WSW	15.7	WSW	12.1	SW	12.1	SW	14.0	SW	12.5	SW	12.9	SW	12.8
30	SW	15.1	SW	16.4	SW	15.7	SW	18.0	SW	19.0	SW	17.3	SW	15.4
31	SW	11.9	SW	10.8	SW	9.5	S	7.5	S	7.0	S	4.3	S	3.1
Med.	.	11.28	.	11.02	.	10.75	.	10.91	.	10.65	.	10.83	.	10.89
N : 0 (0); NNE : 2 (3); NE : 6 (8); ENE : 3 (4); E : 12 (16); ESE : 3 (4); SE : 6 (8); SSE : 0 (0);														
C : 166 (223);														

Windrichtung—Windgeschwindigkeit

Höhe des Anemometers: 2 m. über Erdfäche; 4 m. über Meeresniveau

1902 Juli

8 p. m.		9 p. m.		10 p. m.		11 p. m.		Mittn.		Med.	Max.	Min.	Diff.	Dat.
	m/s		m/s		m/s		m/s		m/s		m/s		m/s	
WSW	20.9	SW	18.9	SW	19.4	SW	20.2	SW	19.4	14.60	21.0	8.0	13.0	1
SW	14.6	SW	15.8	SW	17.3	SW	19.1	SW	20.7	15.46	20.7	10.6	10.1	2
C	0.0	C	0.0	C	0.0	C	0.0	C	0.0	7.26	20.8	0.0	20.8	3
C	0.0	C	1.0	C	0.0	C	1.0	C	1.0	0.13	1.0	0.0	1.0	4
C	1.4	SW	1.3	SSW	2.8	SW	5.9	SSW	6.3	1.14	6.3	0.0	6.3	5
C	1.1	E	1.9	NE	3.2	SE	3.1	S	3.1	8.34	17.5	1.1	16.4	6
SW	8.4	SSW	9.1	SSW	9.5	SSW	9.8	SSW	10.6	7.38	10.6	1.2	9.4	7
SW	16.8	SW	15.4	SW	14.5	SW	15.0	SW	15.1	16.31	21.3	11.4	9.9	8
SW	22.8	SW	19.1	SW	18.9	SW	15.9	SW	17.3	16.77	22.8	8.7	14.1	9
C	0.0	C	0.0	C	0.0	C	0.0	C	0.0	6.56	16.5	0.0	16.5	10
SW	19.1	SW	20.8	SW	23.8	SW	23.9	SW	22.6	14.81	23.9	0.0	23.9	11
E	2.6	.	2.3	C	1.3	C	1.1	C	0.0	8.84	21.4	0.0	21.4	12
SW	9.7	SW	11.0	SW	14.9	SW	11.9	SW	11.8	3.79	14.9	0.0	14.9	13
SW	9.6	SW	13.8	SW	13.2	SW	14.3	SW	13.6	6.60	14.3	0.0	14.3	14
SW	20.8	SW	19.4	SW	20.0	SW	20.7	SW	19.5	16.93	21.1	11.6	9.5	15
SW	21.1	SW	22.3	SW	23.4	SW	24.0	SW	28.3	18.85	28.3	14.7	13.6	16
SW	22.5	WSW	22.9	SW	24.2	SW	21.1	SW	22.1	27.35	34.4	21.9	12.5	17
WSW	20.7	WSW	21.9	SW	22.1	WSW	22.2	WSW	20.5	23.48	25.8	20.5	5.3	18
SW	19.9	SW	11.3	SW	15.1	SW	17.3	SW	21.6	20.28	23.9	11.3	12.6	19
WSW	24.7	WSW	24.7	WSW	24.8	WSW	22.8	WSW	19.0	20.70	25.0	16.3	8.7	20
SSW	14.7	SSW	16.8	S	15.9	S	16.6	S	15.0	18.79	23.5	14.7	8.8	21
SW	9.2	SSW	10.7	SSW	15.6	S	11.2	S	12.9	14.02	18.7	10.0	8.7	22
SSW	10.8	SSW	10.1	SSW	10.6	SSW	11.0	SSW	9.2	13.03	16.5	10.1	6.4	23
S	9.2	S	8.4	S	9.0	S	9.1	S	10.5	9.97	12.1	8.4	3.7	24
C	0.0	C	1.4	E	2.4	E	2.1	E	1.6	1.93	10.9	0.0	10.9	25
C	1.5	C	0.0	C	1.5	WSW	2.2	S	9.9	1.69	9.9	0.0	9.9	26
C	1.2	C	1.4	C	0.0	C	0.0	C	0.0	6.99	18.7	0.0	18.7	27
C	1.4	C	1.4	C	0.0	C	1.2	C	1.4	0.66	2.4	0.0	2.4	28
S	10.0	SSW	9.9	SSW	8.8	SSW	9.9	S	9.0	10.59	15.7	2.6	13.1	29
SW	15.3	SW	12.7	SW	12.2	SW	11.9	S	9.7	12.08	19.0	5.9	13.1	30
C	1.5	C	1.2	C	0.0	C	0.0	ENE	3.3	7.47	13.4	0.0	13.4	31
.	10.69	.	10.54	.	11.11	.	11.14	.	11.48	11.38	17.82	6.10	11.72	Med.
S: 84 (113); SSW: 86 (117); SW: 300 (403); WSW: 75 (101); SW: 0 (0); W: 0 (0); WNW: 0 (0); NW: 0 (0); NNW: 0 (0); Observationszahl: 743 (1000)														

Windrichtung—Windgeschwindigkeit

Höhe des Anemometers: 2 m. über Erdoberfläche; 4 m. über Meeresniveau

Augusti 1902

Dat.	1 a. m.		2 a. m.		3 a. m.		4 a. m.		5 a. m.		6 a. m.	
		m/s		m/s		m/s		m/s		m/s		m/s
1	ENE	2.5	NE	3.3	NE	4.1	NE	5.1	ENE	5.2	E	5.3
2	C	0.0	C	1.9	SW	4.0	SSW	6.5	SSW	3.7	SSW	8.3
3	C	1.9	NE	2.4	C	1.8	C	2.0	C	0.0	C	0.0
4	S	13.9	S	12.8	SSW	11.8	SSW	13.5	SSW	13.8	SSW	15.8
5	SSW	13.4	SW	10.3	SW	6.9	SW	4.4	SSW	1.9	C	1.2
6	SSW	12.1	SW	14.4	SW	16.6	SW	18.1	SW	20.2	SW	(20.0)
7	S	11.5	SSW	8.3	SSW	10.0	SSW	10.6	SSW	8.7	SSW	9.1
8	C	0.0	C	0.0	C	0.0	C	0.0	C	0.0	C	0.0
9	ENE	9.9	ENE	9.6	NE	8.9	NNE	3.4	N	2.5	C	1.8
10	SSW	30.5	SSW	32.6	SW	32.5	SW	32.6	SW	32.5	SW	29.1
11	SW	29.4	SW	28.8	SW	31.1	SW	33.5	SW	33.7	SW	31.4
12	SSW	2.5	Var	0.0	C	0.0	C	0.0	C	0.0	C	0.0
13	C	0.0	C	1.2	C	2.2	ENE	4.9	SSW	7.7	SSW	8.1
14	ENE	2.7	ENE	1.2	C	2.0	C	0.0	C	0.0	C	0.0
15	WSW	24.8	WSW	25.4	WSW	(26.8)	WSW	(28.4)	WSW	29.8	WSW	29.9
16	S	6.6	S	5.2	WSW	1.6	ENE	0.0	C	0.0	C	1.4
17	NE	4.9	NNE	4.7	NE	6.7	NE	8.0	NE	7.0	ENE	7.8
18	NNE	10.4	NNE	10.8	NNE	10.1	NE	8.5	NE	6.7	NE	10.0
19	SW	9.8	SW	4.3	SW	6.5	S	4.7	SW	2.7	C	0.0
20	ENE	4.7	SSE	4.7	.	(6.6)	SSW	8.5	SSW	7.4	SSW	11.7
21	SW	18.4	SW	16.1	SW	17.9	SW	18.2	SW	19.6	SW	21.4
22	SW	16.3	SW	15.2	SSW	13.5	S	12.2	S	10.3	SSW	9.1
23	NNE	1.3	C	0.0	C	0.0	C	0.0	C	1.1	ENE	1.2
24	SW	13.5	WSW	13.7	SW	11.5	SW	9.9	SW	10.2	SW	10.9
25	SSW	7.4	S	6.6	SSW	8.4	SSW	8.9	SSW	7.1	S	7.4
26	NE	4.2	E	3.6	E	3.8	E	2.3	C	0.0	C	1.2
27	S	3.9	SE	2.3	.	0.0	C	0.0	NE	1.5	C	0.0
28	NE	3.1	SE	4.3	.	5.3	SSW	6.6	SSW	7.7	SW	9.8
29	S	3.9	SSW	8.2	SSW	9.9	S	10.2	SW	10.3	S	10.5
30	SW	11.9	SSW	10.7	S	10.4	S	10.1	S	9.6	SSW	9.7
31	SSW	15.4	SSW	16.2	SSW	15.9	SSW	16.9	SW	18.5	SW	17.3
Med.	.	9.38	.	8.99	.	9.25	.	9.29	.	9.01	.	9.34

Windrichtung—Windgeschwindigkeit

Höhe des Anemometers: 2 m. über Erdfäche; 4 m. über Meeresniveau

1902 Augusti

7 a. m.		8 a. m.		9 a. m.		10 a. m.		11 a. m.		Mittg	Dat.	
	m/s		m/s		m/s		m/s		m/s	m/s		
ENE	4.9	ENE	4.5	ENE	4.7	NE	3.7	NE	2.2	NE	2.6	1
SSW	10.0	SSW	11.4	S	12.9	SSW	11.5	SW	7.7	WSW	3.9	2
C	0.0	C	0.0	C	0.0	C	0.0	C	0.0	C	1.2	3
SW	16.8	SSW	16.0	S	16.3	WSW	17.2	SSW	15.4	SW	17.9	4
C	1.2	NE	2.7	NE	1.8	NE	3.0	SSW	5.3	SW	9.9	5
WSW	19.7	WSW	19.8	WSW	20.4	WSW	20.2	WSW	22.9	WSW	22.2	6
S	3.1	SW	2.2	C	1.4	C	0.0	C	0.0	NNE	1.5	7
C	0.0	C	0.0	C	0.0	C	0.0	C	0.0	C	0.0	8
C	0.0	C	0.0	NE	2.0	ENE	2.2	SW	6.6	SW	12.7	9
SW	32.6	WSW	30.5	WSW	31.5	WSW	29.8	WSW	31.3	WSW	32.6	10
SW	28.8	SW	(27.1)	SSW	25.4	SW	27.0	SW	27.5	SW	25.0	11
C	0.0	C	0.0	C	0.0	C	0.0	C	0.0	C	0.0	12
SSW	8.9	SSW	11.8	SSW	10.6	SSW	13.8	SSW	10.9	SSW	11.0	13
C	0.0	C	0.0	C	0.0	C	0.0	C	0.0	C	0.0	14
SW	28.9	SW	(25.5)	WSW	23.0	WSW	(21.5)	WSW	20.1	WSW	20.1	15
C	0.0	C	1.2	C	1.2	C	0.0	NE	(0.9)	N	(1.8)	16
NE	5.5	NE	7.6	NE	8.1	NNE	11.6	NNE	12.9	NNE	12.9	17
NNE	9.0	NE	7.3	NE	9.7	NNE	10.9	NNE	13.7	NNE	9.5	18
C	0.0	C	0.0	C	0.0	C	0.0	C	0.0	C	1.1	19
SSW	14.1	SSW	13.9	SSW	14.7	SSW	18.1	SSW	17.1	SSW	15.7	20
SW	18.9	SW	21.1	SW	21.3	SW	21.8	SSW	21.6	SSW	23.0	21
SW	9.7	SSW	10.2	SSW	9.0	SSW	5.8	SSW	6.2	SSW	5.8	22
C	0.0	C	0.0	C	1.2	SE	1.9	S	6.2	SW	13.8	23
SW	11.3	SW	11.3	SSW	10.7	SSW	9.8	SSW	9.8	SSW	10.0	24
SSW	6.6	SSW	7.2	SSW	6.4	SSW	5.8	ENE	3.9	C	2.0	25
C	0.0	C	0.0	C	0.0	NE	1.9	ENE	3.5	ENE	3.6	26
C	0.0	C	0.0	C	0.0	C	0.0	C	1.3	C	1.2	27
SW	11.8	SSW	6.7	SW	8.7	SSW	10.4	SSW	8.2	SSW	8.8	28
SSW	12.0	SSW	14.4	SSW	14.9	SW	15.8	WSW	14.6	SSW	15.0	29
SSW	8.0	SSW	5.9	ENE	2.3	N	1.7	C	0.0	C	1.1	30
SW	17.0	SW	18.3	SW	17.6	SW	17.9	WSW	18.4	SW	17.1	31
.	8.97	.	8.92	.	8.90	.	9.14	.	9.30	.	9.81	Med.

Windrichtung—Windgeschwindigkeit

Höhe des Anemometers: 2 m. über Erdoberfläche; 4 m. über Meeresniveau

Augusti 1902

Dat.	1 p. m.		2 p. m.		3 p. m.		4 p. m.		5 p. m.		6 p. m.		7 p. m.	
		m/s		m/s		m/s		m/s		m/s		m/s		m/s
1	NE	2.0	NE	1.9	NE	1.8	NE	2.6	NE	1.9	NE	2.2	NE	1.2
2	WSW	4.6	SSW	8.8	SSW	7.1	ENE	4.4	C	1.5	C	1.4	C	0.0
3	C	0.0	C	1.2	C	0.0	S	2.4	E	1.5	SSW	1.8	SSW	2.1
4	SSW	18.0	SSW	16.2	SSW	15.1	SSW	17.5	SSW	17.3	SSW	15.1	SSW	16.3
5	SSW	9.5	SSW	6.9	SSW	7.1	SSW	7.7	SSW	6.9	SSW	6.5	SSW	7.7
6	WSW	21.8	WSW	21.8	WSW	(20.4)	SW	(19.0)	SW	17.7	SW	17.1	SW	16.0
7	NNE	1.6	NE	4.0	NE	3.7	NE	3.1	NE	2.5	NE	3.0	C	1.5
8	C	0.0	C	0.0	C	0.0	C	0.0	C	0.0	C	0.0	C	1.2
9	SSW	19.7	SSW	20.3	SSW	20.4	SSW	21.6	SSW	21.3	SSW	26.3	SSW	26.5
10	SW	31.6	WSW	28.5	WSW	26.6	WSW	22.9	WSW	24.1	WSW	26.7	WSW	32.0
11	SW	25.7	SW	23.8	SW	22.2	SW	18.5	WSW	19.1	SW	15.4	WSW	14.5
12	C	0.0	C	0.0	C	0.0	C	0.0	C	0.0	C	0.0	C	0.0
13	SW	8.8	WSW	12.1	SSW	12.1	WSW	7.1	NW	4.0	SW	7.1	SSW	8.7
14	C	0.0	C	0.0	C	0.0	C	0.0	C	0.0	C	0.0	C	0.0
15	WSW	30.1	SW	(19.3)	SW	18.6	SW	19.1	SW	16.4	SSW	16.6	SW	14.6
16	NE	(2.7)	NE	3.9	NE	5.2	NE	2.0	E	3.5	NE	5.8	NE	7.5
17	NNE	15.4	NE	14.6	NE	14.1	NE	14.3	NE	14.1	NE	12.5	NE	11.7
18	NNE	5.9	SSW	7.0	SSW	8.6	SSW	9.1	SSW	10.1	SSW	11.2	SW	14.6
19	C	0.0	S	2.5	C	0.0	C	0.0	C	0.0	C	0.0	C	0.0
20	SSW	17.7	SSW	20.4	SW	20.9	SW	21.5	SW	20.7	SW	20.8	SW	19.8
21	SW	24.6	WSW	25.8	WSW	24.8	SW	24.2	SW	24.3	SW	22.2	SW	21.1
22	SSW	7.3	SSW	6.7	SSW	5.8	SSW	5.8	SSW	3.8	SSW	2.6	SSW	1.1
23	SW	15.2	WSW	19.4	SW	18.8	SW	14.9	SSW	12.0	SSW	14.4	SSW	14.0
24	SSW	12.3	SW	13.1	SW	11.9	SW	13.5	SW	12.6	SW	10.3	SW	7.5
25	C	1.2	C	0.8	C	0.7	C	1.1	C	0.0	N	2.5	NE	3.9
26	NE	8.7	NE	6.1	SSW	16.1	SSW	(16.8)	SSW	17.5	SSW	16.5	SSW	17.2
27	C	1.8	Var	1.7	Var	1.7	Var	1.6	Var	2.2	Var	1.5	Var	1.1
28	SSW	9.9	SSW	9.1	SSW	6.9	SSW	2.9	SE	1.8	Var	2.5	SE	5.5
29	SSW	13.0	SSW	10.9	SW	10.7	SW	11.5	SW	12.8	SW	11.6	SW	11.1
30	C	0.0	WNW	1.2	SW	1.7	S	2.8	SSW	4.2	SW	8.4	SW	9.3
31	WSW	17.2	SW	15.8	SSW	15.2	SSW	13.2	SSW	13.9	SSW	12.6	SSW	11.9
Med.	.	10.20	.	10.45	.	10.26	.	9.71	.	9.28	.	9.50	.	9.66
N : 4 (5); NNE : 21 (28); NE 68 (92); ENE : 33 (45); E : 9 (12); ESE : 0 (0); SE : 7 (9); SSE : 2 (3); C : 155 (208); Var : 15 (23)														

Windrichtung—Windgeschwindigkeit

Höhe des Anemometers: 2 m. über Erdofläche; 4 m. über Meeresniveau

1902 Augusti

8 p. m.		9 p. m.		10 p. m.		11 p. m.		Mtn	Med.	Max.	Min.	Diff.	Dat.	
m/s		m/s		m/s		m/s		m/s	m/s	m/s	m/s	m/s		
NE	1.2	NE	3.7	C	1.4	C	0.0	C	0.0	2.83	5.3	0.0	5.3	1
C	0.0	C	0.0	ENE	2.5	NE	1.8	NE	2.8	4.86	12.9	0.0	12.9	2
SSW	5.6	SSW	9.5	S	7.7	S	11.4	S	12.1	2.69	12.1	0.0	12.1	3
SSW	14.7	SSW	15.8	SSW	14.8	SSW	13.9	SSW	15.1	15.46	18.0	11.8	6.2	4
SSW	8.1	SSW	8.1	S	8.5	S	10.2	SSW	9.1	6.60	13.4	1.2	12.2	5
SSW	15.1	SSW	18.0	SSW	15.1	SSE	8.3	S	11.6	17.85	22.9	8.3	14.6	6
C	0.0	C	0.0	ENE	0.0	C	0.0	C	0.0	3.58	11.5	0.0	11.5	7
C	1.4	C	0.0	C	0.0	NE	3.7	ENE	8.1	0.60	8.1	0.0	8.1	8
SSW	28.8	SSW	31.5	SW	27.2	SSW	29.1	SSW	30.4	15.11	31.5	0.0	31.5	9
WSW	29.9	WSW	32.1	SW	31.5	SW	28.2	WSW	31.0	30.13	32.6	22.9	9.7	10
S	12.5	SSW	12.2	SW	21.8	SSW	18.3	S	1.9	23.11	33.7	1.9	31.8	11
NE	5.3	NE	3.4	C	1.9	C	0.0	C	1.4	0.60	5.3	0.0	5.3	12
NNE	2.2	WSW	2.2	C	0.0	E	2.4	C	0.0	6.58	13.8	0.0	13.8	13
SW	8.4	SSW	5.0	S	6.6	SW	15.0	WSW	17.8	2.45	17.8	0.0	17.8	14
SW	11.3	SW	9.5	SW	8.0	S	(9.0)	S	10.1	19.87	29.9	8.0	21.9	15
ENE	7.3	ENE	6.7	E	8.3	ENE	6.1	NE	5.7	3.53	8.3	0.0	8.3	16
ENE	11.0	NE	11.8	NNE	10.6	NNE	10.8	NNE	11.7	10.43	15.4	4.7	10.7	17
WSW	15.0	WSW	15.8	WSW	16.1	WSW	15.7	SW	12.7	10.81	16.1	6.7	9.4	18
C	0.0	ENE	4.0	ENE	4.0	ENE	6.2	E	5.2	2.12	9.8	0.0	9.8	19
SW	18.9	SW	18.5	SW	18.9	SW	19.4	SW	18.9	15.57	21.5	4.7	16.8	20
SW	20.2	SW	19.9	SW	16.8	SW	17.1	SW	16.4	20.70	25.8	16.1	9.7	21
SSW	1.5	C	0.0	C	0.0	C	0.0	C	0.0	6.58	16.3	0.0	16.3	22
SSW	14.3	SSW	15.5	SW	14.6	SW	13.4	SW	13.2	3.60	19.4	0.0	19.4	23
SSW	9.4	SSW	8.0	S	9.0	S	9.6	S	7.4	10.72	13.7	7.4	6.3	24
NE	3.4	ENE	4.2	ENE	5.5	NE	4.5	ENE	4.6	4.59	8.9	0.0	8.9	25
SSW	17.5	SSW	16.0	SSW	15.9	S	8.4	S	8.8	7.90	17.5	0.0	17.5	26
Var	1.2	Var	1.8	Var	2.9	Var	3.2	NE	2.5	1.39	3.9	0.0	3.9	27
SE	6.1	SE	5.5	Var	5.8	Var	6.6	Var	5.5	6.65	11.8	1.8	10.0	28
SSW	13.2	SW	14.7	SW	13.2	SW	11.3	SW	11.2	11.87	15.8	3.9	11.9	29
SW	11.5	SW	14.4	SSW	13.2	SSW	12.7	SSW	13.6	7.27	14.4	0.0	11.4	30
SSW	10.2	S	9.4	SSW	8.3	SSW	5.9	SSW	5.8	14.41	18.5	5.8	12.7	31
.	9.85	.	10.23	.	10.03	.	9.75	.	9.50	9.53	16.32	3.39	12.93	Mecl.
S: 41 (55); SSW: 182 (246); SW: 147 (198); WSW: 55 (74); W: 0 (0); WNW: 1 (1); NW: 1 (1); NNW: 0 (0); Observationszahl: 741 (1000).														

Windrichtung—Windgeschwindigkeit

Höhe des Anemometers: 2 m. über Erdfläche; 4 m. über Meeresniveau

September 1902

Dat.	1 a. m.		2 a. m.		3 a. m.		4 a. m.		5 a. m.		6 a. m.	
		m/s		m/s		m/s		m/s		m/s		m/s
1	SSW	4.2	W	2.5	C	1.5	C	1.1	C	0.0	C	1.1
2	SSW	6.2	SSW	6.1	WSW	6.4	WSW	4.0	ENE	1.5	S	1.8
3	C	1.2	C	0.0	C	0.0	C	0.0	C	0.0	C	1.1
4	C	1.2	C	1.1	C	1.6	C	1.7	SE	1.9	SE	2.9
5	SSE	8.6	SSW	13.6	SW	15.1	SW	15.4	SW	14.3	SSW	10.2
6	WNW	1.2	SSW	3.2	SSW	3.6	S	8.6	W	7.4	SW	7.3
7	C	1.2	C	0.0	C	1.5	C	1.2	C	1.7	C	1.5
8	SSW	16.5	SSW	17.8	SW	17.9	SW	16.9	SSW	13.5	SW	13.7
9	WSW	17.9	WSW	17.8	WSW	20.5	WSW	19.2	WSW	18.5	WSW	18.2
10	NE	2.2	SSW	3.5	.	2.3	C	0.0	C	0.0	C	0.0
11	C	0.0	NE	1.1	C	0.0	C	1.1	C	1.2	C	0.0
12	C	0.0	C	0.0	.	(1.4)	Var	(2.8)	ENE	(4.2)	SW	9.3
13	C	0.0	C	1.1	C	0.0	C	1.5	C	2.6	NE	7.5
14	N	(3.6)	NNW	4.9	.	(4.8)	NNE	4.7	SW	6.0	Var	3.5
15	ENE	1.5	ENE	2.7	NE	7.2	NE	10.2	NE	12.3	NNE	10.2
16	NE	4.3	NNE	7.2	NNE	6.6	ENE	6.2	NE	4.9	NE	5.7
17	NNE	6.6	NE	6.5	NE	7.2	ENE	5.2	NE	6.6	NE	8.3
18	NE	6.7	NE	8.4	NE	7.2	NNE	7.7	NNE	10.7	NNE	7.5
19	SSW	9.3	SSW	10.2	SSW	9.8	SSW	7.3	SSW	5.9	C	1.3
20	SSW	9.5	SSW	9.8	SW	9.7	SW	9.4	SW	10.4	SW	12.2
21	SSW	7.7	SSW	7.3	SSW	6.4	SSW	6.6	SSW	8.7	SSW	9.5
22	SW	18.2	SW	(18.8)	SW	19.4	SW	(18.8)	SW	18.2	SW	18.1
23	SW	17.9	SW	18.2	SW	16.8	SW	18.6	SW	16.1	SW	16.2
24	C	1.3	C	1.7	.	2.6	ENE	2.2	SE	2.3	SW	5.0
25	SW	16.4	SW	16.4	SW	(17.0)	SW	17.6	SW	18.0	SW	17.8
26	SW	22.4	SW	21.4	SW	(19.7)	SW	18.0	SW	20.6	SW	19.3
27	SW	19.4	SW	17.3	SW	(17.7)	SW	18.1	SW	18.8	SW	15.4
28	SW	20.4	SW	19.4	SW	(22.0)	WSW	24.5	WSW	29.4	WSW	27.0
29	SW	18.7	SW	17.1	SW	(16.0)	SW	14.9	SSW	13.2	SSW	8.4
30	SSW	11.8	SSW	12.0	.	(6.0)	C	0.0	C	0.0	C	0.0
Med.	.	8.54	.	8.90	.	8.93	.	8.78	.	8.96	.	8.67

Windrichtung—Windgeschwindigkeit

Höhe des Anemometers: 2 m. über Erdfläche; 4 m. über Meeresniveau

1902 September

7 a. m.		8 a. m.		9 a. m.		10 a. m.		11 a. m.		Mtg.	Dat.	
	m/s		m/s		m/s		m/s		m/s			
C	1.1	C	0.0	C	0.0	C	0.0	C	0.0	C	1.1	1
NE	5.5	NE	3.6	ENE	1.8	C	0.0	C	0.0	C	1.1	2
C	0.0	Var	1.5	S	4.2	S	5.1	ENE	1.1	NE	1.4	3
SE	9.0	ESE	9.7	SE	9.7	ESE	9.8	ENE	8.4	E	6.9	4
SSW	10.1	SSW	11.9	SSW	12.5	SW	11.1	SW	13.0	SW	13.4	5
SW	9.7	SSW	9.8	W	6.4	SSW	8.9	SW	5.7	NE	4.0	6
C	1.3	S	1.9	Var	1.5	C	0.0	C	0.0	C	1.2	7
SSW	12.7	SSW	14.7	SW	13.6	SW	13.9	SW	13.5	SW	14.5	8
WSW	19.9	WSW	19.6	WSW	19.5	WSW	18.7	WSW	16.3	WSW	15.5	9
C	0.0	C	0.0	C	0.0	C	0.0	C	0.0	C	1.1	10
Var	2.2	Var	0.0	SSW	4.9	SSW	3.0	C	0.0	C	1.2	11
NE	4.2	Var	5.2	N	6.7	NNW	7.5	N	5.5	NE	3.6	12
NE	11.3	NNE	10.7	NNE	9.6	N	8.1	NNW	7.5	N	10.7	13
E	2.4	SSW	7.7	SSW	7.5	SSW	7.1	SSW	6.2	SSW	4.7	14
N	8.7	SW	3.5	SW	7.3	SW	8.8	SW	11.0	SW	9.0	15
E	5.5	N	4.5	NNE	4.7	ENE	5.3	NNE	8.6	NE	9.8	16
NE	4.5	NE	3.9	N	7.7	NNE	8.8	NNE	6.9	NNE	5.9	17
NNE	8.2	NNE	6.9	NNE	6.2	NNE	7.5	NNE	11.9	NNE	8.3	18
SSW	3.6	SSW	5.1	WSW	1.7	WNW	1.3	ESE	1.7	N	2.0	19
SW	13.2	SW	14.0	SW	15.0	SSW	12.7	SSW	11.4	SSW	(11.2)	20
SSW	8.9	SSW	9.5	SSW	9.5	SSW	9.9	SW	9.0	SW	10.1	21
WSW	17.9	SW	18.9	WSW	20.2	WSW	22.2	WSW	22.8	WSW	21.4	22
WSW	15.8	WSW	15.3	SW	13.4	SW	12.2	SSW	11.8	SSW	10.3	23
SW	5.9	SSW	6.5	SSW	6.9	SW	5.5	SSW	8.2	S	8.0	24
WSW	23.5	WSW	22.0	WSW	20.6	WSW	20.6	WSW	20.3	WSW	21.9	25
WSW	22.4	WSW	21.2	WSW	19.8	WSW	21.5	WSW	19.1	SW	20.4	26
WSW	14.6	WSW	15.6	WSW	10.9	WSW	11.3	SW	14.4	SW	14.4	27
WSW	24.5	WSW	27.3	WSW	28.3	WSW	28.0	SW	27.5	SW	25.6	28
SSW	14.6	SSW	10.8	SSW	9.2	SSW	10.0	SSW	5.9	N	1.9	29
C	0.0	C	0.0	C	0.0	C	0.0	C	0.0	C	0.0	30
.	9.37	.	9.38	.	9.31	.	9.29	.	8.92	.	8.69	Med.

Windrichtung—Windgeschwindigkeit

Höhe des Anemometers: 2 m. über Erdoberfläche; 4 m. über Meeresniveau

September 1902

Dat.	1 p. m.		2 p. m.		3 p. m.		4 p. m.		5 p. m.		6 p. m.		7 p. m.	
		m/s		m/s		m/s		m/s		m/s		m/s		m/s
1	C	1.1	NW	1.8	NW	1.6	NW	0.0	NW	2.2	N	1.2	C	0.0
2	WNW	1.7	WNW	2.0	Var	2.0	WNW	1.6	C	1.4	C	1.2	C	0.0
3	SSE	1.7	C	1.7	C	1.5	NE	1.1	C	0.0	SE	1.2	NE	1.2
4	E	6.9	E	5.5	E	5.1	E	5.1	ENE	4.7	E	2.8	E	1.9
5	SW	13.4	WSW	13.8	WSW	13.8	SSW	12.2	SSW	12.2	SSW	9.7	SSW	5.8
6	C	1.5	N	1.9	NE	2.9	NE	3.1	NE	1.5	NE	1.2	C	1.2
7	SW	1.7	S	1.6	C	1.2	C	1.2	C	1.2	C	1.1	C	1.2
8	WSW	14.6	WSW	14.0	WSW	14.0	WSW	16.5	WSW	14.3	WSW	12.5	WSW	12.4
9	SW	14.9	SW	14.5	SW	11.8	SSW	12.7	SSW	11.1	SSW	9.8	SSW	9.5
10	Var	2.9	Var	2.9	S	7.1	S	8.2	SSW	9.1	SSW	10.5	SSW	9.5
11	C	1.8	C	0.0	C	0.0	C	1.1	C	0.0	C	0.0	C	0.0
12	SW	6.4	SW	9.7	WSW	8.0	SSW	4.3	C	1.5	S	1.5	C	1.5
13	N	10.9	N	9.3	NW	7.7	Var	3.4	Var	2.4	SW	3.2	NE	4.9
14	WSW	4.8	SW	4.3	SW	3.5	SSW	3.8	WSW	2.6	C	1.2	SSW	6.4
15	SW	6.3	SSW	6.2	SE	3.4	E	4.7	ESE	5.8	ENE	4.9	NE	6.5
16	NNE	10.5	NNE	8.7	NNE	9.9	NNE	8.4	NNE	5.7	NNE	5.3	NNE	8.8
17	NNE	7.5	NNE	10.2	N	15.3	NNE	17.8	NNE	13.0	ENE	7.7	NNW	8.9
18	NNE	9.1	NE	8.4	NNE	8.9	NNE	9.5	SW	4.7	SW	7.0	SW	9.1
19	SW	4.5	SW	4.5	W	1.6	SW	4.8	WSW	4.6	SW	5.0	WSW	3.5
20	SSW	11.1	SSW	9.4	SSW	9.0	S	9.5	SSW	9.0	SSW	10.2	SSW	9.9
21	SW	12.5	SW	14.4	SW	14.4	SW	15.1	SSW	15.2	SW	15.2	SW	14.9
22	WSW	20.7	WSW	17.6	WSW	17.9	SW	18.4	WSW	18.5	WSW	17.2	WSW	18.5
23	SSW	9.0	SSW	7.8	SSW	5.7	SSW	4.1	C	1.5	NNW	1.2	C	1.3
24	SSW	8.1	SW	9.4	SW	10.9	SW	11.3	SW	10.9	SW	12.1	SW	11.5
25	WSW	21.4	WSW	19.4	WSW	20.8	WSW	22.5	WSW	22.9	WSW	21.4	WSW	23.8
26	WSW	21.3	WSW	19.0	WSW	18.0	WSW	19.0	SW	19.0	WSW	18.5	WSW	22.0
27	SW	12.0	SW	14.3	SW	15.1	WSW	17.0	WSW	17.1	WSW	18.6	WSW	20.3
28	SW	25.2	SW	24.5	WSW	24.1	WSW	23.5	WSW	21.7	WSW	19.7	WSW	19.1
29	N	3.1	C	0.0	NNE	2.2	NNE	2.1	NNE	3.3	C	0.0	C	0.0
30	C	0.0	C	0.0	NE	0.0	NE	0.0	NE	1.8	C	0.0	S	7.5
Med.	.	8.89	.	8.56	.	8.58	.	8.73	.	7.93	.	7.37	.	8.04
N: 16 (22); NNE: 44 (63); NE: 51 (71); ENE: 23 (32); E: 12 (17); ESE: 4 (5); SE: 8 (11); SSE: 4 (5); C: 134 (188); Var: 14 (19)														

Windrichtung—Windgeschwindigkeit

Höhe des Anemometers: 2 m. über Erdfache; 4 m. über Meeresebene

1902 September

8 p. m.		9 p. m.		10 p. m.		11 p. m.		Mtn.	Med.	Max.	Min.	Diff.	Dat.	
	m/s		m/s		m/s		m/s							
E	1.2	C	1.6	SW	3.2	SSW	4.5	SSW	5.8	1.53	5.8	0.0	5.8	1
C	1.1	C	1.2	ENE	1.6	ENE	2.0	ENE	1.2	2.29	6.4	0.0	6.4	2
SSW	1.2	SW	1.9	C	1.3	C	1.2	C	1.2	1.28	5.1	0.0	5.1	3
S	3.3	E	3.0	S	3.8	S	9.0	SSE	12.6	5.32	12.6	1.1	11.5	4
C	1.1	NE	4.5	NE	5.1	NE	4.7	NE	2.4	10.33	15.4	1.1	14.3	5
C	1.2	C	1.2	C	1.2	C	0.0	C	0.0	3.86	9.8	0.0	9.8	6
SSW	3.6	SSW	7.0	SW	11.0	SSW	15.7	S	15.6	3.13	15.7	0.0	15.7	7
WSW	15.8	WSW	21.4	WSW	23.1	WSW	22.7	WSW	19.6	15.84	23.1	12.4	10.7	8
SSW	7.9	SSW	5.9	SSW	5.1	SSW	4.1	C	1.3	13.76	20.5	1.3	19.2	9
SSW	11.1	S	9.8	C	5.1	C	1.8	C	0.0	3.63	11.1	0.0	11.1	10
C	0.0	C	0.0	C	0.0	C	0.0	C	0.0	0.73	4.9	0.0	4.9	11
C	1.3	C	1.1	C	0.0	C	1.1	ENE	1.8	3.69	9.7	0.0	9.7	12
NNE	4.3	NNE	5.1	C	0.0	Var	(1.2)	Var	(2.4)	5.23	11.3	0.0	11.3	13
SW	6.1	SW	3.3	C	1.1	C	1.1	ENE	1.2	4.27	7.7	1.1	6.6	14
NE	6.9	ENE	5.5	NE	6.1	ENE	4.7	NE	4.8	6.59	12.3	1.5	10.8	15
NNE	6.5	NE	11.2	NE	9.7	NE	6.4	NNE	7.7	7.17	11.2	4.3	6.9	16
NNE	11.5	ENE	9.4	ENE	7.7	NE	7.1	NE	7.0	8.38	17.8	3.9	13.9	17
SSW	10.4	SSW	9.6	SSW	8.9	SSW	8.1	SSW	9.4	8.35	11.9	4.7	7.2	18
NW	3.2	SW	4.0	NE	2.9	SSW	6.3	SW	9.3	4.73	10.2	1.3	8.9	19
SSW	9.7	SSW	9.1	S	8.1	SSW	6.6	SSW	6.5	10.28	15.0	6.5	8.5	20
SW	15.4	SW	15.9	SW	18.4	SW	18.3	SW	18.8	12.15	18.8	6.4	12.4	21
WSW	17.6	WSW	17.9	WSW	17.7	WSW	18.2	SW	17.8	18.87	22.8	17.2	5.6	22
C	0.0	SSE	1.9	E	2.9	C	1.5	C	1.2	9.20	18.6	0.0	18.6	23
SW	13.1	SW	13.2	SW	13.0	SW	15.5	SW	15.4	8.35	15.5	1.3	14.2	24
WSW	25.5	WSW	22.1	WSW	22.7	SW	19.9	SW	22.3	20.70	25.5	16.4	9.1	25
WSW	21.1	SW	17.4	SW	18.8	SW	17.4	SW	16.9	19.76	22.4	16.9	5.5	26
WSW	18.9	WSW	19.4	SW	16.4	WSW	20.8	WSW	22.5	16.68	22.5	10.9	11.6	27
WSW	21.0	SW	21.4	SW	21.4	SW	20.7	SSW	19.8	23.58	29.4	19.1	10.3	28
C	0.0	SW	5.7	SE	1.5	SW	4.2	SW	9.6	7.18	18.7	0.0	18.7	29
SSW	9.1	S	10.0	SSW	15.8	SSW	13.1	SSW	12.5	4.15	13.1	0.0	13.1	30
.	8.30	.	8.69	.	8.45	.	8.60	.	8.89	8.70	14.83	4.25	10.58	Med.
S: 20 (28); SSW: 114 (160); SW: 148 (207); WSW: 104 (146); W: 4 (5); WNW: 5 (7); NW: 5 (7); NNW: 5 (7); Observationszahl: 715 (1000).														

Windrichtung—Windgeschwindigkeit

Höhe des Anemometers: 2 m. über Erdofläche; 4 m. über Meeresniveau

Oktober 1902

Dat.	1 a. m.		2 a. m.		3 a. m.		4 a. m.		5 a. m.		6 a. m.	
		m/s		m/s		m/s		m/s		m/s		m/s
1	.	13.1	.	8.8	SSW	10.2	.	8.4	.	8.8	S	8.1
2	C	1.3	C	0.0	C	0.0	C	0.0	S	2.4	S	7.2
3	C	1.5	C	1.6	NE	4.0	.	4.4	.	6.5	NW	3.9
4	C	0.0	C	0.0	C	0.0	C	0.0	C	0.0	C	0.0
5	.	2.7	.	6.4	S	7.0	.	8.5	.	11.0	WSW	12.7
6	.	9.2	.	6.2	C	2.1	C	1.3	C	1.5	NE	3.1
7	.	7.8	.	8.2	SW	7.7	.	8.8	.	8.5	SSW	9.2
8	C	1.1	C	0.0	C	1.1	C	0.0	C	1.1	C	1.1
9	C	1.2	C	1.1	C	0.0	C	1.1	C	1.2	C	1.6
10	C	1.7	C	1.3	C	1.1	C	1.3	.	1.9	C	1.2
11	SSW	6.9	S	4.2	WSW	2.6	SW	4.3	C	1.9	C	1.2
12	.	(6.0)	.	(9.5)	S	13.4	.	11.2	.	13.9	S	15.5
13	.	12.6	.	10.1	SW	11.3	.	8.8	.	7.3	S	6.1
14	.	(8.1)	.	(7.1)	S	6.1	.	(8.2)	.	10.3	SW	12.5
15	C	1.6	C	0.0	C	0.0	C	1.2	.	2.2	ESE	3.6
16	SW	16.3	SW	18.2	SW	18.1	SW	19.1	SW	18.8	SW	19.8
17	.	6.1	.	6.1	SSW	4.3	.	2.4	C	1.2	C	1.7
18	SSW	9.3	SSW	9.4	S	9.7	SSW	8.6	SW	8.8	SW	9.8
19	SSW	3.6	C	1.9	SW	4.0	.	5.7	.	6.7	SW	9.4
20	.	18.3	.	17.6	WSW	18.1	.	(18.4)	.	(18.7)	SW	19.1
21	WSW	12.7	WSW	12.1	WSW	13.0	.	12.0	.	11.9	WSW	8.8
22	S	6.7	S	4.7	WSW	4.0	S	4.3	SSW	4.3	S	3.2
23	C	0.0	C	0.0	C	0.0	C	1.9	.	2.5	WSW	3.9
24	.	5.1	.	5.8	SSW	7.4	.	7.3	.	7.3	S	8.2
25	WSW	24.8	WSW	24.3	WSW	23.4	WSW	24.9	WSW	26.0	WSW	25.5
26	.	23.6	.	24.6	WSW	20.0	.	19.4	.	22.1	WSW	20.5
27	.	19.8	.	20.9	WSW	18.6	.	19.4	.	20.0	WSW	19.6
28	.	3.5	C	0.0	C	0.0	S	2.0	C	0.0	C	0.0
29	SW	16.2	SW	16.5	SW	16.8	SW	17.6	SW	17.7	WSW	16.9
30	.	17.7	.	18.7	SW	19.8	.	17.9	.	18.2	WSW	13.3
31	C	0.0	C	0.0	C	1.5	.	4.8	.	4.7	SW	5.7
Med.	.	8.34	.	7.91	.	7.91	.	8.17	.	8.63	.	8.79

Windrichtung—Windgeschwindigkeit

Höhe des Anemometers: 2 m. über Erdofläche; 4 m. über Meeresniveau

1902 Oktober

7 a. m.		8 a. m.		9 a. m.		10 a. m.		11 a. m.		Mttg.	Dat.	
	m/s		m/s		m/s		m/s		m/s			
S	6.8	SSW	5.0	C	0.0	C	0.0	C	0.0	C	0.0	1
S	6.5	SSW	6.5	S	6.6	S	6.6	NE	3.6	NE	1.7	2
ENE	3.5	ENE	5.1	ENE	2.9	S	6.5	S	6.4	SW	9.3	3
C	0.0	NE	0.0	C	0.0	C	0.0	C	0.0	C	0.0	4
WSW	11.2	SW	12.0	SW	12.7	WSW	16.1	WSW	17.6	SW	17.9	5
NE	4.3	C	2.1	C	3.0	C	2.8	C	1.3	NE	1.9	6
SSW	9.1	SSW	8.2	SW	7.7	SSW	7.9	SSW	8.6	SSW	8.2	7
C	0.0	C	0.0	C	0.0	C	1.2	C	0.0	C	0.0	8
C	1.8	C	1.1	C	1.1	C	1.8	C	1.2	C	1.3	9
C	1.1	C	1.5	SW	1.5	C	1.2	C	1.2	NE	3.1	10
C	1.3	NE	1.9	NE	3.0	NNE	3.5	NNE	4.0	NNE	4.6	11
S	15.0	S	18.2	SW	21.2	WSW	21.3	SW	20.3	SSW	21.8	12
S	6.9	S	5.9	SSW	4.7	SW	3.0	WSW	1.7	WSW	1.9	13
WSW	10.9	SSW	9.3	SW	11.5	SW	(12.3)	SW	13.2	WSW	12.2	14
E	4.9	ENE	4.7	NE	4.7	NE	5.2	NNE	4.8	NE	5.5	15
SW	18.8	SW	19.1	SW	18.5	SW	18.7	WSW	16.3	WSW	19.1	16
C	2.2	SW	2.6	C	2.5	C	3.2	SSW	6.0	SW	7.3	17
SSW	9.3	SW	9.0	SW	8.7	SSW	8.4	SW	8.7	SW	8.7	18
SW	9.6	SW	12.1	SW	13.3	SW	15.2	SW	16.0	WSW	16.2	19
SW	17.7	WSW	18.8	WSW	19.9	SW	20.5	SW	18.4	SW	18.4	20
WSW	8.3	WSW	8.1	WSW	8.1	WSW	10.3	WSW	9.1	WSW	9.0	21
C	1.2	C	0.0	C	0.0	C	0.0	C	0.0	C	0.0	22
SSW	4.1	WSW	4.7	WSW	5.5	C	4.8	ESE	2.9	WSW	2.6	23
SW	9.1	SSW	10.3	S	10.9	WSW	13.2	SW	15.7	SW	17.0	24
WSW	24.4	WSW	25.7	WSW	25.0	WSW	24.8	WSW	23.5	WSW	24.3	25
WSW	19.6	WSW	19.7	SW	19.9	SW	21.3	WSW	22.5	WSW	21.5	26
WSW	20.3	WSW	21.6	WSW	20.2	WSW	21.0	WSW	20.9	WSW	20.0	27
S	2.4	SSW	7.5	S	8.3	S	9.6	SSW	11.5	SW	13.6	28
SW	17.6	SW	18.7	SW	20.0	WSW	18.9	SW	19.3	SW	19.2	29
SW	15.7	SW	15.7	WSW	16.7	SW	16.7	SW	17.0	SSW	15.9	30
SW	6.3	SW	6.7	SW	8.9	SW	9.3	SSW	9.1	SSW	9.4	31
.	8.71	.	9.09	.	9.26	.	9.85	.	9.70	.	10.05	Med.

Windrichtung—Windgeschwindigkeit

Höhe des Anemometers: 2 m. über Erdoberfläche; 4 m. über Meeresniveau

Oktober 1902

Dat.	1 p. m.		2 p. m.		3 p. m.		4 p. m.		5 p. m.		6 p. m.		7 p. m.	
		m/s		m/s		m/s		m/s		m/s		m/s		m/s
1	C	0.0	C	0.0	SSW	2.9	SSW	4.7	SSW	5.5	SSW	4.7	S	5.6
2	C	0.0	C	0.0	C	0.0	C	1.6	C	1.7	NE	4.8	NE	3.7
3	WSW	8.2	WSW	5.6	S	5.0	SSW	4.7	SSW	4.3	C	0.0	C	1.3
4	C	0.0	C	0.0	C	0.0	C	0.0	C	1.3	C	1.6	C	1.3
5	WSW	19.2	SW	21.3	SW	20.3	SW	18.5	WSW	19.9	WSW	20.7	SSW	17.5
6	NE	0.0	C	0.0	C	0.0	C	1.3	C	0.0	SSW	5.4	SSW	7.5
7	SW	6.5	S	6.6	SW	7.6	S	9.5	S	3.3	SE	3.1	C	1.5
8	C	0.0	C	0.0	C	1.1	C	0.0	C	0.0	C	1.1	C	0.0
9	C	1.1	N	1.3	.	1.2	C	0.0	C	1.2	C	1.5	C	1.1
10	NE	4.3	NE	3.6	SSW	11.2	SSW	14.9	SSW	14.3	SSW	13.7	SSW	14.0
11	NNE	4.0	NE	4.1	NE	4.7	NE	4.1	N	3.4	NNE	3.1	NNE	1.9
12	SSW	20.7	WSW	20.4	WSW	21.9	WSW	19.3	SW	17.0	SSW	12.8	SW	13.2
13	WSW	3.0	WSW	2.4	WSW	1.2	SW	(2.1)	SW	3.1	C	0.0	W	3.1
14	WSW	11.2	SW	10.3	SSW	11.1	SSW	10.9	SSW	10.6	SW	9.4	SSW	8.1
15	NE	5.7	NNE	4.9	NW	3.0	SW	3.1	WSW	2.2	SW	5.7	SSW	7.7
16	SW	18.1	SW	17.8	WSW	18.1	WSW	17.2	WSW	15.8	SSW	13.3	SW	13.9
17	SW	6.2	SW	8.8	SSW	12.5	WSW	15.2	SW	15.2	WSW	15.8	WSW	16.2
18	SSW	7.9	SSW	8.4	SSW	9.1	SSW	8.9	SSW	7.4	SSW	6.5	S	7.3
19	WSW	16.3	WSW	17.8	WSW	19.4	WSW	19.1	WSW	18.4	WSW	17.5	WSW	19.9
20	WSW	18.8	SW	18.1	WSW	17.2	WSW	17.5	WSW	17.3	WSW	17.8	WSW	17.0
21	WSW	8.8	WSW	9.0	WSW	8.6	WSW	7.5	WSW	6.6	WSW	7.1	SSW	7.1
22	C	0.0	C	0.0	NNE	0.0	NE	3.0	NNE	2.0	NNE	0.0	ENE	0.0
23	Var	2.4	Var	2.3	Var	3.2	Var	3.4	ENE	3.8	Var	3.5	Var	5.2
24	WSW	18.1	WSW	18.3	WSW	19.8	WSW	20.3	WSW	21.5	WSW	22.1	WSW	23.3
25	WSW	23.4	WSW	22.9	WSW	22.0	WSW	21.2	WSW	21.0	WSW	21.0	WSW	22.3
26	WSW	21.0	WSW	21.5	WSW	22.3	WSW	20.8	WSW	19.5	WSW	20.0	WSW	20.7
27	WSW	19.4	WSW	18.8	SW	17.8	SW	17.3	SW	17.2	SW	15.2	SSW	11.9
28	SW	14.3	SW	13.7	SW	14.2	SW	15.4	SW	15.4	SW	16.0	SW	15.3
29	SW	19.4	SW	20.3	SW	19.3	SW	18.3	SW	17.0	SW	19.4	SW	20.2
30	SSW	14.2	S	13.1	S	11.2	SSW	10.3	SSW	7.5	SSW	7.4	SW	8.4
31	SW	10.4	SW	11.4	SW	11.2	SW	11.8	SW	11.6	SSW	12.5	SSW	11.9
Med.	.	9.76	.	9.76	.	10.23	.	10.38	.	9.84	.	9.76	.	9.94
N : 4 (6); NNE : 11 (16); NE : 25 (37); ENE : 7 (10); E : 3 (5); ESE : 2 (3); SE : 1 (1); SSE : 1 (1); C : 166 (243); Var : 11 (16)														

Windrichtung—Windgeschwindigkeit

Höhe des Anemometers: 2 m. über Erdoberfläche; 4 m. über Meeresniveau

1902 Oktober

8 p. m.		9 p. m.		10 p. m.		11 p. m.		Mitt.	Med.	Max.	Min.	Diff.	Dat.	
	m/s		m/s		m/s		m/s	m/s	m/s	m/s	m/s	m/s		
S	5.0	S	5.0	C	2.2	C	0.0	C	0.0	4.37	13.1	0.0	13.1	1
NE	2.0	C	1.5	NE	5.8	N	3.4	N	3.4	2.93	7.2	0.0	7.2	2
C	0.0	C	0.0	C	0.0	C	0.0	C	0.0	3.53	9.3	0.0	9.3	3
C	1.5	C	1.5	C	0.0	C	1.5	C	1.3	0.42	1.5	0.0	1.5	4
SW	13.2	SSW	12.4	SSW	9.2	SSW	9.8	SSW	9.6	13.64	21.3	2.7	18.6	5
S	7.3	SSW	8.1	SSW	7.2	SW	7.1	SW	6.5	3.72	9.2	0.0	9.2	6
SSE	1.3	C	0.0	C	1.5	C	1.3	C	1.2	5.99	9.5	0.0	9.5	7
C	1.1	C	0.0	C	1.1	C	0.0	C	1.1	0.46	1.2	0.0	1.2	8
C	1.1	C	0.0	C	1.1	C	1.3	C	1.1	1.11	1.8	0.0	1.8	9
SSW	11.9	SSW	13.1	S	13.4	SSW	9.4	SSW	9.3	6.30	14.9	1.1	13.8	10
C	1.1	C	0.0	C	1.1	C	1.6	C	2.2	2.95	6.9	0.0	6.9	11
SW	14.4	SW	13.8	SW	11.8	SW	12.2	SW	13.5	15.76	21.9	(6.0)	15.9	12
C	0.0	SSW	4.5	SSW	5.8	SSW	7.0	SW	9.2	5.07	12.6	0.0	12.6	13
SSW	7.9	SSW	6.3	S	4.7	SW	5.1	S	4.7	9.25	13.2	4.7	8.5	24
S	8.9	S	9.9	SSW	10.9	SW	13.7	SW	16.3	5.43	16.3	0.0	16.3	15
SSW	11.0	SSW	8.3	SSW	7.2	SSW	6.4	SSW	5.8	15.57	19.8	5.8	14.0	16
SW	15.3	SW	16.1	SW	14.2	SW	11.3	SW	8.7	8.38	16.2	1.2	15.0	17
S	6.7	S	5.8	SSW	6.4	SSW	5.2	SSW	4.1	3.01	9.8	4.1	5.7	18
WSW	19.1	WSW	18.5	WSW	19.8	WSW	19.1	WSW	18.7	14.06	19.9	1.9	18.0	19
WSW	16.6	WSW	17.3	WSW	17.5	WSW	16.2	WSW	15.1	17.93	20.5	15.1	5.4	20
SW	6.7	SW	7.0	WSW	6.9	WSW	7.7	SSW	5.6	3.83	13.0	5.6	7.4	21
ENE	1.5	E	2.5	C	1.3	C	1.1	C	0.0	1.66	6.7	0.0	6.7	22
Var	4.9	Var	4.8	Var	4.3	Var	4.2	Var	3.6	3.27	5.5	0.0	5.5	23
WSW	23.8	WSW	23.9	WSW	25.7	WSW	26.4	WSW	25.5	16.08	26.4	5.1	21.3	24
WSW	22.0	WSW	22.6	WSW	24.3	SW	24.0	SW	21.5	23.53	26.0	21.0	5.0	25
WSW	19.9	WSW	18.5	SW	17.9	WSW	18.8	WSW	20.1	20.65	24.6	17.9	6.7	26
SSW	10.4	SW	7.9	SSW	7.3	SSW	6.1	SSW	6.1	16.54	21.6	6.1	15.5	27
SW	15.7	SW	14.7	SW	15.7	SW	16.0	SW	16.2	10.04	16.2	0.0	16.2	28
SW	17.6	SW	16.3	WSW	16.0	WSW	16.5	WSW	16.1	17.99	20.3	16.0	4.3	29
SW	7.5	SW	7.9	SW	6.4	E	3.0	C	1.1	12.55	19.8	1.1	18.7	30
SW	12.5	SW	13.0	SW	13.5	SW	15.0	SW	15.5	9.03	15.5	0.0	15.5	31
.	9.29	.	9.07	.	9.04	.	8.74	.	8.49	9.20	14.25	3.72	10.53	Med.
S: 48 (71); SSW: 96 (141); SW: 154 (226); WSW: 150 (220); W: 1 (1); WNW: 0 (0); NW: 2 (3); NNW: 0 (0); Observationszahl: 682 (1000).														

Windrichtung—Windgeschwindigkeit

Höhe des Anemometers: 2 m. über Erdoberfläche; 4 m. über Meeresniveau

November 1902

Dat.	1 a. m.		2 a. m.		3 a. m.		4 a. m.		5 a. m.		6 a. m.	
		m/s		m/s		m/s		m/s		m/s		m/s
1	SW	16.1	SW	15.0	SW	15.1	SW	14.2	SW	14.4	SW	15.8
2	S	6.3	SSW	7.2	SW	6.5	SSW	7.2	SSW	7.3	S	7.3
3	SW	(14.6)	SW	(13.9)	SW	13.2	WSW	17.0	WSW	15.7	WSW	16.1
4	WSW	14.4	SW	16.1	SW	13.2	SW	15.5	SW	17.6	SW	16.6
5	SW	2.6	S	4.0	S	(5.5)	SSW	7.0	SSW	7.4	SSW	(7.2)
6	SW	16.5	SW	13.3	SSW	10.0	SSW	10.2	SW	10.1	SW	15.2
7	C	0.0	C	0.0	C	0.0	C	0.0	C	0.0	C	1.5
8	NE	3.5	NE	2.2	NE	3.4	NE	1.7	NE	2.7	NE	4.7
9	SW	12.5	SW	5.1	SSW	9.6	SSW	9.5	SW	6.8	SW	5.8
10	SW	22.2	WSW	17.6	WSW	15.9	WSW	16.7	WSW	16.2	WSW	17.3
11	WSW	12.4	WSW	13.4	WSW	(13.8)	WSW	14.4	WSW	(14.5)	WSW	14.7
12	WSW	12.8	WSW	(14.1)	WSW	15.4	WSW	(14.4)	WSW	13.5	WSW	(14.2)
13	WSW	12.4	WSW	(14.6)	WSW	16.8	WSW	(15.0)	WSW	(13.5)	WSW	11.9
14	SW	6.3	SW	6.2	SW	6.2	SSW	6.9	SSW	7.6	SSW	(6.9)
15	SSW	3.8	SSW	3.4	SSW	3.9	SSW	3.1	SW	2.9	SSW	3.8
16	WSW	10.7	WSW	12.3	WSW	13.3	WSW	13.5	SW	13.1	WSW	13.1
17	WSW	14.6	SW	16.1	SSW	14.7	SW	13.9	SW	15.0	WSW	16.2
18	SSW	8.6	SSW	9.6	SSW	6.9	SSW	6.5	SSW	8.0	SSW	8.7
19	SW	12.5	SW	12.1	SW	12.3	SSW	11.4	SSW	10.6	SSW	9.3
20	E	2.8	E	(2.6)	S	2.4	.	(1.6)	.	0.8	C	0.0
21	Var	4.0	.	5.3	Var	3.5	.	3.1	NW	2.7	Var	2.3
22	SSW	7.9	SSW	8.4	SSW	7.9	SSW	7.3	SSW	8.1	SW	8.9
23	NNW	1.3	C	1.1	C	1.1	C	0.0	C	0.0	C	0.0
24	E	4.0	ENE	4.3	NE	4.2	ENE	4.6	ENE	3.5	ENE	3.5
25	NNE	4.7	NNE	1.8	NE	2.5	NE	4.8	NE	7.1	NE	7.2
26	SSW	3.9	SSW	4.5	SSW	2.9	SSW	3.2	SSW	3.5	SSW	4.1
27	SW	11.4	SW	12.5	SW	12.7	SW	11.9	SW	13.3	SW	12.8
28	SW	14.2	SW	(13.6)	WSW	13.0	SW	10.4	SW	8.9	SW	7.5
29	N	3.4	NNE	3.2	NE	3.3	NE	2.2	NE	2.6	NE	2.5
30	C	1.6	C	1.3	C	1.3	SE	1.6	S	2.3	C	2.4
Med.		8.73		8.50		8.35		8.29		8.32		8.53

Windrichtung—Windgeschwindigkeit

Höhe des Anemometers: 2 m. über Erdfläche; 4 m. über Meeresniveau

1902 November

7 a. m.		8 a. m.		9 a. m.		10 a. m.		11 a. m.		Mttg.	Dat.	
	m/s		m/s		m/s		m/s		m/s			
SW	15.3	SSW	14.9	SSW	16.9	SSW	14.9	S	14.7	SSW	15.3	1
S	7.4	SSW	9.0	SW	12.5	SW	(14.2)	SW	15.9	SW	14.4	2
WSW	16.5	WSW	17.2	SW	13.4	WSW	16.1	SW	15.9	SW	17.4	3
SW	16.5	SW	16.6	SSW	16.5	SSW	12.1	WSW	7.8	SW	10.1	4
SSW	7.0	WSW	6.4	SW	6.9	WSW	7.2	SW	8.3	SSW	8.4	5
SSW	16.8	WSW	16.8	SW	16.1	SW	15.4	WSW	14.9	SW	14.5	6
C	1.5	C	3.0	NE	4.0	NE	4.9	NE	5.5	NE	5.0	7
NE	3.9	NE	4.8	NE	4.2	C	1.3	C	1.5	C	0.0	8
SSW	3.9	SW	5.1	WSW	7.9	WSW	8.2	WSW	6.4	SW	5.4	9
WSW	16.1	WSW	14.9	SW	12.6	SW	11.5	SW	11.2	SW	11.1	10
WSW	(15.4)	WSW	16.1	WSW	(16.2)	WSW	16.4	WSW	(15.4)	WSW	14.4	11
WSW	(15.0)	WSW	15.7	WSW	(16.3)	WSW	17.0	WSW	15.9	WSW	14.8	12
WSW	(11.6)	WSW	11.3	WSW	(11.3)	WSW	11.4	WSW	(11.4)	WSW	11.4	13
SSW	6.3	SSW	(7.8)	SSW	9.3	SSW	5.6	SSW	(5.3)	SW	4.9	14
S	3.4	SW	3.7	SSW	3.8	SW	4.2	WSW	7.5	WSW	9.3	15
WSW	12.1	SW	11.5	WSW	12.2	WSW	13.1	WSW	13.0	WSW	15.3	16
SW	15.5	SW	13.8	SSW	11.2	SSW	11.8	SSW	9.9	SW	11.0	17
SSW	9.1	SSW	9.0	SSW	11.3	SSW	12.2	SSW	11.3	SSW	13.6	18
SSW	8.3	SSW	8.1	SSW	7.2	SSW	7.1	SSW	7.8	SSW	7.1	19
C	1.7	S	2.0	SSE	2.5	SSE	2.7	SW	3.2	SW	4.7	20
Var	2.2	Var	2.8	S	2.5	Var	2.4	Var	2.9	S	2.5	21
WSW	7.7	SSW	7.0	SW	6.5	SSW	5.9	WSW	5.2	SW	3.5	22
C	1.1	NNW	2.0	W	2.2	WNW	3.1	SSW	5.1	SSW	4.0	23
ENE	3.1	ENE	3.2	ENE	3.3	NNE	3.1	NNE	3.3	NNE	3.8	24
NE	7.9	NE	8.3	NE	10.2	NE	10.1	NE	9.6	NE	9.8	25
SSW	4.8	SSW	4.8	SW	6.3	SSW	6.9	SSW	7.4	SW	7.5	26
SW	14.0	SW	15.0	SW	15.3	SW	17.1	SW	17.5	SW	17.9	27
S	3.6	SSW	5.9	SSW	5.7	WSW	5.6	SSW	5.8	WSW	5.1	28
NE	2.5	NE	1.8	C	1.8	C	1.3	SW	2.4	WNW	2.2	29
ENE	1.8	S	1.9	S	1.7	S	(2.0)	SSE	(2.3)	S	(2.6)	30
	8.49		8.68		9.09		8.83		8.88		8.92	Med.

Windrichtung—Windgeschwindigkeit

Höhe des Anemometers: 2 m. über Erdfläche; 4 m. über Meeresniveau

November 1902

Dat.	1 p. m.		2 p. m.		3 p. m.		4 p. m.		5 p. m.		6 p. m.		7 p. m.	
		m/s		m/s		m/s		m/s		m/s		m/s		m/s
1	SSW	14.9	SSW	14.4	SSW	15.5	SW	13.5	S	11.0	SSW	10.2	SSW	9.5
2	WSW	18.3	WSW	16.8	WSW	15.7	WSW	15.1	WSW	15.2	WSW	14.9	SW	14.2
3	SW	17.0	SW	16.0	SW	15.6	SW	14.8	SW	14.1	WSW	14.4	SW	12.5
4	SSW	9.5	SSW	(8.5)	SSW	(7.5)	SSW	6.5	SW	5.4	SW	4.5	C	2.8
5	SW	9.5	SW	10.8	SW	11.9	SSW	13.2	WSW	10.8	SW	10.8	WSW	14.7
6	SW	13.0	WSW	12.5	WSW	11.3	WSW	9.6	SSW	7.8	SSW	7.7	SSW	6.0
7	NNE	3.4	NNE	3.9	NNE	3.7	NNE	3.4	NE	3.0	NE	2.7	NE	2.7
8	C	0.0	NNE	1.7	C	0.0	C	0.0	C	0.0	SSE	7.2	SSW	7.8
9	WSW	(6.2)	WSW	(7.0)	WSW	(7.8)	WSW	(8.6)	WSW	9.3	WSW	9.3	SW	10.3
10	SW	3.9	SW	8.4	SW	(9.2)	SW	10.0	SSW	11.3	SSW	10.8	SW	12.6
11	WSW	(14.7)	WSW	15.1	WSW	(14.6)	WSW	14.1	WSW	(14.9)	WSW	15.7	WSW	(15.1)
12	WSW	(14.8)	WSW	14.8	WSW	(14.7)	WSW	14.6	WSW	(14.0)	WSW	13.4	WSW	12.6
13	WSW	10.5	WSW	9.7	WSW	11.1	WSW	12.5	WSW	10.5	WSW	8.6	SW	(8.3)
14	SW	5.6	SSW	8.4	SW	5.0	SW	4.2	SSW	4.3	SSW	4.1	SSW	3.3
15	WSW	7.9	WSW	9.8	WSW	10.5	WSW	10.9	WSW	12.0	WSW	10.9	WSW	9.6
16	WSW	15.8	WSW	16.3	WSW	16.8	WSW	15.5	WSW	15.1	WSW	14.9	SW	14.2
17	SW	11.6	WSW	12.1	SSW	12.7	SW	12.7	SW	12.8	WSW	11.9	SW	9.3
18	SW	15.1	SW	16.2	SW	15.2	SW	14.3	SW	14.9	SW	14.4	SW	13.3
19	WSW	6.9	WSW	7.2	SW	6.2	SW	5.5	S	3.4	SW	5.2	SW	(3.1)
20	SSE	3.2	S	3.2	Var	2.6	E	2.6	SSW	2.9	SSW	2.9	S	2.8
21	S	3.0	SSW	2.8	S	2.0	S	2.2	SW	2.2	SW	3.6	SW	3.5
22	SW	3.4	S	3.8	S	3.3	S	3.1	S	3.2	SW	3.8	SW	3.2
23	SSW	5.0	SSW	5.2	SW	5.0	SSW	3.6	S	2.4	S	3.0	S	2.5
24	NNE	4.5	NNE	4.8	NNE	5.5	NE	5.5	NNE	5.6	NNE	5.1	NNE	5.1
25	NNE	9.9	NNE	10.2	NNE	9.7	NNE	8.7	NNE	7.9	NE	7.1	SSW	7.3
26	SW	7.0	WSW	7.1	SW	7.5	SW	7.8	SW	7.1	SW	7.4	SSW	7.5
27	SW	17.0	SW	16.1	SW	17.2	SW	15.8	SW	15.4	SW	14.5	SW	13.9
28	S	2.8	SSE	2.3	SSE	3.1	SSE	3.1	SSE	3.3	Var	3.0	ENE	3.1
29	NNW	1.6	ENE	2.9	NE	3.0	C	2.3	C	1.6	C	1.5	C	2.0
30	Var	2.9	SE	2.6	S	2.6	S	2.6	S	1.9	S	2.0	SW	1.7
Med.		8.83		9.02		8.88		8.54		8.11		8.12		7.82
N: 1 (1); NNE: 25 (35); NE: 45 (63); ENE: 10 (14); E: 9 (12); ESE: 2 (3); SE: 1 (1); SSE: 10 (14); C: 45 (63); Var: 18 (25);														

Windrichtung—Windgeschwindigkeit

Höhe des Anemometers: 2 m. über Erdofläche; 4 m. über Meeresniveau

1902 November

8 p. m.		9 p. m.		10 p. m.		11 p. m.		Mtn.		Med.		Mex.		Min.	Diff.	Dat.
	m/s		m/s		m/s		m/s		m/s		m/s		m/s		m/s	
SSW	9.0	SSW	8.7	SSW	6.7	SSW	6.7	SSW	6.6	12.89	16.9	6.6	10.3			1
SW	(15.8)	SW	(17.4)	WSW	19.1	SW	17.2	SW	15.2	12.92	19.1	6.3	12.8			2
SW	11.1	SW	12.3	WSW	13.2	SW	10.1	WSW	12.2	14.80	18.4	10.1	8.3			3
C	2.1	C	0.0	C	1.5	C	1.6	SW	1.7	9.36	17.6	0.0	17.6			4
WSW	13.6	SW	16.0	SW	16.5	SW	16.8	SW	14.1	9.86	16.8	2.6	14.2			5
SSW	4.8	S	4.2	C	1.5	C	0.0	C	0.0	10.34	16.8	0.0	16.8			6
NE	3.6	C	1.5	NE	2.8	NE	2.3	NE	2.8	2.55	5.5	0.0	5.5			7
SW	8.1	WSW	10.6	WSW	10.8	WSW	14.4	SW	15.4	4.58	15.4	0.0	15.4			8
WSW	13.3	WSW	15.9	WSW	20.1	WSW	18.1	WSW	20.2	9.68	20.2	3.9	16.3			9
SW	(12.7)	SW	12.9	WSW	(13.2)	WSW	(13.4)	WSW	12.9	13.36	22.2	8.4	13.8			10
WSW	14.5	WSW	(14.4)	WSW	14.4	WSW	13.6	WSW	13.2	14.64	16.4	12.4	4.0			11
WSW	11.9	WSW	11.3	WSW	11.1	WSW	10.9	WSW	11.6	13.95	17.0	10.9	6.1			12
WSW	7.9	WSW	8.5	WSW	(8.0)	SW	7.5	SW	(6.9)	10.94	16.8	6.9	9.9			13
SSW	3.0	SSW	3.8	SSW	4.7	SSW	4.1	SSE	3.4	5.55	9.3	3.0	6.3			14
WSW	9.9	WSW	10.5	WSW	10.1	WSW	8.8	WSW	8.8	7.19	12.0	2.9	9.1			15
SW	14.9	WSW	14.3	WSW	13.2	WSW	13.8	WSW	13.5	13.90	16.8	10.7	6.1			16
SSW	9.5	SSW	6.6	SSW	8.3	SSW	8.5	S	9.1	12.03	16.2	6.6	9.6			17
SW	13.1	SW	13.1	SW	12.8	SW	12.6	SW	11.8	11.73	16.2	6.5	9.7			18
SW	(2.9)	SSW	(2.8)	SSW	2.6	SSW	2.7	SSW	2.8	6.80	12.5	2.6	9.9			19
Var	3.1	NNW	3.1	Var	3.1	Var	3.6	Var	4.1	2.68	4.7	0.0	4.7			20
SW	2.6	SW	3.8	SW	4.9	SW	6.7	SW	7.7	3.38	4.9	2.0	2.9			21
SW	4.0	SW	3.3	SW	2.8	SW	1.9	Var	1.7	5.07	8.9	1.7	7.2			22
Var	1.9	E	2.4	ESE	3.4	ESE	4.0	E	4.0	2.67	5.2	0.0	5.2			23
NNE	4.7	NE	(4.8)	NE	5.0	NE	7.0	NE	7.2	4.53	7.2	3.1	4.1			24
SSW	7.7	SSW	7.3	SSW	7.4	SSW	6.3	SSW	4.3	7.41	10.2	1.8	8.4			25
SW	6.7	SW	7.0	SW	8.9	SW	10.3	WSW	11.1	6.47	11.1	2.9	8.2			26
SW	14.7	SW	15.0	SW	12.3	SW	13.2	SW	13.6	14.59	17.9	11.4	6.5			27
E	2.4	E	2.4	NE	3.1	NNE	3.1	NNE	3.2	5.70	14.2	2.3	11.9			28
C	1.8	S	1.5	S	1.6	W	2.5	SSW	3.3	2.28	3.4	1.3	2.1			29
S	1.8	Var	2.0	Var	2.3	C	2.6	E	2.9	2.11	2.0	1.3	1.6			30
	7.77		7.91		8.18		8.14		8.18	8.47	13.09	4.27	8.82			Med.
S: 41 (57); SSW: 137 (192); SW: 192 (268); WSW: 171 (239); W: 2 (3); WNW: 2 (3); NW: 1 (1); NNW: 4 (6); Observationszahl: 716 (1000).																

Windrichtung—Windgeschwindigkeit

Höhe des Anemometers: 2 m. über Erdfläche; 4 m. über Meeresniveau

December 1902

Dat.	1 n. m.		2 n. m.		3 n. m.		4 n. m.		5 n. m.		6 n. m.	
		m/s		m/s		m/s		m/s		m/s		m/s
1	E	3.3	.	3.5	ESE	3.4	.	3.2	E	2.9	E	3.2
2	C	0.0	C	0.0	C	0.0	C	0.0	E	1.5	ENE	2.4
3	NE	4.1	NE	4.7	ENE	5.1	ENE	4.5	ENE	4.2	ENE	3.6
4	C	1.1	C	0.0	C	1.1	C	1.1	NNE	2.0	C	1.3
5	SSW	1.7	.	1.5	C	0.0	C	0.0	C	1.1	SSW	2.2
6	SSW	4.6	SSW	5.0	SW	10.7	SW	10.4	SW	11.0	WSW	12.1
7	WSW	4.9	WSW	6.5	WSW	5.7	SW	6.1	SSW	7.7	SSW	7.7
8	NE	0.0	C	1.2	ENE	3.4	NE	2.0	NE	2.4	NE	3.9
9	NNE	1.4	C	1.0	C	0.7	C	0.0	C	0.0	NE	1.1
10	NE	1.5	C	1.2	C	0.0	C	0.0	C	0.0	C	0.0
11	WSW	5.6	WSW	5.9	SW	6.5	SW	7.0	SW	5.9	SSW	4.7
12	SSW	4.7	SSW	5.0	SSW	4.6	SSW	2.8	SSW	3.3	SSW	5.0
13	ESE	2.5	.	1.9	ESE	1.6	.	2.5	E	1.3	E	1.2
14	C	0.0	C	0.0	C	0.0	SSW	2.3	SSW	2.9	NE	1.5
15	SW	9.4	SW	8.8	SSW	7.0	SW	6.4	SW	7.3	WSW	7.4
16	SW	10.4	SW	10.7	SW	11.1	SW	11.0	SW	11.4	SW	11.1
17	SSW	4.7	SSW	4.1	SW	4.6	SW	4.6	SSW	4.8	WSW	4.5
18	SW	4.7	SSW	4.6	SSW	5.1	S	5.1	SSW	5.9	SSW	6.1
19	Var	1.7	.	1.2	SSW	1.3	SSW	1.3	SSW	2.4	Var	2.5
20	NNE	1.5	C	1.1	NE	1.3	NNE	4.0	NNE	6.3	NNE	5.6
21	Var	2.0	.	2.3	Var	2.4	.	2.4	S	3.0	S	2.0
22	NE	1.6	NE	2.0	NE	1.3	NE	1.1	C	0.0	C	0.0
23	SSW	6.2	SSW	7.3	SSW	6.9	SSW	7.0	SSW	7.0	SW	7.5
24	SSW	5.5	S	5.5	S	4.0	C	2.5	C	0.0	SSW	1.7
25	C	0.0	C	0.0	C	0.0	C	0.0	C	0.0	C	0.0
26	SSW	8.5	SSW	7.8	SSW	7.8	SSW	9.3	SSW	9.6	SSW	9.4
27	WSW	8.6	SW	3.8	SSW	7.9	SSW	8.0	SSW	7.9	SSW	7.0
28	WSW	10.5	WSW	10.2	WSW	8.7	SW	9.2	SW	9.7	SW	9.7
29	S	1.2	C	1.2	C	0.0	C	0.0	C	0.0	C	0.0
30	SSW	2.0	SSW	2.2	S	3.0	S	4.8	S	4.6	S	4.0
31	Var	1.8	.	1.3	Var	1.7	.	1.3	Var	1.5	Var	1.8
Med.		3.73		3.76		3.76		3.87		4.12		4.19

Windrichtung—Windgeschwindigkeit

Höhe des Anemometers: 2 m. über Erdoberfläche; 4 m. über Meeresebene

1902 December

7 a. m.		8 a. m.		9 a. m.		10 a. m.		11 a. m.		Mittg.		Dat.
	m/s		m/s		m/s		m/s		m/s		m/s	
E	3.5	Var	3.2	Var	3.2	E	3.1	E	3.1	E	3.5	1
ENE	3.3	NE	3.2	NE	3.3	NNE	3.9	NNE	4.2	NNE	4.6	2
NE	4.5	NE	4.5	NE	4.2	NE	3.9	NE	4.0	NNE	4.1	3
NNE	1.5	N	2.0	SW	4.6	WSW	4.6	WSW	4.5	WNW	2.6	4
WSW	1.6	WSW	1.5	C	1.6	W	1.8	WSW	1.9	WNW	2.6	5
WSW	12.5	WSW	11.6	WSW	9.8	WSW	14.0	WSW	12.2	WSW	11.4	6
SSW	6.9	SW	7.0	SW	7.3	SW	6.9	WSW	7.1	WSW	6.2	7
NE	4.5	NNE	4.9	NE	4.8	NNE	4.6	NNE	5.1	NNE	4.1	8
NE	3.4	NNE	4.7	NE	4.8	NE	4.1	NNE	4.0	NNE	3.9	9
C	1.1	C	0.0	C	0.0	C	0.0	C	0.0	C	1.1	10
SSW	5.5	SSW	4.9	SSW	4.7	WSW	5.7	WSW	5.7	WSW	5.0	11
SW	6.4	SSW	6.9	SSW	7.5	SSW	7.8	SSW	7.5	SSW	7.2	12
WSW	3.1	SSW	4.8	WSW	5.3	SSW	5.5	SSW	5.7	SW	5.5	13
NE	1.7	SSE	1.6	ENE	1.8	SW	2.5	SSW	2.2	Var	2.6	14
WSW	7.9	WSW	6.9	WSW	3.8	N	0.0	NNE	1.0	NNE	0.0	15
SW	11.2	SSW	11.5	SSW	10.7	SSW	9.3	SSW	8.9	SSW	8.6	16
WSW	4.2	SSW	4.8	SSW	5.2	S	6.2	S	6.9	SSW	6.6	17
WSW	6.1	WSW	5.9	WSW	6.3	SW	6.4	SSW	5.7	SW	6.3	18
ESE	2.2	Var	2.0	NNE	2.1	Var	2.3	S	1.6	Var	2.2	19
NNE	4.9	NNE	5.7	NE	5.8	NE	5.6	NNE	6.1	NE	5.5	20
SSW	3.1	S	2.6	SSW	3.8	S	2.2	S	2.2	S	1.7	21
C	0.0	C	0.0	C	0.0	C	1.7	N	1.3	NNE	1.9	22
SW	8.0	SSW	8.0	SSW	7.7	SSW	8.0	WSW	8.6	SW	9.1	23
SSW	1.2	SW	2.9	NE	1.2	N	0.0	C	0.0	WNW	0.0	24
C	0.0	C	0.0	C	0.0	C	0.0	WSW	1.7	WSW	3.8	25
SSW	10.3	SW	10.7	SW	10.4	WSW	11.0	WSW	12.1	WSW	11.8	26
SW	7.9	WSW	11.0	WSW	12.0	WSW	12.0	WSW	10.9	WSW	11.6	27
SSW	10.2	SW	10.6	WSW	10.9	WSW	10.6	WSW	9.8	WSW	9.8	28
NE	1.9	ENE	3.5	NE	4.3	ENE	5.0	NE	4.7	NE	4.7	29
S	2.5	Var	2.0	Var	1.9	Var	2.0	Var	2.0	NE	2.8	30
ENE	2.2	ENE	1.9	N	1.7	E	2.2	NNE	1.9	NNE	2.0	31
	4.62		4.86		4.86		4.93		4.92		4.90	Med.

Windrichtung—Windgeschwindigkeit

Höhe des Anemometers: 2 m. über Erdoberfläche; 4 m. über Meeresniveau

December 1902

Dat.	1 p. m.		2 p. m.		3 p. m.		4 p. m.		5 p. m.		6 p. m.		7 p. m.	
		m/s		m/s		m/s		m/s		m/s		m/s		m/s
1	E	3.8	E	3.4	ENE	3.3	ENE	3.6	ENE	3.0	ENE	3.1	Var	2.3
2	NNE	4.7	NNE	4.7	NNE	4.7	NE	4.8	NE	4.8	NNE	4.5	NE	4.1
3	NE	4.3	NE	4.7	NE	4.3	NE	4.0	NE	4.0	NE	3.5	NE	3.4
4	W	2.9	WNW	3.0	S	2.9	Var	3.1	E	2.2	S	1.9	ENE	2.2
5	WSW	2.2	Var	2.3	Var	2.5	E	3.4	E	2.8	WSW	2.4	WSW	2.8
6	WSW	11.9	WSW	11.5	WSW	8.5	WSW	7.8	WSW	8.6	WSW	7.5	WSW	6.1
7	WSW	6.7	WSW	6.4	SW	5.0	S	3.0	SW	0.0	S.	0.0	S	0.0
8	NNE	4.6	NNE	4.2	NNE	4.0	NNE	3.4	NNE	3.4	NE	3.0	NE	1.9
9	NNE	2.9	NNE	4.1	NE	3.5	NE	2.2	NE	3.3	NE	2.2	NE	2.9
10	NW	1.5	SSE	1.9	SSW	2.3	SSW	2.4	WSW	2.9	W	3.9	WSW	4.7
11	WSW	5.1	WSW	4.9	WSW	3.9	WSW	1.1	C	1.7	WSW	5.8	SW	6.2
12	SSW	6.4	SSW	6.4	SSW	5.6	SSW	4.9	SSW	4.2	Var	1.7	C	1.1
13	WSW	5.5	WSW	4.2	SW	2.8	C	1.5	C	1.1	ENE	1.3	NE	1.6
14	E	2.2	E	2.2	E	3.2	E	3.0	E	3.4	SW	8.6	SW	8.6
15	NE	1.2	ENE	3.1	ENE	3.5	E	3.8	Var	2.2	S	3.1	SSW	3.9
16	SSW	8.0	SSW	7.4	SSW	7.3	SSW	6.5	SSW	6.7	SSW	6.1	SSW	5.7
17	SSW	6.1	SSW	6.6	SSW	6.2	SSW	5.8	SSW	5.8	SSW	6.1	SSW	6.5
18	SW	6.3	SSW	5.5	WSW	5.3	SSW	4.3	SSE	3.9	SSW	2.4	SSW	3.5
19	Var	2.5	Var	2.9	E	3.1	E	2.6	E	2.6	ENE	2.8	ENE	2.2
20	NNE	4.7	NNE	4.9	NE	5.0	NE	4.1	E	2.6	E	2.4	E	1.9
21	S	2.4	S	2.4	SSW	2.3	C	1.7	E	1.6	NNE	1.5	C	0.0
22	NNE	2.8	NNE	2.5	NNE	2.9	NE	2.5	NE	2.6	NNE	3.0	NEN	3.4
23	WSW	9.1	WSW	9.0	WSW	9.4	WSW	8.9	WSW	8.9	WSW	9.1	WSW	8.4
24	WNW	1.6	WSW	3.8	WSW	4.7	WSW	5.1	WSW	5.1	W	3.6	SSW	3.8
25	SW	6.3	SSW	6.4	WSW	6.1	SW	7.2	WSW	8.2	SW	8.1	SW	7.7
26	WSW	11.4	SW	10.9	SW	11.0	WSW	13.1	WSW	12.2	WSW	13.0	WSW	12.1
27	WSW	12.2	WSW	11.6	WSW	11.1	SW	11.0	SW	9.1	WSW	9.9	WSW	9.3
28	WSW	9.0	WSW	7.9	WSW	8.4	SW	8.0	SSW	6.7	SSW	7.0	SSW	6.3
29	NE	5.2	NE	5.5	NE	4.6	NE	4.5	NNE	4.0	NE	3.9	NNE	3.5
30	NE	2.7	SSW	2.0	SSE	2.0	ENE	2.4	ENE	2.9	ENE	2.4	Var	2.5
31	N	2.0	NNE	2.3	N	2.5	NNE	2.8	NE	3.1	NNE	3.3	NE	3.6
Med.		5.10		5.12		4.90		4.61		4.31		4.42		4.35
N: 7 (10); NNE: 59 (81); NE: 89 (121); ENE: 33 (45); E: 38 (52); ESE: 5 (7); SE: 6 (8); SSE: 5 (7); C: 83 (113); Var: 34 (46);														

Windrichtung—Windgeschwindigkeit

Höhe des Anemometers: 2 m. über Erdofläche; 4 m. über Meeresniveau

1902 December

	8 p. m.	9 p. m.	10 p. m.	11 p. m.	Mtn.	Med.	Max.	Min.	Diff.	Dat.				
Var	m/s 2.0	C	m/s 1.5	C	m/s 1.1	C	m/s 0.0	C	m/s 0.0	2.75	3.8	0.0	3.8	1
NE	5.0	NE	5.0	NE	4.7	NNE	4.7	NNE	4.8	3.45	5.0	0.0	5.0	2
NE	2.8	NE	2.0	C	0.0	C	1.3	C	1.1	3.62	5.1	0.0	5.1	3
C	0.0	C	1.6	C	1.6	C	1.2	SSW	1.3	2.10	4.6	0.0	4.6	4
WSW	2.5	SW	2.9	SW	3.5	S	3.2	S	3.4	2.12	3.5	0.0	3.5	5
SW	8.2	SW	8.0	SW	7.5	SW	7.2	SW	7.1	9.51	14.0	4.6	9.4	6
ENE	1.2	ENE	0.0	ENE	1.1	ENE	0.0	NE	0.0	4.31	7.7	0.0	7.7	7
NNE	1.5	NNE	1.9	NNE	1.3	NE	1.5	NE	1.7	3.04	5.1	0.0	5.1	8
NE	3.1	NNE	2.5	NNE	2.9	NNE	2.0	NE	2.5	2.63	4.8	0.0	4.8	9
WSW	5.5	WSW	6.1	WSW	5.6	WSW	7.1	WSW	6.2	2.29	7.1	0.0	7.1	10
SSW	4.8	WSW	5.6	SW	6.9	SW	5.5	SSW	4.9	5.17	7.0	1.6	5.4	11
Var	1.2	SE	1.3	SE	1.2	SE	0.0	SE	1.2	4.33	7.8	0.0	7.8	12
SE	1.9	SE	3.2	C	1.6	E	1.2	C	1.1	2.83	5.7	1.1	4.6	13
SW	10.4	SW	10.5	SW	10.6	SW	9.8	SW	10.1	4.23	10.6	0.0	10.6	14
S	6.1	SSW	5.9	SSW	6.9	SW	7.3	SW	9.8	5.11	9.8	0.0	9.8	15
SSW	6.7	SSW	6.5	SW	5.8	SW	4.8	SSW	4.7	8.42	11.4	4.7	6.7	16
SSW	7.0	SSW	6.2	SSW	6.7	SSW	5.8	SSW	5.8	5.66	7.0	4.1	2.9	17
SSW	3.3	SSW	1.1	W	2.0	SSW	3.3	S	3.4	4.69	6.4	1.1	5.3	18
C	1.1	C	0.0	C	1.1	E	1.3	C	0.0	1.87	3.1	0.0	3.1	19
NE	1.7	E	2.4	Var	2.4	Var	1.9	Var	1.6	3.71	6.3	1.1	5.2	20
NNE	1.2	NE	1.2	NE	1.9	NE	1.8	NE	1.7	2.06	3.1	1.2	1.9	21
ENE	3.2	ENE	2.8	NE	2.9	NE	1.9	NE	1.7	1.80	3.4	0.0	3.4	22
SSW	8.0	SSW	6.7	SSW	7.4	SSW	5.9	S	5.2	7.80	9.4	5.2	4.2	23
SW	4.0	SSW	1.3	C	0.0	C	0.0	C	0.0	2.40	5.5	0.0	5.5	24
SW	6.9	SSW	7.1	SSW	6.9	SSW	7.0	SSW	7.9	3.80	8.2	0.0	8.2	25
WSW	11.8	SW	12.8	WSW	11.8	WSW	11.3	WSW	10.6	10.86	13.1	7.8	5.3	26
WSW	9.3	WSW	8.8	SW	9.1	WSW	9.0	WSW	9.8	9.74	12.2	7.0	5.2	27
S	3.0	S	3.5	SSE	3.6	Var	3.1	S	1.6	7.83	10.9	1.6	6.3	28
E	1.7	E	3.1	SW	2.2	Var	1.7	SSW	1.8	2.82	5.5	0.0	5.5	29
E	3.1	E	2.6	E	2.3	E	2.4	ESE	2.5	2.65	4.8	1.9	2.9	30
NE	3.1	NE	2.5	NE	3.5	NE	4.7	NE	4.9	2.48	4.9	1.3	3.6	31
	4.24		4.08		4.07		3.80		3.82	4.39	6.99	1.43	5.56	Med.
S: 34 (46); SSW: 134 (183); SW: 81 (110); WSW: 115 (156); W: 5 (7); WNW: 5 (7); NW: 1 (1); NNW: 0 (0);														
Observationszahl: 734 (1000).														

Windrichtung—Windgeschwindigkeit

Höhe des Anemometers: 2 m. über Erdofläche; 4 m. über Meeresniveau

Januari 1903

Dat.	1 a. m.		2 a. m.		3 a. m.		4 a. m.		5 a. m.		6 a. m.	
		m/s		m/s		m/s		m/s		m/s		m/s
1	NE	5.1	NE	5.2	NE	5.1	NE	4.9	NE	5.1	NE	4.9
2	NE	5.7	ENE	6.7	ENE	5.8	NE	7.4	ENE	7.9	NE	7.8
3	NE	7.2	NE	6.1	NE	6.1	NE	5.6	ENE	6.9	ENE	7.4
4	SSW	1.5	NNE	1.2	C	1.1	C	0.0	C	0.0	C	0.0
5	ENE	5.8	NE	5.2	NE	6.8	NE	5.5	NE	3.7	ENE	3.6
6	SW	12.8	SW	12.4	SSW	14.2	SW	12.0	WSW	9.1	WSW	11.6
7	SSW	7.4	SSW	6.8	SSW	5.0	SSW	3.7	SSW	1.5	SSW	(3.2)
8	C	1.2	C	1.2	NE	1.9	NE	(2.0)	NE	3.1	NE	3.4
9	SSW	5.0	SW	4.9	WSW	7.2	SW	7.2	SSW	7.0	SW	7.1
10	SW	5.7	SSW	6.6	SSW	6.5	SW	7.1	SSW	5.6	SSW	4.2
11	SSW	10.9	SSW	11.5	SSW	9.3	SSW	7.7	SSW	7.7	SSW	5.6
12	S	4.1	.	.	C	0.0	C	0.0	C	1.1	C	1.1
13	NE	3.4	.	3.1	E	2.8	.	2.5	SSE	1.5	SW	2.4
14	SSW	1.9	SSW	2.9	S	3.5	S	3.8	SSE	3.3	SSE	3.0
15	NE	3.2	NE	(2.8)	ENE	2.5	.	2.4	Var	2.3	Var	2.5
16	SSW	5.5	S	4.9	SSW	5.6	S	5.2	SSW	4.3	SSW	3.1
17	NE	4.2	NE	4.6	NE	4.9	NE	(5.1)	NE	5.3	NNE	5.1
18	SSW	4.3	SSW	4.5	SSW	5.1	S	4.9	S	4.5	S	3.6
19	C	1.1	.	3.6	SSW	4.7	SSW	4.8	S	4.3	SSW	4.7
20	NE	3.4	NE	3.5	NNE	3.5	NNE	3.3	NNE	2.6	NNE	2.2
21	C	1.9	C	1.2	NE	1.3	C	1.1	NNE	1.1	C	1.2
22	NE	1.3	.	1.3	C	1.3	C	0.0	C	0.0	C	0.0
23	WSW	5.3	SW	4.6	SSW	5.6	SSW	6.9	SSW	5.9	SSW	5.0
24	NE	4.2	ENE	4.5	NE	4.9	NE	5.0	NNE	4.9	NE	4.6
25	NE	5.7	NE	5.7	NE	4.5	NNE	4.8	NNE	4.1	NE	3.2
26	SW	5.2	SW	5.0	SW	5.1	SW	5.1	SW	4.2	SW	4.6
27	SE	1.8	.	2.2	S	1.8	.	3.0	SE	2.9	SE	3.2
28	SSW	3.6	SSW	4.1	SSW	4.3	SSW	5.2	SSW	6.2	SSW	5.7
29	WSW	12.2	WSW	12.1	WSW	12.2	WSW	11.5	WSW	11.6	WSW	11.8
30	WSW	8.0	WSW	8.1	WSW	7.5	WSW	7.8	WSW	8.0	WSW	7.2
31	SSW	4.1	SSW	3.9	SSW	3.6	SSW	4.1	SSW	4.0	SW	3.4
Med.	.	4.93	.	5.01	.	4.96	.	4.83	.	4.51	.	4.40

Windrichtung—Windgeschwindigkeit

Höhe des Anemometers: 2 m. über Erdfläche; 4 m. über Meeresniveau

1903 Januari

7 a. m.		8 a. m.		9 a. m.		10 a. m.		11 a. m.		Mittg.		Dat.
	m/s		m/s		m/s		m/s		m/s		m/s	
NE	5.1	NE	5.8	NNE	6.6	NE	6.6	NE	7.2	NE	6.5	1
NE	8.2	NE	7.4	NE	8.3	NNE	7.7	NNE	7.0	NNE	7.2	2
ENE	8.1	NE	7.4	ENE	6.1	NE	4.9	NE	6.3	NE	5.8	3
C	1.2	NNE	3.0	NNE	3.3	NNE	3.5	NNE	4.3	NNE	3.9	4
NE	2.2	NNE	2.5	C	0.0	SW	5.3	SW	5.5	SSW	6.4	5
SW	11.3	SW	10.0	SW	11.0	SW	11.0	SSW	10.5	SSW	10.0	6
SW	5.0	WSW	6.4	WSW	6.9	SSW	6.9	SW	7.3	SW	7.8	7
NE	3.3	N	3.2	NNE	3.4	NNE	3.3	E	3.5	NNE	3.6	8
SW	9.3	WSW	9.6	SW	10.2	WSW	9.8	WSW	9.8	WSW	8.9	9
SSW	6.6	SSW	9.1	SSW	9.4	SSW	9.5	SSW	10.1	SSW	10.0	10
SSW	6.2	SSW	5.5	SSW	6.7	SSW	6.7	SSW	7.2	SSW	7.7	11
C	1.1	C	2.0	E	1.9	NNE	2.4	C	2.3	ENE	2.4	12
SW	3.5	SSW	4.8	SSW	6.5	SW	8.0	WSW	8.7	WSW	7.5	13
SSE	2.8	SSE	2.4	SW	3.1	WSW	2.8	SW	3.1	SW	3.4	14
Var	(3.1)	SSE	3.8	SSE	4.6	SSE	3.8	SSW	5.1	SW	5.3	15
SW	3.3	ENE	2.2	Var	3.2	WNW	1.7	Var	1.6	NNE	1.7	16
NE	5.3	NE	5.3	NE	5.7	NNE	5.5	NNE	5.3	NNE	4.8	17
S	3.1	S	2.6	SSW	3.0	S	3.1	S	2.9	Var	3.0	18
SSW	4.3	SSW	4.2	SSW	4.3	SSW	4.3	SSW	4.9	SSW	4.5	19
NNE	3.3	NNE	3.6	NNE	3.5	NNE	3.5	NNE	3.6	NNE	3.6	20
C	1.1	C	2.3	NW	2.2	NW	2.2	NNW	1.8	Var	2.6	21
C	1.1	NNE	1.3	NE	1.2	NE	1.2	C	1.3	NW	1.6	22
SSW	5.6	SSW	(5.1)	SSW	4.6	SSW	4.0	S	3.3	C	1.1	23
NE	5.2	NE	5.6	NE	6.2	NE	5.8	NE	8.1	NE	10.4	24
NE	3.0	NNE	1.8	C	0.0	W	2.2	S	2.4	SSW	3.1	25
SSW	4.2	SW	4.5	SSW	4.7	SSW	4.1	SW	3.4	SSW	3.2	26
SSE	4.1	SE	3.4	SE	3.4	ESE	3.8	E	4.1	ENE	3.9	27
SSW	5.9	SSW	6.2	SW	6.5	SW	6.7	WSW	6.5	SSW	5.9	28
WSW	11.9	WSW	12.0	WSW	12.3	WSW	12.2	WSW	13.0	WSW	12.7	29
WSW	6.6	WSW	7.1	WSW	7.7	WSW	7.7	WSW	6.9	WSW	6.5	30
WSW	3.2	SW	3.1	SW	3.5	SW	3.8	SSW	3.8	SSW	3.8	31
.	4.78	.	4.94	.	5.16	.	5.29	.	5.51	.	5.45	Med.

Windrichtung—Windgeschwindigkeit

Höhe des Anemometers: 2 m. über Erdoberfläche; 4 m. über Meeresniveau

Januari 1903

Dat.	1 p. m.		2 p. m.		3 p. m.		4 p. m.		5 p. m.		6 p. m.		7 p. m.	
		m/s		m/s		m/s		m/s		m/s		m/s		m/s
1	NE	6.5	NE	6.1	NE	6.4	NE	6.1	NE	5.2	NE	6.6	NE	6.7
2	NNE	5.8	NNE	5.5	NNE	6.9	NNE	7.2	NNE	6.9	NNE	5.9	NNE	6.3
3	NE	5.0	NE	4.6	NE	4.2	NNE	3.2	NNE	1.5	C	0.0	C	0.0
4	NNE	3.4	NNE	2.0	NNE	2.2	NE	4.9	NNE	1.5	NNE	2.4	NNE	2.7
5	SW	11.8	SW	11.8	SW	11.3	WSW	12.0	WSW	12.0	WSW	13.4	WSW	12.8
6	SSW	8.5	SSW	8.7	SSW	10.5	SW	9.9	SSW	8.9	SSW	6.4	SSW	9.0
7	SW	6.9	WSW	8.7	WSW	7.9	WSW	7.7	WSW	7.2	SW	6.1	SSW	5.6
8	NNE	3.4	N	3.0	NNE	2.3	ENE	3.5	ENE	3.1	NE	1.9	S	1.9
9	WSW	9.6	WSW	9.5	SSW	6.6	SSW	6.4	SSW	5.6	SSW	6.1	SSW	6.5
10	SSW	11.3	SSW	10.2	SSW	8.4	SSW	13.0	SSW	10.9	SSW	11.4	SSW	11.2
11	SSW	7.2	SSW	6.7	SSW	6.7	SSW	6.7	SSW	5.9	SSW	6.2	S	5.9
12	ENE	2.3	NNE	2.5	NNE	2.9	NNE	3.2	NNE	4.0	NNE	4.2	NNE	4.5
13	WSW	7.8	WSW	6.5	WSW	5.9	WSW	5.2	SSW	4.8	SSW	4.3	S	4.3
14	SSW	2.6	SSE	3.3	SW	1.2	SW	1.6	WSW	1.8	SW	1.8	NE	1.7
15	WSW	6.5	WSW	7.7	WSW	8.8	WSW	9.5	SW	6.4	WSW	9.3	SW	9.5
16	NNE	2.5	NNE	3.2	NNE	3.6	NNE	4.2	NNE	4.4	NNE	4.2	NNE	4.3
17	NE	5.1	NNE	4.7	ENE	3.9	ENE	4.0	ENE	3.6	ENE	3.8	E	3.4
18	SE	2.6	S	2.3	Var	1.8	Var	1.9	SW	2.2	SW	1.8	Var	1.8
19	WNW	3.5	Var	2.2	ENE	2.5	W	2.2	WNW	1.9	W	1.2	C	1.1
20	NNE	3.9	NNE	3.8	NNE	3.5	NE	3.8	NE	3.8	ENE	3.7	ENE	4.1
21	Var	2.2	Var	2.2	Var	3.4	SW	4.5	WSW	6.5	SSW	7.2	SSW	6.3
22	WNW	2.2	SE	3.8	Var	4.1	Var	3.3	WNW	2.9	E	2.6	Var	1.2
23	C	0.0	C	0.0	NNE	1.3	NE	2.8	N	2.7	NE	2.9	NE	3.0
24	NNE	9.5	NE	8.2	NNE	8.8	NNE	10.1	NNE	9.5	NE	8.2	NNE	5.8
25	WSW	4.6	WSW	6.3	SSW	6.1	SW	6.6	WSW	6.6	SW	6.7	SW	6.4
26	SSW	2.3	NE	1.7	Var	2.3	S	2.2	Var	2.5	Var	2.5	Var	2.4
27	E	3.4	E	3.5	E	3.2	E	3.4	E	3.4	ENE	3.3	E	3.1
28	SSW	6.1	SSW	6.1	SSW	6.3	SSW	5.7	SSW	5.7	SSW	7.8	SSW	7.0
29	WSW	11.5	WSW	10.7	WSW	11.3	SW	11.4	WSW	10.5	WSW	10.9	SW	11.3
30	WSW	5.8	WSW	7.4	SW	7.9	SW	7.2	SW	7.3	SW	7.1	SW	5.7
31	SSW	3.6	NE	3.4	E	3.4	NE	2.3	NNE	3.4	NNE	3.8	NE	4.0
Med.	.	5.40	.	5.37	.	5.34	.	5.67	.	5.25	.	5.28	.	5.15
N : 5 (7); NNE : 92 (124); NE : 121 (164); ENE : 33 (45); E : 13 (18); ESE : 2 (3); SE : 8 (11); SSE : 11 (15); C : 51 (69); Var : 20 (39)														

Windrichtung—Windgeschwindigkeit

Höhe des Anemometers: 2 m. über Erdfläche; 4 m. über Meeresniveau

1903 Januari

8 p. m.		9 p. m.		10 p. m.		11 p. m.		Mtn.		Med.		Max.		Min.		Diff.		Dat.	
m/s		m/s		m/s		m/s		m/s		m/s		m/s		m/s		m/s			
NNE	6.9	NE	6.1	NNE	5.2	ENE	5.7	NE	5.6	5.88	7.2	4.9	2.3						1
NE	5.7	NE	6.3	NE	7.1	NE	7.2	NE	7.0	6.87	7.9	5.5	2.4						2
C	0.0	C	0.0	C	0.0	SSW	1.2	SSW	1.5	4.13	8.1	0.0	8.1						3
NNE	6.5	NNE	7.6	NNE	7.8	NE	7.6	NE	5.8	3.23	7.8	0.0	7.8						4
WSW	12.7	WSW	12.7	WSW	15.3	SW	13.9	SW	11.4	8.48	15.3	0.0	15.3						5
SSW	8.5	SSW	7.6	SSW	8.1	SSW	7.8	SSW	8.1	9.91	14.2	6.4	7.8						6
S	3.0	C	0.0	C	0.0	C	0.0	C	0.0	5.04	8.7	0.0	8.7						7
S	1.7	S	3.0	SSW	4.2	SSW	5.0	SSW	5.3	2.98	5.3	1.2	4.1						8
SSW	6.4	SSW	6.7	SSW	6.8	SW	7.2	SSW	6.1	7.48	10.2	4.9	5.3						9
SSW	10.4	SSW	11.3	SSW	9.5	SSW	11.2	SSW	11.9	9.21	13.0	4.2	8.8						10
S	5.0	SSW	5.1	S	5.5	SSW	5.2	SSW	4.8	6.82	11.5	4.8	6.7						11
NNE	4.5	NNE	4.3	NE	3.6	NE	3.8	NE	3.8	2.70	4.5	0.0	4.5						12
SSW	4.3	SSW	4.2	S	3.3	WSW	2.3	SSW	2.4	4.58	8.7	1.5	7.2						13
Var	1.5	NE	1.6	NE	1.5	NE	3.0	NE	4.4	2.58	4.4	1.2	3.2						14
SW	7.3	SW	6.6	S	6.2	SSW	5.5	S	4.8	5.40	9.5	2.3	7.2						15
NNE	4.2	NNE	3.8	ENE	3.4	ENE	3.6	ENE	4.0	3.65	5.6	1.6	4.0						16
ESE	3.3	SE	3.1	Var	3.1	Var	2.6	SSW	4.7	4.43	5.7	2.6	3.1						17
N	1.2	W	1.6	W	2.0	C	1.1	C	1.1	2.75	5.1	1.1	4.0						18
ENE	1.8	NE	1.8	NNW	2.0	N	2.9	NNE	3.4	3.18	4.9	1.1	3.8						19
ENE	4.8	NE	4.6	ENE	4.2	ENE	3.1	NE	3.1	3.58	4.8	2.2	2.6						20
SSW	5.6	SSW	5.2	NE	3.3	NE	1.6	C	1.6	2.90	7.2	1.1	6.1						21
C	0.0	C	2.0	Var	1.7	C	1.5	C	1.6	1.64	4.1	0.0	4.1						22
NNE	3.8	NNE	3.9	NNE	4.1	NE	4.5	NE	3.8	3.74	6.9	0.0	6.9						23
NNE	6.3	NNE	4.7	NE	5.1	NE	5.3	NE	5.6	6.52	10.4	4.2	6.2						24
SW	5.7	SSW	6.4	SW	5.2	SW	5.9	SW	5.9	4.70	6.7	0.0	6.7						25
S	2.4	SSE	2.3	Var	1.7	Var	1.2	S	1.6	3.27	5.2	1.2	4.0						26
Var	2.9	Var	2.5	S	2.3	SSW	3.0	SSW	3.2	3.12	4.1	1.8	2.3						27
SSW	8.1	WSW	8.9	WSW	9.9	WSW	9.4	WSW	11.5	6.64	11.5	3.6	7.9						28
SW	11.4	WSW	11.4	WSW	8.2	WSW	6.7	WSW	7.5	11.18	13.0	6.7	6.3						29
SSW	5.3	SSW	5.2	SW	5.6	SSW	3.5	SSW	4.2	6.72	8.1	3.5	4.6						30
NE	4.0	NE	4.1	NE	3.4	NE	2.6	NE	3.1	3.56	4.1	2.3	1.8						31
.	5.01	.	4.99	.	4.82	.	4.68	.	4.80	5.06	7.86	2.26	5.60	Med.					
S: 32 (43); SSW: 165 (224); SW: 77 (105); WSW: 82 (112); W: 5 (7); WNW: 5 (7); NW: 3 (4); NNW: 2 (3); Observationszahl: 736 (1000).																			

Windrichtung—Windgeschwindigkeit

Höhe des Anemometers: 2 m. über Erdofläche; 4 m. über Meeresniveau

Februari 1903

Dat.	1 a. m.		2 a. m.		3 a. m.		4 a. m.		5 a. m.		6 a. m.	
		m/s		m/s		m/s		m/s		m/s		m/s
1	ENE	2.4	NE	1.6	NE	3.0	NE	4.1	NE	4.1	NE	4.6
2	SSW	7.3	SSW	(7.6)	SSW	7.9	SW	9.0	SW	9.8	WSW	10.1
3	SSW	7.5	SW	7.5	WSW	7.7	WSW	7.3	WSW	5.8	WSW	5.0
4	S	2.8	S	2.8	S	2.2	.	1.9	E	2.2	C	2.0
5	ENE	5.5	ENE	5.9	NE	(6.2)	NE	(6.6)	NE	7.0	NE	8.8
6	SSW	6.1	SW	4.9	SW	4.3	SW	4.1	WSW	3.9	SW	3.4
7	NNE	7.0	NNE	11.2	NNE	10.1	.	(9.3)	.	(8.6)	SW	(7.9)
8	WSW	18.9	WSW	(21.0)	WSW	23.2	WSW	22.2	WSW	21.2	WSW	20.1
9	C	0.0	C	0.0	C	0.0	C	(1.6)	NE	3.2	NE	4.5
10	WSW	7.6	WSW	8.2	SW	8.0	SSW	7.4	SSW	7.9	SSW	8.3
11	S	3.4	SSW	2.9	SSW	4.6	.	3.9	ENE	2.8	Var	1.2
12	SSW	7.8	SSW	7.2	SSW	8.5	SSW	9.8	SW	11.1	WSW	10.1
13	SW	13.8	SW	13.2	WSW	14.6	WSW	14.2	WSW	13.6	WSW	13.8
14	WSW	17.6	WSW	17.1	WSW	17.6	WSW	17.1	WSW	18.4	SW	18.6
15	SW	11.1	SW	9.3	WSW	9.3	SW	8.0	SSW	7.1	SSW	7.7
16	S	2.4	S	2.2	SSE	2.6	S	1.9	S	1.7	Var	2.5
17	SSW	7.9	SSW	(9.1)	SSW	10.4	SSW	(9.1)	SSW	7.9	SW	(8.4)
18	SW	12.8	SW	12.6	SW	12.1	WSW	10.2	WSW	11.8	WSW	13.8
19	WSW	18.6	WSW	17.7	SW	15.2	SW	12.3	SW	14.5	SW	15.7
20	SSE	1.3	.	2.0	C	1.8	.	1.3	C	0.0	NE	1.3
21	NE	8.1	NE	7.7	NE	(5.1)	NE	(4.5)	NE	2.9	C	1.3
22	SSW	8.3	SSW	7.7	SSW	10.7	SSW	9.5	SSW	9.5	SSW	6.3
23	C	0.0	C	0.0	C	0.0	C	0.0	C	0.0	C	2.3
24	SSW	3.9	SW	1.7	WSW	1.3	C	0.0	C	0.0	C	0.0
25	NE	5.0	C	2.0	SW	3.3	SW	7.4	SW	8.2	SW	7.9
26	ENE	2.8	ENE	4.0	ENE	5.1	NE	4.6	NE	5.5	NE	5.4
27	SSW	5.7	SSW	7.2	SSW	7.2	SSW	6.7	SSW	6.5	SW	2.4
28	ENE	1.6	.	(4.6)	S	7.7	SSW	10.4	SSW	9.3	SSW	9.7
Med.	.	7.04	.	7.10	.	7.49	.	7.30	.	7.30	.	7.25

Windrichtung—Windgeschwindigkeit

Höhe des Anemometers: 2 m. über Erdfläche; 4 m. über Meeresebene

1903 Februari

7 a. m.		8 a. m.		9 a. m.		10 a. m.		11 a. m.		Mittg.	Det.	
	m/s		m/s		m/s		m/s		m/s			
NE	5.7	NE	5.8	NE	7.1	NE	7.3	NE	6.5	NE	5.0	1
WSW	11.1	WSW	10.4	WSW	10.6	WSW	10.7	WSW	10.4	WSW	10.2	2
SW	6.1	SSW	7.5	SW	8.2	SW	8.9	SW	9.4	SW	8.3	3
NE	2.0	NE	2.9	E	4.0	ENE	4.1	NE	4.3	NNE	4.3	4
ENE	9.5	NE	9.8	NE	9.6	NE	9.6	NE	8.1	NE	8.0	5
SW	3.0	C	1.6	C	1.5	NW	1.9	N	2.5	N	1.7	6
SW	7.2	SW	13.3	SSW	11.1	SW	8.7	SW	9.5	WSW	9.3	7
WSW	19.0	WSW	17.9	WSW	17.0	WSW	17.5	WSW	16.8	WSW	16.4	8
NE	5.3	NE	5.9	NE	6.9	NE	7.2	NNE	8.8	NE	10.6	9
SSW	7.4	SSW	6.6	SSW	7.3	WSW	10.3	WSW	11.3	WSW	11.2	10
C	0.0	C	0.0	SSW	1.2	W	1.8	SSW	1.7	SSW	3.1	11
WSW	8.9	WSW	10.3	SW	7.1	SSW	9.9	SW	10.6	WSW	11.9	12
WSW	13.6	WSW	14.0	WSW	16.2	WSW	16.2	WSW	15.9	WSW	16.1	13
WSW	18.1	WSW	14.4	WSW	13.1	WSW	13.0	WSW	14.6	WSW	14.5	14
SSW	8.4	SSW	7.9	SSW	7.0	SSW	6.7	SSW	6.5	SSW	7.2	15
Var	3.1	Var	3.0	SSE	3.0	S	1.8	SSW	2.2	SSW	2.0	16
SW	(9.0)	SSW	9.5	SSW	9.6	SSW	8.0	SSW	8.1	WSW	8.9	17
SW	14.7	SW	15.7	WSW	14.7	WSW	14.3	WSW	14.2	WSW	14.2	18
SW	15.9	WSW	16.0	WSW	13.4	SSW	11.9	SSW	11.0	SSW	11.1	19
NE	1.9	NE	3.0	NE	3.5	NE	6.5	NNE	2.3	NNE	2.3	20
C	0.0	C	0.0	C	0.0	C	0.0	C	0.0	NE	1.8	21
SSW	7.3	SSW	9.9	SSW	9.6	SSW	8.1	SSW	8.8	SSW	7.7	22
W	2.8	C	1.2	C	1.1	C	0.0	NW	1.1	NW	1.1	23
C	1.2	NE	2.3	ENE	3.9	NNE	4.0	NNE	16.0	NNE	16.2	24
WSW	10.7	SW	11.2	SW	11.4	WSW	11.6	SW	10.6	WSW	10.3	25
NE	3.5	C	0.0	NE	1.7	NNE	2.3	NNE	1.3	NNE	1.6	26
NE	1.3	NE	2.3	NE	4.5	NNE	4.1	NNE	5.1	NE	6.1	27
SSW	7.1	SSW	5.2	SW	4.8	SW	4.0	S	2.8	NE	2.5	28
.	7.28	.	7.41	.	7.47	.	7.51	.	7.87	.	7.99	Med.

Windrichtung—Windgeschwindigkeit

Höhe des Anemometers: 2 m. über Erdfäche; 4 m. über Meeresniveau

Februari 1903

Dat.	1 p. m.		2 p. m.		3 p. m.		4 p. m.		5 p. m.		6 p. m.		7 p. m.	
		m/s		m/s		m/s		m/s		m/s		m/s		m/s
1	ENE	4.6	ENE	4.3	ENE	5.0	ENE	4.5	ENE	4.3	ESE	2.7	SW	3.3
2	WSW	9.5	WSW	10.2	WSW	8.7	WSW	6.3	WSW	6.8	WSW	5.0	WSW	7.9
3	WSW	8.6	SW	8.3	SW	8.2	WSW	8.0	SW	7.2	SW	6.4	SW	5.5
4	NNE	4.9	NNE	5.5	NNE	5.8	NNE	5.8	NNE	5.7	NNE	5.3	NNE	5.3
5	NNE	8.6	NE	8.4	NE	5.7	NE	7.8	NW	4.2	N	3.4	SSW	6.3
6	NNE	2.3	NNE	2.6	NNE	3.6	NNE	4.0	ESE	4.2	ESE	4.5	ESE	5.8
7	SW	10.2	SW	11.0	SW	12.8	SW	13.1	WSW	9.5	WSW	9.0	WSW	8.2
8	WSW	17.2	WSW	15.9	WSW	16.1	WSW	14.9	WSW	12.1	WSW	11.5	WSW	10.4
9	NE	10.2	NE	9.7	NNE	9.6	NNE	8.9	NNE	9.5	NE	6.5	NE	6.4
10	WSW	12.7	WSW	13.0	WSW	12.0	WSW	12.8	WSW	12.5	WSW	8.9	WSW	9.1
11	S	3.0	SSE	3.0	S	3.5	SW	4.5	SW	5.5	WSW	7.1	WSW	9.4
12	WSW	12.1	WSW	13.1	WSW	13.0	WSW	13.0	WSW	13.0	WSW	14.0	WSW	14.3
13	WSW	16.5	WSW	15.7	WSW	16.4	WSW	16.8	WSW	16.7	WSW	16.3	WSW	18.9
14	WSW	14.0	WSW	14.4	WSW	13.3	WSW	12.2	WSW	12.5	WSW	11.1	WSW	10.5
15	SW	6.6	SSW	6.9	SW	5.1	SSW	3.5	SSW	3.1	S	3.5	SSW	2.0
16	SSW	2.9	Var	2.9	Var	3.3	SSW	3.0	SSW	(2.5)	Var	4.0	S	5.2
17	SSW	8.1	SSW	8.6	S	8.7	SSW	10.1	WSW	11.1	WSW	10.1	SSW	7.4
18	WSW	14.0	WSW	14.2	WSW	14.6	WSW	14.4	WSW	14.3	WSW	15.2	WSW	14.3
19	SSW	9.8	SSW	11.4	SSW	9.3	SSW	11.2	SSW	9.8	SSW	8.2	SSW	19.3
20	NE	8.1	NNE	8.8	NNE	8.7	NNE	9.5	NNE	8.8	NNE	6.3	NNE	5.6
21	NE	0.0	C	1.9	C	1.9	NW	0.0	WSW	1.1	WSW	2.9	SSW	6.1
22	SW	4.6	WSW	3.5	WSW	2.4	WSW	2.0	WSW	0.0	WSW	0.0	C	0.0
23	NW	1.1	NW	1.1	C	0.0	NNE	1.1	C	0.0	C	0.0	C	1.9
24	NNE	5.2	NNE	5.6	NE	5.8	NNE	6.4	NE	6.2	NNE	6.5	NE	6.4
25	SSW	7.3	S	6.1	SW	6.3	SSW	5.6	SW	5.3	SSW	4.9	SSW	3.2
26	NNE	2.6	NNE	4.6	NNE	4.7	NNE	4.6	NNE	5.2	ENE	5.8	ENE	5.0
27	NE	6.9	NE	7.4	NE	7.7	NNE	7.8	NE	7.1	ENE	5.6	E	4.5
28	NE	3.9	NE	4.6	NE	5.6	NE	6.3	NE	5.8	ENE	5.9	NE	6.4
Med.	.	7.70	.	7.95	.	7.78	.	7.79	.	7.29	.	6.81	.	7.45
N : 3 (5); NNE : 48 (72); NE : 93 (140); ENE : 32 (48); E : 4 (6); ESE : 6 (9); SE : 0 (0); SSE : 5 (7); C : 52 (78); Var : 13 (19)														

Windrichtung—Windgeschwindigkeit

Höhe des Anemometers: 2 m. über Erdofläche; 4 m. über Meeresniveau

1903 Februari

8 p. m.		9 p. m.		10 p. m.		11 p. m.		Mtt.	Med.	Max.	Min.	Diff.	Dat.	
	m/s		m/s		m/s		m/s	m/s	m/s	m/s	m/s	m/s		
SSW	6.3	SSW	7.2	SSW	7.6	SSW	6.9	SSW	7.1	5.04	7.6	1.6	6.0	1
WSW	7.7	WSW	7.9	WSW	8.1	WSW	8.6	SW	8.4	8.76	11.1	5.0	6.1	2
SW	6.2	SW	5.5	SSW	4.8	SSW	3.1	SSW	3.1	6.84	9.4	3.1	6.3	3
ENE	5.7	ENE	5.1	ENE	5.6	ENE	5.3	E	5.5	4.21	5.8	1.9	3.9	4
SW	6.7	SW	6.5	SSW	6.5	WSW	6.5	SW	6.6	7.16	9.8	3.4	6.4	5
ESE	5.6	NE	6.2	NE	6.4	NE	6.9	NE	9.0	4.17	9.0	1.5	7.5	6
SW	9.0	WSW	8.3	SW	8.7	SW	11.3	SW	15.3	9.98	15.3	7.2	8.1	7
WSW	8.7	SSW	7.5	SSW	5.5	S	3.2	SSE	0.0	14.76	23.2	0.0	23.2	8
ENE	8.0	ENE	6.7	NE	6.4	ENE	6.1	NE	(7.0)	6.21	10.6	0.0	10.6	9
WSW	7.1	SSW	6.9	SW	6.4	SSW	5.9	SSW	5.0	8.91	13.0	5.0	8.0	10
WSW	10.5	WSW	8.7	SW	7.2	SSW	6.5	SW	6.0	4.23	10.5	0.0	10.5	11
WSW	13.9	WSW	13.8	WSW	14.3	WSW	13.7	WSW	13.2	11.44	14.3	7.1	7.2	12
WSW	17.9	WSW	17.8	WSW	17.8	WSW	18.6	SW	17.7	15.93	18.9	13.2	5.7	13
WSW	10.9	SW	11.4	WSW	12.1	WSW	11.9	WSW	10.5	14.12	18.6	10.5	8.1	14
S	1.9	WSW	2.3	SW	1.5	SSW	1.9	S	2.3	5.70	11.1	1.5	9.6	15
S	5.8	SSW	6.2	SSW	7.4	SSW	7.9	SSW	8.3	3.66	8.3	1.7	6.6	16
WSW	9.5	WSW	11.5	SW	12.1	SW	11.9	SW	12.8	9.49	12.8	7.4	5.4	17
WSW	14.2	WSW	14.7	WSW	15.9	WSW	16.1	WSW	18.2	14.22	18.2	10.2	8.0	18
SSW	19.6	SSW	18.9	SSW	17.5	S	15.9	NE	13.9	14.09	19.6	8.2	11.4	19
NE	7.7	NE	6.9	NE	7.2	NE	7.4	NE	7.8	5.00	9.5	0.0	9.5	20
S	6.7	SSW	7.1	S	9.3	SSW	8.6	SSW	8.1	3.55	9.3	0.0	9.3	21
C	0.0	C	0.0	C	0.0	C	0.0	C	0.0	4.83	10.7	0.0	10.7	22
C	1.1	C	1.6	Var	3.8	S	4.1	C	3.2	1.19	4.1	0.0	4.1	23
NNE	6.7	NE	6.7	ENE	6.3	NE	5.3	NE	5.2	5.12	16.2	0.0	16.2	24
C	1.5	C	0.0	C	1.1	C	0.0	C	1.1	5.92	11.6	0.0	11.6	25
ENE	3.9	ENE	3.5	Var	2.8	S	3.0	S	5.1	3.69	5.5	0.0	5.5	26
ESE	5.3	Var	4.5	Var	5.3	Var	5.1	Var	4.0	5.43	7.8	1.3	6.5	27
NE	6.4	NE	7.2	NE	6.9	ENE	6.9	ENE	6.5	5.92	10.4	1.6	8.8	28
.	7.66	.	7.52	.	7.66	.	7.45	.	7.53	7.48	11.86	3.26	8.60	Med.
S: 27 (41); SSW: 118 (178); SW: 87 (131); WSW: 108 (252); W: 2 (3); WNW: 0 (0); NW: 7 (11); NNW: 0 (0); Observationszahl: 665 (1000)														

Windrichtung—Windgeschwindigkeit

Höhe des Anemometers: 2 m. über Erdofläche; 4 m. über Meeresniveau

März 1903

Dat.	1 a. m.		2 a. m.		3 a. m.		4 a. m.		5 a. m.		6 a. m.	
		m/s		m/s		m/s		m/s		m/s		m/s
1	ENE	7.4	NE	5.9	NNE	5.9	NE	7.0	ENE	6.5	ENE	5.8
2	SSW	10.1	SSW	8.9	SSW	8.8	SSW	7.0	SSW	7.5	SSW	8.8
3	NE	2.8	NNE	2.9	NNE	3.0	NE	3.1	NE	3.1	NE	3.2
4	SSW	5.6	.	(3.5)	C	1.5	.	1.5	C	1.6	ENE	2.9
5	SSW	3.0	.	2.0	C	1.2	.	1.3	ESE	3.8	ESE	6.7
6	SSW	12.5	SSW	13.5	SSW	15.1	SW	16.1	WSW	17.3	WSW	18.9
7	WSW	22.0	WSW	20.4	SW	(20.6)	SW	(20.8)	SW	(21.0)	WSW	(21.2)
8	SW	20.7	SW	20.5	WSW	21.3	WSW	20.2	WSW	20.9	WSW	20.9
9	WSW	16.5	WSW	15.9	SW	15.3	SW	16.3	WSW	16.1	WSW	16.4
10	WSW	19.6	WSW	20.0	WSW	19.3	WSW	18.8	WSW	19.3	WSW	18.9
11	WSW	19.3	SW	17.7	SW	18.8	WSW	18.3	WSW	15.9	WSW	15.0
12	SSW	9.0	SSW	10.6	SSW	10.1	SSW	10.1	SSW	11.9	SSW	10.9
13	C	1.3	NE	2.2	NE	5.0	NE	4.8	NE	4.7	ENE	4.7
14	WSW	4.5	SW	7.7	SSW	8.8	SSW	9.7	SSW	10.4	SSW	11.3
15	SSW	10.4	SSW	10.7	SSW	11.6	SSW	10.6	S	9.4	SSW	11.1
16	SW	(25.0)	SW	(25.0)	WSW	25.0	WSW	24.4	WSW	23.8	WSW	24.2
17	WSW	(13.8)	SW	(14.6)	SW	(15.4)	SW	(15.4)	SW	(15.4)	SW	(15.4)
18	SW	10.3	SSW	10.5	SSW	10.4	SW	11.4	SW	11.6	SW	11.1
19	SW	19.9	SW	20.1	SW	20.2	SW	21.2	SW	20.8	SW	22.2
20	SW	16.0	SW	15.1	SW	16.8	SW	15.2	SW	16.6	SW	17.6
21	SW	19.9	SW	20.2	WSW	21.5	WSW	22.3	WSW	22.0	WSW	20.5
22	SW	14.0	SW	13.2	SW	12.3	SSW	12.1	SSW	12.1	SW	11.5
23	C	0.0	C	0.0	C	0.0	.	2.4	E	2.9	E	3.1
24	SW	18.9	SW	19.8	SW	20.1	SW	20.9	SW	19.9	WSW	20.4
25	WSW	18.9	WSW	18.3	SW	17.9	SW	17.0	SW	14.6	SW	16.2
26	SSW	15.7	SW	14.2	WSW	15.1	SW	15.2	SSW	17.0	SW	15.0
27	SW	14.0	SW	11.5	SW	14.3	SSW	13.6	SSW	13.6	SSW	13.5
28	SW	15.3	SW	16.0	SW	17.1	SW	15.8	SW	14.5	WSW	13.5
29	SW	13.7	SW	14.2	SSW	14.2	SW	13.2	WSW	11.5	SW	11.5
30	SW	22.2	SW	21.2	SW	18.6	WSW	19.2	WSW	15.9	WSW	16.2
31	SW	22.5	SW	22.6	WSW	22.7	WSW	22.7	WSW	22.7	WSW	22.7
Med.		13.70		13.51		13.80		13.79		13.67		13.91

Windrichtung—Windgeschwindigkeit

Höhe des Anemometers: 2 m. über Erdfäche; 4 m. über Meeresniveau

1903 März

7 a. m.		8 a. m.		9 a. m.		10 a. m.		11 a. m.		Mittg.	Dat.	
	m/s		m/s		m/s		m/s		m/s			
NE	5.1	NE	4.6	NE	6.1	NE	8.2	NE	2.1	NE	10.4	1
SSW	8.1	SSW	8.0	SSW	8.8	SSW	7.9	SSW	8.4	SSW	7.8	2
NE	(2.1)	NNE	1.1	NE	1.5	C	1.5	NE	2.0	Var	2.5	3
NE	2.3	NE	3.5	NE	4.5	NE	4.9	NE	2.2	NE	1.3	4
SE	6.7	E	6.2	ENE	5.7	NE	5.6	NE	5.4	NE	5.2	5
WSW	18.9	WSW	20.8	WSW	20.7	WSW	20.3	WSW	22.5	WSW	21.9	6
WSW	21.4	WSW	21.1	WSW	20.9	WSW	20.7	WSW	20.5	WSW	20.5	7
WSW	21.0	SW	22.2	WSW	21.3	WSW	19.2	WSW	18.4	WSW	19.4	8
SW	15.5	SW	17.2	SW	16.6	WSW	16.4	SW	18.1	WSW	17.7	9
WSW	20.8	WSW	18.5	WSW	17.7	WSW	16.1	SW	18.5	WSW	19.3	10
WSW	15.2	SW	14.3	WSW	13.7	SW	13.3	SW	12.8	SW	13.0	11
SSW	9.3	S	9.1	SW	9.7	SSW	8.6	SW	8.3	SW	7.8	12
NE	4.0	NE	4.3	E	4.2	ENE	4.6	ENE	4.3	ENE	3.6	13
SSW	12.2	SSW	12.2	SSW	12.3	SSW	12.7	SSW	12.5	SSW	13.1	14
SSW	11.4	SSW	12.1	SSW	12.7	SW	13.6	SW	15.2	SW	16.5	15
WSW	24.6	SW	(22.7)	SW	20.8	SW	(21.4)	WSW	(22.1)	WSW	22.7	16
SW	(15.4)	SSW	(15.3)	WSW	15.3	SSW	(13.5)	WSW	11.8	WSW	15.4	17
SW	11.6	SW	10.5	SW	11.2	SW	10.6	SSW	10.4	SSW	10.4	18
WSW	21.0	WSW	21.5	WSW	20.5	SW	20.3	WSW	18.9	WSW	19.2	19
SW	17.9	WSW	17.6	SW	16.4	SW	15.8	SW	15.2	SW	15.7	20
WSW	20.0	WSW	19.6	WSW	19.5	WSW	20.3	WSW	19.6	SW	18.1	21
SW	10.9	SW	11.6	SW	9.8	SW	10.7	SW	10.3	SW	9.6	22
ESE	4.3	E	4.3	E	4.5	NE	4.3	ENE	4.7	E	4.5	23
WSW	21.1	WSW	21.6	WSW	22.1	SW	22.1	SW	23.3	WSW	23.9	24
WSW	19.1	WSW	18.4	WSW	16.4	SW	17.6	WSW	17.6	WSW	17.3	25
SW	15.7	SW	12.6	SW	13.0	SW	14.3	SW	14.7	SW	15.2	26
SW	14.6	SW	14.5	SW	14.4	SW	12.8	SW	13.8	SW	13.3	27
WSW	11.2	WSW	12.5	WSW	12.5	SW	12.7	SW	12.2	WSW	14.2	28
WSW	11.2	SW	9.0	WSW	11.2	SW	16.5	SW	16.1	SW	15.9	29
WSW	16.0	WSW	20.9	WSW	22.2	WSW	22.0	SW	22.1	WSW	22.2	30
WSW	22.7	WSW	22.7	WSW	22.6	SW	22.5	SW	21.7	WSW	21.0	31
	13.94		13.89		13.85		13.90		13.73		14.15	Med.

Windrichtung—Windgeschwindigkeit

Hohe des Anemometers: 2 m. über Erdofläche; 4 m. über Meeresniveau

März 1903

Dat.	1 p. m.		2 p. m.		3 p. m.		4 p. m.		5 p. m.		6 p. m.		7 p. m.	
		m/s		m/s		m/s		m/s		m/s		m/s		m/s
1	NE	(11.2)	ENE	10.4	NE	10.4	NE	10.1	NE	9.0	NE	5.7	SW	5.6
2	SSW	5.7	SSW	4.8	SSW	5.1	SW	5.3	SSW	4.6	SSW	3.1	C	0.0
3	S	2.2	C	1.9	SSW	5.9	SSW	6.2	SSW	7.0	SW	8.0	SSW	9.7
4	NE	1.7	C	1.1	C	0.0	C	1.2	Var	1.5	S	1.5	C	2.0
5	NE	5.3	NE	5.4	ENE	5.6	ENE	5.6	ENE	5.7	ENE	5.0	SSW	7.9
6	WSW	21.8	WSW	16.1	WSW	20.1	WSW	20.4	WSW	20.7	WSW	20.9	WSW	22.0
7	WSW	20.5	WSW	20.5	WSW	20.5	WSW	(19.8)	WSW	(19.1)	WSW	18.4	WSW	21.3
8	WSW	20.2	SW	19.6	SW	17.1	SW	17.1	WSW	17.7	SW	17.6	WSW	17.2
9	WSW	17.3	WSW	18.5	WSW	18.6	WSW	19.3	WSW	18.8	WSW	18.9	WSW	18.9
10	WSW	18.1	SW	18.9	SW	18.8	SW	17.0	SW	18.4	SW	17.0	SW	17.1
11	SSW	13.6	SSW	15.0	SSW	11.6	SSW	11.4	SSW	10.1	SSW	8.1	SSW	8.0
12	SSW	7.7	SW	7.2	SW	6.2	SW	4.7	SW	2.9	WSW	1.8	W	2.6
13	ENE	4.1	E	5.5	E	4.5	C	2.4	C	0.0	WSW	2.6	C	0.0
14	SSW	14.5	SSW	15.2	SSW	14.0	SSW	11.9	SSW	11.5	SSW	10.6	SSW	9.7
15	SW	17.1	SW	(17.1)	SW	(17.2)	WSW	17.2	SW	(17.8)	SW	(18.3)	SW	(19.7)
16	WSW	(21.7)	WSW	(20.8)	SW	19.8	SW	(19.0)	SW	(18.2)	SW	17.4	SW	(17.8)
17	SW	14.2	WSW	14.4	WSW	12.5	SW	11.1	SW	9.9	SW	10.6	WSW	10.5
18	SSW	12.7	SW	11.1	SW	14.0	SW	12.2	SW	12.8	SW	15.1	SSW	15.7
19	SW	18.9	SW	18.5	SW	18.1	SW	18.3	SW	18.8	SW	18.1	SW	18.4
20	SW	16.4	SW	16.3	WSW	16.8	SW	18.8	SW	18.8	SW	19.2	SW	19.2
21	WSW	17.0	WSW	17.0	WSW	16.0	WSW	16.1	WSW	15.3	SW	14.9	WSW	15.1
22	SW	8.9	SSW	8.3	SSW	7.2	SSW	7.4	SSW	7.0	SSW	5.9	SSW	4.8
23	ENE	4.0	E	3.5	Var	2.8	Var	2.8	Var	3.3	SSW	7.1	SSW	8.2
24	WSW	24.4	SW	24.4	WSW	24.9	WSW	23.7	WSW	22.8	WSW	22.0	WSW	21.8
25	SW	17.7	SW	18.3	SW	18.5	SW	17.0	SW	16.5	SW	15.8	SW	15.5
26	SW	14.4	SW	12.2	SW	14.5	SW	13.8	SW	16.2	WSW	17.2	SW	15.4
27	SW	12.7	SW	12.7	WSW	11.2	SW	11.8	SW	11.3	WSW	10.7	SW	11.0
28	SW	14.6	SW	14.6	SW	13.2	SW	13.7	SW	12.6	SSW	10.6	SSW	12.2
29	SW	14.9	WSW	14.2	WSW	15.7	WSW	17.0	WSW	16.3	WSW	17.1	WSW	18.1
30	WSW	21.2	WSW	20.1	WSW	19.4	WSW	17.6	WSW	18.2	WSW	18.6	WSW	20.0
31	SW	21.4	WSW	20.9	WSW	20.7	WSW	20.5	WSW	20.8	WSW	21.0	WSW	21.1
Med.		14.07		13.69		13.58		13.24		13.02		12.86		13.12
N : 0 (0); NNE : 4 (6); NE : 42 (57); ENE : 18 (24); E : 10 (14); ESE : 3 (4); SE : 1 (1); SSE : 0 (0); C : 29 (89) Var : 6 (8);														

Windrichtung—Windgeschwindigkeit

Höhe des Anemometers: 2 m. über Erdfäche; 4 m. über Meeresniveau

1903 März

8 p. m.		9 p. m.		10 p. m.		11 p. m.		Mtn.	Med.	Max.	Min.	Diff.	Dat.	
	m/s		m/s		m/s		m/s	m/s	m/s	m/s	m/s	m/s		
SSW	6.9	SSW	8.8	SSW	8.3	SSW	11.0	SSW	12.5	7.70	12.5	4.6	7.9	1
C	1.3	C	0.0	C	0.0	NE	1.0	NE	2.0	5.54	10.1	0.0	10.1	2
SSW	8.8	SSW	7.5	SSW	7.2	SSW	7.9	SSW	7.0	4.50	9.7	1.1	8.6	3
Var	3.2	SSW	7.0	SSW	8.2	SSW	5.7	C	2.5	2.95	8.2	0.0	8.2	4
SSW	9.3	SSW	9.7	S	10.2	SSW	11.1	SSW	12.2	6.05	12.2	1.2	11.0	5
WSW	21.2	WSW	21.1	WSW	21.3	WSW	22.2	WSW	22.5	19.57	22.5	12.5	10.0	6
WSW	18.8	WSW	19.3	WSW	16.6	WSW	19.3	WSW	21.5	20.28	22.0	16.6	5.4	7
WSW	16.4	WSW	16.4	SW	15.8	WSW	15.4	WSW	15.9	18.85	22.2	15.4	6.8	8
WSW	18.7	WSW	18.2	SW	18.4	WSW	19.6	WSW	19.6	17.62	19.6	15.3	4.3	9
SW	17.3	SW	19.4	WSW	19.4	WSW	20.2	WSW	20.1	18.69	20.8	16.1	4.7	10
SSW	4.5	SSW	7.0	SSW	8.0	SSW	5.9	SSW	7.4	12.41	19.3	4.5	14.8	11
C	0.0	WNW	1.3	C	1.2	C	0.0	ENE	1.5	6.35	11.9	0.0	11.9	12
C	0.0	C	1.1	C	1.1	NE	1.5	SSW	2.2	3.03	5.5	0.0	5.5	13
SSW	9.7	SSW	10.5	SSW	10.4	S	10.5	SSW	9.7	11.07	15.2	4.5	10.7	14
SW	19.4	SW	21.9	SW	24.4	SW	24.7	SW	25.0	16.05	25.0	10.4	14.6	15
SW	(18.1)	SW	18.5	SW	(16.6)	SW	(14.8)	SW	13.0	20.73	25.0	13.0	12.0	16
SSW	10.5	SSW	11.3	SSW	10.6	SW	10.6	SW	11.6	13.10	15.4	9.9	5.5	17
SSW	16.3	SSW	17.0	SW	17.5	SW	19.1	SW	19.4	13.04	19.4	10.3	9.1	18
SW	18.1	SW	17.8	SW	18.2	SW	17.7	SW	17.8	19.35	22.2	17.7	4.5	19
SW	20.2	SW	20.9	SW	21.2	SW	21.0	SW	20.4	17.71	21.2	15.1	6.1	20
SW	13.9	SW	16.1	SW	16.9	SW	15.5	SW	15.9	18.05	22.3	13.9	8.4	21
SSW	4.2	S	2.4	S	1.8	C	0.0	C	0.0	8.17	14.0	0.0	14.0	22
SSW	9.3	SSW	7.3	SW	14.7	SW	16.3	SW	17.6	5.50	17.6	0.0	17.6	23
WSW	22.1	WSW	21.9	WSW	20.8	WSW	21.5	WSW	20.8	21.88	24.9	18.9	6.0	24
SW	14.7	SW	15.1	SW	14.6	SW	14.4	SW	15.2	16.77	19.1	14.4	4.7	25
SW	14.6	SW	13.4	SW	13.1	SW	13.7	SW	13.1	14.55	17.2	12.2	5.0	26
SW	13.4	SW	13.4	WSW	13.1	SW	13.8	SW	13.8	13.03	14.6	10.7	3.9	27
SW	13.6	SW	12.6	SW	12.7	SW	13.7	SW	14.4	13.58	17.1	10.6	6.5	28
SW	17.4	SW	17.2	SW	18.8	SW	19.6	SW	21.4	15.25	21.4	9.0	12.4	29
WSW	20.5	WSW	22.2	SW	22.5	WSW	22.3	SW	22.5	20.16	22.5	15.9	6.6	30
WSW	20.7	SW	21.4	WSW	20.5	WSW	19.1	WSW	18.7	21.50	22.7	18.7	4.0	31
	13.00		13.47		13.68		13.84		14.10	13.65	17.85	9.44	8.41	Med.
S: 8 (11); SSW: 129 (175); SW: 272 (368); WSW: 215 (291); W: 1 (1); WNW: 1 (1); NW: 0 (0); NNW: 0 (0); Observationszahl = 739 (1000)														

Windrichtung—Windgeschwindigkeit

Höhe des Anemometers: 2 m. über Erdofläche 4 m. über Meeresniveau

April 1903

Dat.	1 a. m.		2 a. m.		3 a. m.		4 a. m.		5 a. m.		6 a. m.	
		m/s		m/s		m/s		m/s		m/s		m/s
1	WSW	19.8	SW	20.5	SW	20.0	WSW	20.9	WSW	18.9	WSW	18.1
2	ENE	5.2	ENE	7.1	NE	8.1	NE	8.2	ENE	7.1	ENE	6.4
3	ENE	6.3	ENE	6.5	NE	9.8	NE	7.1	NE	5.3	NE	5.1
4	NE	6.5	NE	6.5	NE	7.1	NNE	6.6	NNE	3.0	N	6.6
5	C	2.2	.	5.7	Var	2.2	SW	6.9	SSW	8.4	SSW	10.5
6	WSW	17.0	WSW	16.9	WSW	18.3	SW	16.3	SW	16.1	WSW	15.9
7	SW	22.1	SSW	13.0	S	(12.3)	SSW	(11.6)	SSW	(10.9)	SSW	(10.2)
8	SSW	3.8	SSW	1.9	SSW	2.6	.	2.9	C	1.1	S	2.0
9	SW	11.5	SW	13.1	SW	13.1	SW	12.3	SW	13.8	SW	13.8
10	E	4.3	ENE	5.0	NE	6.4	.	6.7	ESE	6.2	ENE	4.1
11	SSW	11.8	SSW	13.1	SW	13.8	SW	21.8	SSW	19.4	SW	15.5
12	SSW	13.0	S	12.2	SSW	12.2	SSW	12.5	SSW	15.0	SSW	12.3
13	WSW	23.4	WSW	23.6	WSW	21.4	WSW	20.9	WSW	22.0	WSW	22.9
14	SSW	12.8	SSW	11.3	S	11.0	S	10.4	SSW	11.3	S	8.1
15	C	0.0	C	0.0	C	0.0	C	0.0	C	0.0	C	0.0
16	SW	17.5	SSW	12.5	S	6.7	SW	9.9	SSW	12.0	SSW	10.4
17	SSW	3.8	ENE	3.1	SSW	5.6	C	1.1	C	1.2	C	0.0
18	E	1.8	.	1.6	.	1.2	E	1.3	C	1.1	C	0.0
19	C	0.0	C	0.0	C	0.0	C	0.0	ENE	1.7	C	0.0
20	S	7.3	.	5.3	NE	2.5	.	2.8	Var	3.5	Var	3.2
21	S	1.8	C	1.2	Var	1.5	.	3.4	S	3.5	SSW	4.5
22	WSW	18.3	WSW	18.2	SW	16.6	SW	16.6	SW	16.4	SSW	13.8
23	SW	20.4	SW	21.4	SW	23.5	SW	22.5	SW	23.0	SW	21.5
24	SW	21.6	SW	22.5	WSW	21.3	WSW	20.3	SW	22.1	SW	23.8
25	SSW	9.3	SW	8.6	SW	2.4	C	1.3	C	2.8	E	4.2
26	C	1.5	.	1.3	NNE	1.1	C	0.0	C	0.0	C	0.0
27	C	1.1	C	1.1	.	1.3	C	0.0	C	1.2	C	0.0
28	E	1.5	C	0.0	C	0.0	C	0.0	C	0.0	C	0.0
29	WSW	5.0	WSW	6.1	SW	5.8	SW	5.9	SSW	4.9	SSW	5.2
30	SW	18.8	SW	18.6	SW	17.5	SW	15.8	SW	14.7	SW	16.3
Med.		9.65		9.26		8.84		8.87		8.89		8.48

Windrichtung—Windgeschwindigkeit

Höhe des Anemometers: 2 m. über Erdofläche; 4 m. über Meeresniveau

1903 April

7 a. m.		8 a. m.		9 a. m.		10 a. m.		11 a. m.		Mittg.	Dat.	
	m/s		m/s		m/s		m/s		m/s			
WSW	17.1	SW	19.5	WSW	19.8	WSW	17.6	SSW	17.0	SW	15.0	1
ENE	8.1	E	10.4	E	9.1	NE	11.3	ENE	11.9	NNE	9.5	2
NE	5.3	ENE	4.1	NE	2.2	NE	1.6	Var	1.6	Var	1.2	3
N	8.8	NNE	9.6	N	17.8	N	2.6	NW	4.8	NW	3.8	4
SW	14.4	SW	17.5	SW	15.5	SW	14.9	SW	13.8	SW	12.8	5
SW	16.1	SW	15.9	SW	13.7	SW	16.9	SW	16.4	WSW	16.8	6
SSW	9.5	SSW	7.7	SSW	7.0	SSW	7.0	SSW	7.1	SSW	6.7	7
SSW	4.5	SSW	5.0	SW	4.7	C	1.1	NW	2.9	SW	4.5	8
SSW	9.1	SSW	9.1	SW	11.1	SW	11.9	SW	15.3	SW	12.8	9
ENE	3.6	ENE	3.0	C	1.0	C	1.1	C	1.3	C	1.6	10
C	1.2	C	1.7	ENE	1.7	C	0.0	C	0.0	ENE	2.5	11
SW	13.3	SW	12.5	SSW	11.9	SSW	11.1	SSW	12.2	SW	13.8	12
SW	22.7	WSW	21.0	WSW	18.7	SW	17.6	SW	15.2	SW	13.9	13
SW	8.0	S	6.7	SW	(5.7)	SSW	(4.7)	C	1.1	C	0.0	14
C	0.0	C	0.0	C	0.0	C	0.0	C	0.0	C	0.0	15
S	8.7	SE	3.8	S	4.9	Var	2.3	E	3.4	ENE	3.1	16
C	0.0	C	0.0	C	0.0	C	0.0	C	0.0	C	0.0	17
C	0.0	C	1.1	SSE	1.6	C	1.2	S	3.9	S	3.5	18
C	0.0	C	0.0	WNW	1.6	C	0.0	NE	1.1	NE	1.8	19
SE	3.5	Var	3.6	NE	3.3	ENE	3.2	ENE	3.9	ENE	4.3	20
SW	6.4	SW	7.4	SW	8.3	SSW	9.9	SW	11.0	SW	12.5	21
SSW	12.2	S	12.3	SW	11.8	SSW	12.0	SSW	13.2	SSW	11.2	22
SW	23.6	WSW	24.5	WSW	25.7	WSW	24.0	WSW	23.9	WSW	24.6	23
SW	22.1	SW	20.7	SW	21.5	SW	20.7	SW	20.5	SW	19.3	24
E	4.9	NE	7.1	NE	6.2	ENE	5.3	NNE	4.0	C	1.7	25
N	0.0	C	1.2	C	2.2	E	2.2	C	1.2	C	1.5	26
C	1.5	C	1.1	SE	3.5	SE	2.4	C	0.0	C	0.0	27
E	1.6	C	0.0	E	2.0	E	2.7	Var	3.0	NW	3.5	28
SSW	9.8	S	10.1	SSW	10.7	SSW	11.4	SSW	11.4	SSW	10.5	29
SW	17.0	SW	13.6	SSW	15.1	SSW	12.8	SSW	11.8	SSW	11.1	30
	8.43		8.34		8.61		7.65		7.76		7.45	Med.

Windrichtung—Windgeschwindigkeit

Hohe des Anemometers: 2 m. über Erdofläche; 4 m. über Meeresniveau

April 1903

Dat.	1 p. m.		2 p. m.		3 p. m.		4 p. m.		5 p. m.		6 p. m.		7 p. m.	
		m/s		m/s		m/s		m/s		m/s		m/s		m/s
1	WSW	13.7	SW	12.7	SW	12.8	SW	11.6	SW	8.6	SSW	6.2	SSW	4.2
2	N	10.4	NNE	6.9	SW	3.8	C	0.0	C	1.1	C	1.2	ENE	1.6
3	Var	1.5	Var	1.2	C	0.0	C	0.0	C	0.0	C	0.0	C	0.0
4	NNW	4.9	Var	2.0	NE	3.2	NE	3.1	NE	0.0	C	0.0	C	0.0
5	SW	14.2	SW	13.5	SW	14.2	SW	14.5	SW	13.5	WSW	16.5	SW	16.4
6	WSW	16.6	SW	15.9	SW	16.2	SW	16.1	SW	14.0	SW	13.4	WSW	13.6
7	SSW	6.3	SSW	5.2	SSW	6.1	SSW	5.8	SSW	7.2	SSW	6.9	SSW	5.5
8	SW	5.1	SW	5.9	SW	(6.7)	SW	(7.5)	SSW	8.3	SSW	8.1	SSW	7.9
9	SSW	11.1	SW	8.9	SSW	5.8	SSW	4.7	SSW	3.4	C	2.2	ENE	2.9
10	C	1.3	C	1.2	C	1.1	C	1.3	C	0.0	C	0.0	NE	5.1
11	E	4.6	ESE	6.2	E	5.8	ENE	4.8	E	3.3	ENE	4.1	SE	3.0
12	SSW	14.5	SW	12.7	SW	17.6	SW	18.1	WSW	17.0	WSW	15.2	SW	16.0
13	SW	14.6	SW	14.0	SW	13.6	WSW	13.2	WSW	12.6	SW	13.6	SW	13.2
14	C	0.0	C	0.0	C	0.0	C	0.0	C	0.0	C	0.0	C	0.0
15	C	0.0	C	1.1	NE	2.5	NE	5.9	NE	5.8	C	3.3	S	5.2
16	NE	4.7	NE	4.8	NE	4.2	C	1.9	C	0.0	C	1.5	C	0.0
17	C	0.0	C	0.0	C	0.0	NE	3.1	NE	1.7	NE	1.8	NW	1.6
18	S	10.3	S	9.6	S	10.9	SSW	9.3	S	8.9	S	6.6	SSW	3.2
19	SW	1.5	Var	2.6	Var	2.9	Var	3.6	WSW	18.1	WSW	18.6	SW	13.4
20	ENE	4.5	E	3.9	ESE	4.5	SSE	4.7	E	5.1	E	5.0	SE	5.3
21	SW	14.4	SW	16.0	SW	17.1	SW	17.5	SW	18.2	SW	19.1	SW	18.9
22	SW	14.6	SW	15.5	SSW	15.0	SW	15.4	SW	18.6	SW	19.4	SW	18.7
23	SW	23.8	SW	23.0	WSW	22.7	WSW	22.5	WSW	21.2	WSW	20.3	WSW	21.6
24	SW	19.3	SW	18.1	SW	18.6	SW	17.5	SW	19.6	SW	18.6	SW	17.9
25	C	1.2	WNW	2.9	SSW	4.8	WSW	2.5	WNW	2.6	SW	4.5	C	1.3
26	C	3.6	ESE	4.1	ESE	2.9	SSW	7.1	SSW	8.7	S	11.8	S	12.1
27	C	0.0	NNE	0.0	NE	0.0	NE	0.0	C	0.0	NE	0.0	C	0.0
28	Var	2.4	SW	5.9	SSW	8.1	SSW	9.0	SSW	7.8	SSW	7.1	SSW	6.6
29	SSW	10.2	SSW	9.5	SSW	8.2	SSW	7.4	SSW	9.3	SSW	9.9	SSW	9.1
30	SSW	14.2	S	11.5	S	13.4	SSW	13.0	SSW	12.7	S	11.6	SSW	8.7
Med.		8.12		7.83		8.08		8.04		8.24		8.22		7.77
N : 7 (10); NNE : 7 (10); NE : 40 (56); ENE : 34 (47); E : 24 (34); ESE : 8 (11); SE : 11 (16); SSE : 6 (8); C : 144 (203); Var : 19 (27)														

Windrichtung—Windgeschwindigkeit

Höhe des Anemometers: 2 m. über Erdoberfläche; 4 m. über Meeresniveau

1903 April

8 p. m.		9 p. m.		10 p. m.		11 p. m.		Mtn.	Med.	Max.	Min.	Diff.	Dat.	
	m/s		m/s		m/s		m/s		m/s	m/s	m/s	m/s		
C	0.0	C	0.0	C	0.0	ENE	4.1	ENE	6.2	12.68	20.9	0.0	20.9	1
C	2.2	W	1.8	E	3.1	ENE	4.3	E	5.5	6.01	11.9	0.0	11.9	2
C	0.0	C	0.0	C	0.0	C	0.0	NE	4.1	2.62	9.8	0.0	9.8	3
S	5.0	SSE	2.5	SSW	2.8	NE	1.6	SSE	5.8	4.78	17.8	0.0	17.8	4
SW	18.5	SW	18.5	WSW	16.8	WSW	17.2	WSW	16.1	13.11	18.5	2.2	16.3	5
SW	11.1	SW	22.7	SSW	23.0	S	21.6	SW	22.5	16.79	22.7	11.1	11.6	6
SSW	6.7	SSW	5.2	SSW	5.5	SSW	5.8	SSW	6.1	8.23	22.1	5.2	16.9	7
SSW	8.1	S	8.3	SSW	9.3	SSW	7.7	SW	8.1	5.33	9.3	1.1	8.2	8
ESE	3.6	E	3.4	E	3.5	E	3.4	E	4.6	8.52	15.3	2.2	13.1	9
NE	5.8	NNE	7.1	SSW	13.5	SSW	10.9	SSW	11.8	4.31	11.8	0.0	11.8	10
W	1.2	SW	7.8	S	11.1	SSW	11.5	SSW	11.8	7.40	21.8	0.0	21.8	11
WSW	18.9	SW	18.3	SW	19.6	SW	23.7	WSW	24.5	15.34	24.5	11.1	13.4	12
S	10.5	S	11.8	SW	12.0	SSW	13.3	SSW	12.6	16.60	23.6	10.5	13.1	13
C	0.0	C	0.0	C	0.0	C	0.0	C	0.0	3.80	12.8	0.0	12.8	14
SW	6.7	SSW	7.8	SSW	9.5	SW	13.9	WSW	19.2	3.37	19.2	0.0	19.2	15
C	0.0	C	2.3	SE	3.1	SSE	2.5	Var	3.9	5.17	17.5	0.0	17.5	16
ENE	1.1	C	1.6	C	1.2	C	1.6	C	1.3	1.24	5.6	0.0	5.6	17
SSW	2.0	ENE	1.9	C	0.0	C	0.0	C	0.0	3.37	10.9	0.0	10.9	18
SW	14.0	SW	11.3	SW	9.0	SSW	6.3	SSE	7.1	4.78	18.6	0.0	18.6	19
ESE	5.8	Var	3.9	SE	3.1	ESE	3.0	ENE	2.4	4.07	7.3	2.5	4.8	20
SW	18.9	SW	20.1	WSW	20.4	WSW	29.3	WSW	18.9	12.51	29.3	1.2	28.1	21
SW	20.8	SW	20.9	SW	21.1	SW	20.8	SW	20.9	16.43	21.1	11.2	9.9	22
SW	21.2	SW	23.0	SW	21.5	SW	21.9	SW	21.3	22.61	25.7	20.4	5.3	23
SW	17.6	SW	16.4	SW	14.7	SSW	(13.5)	SSW	12.3	19.19	23.8	12.3	11.5	24
Var	3.5	SSW	12.0	SSW	10.4	SSW	6.4	C	2.5	4.68	12.0	1.3	10.7	25
SSW	10.6	SSW	8.3	SW	4.9	NE	2.0	C	0.0	3.68	12.1	0.0	12.1	26
C	0.0	C	0.0	C	1.0	C	0.0	SE	1.0	0.63	3.5	0.0	3.5	27
SSW	7.3	SSW	10.7	SSW	12.2	SSW	10.4	WSW	7.4	4.55	12.2	0.0	12.2	28
SSW	12.2	SSW	14.3	SSW	14.3	SSW	16.2	SSW	16.4	9.74	16.4	4.9	11.5	29
S	4.3	S	3.9	C	2.5	SE	2.8	SE	2.2	11.82	18.8	2.2	16.6	30
	7.92		8.86		8.97		9.19		9.22	8.44	16.56	3.31	13.25	Med.
S: 36 (51); SSW: 135 (190); SW: 171 (241); SSW: 57 (80); W: 2 (3); WNW: 3 (4); NW: 4 (6); NNW: 2 (3); Observationszahl: 710 (1000).														

Windrichtung—Windgeschwindigkeit

Höhe des Anemometers: 2 m. über Erdoberfläche; 4 m. über Meeresniveau

Mai 1903

Dat.	1 a. m.		2 a. m.		3 a. m.		4 a. m.		5 a. m.		6 a. m.	
		m/s		m/s		m/s		m/s		m/s		m/s
1	E	1.6	ENE	1.5	NE	2.2	NE	1.7	NE	1.9	NE	1.9
2	C	0.0	C	0.0	C	1.2	C	0.0	C	1.3	C	1.1
3	C	1.5	C	1.3	C	1.6	C	3.9	C	1.7	C	0.0
4	ENE	5.8	C	2.5	SW	9.8	SW	12.7	SSW	13.2	SW	14.7
5	SSW	13.3	SSW	13.2	S	12.7	S	12.2	SSW	12.5	SSW	12.2
6	SW	13.6	SW	11.9	SSW	10.3	SSW	8.9	SSW	7.7	SW	7.4
7	ENE	6.3	.	5.0	ESE	6.5	.	6.4	ENE	5.0	ENE	4.2
8	C	0.0	C	0.0	C	0.0	C	1.6	NNE	2.4	N	1.8
9	SSW	19.3	SW	18.1	SW	15.2	WSW	15.0	WSW	14.7	WSW	14.4
10	SSW	9.7	SSW	10.1	SW	12.0	SW	13.3	WSW	14.9	SW	13.7
11	SW	11.6	SW	11.6	SW	11.1	SW	13.6	SW	14.3	SSW	14.6
12	SSW	7.0	.	3.6	C	1.3	C	0.0	C	0.0	C	0.0
13	C	0.0	C	0.0	C	0.0	C	0.0	C	0.0	C	0.0
14	C	0.0	C	0.0	C	0.0	C	0.0	C	0.0	C	0.0
15	ENE	2.8	C	1.2	C	1.1	.	2.0	C	0.0	C	0.0
16	C	0.0	NE	2.6	ENE	3.5	NNE	5.2	NE	6.3	NE	7.8
17	WSW	1.7	C	1.2	C	1.2	.	1.6	C	1.7	C	1.8
18	SSW	15.7	SSW	14.4	SSW	9.4	SSW	8.7	SSW	8.3	SSW	7.7
19	ESE	3.1	ESE	4.7	SE	5.3	SE	5.7	ESE	4.8	E	5.1
20	SSW	12.2	SW	12.6	SW	12.2	SW	12.6	SW	10.9	SW	10.1
21	SE	3.0	ESE	3.9	E	4.2	E	4.8	SE	3.9	SE	1.6
22	NE	2.5	C	0.0	C	0.0	C	5.7	ENE	4.3	NE	1.5
23	SSW	10.7	SSW	(9.6)	SSW	8.5	.	(5.0)	NE	1.5	C	0.0
24	SSW	11.6	SSW	11.3	SSW	11.5	SSW	14.7	SSW	11.3	SSW	10.2
25	SW	13.0	SW	14.3	SW	12.7	SSW	11.3	SSW	10.2	SSW	9.9
26	SSW	6.3	SSW	9.1	SSW	7.5	.	6.9	E	3.6	C	1.5
27	SSW	10.7	SSW	10.2	SSW	10.2	SSW	10.5	SSW	10.3	SSW	10.4
28	C	0.0	NE	1.7	NE	1.7	NE	1.7	ENE	1.6	E	2.0
29	C	0.0	.	1.9	ENE	1.6	.	1.4	C	1.2	NE	2.0
30	C	1.2	C	1.1	C	0.0	C	(0.6)	C	1.2	C	1.3
31	C	1.8	.	4.2	C	2.4	.	3.5	ENE	3.4	NE	2.0
Med.		6.00		5.90		5.71		6.17		5.62		5.19

Windrichtung—Windgeschwindigkeit

Höhe des Anemometers: 2 m. über Erdoberfläche; 4 m. über Meeresniveau

1903 Mai

7 a. m.		8 a. m.		9 a. m.		10 a. m.		11 a. m.		Mittg.	Dat.	
	m/s		m/s		m/s		m/s		m/s			
NE	2.6	ENE	3.2	ENE	4.0	ENE	4.0	ENE	3.5	ENE	3.6	1
C	0.0	C	0.0	C	0.0	C	0.0	C	0.0	C	2.4	2
C	0.0	C	0.0	WSW	1.6	C	1.2	C	1.3	C	1.3	3
SW	17.7	SW	18.7	SW	21.5	SW	20.2	SW	18.5	WSW	18.1	4
SW	13.7	SSW	11.9	SSW	11.5	SW	12.7	SW	12.5	SSW	10.1	5
SSW	6.2	S	5.5	SSW	4.6	SSW	5.3	SW	5.6	WSW	3.9	6
ENE	2.6	C	1.3	E	2.0	ENE	1.7	E	1.7	C	1.2	7
C	1.5	NE	1.8	C	1.4	C	1.1	NE	4.8	NNE	4.6	8
SW	13.8	WSW	14.0	WSW	13.3	WSW	13.0	WSW	13.5	WSW	14.4	9
WSW	13.2	WSW	13.8	SSW	11.6	SSW	9.4	SSW	9.9	SW	12.5	10
SW	13.4	SW	14.5	SW	15.5	SW	16.6	SSW	13.3	SSW	15.0	11
C	0.0	C	0.0	C	0.0	C	1.1	C	0.0	C	1.7	12
C	0.0	C	0.0	C	0.0	C	0.0	C	0.0	C	0.0	13
ENE	4.2	ENE	8.3	E	6.7	ENE	2.6	WSW	3.0	S	13.8	14
C	1.3	C	1.2	C	1.1	C	1.5	C	1.5	NE	1.6	15
NE	9.5	NE	10.1	NE	11.2	NE	10.7	NE	10.5	NE	9.8	16
Var	1.5	SSE	1.8	Var	1.9	C	1.2	C	1.8	ENE	2.0	17
S	5.7	SW	2.0	NE	2.6	E	4.2	E	4.7	ENE	5.6	18
ENE	4.8	SE	6.9	SE	7.4	SE	5.2	Var	2.2	E	2.2	19
SSW	7.8	NE	2.9	C	2.3	SE	5.6	ENE	4.5	ENE	4.9	20
Var	2.9	C	1.1	C	1.1	C	0.0	C	0.0	NE	1.3	21
WSW	0.0	SW	0.0	SW	7.8	SSW	15.5	SSW	15.1	SSW	15.4	22
C	0.0	C	0.0	C	0.0	ESE	0.0	WNW	1.5	C	0.0	23
SSW	12.5	SSW	14.3	SSW	15.2	SSW	14.2	SSW	13.6	SSW	16.0	24
SSW	7.9	SW	8.2	SSW	6.2	SSW	7.2	SW	6.3	S	4.0	25
C	1.1	C	0.0	C	0.0	C	2.0	NE	5.2	ENE	7.3	26
SSW	9.7	SSW	9.8	SSW	9.5	SSW	9.3	SSW	9.7	SSW	9.6	27
E	2.8	Var	3.2*	SE	3.5	SE	3.4	W	2.5	Var	1.8	28
SE	1.7	NE	1.6	C	1.3	Var	1.1	SE	1.2	SE	2.0	29
NE	5.3	NE	7.3	NE	8.7	NE	9.5	NE	10.5	NE	9.3	30
SSE	2.8	Var	2.4	S	2.6	SW	1.8	C	1.9	C	1.3	31
	5.36		5.35		5.68		5.85		5.81		6.35	Med.

Windrichtung—Windgeschwindigkeit

Höhe des Anemometers: 2 m. über Erdoberfläche; 4 m. über Meeresniveau

Mai 1903

Dat.	1 p. m.		2 p. m.		3 p. m.		4 p. m.		5 p. m.		6 p. m.		7 p. m.	
		m/s		m/s		m/s		m/s		m/s		m/s		m/s
1	ENE	3.4	ENE	2.0	C	1.2	C	2.0	C	1.2	C	1.7	C	1.7
2	WSW	3.9	W	5.2	NW	3.0	ENE	2.0	C	1.3	C	0.0	C	0.0
3	C	1.2	ENE	3.8	SE	6.5	NE	6.3	NE	6.3	NE	6.4	NE	7.0
4	WSW	16.6	SW	15.8	SW	18.1	SSW	19.1	SSW	16.6	SSW	14.7	SSW	14.6
5	SSW	11.5	SSW	11.2	SSW	10.9	SSW	11.8	SW	13.7	SW	14.0	SSW	14.4
6	Var	1.5	NE	1.6	NE	1.2	C	1.3	C	1.3	C	1.6	E	2.6
7	C	0.0	C	0.0	C	1.9	C	1.1	C	0.0	C	0.0	C	0.0
8	NE	5.1	NE	7.9	ENE	6.9	ENE	8.1	NE	8.9	NE	10.7	SSW	12.2
9	WSW	14.7	WSW	14.6	SW	14.7	SSW	14.6	SSW	14.4	SSW	14.3	SSW	(13.3)
10	SW	12.8	SW	14.4	SW	12.0	SSW	9.1	SSW	9.4	SSW	10.6	SW	10.5
11	SSW	16.2	WSW	18.2	SSW	17.5	SW	14.4	SSW	13.5	SSW	13.9	SSW	13.2
12	ENE	2.6	C	1.9	C	1.6	C	1.2	C	0.0	C	0.0	C	0.0
13	C	0.0	C	1.1	C	0.0	C	0.0	C	0.0	C	0.0	C	0.0
14	S	16.5	SSW	17.8	SSW	15.5	SSW	12.5	S	11.2	SSW	11.1	W	7.3
15	C	1.2	ESE	1.8	C	1.1	C	1.1	SE	15.9	SE	5.6	ENE	1.5
16	NE	11.3	NE	11.3	NE	8.4	NE	9.7	NE	10.1	NE	10.7	NE	12.5
17	SSW	5.5	SSW	8.6	SSW	6.6	SSW	8.3	SSW	9.7	SSW	13.8	SSW	17.0
18	ENE	5.2	E	5.2	SSW	6.9	SSW	9.5	SSW	15.9	SSW	17.1	SSW	13.6
19	SSW	8.1	SSW	10.7	SSW	14.3	SSW	12.5	SSW	11.3	SSW	9.4	SSW	8.3
20	E	5.2	E	2.9	Var	3.2	SW	6.1	S	9.8	SW	11.0	SSW	11.9
21	C	1.7	C	2.0	NE	5.5	C	0.0	C	0.0	C	0.0	C	0.0
22	SSW	15.9	SSW	14.3	SSW	12.0	SSW	15.0	SSW	13.0	SSW	13.8	SSW	13.4
23	C	0.0	Var	1.0	Var	1.9	SW	2.8	SW	3.6	Var	4.0	SW	6.5
24	SW	17.6	SW	20.1	SW	19.3	SW	16.6	SW	18.6	SW	16.5	SW	15.2
25	C	1.8	C	1.6	C	0.0	C	1.1	C	0.0	C	0.0	C	0.0
26	NE	6.9	ENE	6.3	NNE	5.3	N	5.6	NNE	2.5	SSW	4.7	SSW	7.1
27	SSW	8.1	SSW	7.7	SSW	7.5	SSW	7.5	SSW	6.9	SSW	6.6	SSW	6.2
28	Var	1.8	SSW	5.7	SW	13.4	SW	12.5	SW	(10.4)	S	7.9	SSW	1.3
29	SE	3.3	NE	4.6	NE	4.3	NE	6.2	S	4.5	S	5.1	SW	4.1
30	SW	7.9	Var	6.6	NE	5.9	ENE	2.0	C	3.1	NE	3.2	NE	4.0
31	C	0.0	ENE	1.7	C	1.6	SW	2.4	SE	2.6	ENE	2.3	C	1.5
Med.		6.69		7.34		7.36		7.21		7.28		7.44		7.13
N: 1 (1); NNE: 5 (7); NE: 76 (104); ENE: 43 (59); E: 23 (31); ESE: 8 (11); SE: 19 (26); SSE: 2 (3); C: 205 (280); Var: 15 (21)														

Windrichtung—Windgeschwindigkeit

Höhe des Anemometers: 2 m. über Erdofläche; 4 m. über Meeresniveau

1903 Mai

8 p. m.		9 p. m.		10 p. m.		11 p. m.		Mtn.		Med.	Max.	Min.	Diff.	Dat.
	m/s		m/s		m/s		m/s		m/s	m/s	m/s	m/s	m/s	
C	1.5	SW	2.8	C	2.5	C	1.1	C	1.1	2.25	4.0	1.1	2.9	1
C	0.0	NE	1.2	C	1.3	C	0.0	C	1.7	1.07	5.2	0.0	5.2	2
SE	7.2	NE	6.6	NE	6.2	NE	5.7	ENE	6.4	3.54	7.2	0.0	7.2	3
SSW	14.6	SSW	12.0	SSW	12.2	SSW	13.5	SSW	13.6	14.75	21.5	2.5	19.0	4
SSW	13.1	SSW	14.0	SW	14.1	SSW	14.6	SW	12.5	12.68	14.6	10.1	4.5	5
E	3.4	E	3.3	E	3.5	ENE	4.1	ESE	5.5	5.07	13.6	1.2	12.4	6
C	0.0	C	0.0	C	0.0	C	1.3	C	0.0	2.01	6.5	0.0	6.5	7
SSW	15.5	SSW	15.6	SSW	17.8	SW	20.8	SW	20.1	7.11	20.8	0.0	20.8	8
SSW	12.3	SW	11.3	SW	12.7	SW	12.3	SSW	11.2	14.13	19.3	11.3	8.0	9
SW	10.7	SSW	11.5	SSW	11.8	SSW	13.1	SW	13.0	11.79	14.9	9.1	5.8	10
SSW	13.0	SSW	13.2	SSW	8.2	SSW	5.7	SW	7.8	13.33	18.2	5.7	12.5	11
E	2.6	C	2.3	C	0.0	C	1.2	C	0.0	1.17	7.0	0.0	7.0	12
C	0.0	C	0.0	C	0.0	C	0.0	C	0.0	0.05	1.1	0.0	1.1	13
SSW	9.0	NE	5.5	SW	5.7	WSW	8.8	WSW	3.8	6.80	17.8	0.0	17.8	14
C	1.1	C	1.1	C	0.0	C	0.0	C	0.0	1.49	5.9	0.0	5.9	15
NE	11.8	NE	11.3	NE	11.4	NE	9.9	NE	5.2	8.78	12.5	0.0	12.5	16
SSW	17.9	SSW	19.3	SSW	16.0	SSW	17.9	SW	16.9	7.37	19.3	1.2	18.1	17
SSW	12.3	SSW	11.2	SSW	9.8	SSW	8.9	SSW	6.4	8.79	15.9	2.0	13.9	18
SSW	7.7	SSW	9.0	SSW	8.7	SSW	10.4	SSW	11.8	7.48	14.3	2.2	12.1	19
SW	7.0	SSW	8.2	SSW	7.9	C	3.5	C	1.1	7.35	12.6	1.1	11.5	20
C	0.0	C	0.0	C	0.0	C	0.0	NNW	1.1	1.59	4.8	0.0	4.8	21
S	12.8	S	13.1	SSW	14.3	SSW	13.3	SSW	11.8	9.60	15.9	0.0	15.9	22
SSW	7.8	SSW	9.7	SSW	10.5	SSW	11.1	SSW	12.3	4.50	12.3	0.0	12.3	23
SW	16.1	SW	17.0	SW	16.0	SW	13.3	SSW	11.5	14.76	20.1	10.2	9.9	24
C	0.0	WSW	3.8	SSW	6.7	SSW	7.8	SSW	7.2	5.75	14.3	0.0	14.3	25
SSW	8.0	SSW	5.6	SSW	6.9	SSW	11.9	SSW	12.1	5.56	12.1	0.0	12.1	26
SW	5.6	SW	4.8	C	2.3	C	0.0	C	0.0	7.63	10.7	0.0	10.7	27
SSW	4.9	SSW	9.6	SSW	4.9	NE	4.6	C	2.5	4.39	13.4	0.0	13.4	28
SSW	8.9	SSW	5.6	W	3.4	SW	2.8	C	1.1	2.95	8.9	0.0	8.9	29
NE	6.7	NE	8.6	NE	7.4	E	6.2	ENE	3.0	5.07	10.5	0.0	10.5	30
C	5.2	C	2.5	C	0.0	C	0.0	C	0.0	2.07	5.2	0.0	5.2	31
	7.64		7.73		7.17		7.22		6.47	6.48	12.27	1.86	10.41	Med.
S: 15 (21); SSW: 194 (265); SW: 94 (129); WSW: 25 (34); W: 4 (5); WNW: 1 (1); NW: 1 (1); NNW: 1 (1); Observationszahl: 732 (100)														

Windrichtung—Windgeschwindigkeit

Höhe des Anemometers: 2 m. über Erdoberfläche; 4 m. über Meeresniveau

Juni 1903

Dat.	1 a. m.		2 a. m.		3 a. m.		4 a. m.		5 a. m.		6 a. m.	
		m/s		m/s		m/s		m/s		m/s		m/s
1	C	0.0	C	0.0	C	1.2	C	1.1	S	2.8	C	3.1
2	SSW	13.6	SSW	13.6	SSW	13.9	SSW	(13.6)	SW	13.2	SSW	(12.8)
3	WSW	24.5	WSW	(22.3)	SW	20.0	SW	(17.5)	WSW	(14.9)	WSW	12.4
4	WSW	15.7	WSW	16.3	WSW	19.3	WSW	20.1	SW	17.8	SW	21.3
5	C	0.0	C	0.0	C	1.1	.	1.3	NE	1.2	C	1.0
6	C	1.1	C	0.0	C	0.0	.	1.5	NE	1.5	SE	4.3
7	S	7.5	.	5.1	NE	2.6	.	1.6	C	1.1	C	0.0
8	C	0.0	C	0.0	C	0.0	C	0.0	C	0.0	C	0.0
9	SSW	14.9	SSW	15.7	SW	15.0	SW	14.2	SW	14.0	SW	13.4
10	C	0.0	C	0.0	C	0.0	C	0.0	C	0.0	C	0.0
11	ENE	1.6	.	1.5	C	1.5	C	1.1	NNW	1.6	SSW	14.9
12	C	0.0	.	2.6	C	1.7	SSW	8.2	SSW	11.3	SSW	9.3
13	SW	7.7	SW	9.5	SSW	8.3	SSW	8.3	SSW	11.4	SW	12.0
14	SSW	5.6	C	1.2	C	0.0	C	0.0	NE	1.5	C	1.3
15	C	0.0	C	0.0	C	0.0	C	1.1	C	0.0	SSW	6.3
16	SSW	8.2	SSW	9.6	SW	9.0	SW	9.4	SW	10.4	SW	10.2
17	SW	9.4	SW	8.8	WSW	7.9	WSW	9.5	SW	7.7	SSW	6.6
18	SW	9.9	SW	9.6	SW	9.5	SW	8.4	SW	9.7	SW	10.2
19	SSW	10.4	SSW	8.7	SW	5.8	SW	5.0	SW	5.2	W	3.0
20	NE	0.0	C	1.1	C	0.0	C	0.0	C	0.0	C	0.0
21	C	1.8	C	1.1	C	0.0	C	1.8	.	1.8	NNE	1.2
22	SW	8.6	SW	8.3	SSW	8.2	SSW	9.8	SSW	11.1	SSW	10.2
23	C	0.0	C	0.0	C	0.0	C	0.0	C	0.0	C	0.0
24	SW	1.7	SW	3.6	SW	1.5	.	1.9	ENE	1.9	W	2.2
25	NE	4.6	NE	1.6	ENE	1.7	C	1.1	C	1.3	NNE	1.1
26	C	0.0	C	0.0	C	0.0	C	0.0	C	0.0	C	0.0
27	S	10.2	SSW	8.9	SSW	8.0	SW	7.4	SW	9.3	SW	9.7
28	ENE	1.7	ENE	2.6	ENE	4.3	C	1.2	C	1.1	C	0.0
29	C	0.0	.	.	SSW	12.0	.	.	C	0.0	C	0.0
30	NE	8.2	NE	8.2	NE	7.1	NE	5.2	NE	7.9	E	6.2
Med.		5.56		5.51		5.32		5.18		5.32		5.76

Windrichtung—Windgeschwindigkeit

Höhe des Anemometers: 2 m. über Erdfäche; 4 m. über Meeresniveau

1903 Juni

7 a. m.		8 a. m.		9 a. m.		10 a. m.		11 a. m.		Mtg.		Dat.
	m/s		m/s		m/s		m/s		m/s		m/s	
NE	1.6	SW	5.6	SSW	9.9	SSW	9.1	SSW	9.9	SSW	8.9	1
SSW	12.4	SSW	15.0	SSW	12.4	SW	(10.0)	SSW	7.5	SSW	7.7	2
WSW	(13.1)	SW	(13.8)	WSW	(14.5)	WSW	(15.2)	WSW	15.9	SW	15.5	3
SW	20.1	SW	20.3	SW	18.6	SW	16.4	SSW	15.3	SSW	11.2	4
C	1.1	C	1.2	NE	1.1	C	0.0	C	0.0	C	0.0	5
SE	5.2	WSW	2.4	SSW	3.0	SSW	12.1	SSW	12.6	SSW	13.6	6
C	0.0	C	0.0	ENE	3.3	NE	3.6	E	4.8	ESE	5.3	7
C	0.0	C	0.0	C	1.1	C	0.0	C	0.0	C	0.0	8
SW	15.3	SW	14.6	SW	10.7	SW	8.9	SW	9.1	SSW	6.1	9
C	0.0	C	0.0	C	0.0	C	0.0	C	0.0	C	0.0	10
SSW	16.4	S	16.8	S	15.7	SSW	15.5	SSW	12.5	SSW	12.2	11
SSW	8.2	SSW	7.9	SSW	8.1	SSW	9.4	SSW	9.6	SSW	8.0	12
SW	12.8	SSW	12.6	SSW	10.6	SW	11.6	SSW	10.5	SSW	12.2	13
C	0.0	C	0.0	C	1.1	C	1.3	C	0.0	C	0.0	14
SSW	6.7	SSW	5.5	SW	0.0	C	0.0	C	0.0	C	0.0	15
SW	8.9	SW	13.0	SSW	9.8	SSW	8.0	SSW	10.5	SSW	11.1	16
SW	7.0	SSW	6.4	SW	6.7	SW	8.0	SSW	10.2	SSW	11.6	17
SSW	12.3	SW	10.2	SSW	10.6	SSW	11.0	SSW	9.3	WSW	9.6	18
SSW	4.5	SSW	5.2	SSW	6.2	S	7.9	SSW	7.3	SW	8.6	19
C	0.0	C	0.0	C	0.0	C	0.0	C	0.0	C	0.0	20
C	0.0	C	0.0	C	0.0	C	0.0	C	0.0	E	3.1	21
SSW	10.7	SSW	9.8	SSW	8.7	SSW	6.3	C	1.3	C	0.0	22
C	0.0	NE	0.0	C	0.0	C	0.0	E	1.5	ENE	1.5	23
W	2.2	W	4.7	C	0.0	W	2.2	C	0.0	C	1.1	24
SSW	3.3	SW	7.5	SSW	12.7	SW	12.2	SSW	14.3	SSW	11.2	25
C	0.0	C	0.0	C	1.1	C	0.0	Var	2.6	SSW	11.5	26
SW	7.8	SW	8.6	SW	8.1	SW	8.8	SSW	7.8	SSW	7.1	27
C	0.0	C	0.0	C	0.0	C	0.0	C	0.0	C	0.0	28
C	0.0	C	0.0	SW	.	C	0.0	C	0.0	C	0.0	29
Var	4.5	SSW	9.5	SE	5.6	WSW	9.8	SSW	13.8	SSW	13.4	30
	5.80		6.35		6.19		6.24		6.21		6.35	Med.

Windrichtung—Windgeschwindigkeit

Höhe des Anemometers: 2 m. über Erdofläche; 4 m. über Meeresniveau

Juni 1903

Dat.	1 p. m.		2 p. m.		3 p. m.		4 p. m.		5 p. m.		6 p. m.		7 p. m.	
		m/s		m/s		m/s		m/s		m/s		m/s		m/s
1	SW	6.7	Var	1.8	NE	2.2	C	1.2	SSW	3.1	SSW	4.6	SSW	7.8
2	SW	8.3	SW	3.1	WSW	12.3	SW	8.7	SW	5.8	SW	9.9	SW	6.5
3	WSW	17.2	WSW	18.1	WSW	18.9	SW	21.1	WSW	18.8	SW	19.9	SW	20.7
4	SSW	10.2	SSW	11.1	SSW	7.7	SSW	7.4	W	1.6	C	2.1	Var	(8.4)
5	C	0.0	C	1.2	NE	1.3	C	0.0	C	0.0	C	0.0	C	1.2
6	SSW	12.2	SSW	13.9	SSW	12.6	SSW	12.4	SSW	11.5	SSW	13.5	SSW	12.8
7	NE	5.0	ENE	4.6	ENE	5.0	NE	4.0	ENE	4.6	ENE	5.5	ENE	4.7
8	C	1.1	S	6.1	SSW	16.2	SSW	19.5	SSW	20.1	SSW	19.2	SW	19.6
9	SSW	5.2	SSW	3.9	C	0.0	C	0.0	C	0.0	C	0.0	NE	2.2
10	C	0.0	C	0.0	C	0.0	C	0.0	C	1.1	ENE	1.2	Var	1.1
11	SSW	12.0	SSW	9.8	SSW	10.5	SSW	9.1	SSW	4.3	SE	1.6	C	1.2
12	SSW	7.0	SSW	6.6	SSW	7.5	SSW	6.9	SSW	6.9	SSW	7.7	SSW	8.0
13	SW	11.1	SSW	10.3	SSW	12.2	SSW	12.1	SSW	12.2	SSW	9.8	SW	8.2
14	C	0.5	C	0.0	C	0.0	C	0.0	C	0.0	C	0.0	C	0.0
15	NE	2.6	SSW	8.0	SSW	7.1	SSW	9.3	SSW	8.8	SSW	9.6	SSW	9.6
16	SSW	12.3	SSW	6.6	SSW	7.4	SSW	9.0	SSW	9.3	SSW	8.6	SSW	10.5
17	S	13.2	SSW	15.0	SSW	16.2	SW	17.7	SW	17.6	SW	17.3	SW	16.5
18	SSW	9.0	SSW	11.0	SSW	13.0	SSW	14.2	SSW	11.8	SSW	12.5	S	14.0
19	SW	8.7	SW	8.6	SW	8.2	SSW	8.1	SSW	7.4	SSW	7.2	SW	4.7
20	C	0.0	C	1.1	C	1.1	C	0.0	C	0.0	C	0.0	C	0.0
21	ENE	3.3	NE	5.1	NE	5.8	NE	5.3	NNE	6.1	ENE	8.0	ENE	8.9
22	C	0.0	C	0.0	C	0.0	C	0.0	C	0.0	SE	2.5	C	1.2
23	E	1.5	ENE	1.8	ENE	2.4	NE	0.0	EE	0.0	NE	0.0	NE	0.0
24	C	0.0	WNW	1.5	WNW	1.2	W	1.7	C	0.0	C	0.0	C	0.0
25	SSW	10.5	SSW	12.5	SSW	11.2	SW	12.0	SSW	9.8	SSW	10.1	SSW	9.9
26	SSW	13.7	SSW	13.8	SSW	13.7	SW	14.7	SSW	14.2	SSW	15.0	SSW	13.7
27	SSW	7.0	SSW	6.1	SSW	7.1	SSW	6.6	SSW	6.5	SSW	5.1	SW	5.7
28	C	0.0	ENE	1.0	NNE	0.0	SSW	1.1	SSW	0.8	NE	1.1	NE	4.9
29	C	1.1	NE	2.6	NE	8.7	NNE	9.4	NE	8.7	NE	11.6	NE	9.5
30	SSW	14.5	SSW	15.3	SSW	14.7	SSW	10.7	SSW	7.0	W	2.6	NE	2.0
Med.		6.45		6.68		7.47		7.41		6.60		6.87		7.12
N: 1 (1); NNE: 5 (7); NE: 53 (75); ENE: 32 (45); E: 9 (13); ESE: 1 (3); SE: 6 (8); SSE: 0 (0); C: 219 (509); Var: 8 (11)														

Windrichtung—Windgeschwindigkeit

Höhe des Anemometers: 2 m. über Erdfläche; 4 m. über Meeresniveau

1903 Juni

8 p. m.		9 p. m.		10 p. m.		11 p. m.		Mitn.	Med.	Max.	Min.	Diff.	Dat.	
	m/s		m/s		m/s		m/s	m/s	m/s	m/s	m/s	m/s		
SSW	8.4	SSW	8.3	S	9.6	SSW	1.8	SSW	13.4	5.50	13.4	0.0	13.4	1
SW	6.1	WSW	7.8	W	9.6	SSW	10.5	WSW	11.0	10.22	13.9	3.1	10.8	2
WSW	19.9	WSW	20.3	SW	19.9	SW	17.0	SW	13.4	17.70	24.5	12.4	12.1	3
ENE	6.7	NE	6.2	NE	7.0	C	2.3	C	1.3	11.85	21.3	1.3	20.0	4
C	1.1	C	0.0	C	0.0	C	0.0	C	1.1	0.54	1.3	0.0	1.3	5
SSW	12.8	SSW	12.2	S	13.3	SSW	13.3	SSW	9.8	8.65	13.6	0.0	13.9	6
ENE	2.9	ENE	2.3	C	1.2	C	0.0	E	1.7	3.18	7.5	0.0	7.5	7
SW	19.2	SSW	20.7	SSW	17.5	SSW	13.7	SSW	15.1	7.88	20.7	0.0	20.7	8
C	1.3	C	1.1	C	1.2	C	0.0	C	0.0	6.95	15.7	0.0	15.7	9
Var	1.2	Var	1.3	C	1.1	C	1.2	C	1.6	0.41	1.6	0.0	1.6	10
C	2.2	SE	3.1	C	1.2	ENE	1.7	C	0.0	7.00	16.8	0.0	16.8	11
SSW	9.1	SSW	8.7	S	8.0	SSW	6.5	SSW	8.6	7.32	11.3	0.0	11.3	12
SW	11.5	SSW	8.7	SSW	11.9	SSW	9.0	SSW	7.5	10.50	12.8	7.5	5.3	13
C	0.0	C	0.0	C	0.0	C	0.0	C	0.0	0.50	5.6	0.0	5.6	14
SSW	10.4	SSW	11.1	SSW	9.4	SSW	7.9	SSW	8.3	5.07	11.1	0.0	11.1	15
SSW	11.4	SSW	10.4	SSW	9.0	SSW	10.1	SW	6.7	9.56	13.0	6.6	6.4	16
SW	16.8	SSW	14.7	SW	13.1	SW	10.7	SSW	9.3	11.58	17.7	6.4	11.3	17
SSW	13.4	SSW	13.6	SSW	13.1	SSW	13.3	SSW	11.6	11.28	14.2	8.4	5.8	18
SSW	5.6	SSW	3.9	SSW	1.9	NE	2.2	NE	1.6	6.08	10.4	1.6	8.8	19
C	1.1	C	0.0	C	0.0	ENE	2.4	E	1.6	0.35	2.4	0.0	2.4	20
ENE	8.1	ENE	6.6	ENE	3.6	NE	1.8	SW	3.3	3.20	8.9	0.0	8.9	21
C	0.0	C	0.0	C	0.0	C	0.0	NE	1.1	4.07	11.1	0.0	11.1	22
NE	0.0	C	2.8	NE	2.0	SW	2.4	Var	1.6	0.73	2.8	0.0	2.8	23
C	0.0	C	1.3	NE	3.1	NE	1.1	C	2.8	1.49	3.6	0.0	3.6	24
SSW	9.3	SSW	10.3	SSW	8.2	SW	2.8	C	0.0	7.47	12.7	0.0	12.7	25
SSW	14.0	SSW	14.9	SSW	14.0	SSW	11.9	SSW	10.4	7.47	15.0	0.0	15.0	26
C	1.5	C	0.0	C	3.0	C	0.0	C	0.0	6.14	10.2	0.0	10.2	27
ENE	5.0	ENE	10.3	ENE	6.1	NE	1.9	C	0.0	1.80	10.3	0.0	10.3	28
NE	9.0	NE	9.6	NE	9.0	NE	7.1	NE	7.3	5.03	11.6	0.0	11.6	29
C	0.0	ENE	1.1	E	1.1	N	1.6	C	1.1	7.13	15.3	0.0	15.3	30
	6.93		7.34		6.50		5.47		5.04	6.24	11.69	1.58	10.11	Med.
S: 12 (17); SSW: 222 (315); SW: 106 (149); WSW: 26 (37); W: 7 (10); WNW: 2 (3); NW: 0 (0); NNW: 1 (1); Observationszahl: 710 (1000).														

Windrichtung—Windgeschwindigkeit

Höhe des Anemometers: 2 m. über Erdofläche; 4 m. über Meeresniveau

Juli 1903

Dat.	1 a. m.		2 a. m.		3 a. m.		4 a. m.		5 a. m.		6 a. m.	
		m/s		m/s		m/s		m/s		m/s		m/s
1	ENE	1.5	Var	1.5	SSW	3.8	SSW	3.2	SSW	2.8	SE	4.0
2	C	0.0	C	1.1	NE	1.8	NE	2.6	C	1.6	SSE	4.1
3	SW	19.4	SW	20.0	SW	20.0	SW	21.6	SW	22.5	SW	21.9
4	WSW	23.5	WSW	24.5	WSW	21.8	WSW	20.3	WSW	17.8	WSW	15.9
5	SE	1.2	C	0.0	SSW	4.0	SW	6.5	SW	6.6	SSW	7.7
6	C	0.0	C	0.0	C	0.0	C	0.0	C	0.0	C	0.0
7	C	1.5	.	1.2	SSW	1.5	.	1.8	NE	2.0	SW	1.5
8	Var	3.3	NE	2.0	C	0.0	C	1.2	C	1.1	C	0.0
9	C	0.0	C	0.0	C	0.0	C	1.1	C	0.0	C	0.0
10	SSW	14.9	SSW	9.7	SSW	11.2	SSW	11.3	SW	15.3	SW	14.2
11	ENE	5.5	NE	5.4	NE	3.0	C	1.6	SSW	6.6	ENE	3.0
12	SSW	11.2	SSW	9.4	SSW	8.9	SSW	7.5	SSW	6.7	SSW	7.2
13	SW	15.2	SW	16.1	SW	16.8	SW	18.3	SW	20.2	SW	20.9
14	SSW	11.5	SSW	15.4	SSW	16.1	SSW	15.9	SSW	13.4	SSW	9.5
15	E	8.4	E	8.0	E	8.0	ESE	7.4	ESE	5.6	ESE	5.3
16	SW	19.4	SW	18.7	SW	16.8	SW	19.1	SSW	17.7	SW	17.8
17	C	0.0	.	2.3	NE	2.9	.	1.8	C	1.5	C	1.2
18	NNW	5.1	N	5.2	NNE	7.7	NNE	8.9	NNE	9.3	NNE	9.6
19	NE	10.9	NE	12.2	NE	9.8	NNE	9.3	N	10.5	NNW	12.1
20	NNE	10.9	NE	8.9	ENE	4.9	NE	6.4	NNE	8.3	NNE	12.1
21	S	13.4	SSW	11.0	SSW	9.5	.	6.9	NE	2.4	C	1.6
22	SSW	8.8	SSW	8.7	SSW	9.7	S	7.0	S	5.5	C	3.5
23	SSW	14.4	SSW	11.8	SSW	12.6	SW	12.7	SW	13.6	SSW	13.6
24	C	1.8	.	3.4	C	1.9	.	2.2	SW	7.9	SSW	8.1
25	Var	5.2	.	6.9	N	5.5	NE	6.1	ENE	3.6	ENE	4.1
26	NE	1.8	C	0.0	C	2.8	C	1.6	C	1.3	NE	2.6
27	SW	16.4	SW	19.1	SW	14.2	SW	17.0	SW	17.3	SW	17.6
28	C	1.5	C	0.0	C	0.0	C	1.1	C	1.1	C	1.3
29	SW	20.9	SW	24.3	SW	26.7	SW	26.3	SW	25.2	SW	22.1
30	SW	22.0	SW	22.3	SW	20.4	SW	20.4	SW	23.6	SSW	22.6
31	SW	12.1	SSW	11.6	SSW	11.9	SSW	11.3	SSW	10.7	SW	17.6
Med.		9.09		9.05		8.85		8.98		9.09		9.12

Windrichtung—Windgeschwindigkeit

Höhe des Anemometers: 2 m. über Erdofläche; 4 m. über Meeresniveau

1903 Juli

7 a. m.		8 a. m.		9 a. m.		10 a. m.		11 a. m.		Mtg.	Dat.	
	m/s		m/s		m/s		m/s		m/s			
Var	2.6	C	1.6	C	1.3	C	0.0	C	0.0	C	1.1	1
SSE	4.8	SE	4.2	SE	5.2	ESE	6.4	ESE	6.9	E	7.0	2
SW	21.8	WSW	21.6	SW	22.0	WSW	22.0	WSW	23.5	SW	22.9	3
WSW	10.6	SSW	6.9	SSW	5.5	SSW	6.2	WSW	4.7	SSW	4.0	4
SSW	12.0	W	8.3	SW	12.6	SW	12.7	WSW	11.4	SW	11.1	5
C	0.0	C	0.0	C	0.0	C	0.0	C	0.0	C	0.0	6
Var	2.8	S	3.9	C	1.6	C	1.5	Var	1.6	Var	2.8	7
ENE	2.0	NNE	1.5	ENE	2.0	C	1.5	E	4.3	ENE	4.1	8
C	0.0	C	0.0	C	0.0	C	0.0	C	0.0	C	0.0	9
SSW	13.9	SSW	11.5	SSW	11.1	S	8.7	SSW	11.0	SSW	10.7	10
NE	1.9	NNE	2.2	C	1.5	C	1.3	C	1.6	SSW	6.6	11
SSW	5.0	SSW	5.0	SSW	3.4	SSW	3.6	WSW	2.6	SSW	2.5	12
SW	19.4	WSW	18.2	SW	17.1	WSW	20.0	SW	18.3	SW	17.5	13
SSW	4.3	C	1.9	Var	1.3	NE	1.6	Var	1.9	Var	1.9	14
E	4.3	SSW	5.0	SSW	10.3	S	11.5	S	10.7	SSW	11.5	15
SW	18.2	SW	17.5	SW	18.3	SSW	16.5	SW	16.3	SSW	13.4	16
NE	2.3	C	1.5	C	1.5	C	1.3	Var	2.0	Var	1.6	17
NNE	9.3	NNE	7.7	NNE	8.4	NNE	9.9	NNE	10.6	NNE	11.1	18
N	12.2	NNE	12.7	NE	14.0	NNE	15.9	NNE	15.1	NE	14.6	19
NNE	12.1	NNE	9.3	NNE	7.0	N	3.8	NNE	5.1	NE	5.3	20
C	1.2	C	1.1	C	1.2	C	1.5	C	0.0	ENE	1.9	21
S	1.2	C	0.0	NE	1.8	NE	2.5	S	2.0	ENE	3.6	22
SSW	12.3	SSW	14.6	SW	16.6	SSW	14.3	SW	13.9	SSW	12.0	23
SSW	8.1	SSW	8.3	SSW	9.6	SSW	10.1	SSW	7.0	NE	1.7	24
ENE	5.3	C	1.2	C	0.0	SSW	1.2	S	2.6	C	0.0	25
NE	4.1	NNW	5.0	NNE	4.6	ENE	4.3	NE	5.7	Var	2.5	26
SW	17.9	SSW	(15.4)	SSW	(15.0)	SSW	13.6	SSW	(10.1)	SW	6.7	27
C	1.1	SSW	5.8	SSW	11.9	SSW	16.4	SW	17.1	SSW	15.2	28
SW	22.9	SW	23.6	WSW	24.3	SW	23.0	SW	21.4	SW	21.1	29
SW	21.0	SW	20.1	SW	18.4	SW	16.1	SSW	17.6	SSW	21.5	30
SW	19.4	SW	17.6	SSW	14.7	SW	12.3	SSW	11.6	SSW	12.3	31
	8.77		8.17		8.46		8.38		8.28		8.01	Med.

Windrichtung—Windgeschwindigkeit

Höhe des Anemometers: 2 m. über Erdfäche; 4 m. über Meeresniveau

Juli 1903

Dat.	1 p. m.		2 p. m.		3 p. m.		4 p. m.		5 p. m.		6 p. m.		7 p. m.	
		m/s		m/s		m/s		m/s		m/s		m/s		m/s
1	C	1.1	SSE	1.8	NE	1.5	SSE	2.3	C	1.3	C	1.5	C	1.1
2	ESE	7.3	ESE	7.5	E	7.9	E	8.1	Var	3.9	SSW	7.7	SSW	11.1
3	SW	23.4	SW	23.3	SW	22.5	SW	22.7	SW	19.9	WSW	18.9	SW	19.3
4	S	2.9	SSW	2.9	S	2.9	SSW	7.1	SSW	5.9	SSW	4.6	SSW	6.2
5	SW	10.5	SSW	11.5	SSW	11.3	SSW	10.3	SSW	9.3	ENE	5.6	SSW	4.3
6	C	0.0	C	0.0	C	0.0	C	0.0	SSW	1.3	C	1.1	SSW	1.3
7	SSW	9.0	S	10.4	SSW	9.1	S	7.7	SSW	8.0	S	11.3	SSW	8.8
8	NE	4.5	ENE	4.3	ESE	3.8	C	1.9	ENE	3.2	C	1.5	C	0.0
9	C	1.5	Var	2.0	NE	3.4	NE	9.3	NNE	10.2	NNE	12.7	NNE	13.1
10	SSW	7.8	Var	3.0	Var	4.3	NNE	1.8	C	1.1	Var	1.6	C	1.2
11	SSW	9.9	SSW	12.3	SSW	13.0	SSW	13.2	SSW	13.2	SW	12.8	SSW	11.1
12	SW	4.5	SW	6.6	SW	7.2	SSW	8.7	SSW	9.5	SSW	10.3	SW	11.4
13	SW	14.0	SW	16.0	WSW	8.7	SW	9.8	SSW	6.6	C	1.9	C	2.0
14	Var	2.3	Var	1.9	Var	1.8	Var	3.1	Var	1.7	Var	1.3	C	1.2
15	SSW	13.0	SSW	13.4	SSW	14.3	SSW	15.5	SW	16.1	SW	17.5	SSW	16.3
16	SSW	8.9	SSW	10.3	SSW	9.0	SSW	8.3	SSW	7.3	SSW	4.9	S	6.7
17	Var	0.0	ENE	3.9	NE	5.9	NE	6.5	NE	6.1	N	5.3	ENE	6.4
18	NNE	11.3	NNE	9.7	NNE	11.0	NNE	9.6	NNE	12.6	NNE	13.6	NNE	12.2
19	NE	13.2	NE	12.5	NE	11.8	NE	11.5	NNE	12.6	NE	11.8	NNE	7.8
20	NE	7.0	NE	5.3	NNE	7.9	NNE	9.7	NE	8.8	NE	5.9	NNE	8.3
21	ENE	1.8	NE	7.8	ENE	8.7	ENE	7.4	NE	4.2	NE	4.2	ENE	3.3
22	ENE	5.7	NNE	6.3	NE	5.2	NNE	7.1	NNE	7.1	NNE	3.9	ENE	5.0
23	SW	12.1	SW	10.2	SSW	10.9	SSW	13.2	SWW	14.6	SW	18.7	SW	11.3
24	Var	1.2	Var	1.2	C	1.5	Var	1.5	C	4.2	Var	1.7	C	1.8
25	C	0.0	C	0.0	C	0.0	C	1.2	C	0.0	C	0.0	C	1.3
26	NNE	5.6	NNE	9.4	NNW	7.1	NNE	10.4	NNE	8.9	NNW	8.1	N	10.7
27	S	7.2	W	4.8	SSW	4.1	SSW	4.3	SSW	2.8	C	1.3	C	0.0
28	SSW	15.7	SSW	16.8	SSW	21.4	SSW	22.3	SW	22.7	SW	23.0	SW	21.5
29	SW	16.6	SSW	13.8	SW	13.8	SW	16.2	SSW	13.4	SSW	15.4	SW	15.5
30	SSW	20.5	SW	20.9	SW	19.3	SW	19.3	SW	18.2	SSW	18.3	SSW	18.7
31	SW	3.1	SW	2.0	SSW	3.0	SSW	4.2	S	1.1	C	1.1	C	0.0
Med.		7.79		8.14		8.14		8.81		8.15		7.98		7.71
N: 8(11); NNE: 62(83); NE: 37(77); ENE: 39(53); E: 9(12); ESE: 10(14); SE: 4(5); SSE: 5(7); C: 148(201); Var: 33(45).														

Windrichtung—Windgeschwindigkeit

Höhe des Anemometers: 2 m. über Erdfläche; 4 m. über Meeresniveau

1903 Juli

8 p. m.		9 p. m.		10 p. m.		11 p. m.		Mttn.	Med.	Max.	Min.	Diff.	Dat.	
	m/s		m/s		m/s		m/s	m/s	m/s	m/s	m/s	m/s		
C	0.0	C	0.0	C	0.0	C	1.1	C	0.0	1.46	4.0	0.0	4.0	1
SSW	12.7	SSW	14.5	SSW	15.8	SW	17.9	SW	20.2	7.51	20.2	0.0	20.2	2
SW	20.3	SW	20.9	SW	20.5	WSW	20.7	WSW	21.8	21.39	23.5	18.9	4.6	3
C	1.8	ENE	3.2	Var	4.1	ENE	4.8	ENE	3.2	8.80	24.5	1.8	22.7	4
C	1.2	C	0.0	C	0.0	C	0.0	C	0.0	6.59	12.7	0.0	12.7	5
S	1.3	C	0.0	C	1.1	C	1.6	C	1.2	0.37	1.3	0.0	1.3	6
WSW	8.1	S	9.0	SSE	3.5	C	1.9	SSW	5.1	4.82	11.3	1.2	10.1	7
ENE	0.0	C	0.0	C	0.0	C	1.1	C	0.0	1.80	4.5	0.0	4.5	8
NNE	12.8	NE	11.1	NE	9.9	NEN	7.8	SSW	7.4	4.26	13.1	0.0	13.1	9
C	0.0	NE	1.3	ENE	3.3	ENE	5.1	ENE	5.8	7.51	14.9	0.0	14.9	10
S	10.4	SSW	11.0	SSW	13.4	SSW	13.2	SSW	13.2	7.75	13.4	1.3	12.1	11
SSW	10.4	SSW	9.5	SW	11.4	SW	13.4	WSW	15.2	7.96	15.2	2.5	12.7	12
NE	3.1	NE	2.6	ENE	3.9	SSW	5.9	SW	8.7	12.55	20.9	1.9	19.0	13
C	1.1	ENE	2.3	ESE	4.9	ESE	6.6	E	9.1	5.50	16.1	1.1	15.0	14
SSW	17.3	SW	17.3	SW	17.6	SW	20.1	SW	19.6	12.25	20.1	4.3	15.8	15
SSW	5.7	C	2.2	C	0.0	C	1.1	NNE	2.0	11.50	19.4	0.0	19.4	16
C	4.0	NE	5.8	Var	6.9	N	7.7	NNE	6.9	3.55	7.7	0.0	7.7	17
NNE	11.3	NNE	10.5	NNE	12.5	NNE	10.2	NNE	12.5	9.99	12.6	5.1	7.5	18
NE	6.6	NNE	8.0	NNE	9.3	NNE	8.8	NNE	11.8	11.46	15.9	6.6	9.3	19
SSW	14.9	SW	18.5	SSW	16.2	SSW	15.8	SSW	12.3	9.36	18.5	3.8	14.7	20
ENE	2.2	SW	2.6	SSW	8.4	SSW	9.4	SSW	8.4	5.00	13.4	1.1	12.3	21
ENE	7.8	ENE	10.7	NE	10.6	SSW	11.5	SSW	11.3	6.10	11.5	0.0	11.5	22
SW	5.2	C	0.0	SW	4.0	SW	5.0	SSW	1.8	11.23	18.7	0.0	18.7	23
ENE	3.9	ENE	4.9	NE	5.5	Var	3.4	Var	4.1	4.25	10.1	1.2	8.9	24
C	0.0	C	0.0	C	0.0	NE	2.4	C	1.2	1.91	6.9	0.0	6.9	25
NNE	9.7	NNE	7.8	SSW	10.6	SW	15.4	SW	17.0	6.54	17.0	0.0	17.0	26
C	1.1	C	1.3	C	1.1	SSW	1.5	C	1.3	8.80	17.9	0.0	17.9	27
SSW	20.0	WSW	23.4	SW	23.9	SW	24.6	SW	24.4	13.84	24.6	0.0	24.6	28
SW	18.4	WSW	19.3	SW	18.9	SW	20.2	SW	21.8	20.21	26.7	13.4	13.3	29
SSW	18.7	SSW	17.8	SSW	15.5	SSW	14.9	SSW	13.8	19.25	23.6	13.8	9.8	30
C	0.0	C	0.0	C	0.0	C	0.0	C	0.0	7.40	19.4	0.0	19.4	31
	7.42		7.60		8.15		8.81		9.07	8.42	15.47	2.52	12.95	Med.
S: 21 (28); SSW: 174 (237); SW: 135 (184); WSW: 24 (33); W: 2 (3); WNW: 0 (0); NW: 0 (0); NNW: 5 (7); Observationszahl: 736 (1000).														

Windrichtung—Windgeschwindigkeit

Höhe des Anemometers: 2 m. über Erdofläche; 4 m. über Meeresniveau

Augusti 1903

Dat.	1 a. m.		2 a. m.		3 a. m.		4 a. m.		5 a. m.		6 a. m.	
		m/s		m/s		m/s		m/s		m/s		m/s
1	C	0.0	C	0.0	C	0.0	C	0.0	C	0.0	C	0.0
2	C	1.6	NE	1.2	SSW	1.5	SW	1.3	SSW	1.5	C	1.2
3	S	8.4	S	10.2	SSW	9.1	SSW	9.3	SSW	9.4	S	8.6
4	SSW	6.6	SSW	6.1	S	5.6	S	7.4	S	7.9	C	4.1
5	C	1.6	.	1.5	Var.	3.8	.	6.2	N	5.0	C	5.2
6	SSW	11.9	SSW	14.9	SSW	15.2	SW	14.8	SW	17.2	SW	17.8
7	SSW	6.3	SSW	6.6	SSW	7.4	SSW	9.3	SSW	11.3	SSW	11.6
8	E	5.5	ENE	4.8	ENE	6.2	.	7.3	ESE	8.4	ENE	9.0
9	S	12.1	S	12.2	S	12.6	SSW	12.7	SSW	12.8	SSW	14.0
10	SSW	6.6	SSW	5.9	SSW	6.1	SSW	6.4	SSW	6.1	SSW	5.6
11	NE	0.0	C	0.0	NE	0.0	.	2.5	C	1.5	C	0.0
12	C	1.1	C	0.0	C	0.0	C	0.0	C	0.0	C	0.0
13	SSW	13.5	SSW	13.7	SSW	10.3	SSW	7.3	ENE	3.5	NE	5.1
14	N	7.8	NNW	9.0	NW	10.1	NNW	8.7	N	12.5	E	9.1
15	C	0.0	C	0.0	C	(0.0)	.	(3.5)	NNE	7.0	N	6.2
16	NNE	5.3	NNE	6.4	NE	6.2	NE	6.4	NE	5.5	NE	5.5
17	NE	9.9	NE	8.7	NE	9.5	NNE	7.8	NNE	10.1	NE	10.5
18	SW	18.3	SW	16.9	SW	16.9	SW	16.6	SW	14.6	SW	16.1
19	SW	12.8	SW	11.6	SSW	11.6	SSW	10.6	SSW	11.4	SSW	11.0
20	S	7.8	SSW	12.1	SW	14.2	SW	14.6	SSW	13.9	SSW	15.9
21	E	2.9	.	3.3	ENE	1.3	C	1.6	C	1.3	C	0.0
22	NE	9.0	NE	13.2	NNE	6.7	NNE	6.7	NNE	5.5	NNE	7.4
23	SW	14.5	SSW	16.5	SSW	14.4	SSW	15.0	SSW	16.0	S	16.8
24	SW	(29.6)	SW	(31.1)	SW	32.7	SW	(29.8)	SW	27.0	SW	(25.5)
25	WSW	25.0	WSW	24.3	WSW	24.5	WSW	25.7	WSW	23.8	WSW	21.6
26	WSW	22.9	WSW	(22.2)	WSW	(21.6)	WSW	(21.0)	WSW	20.4	WSW	(20.4)
27	SW	(19.2)	SW	(18.2)	SW	(17.1)	SW	(16.1)	WSW	(15.1)	SW	14.1
28	SSW	8.4	SSW	6.5	SSW	5.3	C	2.2	NNE	1.9	C	0.0
29	SSW	8.9	SSW	9.1	SSW	7.0	SSW	9.5	SSW	13.2	SSW	11.5
30	SSW	8.7	SSW	9.9	SSW	10.4	SSW	9.3	SSW	8.1	ENE	3.8
31	E	2.8	ENE	4.3	ENE	4.0	E	5.0	E	5.0	E	3.5
Med.	.	9.32	.	9.69	.	9.40	.	9.50	.	9.58	.	9.07

Windrichtung—Windgeschwindigkeit

Höhe des Anemometers: 2 m. über Erdfläche; 4 m. über Meeressniveau

1903 Augusti

7 a. m.		8 a. m.		9 a. m.		10 a. m.		11 a. m.		Mittg.	Dat.	
	m/s		m/s		m/s		m/s		m/s			
C	0.0	C	0.0	C	0.0	C	0.0	C	0.0	C	0.0	1
SSW	1.2	C	0.0	C	1.1	C	0.0	C	0.0	C	0.0	2
S	2.6	S	4.7	SW	2.0	C	1.5	C	1.1	C	1.1	3
C	1.1	C	1.2	C	0.0	Var.	1.2	SSW	5.5	SW	4.1	4
SSW	9.9	S	3.3	E	2.4	SE	2.5	ESE	1.5	C	1.1	5
SW	17.6	SW	17.9	SW	16.6	SW	17.5	SW	17.3	SSW	12.3	6
SW	12.7	SSW	13.7	SSW	13.0	SW	12.0	SSW	10.5	SSW	9.4	7
ENE	9.9	ENE	10.7	NNE	7.2	NE	6.9	NNE	5.1	Var.	2.0	8
SSW	15.1	SSW	14.3	SSW	14.2	SSW	13.8	SSW	14.6	SSW	14.5	9
SSW	5.5	SSW	3.6	SSW	6.5	SSW	7.7	S	7.8	SSW	8.0	10
C	0.0	C	0.0	C	0.0	C	0.0	WSW	2.5	SW	5.5	11
E	2.4	C	0.0	C	0.0	C	0.0	C	0.0	NE	1.2	12
NE	7.3	NE	7.9	ENE	8.0	NE	8.4	NE	6.9	NE	4.9	13
NE	13.3	NNE	17.5	N	14.9	N	7.5	Var.	7.0	E	9.3	14
N	7.9	N	9.1	N	12.7	NNE	11.8	NNE	10.9	Var.	7.3	15
NE	7.9	E	5.4	E	6.9	NE	8.7	E	5.3	NE	4.0	16
NE	9.3	NE	7.9	SSW	8.4	SSW	12.6	SSW	13.4	SSW	12.6	17
SSW	16.6	SW	13.4	SSW	12.0	SSW	10.5	SSW	10.4	S	11.6	18
SSW	10.7	SSW	8.7	SW	9.0	SSW	10.1	SSW	9.3	SSW	7.0	19
SSW	13.6	SSW	7.0	SSW	6.4	SSW	7.5	WSW	6.3	SSW	7.0	20
C	0.0	C	1.1	Var.	1.6	NE	4.7	NE	6.1	NE	7.4	21
NNE	8.1	NNE	7.7	NNE	6.9	NNE	7.3	NNE	5.6	NNW	3.0	22
SSW	18.4	SSW	18.9	SSW	17.2	SSW	19.1	SSW	22.0	SSW	19.1	23
SW	24.0	SW (24.0)	SW (23.9)	SW (23.9)	SW (23.8)	SW (23.8)	SW (23.8)	SW (23.8)	SW (23.8)	WSW	23.0	24
SW	27.4	WSW	25.4	WSW	24.5	WSW	23.7	WSW	24.6	WSW	25.8	25
WSW (20.4)	SW (20.4)	WSW (20.4)	WSW (20.4)	WSW (20.4)	SW (19.4)	SW (19.4)	SW (19.4)	SW (18.5)	SW (18.5)	SW (17.6)	26	
SW (13.1)	SW (12.2)	SSW (12.2)	SSW (11.3)	SSW (11.3)	SSW (10.4)	SSW (10.4)	SSW (11.7)	SSW (11.7)	SSW (11.7)	SSW (13.0)	27	
C	0.0	C	0.0	C	0.0	C	1.1	C	0.0	C	1.5	28
SSW	11.1	SW	10.6	SW	10.6	SW	10.4	S	10.3	SSW	9.3	29
SSW	2.9	WSW	5.9	SSW	5.9	SW	4.6	WSW	3.3	WSW	4.3	30
SE	3.5	ESE	1.9	C	0.0	SW	1.5	WSW	5.5	SSW	9.3	31
.	9.47	.	8.85	.	8.50	.	8.59	.	8.61	.	8.29	Med.

Windrichtung—Windgeschwindigkeit

Höhe des Anemometers: 2 m. über Erdfläche; 4 m. über Meeresniveau

Augusti 1903

Dat.	1 p. m.		2 p. m.		3 p. m.		4 p. m.		5 p. m.		6 p. m.		7 p. m.	
		m/s		m/s		m/s		m/s		m/s		m/s		m/s
1	C	0.0	C	0.0	C	0.0	C	0.0	C	0.0	C	0.0	C	0.0
2	Var.	1.2	ENE	4.2	ENE	5.5	NNE	4.5	ESE	4.1	ENE	1.6	C	0.0
3	NNE	1.1	NE	1.9	ENE	1.9	SSW	3.0	SSW	10.4	S	7.0	SSW	3.9
4	SW	4.3	WSW	1.6	ENE	2.0	C	1.6	Var.	3.8	SSE	2.3	S	6.7
5	C	2.2	ENE	3.3	ENE	4.0	SE	4.2	E	9.0	E	5.1	E	6.7
6	SW	16.0	SW	20.1	SW	19.2	WSW	13.1	WSW	13.4	WSW	12.3	SW	11.2
7	SSW	7.5	SSW	5.5	NE	3.1	Var.	1.7	SSE	3.5	ESE	4.1	ENE	4.2
8	NW	1.6	NNE	1.6	C	1.1	C	0.0	NNE	1.3	ENE	2.5	SW	7.0
9	SSW	14.4	SSW	14.0	SSW	13.4	SSW	12.9	SSW	11.9	SSW	11.5	S	10.9
10	SSW	3.3	SSW	3.6	SSW	3.7	S	9.3	SSW	7.8	SSW	7.5	SSW	7.9
11	SSW	6.6	SSW	6.9	SSW	6.6	SSW	7.9	SSW	8.2	SSW	7.4	SSW	5.5
12	NE	2.5	E	2.0	C	1.1	C	2.2	NE	6.3	NE	7.5	NE	5.7
13	NE	2.2	NE	3.0	NNE	5.8	NE	6.5	NNW	4.8	Var.	5.6	Var.	6.3
14	ENE	3.3	NNE	10.3	NNE	11.3	NNE	14.3	N	13.8	N	11.9	N	9.3
15	ENE	2.0	WSW	5.3	SSW	(11.0)	SSW	16.6	SSW	19.3	SSW	19.3	SW	20.2
16	NNE	5.5	E	5.9	NNE	5.5	NNE	6.5	NE	8.0	NE	9.5	NNE	9.7
17	SSW	12.5	SSW	11.6	SSW	10.7	SSW	10.8	SSW	10.2	SSW	10.3	SSW	14.0
18	SSW	1.4	SSW	10.3	SSW	10.4	SSW	10.4	SSW	10.4	SW	11.9	SSW	11.6
19	SSW	7.0	SSW	9.8	SSW	9.7	SSW	9.8	SSW	11.3	SSW	11.0	SSW	11.5
20	S	6.4	S	4.9	ENE	3.5	ENE	3.1	C	1.9	C	1.1	C	0.0
21	NE	7.8	NE	7.5	NE	6.7	NE	7.4	NNE	5.9	NNE	5.6	NE	7.4
22	C	0.0	C	0.0	C	1.2	C	1.6	NNE	2.3	WNW	4.1	SSW	10.1
23	SSW	20.2	SSW	19.5	SW	19.4	SW	21.2	SW	20.4	SW	21.3	SW	22.7
24	SW	22.2	WSW	21.9	SW	20.7	SW	21.4	SW	21.1	SW	21.9	SW	24.8
25	SW	24.9	SW	22.7	SW	21.6	SW	20.1	WSW	21.3	WSW	(21.5)	SW	20.4
26	WSW	(17.6)	WSW	(17.7)	WSW	(17.8)	SW	17.8	SW	(17.2)	SW	(16.7)	SW	(16.2)
27	SSW	14.4	SSW	13.0	SSW	12.3	SSW	13.2	SSW	12.5	SSW	13.3	SSW	11.8
28	NNW	1.2	C	0.0	C	0.0	C	0.0	C	0.0	C	0.0	C	0.0
29	SSW	10.1	SSW	8.9	SSW	9.8	SSW	10.5	SSW	10.2	SSW	9.1	SSW	8.8
30	SW	4.0	SW	3.0	SW	2.2	W	2.4	C	0.0	C	0.0	C	0.0
31	SSW	12.5	SSW	13.7	SSW	15.4	SSW	15.0	SSW	16.6	SSW	16.5	SSW	18.1
Med.	.	8.25	.	8.35	.	8.44	.	9.00	.	9.25	.	9.01	.	9.44
N: 13 (22); NNE: 36 (49); NE: 56 (76); ENE: 32 (43); E: 27 (36); ESE: 6 (8); SE: 3 (4); SSE: 2 (3); C: 110 (149); Var.: 22 (30)														

Windrichtung—Windgeschwindigkeit

Höhe des Anemometers: 2 m. über Erdoberfläche; 4 m. über Meeresniveau

1903 Augusti

8 p. m.		9 p. m.		10 p. m.		11 p. m.		Mttm.	Med.	Max.	Min.	Diff.	Dat.	
	m/s		m/s		m/s		m/s	m/s	m/s	m/s	m/s	m/s		
C	0.0	C	1.2	C	1.5	SSW	1.2	NE	1.7	0.23	1.7	0.0	1.7	1
C	0.0	C	0.0	C	0.0	ENE	1.2	C	0.0	1.37	5.5	0.0	5.5	2
S	6.1	S	4.2	SSW	8.6	S	6.4	SSW	6.1	5.57	10.2	1.1	9.1	3
SSW	6.2	ENE	3.6	E	2.2	E	1.9	ENE	1.8	3.70	6.7	1.1	5.6	4
ESE	5.8	Var.	3.4	Var.	3.8	WNW	3.5	Var.	2.3	4.05	9.9	1.1	8.8	5
SSW	9.1	SSW	5.9	S	6.2	SSW	5.8	SSW	5.4	13.90	19.2	5.3	13.9	6
ESE	4.8	E	4.9	E	5.3	E	6.4	E	6.4	7.55	13.7	1.7	12.0	7
SSW	8.6	SSW	8.1	SSW	9.0	S	10.2	S	11.5	6.06	11.5	0.0	11.5	8
SSW	9.8	SSW	9.8	S	8.9	S	8.7	SW	8.4	12.40	15.1	8.4	6.7	9
SSW	7.5	SSW	7.1	SSW	6.1	Var.	1.8	Var.	1.8	6.59	9.3	1.8	7.5	10
SW	4.2	SW	4.1	SW	3.0	C	1.1	C	0.0	3.06	8.2	0.0	8.2	11
N	6.3	N	8.3	N	5.6	NNW	7.4	NNW	6.7	2.26	8.3	0.0	8.3	12
Var.	7.1	Var.	7.3	Var.	6.9	Var.	5.9	Var.	5.1	6.80	13.7	2.2	11.5	13
WSW	7.9	SSW	13.1	SSW	8.8	SSW	4.4	C	0.0	10.00	17.5	0.0	17.5	14
SSW	15.8	SSW	10.9	NE	4.7	ENE	1.8	E	7.0	8.76	20.2	0.0	20.2	15
NNE	8.4	NNE	8.9	ENE	8.3	NE	8.4	NE	7.3	6.89	9.7	4.0	5.7	16
SSW	15.9	SW	15.9	SW	17.6	SW	17.6	SW	16.4	11.84	17.6	7.8	9.8	17
SSW	11.1	SSW	11.3	SSW	15.3	SW	14.3	WSW	11.9	13.09	18.3	10.3	8.0	18
SSW	11.4	SSW	11.4	SW	13.0	SW	10.4	SW	9.7	10.41	13.0	7.0	6.0	19
C	1.1	C	0.0	E	1.6	C	0.0	C	1.5	6.31	15.9	0.0	15.9	20
NE	6.2	NE	7.0	NE	6.7	NE	7.5	NE	5.9	4.70	7.8	0.0	7.8	21
SSW	15.3	S	16.5	S	16.1	SSW	16.0	SSW	16.2	7.77	16.5	0.0	16.5	22
SW	24.3	SW	23.6	SW	24.2	SW	28.0	SW	28.0	20.03	28.0	14.4	13.6	23
SW	24.2	SW	23.9	SW	22.5	SW	24.3	WSW	24.8	24.62	32.7	20.7	12.0	24
SW	(21.9)	SW	23.2	SW	22.0	SW	(20.7)	WSW	19.4	23.17	27.4	19.4	8.0	25
SSW	15.7	SW	(17.2)	SSW	(18.7)	SSW	17.6	SSW	20.2	18.98	22.9	15.7	7.2	26
SW	11.1	SW	5.3	SW	2.9	Var.	3.4	SSW	6.6	12.18	(19.2)	2.9	16.3	27
ENE	1.7	SW	1.6	WSW	1.6	SSW	3.8	SSW	4.7	1.73	8.4	0.0	8.4	28
SSW	8.6	SSW	8.4	SSW	8.4	SSW	8.8	SSW	8.6	9.65	13.2	8.4	4.8	29
C	2.2	C	1.3	E	2.3	ENE	1.8	C	0.0	4.01	10.4	0.0	10.4	30
SW	19.2	SW	18.8	SSW	18.5	SSW	15.8	SSW	15.8	10.09	19.2	0.0	19.2	31
.	9.60	.	9.23	.	9.04	.	8.58	.	8.42	8.98	14.55	4.30	10.25	Med.
S: 33 (44); SSW: 223 (302); SW: 118 (160); WSW: 43 (58); W: 1 (1); WNW: 3 (4); NW: 2 (3); NNW: 6 (8); Observationszahl: 738 (1000).														

Windrichtung—Windgeschwindigkeit

Höhe des Anemometers: 2 m. über Erdfäche; 4 m. über Meeresniveau

September 1903

Dat.	1 a. m.		2 a. m.		3 a. m.		4 a. m.		5 a. m.		6 a. m.	
		m/s		m/s		m/s		m/s		m/s		m/s
1	SW	14.0	SW	15.0	SSW	14.5	SSW	13.7	SSW	11.3	SSW	10.3
2	C	0.0	C	1.1	C	0.0	C	1.1	C	1.1	C	0.0
3	SSW	8.2	SSW	13.0	S	12.6	S	11.9	S	8.0	SW	8.7
4	C	0.0	C	0.0	C	0.0	C	0.0	C	0.0	C	0.0
5	C	0.0	C	1.2	C	1.1	C	1.1	C	0.0	C	1.1
6	S	3.1	S	5.8	S	5.2	S	5.5	S	5.1	SSW	5.3
7	S	7.4	S	7.9	S	9.0	SSW	9.3	SSW	7.7	SSW	7.4
8	NE	3.3	NE	2.6	NE	2.2	NE	2.0	ENE	0.0	C	0.0
9	E	1.7	C	0.0	NNE	3.8	NNE	4.6
10	C	0.0	C	0.0	C	0.0	C	0.0	C	0.0	C	0.0
11	C	1.1	C	0.0	NE	1.3	C	0.0	C	0.0	Var	1.1
12	SW	14.4	SW	14.2	SW	11.8	SW	13.3	SW	12.3	SW	14.5
13	SW	20.5	SW	21.2	SW	21.6	SW	22.3	SW	20.0	SW	19.2
14	SSW	8.1	SSW	7.8	SSW	6.2	SSW	7.1	SW	5.5	SW	2.2
15	E	0.0	E	3.5	E	5.5	E	4.8	E	5.1	ENE	4.9
16	ENE	3.1	ENE	3.6	ENE	4.0	E	5.1	E	4.5	E	3.5
17	ENE	1.8	ENE	2.0	ENE	3.0	NE	3.5	NE	4.0	ENE	4.7
18	SSW	11.8	SSW	11.8	S	9.4	S	9.0	S	8.6	SSW	8.9
19	ENE	4.3	ENE	4.9	ENE	5.9	E	7.0	E	6.6	ENE	6.7
20	SW	17.3	SSW	13.3	S	10.7	SW	12.0	WSW	8.3	WSW	8.3
21	C	0.0	C	0.0	C	0.0	C	0.0	C	1.1	C	0.0
22	E	2.6	.	3.9	C	1.6	C	1.7	ESE	1.2	ESE	3.2
23	SW	9.7	SSW	9.3	SSW	8.3	SSW	8.7	SSW	9.5	SSW	10.9
24	SSW	3.2	C	1.1	C	2.0	.	3.3	SE	4.2	E	3.9
25	SW	17.9	SW	18.6	SW	19.9	SW	22.2	SW	23.6	SW	23.7
26	SW	23.0	SW	21.4	SW	21.3	SW	20.5	SW	19.9	SW	17.0
27	NE	7.4	ENE	8.7	ENE	8.4	NE	7.9	NE	8.3	ENE	9.6
28	S	11.0	S	11.6	S	10.5	SSW	10.2	SSW	9.8	SSW	10.5
29	SSW	10.5	SSW	9.8	SSW	7.9	SSW	7.7	SSW	6.3	S	3.8
30	SW	13.9	SW	14.9	SW	15.8	SW	16.2	SW	18.5	SW	18.8
Med.	.	7.31	.	7.87	.	7.58	.	7.57	.	7.14	.	7.09

Windrichtung—Windgeschwindigkeit

Höhe des Anemometers: 2 m. über Erdfläche; 4 m. über Meeresniveau

1903 September

7 a. m.		8 a. m.		9 a. m.		10 a. m.		11 a. m.		Mtg.		Dat.
	m/s		m/s		m/s		m/s		m/s		m/s	
SSW	8.4	SSW	5.9	S	5.8	NE	2.4	ESE	1.8	C	1.2	1
C	0.0	C	1.2	C	0.0	C	0.0	C	0.0	C	0.0	2
SSW	8.3	SW	7.1	SSW	6.5	NNE	2.9	S	5.6	Var	2.2	3
C	0.0	C	0.0	C	0.0	C	0.0	C	0.0	C	0.0	4
C	1.2	C	1.1	C	0.0	C	1.1	C	1.1	C	0.0	5
SSW	11.2	C	3.1	C	2.9	SW	3.3	S	5.9	SSW	6.1	6
SSW	8.8	SSW	10.1	SSW	7.8	SSW	8.9	SSW	8.2	SW	7.7	7
C	0.0	C	0.0	C	0.0	C	0.0	C	0.0	NNE	1.1	8
NE	8.7	NE	10.3	NE	11.5	NE	11.9	NE	11.6	NE	13.0	9
C	0.0	C	0.0	C	0.0	C	0.0	Var	0.0	Var	0.0	10
Var	1.6	SE	4.9	NE	5.9	ENE	4.7	ENE	3.9	E	4.7	11
SW	13.2	SW	14.9	SW	14.9	SW	14.7	SW	15.7	SW	16.1	12
SW	18.4	SW	17.1	SW	18.3	SW	17.7	SW	18.2	SW	16.5	13
C	1.1	C	0.0	C	0.0	C	1.1	C	1.5	C	0.0	14
E	4.8	ENE	3.8	E	3.6	E	3.3	E	2.8	E	1.8	15
E	0.0	C	0.0	C	1.6	WSW	(3.7)	SSW	5.8	WSW	4.2	16
ENE	5.7	ENE	5.7	NE	8.3	NE	9.6	NE	10.3	NE	11.5	17
SW	8.1	SSW	7.9	SSW	8.4	SSW	8.7	S	11.2	SSW	12.3	18
ENE	6.6	SW	6.2	SW	14.9	SW	18.1	SW	18.7	SW	19.6	19
SSW	(9.5)	SSW	(10.7)	WSW	11.8	WSW	10.9	WSW	11.2	WSW	7.4	20
NE	1.0	ENE	2.0	NE	2.9	NE	3.8	NE	4.8	NE	4.5	21
ESE	3.3	ENE	3.2	ENE	3.0	ENE	4.1	E	3.9	E	3.5	22
SSW	11.4	SSW	12.3	SSW	13.0	SSW	13.5	SSW	12.6	SSW	13.5	23
ENE	2.4	Var	1.7	SW	3.1	SSW	4.8	SSW	4.5	SSW	4.3	24
SW	24.5	SW	26.6	SW	26.3	SW	26.5	WSW	26.4	SW	27.2	25
SW	16.5	SSW	15.0	SSW	14.3	SSW	13.7	SSW	11.3	SSW	9.6	26
ENE	9.3	NE	7.4	NE	6.6	NNE	9.5	Var	4.8	SSW	11.4	27
SSW	13.7	SSW	16.2	SSW	17.3	SSW	16.0	SW	7.9	SW	18.6	28
ENE	2.2	C	1.2	C	0.0	NE	0.0	NNW	0.0	NNW	1.0	29
SW	19.6	SW	21.0	SW	21.6	SW	21.3	SW	22.3	SW	22.3	30
.	7.3 ²	.	7.2 ²	.	7.68	.	7.87	.	7.73	.	8.04	Med.

Windrichtung—Windgeschwindigkeit

Höhe des Anemometers: 2 m. über Erdofläche; 4 m. über Meeresniveau

September 1903

Dat.	1 p. m.		2 p. m.		3 p. m.		4 p. m.		5 p. m.		6 p. m.		7 p. m.	
		m/s		m/s		m/s		m/s		m/s		m/s		m/s
1	NE	1.3	NE	3.5	NE	3.3	NE	1.8	NE	2.6	ENE	2.9	ENE	2.3
2	C	0.0	C	0.0	C	0.0	C	0.0	C	0.0	C	1.1	C	0.0
3	WSW	5.5	S	4.9	NNE	4.8	NNE	2.9	C	0.0	NNE	0.0	C	0.0
4	C	0.0	C	0.0	C	1.1	C	1.1	C	0.0	C	0.0	C	1.1
5	NNE	1.6	NNE	1.8	Var	1.6	Var	2.6	W	2.2	C	0.0	C	1.1
6	SSW	4.9	SSW	3.6	SSW	2.8	SSW	3.0	SSW	6.7	WNW	6.4	SSW	6.7
7	SSW	3.3	Var	2.2	C	2.6	C	1.2	C	1.9	SSE	3.5	SE	3.0
8	C	0.0	NE	0.0	C	0.0	ENE	1.8	ENE	1.7	ENE	0.0	E	2.8
9	NE	14.6	NE	13.4	NE	13.2	NE	12.1	NE	10.5	NE	9.4	NE	9.0
10	SW	1.5	SSW	8.7	SSW	10.3	SSW	7.7	C	1.9	SSW	4.5	S	4.0
11	ENE	5.2	SSW	11.9	SSW	12.6	SSW	14.4	SSW	14.7	SSW	14.6	S	15.7
12	SW	16.1	SW	16.6	SW	18.4	SW	18.4	SW	19.5	SW	20.0	SW	20.4
13	SW	17.5	SW	16.8	SW	15.3	SW	14.0	SW	11.8	SSW	10.4	SSW	8.8
14	WNW	0.0	Var	0.0	WSW	2.3	SSW	5.6	SSW	4.1	SSW	4.0	C	1.5
15	NE	2.2	ENE	2.6	ENE	2.6	NE	3.5	NE	3.2	C	0.0	E	2.6
16	WSW	5.0	SW	4.5	Var	1.7	SSW	3.6	SSW	5.8	SSW	5.2	SSW	4.3
17	NNE	12.2	NNE	12.8	E	6.9	NNE	12.1	SW	11.6	SSW	16.2	SSW	17.3
18	SW	13.2	SW	14.5	SW	14.2	SSW	10.5	SSW	7.4	S	6.7	SSW	5.2
19	SW	19.3	SW	20.3	SW	19.3	SW	20.9	SW	19.5	SW	17.7	SW	17.7
20	WSW	7.9	WSW	5.1	WSW	1.9	W	2.6	SSW	1.2	C	0.0	C	0.0
21	NE	4.2	NE	4.3	ENE	4.2	ENE	5.6	E	5.7	E	4.1	ENE	3.1
22	SE	5.0	ENE	3.6	Var	2.5	SSW	1.5	SSW	1.7	SSW	5.3	SSW	4.9
23	SSW	14.0	SSW	12.5	SSW	11.3	SSW	10.5	SW	11.2	SW	10.4	SW	9.7
24	SSW	4.9	SSW	6.6	SSW	7.7	SSW	8.2	S	8.1	SSW	9.3	SSW	11.1
25	WSW	26.2	WSW	26.3	WSW	26.5	WSW	25.8	WSW	25.6	WSW	26.2	WSW	26.1
26	SSW	8.4	SSW	7.0	SSW	4.3	C	0.0	C	1.2	ENE	3.9	E	4.8
27	S	11.2	S	11.2	SSW	11.1	SSW	9.7	SSW	10.4	SSW	10.5	SSW	11.8
28	WSW	18.4	WSW	17.9	SW	17.2	WSW	17.6	SW	16.3	SW	16.4	SSW	16.0
29	ENE	2.1	NE	3.1	ENE	3.3	E	3.0	ENE	1.6	WNW	2.2	SW	6.1
30	WSW	23.0	WSW	24.0	WSW	23.5	WSW	22.5	SW	22.2	SW	23.1	SW	22.9
Med.	.	8.29	.	8.66	.	8.22	.	8.14	.	7.68	.	7.80	.	8.00
N : 0 (0); NNE : 13 (18); NE : 58 (81); ENE : 54 (76); E : 41 (57); ESE : 4 (6); SE : 5 (7); SSE : 2 (3); C : 152 (213); Var : 14 (20)														

Windrichtung—Windgeschwindigkeit

Höhe des Anemometers: 2 m. über Erdoberfläche; 4 m. über Meeresebene

1903 September

8 p. m.		9 p. m.		10 p. m.		11 p. m.		Mtn.		Med.	Max.	Min.	Diff.	Dat.
	m/s		m/s		m/s		m/s		m/s	m/s	m/s	m/s	m/s	
C	0.0	C	0.0	C	1.2	C	1.1	C	0.0	5.18	15.0	0.0	15.0	1
C	0.0	C	1.1	C	1.1	SSW	10.2	SW	7.8	1.07	10.2	0.0	10.2	2
C	0.0	C	0.0	C	0.0	C	0.0	C	1.1	4.76	13.0	0.0	13.0	3
C	0.0	C	1.2	C	0.0	C	0.0	C	0.0	0.19	1.2	0.0	1.2	4
C	0.0	C	1.2	C	1.3	C	1.7	Var	1.8	1.08	2.6	0.0	2.6	5
SSW	4.0	NE	2.0	S	1.7	SW	3.5	S	4.1	4.66	11.2	1.7	9.5	6
ENE	3.5	E	3.4	NE	3.4	NE	3.5	NE	4.1	3.66	10.1	1.2	8.9	7
ENE	4.3	E	2.0	C	1.5	C	2.2	E	2.0	1.23	4.3	0.0	4.3	8
NE	8.0	ENE	6.7	C	2.4	C	1.5	C	0.0	8.09	14.6	0.0	14.6	9
S	3.3	SSW	3.9	C	0.0	SSE	1.1	C	1.5	2.02	10.3	0.0	10.3	10
SW	15.4	SSW	14.3	SSW	13.3	SSW	13.4	SW	14.5	7.88	15.7	0.0	15.7	11
SW	20.0	SW	19.4	SW	18.8	SW	19.2	SW	19.1	16.50	20.4	11.8	8.6	12
SSW	9.3	SSW	10.1	SSW	8.7	S	6.7	S	7.4	15.32	22.3	6.7	15.6	13
C	1.1	C	0.0	C	0.0	C	0.0	C	0.0	2.47	8.1	0.0	8.1	14
E	3.4	E	2.3	E	2.4	ENE	2.6	ENE	2.9	3.09	5.5	0.0	5.5	15
SSW	3.0	E	0.0	NE	0.0	NE	1.2	NE	0.0	3.06	5.8	0.0	5.8	16
SSW	17.8	SSW	17.2	SSW	15.7	SSW	16.8	SSW	13.7	10.02	17.3	1.8	15.5	17
SSW	3.2	C	1.1	C	0.0	C	0.0	E	2.0	8.09	14.5	0.0	14.5	18
SW	16.4	SW	15.8	SW	20.1	SW	20.5	SW	19.4	14.43	20.9	4.3	16.6	19
C	0.0	C	0.0	C	0.0	C	0.0	C	0.0	6.25	17.3	0.0	17.3	20
ENE	3.9	ENE	3.6	SE	4.3	E	5.0	E	3.9	3.00	5.7	0.0	5.7	21
SSW	6.1	SSW	7.8	SSW	7.5	SSW	7.8	SSW	8.4	4.05	8.4	1.6	6.8	22
SW	8.7	SSW	7.5	S	7.1	S	7.3	S	6.3	10.38	14.0	6.3	7.7	23
SSW	12.3	SSW	12.8	SSW	13.3	SW	16.4	SW	17.6	6.95	17.6	1.1	16.5	24
WSW	24.5	SW	23.5	SW	23.4	SW	23.3	SW	23.5	24.35	27.2	17.9	9.3	25
E	5.5	E	5.1	ENE	5.2	ENE	5.7	NE	6.3	10.87	23.0	0.0	23.0	26
SSW	11.5	S	11.4	SSW	10.3	SSW	10.5	S	10.4	9.55	11.8	4.8	7.0	27
SSW	12.6	SSW	11.9	SSW	12.8	SSW	11.2	SSW	10.7	13.85	18.6	9.8	8.8	28
SSW	7.0	SSW	8.0	SSW	8.9	SSW	9.8	SSW	12.2	4.91	12.2	0.0	12.2	29
SW	22.0	SW	22.3	WSW	22.2	WSW	21.5	WSW	21.3	20.69	24.0	13.9	10.1	30
.	7.56	.	7.19	.	6.89	.	7.46	.	7.40	7.65	13.42	2.76	10.66	Med.
S: 40 (56); SSW: 161 (225); SW: 132 (182); WSW: 33 (46); W: 2 (3); WNW: 3 (4); NW: 0 (0); NNW: 2 (3); Observationszahl: 716 (1000).														

Windrichtung—Windgeschwindigkeit

Höhe des Anemometers: 2 m. über Erdfläche; 4 m. über Meeresniveau

Oktober 1903

Dat.	1 a. m.		2 a. m.		3 a. m.		4 a. m.		5 a. m.		6 a. m.	
		m/s		m/s		m/s		m/s		m/s		m/s
1	WSW	21.2	WSW	21.3	WSW	21.9	SW	22.6	SW	23.1	SW	23.0
2	WSW	19.4	WSW	20.8	WSW	18.6	WSW	18.6	WSW	18.8	SW	18.5
3	NE	9.5	NE	8.7	NE	8.3	NE	9.0	NE	9.5	NE	8.7
4	NE	12.2	NE	11.3	NE	8.8	NE	9.5	NE	8.7	NE	10.4
5	NNE	9.8	NNE	9.6	NNE	11.0	NNE	11.6	NNE	10.3	NE	10.4
6	SSW	8.4	SSW	6.6	SSW	4.5	.	1.7	C	1.2	NNE	1.5
7	NNE	9.3	.	5.9	Var.	6.2	.	3.4	NNE	5.2	Var.	4.1
8	S	12.3	S	12.6	SSW	12.0	SSW	12.3	SSW	12.0	SSW	12.3
9	SSW	7.1	SSW	7.5	SSW	6.7	SSW	6.7	WSW	5.2	SSW	4.7
10	C	2.0	C	1.3	C	1.7	C	0.0	SW	4.9	SSW	6.2
11	C	1.2	C	0.0	C	0.0	C	0.0	C	0.0	C	0.0
12	C	0.0	C	0.0	C	0.0	C	0.0	C	0.0	C	0.0
13	C	0.0	C	0.0	C	0.0	C	0.0	C	0.0	C	0.0
14	.	1.6	C	1.1	NE	2.3	NE	3.2	NE	1.3	NE	1.6
15	NNE	10.6	NNE	10.7	NNE	11.0	.	7.3	SW	5.6	SSW	13.3
16	C	1.8	C	1.9	Var.	1.7	ESE	5.2	ESE	5.7	Var.	4.5
17	C	1.1	SW	1.9	SE	3.6	.	1.1	.	1.6	NE	5.1
18	NE	3.5	SSE	2.9	C	1.9	C	1.6	Var.	2.4	Var.	3.3
19	N	7.0	N	17.7	N	16.0	N	15.8	N	16.1	N	19.4
20	SW	5.6	SW	5.8	SSW	6.6	SW	7.2	SW	5.9	SW	6.7
21	C	0.0	C	0.0	C	0.0	C	0.0	C	0.0	ESE	0.0
22	SSE	1.7	C	0.0	SSE	4.6	SSE	2.6	C	1.2	C	0.0
23	NNE	5.5	NNE	6.7	NE	4.8	NE	3.8	NE	10.4	NNE	11.8
24	S	(9.5)	SE	(6.9)	E	4.3	SE	7.0	E	2.0	Var.	2.5
25	SSW	6.4	SSW	7.3	SSW	5.9	SW	6.2	SW	7.2	SSW	7.1
26	C	0.0	C	1.1	C	0.0	C	0.0	C	0.0	NE	5.9
27	ENE	2.8	C	2.3	N	8.3	NNE	11.1	NNE	11.4	NE	8.4
28	NNE	5.5	NNE	5.5	N	6.2	N	5.0	NNE	6.1	N	7.4
29	N	3.0	NW	5.1	E	3.6	ENE	2.9	NE	4.5	NNE	9.0
30	SSW	14.6	SSW	16.1	SSW	13.7	SSW	13.3	SSW	10.9	SSW	11.2
31	C	1.1	.	1.9	NNE	2.5	ENE	4.6	E	5.3	E	5.8
Med.	.	6.25	.	6.47	.	6.35	.	6.24	.	6.34	.	7.19

Windrichtung—Windgeschwindigkeit

Höhe des Anemometers: 2 m. über Erdfläche; 4 m. über Meeresniveau

1903 Oktober

7 a. m.		8 a. m.		9 a. m.		10 a. m.		11 a. m.		Mtg.	Dat.	
	m.s		m.s		m.s		m.s		m.s			
WSW	23.9	WSW	24.4	WSW	24.4	WSW	23.8	WSW	23.6	WSW	24.9	1
SW	18.6	SW	17.9	SW	17.7	SW	17.9	SW	17.9	SSW	15.9	2
NE	8.0	NE	7.5	SE	7.4	NE	6.6	NE	6.7	NE	8.4	3
NE	11.0	NE	10.3	NE	9.6	NE	(8.5)	NNE	7.3	NE	(6.6)	4
Var.	8.9	SSW	11.2	SSW	10.5	SW	7.1	WSW	5.7	WNW	3.8	5
NE	2.4	NE	1.3	NE	2.3	N	2.2	NE	4.0	E	4.3	6
NE	1.8	C	2.2	WNW	2.3	C	2.4	WSW	2.3	W	2.4	7
SSW	11.5	SSW	11.1	SSW	11.1	SSW	10.6	SW	11.2	SSW	11.1	8
WSW	4.8	SSW	5.9	SSW	3.5	SW	0.0	C	0.0	C	0.0	9
SSW	6.9	SSW	8.6	SSW	9.3	SSW	9.3	SSW	9.0	SSW	10.2	10
C	0.0	C	1.7	C	1.6	C	1.5	C	1.2	C	1.1	11
NE	3.2	NNE	2.4	C	1.3	NE	1.9	ENE	1.9	C	1.3	12
C	0.0	C	0.0	C	0.0	C	0.0	C	0.0	C	1.1	13
C	1.5	NE	3.0	NNE	3.9	NNE	4.3	NNE	5.3	ENE	6.3	14
SSW	13.9	SW	13.9	SW	11.3	SW	9.3	SSW	8.9	SSW	4.7	15
C	1.5	C	1.3	ENE	2.6	NNE	3.8	NNE	3.8	NE	4.8	16
NNE	1.6	Var.	2.9	Var.	2.9	NNE	1.8	NNE	2.9	NE	6.7	17
Var.	4.0	Var.	3.5	Var.	1.9	NE	3.2	NE	4.3	NNE	2.3	18
NNE	18.1	NE	3.5	SSW	7.9	S	9.4	SW	6.6	SW	5.1	19
S	7.1	S	6.1	S	5.1	SW	4.3	SSW	3.9	SSW	1.9	20
C	0.0	C	0.0	C	0.0	Var.	0.0	NE	0.0	NE	0.0	21
C	1.2	W	1.6	C	1.1	SW	3.5	SW	9.3	SW	9.2	22
N	9.0	NNE	9.9	NNE	11.0	NNE	10.7	NNE	9.8	NNE	9.9	23
SSW	8.0	SSW	12.5	SSW	(13.6)	SSW	14.7	SSW	13.5	SSW	12.3	24
SSW	7.5	SSW	8.6	SW	8.2	SW	9.8	SW	8.2	SW	8.3	25
ENE	6.9	ENE	7.3	NE	7.7	NNE	7.2	NNE	7.1	NNE	7.7	26
ENE	2.4	NE	(3.2)	Var.	4.1	NNE	5.6	NNE	5.5	Var.	3.9	27
N	9.4	NNE	6.4	N	8.4	N	8.9	N	10.1	NNE	8.3	28
NE	8.7	N	8.4	NNE	7.5	N	9.4	N	7.1	N	5.5	29
SSW	8.6	SSW	9.1	SSW	8.1	SSW	7.8	SSW	6.7	SSW	6.4	30
E	6.5	ESE	5.2	E	4.2	Var.	4.1	SSE	4.8	SSE	5.5	31
.	7.00	.	6.80	.	6.79	.	6.76	.	6.73	.	6.45	Med.

Windrichtung—Windgeschwindigkeit

Höhe des Anemometers: 2 m. über Erdofläche; 4 m. über Meeresniveau

Oktober 1903

Dat.	1 p. m.		2 p. m.		3 p. m.		4 p. m.		5 p. m.		6 p. m.		7 p. m.	
		m/s		m/s		m/s		m/s		m/s		m/s		m/s
1	SW	23.7	WSW	19.5	SW	16.5	WSW	18.8	WSW	22.2	WSW	22.6	SW	24.3
2	S	23.5	SSW	22.2	SW	20.3	S	16.8	N	1.8	Var.	4.3	Var.	4.3
3	NE	8.4	NE	9.4	NE	9.7	NE	11.5	NE	11.4	NE	11.3	NE	10.5
4	NE	5.8	NE	(6.6)	NE	7.3	NNE	9.9	NNE	12.8	NNE	13.1	NNE	12.0
5	SSW	7.8	SW	7.9	SSW	7.3	SW	9.5	SSW	11.6	SSW	13.5	SSW	13.4
6	NNW	2.8	NE	2.4	NE	1.5	ENE	2.6	C	2.0	C	0.0	C	0.0
7	W	2.6	WSW	5.8	SSW	7.3	SSW	7.8	SSW	7.5	SW	9.1	SW	9.9
8	SSW	11.2	SW	11.6	SW	11.8	SW	11.2	SW	10.3	SSW	9.6	SW	9.6
9	NW	1.1	NW	1.1	C	1.2	NNE	1.8	NE	5.0	NE	1.6	NNE	1.5
10	SSW	10.6	SSW	9.9	SSW	9.0	SSW	8.0	SSW	7.9	S	7.9	SSW	8.6
11	W	2.3	WSW	2.7	C	2.0	C	0.0	C	0.0	C	0.0	C	0.0
12	NNE	1.2	N	1.2	NE	0.0	C	0.0	C	0.0	C	0.0	C	0.0
13	C	0.0	C	1.9	SSW	9.8	SSW	10.4	SSW	10.2	SSW	9.4	W	6.2
14	ENE	7.2	NE	5.8	ENE	5.1	NE	3.3	C	0.0	NE	1.3	Var.	2.6
15	NE	4.2	NNE	3.9	C	1.2	C	1.9	C	0.0	C	1.1	C	0.0
16	NE	1.6	E	2.3	C	1.9	SSW	2.4	Var.	2.6	NNE	1.7	SE	3.2
17	NE	10.2	NE	14.7	NNE	14.7	NNE	15.1	NNE	14.9	NNE	15.0	NNE	14.5
18	NNE	(4.0)	WNW	5.8	WNW	5.6	N	5.9	Var.	6.5	Var.	5.0	Var.	6.1
19	WSW	6.5	WSW	6.5	SW	8.2	SW	8.0	WSW	9.1	SW	6.9	SSW	7.1
20	N	1.9	C	0.0	C	0.0	C	0.0	C	0.0	C	0.0	C	0.0
21	NE	4.5	C	1.6	NE	5.6	NNE	8.8	NE	7.3	ENE	4.8	NE	3.1
22	SW	9.1	SW	6.7	SW	3.9	SW	5.1	SW	5.5	SSW	7.4	NE	2.2
23	NNE	6.1	Var.	2.9	NNE	3.6	Var.	4.6	Var.	2.5	SW	9.1	SW	9.0
24	SW	11.1	SW	9.9	SSW	9.3	SSW	7.5	SW	6.6	SSW	6.3	SSW	7.0
25	WSW	7.8	SW	6.7	SW	3.3	Var.	1.7	NNE	1.8	NNE	3.5	NNE	3.6
26	NNW	4.5	W	2.6	C	2.2	SSW	6.5	SW	6.6	SW	7.5	SSW	7.6
27	N	5.3	NNE	5.3	Var.	4.2	Var.	4.5	Var.	4.2	S	3.6	N	8.8
28	N	11.4	N	9.8	N	8.4	N	8.9	N	7.2	N	6.5	Var.	3.9
29	N	6.5	N	3.3	N	1.5	C	3.8	WSW	12.2	SW	14.4	S	13.0
30	SSW	5.7	S	5.1	S	3.6	S	3.1	S	4.5	SSW	3.5	SSW	5.5
31	S	6.4	SSW	(6.7)	SSW	7.3	SW	9.1	SSW	9.3	SSW	11.2	SSW	11.0
Med.	.	6.94	.	6.51	.	6.24	.	6.73	.	6.57	.	6.81	.	6.73
N : 41 (56); NNE : 92 (125); NE : 99 (135); ENE : 20 (27); E : 10 (14); ESE : 4 (5); SE : 5 (7); SSE : 6 (8); C : 132 (179); Var : 35 (48).														

Windrichtung—Windgeschwindigkeit

Höhe des Anemometers: 2 m. über Erdoberfläche; 4 m. über Meeresniveau

1903 Oktober

8 p. m.		9 p. m.		10 p. m.		11 p. m.		Mttn.	Med.	Max.	Min.	Diff.	Dat.	
	m/s		m/s		m/s		m/s	m/s	m/s	m/s	m/s	m/s		
SW	21.8	WSW	21.6	WSW	21.6	SW	22.3	WSW	21.5	22.27	24.9	16.5	8.4	1
ENE	5.3	NE	6.7	ENE	7.9	NE	7.3	NE	9.0	14.58	23.5	1.8	21.7	2
NE	10.4	NE	10.4	NE	10.2	NNE	10.9	NE	13.4	9.41	13.4	6.6	6.8	3
NNE	11.3	NNE	10.7	NNE	11.3	NNE	9.3	NNE	7.1	9.64	12.8	5.8	7.0	4
SSW	13.6	SSW	12.0	SSW	11.5	SSW	10.2	SSW	8.2	9.85	13.5	3.8	9.7	5
SSW	1.3	ENE	4.0	NE	7.8	NE	9.9	NE	11.9	3.61	11.9	0.0	11.9	6
SSW	10.2	SSW	10.9	SSW	11.3	SSW	10.6	SSW	11.3	6.30	11.3	1.8	9.5	7
SSW	9.3	SSW	9.4	SSW	9.5	SSW	8.6	SSW	8.6	10.90	12.6	8.6	4.0	8
NNE	2.4	NNE	1.8	NNE	3.6	NNE	3.4	NE	4.8	3.39	7.5	0.0	7.5	9
SSW	7.4	SSW	5.5	WSW	4.7	C	2.2	C	1.1	6.34	10.6	1.1	9.5	10
C	0.0	C	0.0	C	0.0	C	0.0	C	0.0	0.64	2.7	0.0	2.7	11
C	0.0	C	0.0	C	0.0	C	0.0	C	0.0	0.60	3.2	0.0	3.2	12
SW	9.0	SW	10.2	SSW	8.2	SSW	4.8	SSW	2.4	3.50	10.4	0.0	10.4	13
NE	5.8	NNE	10.3	NNE	11.1	NNE	10.3	NNE	10.5	4.53	11.1	0.0	11.1	14
C	1.6	ENE	1.8	C	1.1	WNW	2.2	Var.	2.6	5.92	13.9	0.0	13.9	15
C	2.3	C	1.9	C	1.2	C	1.1	ENE	1.2	2.58	4.8	1.1	3.7	16
NNE	12.6	NNE	13.7	NNE	11.3	NNE	9.8	NNE	8.1	7.83	15.1	1.1	14.0	17
Var.	6.3	Var.	8.2	NNW	5.6	N	8.1	WNW	8.8	4.61	8.8	1.6	7.2	18
SSW	3.5	SSW	0.0	SSW	0.0	SSW	1.2	SSW	2.8	8.53	19.4	0.0	19.4	19
C	0.0	C	0.0	C	0.0	C	0.0	C	0.0	2.84	7.2	0.0	7.2	20
C	1.5	ENE	3.0	C	2.2	C	1.9	C	1.3	1.90	8.8	0.0	8.8	21
SSW	3.0	C	1.2	SE	0.0	NE	2.3	NE	4.2	3.61	9.3	0.0	9.3	22
WSW	13.5	WSW	14.7	SW	(13.8)	SSW	(12.9)	SSW	12.1	8.67	14.7	2.5	12.2	23
SSW	6.3	SSW	6.1	SSW	6.7	SSW	7.8	SSW	7.4	8.28	14.7	2.0	12.7	24
NNE	3.2	NE	2.6	NE	4.0	ENE	3.2	NE	1.1	5.55	9.8	1.1	8.7	25
SSW	4.5	C	1.7	C	0.0	NE	1.5	NNE	1.5	4.07	7.7	0.0	7.7	26
N	7.0	N	4.5	E	4.3	NNE	5.6	NNW	5.8	5.50	11.4	2.3	9.1	27
NNE	3.2	NNE	3.4	NW	3.9	NNW	2.8	C	2.6	6.13	11.4	2.6	8.8	28
SSW	12.3	SW	14.5	SW	16.6	SSW	14.7	SSW	16.6	8.50	16.6	3.0	13.6	29
SSW	4.1	SSW	2.9	S	1.8	N	2.0	N	1.3	7.07	16.1	1.3	14.8	30
SSW	11.3	SSW	10.9	SW	11.2	SW	16.1	SW	18.7	7.53	18.7	1.1	17.6	31
.	6.58	.	6.60	.	6.53	.	6.55	.	6.64	6.61	12.19	2.12	10.07	Med.
S: 18 (24); SSW: 141 (191); SW: 77 (105); WSW: 35 (48); W: 6 (8); WNW: 6 (8); NW: 4 (5); NNW: 5 (7); Observationszahl: 736 (1000)														

Windrichtung—Windgeschwindigkeit

Höhe des Anemometers: 2 m. über Erdoberfläche; 4 m. über Meeresniveau

November 1903

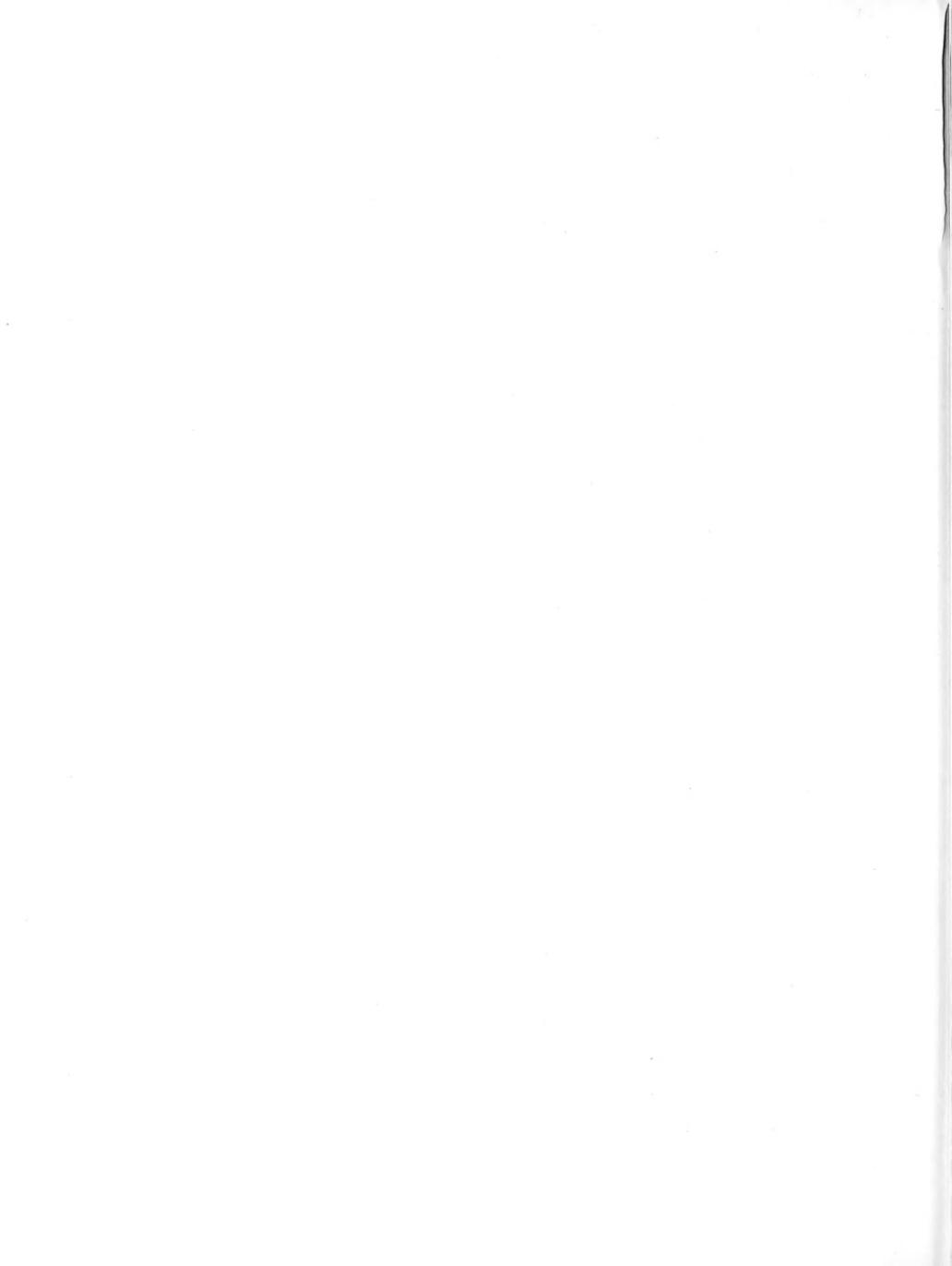
Dat.	1 a. m.		2 a. m.		3 a. m.		4 a. m.		5 a. m.		6 a. m.			
		m/s		m/s		m/s		m/s		m/s		m/s		
1	SW	15.2	SW	15.2	SSW	18.3	(SW)	18.3	WSW	17.7	SW	17.0		
2	C	0.0	C	0.0	C	0.0	C	0.0	C	0.0	C	0.0		
3	C	0.0	C	0.0	C	1.3	.	1.5	C	0.0	C	0.0		
4	NNE	5.3	.	4.8	SW	4.7	(SW)	3.9	WSW	5.0	SSW	5.8		
5	SSW	5.3	SSW	8.6	S	7.5	.	2.8	C	1.9	E	1.8		
6	NE	8.3	.	6.3	SSW	7.1	SSW	1.9	SSW	2.0	C	0.0		
7	SSW	3.6	C	2.3	SSW	4.7	SSW	5.0	SSW	5.5	SSW	6.6		
Med.		5.81		5.31		6.23		4.77		4.59		4.46		
Dat.	1 p. m.		2 p. m.		3 p. m.		4 p. m.		5 p. m.		6 p. m.		7 p. m.	
		m/s		m/s		m/s		m/s		m/s		m/s		m/s
1	SSW	10.6	SW	9.1	SW	7.7	S	6.7	SSW	7.1	SSW	6.3	WSW	2.0
2	C	1.1	C	1.1	C	2.4	WNW	2.8	S	5.7	WNW	3.0	NNE	1.8
3	C	1.2	C	3.0	NE	1.5	NE	1.3	C	1.5	C	0.0	C	1.6
4	SW	9.0	SW	10.7	SSW	10.1	SSW	10.3	SSW	10.6	SW	12.7	SSW	10.4
5	NE	3.9	NNE	3.1	NNE	2.9	NNE	3.0	NNE	5.0	NNE	5.5	NE	5.6
6	SSW	8.4	SSW	5.1	SW	9.3	SSW	7.2	SSW	6.3	SSW	6.6	SSW	6.9
7	SSW	5.9	SSW	4.5	NE	2.9	NE	0.0	C	0.0	NE	1.1	NE	0.0
Med.		5.73		5.23		5.26		4.47		5.17		5.03		4.04
N: 0 (0); NNE: 13 (79); NE: 16 (98); ENE: 1 (6); E: 4 (24); ESE: 0 (0); SE: 0 (0); SSE: 0 (0); C: 42 (263); Var: 6 (37)														

Windrichtung—Windgeschwindigkeit

Höhe des Anemometers: 2 m. über Erdfläche; 4 m. über Meeresniveau

1903 November

7 a. m.		8 a. m.		9 a. m.		10 a. m.		11 a. m.		Mtg.		Dat.		
	m/s		m/s		m/s		m/s		m/s		m/s			
SW	16.5	WSW	14.6	WSW	14.7	SW	13.9	SW	13.3	WSW	13.0	1		
C	0.0	C	0.0	NW	1.1	C	1.2	NE	1.1	C	1.1	2		
C	1.2	C	1.3	SW	3.2	SSW	3.5	Var	1.9	Var	1.5	3		
Var	3.6	SW	10.7	SW	8.4	SW	9.0	SW	7.8	SSW	4.6	4		
NE	2.0	NE	3.4	NNE	4.1	NNE	5.2	NNE	5.0	NNE	4.9	5		
E	3.1	Var	2.8	Var	2.4	SSW	2.6	SW	4.2	SW	10.4	6		
SSW	8.2	SSW	8.4	SSW	7.7	S	6.9	SSW	6.2	SSW	6.6	7		
	4.94		5.89		5.94		6.04		5.64		6.01	Med.		
8 p. m.		9 p. m.		10 p. m.		11 p. m.		Mttm.	Med.	Max.	Min.	Diff.	Dat.	
	m/s		m/s		m/s		m/s	m/s	m/s	m/s	m/s	m/s		
C	0.0	C	0.0	C	0.0	C	0.0	C	0.0	9.88	18.3	0.0	18.3	1
C	1.1	C	1.1	C	0.0	C	0.0	C	0.0	1.03	5.7	0.0	5.7	2
ENE	6.6	NE	8.4	NE	8.4	NE	5.7	NE	6.4	2.54	8.4	0.0	8.4	3
SSW	9.3	SSW	8.4	SSW	10.1	SSW	11.4	SSW	9.1	8.15	12.7	3.6	9.1	4
NE	4.8	NNE	8.7	NNE	11.9	NE	10.1	NE	6.4	5.27	11.9	1.9	10.0	5
SSW	5.3	SSW	4.6	SSW	5.0	SSW	5.2	SSW	5.0	5.25	10.4	0.0	10.4	6
C	0.0	Var	0.0	C	9.0	C	0.0	C	0.0	3.59	8.4	0.0	8.4	7
	3.87		4.46		5.06		4.63		3.84	5.10	10.83	0.79	10.04	Med.
S: 4 (24); SSW: 44 (268); SW: 22 (134); WSW: 7 (42); W: 0 (0); WNW: 3 (18); NW: 1 (6); NNW: 0 (0); Observationszahl: 164 (1000).														



TAB. V.

WOLKENFORMEN
BEWÖLKUNG
HYDROMETEOREN

Wolkenformen—Bewölkung—Hydrometeoren

April 1902

Dat.	1 a. m.	2 a. m.	3 a. m.	4 a. m.	5 a. m.	6 a. m.
1
2
3
4
5	. *	. *	0	0	+	8
6	10 *	9 *
7	A-Cu 8
8
9	(o)	(1)	1	3	1	(5)
10
11	0	0	1 ≡	0 ≡	3	3 ≡
12	. * †	. †	. †	. †	.	Cl-S, S 5
13	0 *	0 †	(o)	0 †	0 †	Cu 1
14	10 †	10 †	10 †	10 †*	10 *	10 *
15	10 †	10 *	10 *	10 *	10 *	10 *
16	0	0	0	0	0	S 1
17	4	10	(9)	8	10	8
18	S 7	S 10	S 9	8	10	10 *
19	10 *	10 *	10 *	10 *	10 *	10 *
20	2	S 1	S 1	S 1	0	S 1
21	10 ≡	10 ≡	(10)	10 ≡	S, A-S 8 ≡	S 10 ≡
22	S-Cu 10	S-Cu 9	S-Cu, Cu 9	S-Cu, Cu 3	S 1	S 1
23	10 ≡	10 ≡	S 10 ≡	S 10 ≡	S 10 ≡	S-Cu, S 10
24	10 *	10 *	(10)	10 *	10 * †	10 †
25	10 †	10 †	(10)	10 †	10 †	10 †
26	S 10 †	S-Cu, S 10 †	S-Cu, S 10 †	10 †	10 †	10 †
27	A-S 10	A-S 10	(10)	S 10	S 10	S 6
28	0	0	0	0	0	Cl, Cl-S 2
29	S 2	S 2	S 3	Cl-S, S 3	Cl-S, S 4	S 1
30	S-Cu 5	S 3	(7)	A-S, N 10 *	A-S, N 10	A-S, N 10
Med.	6.2	6.4	6.2	6.0	6.2	6.5

Wolkenformen—Bewölkung—Hydrometeoren

1902 April

7 a. m.		8 a. m.		9 a. m.		10 a. m.		11 a. m.		Mittg.		Dat.
	10		10		1
	10		10		(10)		10		9		10	2
S	8	S	8 *	S	10	S	10	S	10	S	10	3
N	10	N	10	N	10	N	10	N	10	S	10	4
N	10	S	10	S	10	N	10	5
S	7	Ci	3	Ci, Ci-S	1	6
A-Cu, S	8	Ci-S, S	8	7
	1	Ci	3	8
S	9	S	10	9
Ci-Cu	5	Ci, Ci-Cu	4	Ci	1	(1)	(1)	(1)	(1)	(0)	(0)	10
S	2	S	2	S	2	.	.	S	2	S	4	11
Ci-S	5	Ci-Cu	4	(4)	(4)	A-S	4	N	10	N	10 *	12
Cu	1	Ci, S	0	0	0	0	0	S	1	S	1	13
	10		10		10		10		(10)		(10)	14
	10		15
A-S	2	Ci-S	4	(4)	(4)	(4)	(4)	(3)	(3)	(3)	(3)	16
N, Cu	7	Ci, A-S	7	(7)	(7)	Cu-N, S	8	(8)	(8)	(6)	(6)	17
	10	Cu-N, N	10	10 *	10 *	10	10	10	10	10	10	18
N, S	10	N, S	10	N	10 *	N	10 *	N	10 *	N	10 *	19
S	2	S	2	(3)	(3)	Ci-S, S	4	(5)	(5)	(7)	(7)	20
Ci-Cu, Ci-S	9	Ci-S, S	7	(7)	(7)	Ci-S	8	(7)	(7)	S-Cu, S	6	21
S	0		0	(4)	(4)	Ci-Cu, S	8	(6)	(6)		(4)	22
S-Cu, S	10	S	10 *	A-S, N	10 *	S	10 *	10	10	N, S	10 *	23
	10		10		10		10		10		10	24
	10		10		10		10		10		10	25
	(10)		(10)		(9)		(9)	A-S	9	Ci-Cu, A-S	8	26
S-Cu	9	S	10	(10)	(10)		(10)	S-Cu, S	10	S-Cu, S	10	27
Ci, Ci-S	4	Ci, Ci-S	8	(5)	(5)	Ci, S	2	(3)	(3)	Ci, Ci-S	4	28
S	1	Ci, Ci-S	5	Ci, Ci-S	4	(4)	(4)	Ci	5	Ci, Ci-S	7	29
A-S, N	10	A-S, N	10	Ci-Cu, A-S	10		8	(8)	(8)	(9)	(9)	30
	7.0		7.1		6.8		7.1		7.2		7.3	Med.

Wolkenformen—Bewölkung—Hydrometeoren

April 1902

Dat.	1 p. m.		2 p. m.		3 p. m.		4 p. m.		5 p. m.		6 p. m.	
1	.		10		
2	A-S, S	10	S	10	S	10	N, S	10	S	10	S-Cu	8
3		10		10		10		10	Ci-S	6	Ci-Cu, A-S	6
4	S	10	S	10	S	10	S	10	Ci-Cu, S	10	S-Cu, S	10
5	.		S	10	.		.		S	7	.	
6	.		Ci	2	Ci-Cu	8	.	0	.		.	
7	.		N, S	10	
8	.		1		
9	.		0		.		.		N	10	.	
10	(0)		0		(0)		0		0		0	
11	(2)		0	‡	0	‡	0		(0)		(0)	
12	N	10 ✖	N, S	10	N, S	10	N, S	10	N, S	10	N, S	10
13	S	3 ‡	S	3	Ci, S	4	Ci-S } Ci, S }	4	Ci-S } Ci, S }	4	(5)	
14	(10)		10	‡	10	‡	10	‡	10	‡	10	‡
15		N, S	5	(5)	
16	(2)		Ci-S	2	(4)		Ci-S, Cu	6	(7)		8	
17	(6)		Ci, Ci-S	6	(6)		(6)		(5)		N, S	5
18	10		10		10		10		10		10	
19	N	10	N	10	(10)		(9)		(9)		Cu, N	9
20	(9)		S	10	(10)		(10)		10	≡	10	≡
21	Ci-S } Ci, S }	5	Ci-S } Ci, S }	3	A-S, S	3	(5)		(8)		Ci-S	10
22	F-S	2	F-S	3	F-S	8	F-S	(9)	F-S	10	S	10
23	N	10 ✖	N	10 ✖	10		10		N	10	N	10 ✖
24	10	‡	10	‡	10	‡	10	‡	10	‡	10	‡
25	10	‡	10	‡	10	‡	10	‡	10	‡	10	‡
26	Cu	8	Ci-Cu } Ci, Cu }	6	Ci-S, Ci-Cu } Ci, S }	3	Ci-S } Ci, S }	2	Ci } S-Cu, S }	3	S	1
27	Ci-Cu	5	≡	4	≡	1	2	2	1	1	0	
28	(7)		Ci-S	9	≡	6	(5)		(4)		(3)	
29	(5)		Ci, Ci-Cu } S-Cu }	4	(4)		(3)		(2)		(1)	
30	(9)		N, S }	9	Cu, N	9	A-S, N	9	N	10	9	
Med.		7.1		6.6		6.8		6.7		7.0		6.7

Wolkenformen—Bewölkung—Hydrometeoren

1902 April

7 p. m.		8 p. m.		9 p. m.		10 p. m.		11 p. m.		Mtn.	Med.	Day	
S-Cu	.	.	.	9	9.8	1	
8	8	A-S, S-Cu	8	0	8.9	2	
A-S, S	3	(1)	0	0	7.5	3	
S	3	0	A-S	4	8	8	8	8	10	10	8.5	4	
.	.	.	10	10	10	10	10	10	10	10 *	7.8	5	
.	.	.	0	0	4.4	6	
.	.	.	10	10	4.4	7	
.	.	.	0	0	0	0	0	0	0	0	0.4	8	
.	.	.	9	9	0	0	0	0	0	0	3.5	9	
0	0	0	0	0	0	0	0	0	0	0	0.7	10	
(0)	(0)	(0)	0 †	0 †	0 †	0 †	0 †	0 †	0 †	0 †	8.7	11	
(10)	(10)	(9)	0 †	10	0 †	0 †	0 †	0 †	0 †	0 †	7.0	12	
(7)	(7)	(9)	10 †	10 †	10	10	10 †	10 †	10 †	10 †	3.5	13	
10 †	10 †	10 †	10 †	10 †	10 *	10 *	10 *	10 *	10 *	10 *	10.0	14	
(4)	(4)	Ci-S	4	Ci-S	5	2	0	0	0	0	6.3	15	
(8)	(8)	(7)	(6)	S-Cu, S	6	S-Cu, S	3	S-Cu, S	3	S-Cu, S	3.4	16	
6	6	(7)	(9)	S	10	S	10	S	9	S	7.4	17	
10	10	10	10	10 *	10 *	10 *	10 *	10 *	10 *	10 *	9.7	18	
Cu, N	9	S-Cu	9	Ci-S, Ci-Cu	6	S	1	S	2	S	8.6	19	
(10)	(10)	10 ≡	10 ≡	10 ≡	10 ≡	10 ≡	10 ≡	10 ≡	10 ≡	10 ≡	6.2	20	
Ci-S, A-S	9	S-Cu	10	S-Cu	10	S-Cu	10	S-Cu	10	S-Cu	10	8.1	21
S	10 L	S	10 L	S	10 L	10 ≡	10 ≡	10 ≡	10 ≡	10 ≡	6.5	22	
10 †	10 †	10 †	10 †	10 †	10 †	10 †	10 †	10 †	10 †	10 †	10.0	23	
10 †	10 †	10 †	10 †	10 †	10 †	10 †	10 †	10 †	10 †	10 †	10.0	24	
10 †	10 †	10 †	10 †	10 †	A-Cu	7 †	A-Cu	6 †	A-Cu	5 †	9.5	25	
S	2	(3)	S	5	A-S	9	A-S	10	A-S	10	7.4	26	
0	0	0	0	0	0	0	0	0	0	0	5.4	27	
(2)	(2)	(1)	0	0	0	0	0	0	0	0	2.7	28	
(1)	(1)	(0)	0	0	0	0	0	0	0	0	2.8	29	
(9)	(9)	(8)	8	8	7	7	5	5	5	5	8.1	30	
6.3	6.3	5.8	5.8	6.0	6.0	5.6	5.6	5.5	5.5	5.5	6.6	Med.	

Wolkenformen—Bewölkung—Hydrometeoren

Mai 1902

Dat.	1 a. m.		2 a. m.		3 a. m.		4 a. m.		5 a. m.		6 a. m.		
1		2		1		2	Cl-S, N	7		Cl-S, N	5	Cl-S	2
2		10 †		10 †		10 †		10 †		10 †		10 †	10 †
3		10 †		10 †		(10)		10 †		10 †		10 †	10 †
4		2		1		(2)		2 ≡		7 ≡		4 ≡	4 ≡
5		0		0		(0)		0		0		0	0
6		0		0		(0)		0		0		A-S	3
7		6		3		(2)		1		(3)		N	5
8		0		0		0		3		3		N	8
9		10 †		10 †		(10)		10 †		10 †			9 †
10		5		10		(6)		2		6			8
11		0		10		(10)		10		9			10
12		3		3		4		2		1			1
13		8		9		9		10		S			0
14		10 †		10 †		(10)		10 †		10 ×			10 † ×
15		10 †		10 †		(9)		7		10			10
16		6 †		9 †		10 †		10 ×		10 ×			10 ×
17		5		5		7 † ≡		3 † ≡		3 † ≡			3 † ≡
18	A-Cu	1	A-Cu	4		(3)	A-S	2		2			2 †
19	S	7 †		5 †		(8)		10 †		(7) †			5 †
20	A-Cu	10	A-Cu	10 †		(8)		7		A-Cu	7	A-S	5
21		10		10		(10)	N	10 ×		N	10 ×	N	10 ×
22		10 †		10 †		(10)		10 †		10 †			10 †
23	S-Cu	9 †	S-Cu	9 †	S-Cu	10 †		10 †		(10)			10 †
24	A-S, S	10	A-S	10	S-Cu	10	A-S, S-Cu	10		A-S, S-Cu	7	A-S, S-Cu	5
25		10 † ×		10 † ×		(10)	N	10		N	10	N	10
26	A-S, S-Cu	7 ×	A-S	6		(7)	A-S	8 †		A-S	9 †	A-S	10 †
27		10 †		10 †		(10)		10 †		(10)			10 †
28		10 †		10 †		(10)		10 †		10 †			10 †
29		10 †		10 †		(10)		10 †		10 †			10 †
30		10 †		10 †		(10)		10 †		10 †			10 †
31		0		0		(0)		0		0			0
Med.		6.5		6.9		7.0		6.9		6.8			6.8

Wolkenformen—Bewölkung—Hydrometeoren

1902 Mai

7 a. m.		8 a. m.		9 a. m.		10 a. m.		11 a. m.		Mtg.	Dat.
S-Cu, Cu	6 (8)	S-Cu, Cu	9 (6)	(9) N, S	5 †	Cu	10 (6)	10 (7)	N, S	10	1
	10 †		10 †		10 †		10 †			10 †	2
S	4 0	S	4 0	S	3 0		0	0		0	4
						Ci-S	2	Ci, Ci-S	4	Ci, Ci-S	4
							0	Ci-S	1	0	6
S A-S S-Cu, N	7 9	Ci-S S-Cu, S S-Cu, N	2 8	(8) S	1		0	Ci-S	1	0	7
A-S	10	A-S	10	A-S, S	10	A-S, S	10	A-S, S	10	A-S, S	10
A-S	6		5	Cu, S	4 †	Cu, S	1 †	S	1	0	9
S-Cu	8	S-Cu	8	S-Cu	9	S-Cu	9	S-Cu	9	S-Cu	9
	10		10	N	10	N	10	N	10	N	10
	1		1		0		0		0	S	1
	0	S	1		0		(1)	Ci-S	1 ≡	Ci-S	1 ≡
	10 †		10 †	A-Cu	10 †	A-Cu	10 †		10 †		10 †
	10 †		10		10		10	N	10 ×	N	10 ×
	10 †		(10)		10		10 † ≡		10 †		10 †
	3 † ≡	S	3	A-S, S Ci	5	Ci-S, S	4	(5)		(7)	17
	0	A-Cu, S	6	S-Cu, S	3	Ci-S	2 ≡	S	2	S	2
A-S	5 †	A-S	5 †	A-Cu, S	4 †	A-Cu, S	6 †	A-Cu, S	7 †	A-Cu, S	7 †
	5	A-S	5	N	5	N	5	N	5	N	5
N	10 ×	N	10 ×	N	10 †	N	10 ×	N	10 ×	N	10 ×
	10 †		10 †		10		10 †		10 †		10 †
	10 †		10 †		10		10 †		10 †		10 †
N	9	N	10	N	10	N	10	N	10	N	10
N	10	S	10	S	10	S	10	N	10 ×	N	10 ×
A-S	10 †		10 †		10 †	S	10 †		10 †		10 †
	10		10		10		10		10		10
	10 †		10 †		10 †		10 †		10 †		10 †
	10 †		10 †		10 †		10 †		10 †		10 †
	(10)		(10)		(10)	S	10	S	10	S	10
	0		0	Ci-S	1	Ci, Ci-S	1	Ci-S Ci, S	1		1
	7.1		7.2		7.0		6.9		7.1		7.2
											Med.

Wolkenformen—Bewölkung—Hydrometeoren

Mai 1902

Dat.	1 p. m.		2 p. m.		3 p. m.		4 p. m.		5 p. m.		6 p. m.		
1	S-Cu	10		10		10		10	N	10	×	10	
2		(7)	N	7	+	(9)	S	10	+	10	+	(9)	
3		10	+	10	+	10	+	10	+	10	+	10	
4		0		0		0		0		0		0	
5	Ci, Ci-S	4	Ci, Ci-S	5	(4)	A-S, S-Cu	4	A-S	9	A-S	8		
6		(1)		(0)		(1)	S	1	.	.	.		
7	Cu, N	7	Cu	1		0		0		0			
8	A-S	10	A-S	10	A-S	10	(10)	(10)	(10)	(10)	(10)		
9	Ci, S	1	Ci, Ci-S, S	4	Ci-S } Ci, S }	4	Ci-S } Ci, S }	4	(6)	(6)	(8)		
10	S-Cu	9	S-Cu	9	S-Cu, Cu	6	A-S	10	7	7	(5)		
11	N	10	N	10	N	10	⊙	N	10	N	10	⊙ Δ	
12	S	1	Ci-S, S	2	Ci-S, S	3	S	3	S	3	S	2	
13	Ci, Ci-S	3	Ci, Ci-S	6	(5)	A-S	4	+	A-S	7	+	4	
14		10	+	10	+	10	+	10	+	10	+	10	
15	N	10	×	N	10	×	N	10	N	10	+	N	
16		10	+	10	+	10	+	10	+	10	+	10	
17		(9)		10		10		10		(6)	A-S	2	
18	S	3	S	3	S	3	S	3	S	3	S	3	
19	A-Cu, S	8	+	A-Cu, S	7	+	A-Cu, S	9	+	A-Cu, S	(10)	+	A-Cu, S
20	N	5	N	10	×	N	10	×	N	10	×	N	
21		10	×	10		10		10		10		10	
22		10	+	10	+	10	+	10	+	10	+	10	
23		10	+	10	+	10	+	10	+	9	+	10	
24	N	10	×	N	10	×	N	10	N	10	N	10	
25	N	10	+	10	+	×	10		10		10		
26		10	+	10	+	10	+	10	+	10	+	10	
27		10		10		10		10		10		10	
28		10	+	10	+	10	+	10	+	10	+	10	
29		10	+	10	+	10	+	10	+	10	+	9	
30	S	10	S	10	S	10	S	10	S	10	S	5	
31		1		1	Ci	1	Ci	1		0		0	
Med.		7.4		7.6		7.4		7.7		7.8		7.4	

Wolkenformen—Bewölkung—Hydrometeoren

1902 Mai

7 p. m.		8 p. m.		9 p. m.		10 p. m.		11 p. m.		Mtn.	Med.	Dat.	
	10		10 †		10 †		10 †		10 †		8.1	1	
	8 †		(9)		10 †		10 †		10 †		8.7	2	
	10 †		10 †		10 †		9 †		7 †		3	3	
	0		0		0		0		0		1.2	4	
A-S	10	A-S	10	A-S	8	A-S	1		0		3.0	5	
	.		.		.		10		10		5.3	6	
	0		1		4		2		2		3.5	7	
	(10)		(10)		10 †		10 †		10 †		10 †	8	
	10		(10)	N	10		10		10		10 ×	6.8	9
	2		(2)		2		0		0		0	5.9	10
N	10 ●	N	10	N	4		3		9		5	8.7	11
S	2	S	1		0		0		0		0	1.4	12
Cl, Cl-S	5		(4)	N	4		2		10		10 ×	4.3	13
A-S	8 †		2 †		(1)		0 †		1 †		4 †	7.6	14
N	10		(8)	N	5		8		6	A-S	4 †	9.1	15
	10 †		10 †		10 †		7 †		6 †		5 †	9.3	16
A-S	3		(3)	A-S	4	A-S	4	A-S, A-Cu	4	A-S, A-Cu	4	5.1	17
S	3 †		3 †		3		4 †		5 †		6 †	3.0	18
A-Cu, S-Cu	10		10	A-Cu, S-Cu	10	A-Cu	10	A-Cu	10	A-Cu	10	7.9	19
N	10 ×	N	10 ×	N	10 ×		10 ×		10		10	8.0	20
	10		10	N	10		10 †		10 †		10 †	10.0	21
	10 †		10 †		10 †		10 †		10 †	S-Cu	10 †	10.0	22
	9 †		(10)		(9)	S-Cu	10 †	S-Cu	10	A-S	10	9.8	23
N	10	N	10		10		10		10		10	9.6	24
	10		10		10 †		10 † ×		10 †		9 †	10.0	25
	10 †		10 †		10 †		10 †		10 †		10 †	9.4	26
	10		10		10 †		10 †		10 †		10 †	10.0	27
	10 †		10 †		10 †		10 †		10 †		10 †	10.0	28
	10 †		10 †		10 †		9 †		10 †		10 †	9.9	29
S	3	S	1		(1)		2		9		1	8.2	30
	0		0		0		0		0		0	0.3	31
7.4		7.1		6.8		6.5		7.1		6.5	7.1	Med.	

Wolkenformen—Bewölkung—Hydrometeoren

Juni 1902

Det.	1 a. m.		2 a. m.		3 a. m.		4 a. m.		5 a. m.		6 a. m.	
1	A-S	9		9 †		(8)		7 †		7 †	A-Cu	4 †
2		10 †		9 †		10 †		10 †		9 †		10 †
3		10 †		10 †		10 †		10 †		9 †		7 †
4		10 †		(10)		(10)		10 †*		10 †		10 †
5		10 †		10 †		(10)		10 †		(10)		10 †
6		2		2		(2)		3		4		9 †
7		10 †		10 †		(10)		10 †		10 †		10 †
8		c		o		(o)		o		o		o
9		10 †		10 †		(10)		9 †		9 †		9 †
10		10 †		10 †		(10)		10 †		10 †		10 †
11		o		o		(o)		o		o		o
12		o		o		o		(o)		o		o
13		3	S	2		(1)		o		o		o †
14		o		o		(o)		o		2		1
15	S	3	S	3	S	3		2		1		o
16	Ci-S, Ci-Cu	3	Ci-S, A-S	3	A-S	1		o		o		o
17	Ci, Ci-S	3	Ci-S, A-S	4		10		10		10		9
18		o		o		o		o		o		o
19		o		o		o	A-S	1	A-S	4		(6)
20	A-S, S-Cu	10	A-S, S-Cu	10	S-Cu	8		10	S-Cu	10		7
21		8 †		o †		o		o		o		o
22		o	Cu	1	A-S, Cu.	6	A-S, Cu	3	A-S } S-Cu, Cu }	3		3
23		9	S	3		1		2		3	Ci	3
24	Ci-S	4	Ci-S	1	Ci-S	1	Ci-S	2	Ci-S, F-S	2		o
25		10 *		10 *†		10 †*		10 †*		10 †*		10 †
26		8 †		8 †		6 †		4 †		o		2 ≡
27	Ci, Ci-S	7	Ci, Ci-S	8	Ci, Ci-S	8	Ci, Ci-S	5	Ci, Ci-S	4		3
28		10		10		10 †		10 †		10 †		10 †
29		10 †		10		10		10		10 †		10 †
30		8 †		8 †		9 †		9 †		9 †		9 †
Med.		5.9		5.4		5.5		5.2		5.2		5.1

Wolkenformen—Bewölkung—Hydrometeoren

1902 Juni

7 a. m.		8 a. m.		9 a. m.		10 a. m.		11 a. m.		Mttg.	Dat.	
Ci-S	4	S-Cu, S	3 †	(7)	S-Cu, S	10 †	S-Cu, S	9	S-Cu, S	10	1	
	10		10	S	S	10	S	10	S	10	2	
S	10	S	10			10		10		10	3	
S	10 †		10 †			10 †		10 †		10 †	4	
	10 †		10 †			10 †		10 †		10 †	5	
	10 †		10			10		10 †		10 †	6	
	10 †		10 †			10 †		10 †		10 †	7	
S	1	S	1	Ci-S, S	4	Ci-S, S	9	Ci-S } A-S, S }	10 ⊥	A-S	10	8
	(9)		(8) †		8 †		7 †		5 †		3 †	9
	10		10		10 †		10 †		10 †		10 †	10
Cu	1	Ci, Cu	2	Ci-S, Cu	3	Ci, Ci-S	4	Ci, Ci-S	5	Ci-S } Ci, S }	9	11
	0		0		0		0		0	Ci, Ci-S	2	12
	0	S-Cu, S	1	S-Cu	2	S-Cu	2	S-Cu	2	S-Cu	2	13
S	1	Ci-S } S-Cu, S }	1	S-Cu	3	Ci-Cu } S-Cu }	4	A-S } S-Cu }	5	Ci-Cu, A-S	5	14
Ci	2	Ci	4	Ci-Cu	6	S-Cu, S	9	S-Cu } N, S }	9		10 †	15
A-S	9		9		10	A-S	10	A-S	10	N	10	16
S-Cu, S	9	S-Cu, S	9	S-Cu, S	9	S-Cu, S	9	S-Cu, S	9	S-Cu, S	9	17
	0		0	N, F-N	6	N, S	7	N, S	8	N, S	8 †	18
A-S	8	A-S	8	A-S	10	A-S	9	A-S	10	A-S	10	19
Ci-S	7	Ci-S } A-Cu, S }	7	Ci-S, N	8	S-Cu	10	S-Cu, N	10	S-Cu, N	10	20
A-S	3	A-S	10	A-S	10 ×	S	10	S	9	S	9	21
N, S	3	N, S	4	S-Cu, S	3		(3)		(3)		(3)	22
N	10	N	10	N	10	N	10	N, S	9	N, S	9 †	23
	0	A-Cu, S	1	S	1	Ci	3	Ci, Ci-S	2	Ci, Ci-S	2	24
N	8	N	8	N	8	N	10 †		9 †	S-Cu	10 †	25
	0	S	1	S	1 ≡	S	1	S	1	S	2	26
A-S	3	A-Cu, S	3	A-Cu, S	6	A-Cu, S	7	A-Cu, S	8	A-Cu, S	9 ≡	27
N	10 †	N	10 †	N	10 †	N	10 †	N	10 †	N	10 †	28
N	10 † ×		10 † ×		10 † ×		10 †		10		10	29
	10 †		10 †		(10) †		(10)		10 †		10 †	30
	5-9		6-3		7-1		7-8		7-8		8-1	Med.

Wolkenformen—Bewölkung—Hydrometeoren

Juni 1902

Dat.	1 p. m.		2 p. m.		3 p. m.		4 p. m.		5 p. m.		6 p. m.					
1	S-Cu, S	10	S	10	A-S, S	9	S	9	S	9	S	5				
2	S	10	S	10	S	10		10 †		10 †		10 †				
3		10		10 †		10		10		10		10				
4		10 †		10 †		10 †		10 †		10 †		10 †				
5	S-Cu	4 †	A-S, S-Cu	6 †	A-S, S-Cu	8 †	A-S	9 †	S	4		0				
6		10 †		10 †		10 †		10 †		10 †		10 †				
7		10 †		10 †		10 †		10 †		8 †		0 †				
8	A-S	10	A-S	10	A-S	10		10 †		10		10				
9		0 †		0		3		6		9		(10)				
10		10 †		10 †		10 †	S	10 †		10 †		10 †				
11	Ci-S	9	A-Cu, S	8	A-Cu, S	7	Ci-S, S	6	S	5	S	4				
12	Ci-S		Ci, Ci-S	4	Ci-S		Ci-Cu		5		Ci-Cu		Ci-Cu, S-Cu, Cu	7	A-S	0
13	Ci-S		1		0				0					0		0
14	Ci-Cu, A-S	5	Ci-Cu, A-S	5	Ci-Cu	4	Ci, Ci-Cu	3	Ci, Ci-S	4	Ci, Ci-S	5				
15		10 †		10 †	Ci, S				10 †		10 †	S-Cu	9 †			
16	N	10	N, F-N	9	N	2		(2)		(2)		(1)				
17	S-Cu, S	9	S-Cu, S	9	S-Cu, S	9	S-Cu, S	9	S-Cu, S	9	Ci-Cu	8				
18	N, S	8	N, S	8 †	N, S	8 †	N, S	5 †	N, S	5 †	A-Cu, S-Cu	5				
19		(10)	A-Cu	8	A-Cu, S	8	Ci-S	8	Ci-S, A-Cu	8	Ci-S	3				
20	S-Cu, N	10	A-S, Cu		10	Ci-S, N	10		A-Cu, S	(10)	(10)	(10)	(10)	(10)		
21	S	9 †	A-S, S	9 †	A-S, S	10	A-S	10	A-S	10	A-S	9				
22	A-S, N	(2)	N, Cu	(2)	Cu, N	(2)	Cu, N	(2)	Ci, Cu	2	Ci, S	1				
23	Ci-Cu	5		(4)		(3)		(2)		1		1				
24	S, F-S		10		A-S		10		A-S		10		A-S	10	A-S	10
25	Ci, A-S	10	S-Cu	9 †	S-Cu	9 †	S-Cu	7 †		7 *		10				
26	S	4	S	5 ⊥	S	8 ⊥		(4)		1 ≡		0				
27		10 ≡		10		10	S-Cu, N	10	S-Cu, N	10	S-Cu, N	10				
28	N	10 †	N	10 †	N	10 †	N	10 †		10 †		3 †				
29		(10)		(10)		(10)		(10)		(10)		(10)				
30		10 †	N	6 †	N	7 †	A-Cu, S-Cu	8		4		0				
Med.		8.0		7.7		7.7		7.5		7.2		6.1				

Wolkenformen—Bewölkung—Hydrometeoren

1902 Juni

7 p. m.		8 p. m.		9 p. m.		10 p. m.		11 p. m.		Mtn.	Med.	Dat.	
S	6	S	6		10		10		10 †	10 †	8.0	1	
	10 †		10 †		10 †		10 †		10 †	10 †	9.9	2	
	10		10		10 †		10 †		10 †	10 †	9.8	3	
	10 †		8 †		5 †		9 †		8 †	10 †	9.6	4	
	0		(4)		8		4		3	3	7.2	5	
	-												
	10 †		10 †		10 †		10 †		10 †	10 †	8.4	6	
	0 †		0		0		0		0	0	7.0	7	
	10		10		10		10 †		10 †	10 †	6.5	8	
	(10)		(10)		(10)		10 †		10 †	10 †	7.7	9	
	5 †	S	6 †	A-S	6		6 †		4 †	0	8.6	10	
S	3	S	2	S-Cu, S	3	Ci-S, S-Cu	3	Ci-S	2	S, Cu	1	3.2	11
A-S	8	A-S	8	A-S, Cu	5	Ci-S	5	Ci, Cu	6		3	2.9	12
	0		0		0		0		0		0.7	13	
Ci, Ci-S	5	Ci-S	6	Ci, Ci-S	6	S	4	S	3	S	3	3.1	14
S-Cu	8	S-Cu, S	5	S-Cu, S	8	S	1	S	1	Ci-S	2	5.7	15
	(1)		(1)		1		1		0	Ci, Ci-S	3	4.1	16
Ci-Cu	8	Ci-Cu	8	A-Cu, S-Cu	8	S-Cu	7	S-Cu	3		0	7.8	17
A-Cu, S-Cu	4	A-Cu, S-Cu	3	Cu	2		0		0		0	3.2	18
Ci-S, S	6	Ci-S, S	9	Ci-S	9	A-S	9	A-S, A-Cu	8	A-S	10	6.7	19
A-Cu, S-Cu	(10)	A-S	(10)	A-S, S	10 *	N	10 *	A-S, A-Cu	10 *	A-S	10 †	9.4	20
	10	S-Cu, S	6		4	Ci-S	3	N	1 †		0 †	5.8	21
Ci, S	1	Ci, S	1	Ci, S	1	Ci, N	5	A-S, S	3	S	4	2.5	22
	0		0	Ci-S	3	Ci-S	4	Ci-S	4	Ci-S	4	4.6	23
A-S	10	A-S	10	N	10 *		10 *		10 *		10 *	5.8	24
	10		10 †		10 †		4		7 †		8 †	8.9	25
	0		0		0	S	1	Ci	2	Ci, Ci-S	4	2.6	26
S-Cu, N	10	S Cu, N	10		10		10		10		10	8.0	27
	2 †		0		0		0		0		2 †	7.4	28
	(10)		(10)		(10)		10 †		10 †		10 †	10.0	29
	2		4		0		0		0		0	6.4	30
	6.0		5.9		6.0		5.5		5.2		5.2	6.4 Med.	

Wolkenformen—Bewölkung—Hydrometeoren

Juli 1902

Dat.	1 a. m.		2 a. m.		3 a. m.		4 a. m.		5 a. m.		6 a. m.	
1		0		0		0		0		1		1
2		3 †		4 †		2 †		2 †		3 †		3 †
3		9 †		9 †		9 †		9 †		9 †		6 †
4		0		0		0		0		0		0
5		0		0		0		0		0		0
6		5		10 ✕		10 ✕		10 ✕		10 ✕		10 †
7		10		10		10		7		2		0
8		0		0		0		1		4		3 †
9		9 †		9 †		9 †		9 †		9 †		9 †
10		10 †		10 †		10 †		10 †		10 †		8 †
11	N	4	N	8 ✕	N	8 ✕	N	9 ✕		10 †		10 †
12		8 †		9 †		10 †		10 †		10 †		10 †
13		0		0		2		5		8		10
14		0		0		0		0		0		0
15		10 ≡		(10)		10 ≡		10 ≡		10 ≡		10 ≡
16		10 †		9 †		9 †		10 †		10 †		10 †
17		3 †		7 †		10 †		10 †		10 †		10 †
18		10 † ≡		10 † ≡		10 † ≡		10 † ≡		10 † ≡		10 † ≡
19		10 †		10 †		10 †		10 †		10 †		10 †
20		10 †		10 †		10 †	S-Cu	8		10 †	A-S	9 †
21		10 †		10 †		(10)		10 †		10 †		10 †
22		10 †		10 †		(10)		10 †		10 †		10 †
23		8 †	A-S, S	3	A-S, S	4	A-S, S	4	A-S, S	4		4
24		5 †	A-Cu	2		(2)		2		2	Ci-S	4
25		8 †		(6)	Ci, S	4	A-S	6		(5)		4
26		0		0		0		0		0		0
27		9 †		9 †		9 †		8 †		10 †		(10)
28		0		0		(1)	A-S, S-Cu	1		(4)	A-S, S-Cu	7
29		10		10		(10)		10		10		10
30		10		10		10		10		10		10 †
31		10 †		10		(10)		10		10		10
Med.		6.2		6.3		6.4		6.5		6.8		6.7

Wolkenformen—Bewölkung—Hydrometeoren

1902 Juli

7 a. m.		8 a. m.		9 a. m.		10 a. m.		11 a. m.		Mitg.	Det.	
S	1	A-Cu, S	4	A-Cu, S	4	A-Cu, S	6	A-Cu, S	10	A-Cu, S	9	1
S	3 †	S	3 †		6 †		5 †		3	S	4 †	2
N	3	N	3	N	3	N	2	N	1		0	3
A-S	1	A-S	1	A-S	1	A-S	1	A-S	1	A-S	1	4
S	1	A-Cu } S-Cu, S }	3	A-S, Cu	4	A-S } S-Cu, Cu }	6	A-S, Cu	6	A-S, Cu	2	5
S	1 †		4 †		1 †		1 †	S	3 †	A-S, S	3	6
S	1	S	1	S	1	Ci-S	1	Ci-S	1	Ci-S	1	7
	7 †		7 †		10 †		10 †		10 †		10 †	8
	9 †		10 †		10 †		10 †		9 †		9 †	9
S-Cu, N	9	S-Cu	8	S-Cu	9	S-Cu	10	S-Cu } N, S }	10	S-Cu, N	10	10
	10 †		10 †		10 †	A-Cu	8 †	A-Cu } Ci-Cu }	8 †	A-Cu	8 †	11
	10		9	N, S	8	Ci, S-Cu	3	Ci, A-S }	5	Ci-Cu	6	12
A-S, Cu-N	10	A-S, Cu-N	9	A-S, Cu-N	8	A-S, Cu-N	9	A-S, Cu-N	9	A-S, Cu-N	9	13
	0	S-Cu	1	S-Cu	1	S-Cu	1	S-Cu	2	S-Cu	3	14
	10 †		10 †		10 †		10 †		10 †		10 †	15
	10 †		10 †		10 †		10 †		10 †		10 †	16
	10 †		10 †		10 †		10 †		10 †		10 †	17
	10		10		10		10		10		10	18
	10 †		10 †	(10)	10 †		10 †		10 †		10 †	19
	10 †		10 †		10 †		10 †		10 †		10 †	20
	10 †		10 †		10 †		10 †		10 †		10 †	21
	10 †		10 †		10 †		10 †		10 †		10 †	22
A-S, N	7	A-S, N	8	A-S, N	8	A-S, N } Ci, Ci-S }	10 †	A-S	9 †	A-S, S-Cu	8 †	23
Ci-S	2	A-S	2	A-S, S	3	A-S, S } Ci-S, A-S }	10	Ci-S, A-S	10	Ci, Ci-S	3	24
Ci-S, A-S	1	Ci-S, A-S	1	Ci-S, A-S	1		1	Ci-S, A-S	1	Ci-S, A-S	1	25
	0		0		0		0		0		0	26
A-S, S-Cu	9	A-S, S-Cu	9	S-Cu	8	S-Cu	1		0		0	27
S-Cu	9	S-Cu	10	S-Cu	10	S-Cu	10	A-Cu, S-Cu	10	A-Cu	8	28
	10		10	N, S	10 †		10 †		10 †		10 †	29
	10		10	N	10 ✕	N	10 ✕	N	10 ✕	N	10 ✕	30
N	10 †	N	10	N	10 †	N	10 †	N	10 †	N	10 †	31
	6.6		6.9		7.0		6.9		7.0		6.6	Med

Wolkenformen—Bewölkung—Hydrometeoren

Juli 1902

Dat.	1 p. m.		2 p. m.		3 p. m.		4 p. m.		5 p. m.		6 p. m.	
1	A-Cu, S	8	S-Cu	9 †	A-Cu, S	10	A-Cu, S	8 †	S	2 †		2 †
2	S	4 †	Ci-Cu, S	5	Ci-Cu, S	5	S	6 †	S	2 †	S	2 †
3		0		0		0		0		0		0
4	S-Cu, Cu	2	S-Cu, Cu	2	S-Cu, Cu	2		(1)		0		0
5	Ci-Cu Cu, S	6	Ci, Cu	5	A-S, N	8		(8)		9		10
6	A-S, S	1		0		0		0		0		0
7	Ci-S	1		0		0		0		0		0
8		10 †		10 †		10 †		10 †		10 †		10 †
9		10 †		10 †		10 †		10 †		10 †		10 †
10	A-Cu S-Cu, S	9	S	1		0		0		0		0
11	A-Cu	10 †		10 †		10 †		10 †		10 †		10 †
12	Ci-Cu, A-S	6	A-S	8	A-S, S	10	A-S	10	A-S	10	Ci, Ci-S	6
13	A-S, Cu-N	10	A-S, Cu-N	10	A-S, Cu-N	10	A-S, Cu-N	8	A-S	6		1
14	S-Cu	3	A-S, S-Cu	8	A-S, S-Cu	10	A-S S-Cu, S	10	A-S	10	A-S	3
15		10 †		10 †		10 †		10 †		10 †		10 †
16		9 †		10 †		10		10 †		10 †		10 †
17		10		10 †		10		10		10		10
18		10		10		10		10		10		10
19		10 †		10 †		10 †		10 †	N, S	10	A-S, N	4
20		10		10		10		10		10		10
21		8 †		10 †	S-Cu	10 †		10 †		10 †		10 †
22	S-Cu	10 †		10 †		10 †		10 †		4 †		1 †
23	S-Cu, Cu	4 †	S-Cu, Cu	5 †	S-Cu	3 †	S-Cu, N	5 †	S-Cu, N	2 †	S-Cu, N	1 †
24	Ci, Ci-S	4 †	Ci-S, Ci-Cu	4	Ci-S, Ci-Cu	3	Ci-S, A-S	2	A-S	1		0
25		0		0		0		0		0		0
26		0		0		0		0 ≡		0 ≡		0
27		0		0		0		0		0		0
28	A-Cu	1	Ci, Ci-S	4	Ci, S-Cu	4	Ci, Ci-S	5	A-S	10	A-S	10
29		10 †		10 †		10 †		10 †		10 †		10 †
30	N	10 ×	N	10 ×	N	10 †	N	10 †	N	10 †		10 †
31	N	10 ×	S-Cu, N	4 †	S-Cu, N	2 †	N, S	3	S-Cu, N	4	N	1
Med.		6.3		6.3		6.4		6.3		5.8		4.9

Wolkenformen—Bewölkung—Hydrometeoren

1902 Juli

	7 p. m.	8 p. m.	9 p. m.	10 p. m.	11 p. m.	Mtn.	Med.	Dat.
S	10 † 2 † 0 0 10 0 0 10 † 10 † 0	10 0 † 0 0 9 0 0 10 9 † 2	10 0 † 0 0 4 1 0 9 8 † 3	2 † 3 † 0 0 0 8 0 8 † 9 † 3	2 † 5 † 0 0 5 × 1 0 8 † 10 † 1	2 † 5 † 0 0 5 × 3 × 0 10 † 10 † 0	4.6 3.3 2.6 0.5 4.2 3.4 1.9 7.4 9.4 5.5	1 2 3 4 5 6 7 8 9 10
Ci-S	10 † 5	Ci-S 5	10 † 6	10 † 7	10 † S-Cu 8	9 † S-Cu 3	10 † 3	9.2 7.6
A-S	1 3	A-S 9	A-S 3 Ci-S, A-S	A-S 1 † Ci-S	1 † 10 † Ci-S	0 10 10	0 10 10	5.4 4.3 10.0
A-S	10 † 10 † 10 10 10 7 † 10	10 † 10 10 10 10 N 7 10	10 † 10 10 10 10 N 10 10	10 † 10 † 10 † 10 † 10 † 7 10 †	10 † 10 † 10 † 10 † 10 † 4 10 †	3 † 10 † 10 † 10 † 10 † 9 10 †	3 † 10 † 10 † 10 † 10 † 9 9.9	9.3 9.6 10.0 9.1 9.9
A-S, N	10 5 † 0 0 0 0 0 0 0 10 10 † 4 † 0	10 8 † 1 0 0 0 0 0 0 8 A-S 8 0 0 0 8 † 3 0	10 8 4 0 0 0 0 0 0 10 A-S 4 0 0 0 10 9 † 0	10 † 8 4 0 0 0 0 0 0 10 † A-S, A-Cu 8 4 0 0 6 8 † 10 † 0	10 † 9 8 A-S A-Cu 9 6 0 9 0 10 8 † 9 † 0	10 † 8 † 10 9 † 0 8 † 10 4 9 † 0	8.8 5.4 3.1 1.6 0.7 3.4 6.6 9.4 9.3 6.0	21 22 23 24 25 26 27 28 29 30 31
	5.1	5.2	5.7	5.6	5.6	5.6	6.2	Med.

Wolkenformen—Bewölkung—Hydrometeoren

Augusti 1902

Dat.	1 a. m.	2 a. m.	3 a. m.	4 a. m.	5 a. m.	6 a. m.
1		0	(0)	0	0	(0)
2	A-S	3	3	6	6	2
3		0	0	(0)	S	1
4		5 †	6 †	(7)	8 †	8 †
5		0 †	0	(0)	0	0
6		10 †	10 †	(10)	10 †	10 †
7		0 †	0 †	(0)	0	0
8		0	0	(0)	0	0
9		4	8	(8)	8	10
10		10 †	10 †	(10)	10 †	10 †
11		9 †	10 †	(10)	10 †	10 †
12	A-S	3	A-S 2	(1)	0	0
13	Cl-S	4	10	(7)	4	0
14	A-S	1	A-S 2	(3)	Cl-S 4	4
15		10	10 †	(10)	(10)	10 †
16		0	0	0	0	0
17	Cl-S, A-S	9	Cl-S, A-S 9	(9)	A-S, S-Cu 10	A-S, S-Cu 10
18	N	10	N 10	(10)	10	9
19	N	9	9	(5)	Cl-S 1	0
20	A-S	5	5	(6)	7	7
21		6 †	10 †	(9)	7 †	A-S 7 †
22		2	1	(1)	1	1
23		0	0	0	S-Cu 1	S-Cu 1
24		10 †	10 †	(10)	10	10
25		0	0	(0)	0	S-Cu 1
26		9	9	(9)	10	10
27		0	0	(1)	S-Cu 2	S-Cu 2
28		10	10	(9)	N 9	10
29		10	10	(10)	10	10
30		0	0	(0)	0	1
31		6	6	2	(3)	5 †
Med.	4.7		5.2	4.9	4.9	4.8
						4.6

Wolkenformen—Bewölkung—Hydrometeoren

1902 Augusti

7 a. m.		8 a. m.		9 a. m.		10 a. m.		11 a. m.		Mttg.	Dat.
S	1	S	1 ≡	S	1 ≡	o	o	o ≡	o ≡	o ≡	1
S	6 †	S	5	A-S, S	6	Ci-S	6 †	Ci-S	7 ≡	S	10
o	o	o	3	Ci-S, S	8	Ci-S	2	Ci-S	2	Ci-S, S	3
S	9	S	9	(9)	10 †	10 †	10 †	10 †	10 †	10 †	4
S-Cu	5	Ci-Cu, S-Cu	5	Ci-S } Ci-Cu, S }	6	Ci-S, S	5	Ci-S } S-Cu, S }	9	N	10 †
S	10	S	10	S	10 †	S	10 †	10 †	10 †	10 †	6
o	o	o	o	o	o	Ci-S, S	1	Ci-S	2	S	4
N, S	10 ≡	Ci-S, S-Cu	3	Ci-S, Ci-Cu	2	Ci-S, S	1	Ci-S, S	1	Ci-S, S	1
10 †	10 †	N, S	10	N, S	10 ×	N	10 ×	N	10 ×	N	10 ×
10 †	10 †	10 †	10 †	10 †	10 †	10 †	10 †	10 †	10 †	10 †	10
10 †	10 †	10 †	10 †	10 † ≡	10 † ≡	10 † ≡	10 † ≡	A-Cu	10 † ≡	N	9 †
A-S	1	A-S	1	o	o	o	o	o	o	o	12
(6)	A-Cu, S-Cu	9	A-Cu, S-Cu	9	A-Cu, S-Cu	8	A-Cu, S-Cu	8	S-Cu, Cu	6	13
S-Cu	8	S-Cu	6	S-Cu	5	S-Cu	5	S-Cu	3	Ci-S	4
(10)	10 †	10 †	10 †	10 †	10 †	10 †	10 †	10 †	10 †	10 †	14
o	o	o	o	o	o	o	o	o	o	Ci-S	1
Cu-N, N	10	Cu-N, N	10	Cu-N, N	10	Cu-N, N	9	Cu-N, N	9 †	Cu-N, N	10 †
S-Cu, N	10	S-Cu, N	10	S-Cu, N	9	Ci-S } Cu-N, N }	9	Ci-S } Cu-N, N }	9	Ci, Ci-S } Cu-N, N }	3
Ci-S	1	S-Cu	1	S-Cu	1	S-Cu	2	S-Cu	2	4	19
A-S	4	A-S	5	A-S	5	A-S	5	A-S	4	A-S	3 †
8 †	8 †	8 †	8 †	9 †	9 †	10 †	10 †	10 †	10 †	10 †	21
S-Cu	1	S-Cu	1	S-Cu	2	Ci, Ci-S	2	Ci, Ci-S	7	Ci-S	3
S-Cu	1	S-Cu	1	A-Cu, S-Cu	9	S-Cu	10	S-Cu	10	10 †	23
N	2	N	1	o	o	o	o	o	o	Ci-S } A-Cu, Cu }	5
S-Cu	3	S-Cu	3	S-Cu	3	o	o	o ≡	o ≡	o ≡	25
S-Cu, N	10	S-Cu, N	10	S-Cu, N	10	N	10	N	10	N	10
A-S, S-Cu	8	A-S, S-Cu	9	S-Cu, N	10	S-Cu, N	10	S-Cu, N	10	S-Cu, N	10
N	10	N	8	N	4	N	1	N	1	N	1
10 ≡	10 ≡	10 ≡	10 ≡	10 ≡	10 ≡	A-S	10 †	A-S	6 †	A-S, S-Cu	8
S-Cu	2	S-Cu	4	S-Cu	4	S-Cu	3	S	1	Ci-S, S	3
2	5	(8)	10 †	10 †	10 †	10 †	10 †	10 †	10 †	S-Cu, S	3 †
5.4	5.7	6.1	5.8	5.8	5.8	Med.					

Wolkenformen—Bewölkung—Hydrometeoren

Augusti 1902

Dat.	1 p. m.		2 p. m.		3 p. m.		4 p. m.		5 p. m.		6 p. m.	
1		0		0		0		0		0		0
2	S	10	Ci, Ci-S } S-Cu, S }	7	Ci S-Cu, S }	4	S-Cu, S	4	S-Cu	3	S-Cu	2
3	Ci-S, S	9	Ci-S, S }	9	Ci-S, S }	10	Ci-S, S	10	A-S, S	4	S	1
4		10 †		10 †		10 †		10 †		10 †		8 †
5	N	10 †	N, S	10	N, S	10	N, S	10	N, S	10	N, S	10
6		9 †	S-Cu	9 †	S-Cu	9 †	S-Cu	7 †	S-Cu	6 †		0 †
7	S-Cu	5	S-Cu	10	S-Cu	10	Ci-S S-Cu	10	S-Cu	3		0
8	Ci-S, S	2	Ci-S, S	3	Ci-S, S	4	Ci-S S, S-Cu }	3	S-Cu, S	8	S-Cu	8
9	N	10 ×	N	10 ×	N	10 ×	N	10 †	N	10 †	N	10 †
10		10 †		10 †		10 †		10 †		10 †		10 †
11	N	9 †	N	9 †	Ci-S, N	10 †	Ci-S, N	10 †	Ci-S, N	10 †	Ci-S	10 †
12		0		0		0		0		0		0
13	Ci-S	7 ≡	Ci-S	6 ≡	Ci-S, Cu	4 ≡	Ci-S, Cu	4 ≡	Ci-S S-Cu, Cu }	2 ≡		0
14	Ci-S	6	Ci-S	6	Ci-S, S-Cu	7	Ci-S, S-Cu	8	S-Cu, N	9	S-Cu	8
15		10 †		10 †		3 †		1 †		1 †		1 †
16	Ci-S	1	Ci-S	1	Ci-S S-Cu }	1	Ci-S S-Cu }	1	Ci-S, S	1	Ci-S, S	6
17	Cu-N	10 †	Cu-N	10 †	Cu-N, N }	10 †	Cu-N, N }	10 †	Cu-N, N	9 †	S-Cu, N	10
18	Cu-N, N	4	Cu-N, N	10 ×	Cu-N, N }	10	Cu-N, N }	10 ×	Cu-N, N	10 ×	N	10 ×
19	Ci-S, Ci-Cu	5	Ci-S Ci-Cu, S-Cu }	7	Ci-S Ci-Cu, S-Cu }	4		3		3	Ci-S, S-Cu	3
20	A-S	10 †		10 †		10 †		10 †		10 †		10 †
21		3 †		8 †		8 †		8 †		8 †		8 †
22	Ci, Ci-S	3	Ci-S	4	Ci-S	5	Ci-S, S-Cu	3	Ci-S, S-Cu	3		1
23		10 †	A-S, S-Cu	6 †	A-S, S-Cu	6 †	Ci-S, S-Cu A-Cu }	7 †	Ci-S, S-Cu A-Cu }	4 †		10 †
24	Ci-S, A-Cu	3	Cu	1	S-Cu, Cu	3	S-Cu, Cu }	6	S-Cu, Cu }	6	S-Cu, Cu	2
25		0 ≡		0 ≡		0 ≡		0 ≡		0 ≡	S	1
26	N	10	A-Cu, N	9	A-S	10 †	A-S	10 †	A-S	10 †	A-S	9 †
27	S-Cu, N	10	A-S S-Cu, N }	9	A-S S-Cu, N }	10	S-Cu, N }	10	S-Cu, N }	10	S-Cu, N }	10
28	N	1		0	A-S	2	A-S	2	A-S, N	10	A-S, N	10
29	Ci-Cu }	7	Ci-Cu }	7	Ci-Cu }	8	A-Cu, S-Cu	9		10 †		10 †
30	A-S, A-Cu }	5	A-S, A-Cu }	10	A-S, A-Cu }	10 ×	N, S	10 ×	N, S	10	N, S	10
31		4 †		2 †	S-Cu	1 †	S-Cu	1 †		0		0
Med.		6.2		6.5		6.4		6.4		6.1		5.7

Wolkenformen—Bewölkung—Hydrometeoren

1902 Augusti

7 p. m.		8 p. m.		9 p. m.		10 p. m.		11 p. m.		Mtn.	Med.	Dat.	
S-Cu	0	0	0	0	0	0	0	0	A-S	3	0.2	1	
S	1									0	3.9	2	
S	1	S	1 †	3	0 †	3 †	3 †	3 †		4	3.1	3	
	9 †		6 †	7 †	3 †	1 †	0 †	0 †		7.7	4	4	
N	6	S-Cu	3	1	0	3	10	5.1				5	
	0 †		0 †	0 †	0	0	0	0 †		6.7		6	
	8		0	A-S	1	0	0	0		1.9		7	
S-Cu	8	S-Cu	8	S-Cu, N	8	10	10	3		3.6		8	
N	10 †	N	10 †	N	10 †	10 †	10 †	10 †		9.5		9	
	10 †		10 †		10 †		10 †	10 †		10.0		10	
Ci-S	10 †	Ci-S, N	10	Ci-S	8	Ci-S, A-S	6	A-S	3	A-S	3	9.0	11
	0	A-S, S	4	A-S, S	10	Ci-S	7	Ci-S	10	Ci-S	9	2.0	12
	3		10		6	S	2	0	0	0	4.0	13	
S-Cu	1 †	Cu-N	0	Ci-S, Cu-N	0		0	8	10	5.4		14	
			0		0		0	0	0	6.1		15	
	(3)	Ci-S	1	Ci, Ci-S	1	Ci-S, A-S	2 =	Ci-S, A-S	10	Ci-S, A-S	10	1.6	16
S-Cu, N	10	N	10	N	10	N	10	N	10	N	10	9.7	17
N	10 ×	N	10 ×	N	10 ×	10 † ×	10 † ×	10 † ×	10 † ×	10 † ×	9.3	18	
Ci, A-S	2	S	1	A-S, S-Cu	2	A-S, S	3	A-S, S	4	A-S	5	3.2	19
	5 †		3 †		3 †		10 †		10 †		6.7	20	
	8 †		8 †		8 †		5		4		3	7.6	21
	0		0		0		0		0		1.7	22	
	10 †		10 †		10		10		10		10 †	6.2	23
S-Cu, Cu	1	S-Cu, Cu	1		0		0		0		3.5	24	
	0		0		0		3		5	10	1.2	25	
	2		2		0		0		0		7.4	26	
A-S } S-Cu, N } A-S, N }	10	A-S } S-Cu, N } A-S, N }	10	A-S } S-Cu, N } N }	10		10		10		10	7.8	27
	10		10		10		10		10		10	7.0	28
	5		10 †		9 †		1		0		7.9	29	
	5 †		3 †		3 †		3 †		8	6	4.3	30	
	0		0		0		0		0		3.0	31	
	4.5		4.5		4.5		4.0		4.8		5.0	5.4 Med.	

Wolkenformen—Bewölkung—Hydrometeoren

September 1902

Dat.	1 a. m.		2 a. m.		3 a. m.		4 a. m.		5 a. m.		6 a. m.	
1		0		0		0		(0)		0		0
2		0		0		0		0		0		0
3		0		0		0		(0)		0		0
4	A-S	10		3		(3)		3		4	Cu-N	10
5		10 ✕		10 ✕		(10)		10 ✕		10 ✕		10 †
6		9		10 ✕		(8)		6 ✕		10	S-Cu, S	10
7		7		6		(8)	A-S	10	S-Cu	10	S-Cu	8
8		8 †		8 †		(5)		2 †		2 †		2 †
9		10 †		10 †		(8)		6 †		10 †		10 †
10		0		0		(0)		0		0		0
11		0		0		(0)		0		1		1
12	Ci-S, A-S	9	Ci-S, A-S	9		(9)		10		10	N	10
13		10		10		(10)		10		10		6
14	Cu-N	10		6		(8)	A-S, Cu-N	4	A-S, Cu-N	9	S-Cu, Cu-N	8
15		10		10		(8)	S-Cu, N	6 ✕	N	9	N	9
16	A-S, N	10	A-S, N	10	A-S, N	9	A-S, N	8	A-S } S-Cu, N }	8	Ci-S } S-Cu, Cu-N }	6
17	Ci-S, A-Cu	5		7		(7)		8		8		7
18	Ci-S, Cu-N	10	Ci-S, Cu-N	8		(8)	Ci-S, Cu-N	8	Ci-S, Cu-N	8	Ci-S } Cu-N, N }	8
19		10 †		10 †		(8)		6 † ✕		10 ≡		10 ≡
20		10 †		10 †		(10)		10 †		10 †		10 †
21		10		10 ✕		10 ✕		10 †		10 †		10 †
22		7 †		8 †		10 †		10 †		10 †	A-Cu } S-Cu, S }	8 †
23		2		2		8 †		5		8 †		8 †
24		10		10		(10)		10 ≡	N	10 ≡	N	10 ≡
25		10 †		10 †		(10)		10 †		10 †		10 †
26		10 †		10 †		(10)		10 †		10 †		10 †
27		10 †		10 †		(10)		10 †		10 †		10 †
28		10 †		10 †		(10)		10 †		10 †		10 †
29		10 †		0 †		(0)		0 †		2 †		2 †
30		0		0		(1)	A-S	3		(2)	A-S	1
Med.		7.2		6.6		6.6		6.3		7.0		6.8

Wolkenformen—Bewölkung—Hydrometeoren

1902 September

7 a. m.		8 a. m.		9 a. m.		10 a. m.		11 a. m.		Mtg.		Dat.
S	1	S	1	S	1	Cl-S, S	2	Cl-S, S	2	Cl-S, S	3	1
	0		0		1		1		0		0	2
Cl-S, Cl-Cu	3	Cl-S, Cl-Cu	4	Cl-S, Cl-Cu	6	Cl-S	9	Cl-S	10	Cl-S	8	3
Cu-N, Cl-S	10	Cl-S, Cu-N	10	Cl-S, Cu-N	10	Cl-S, Cu-N	10	S-Cu, N	10	S-Cu	10	4
N	10	N	10	N	10	N	10	N	10	N	10	5
S-Cu	6	S-Cu	6	S-Cu	1		0		0	S-Cu	1	6
Cl-S, S-Cu	8	Cl-S, S	4	Cl-S, Cu	4	Cl-S, Cu	4	Cl-S } A-S, Cu }	3	Cl-S } A-S, Cu }	3	7
N	2	A-Cu, N	2	A-Cu, N	2	A-Cu, N	2		2	Cl-Cu, S-Cu	5	8
	10		10	A-Cu	9	A-Cu	10	N	10	N	10	9
	0	A-Cu	4	A-Cu	4	Cl-S } Cl-Cu, S-Cu }	3	Cl-S } Cl-Cu, S-Cu }	2	A-S, S-Cu	1	10
Cl-S, A-S	6	Cl-S, A-S	6	Cl-S, A-S	6	Cl-S, A-S	6	Cl-S, A-S	6	Cl, Cl-S	10	11
N	10	Cu-N	10	Cl-S, Cu-N	10	Cl-S, Cu-N	10	Cl-S, Cu-N	9	Cl-S, Cu-N	9	12
Cl-S, Cu-N	9	Cl-S, Cu-N	9	Cl-S } Cl, Cu-N }	9	Cl-S } Cl, Cu-N }	9	Cl-S } Cl, Cu-N }	9	Cl-S } Cl, Cu-N }	4	13
Cl-S } A-S, Cu-N }	6	Cl-S, Cu-N	3	Cl-S, S	2	Cl-S, S	2	Cl, Cu-N, N	3	Cl, A-Cu, N	5	14
A-Cu, N	6	A-S, A-Cu	6	A-S } A-Cu, N }	2	Cl-S, N	4	Cl, A-S	6	Cl-S, A-S	9	15
Cl-S } S-Cu, Cu-N }	8	Cl-S } S-Cu, Cu-N }	8	A-S } Cu-N, N }	8	Cl-S, Cu-N	9	Cl-S, Cu-N	10	Cl-S, Cu-N	10	16
Cu-N	10	Cu-N	10	Cu-N	10	Cl-S, Cu-N	10	Cl-S, Cu-N	10	Cl-S, Cu-N	10	17
Cl-S, Cu-N	9	Cl-S } Cu-N, F-N }	8	Cl-S } Cu-N, F-N }	8	Cl-S, N	9	N	10	N	10	18
N	10	N	10	N	10	N	10	N	10	N	10	19
N	10	N	10	N	10	N	10	N	10	N	10	20
	10		10		10		10		10		10	21
S-Cu	10	S	10	S	10	S	10	S	10	S	10	22
S-Cu	9	S-Cu	8	Cl	5	Cl	3		2		1	23
N	10	N	10	N	10	N	10	N	10	N	10	24
	10		10		10		10		10		10	25
	10		10		9		8		10		10	26
	10		10		10		10		10		10	27
	10		10		10		10		10		10	28
S	3	S	3	Cl-S, S	1	Cl-S	4	Cl-S	2	Cl-S	2	29
Cl-S } Cl-Cu, A-S }	8	Cl-S } Cl-Cu, A-S }	9	Cl-S } Cl-Cu, A-S }	9	Cl-S } Cl-Cu, A-S }	9	Cl-S } Cl-Cu, A-S }	9	Cl-S } Cl-Cu, A-S }	10	30
	7.5		7.4		6.9		7.1		7.2		7.4	Med.

Wolkenformen—Bewölkung—Hydrometeoren

September 1902

Dat.	1 p. m.		2 p. m.		3 p. m.		4 p. m.		5 p. m.		6 p. m.	
1	Cl-S, S	4	Cl-S, S	10	S	10	S	10	S	10	S	10
2		0		0		0		0		0		0
3	Cl-S	10	A-S	10	A-S	10	A-S, Cu-N	10	A-S, Cu-N	10	A-S, Cu-N	10
4	S-Cu	10	S-Cu	10	S-Cu, S	10	S-Cu, S	10	S-Cu, S	10	S-Cu, S	10
5	N	10	N	10	A-S, N	6	A-S, N	2		0		0
6	Cl-S, S-Cu	2	Cl-S, S	2	Cl-S	4	Cl-S	5	Cl-S, S	5	Cl-S	4
7	Cl-S, A-S, Cu	3	Cl-S, Cu	5	Cl-S, Cu	6	Cl-S } Cl, Cu }	6	Cl-S } Cl, Cu }	7	Cl-S } Cl, Cu }	7
8	Cl-Cu } A-Cu, S-Cu }	8	Cl-Cu } A-Cu, S-Cu }	8	Cl-Cu } A-Cu, S-Cu }	8	A-Cu, S-Cu	8	S-Cu	4	S-Cu	3
9	A-Cu, S	8	Cu-N	3	Cu-N, Cu	2	Cu	2		0		0
10	A-S, S-Cu	1	A-S, S-Cu	1		0		0	S-Cu	1	S-Cu	1
11	Cl, Cl-S	10	Cl, Cl-S	6	Cl, Cl-S	6	Cl, Cl-S	3	Cl, Cl-S	3	Cl-S, A-S	6
12	Cl-S, Cu-N	10	N	10	N	10	Cu-N, N	10	Cu-N, N	10	Cl-S, N	10
13	Cu-N, N	10	Cu-N, N	10	Cu-N, N	10	Cu-N	3	Cu-N	3		(3)
14	Cl, A-Cu	8	Cl, A-Cu	9	Cl } A-S, S-Cu }	9	A-S, S-Cu	9	A-S, S-Cu	8	A-S, S-Cu	8
15	Cl-S, A-S	9	Cl-S, A-S	9	Cl-S, A-S	9	A-S	9	A-S	9	A-S, Cu-N	8
16	Cl-S, Cu-N	10	Cl-S, Cu-N	10	Cl-S, Cu-N	10	Cl-S, Cu-N	10	Cl-S, Cu-N	10	Cl-S, Cu-N	10
17	Cl-S, Cu-N	10	Cl-S, Cu-N	10	Cl-S, Cu-N	9	Cl-S, Cu-N	9	Cl-S, Cu-N	9	Cl-S, Cu-N	10
18	N	10	N	10	N	10	N	10	N	10	N	10
19	N	10	N	10	N	10	N	10	N	10	N	10
20	N	10	N	10	S-Cu	9	Cl-S, S-Cu	3	S-Cu, S	4	S-Cu, S	10
21	S	10	S	10	S	10		8		8		8
22		10		10		10		10		10		10
23	S	1	A-S, S	1	A-S, S	4	A-S, N	10	A-S, N	10	A-S, N	10
24	N	10	N	10	N	10	N	10	N	10	N	10
25		10		10		10		10		10		10
26		10		10	S-Cu	10		10	S-Cu	10		10
27		10		10		10		10		10		10
28		10		10		10		10		10		10
29	Cl-S } Cl-S }	2	Cl-S } Cl-S }	2	Cl-S } Cl-S }	2	Cl-S } Cl-S }	2	Cl-S	2	S-Cu	10
30	Cl-Cu, A-S }	10	Cl-Cu, A-S }	10	Cl-Cu, A-S }	10	Cl-Cu, A-S }	10	Cl-S, A-S	10	Cl-S, A-S	10
Med.		7.9		7.9		7.8		7.3		7.1		7.6

Wolkenformen—Bewölkung—Hydrometeoren

1902 September

7 p. m.		8 p. m.		9 p. m.		10 p. m.		11 p. m.		Mittn.	Med.	Dat.	
S	6	(3)		0		0		0		0	3.0	1	
A-S, Cu-N	0			0		0		0		0	0.1	2	
S, N	10 *	Cu-N	5	Cu-N	5	A-S	10	10		10	6.2	3	
N	1	S, N	10 *	N	10 *L		10 *	10 *		10 *	8.9	4	
		N	7	N	10		10	10		10	8.2	5	
S-Cu, S	8	S-Cu, S	7	A-S, S	10		10		2	2	5.3	6	
Ci-S, Cu	4	Ci-S, Cu	4	Ci-S, N	3	Ci-S, S-Cu	2	S-Cu	4 †	10 †	5.7	7	
A-S, S-Cu	5 †	A-S	10 †	A-S	10 †		10 †		10 †	10 †	5.7	8	
	0	0	0	0	0		0		0	0	5.3	9	
A-S	7	A-S	4	A-S, S-Cu	2		2		1	0	1.4	10	
Ci-S, A-S	4	Ci-S	7	Ci, Ci-S	4	Ci-S, A-S	6	Ci-S, A-S	7	Ci-S, A-S	9	4.7	11
Ci-S, N	10	Ci-S, S-Cu	10	Ci-S, Ci-Cu	7	Ci-S, Ci-Cu	7	Ci-S, A-Cu	4	A-S	10	9.3	12
Cu-N	4	A-S, Cu-N	5	Ci-S, Cu-N	6	Ci-S, Cu-N	7	Ci-S, Cu-N	8	Ci-S, Cu-N	10	7.7	13
A-S, S-Cu	3	S-Cu	1	A-S	9	A-S	6	A-S	7		10	6.6	14
A-S, N	9	A-S, N	10	A-S, N	10	A-S, N	10	A-S, N	9	A-S, N	10	8.2	15
Ci-S, Cu-N	9	Ci-S, Cu-N	9	Ci-S, Cu-N	9	Ci-S, Cu-N	9	Ci-S, Cu-N	7	Ci-S, A-Cu	5	8.8	16
Ci-S, Cu-N	10	Ci-S, Cu-N	10	Ci-S, Cu-N	10	Ci-S, Cu-N	10	Ci-S, Cu-N	10	Ci-S, Cu-N	10	9.1	17
N	10 *		10 *		10 *		10 †		10 †		10 †	9.3	18
N	10 *	N	10 *	N	10 *	N	10 *	N	10 *		10 †	9.7	19
S-Cu, S	10 †		10		10		10		10		10	9.4	20
	8 †		6 †		4 †		8		3		5 †	8.7	21
	10 †		10 †		10 †		10		10		4	9.4	22
A-S, N	10 *	N	10	N	10	N	10		10		10	6.5	23
N	10 †	N	10 †	N	10 †		10 †		10 †		10 †	10.0	24
	10 †		10 †		10 †		10 †		10 †		10 †	10.0	25
	10 †		10 †		10 †		10 †		10 †		10 †	9.9	26
	10 †		10 †		10 †		10 †		10 †		10 †	10.0	27
	10 † *		10 † *		10 † *		10 † *		10 † *		10 †	10.0	28
Ci-S	3	Ci	1		0		0		0		0	2.2	29
Ci-S, A-S	10	A-S	6	A-S	2		5		5		4	6.4	30
	7.4		6.8		7.0		7.4		7.2		7.3	7.2	Med.

Wolkenformen—Bewölkung—Hydrometeoren

Oktober 1902

Dat.	1 a. m.		2 a. m.		3 a. m.		4 a. m.		5 a. m.		6 a. m.					
1		(4)		(2)		2		(2)		(2)		2				
2		o		o	S-Cu	1	S-Cu	1	S-Cu	1	S-Cu	1				
3		(o)		(o)		o		(o)		(o)	A-Cu, S-Cu	8				
4		o		o	Ci-S	2	S-Cu	4	Ci-S	7	Ci	8				
5		(3)		(6)		10	+	×	(10)	Ci-Cu, S-Cu	(10)	A-Cu, S-Cu	10	+	×	
6		(o)		(o)		o		(2)		(5)	Ci-S	7				
7		(6)		(8)		9		(7)		(6)	Ci, S-Cu	4	+			
8		o		o		o	Ci-S	4	Ci-S, A-S	2	Ci	6	⊥			
9		(6)		(3)		o		(2)		(3)		5				
10	Ci-S	4	Ci-S	3	Ci-S	3		(3)		(5)	A-Cu	5				
11	N	10	N	10	N	10	N	10	N, S	10	N, S	10				
12		(10)		(8)	S-Cu	8	+	≡		(8)		10	+	≡		
13		(3)		(2)	Cu-N, N	1		(1)		(1)	Ci-S, N	1				
14		(7)		(5)	Ci-S, N	3		(5)		(7)	S-Cu	9				
15		(o)		(1)		1		(2)		(5)		6				
16		10	+	10	+	10	+	10	+	10	+	10	+			
17		(10)		(10)	N	10	×	(10)		(10)		10	×			
18	Ci-S } A-S, A-Cu }	8	+	A-S, A-Cu	3	+	A-S } A-Cu, S-Cu }	4	+	Ci-Cu } A-S, A-Cu }	8	Ci-S, Ci-Cu } A-S, S }	7	Ci-S, Ci-Cu } S-Cu, S }	8	+
19	N	10	×	(10)		10	≡	×	(10)	(10)		10	+	×		
20		(10)		(10)		10	+	(10)		(10)		10	+			
21		7	+	7	+	8	+	(8)		(7)	Ci	7	+			
22	S-Cu	10		S-Cu	10		S-Cu	10	A-Cu, S-Cu	10	A-Cu, S-Cu	10	A-Cu, S-Cu	10		
23		(10)		(10)		10		(10)		(10)		10				
24		(10)		(10)	N	10	×	(10)		(10)		N, S	10			
25		10	+	10	+	10	+	10	+	10	+	N	10	×		
26		(10)		(10)		10	+	(10)		(10)		10	+			
27		(10)		10	+	10	+	(10)		(10)		10	+			
28		(10)		(10)		(10)		A-S, N	10	(10)		N	10			
29		10	+	10	+	10	+	10	+	10	+	10	+			
30		(10)		(10)		10	+	(10)		(10)		S-Cu	10	+		
31		(5)		(8)		10		(10)		(10)		A-S, N	10			
Med.		6.5		6.3		6.5		7.0		7.4		8.0				

Wolkenformen—Bewölkung—Hydrometeoren

1902 Oktober

7 a. m.		8 a. m.		9 a. m.		10 a. m.		11 a. m.		Mttg.	Dat.				
Ci, S-Cu	1	Ci, S-Cu	1	Ci, Ci-S } Ci-Cu } 3	Ci, Ci-S } Ci-Cu } 4	Ci, Ci-S } Ci-Cu } 7	Ci, Ci-S } Ci-Cu, A-Cu } 9	Ci, Ci-S } Ci-Cu, A-Cu } 7	Ci-S } A-S, S-Cu } 9		1				
S-Cu	1										2				
A-Cu, S-Cu	6	S-Cu	1	A-Cu } S-Cu, Cu-N } 4	A-Cu } S-Cu, Cu-N } 6	A-Cu, S-Cu } Ci-Cu } 9	A-Cu, S-Cu } Ci-Cu } 9	A-Cu, S-Cu } Ci-Cu } 7	S-Cu, N	10	3				
Ci	8	Ci, Ci-S } S-Cu } 7		Ci-S, S-Cu } 8	S-Cu } 9					9	4				
A-Cu, S-Cu } 10	†*		10	†*	10	†*	10	†*	10	†*	5				
Ci-S } Ci, S-Cu } 8		S-Cu	9	S-Cu	9	S-Cu	10	S-Cu	10	Ci, Ci-S } Ci-Cu, S-Cu } 10	6				
S-Cu	6	†	A-Cu, S-Cu, S } 7	†	A-Cu } S-Cu, S } 6	†	S-Cu, S } Ci-S } 1				7				
Ci, Ci-S } Ci-Cu, A-Cu } 8	†		Ci, Ci-S } Ci-Cu, A-Cu } 7		Ci-S, Ci-Cu } 2		Ci, Ci-Cu } Ci-S } 3				8				
Ci-S, S-Cu, Cu } 9			A-S, S-Cu } 4				Ci-S, A-Cu, Cu } Ci-S, A-Cu } 9			Ci, Ci-S } A-Cu, Cu } 3	9				
S-Cu	8		A-Cu, S-Cu } 8		Ci-S, A-Cu } S-Cu, Cu } 2		Ci-S } S-Cu, Cu } 3			A-Cu, S-Cu, Cu } 9	10				
N, S	10	✗	N, S	10	N, S	10	10	≡	10	≡	10	≡	11		
	10	†		10	†	10	†	10	†	10	†	10	†	12	
Ci-S, N	2		Ci-S, N	7	N, S	9	N, S	10	N, S	10	N, S	10	13		
S-Cu	10		S-Cu	10	S-Cu	10	S-Cu	10	S-Cu	10	S-Cu, S	10	14		
S-Cu, S	8		S-Cu, S	10	S-Cu, S	10	S-Cu, S	10	S-Cu, S	10	N, S	10	✗	15	
	10	†		10	†				7	†	Ci-Cu, A-Cu	6	†	16	
	10			10	✗		N	10	✗	N	10	✗	17		
Ci-S } Ci-Cu, S-Cu } 8	†		Ci-S } A-Cu, S } 8		Ci-S, S-Cu } 2		Ci-S } A-Cu, S-Cu } 5		Ci, S-Cu	2	Ci-S, S-Cu	3	18		
	10	†*		10	†*				10	†*		10	†*	19	
S-Cu	10	†		10	†				10	†		10	†	20	
	8	†	S-Cu	10	†	Ci, S-Cu	8	†	Ci-S	4	Ci, Ci-S	4	†	21	
A-Cu, S-Cu	9		A-Cu, S-Cu	9		8		10	A-S, S-Cu	10		10	†	22	
N, S	10	✗	N	10	✗	N	10	✗	N	10	✗	N	10	✗	23
N	10	✗	N	10	✗	N	10	✗	N	10	✗	N	10	✗	24
	10	†		10	†				10	†		10	†	25	
	10	†		10	†				10	†		10	†	26	
	10	†		10	†				10	†		10	†	27	
N	10		N	10		N	10	✗	N	10	✗	10	†	28	
	10	†		10	†				10	†		10	†	29	
	10	†		10	†				10	†		10	†	30	
	10		N	10	≡	N	10	≡	N	10	N	10		31	
	8.4		8.4		8.1		8.3		8.4		8.5		Med.		

Wolkenformen—Bewölkung—Hydrometeoren

Oktober 1902

Dat.	1 p. m.		2 p. m.		3 p. m.		4 p. m.		5 p. m.		6 p. m.					
1	S-Cu	9	S-Cu	10	S-Cu	10	S-Cu, Cu-N	10	S-Cu, Cu-N	7	×	S-Cu, Cu-N	6	×		
2		0		0		0		1		0			0			
3	S-Cu, N	10	N	10	N, S	10	S-Cu, Cu	2		0			0			
4	S-Cu	9	A-Cu S-Cu, N	10	A-Cu S-Cu, N	10	A-Cu S-Cu, N	10	A-Cu S-Cu, N	10		A-Cu S-Cu, N	10			
5		10	+	10	+	10	+	10	+	10	+	10	+	10		
6	Ci-S, Ci-Cu A-Cu, S-Cu	8	Ci, Ci-S Ci-Cu, S-Cu	7	Ci A-Cu, S-Cu	7	Ci A-Cu, S-Cu	5	Ci A-Cu, S-Cu	4		A-Cu, N	7			
7		0		0		0		0		0			0			
8	Ci-Cu, S-Cu	7	Ci-S Ci-Cu, A-Cu	9	Ci-S, A-Cu	9	Ci-S Ci-S	8	Ci-S	7		Ci-S, A-S Ci-S	6			
9	Ci-S, Ci, Cu A-Cu	3	Ci-S, Cu	3		5	Ci-S A-Cu, Cu	8	Ci-S, A-Cu	4		Ci, A-Cu S-Cu	2			
10	S-Cu, Cu	9	S-Cu, Cu	9	S-Cu, Cu	10	+	10	+	+	+	Ci-Cu A-Cu, S-Cu	10	+		
11		10	≡	10	≡	×	10	≡	10	≡		A-Cu	3	≡		
12	S-Cu	8	+	S-Cu	8	+		8	+		8	+	Ci-S Ci, S-Cu	3		
13	N, S	10		N, S	10		N, S	10		10		Ci-S, N, S	9			
14	S-Cu, S	10		S-Cu, S	10		S-Cu	10		10		S-Cu	10			
15	N, S	10	×	N, S	10	×	N, S	10	×	N	10	×	N	10	×	
16		8	+	Ci-Cu, A-Cu	8	+	A-Cu	7	+	Ci, Ci-S	9	+	Ci, Ci-S	8	+	
17	N	10	×	N	10	×	N	10	×	N	10	×	N	10	×	
18	Ci-S, S-Cu	3		Ci-S	1	+	Ci, S	2	+	Ci, S	4	+	Ci, Ci-S	5		
19		10	+	×	10	+	×	10	+	10	+		A-Cu	9	+	
20		10	+		10	+		10	+	10	+		10	+		
21	Ci, Ci-S	8	+	Ci, Ci-S	9	+	Ci-S Ci, A-S	10	+	Ci-S, A-S	9	+	Ci-S, A-S	9	+	
22		9		A-S, S-Cu	10		S-Cu, N, S	10	×	N	10	×	N	10	×	
23	N	10	×	N	10	×	N	10	×	N	10	×	N	10	×	
24	N	10	×	N	10	×	N	10	+	N	10	+	N	10	+	
25		10	+		10	+		10	+	10	+		10	+		
26		10	+		10	+		10	+	10	+		10	+		
27		9	+	A-Cu	8	+	S-Cu	9	+	S-Cu	9	+	S-Cu	9	+	
28		9	+		10	+		10	+	10	+		10	+		
29		10	+		9	+	S-Cu, S	9		10	+		10	+		
30	A-Cu, N	9	+	S-Cu	7	+	S-Cu	4		Ci-S, S-Cu	1		Ci-S	3		
31	N	10	+		10	+		10	+	10	+		10	+		
Med.		8.3			8.3			8.4			8.2			7.4		7.2

Wolkenformen—Bewölkung—Hydrometeoren

1902 Oktober

7 p. m.		8 p. m.		9 p. m.		10 p. m.		11 p. m.		Mitn.	Med.	Dist.					
S-Cu	1		0		0		0		0		3.8	1					
	0		0		0		0		0		0.3	2					
	0		0		0		0		0		3.2	3					
A-Cu } S-Cu, N }	9	A-Cu } S-Cu, N }	7		4		3		0		6.3	4					
	10 †		5 †		6 †		0 †		0		7.9	5					
A-Cu, N	6	A-Cu, N	5		(5)		4		3		5.7	6					
	0		0		0		Cl		1		2.5	7					
Ci-S, A-S	5	Ci-S, A-S	4		Ci-S, A-S		Ci-S, A-S		1		Ci-S, A-S	2		9	4.5	8	
Ci-S } Cl, A-Cu }	2	Ci-S, A-S, S	3		Ci-S, A-S		Ci-S		5		Ci-S	2		3	4.8	9	
	10 †	S-Cu	10		S-Cu		S-Cu		10 ×		N	10		10	7.4	10	
S	10 ≡	S-Cu, N	10		S-Cu, N		S-Cu, N		10		S-Cu, N	10		10	9.6	11	
A-Cu, S-Cu	8	Ci-S, A-Cu	8 †		Ci-S, A-Cu		8 †		7		A-Cu, S-Cu	7		4	8.0	12	
Ci-S, N, S	10	Ci-S } A-S, N }	9		Ci-S, N		9		9		Ci-S	9		9	7.1	13	
S-Cu	10	S-Cu	7		S-Cu		2		1		Cl	1		0	7.3	14	
N	10 ×	N	10 ×		N		10 ×		N		N	10 ×		N	10 ×	8.0	15
	10 †		9 †		Ci-S, Ci-Cu		7 †		3		N, S-Cu	10 ×		N	10	8.7	16
S-Cu } Cl, Ci-S }	10 †	S-Cu	10 †		Ci-S, S-Cu		9 †		6 †		0 †	A-Cu		2 †	9.0	17	
S-Cu, S }	6	S-Cu	10		S-Cu, N		10		10		Ci, Ci-S } S-Cu }	9		10	5.8	18	
A-Cu	5 †	A-Cu	8 †		A-Cu		4 †		9 †		9 †			10 †	9.0	19	
Cl, S-Cu	7 †		10 †				10 †		10 †		10 †			10 †	9.9	20	
Ci, Ci-S	7 †	Ci-S } Cl, A-S }	6 †		Ci-S } Cl, A-S }		7 †		9 †		10			10	7.8	21	
N, S	10 ×	N	10 ×		N		10		10		10			10	9.8	22	
N	10 ×	N	10 ×		N		10 ×		N		N	10 ×		N	10 ×	10.0	23
N	10 †	N	10 †		N		10 †		N		N	10 †		N	10 †	10.0	24
	10 †		10 †				10 †							10 †	10.0	25	
	10 †		10 †				10 †							10 †	10.0	26	
S-Cu	10 †	S-Cu	10 †		S-Cu, N		10		10		10			10	9.7	27	
	10		10 †				10 †		10 †		10 †			8 †	9.9	28	
	10 †		10 †				10 †		10 †		10 †			10 †	9.9	29	
Ci-S	2	Ci-S, A-Cu	4		A-Cu		7		3		Ci-S	1		2	6.9	30	
	10 †		10 †				10 †		10 †		10 †			10 †	9.7	31	
	7.3		7.3		7.0		6.5		6.2		6.5		7.5	Med.			

Wolkenformen—Bewölkung—Hydrometeoren

November 1902

Dat.	1 a. m.		2 a. m.		3 a. m.		4 a. m.		5 a. m.		6 a. m.			
1		(10)		(10)		10	† ×	(10)		(10)		10	†	
2	N, S	10	N, S	10	N, S	10		N, S	10	N, S	10	N, S	10	×
3		(10)		(10)		10	†	(10)		(10)		10	†	
4		(4)		(6)	Cl-S, A-S	9		Cl-S, A-S	9	Cl-S, A-S	9	Cl-S, A-S	9	
5		(1)		(2)	S-Cu, A-Cu	3		(5)		(7)		A-Cu	9	
6	N	10		(10)	N	10		(10)	N	10	†	N	10	†
7		0		(1)	Cl-S	2		(1)		0			0	
8		7		(8)	A-S	10		(8)	Cl, Cl-S } A-Cu, S-Cu }	6		Cl A-Cu, S-Cu }	8	
9	A-Cu	3		(4)	A-Cu, S-Cu	4		(3)	S-Cu	3		S-Cu	3	
10		10	†	(10)		10	†	(10)		10	† ×		10	† ×
11		10	†	(10)		10	†	(9)	S-Cu	9	†		10	†
12		10	†	(10)		10	† ×	(10)		10	† ×		10	†
13		10	†	(10)		10	† ×	(10)		(10)			10	†
14	N	10	×	(10)	N	10	×	(10)	A-Cu	10	†	N	10	†
15	S-Cu, Cu-N	10		(10)		(8)		S-Cu, N	8	S-Cu, N	9	S-Cu, N	9	
16		10	× †	10	× †	10	× †	10	× †	10	× †		10	× †
17		10	†	(10)		10	†	(8)		6	†		9	†
18		3	†	(3)	A-Cu	4		(5)	A-S, S	5		A-S, S	9	
19		10	†	(10)		10	†	(10)		10	†		10	†
20		10	×	10		10	×	(10)		(10)		N	10	×
21	N	10	×	(10)	N	10	×	(10)	N	10		N	10	
22		10	×	(10)		10	×	(10)		10	×		10	
23	N	10	×	(10)	N	10	×	(10)		10	×		10	×
24	N	10	×	(10)		10	×	(10)		10	×		10	×
25	F-S	2		(4)	A-S, S-Cu	6		(4)	Cl, Cl-S	3		Cl, Cl-S	3	
26		10		(10)		10	≡	(10)		10	≡		10	≡
27	N	10	†	(10)	N	10	≡	(10)		10	≡		10	≡
28	N	10	†	(9)		8	†	(8)		8			8	
29	S	10	≡	(10)		10	≡ ×	(10)		10	≡		10	≡
30	N	10	△	N	10	△	N	10	×	(10)			10	×
Med.		8.3		8.6		8.8		8.6		8.5		.	8.9	

Wolkenformen—Bewölkung—Hydrometeoren

1902 November

7 a. m.		8 a. m.		9 a. m.		10 a. m.		11 a. m.		Mtg.		Dat.
N, S	10 †	S-Cu	10 †	S-Cu	10 †	S-Cu	10 †	S-Cu	9 †	A-Cu	4 †	1
A-Cu	10	N, S	10 †	N	10 †	N	10 †	N	10 †		10 †	2
S-Cu	9 †	Ci-S, Ci-Cu } A-S, S-Cu } S-Cu	9 †	Ci-S, Ci-Cu } A-S, S-Cu } S-Cu	9 †	Ci-S } Ci, A-S } A-Cu, S-Cu	9 †	Ci, Ci-S } Ci, Ci-S } A-Cu, S-Cu	6 †	Ci-S } Ci, Ci-S } A-Cu, S-Cu	8 †	3
	7		8		8		7		9		7	4
	10		10		10		8		5		3	5
N	10 * †	N	10 *	N	10	N	10	S-Cu, N	10 *	N	10	6
Cu-N	0	Cu-N	10	Ci-S	1	Ci, Ci-S	1	Ci	1	Ci	1	7
S-Cu	10	A-S	2	A-S, Cu	7	A-Cu, S-Cu	3	A-Cu, S-Cu	4	A-S, S-Cu	8	9
	10 †		10 †		10 †		10 †		10 †		10 †	10
	10 †		10 † *		10 † *		10 † *		10 *		10 *	11
	10 †		10 † *		10 †		10 †		10 †		10 †	12
A-Cu, N	10 †		10 †		10 †	S-Cu	10 † *		10 *		10 *	13
S-Cu, N	10 *	N	10	N	10	Cu-N	10	Cu-N	10	A-Cu, Cu-N	10	14
	10	S-Cu, N, S	10 *	S-Cu, N, S	10	N	10 *	N	10 †	N	10	15
	10 * †		10 * †		10 * †		10 * †	Ci-S	10 * †	Ci-Cu, Ci-S	10 * †	16
F-S	9 †	F-S	10	F-S	10 ≡		10 *		10 *		10 *	18
	10 † *		10 † *		10 *		10 *		10 *		10 ≡	19
N	10 *	N	10	N	10	N	10 *	N	10 *	N	10 *	20
N	10 *	N	10 *	N	10 *	N	10	N	10 *	N	10 *	21
N	10 *	N	10 *	N	10 *	N	10	N	10 *	N	10	22
N	10 *	N	10 *	N	10 *	N	10 *	N	10 *	N	10	23
	10 *		10 *		10 *		10 *		10 *	N	10	24
A-S	4	A-S, S-Cu	6	Ci, A-S	3	Ci-S, A-S	2	Ci-S, A-S	2	Ci-S, A-S	2	25
	10 ≡		10 ≡		10 ≡		10 ≡ *		10		8	26
	10 ≡	N } Ci-S } Ci-Cu, A-Cu }	10 †	N } Ci-S } Ci-Cu, A-Cu }	10 †	N } Ci-S } Ci-Cu, A-Cu }	10 †	N } A-Cu, Cu-N }	10 †	N } A-Cu, Cu-N }	10 †	27
	7		6		6		6		7		4	28
	10 ≡		10 ≡		10 ≡		10 ≡		10 ≡		10 ≡	29
N	10 *	N	10 *	N	10 *	N	10 *	N	10 *	N	10 *	30
	8.9		9.0		9.0		8.7		8.5		8.2	Med.

Wolkenformen—Bewölkung—Hydrometeoren

November 1902

Dat.	1 p. m.		2 p. m.		3 p. m.		4 p. m.		5 p. m.		6 p. m.	
1		6 †	A-Cu, S-Cu	7 †	S-Cu	9 †	S-Cu	9 †	S-Cu, N	8 †	S-Cu, N	10 †
2		10 †		10 †		10 †		10 †		10 †		9 †
3	Ci-S	4 †	Ci-S	4 †	Ci-S	4 †	Ci-S	5 †	Ci-S	6 †	Ci-S, Ci-Cu	7 †
4	Ci-S, Ci-Cu		Ci, Ci-Cu		Ci-S, A-Cu		Ci, Ci-Cu					
5	S-Cu	3	A-Cu, S-Cu	4	Ci-S, S-Cu	6	Ci-S, S-Cu	8	Ci-S, S-Cu	9	Ci-S, S-Cu	9
6	S-Cu, N	10	S-Cu, N	10	S-Cu	10	S-Cu	10	S-Cu, A-Cu	10	S-Cu, A-Cu	10
7	Ci, A-S	2	Ci, A-S	3	Ci, Ci-S	1	Ci, Ci-S	1	Ci	1	Ci	2
8	Ci-S, Cu-N	10	Ci-S, Cu-N	10	Ci-S, Cu-N	10	Ci-S, Cu-N	10	Ci-S, Cu-N	10	Cu-N, N	10 ⊗
9	Ci	5	A-S	6	A-S, A-Cu	3	A-Cu, S-Cu	3	S-Cu, Cu-N	2	A-Cu, S-Cu	2
10	A-Cu, S-Cu		A-Cu, S-Cu		A-S, A-Cu		A-Cu, S-Cu					
11	S-Cu	10 ⊗		10 ⊗		10 ⊗		10 ⊗		10 ⊗ †		10 ⊗ †
12		10 †		10 †		10 †		10 †		10 †		10 †
13	S	10 ⊗		10 ⊗	S-Cu	10 †		10 †		10 †		10 †
14	A-Cu	9	A-Cu, Cu	7	A-Cu, Cu	7	A-Cu, Cu	3	A-Cu } S-Cu, Cu	3	S-Cu	9
15		10 †		10 ⊗		10 †		10 †		10 †		10 †
16		10 ⊗ †		9 †		10 †		10 †		10 †		10 †
17	Ci-S	1 †	Ci-S	1 †	Ci-S	3 †	Ci-S, A-Cu	4 †	Ci-S, A-Cu	6 †	Ci-S, A-Cu	7 †
18	Ci-Cu, A-Cu		Ci-Cu, A-Cu		Ci-Cu, A-Cu		Ci-S, A-Cu					
19		10 † ⊗		10 † ⊗		10 † ⊗		10 † ⊗		10 † ⊗		10 † ⊗
20	N	10 ⊗	A-Cu } F-N, S } N	8	A-Cu, F-N	7	A-Cu, N	7	A-Cu, N	7	A-Cu, N	9
21	N	10	N	10	N	10 ⊗	N	10 ⊗	N	10 ⊗	N	10 ⊗
22	N	10	N	10 ⊗	N	10 ⊗	N	10 ⊗	N	10 ⊗	N	10 ⊗
23	N	10 ⊗	N	10 ⊗	N	10 ⊗	N	10 ⊗	N, F-S	10 ⊗	N, F-S	10 ⊗
24	N	10	N	10	N	10	N	10	N	10	N	10
25	Ci	1	Ci-Cu } Ci, Cu-N }	2	A-S, Cu-N	2	A-S, Cu-N	1	Cu-N	1	Ci-S, Cu-N	3
26	S-Cu	10	S-Cu, N	10	S-Cu, N	10	S-Cu, N	10	S-Cu, N	10	S-Cu, N	10
27	N	10 †	N	10 †	N	10 †	N	10 †	N	10 †	N	10 †
28	Cu-N	3	A-Cu } Cu-N, S }	6	A-Cu } Cu-N, S }	3	Cu-N, S	7	Cu-N, S	4	Cu-N, S	4
29	S	10	S	10	S	10	S	10	S	10	S	10
30	N	10 ⊗	S-Cu, N	10 ⊗	S-Cu, N	10 ⊗	N	10 ⊗	N	10	N	10
Med.		8.0		8.1		8.0		8.0		7.9		8.4

Wolkenformen—Bewölkung—Hydrometeoren

1902 November

7 p. m.		8 p. m.		9 p. m.		10 p. m.		11 p. m.		Mitn.	Med.	Dat.	
S-Cu, N	10 †	S-Cu, N	10 †	S-Cu, N	10 †	S-Cu, N	10 †	S-Cu, N	10	N	10	9.2	1
	10 †		10 †	S-Cu	10 †	S-Cu	8 †	S-Cu	10 †		10 †	9.9	2
Ci-S, S-Cu	2 †	Ci-Cu, S-Cu	2 †	Ci-Cu, S-Cu	2 †	Ci-Cu, S-Cu	2 †	S-Cu	2	S-Cu	1	6.3	3
	1		0		0		0		0		0	4.8	4
S-Cu, N	9	S-Cu, N	10	S-Cu, N	10		10		10 ≡		10 ×	7.1	5
A-Cu	10	S-Cu	2	S-Cu	1		0		0		0	8.0	6
Ci, Ci-S	8	Ci	7	A-Cu, S-Cu	8	S-Cu, N	8	S-Cu, N	8		7	2.7	7
A-Cu, S-Cu	10 ×	A-Cu, S-Cu	7										
Cu-N, N	10 ×	Cu-N	10 ×	Cu-N	10 ×	N	3	A-Cu, N	6 †	A-Cu, S-Cu	4 †	8.7	8
Ci-Cu	5	Ci-Cu	7	A-S, S-Cu	7 †		10 †		10 †		10 †	4.8	9
A-Cu, S-Cu	10 †	A-Cu, S-Cu	10 †		10 †		10 †		10 †		10 †	10.0	10
	10 †		10 †		10 †		10 †		10 †		10 †	9.9	11
	10 †		10		10		10		10 †		10 †	10.0	12
S-Cu	10	S-Cu	10	S-Cu	10	S-Cu	10	S-Cu	10		10 ×	10.0	13
S-Cu	10	S-Cu	10	S-Cu	10	S-Cu, Cu-N	10	S-Cu, Cu-N	10	S-Cu, Cu-N	10	9.1	14
	10 †		10 †		10 †		10 †		11 †		10 †	9.7	15
	10 †		10 †		10		10 †		10 †		10 †	10.0	16
Ci-S	7 †	Ci-S	2 †	Ci-S, A-Cu	2 × †	A-Cu	1		1	A-Cu	2	5.2	17
Ci, A-Cu	10 †	Ci-Cu, A-Cu	10 †		10 †		10 †		10 †		10 †	8.7	18
A-Cu, N	9 ×	N	10 ×	N	10 ×	N	10 ×	N	10 ×	N	10 ×	9.4	19
N	10 ×	N	10 ×	N	10 ×	N	10 ×	N	10 ×	N	10 ×	10.0	20
N	10 ×	N	10 ×	N	10 ×	N	10 ×	N	10	N	10	10.0	21
N	10 ×	N	10 ×	N	10 ×	N	10 ×	N	10 ×	N	10 ×	10.0	22
N, F-S	10 ×	N, F-S	10 ×	N	10 ×	N	10 × ≡	N	10 ×	N	10	10.0	23
N	10	A-S, N	10	A-S, N	7	A-S	8	A-S, F-S	3	A-S	3	9.2	24
Cu-N	2	Ci-S, Cu-N, S	4	Ci, Ci-S, Cu-N, S	5	Ci-S, A-Cu	4	A-S, A-Cu, S-Cu	7		10	3.5	25
S-Cu, N	10	S-Cu, N	10	S-Cu, N	10	N	10	N	10	N	10 †	9.9	26
N	10 †	N	10 †	N	10 †		10 †		10 †		10 †	10.0	27
Cu-N, S	8	Cu-N, S	10	S	10	N, S	10	S	10 ≡		10 ≡	7.2	28
S	10	Cu-N, S	10	Cu-N, S	10	Cu-N, S	10	N	10 Δ	N	10 Δ	10.0	29
N	10	N	10	N	10	N	10	N	10	N	10	10.0	30
	8.7		8.5		8.4		8.1		8.2		8.2	8.4	Med.

Wolkenformen—Bewölkung—Hydrometeoren

December 1902

Dat.	1 a. m.		2 a. m.		3 a. m.		4 a. m.		5 a. m.		6 a. m.		
1	N	10		(10)		10		(10)		10		10	
2		0	Ci-S, S-Cu	3	Ci-S, S-Cu	3		Ci, Ci-S } A-Cu, S-Cu } 2		Ci } A-Cu, S-Cu } 3		Ci } A-Cu, S-Cu } 7	
3	A-S	10	A-S	10	A-S	9		(4)		0		0	
4	Ci-S, S-Cu	3		(2)	Ci-S	1		(1)		Ci-S	1	Ci-S	1
5		10		(10)		10		(10)		S	10	S	10
6	N	10		(10)		(10)		(10)		N	10		10
7	S-Cu	9		(9)	S-Cu	8		(8)		A-S, S	9	A-S, S	9
8	A-S	2		(4)	Ci, Ci-S } S, Cu } 6			(4)		2		Ci, Ci-S	2
9	Cu, N, S	10		(10)	A-S, S-Cu	10		(10)		S-Cu, N, S	10	S-Cu, N, S	10
10	N	10		(10)	N, S	10		(10)		N	10	N	10
11	N	10		(10)	A-S, N	10		(10)		A-S, N	10	A-S, N	10
12	A-Cu, S-Cu	8		(9)	A-Cu } N, S } 10			(10)		N	10		10
13	N	10		(10)	N	10		(10)		N	10	N	10
14	S-Cu	10		(10)	S	10		(10)		N, S	10	N, S	10
15	N	10		(10)	N	10		(10)		N	10	N	10
16	N	10		10		10		10		10		10	
17		10		(10)	N, S	10		(10)		N	10	S-Cu, N	9
18	S-Cu } Cu, F-S } 4			(3)		(1)		0		0		0	
19	N	10		(10)		10		(10)		N	10	N	10
20	Ci, Ci-S } S-Cu, Cu-N } 6			(6)	Ci-S, Ci-Cu } S-Cu } 7			(9)		Cu-N	10	Cu-N	10
21		10		(10)		10		(10)		10		10	
22	N	10		(10)	N	10		(10)		N	10	N	10
23		10		(10)	A-S, S	10		A-S, S		N	10	N	10
24	Cu-N	2		(1)	Cu-N	1		(2)		S-Cu	2	S-Cu	2
25		0		0	S-Cu	1		(1)		Ci-S	1		1
26	Ci, Ci-S	3		Ci, Ci-S	6			(3)		Ci, Ci-S	3	Ci, Ci-S	3
27	N, F-N } A-Cu } 10			(10)	N	10		(10)		N	10	N	10
28	N, F-N } N, F-N } 10			(9)	F-N	8		(8)		S-Cu, S	9	S-Cu, S	8
29		0		0	S	1		(2)		A-Cu, S	3		0
30	A-S, S	10		(10)	A-S } S-Cu, S } 10			(10)		A-Cu, S-Cu	10	S-Cu, S	10
31	A-S	10		(10)	A-S, S-Cu	10		(10)		A-S, S-Cu	10	A-S, S-Cu	10
Med.		7.6		7.8		7.7		7.5		7.5		7.5	

Wolkenformen—Bewölkung—Hydrometeoren

1902 December

7 a. m.		8 a. m.		9 a. m.		10 a. m.		11 a. m.		Mitg.	Det.	
	10	S-Cu, N	10	S-Cu, N	9	S-Cu, N	9	S-Cu, N	9	S-Cu, N	9	1
Cl, Cl-S	6	Cl, Cl-S	3	Cl, Cl-S	3	Cl, A-S	2	Cl A-S	3	Cl, A-S	4	2
	0		0		0		0		0		0	3
S-Cu	1	S-Cu	1 ≡		1 ≡	S	2	S	2	S	2	4
S	10 ≡	S	9	S	9	S	9	A-Cu, S	9	A-Cu, S	9	5
	10 †	N	10 ≡		10 ≡	S	10	A-S, S	10	A-Cu, S	8	6
A-S	3	A-S	3	A-S	7	A-Cu, S	8	A-Cu	5	A-Cu	2	7
Cl-S	3	Cl-S	3	S	5	A-S, S	10	S-Cu, S	10	S-Cu, S	10	8
Cl-Cu, S-Cu	3	Cl-Cu, S-Cu	3					A-S, S	10	A-S, S	10	8
S-Cu, N, S	10	S-Cu, N, S	10	S-Cu, N, S	10	N, S	10	N, S	10	N, S	10	9
N	10 ≡	S, F-S	10	S, F-S	10	S	10	S	10	S	10	10
A-S, N	10	A-S, N	10	A-S	10	N, S	10	N, S	10	S-Cu	10	11
N	10 *	N	10 *	N, S	10	A-S, N	10	A-S, N	10	N, S	10	12
N	10 *	S-Cu, N	10	S-Cu, N	10	S-Cu, N	10	N, S	10	S-Cu	10	13
N, S	10 ≡	S-Cu	10	S-Cu	10	A-S, N	10	N	10 *	N	10	14
N	10 *	S-Cu, N	10	S-Cu, N	10	S-Cu, N	10	S-Cu, N	10 ≡	S-Cu	10	15
	10 *		10 *		10 *		10 *		10 *	Cu-N, N	10	16
Cl, S-Cu	9	S-Cu, Cu-N	10	S-Cu, Cu-N	10	Cl, Cl-S	7	S-Cu, Cu-N	10	S-Cu, Cu-N	10	17
	0	S-Cu, F-S	2	S-Cu, F-S	3	A-Cu, Cu-N	3	F-S	3	F-S	3	18
A-Cu	10	A-Cu	10	A-Cu, S-Cu	10	F-S	3	F-S	3	A-Cu	9	19
S-Cu, N	10 *	S-Cu, N	10 *	N, F-S	10 *	S-Cu, N	10	A-Cu	10	S-Cu, N	10 *	20
Cu-N	10 *	Cu-N	10 *	Cu-N	10 *	Cu-N	10	S-Cu, N	10	Cu-N, N	10	21
	10 *		10		10 *		10 *	N	10	A-S, N	10	22
N, S	10	N, S	9	N, S	10	A-S	10	A-S, Cu-N	10	A-S, Cu-N	10	23
N	10	A-S, N	10	A-S, N	10	A-S, N	10	A-S, N	10	A-S, N	10	24
Cl-S	3	Cl-S	4	Cl-S	4	Cl-S	4	Cl-S	3	Cl-S	8	24
Cl, S	1 ≡	Cl, S	0	Cl, S	1	Cl, S	1	S-Cu, Cu	1	Cl, S	0	25
				Cu	1	S-Cu	1					
Cl, Cl-S	2	Cl-S	1	Cl-S, A-Cu	8	A-S	9	A-S	10	A-S	10	26
S-Cu, N	10	Cl, A-Cu	10	S-Cu	9	A-S	9	S-Cu, N	10	S-Cu, N	10	27
S-Cu	8	S-Cu	4	S-Cu	5	S-Cu	3	A-S	6	A-S, S	7	28
	0		0	A-Cu	1	A-Cu	0	A-S, S	1	Cl, A-S	2	29
S-Cu, S	10 Δ	S-Cu, S	10	A-Cu, S-Cu	9	A-Cu, S	9	A-Cu, S	8	A-Cu, F-S	9	30
A-S, S-Cu	10	S-Cu	10	A-Cu, S-Cu	5	A-Cu, S-Cu	3	A-Cu, Cu-N	2	A-S	4	31
	7-3		7-1		7-4		7-4		7-5		7-6	Med.

Wolkenformen—Bewölkung—Hydrometeoren

December 1902

Dat	1 p. m.		2 p. m.		3 p. m.		4 p. m.		5 p. m.		6 p. m.	
1	S-Cu, N	9	S-Cu, N	9	S-Cu, N	9	S-Cu	9	A-Cu, S-Cu	7	Ci-Cu, A-Cu	4
2	A-S	5	A-S	5	A-S	5	A-S	8	A-S	10	A-S	10
3		0		0		0		0		0		0
4	S	2	A-S, S	5	A-S, S	4	A-S, S	5	A-S, S	10	S	10
5	A-Cu, S	9	A-Cu, S	8	A-Cu, S	8	S	8	S	8	S	9
6	A-S, S	8	A-S, S	10	A-S, S	10	A-S, S	10	A-S, S	10	A-S, S	10
7	A-Cu, S	2	A-Cu, S-Cu	3	A-Cu, S-Cu	4	A-Cu, S-Cu	3	A-Cu, S-Cu	6	A-Cu, S-Cu	9
8	A-S, S	10	A-S, S	9	A-S, S	10	A-S, S	10	A-S, S	10	N	10
9	N, S	10	N, S	10	N, S	10	A-Cu	10	A-Cu	10	A-Cu	10
10	S	10	S	10	S	10	N, S	10	N, S	10	N, S	10
							S	10	S	10	N	10
11	S-Cu	10	S-Cu	10	S-Cu	10	S-Cu	10	S-Cu	10	S-Cu	10
	N, S	10	N, S	10	N, S	10	N, S	10	N, S	10	N, S	10
12	A-S	10	A-S, S	10	A-S, S	10	A-S, S	10	A-S, S	10	A-S, S	10
13	S-Cu, N	10	S-Cu, N	10	S-Cu, N	10	S-Cu	10	S, Cu	10	A-Cu	9
							N, S	10	S-Cu	10	S-Cu, S	10
14	N	10	N	10	N	10	N	10	N	10	N	10
	S-Cu	10	S-Cu	10								
15	Cu-N, N	9	A-Cu, N	9	S-Cu, A-Cu	7	A-Cu, S-Cu	6	A-Cu, S-Cu	6	S-Cu, Cu	3
16	N	10	N	10	N	10	N	10	N	10	N	10
17	S-Cu, Cu-N	10	S-Cu, Cu-N	10	S-Cu, Cu-N	10	S-Cu, Cu-N	10	A-Cu	9	S-Cu, Cu-N	10
									S-Cu, Cu-N	9		
18	F-S	4	F-S	5	S-Cu, Cu-N	8	A-S, F-S	9	A-S, F-S	9	A-S, F-S	10
	A-Cu		A-Cu		A-Cu, S-Cu		Ci-S		Ci-S		Ci-S	
19	S-Cu, Cu-N	9	S-Cu, Cu-N	9	Cu-N, F-S	8	S-Cu, F-Cu	4	S-Cu, F-Cu	3	Ci, S-Cu	5
					Cu-N		Cu-N		Cu-N		N	
20	Cu-N, N	10	Cu-N, N	10	Cu-N	10	Cu-N	10	Cu-N	10	N	10
21	A-S	9	A-S	6	A-S	7	A-Cu, S-Cu	5	A-Cu, S-Cu	8	S-Cu, Cu-N	10
					A-Cu, S-Cu		A-S		A-S, N		N	
22	A-S, Cu-N	10	A-S	10	A-S	10	A-S	10	A-S, N	10	N	10
23	A-S, N	10	A-S, N	10	A-S, N	10	A-S, N	10	A-S, N	10	A-S, N	10
24	Ci	4	Ci	5	S	5	S	4	Ci, S	3	S, F-S	2
	N, S	0	N, S	0		0		0		0		0
25												
26	A-S	10	A-S	10	A-S	10	A-S, N	10	N	10		10
27	S-Cu, N	10	S-Cu, N	10	S-Cu, N	10	S-Cu, N	10	S-Cu, N	10	S-Cu, N	10
28	S	4	S	3	S	2	S	1	Ci-S	1	Ci, Ci-S	1
											A-S	
29	Ci-S, S-Cu	9	Ci-S	9	A-S	10	A-S	10		10	S-Cu, F-S	8
	S, F-S		A-Cu, S-Cu		S-Cu, F-S		S-Cu, F-S				A-S	
30	A-S	9	A-S	10	A-S	10	A-S	10	A-S, Cu-N	10	A-S	10
	A-Cu, Cu-N										Cu-N, S	
31	S-Cu	6	S-Cu	7	S-Cu	6	S-Cu	4	S-Cu	4	S-Cu	2
Med		7.7		7.8		7.8		7.6		7.9		7.8

Wolkenformen—Bewölkung—Hydrometeoren

Januari 1903

Dat.	1 a. m.	2 a. m.	3 a. m.	4 a. m.	5 a. m.	6 a. m.
1	S-Cu Ci, Ci-S } A-S, A-Cu }		A-Cu, S-Cu			S-Cu A-S, S
2	8	A-S	8	A-S	10	S-Cu A-S, S } Ci } A-S, S-Cu }
3	6	4	5	9	9	9
4	S-Cu, S	(10)	(10)	A-S, S	10	(10)
5	A-S	Ci-Cu } A-S, S-Cu }	A-Cu } S, S-Cu }		(9)	(10) =
6	S-Cu } Ci, A-Cu }	(9)	Ci, Ci-S } A-Cu }	10	(10)	10 =
7	N	(10)	N	10 †	(10)	10 *
8	S, F-S	10 *	10 † *	10 *	N	10 *
9	N	10 *	10 =	10 =	10	10 =
10	N	10 *	10 =	10 *	10	10 *
11	N	10 *	10 =	10 *	10	10 *
12	N	10 *	10 =	10 *	10	10 *
13	N	10 *	10 =	10 *	10	10 *
14	N	10 *	10 =	10 *	10	10 *
15	N	10 *	10 =	10 *	10	10 *
16	N	10 *	10 =	10 *	10	10 *
17	N	10 *	10 =	10 *	10	10 *
18	N	10 *	10 =	10 *	10	10 *
19	N	10 *	10 =	10 *	10	10 *
20	N	10 *	10 =	10 *	10	10 *
21	N	10 *	10 =	10 *	10	10 *
22	N	10 *	10 =	10 *	10	10 *
23	N	10 *	10 =	10 *	10	10 *
24	N	10 *	10 =	10 *	10	10 *
25	N	10 *	10 =	10 *	10	10 *
26	N	10 *	10 =	10 *	10	10 *
27	N	10 *	10 =	10 *	10	10 *
28	N	10 *	10 =	10 *	10	10 *
29	N	10 *	10 =	10 *	10	10 *
30	N	10 *	10 =	10 *	10	10 *
31	N	10 *	10 =	10 *	10	10 *
Med.	9,3	9,1	9,1	9,1	9,3	9,4

Wolkenformen—Bewölkung—Hydrometeoren

1903 Januari

7 a. m.		8 a. m.		9 a. m.		10 a. m.		11 a. m.		Mtg.		Dat.
S-Cu, A-Cu, S	10	A-Cu, S	3	A-Cu, S	1	A-S, S	7	S-Cu, S	7	S-Cu, S	7	1
Cl, Ci-S	8	Cl, Ci-S	3	Cl, Ci-S	7	Ci, Ci-S	8	Ci, Ci-S, S	8	Ci, Ci-S, S	10	2
A-S, A-Cu	8	A-Cu		S-Cu	7							3
A-S		A-S, N	10 *	N	10 *	N	10 *	N	10 *	N	10 *	2
Cu-N, S	10		10		10	S	10	Cl-S, S	1	Cl-S, S	2	4
	10		10		10		10	N	10	N	10	5
	10 *		10 *		10 † *		10 † *		10 † *		10 *	6
N	10 *	N	10 *	N	10 *	N	10 *	N	10 *	N	10 *	7
	10		10		10		10		10		10	8
	10 *		10 *		10 *		10 *		10 *		10 *	9
N	10 † *	N	10 † *	N	10 † *	N	10 † *	N	10 † *	N	10 † *	10
Cu-N	10	Cu-N	9	N	10	N	10	N, S-Cu	10	N, S-Cu	9	11
S-Cu, N	10	S-Cu, N	10	S-Cu, N	10	A-S	10	A-S	10	A-S	10	12
N	10	Cl, A-S	9	Cl, Ci-S	9	N, S	10	S-Cu, S, N	10	S-Cu, S, N	10	13
S-Cu	10	N, S	10	N	10	S-Cu	10	S-Cu, N	10	S-Cu, N	10	14
A-S, N	10	S-Cu	10	S-Cu	10	S-Cu	10	S-Cu, N	10	S-Cu, N	10	15
	10 *	N	10 *	N	10 *	N	10 *	N	10	N	10 *	15
F-S	5	S-Cu	7	S-Cu	10	S-Cu	10	S-Cu	10	S-Cu, A-S	10	16
Cl, A-Cu	10	A-S, S, N	10	A-S, S, N	10	A-S, S, N	10	S-Cu	10	S-Cu, N	10	17
A-S, Cu-N	10	N, S	10	A-S, S, N	10	A-S, S, N	10	A-S, S, N	10	A-S, N	10	18
N, S	10	Cl-S, Cl-Cu	8	Cl-S, S-Cu	2	Cl-S	2	F-S	4	F-S	3	19
N	10	A-Cu, S-Cu	10		10	S-Cu, F-S	10		10		10	20
	10		10		10		10		10		10	20
	10		10		10		10		10		10	20
Ci-S	1		9	Ci-S	8	Ci, Ci-S	8	Ci-S, Ci, S	7	Ci-S, Ci, S	8	21
A-S, S-Cu	3	S-Cu, A-S	8	A-S, S-Cu	9	Ci-S	9	S-Cu	3	S-Cu	7	22
N	10 *	Cl-Cu, Ci-S	10	S-Cu, N	10	A-S, S-Cu	9	Ci, Ci-S	9	Ci, Ci-S	8	23
Cl, Ci-S, S	3	S-Cu, N	10	S-Cu, N	10	S-Cu	9	S-Cu	9	S-Cu	8	24
	10	Cl, Ci-S, S	5	Cl, Ci-S, S	7	Ci, Ci-S	9	Ci, Ci-S	9	Cl, Ci-S	8	25
	10		10		10	S, N	9	S, N	9	S, N	10	25
	10		10		10	A-S, N, S	10 *	N, S	10	N, S	10	25
Ci	9	Ci	10	Ci, A-S	9	Cl-S, A-S	10	A-S, F-S	10	Ci	9	26
S-Cu, S	10	S-Cu, S	10	S, F-S	10	S, F-S	10	N, S	10	A-S, F-S	10	27
S	10	S	10	S	10	S	10	N, S	10	N, S	10	27
S-Cu, N	10 *	S-Cu, N	10	S-Cu, N	10	N	10	N	10 *	N	10	28
	10 †		10 † *		10 †		10 †		10 †		10 †	29
S-Cu, N	10 †	S-Cu	10	S-Cu	10	N	9 *	N, S	9	Cl, Ci-Cu	8	30
	10	N, F-N	10	N, F-N	10					N, S	8	30
S-Cu, S	10	S-Cu	8	S-Cu	6	S-Cu	7	S-Cu	7	A-Cu, S-Cu	4	31
		S, F-S	8	S, F-S	6	S, F-S	7	S, F-S	7			31
	9.0		9.1		8.9		9.3		8.8		8.8	Med.

Wolkenformen—Bewölkung—Hydrometeoren

Januari 1903

Dat.	1 p. m.		2 p. m.		3 p. m.		4 p. m.		5 p. m.		6 p. m.	
1	S-Cu, S	6	S-Cu, S	8	S-Cu	6	S-Cu, S	4	S-Cu, S	5	S-Cu, S	1
2	Cl, Ci-S, S	10	Ci, Ci-S } A-S, S }	10	Ci-S } A-S, S }	10	Ci-S, A-S } S, Cu-N }	10	Ci-S, Ci-Cu } A-S, N }	7	Ci-S, Ci-Cu } A-S, N }	10
3	N	10 *	N	10 *	N	10 *	N	10 *	N	10 *	N	10 **
4	S, Ci-S	3	Ci, Ci-S } Cu-N, S }	4	Ci, Ci-S } S-Cu, N }	5	Ci, Ci-S } Ci-Cu }	3	Ci-S } Ci, Ci-Cu }	3	Ci-S } Ci, Ci-Cu }	2
5	N	10 *	N	10 †	N	10	N	10	N	10	N	10 *
6		10 *		10 *		10 *		10 *		10 *		10 *
7	N	10 © *	N	10	A-Cu } N, F-S }	8	Ci, Ci-S } N, F-S }	8	Ci } N, F-S }	7	N, F-S } S, F-S }	5
8		10 ≡	S	10	S	10	S, F-S	10	S, F-S	10	S, F-S	10 ≡ *
9		10 *	N	10	N	10 *	N	10 *	N	10	N	10
10	N	10 * †	N	10 * †	N	10 * †	N	10 * †	N	10 * †	N	10 * †
11	S-Cu, N	10 *	S-Cu, N	10	S-Cu, N	9	S-Cu	8	S-Cu	8	S-Cu	8
12	A-S	10	A-S	10	Ci } Ci-Cu, N }	8	Ci } Ci-Cu, N }	8	Ci } Ci-Cu, N }	6	Ci } Ci-Cu, N }	7
13	S-Cu, N	10 *	S-Cu, N } A-Cu }	10	S-Cu, N } A-Cu }	10	S-Cu, N } A-Cu }	10	S-Cu, N } A-Cu }	10	S-Cu, N } A-Cu }	10
14	S-Cu, N	10	S-Cu, N } S-Cu, N }	9	A-Cu } S-Cu, N }	9	A-S, S-Cu	10	A-S, S-Cu	10	A-S, S-Cu	10
15	S-Cu, N	10 *	S-Cu, N	10	N	10 *	N	10 *	A-Cu } S-Cu, N }	4	S-Cu } N, F-N }	8
16	A-S, S-Cu	10	A-S, S-Cu	10	A-S	10	A-S	10	A-Cu } A-S, S }	10	A-Cu } A-S, S-Cu }	10
17	S-Cu, N	10	N	10 *	N	10 *	N	10 *	N	10 *	N	10 *
18	A-S, N	10	N, S } Ci, Ci-S }	10	N	10	N	10	N	10	N	10
19	F-S	2	F-S } F-S }	5	Ci-S, F-S	7	F-S	4 ≡	F-S, S	3 ≡	Ci-S, Ci-Cu } A-Cu F-S }	8
20	F-S	10	F-S	10		10 ≡		10 ≡		10 ≡	A-S } S, F-S }	9 ≡
21	Ci, Ci-S	9 ≡	Ci, Ci-S	8	Ci, Ci-S } S-Cu }	8	Ci, Ci-S } A-Cu }	7	Ci, Ci-S } A-Cu }	8	Ci, Ci-S } S-Cu }	9
22	Ci-Cu	8	Ci-Cu	3	Ci-Cu	1		0		0		0
23	S-Cu	8	S-Cu	8 ≡	A-Cu, S-Cu	7 ≡	A-Cu } S-Cu, F-S }	5	S-Cu	3	S-Cu	4
24	Ci-S, N	9	Ci-S } Ci, N }	9	Ci-S, N	10	Ci-S, N } A-Cu }	10	Ci-S, N	10	Ci-S, N	10 *
25	N, S	10	N, S	10 *	S-Cu, N	10	S-Cu, N } S-Cu, N }	9	S-Cu, N	10	S-Cu, N	10
26	A-S, F-S	10	A-S, S	10	F-S	10	S	10	S	10	S	10
27	N, S	10 ≡	N-S	10 ≡ *	N	10 *	N	10 *	N	10 *	N	10 *
28	N	10	N	10 *	N	10 *	N	10 *	N	10 *	N	10
29		10 †		10 †	S-Cu, N } Ci, Ci-S }	10 †	S-Cu, N } Ci-Cu }	10	N } Ci, Ci-S }	10	N	10 *
30	N	9 *	N	9	N, S } A-Cu, S }	9	Cu, N, S } S-Cu, N }	4	Cu, N, S } S-Cu, F-S }	4	Cu, N, S }	4
31	A-Cu } S-Cu, F-S }	7	A-Cu } S-Cu, S }	7	A-Cu, S } S-Cu, F-S }	6	Cu, F-S	1	S-Cu } Cu, F-S }	2	S-Cu, F-S	2
Med.		9.1		9.0		8.8		8.1		7.7		8.0

Wolkenformen—Bewölkung—Hydrometeoren

Februari 1903

Dat.	1 a. m.		2 a. m.		3 a. m.		4 a. m.		5 a. m.		6 a. m.	
1		o	(1)	Ci-S	2		(6)	A-S S-Cu, F-S	10	A-Cu S-Cu, F-S	10	
2	N	10 * †	10 * †	N	10 †	N	10 †	Ci, Ci-S S-Cu	9 †	A-Cu, S-Cu	10 †	
3	S-Cu, N	8	(9)	S-Cu, Cu, N	10		(9)	S-Cu, A-Cu	8	Ci, A-Cu	9	
4	S-Cu, N	10	(10)	A-S S-Cu, N	10		(10)	A-S	10	A-S	10	
5	A-S, S	4	(7)	A-S, S	10		(9)	A-S S-Cu, S	9	Ci S-Cu, S	9 ≡	
6	Ci-S, N	7	8	S	10		10		10 ≡		10 ≡	
7	S, N	10	(10)	N	10		(10)	Ci, Cu N, S	(7) 10 †	Ci, Cu N, S	4	
8		10 †	(10)		10 † *		(10)		10 †		10 †	
9		o	(o)		o		(6)	Ci, S	8	Ci, S	8	
10	N	10	(10)		(10)		10 ≡		10 † ≡	N	10	
11	Ci, Ci-S S-Cu	8	(9)	A-S, N	10		(10)	A-S, N	10		10 *	
12		10 *	(10)	N	10		(10)	N	10 †	N	10 †	
13		10	(10)		10 ≡		(10)		10 ≡		10 † ≡	
14	N	9 †	(10)	N	10 †		(10)		10 †		10 †	
15	A-S, N	10 *	(10)	N	10		(10)	N	10	N	10 † ≡	
16	N, S	10	10	S-Cu, N S, F-S	10	S-Cu, N S, F-S	10	S-Cu, N S, F-S	10	N, F-S	10 *	
17		10 † *	(10)		10 †		(10)		10 * †		10 †	
18		10 †	(10)		10 †		(9)		8 †		10 †	
19		9 †	(10)		10 †		(10)		10 †		10 †	
20		1	(o)		o		(o)	S-Cu	1	S-Cu	1	
21		o	(o)		o		(o)		o		o	
22		o	(o)		1		(1)		1		1	
23		1	(o)		o		(o)		10 ≡	Ci-S, S-Cu Ci-S	3 ≡	
24		o	(1)	S-Cu	3		(4)		(5)	Ci, Ci-Cu	7 ≡	
25		10	(10)	S	10		(10)		10 ≡		10	
26		o	(8)		10		(9)	S-Cu	9	S-Cu	9	
27		1	(3)		10 ≡ *		(8)	Ci, S-Cu	5	Ci, S-Cu	2	
28	S	10	(10)		10 *		(10)	S-Cu, N	10 †	S-Cu, N	9 †	
Med.		6.3			7.0						7.9	

Wolkenformen—Bewölkung—Hydrometeoren

1903 Februari

7 a. m.		8 a. m.		9 a. m.		10 a. m.		11 a. m.		Mtg.		Dat.
S-Cu, F-S	10	S-Cu, N	10	A-S S-Cu, N	10	A-S S-Cu, N	10	A-S S-Cu, N	10	A-S S-Cu, N	10	1
A-S S-Cu, N	10 *	S-Cu, N	9 *	N	10 *	S-Cu, N	9	A-S, N	10	A-S, N	10	2
Ci, Ci-S	4	Ci, S-Cu	9	Ci, S-Cu	9	A-Cu Ci, S-Cu	8	Ci, Ci-S S-Cu	5	Ci, Ci-S A-Cu, S-Cu	6	3
A-S Ci-S	10	A-S, S-Cu Ci, A-S	10	A-S, S-Cu	10	A-S	10	A-S	10	A-S	10	4
S-Cu, S	10	Ci, A-S S-Cu, S	10	S-Cu, S	10	A-S, S-Cu	10	A-S, S-Cu	9	A-S S-Cu, N	9	5
S	10 =	S	10 =	S	10	S	10	S	10	S	10	6
Ci, Cu N, S	9	F-S	10	Ci, Ci-Cu A-S, F-S	4	S-Cu, F-S	2	Ci, A-S S-Cu, Cu	5	A-S S-Cu, Cu	9	7
	10 †	10 †	10 †	10 †	10 †	10 †	10 †	10 †	10 †	10 †	10 †	8
Ci, S	8	Ci, S	7	Ci, S	8	Ci, Ci-S F-S	4	Ci, Ci-S F-S	4	Ci, Ci-S A-Cu	6	9
S-Cu, N	10	S-Cu, N	10	S-Cu, N	10	Ci, A-S N, S	8	Ci, Ci-S A-S, F-S	4	Ci, A-S F-S	2	10
	10 *	10 *	10 *	10 *	10 *	N	10 *	N	10	N	10 =	11
S-Cu, N	10 †	S-Cu, N	10 †	S-Cu, N	10 †	A-S	10 †	A-S, S-Cu	10 †	A-Cu, N	10 †	12
	10 †	10 †	10 †	10 †	10 †	10 †	10 †	10 †	10 †	10 †	10 †	13
	10 †	10 †	10 †	10 †	10 †	10 †	10 †	10 †	10 †	10 †	10 †	14
N	10	N	10	N, S	10	N, S	10	N, S	10	N, S	10 ⊙ ~	15
N, F-S	10	N, S Ci-S, A-Cu S-Cu, N A-Cu	10	Ci-S, Ci-Cu A-Cu, S-Cu	10 =	Ci-Cu A-Cu, S-Cu	10 ▲	Ci-S, A-S S-Cu, N	10 *	N	10 *	16
	10 †	8 †	10 †	9 †	9 †	9 †	9 †	10	10	A-S, S-Cu	10	17
	10 †	10 †	10 †	10 †	10 †	10 †	10 †	10 †	10 †	10 †	10 †	18
	10 †	10 †	10 †	10 †	10 †	S-Cu, N	10 †	S-Cu, N	10 †	S-Cu, N	10	19
Ci-S	1	Ci-S	1	0	0	0	0	0	0	0	0	20
	0	0	0	0	0	0	0	0	0	0	0	21
	1 =	1 =	1 =	1 =	1 =	S-Cu	1	Ci, S-Cu	1	Ci, S-Cu	2	22
	3 =	S-Cu	1 =	1 =	1 =	0 =	0 =	Ci	1 =	Ci, Ci-S S	2	23
	10 = L	10 L	10 L	10 L	10 L	S	10	A-S	10 =	S	10	24
	10 =	S-Cu	9 =	Ci, A-S S-Cu	7 =	A-S S, F-S	5 †	A-S S, F-S	7 †	5	5	25
S-Cu	10	Ci-S, S-Cu	10	Ci-S, A-Cu	9	Ci, Ci-S	8	Ci-S Ci, Ci-Cu	7	Ci-S	10	26
S-Cu	1	1 =	1 =	S	10 =	N, S	10	S	10	S	10	27
S-Cu, N, S	9	A-Cu, N S-Cu, S	9	A-Cu S-Cu, S	9	A-Cu, S	10	A-S, S	10	S	10	28
	8.1		8.0		8.1		7.6		7.6		7.9	Med.

Wolkenformen—Bewölkung—Hydrometeoren

Februari 1903

Dat.	1 p. m.		2 p. m.		3 p. m.		4 p. m.		5 p. m.		6 p. m.			
1	A-S, N	10	N	10 ×	N	10 ×	N	10 ×	N	10 ×	N	10 ×		
2	A-S, N	10	Ci, Ci-S } A-S, N	9	N	10 ×	N	9 ×	N	10	S-Cu, N	9		
3	A-Cu	5	S-Cu	9	S-Cu, N	10	S-Cu, N	10	S-Cu, N	10	S-Cu, N	10		
4	Ci, S-Cu	9	Ci, Ci-S } A-S, S-Cu	4	Ci, Ci-S } A-S, S-Cu	9	Ci, Ci-S } A-S, A-Cu	9	Ci, A-S } Ci, A-S	4	Ci, S } Ci, S	8		
5	A-S } S-Cu, N	8	A-S } S-Cu, N	10	A-S } S-Cu, N	10	S-Cu, N, S } S-Cu, N, S	10	S-Cu, N, S } S-Cu, N, S	10	S-Cu, N, S } S-Cu, N, S	10 ≡		
6	A-S } S-Cu, Cu	10 ≡	A-S } S-Cu, Cu	10 ≡	A-S } S-Cu, Cu-N	10 ≡	Ci-S } Ci, F-S } A-S } S-Cu, N	8 } 9 } 9 } 10 †	F-S } A-S } S-Cu, N	10 } 9 × } 10 †	F-S } S-Cu, N	10 } 9		
7	A-S } S-Cu, Cu	9	A-S } S-Cu, Cu	9	A-S } S-Cu, Cu-N	9	A-S, N } Ci, S } A-S, F-S	10 } 10 † } 2	A-S, N } Ci, S } A-S, F-S	10 } 10 † } 8	N } Ci-S } A-S, F-S	10 × } 9 } 9	N } Ci-S } A-S, F-S	10 × } 9 } 9
8	Ci, A-Cu	10 †	Ci, A-S } N, F-S	10	A-S, N } Ci-S } A-S, F-S	10	A-S, N } Ci, S } A-S, F-S	10 } 10 † } 8	A-S, N } Ci, S } A-S, F-S	10 } 10 † } 9	N } Ci-S } A-S, F-S	10 × } 9 } 9	N } Ci-S } A-S, F-S	10 × } 9 } 9
9	S-Cu, F-S	8	A-S	10 †	A-S, N } Ci-S } A-S, F-S	2	A-S, N } Ci, S } A-S, F-S	10 } 10 † } 8	A-S, N } Ci, S } A-S, F-S	10 } 10 † } 9	N } Ci-S } A-S, F-S	10 × } 9 } 9	N } Ci-S } A-S, F-S	10 × } 9 } 9
10	A-S, F-S	4 †	A-S	10 †	A-S, N } Ci-S } A-S, F-S	2	A-S, N } Ci, S } A-S, F-S	10 } 10 † } 8	A-S, N } Ci, S } A-S, F-S	10 } 10 † } 9	N } Ci-S } A-S, F-S	10 × } 9 } 9	N } Ci-S } A-S, F-S	10 × } 9 } 9
11	N	10 ×	N	10 ×	N	10 ×	N	10 ×	N	10 ×	N	10 ×	S-Cu, N	10
12	A-S } S-Cu, N	9	A-S } S-Cu, N	10	S-Cu, N	10 †	S-Cu, N	10 †	S-Cu, N	10 †	A-Cu, S-Cu	9	S-Cu	10
13	N	10 †	N	10 †	N	10 †	N	10 †	N	10 †	N	10 †	N	10 †
14	N	10 †	N	10 †	N	10 †	N	10 †	N	10 †	N	10 †	N	10 †
15	N, S	10 ⊙ ~	N, S	10	N, S	10	N, S	10	N, S	10	N	10 ×	N	10 ×
16	N	10 ×	N	10 ×	N	10 ×	N	10 ×	N	10 ×	N	10 ×	N	10 ×
17	N, S	10	N, S	10 ×	N, S	10 ×	N	10 ×	N	10 ×	N	10 ×	N	10 ×
18	N	10 †	N	10 †	N	10 †	N	10 †	N	10 †	N	10 †	N	10 †
19	S-Cu, N	9	S-Cu, N	9	S-Cu	9	S-Cu	9	S-Cu	9	S-Cu	8	Ci, Ci-Cu } A-Cu, S-Cu	5
20		0		0		0		0		0		0		0
21		0		0		0		0		0		0		0
22	Ci, S-Cu	4	Ci, S-Cu	3	Ci, S-Cu	1	Ci, S-Cu	1	S-Cu	1	S-Cu	1	S-Cu	1
23	Ci, Ci-S	4	Ci, Ci-S	6	Ci, Ci-S	6	Ci, Ci-S	2	Ci, Ci-S	1	Ci, Ci-S	1	Ci, Ci-S	1
24	S	10	S	10	S	10	S	10	S	10	S	10	S	10
25	A-Cu, S-Cu	3	A-Cu, S-Cu	3	A-Cu, S-Cu	3	A-Cu, S-Cu	1	S-Cu	0	S-Cu	0		0
26	Ci, Ci-S } F-S	5	Ci, Ci-S } F-S	5	Ci, Ci-S } F-S	9	A-S } Ci } S-Cu, S	10 } 4 } 10	A-S, N } Ci-S } A-Cu, S-Cu	10 } 8 } 10	A-S, N } Ci-S } A-Cu, S-Cu	10 } 8 } 10	A-S, N } S-Cu	10 } 9
27	S, F-S	9	A-S, S-Cu	1	S-Cu, F-S	1	S-Cu, S	4	A-S, S	10	A-S, S	10	A-S, S	10
28	S	10	S	10	S	10	S	10	S	10	S	10	A-S, S	10
Med.		7.9		7.8		7.8		7.8		7.8		7.8		7.9

Wolkenformen—Bewölkung—Hydrometeoren

1903 Februari

7 p. m.		8 p. m.		9 p. m.		10 p. m.		11 p. m.		Mttn.	Med.	Dat.	
N	10 ×	N	10 × †	N	10 × †	N	10 × †	N	10 × †	N	10 × †	8.7	1
S-Cu, N	9	S-Cu, N	9	S-Cu, N	10	S-Cu, A-S	10	A-S, S-Cu	8	S-Cu	2	9.2	2
S-Cu, N	10	N	10 ×	N	10 Δ	S-Cu, N	10	S-Cu, N	10		10	8.7	3
Ci-S	} 8	Ci-S	} 10	A-S	10	S-Cu, S	10		8	S	10	9.1	4
Ci, S						N, S	10	F-S	10	F-S	10	9.3	5
N, S	10 ≡		10 ≡										
N, F-S	10	S-Cu, N	10	S-Cu, N	10	S-Cu, N	10	S-Cu, N	10	S-Cu, N, S	10	9.7	6
S-Cu, N	10	S-Cu, N	10 ×	Cu	10 × †		10 † ×		10 †		10 †	8.5	7
A-S	} 10	Ci-S, A-S	} 9	N, F-S	} 9	S-Cu, N	4	S-Cu	1		0	8.9	8
N, F-S				N, F-S			N	10 ×	N	10 ×	N	10	N
N	10 ×	N	10 ×	N	10 ×	Ci	6	Ci, S-Cu	8	S-Cu	3	7.6	10
Ci-S, A-S	} 6	Ci, A-S	} 10	Ci, F-S	4	S-Cu, F-S	6						
S-Cu, F-S				F-S									
N	10	N	10 ×	N	10 ×	A-Cu	} 10 †	S-Cu, N	10 ×	N	10 ×	9.9	11
S-Cu	10	S-Cu	10	S-Cu	10	S-Cu, N		10	S-Cu, N	10	S-Cu, N	10	9.9
	10 †	S-Cu, N	10 †	S-Cu, N	10 †		10 †		10 †	Ci-S, N	9 †	10.0	13
A-S	10	A-S	10	A-S	10	A-S	10	A-S	10	A-S	10	10.0	14
N	10 ×	N, F-S	10	N	10 ⊙ ≡	N	10	N	10	N	10	10.0	15
N	10 ×	N	10 ×	N	10 ×		10 × †		10 †		10 †	10.0	16
N, S, F-S	10 †		10 †		10 †		10 †		10 †		10 †	9.8	17
	10 †		10 †		10 †		5 †		8 †		8 †	9.5	18
Ci, Ci-Cu	} 3	Ci, S-Cu	} 3	Ci, S-Cu	} 3	Ci-S	} 1	Ci-S	} 1		0	7.5	19
S-Cu													
	0		0		0		0		0		0	0.0	21
	0		0		0		0		0		0	0.9	22
Ci, Ci-S	2	Ci, Ci-S	1		0		0		0		0	1.9	23
S	10	S	10	S	10	S	10		10		10	8.3	24
A-Cu	1	A-S	1	A-S	2	A-S	3	A-S	2	A-S	2	5.4	25
F-N, S	10	N, S	10	N, S	10	N, S	10		10		4	8.4	26
A-S, S-Cu	10	A-S	9	A-S, S-Cu	8	S	2	S	2	A-S, S	10	6.0	27
S-Cu, S	10	S-Cu, F-S	10	Ci, Ci-S	8		9		10		10	9.7	28
	7.8		7.9		7.6		7.1		7.0		6.7	7.7	Med.

Wolkenformen—Bewölkung—Hydrometeoren

März 1903

Det.	1 a. m.		2 a. m.		3 a. m.		4 a. m.		5 a. m.		6 a. m.	
1		10		(10)	A-S	10	(9)	A-Cu, S-Cu	8	A-Cu, S-Cu	8	
2		4 †		8 †		10 ≡	10 † ≡	A-Cu, N	10	A-Cu, N	10	
3		10		(10)	S	10	(10)		10 ≡		10 ≡	
4		0		(3)	S-Cu	5	(6)	Ci-S A-S, S-Cu	7	Ci, Ci-S A-S, S-Cu	8	
5		3		(6)		9	(9)	S-Cu A-S	8	S-Cu	10	
6		10 ×		(10)		10 ×	(10)		10 ×		10 ×	
7		8 †		(9)		10 †	(10)		10 †		10 †	
8		10 †		(10)		10 †	(10)		10 †	S-Cu	10 †	
9		7 †		(6)		5 †	(8)		10 †		10 †	
10		10 †		(10)		10 †	(10)		10 ×		10 ×	
11		10 †		(10)		10 †	(10)		10 †		10 †	
12		0 ≡		(0)		0	(0)		0 †		1 ≡	
13		10		(10)	A-S	10 ≡	(10)	N	10 †	N	10 ×	
14		10 ×		(10)	N	10 × †	(10)		10 †		10 ×	
15	N Ci-S, A-Cu S-Cu, S }	9		(9)	S-Cu	10 †	(10) †		10 †		10 †	
16		10 †		10 †		10 †	10 †		10 †		10 †	
17	A-Cu	10 †		(10)	A-Cu, N	10	(10)	A-Cu, S-Cu	10 †	A-Cu, S-Cu	10 †	
18	S-Cu	8		(9)	A-S	10	(10)		10 †		10 ×	
19		10 †		(10)		10 †	(10)		10 †		10 †	
20		10 †		(10)		10 †	(10)		10 †		10 †	
21		10 †		(10)		10 †	(10)		10 †		10 †	
22		10 †		(10)		10 †	(10)	A-S	10 †	A-S	10 †	
23		10		(10)		10	(10)		10	A-S, S-Cu	10	
24		10 ×		(10)		10 †	(10)		10 †		10 †	
25		10 †		(8)		6 †	(8)		9 †		9 †	
26		1		(1)		2 †	(3)	Ci, Ci-Cu S-Cu	4 †	Ci, Ci-Cu S-Cu	5 †	
27		4		(2)		0 †	(1)		2	A-S, S-Cu	9 †	
28		10 †		(10)		10 †	(10)		10 †		10 †	
29		10 †		(10)		10 †	(9)		9 †	A-Cu, S-Cu	4 †	
30		10 †		(10)		10 †	(10)		10 †		10 †	
31		10 †		(10)		10 †	(10)		10 †		10 †	
Med.		8.2		8.4		8.6		8.8		8.9		9.2

Wolkenformen—Bewölkung—Hydrometeoren

1903 März

7 a. m.		8 a. m.		9 a. m.		10 a. m.		11 a. m.		Mittg.	Dat.	
A-Cu, S-Cu	8	A-Cu } S-Cu, Cu }	8	A-Cu } S-Cu, Cu }	7	Ci-S, Ci-Cu } S-Cu, Cu }	9	Ci, Ci-S } S-Cu, Cu }	10	S-Cu } A-Cu, S-Cu }	10	1
A-S, S	10	A-S, S	10	A-S, S	10	A-Cu, S	10	A-Cu, S, N	10	N, S }	10	2
	10 ≡		10 ≡		10 ≡	S	10 ≡		10 ≡	N, S }	10 ≡	3
A-S } Ci, S-Cu }	9	A-S, S-Cu	8	Ci, Ci-S } S-Cu }	7	Ci-S } Ci, N }	6	Ci-S } Ci, N }	9	Ci-S } Ci, N }	9	4
N	10 ✕		10	S	10	N, S	10 ⊙	N, S	10	N, S	10	5
	10 ✕		10 ✕		10 ✕		9 †		9 †		10 †	6
	10 †		10 †		10 †		10 †		10 †	S-Cu	9 †	7
S-Cu	9 †	S-Cu	10 †	S-Cu	10 †		10 †		10 †		10 †	8
	10 † ✕		10 † ✕		10 † ✕		10 † ✕		10 †		10 †	9
	10 ✕		10 ✕		10 ✕		10 ✕		10 ✕		10 ✕	10
	10 †		10 †		10 †		10 †		5 †	S-Cu	2 †	11
F-S	3		5		5	S	5	S	9	A-S, S	9	12
N	10 ✕	N	10 ✕	N	10 ✕	N	10 ✕	N	10 ✕	N	10	13
	10 ✕		10 ✕		10 ✕		10 ✕		10 ✕		10 ✕	14
	10 †		10 †		10 †	A-S	10 †	A-S	10 †	A-S	10 †	15
	10 †		10 †	A-S, S-Cu	10 †	A-Cu	10 †		10 †	A-Cu	10 †	16
S-Cu	10 †		10 †	S-Cu	10 †	S-Cu	10 †	S-Cu	9	S-Cu	9	17
	10 ✕		10 †		10 †		10 †		10 ✕		10 ✕	18
	10 †		10 †		10 †		10 †		10 †		10 †	19
	10 †		10 †		10 †		10 †		10 †		10 †	20
	10 †		10 †		9 †		10 †	A-Cu	9 †		10 †	21
A-S	10 †	A-S	10 †	A-S	10 †	A-S	10 †	A-S	10 †	A-S	10 †	22
A-S, S-Cu	9	A-S, S-Cu	10	A-S, S-Cu	10	A-S, S	10	A-S, N	10 ✕	N	10 ✕	23
	10 †		10 †		10 †		10 †		10 †		10 †	24
Ci-S, A-Cu	7 †	Ci, Ci-S } A-Cu, S-Cu }	7 †	Ci-S } A-Cu, S-Cu }	7 †	A-S, S-Cu	7 †	A-Cu, S-Cu	7 †	A-Cu, S-Cu	7 †	25
Ci-Cu } A-Cu, S-Cu }	6 †	Ci-S } A-Cu, N }	9 †	Ci-S, N	6 †	Ci-S, N	4 †	Ci-S, N	9 †	Ci-S, S	9 †	26
S-Cu	8 †	S-Cu	7 †	A-Cu, S-Cu	8 †	A-S, S-Cu	9 †	A-S, S-Cu	9 †	A-Cu, S-Cu	8 †	27
	10 †		10 †		10 †		10 †		10 †		10 †	28
A-Cu, S-Cu	8 †	A-Cu, S-Cu	8	S-Cu	9 †	S-Cu	10	S-Cu	8 †	A-Cu, S-Cu	5 †	29
	10 †		10 †		10 †		10 †		10 †		10 †	30
	10 †		10 †		10 †	A-S	9 †	A-S	10 †	A-S	10 †	31
	9:3		9:4		9:3		9:3		9:4		9:3	Med.

Wolkenformen—Bewölkung—Hydrometeoren

März 1903

Dat.	1 p. m.		2 p. m.		3 p. m.		4 p. m.		5 p. m.		6 p. m.	
1	A-S, S-Cu	10	A-S S-Cu, N	10	S-Cu, N	10	S-Cu, N	10	S-Cu, N	10	S-Cu N, F-S	8
2	S-Cu, N	9	A-Cu	8	A-Cu, S-Cu	3	S-Cu	10	S-Cu	10	A-Cu, S-Cu	9
3	S-Cu, S	9	A-Cu S-Cu, S	8	S-Cu	8	S-Cu	5	A-Cu, S-Cu	6	S-Cu	4
4	Ci-S	10	Ci-S	10	Ci-S	9	Ci, N	10	Ci, Ci-Cu	9	Ci, Ci-Cu	9
5	A-S, N N, S	10	A-S, N N	10	Ci, N N	10	N	10	A-Cu, N N	10	A-Cu, N	10
6		10		10		10		10		10		10
7	S-Cu	9	S-Cu	9	S-Cu	10	S-Cu	10	S-Cu	10	S-Cu	10
8		10		10		10		10		10		10
9		10	S-Cu	10	S-Cu	10	S-Cu	10		10		10
10		10		10		10		10		9		9
11		2	S-Cu	1	S-Cu	1	S-Cu	0	S-Cu	7	Ci, S-Cu	3
12	S	5	S	9	A-S, S	10	A-S	10	A-S	10	A-S	10
13	N	10	N, S	10	N, S	10	N, S	10	N, S	10	N, S	10
14		10		10		10		10		10		10
15		10		10		10		10		10		10
16	A-Cu	7	A-Cu, S	4	Ci-Cu A-Cu, S A-Cu	3	A-Cu, Cu	4	A-Cu, Cu	6	A-Cu	9
17	S-Cu	9	A-Cu, S-Cu	9	S-Cu, N	10	A-Cu, S-Cu	7	A-Cu, S-Cu	7	A-Cu, S-Cu	7
18		10		10		10		10		10		10
19		10		10		10		10		10		10
20		10		10		10		10		10		10
21		10		10		10		10		10	S-Cu	10
22	A-S	10	A-S	10	A-S	10	A-S	10	A-S, A-Cu	10	A-S, A-Cu	10
23	N	10	N	10	N	10	N	10	N	10	N	10
24		10		10		10		10		10		10
25	S-Cu	6	S-Cu	8	A-Cu, S-Cu	5	A-Cu, S-Cu	3	A-Cu, S-Cu	4	A-Cu, S-Cu	4
26	Ci-S, S	4	Ci-S, S	3	Ci-S	1	S-Cu, S	4	Ci-S, N, S	4	S-Cu, S	2
27	A-S, S-Cu	10	A-S, S-Cu	10	A-S, S-Cu	10		10		10		10
28		10		10		10		10		10		10
29	A-Cu, S-Cu	4	A-Cu, S-Cu	4	A-Cu, S-Cu	4	S-Cu	4	A-Cu, S-Cu	10	A-Cu	10
30		10		10		10		10		10		10
31		10		10		10		10		7		7
Med.		8,8		8,8		8,5		8,6		8,9		8,7

Wolkenformen—Bewölkung—Hydrometeoren

1903 März

7 p. m.		8 p. m.		9 p. m.		10 p. m.		11 p. m.		Mitt.	Med.	Dat.	
S-Cu N, S	8	A-Cu, S-Cu	6	A-Cu, S-Cu	7	9	2	2	2	8.3	1		
A-Cu, S-Cu		S-Cu		S-Cu									9
S-Cu	1	S-Cu	1										
Cl S-Cu, N	10	Cl S-Cu, N	9	Cl, N	7	7	6	6	3	7.3	4		
S-Cu, N		10 × †		10 × †									10 × †
	10 †		10 †		10 †		8 †		8 †		9.6	6	
S-Cu	10 †	S-Cu	10 †		10 †		10 †		10 †		9.7	7	
	10 †		10 †		10		10 †		10 †		9.8	8	
	10 †		10 †		10 †		10 †		9 †		9.3	9	
Cl-Cu, S	9 †		9 †		9 †		9 †		10 †		9.7	10	
Cl, S-Cu	7	S-Cu	3	S-Cu	2	S	1	S	1	S	0	5.6	11
A-S	10	A-S	10	A-S, S	10	A-S, S	10		10		10	6.3	12
N, S	10	N, S	10	N, S	10 ×	N, S	10	N, S	10 ×	N, S	10 ×	10.0	13
Cl, Cl-Cu S-Cu, S	10 †	Cl A-S, S	10 †	Cl Cl-S, S	10 †	Cl-S, S-Cu	8 †	Cl-S, S-Cu	9	Cl-S, S-Cu	8	9.8	14
	10 †		10 †		10 †		10 †		10 †		10 †	9.9	15
A-Cu	9 †	A-Cu	9	A-Cu, N	9		10	A-Cu	10 †	A-Cu	10 †	8.7	16
S-Cu	4	S-Cu	3	S-Cu	1	S-Cu	1	S-Cu	8	S-Cu	7	8.0	17
	10 ×		10 ×		10 ×		10 × †		10 × †		10 × †	9.8	18
	10 †		10 †		10 †		10 †		10 †		10 †	10.0	19
	10 †		10 †		10 †		10 †		10 †		10 †	10.0	20
	10 †		10 †		9 †		10 †		10 †	S-Cu	8 †	9.8	21
A-S	9	A-S	10	A-S	9		2		10		10	9.6	22
N	10 × †		10 ×		10 ×		10 ×		10 ×		10 ×	10.0	23
	10 †		10 †		10 †		10 †		10 †		10 †	10.0	24
A-Cu, S-Cu	4 †	S-Cu	2 †		1 †		0		0	S-Cu	1	5.4	25
S-Cu, S	1 †		4 †		8 †		3		4		9	4.4	26
	10 †		7 †		3 †		6 †		6 †		10 †	7.0	27
A-Cu, N	10 †		10 †		10 †		10 †		10 †		10 †	10.0	28
	4 †		2 †		2 †		2		4 †		4 †	6.2	29
	10 †		10 †		10 †		10 †		10 †		10 †	10.0	30
	6 †		6 †		4 †		6 †		8 †		10 †	8.9	31
	8.4		8.1		7.8		7.2		7.9		8.0	8.7	Med.

Wolkenformen—Bewölkung—Hydrometeoren

April 1903

Dat.	1 a. m.	2 a. m.	3 a. m.	4 a. m.	5 a. m.	6 a. m.
1	4 †	(4)	4 †	(7) †		10 †
2	8	6	7	9	S-Cu	10 †
3	0	(0)	0	(1)		S-Cu
4	0	(0)	0	(1)		2
5	6	(3)	0	(5)		2
						10 ≡ †
6	5 †	(8)	10 †	(9)	A-Cu	8 †
7	8	(7)	6	(7)	S-Cu	8
8	Ci-S, S-Cu	(2)	1	(6)		10
9	9 *	10 †	10 * †	10 † *		10 †
10	S	(10)	A-S, N	(10)		10 †
						N
11	10	(9)	8 †	(9)		9
12	10 † *	10 † *	(10)	10 †		(10)
13	10 †	(10)	10 †	(10)		10 †
14	10 †	(10)	A-Cu	(10)	S-Cu	10 †
15	A-S	(10)	A-S	(10)	Ci-S Ci, A-S }	9 †
						10
16	S-Cu	0	0	0		0
17	1	1	0	1		1
18	10	(10)	(10)	10		10
19	Ci-S, A-S	(10)	10	(9)	Ci-S A-Cu, N }	9
20	0	(0)	0	(1)		1
						Ci-S, N
21	N	(10)	N	(10)		10 * †
22	3 †	(2)	1 †	(1)		2 †
23	10 †	(10)	10 †	(10)		10 †
24	4 †	4 †	4 †	3 †	Ci-S, S-Cu	7 †
25	0	(0)	0	(0)	Ci-S	1
						Ci-S, S-Cu
26	7	(3)	0	(2)		4
27	1	0	(0)	0		0
28	2	(5)	8	(9)		10
29	7	(3)	0	(0)		0
30	4	(7)	10	(10)		10
						10 ≡
Med.	5.8	5.5	5.3	6.0		6.8
						7.7

Wolkenformen—Bewölkung—Hydrometeoren

April 1903

Dat.	1 p. m.			2 p. m.			3 p. m.			4 p. m.			5 p. m.			6 p. m.				
1	A-Cu	3	+	A-Cu	2	+	A-Cu	2	A-Cu	2	A-S, S-Cu	2	S-Cu	1						
2	N	10	+	N	10	×		10	×	≡	N	10	N, S-Cu	8	S-Cu	8				
3	A-Cu	1		A-Cu	1			0				0	≡	A-Cu	1	≡				
4	A-Cu, Cu	1		A-Cu, S-Cu	7		Ci-S, S-Cu	8			Ci, Ci-S	0	≡	Ci-S	6					
5	A-S, N	10	+	A-S, N	10	+		10	+		Ci-Cu, S-Cu	7		Ci, S-Cu	8	Ci, S-Cu	6			
6	S-Cu, N	10	+									10	+	Ci-Cu, A-Cu	9	+	A-Cu, S-Cu	9	+	
7	A-Cu, N	10	×	Ci-S	9	+	Ci-S	10	+		Ci-S	8	+	Ci, Ci-S	8	+	Ci-S	9	+	
8	Ci-S	6		S-Cu, N	10	×	S-Cu, N	10	+		Ci, S-Cu	8	+	Ci-Cu, S-Cu	8	+	Ci, S-Cu	9	+	
9	Ci, S-Cu	8		A-Cu, N	10	×	A-Cu, N	10			A-Cu	9		Ci-Cu, A-Cu	8		Ci, A-Cu	9		
9	A-Cu	8		S-Cu	10		S-Cu	10			S-Cu	10		S-Cu, N	10	×	N	10	×	
10	N	10		A-Cu	3		Ci-S	8			Ci-S	8		Ci, Ci-S	8		Ci, Ci-S	1		
10	N	10		N	10		N	10			N	10	×	N	10		N	10		
11	A-S	10		A-S	10		A-S	10			A-S, N	10							10	×
12		10	+		10	+		10	+			10	+		10	+			10	+
13	Ci, N	10	+	Ci, Ci-S	10	+	Ci, Ci-S, S	10	+		Ci-S, S	9	+	S-Cu	9	+			10	+
14		0		Ci-S	4		Ci, Ci-Cu	8			Ci-S	9		Ci-S	9		Ci-S, A-S	8		
15	Ci-S	10		Ci, Ci-Cu	10		Ci, Ci-Cu	10			Ci, A-S	10		A-S, S-Cu	10		N	10		
15	A-Cu, N			Ci-S, N			S-Cu, N				S-Cu, N			N						
16	Ci, Cu	10		Ci-Cu	10		Ci, Ci-Cu	9			A-Cu, S-Cu	9		A-Cu, S-Cu	8		A-S, S-Cu	4		
17	Ci, S-Cu	3		Ci, S-Cu	3		A-Cu, S-Cu	9			A-Cu, S-Cu	8		A-Cu, S-Cu	9		S-Cu	9		
18	Ci-S	4		A-Cu, S-Cu	3		A-Cu	9			A-Cu, S-Cu	8		A-Cu, S-Cu	9		S-Cu	1		
18	S-Cu, F-Cu	4		Ci-S	3		S-Cu	1			S-Cu	0		S-Cu	1		S-Cu	1		
19	Ci, Ci-S	8		S-Cu, F-Cu	3		S-Cu	1			S-Cu	0		S-Cu	1		S-Cu	1		
19		8		Ci, Ci-S	9		Ci, Ci-S	6			S-Cu	9		S-Cu	10	×	S-Cu, N	10	×	
20	N	10	×	N	10	×	N	10	×		N	10	×	N	9	×	S-Cu, N	10		
21		10	+		10	+		10	+			10	+		10	+			10	+
22	S-Cu	10	+	S-Cu	10	+	S-Cu	10	+			10	+		10	+			10	+
23	S-Cu	8	+		5	+		5	+			5	+		(6)	+			8	+
24		10	+		9	+		8	+			10	+		10	+			10	+
25	A-S	10		A-S	10		Ci-S, A-S	10			A-S	10		A-S	10		A-S	10		
26	Ci, S	1		Ci-S, S	2		Ci-S, S	2			S	4	≡		4		S-Cu, S	2		
27		4			1	≡		1	≡			1	≡		0				0	
28	S	10		S	10	≡	S	10	+	≡	S	10		S-Cu, S	10		S-Cu, S	10		
29	S-Cu	1		A-Cu, S-Cu	3		A-Cu, S-Cu	3			Ci, S-Cu	4		S-Cu	1		S-Cu, S	10		
30	S-Cu	4	+	S-Cu	3	+	S-Cu	3	+		S-Cu	3	+	S-Cu	3	+	S-Cu	3	+	
Med.		7.1			7.1			7.4				7.5			7.3				7.1	

Wolkenformen—Bewölkung—Hydrometeoren

1903 April

7 p. m.		8 p. m.		9 p. m.		10 p. m.		11 p. m.		Mtn.	Med.	Dat.			
S-Cu	0									10	4.9	1			
N, F-S	7	S-Cu	3	S-Cu	3		0		2	2	7.7	2			
	1 ≡		0		0		0		0	0	0.7	3			
Ci-S	3	Ci-S, A-S	1	A-S			10		10		9	4.2	4		
Ci, S-Cu	8 †		8 †		7 †		7 †		7 †		7	7.1	5		
Ci-S, S-Cu	9 †	S-Cu	10 †	Ci-S, S-Cu	8 †	Ci-S, S-Cu	4	Ci-S, S-Cu	6	Ci-S, S-Cu	7	7.9	6		
	9 *		10 *		2 *	Ci-S	3	Ci-S	4	Ci-S, S-Cu	4	8.0	7		
N	10 *	N	10 *	N	10 *		10 *		10 *		10 *	7.3	8		
Ci	1	Ci	0	Ci	1		A-S		2	Ci-S, A-S	7	S	10	6.2	9
N	10 *	N	10 *	N	10		10 †		10 †		10 †	10.0	10		
	10 *		10 *		10 *		10 * †		10 * †		10 †	9.6	11		
	10 †		10 †		10 †		10 †		10 †		10 †	10.0	12		
	9 †		10 †		10 †		10 †		10 †		10 †	9.9	13		
Ci-S	8	Ci-S	8	Ci-S, A-S	10	Ci-S, A-S	10	Ci-S, A-S	10	Ci-S, A-S	10	6.9	14		
N	10 ●	N	10 ●	N	10 ●	N	10 *		10 †		10 ≡	9.9	15		
	9		10		10	S-Cu	10	Ci, S-Cu	7	Ci	1	5.9	16		
	9		9		10		10		1.1		10	5.7	17		
	0		0	Ci-S	2	Ci-S	2	Ci-S	4	Ci-S	9	5.8	18		
	4 * †		10 †		10 *		8 †		0		0	8.2	19		
N	10	N	10	N	10 *	N	10	N	10 *		10 *	7.8	20		
	10 †		10 †		10 †		10 †		10 †		10 †	10.0	21		
	10 †		10 †		10 †		10 †		10 †		10 †	7.5	22		
	7 †		7 †		6 †		5 †		5 †		4 †	3.0	23		
	10 †		9 †		7 †		0 †		0		0	6.1	24		
	10 *		8 *		8		10 †		0		0	6.8	25		
	2		1		1		0		0		0	2.7	26		
	0		0		0		0		0		1	1.7	27		
	10		10		8		10		3		6	8.8	28		
	9		9		5		4 †		3 †		2 †	3.0	29		
	2 †		4 ≡		10		10 ≡		10 ≡		10 ≡	6.9	30		
	6.9		6.9		6.7		6.6		5.9		6.4	6.8	Med.		

Wolkenformen—Bewölkung—Hydrometeoren

Mai 1903

Dat.	1 a. m.	2 a. m.	3 a. m.	4 a. m.	5 a. m.	6 a. m.
1		10 ≡	(10)	10 ≡	(10)	10 ≡┐
2		3	3	3	0	3
3	N	10	(10)	10	(9)	10
4		10	(10)	10 ✕+	(10)	10 †
5		0	(0)	0	(4)	10
6		0	(0)	0	(0)	0
7		0	(0)	0	(0)	10 ≡
8	Ci-S, S-Cu	6	(5)	5	(7)	8
9		10 †	(10)	10 †	(10)	10
10	A-Cu, S-Cu	7	(8)	A-Cu, S-Cu	(10)	10
11		10 ≡	(10)	10 ≡	(10)	10 ≡+
12		1	(1)	0	0	0
13		0	(0)	0	(0)	0 ┘
14	Ci, Ci-S	10	(10)	10	(10)	10
15		0	0	0	(0)	1
16		3	3	Ci, Ci-S	1	Ci
17	A-Cu	9	(6)	4	(7)	9
18	A-Cu, S-Cu	7	(4)	1	(1)	A-Cu
19	Ci, Ci-S	3	(6)	A-S	10	A-S, S
20		10 †	(10)	10 †	A-Cu, S-Cu	8 †
21		10	(10)	10 ≡	(7)	5 ≡┐
22		0	(5)	10	(10)	10
23		9	(9)	10 ≡	(10)	10 ≡
24		3 †	(5)	(8)	10 †	10 †
25		8 †	(6)	4 †	(4)	3 †
26		2	(1)	0	(0)	0 ≡
27		10 †	(8)	7 †	(8)	10 †
28		0	(2)	(5)	(7)	10
29		0	(1)	2 ≡	(2)	2 ≡┐
30		0	(0)	0	(0)	0 ≡
31	N	10	(6)	2	(2)	A-Cu
32						1
33						A-S
34						3
Med		5.2	5.1	5.2	5.4	6.2
						6.3

Wolkenformen—Bewölkung—Hydrometeoren

1903 Mai

7 a. m.		8 a. m.		9 a. m.		10 a. m.		11 a. m.		Mittg.		Dat.
Ci-S	10 ≡		10 ≡	Ci	9 ≡	Ci	9 ≡	Ci, S	10 ≡	Ci	10	1
	8	N	10	Ci-S, N	8 ✕	Ci-S, N	9 ✕	Ci-S, N	9 ✕	Ci-S, N	10 ✕	2
	10	A-S, N, S	10	A-S, S-Cu	10	A-S, S	10	A-S	10	N, S	10	3
	10 †		10 †		9 †	A-S, S-Cu	9 †	A-S, S-Cu	10 †	A-S, S-Cu	8 †	4
	10	S-Cu	10	Ci, S-Cu	9	Ci A-Cu, S-Cu	9	A-Cu, S-Cu	9	A-Cu, S-Cu	10	5
1		2		1	Ci	1	Ci	2	Ci, Ci-S	3	6	
10 ≡		10 ≡		10 ≡		10 ≡		10 ≡		10 ≡	7	
A-Cu, S-Cu	8	S-Cu	8	S-Cu, N	10	Ci-S S-Cu, N	10	Ci-S S-Cu, N	10	A-S, N	10	8
	10	A-S	10 †	A-S	10	A-S	10	A-S	10 †	A-S	10	9
A-Cu, S-Cu	10	A-Cu, S-Cu	8	A-Cu, S-Cu	3	A-Cu, S-Cu	2	A-Cu Ci, S-Cu	4	A-Cu Ci, S-Cu	2	10
	10 ≡ †	10 ≡ †		10 †		10 †		10 †		10 †		11
	0		0		0	Ci, S	1		0	Ci, S	1	12
	0		0		0		0	Ci	0	Ci	0	13
	10	S-Cu	10	S-Cu	10	A-S, A-Cu S-Cu, N	9	Ci A-Cu, N	4 †		2 †	14
	1		1	Ci	2		2		2		2	15
Ci, S-Cu	4	Ci, S-Cu	2	Ci-S, S-Cu	2	Ci-Cu Ci, S-Cu	8 †	Ci, Ci-Cu S-Cu, N	7	Ci S-Cu, N	6	16
A-Cu	3	A-Cu, S	7	S-Cu, N	10	S-Cu, N	10	S-Cu, N	10	S-Cu, N	9	17
	3	A-Cu	10	S	10	S	10	S	10	S, N	10 Δ	18
A-S, S	10	S	10 ≡	S	10 ≡	Ci	10 ≡	A-Cu A-Cu	8 ≡	A-S	9 ≡	19
A-Cu, S-Cu	10	A-Cu, S-Cu	8	Ci A-Cu, S-Cu	5	Ci A-Cu, A-S	8	A-S, F-S	10	A-S S, F-S	10	20
Ci, Ci-S	4 ≡	Ci, Ci-S Ci-Cu, A-S	10	Ci, Ci-S Ci-Cu, A-S	10	Ci-S Ci-Cu, S-Cu	9	Ci-Cu, S-Cu	10	Ci-S A-S	10	21
	1		1		1 †	N	1 †	A-Cu, N	4 †		2 †	22
	10 ≡		10 ≡		10 ≡		10 ≡		10 ≡		10 ≡	23
	10 †		10 †		10 †		10 †		10 †		10 †	24
	8 ≡		10 ≡		10 ≡		10 ≡	Ci	4 ≡		1 ≡	25
	2		10	A-S	10	A-Cu A-S, S A-S	7	A-S, S	2	Ci A-S, S A-S	3	26
	10 †		10 †		10 †		10 †	A-S	10 ≡		10 ≡	27
	10 ≡		10 ≡		10 ≡		10 ≡	S	10 ≡		10 ≡	28
Ci-S	6 ≡	Ci-S	9 ≡	Ci-S	10 ≡	A-S	10	A-S	10	A-S	10	29
	4		4	N	10 †	N	10 †	A-S, N	9 †		9	30
Ci, A-S	3	Ci, A-S	6	Ci, A-S	5	Ci, Ci-S	10	Ci Ci-S, N	10	Ci, Ci-S S-Cu, N	10	31
	6,7		7,6		7,6		7,9		7,6		7,3	Med.

Wolkenformen—Bewölkung—Hydrometeoren

Mai 1903

Dat.	1 p. m.	2 p. m.	3 p. m.	4 p. m.	5 p. m.	6 p. m.
1	Ci, S } 8	Ci-S } Ci, S } 10	Ci-S } Ci, S } 7	Ci-S } Ci, S } 7	Ci-S } A-S, S } 9	Ci-S, A-S } 4
2	Ci-S, N } 10	Ci-S } Ci-Cu, N } 7	Ci-S, A-Cu } N, S-Cu } 6	Ci-S } S-Cu, N } 4	6 *	Ci-S, S-Cu } 7
3	S-Cu, N } 10	S-Cu } N, S } 10	S-Cu, N } 10	10 *	10 =	10 =
4	A-S, S-Cu } 7	A-S, S-Cu } 6	A-S, S-Cu } 5	A-S, S-Cu } 5	A-S, S-Cu } 5	A-S, S-Cu } 7
5	A-Cu, S-Cu } 10	S-Cu } 4	S-Cu } 2	S-Cu, S } 4	S-Cu, S } 1	A-Cu, S } 2
6	Ci, Ci-S } 2	Ci, Ci-S } 2	Ci, Ci-S } 6	Ci, Ci-S } 3	Ci, Ci-S } 1	0
7	Ci-Cu, A-Cu } 8	Ci-Cu, A-Cu } 8	Ci, A-Cu } 8	Ci, S-Cu } 5	Ci, S-Cu } 6	A-Cu, S-Cu } 10
8	A-S } 10	Ci-S } Ci, N } 10	Ci-S } Ci, N } 8	Ci, Ci-S } S-Cu, N } 9	10	Ci-S, N } 10
9	A-S } 10	Ci-S } Ci, A-S } 8	Ci, A-S } 3	S-Cu } 4	A-Cu } 6	A-Cu } 4
10	Ci, A-Cu } 1	Ci, A-Cu } 1	Ci, A-Cu } 1	1	1	1
11	10 †	10 †	10 †	10 †	10 † =	10 † =
12	Ci } 1	Ci } 1	0	0	0	0
13	0	0	0	0	0	0
14	S-Cu } 1	A-S, S-Cu } 2	A-S, S-Cu } 2	Ci, A-S } 2	0	0
15	2	Ci-S } 2	Ci-S } 2	Ci-S } 2	Ci-S } 2	2
16	Ci } S-Cu, N } 7	Ci } S-Cu, N } 9	Ci, A-S } S-Cu, N } 9	Ci, A-S } S-Cu, N } 8	Ci, A-S } S-Cu, N } 8	4
17	S-Cu } 3	Ci, S-Cu } 3	Ci, S-Cu, N } 4	S-Cu } 2	S-Cu } 1	0 †
18	10 *	10 *	10 * †	10 †	10 †	10 †
19	10 *	10 * †	10 † =	10 =	10 =	10 = †
20	A-S } A-Cu, S } 9	Ci } A-Cu, S } 7	Ci, A-Cu } N, S } 6	10 =	10 =	10 = †
21	Ci-S, A-S } 10	A-S } Ci } 10	A-S } 10	A-S } 10	A-S } 10	A-S } 9
22	Ci } 4	A-Cu, S-Cu } 6	1	1	0	0
23	10 =	10 =	10 =	10 =	10 =	10 *
24	10 †	10 †	10 †	10 †	10 †	10 †
25	0 =	1 =	Ci } 2	Ci } 2	1	1
26	A-Cu } A-S, S } 4	A-Cu } A-S, S } 7	A-Cu, A-S } 9	A-Cu, A-S } 9	8 =	9
27	A-S } 10	A-S } 10	A-S, S } 10	10	9	7
28	10 =	10 =	10 = †	10 †	10 †	1
29	A-S } 10	A-S, N } 10	A-S, N } 10	Ci, N } 9	9	9
30	S-Cu, N } 9	A-S, S-Cu } 8	A-S, S-Cu } 7	A-S, S-Cu } 8	7	8
31	Ci-S } Ci, N } 10	Ci-S } A-Cu, S-Cu } 10	A-S, N } 10	A-S, N } 10	A-S, N } 10	A-S, N } 10
Med	7.0	6.8	6.4	6.3	6.1	5.6

Wolkenformen—Bewölkung—Hydrometeoren

1903 Mai

7 p. m.		8 p. m.		9 p. m.		10 p. m.		11 p. m.		Mtn.	Med. Dat.	
Ci-S, A-S	4		4		4		2		3	3	7.6 1	
Ci-S, S-Cu	7		9		8		10 ✕		10 ✕	10 ✕	6.8 2	
	10 ≡		10 ✕		9 ✕		10 ≡		10 ≡	10	9.9 3	
Ci-S, A-S	9 †	Ci-S, A-S	9 †	Ci-S A-S, A-Cu	8	Ci-S, A-S	4		1	0	7.6 4	
A-Cu	9	A-Cu	10	A-Cu	9	A-Cu	2		0	0	5.5 5	
	1		1		1		0		0	0	1.1 6	
Ci-S Ci, S-Cu	10 10		10 10	Ci-S Ci, A-S	10 10	Ci-S Ci, A-S	9 10	A-S Ci, S-Cu	7 10	Ci A-Cu, S-Cu	9 10	7.5 8.9 7 8
A-Cu	9 †	A-Cu	10 †	A-Cu Ci-S A-Cu, A-S	10 † 7	A-Cu, S-Cu	9 †	A-Cu, S-Cu	8 †	A-Cu, S-Cu	7 †	8.7 9
A-S	1	A-S, A-Cu	3		7	Ci, Ci-S	10	Ci, Ci-S	10 ≡	S	10	5.5 10
	10 † ≡		10 ≡	S	10	A-Cu, S-Cu	10	A-Cu, S-Cu	8	S-Cu	3	9.6 11
	1	Ci	1	Ci	1	Ci	1		0		0	0.4 12
Ci-S	0	Ci, Ci-S	4	Ci, Ci-S	10	Ci-S	5	Ci, Ci-S	7	Ci, Ci-S	9	1.5 13
	0		0		0		0		0		0	4.7 14
	2		1	Ci	2		1		1		2	1.4 15
	2		4	Ci	2	A-Cu	4	A-Cu	3	A-Cu	6	4.4 16
	0 †		0		0		0		2 †	A-Cu, S-Cu	6	4.7 17
	8 †		4 †		3 †		2		0		1	6.1 18
	10 ✕ †		10 ✕ †		10 ✕ †		10 ✕ ⊥		10 ⊥		10 ✕ †	9.4 19
	10 †		5 †		8 †		10		9		10	8.7 20
	3		3		6		4		0		0	7.3 21
	0		1		10		10		10		10	4.2 22
	10 ✕		10 ✕		10 ✕		4		4		7	9.3 23
	10 †		10 †		8 †		8 †		9 †		7 †	9.1 24
	1		0		0		0		1		2	3.5 25
	10		10 ≡		10 ≡		10		10 †		10 †	6.0 26
	10		1		5		0		0		0	7.7 27
	0		3 †		1		0		0		0	6.2 28
N	10		10 ✕		10 ✕		10 ⊙ ✕		2		3	7.0 29
	9		0		9 †	N	10	N	10	N	10	6.0 30
A-S, N	10	A-S	10	A-S	10		10		10		9	5.7 31
	6.0		5.6		6.5		5.6		5.0		5.3	6.3 Med.

Wolkenformen—Bewölkung—Hydrometeoren

Juni 1903

Dat.	1 a. m.	2 a. m.	3 a. m.	4 a. m.	5 a. m.	6 a. m.
1	3	(2)	2	(3)	3	10
2	10 †	10 †	10 †	10 †	10 †	10 †
3	10 †	(10)	10 †	(10)	10 †	10 †
4	10 †	(10)	(10)	10 †	10 †	10 †
5	2	(2)	3	(4)	4	A-S 10
6	S-Cu 1	(5)	8	(4)	1	1
7	0	(0)	0 ≡	(0)	0	0
8	10 ≡ L	(10)	10 ≡	(8)	S 6 ≡	Ci, S 3 ≡
9	10	(10)	10 ≡	(8)	6 †	10 †
10	0	(0)	0	(0)	0	0
11	S-Cu 1	1	S-Cu 1	(2)	Ci, S-Cu 4	5 †
12	S 10	(10)	10 ≡	(10)	10 †	10 †
13	10 †	(6)	2 ≡	(2)	2 †	S-Cu 1 †
14	0	(0)	0	(0)	0	0
15	0	(0)	0	(0)	0	1
16	A-S 10	A-S 10	10 × ≡	10	9 ≡	Ci-S 7
17	10	(10)	(10)	10 × ≡	(10)	10 ×
18	10 †	(10)	10 †	(10) ≡	10	10 †
19	0	(0)	0	(3)	6	Ci 10
20	0	(0)	0	(0)	0	0
21	0	(4)	(7)	10	(10)	S-Cu 10
22	10 † ≡	(10)	10 †	(6)	3 ≡	2 ≡
23	10	(10)	9 ≡	(9)	10 ≡	10 ≡ L
24	10 ×	(10)	10 ×	(10)	10 ×	10 ×
25	10	(7)	3	10	(10)	10 ×
26	0	(0)	0	(0)	1	1
27	10 †	(8)	6	(8)	10 †	10 †
28	6	(8)	10	(7)	4	1
29	0	(2)	3	(3)	3	3
30	10	(10)	10	(10)	10	10
Med.	5.8	5.8	5.8	5.9	5.7	6.2

Wolkenformen—Bewölkung—Hydrometeoren

1903 Juni

	7 a. m.	8 a. m.	9 a. m.	10 a. m.	11 a. m.	Mittg.	Det.					
S-Cu	7	Ci-Cu } A-Cu, S-Cu	5	Ci-Cu, Ci-S } A-Cu, S-Cu	6	Ci-Cu, Ci-S } A-Cu, S-Cu	7	Ci } A-S, S-Cu	8	Ci } Ci-Cu, S-Cu	10	1
	10 †		10 †	10 †	10 †	10 † ≡	10 † ≡	10 † ≡	10 † ≡	10 † ≡	10 † ≡	2
	10 †		10 †	10 †	10 †			Ci	8 †		10 †	3
	8 †		8 †	6 †	5 †				6 †	Ci-S, S-Cu	3 †	4
A-S, S-Cu	5	S-Cu	3	S-Cu	2	S-Cu	2	Ci, S-Cu	1	A-Cu, S-Cu	1	5
	4	A-Cu	10 ≡	A-Cu	9 ≡	A-Cu	10 ≡		10 ≡		10 ≡	6
	0		2	S	10	S, F-S	9	S	1	S	1	7
	3 ≡		3 ≡	A-S	2 ≡	Ci-S	1 ≡	Ci-S	2 ≡	Ci, Ci-S	3 ≡	8
	6 †		6 †	A-Cu, S-Cu	6 †	A-Cu, S-Cu	6 †	A-Cu, S-Cu	9 †	A-Cu, S-Cu	4 †	9
	0		0	0	0	0	0	Ci, Ci-S	2	Ci-S } Ci, A-S }	8	10
	6 †	A-Cu, S-Cu	7 †	S-Cu	10 †	A-S, S-Cu	9 †	A-S, S-Cu	10 †	Ci } A-S, S-Cu }	8 †	11
	10 † ≡		9 † ≡	10 † ≡	10 † ≡		10 † ≡	10 ≡	10 ≡	10 ≡	10 ≡	12
	4	A-Cu	4	A-Cu, S-Cu	8	Ci } A-S, A-Cu }	9	A-S, A-Cu	9 †	A-S, A-Cu	9 †	13
	0		0 ≡	0 ≡	0 ≡	0 ≡	0 ≡	0	0	0	0	14
	0 †	S	1	1	1	0	0	1	1	Ci	1	15
Ci-S, A-Cu	8	A-Cu	8 †	S-Cu	7 †	S-Cu	4 ≡	S-Cu	2	S-Cu	2	16
	10 ×		10	10	10 † ×	10 †	10 †	10 †	10 †	Ci	8 †	17
	10 † ≡		10	Ci, S	8 ≡	A-S	10	S	10 ≡	Ci-S, S	8	18
Ci	10	A-Cu	3	4	4	Ci, A-S	4	Ci, A-S	6	Ci, A-S	2	19
	0		0	Ci	4	Ci	9	Ci	7	0	0	20
S-Cu	10		4	4	Ci-S, A-S	7	Ci-S, A-S	9	Ci-S, A-S	10	10	21
	1		1	2	2	2	2	2	2	Ci-S, S	3	22
	10 ×		10 ×	10 ×	10 ×	10 ×	10 ×	10 ×	10 ×	10 ×	10 ×	23
	10 ×		10 × †	10	10	10 ×	10 ×	10 ×	10 ×	10 ×	10 ×	24
	10	N	10	10 †	10 †	9 †	9 †	Ci } A-Cu, S-Cu }	8 †	Ci	6 †	25
	0		0	1	A-S	1	1	S-Cu	1 ≡		1 ≡	26
	10 †		10	10 ≡	10 ≡	10 ≡	10 ≡	10 †	10 †	Ci-S, A-S	10	27
	1		1	1 ≡	Ci-S	1	1	Ci, Ci-S	2 ≡	Ci, Ci-S	8 ≡	28
S-Cu	3		6	7	A-S, S-Cu	9	A-S, S-Cu	9	9	A-S } S-Cu, N }	3	29
	6		10	N	10	N	10	10 †	10 †	10 †	10 †	30
	5.7		5.7	6.3		6.5		6.4		6.2	Med.	

Wolkenformen—Bewölkung—Hydrometeoren

Juni 1903

Dat.	1 p. m.	2 p. m.	3 p. m.	4 p. m.	5 p. m.	6 p. m.
1	A-S, S-Cu 10	A-S, S-Cu 9	A-S, S 10	A-S 10	A-S 10	10 *
2	10 †×≡	10 †×	10 †×	10 †×	10 †×	10 †×
3	10 †	Ci-S 10 †	10 †	10 †	10 †	10 †
4	Ci-S } Ci, S-Cu } 8 †	Ci-S } Ci, S-Cu } 3 †	Ci, Ci-S 2	0	0 ≡	0
5	A-Cu, S-Cu 1	0	0	0	0	0
6	10 †×≡	10 †×≡	10 †×≡	3 †	5 †≡	6 ≡
7	S 1	A-S, S 2	A-S, S 8	A-S, S 10	A-S, S 9 ≡	9
8	Ci, Ci-S 3 ≡	Ci, Ci-S 4 ≡	10 ≡ †	10 ≡	10 †	10 †
9	S-Cu 1	S-Cu 1	S-Cu 1	S-Cu 1	S-Cu 1	1
10	Ci-S } Ci, A-S } 9	Ci-S 9	Ci-S, A-S 9	Ci-S, A-S 7	Ci-S, A-S 7	0
11	Ci-Cu } A-S, S-Cu } 9	A-S, S-Cu 9	A-S, S-Cu 10	A-S, S-Cu 9	2	4
12	10 ≡	A-S 10 ≡	10 ≡	8 ≡	9 ≡	10 ≡
13	A-Cu, S-Cu 7 †	Ci-Cu, A-S } A-Cu, S-Cu } 8 †	Ci } A-Cu, S-Cu } 7 †	Ci, A-Cu 4	2	3 †
14	0	0 ≡	0 ≡	0 ≡	0	0
15	Ci, S-Cu 1	S-Cu 2	S-Cu 4	1	1	1
16	Ci-Cu, S-Cu 1 †	Ci-Cu } A-S, S-Cu } 8	A-S, S-Cu 7 †	S-Cu 3 ≡ †	1	1
17	Ci, S-Cu 7 †	S-Cu 5 †	S-Cu 5 †	4 †	6 †	6 †
18	A-Cu, S-Cu 10	S-Cu 10 †	S-Cu 10 †	7 †	10 †	3
19	A-S 1	A-S 1	A-S 1	1	0	0
20	0	0	0	0	0 ⊥	0 ⊥
21	A-S 10	A-S, N 10	A-S, N 10	10	10	10
22	Ci-S, S 4	Ci-S, S 10 ≡	Ci-S, S 10 ≡	Ci-S, S 9 ≡	7 ≡	9 ≡
23	10	10 *	10 *	10 *	10 *	10 *
24	10 *	10 *	N 10 *	10 *	10 *	10 *
25	S-Cu 5 †	S-Cu 6 †	S-Cu 6 †	S-Cu 10 †	9 †	9 †
26	8 †≡	10 †	10 †	10 †	10 †	10 †
27	Ci-S, A-S 10	Ci-S, A-S 8	Ci-S, A-S 7	A-S 6 ≡	2 ≡	0
28	A-S 10 ≡	A-S 10 ≡ ⊥	A-S 10 ≡ ⊥	A-S 10 ≡	A-S 10 ≡	10
29	A-S } S-Cu, N } 9	A-S } S-Cu, N } 9	A-S } S-Cu, N } 9	9	9	9 †
30	Ci, N 8 †	3 †	S-Cu 2 †	1 †	0	0
ed.	6.4	6.6	6.9	6.1	5.7	5.3

Wolkenformen—Bewölkung—Hydrometeoren

1903 Juni

7 p. m.		8 p. m.		9 p. m.		10 p. m.		11 p. m.		Mtt.	Med.	Dat.
	10 ✖ ≡	10 ✖ ≡		10 ✖	10 † ✖		10 † ✖	10 † ✖	10 † ✖	10 † ✖	7.7	1
	10 † ✖	10 † ✖		10 † ✖	10 ✖		10 ✖	10 ✖	10 ✖	10 ✖	10.0	2
	10 †	10 †		10 †	10 †		10 †	10 †	10 †	10 †	9.9	3
	o	1 ≡		1 ≡	o		o	o	o	1	4.7	4
	o	o		o	o		o	o	S-Cu	1	1.7	5
S	8 ≡	5 † ≡		1 ≡	o †		(o)	o †	o †	o †	5.5	6
	9 ≡	S 9 ≡	A-S, S	10 ≡	Cl-S, F-S	10 ≡	Cl-S	10 ≡	10 ≡	10 ≡	5.0	7
	9 †	10 †		10 †	10 †	10 †	10 †	10 †	10 †	10 †	7.0	8
	o ≡	o		o	o	1	1	1	1	1	4.1	9
Cl-S, A-Cu	4	A-Cu 8	A-Cu	8	A-Cu	1	S-Cu	6	S-Cu	2	3.3	10
Cl, A-Cu	8	Cl, S-Cu 10		10	A-S	10	S	10	S	10	6.9	11
	10 ≡	9 ≡		9 ≡	Cl	3	4	4	4	4	9.0	12
	4 †	7	A-Cu, S-Cu	6		3 †	2	o	o	o	5.0	13
	o	o		o		o	o	o	o	o	o.0	14
	o	o		o	A-S	8	A-S	9	A-S	10	1.7	15
	o	o		1		4	3	5	5	5	5.0	16
	2 †	4 †		2 †		8	10 †	10 †	10 †	10 †	7.8	17
	o †	1		1		o	o	o	o	o	7.0	18
	o	o		o		o	o	o	o	o	2.2	19
	o ⊂	o ⊂		o ⊂		o	o	o	o	o	o.8	20
	10 ✖	10 ✖		10 ✖		10 ✖	10	10	10	10	8.5	21
	10 ≡	9 ≡ ⊂		3 ≡ ⊂		4	4	4	4	4	5.9	22
	10 ✖	10 ✖		10 ✖		10 ✖	10 ✖	10 ✖	10 ✖	10 ✖	9.9	23
	10 ✖	10		10 ✖		10 ✖ ≡	10 ✖	10 ✖	10 ✖	10 ✖	10.0	24
	6	8		9		10	10	10	10	5	8.2	25
	10 †	10 †		10 †		10 †	10 †	10 †	10 †	10 †	5.6	26
	o	o		o		1	1	o	o	o	6.1	27
	9	3		9		2	o	o	o	o	5.5	28
	10	10		10		10	10	10	10	10	7.1	29
	o	Cl-S 1 ≡		10 ≡ ⊂		10 ≡	1	1	1	1	6.4	30
	5.3	5.5		5.7		5.5	5.4		5.3	5.9	Med.	

Wolkenformen—Bewölkung—Hydrometeoren

Juli 1903

Dat.	1 a. m.	2 a. m.	3 a. m.	4 a. m.	5 a. m.	6 a. m.
1		2	2	(2)	2	1
2	10	5	10	5	6	6
3	10 †	(10)	10 †	(10)	10 †	10 †
4	10 †	(10)	10 †	(7)	4 †	10
5	0	(0)	0	(0)	0	0 †
6	Ci-S 2	(3)	A-S, S-Cu 4	(4)	A-S, S-Cu 4	A-S, S-Cu 8
7	A-S 10	(10)	10	(10)	S-Cu 10	S-Cu 10
8	0	0	0	0	Ci-S 1	Ci, Ci-S 2
9	4 ≡	(4)	Ci 4 ≡	(7)	Ci, A-Cu 10	Ci, A-Cu 10
10	Ci } Ci-S, N }	5 †	3 †	(4)	Ci-S 5 †	Ci-S } A-Cu, S-Cu }
11	A-S 10	(10)	S 10 ≡	(10)	10	10
12	10 †	(10)	10 † ≡	(10)	S 10	S 10
13	10 †	(10)	10 †	(10)	10 †	10 †
14	3 ≡	(3)	3 †	(1)	0	0
15	10	(10)	10	(10)	10 *	10 *
16	10 †	9 †	10 †	10 †	10 †	Ci-S 10 †
17	0	(4)	Ci-S } S-Cu, N }	9	Ci-Cu } A-Cu, S-Cu }	S-Cu 10
18	8	(5)	A-Cu, S-Cu 2	(5)	Ci-S } A-Cu, S-Cu }	7
19	10	(10)	10	(9)	8	S-Cu 8
20	6 † *	(7)	9	(8)	6 *	9 *
21	2	(2)	2	(1)	1	3
22	9 †	(4)	0 †	(0)	0	0
23	10 †	10 †	10 †	10 †	10 † *	10 † *
24	0	(0)	1	(1)	0	0
25	10	(10)	10	(9)	8	S 10
26	0	(5)	10	(10)	10	10
27	10 †	(10)	10 †	(10)	10 †	5 †
28	0	2	0	(1)	2	4
29	10 †	(10)	10 †	(10)	10 †	10 †
30	10 †	(10)	10 †	(10)	10 †	9 †
31	0 †	(0)	0 †	(0)	0	0 †
Med.	6.2	6.1	6.4	6.2	6.3	6.3

Wolkenformen—Bewölkung—Hydrometeoren

1903 Juli

7 a. m.		8 a. m.		9 a. m.		10 a. m.		11 a. m.		Mttn.	Dat.	
	1		0	S-Cu, S	1	S-Cu	1 ≡	S-Cu	1	N, S	1	1
	9		10		10		10	F-S	10	F-S	10 ≡	2
	10 †		10 †		10 †		10 †		10 †		10 †	3
	3		4	S-Cu	4	Cl	2	Cl	2	Cl	1	4
	0 †		8 †		2 †		0 †		1 †	A-S, S-Cu	1 †	5
A-S, S-Cu	7		9		9	A-S, A-Cu	10	A-S	10	A-S	10	6
	10	S-Cu	10		10	N, F-N	9	A-S	9	Cl, A-S	9	7
A-S	1	A-S, S	8	S	9	S	10	N, F-N	9	N, F-N	10	8
	10		9		9	S-Cu	9	A-Cu, S	9	S	9	7
	1 †		0 †		0 †		0	A-S	0	A-S	0	9
								S-Cu, N		S-Cu, N		9
										S-Cu	1	10
	10		10		10 ≡		10 × ≡		10 × ≡		10 †	11
S	10		10 ≡		10 ≡		10 ≡		10 ≡		10 ≡	12
	10 †		7 †		6 †	A-Cu	5 †	A-Cu	2 †	A-Cu	2 †	13
	0	A-S	1	A-S	1		0	Cl-S	1	Cl-S	1	14
	4	A-Cu, S-Cu	7 †		8 †		6 †		9 †		7 †	15
Cl-S, S-Cu	10 †	A-Cu, S-Cu	10 †	A-Cu, S-Cu	10 †		10 † ≡		10 † ≡	Cl, S-Cu	7 † ≡	16
S-Cu	10		9	S-Cu, N	9		9		9		9	17
	9 ⊙ ×		9	Cl-S	7	Cl-S	10	Cl-S	10 †	Cl-S	10 †	18
S-Cu	8		8	A-Cu, N	9 †	Cl-S	9	Cl-S	9	A-Cu, N	9 †	19
	10 ×		10 ×		10	X, F-N	9	N, F-N	9	S-Cu	3 ≡	20
	3		8	A-Cu, S-Cu	6	Cl, S	3 ≡	Cl, A-S	2 ≡	Cl, A-S	5	21
	1	A-S, S-Cu	7	Cl-S, A-S	7	Cl, A-S	10	Cl-S	9	Cl-S	9	22
	10 † ×		10 † ×		10 †		8 †	A-S, S-Cu	9 †	A-S, S-Cu	6 †	23
	0		0	Cl-S	1	Cl-S	2	A-Cu, S-Cu	9 †	A-Cu, S-Cu	6 †	24
	10		9		6	A-S, S-Cu	9	Cl	1	A-S	2	25
	10		4	Cl	4	Cl, Cl-S	8	A-S, N	10	A-S, N	10	26
4 †	A-Cu, S-Cu	6 †	6 †	Cl, S-Cu	3 †	Cl-S	6 †	Cl	10	Cl, Cl-S	10	27
2	A-Cu	9	9	A-Cu, S-Cu	10 †	S-Cu, N	10 †	Cl-Cu, N	6 †	Cl, S-Cu	4	28
10 †		10 †	10 †		10 †		10 †		10 †		10 †	29
10 †		10 †	10 †		6 †		6 †		4 †		2 †	30
0 †		1 †	1 †		1 †		0 †		0 †		0 †	31
	6.2		7.2		6.6		6.8		6.6		6.3	Med.

Wolkenformen—Bewölkung—Hydrometeoren

Juli 1903

Dat.	1 p. m.	2 p. m.	3 p. m.	4 p. m.	5 p. m.	6 p. m.					
1		o ≡		1	S-Cu	1	Ci	6	Ci	2	
2		10 ✕	10 ✕ †	10 ✕ †	10 ✕ †			10 ✕		10 ✕ †	
3		10 †	10 †	10 †	10 †			10 †		10 †	
4	Ci, Cu	1	Ci-S	Ci-S	1	o	Ci	1	S-Cu	1	
5		1 †	1 †	1 †	1 †	1 †		o		o	
6	A-S	10	A-S	A-S, S-Cu	10	A-S, S-Cu	10	A-S	8	A-S, A-Cu	9
7	Ci	7	Ci, A-S	Ci	3	Ci-S	3	2		3	
8	A-S	10		A-S	2		1	Ci-S	1	Ci, Ci-S	3
9	S-Cu, N	10	A-S } S-Cu, N }	A-S } S-Cu, N }	10	A-S } S-Cu, N }	10	N	10	N	8
10		o	o	o	o	o	o	o		Ci-S	4
11		10 †	10 †	10 †	10 †	10 †		10 †		10 †	
12		10 ≡ ⊥	10 ✕ †	10 ✕ †	10 ✕ †	10 ✕ †		10 ✕ †		10 ✕ †	
13		1 †	1 †	o	o	o †		o		o	
14	Ci-S	1	Ci-S, A-S	Ci-S, A-S	2	Ci-S, A-S	2	Ci-S	2	Ci-S	2
15		10 †	Ci	8 †	10 †	10 †		10 †		8	
16	Ci, S-Cu	4 ≡	Ci, S-Cu	3	Ci, S-Cu	3	S-Cu	1	o	o	
17	S-Cu, N	9		9	9	9	9	9		10	
18	N	10	Ci-S, N	10	Ci-S, N	10	Ci-S, N	10	Ci-S, N	10	
19	Ci-S, A-Cu } N, F-N }	10 †	Ci-S, A-Cu } N, F-N }	10 †	Ci-S } A-Cu, N }	10	7	9	9	4	
20	Ci, S	9 ≡	A-Cu, S	9 ≡	A-Cu } N, S }	10 ≡	A-Cu } S-Cu, N }	9 ✕ ≡	2 ≡	3	
21	Ci } A-S, A-Cu }	9	Ci } A-S, A-Cu }	9	A-S, N	10	A-S, N	10	10	10 ✕	
22	Ci-S } A-S, N }	10		10	10	10	10	10 ✕		10 ✕	
23	A-Cu, S-Cu	4 †	S-Cu	3 †	S-Cu	3	3 †	4 †		2 †	
24	A-S, A-Cu	4	A-S } A-Cu, S }	9	A-S ₂	10	A-S	10	A-S	10	
25	A-S, N	10	A-S } A-Cu, N }	8	A-S, S-Cu	3	2	o		o	
26	Ci, Ci-S } A-Cu, N }	10	Ci, Ci-S } N }	10 †	Ci } Ci-S, N }	10 †	Ci, N	10 †	10	8 †	
27	Ci, S-Cu	2		o	o	o	1	o		o	
28		10 †	10 †	10 †	10 †	10 †	10 †	10 †		10 †	
29		10 †	10 †	10 †	10 †	9 †	9 †	9 †		10 †	
30		2 †	2 †	1 †	1 †	1 †	1 †	1 †		1 †	
31		o	o	o	o	o	o	o		o	
Med.	6.6		6.5		6.1		5.8		5.6		5.4

Wolkenformen—Bewölkung—Hydrometeoren

1903 Juli

7 p. m.		8 p. m.		9 p. m.		10 p. m.		11 p. m.		Mittn.	Med.	Dat.	
Ci	3	Ci	3	Ci-S	1	Ci-S	2	Ci-S	3	4	1.7	1	
	10 × †		10 × †		10 × †		10 †		10 †	10 †	9.2	2	
	10 †		10 †		8 †		10 †		10 †	8 †	9.8	3	
	0		0		0		0		0	0	3.0	4	
	0		0		0	Ci	1		0	Ci-S	1	0.7	5
Ci-S	10	A-S	10	A-S	10	A-S	10	A-S, N	10	A-S	10	8.2	6
	3	A-Cu, S-Cu	2	S-Cu	2		1		1		0	6.2	7
A-S	6	A-S, S	10	S	10	S	4	A-Cu, S	10	S	4	5.0	8
	9 ×	Ci-S, N	10 ×	Ci-S, N	8	Ci-S, N } Ci	4	Ci	2	Ci-S, N	3	7.8	9
Ci, Ci-S	7	Ci, Ci-S	9	Ci, Ci-S	10	Ci, A-Cu } Ci, A-Cu	10	Ci-S	10	A-S	10	3.7	10
	10 †		10 †		10 †		10 †		10 †	10 †	10.0	11	
	10 †		9 †		10 †		10 †		10 †	10 †	10.0	12	
	0		0		0 ≡	A-Cu, N	2	Ci-S } A-Cu, N }	8		9	4.7	13
	0		2		3	A-S	5		10		10	2.3	14
	8 †		10 †		10 †		10 †		10 †	10 †	9.0	15	
	0		0		0		0		0	0	5.3	16	
	10		10		9		10		10	7	8.7	17	
	10		10		10		10 ⊕ ≡		10 ⊕ ×	10 ⊕ ×	8.8	18	
	1		3		6		7 ⊕ ×		6 ×	10 × †	7.7	19	
	3 ×		10 × †		10 † ×		10 † ×		4 †	3 †	7.2	20	
	10 ×		10 ×		10 ×		10		10 †	10	6.5	21	
	10 ×		10 ×		10 ×		10 † ×		10 †	10 †	7.3	22	
	3		4		2		0		0	0	5.9	23	
A-S	10		8		9		10		10	9	4.9	24	
	0		0		0		0		0	0	5.6	25	
	8 †		9 †		2 †		2 †		8 †	10 †	7.8	26	
	0		0		0		0		0	0	3.6	27	
	10 †		10 †		10 †		10 †		10 †	10 †	7.5	28	
	10 †		10 †		10 †		10 †		10 †	10 †	9.9	29	
	1 †		0 †		0 †		0 †		0 †	0 †	4.4	30	
	0		0		0		0		0	0	0.1	31	
	5.6		6.1		5.8		5.7		6.2		6.1	6.2 Med.	

Wolkenformen—Bewölkung—Hydrometeoren

Augusti 1903

Dat.	1 a. m.		2 a. m.		3 a. m.		4 a. m.		5 a. m.		6 a. m.		
1		0		(0)		0		0		0	⊥	0	⊥
2		3		2		0		0		0		0	
3		Ci, Ci-S	4	(7)		Ci-S	9	(6)		2		1	
4			1	(2)		Ci-S	2	(6)		10		10	
5			10	(10)			10	(10)		10		10	
6			10	†		(10)	10	⊙~†		(10)		10	†
7		Ci, A-Cu	3	(2)		S-Cu	1	(5)		A-Cu		A-Cu	2
8		C-S	10	(10)		Ci-S	10	(10)		10		10	
9			10	†		(10)	10	†×		(10)		10	†
10			10			Ci-S	9	(9)		10		7	
11		A-Cu	10	(9)		A-Cu, S-Cu	9	(7)		Ci, A-Cu	5	Ci-S, A-S	9
12			0	0		Ci-S, A-Cu	1	(5)		A-Cu, S-Cu	9	Ci-Cu	4
13			9	†		(5)	2	†		(6)		10	
14		Ci-S, S-Cu	6	(8)		A-S, N	9	(9)		S-Cu		10	
15			1	(3)		(3)	5	(6)		A-Cu, N	8	A-Cu, N	9
16			0	†		0	≡			Ci-S	2		
17			0	(2)		(2)	4			(7)			
18			10	†		(10)	10	†		(10)		10	†
19			1	(1)		(1)	0			(0)		1	
20			0	(0)		(0)	0			(0)		0	
21		S	5	≡		(6)	8			(6)			
22			10	×		(10)	10			(10)		10	×
23			7	†		(7)	9			(10)		10	
24			(10)			(10)	10	†		(8)		10	†
25			9	†		(8)	8	†		(8)		8	†
26			2	(3)	†	(3)	3	†		(2)		1	
27			0	†		(0)	0	†		(2)			
28			1	0		(1)	1			(1)		1	
29			0	(1)		(1)	1			(0)		1	†
30			2	(1)		(1)	1			(1)		1	≡
31			0	(0)		(0)	0			(1)			
Med.		4.5		4.8		5.0		5.4		5.9		6.2	

Wolkenformen—Bewölkung—Hydrometeoren

1903 Augusti

7 a. m.		8 a. m.		9 a. m.		10 a. m.		11 a. m.		Mtg.		Dat.		
	0 L		0 L		0 L		0		0		0	1		
	0		0		0		0		0 =		0	2		
S-Cu	1		1		1		0				A-Cu	1	3	
	9		9	S-Cu, N	10	S-Cu, N	10	S-Cu, N	10		S-Cu, N	10	4	
	10	Ci-S, N	10	Ci, Ci-S } A-S, S-Cu }	10	Ci } Ci-S, S-Cu }	10	Ci } Ci-S, S-Cu }	10		Ci } Ci-S, S-Cu }	10	5	
	10 †		9 †		9 †		6 †	S-Cu	4 †		Ci } A-Cu, S-Cu }	7	6	
	2		1		1		1		0			0	7	
	10		10		9		9		10 ×			10 ×	8	
	10 †		10 †		10 †		10 †		10 †			10 †	9	
	7		7		4	Ci, A-Cu	4		6		Ci, A-S	6	10	
Ci-S, A-S	9	Ci-S } A-S, N }	10		10 ×		10 ×		10 ×			10 ×	11	
A-Cu	7		3		4 =		2		1		S-Cu	2	12	
Ci-S, S-Cu	10	Ci-S, S-Cu	10	Ci-S } S-Cu, N }	8	S-Cu, S } Ci-S } S-Cu, N }	10	S-Cu } Ci-S } S-Cu, N }	10		Ci-S, N	10	13	
	10 †	A-S, S-Cu } A-Cu, N }	7 †		8 †	S-Cu } S, F-S }	10		10		A-S } N, F-N }	10	14	
A-Cu } N, F-N }	9 ×	F-N, F-S }	9	N	10	N	10 ×	N	10 ×			10 ×	15	
Ci-S } A-Cu, S-Cu }	4	Ci-S } A-Cu, S-Cu }	5	C-Cu, A-Cu } S-Cu, F-S }	6 †	Ci, Ci-Cu } A-S, S-Cu }	6 †		7		F-S	7	16	
Ci-S } S-Cu, N }	10	Ci-S } S-Cu, N }	10	A-Cu } S-Cu, N }	9 †		10 =		10 =			10 =	17	
	10 †		10 †		10 †		10 †		10 †	A-S, S-Cu	10 †	A-S } A-Cu, S-Cu }	10 †	18
	1	S-Cu	1		0		0		0			0	19	
	0		0		0		0		1			0	20	
	10 × =		10 × =		10 × =		10		10			10	21	
	10 ×		10 ×		10		10 ×	S-Cu, N	9			10 × =	22	
	10 †		10 †		10 †		10 †		10 †			10 †	23	
	7 †		10 †		10 †		10 †		10 †			10 †	24	
	9 †		8 †		6 †	Ci-S	6 †		10 †		A-Cu	10 †	25	
	1	S-Cu	1	S-Cu	1	S-Cu	1	S-Cu	1			1	26	
A-Cu, S-Cu	8 †	A-Cu, S-Cu	8 †	S-Cu	6	A-Cu, S-Cu	2	A-Cu, S-Cu	1 †			1 †	27	
	1	Ci	2		2	A-S, A-Cu	9	Ci-Cu } A-S, A-Cu }	8		A-Cu, S-Cu	9	28	
	2 †		3 †	Ci, S-Cu	3 †		4 † =		10 =		A-Cu	10 =	29	
	1	S-Cu	1		1	Ci, Ci-Cu } S-Cu }	4		2		Ci	1	30	
A-S, S	8 =	A-S, S	9	A-S, S	10		10 =		10 =			10 =	31	
	6.3		6.2		6.1		6.5		6.5			6.6	Med.	

Wolkenformen—Bewölkung—Hydrometeoren

Augusti 1903

Dat.	1 p. m.	2 p. m.	3 p. m.	4 p. m.	5 p. m.	6 p. m.									
1	o	Ci-S	1	Ci-S	1	o									
2	o	o	o	1 ≡	1 ≡	1									
3	Ci, Ci-S } S-Cu, N }	3	Ci-S, A-Cu } S-Cu, N }	9	A-Cu, S-Cu	4	A-Cu, N	9	A-Cu, N	9	A-Cu Ci	2			
4	9	9	A-S, S-Cu, N } Ci, Ci-S }	9	A-S, S-Cu, N } Ci, Ci-S }	9	8	10	10	10	Ci-S, A-Cu } A-Cu, N }	8			
5	Ci, Ci-S } A-S, Cu }	8	A-S, S-Cu } A-S, Cu }	9	A-S, S-Cu } A-S, Cu }	9	10	Ci-S, N }	10	Ci-S, N }	9	A-Cu, N Ci	9		
6	Ci, Ci-Cu } A-Cu, S-Cu }	7	Ci, Ci-Cu } A-Cu, S-Cu }	8	Ci } A-Cu, S-Cu }	9	8	8	8	8	Ci-S, N }	9	A-Cu Ci	6	
7	o	o	o	o	Ci-S	1	Ci-S	1	Ci-S	1	Ci-S	1	Ci-S	1	
8	10	10 *	10 *	10 *	10 *	10 *	10 *	10 *	10 *	10 *	10 *	10 *	10 *	10 *	
9	10 †	10 †	10 †	10 †	10 †	10 †	A-Cu	10 †	A-Cu	10 †	8	8	8	8	
10	Ci, S-Cu	3 †	Ci, Ci-Cu } A-Cu, S-Cu }	3	Ci	3	Ci	1	Ci	1	Ci	1	Ci	1	
11	10 *	10 *	10 *	10 *	A-S, A-Cu	10 †	A-S	8 †	8 †	8 †	o	o	o	o	
12	Ci, A-S } A-Cu, S-Cu }	4	Ci } A-Cu, S-Cu }	4	Ci, A-S } A-Cu, S-Cu }	6	6	6	7	7	Ci, N	7 †	Ci, N	7 †	
13	Ci-S, N } A-S	10	Ci-S, N }	10	Ci-S, N }	10	Ci } Ci-S, N }	10	Ci } Ci-S, N }	10	Ci-S, N }	10	Ci	10	
14	N, F-N }	10 *	10 *	10 *	10 *	10 *	Ci-S, Cu-N	9 †	9 †	8 †	8 †	8 †	8 †	8 †	
15	10 *	10 *	10 *	10 †	10 †	10 †	10 †	10 †	10 †	10 †	10 †	10 †	10 †	10 †	
16	Ci, Ci-Cu } A-Cu, S-Cu }	7	Ci, Ci-Cu } A-Cu, S-Cu }	7	Ci, Ci-Cu } A-Cu, S-Cu }	7	Ci-Cu } Ci, A-Cu }	6 ≡	A-S } A-Cu, F-S }	7	A-S } A-Cu, N }	9 †	A-S } A-Cu, N }	9 †	
17	10 ≡	10 ≡	10 ≡	10 ≡	10 ≡	10 ≡	10 ≡	10 ≡	10 ≡	10 ≡	10 ≡	10 ≡	10 ≡	10 ≡	
18	A-S, A-Cu	10 †	Ci } A-S, A-Cu }	9 †	A-S } A-Cu, S-Cu }	9	A-S } A-Cu, S-Cu }	8	8	8	8	8	8	8	
19	o	o	o	o	o	o	o	o	o	o	o	o	o	o	
20	2	3	3	3	3	3	1	1	1	1	1	1	1	1	
21	10	A-S	10	A-S	10	A-S	A-S	10	A-S, N	10	10 *	10 *	10 *	10 *	
22	N	10 *	N	10 *	N	10 *	N	10 *	N	10 *	10 *	10 *	10 *	10 *	
23	10 †	10 †	10 †	10 †	Ci-Cu } Ci, A-Cu }	9 †	A-Cu	9 †	A-Cu	9 †	10 †	10 †	10 †	10 †	
24	10 †	10 †	10 †	10 †	9 †	9 †	10 †	10 †	10 †	10 †	9 †	9 †	9 †	9 †	
25	A-Cu, N	10 †	A-Cu, N	10 †	A-Cu, N	10 †	A-Cu, N	9 †	A-Cu, N	9 †	A-Cu, N	9 †	A-Cu, N	9 †	
26	1	1	1	S-Cu	3	A-S, S-Cu	4	A-S, S-Cu	4	A-S, S-Cu	4	A-S, S-Cu	3	A-S, S-Cu	3
27	1	A-Cu, S } Ci-S }	2	Ci-Cu, S-Cu } Ci-S }	3	A-S } Ci-S }	2	A-S } Ci }	2	A-S } Ci }	4	A-S } Ci }	1	A-S } Ci }	1
28	Ci, Ci-S } A-Cu, S-Cu }	7	A-Cu, S-Cu } A-Cu }	6	A-Cu, S-Cu } A-Cu }	5	A-Cu, S-Cu } A-Cu }	3	A-Cu, S-Cu } A-Cu }	3	A-Cu, S-Cu } A-Cu }	7	A-Cu, S-Cu } A-Cu }	7	
29	10 ≡	10 ≡	10 ≡	10 ≡	10 ≡	10 ≡	10 ≡	10 ≡	10 ≡	10 ≡	10 ≡	10 ≡	10 ≡	10 ≡	10 ≡
30	o	o	o	o	o	o	o	o	o	o	o	o	o	o	o
31	10 ≡	10 ≡	10 ≡	10 ≡	10 ≡	10 ≡	10 ≡	10 ≡	10 ≡	10 ≡	10 ≡	10 ≡	10 ≡	10 ≡	10 ≡
Med.	6.5		6.8		6.8		6.6		6.7		6.2		6.2		6.2

Wolkenformen—Bewölkung—Hydrometeoren

September 1903

Dat.	1 a. m.		2 a. m.		3 a. m.		4 a. m.		5 a. m.		6 a. m.			
1	S	10		(10)		10		(10)		10		S-Cu	9	
2		0	Ci-S	3	Ci-S	2		Ci-S	1		0		0	
3		2		(1)		0			(0)		0		0	
4		0		(0)		0			(0)		0		0	
5	Ci-S	10		(10)	Ci-S	10		(8)		A-S, S-Cu	6	A-S } A-Cu, S-Cu }	6	
6		10		(10)		10		(10)		A-S, S-Cu } N, F-Cu }	10	A-Cu } S-Cu, N }	10	
7	A-Cu	8		(9)		10		(10)			10 *		10 *+	
8		10		(10)	A-S	10		(10)			10		10 =	
9	A-S	10		(10)		(10)		A-S	10		10	Ci-S, S-Cu	9	
10	Ci, Ci-S } A-Cu, S-Cu }	7	Ci, Ci-S } S-Cu, N }	8	Ci-S } A-Cu, S-Cu }	3		(2)			1		S-Cu, Cu	2
11		2		(2)		2		(3)		Ci	5		Ci, S-Cu	10
12		10 +		(10)		(10)		(10)		A-Cu, S-Cu	10 +		7 +	
13		10 +		(10)		(10)		10 +			(10)		10 +	
14		4		(4)		5		S-Cu	10		(10)		S-Cu	10
15		9 *		(9)		8 *		(9)		S	10		S	10
16		10		10		10		10 =		S	10		F-S	10
17		10		(10)		10		(9)			9 =		Ci	6 =
18		9		(6)		3		(7)			10		10	
19		10		(10)		10		(10)			10		S	10
20		0		0		0		(0)			0		0 =	
21		0		0		0		(1)			2		Ci-S, S-Cu	3
22	A-S	10		(10)		(10)		A-S	10		10		10	
23		10		(9)		7		(8)			10 +		10 +	
24		10		10		10		(10)			10 *		10 *	
25		10 +		(10)		10 +		(10)			10 +		10 +	
26		10 +		(10)		10 +		(10)			10 +		10 +	
27		10		(10)		10		(10)			8 =		10 =	
28		10 +		(10)		10 +		(10)			10 =		10 =	
29	Ci, Ci-S	3		(1)		0		(0)			0		1	
30		10 +		(10)		10 +		10 +			10 +		10 +	
Med.		7.5		7.4		7.0		7.3			7.3		7.5	

Wolkenformen—Bewölkung—Hydrometeoren

1903 September

7 a. m.	8 a. m.	9 a. m.	10 a. m.	11 a. m.	Mittg.	Del.
A-Cu } S-Cu, F-S } 8 0	Ci-Cu, A-Cu } 2 0	Ci-Cu } 1 0	0 Ci } 1	0 Ci, Ci-S } 8	0 Ci, Ci-S } 6	1 2
Ci-S } A-Cu, S-Cu } 1 6	Ci, Ci-S } A-Cu } S-Cu, F-S } 2 8	Ci, Ci-S } Ci-S } S-Cu, F-S } 2 7	Ci-S } Ci, A-Cu } 10 4	Ci, Ci-S } Ci } 10 1	A-Cu, S-Cu } A-Cu, S-Cu } 1 1	3 4 5
A-Cu } S-Cu, N } Ci } A-Cu, S-Cu } 6 10 10	A-Cu, S-Cu } N, F-S } Ci } A-Cu, S-Cu } 8 10	Ci-S } A-Cu, F-S } A-Cu } A-Cu } 3 9 10	S-Cu, Cu } A-Cu } Ci } S-Cu, N } 8	Cu } A-Cu, S-Cu } Ci } S-Cu, N } 7	A-Cu, S-Cu } A-Cu, S-Cu } Ci } S-Cu, N } 7	6 7 8 9
Ci-S } A-Cu, S-Cu } S-Cu, Cu } 8 2	A-Cu } S-Cu, F-S } Ci-S, Cu } 9 2	A-Cu } S-Cu, F-S } S-Cu, Cu } 9 3	Ci } S-Cu, N } Ci } A-S, A-Cu } 9	Ci } S-Cu, N } Ci, Ci-Cu } A-S, A-Cu } 10	Ci } S-Cu, N } Ci, Ci-Cu } A-S, A-Cu } 10	10 10
Ci, S-Cu } Ci, A-Cu } 10 8	Ci, S-Cu } Ci-S, S-Cu } 9 9	Ci, S-Cu } A-Cu, S-Cu } 10 10	S-Cu, N } A-Cu, Cu } 10 10	N } 10	N } 10	11 12
A-Cu } A-Cu, S-Cu } S } 8 10	S-Cu } S } 10 7	A-Cu, S-Cu } S } 9 10	10 * S } 9	A-S, A-Cu } S } 10 * 10	A-Cu } S } 8 10	13 14 15
S } Ci } 10 6	S } Ci, S } 10 6	10 Ci-S } 6	10 Ci-S, A-S } 8	10 Ci-S, A-S } 8	10 S } 10	16 17
10 10 10	10 10	10 10	10 A-S } 10	10 9 10	10 Ci, A-Cu } 9	18 19
1 Ci-S, S-Cu } 3	Ci-S } 1 Ci-S, A-Cu } 4	Ci-S } 1 N } 4	Ci-S } 1 N } 9	Ci-S } 1 S } 10	Ci-S } 1 S } 10	20 21
10 10 10 10 10	10 10 10 10	10 10 10 10	10 10 10 10	10 10 10 10	10 10 10 10	22 23 24 25
10 10 10 10	Ci, Ci-S } 10 10	Ci, Ci-S } 10 10	Ci-S } 10 N } 10	Ci-S } 10 N } 10	Ci-S } 10 F-S } 9	26 27
10 10 10 10	10 10 10 10	10 10 10 10	10 10 10 10	10 10 10 10	10 10 10 10	28 29
1 10	Ci } 1 10	Ci-S } S-Cu, S } 3 10	Ci-S } Ci, A-S } 6 10	Ci-S } Ci, A-S } 2 10	Ci, Ci-S } A-S, F-S } 6 10	30
7-3	7-3	7-2	7-7	7-7	7-7	Med

Wolkenformen—Bewölkung—Hydrometeoren

September 1903

Dat.	1 p. m.		2 p. m.		3 p. m.		4 p. m.		5 p. m.		6 p. m.	
1		0		0		1		1		0		0
2	Ci, Ci-S	9	Ci, Ci-S	9	Ci, Ci-S	8	Ci-S Ci, S-Cu	9	Ci-S Ci, S-Cu	6	Ci, Ci-S	7
3	A-Cu, S-Cu	1		0		0	Ci	3	Ci	2	Ci	1
4	Ci, Ci-S	10	Ci, Ci-S	9	Ci-S Ci, S-Cu	10	A-S	10	Ci-S, A-S	10	Ci-S, A-S	10
5	Ci	3	Ci	5	Ci	7	Ci, A-S	5	Ci, A-S	2	Ci, S-Cu	1
6		0		0		0		0	S-Cu	1	A-Cu, S-Cu	1
7	A-Cu, S-Cu	4	Ci S-Cu, S	7	S	2	S-Cu	3	S-Cu, N	8	S-Cu S, F-S	7
8	Ci	1 ≡	Ci	5 ≡	Ci	1 ≡	Ci, Ci-S	2	Ci	3	Ci	6
9	Ci S-Cu, N	7	Ci S-Cu, N	6	Ci, Ci-S	8	Ci-S, A-Cu S-Cu, N	8	A-Cu S-Cu, N	10	S-Cu, N	9
10	Ci, Ci-Cu A-Cu, N	10	Ci, Ci-Cu A-Cu, N	9	Ci-Cu Ci, N	10	Ci, A-S	10	Ci-S Ci, A-S	10	A-S	9
11	N	10		10 †		10 †		10 †		10 †		10 †
12	A-Cu	10 †	A-Cu	10 †	A-Cu, N	9 †	A-Cu, N	9 †	A-Cu	9 †	A-Cu	10 †
13	S-Cu	10 †	S-Cu	10 †	S-Cu	10 †	S-Cu	10 †	S-Cu	9 †	A-Cu, S-Cu	9 †
14	A-Cu	10	A-Cu	10	A-Cu	10	A-Cu, N	10 ×	A-Cu, N	10 ×	A-Cu, N	10 ×
15	S	10	S	10	S	10 ≡	S	10	S	10	S	10
16	S	10 ≡	S	10 ≡	S	10 ≡		10		10 ≡		10 ≡
17		10 †	A-S, N	10 †	A-S, N	10 †	A-S, N	10 †		10 †		10 †
18		10 †		10 †		10 †	Ci-Cu	3 †	S-Cu	2	Ci-S	1
19		9 †		9 †	Ci	8 †	Ci, Ci-S	4 †	Ci	3 †	S-Cu	2 †
20	Ci-S	1	Ci-S	1	Ci-S	1	Ci, Ci-S	1	Ci, Ci-S	6	Ci, Ci-S	6
21	Ci-S, A-S	10	Ci-S, A-S	10	Ci-S, A-S	10	Ci-S, A-S	10	Ci-S, A-S	10	A-S	10
22	S	10	S	10 ×		10 ×		10 ×		10 ×		10 ×
23		10 †		10 †		10 †		10 †	S-Cu	10 †		9 †
24		10		10		10 ×		10 ×		10 × †		10 × †
25		10 †		10 †		10 †		10 †		10 †		10 †
26	Ci, Ci-S	4	Ci-Cu Ci, A-Cu	3	A-Cu	10	A-Cu	10	A-S	10	A-S A-Cu, S	10
27		9 †	A-S	10 †	A-S	10 †	S-Cu	8 †		7 † ≡	A-S Ci, S-Cu	7 †
28		10 †		10 †		10 †	Ci	10 †	Ci	10 †	Ci	7 †
29	Ci-S, A-S	8 L	Ci-S, A-S	10 × ≡	A-S	10		10 × ≡		10 ≡		10 ≡
30		10 †		10 †		10 †		10 †		10 †		10 †
Med.		7.5		7.8		7.8		7.5		7.6		7.4

Wolkenformen—Bewölkung—Hydrometeoren

1903 September

7 p. m.		8 p. m.		9 p. m.		10 p. m.		11 p. m.		Mtn.	Med.	Dat.	
	0		0		0		0		0	0	3.0	1	
Ci, Ci-S	5	Ci-S	9	Ci-S	10	Ci-S	3		3	Ci-S	4	4.3	2
Ci, A-Cu	2	Ci, A-Cu	1		0		0		0		0	0.7	3
Ci, Ci-S	9	Ci, Ci-Cu	9	Ci-S, A-Cu	10	Ci-S, A-Cu	9	Ci, Ci-S	7	Ci-S	10	6.2	4
S-Cu	1		1	A-S, A-Cu	3	A-S, A-Cu	9	A-S } A-Cu, S-Cu }	10	A-Cu, S-Cu	10	5.6	5
	1		1		2	A-Cu	9	A-Cu	8	A-Cu, S-Cu	9	4.6	6
	10		10	S	10		10		10		10	8.4	7
Ci	3	Ci-S	2	Ci-S	4	Ci-S	10	Ci-S	10		10	6.8	8
N	10	N	10		10		9		9	Ci, Ci-S } S-Cu, N }	7	8.7	9
	8		2		2		2		4		2	5.7	10
	10 †		10 †		10 †		10 †		10 †		10 †	8.5	11
A-Cu	10 †		10 †		10 †		10 †		10 †		10 †	9.6	12
A-Cu, S-Cu	9		6		3		3		3		3	8.5	13
	10 ×		10 ×		10 ×		10		10		10	9.1	14
S	10 ≡	S	10 ≡ ×	S	10 ≡ ×	S	10	S	10	S	10	9.6	15
	10 ≡		10 ≡		10		10		10		10	10.0	16
	10 †		10 †		10 †		10 †		10 †		8 †	9.0	17
Ci-S	1	Ci-S	1	Ci-S	2		3		5		10	6.7	18
	2 †		1		0		0		0		0	6.6	19
Ci, Ci-S	6	Ci, Ci-S	1	Ci, Ci-S	1		0		0		0	1.2	20
	10		10		10	A-S	10	A-S	10	A-S	10	7.2	21
	10 ×		4 ×		10 ×		9 †		10		10	9.7	22
	10 †		10		10		10		10		10	9.7	23
	10 × †		10 × †		10 × †		10 †		10 †		10 †	10.0	24
	10 †		10 †		10 †		10 †		10 †		10 †	10.0	25
A-Cu, S-Cu	8	A-Cu, S-Cu	2	Cu	2	Ci-S, S-Cu	3	Ci-S } Ci, S-Cu }	8	Ci-S	9 ×	8.0	26
A-S, S-Cu	4	A-S } A-Cu, S-Cu }	7 †	A-S, S-Cu	9		10		10		10 †	9.1	27
Ci	3 †		2 †	Ci, Ci-S	3 †	Ci, Ci-S	8	Ci, Ci-S	9	Ci, Ci-S	7	8.7	28
	10 ≡ †		10 † ≡		10 † ≡		10 † × ≡		10 † × ≡		10 † ×	5.9	29
	10 †		10 †		10 †		5 †		7 †		10 †	9.6	30
	7.1		6.3		6.7		7.1		7.4		7.8	7.4	Med.

Wolkenformen—Bewölkung—Hydrometeoren

Oktober 1903

Dat.	1 a. m.		2 a. m.		3 a. m.		4 a. m.		5 a. m.		6 a. m.	
1		(10)		(10)		10 †		(10)		10 †		10 †
2		9 †		10 †		9 †		9 †		10 †		7 †
3	Ci-S	5		(7)	Ci, Ci-S	9		(9)	Ci	10 †	Ci, S-Cu	10
4	A-Cu, S-Cu	7		(8)	A-Cu, S-Cu	9		(8)	A-Cu, S-Cu	7 ≡	A-Cu	7 †
5		10 ×		(10)	Ci-S, N	10		(10)		10	S-Cu, F-S	10
6		10 ×		(10)		10		(10)		10		10
7	S-Cu, F-S	10		(7)	Ci	5		(6)	Ci	10 × ≡	S	10 × ≡
8		10 †		(10)		10 † ×		(10)	A-Cu, F-S	6		10 † ×
9		10 × †		10 × †		10 †		10 ≡		10 †		10 ×
10		10 ×		(10)		10 ≡		(10)		10 ≡		10 †
11		10		(10)		10		(10)		10 ×		10
12		2		(1)		1 ≡		(6)		10 ×		10 ≡
13		0		(0)		0		(1)		1	S-Cu	1
14		(0)		0		(4)	Ci-S, S-Cu	9	Ci, A-Cu	3 ≡	A-Cu, S-Cu	9
15		4	Ci-S, S	4	S-Cu, N	3	Ci, A-Cu	9	Ci-S	9	Ci-S	8
16		8		4	Ci	8	S-Cu, N	9	A-Cu, N	9	A-Cu, N	10
17	Ci	10		2	A-S, A-Cu	10	Ci	9	Ci-S, S-Cu	10	Ci, S-Cu	10
18		9	S-Cu, N	9	A-Cu, N	5		(6)		(3)		0
19		3		(4)		(6)	Cu, F-N	7	Cu	2	Cu	1
20		0		0		0		(0)	Ci	8	Ci, Cu	8
21	Ci	3	Ci-S	4	Ci-S	4		(7)	N, F-N	1	N, F-N	1
22	Ci	3		(4)		5		(4)	S-Cu	1	S-Cu	1
23	S	9		(9)	N, S	10		(10)		10	A-Cu, N	10
24		2	Ci-S	10		10	Ci, S-Cu	7	S-Cu, N	2	A-Cu, Cu	4
25	S	2	Ci, S-Cu	(5)	S	8		(8)	A-Cu	9	S-Cu, N	10
26		4		(7)	A-S	10		(10)	S-Cu, N	9	A-Cu, S-Cu	9
27	N, S	10	A-Cu	9	Ci, A-Cu	8		(8)	S-Cu, N	9	Ci, S-Cu	8
28	Ci-S	6	N, S	9	N, S	9		(9)	S-Cu, N	8	A-S, S-Cu	10
29	A-Cu, N, S	6	Ci-S	9	Ci-S, S-Cu	9		(9)	S-Cu	9	Ci	8
30	S-Cu, N	9	S-Cu, N	1	Cu-N, N	3		(4)	S, N	9	S-Cu, F-S	10
31	Ci-S	6	Ci	(8)	N	10		(10)	A-S, S-Cu	10	Ci	10
Med.		6.4		6.4		7.0		7.5	Ci, A-Cu	5	Ci, S-Cu	7
									S-Cu, N	4	S-Cu, F-S	7
									Ci	10	S, Cu	10 ×

Wolkenformen—Bewölkung—Hydrometeoren

Oktober 1903

Dat.	1 p. m.	2 p. m.	3 p. m.	4 p. m.	5 p. m.	6 p. m.				
1	9 †	Ci	9 †	Ci	9 †	Ci, S-Cu	8 †	Ci, S-Cu	8 †	8 †
2	0 †		1 †		0		0		0	1
3	Ci-S } A-S, S-Cu } 10	Ci-S } A-S, S } 10	Ci-S } S } 10	Ci-S } Ci, N } 7 †	Ci-S, N } Ci, N } 7 †	Ci-S, N } A-Cu, N } 8 †	Ci } A-Cu, N } 9 †	A-Cu, N } Ci-S, N } 10	A-Cu, N } Ci-S, N } 10	9 †
4	Ci, Ci-S } 9	Ci-S } 10	Ci-S, N } 10	Ci-S, N } 10	Ci-S, N } 10	Ci-S, N } 10	Ci-S, N } 10	Ci-S, N } 10	Ci-S, N } 10	10 †
5	10 ≡ ×	10 ×	10 ×	10 ×	10 ×	10 †	10 †	10 †	10 †	10 †
6	10 × ≡	10 × ≡	Ci	2	Ci	1	Ci	1	1	1
7	10 × ≡	10 × ≡ †	10 × ≡ †	10 † ×	10 † ×	10 † × ≡	10 † × ≡	10 † × ≡	10 † × ≡	10 † × ≡
8	10 †	10 †	10 †	10 †	10 †	10 †	10 †	10 †	10 †	10 †
9	S-Cu, F-S } 9 ×	S-Cu, S } 10 ×	S-Cu } S, F-S } 10 ×	S-Cu } S, F-S } 9 ×	S-Cu } S, F-S } 8	S, F-S } 9	S } 10	S } 10	S } 10	10
10	10 † × ≡	10 † × ≡	10 † × ≡	10	10	10	10	10	10	10
11	8 × ≡	Ci, Ci-Cu } S, F-S } 7	Ci, Ci-S } Ci-Cu, S } 10	Ci, Ci-S } S } 6	Ci-S } S } 5	Ci-S } S } 3	Ci-S } S } 10	Ci, S } Ci-S } 3	Ci, S } Ci-S } 10	3
12	S } 10	S } 10	S } 10	S } 10	S } 10	S } 10	S } 10	Ci, A-S } 10	Ci, A-S } 10	10
13	Ci-S } Ci-Cu, S } 6	Ci } A-Cu, S-Cu } 8	Ci, A-Cu } 4 †	Ci, A-Cu } 4 †	S-Cu } A-Cu } 3 †	S-Cu } 8 †	S-Cu } 8 †	A-Cu, S-Cu } 7 †	A-Cu, S-Cu } 7 †	7 †
14	A-S } A-Cu, S-Cu } 10	Ci-S } A-S, S-Cu } 10	Ci-S, S-Cu } 10	Ci-S, S-Cu } 10	Ci, Ci-S } 10	Ci, S-Cu } 10	Ci, S-Cu } 10	Ci, S-Cu } 10	Ci, S-Cu } 10	10
15	0	Ci } 1	0	0	Ci } 1	Ci } 3	Ci } 3	Ci, S-Cu } 9	Ci, S-Cu } 9	9
16	Ci-S } Ci, A-Cu } 9	Ci-S } Ci, A-Cu } 9	Ci } 9	Ci } 9	Ci, A-Cu } 8	Ci, A-Cu } 7	Ci, A-Cu } 7	Ci, A-Cu } 10	Ci, A-Cu } 10	10
17	Ci-S } Ci, N } 10	Ci-S, N } 10	Ci-S } A-Cu, N } 9	Ci-S } A-Cu, N } 9	Ci-S } S-Cu, N } 10	F-N } 10	F-N } 10	Ci-S } Cu-N, N } 9	Ci-S } Cu-N, N } 9	9
18	Ci } S-Cu, Cu } 9	Ci-S } Ci, Cu } 3	Ci-S, A-Cu } Cu-N, Cu } 4	Ci-S, A-Cu } Cu-N, Cu } 4	Ci-S, A-Cu } Cu-N, N } 5	Ci-S } A-Cu } 9	Ci-S } A-Cu } 9	Ci-S } Cu-N, N } 9	Ci-S } Cu-N, N } 9	9
19	S-Cu, N } 9 Δ	S-Cu, N } 9	S-Cu, N } 9	S-Cu, N } 9	S-Cu, N } 9	S-Cu, N } 8	S-Cu, N } 8	Ci } S-Cu, N } 7	Ci } S-Cu, N } 7	7
20	0	0	0	0	Ci-Cu, A-Cu } 1	Ci, A-Cu } 3	Ci, A-Cu } 3	Ci, A-Cu } 3	Ci, A-Cu } 3	3
21	Ci, Ci-S } S-Cu, Cu } 10	Ci-S, A-Cu } 10	Ci-S } A-Cu, Cu } 10	Ci-S } A-Cu, Cu } 10	Ci, Cu } 10	Ci, Cu } 10	Ci, Cu } 10	Ci, Cu } 5	Ci, Cu } 5	5
22	A-Cu } 9	A-S, Cu-N } 10	A-Cu, Cu-N } 10	A-Cu, Cu-N } 10	A-Cu, Cu-N } 6	Cu-N } 2	Cu-N } 2	Ci-S, N } 9	Ci-S, N } 9	9
23	10	A-Cu, N } 9	A-Cu, N } 3	A-Cu, N } 3	A-Cu, N } 5	Ci-S, A-Cu } Cu, N } 7	Ci-S, A-Cu } Cu, N } 7	S-Cu, N } 9	S-Cu, N } 9	9
24	Ci } 7	Ci, Ci-S } S-Cu, S } 7	Ci, Ci-S } S-Cu, S } 5	Ci, Ci-S } S-Cu, S } 5	Ci, Ci-S } A-Cu, S } 9	Ci-S } A-Cu } 9	Ci-S } A-Cu } 9	Ci-S } S-Cu, S } 10	Ci-S } S-Cu, S } 10	10
25	Ci, S } 4	Ci-S } 2	Ci, S } 7	Ci, S } 7	Ci } A-S, S } 8	Ci } A-S, S } 10	Ci } A-S, S } 10	A-S } 10	A-S } 10	10
26	Ci-S, S-Cu } Cu, F-S } 9	S-Cu, S } 10	Cu, S } 10	Cu, S } 10	S } 10	S } 10	S } 10	S } 10	S } 10	10
27	Ci-S, Cu } 1	Ci-S, Cu } 1	Ci-S } A-Cu, Cu } 2	Ci-S } A-Cu, Cu } 2	Ci } 1	Ci } 1	Ci } 1	Ci, Ci-S } 5	Ci, Ci-S } 5	5
28	Ci, A-Cu } S-Cu, Cu } 7	Ci, A-Cu } S-Cu, Cu } 9	Cu, F-Cu } 2	Cu, F-Cu } 2	Ci-S } Cu, F-Cu } 2	Ci-S } A-Cu, Cu } 7	Ci-S } A-Cu, Cu } 7	Ci-S, A-Cu } S-Cu, N } 6	Ci-S, A-Cu } S-Cu, N } 6	6
29	S-Cu } Cu, N } 10	S-Cu } Cu, N } 10	S-Cu } Cu, N } 10	S-Cu } Cu, N } 10	S-Cu } Cu, N } 10	S-Cu } Cu, N } 9	S-Cu } Cu, N } 9	S-Cu, S } 10	S-Cu, S } 10	10
30	Ci } A-Cu, S-Cu } 8	Ci } A-Cu, S-Cu } 5	S-Cu } 1	S-Cu } 1	0	0	0	0	0	0
31	N } 10 × †	N } 10 ×	N } 10 ×	N } 10 ×	N } 10 ×	N } 10 × †	N } 10 × †	N } 10 × †	N } 10 × †	10 × †
Med.	7.8	7.7	6.7	6.7	7.4	7.4	7.4	7.5	7.5	7.5

Wolkenformen—Bewölkung—Hydrometeoren

1903 Oktober

7 p. m.		8 p. m.		9 p. m.		10 p. m.		11 p. m.		Mtn.	Med.	Dat.	
	9 †		9 †		10 †		10 †	A-Cu	9 †	N	7 †	9.4	1
A-S	0	Ci-S, S-Cu } N, F-N }			0 ≡		0	Ci-S, Ci-Cu	2	Ci-S, Ci-Cu	3	4.4	2
N, F-N	8			Ci-S } S-Cu, N }	9	Ci-S } A-Cu, S-Cu }	7	Ci-S } A-Cu, S-Cu }	8 ×	Ci-S } A-Cu, S-Cu }	8 †	8.8	3
Ci-S, N	10		Ci-S, N	10			Ci-S, N	10		10 ≡	7.9	4	
	10 †		10 †		10 †		10 †		10 †		10 ×	9.9	5
	1	Ci, S-Cu	1	Ci-S, N	2	Ci-S, F-S	3	N, F-S	6 †	Ci-S } S-Cu, F-S }	7	6.9	6
	10 † × ≡		10 †		10 †		10 †	10 †	10 †		10 †	9.3	7
	10 †		10 †		10 †		10 † ×		10 † ×		10 † ×	10.0	8
S	10 †	S	10	S	10	S	10 ≡	S	10		10	9.8	9
	10		10		10		10		10 ×		10 ×	10.0	10
S, F-S	6	S	1	S	1		0		0		0	6.6	11
Ci-S	10	Ci-S	9	Ci, Ci-S	4		1 ≡		0 ⊥		0 ⊥	7.2	12
Ci, A-S	6	Ci, A-S	2		0		0		0		0	2.3	13
A-Cu, S-Cu	10	S-Cu	10		10		9 ⊙		9 ⊙	Ci-S	4	8.2	14
Ci, S-Cu	9	Ci, S-Cu	9	S-Cu, N	10		10		10		9	4.5	15
Ci, S-Cu	10	Ci, S-Cu	10	Ci, S-Cu	10		3		2		5	8.3	16
Ci-S, A-Cu	9	Ci-S, A-Cu	9	Ci-S, A-Cu	9		9		9		9	7.2	17
Cu-N, N	7	Cu-N, N	7	Cu-N, N	6	Ci-S, N	4		6		4	4.9	18
Ci-S	5	Ci-S	3	Ci-S	3		4		1		0	6.6	19
Cu-N, N	2	Cu-N, N	3	Cu-N, N	4		1	Ci, S-Cu	3		3	1.2	20
S-Cu, N	4	S-Cu, S	5	A-Cu, S	5		2		2		0	7.1	21
Ci, A-Cu	0	Ci, Cu	1	Ci	1		0		0		0	4.6	22
Ci	7	Ci	10	Ci	10		5		2		2	8.2	23
A-Cu, N	10	N, S	10	N, S	7		1	S	1		1	6.9	24
A-S, S	10	A-S, S	10	A-S, S	10	A-S, N	10	S	10	S	6	6.6	25
A-S	4	A-S	7	A-S	9		10 ≡	N	10 ≡	N, S	10 ≡	9.0	26
Ci, A-Cu	7	S, F-S	4	S, F-S	2	Ci-S, S-Cu	2	Ci-S, S-Cu	3	Ci-S	7	4.6	27
S, F-S	8	Ci-S	5	Ci-S, A-Cu	10	A-Cu	9	A-Cu	9	Ci, S-Cu } Ci, S-Cu }	8	7.4	28
Ci-S	9 ≡	A-Cu } S-Cu, N }	10	A-Cu } S-Cu, N }	10	A-Cu } S-Cu, N }	10	A-Cu } Cu-N, N }	9	A-Cu } Cu-N, N }	10 ×	8.5	29
A-Cu, S	1	S-Cu, N	2	S-Cu, N	2		2	S-Cu, N	5	Ci-S	5	4.5	30
Ci-S	10 × †	Ci-S	10 × †	Ci-S	10 × †		10 × †	Ci-S	10 × †		10 × †	9.7	31
N	7.2	N	7.0	N	6.9		5.9		6.0		5.7	7.1	Med.

Wolkenformen—Bewölkung—Hydrometeoren

November 1903

Dat.	1 a. m.		2 a. m.		3 a. m.		4 a. m.		5 a. m.		6 a. m.		
1		10 †*		10 †*		10 †*		(10) †		10 †		10 †	
2		0		0		Ci, Ci-S	2	Ci	3	Ci-Cu, S-Cu	6	Ci, Ci-Cu	4
3		Ci 2		(5)		Ci	8		(8)	Ci	8	Ci	5
4		Ci A-S, A-Cu } 2		(5)		Ci-Cu } Ci, A-Cu }	4		(5)	Ci, A-Cu	6	Ci, A-Cu	5
5		S-Cu, S } 7		(3)		A-Cu, S-Cu }	3		(2)	S	1	S	1 =
6		A-S, N } 10		(10)		Ci-Cu } A-S, N }	10		(9)	Ci } S-Cu, N }	9	A-S, S-Cu } Ci-Cu }	10
7		Ci } 4		(4)		Ci	4		(7)	Ci, A-Cu	9	Ci, A-Cu } 9	
Med		5.0		5.2		5.8		6.3		7.0		6.3	
Dat.	1 p. m.		2 p. m.		3 p. m.		4 p. m.		5 p. m.		6 p. m.		
1		1		0		0		0		0		0	
2		Ci, A-Cu } 7		Ci, A-Cu } 7		Ci } Ci-S } A-S, Cu }	9		Ci } Ci-S, Ci-Cu } A-S, A-Cu }	10		Ci-S, A-S } A-Cu, N }	10
3		Ci-S, A-S } 7		A-S, Cu } 9		A-S, Cu } 9						Ci-S, A-S } A-Cu, N }	10
4		Ci, Ci-S } A-Cu, S-Cu } 9		Ci-S } A-S, S-Cu } 10		A-S } S-Cu, S }	10					N, F-N } A-S, N }	9 *
5		Ci-S, F-S } 6		Ci-S } 10		Ci-S, A-S }	10		A-S, N } 10 =		A-S, N } 10 =		A-S, N } 10
6		A-Cu } 1		A-Cu } 0		0		0		0		0	
7		Ci, Ci-S } 9		Ci, Ci-S } 8		Ci, Ci-S } 8		Ci, Ci-S } 8		Ci, Ci-S } 2		Ci } 2	
Med		5.7		6.3		6.0		5.5		4.5		4.4	

Wolkenformen—Bewölkung—Hydrometeoren

1903 November

7 a. m.		8 a. m.		9 a. m.		10 a. m.		11 a. m.		Mittg.	Dat.		
	10 ↗		10 ↗		10 ↗		10 ↗		10 ↗		3 ↗	1	
Ci, Ci-Cu	4	Ci, S	3	Ci, S	3	S-Cu	6	S-Cu	7	Ci	7	2	
Ci, Ci-Cu	5	Ci, S	5	Ci, S	6	Ci, A-Cu	6	Ci	7	Ci	7	3	
Ci, A-Cu	7	Ci	5	Ci	6	Ci	6	Ci-S	5	Ci-S	5	4	
S, F-S	9	A-Cu, S-Cu } S	10	A-Cu, S-Cu } S	7	A-S, S-Cu } S	8	Ci, S-Cu	7	A-Cu, S-Cu } S, F-S	8	5	
Ci, A-Cu } S-Cu, S }	8	A-Cu, S-Cu } Ci-S	8	Ci-S	3		1		0		0	6	
Ci, A-Cu	8	Ci, Ci-Cu }	8	Ci, Ci-Cu }	8	Ci, Ci-S	10	Ci, Ci-S	8	Ci, Ci-S	10	7	
	7.3		7.3		6.7		7.3		6.5		5.8	Med.	
7 p. m.		8 p. m.		9 p. m.		10 p. m.		11 p. m.		Mittn.	Med.	Dat.	
	0		0		0		0		0		4.7	1	
A-S } A-Cu, N }	10	A-S, N } A-Cu, N }	10	A-S, N	10	A-S	1	A-S	2		2	2.9	2
A-Cu, N	5	A-Cu } N, S }	7	A-Cu } N, S }	9	A-S, N	9	A-S, N	8	A-S, A-Cu	6	7.4	3
A-S, N	10	A-S, N	10	A-S, N	10	A-Cu, S-Cu } N, S }	8	A-Cu } S-Cu, S }	9	Ci-S, A-Cu } S-Cu, S }	10	7.5	4
	0		0		0	A-S, N	10	A-S, N	10	A-S, N	10	7.7	5
Ci	2	Ci	1		1		0		0		1	3.3	6
							0		0		0	5.4	7
	3.9		4.0		4.3		4.0		4.1		4.1	5.2	Med.



TAB. VI.

SONNENSCHHEIN

Sonnenscheindauer

März 1902

Dat.	5 a. m.	6 a. m.	7 a. m.	8 a. m.	9 a. m.	10 a. m.	11 a. m.	Mittg.	1 p. m.	2 p. m.	3 p. m.
1
2
3
4
5
6
7
8
9
10
11
12
13
14
15
16
17
18
19
20
21
22	0.05	.	0.05	1.00
23	.	.	.	0.15	0.30	.	0.40	1.00	1.00	1.00	1.00
24	.	.	.	0.60	1.00	1.00	1.00	1.00	1.00	1.00	1.00
25	.	.	.	0.30	.	0.55	1.00	1.00	1.00	0.95	0.85
26	.	.	.	0.40	1.00	1.00	1.00	1.00	1.00	0.85	.
27	0.75	1.00	1.00	1.00	0.95
28	0.60	0.65	1.00	1.00	1.00
29
30	0.75	1.00	1.00	0.95	0.15	.
31	0.05	0.50	0.10
Sum	.	.	.	1.45	2.30	3.30	5.75	6.70	7.00	6.50	5.90

Sonnenscheindauer

1902 März

4 p. m.	5 p. m.	6 p. m.	7 p. m.	8 p. m.	9 p. m.	Sonnenschein in Stunden	Tageslänge in Stunden	Sonnen- aufgang h. m.	Sonnen- untergang h. m.	Dat.
.	1
.	2
.	3
.	4
.	5
.	6
.	7
.	8
.	9
.	10
.	11
.	12
.	13
.	14
.	15
.	16
.	17
.	18
.	19
.	20
.	21
0.85	1.95	9.30	7.41	5.00	22
1.00	0.05	5.90	9.25	7.41	4.57	23
0.80	8.40	9.20	7.42	4.53	24
0.95	6.60	8.75	8.03	4.49	25
.	6.25	8.65	8.07	4.46	26
.	4.70	8.60	8.06	4.43	27
0.80	5.05	8.55	8.06	4.39	28
.	8.50	8.06	4.35	29
.	3.85	8.40	8.06	4.31	30
0.05	0.70	8.40	8.05	4.28	31
4.45	0.05	43.40	87.60	.	.	Sum
						$\frac{\text{Sonnenscheindauer}}{\text{Tageslänge}} = 0.495$				

Sonnenscheindauer

April 1902

Dat.	5 a. m.	6 a. m.	7 a. m.	8 a. m.	9 a. m.	10 a. m.	11 a. m.	Mittg.	1 p. m.	2 p. m.	3 p. m.
1
2	0.30	.	.	0.05	0.10	.	.
3	0.30
4
5
6	0.45	1.00	1.00	1.00	1.00	0.75
7	0.50	0.90	0.40	0.35	.	.
8	.	.	.	0.30	0.40	1.00	1.00	1.00	1.00	1.00	1.00
9
10	.	.	.	0.30	1.00	1.00	1.00	1.00	1.00	1.00	0.70
11	0.10	0.80	0.65	0.30	0.40	0.50
12	.	.	.	0.10	1.00	0.15
13	.	.	.	0.15	1.00	1.00	1.00	1.00	0.65	.	.
14
15
16	.	.	.	0.15	1.00	1.00	1.00	1.00	1.00	1.00	1.00
17	0.05	0.95	0.85	0.10	0.40
18
19
20	.	.	.	0.30	1.00	0.90	0.80
21	0.20	0.30	1.00	0.85	.
22	.	.	.	0.15	0.45	.	0.30	1.00	1.00	0.75	0.25
23
24
25
26	0.30	0.90	0.85	0.20
27	0.65	0.50	0.25
28	0.85	1.00	1.00	1.00	1.00	1.00	0.20
29	0.80	1.00	1.00	1.00	1.00	0.95	.
30	0.90	0.35	.	.	.
Sum	.	.	.	1.45	7.80	8.10	11.25	11.00	11.80	9.40	5.25
Tage ohne Sonnenschein = 11											

Sonnenscheindauer

1902 April

4 p. m.	5 p. m.	6 p. m.	7 p. m.	8 p. m.	9 p. m.	Sonnenschein in Stunden	Tageslänge in Stunden	Sonnen- aufgang	Sonnen- untergang	Dat.
								h. m.	h. m.	
.	8.30	8.05	4.24	1
.	0.45	8.25	8.06	4.20	2
.	0.30	8.15	8.08	4.17	3
.	8.05	8.09	4.13	4
.	7.95	8.11	4.09	5
.	5.20	7.90	8.12	4.06	6
.	2.15	7.85	8.12	4.02	7
0.25	6.95	7.75	8.12	3.58	8
.	7.70	8.13	3.55	9
.	7.00	7.65	8.13	3.52	10
.	2.75	7.60	8.13	3.48	11
.	1.25	7.50	8.14	3.45	12
.	4.80	7.45	8.14	3.42	13
.	7.40	8.14	3.38	14
.	7.35	8.14	3.34	15
.	7.15	7.25	8.15	3.31	16
.	2.35	7.20	8.15	3.28	17
.	7.10	8.18	3.24	18
.	6.95	8.20	3.18	19
.	3.00	6.85	8.23	3.14	20
.	2.35	6.75	8.26	3.10	21
.	3.90	6.60	8.29	3.05	22
.	6.50	8.31	3.00	23
.	6.35	8.34	2.55	24
.	6.25	8.36	2.51	25
.	2.25	6.20	8.38	2.49	26
.	1.40	6.10	8.40	2.46	27
.	6.05	6.05	8.40	2.44	28
.	5.75	5.95	8.43	2.40	29
.	1.25	5.85	8.46	2.38	30
0.25	66.30	214.80			Sum
						Sonnenscheindauer Tageslänge = 0.309				

Sonnenscheindauer

Mai 1902

Dat.	8 a. m.	9 a. m.	10 a. m.	11 a. m.	Mittg.	1 p. m.	2 p. m.	3 p. m.	Sonnenschein in Stunden	Tageslänge in Stunden	Sonnen- aufgang	Sonnen- untergang	Dat.
											h. m.	h. m.	
1	5-75	8.49	2.35	1
2	5-70	8.52	2.33	2
3	5-60	8.54	2.30	3
4	.	.	0.30	1.00	1.00	1.00	0.80	.	4.10	5-55	8.55	2.28	4
5	.	0.40	1.00	1.00	1.00	1.00	0.75	.	5-15	5-45	8.57	2.24	5
6	.	0.40	1.00	1.00	1.00	1.00	0.75	.	5-15	5-35	8.59	2.21	6
7	0.05	0.60	.	0.65	5-30	9.00	2.17	7
8	5-20	9.02	2.14	8
9	.	.	0.25	1.00	1.00	1.00	0.60	.	3.85	5-05	9.05	2.09	9
10	.	.	0.05	0.05	4-95	9.09	2.06	10
11	4-85	9.12	2.04	11
12	.	0.05	1.00	1.00	1.00	0.85	.	.	3.90	4-85	9.12	2.02	12
13	.	0.20	1.00	1.00	1.00	0.95	0.35	.	4.50	4-80	9.13	2.00	13
14	4-75	9.13	1.58	14
15	4-70	9.14	1.56	15
16	4-65	9.14	1.53	16
17	4-60	9.15	1.50	17
18	0.50	0.40	.	.	0.90	4-55	9.15	1.49	18
19	4-50	9.16	1.45	19
20	4-45	9.16	1.42	20
21	4-40	9.17	1.40	21
22	4-30	9.20	1.39	22
23	4-25	9.24	1.39	23
24	4-20	9.27	1.39	24
25	4-15	9.30	1.38	25
26	4-15	9.30	1.38	26
27	4-10	9.32	1.37	27
28	4.00	9.35	1.36	28
29	4.00	9.37	1.36	29
30	3.90	9.40	1.35	30
31	.	.	.	0.60	0.95	0.90	.	.	2.45	3.85	9.42	1.34	31
Saa	.	1.50	4.60	6.60	7.45	7.15	3.85	.	30.70	145.90			Saa
Tage ohne Sonnenschein = 21										$\frac{\text{Sonnenscheindauer}}{\text{Tageslänge}} = 0.206$			

Sonnenscheindauer

1902 Juni

Dat.	8 a. m.	9 a. m.	10 a. m.	11 a. m.	Mittg.	1 p. m.	2 p. m.	3 p. m.	Sonnenschein in Stunden	Tageslänge in Stunden	Sonnen- aufgang	Sonnen- untergang	Dat.
										h. m.	h. m.	h. m.	
1	3.80	9.45	1.34	1
2	3.75	9.48	1.34	2
3	3.70	9.50	1.33	3
4	3.65	9.53	1.33	4
5	3.60	9.55	1.32	5
6
7	3.55	9.58	1.30	6
8	3.45	10.00	1.28	7
9	3.40	10.02	1.27	8
10	3.35	10.04	1.25	9
11	3.30	10.06	1.23	10
12	.	.	.	0.60	0.10	.	.	.	0.70	3.20	10.08	1.21	11
13	.	.	.	0.95	1.00	0.80	.	.	2.75	3.15	10.10	1.19	12
14	.	.	.	0.70	0.10	.	.	.	0.80	3.10	10.11	1.18	13
15	3.05	10.13	1.16	14
16	3.00	10.14	1.14	15
17	2.95	10.16	1.12	16
18	2.90	10.17	1.10	17
19	2.85	10.19	1.10	18
20	2.80	10.20	1.09	19
21	2.80	10.20	1.08	20
22	.	.	.	0.50	0.10	.	.	.	0.60	2.75	10.21	1.07	21
23	2.75	10.21	1.06	22
24	2.80	10.21	1.08	23
25	2.80	10.21	1.09	24
26	2.85	10.20	1.10	25
27
28	0.50	.	.	.	0.50	2.85	10.20	1.11	26
29	2.90	10.20	1.13	27
30	2.95	10.19	1.15	28
31	3.00	10.18	1.17	29
31	3.05	10.17	1.19	30
Sum	.	.	.	2.75	1.80	0.80	.	.	5.35	94.05			Sum
Tage ohne Sonnenschein = 25										Sonnenscheindauer = 0.057			
										Tageslänge			

Sonnenscheindauer

Juli 1902

Dat.	8 a. m.	9 a. m.	10 a. m.	11 a. m.	Mtg.	1 p. m.	2 p. m.	3 p. m.	Sonnenschein in Stunden	Tageslänge in Stunden	Sonnen- aufgang	Sonnen- untergang	Dat.
										h. m.	h. m.	h. m.	
1	3-10	10-15	1-21	1
2	3-15	10-14	1-24	2
3	0.65	0.90	.	.	1.55	3-20	10-13	1-26	3
4	.	.	.	0.45	1.00	1.00	.	.	2.45	3-30	10-11	1-28	4
5	.	.	.	0.25	0.85	0.70	.	.	1.80	3-35	10-10	1-30	5
6	3-40	10-08	1-32	6
7	3-45	10-07	1-34	7
8	3-55	10-05	1-37	8
9	3-60	10-03	1-39	9
10	0.10	0.10	.	0.20	3-65	10-00	1-40	10
11	3-70	9-58	1-40	11
12	.	.	.	0.45	0.55	.	.	.	1.00	3-75	9-55	1-41	12
13	3-80	9-53	1-42	13
14	3-85	9-51	1-43	14
15	3-95	9-48	1-44	15
16	4-00	9-46	1-45	16
17	4-00	9-44	1-45	17
18	4-10	9-41	1-46	18
19	4-15	9-39	1-47	19
20	4-15	9-39	1-47	20
21	4-20	9-36	1-48	21
22	4-25	9-33	1-49	22
23	4-30	9-30	1-49	23
24	0.90	1.00	0.10	.	2.00	4-40	9-27	1-50	24
25	4-45	9-26	1-52	25
26	.	.	.	0.40	1.00	1.00	0.30	.	2.70	4-45	9-26	1-54	26
27	.	.	0.10	1.00	1.00	1.00	0.40	.	3.50	4-55	9-25	1-57	27
28	4-55	9-25	1-59	28
29	4-60	9-24	2-01	29
30	4-65	9-24	2-04	30
31	4-70	9-23	2-06	31
Sta	.	.	0.10	2.55	5.95	5.70	0.90	.	15.20	122.30			Sta
Tage ohne Sonnenschein = 23										$\frac{\text{Sonnenscheindauer}}{\text{Tageslänge}} = 0.124$			

Sonnenscheindauer

1902 Augusti

Dat.	8 a. m.	9 a. m.	10 a. m.	11 a. m.	Mttg.	1 p. m.	2 p. m.	3 p. m.	Sonnenschein in Stunden	Tageslänge in Stunden	Sonnenschein		Dat.
											h. m.	h. m.	
1	.	.	0.80	1.00	1.00	1.00	0.60	.	4.40	4.75	9.23	2.08	1
2	4.80	9.22	2.11	2
3	.	0.05	0.50	0.60	0.05	0.10	.	.	1.30	4.85	9.22	2.13	3
4	4.95	9.19	2.16	4
5	.	0.05	0.35	.	0.15	.	.	.	0.55	5.05	9.15	2.19	5
6	5.20	9.12	2.23	6
7	.	0.35	1.00	1.00	0.75	.	.	.	3.10	5.25	9.10	2.26	7
8	.	0.40	1.00	1.00	1.00	1.00	0.70	.	5.10	5.35	9.08	2.30	8
9	5.45	9.06	2.32	9
10	5.55	9.04	2.36	10
11	5.60	9.02	2.38	11
12	.	0.50	1.00	1.00	1.00	1.00	1.00	0.20	5.70	5.70	9.00	2.41	12
13	.	.	.	0.35	0.10	.	0.15	0.10	0.70	5.80	8.56	2.43	13
14	.	.	0.25	1.00	1.00	1.00	0.45	.	3.70	5.90	8.53	2.46	14
15	6.00	8.49	2.48	15
16	.	0.30	1.00	1.00	1.00	0.45	0.80	0.25	4.80	6.05	8.46	2.50	16
17	6.10	8.46	2.52	17
18	.	.	.	0.30	1.00	0.60	.	.	1.90	6.15	8.46	2.55	18
19	.	0.75	1.00	1.00	1.00	1.00	1.00	0.05	5.80	6.20	8.44	2.57	19
20	.	.	.	0.60	0.30	.	.	.	0.90	6.30	8.41	3.00	20
21	6.40	8.39	3.04	21
22	.	0.90	1.00	1.00	1.00	0.90	0.40	0.60	5.80	6.55	8.36	3.08	22
23	.	0.40	0.40	6.65	8.32	3.12	23
24	.	1.00	1.00	1.00	0.85	1.00	1.00	0.70	6.55	6.75	8.29	3.15	24
25	0.05	1.00	1.00	1.00	1.00	1.00	1.00	0.80	6.85	6.85	8.26	3.18	25
26	0.10	.	0.10	7.00	8.23	3.22	26
27	7.10	8.19	3.26	27
28	0.25	1.00	1.00	1.00	1.00	1.00	1.00	0.95	7.20	7.20	8.16	3.29	28
29	.	0.15	.	.	0.40	.	.	.	0.55	7.30	8.15	3.32	29
30	.	.	0.35	1.00	1.00	1.00	1.00	0.25	4.60	7.35	8.14	3.35	30
31	.	.	0.25	0.80	0.90	0.25	1.00	1.00	4.20	7.40	8.14	3.38	31
Sum	0.30	6.85	11.50	14.65	14.50	11.30	10.20	4.90	74.20	187.55			Sum
Tage ohne Sonnenschein = 10										$\frac{\text{Sonnenscheindauer}}{\text{Tageslänge}} = 0.396$			

Sonnenscheindauer

September 1902

Dat.	5 a. m.	6 a. m.	7 a. m.	8 a. m.	9 a. m.	10 a. m.	11 a. m.	Mttg.	1 p. m.	2 p. m.	3 p. m.
1	.	.	.	0.30	1.00	1.00	1.00	1.00	1.00	0.20	.
2	.	.	.	0.25	1.00	1.00	1.00	1.00	1.00	1.00	1.00
3	.	.	.	0.25	1.00	0.40	0.60	0.70	0.45	0.10	.
4	0.20	.	.
5
6	.	.	.	0.25	1.00	1.00	1.00	1.00	1.00	1.00	1.00
7	0.90	1.00	1.00	0.90	1.00	1.00	1.00
8	0.35	0.90	1.00	1.00	0.60	0.55	.
9	0.90	1.00	1.00
10	0.65	1.00	1.00	1.00	1.00	1.00	1.00
11	0.60	1.00	1.00	1.00	1.00	1.00	1.00
12	0.10	.	.	.
13	0.30	0.75	1.00	0.95	.	.	.
14	.	.	.	0.40	1.00	1.00	1.00	0.95	0.90	0.35	.
15	0.20	.	0.50	0.65	0.95	1.00	0.90
16	0.10	0.80
17	0.30	.	.	.	0.05	.
18	0.20
19
20	0.35
21
22
23	0.35	0.90	0.70	1.00	1.00	1.00	0.35
24
25
26
27
28
29	.	.	.	0.80	1.00	1.00	1.00	1.00	1.00	1.00	1.00
30	0.10	.	0.05	.	0.55	0.05	.
Sum	.	.	.	2.25	9.75	12.05	11.85	12.25	12.55	10.30	8.60
Tage ohne Sonnenschein = 9											

Sonnenscheindauer

1902 September

4 p. m.	5 p. m.	6 p. m.	7 p. m.	8 p. m.	9 p. m.	Sonnenschein in Stunden	Tageslänge in Stunden	Sonnen- aufgang	Sonnen- untergang	Dat.
.	5:50	7:45	h. m.	h. m.	1
0.15	7:40	7:55	8.13	3:40	2
.	3:50	7:60	8.11	3:47	3
.	0:20	7:65	8.10	3:49	4
.	7:70	8.09	3:52	5
0.30	7:55	7:75	8.09	3:55	6
.	6:80	7:85	8.08	3:58	7
.	4:40	7:90	8.07	4:01	8
0.50	3:40	8.00	8.05	4:05	9
0.35	7:00	8.05	8.03	4:07	10
0.45	7:05	8.15	8.01	4:10	11
.	0:10	8:25	7:59	4:14	12
.	3:00	8:40	7:57	4:16	13
.	5:60	9:20	7:54	5:06	14
0.20	4:40	9:30	7:51	5:09	15
.	0:90	9:40	7:48	5:12	16
.	0:35	9:55	7:43	5:16	17
.	0:20	9:70	7:37	5:18	18
.	9:75	7:36	5:22	19
0.45	0:80	9:85	7:35	5:26	20
.	9:95	7:32	5:28	21
.	10.00	7:31	5:32	22
.	5:30	10.10	7:30	5:35	23
.	10.15	7:29	5:37	24
.	10.20	7:29	5:40	25
.	10.25	7:29	5:43	26
.	10.30	7:27	5:45	27
.	10.35	7:27	5:48	28
1.00	0.90	9:70	10.40	7:27	5:51	29
.	0:75	10.45	7:26	5:53	30
3.40	0.90	83.90	271.20			Sta
						$\frac{\text{Sonnenscheindauer}}{\text{Tageslänge}} = 0.309$				

Sonnenscheindauer

Oktober 1902

Dat.	5 a. m.	6 a. m.	7 a. m.	8 a. m.	9 a. m.	10 a. m.	11 a. m.	Mittg.	1 p. m.	2 p. m.	3 p. m.
1	.	.	.	0.90	1.00	1.00	0.70
2	.	.	.	0.90	1.00	1.00	1.00	1.00	1.00	1.00	1.00
3	.	.	.	0.75	1.00	0.70	0.20	0.20	.	.	0.40
4	.	.	.	0.55	0.30	.	0.75	0.15	0.30	.	.
5
6	0.15	0.90	1.00	0.95
7	.	.	.	0.35	0.60	1.00	1.00	1.00	1.00	1.00	1.00
8	0.40	1.00	1.00	1.00	0.95	.	0.25
9	0.35	0.80	1.00	1.00	1.00	1.00	0.75
10	0.95	1.00	1.00	0.40	0.45	.	.
11
12	0.65	1.00	1.00	0.95
13	.	.	0.10	0.65
14
15
16	.	.	0.10	0.45	0.95	0.40	0.90
17
18	.	.	0.20	1.00	1.00	1.00	1.00	1.00	1.00	1.00	1.00
19	0.30
20
21	0.10	1.00	1.00	1.00	1.00	0.95	0.05
22	.	.	0.25	0.20	0.75	.	.	.	0.10	.	.
23
24
25
26
27
28
29
30	0.45	0.40
31
Sum			0.65	5.30	7.45	8.50	8.65	8.00	9.65	7.80	7.95
Tage ohne Sonnenschein = 13											

Sonnenscheindauer

1902 Oktober

4 p. m.	5 p. m.	6 p. m.	7 p. m.	8 p. m.	9 p. m.	Sonnenschein in Stunden	Tageslänge in Stunden	Sonnen- aufgang	Sonnen- untergang	Dat.
.	3.60	10.55	h. m. 7.24	h. m. 5.56	1
1.00	0.20	9.10	10.60	7.22	5.59	2
1.00	1.00	0.20	.	.	.	5.45	10.70	7.20	6.01	3
.	2.05	10.75	7.18	6.04	4
.	10.85	7.16	6.07	5
1.00	0.60	4.60	10.95	7.12	6.10	6
1.00	1.00	0.70	.	.	.	9.65	11.05	7.10	6.13	7
1.00	0.05	5.65	11.15	7.07	6.17	8
0.10	0.90	0.40	.	.	.	7.30	11.25	7.05	6.20	9
.	3.80	11.35	7.03	6.23	10
.	0.60	0.60	11.40	7.02	6.26	11
0.60	0.50	0.45	.	.	.	5.15	11.50	7.01	6.30	12
.	0.75	11.55	7.00	6.33	13
.	11.60	6.58	6.34	14
.	11.70	6.58	6.39	15
0.30	0.40	3.50	11.75	6.57	6.42	16
.	11.80	6.56	6.45	17
1.00	1.00	10.20	11.90	6.54	6.47	18
0.10	0.40	11.95	6.53	6.50	19
.	12.00	6.52	6.53	20
.	5.10	12.10	6.51	6.56	21
.	1.30	12.15	6.50	6.58	22
.	12.20	6.49	7.01	23
.	12.25	6.48	7.03	24
.	12.30	6.47	7.05	25
.	12.35	6.46	7.08	26
.	12.45	6.45	7.11	27
.	12.45	6.45	7.13	28
.	12.55	6.44	7.16	29
1.00	0.95	0.25	.	.	.	3.05	12.60	6.43	7.19	30
.	12.65	6.42	7.21	31
8.10	7.20	2.00	.	.	.	81.25	362.40	.	.	S:a
Sonnenscheindauer Tageslänge = 0.224										

Sonnenscheindauer

November 1902

Dat.	5 a. m.	6 a. m.	7 a. m.	8 a. m.	9 a. m.	10 a. m.	11 a. m.	Mittg.	1 p. m.	2 p. m.	3 p. m.
1	0.50	1.00	0.95	0.10
2
3	0.05	0.55	.	0.70
4	.	.	.	0.40	1.00	1.00	1.00	1.00	1.00	1.00	1.00
5	0.40	0.85	0.80	1.00	0.45
6
7	.	.	0.50	1.00	1.00	1.00	1.00	1.00	1.00	1.00	1.00
8	0.15	.	0.30	0.25
9	.	.	0.65	0.80	0.25	1.00	0.90	1.00	1.00	0.80	1.00
10
11
12	0.55	.	0.10	0.15	0.05
13
14	0.15	0.90	1.00	1.00
15
16
17	.	.	.	0.15	1.00	1.00	1.00	1.00	1.00	1.00	1.00
18
19	0.70	1.00
20	0.20	.
21
22	0.10
23
24
25	.	0.35	0.80	0.75	1.00	1.00	1.00	1.00	1.00	1.00	1.00
26	0.55	.	.	.
27
28	.	0.15	1.00	0.45	0.70	1.00	1.00	1.00	1.00	1.00	1.00
29
30
Sta	.	0.50	2.95	3.55	4.95	6.10	6.85	8.25	9.35	10.10	9.55
Tage ohne Sonnenschein = 13											

Sonnenscheindauer

1902 November

4 p. m.	5 p. m.	6 p. m.	7 p. m.	8 p. m.	9 p. m.	Sonnenschein in Stunden	Tageslänge in Stunden	Sonnen- aufgang	Sonnen- untergang	Dat.
								h. m.	h. m.	
.	0.10	2.65	12.70	6.42	7.24	1
.	12.75	6.41	7.26	2
0.25	1.55	12.80	6.40	7.29	3
1.00	0.95	9.35	12.90	6.37	7.32	4
0.60	0.05	0.05	.	.	.	4.20	13.00	6.34	7.34	5
.	.	0.05	0.60	.	.	0.65	13.10	6.31	7.37	6
1.00	1.00	0.70	.	.	.	11.20	13.20	6.27	7.39	7
.	0.70	13.30	6.24	7.42	8
1.00	1.00	0.95	0.35	.	.	10.70	13.40	6.21	7.44	9
.	13.50	6.18	7.47	10
.	13.55	6.15	7.49	11
.	0.85	13.65	6.12	7.51	12
.	13.75	6.08	7.53	13
1.00	1.00	5.05	13.85	6.05	7.55	14
.	13.90	6.03	7.58	15
.	14.00	6.00	8.00	16
1.00	1.00	1.00	0.50	.	.	10.65	14.05	5.59	8.02	17
.	14.10	5.58	8.05	18
0.75	0.70	0.30	.	.	.	3.45	14.15	5.58	8.07	19
.	0.20	14.20	5.57	8.10	20
.	14.25	5.57	8.12	21
.	0.10	14.30	5.56	8.14	22
.	14.35	5.55	8.16	23
.	14.40	5.55	8.18	24
1.00	1.00	1.00	0.75	0.20	.	12.85	14.40	5.54	8.18	25
.	0.55	14.45	5.53	8.19	26
.	14.45	5.52	8.19	27
0.40	1.00	1.00	0.50	.	.	11.20	14.45	5.53	8.21	28
.	14.50	5.52	8.22	29
.	14.50	5.51	8.22	30
8.00	7.80	5.05	2.70	0.20	.	85.90	413.90	.	.	
$\frac{\text{Sonnenscheindauer}}{\text{Tageslänge}} = 0.208$										

Sonnenscheindauer

December 1902

Dat.	5 a. m.	6 a. m.	7 a. m.	8 a. m.	9 a. m.	10 a. m.	11 a. m.	Mittg.	1 p. m.	2 p. m.	3 p. m.
1
2	.	0.55	1.00	1.00	1.00	1.00	1.00	1.00	0.65	0.05	0.40
3	.	0.55	1.00	1.00	1.00	1.00	1.00	1.00	1.00	1.00	1.00
4	.	0.60	1.00	1.00	1.00	1.00	1.00	1.00	1.00	1.00	0.80
5	0.60
6	0.65	0.75	0.45	.
7	.	0.70	1.00	1.00	0.65	1.00	1.00	1.00	1.00	1.00	1.00
8	.	0.70	1.00	1.00	1.00	0.30	0.25	0.80	0.25	0.40	0.05
9
10	0.10
11
12
13
14
15	0.50	0.85
16
17	.	0.70	.	.	0.15	0.60
18	.	0.70	1.00	1.00	0.95	1.00	1.00	1.00	1.00	1.00	0.75
19	0.40	.	0.05	.	.	0.20	0.75
20
21	0.40	.	.	.	0.60	1.00	0.95
22
23
24	.	0.60	1.00	1.00	1.00	1.00	1.00	1.00	1.00	1.00	1.00
25	.	0.60	1.00	1.00	1.00	1.00	1.00	1.00	1.00	1.00	1.00
26	.	0.60	1.00	1.00	0.55	0.25
27
28	.	.	0.10	1.00	1.00	1.00	1.00	1.00	1.00	1.00	1.00
29	.	0.20	1.00	1.00	1.00	1.00	1.00	1.00	1.00	0.70	0.10
30	0.80	0.90	0.90	0.95	0.20	.	.
31	0.80	1.00	1.00	1.00	0.85	0.35	1.00
Sum	.	6.50	10.10	11.00	12.70	12.05	11.20	12.40	11.30	10.65	11.35
Tage ohne Sonnenschein = 9											

Sonnenscheindauer

1902 December

4 p. m.	5 p. m.	6 p. m.	7 p. m.	8 p. m.	9 p. m.	Sonnenschein in Stunden	Tageslänge in Stunden	Sonnen- aufgang	Sonnen- untergang	Dat.
								h. m.	h. m.	
.	0.80	1.00	0.90	.	.	2.70	14.55	5.51	8.24	1
0.55	8.20	14.55	5.50	8.24	2
1.00	1.00	1.00	1.00	0.10	.	13.65	14.60	5.51	8.26	3
.	9.40	14.60	5.50	8.26	4
0.65	1.25	14.60	5.50	8.27	5
.	.	.	0.50	.	.	2.35	14.60	5.51	8.28	6
1.00	0.80	0.20	.	.	.	11.35	14.65	5.50	8.29	7
.	5.75	14.65	5.51	8.30	8
.	14.65	5.50	8.30	9
.	0.10	14.70	5.50	8.31	10
.	.	0.25	0.20	.	.	0.45	14.70	5.50	8.32	11
.	14.70	5.50	8.32	12
.	14.70	5.51	8.33	13
.	14.70	5.50	8.33	14
1.00	0.95	0.80	0.30	.	.	4.40	14.70	5.51	8.34	15
.	14.75	5.50	8.35	16
0.15	.	.	0.05	.	.	1.65	14.75	5.51	8.36	17
1.00	0.10	10.50	14.75	5.51	8.36	18
1.00	1.00	0.90	.	.	.	4.30	14.75	5.51	8.37	19
.	14.75	5.51	8.37	20
0.65	3.60	14.75	5.52	8.38	21
.	14.80	5.51	8.39	22
.	14.80	5.52	8.40	23
1.00	1.00	1.00	1.00	0.40	.	14.00	14.75	5.53	8.39	24
1.00	1.00	1.00	1.00	0.50	.	14.10	14.75	5.54	8.40	25
.	3.40	14.75	5.54	8.40	26
.	14.75	5.56	8.41	27
1.00	1.00	1.00	1.00	0.30	.	12.40	14.75	5.56	8.41	28
.	0.50	0.30	0.20	.	.	9.00	14.75	5.57	8.42	29
.	3.75	14.70	5.58	8.41	30
1.00	1.00	1.00	1.00	1.00	0.20	11.20	14.70	5.59	8.42	31
11.00	9.15	8.45	7.15	2.30	0.20	147.50	455.65	.	.	Sum
						Sonnenscheindauer Tageslänge = 0.324				

Sonnenscheindauer

Januari 1903

Dat.	5 a. m.	6 a. m.	7 a. m.	8 a. m.	9 a. m.	10 a. m.	11 a. m.	Mittg.	1 p. m.	2 p. m.	3 p. m.
1	.	.	.	0.75	1.00	1.00	1.00	1.00	1.00	0.80	0.90
2	.	.	0.20	0.45	0.95	1.00	1.00	0.80	0.65	.	.
3
4	0.90	1.00	1.00	1.00	0.45
5
6
7
8
9
10
11
12	0.50
13	.	.	.	0.15	0.75	.	.	0.05	.	.	.
14	0.25	.	.	0.10
15
16	.	0.25	1.00	0.80
17
18
19	.	.	.	0.15	1.00	1.00	1.00	1.00	1.00	0.80	0.80
20	0.05	0.15	.	.
21	.	.	0.60	0.75	0.70	1.00	0.80	0.95	0.80	0.35	0.40
22
23	.	.	0.80	0.75	1.00	0.30	1.00	0.80	1.00	1.00	1.00
24	.	.	0.75	1.00	0.85	.	.	0.60	.	0.10	.
25
26
27
28
29
30	.	.	.	0.05	0.90	0.05	0.80	0.65	0.45	0.05	0.65
31	.	.	0.10	0.90	1.00	1.00	1.00	1.00	0.95	1.00	1.00
Sum	.	0.25	3.45	5.75	8.15	5.35	7.50	8.15	7.00	5.10	5.80
Tage ohne Sonnenschein = 14											

Sonnenscheindauer

1903 Januari

4 p. m.	5 p. m.	6 p. m.	7 p. m.	8 p. m.	9 p. m.	Sonnenschein in Stunden	Tageslänge in Stunden	Sonnen- aufgang	Sonnen- untergang	Dat.
						h. m.	h. m.			
1.00	1.00	1.00	1.00	.	.	11.45	14.70	6.00	8.42	1
0.65	0.20	5.90	14.70	6.01	8.43	2
.	14.70	6.01	8.43	3
1.00	1.00	1.00	0.75	0.40	.	8.50	14.70	6.03	8.44	4
.	14.65	6.03	8.43	5
.	14.65	6.05	8.44	6
0.85	1.00	1.00	1.00	0.20	.	4.05	14.65	6.05	8.43	7
.	14.60	6.06	8.43	8
.	14.60	6.07	8.43	9
.	14.60	6.08	8.43	10
.	14.55	6.09	8.43	11
1.00	1.00	1.00	0.50	.	.	4.00	14.55	6.10	8.43	12
.	0.95	14.50	6.12	8.43	13
.	0.35	14.50	6.13	8.43	14
.	0.45	0.80	0.20	.	.	1.45	14.50	6.13	8.42	15
.	2.05	14.45	6.15	8.43	16
.	14.45	6.16	8.42	17
.	14.40	6.17	8.42	18
1.00	1.00	0.25	.	.	.	9.00	14.40	6.19	8.42	19
.	0.20	14.40	6.19	8.42	20
0.70	7.05	14.35	6.20	8.41	21
.	14.30	6.22	8.40	22
1.00	1.00	1.00	1.00	0.20	.	11.85	14.25	6.23	8.37	23
.	3.30	14.20	6.24	8.35	24
0.30	.	0.20	0.60	.	.	1.10	14.15	6.24	8.33	25
.	14.10	6.26	8.32	26
.	14.05	6.27	8.29	27
.	14.00	6.28	8.27	28
.	13.90	6.31	8.25	29
1.00	0.95	1.00	0.25	.	.	6.80	13.80	6.35	8.23	30
1.00	1.00	1.00	1.00	.	.	11.95	13.70	6.38	8.20	31
9.50	8.60	8.25	6.30	0.80	.	80.95	440.05			Sta
Sonnenscheindauer = 0.202 Tageslänge										

Sonnenscheindauer

Februari 1903

Dat.	5 a. m.	6 a. m.	7 a. m.	8 a. m.	9 a. m.	10 a. m.	11 a. m.	Mttg.	1 p. m.	2 p. m.	3 p. m.
1
2
3	0.20	1.00	1.00	1.00	1.00	0.30	.
4	0.10	0.90	0.90
5	.	.	.	0.15	0.65	0.05	0.75	0.70	0.50	.	.
6
7	0.85	0.95	1.00	0.05	.	.	.
8
9	.	.	0.20	1.00	1.00	1.00	1.00	1.00	0.90	.	.
10	0.55	1.00	1.00	0.80	0.20	1.00
11
12	0.05	0.05	.	0.45	0.30	0.20	0.05
13
14
15
16
17	0.20	0.05
18
19
20	.	.	0.25	1.00	1.00	1.00	1.00	1.00	1.00	1.00	1.00
21	.	.	0.25	1.00	1.00	1.00	1.00	1.00	1.00	1.00	1.00
22	.	.	0.15	1.00	1.00	1.00	1.00	1.00	1.00	1.00	1.00
23	0.45	1.00	1.00	1.00	1.00	1.00	1.00
24	0.05	0.10	.
25	0.65	0.90	0.90	0.70	1.00	1.00
26	0.75	1.00	0.95	0.90	1.00	0.85	0.30
27	.	.	0.10	1.00	0.25	.	0.05	0.10	0.80	1.00	1.00
28	.	.	0.10	0.30	0.60	0.15
Sum	.	.	1.05	5.45	7.80	9.60	10.70	10.10	10.15	8.55	8.25
Tage ohne Sonnenschein = 9											

Sonnenscheindauer

1903 Februari

4 p. m.	5 p. m.	6 p. m.	7 p. m.	8 p. m.	9 p. m.	Sonnenschein in Stunden	Tageslänge in Stunden	Sonnen- aufgang	Sonnen- untergang	Dat.
								h. m.	h. m.	
.	13.60	6.43	8.19	1
.	13.50	6.46	8.17	2
.	4.50	13.45	6.49	8.15	3
0.80	1.00	0.70	.	.	.	4.40	13.30	6.53	8.12	4
.	2.80	13.25	6.56	8.10	5
0.60	0.60	13.15	7.00	8.08	6
0.10	.	0.10	.	.	.	3.05	13.05	7.03	8.05	7
.	12.95	7.06	8.03	8
.	6.10	12.85	7.10	8.01	9
1.00	0.75	6.30	12.80	7.11	7.59	10
.	12.75	7.12	7.56	11
0.05	1.15	12.70	7.12	7.54	12
.	12.65	7.13	7.51	13
.	12.55	7.14	7.48	14
.	12.50	7.15	7.45	15
.	12.45	7.15	7.42	16
.	0.25	12.40	7.16	7.39	17
.	12.35	7.17	7.37	18
0.25	0.15	1.00	0.40	.	.	1.80	12.25	7.18	7.34	19
1.00	1.00	1.00	0.40	.	.	11.65	12.20	7.18	7.31	20
1.00	1.00	1.00	0.35	.	.	11.60	12.15	7.19	7.28	21
1.00	1.00	1.00	0.40	.	.	11.55	12.10	7.20	7.25	22
1.00	1.00	1.00	0.30	.	.	9.75	12.00	7.21	7.22	23
.	0.15	11.95	7.22	7.19	24
1.00	1.00	1.00	0.20	.	.	8.35	11.90	7.22	7.15	25
.	5.75	11.80	7.23	7.12	26
0.65	0.20	5.15	11.75	7.24	7.09	27
.	1.15	11.70	7.24	7.06	28
8.45	7.10	6.80	2.05	.	.	96.05	352.05			Sta
						Sonnenscheindauer = 0.273				
						Tageslänge				

Sonnenscheindauer

März 1903

Dat.	5 a. m.	6 a. m.	7 a. m.	8 a. m.	9 a. m.	10 a. m.	11 a. m.	Mittg.	1 p. m.	2 p. m.	3 p. m.
.
1	0.35	0.65
2	0.60	0.80	1.00
3	0.30	0.30	0.45
4	.	.	.	0.15	0.60	0.90	0.15	0.55	0.70	1.00	0.90
5
6
7
8
9
10
11	0.70	0.80	1.00	1.00	1.00	0.95
12	0.45	0.75	0.05	0.30	1.00	0.20	.
13
14
15
16	0.80	1.00	1.00	1.00	1.00
17	0.15
18
19
20
21
22
23
24
25	1.00	1.00	1.00	1.00	0.95	0.90
26	.	.	.	0.25	0.90	.	0.05	1.00	1.00	1.00	1.00
27	0.65	0.05	.	.
28
29	0.25	0.90	1.00	0.85	0.05
30
31
Sum	.	.	.	0.40	2.30	4.00	3.25	6.40	7.65	7.10	6.25
Tage ohne Sonnenschein = 19											

Sonnenscheindauer

1903 März

4 p. m.	5 p. m.	6 p. m.	7 p. m.	8 p. m.	9 p. m.	Sonnenschein in Stunden.	Tageslänge in Stunden	Sonnen- aufgang	Sonnen- untergang	Dat.
.	1.00	11.60	h. m. 7.25	h. m. 7.02	1
0.05	2.45	11.55	7.26	6.59	2
1.00	1.00	0.90	.	.	.	3.95	11.50	7.26	6.55	3
0.60	0.25	5.80	11.40	7.27	6.51	4
.	11.35	7.28	6.48	5
.	11.25	7.29	6.44	6
.	11.15	7.30	6.40	7
.	11.05	7.33	6.36	8
.	10.95	7.35	6.33	9
.	10.85	7.38	6.29	10
0.75	6.20	10.75	7.39	6.25	11
.	2.75	10.70	7.41	6.22	12
.	10.65	7.42	6.20	13
.	10.55	7.44	6.17	14
.	10.45	7.45	6.13	15
1.00	0.05	5.85	10.40	7.45	6.10	16
.	0.15	10.35	7.45	6.07	17
.	10.35	7.44	6.04	18
.	10.25	7.45	6.01	19
.	10.20	7.45	5.58	20
.	10.15	7.45	5.55	21
.	10.15	7.44	5.52	22
.	10.05	7.45	5.49	23
.	10.00	7.46	5.46	24
0.70	6.55	9.90	7.47	5.41	25
0.95	6.15	9.80	7.48	5.37	26
.	0.70	9.75	7.49	5.33	27
.	9.55	7.53	5.27	28
.	3.05	9.40	7.58	5.23	29
.	9.30	8.00	5.19	30
.	9.20	8.03	5.15	31
5.05	1.30	0.90	.	.	.	44.60	324.55			Sa
$\frac{\text{Sonnenscheindauer}}{\text{Tageslänge}} = 0.137$										

Sonnenscheindauer

April 1903

Dat.	5 a. m.	6 a. m.	7 a. m.	8 a. m.	9 a. m.	10 a. m.	11 a. m.	Mittg.	1 p. m.	2 p. m.	3 p. m.
1	0.25	0.50	1.00	1.00
2
3	0.90	1.00	1.00	1.00	1.00	1.00	1.00
4	0.80	1.00	1.00	1.00	1.00	1.00
5	0.30	1.00	1.00
6
7	0.10
8	0.90	1.00	1.00	0.85	.	.
9	0.80	1.00	0.60	0.40	0.40	0.70	0.85
10
11
12
13
14	0.40	1.00	1.00	1.00	1.00	1.00	0.75
15	0.05	0.35	.	.	.
16	0.30	0.40
17	0.70	0.90	0.75	.	0.60	0.95	0.25
18	0.95	1.00	1.00
19	0.15	0.55	.	.	0.10
20
21
22
23
24
25
26	0.60	1.00	1.00	1.00	1.00	0.40
27	0.30	1.00	1.00	1.00	0.35
28
29	0.50	1.00	1.00	1.00	0.75	.	.
30	0.05	.	0.45	0.10	.
Sia	3.90	8.20	8.90	8.55	9.50	8.75	7.20
Tage ohne Sonnenschein = 13											

Sonnenscheindauer

1903 April

4 p. m.	5 p. m.	6 p. m.	7 p. m.	8 p. m.	9 p. m.	Sonnenschein in Stunden	Tageslänge in Stunden	Sonnen- aufgang	Sonnen- untergang	Dat.
								h. m.	h. m.	
0.95	3.70	9.10	8.04	5.10	1
.	9.00	8.06	5.07	2
0.85	7.75	8.95	8.08	5.04	3
0.40	6.20	8.85	8.10	5.01	4
.	2.30	8.75	8.12	4.56	5
.	8.40	8.29	4.52	6
.	0.10	7.85	8.12	4.02	7
.	3.75	7.75	8.12	3.58	8
.	4.75	7.70	8.13	3.55	9
.	7.65	8.13	3.52	10
.	7.60	8.13	3.48	11
.	7.50	8.14	3.45	12
.	7.45	8.14	3.42	13
0.10	6.25	7.40	8.14	3.38	14
.	0.40	7.35	8.14	3.34	15
.	0.70	7.25	8.15	3.31	16
.	4.15	7.20	8.15	3.28	17
.	2.95	7.10	8.18	3.24	18
.	0.80	6.95	8.20	3.18	19
.	6.85	8.23	3.14	20
.	6.75	8.26	3.10	21
.	6.60	8.29	3.05	22
.	6.50	8.31	3.00	23
.	6.35	8.34	2.55	24
.	6.25	8.36	2.51	25
.	5.00	6.20	8.38	2.49	26
.	3.65	6.10	8.40	2.46	27
.	6.05	8.40	2.44	28
.	4.25	5.95	8.43	2.40	29
.	0.60	5.85	8.46	2.38	30
2.30	57.30	219.25			Sum
$\frac{\text{Sonnenscheindauer}}{\text{Tageslänge}} = 0.261$										

Sonnenscheindauer

Mai 1903

Dat.	8 a. m.	9 a. m.	10 a. m.	11 a. m.	Mittg.	1 p. m.	2 p. m.	3 p. m.	Sonnenschein in Stunden	Tageslänge in Stunden	Sonnenaufgang		Dat.
											h. m.	h. m.	
1	5-75	8-49	2-35	1
2	5-70	8-52	2-33	2
3	5-60	8-54	2-30	3
4	5-55	8-55	2-28	4
5	5-45	8-57	2-24	5
6	.	0.50	1.00	1.00	1.00	1.00	0.80	.	5-30	5-35	8-59	2-21	6
7	5-30	9-00	2-17	7
8	5-20	9-02	2-14	8
9	5-05	9-05	2-09	9
10	.	0.45	1.00	1.00	1.00	1.00	0.65	.	5-10	4-95	9-09	2-06	10
11	4-85	9-12	2-04	11
12	.	.	0.45	1.00	1.00	1.00	0.45	.	3-90	4-85	9-12	2-02	12
13	.	0.25	0.95	1.00	1.00	1.00	0.50	.	4-70	4-80	9-13	2-00	13
14	.	.	.	0.10	0.85	0.45	.	.	1-40	4-75	9-13	1-58	14
15	.	.	0.85	1.00	1.00	0.85	0.15	.	3-85	4-70	9-14	1-56	15
16	4-65	9-14	1-53	16
17	4-60	9-15	1-50	17
18	4-55	9-15	1-48	18
19	.	.	.	0.40	0-40	4-50	9-16	1-45	19
20	0-45	0-10	.	0-55	4-45	9-16	1-42	20
21	4-40	9-17	1-40	21
22	4-30	9-20	1-39	22
23	4-25	9-24	1-39	23
24	4-20	9-27	1-39	24
25	0.85	1.00	0.10	.	1-95	4-15	9-30	1-38	25
26	0.25	.	.	.	0-25	4-15	9-30	1-38	26
27	4-10	9-32	1-37	27
28	4-00	9-35	1-36	28
29	4-00	9-37	1-36	29
30	3-90	9-40	1-35	30
31	3-85	9-42	1-34	31
Sum	.	1.20	4.25	5.50	6.95	6.75	2.75	.	27.40	145.90			Sum
Tage ohne Sonnenschein = 21										$\frac{\text{Sonnenscheindauer}}{\text{Tageslänge}} = 0.188$			

Sonnenscheindauer

1903 Juni

Dat.	8 a. m.	9 a. m.	10 a. m.	11 a. m.	Mittg.	1 p. m.	2 p. m.	3 p. m.	Sonnenschein in Stunden	Tageslänge in Stunden	Sonnenaufgang		Dat.
											h. m.	h. m.	
1	3.80	9.45	1.34	1
2	3.75	9.48	1.34	2
3	3.70	9.50	1.33	3
4	3.65	9.53	1.33	4
5	.	.	.	0.25	0.60	0.40	.	.	1.25	3.60	9.55	1.32	5
6	3.55	9.58	1.30	6
7	3.45	10.00	1.28	7
8	.	.	.	0.80	1.00	0.85	.	.	2.65	3.40	10.02	1.27	8
9	0.25	0.30	.	.	0.55	3.35	10.04	1.25	9
10	.	.	0.20	1.00	0.90	0.15	.	.	2.25	3.30	10.06	1.23	10
11	3.20	10.08	1.21	11
12	3.15	10.10	1.19	12
13	3.10	10.11	1.18	13
14	.	.	.	0.15	1.00	0.70	.	.	1.85	3.05	10.13	1.16	14
15	.	.	.	0.40	0.95	0.40	.	.	1.75	3.00	10.14	1.14	15
16	2.95	10.16	1.12	16
17	2.90	10.17	1.10	17
18	2.85	10.19	1.10	18
19	0.10	0.25	.	.	0.35	2.80	10.20	1.09	19
20	.	.	.	0.65	1.00	0.35	.	.	2.00	2.80	10.20	1.08	20
21	2.75	10.21	1.07	21
22	.	.	.	0.45	0.65	.	.	.	1.10	2.75	10.21	1.06	22
23	2.80	10.21	1.08	23
24	2.80	10.21	1.09	24
25	2.85	10.20	1.10	25
26	.	.	.	0.30	0.30	2.85	10.20	1.11	26
27	2.90	10.20	1.13	27
28	2.95	10.19	1.15	28
29	3.00	10.18	1.17	29
30	3.05	10.17	1.19	30
Sum	.	.	0.20	4.00	6.45	3.40	.	.	14.05	94.05	.	.	Sum
Tage ohne Sonnenschein = 20										$\frac{\text{Sonnenscheindauer}}{\text{Tageslänge}} = 0.149$			

Sonnenscheindauer

Juli 1903

Dat.	8 a. m.	9 a. m.	10 a. m.	11 a. m.	Mittg.	1 p. m.	2 p. m.	3 p. m.	Sonnenschein in Stunden	Tageslänge in Stunden	Sonnen aufgang	Sonnen untergang	Dat.
											h. m.	h. m.	
1	0.05	0.50	.	.	0.55	3.10	10.15	1.24	1
2	3.15	10.14	1.24	2
3	3.20	10.13	1.26	3
4	.	.	.	0.80	0.95	0.90	.	.	2.65	3.30	10.11	1.28	4
5	.	.	.	0.30	0.60	0.40	.	.	1.30	3.35	10.10	1.30	5
6	3.40	10.08	1.32	6
7	3.45	10.07	1.34	7
8	3.55	10.05	1.37	8
9	3.60	10.03	1.39	9
10	.	.	.	0.60	1.00	1.00	.	.	2.60	3.65	10.00	1.40	10
11	3.70	9.58	1.40	11
12	3.75	9.55	1.41	12
13	3.80	9.53	1.42	13
14	.	.	.	0.45	1.00	0.30	.	.	1.75	3.85	9.51	1.43	14
15	3.95	9.48	1.44	15
16	4.00	9.46	1.45	16
17	4.00	9.44	1.45	17
18	4.10	9.41	1.46	18
19	4.15	9.39	1.47	19
20	.	.	.	0.20	0.60	.	.	.	0.80	4.15	9.39	1.47	20
21	.	.	.	0.80	0.20	.	.	.	1.00	4.20	9.36	1.48	21
22	4.25	9.33	1.49	22
23	4.30	9.30	1.49	23
24	.	.	0.50	0.90	0.90	0.80	.	.	3.10	4.40	9.27	1.50	24
25	4.45	9.26	1.52	25
26	4.45	9.26	1.54	26
27	.	.	.	0.05	0.80	0.90	0.40	.	2.15	4.55	9.25	1.57	27
28	4.55	9.25	1.59	28
29	4.60	9.24	2.01	29
30	4.65	9.24	2.04	30
31	.	.	0.70	1.00	1.00	1.00	0.60	.	4.30	4.70	9.23	2.06	31
S:a	.	.	1.20	5.10	7.10	5.80	1.00	.	20.20	122.30	.	.	S:a
Tage ohne Sonnenschein = 21										Sonnenscheindauer Tageslänge = 0.165			

Sonnenscheindauer

1903 Augusti

Dat.	8 a. m.	9 a. m.	10 a. m.	11 a. m.	Mittg.	1 p. m.	2 p. m.	3 p. m.	Sonnenschein in Stunden	Tageslänge in Stunden	Sonnen- aufgang	Sonnen- untergang	Dat.
											h. m.	h. m.	
1	.	.	1.00	1.00	1.00	1.00	0.55	.	4.55	4.75	9.23	2.08	1
2	.	0.05	1.00	1.00	1.00	1.00	0.60	.	4.65	4.80	9.22	2.11	2
3	.	.	0.80	1.00	1.00	0.60	0.20	.	3.60	4.85	9.22	2.13	3
4	4.95	9.19	2.16	4
5	5.05	9.15	2.19	5
6	0.50	.	.	.	0.50	5.20	9.12	2.23	6
7	.	0.25	1.00	1.00	1.00	1.00	0.80	.	5.05	5.25	9.10	2.26	7
8	5.35	9.08	2.30	8
9	5.45	9.06	2.32	9
10	.	.	.	0.40	1.00	1.00	0.70	.	3.10	5.55	9.04	2.36	10
11	5.60	9.02	2.38	11
12	.	.	.	0.80	0.90	1.00	0.15	.	2.85	5.70	9.00	2.41	12
13	5.80	8.56	2.43	13
14	5.90	8.53	2.46	14
15	6.00	8.49	2.48	15
16	6.05	8.46	2.50	16
17	6.10	8.46	2.52	17
18	6.15	8.46	2.55	18
19	.	0.85	1.00	1.00	1.00	1.00	1.00	0.50	6.35	6.20	8.44	2.57	19
20	.	0.75	1.00	1.00	1.00	1.00	1.00	0.40	6.10	6.30	8.41	3.00	20
21	6.40	8.39	3.04	21
22	6.55	8.36	3.08	22
23	6.65	8.32	3.12	23
24	6.75	8.29	3.15	24
25	.	.	0.20	0.10	0.30	6.85	8.26	3.18	25
26	.	0.60	1.00	1.00	1.00	1.00	1.00	0.85	6.45	7.00	8.23	3.22	26
27	.	.	0.80	1.00	1.00	1.00	0.05	0.50	4.55	7.10	8.19	3.26	27
28	0.05	0.60	0.60	0.80	0.75	0.05	0.30	0.70	3.85	7.20	8.16	3.29	28
29	.	0.10	0.05	0.15	7.30	8.15	3.32	29
30	.	1.00	1.00	1.00	1.00	1.00	1.00	0.90	6.90	7.35	8.14	3.35	30
31	7.40	8.14	3.38	31
Sum	0.05	4.15	9.45	11.10	12.15	10.65	7.35	3.85	58.75	187.55			Sum
Tage ohne Sonnenschein = 10									$\frac{\text{Sonnenscheindauer}}{\text{Tageslänge}} = 0.313$				

Sonnenscheindauer

September 1903

Dat.	5 a. m.	6 a. m.	7 a. m.	8 a. m.	9 a. m.	10 a. m.	11 a. m.	Mittg.	1 p. m.	2 p. m.	3 p. m.
1	.	.	.	0.05	1.00	1.00	1.00	1.00	1.00	1.00	1.00
2	.	.	.	0.30	1.00	1.00	1.00	1.00	1.00	0.90	1.00
3	.	.	.	0.15	1.00	1.00	1.00	1.00	1.00	1.00	1.00
4	.	.	.	0.20	0.55	1.00	1.00	0.60	0.25	1.00	0.35
5	0.20	0.95	1.00	1.00	1.00	1.00	1.00
6	0.50	1.00	1.00	1.00	1.00	1.00	1.00
7	0.25	.	0.55	0.65	0.50	1.00
8	0.20	0.90	0.70	1.00	0.60	0.85
9	0.65	1.00	0.80	0.90	0.60
10	.	.	.	0.40	1.00	1.00	0.90	0.05	.	.	.
11
12
13
14
15	0.10	.	0.20	.	.	.
16
17
18	0.20
19
20	.	.	.	0.50	1.00	1.00	1.00	1.00	1.00	1.00	1.00
21	.	.	.	0.30	0.40
22
23
24
25
26	0.35	.	.	0.10	1.00	1.00	0.20
27
28
29	.	.	0.05	1.00	1.00	1.00	1.00	0.85	.	.	.
30
Sum	.	.	0.05	2.90	8.00	9.50	10.65	10.05	9.70	9.90	9.00
Tage ohne Sonnenschein = 14											

Sonnenscheindauer

1903 September

4 p. m.	5 p. m.	6 p. m.	7 p. m.	8 p. m.	9 p. m.	Sonnenschein in Stunden	Tageslänge in Stunden	Sonnenaufgang	Sonnenuntergang	Dat.
								h. m.	h. m.	
0.05	7.10	7.45	8.13	3.40	1
0.15	7.35	7.55	8.12	3.44	2
0.10	7.25	7.60	8.11	3.47	3
.	4.95	7.65	8.10	3.49	4
0.20	6.35	7.70	8.09	3.52	5
0.35	6.85	7.75	8.09	3.55	6
0.25	3.20	7.85	8.08	3.58	7
0.35	4.60	7.90	8.07	4.01	8
.	3.95	8.00	8.05	4.05	9
.	3.35	8.05	8.03	4.07	10
.	8.15	8.01	4.10	11
.	8.25	7.59	4.14	12
.	8.40	7.57	4.16	13
.	8.40	7.57	4.20	14
.	0.30	8.45	7.56	4.23	15
.	8.50	7.56	4.25	16
.	8.55	7.55	4.29	17
0.60	0.80	8.60	7.55	4.31	18
.	8.65	7.54	4.34	19
1.00	8.50	8.70	7.54	4.37	20
.	0.70	9.20	7.28	4.39	21
.	9.25	7.27	4.43	22
.	9.35	7.25	4.46	23
.	9.40	7.24	4.48	24
.	9.45	7.23	4.51	25
.	2.65	9.55	7.22	4.55	26
.	9.60	7.20	4.57	27
.	9.70	7.19	5.01	28
.	4.90	9.80	7.16	5.05	29
.	9.90	7.15	5.07	30
3.05	72.80	257.35			Sm
Sonnenscheindauer = 0.283 Tageslänge										

Sonnenscheindauer

Oktober 1903

Dat.	5 a. m.	6 a. m.	7 a. m.	8 a. m.	9 a. m.	10 a. m.	11 a. m.	Mittg.	1 p. m.	2 p. m.	3 p. m.
1
2	.	.	.	0.10	0.20	0.85	1.00	1.00	1.00	1.00	1.00
3	0.30
4	.	.	.	0.50	1.00	1.00	1.00	1.00	0.25	0.20	0.25
5
6	0.20	0.25	1.00
7
8
9	.	.	.	0.60	0.90	0.50	0.40
10
11	0.50	1.00
12
13	0.90	1.00	1.00	1.00	1.00	0.60	0.75
14	0.30	0.25	0.30	0.20	0.40
15	0.05	1.00	1.00	1.00	1.00	1.00
16	.	.	.	0.70	1.00	1.00	0.60	0.55	.	0.80	1.00
17	.	.	0.65	1.00	1.00	0.75	0.60	.	.	0.55	0.10
18	.	.	0.90	1.00	1.00	1.00	1.00	0.50	0.25	0.85	1.00
19	0.05	0.10	0.05	0.10
20	.	0.20	1.00	1.00	1.00	1.00	1.00	1.00	1.00	1.00	1.00
21	0.05	1.00	0.65
22	.	.	0.20	.	0.45	0.20	0.85	1.00	0.45	.	0.80
23	.	.	.	0.55	1.00	0.45	0.05	0.20	.	.	.
24	0.30	1.00	1.00	1.00	0.95
25	.	.	0.35	1.00	1.00	1.00	1.00	1.00	1.00	1.00	1.00
26	0.10	0.20	0.95	0.85	0.45	.	.
27	.	.	0.10	0.75	0.10	0.80	0.95	1.00	1.00	1.00	1.00
28	.	.	.	0.05	.	0.05	.	0.50	1.00	0.30	0.90
29
30	.	.	.	0.05	.	0.40	1.00	0.95	1.00	1.00	1.00
31
Sum	.	0.20	3.20	7.30	9.65	10.25	13.00	12.85	11.05	12.30	15.20
Tage ohne Sonnenschein = 8											

Sonnenscheindauer

1903 Oktober

4 p. m.	5 p. m.	6 p. m.	7 p. m.	8 p. m.	9 p. m.	Sonnenschein in Stunden	Tageslänge in Stunden	Sonnen- aufgang	Sonnen- untergang	Dat.
.	10.00	h. m. 7-10	h. m. 5-11	1
1.00	0.50	7.65	10.10	7.08	5.15	2
.	0.30	10.20	7.05	5.17	3
.	5.20	10.30	7.02	5.21	4
.	10.45	6.59	5.25	5
1.00	0.90	3.35	10.50	6.57	5.28	6
.	10.60	6.54	5.31	7
.	10.70	6.51	5.34	8
.	2.40	10.85	6.48	5.38	9
.	10.90	6.47	5.40	10
1.00	0.45	2.95	10.95	6.45	5.43	11
.	11.05	6.43	5.47	12
0.70	6.95	11.15	6.42	5.50	13
.	1.45	11.20	6.41	5.52	14
1.00	0.55	6.60	11.35	6.36	5.56	15
0.25	5.90	11.45	6.31	5.59	16
.	4.65	11.60	6.26	6.02	17
1.00	0.80	9.30	11.70	6.21	6.04	18
.	0.30	11.85	6.16	6.08	19
1.00	0.70	0.25	.	.	.	11.15	11.95	6.15	6.11	20
1.00	1.00	0.70	.	.	.	4.40	12.00	6.14	6.14	21
1.00	1.00	0.85	.	.	.	6.80	12.05	6.13	6.17	22
.	2.25	12.15	6.12	6.20	23
0.10	4.35	12.20	6.10	6.22	24
0.85	9.20	12.30	6.09	6.26	25
.	2.55	12.35	6.08	6.29	26
1.00	1.00	0.20	.	.	.	8.90	12.45	6.06	6.32	27
1.00	0.70	0.10	.	.	.	4.60	12.50	6.05	6.36	28
.	12.60	6.04	6.40	29
1.00	1.00	1.00	0.10	.	.	8.50	12.70	6.03	6.44	30
.	12.75	6.02	6.47	31
12.90	8.60	3.10	0.10	.	.	119.70	354.90			Sm
Sonnenscheindauer = 0.337 Tageslänge										

Sonnenscheindauer

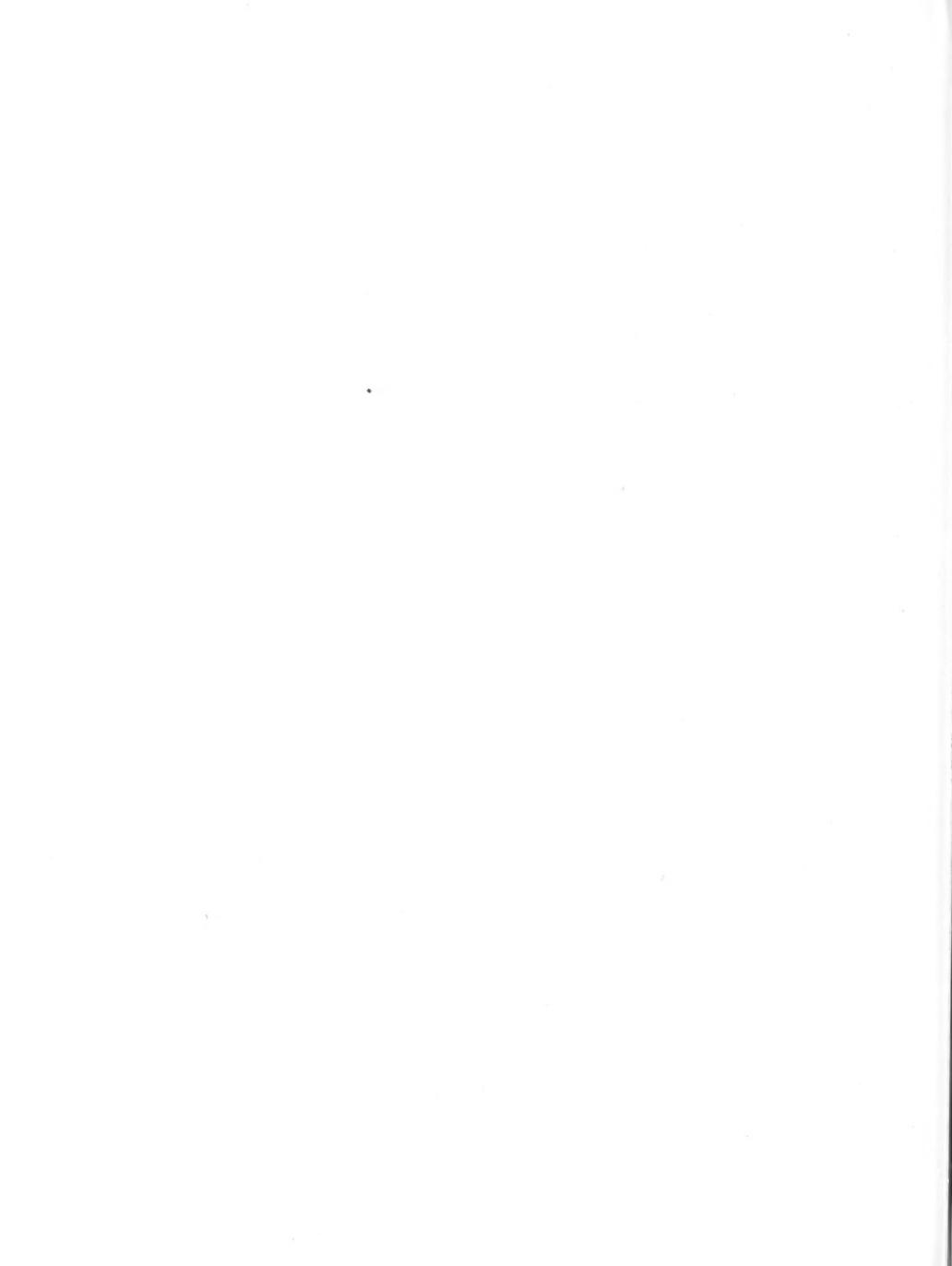
November 1903

Dat.	5 a. m.	6 a. m.	7 a. m.	8 a. m.	9 a. m.	10 a. m.	11 a. m.	Mittg.	1 p. m.	2 p. m.	3 p. m.
1	1.00	1.00	1.00	1.00
2	.	0.50	1.00	1.00	1.00	1.00	1.00	1.00	1.00	1.00	1.00
3	.	0.70	0.85	0.85	1.00	1.00	0.65	1.00	0.45	0.40	0.30
4	.	0.35	.	.	.	0.05	0.60	0.80	0.65	0.85	0.25
5	.	0.50	0.90	.	.	0.10	0.95	1.00	1.00	0.70	.
6	.	.	.	0.10	1.00	1.00	1.00	1.00	1.00	1.00	1.00
7
8
Sum	.	2.05	2.75	1.95	3.00	3.15	4.20	5.80	5.10	4.95	3.55

Sonnenscheindauer

1903 November

4 p. m.	5 p. m.	6 p. m.	7 p. m.	8 p. m.	9 p. m.	Sonnenschein in Stunden	Tageslänge in Stunden	Sonnen- aufgang	Sonnen- untergang	Dat.
1.00	1.00	1.00	0.20	.	.	7.20	12.85	6.11	6.51	1
1.00	1.00	1.00	0.15	.	.	12.65	12.90	6.00	6.55	2
0.05	7.25	13.00	5.59	6.59	3
0.05	0.75	0.60	.	.	.	4.95	13.10	5.57	7.03	4
.	5.15	13.20	5.55	7.07	5
1.00	1.00	1.00	0.30	.	.	10.40	13.30	5.54	7.11	6
.	7
.	8
3.10	3.75	3.60	0.65	.	.	47.60	78.35			Sa
$\frac{\text{Sonnenscheindauer}}{\text{Tageslänge}} = 0.608$										



TAB. VII.

ERDTEMPERATUR

Erdtemperatur

Mai 1902

Tiefe: 3 dm.

Dat.	9 a. m.	Mttg.	3 p. m.	6 p. m.	9 p. m.	Med.
1	— 9.8	— 9.5	— 9.2	— 8.9	.	— 9.35
2	— 11.8	— 12.2	— 13.0	— 13.7	.	— 12.68
3	— 15.8	— 16.0	— 16.1	— 16.2	.	— 16.03
4	— 17.7	— 18.2	.	— 17.8	— 17.3	— 17.75
5	— 16.5	— 16.5	— 16.3	— 15.8	— 15.3	— 16.08
6	— 14.3	— 13.6	— 12.1	— 12.1	— 11.4	— 12.70
7	— 10.3	— 10.1	— 9.8	— 9.4	— 8.9	— 9.70
8	— 9.9	— 10.1	— 10.0	— 10.0	.	— 10.00
9	— 12.5	— 13.2	— 13.3	— 13.5	— 13.3	— 13.16
10	— 12.5	— 11.9	— 11.2	— 10.6	— 10.2	— 11.28
11	— 9.3	— 9.3	(9.1)	(8.7)	— 8.5	— 8.98
12	— 8.1	— 7.8	— 7.5	— 7.3	— 7.2	— 7.58
13	— 7.9	— 8.1	— 8.2	— 8.3	— 8.6	— 8.22
14	— 10.8	— 11.5	— 11.8	— 12.2	— 12.3	— 11.72
15	— 14.0	— 13.6	— 14.2	— 14.1	— 14.3	— 14.10
16	— 15.2	— 15.2	— 15.3	— 15.3	— 15.0	— 15.20
17	— 15.4	— 15.7	— 15.7	— 15.6	— 15.6	— 15.60
18	— 15.4	— 15.6	— 15.7	— 15.9	.	— 15.65
19	— 16.4	— 16.5	— 16.3	— 16.3	— 16.1	— 16.32
20	— 15.8	— 15.8	— 15.6	— 15.5	— 15.4	— 15.62
21	— 15.2	— 15.3	— 15.3	— 15.3	— 15.3	— 15.28
22	— 16.1	— 16.3	— 16.3	— 16.4	— 16.4	— 16.30
23	— 16.9	(16.8)	— 16.7	— 16.5	(16.5)	— 16.68
24	— 16.4	— 16.4	— 16.3	— 15.9	— 16.0	— 16.20
25	— 15.7	— 16.7	— 15.6	— 15.6	— 15.6	— 15.84
26	— 16.2	— 16.4	— 16.6	— 16.9	— 17.2	— 16.66
27	— 17.5	— 17.5	— 17.6	— 17.5	— 17.5	— 17.52
28	— 17.9	— 18.1	— 18.2	— 18.2	(18.3)	— 18.14
29	— 18.7	— 18.9	— 19.1	— 19.1	— 19.3	— 19.02
30	— 19.7	— 19.7	— 19.6	— 19.7	— 19.6	— 19.66
31	— 19.5	— 19.5	— 19.5	— 19.3	— 19.2	— 19.40
Med.	— 14.49	— 14.59	— 14.37	— 14.44	— 14.62	— 14.47
Absolutes Maximum: — 7.2 (12). Absolutes Minimum: — 19.7 (30).						

Mai 1902

Tiefe: 3 dm.

Dat.	9 a. m.	Mttg.	3 p. m.	6 p. m.	9 p. m.	Med.
1	— 11.0	— 10.8	— 10.6	— 10.5	(10.4)	— 10.66
2	— 10.2	— 10.4	— 10.8	— 11.0	(11.5)	— 10.74
3	— 12.15	— 12.4	— 12.5	— 12.9	(13.1)	— 12.61
4	— 13.6	— 13.8	— 13.9	— 14.0	— 14.2	— 13.90
5	— 14.7	— 14.5	— 14.6	— 14.6	— 14.6	— 14.60
6	— 13.1	— 13.9	— 13.8	— 13.6	(13.8)	— 13.64
7	— 12.4	— 12.15	— 11.9	— 11.8	(11.5)	— 11.95
8	— 11.1	— 10.95	— 10.9	— 11.0	(11.05)	— 11.00
9	— 11.25	— 11.5	— 11.7	— 11.95	— 12.0	— 11.68
10	— 12.2	— 12.15	— 12.1	— 11.95	(11.8)	— 12.04
11	— 11.1	— 10.9	— 10.8	— 10.6	— 10.5	— 10.78
12	— 10.0	— 9.9	— 9.8	— 9.65	— 9.6	— 9.79
13	— 9.3	— 9.3	— 9.2	— 9.3	— 9.4	— 9.30
14	— 9.8	— 10.05	— 10.2	— 10.3	— 10.5	— 10.17
15	— 11.4	— 11.8	— 11.9	— 12.05	— 12.2	— 11.87
16	— 12.75	— 12.9	— 13.0	— 13.1	— 13.2	— 12.99
17	— 13.5	— 13.7	— 13.7	— 13.8	— 13.8	— 13.70
18	— 14.1	— 14.2	— 14.2	— 14.25	(14.3)	— 14.21
19	(14.6)	— 14.7	— 14.7	— 14.7	— 14.75	— 14.69
20	— 14.8	— 14.8	— 14.8	— 14.8	— 14.8	— 14.80
21	— 14.7	— 14.65	— 14.6	— 14.5	— 14.6	— 14.61
22	— 14.75	— 14.85	— 15.0	— 15.0	— 15.0	— 14.92
23	— 15.3	(15.3)	— 15.35	— 15.4	(15.4)	— 15.35
24	— 15.5	— 15.5	— 15.45	— 15.4	— 15.4	— 15.45
25	— 15.3	— 15.3	— 15.3	— 15.3	— 15.3	— 15.50
26	— 15.3	— 15.3	— 15.4	— 15.5	— 15.7	— 15.44
27	— 16.0	— 16.1	— 16.15	— 16.2	(16.25)	— 16.14
28	— 16.4	— 16.4	— 16.4	— 16.6	— 16.6	— 16.48
29	— 16.8	— 16.95	— 17.0	— 17.2	— 17.2	— 17.03
30	(17.5)	— 17.6	— 17.7	— 17.7	— 17.7	— 17.64
31	— 17.8	— 17.9	— 17.9	— 17.9	— 17.95	— 17.89
Med.	— 13.50	— 13.57	— 13.59	— 13.63	— 13.67	— 13.59
Absolutes Maximum: — 9.2 (13). Absolutes Minimum: — 17.95 (31).						

Erdtemperatur

Juni 1902

1902 Juni

Tiefe: 3 dm.

Tiefe: 5 dm.

Dat.	9 a. m.	Mittg.	3 p. m.	6 p. m.	9 p. m.	Med.
1	-18.9	-18.9	-18.8	-19.0	-(19.2)	-18.96
2	-19.8	-20.1	-20.3	-(20.3)	-20.3	-20.16
3	-20.6	-20.7	-20.7	-20.7	-20.6	-21.66
4	-20.8	-20.8	-20.9	-21.1	-21.1	-20.94
5	-21.0	-21.0	-20.8	-20.9	-20.8	-20.90
6	-20.8	-20.8	-20.7	-20.7	-20.7	-20.74
7	-20.3	-20.3	-20.3	-20.3	-20.3	-20.30
8	-20.1	-20.1	-20.0	-19.8	-19.7	-19.94
9	-21.1	-21.4	-21.5	-22.0	-22.0	-21.60
10	-21.5	-(21.4)	-21.3	-21.3	-21.0	-21.30
11	-20.7	-20.7	-20.8	-21.0	-21.1	-20.86
12	-21.5	-21.6	-21.7	-21.6	-21.7	-21.62
13	-21.1	-20.3	-19.4	-18.6	-18.4	-19.56
14	-19.2	-(19.0)	-18.5	-18.3	-18.3	-18.66
15	-18.3	-18.1	-17.6	-(17.4)	-17.3	-17.74
16	-17.5	-17.4	-17.3	-16.8	-16.3	-17.00
17	-15.1	-14.8	-14.6	-13.8	-13.3	-14.32
18	-12.4	-(13.7)	-15.0	-15.3	-15.3	-14.34
19	-17.1	-17.3	-17.1	-16.9	-16.9	-17.00
20	-15.3	-14.6	-14.1	-13.3	-12.8	-14.02
21	-12.3	-12.5	-(12.4)	-12.3	-(12.2)	-12.34
22	-11.7	-11.8	-11.5	-11.4	-11.3	-11.54
23	-10.9	-10.8	-10.4	-10.5	-(10.7)	-10.66
24	-12.6	-12.8	-13.1	-(13.1)	-13.2	-12.96
25	-12.5	-12.8	-13.0	-13.0	-13.3	-12.92
26	-(14.1)	-14.3	-14.5	-14.8	-14.8	-14.50
27	-14.9	-15.0	-15.3	-15.4	-15.5	-15.22
28	-16.0	-16.3	-16.6	-(16.9)	-17.3	-16.62
29	-17.7	-17.6	-17.6	-18.1	-18.1	-17.82
30	-18.1	-18.1	-18.3	-(18.3)	-18.3	-18.22
Med.	-17.46	-17.50	-17.50	-17.43	-17.39	-17.46
Absolutes Maximum: -10.4 (23).						
Absolutes Minimum: -22.0 (9).						

Dat.	9 a. m.	Mittg.	3 p. m.	6 p. m.	9 p. m.	Med.
1	-17.9	-17.9	-17.9	-17.95	-17.95	-17.92
2	-18.1	-18.2	-18.3	-(18.15)	-18.0	-18.15
3	-18.7	-18.6	-18.6	-18.8	-18.9	-18.72
4	-19.1	-19.1	-19.2	-19.2	-19.2	-19.16
5	-19.5	-19.45	-19.45	-19.4	-19.4	-19.44
6	-19.5	-19.5	-19.5	-19.55	-19.6	-19.53
7	-19.5	-19.6	-19.5	-19.45	-19.4	-19.49
8	-19.3	-19.3	-19.3	-19.3	-19.2	-19.28
9	-19.45	-19.5	-19.6	-19.7	-19.9	-19.63
10	-20.0	-(20.0)	-20.0	-20.0	-20.0	-20.00
11	-19.9	-19.9	-19.9	-19.9	-20.0	-19.92
12	-20.0	-20.1	-20.1	-20.2	-(20.25)	-20.13
13	-20.4	-20.3	-20.1	-20.0	-19.8	-20.12
14	-19.3	-(19.2)	-19.1	-19.05	-(19.0)	-19.15
15	-18.8	-18.6	-18.55	-18.7	-18.3	-18.59
16	-18.05	-18.0	-18.0	-18.0	-17.8	-17.97
17	-17.1	-16.9	-16.6	-16.3	-16.2	-16.62
18	-15.3	-(15.25)	-15.2	-15.2	-15.4	-15.27
19	-16.1	-16.2	-16.4	-16.5	-16.6	-16.36
20	-16.6	-16.5	-16.2	-15.9	-15.8	-16.20
21	-14.9	-14.7	-(14.6)	-14.5	-(14.3)	-14.60
22	-13.8	-13.8	-13.9	-13.7	-13.7	-13.78
23	-13.3	-13.2	-13.0	-13.0	-(13.0)	-13.10
24	-13.0	-13.2	-13.2	-(13.35)	-13.5	-13.25
25	-13.5	-13.5	-13.5	-13.5	-13.5	-13.50
26	-13.8	-13.9	-(14.0)	-14.1	-14.2	-14.00
27	-14.5	-14.5	-14.6	-14.7	-14.6	-14.58
28	-15.1	-15.1	-15.2	-(15.45)	-15.7	-15.31
29	-16.05	-16.2	-16.4	-16.4	-16.5	-16.31
30	-16.75	-16.8	-16.9	-(16.95)	-17.0	-16.88
Med.	-17.24	-17.23	-17.23	-17.23	-17.22	-17.23
Absolutes Maximum: -13.0 (23; 24).						
Absolutes Minimum: -20.4 (13).						

Erdtemperatur

Juli 1902

Juli 1902

Tiefe: 3 dm.

Tiefe: 5 dm.

Dat.	9 a. m.	Mttg.	3 p. m.	6 p. m.	9 p. m.	Med.
1	-18.9	-18.8	-18.9	-19.0	-18.6	-18.84
2	-18.6	-19.0	-19.1	-(19.2)	-19.3	-19.04
3	-19.8	-19.7	-19.5	-(19.5)	-19.5	-19.60
4	-20.0	-20.0	-20.0	-19.9	-19.7	-19.92
5	-19.3	-19.1	-18.5	-17.8	-17.1	-18.36
6	-15.6	-(16.0)	-16.3	-16.5	-17.1	-16.30
7	-19.1	-19.5	-(19.7)	-20.0	-20.3	-19.72
8	-20.1	-20.0	-19.6	-19.2	-19.2	-19.62
9	-19.6	-20.0	-20.4	-21.5	-(21.3)	-20.56
10	-(20.2)	-(20.1)	-20.0	-19.6	-19.5	-19.88
11	-(19.8)	-19.9	-20.0	-20.1	-20.0	-19.96
12	-19.5	-19.5	-19.4	-19.4	-19.4	-19.44
13	-19.3	-(19.2)	-19.1	-18.9	-18.4	-18.98
14	-19.3	-(19.8)	-20.3	-20.6	-20.9	-20.18
15	-21.8	-21.9	-21.9	-22.0	-(22.1)	-21.94
16	-23.0	-23.0	-23.3	-23.3	-(23.6)	-23.24
17	-24.8	-24.9	-24.6	-24.4	-24.1	-24.56
18	-23.1	-22.7	-22.6	-22.3	-22.3	-22.60
19	-21.6	-21.3	-21.2	-21.0	-20.7	-21.16
20	-20.3	-20.2	-20.1	-20.1	-20.1	-20.16
21	-20.3	-20.3	-20.3	-20.3	-20.9	-20.42
22	-21.3	-(21.3)	-21.4	-21.4	-21.5	-21.38
23	-22.6	-23.0	-23.1	-23.3	-23.3	-23.06
24	-23.3	-23.5	-23.6	-23.8	-23.7	-23.58
25	-24.5	-24.6	-24.9	-24.7	-24.9	-24.72
26	-25.8	-26.0	-26.1	-(26.2)	-26.2	-26.06
27	-25.5	-25.3	-25.1	-25.0	-25.0	-25.18
28	-(25.3)	-25.3	-24.8	-24.3	-24.1	-24.76
29	-23.3	-23.3	-23.2	-23.3	-23.5	-23.32
30	-24.3	-24.5	-(24.6)	-24.7	-24.9	-24.60
31	-25.1	-25.3	-25.1	-25.1	-25.2	-25.16
Med.	-21.45	-21.52	-21.51	-21.50	-21.49	-21.49
Absolutes Maximum: -15.6 (6).						
Absolutes Minimum: -26.2 (26).						

Dat.	9 a. m.	Mttg.	3 p. m.	6 p. m.	9 p. m.	Med.
1	-17.25	-17.3	-17.45	-17.5	-17.5	-17.40
2	-17.6	-17.7	-17.8	-(17.9)	-17.95	-17.77
3	-18.2	-18.3	-18.4	-(18.4)	-18.4	-18.32
4	-18.6	-18.7	-18.7	-18.6	-18.7	-18.66
5	-18.7	-18.7	-(18.6)	-18.5	-18.4	-18.58
6	-17.8	-(17.6)	-17.4	-17.3	-17.3	-17.48
7	-17.7	-17.8	-(18.0)	-18.2	-18.4	-18.02
8	-18.8	-18.8	-18.9	-18.8	-18.9	-18.84
9	-18.7	-18.7	-18.8	-19.0	-(19.1)	-18.86
10	-(19.4)	-(19.5)	-19.6	-19.7	-19.7	-19.58
11	-(19.35)	-19.4	-19.3	-19.3	-19.3	-19.33
12	-19.3	-19.3	-19.2	-19.2	-19.1	-19.22
13	-19.0	-(19.0)	-19.0	-19.05	-19.0	-19.01
14	-18.7	-(18.8)	-18.95	-19.05	-19.2	-18.94
15	-17.8	-20.0	-20.05	-20.1	-20.2	-20.03
16	-20.7	-20.8	-20.9	-21.0	-21.1	-20.90
17	-21.6	-21.7	-21.9	-22.0	-22.05	-21.85
18	-21.95	-21.8	-21.8	-21.8	-21.7	-21.81
19	-21.45	-21.3	-21.2	-21.1	-21.05	-21.22
20	-20.7	-20.6	-20.5	-20.4	-20.4	-20.52
21	-20.2	-20.2	-20.15	-20.2	-20.2	-20.19
22	-20.45	-(20.5)	-20.6	-20.6	-20.7	-20.57
23	-21.0	-21.1	-21.2	-21.3	-21.5	-21.22
24	-21.8	-21.9	-21.95	-22.0	-22.1	-21.95
25	-22.35	-22.4	-22.5	-22.6	-22.7	-22.51
26	-23.2	-23.3	-23.4	-(23.45)	-23.5	-23.37
27	-23.8	-23.85	-23.8	-23.75	-23.7	-23.78
28	-(23.85)	-23.9	-23.9	-23.9	-23.8	-23.87
29	-23.3	-23.2	-23.1	-23.05	-23.0	-23.13
30	-23.1	-23.2	-(23.25)	-23.3	-23.4	-23.25
31	-23.7	-23.65	-23.65	-23.75	-23.8	-23.71
Med.	-20.39	-20.42	-20.45	-20.47	-20.51	-20.45
Absolutes Maximum: -17.25 (1).						
Absolutes Minimum: -23.9 (28).						

Erdtemperatur

Augusti 1902

1902 Augusti

Tiefe: 3 dm.

Tiefe: 5 dm.

Dat.	9 a. m.	Mttg.	3 p. m.	6 p. m.	9 p. m.	Med.
1	-26.0	-26.3	-26.3	-26.1	-26.2	-26.18
2	-26.2	-(26.1)	-26.0	-25.7	-25.7	-25.94
3	-26.3	-26.3	-26.3	-26.0	-26.0	-26.18
4	-24.6	-24.5	-24.6	-24.5	-24.5	-24.58
5	-24.8	-25.0	-25.0	-25.0	-25.1	-24.98
6	-26.1	-26.3	-26.5	-27.0	-27.3	-26.64
7	-29.1	-29.3	-29.3	-29.2	-29.1	-29.20
8	-28.8	-28.6	-28.3	-28.1	-27.5	-28.26
9	-24.1	-22.8	-22.6	-23.3	-(23.6)	-23.28
10	-25.3	-26.0	-26.0	-26.0	-26.3	-25.92
11	-25.3	-26.3	-26.1	-25.7	-25.6	-25.80
12	-25.7	-26.0	-26.1	-25.7	-25.7	-25.84
13	-(26.0)	-26.1	-26.1	-26.0	-26.3	-26.10
14	-27.1	-(27.1)	-27.1	-26.3	-25.3	-26.58
15	-23.3	-23.5	-23.9	-24.0	-24.3	-23.80
16	-25.2	-25.5	-25.4	-25.2	-25.1	-25.28
17	-22.8	-21.8	-20.5	-19.3	-18.3	-20.54
18	-15.3	-14.8	-14.4	-14.2	-14.3	-14.60
19	-14.6	-15.0	-15.1	-15.2	-15.2	-15.02
20	-15.3	-(15.3)	-15.3	-15.8	-16.3	-15.60
21	-17.6	-17.9	-18.1	-18.6	-18.5	-18.14
22	-19.3	-19.4	-19.3	-19.1	-19.2	-19.26
23	-20.7	-21.1	-21.3	-21.3	-21.5	-21.18
24	-21.0	-(20.8)	-20.5	-20.1	-19.7	-21.42
25	-19.0	-18.8	-18.5	-18.1	-17.9	-18.46
26	-18.1	-18.0	-17.4	-16.9	-16.7	-17.42
27	-17.3	-17.4	-17.2	-16.6	-16.2	-16.94
28	-14.8	-14.5	-(14.3)	-14.2	-14.1	-14.38
29	-14.9	-15.4	-15.8	-16.2	-16.5	-15.76
30	-16.5	-17.9	-18.9	-18.9	-18.7	-18.18
31	-21.0	-21.5	-21.7	-21.6	-21.8	-21.52
Med.	-22.00	-22.11	-22.06	-21.93	-21.89	-22.00
Absolutes Maximum: - 14.1 (28).						
Absolutes Minimum: - 29.3 (7).						

Dat.	9 a. m.	Mttg.	3 p. m.	6 p. m.	9 p. m.	Med.
1	-24.0	-24.1	-24.2	-24.3	-24.3	-24.18
2	-24.5	-(24.55)	-24.6	-24.7	-24.7	-24.61
3	-24.7	-24.75	-24.8	-24.85	-24.9	-24.80
4	-24.7	-24.6	-24.4	-24.3	-24.2	-24.44
5	-24.1	-24.1	-24.1	-24.2	-24.2	-24.14
6	-24.35	-24.5	-24.6	-24.7	-24.8	-24.59
7	-25.6	-25.8	-26.0	-26.3	-26.2	-25.98
8	-26.1	-26.3	-26.4	-26.5	-(26.55)	-26.37
9	-25.7	-25.3	-24.9	-24.6	-24.4	-24.90
10	-24.4	-24.5	-24.6	-24.8	-24.9	-24.64
11	-25.05	-25.1	-25.1	-25.1	-25.1	-25.09
12	-25.05	-25.0	-25.05	-25.1	-25.1	-25.06
13	-(25.2)	-25.2	-25.2	-25.2	-25.2	-25.20
14	-25.4	-(25.5)	-25.6	-25.7	-25.7	-25.58
15	-24.8	-24.4	-24.4	-24.3	-24.3	-24.44
16	-24.5	-24.5	-24.7	-24.8	-24.8	-24.66
17	-24.5	-24.2	-23.7	-23.5	-22.8	-23.74
18	-20.7	-20.5	-19.95	-19.7	-19.5	-20.07
19	-18.3	-18.25	-18.2	-18.1	-18.1	-18.19
20	-18.0	-(18.0)	-18.0	-18.0	-18.0	-18.00
21	-18.2	-18.4	-18.5	-18.6	-18.7	-18.48
22	-19.05	-19.1	-19.2	-19.3	-19.4	-19.21
23	-19.7	-19.9	-20.05	-20.3	-20.5	-20.09
24	-20.8	-(20.8)	-20.8	-20.7	-20.7	-20.72
25	-20.1	-20.1	-20.0	-19.9	-19.7	-19.96
26	-19.5	-19.3	-19.2	-19.2	-19.0	-19.24
27	-18.65	-18.6	-18.6	-18.5	-18.5	-18.57
28	-17.8	-17.7	-(17.55)	-17.4	-17.15	-17.52
29	-16.8	-16.8	-16.9	-17.0	-17.1	-16.92
30	-17.65	-17.9	-18.1	-18.2	-18.4	-18.05
31	-19.0	-19.2	-19.45	-19.8	-19.95	-19.48
Med.	-22.16	-22.16	-22.16	-22.18	-22.15	-22.16
Absolutes Maximum: - 16.8 (29).						
Absolutes Minimum: - 26.55 (8).						

Erdtemperatur

September 1902

September 1902

Tiefe: 3 dm.

Tiefe: 5 dm.

Dat.	9 a. m.	Mttg.	3 p. m.	6 p. m.	9 p. m.	Med.
1	-22.6	-23.0	-22.9	-22.8	-22.1	-22.68
2	-23.7	-24.0	-23.9	-23.4	-24.0	-23.80
3	-24.3	-24.1	-22.9	-22.0	-21.0	-22.86
4	-19.4	-18.8	-18.3	-18.4	-17.5	-18.48
5	-17.7	-18.0	-18.1	-18.3	-18.3	-18.08
6	-18.6	-18.6	-18.5	-18.3	-17.7	-18.34
7	-18.9	-19.0	-18.5	-17.9	-17.3	-18.32
8	-18.6	-19.3	-19.5	-19.5	-19.5	-19.28
9	-20.4	-20.5	-20.5	-20.3	-20.3	-20.40
10	-21.3	-21.6	-21.0	-20.3	-19.0	-20.64
11	-18.0	-17.8	-17.2	-16.2	-15.5	-16.94
12	-15.3	-14.9	-14.3	-13.5	-13.1	-14.22
13	-13.5	-13.3	-13.0	-12.2	(-11.8)	-12.76
14	-12.1	-12.3	-12.0	-12.1	-11.9	-12.08
15	-12.4	-12.1	-11.7	-11.3	-11.1	-11.72
16	-10.1	-9.9	-9.5	-9.2	-9.0	-9.54
17	-8.3	-8.3	-8.0	-7.8	-7.8	-8.04
18	-7.9	-7.8	-7.6	-7.3	-7.1	-7.54
19	-8.6	-9.0	-9.1	-8.9	-9.1	-8.94
20	-10.3	-10.9	-11.3	-11.5	-11.7	-11.14
21	-13.3	-13.5	-13.6	-13.6	-13.8	-13.56
22	-13.5	-13.5	-13.1	-13.0	-12.8	-13.18
23	-13.1	-13.2	-13.0	-12.4	-12.3	-12.80
24	-12.2	-12.2	-12.1	-12.1	-12.1	-12.14
25	-13.6	-14.1	-14.2	-14.3	-14.7	-14.18
26	-15.3	-15.3	-15.3	-15.5	-15.3	-15.30
27	-16.3	-16.5	-16.6	-16.7	-17.1	-16.64
28	-17.9	-17.4	-17.5	-17.1	-17.0	-17.38
29	-16.3	-16.1	-15.1	-14.2	-13.5	-15.04
30	-13.1	-13.1	-12.5	-11.8	-11.5	-12.40
Med.	-15.55	-15.60	-15.36	-15.06	-14.83	-15.28
Absolutes Maximum: - 7.1 (18). Absolutes Minimum: -24.3 (3).						

Dat.	9 a. m.	Mttg.	3 p. m.	6 p. m.	9 p. m.	Med.
1	-20.5	-20.6	-20.8	-21.0	-21.0	-20.78
2	-21.5	-21.6	-21.7	-21.9	-21.9	-21.72
3	-22.2	-22.2	-22.3	-22.25	-22.1	-22.21
4	-21.15	-21.0	-20.8	-20.4	-20.2	-20.71
5	-19.5	-19.4	-19.4	-19.4	-19.3	-19.40
6	-19.4	-19.4	-19.4	-19.3	-19.3	-19.36
7	-19.2	-19.2	-19.2	-19.2	-19.15	-19.19
8	-18.8	-18.9	-19.05	-19.15	-19.25	-19.03
9	-19.65	-19.8	-19.9	-20.0	-20.0	-19.87
10	-20.2	-20.2	-20.3	-20.5	-20.5	-20.34
11	-19.6	-19.4	-19.3	-19.1	-18.9	-19.46
12	-18.0	-17.9	-17.5	-17.3	-17.0	-17.54
13	-16.3	-16.2	-16.1	-15.8	(-15.65)	-16.01
14	-15.2	-14.9	-14.9	-14.8	-14.7	-14.90
15	-14.65	-14.55	-14.5	-14.4	-14.3	-14.48
16	-13.7	-13.4	-13.4	-13.2	-13.2	-13.38
17	-12.2	-12.2	-12.2	-12.0	-12.0	-12.12
18	-11.2	-11.1	-11.1	-11.1	-11.05	-11.11
19	-10.9	-11.05	-11.05	-11.2	-11.3	-11.10
20	-11.4	-11.6	-11.75	-11.9	-12.0	-11.73
21	-12.8	-12.95	-13.1	-13.2	-13.4	-12.89
22	-13.7	-13.75	-13.75	-13.75	-13.8	-13.75
23	-13.7	-13.7	-13.8	-13.8	-13.7	-13.74
24	-13.4	-13.4	-13.4	-13.35	-13.35	-13.38
25	-13.5	-13.7	-13.8	(-13.9)	-13.95	-13.77
26	-14.5	-14.6	-14.7	-14.75	-14.9	-14.69
27	-15.2	-15.3	-15.5	-15.6	-15.8	-15.48
28	-16.2	-16.3	-16.4	-16.5	-16.6	-16.40
29	-16.5	-16.4	-16.3	-16.2	-16.0	-16.28
30	-15.05	-15.0	(-14.85)	-14.7	-14.55	-14.83
Med.	-16.33	-16.32	-16.34	-16.32	-16.29	-16.32
Absolutes Maximum: - 10.9 (19). Absolutes Minimum: - 22.3 (3).						

Hill

Erdtemperatur

Oktober 1902

1902 Oktober

Tiefe: 3 dm.

Tiefe: 5 dm.

Dat.	9 a. m.	Mittg.	3 p. m.	6 p. m.	9 p. m.	Med.
1	-10.7	-10.6	-10.3	-9.6	-9.3	-10.10
2	-9.7	-9.6	-9.4	-9.0	-8.3	-9.20
3	-8.7	-8.5	-8.3	-7.8	-7.3	-8.12
4	-7.6	-7.6	-7.5	-7.3	-6.9	-7.38
5	-6.7	-6.7	-6.8	-7.0	-7.4	-6.92
6	-8.6	-8.6	-8.1	-7.6	-7.0	-7.98
7	-6.6	-6.8	-6.8	-6.6	-6.5	-6.66
8	-7.9	-8.0	-7.7	-7.1	-6.4	-7.42
9	-6.6	-6.6	-6.5	-6.1	-5.6	-6.28
10	-5.3	-5.3	-5.3	-4.9	-4.6	-5.08
11	-6.3	-6.5	-6.4	-6.3	-5.6	-6.22
12	-6.4	-6.7	-7.5	-7.9	-8.3	-7.36
13	-10.8	-11.3	-11.0	-10.3	-10.1	-10.70
14	-12.0	-12.3	-12.4	-12.4	-12.3	-12.28
15	-13.4	-13.4	-12.7	-11.8	-11.3	-12.52
16	-12.6	-12.9	-13.1	-13.3	-13.3	-13.04
17	-14.0	-13.9	-13.7	-13.7	-13.7	-13.80
18	-15.3	-15.4	-15.0	-14.6	-14.3	-14.92
19	-15.3	-15.5	-15.2	-15.3	-15.3	-15.32
20	-16.3	-16.1	-15.6	-15.3	-15.1	-15.68
21	-15.0	-14.7	-14.0	-13.5	-13.3	-14.10
22	-13.7	-13.4	-12.5	-11.6	-10.6	-12.36
23	-11.0	-11.1	-10.7	-10.4	-10.2	-10.68
24	-11.3	-11.5	-11.6	-11.8	-12.3	-11.70
25	-13.7	-13.9	-13.6	-13.7	-13.7	-13.72
26	-13.9	-13.9	-13.7	-13.7	-13.9	-13.82
27	-14.1	-13.8	-13.6	-13.3	-13.1	-13.58
28	-13.2	-13.0	-12.5	-12.4	-12.5	-12.72
29	-13.6	-13.5	-13.3	-12.9	-12.5	-13.16
30	-13.0	-12.9	-12.4	-12.1	-11.6	-12.40
31	-12.6	-12.3	-11.4	-11.7	-11.6	-11.92
Med.	-11.16	-11.16	-10.92	-10.68	-10.45	-10.87
Absolutes Maximum: - 4.6 (10).						
Absolutes Minimum: -16.3 (20).						

Dat.	9 a. m.	Mittg.	3 p. m.	6 p. m.	9 p. m.	Med.
1	-13.7	-13.55	-13.4	-13.2	-13.05	-13.38
2	-12.25	-12.25	-12.2	-12.1	-12.0	-12.16
3	-11.5	-11.5	-11.4	-11.2	-11.05	-11.33
4	-10.6	-10.6	-10.5	-10.45	-10.4	-10.51
5	-9.8	-9.85	-9.9	-9.85	-9.85	-9.85
6	-10.0	-10.1	-10.3	-10.0	-9.8	-10.04
7	-9.6	-9.5	-9.5	-9.4	-9.45	-9.49
8	-9.35	-9.4	-9.5	-9.5	-9.5	-9.45
9	-9.2	-9.05	-9.0	-8.95	-8.9	-9.02
10	-8.45	-8.35	-8.3	-8.2	-8.2	-8.30
11	-8.0	-8.1	-8.2	-8.15	-8.2	-8.13
12	-8.2	-8.2	-8.2	-8.3	-8.5	-8.28
13	-9.3	-9.55	-9.85	-10.05	-10.05	-9.76
14	-10.4	-10.65	-10.9	-11.0	-11.2	-10.83
15	-11.8	-11.95	-12.0	-12.1	-12.0	-11.97
16	-11.9	-12.0	-12.1	-12.15	-12.3	-12.09
17	-12.8	-12.9	-13.0	-13.0	-13.1	-12.96
18	-13.4	-13.6	-13.7	-13.75	-13.8	-13.65
19	-13.9	-14.0	-14.2	-14.2	-14.4	-14.14
20	-14.7	-14.7	-14.8	-14.8	-14.9	-14.78
21	-14.7	-14.7	-14.65	-14.55	-14.5	-14.62
22	-14.2	-14.2	-13.9	-13.3	-13.1	-13.74
23	-12.8	-12.75	-12.7	-12.7	-12.5	-12.69
24	-12.2	-12.3	-12.3	-12.3	-12.5	-12.32
25	-12.9	-13.0	-13.1	-13.2	-13.3	-13.10
26	-13.5	-13.55	-13.6	-13.6	-13.65	-13.58
27	-13.8	-13.75	-13.7	-13.7	-13.75	-13.74
28	-13.6	-13.6	-13.6	-13.5	-13.5	-13.56
29	-13.4	-13.5	-13.6	-13.6	-13.6	-13.54
30	-13.4	-13.4	-13.3	-13.3	-13.3	-13.34
31	-13.1	-13.1	-13.2	-13.1	-13.0	-13.10
Med.	-11.82	-11.85	-11.89	-11.84	-11.85	-11.85
Absolutes Maximum: - 8.0 (11).						
Absolutes Minimum: -14.9 (20).						

Erdtemperatur

November 1902

Tiefe: 3 dm.

Dat.	3 a. m.	6 a. m.	9 a. m.	Mittg.	3 p. m.	6 p. m.	9 p. m.	Mitn.	Med.	Dat.
1	-(12.0)	-(12.2)	-12.4	-12.4	-12.3	-12.0	-11.8	-11.3	-12.11	1
2	-11.9	-12.1	-12.2	-12.1	-11.9	-11.7	-11.6	-(11.5)	-11.88	2
3	-11.7	-12.0	-12.1	-12.1	-12.0	-11.8	-11.7	-11.7	-11.89	3
4	-12.0	-12.0	-12.3	-12.1	-11.8	-11.1	-10.3	-(10.1)	-11.46	4
5	-(10.4)	-10.5	-10.7	-10.8	-10.3	-10.2	-9.9	-9.9	-10.34	5
6	-10.1	-10.3	-10.3	-10.3	-10.3	-9.9	-9.4	-9.3	-9.99	6
7	-9.2	-9.6	-9.9	-10.1	-9.3	-8.7	-8.0	-7.5	-9.04	7
8	-7.3	-7.3	-7.3	-7.3	-6.8	-6.6	-6.3	-6.1	-6.88	8
9	-5.8	-5.8	-6.0	-6.4	-6.4	-6.3	-5.9	-6.0	-6.08	9
10	-6.3	-6.5	-6.7	-6.8	-6.6	-6.5	-6.3	-6.3	-6.50	10
11	-6.4	-6.7	-6.9	-7.0	-7.0	-7.0	-6.9	-7.0	-6.86	11
12	-7.2	-7.3	-7.6	-7.8	-7.6	-7.3	-7.3	-7.3	-7.43	12
13	-7.2	-7.5	-7.7	-7.6	-7.6	-7.3	-7.1	-7.2	-7.40	13
14	-7.3	-7.3	-7.5	-7.7	-7.3	-6.9	-6.5	-6.1	-7.08	14
15	-6.1	-6.1	-6.3	-6.3	-6.3	-5.8	-5.7	-5.6	-6.03	15
16	-5.7	-6.0	-6.2	-6.3	-6.3	-6.1	-6.3	-6.3	-6.15	16
17	-(6.6)	-6.9	-7.3	-7.3	-7.2	-6.8	-6.5	-6.5	-6.89	17
18	-6.7	-7.3	-7.5	-7.6	-7.7	-7.7	-7.6	-7.5	-7.45	18
19	-8.0	-8.3	-8.3	-8.3	-8.0	-7.5	-6.9	-6.5	-7.72	19
20	-6.5	-6.5	-6.5	-6.3	-6.1	-5.9	-5.7	-5.3	-6.10	20
21	-5.4	-5.3	-5.7	-5.6	-5.5	-5.3	-5.0	-5.0	-5.35	21
22	-5.0	-5.3	-5.5	-5.7	-5.6	-5.3	-5.0	-4.7	-5.26	22
23	-4.6	-4.6	-4.9	-4.9	-4.6	-4.4	-4.3	-4.0	-4.53	23
24	-4.0	-4.0	-4.0	-4.1	-4.0	-3.9	-3.8	-3.5	-3.91	24
25	-3.5	-3.3	-3.6	-3.9	-3.9	-3.5	-3.4	-3.3	-3.55	25
26	-3.3	-3.3	-3.3	-3.3	-3.3	-3.3	-3.3	-3.1	-3.27	26
27	-3.1	-3.3	-3.5	-3.6	-3.6	-3.9	-4.0	-4.4	-3.67	27
28	-4.3	-4.3	-4.6	-4.6	-4.3	-4.0	-3.6	-3.4	-4.13	28
29	-3.2	-3.2	-3.1	-3.0	-2.9	-2.7	-2.7	-2.6	-2.93	29
30	-2.7	-2.3	-2.6	-2.6	-2.3	-2.3	-2.3	-2.3	-2.42	30
Med.	-6.78	-6.90	-7.08	-7.13	-6.96	-6.72	-6.50	-6.39	-6.81	Med.
Absolutes Maximum: — 2.3 (30). Absolutes Minimum: — 12.4 (1).										

Erdtemperatur

1902 November

Tiefe: 5 dm.

Dat.	3 a. m.	6 a. m.	9 a. m.	Mittg.	3 p. m.	6 p. m.	9 p. m.	Mttn.	Med.	Dat.
1	-(12.95)	-(12.9)	-12.9	-13.0	-13.0	-13.0	-12.95	-12.9	-12.95	1
2	-12.8	-12.8	-12.8	-12.8	-12.8	-12.8	-12.7	-12.7	-12.78	2
3	-12.7	-12.7	-12.7	-12.7	-12.8	-12.7	-12.7	-12.7	-12.71	3
4	-12.6	-12.6	-12.6	-12.7	-12.7	-12.7	-12.5	-(12.3)	-12.59	4
5	-12.1	-12.0	-12.0	-12.0	-12.0	-11.95	-11.8	-11.8	-11.96	5
6	-11.6	-11.6	-11.7	-11.5	-11.5	-11.5	-11.4	-11.3	-11.51	6
7	-11.2	-11.1	-11.1	-11.2	-11.1	-11.0	-11.9	-11.6	-11.28	7
8	-10.4	-10.3	-10.1	-10.0	-9.9	-9.8	-9.7	-9.5	-9.96	8
9	-9.3	-9.1	-9.0	-8.9	-8.9	-8.9	-8.8	-8.9	-8.98	9
10	-8.6	-8.6	-8.6	-8.6	-8.6	-8.6	-8.6	-8.6	-8.60	10
11	-8.5	-8.4	-8.5	-8.5	-8.5	-8.5	-8.5	-8.6	-8.50	11
12	-8.6	-8.6	-8.6	-8.7	-8.8	-8.8	-8.7	-8.7	-8.69	12
13	-8.7	-8.7	-8.7	-8.7	-8.7	-8.7	-8.7	-8.75	-8.70	13
14	-8.7	-8.65	-8.65	-8.7	-8.7	-8.7	-8.7	-8.6	-8.68	14
15	-8.45	-8.3	-8.2	-8.1	-8.1	-8.0	-8.0	-7.9	-8.13	15
16	-7.8	-7.8	-7.8	-7.8	-7.8	-7.8	-7.8	-7.9	-7.81	16
17	-(7.9)	-8.0	-8.0	-8.1	-8.1	-8.1	-8.1	-8.05	-8.04	17
18	-8.0	-8.0	-8.1	-8.2	-8.2	-8.3	-8.7	-8.7	-8.28	18
19	-8.4	-8.5	-8.6	-8.6	-8.7	-8.7	-8.6	-8.5	-8.58	19
20	-8.35	-8.3	-8.2	-8.0	-8.0	-8.0	-7.9	-7.7	-8.06	20
21	-7.6	-7.6	-7.4	-7.4	-7.4	-7.4	-7.3	-7.2	-7.41	21
22	-7.2	-7.1	-7.1	-7.1	-7.15	-7.1	-7.05	-7.0	-7.10	22
23	-6.9	-6.7	-6.7	-6.7	-6.7	-6.7	-6.7	-6.6	-6.71	23
24	-6.45	-6.4	-6.3	-6.25	-6.2	-6.2	-6.1	-6.0	-6.23	24
25	-6.0	-6.0	-5.9	-5.9	-5.8	-5.8	-5.75	-5.75	-5.86	25
26	-5.7	-5.6	-5.6	-5.6	-5.5	-5.5	-5.45	-5.4	-5.54	26
27	-5.35	-5.3	-5.3	-5.3	-5.3	-5.3	-5.3	-5.4	-5.31	27
28	-5.3	-(5.4)	-5.5	-5.5	-5.6	-5.6	-5.6	-5.55	-5.50	28
29	-5.5	-5.3	-5.25	-5.2	-5.1	-5.1	-5.05	-5.0	-5.18	29
30	-4.95	-4.95	-4.9	-4.8	-4.75	-4.7	-4.6	-4.6	-4.78	30
Med.	-8.62	-8.58	-8.56	-8.55	-8.55	-8.53	-8.52	-8.47	-8.55	Med.
Absolutes Maximum: - 4.6 (30). Absolutes Minimum: - 13.0 (1).										

Erdtemperatur

December 1902

Tiefe: 3 dm.

Dat.	3 a. m.	6 a. m.	9 a. m.	Mittg.	3 p. m.	6 p. m.	9 p. m.	Mittn.	Med.	Dat.
1	-2.3	-2.3	-2.3	-2.3	-2.1	-2.1	-2.1	-2.0	-2.19	1
2	-2.0	-2.0	-2.0	-1.9	-1.9	-1.9	-1.9	-1.8	-1.93	2
3	-1.8	-1.8	-1.7	-1.8	-1.7	-1.6	-1.6	-1.5	-1.69	3
4	-1.5	-1.5	-1.6	-1.5	-1.5	-1.5	-1.4	-1.5	-1.50	4
5	-1.3	-1.3	-1.3	-1.3	-1.3	-1.1	-1.0	-1.0	-1.20	5
6	-(1.0)	-1.0	-1.0	-1.1	-1.0	-1.1	-1.0	-0.9	-1.01	6
7	-0.9	-1.0	-1.0	-1.0	-1.0	-0.9	-0.7	-0.6	-0.89	7
8	-0.7	-0.6	-0.8	-0.8	-0.7	-0.6	-0.5	-0.5	-0.65	8
9	-0.5	-0.5	-0.6	-0.5	-0.4	-0.3	-0.3	-0.2	-0.41	9
10	-0.3	-0.3	-0.3	-0.3	-0.3	-0.1	± 0.0	± 0.0	-0.20	10
11	-0.1	-0.3	-0.3	-0.4	-0.3	-0.1	± 0.0	± 0.0	-0.19	11
12	-(0.1)	-0.2	-0.2	-0.1	-0.1	± 0.0	± 0.0	± 0.0	-0.08	12
13	-0.1	-0.2	-0.2	-0.1	-0.1	+ 0.1	+ 0.2	+ 0.3	-0.01	13
14	+ 0.1	± 0.0	± 0.0	± 0.0	+ 0.1	+ 0.3	+ 0.3	+ 0.1	+ 0.11	14
15	-0.1	-0.1	-0.1	-0.1	-0.1	+ 0.2	+ 0.3	+ 0.3	+ 0.03	15
16	+ 0.2	+ 0.1	± 0.0	-0.1	-0.1	-0.1	-0.1	± 0.0	-0.01	16
17	± 0.0	± 0.0	-0.1	-0.1	-0.1	± 0.0	+ 0.1	± 0.0	-0.02	17
18	-0.1	-0.1	-0.2	-0.1	-0.1	± 0.0	+ 0.3	+ 0.3	± 0.00	18
19	+ 0.1	+ 0.1	± 0.0	+ 0.1	+ 0.3	+ 0.6	+ 0.7	+ 0.8	+ 0.33	19
20	+ 0.6	+ 0.4	+ 0.2	+ 0.2	+ 0.3	+ 0.3	+ 0.4	+ 0.2	+ 0.33	20
21	+ 0.2	+ 0.2	+ 0.2	± 0.0	+ 0.3	+ 0.2	+ 0.4	+ 0.5	+ 0.25	21
22	+ 0.3	+ 0.2	+ 0.1	+ 0.2	+ 0.4	+ 0.6	+ 0.7	+ 0.7	+ 0.40	22
23	+ 0.5	+ 0.6	+ 0.4	+ 0.2	+ 0.3	+ 0.4	+ 0.4	+ 0.4	+ 0.40	23
24	+ 0.3	+ 0.1	± 0.0	± 0.0	± 0.0	+ 0.6	+ 0.7	+ 0.9	+ 0.33	24
25	+ 0.7	+ 0.5	+ 0.4	+ 0.2	+ 0.4	+ 0.7	+ 0.9	+ 0.7	+ 0.56	25
26	+ 0.7	+ 0.4	+ 0.3	+ 0.3	+ 0.1	+ 0.1	+ 0.1	+ 0.2	+ 0.28	26
27	+ 0.1	+ 0.2	+ 0.1	+ 0.1	+ 0.1	+ 0.1	+ 0.1	+ 0.1	+ 0.11	27
28	+ 0.2	+ 0.1	+ 0.1	+ 0.1	+ 0.2	+ 0.3	+ 0.6	+ 0.6	+ 0.28	28
29	+ 0.4	+ 0.4	+ 0.2	+ 0.2	+ 0.5	+ 0.7	+ 0.9	+ 1.0	+ 0.54	29
30	+ 1.0	+ 0.7	+ 0.6	+(0.7)	+ 0.9	+ 1.4	+ 1.6	+ 1.6	+ 1.06	30
31	+ 0.4	+ 1.1	+ 0.8	+ 0.9	+ 1.2	+ 0.9	+ 2.5	+ 2.7	+ 1.31	31
Med.	- 0.22	- 0.26	- 0.30	- 0.33	- 0.28	- 0.16	+ 0.02	+ 0.04	- 0.18	Med.
Absolutes Maximum: + 2.7 (31). Absolutes Minimum: - 2.3 (1).										

Erdtemperatur

1902 December

Tiefe: 5 dm.

Dat.	3 a. m.	6 a. m.	9 a. m.	Mittg.	3 p. m.	6 p. m.	9 p. m.	Mittn.	Med.	Dat.
1	-4.5	-4.5	-4.5	-4.4	-4.4	-4.3	-4.3	-4.3	-4.40	1
2	-4.3	-4.2	-4.2	-4.2	-4.2	-4.1	-4.05	-4.05	-4.16	2
3	-4.05	-4.0	-4.0	-4.0	-3.95	-3.9	-3.9	-3.95	-3.97	3
4	-3.9	-3.8	-3.7	-3.7	-3.7	-3.7	-3.7	-3.7	-3.74	4
5	-3.7	-3.6	-3.5	-3.5	-3.5	-3.4	-3.4	-3.4	-3.50	5
6	-(3.4)	-3.4	-3.35	-3.3	-3.3	-3.3	-3.25	-3.2	-3.31	6
7	-3.2	-3.1	-3.1	-3.05	-3.05	-3.05	-3.05	-3.05	-3.08	7
8	-3.0	-3.0	-3.0	-3.0	-3.0	-2.95	-2.95	-2.95	-2.96	8
9	-2.9	-2.8	-2.8	-2.8	-2.75	-2.7	-2.7	-2.7	-2.77	9
10	-2.7	-2.7	-2.6	-2.6	-2.6	-2.55	-2.55	-2.5	-2.60	10
11	-2.5	-2.5	-2.5	-2.4	-2.35	-2.3	-2.3	-2.3	-2.39	11
12	-2.1	-2.1	-2.2	-2.2	-2.2	-2.2	-2.2	-2.2	-2.18	12
13	-2.2	-2.1	-2.1	-2.05	-2.05	-2.1	-2.05	-2.1	-2.09	13
14	-2.05	-2.05	-2.05	-2.05	-2.05	-2.0	-2.0	-2.0	-2.03	14
15	-1.95	-2.0	-1.9	-1.95	-1.9	-1.9	-1.9	-1.9	-1.93	15
16	-1.9	-1.9	-1.95	-1.95	-1.95	-1.95	-1.9	-1.9	-1.93	16
17	-1.8	-1.9	-1.85	-1.8	-1.8	-1.8	-1.8	-1.9	-1.83	17
18	-1.8	-1.8	-1.8	-1.8	-1.8	-1.8	-1.8	-1.75	-1.79	18
19	-1.8	-1.8	-1.7	-1.7	-1.7	-1.8	-1.6	-1.6	-1.71	19
20	-1.65	-1.65	-1.7	-1.7	-1.65	-1.65	-1.7	-1.7	-1.68	20
21	-1.6	-1.6	-1.6	-1.6	-1.55	-1.55	-1.55	-1.6	-1.58	21
22	-1.6	-1.5	-1.5	-1.55	-1.5	-1.5	-1.5	-1.5	-1.52	22
23	-1.5	-1.45	-1.4	-1.45	-1.5	-1.4	-1.4	-1.45	-1.44	23
24	-1.45	-1.45	-1.45	-1.45	-1.4	-1.4	-1.4	-1.4	-1.42	24
25	-1.3	-1.35	-1.35	-1.3	-1.3	-1.3	-1.3	-1.3	-1.31	25
26	-1.25	-1.3	-1.3	-1.3	-1.25	-1.25	-1.25	-1.25	-1.27	26
27	-1.2	-1.5	-1.2	-1.2	-1.2	-1.25	-1.25	-1.25	-1.22	27
28	-1.25	-1.2	-1.2	-1.2	-1.2	-1.2	-1.2	-1.25	-1.21	28
29	-1.2	-1.25	-1.2	-1.2	-1.2	-1.2	-1.2	-1.1	-1.19	29
30	-1.15	-1.15	-1.15	-(1.1)	-1.1	-1.1	-1.05	-1.1	-1.12	30
31	-1.05	-1.1	-1.1	-1.1	-1.1	-1.05	-1.05	-1.0	-1.06	31
Med.	-2.26	-2.24	-2.24	-2.21	-2.20	-2.18	-2.17	-2.17	-2.20	Med.
Absolutes Maximum: -1.0 (31). Absolutes Minimum: -4.5 (1).										

Erdtemperatur

Januari 1903

Tiefe: 3 dm.

Dat.	3 a. m.	6 a. m.	9 a. m.	Mittg.	3 p. m.	6 p. m.	9 p. m.	Mittn.	Med.	Dat.
1	+ 2.2	+ 1.7	+ 1.4	+ 1.2	+ 1.5	+ 1.8	+ 2.2	+ 2.2	+ 1.78	1
2	+ 2.0	+ 1.4	+ 1.4	+ 0.9	+ 1.2	+ 1.7	+ 2.0	+ 1.9	+ 1.56	2
3	+ 1.7	+ 1.4	+ 1.2	+ 1.0	+ 1.0	+ 1.1	+ 1.2	+ 1.1	+ 1.21	3
4	+ 1.0	+ 0.8	+ 0.6	+ 0.7	+ 1.0	+ 1.7	+ 2.5	+ 2.7	+ 1.38	4
5	+ 2.4	+ 2.4	+ 1.5	+ 1.4	+ 1.4	+ 1.3	+ 1.1	+ 1.0	+ 1.56	5
6	+ 0.7	+ 0.5	+ 0.4	+ 0.4	+ 0.4	+ 0.3	+ 0.4	+ 0.7	+ 0.48	6
7	+ 0.3	+ 0.3	+ 0.3	+ 0.3	+ 0.3	+ 0.3	+ 0.4	+ 0.7	+ 0.36	7
8	+ 0.7	+ 0.7	+ 0.5	+ 0.6	+ 0.9	+ 1.4	+ 1.7	+ 1.7	+ 1.03	8
9	+ 1.4	+ 1.3	+ 0.9	+ 0.7	+ 0.7	+ 0.7	+ 0.7	+ 0.9	+ 0.91	9
10	+ 0.7	+ 0.6	+ 0.4	+ 0.4	+ 0.3	+ 0.2	+ 0.3	+ 0.4	+ 0.41	10
11	+ 0.4	+ 0.4	+ 0.3	+ 0.3	+ 0.3	+ 0.4	+ 0.6	+ 0.7	+ 0.43	11
12	+ 0.7	+ 0.5	+ 0.5	+ 0.4	+ 0.7	+ (1.7)	+ 2.7	+ 2.5	+ 1.21	12
13	+ 2.4	+ 2.4	+ 1.3	+ 1.3	+ 1.2	+ 1.4	+ (1.4)	+ 1.4	+ 1.60	13
14	+ 1.1	+ 0.9	+ 0.7	+ 0.7	+ 1.0	+ 1.9	+ 2.4	+ 2.7	+ 1.41	14
15	+ 2.5	+ 2.0	+ 1.5	+ 1.3	+ 1.3	+ 1.5	+ 1.6	+ 1.4	+ 1.64	15
16	+ 1.1	+ 0.9	+ 0.7	+ 0.5	+ 0.5	+ 0.9	+ 1.6	+ 1.7	+ 0.99	16
17	+ 2.5	+ 2.2	+ 0.9	+ 0.9	+ 0.9	+ 1.1	+ 1.1	+ 1.2	+ 1.35	17
18	+ 0.9	+ 0.7	+ 0.6	+ 0.5	+ 0.7	+ 0.9	+ 1.4	+ 1.8	+ 0.94	18
19	+ 1.5	+ 1.5	+ 1.0	+ 0.9	+ 1.0	+ 1.7	+ 2.6	+ 3.1	+ 1.66	19
20	+ 3.0	+ 2.4	+ 1.9	+ 1.7	+ 1.7	+ 2.3	+ 2.7	+ 2.7	+ 2.30	20
21	+ 2.5	+ 2.0	+ 1.6	+ 1.5	+ 1.9	+ 2.9	+ 3.6	+ 3.6	+ 2.45	21
22	+ 3.0	+ 2.6	+ 2.0	+ 1.7	+ 2.3	+ 2.3	+ 4.3	+ 4.8	+ 2.88	22
23	+ 4.6	+ 4.1	+ 3.4	+ 2.9	+ 2.9	+ 3.7	+ 4.5	+ 4.9	+ 3.88	23
24	+ 4.6	+ 4.0	+ 3.4	+ 3.0	+ 3.0	+ 3.1	+ 3.0	+ 2.7	+ 3.35	24
25	+ 2.4	+ 2.1	+ 1.7	+ 1.6	+ 1.7	+ 2.2	+ 2.5	+ 2.6	+ 2.10	25
26	+ 2.2	+ 2.0	+ 1.7	+ 1.6	+ 1.7	+ 2.4	+ 3.0	+ 3.2	+ 2.22	26
27	+ 3.0	+ 2.9	+ 2.2	+ 2.1	+ 2.2	+ 2.5	+ 2.7	+ 2.5	+ 2.51	27
28	+ 2.4	+ 1.9	+ 1.6	+ 1.6	+ 1.4	+ 1.6	+ 1.7	+ 1.7	+ 1.73	28
29	+ 1.6	+ 1.3	+ 1.1	+ 0.7	+ 0.7	+ 0.7	+ 0.6	+ 0.6	+ 0.91	29
30	+ 0.7	+ 0.5	+ 0.4	+ 0.4	+ 0.4	+ 0.7	+ 1.2	+ 1.5	+ 0.72	30
31	+ 1.2	+ 1.1	+ 1.1	+ 0.9	+ 1.1	+ 2.0	+ 2.9	+ 3.5	+ 1.72	31
Med.	+ 1.85	+ 1.60	+ 1.23	+ 1.10	+ 1.20	+ 1.56	+ 1.96	+ 2.06	+ 1.57	Med.
Absolutes Maximum: + 4.9 (23). Absolutes Minimum: + 0.2 (10).										

Erdtemperatur

1903 Januari

Tiefe: 5 dm.

Dat.	3 a. m.	6 a. m.	9 a. m.	Mttg.	3 p. m.	6 p. m.	9 p. m.	Mttn.	Med.	Dat.
1	-1.0	-1.0	-1.0	-1.0	-1.0	-1.0	-0.95	-0.95	-0.99	1
2	-0.95	-0.9	-0.9	-0.9	-0.9	-0.9	-0.9	-0.85	-0.90	2
3	-0.9	-0.8	-0.8	-0.8	-0.8	-0.8	-0.8	-0.85	-0.82	3
4	-0.8	-0.8	-0.8	-0.8	-0.8	-0.8	-0.75	-0.7	-0.78	4
5	-0.7	-0.7	-0.7	-0.7	-0.7	-0.7	-0.7	-0.7	-0.70	5
6	-0.7	(-0.7)	-0.7	-0.7	-0.7	-0.7	-0.7	-0.7	-0.70	6
7	-0.7	-0.7	-0.7	-0.7	-0.7	-0.7	-0.7	-0.8	-0.71	7
8	-0.7	-0.7	-0.7	-0.7	-0.7	-0.7	-0.7	-0.7	-0.70	8
9	-0.7	-0.7	-0.7	-0.7	-0.6	-0.6	-0.6	-0.65	-c.66	9
10	-0.65	-0.7	-0.7	-0.7	-0.7	-0.7	-0.7	-0.75	-0.70	10
11	-0.7	-0.65	-0.65	-0.6	-0.6	-0.6	-0.6	-0.7	-0.64	11
12	-0.7	(-0.7)	-0.6	-0.7	-0.7	-0.7	-0.7	-0.65	-0.68	12
13	-0.6	-0.6	-0.5	-0.55	-0.6	-0.6	(-0.7)	-0.7	-0.61	13
14	-0.65	-0.65	-0.6	-0.55	-0.6	-0.6	-0.6	-0.6	-0.61	14
15	-0.5	-0.55	-0.55	-0.55	-0.55	-0.5	-0.5	-0.5	-0.53	15
16	-0.5	-0.5	-0.6	-0.5	-0.55	-0.6	-0.5	-0.5	-0.53	16
17	-0.55	-0.5	-0.5	-0.5	-0.5	-0.5	-0.5	-0.55	-0.51	17
18	-0.5	-0.5	-0.5	-0.5	-0.5	-0.5	-0.5	-0.5	-0.50	18
19	-0.5	-0.5	-0.5	-0.5	-0.5	-0.5	-0.45	-0.45	-0.49	19
20	-0.4	-0.4	-0.4	-0.3	-0.35	-0.35	-0.35	-0.35	-0.36	20
21	-0.35	-0.35	-0.35	-0.3	-0.3	-0.3	-0.3	-0.3	-0.32	21
22	-0.2	-0.25	-0.25	-0.2	-0.2	-0.2	-0.2	-0.2	-0.21	22
23	-0.1	-0.1	-0.1	-0.1	-0.1	-0.1	-0.05	-0.05	-0.09	23
24	± 0.0	± 0.0	± 0.0	± 0.0	± 0.0	± 0.0	± 0.0	± 0.0	± 0.00	24
25	± 0.0	-0.05	-0.05	-0.05	-0.05	-0.05	-0.05	-0.05	-0.05	25
26	-0.05	± 0.0	-0.05	-0.05	-0.05	-0.05	-0.05	± 0.0	-0.03	26
27	± 0.0	± 0.0	± 0.0	± 0.0	± 0.0	± 0.0	± 0.0	± 0.0	± 0.00	27
28	± 0.0	± 0.0	± 0.0	-0.1	-0.05	-0.05	-0.05	-0.05	-0.03	28
29	-0.05	-0.05	-0.1	-0.1	-0.1	-0.1	-0.1	-0.2	-0.10	29
30	-0.2	-0.15	-0.2	-0.2	-0.2	-0.2	-0.2	-0.2	-0.19	30
31	-0.15	-0.1	-0.15	-0.15	-0.15	-0.1	-0.05	-0.05	-0.11	31
Med.	-0.47	-0.46	-0.47	-0.46	-0.46	-0.45	-0.45	-0.46	-0.46	Med.

Absolutes Maximum: ± 0.0 (24-27).
Absolutes Minimum: -1.0 (1).

Erdtemperatur

Februari 1903

Tiefe: 3 dm.

Dat.	3 a. m.	6 a. m.	9 a. m.	Mittg.	3 p. m.	6 p. m.	9 p. m.	Mittn.	Med.	Dat.
1	+ 3.0	+ 2.5	+ 2.0	+ 1.6	+ 1.7	+ 1.9	+ 2.1	+ 1.9	+ 2.09	1
2	+ 1.7	+ 1.3	+ 1.3	+ 1.0	+ 0.8	+ 1.0	+ 1.0	+ 1.1	+ 1.15	2
3	+ 1.0	+ 0.9	+ 0.7	+ 0.6	+ 0.5	+ 0.7	+ 0.9	+ 1.0	+ 0.79	3
4	+ 0.9	+ 0.7	+ 0.7	+ 0.6	+ 0.9	+ 1.6	+ 2.1	+ 2.6	+ 1.26	4
5	+ 2.2	+ 1.8	+ 1.6	+ 1.4	+ 1.7	+ 2.1	+ 2.3	+ 2.2	+ 1.91	5
6	+ 2.0	+ 1.7	+ 1.4	+ 1.3	+ 1.4	+ 2.0	+ 2.7	+ 2.8	+ 1.91	6
7	+ 3.0	+ 2.4	+ 2.0	+ 1.9	+ 1.7	+ 1.7	+ 1.7	+ 1.5	+ 1.99	7
8	+ 1.3	+ 1.3	+ 0.9	+ 0.7	+ 0.6	+ 0.5	+ 0.5	+ 0.6	+ 0.80	8
9	+ 0.7	+ 0.3	+ 0.4	+ 0.3	+ 0.3	+ 0.4	+ 0.5	+ 0.5	+ 0.43	9
10	+ 0.7	+ 0.4	+ 0.7	+ 0.4	+ 0.4	+ 0.5	+ 0.7	+ 0.8	+ 0.58	10
11	+ 0.7	+ 0.7	+ 0.6	+ 0.5	+ 0.4	+ 0.7	+ 0.9	+ 0.7	+ 0.65	11
12	+ 0.8	+ 0.7	+ 0.8	+ 0.4	+ 0.4	+ 0.4	+ 0.4	+ 0.4	+ 0.54	12
13	+ 0.4	+ 0.3	+ 0.3	+ 0.2	+ 0.2	+ 0.2	+ 0.2	+ 0.2	+ 0.25	13
14	+ 0.4	+ 0.2	+ 0.5	+ 0.2	+ 0.2	+ 0.3	+ 0.4	+ 0.2	+ 0.30	14
15	+ 0.2	+ 0.2	+ 0.2	+ 0.2	+ 0.2	+ 0.3	+ 0.3	+ 0.4	+ 0.25	15
16	+ 0.4	+ 0.3	+ 0.2	+ 0.3	+ 0.3	+ 0.2	+ 0.3	+ 0.4	+ 0.30	16
17	+ 0.4	+ 0.6	+ 0.2	+ 0.3	+ 0.2	+ 0.2	+ 0.3	+ 0.4	+ 0.32	17
18	+ (0.4)	+ 0.2	+ 0.1	± 0.0	± 0.0	± 0.0	± 0.0	+ 0.1	+ 0.10	18
19	+ (0.1)	± 0.0	± 0.0	- 0.2	- 0.3	- 0.2	- 0.4	- 0.3	- 0.16	19
20	- (0.3)	- 0.4	- 0.5	- 0.5	- 0.5	- 0.4	- 0.3	- 0.2	- 0.39	20
21	- 0.3	- 0.1	- 0.2	± 0.0	- 0.2	- 0.1	- 0.1	+ 0.2	- 0.10	21
22	- 0.1	- 0.1	- 0.1	- 0.2	- 0.1	- 0.2	- 0.1	- 0.1	- 0.12	22
23	± 0.0	± 0.0	± 0.0	- 0.1	- 0.1	± 0.0	± 0.0	- 0.1	- 0.04	23
24	± 0.0	± 0.0	± 0.0	± 0.0	± 0.0	± 0.0	- 0.1	- 0.1	- 0.02	24
25	- 0.1	+ 0.3	+ 0.1	± 0.0	± 0.0	± 0.0	+ 0.1	+ 0.2	+ 0.07	25
26	- 0.1	± 0.0	± 0.0	± 0.0	± 0.0	± 0.0	- 0.1	+ 0.2	± 0.00	26
27	+ 0.2	+ 0.2	± 0.0	± 0.0	± 0.0	+ 0.1	+ 0.1	± 0.0	+ 0.07	27
28	+ 0.1	± 0.0	± 0.0	± 0.0	± 0.0	± 0.0	± 0.0	± 0.0	+ 0.01	28
Med.	+ 0.70	+ 0.59	+ 0.49	+ 0.39	+ 0.38	+ 0.49	+ 0.59	+ 0.63	+ 0.53	Med.
Absolutes Maximum: + 3.0 (7). Absolutes Minimum: - 0.5 (20).										

Erdtemperatur

1903 Februari

Tiefe: 5 dm.

Dat.	3 a. m.	6 a. m.	9 a. m.	Mittg.	3 p. m.	6 p. m.	9 p. m.	Mittn.	Med.	Dat.
1	± 0.0	± 0.0	± 0.0	- 0.05	± 0.0	- 0.05	- 0.05	- 0.05	- 0.03	1
2	- 0.05	- 0.05	- 0.1	- 0.05	- 0.1	- 0.1	- 0.1	- 0.15	- 0.09	2
3	- 0.1	- 0.2	- 0.15	- 0.2	- 0.2	- 0.2	- 0.2	- 0.2	- 0.18	3
4	- 0.2	- 0.15	- 0.2	- 0.2	- 0.2	- 0.2	- 0.15	- 0.15	- 0.18	4
5	- 0.05	- 0.1	- 0.05	- 0.1	- 0.1	- 0.1	- 0.05	± 0.0	- 0.07	5
6	- 0.05	± 0.0	- 0.05	- 0.05	- 0.05	- 0.05	- 0.05	- 0.05	- 0.04	6
7	- 0.05	- 0.05	± 0.0	± 0.0	± 0.0	- 0.05	- 0.05	- 0.05	- 0.03	7
8	- 0.05	- 0.1	- 0.1	- 0.1	- 0.1	- 0.1	- 0.1	- 0.15	- 0.10	8
9	.	- 0.15	- 0.15	-(0.2)	- 0.2	- 0.2	.	- 0.2	- 0.18	9
10	- 0.2	- 0.2	- 0.2	- 0.15	- 0.2	- 0.2	.	- 0.2	- 0.19	10
11	.	- 0.2	.	- 0.25	.	- 0.25	.	- 0.15	- 0.21	11
12	.	- 0.2	.	- 0.2	.	- 0.2	.	-(0.2)	- 0.20	12
13	.	- 0.25	.	-(0.25)	.	- 0.3	.	- 0.2	- 0.25	13
14	.	- 0.25	.	- 0.2	.	- 0.25	.	- 0.2	- 0.23	14
15	.	- 0.25	.	- 0.25	.	- 0.25	.	- 0.3	- 0.26	15
16	.	- 0.3	- 0.25	- 0.25	- 0.25	-(0.25)	.	-(0.3)	- 0.27	16
17	.	- 0.3	- 0.3	-(0.3)	.	- 0.3	.	- 0.3	- 0.30	17
18	.	- 0.3	.	-(0.3)	- 0.3	-(0.3)	- 0.3	-(0.3)	- 0.30	18
19	.	-(0.3)	- 0.3	-(0.3)	.	- 0.35	.	- 0.35	- 0.32	19
20	.	- 0.35	.	- 0.35	.	- 0.3	.	- 0.35	- 0.34	20
21	.	- 0.35	.	- 0.35	.	- 0.3	.	- 0.35	- 0.34	21
22	.	- 0.35	.	- 0.3	.	- 0.35	.	- 0.35	- 0.34	22
23	.	- 0.35	.	- 0.4	.	- 0.4	.	- 0.3	- 0.36	23
24	.	- 0.4	.	- 0.3	- 0.4	- 0.4	.	-(0.4)	- 0.38	24
25	.	- 0.4	- 0.4	-(0.4)	- 0.4	- 0.45	.	- 0.45	- 0.41	25
26	.	- 0.5	- 0.5	- 0.5	.	- 0.45	.	- 0.45	- 0.48	26
27	.	- 0.45	.	- 0.5	.	- 0.5	.	- 0.6	- 0.51	27
28	.	- 0.5	.	- 0.6	- 0.6	- 0.6	- 0.6	- 0.6	- 0.58	28
Med.	.	- 0.25	.	- 0.25	.	- 0.22	.	- 0.26	- 0.25	Med.
Absolutes Maximum: ± 0.0 (1; 7). Absolutes Minimum: - 0.6 (28).										

Erdtemperatur

März 1903

Tiefe: 3 dm.

Dat.	6 a. m.	9 a. m.	Mttg.	3 p. m.	6 p. m.	9 p. m.	Mttn.	Med.	Dat.
1	- 0.1	± 0.0	± 0.0	± 0.0	± 0.0	± 0.0	+ 0.2	+ 0.01	1
2	± 0.0	± 0.0	- 0.1	- 0.1	± 0.0	± 0.0	± 0.0	- 0.03	2
3	± 0.0	± 0.0	- 0.1	- 0.1	± 0.0	± 0.0	- 0.1	- 0.04	3
4	± 0.0	± 0.0	± 0.0	± 0.0	± 0.0	± 0.0	± 0.0	± 0.00	4
5	± 0.0	± 0.0	± 0.0	+ 0.1	+ 0.1	+ 0.3	+ 0.3	+ 0.11	5
6	± 0.0	± 0.0	± 0.0	± 0.0	± 0.0	- 0.1	± 0.0	- 0.01	6
7	- 0.3	- 0.3	- 0.5	- 0.7	- 0.8	- 0.8	- 1.3	- 0.67	7
8	- 1.5	- 2.0	- 2.3	- 2.5	- 2.6	- 2.6	- 2.6	- 2.30	8
9	- 3.3	- 3.5	- 3.6	- 3.6	- 3.7	- 4.0	- 4.1	- 3.69	9
10	- 4.0	- 4.5	- 4.5	- 4.4	- 4.4	- 4.5	- 4.5	- 4.47	10
11	- 5.3	- 5.6	- 5.7	- 5.9	- 5.8	- 5.9	- 5.8	- 5.71	11
12	- 6.6	- 6.7	- 7.1	- 7.1	- 6.8	- 6.6	- 6.5	- 6.77	12
13	- 6.7	- 6.8	- 6.7	- 6.3	- 5.8	- 5.3	- 5.2	- 6.11	13
14	- 5.3	- 5.5	- 5.9	- 6.3	- 6.3	- 6.3	- 6.2	- 5.97	14
15	- 7.3	- 7.4	- 7.5	- 7.6	- 7.6	- 7.5	- 8.2	- 7.59	15
16	- 8.0	- 8.3	- (8.2)	- 8.2	- 8.0	- 8.1	- 8.2	- 8.14	16
17	- 8.6	- 8.8	- 8.8	- 8.7	- 8.6	- 8.5	- 8.5	- 8.64	17
18	- 9.0	- 8.9	- 8.8	- 8.6	- 8.3	- 8.2	- (8.3)	- 8.59	18
19	- 8.8	- 8.6	- 8.8	- 8.8	- 8.7	- 8.5	- (8.5)	- 8.67	19
20	- 8.8	- 8.7	- 8.8	- 8.6	- 8.6	- 8.6	- 9.0	- 8.73	20
21	- 9.3	- 9.4	- 9.3	- 9.3	- 9.3	- 9.1	- 9.0	- 9.24	21
22	- 9.3	- 9.3	- 9.3	- 9.1	- 8.6	- 8.5	- 9.1	- 9.03	22
23	- 8.5	- 8.5	- 8.5	- 8.1	- 7.7	- 7.6	- 8.0	- 8.13	23
24	- 8.3	- 8.6	- 9.1	- 9.3	- 9.5	- 9.7	- 9.8	- 9.19	24
25	- 10.3	- 10.3	- 10.4	- 10.1	- 10.0	- 9.5	- 9.8	- 10.06	25
26	- 10.2	- 10.3	- 10.3	- 10.1	- 9.6	- 9.4	- 9.1	- 9.85	26
27	- 9.4	- 9.5	- 9.4	- 9.3	- 8.9	- 8.6	- 8.9	- 9.14	27
28	- 9.0	- (9.2)	- 9.3	- 9.3	- 9.3	- 9.5	- 9.5	- 9.30	28
29	- 9.9	- 10.0	- 10.3	- 10.1	- 9.9	- 9.8	- 10.0	- 10.00	29
30	- 10.3	- 10.3	- 10.4	- 10.5	- 10.5	- 10.6	- 10.7	- 10.47	30
31	- 11.4	- 11.4	- 11.6	- 11.7	- 11.7	- 11.6	- 12.1	- 11.64	31
Med.	- 6.13	- 6.21	- 6.30	- 6.27	- 6.16	- 6.10	- 9.20	- 6.20	Med.
Absolutes Maximum: + 0.3 (5) Absolutes Minimum: - 12.1 (31)									

Erdtemperatur

1903 März

Tiefe: 5 dm.

Dat.	6 a. m.	9 a. m.	Mttg.	3 p. m.	6 p. m.	9 p. m.	Mttn.	Med.	Dat.
1	-0.55	-(0.55)	-(0.55)	-(0.55)	-0.55	-(0.55)	-0.6	-0.56	1
2	-0.6	-(0.6)	-(0.6)	-(0.6)	-0.6	-(0.6)	-(0.6)	-0.60	2
3	-0.6	-(0.6)	-(0.6)	-(0.6)	-0.6	-(0.6)	-(0.6)	-0.60	3
4	-0.6	-(0.6)	-(0.6)	-(0.6)	-0.6	-(0.6)	-(0.6)	-0.60	4
5	-0.6	-(0.6)	-(0.6)	-(0.6)	-0.6	-(0.6)	-(0.6)	-0.60	5
6	-0.6	-(0.6)	-(0.6)	-(0.65)	-0.65	-(0.65)	-(0.65)	-0.63	6
7	-0.65	-(0.65)	-(0.65)	-(0.7)	-0.7	-(0.7)	-(0.75)	-0.69	7
8	-0.75	-(0.80)	-(0.85)	-(0.9)	-1.0	-(1.1)	-(1.2)	-0.94	8
9	-1.3	-(1.5)	-1.7	-1.75	-1.9	-(2.0)	-2.1	-1.75	9
10	-2.2	-(2.35)	-(2.45)	-(2.55)	-2.7	-2.8	-3.0	-2.58	10
11	-3.0	-(3.1)	-3.2	-3.5	-3.5	-3.6	-3.8	-3.39	11
12	-4.0	-4.05	-4.15	-4.3	-4.5	-4.6	-4.6	-4.31	12
13	-4.75	-4.8	-4.9	-4.95	-4.90	-4.8	-4.8	-4.84	13
14	-4.65	-4.75	-4.7	-4.8	-4.95	-5.0	-5.0	-4.84	14
15	-5.2	-5.3	-(5.5)	-5.7	-5.7	-5.7	-5.9	-5.57	15
16	-5.95	-6.0	-6.2	-6.3	-6.4	-6.3	-6.55	-6.24	16
17	-6.6	-6.7	-6.8	-6.9	-7.0	-7.0	-7.0	-6.86	17
18	-7.1	-7.15	-7.2	-7.3	-7.3	-7.3	-7.3	-7.24	18
19	-7.35	-7.4	-7.4	-7.5	-7.5	-7.5	-7.7	-7.48	19
20	-7.6	-7.6	-7.65	-7.7	-7.8	-7.8	-(7.8)	-7.71	20
21	-7.8	-7.9	-8.0	-8.0	-8.0	-8.0	-8.1	-7.97	21
22	-8.1	-8.1	-8.2	-8.2	-8.2	-8.15	-8.1	-8.15	22
23	-8.05	-8.0	-8.0	-7.95	-7.9	-7.8	-7.8	-7.93	23
24	-7.7	-7.8	-7.9	-8.0	-8.05	-8.15	-8.3	-7.99	24
25	-8.6	-8.7	-8.7	-8.7	-8.8	-8.9	-8.9	-8.75	25
26	-9.0	-9.0	-9.0	-9.05	-8.8	-9.0	-9.0	-8.97	26
27	-8.9	-8.9	-8.9	-8.9	-8.8	-8.8	-8.8	-8.85	27
28	-8.7	-(8.8)	-8.8	-8.8	-8.85	-8.8	-8.75	-8.78	28
29	-8.75	-8.8	-9.0	-9.05	-9.1	-9.2	-9.2	-9.01	29
30	-9.2	-9.2	-9.2	-9.3	-9.5	-9.6	-9.7	-9.38	30
31	-9.7	-9.75	-9.7	-10.0	-10.1	-10.2	-10.2	-9.95	31
Med.	-5.13	-5.18	-5.24	-5.30	-5.34	-5.37	-5.42	-5.28	Med.
Absolutes Maximum: - 0.55 (1). Absolutes Minimum: - 10.2 (31).									

Erdtemperatur

April 1903

Tiefe: 3 dm.

Dat.	6 a. m.	9 a. m.	Mittg.	3 p. m.	6 p. m.	9 p. m.	Mttn.	Med.	Dat.
1	-12.3	-12.4	-12.3	-12.0	-11.7	-11.5	-11.5	-11.96	1
2	-11.6	-11.3	-10.7	-10.1	-9.4	-9.0	-8.6	-10.10	2
3	-8.2	-7.9	-7.7	-7.5	-7.3	-7.3	-7.3	-7.60	3
4	-8.0	-7.8	-7.6	-7.3	-6.9	-6.6	-6.6	-7.26	4
5	-6.9	-7.5	-8.3	-8.6	-8.9	-9.3	-9.4	-8.41	5
6	-10.5	-10.3	-10.6	-10.7	-11.0	-11.1	-11.3	-10.79	6
7	-11.6	-11.9	-11.9	-11.8	-11.7	-11.9	-12.2	-11.86	7
8	-12.3	-12.3	-12.3	-12.2	-12.2	-12.1	-12.5	-12.27	8
9	-12.3	-12.4	-12.5	-12.3	-12.1	-12.1	-12.2	-12.27	9
10	-12.2	-12.0	-11.5	-11.3	-11.1	-10.8	-10.6	-11.36	10
11	-11.5	-11.9	-12.1	-11.9	-11.5	-11.5	-11.4	-11.69	11
12	-12.0	-12.3	-12.5	-12.5	-12.5	-12.6	-12.7	-12.44	12
13	-12.5	-12.3	-12.3	-12.1	-12.0	-11.8	-11.8	-12.11	13
14	-11.8	-11.9	-11.7	-11.5	-11.1	-10.8	-10.6	-11.34	14
15	-10.7	-10.6	-10.1	-9.9	-9.4	-8.6	-8.2	-9.64	15
16	-7.9	-8.4	-8.8	-8.9	-8.7	-8.5	-8.5	-8.53	16
17	-8.3	-8.4	-8.5	-8.3	-7.9	-7.5	-7.5	-8.06	17
18	-7.1	-7.1	-6.7	-6.5	-6.3	-5.9	-5.3	-6.41	18
19	-5.9	-6.1	-6.3	-6.3	-6.2	-6.1	-6.2	-6.16	19
20	-7.1	-7.9	-8.5	-8.7	-9.0	-9.1	-9.2	-8.50	20
21	-9.3	-9.3	-9.5	-9.9	-10.7	-11.3	-11.6	-10.23	21
22	-13.2	-14.0	-14.3	-14.5	-14.6	-15.1	-15.1	-14.40	22
23	-15.6	-15.7	-16.1	-15.9	-16.0	-16.2	-16.3	-15.97	23
24	-17.0	-17.2	-17.3	-17.3	-17.2	-17.3	-17.3	-17.23	24
25	-17.5	-17.5	-17.5	-17.3	-16.5	-16.3	-15.9	-16.93	25
26	-15.3	-15.3	-15.3	-15.1	-14.9	-15.1	-15.5	-15.21	26
27	-16.3	-16.8	-17.2	-17.3	-16.6	-17.1	-17.3	-16.94	27
28	-18.2	-18.1	-18.0	-17.7	-17.5	-17.5	-17.6	-17.80	28
29	-18.0	-18.3	-18.1	-17.8	-17.4	-17.3	-17.1	-17.71	29
30	-17.1	-17.2	-16.6	-16.5	-16.3	-16.3	-16.3	-16.61	30
Med.	-11.93	-12.07	-12.09	-11.99	-11.82	-11.79	-11.79	-11.92	Med.
Absolutes Maximum: - 5.3 (18). Absolutes Minimum: - 18.3 (29).									

Erdtemperatur

1903 April

Tiefe: 5 dm.

Dat.	6 a. m.	9 a. m.	Mittg.	3 p. m.	6 p. m.	9 p. m.	Mittn.	Med.	Dat.
1	-10.3	-10.5	-10.6	-10.7	-10.7	-10.7	-10.65	-10.59	1
2	-10.7	-10.7	-10.6	-10.5	-10.3	-10.1	-9.9	-10.40	2
3	-9.5	-9.2	-9.1	-9.0	-8.9	-8.8	-8.75	-9.04	3
4	-8.6	-8.55	-8.5	-8.4	-8.4	-8.2	-8.1	-8.39	4
5	-8.0	-7.9	-8.0	-8.05	-8.1	-8.4	-8.6	-8.15	5
6	-8.9	-9.0	-9.2	-9.3	-9.5	-9.6	-9.7	-9.31	6
7	-10.0	-10.1	-10.2	-10.2	-10.3	-10.4	-10.4	-10.23	7
8	-10.6	-10.7	-10.8	-10.8	-10.9	-11.0	-11.0	-10.83	8
9	-11.0	-11.1	-11.15	-11.2	-11.2	-11.2	-11.2	-11.15	9
10	-11.2	-11.2	-11.2	-11.2	-11.0	-10.8	-10.9	-11.07	10
11	-10.85	-10.9	-11.0	-11.0	-11.05	-11.05	-11.05	-10.99	11
12	-11.0	-11.1	-11.2	-11.3	-11.4	-11.5	-11.6	-11.30	12
13	-11.5	-11.55	-11.6	-11.6	-11.6	-11.6	-11.5	-11.56	13
14	-11.5	-11.5	-11.45	-11.4	-11.3	-11.1	-11.0	-11.32	14
15	-11.0	-11.0	-11.15	-10.7	-10.7	-10.5	-10.3	-10.76	15
16	-9.9	-9.75	-9.7	-9.7	-9.7	-9.6	-9.6	-9.71	16
17	-9.5	-(9.4)	-9.3	-9.3	-9.2	-9.1	-9.05	-9.26	17
18	-8.6	-8.6	-8.5	-8.5	-8.4	-8.3	-8.1	-8.43	18
19	-8.0	-7.9	-7.85	-7.85	-7.85	-7.8	-7.7	-7.87	19
20	-7.7	-7.8	-7.95	-8.05	-8.2	-8.4	-8.5	-8.09	20
21	-8.6	-8.7	-8.9	-8.95	-9.05	-9.2	-9.45	-8.98	21
22	-10.0	-10.2	-10.5	-10.7	-11.0	-11.4	-11.6	-10.77	22
23	-12.0	-12.2	-12.4	-12.6	-12.9	-13.0	-13.1	-12.60	23
24	-13.4	-13.5	-13.7	-13.8	-14.0	-14.1	-14.2	-13.81	24
25	-14.4	-14.5	-14.6	-14.7	-14.8	-14.8	-14.6	-14.63	25
26	-14.1	-14.35	-14.3	-14.3	-14.2	-14.2	-14.1	-14.22	26
27	-14.2	-14.4	-14.6	-14.9	-14.95	-15.0	-15.0	-14.72	27
28	-15.25	-15.35	-15.5	-15.6	-15.7	-15.7	-15.8	-15.56	28
29	-15.8	-15.8	-15.95	-16.0	-16.0	-16.0	-16.0	-15.93	29
30	-15.95	-15.9	-15.9	-15.8	-15.8	-15.7	-15.65	-15.81	30
Med.	-11.07	-11.11	-11.18	-11.20	-11.57	-11.24	-10.90	-11.18	Med.
Absolutes Maximum: - 7.7 (19). Absolutes Minimum: - 16.0 (29).									

Erdtemperatur

Mai 1903

Tiefe: 3 dm.

Dat.	6 a. m.	9 a. m.	Mittg.	3 p. m.	6 p. m.	9 p. m.	Mitn.	Med.	Dat.
1	-16.3	-16.4	-16.4	-16.4	-16.5	-16.9	-17.0	-16.56	1
2	-17.5	-17.8	-17.8	-17.7	-17.5	-17.6	-17.6	-17.64	2
3	-17.3	-17.4	-17.3	-16.9	-16.6	-16.8	-17.1	-17.06	3
4	-16.3	-16.7	-17.0	-17.3	-17.4	-18.0	-18.1	-17.26	4
5	-19.0	-19.3	-19.4	-19.6	-19.9	-20.3	-20.3	-19.69	5
6	-20.6	-20.9	-21.0	-20.9	-20.7	-20.8	-21.3	-20.89	6
7	-21.5	-21.5	-21.3	-21.1	-20.8	-20.9	-20.8	-21.13	7
8	-20.3	-20.1	-19.3	-18.3	-17.1	-15.9	-15.6	-18.08	8
9	-17.3	-17.7	-18.3	-18.4	-19.0	-19.3	-19.3	-18.47	9
10	-19.5	-19.5	-19.6	-19.6	-19.4	-19.5	-20.0	-19.59	10
11	-20.0	-20.3	-20.3	-20.2	-20.1	-20.0	-19.9	-20.12	11
12	-19.6	-20.0	-20.3	-20.3	-20.5	-20.2	-20.3	-20.19	12
13	-20.5	-20.6	-20.7	-20.5	-20.3	-20.3	-20.3	-20.46	13
14	-20.3	-19.8	-18.5	-17.3	-16.5	-16.0	-16.1	-17.79	14
15	-16.3	-16.6	-16.9	-16.7	-16.3	-16.5	-16.4	-16.53	15
16	-17.1	-17.1	-16.9	-15.8	-15.3	-14.6	-13.8	-15.80	16
17	-13.3	-13.1	-13.0	-12.9	-12.5	-12.3	-13.0	-12.87	17
18	-14.6	-15.3	-15.6	-15.6	-15.5	-16.1	-16.4	-15.59	18
19	-17.1	-17.2	-17.1	-16.9	-17.1	-17.5	-17.8	-17.24	19
20	-18.4	-19.1	-19.6	-19.1	-18.9	-19.2	-19.3	-19.09	20
21	-19.4	-19.3	-19.1	-18.7	-18.0	-17.3	-17.1	-18.41	21
22	-16.5	-16.3	-15.9	-16.3	-17.0	-17.3	-18.1	-16.77	22
23	-19.0	-19.3	-19.5	-19.4	-19.3	-19.3	-19.3	-19.30	23
24	-20.3	-21.1	-21.1	-21.3	-21.3	-21.1	-21.0	-21.02	24
25	-20.9	-20.8	-20.9	-20.8	-21.0	-21.3	-21.3	-21.00	25
26	-21.8	-22.1	-22.3	-22.2	-21.8	-21.3	-21.4	-21.84	26
27	-21.3	-21.6	-21.4	-21.3	-21.3	-21.3	-21.0	-21.31	27
28	-21.3	-21.2	-20.9	-20.6	-20.2	-19.9	-20.0	-20.58	28
29	-20.3	-20.3	-20.3	-20.0	-19.2	-18.1	-16.9	-19.30	29
30	-15.6	-15.5	-15.3	-15.0	-14.3	-14.0	-13.0	-14.67	30
31	-12.6	-12.3	-12.0	-11.7	-11.7	-11.4	-11.3	-11.85	31
Med.	-18.45	-18.58	-18.55	-18.35	-18.16	-18.16	-18.09	-18.33	Med.
Absolutes Maximum: - 11.3 (31). Absolutes Minimum: - 22.3 (26).									

Erdtemperatur

1903 Mai

Tiefe: 5 dm.

Dat.	6 a. m.	9 a. m.	Mttg.	3 p. m.	6 p. m.	9 p. m.	Mttn.	Med.	Dat.
1	-15.6	-(15.6)	-15.55	-15.6	-15.6	-15.6	-15.7	-15.61	1
2	-15.8	-15.7	-16.0	-16.05	-16.1	-16.2	-16.1	-16.02	2
3	-16.25	-16.2	-16.1	-16.1	-16.15	-(16.1)	-16.05	-16.14	3
4	-15.9	-15.8	-15.8	-15.8	-16.0	-16.1	-16.2	-15.94	4
5	-16.5	-16.6	-16.8	-16.95	-17.05	-17.2	-17.4	-16.93	5
6	-17.7	-17.85	-18.0	-18.05	-18.2	-18.3	-18.3	-18.06	6
7	-18.6	-18.7	-18.8	-18.9	-18.95	-18.95	-18.85	-18.82	7
8	-18.95	-18.9	-18.9	-18.7	-18.45	-18.05	-17.8	-18.54	8
9	-17.3	-17.15	-17.2	-17.3	-17.5	-17.6	-17.8	-17.41	9
10	-17.9	-18.0	-18.0	-18.05	-18.1	-18.2	-18.2	-18.06	10
11	-18.3	-18.4	-18.5	-18.5	-18.6	-18.7	-18.6	-18.51	11
12	-18.6	-18.6	-18.6	-18.7	-18.8	-18.8	-18.9	-18.71	12
13	-19.0	-19.0	-19.0	-19.05	-19.1	-19.1	-19.1	-19.05	13
14	-19.15	-19.2	-19.3	-19.0	-18.7	-18.3	-18.0	-18.81	14
15	-17.6	-17.5	-17.3	-17.2	-17.3	-17.2	-17.2	-17.33	15
16	-17.2	-17.15	-17.1	-17.05	-16.95	-16.8	-16.6	-16.98	16
17	-16.0	-15.8	-15.4	-15.2	-15.15	-14.95	-14.9	-15.34	17
18	-14.9	-15.0	-15.1	-15.4	-15.5	-15.5	-15.6	-15.29	18
19	-15.9	-16.0	-16.05	-16.1	-16.3	-16.3	-16.45	-16.16	19
20	-16.7	-16.85	-17.0	-17.1	-17.3	-17.4	-17.5	-17.12	20
21	-17.7	-17.8	-17.8	-17.9	-(17.85)	-17.8	-17.55	-17.77	21
22	-17.25	-17.15	-17.05	-16.9	-16.85	-16.9	-17.0	-17.01	22
23	-17.2	-17.3	-17.6	-17.8	-17.9	-18.0	-18.0	-17.69	23
24	-18.35	-18.4	-18.4	-18.5	-18.8	-18.85	-19.0	-18.61	24
25	-19.05	-19.15	-19.15	-19.2	-(19.3)	-19.4	-19.5	-19.25	25
26	-19.6	-19.75	-20.0	-20.1	-20.3	-20.05	-20.05	-19.98	26
27	-20.15	-20.05	-20.0	-20.0	-20.15	-20.1	-20.0	-20.06	27
28	-20.1	-20.3	-20.3	-20.0	-20.0	-19.9	-19.8	-20.06	28
29	-19.7	-19.8	-19.9	-19.8	-19.7	-19.5	-19.2	-19.65	29
30	-18.5	-18.3	-17.9	-17.8	-17.6	-17.3	-17.0	-17.91	30
31	-16.5	-16.1	-15.5	-15.7	-15.4	-15.1	-15.1	-15.62	31
Med.	-17.67	-17.69	-17.68	-17.69	-17.73	-17.67	-17.66	-17.69	Med.
Absolutes Maximum: -14.9 (18). Absolutes Minimum: -20.3 (26; 28).									

Erdtemperatur

Juni 1903

Tiefe: 3 dm.

Dat.	6 a. m.	9 a. m.	Mittg.	3 p. m.	6 p. m.	9 p. m.	Mtn.	Med.	Dat.
1	- 11.0	- 11.1	- 10.9	- 10.8	- 11.0	- 11.2	- 11.4	- 11.06	1
2	- 12.3	- 12.8	- 13.2	- 13.4	- 13.8	- 13.9	- 13.5	- 13.27	2
3	- 13.3	- 13.5	- 13.7	- 13.6	- 13.8	- 13.9	- 14.1	- 13.70	3
4	- 14.1	- 14.3	- 14.6	- 15.3	- 15.3	- 15.5	- 15.6	- 14.96	4
5	- 16.3	- 16.7	- 16.6	- 16.6	- 16.8	- 17.1	- 17.3	- 16.77	5
6	- 17.5	- 17.3	- 17.1	- 16.9	- 17.0	- 17.0	- 16.6	- 17.06	6
7	- 17.1	- 17.5	- 17.9	- 18.0	- 18.2	- 18.1	- 17.7	- 17.79	7
8	- 17.2	- 17.3	- 17.5	- 17.9	- 18.3	- 19.0	- 19.2	- 18.06	8
9	- 19.7	- 20.3	- 20.7	- 20.9	- 21.0	- 21.3	- 21.6	- 20.79	9
10	- 22.3	- 22.3	- 22.5	- 22.4	- 22.3	- 22.1	- 21.6	- 22.21	10
11	- 21.1	- 20.9	- 20.8	- 20.5	- 20.4	- 20.4	- 20.6	- 20.67	11
12	- 20.3	- 20.6	- 20.9	- 21.2	- 21.5	- 21.8	- 21.7	- 21.14	12
13	- 22.3	- 22.6	- 22.6	- 22.6	- 22.8	- 23.0	- 23.3	- 22.74	13
14	- 23.3	- 23.7	- 24.2	- 24.3	- 24.6	- 24.9	- 25.0	- 24.29	14
15	- 25.0	- 24.8	- 24.1	- 23.9	- 23.3	- 22.8	- 22.3	- 23.74	15
16	- 21.8	- 21.6	- 21.5	- 21.9	- 22.3	- 22.3	- 22.4	- 21.97	16
17	- 22.4	- 22.6	- 22.5	- 22.4	- 22.4	- 22.3	- 22.1	- 22.24	17
18	- 21.9	- 21.8	- 21.8	- 22.0	- 22.2	- 22.3	- 22.3	- 22.04	18
19	- 22.5	- 22.5	- 23.2	- 23.3	- 23.4	- 23.8	- 24.0	- 23.24	19
20	- 24.8	- 25.1	- 25.4	- 25.6	- 25.7	- 25.9	- 26.0	- 25.50	20
21	- 26.3	- 25.9	- 26.3	- 25.8	- 25.3	- 24.8	- 24.1	- 25.50	21
22	- 23.3	- 23.3	- 23.3	- 23.3	- 23.3	- 23.5	- 23.4	- 23.34	22
23	- 23.3	- 22.9	- 23.1	- 22.3	- 22.3	- 22.0	- 22.0	- 22.56	23
24	- 21.7	- 21.6	- 21.3	- 21.3	- 21.3	- 21.2	- 21.0	- 21.34	24
25	- 20.3	- 20.3	- 20.3	- 20.3	- 20.4	- 20.4	- 20.3	- 20.33	25
26	- 21.3	- 20.3	- 20.7	- 21.1	- 21.3	- 21.4	- 21.7	- 21.11	26
27	- 21.9	- 21.8	- 21.9	- 21.9	- 22.0	- 22.3	- 22.4	- 22.03	27
28	- 23.1	- 22.9	- 23.2	- 23.3	- 23.3	- 22.8	- 21.8	- 22.91	28
29	- 20.1	- 19.3	- 19.1	- 18.8	- 18.3	- 17.5	- 16.6	- 18.53	29
30	- 15.2	- 14.3	- 14.3	- 14.1	- 15.2	- 15.5	- 16.0	- 14.94	30
Med.	- 20.09	- 20.06	- 20.17	- 20.19	- 20.26	- 20.33	- 20.25	- 20.19	Med.
Absolutes Maximum: - 10.8 (1). Absolutes Minimum: - 26.3 (21).									

Erdtemperatur

1903 Juni

Tiefe: 5 dm.

Dat.	6 a. m.	9 a. m.	Mttg.	3 p. m.	6 p. m.	9 p. m.	Mttn.	Med.	Dat.
1	-14.6	-14.4	-14.3	-14.1	-14.0	-13.9	-13.85	-14.16	1
2	-13.8	-13.9	-13.95	-14.0	-14.1	-14.15	-14.3	-14.03	2
3	-14.35	-14.35	-14.3	-14.3	-14.4	-14.45	-14.4	-14.36	3
4	-14.5	-14.5	-14.6	-14.7	-14.8	-15.0	-15.0	-14.73	4
5	-15.25	-15.5	-15.6	-15.7	-15.8	-16.0	-16.05	-15.70	5
6	-16.2	-16.3	-16.5	-16.5	-16.6	-16.5	-16.6	-16.46	6
7	-16.5	-16.6	-16.7	-16.8	-16.9	-17.0	-17.05	-16.79	7
8	-17.0	-17.0	-17.0	-17.0	-17.1	-17.2	-17.5	-17.11	8
9	-17.8	-18.05	-18.1	-18.3	-18.5	-18.6	-18.7	-18.29	9
10	-18.2	-18.3	-18.6	-18.8	-18.9	-20.0	-20.0	-18.97	10
11	-20.0	-20.0	-20.0	-19.95	-19.9	-19.8	-19.8	-19.92	11
12	-19.75	-19.8	-19.8	-19.9	-19.95	-20.0	-20.15	-19.91	12
13	-20.2	-20.4	-20.5	-20.6	-20.8	-20.85	-21.0	-20.62	13
14	-21.1	-21.1	-21.3	-21.5	-21.8	-21.9	-22.0	-21.53	14
15	-22.5	-22.45	-22.4	-22.4	-22.5	-22.4	-22.1	-22.39	15
16	-21.9	-21.8	-21.6	-21.5	-21.5	-(21.5)	-21.55	-21.62	16
17	-21.8	-21.8	-21.65	-21.6	-21.7	-21.7	-21.7	-21.71	17
18	-21.4	-21.4	-21.3	-21.3	-21.4	-21.4	-21.45	-21.39	18
19	-21.5	-21.6	-22.0	-21.8	-21.9	-21.95	-22.0	-21.82	19
20	-22.3	-22.4	-23.0	-23.1	-23.1	-23.2	-23.4	-22.93	20
21	-23.6	-23.65	-23.8	-23.8	-23.8	-(23.75)	-23.7	-23.73	21
22	-23.3	-23.1	-23.05	-23.0	-23.0	-23.0	-23.0	-23.06	22
23	-22.9	-22.85	-22.8	-22.7	-22.6	-22.5	-22.3	-22.66	23
24	-22.1	-22.0	-22.0	-22.0	-21.9	-21.8	-21.05	-21.84	24
25	-21.4	-21.4	-21.25	-21.1	-21.15	-21.1	-21.05	-21.21	25
26	-21.0	-20.95	-20.9	-20.95	-21.0	-21.05	-21.1	-20.99	26
27	-21.2	-21.3	-21.3	-21.4	-21.5	-21.6	-21.6	-21.41	27
28	-21.7	-21.9	-21.95	-22.0	-22.05	-22.05	-22.05	-21.96	28
29	-21.8	-21.6	-21.2	-21.0	-20.8	-20.6	-20.2	-21.03	29
30	-19.6	-19.05	-18.8	-18.2	-18.1	-18.05	-18.0	-18.51	30
Med.	-19.64	-19.65	-19.68	-19.66	-19.72	-19.76	-19.76	-19.70	Med.
Absolutes Maximum: - 13.8 (2). Absolutes Minimum: - 23.8 (21).									

Erdtemperatur

Juli 1903

Tiefe: 3 dm.

Dat.	6 a. m.	9 a. m.	Mittg.	3 p. m.	6 p. m.	9 p. m.	Mittn.	Med.	Dat.
1	-16.9	-17.0	-17.3	-17.6	-18.3	-18.9	-19.5	-17.93	1
2	-20.0	-20.0	-19.0	-18.3	-17.9	-17.3	-(17.7)	-18.60	2
3	-18.3	-18.6	-19.3	-19.7	-20.1	-20.3	-20.3	-19.52	3
4	-20.2	-20.0	-19.8	-19.7	-19.9	-20.1	-20.1	-19.97	4
5	-(20.8)	-21.2	-21.9	-22.3	-22.6	-22.8	-23.0	-22.09	5
6	-23.3	-23.3	-23.3	-23.1	-22.7	-22.3	-21.8	-22.83	6
7	-20.6	-20.2	-19.5	-19.0	-18.0	-17.3	-17.5	-18.87	7
8	-18.5	-19.3	-19.9	-20.3	-20.3	-20.4	-20.5	-19.89	8
9	-20.6	-20.6	-20.7	-20.5	-20.0	-18.8	-17.6	-19.83	9
10	-17.1	-17.7	-18.4	-19.1	-19.5	-20.1	-20.3	-18.89	10
11	-20.3	-19.9	-19.8	-19.7	-20.0	-20.3	-21.0	-20.14	11
12	-22.1	-22.3	-22.3	-22.4	-22.5	-22.7	-23.0	-22.47	12
13	-23.8	-23.9	-24.3	-24.3	-24.5	-24.5	-24.6	-24.27	13
14	-24.3	-24.3	-24.3	-24.3	-24.3	-24.3	-24.3	-24.30	14
15	-23.6	-23.5	-23.3	-23.1	-23.3	-23.5	-23.7	-23.43	15
16	-22.5	-24.5	-24.6	-24.5	-24.6	-24.8	-24.7	-24.31	16
17	-25.1	-24.9	-24.5	-23.8	-22.6	-21.0	-19.3	-23.03	17
18	-17.1	-15.9	-14.9	-14.7	-14.3	-13.9	-13.3	-14.87	18
19	-12.4	-12.1	-11.3	-11.5	-11.3	-11.0	-11.0	-11.51	19
20	-10.8	-10.5	-10.3	-10.3	-10.3	-10.3	-10.4	-10.41	20
21	-12.4	-13.0	-13.6	-14.1	-14.2	-14.0	-13.5	-13.54	21
22	-12.8	-12.6	-12.8	-12.9	-12.6	-12.3	-12.1	-12.59	22
23	-12.3	-12.9	-13.7	-14.3	-14.6	-14.9	-15.1	-13.97	23
24	-15.1	-14.9	-14.7	-14.5	-14.6	-14.6	-14.4	-14.69	24
25	-13.3	-13.0	-12.9	-12.6	-12.6	-12.8	-13.2	-12.91	25
26	-13.9	-13.6	-13.5	-13.3	-12.8	-12.3	-12.0	-13.06	26
27	-12.4	-13.0	-14.1	-14.9	-15.6	-16.3	-17.0	-14.75	27
28	-18.3	-19.1	-19.2	-18.9	-18.1	-17.5	-16.9	-18.28	28
29	-(15.9)	-15.4	-15.8	-16.5	-16.6	-16.8	-17.1	-16.30	29
30	-17.5	-17.6	-17.9	-18.0	-18.1	-18.3	-18.3	-17.95	30
31	-18.3	-18.4	-18.5	-18.0	-17.9	-17.8	-18.1	-18.14	31
Med.	-18.08	-18.17	-18.24	-18.26	-18.22	-18.13	-18.10	-18.17	Med.
Absolutes Maximum: - 10.3 (20). Absolutes Minimum: - 25.1 (17).									

Erdtemperatur

1903 Juli

Tiefe: 5 dm.

Dat.	6 a. m.	9 a. m.	Mittg.	3 p. m.	6 p. m.	9 p. m.	Mittn.	Med.	Dat.
1	-18.1	-18.1	-18.2	-18.25	-18.5	-18.5	-18.7	-18.34	1
2	-19.05	-19.2	-19.2	-19.1	-19.05	-19.00	-18.9	-19.07	2
3	-18.8	-18.8	-18.8	-19.0	-19.2	-19.3	-19.5	-19.06	3
4	-19.6	-19.7	-19.7	-19.7	-19.75	-19.75	-19.8	-19.71	4
5	-19.95	-20.05	-20.15	-20.3	-20.6	-20.8	-21.0	-20.41	5
6	-21.2	-21.4	-21.4	-21.6	-21.6	-21.6	-21.6	-21.49	6
7	-21.3	-21.1	-21.0	-20.8	-20.6	-20.25	-20.0	-20.72	7
8	-19.7	-19.6	-19.7	-19.9	-20.0	-20.0	-20.1	-19.86	8
9	-20.25	-20.3	-20.4	-20.4	-20.4	-20.3	-20.05	-20.30	9
10	-19.5	-19.2	-19.1	-19.15	-19.2	-19.4	-19.55	-19.30	10
11	-19.9	-19.95	-19.95	-19.95	-19.95	-20.0	-20.05	-19.96	11
12	-20.2	-20.4	-20.6	-20.9	-21.0	-21.05	-21.15	-20.76	12
13	-21.55	-21.7	-21.75	-22.0	-22.1	-22.3	-22.4	-21.97	13
14	-22.6	-22.65	-22.7	-22.8	-22.85	-22.9	-22.9	-22.77	14
15	-23.0	-22.95	-22.9	-22.8	-22.8	-22.75	-22.8	-22.86	15
16	-22.95	-23.0	-23.05	-23.05	-23.1	-23.2	-22.35	-22.96	16
17	-23.45	-23.6	-23.55	-23.5	-23.5	-22.2	-21.8	-23.09	17
18	-21.8	-21.2	-20.7	-20.1	-19.8	-19.2	-18.9	-20.24	18
19	-18.1	-17.7	-17.3	-17.0	-16.7	-16.45	-16.2	-17.06	19
20	-15.8	-15.5	-15.1	-15.0	-14.9	-14.8	-14.6	-15.10	20
21	-14.5	-14.7	-14.75	-14.95	-15.1	-15.2	-15.3	-14.93	21
22	-15.25	-15.1	-15.05	-15.00	-15.0	-15.0	-14.85	-15.04	22
23	-14.8	-14.7	-14.75	-14.8	-15.0	-15.1	-15.2	-14.91	23
24	-15.5	-15.5	-15.6	-15.6	-15.6	-15.7	-15.7	-15.60	24
25	-15.5	-15.4	-15.3	-15.1	-15.0	-14.9	-14.9	-15.15	25
26	-14.9	-14.95	-14.95	-14.95	-14.95	-14.9	-14.7	-14.90	26
27	-14.45	-14.35	-14.4	-14.5	-14.75	-15.0	-15.3	-14.67	27
28	-16.0	-16.2	-16.3	-16.9	-17.2	-17.2	-17.2	-16.71	28
29	-17.1	-17.0	-16.9	-16.95	-16.95	-16.95	-17.00	-16.97	29
30	-17.0	-17.05	-17.1	-17.15	-17.2	-17.4	-17.5	-17.20	30
31	-17.8	-17.9	-17.9	-17.95	-18.0	-17.95	-17.95	-17.92	31
Med.	-18.70	-18.67	-18.65	-18.68	-18.72	-18.68	-18.64	-18.68	Med.
Absolutes Maximum: -14.35 (27). Absolutes Minimum: -23.6 (17).									

Erdtemperatur

Augusti 1903

Tiefe: 3 dm.

Dat.	6 a. m.	9 a. m.	Mittg.	3 p. m.	6 p. m.	9 p. m.	Mttn.	Med.	Dat.
1	-18.5	-18.5	-18.6	-18.6	-18.5	-18.3	-18.5	-18.50	1
2	-18.5	-19.5	-18.8	-18.5	-18.1	-17.8	-17.9	-18.44	2
3	-17.5	-16.6	-16.3	-16.3	-16.2	-15.6	-15.2	-16.24	3
4	-14.5	-(14.3)	-14.1	-13.8	-13.3	-13.1	-12.5	-13.65	4
5	-11.8	-11.3	-10.6	-10.3	-10.1	-9.8	-9.5	-10.48	5
6	-9.9	-10.6	-11.8	-12.7	-13.8	-14.5	-15.0	-12.61	6
7	-15.3	-15.4	-16.0	-16.1	-16.1	-16.3	-16.3	-15.93	7
8	-16.3	-15.9	-15.4	-14.7	-14.4	-14.3	-14.5	-15.07	8
9	-16.2	-16.9	-17.5	-18.0	-18.1	-18.3	-18.3	-17.61	9
10	-18.3	-18.3	-18.3	-18.3	-18.3	-18.3	-18.3	-18.30	10
11	-18.6	-18.7	-18.6	-18.4	-18.3	-18.1	-18.1	-18.40	11
12	-18.9	-19.0	-19.3	-19.3	-18.8	-18.2	-17.3	-18.69	12
13	-15.5	-15.4	-15.4	-14.6	-14.1	-13.3	-12.4	-14.39	13
14	-11.5	-11.0	-10.6	-10.3	-10.0	-9.7	-9.7	-10.40	14
15	-10.9	-10.9	-10.6	-10.1	-10.3	-11.1	-12.1	-10.86	15
16	-13.3	-13.3	-12.8	-12.3	-11.5	-11.2	-10.8	-12.17	16
17	-10.3	-10.3	-10.2	-10.5	-11.5	-12.4	-13.4	-11.22	17
18	-14.5	-14.6	-15.0	-14.8	-14.8	-14.6	-14.5	-14.69	18
19	-14.5	-14.6	-14.8	-14.6	-14.5	-14.5	-14.6	-14.59	19
20	-15.3	-15.5	-15.5	-15.3	-15.1	-15.3	-15.7	-15.39	20
21	-16.4	-16.5	-16.5	-16.1	-15.5	-15.1	-14.6	-15.81	21
22	-13.3	-12.6	-12.4	-11.9	-11.7	-11.6	-12.1	-12.23	22
23	-13.1	-13.6	-14.3	-14.9	-15.3	-15.8	-(16.1)	-14.73	23
24	-17.0	-17.0	-17.1	-17.5	-17.5	-17.7	-18.5	-17.47	24
25	-(18.3)	-18.0	-18.2	-18.1	-17.8	-17.8	-17.3	-17.93	25
26	-17.3	-17.4	-17.5	-17.5	-17.8	-17.9	-18.0	-17.63	26
27	-18.5	-18.4	-18.6	-18.6	-18.7	-18.7	-18.7	-18.60	27
28	-19.3	-19.4	-19.8	-19.6	-19.3	-19.3	-19.6	-19.47	28
29	-20.1	-20.4	-21.1	-21.3	-21.3	-21.3	-21.6	-21.01	29
30	-22.2	-22.3	-22.6	-22.3	-22.0	-22.0	-22.3	-22.24	30
31	-22.9	-22.8	-22.7	-22.6	-23.3	-23.3	-23.6	-23.03	31
Med.	-16.08	-16.09	-16.16	-16.06	-16.00	-15.97	-16.03	-16.06	Med.
Absolutes Maximum: - 9.5 (5). Absolutes Minimum: - 23.6 (31).									

Erdtemperatur

1903 Augusti

Tiefe: 5 dm.

Dat.	6 a. m.	9 a. m.	Mttg.	3 p. m.	6 p. m.	9 p. m.	Mittn.	Med.	Dat.
1	-18.0	-18.0	-18.1	-18.2	-18.3	-18.2	-18.25	-18.15	1
2	-18.3	-18.3	-18.4	-18.45	-18.5	-18.5	-18.2	-18.38	2
3	-18.3	-18.2	-18.0	-17.9	-17.8	-17.6	-17.5	-17.90	3
4	-17.0	-16.9	-16.7	-16.5	-16.4	-16.2	-16.0	-16.53	4
5	-15.4	-15.1	-14.9	-14.6	-14.3	-14.05	-13.9	-14.61	5
6	-13.6	-13.65	-13.3	-13.5	-13.7	-14.0	-14.1	-13.69	6
7	-14.8	-14.95	-15.1	-15.2	-15.5	-15.7	-15.7	-15.28	7
8	-16.0	-16.2	-16.1	-16.0	-15.9	-15.8	-15.7	-15.96	8
9	-15.7	-15.9	-16.0	-16.2	-16.5	-16.8	-17.0	-16.30	9
10	-17.25	-17.35	-17.4	-17.5	-17.6	-17.7	-17.7	-17.50	10
11	-17.8	-17.9	-17.95	-18.0	-18.0	-18.0	-17.9	-17.94	11
12	-18.0	-18.1	-18.2	-18.3	-18.4	-18.4	-18.3	-18.24	12
13	-17.9	-17.5	-17.3	-17.05	-16.95	-16.6	-16.3	-17.09	13
14	-15.6	-15.3	-14.9	-14.6	-14.4	-14.0	-13.9	-14.67	14
15	-13.5	-13.5	-13.5	-13.4	-13.35	-13.1	-13.2	-13.36	15
16	-13.6	-13.75	-13.8	-13.8	-13.8	-13.7	-13.5	-13.71	16
17	-13.1	-13.00	-13.0	-12.9	-12.9	-13.0	-13.1	-13.00	17
18	-13.75	-13.95	-14.2	-14.3	-14.5	-14.6	-14.6	-14.27	18
19	-14.7	-14.7	-14.8	-14.9	-14.9	-14.9	-14.9	-14.83	19
20	-15.0	-15.1	-15.2	-15.2	-15.3	-15.4	-15.4	-15.23	20
21	-15.8	-15.9	-15.9	-16.0	-16.0	-15.95	-15.75	-15.90	21
22	-15.3	-15.15	-14.9	-14.7	-14.5	-14.3	-14.1	-14.71	22
23	-14.1	-14.03	-14.1	-14.3	-14.6	-14.9	-15.1	-14.45	23
24	-15.4	-15.7	-15.8	-16.0	-16.2	-16.4	-16.6	-16.01	24
25	-16.8	-16.95	-17.0	-17.05	-17.1	-17.1	-17.2	-17.03	25
26	-17.05	-17.05	-17.1	-17.1	-17.2	-17.25	-17.35	-17.15	26
27	-17.5	-17.65	-17.7	-17.8	-17.9	-17.95	-18.00	-17.78	27
28	-18.1	-18.2	-18.3	-18.4	-18.5	-18.5	-18.5	-18.35	28
29	-18.6	-18.8	-19.0	-19.1	-19.3	-19.5	-19.7	-19.14	29
30	-19.95	-20.0	-20.2	-20.3	-20.5	-20.5	-20.5	-20.27	30
31	-20.8	-20.9	-21.0	-21.0	-21.1	-21.2	-21.3	-21.04	31
Med.	-16.34	-16.38	-16.38	-16.39	-16.44	-16.44	-16.43	-16.40	Med.
Absolutes Maximum: -12.9 (17). Absolutes Minimum: -21.3 (31).									

Erdtemperatur

September 1903

Tiefe: 3 dm.

Dat.	6 a. m.	9 a. m.	Mittg.	3 p. m.	6 p. m.	9 p. m.	Mittn.	Med.	Dat.
1	- 24.0	- 24.2	- 24.0	- 23.6	- 23.2	- 22.9	- 23.1	- 23.57	1
2	- 23.5	- 23.7	- 24.1	- 23.4	- 22.3	- 21.8	- 21.5	- 22.90	2
3	- 20.5	- 20.3	- 20.3	- 19.7	- 19.1	- 19.1	- 19.5	- 19.79	3
4	- 20.3	- 20.3	- 20.5	- 20.1	- 19.1	- 18.3	- 18.3	- 19.56	4
5	- 18.0	- 17.6	- 17.5	- 16.2	- 15.3	- 14.5	- 14.4	- 16.24	5
6	- 14.3	- 13.1	- 12.8	- 11.4	- 11.2	- 10.8	- 10.5	- 12.01	6
7	- 11.3	- 12.1	- 12.6	- 12.9	- 12.8	- 13.1	- 13.4	- 12.60	7
8	- 13.8	- 13.8	- 14.1	- 13.6	- 12.9	- 12.4	- 12.4	- 13.29	8
9	- 12.5	- 12.2	- 11.7	- 11.0	- 10.4	- 10.0	- 9.8	- 11.09	9
10	- 9.7	- 9.8	- 10.0	- 9.7	- 9.3	- 8.9	- 8.3	- 9.39	10
11	- 9.1	- 9.3	- 9.5	- 9.1	- 9.1	- 9.5	- 10.0	- 9.37	11
12	- 10.4	- 11.3	- 12.0	- 12.0	- 12.1	- 12.3	- 13.1	- 11.89	12
13	- 14.4	- 14.6	- 15.4	- 15.5	- 15.9	- 16.1	- 16.3	- 15.46	13
14	- 16.8	- 16.8	- 16.9	- 16.4	- 16.0	- 15.9	- 15.9	- 16.39	14
15	- 15.8	- 15.8	- 15.7	- 15.3	- 14.8	- 14.7	- 14.4	- 15.21	15
16	- 14.3	- 14.3	- 14.3	- 14.2	- 14.0	- 14.0	- 14.1	- 14.17	16
17	- 14.6	- 14.7	- 14.8	- 14.3	- 13.8	- 13.8	- 14.3	- 14.33	17
18	- 16.0	- 16.2	- 16.7	- 16.8	- 16.9	- 17.4	- 17.3	- 16.76	18
19	- 17.5	- 17.3	- 16.8	- 16.8	- 16.7	- 17.1	- 17.3	- 17.07	19
20	- 18.1	- 18.3	- 18.3	- 18.1	- 17.5	- 17.3	- 17.5	- 17.87	20
21	- 18.3	- 18.5	- 18.6	- 17.9	- 17.3	- 16.8	- 16.9	- 17.77	21
22	- 17.1	- 16.6	- 16.5	- 16.1	- 15.5	- 15.3	- 15.4	- 16.07	22
23	- 16.0	- 16.2	- 16.4	- 16.3	- 16.3	- 16.3	- 16.3	- 16.26	23
24	- 16.3	- 16.3	- 16.3	- 16.0	- 15.6	- 15.6	- 16.0	- 16.01	24
25	- 16.7	- 17.2	- 17.7	- 18.0	- 18.3	- 18.6	- 19.0	- 17.92	25
26	- 19.4	- 19.2	- 19.3	- 18.6	- 17.7	- 17.3	- 17.3	- 18.40	26
27	- 18.3	- 16.9	- 16.3	- 15.8	- (15.9)	- 16.1	- 16.7	- 16.52	27
28	- 17.4	- 17.6	- 17.5	- 17.3	- 17.1	- 17.3	- 17.9	- 17.44	28
29	- 18.7	- 19.0	- 18.9	- 17.9	- 16.9	- 16.5	- 17.1	- 17.85	29
30	- 18.4	- 19.0	- 19.5	- 19.6	- 19.6	- 19.8	- (20.0)	- 19.41	30
Med.	- 16.38	- 16.40	- 16.50	- 16.12	- 15.73	- 15.65	- 15.80	- 16.08	Med.
Absolutes Maximum: - 8.3 (10). Absolutes Minimum: - 24.2 (1).									

Erdtemperatur

1903 September

Tiefe: 5 dm.

Dat.	6 a. m.	9 a. m.	Mittg.	3 p. m.	6 p. m.	9 p. m.	Mttn.	Med.	Dat.
1	-21.7	-21.75	-21.8	-22.0	-22.0	-21.9	-21.9	-21.86	1
2	-21.9	-22.05	-22.2	-22.05	-22.0	-22.0	-21.9	-22.01	2
3	-21.5	-21.2	-21.1	-20.95	-20.7	-20.5	-20.4	-20.91	3
4	-20.25	-20.25	-20.3	-20.15	-20.15	-20.1	-19.9	-20.16	4
5	-19.6	-19.6	-19.2	-18.9	-18.7	-18.3	-17.9	-18.89	5
6	-17.4	-17.2	-16.9	-16.5	-16.1	-15.9	-15.4	-16.49	6
7	-15.0	-14.9	-14.8	-14.9	-14.95	-15.0	-15.0	-14.94	7
8	-15.1	-15.2	-15.1	-15.1	-15.1	-15.0	-14.9	-15.07	8
9	-14.7	-14.6	-14.5	-14.3	-14.1	-13.8	-13.6	-14.23	9
10	-13.2	-13.1	-13.0	-13.0	-13.9	-12.7	-12.4	-13.04	10
11	-12.1	-12.05	-12.1	-12.05	-12.0	-12.0	-11.9	-12.03	11
12	-11.8	-12.1	-12.4	-12.6	-12.9	-12.9	-13.0	-12.53	12
13	-13.3	-13.6	-13.8	-14.2	-14.4	-14.7	-14.9	-14.13	13
14	-15.3	-15.4	-15.7	-15.9	-15.9	-15.9	-15.8	-15.70	14
15	-15.8	-15.8	-15.8	-15.8	-15.7	-15.7	-15.4	-15.71	15
16	-15.15	-15.1	-15.1	-15.05	-15.0	-15.0	-15.05	-15.06	16
17	-15.0	-15.0	-15.05	-15.1	-15.05	-15.0	-14.95	-15.02	17
18	-15.05	-15.1	-15.6	-15.8	-16.0	-16.05	-16.3	-15.70	18
19	-16.55	-16.6	-16.7	-16.7	-16.7	-16.7	-16.9	-16.69	19
20	-17.0	-17.1	-17.1	-17.2	-17.3	-17.3	-17.3	-17.19	20
21	-17.4	-17.6	-17.7	-17.7	-17.7	-17.6	-17.3	-17.57	21
22	-17.2	-17.15	-17.1	-17.05	-17.00	-16.9	-16.7	-17.01	22
23	-16.5	-16.7	-16.6	-16.7	-16.7	-16.75	-16.8	-16.68	23
24	-16.8	-16.8	-16.8	-16.8	-16.7	-16.6	-16.6	-16.73	24
25	-16.6	-16.8	-17.0	-17.1	-17.3	-17.5	-17.7	-17.14	25
26	-18.0	-18.15	-18.2	-18.2	-18.1	-18.0	-17.9	-18.08	26
27	-17.7	-17.7	-17.5	-17.4	-17.2	-17.1	-17.1	-17.38	27
28	-17.1	-17.3	-17.4	-17.5	-17.5	-17.4	-17.5	-17.38	28
29	-17.8	-18.0	-17.8	-18.05	-18.0	-17.8	-17.6	-17.86	29
30	-17.7	-17.8	-18.0	-18.1	-18.2	-18.3	-18.3	-18.08	30
Med.	-16.67	-16.72	-16.75	-16.76	-16.77	-16.68	-16.62	-16.71	Med.
Absolutes Maximum: -11.8 (12) Absolutes Minimum: -22.05 (2)									

Erdtemperatur

Oktober 1903

Tiefe: 3 dm.

Det.	6 a. m.	9 a. m.	Mttg.	3 p. m.	6 p. m.	9 p. m.	Mttn.	Med.	Det.
1	- 20.4	- 20.6	- 20.5	- 20.3	- 20.2	- 20.1	- 20.0	- 20.30	1
2	- 19.9	- 19.7	- 19.7	- 19.0	- 17.9	- 17.1	- 18.0	- 18.76	2
3	- 17.3	- 17.2	- 16.6	- 15.3	- 14.0	- 13.3	- 12.3	- 15.14	3
4	- 12.0	- 11.4	- 11.3	- 10.8	- 10.3	- 9.6	- 9.3	- 10.67	4
5	- 9.1	- 8.7	- 9.2	- 9.3	- 9.3	- 9.9	- 10.7	- 9.46	5
6	- 12.1	- 12.3	- 12.3	- 11.7	- 10.8	- 10.2	- 9.7	- 11.30	6
7	- 9.7	- 9.6	- 9.5	- 9.3	- 9.2	- 10.0	- 10.6	- 9.70	7
8	- 12.5	- 13.0	- 13.6	- 13.4	- 13.3	- 13.3	- 13.5	- 13.23	8
9	- 13.7	- 13.6	- 13.4	- 12.8	- 11.6	- 11.0	- 10.9	- 12.43	9
10	- 10.6	- 10.8	- 11.3	- 11.4	- 11.4	- 11.6	- 12.1	- 11.17	10
11	- 12.3	- 12.4	- 12.3	- 11.5	- 10.6	- 10.1	- 10.3	- 11.36	11
12	- 11.5	- 11.9	- 11.8	- 11.1	- 10.1	- 9.5	- 9.3	- 10.74	12
13	- 10.1	- 10.5	- 10.4	- 10.1	- 9.3	- 9.1	- 9.1	- 9.80	13
14	- 9.8	- 10.1	- 10.1	- 9.3	- 8.5	- 8.1	- 7.6	- 9.07	14
15	- 7.3	- 7.1	- 6.9	- 6.6	- 6.3	- 6.1	- 5.6	- 6.56	15
16	- 5.3	- 5.3	- 5.3	- 5.3	- 5.1	- 4.9	- 4.7	- 5.13	16
17	- 5.1	- 4.6	- 4.6	- 4.6	- 4.6	- 4.5	- 4.3	- 4.61	17
18	- 4.2	- 4.1	- 4.1	- 4.0	- 3.8	- 3.8	- 4.1	- 4.01	18
19	- 3.3	- 3.3	- 3.3	- 3.3	- 3.3	- 3.2	- 3.2	- 3.27	19
20	- 3.1	- 3.5	- 3.8	- 3.9	- 3.9	- 4.0	- 3.4	- 3.66	20
21	- 3.2	- 3.3	- 3.3	- 3.3	- 3.3	- 3.3	- 3.0	- 3.24	21
22	- 3.1	- 2.2	- 3.3	- 3.3	- 3.1	- 3.1	- 2.7	- 2.97	22
23	- 2.7	- 2.8	- 2.9	- 2.8	- 2.8	- 2.8	- 2.8	- 2.80	23
24	- 2.6	- 2.7	- 2.8	- 3.0	- 3.1	- 3.2	- 3.2	- 2.94	24
25	- 4.1	- 4.5	- 4.8	- 4.8	- 4.5	- 4.3	- 4.2	- 4.46	25
26	- 4.1	- 4.2	- 4.1	- 3.9	- 3.6	- 3.6	- 3.6	- 3.87	26
27	- 3.3	- 3.3	- 3.3	- 3.1	- 3.0	- 2.9	- 2.7	- 3.09	27
28	- 2.5	- 2.5	- 2.3	- 2.3	- 2.0	- 2.2	- 2.1	- 2.27	28
29	- 2.1	- 2.1	- 2.0	- 1.9	- 1.8	- 2.0	- 2.1	- 2.00	29
30	- 1.9	- 1.9	- 1.8	- 2.0	- 2.1	- 2.1	- 2.1	- 1.98	30
31	- 2.1	- 2.1	- 2.1	- 2.2	- 2.3	- 2.4	- 2.5	- 2.24	31
Med.	- 7.77	- 7.78	- 7.83	- 7.60	- 7.23	- 7.14	- 7.08	- 7.49	Med.
Absolutes Maximum: - 1.8 (30) Absolutes Minimum: - 20.6 (1)									

Erdtemperatur

1903 Oktober

Tiefe: 5 dm.

Dat.	6 a. m.	9 a. m.	Mtgg.	3 p. m.	6 p. m.	9 p. m.	Mttn.	Med.	Dat.
1	— 18.7	— 18.9	— 19.0	— 19.2	— 19.2	— 19.25	—(19.25)	— 19.07	1
2	— 19.25	— 19.3	— 19.2	— 19.2	— 19.05	— 19.05	— 18.7	— 19.23	2
3	— 18.2	— 18.2	— 18.25	— 18.0	— 17.7	— 17.4	— 16.9	— 17.81	3
4	— 16.3	— 15.9	— 15.6	— 15.2	— 15.0	— 14.5	— 14.2	— 15.24	4
5	— 13.8	— 13.3	— 13.4	— 13.2	— 13.05	— 12.95	— 12.9	— 13.23	5
6	— 13.1	— 13.2	— 13.4	— 13.50	— 13.5	— 13.3	— 13.15	— 13.31	6
7	— 12.8	— 12.7	— 12.6	— 12.5	— 12.4	— 12.3	— 12.2	— 12.50	7
8	— 12.5	— 12.85	— 13.0	— 13.1	— 13.4	— 13.5	— 13.6	— 13.14	8
9	— 13.8	— 13.9	— 13.9	— 13.8	— 13.7	— 13.6	— 13.4	— 13.73	9
10	— 13.05	— 13.0	— 12.9	— 12.9	— 12.9	— 13.0	— 13.0	— 12.96	10
11	— 13.05	— 13.1	— 13.2	— 13.2	— 13.1	— 12.9	— 12.7	— 13.04	11
12	— 12.6	— 12.6	— 12.7	— 12.8	— 12.9	— 12.4	— 12.3	— 12.61	12
13	— 12.0	— 12.0	— 12.1	— 12.0	— 11.9	— 11.8	— 11.7	— 11.93	13
14	— 11.5	— 11.5	— 11.55	— 11.55	— 11.3	— 11.2	— 11.0	— 11.37	14
15	— 10.8	— 10.7	— 10.5	— 10.3	— 10.0	— 10.0	— 9.7	— 10.29	15
16	— 9.5	— 9.4	— 9.1	— 9.0	— 9.0	— 9.0	— 8.7	— 9.10	16
17	— 8.8	— 8.4	— 8.35	— 8.3	— 8.2	— 8.2	— 8.0	— 8.32	17
18	— 7.8	— 7.8	— 7.7	— 7.6	— 7.5	— 7.4	— 7.2	— 7.57	18
19	— 7.15	— 7.1	— 6.8	— 6.8	— 6.9	— 6.7	— 6.7	— 6.88	19
20	— 6.6	— 6.6	— 6.6	— 6.6	— 6.6	— 6.7	— 6.5	— 6.60	20
21	— 6.5	— 6.3	— 6.2	— 6.2	— 6.2	— 6.2	— 6.3	— 6.27	21
22	— 6.1	— 6.1	— 6.05	— 6.05	— 6.00	— 6.0	— 5.9	— 6.03	22
23	— 5.85	— 5.8	— 5.8	— 5.8	— 5.7	— 5.7	— 5.6	— 5.75	23
24	— 5.6	— 5.6	— 5.4	— 5.5	— 5.5	— 5.6	— 5.6	— 5.54	24
25	— 5.7	— 5.7	— 5.9	— 6.0	— 6.0	— 6.0	— 6.0	— 5.90	25
26	— 5.95	— 5.9	— 5.9	— 5.9	— 5.9	— 5.9	— 5.8	— 5.89	26
27	— 5.7	— 5.6	— 5.6	— 5.5	— 5.5	— 5.5	— 5.4	— 5.54	27
28	— 5.3	— 5.2	— 5.2	— 5.1	— 5.1	— 5.05	— 5.05	— 5.14	28
29	— 4.95	— 4.8	— 4.8	— 4.8	— 4.7	— 4.7	— 4.7	— 4.77	29
30	— 4.5	— 4.5	— 4.5	— 4.5	— 4.5	— 4.5	— 4.5	— 4.50	30
31	— 4.5	— 4.45	— 4.4	— 4.4	— 4.4	— 4.4	— 4.4	— 4.42	31
Med.	— 10.06	— 10.01	— 9.99	— 9.95	— 9.89	— 9.86	— 9.71	— 9.93	Med.
Absolutes Maximum: — 4.4 (31) Absolutes Minimum: — 19.95 (2)									

Erdtemperatur

November 1903

Tiefe: 3 dm.

Dat.	6 a. m.	9 a. m.	Mittg.	3 p. m.	6 p. m.	9 p. m.	Mttn.	Med.	Dat.
1	- 3.0	- 3.3	- 3.8	- 4.0	- 4.1	- 4.0	- 4.1	- 3.76	1
2	- 4.7	- 5.1	- 5.1	- 4.9	- 4.5	- 3.8	- (3.6)	- 4.52	2
3	- 3.1	- 3.1	- 2.9	- 2.9	- 2.8	- 2.6	- 2.4	- 2.83	3
4	- 2.3	- 2.2	- 2.1	- 1.9	- 1.8	- 1.7	- 1.8	- 1.97	4
5	- 1.7	- 1.6	- 1.4	- 1.5	- 1.4	- 1.5	- 1.5	- 1.51	5
6	- 1.5	- 1.3	- 1.3	- 1.3	- 1.0	- 1.1	- 1.4	- 1.27	6
7	- 1.2	- 1.2	- 1.3	- 1.1	- 1.1	- 0.9	- 0.8	- 1.09	7
Med.	- 2.50	- 2.54	- 2.56	- 2.51	- 2.40	- 2.23	- 2.22	- 2.42	Med.
Absolute Maximum: - 0.8 (7) Absolute Minimum: - 5.1 (2)									

Erdtemperatur

1903 November

Tiefe: 5 dm.

Dat.	6 a. m.	9 a. m.	Mittg.	3 p. m.	6 p. m.	9 p. m.	Mittn.	Med.	Dat.
1	- 4.5	- 4.35	- 4.6	- 4.7	- 4.8	- 5.0	- 5.0	- 4.71	1
2	- 5.2	- 5.3	- 5.3	- 5.4	- 5.5	- 5.5	-(5.4)	- 5.37	2
3	- 5.2	- 5.2	- 5.1	- 5.1	- 5.0	- 4.9	- 4.9	- 5.06	3
4	- 4.8	- 4.6	- 4.6	- 4.5	- 4.5	- 4.5	- 4.45	- 4.56	4
5	- 4.3	- 4.3	- 4.2	- 4.2	- 4.1	- 4.1	- 4.1	- 4.19	5
6	- 4.0	- 4.0	- 3.9	- 3.8	- 3.85	- 3.8	- 3.9	- 3.90	6
7	- 3.7	- 3.7	- 3.7	- 3.7	- 3.6	- 3.7	- 3.6	- 3.67	7
Med.	- 4.53	- 4.49	- 4.49	- 4.50	- 4.48	- 4.50	- 4.47	- 4.49	Med.
Absolutes Maximum: - 3.6 (7) Absolutes Minimum: - 5.5 (2)									

Temperaturmittel

April 1902

1902 Mai

Dat.	Luft	Erde in Tiefe:		
		3 dm.	5 dm.	10 dm.
1	- 14.50	.	.	.
2	- 10.62	.	.	.
3	- 15.57	.	.	.
4	- 14.70	.	.	.
5	- 11.70	.	.	.
6	- 3.71	.	.	.
7	- 10.31	.	.	.
8	- 14.32	.	.	.
9	- 3.91	.	.	.
10	- 4.41	.	.	.
11	- 15.66	.	.	.
12	- 15.84	.	.	.
13	- 13.75	.	.	.
14	- 12.85	- 10.50	- 9.00	- 6.60
15	- 12.65	- 10.20	- 9.05	- 6.70
16	- 7.73	- 10.10	- 9.15	- 6.80
17	- 0.82	- 8.30	- 8.65	- 6.85
18	- 15.41	- 8.20	- 7.90	- 6.90
19	- 17.89	- 10.30	- 8.60	- 6.80
20	- 21.05	- 12.20	- 9.40	- 6.95
21	- 26.18	- 12.80	- 10.30	- 7.25
22	- 18.29	- 12.30	- 10.60	- 7.60
23	- 20.15	- 13.00	- 10.80	- 7.80
24	- 21.80	- 14.00	- 11.35	- 8.10
25	- 21.17	- 15.20	- 12.10	- 8.20
26	- 20.72	- 15.65	- 12.80	- 8.75
27	- 17.47	- 15.50	- 13.00	- 9.05
28	- 13.80	- 15.00	- 13.00	- 9.35
29	- 10.52	- 14.30	- 12.80	- 9.55
30	- 2.27	- 12.60	- 12.20	- 9.70
Med.	- 13.33	- 12.36	- 10.63	- 7.82

Dat.	Luft	Erde in Tiefe:		
		3 dm.	5 dm.	10 dm.
1	- 5.17	- 9.35	- 10.66	- 9.55
2	- 24.04	- 12.68	- 10.74	- 9.30
3	- 22.95	- 16.03	- 12.61	- 9.25
4	- 24.63	- 17.75	- 13.90	- 9.70
5	- 15.51	- 16.08	- 14.60	- 10.10
6	- 2.78	- 12.70	- 13.64	- 10.30
7	- 2.25	- 9.70	- 11.95	- 10.40
8	- 10.36	- 10.00	- 11.00	- 10.15
9	- 18.75	- 13.16	- 11.68	- 9.95
10	- 3.13	- 11.28	- 12.04	- 9.85
11	- 1.70	- 8.98	- 10.78	- 9.90
12	- 0.42	- 7.58	- 9.79	- 9.65
13	- 8.98	- 8.22	- 9.30	- 9.20
14	- 21.12	- 11.72	- 10.17	- 9.10
15	- 21.83	- 14.10	- 11.87	- 9.20
16	- 22.10	- 15.20	- 12.99	- 9.60
17	- 20.80	- 15.60	- 13.70	- 9.95
18	- 21.02	- 15.65	- 14.21	- 10.35
19	- 19.30	- 16.32	- 14.69	- 10.70
20	- 18.05	- 15.62	- 14.80	- 11.10
21	- 19.91	- 15.28	- 14.61	- 11.30
22	- 21.58	- 16.30	- 14.92	- 11.50
23	- 21.00	- 16.68	- 15.35	- 11.60
24	- 19.08	- 16.20	- 15.45	- 11.70
25	- 18.88	- 15.84	- 15.30	- 11.80
26	- 23.92	- 16.66	- 15.44	- 11.85
27	- 23.11	- 17.52	- 16.14	- 12.10
28	- 23.60	- 18.14	- 16.48	- 12.20
29	- 26.15	- 19.02	- 17.03	- 12.55
30	- 24.84	- 19.66	- 17.64	- 12.90
31	- 18.87	- 19.40	- 17.89	- 13.30
Med.	- 16.96	- 14.47	- 13.59	- 10.65

Temperaturmittel

Juni 1902

1902 Juli

Dat.	Luft	Erde in Tiefe:		
		3 dm.	5 dm.	10 dm.
1	-23.95	-18.96	-17.92	-13.50
2	-27.72	-20.16	-18.15	-14.30
3	-27.01	-21.66	-18.72	-15.00
4	-26.38	-20.94	-19.16	-15.50
5	-25.39	-20.90	-19.44	-15.60
6	-24.60	-20.74	-19.53	-15.95
7	-23.90	-20.30	-19.49	-16.10
8	-23.32	-19.94	-19.28	-16.25
9	-27.75	-21.60	-19.63	-16.35
10	-24.35	-21.30	-20.00	-16.55
11	-25.20	-20.86	-19.92	-16.70
12	-24.42	-21.62	-20.13	-16.80
13	-14.87	-19.56	-20.12	-17.00
14	-12.84	-18.66	-19.13	-17.05
15	-13.82	-17.74	-18.59	-16.80
16	-9.73	-17.06	-17.97	-16.60
17	-3.42	-14.32	-16.62	-16.40
18	-18.74	-14.34	-15.27	-15.95
19	-16.87	-17.06	-16.36	-15.45
20	-2.60	-14.02	-16.20	-15.40
21	-6.12	-12.34	-14.60	-15.25
22	-3.83	-11.54	-13.78	-14.75
23	-6.81	-10.66	-13.10	-14.30
24	-10.84	-12.96	-13.25	-13.90
25	-15.85	-12.92	-13.50	-13.70
26	-16.75	-14.50	-14.00	-13.60
27	-19.06	-15.22	-14.58	-13.70
28	-23.04	-16.62	-15.31	-13.85
29	-22.50	-17.82	-16.31	-14.10
30	-22.55	-18.22	-16.88	-14.45
Med.	-18.14	-17.46	-17.23	-15.36

Dat.	Luft	Erde in Tiefe:		
		3 dm.	5 dm.	10 dm.
1	-22.20	-18.84	-17.40	-14.80
2	-24.49	-19.04	-17.77	-15.20
3	-21.85	-19.60	-18.32	-15.50
4	-16.94	-19.92	-18.66	-15.70
5	-10.60	-18.36	-18.58	-16.00
6	-18.68	-16.30	-17.48	-16.10
7	-24.66	-19.72	-18.02	-16.00
8	-20.94	-19.62	-18.84	-16.20
9	-27.10	-20.56	-18.86	-16.45
10	-19.11	-19.88	-19.58	-16.60
11	-22.39	-19.96	-19.33	-16.75
12	-19.43	-19.44	-19.22	-16.90
13	-15.53	-18.98	-19.01	-17.00
14	-26.66	-20.18	-18.94	-17.00
15	-28.30	-21.94	-20.03	-17.05
16	-30.88	-23.24	-20.90	-17.40
17	-28.83	-24.56	-21.85	-17.80
18	-24.61	-22.60	-21.81	-18.25
19	-20.58	-21.16	-21.22	-18.50
20	-21.30	-20.16	-20.52	-18.50
21	-24.42	-20.42	-20.19	-18.40
22	-26.72	-21.38	-20.57	-18.30
23	-29.01	-23.06	-21.22	-18.45
24	-29.02	-23.58	-21.95	-18.70
25	-31.07	-24.72	-22.51	-18.95
26	-30.26	-26.06	-23.37	-19.35
27	-27.87	-25.18	-23.78	-19.80
28	-23.24	-24.76	-23.87	-20.10
29	-27.44	-23.32	-23.13	-20.30
30	-30.46	-24.60	-23.25	-20.30
31	-30.36	-25.16	-23.71	-20.35
Med.	-24.35	-21.49	-20.45	-17.63

Temperaturmittel

Augusti 1902

1902 September

Dat.	Luft	Erde in Tiefe:		
		3 dm.	5 dm.	10 dm.
1	- 29.98	- 26.18	- 24.18	- 20.60
2	- 29.60	- 25.94	- 24.61	- 20.85
3	- 26.78	- 26.18	- 24.80	- 21.10
4	- 26.36	- 24.58	- 24.44	- 21.35
5	- 29.66	- 24.98	- 24.14	- 21.40
6	- 36.24	- 26.64	- 24.59	- 21.45
7	- 36.57	- 29.20	- 25.98	- 21.65
8	- 25.23	- 28.26	- 26.37	- 22.15
9	- 21.22	- 23.28	- 24.90	- 22.50
10	- 31.10	- 25.92	- 24.64	- 22.20
11	- 28.46	- 25.80	- 25.09	- 22.15
12	- 29.16	- 25.84	- 25.06	- 22.25
13	- 30.20	- 26.10	- 25.20	- 22.30
14	- 23.02	- 26.58	- 25.58	- 22.45
15	- 26.80	- 23.80	- 24.44	- 22.55
16	- 25.98	- 25.28	- 24.66	- 22.40
17	- 4.93	- 20.54	- 23.74	- 22.30
18	- 4.19	- 14.60	- 20.07	- 21.80
19	- 8.38	- 15.02	- 18.19	- 20.75
20	- 14.90	- 15.60	- 18.00	- 19.70
21	- 21.38	- 18.14	- 18.48	- 19.20
22	- 21.92	- 19.26	- 19.21	- 18.95
23	- 25.26	- 21.18	- 20.09	- 19.00
24	- 18.40	- 21.42	- 20.72	- 19.20
25	- 16.26	- 18.46	- 19.96	- 19.30
26	- 13.13	- 17.42	- 19.24	- 19.15
27	- 10.05	- 16.94	- 18.57	- 18.90
28	- 8.15	- 14.38	- 17.52	- 18.55
29	- 20.92	- 15.76	- 16.92	- 18.10
30	- 26.08	- 18.18	- 18.05	- 17.80
31	- 28.72	- 21.52	- 19.48	- 17.90
Med.	- 22.55	- 22.00	- 22.16	- 20.64

Dat.	Luft	Erde in Tiefe:		
		3 dm.	5 dm.	10 dm.
1	- 30.02	- 22.68	- 20.78	- 18.30
2	- 30.69	- 23.80	- 21.72	- 18.75
3	- 17.60	- 22.86	- 22.21	- 19.25
4	- 12.52	- 18.48	- 20.71	- 19.60
5	- 20.00	- 18.08	- 19.40	- 19.40
6	- 18.91	- 18.34	- 19.36	- 19.00
7	- 14.51	- 18.32	- 19.19	- 18.80
8	- 24.71	- 19.28	- 19.03	- 18.70
9	- 23.83	- 20.40	- 19.87	- 18.60
10	- 17.61	- 20.64	- 20.34	- 18.75
11	- 8.14	- 16.94	- 19.46	- 18.80
12	- 2.85	- 14.22	- 17.54	- 18.60
13	- 3.76	- 12.76	- 16.01	- 18.00
14	- 6.26	- 12.08	- 14.90	- 17.35
15	- 2.14	- 11.72	- 14.48	- 16.70
16	+ 1.97	- 9.54	- 13.38	- 16.20
17	- 1.20	- 8.04	- 12.12	- 15.60
18	- 4.12	- 7.54	- 11.11	- 14.95
19	- 12.66	- 8.94	- 11.10	- 14.30
20	- 18.23	- 11.14	- 11.73	- 13.90
21	- 18.17	- 13.56	- 12.89	- 13.80
22	- 13.28	- 13.18	- 13.75	- 14.00
23	- 12.91	- 12.80	- 13.74	- 14.15
24	- 14.19	- 12.14	- 13.38	- 14.20
25	- 19.42	- 14.18	- 13.77	- 14.20
26	- 19.99	- 15.30	- 14.69	- 14.30
27	- 23.51	- 16.64	- 15.48	- 14.55
28	- 19.79	- 17.38	- 16.40	- 14.90
29	- 11.08	- 15.04	- 16.28	- 15.20
30	- 7.45	- 12.40	- 14.83	- 15.25
Med.	- 14.25	- 15.28	- 16.32	- 16.60

Temperaturmittel

Oktober 1902

Dat.	Luft	Erde in Tiefe:		
		3 dm.	5 dm.	10 dm.
1	- 3.75	- 10.10	- 13.38	- 14.95
2	- 5.72	- 9.20	- 12.16	- 14.35
3	- 0.25	- 8.12	- 11.33	- 13.90
4	- 2.08	- 7.38	- 10.51	- 13.40
5	- 7.16	- 6.92	- 9.85	- 12.80
6	- 2.90	- 7.98	- 10.04	- 12.40
7	- 7.01	- 6.66	- 9.49	- 12.00
8	- 4.50	- 7.42	- 9.45	- 11.75
9	- 1.05	- 6.28	- 9.02	- 11.50
10	- 4.67	- 5.08	- 8.30	- 11.15
11	- 8.08	- 6.22	- 8.13	- 10.80
12	- 15.97	- 7.36	- 8.28	- 10.60
13	- 19.58	- 10.70	- 9.76	- 10.45
14	- 20.93	- 12.28	- 10.83	- 10.70
15	- 16.63	- 12.52	- 11.97	- 11.10
16	- 20.41	- 13.04	- 12.09	- 11.55
17	- 20.95	- 13.80	- 12.96	- 11.80
18	- 22.10	- 14.92	- 13.65	- 12.25
19	- 22.39	- 15.32	- 14.14	- 12.70
20	- 18.53	- 15.68	- 14.78	- 13.05
21	- 15.41	- 14.10	- 14.62	- 13.40
22	- 12.87	- 12.36	- 13.74	- 13.50
23	- 13.45	- 10.68	- 12.69	- 13.25
24	- 18.08	- 11.70	- 12.32	- 13.00
25	- 17.58	- 13.72	- 13.10	- 12.80
26	- 17.10	- 13.82	- 13.58	- 12.85
27	- 14.97	- 13.58	- 13.74	- 13.00
28	- 15.55	- 12.72	- 13.56	- 13.20
29	- 15.52	- 13.16	- 13.54	- 13.20
30	- 13.43	- 12.40	- 13.34	- 13.15
31	- 14.77	- 11.92	- 13.10	- 13.10
Med.	- 12.69	- 10.87	- 11.85	- 12.50

1902 November

Dat.	Luft	Erde in Tiefe:		
		3 dm.	5 dm.	10 dm.
1	- 14.85	- 12.11	- 12.95	- 13.00
2	- 13.81	- 11.88	- 12.78	- 12.95
3	- 14.43	- 11.89	- 12.71	- 12.80
4	- 10.43	- 11.46	- 12.59	- 12.75
5	- 11.37	- 10.34	- 11.96	- 12.65
6	- 8.97	- 9.99	- 11.51	- 12.40
7	- 6.96	- 9.04	- 11.28	- 12.15
8	- 1.07	- 6.88	- 9.96	- 11.85
9	- 8.39	- 6.08	- 8.98	- 11.40
10	- 6.40	- 6.50	- 8.60	- 10.90
11	- 8.93	- 6.86	- 8.50	- 10.50
12	- 8.98	- 7.43	- 8.69	- 10.30
13	- 9.38	- 7.40	- 8.70	- 10.15
14	- 7.66	- 7.08	- 8.68	- 10.05
15	- 6.76	- 6.03	- 8.13	- 9.90
16	- 8.68	- 6.15	- 7.81	- 9.70
17	- 9.72	- 6.89	- 8.04	- 9.50
18	- 11.97	- 7.45	- 8.28	- 9.45
19	- 8.39	- 7.72	- 8.58	- 9.40
20	- 7.30	- 6.10	- 8.06	- 9.45
21	- 9.89	- 3.55	- 7.41	- 9.30
22	- 8.40	- 5.26	- 7.10	- 9.05
23	- 5.80	- 4.53	- 6.71	- 8.80
24	- 5.97	- 3.91	- 6.23	- 8.60
25	- 4.44	- 3.55	- 5.86	- 8.30
26	- 5.97	- 3.27	- 5.54	- 8.05
27	- 7.30	- 3.67	- 5.31	- 7.80
28	- 3.84	- 4.13	- 5.50	- 7.55
29	- 3.46	- 2.93	- 5.18	- 7.50
30	- 3.44	- 2.42	- 5.78	- 7.25
Med.	- 8.10	- 6.81	- 8.55	- 10.11

Temperaturmittel

December 1902

1903 Januari

Dat.	Luft	Erde in Tiefe:		
		3 dm.	5 dm.	10 dm.
1	- 6.08	- 2.19	- 4.40	- 7.05
2	- 6.00	- 1.93	- 4.16	- 6.80
3	- 2.27	- 1.69	- 3.97	- 6.55
4	- 3.87	- 1.50	- 3.74	- 6.40
5	- 3.41	- 1.20	- 3.50	- 6.15
6	- 1.79	- 1.01	- 3.31	- 6.00
7	- 1.20	- 0.89	- 3.08	- 6.80
8	- 0.60	- 0.65	- 2.96	- 5.60
9	+ 0.01	- 0.41	- 2.77	- 5.45
10	- 0.91	- 0.20	- 2.60	- 5.30
11	- 0.86	- 0.19	- 2.39	- 5.15
12	- 1.53	- 0.08	- 2.18	- 5.00
13	- 1.28	- 0.01	- 2.09	- 4.80
14	- 2.83	+ 0.11	- 2.03	- 4.75
15	- 1.09	+ 0.03	- 1.93	- 4.55
16	- 2.01	- 0.01	- 1.93	- 4.50
17	- 1.91	- 0.02	- 1.83	- 4.30
18	- 1.83	± 0.00	- 1.79	- 4.25
19	- 1.18	+ 0.33	- 1.71	- 4.15
20	- 2.40	+ 0.33	- 1.68	- 4.05
21	- 2.57	+ 0.25	- 1.58	- 4.00
22	- 0.86	+ 0.40	- 1.52	- 3.90
23	- 1.88	+ 0.40	- 1.44	- 3.80
24	- 3.14	+ 0.33	- 1.42	- 3.75
25	- 2.97	+ 0.56	- 1.31	- 3.70
26	- 3.54	+ 0.28	- 1.27	- 3.60
27	- 1.74	+ 0.11	- 1.22	- 3.50
28	- 1.49	+ 0.28	- 1.21	- 3.50
29	- 1.02	+ 0.54	- 1.19	- 3.40
30	+ 0.19	+ 1.06	- 1.12	- 3.35
31	- 0.12	+ 1.31	- 1.06	- 3.25
Med.	- 2.01	- 0.18	- 2.20	- 4.72

Dat.	Luft	Erde in Tiefe:		
		3 dm.	5 dm.	10 dm.
1	- 0.90	+ 1.78	- 0.99	- 3.20
2	+ 0.08	+ 1.56	- 0.90	- 3.10
3	- 0.73	+ 1.21	- 0.82	- 3.05
4	+ 0.56	+ 1.38	- 0.78	- 3.00
5	- 0.62	+ 1.56	- 0.70	- 2.95
6	- 1.82	+ 0.48	- 0.70	- 2.85
7	- 0.55	+ 0.36	- 0.71	- 2.80
8	- 1.67	+ 1.03	- 0.70	- 2.75
9	- 1.58	+ 0.91	- 0.66	- 2.70
10	- 1.66	+ 0.41	- 0.70	- 2.65
11	- 1.34	+ 0.43	- 0.64	- 2.60
12	- 0.79	+ 1.21	- 0.68	- 2.55
13	- 1.19	+ 1.60	- 0.61	- 2.55
14	- 1.19	+ 1.41	- 0.61	- 2.50
15	- 2.40	+ 1.64	- 0.53	- 2.45
16	- 2.59	+ 0.99	- 0.53	- 2.45
17	- 2.40	+ 1.35	- 0.51	- 2.40
18	- 1.95	+ 0.94	- 0.50	- 2.35
19	- 1.33	+ 1.66	- 0.49	- 2.30
20	- 0.39	+ 2.30	- 0.36	- 2.25
21	+ 0.44	+ 2.45	- 0.32	- 2.25
22	+ 0.88	+ 2.88	- 0.21	- 2.20
23	+ 1.81	+ 3.88	- 0.09	- 2.15
24	- 0.32	+ 3.35	± 0.00	- 2.10
25	+ 0.25	+ 2.10	- 0.04	- 2.05
26	+ 0.35	+ 2.22	- 0.03	- 2.00
27	- 1.21	+ 2.51	± 0.00	- 2.00
28	- 1.28	+ 1.73	- 0.03	- 2.00
29	- 1.83	+ 0.91	- 0.10	- 1.90
30	- 0.96	+ 0.72	- 0.19	- 1.90
31	- 0.78	+ 1.72	- 0.11	- 1.85
Med.	- 0.87	+ 1.57	- 0.46	- 2.45

Temperaturmittel

Februari 1903

1903 März

Dat.	Luft	Erde in Tiefe:		
		3 dm.	5 dm.	10 dm.
1	- 0.92	+ 2.09	- 0.03	- 1.80
2	- 1.46	+ 1.15	- 0.09	- 1.80
3	- 2.71	+ 0.79	- 0.18	- 1.75
4	- 1.05	+ 1.26	- 0.18	- 1.75
5	+ 0.22	+ 1.91	- 0.07	- 1.75
6	- 1.33	+ 1.91	- 0.04	- 1.70
7	- 1.30	+ 1.99	- 0.03	- 1.70
8	- 1.70	+ 0.80	- 0.10	- 1.70
9	- 0.85	+ 0.43	- 0.18	- 1.70
10	- 1.96	+ 0.58	- 0.19	- 1.65
11	- 2.50	+ 0.65	- 0.21	- 1.60
12	- 4.38	+ 0.54	- 0.20	- 1.60
13	- 4.37	+ 0.25	- 0.25	- 1.60
14	- 3.38	+ 0.30	- 0.23	- 1.60
15	- 2.27	+ 0.25	- 0.26	- 1.55
16	- 2.49	+ 0.30	- 0.27	- 1.55
17	- 4.74	+ 0.32	- 0.30	- 1.55
18	- 9.18	+ 0.10	- 0.30	- 1.50
19	- 10.36	- 0.16	- 0.32	- 1.50
20	- 6.05	- 0.39	- 0.34	- 1.55
21	- 2.25	- 0.10	- 0.34	- 1.55
22	- 7.03	- 0.12	- 0.34	- 1.50
23	- 5.85	- 0.04	- 0.36	- 1.50
24	- 7.03	- 0.02	- 0.38	- 1.50
25	- 4.56	+ 0.07	- 0.41	- 1.50
26	- 1.76	± 0.00	- 0.48	- 1.50
27	- 3.38	+ 0.07	- 0.51	- 1.50
28	- 4.64	+ 0.01	- 0.58	- 1.50
Med.	- 3.55	+ 0.53	- 0.25	- 1.60

Dat.	Luft	Erde in Tiefe:		
		3 dm.	5 dm.	10 dm.
1	- 0.56	+ 0.01	- 0.56	- 1.50
2	- 4.57	- 0.03	- 0.60	- 1.50
3	- 1.65	- 0.04	- 0.60	- 1.55
4	+ 1.22	± 0.00	- 0.60	- 1.50
5	- 0.66	+ 0.11	- 0.60	- 1.50
6	- 8.88	- 0.01	- 0.63	- 1.55
7	- 11.45	- 0.67	- 0.69	- 1.55
8	- 11.60	- 2.30	- 0.94	- 1.55
9	- 11.70	- 3.69	- 1.75	- 1.60
10	- 11.75	- 4.47	- 2.58	- 1.65
11	- 14.59	- 5.71	- 3.39	- 1.80
12	- 16.54	- 6.77	- 4.31	- 2.10
13	- 11.27	- 6.11	- 4.84	- 2.50
14	- 14.46	- 5.97	- 4.84	- 2.90
15	- 15.35	- 7.59	- 5.57	- 3.25
16	- 14.74	- 8.14	- 6.24	- 3.55
17	- 14.82	- 8.64	- 6.86	- 3.95
18	- 13.11	- 8.59	- 7.24	- 4.40
19	- 13.67	- 8.67	- 7.48	- 4.75
20	- 12.93	- 8.73	- 7.71	- 5.05
21	- 14.08	- 9.24	- 7.97	- 5.35
22	- 11.32	- 9.03	- 8.15	- 5.65
23	- 10.70	- 8.13	- 7.93	- 5.90
24	- 15.58	- 9.19	- 7.99	- 6.00
25	- 14.64	- 10.06	- 8.75	- 6.20
26	- 12.60	- 9.85	- 8.97	- 6.50
27	- 11.05	- 9.14	- 8.85	- 6.75
28	- 13.02	- 9.30	- 8.78	- 6.90
29	- 14.39	- 10.00	- 9.01	- 7.00
30	- 15.78	- 10.47	- 9.38	- 7.15
31	- 17.83	- 11.64	- 9.95	- 7.40
Med.	- 11.42	- 6.20	- 5.28	- 3.89

Temperaturmittel

April 1903

1903 Mai

Dat.	Luft	Erde in Tiefe:		
		3 dm.	5 dm.	10 dm.
1	- 15.48	- 11.96	- 10.59	- 7.70
2	- 4.98	- 10.10	- 10.40	- 8.00
3	- 5.08	- 7.60	- 9.04	- 8.10
4	- 2.19	- 7.26	- 8.39	- 7.95
5	- 14.62	- 8.41	- 8.15	- 7.75
6	- 16.75	- 10.79	- 9.31	- 7.70
7	- 16.62	- 11.86	- 10.23	- 7.90
8	- 17.13	- 12.27	- 10.83	- 8.20
9	- 15.36	- 12.27	- 11.15	- 8.55
10	- 12.32	- 11.36	- 11.07	- 8.80
11	- 15.75	- 11.69	- 10.99	- 8.95
12	- 17.52	- 12.44	- 11.30	- 9.05
13	- 14.08	- 12.11	- 11.56	- 9.25
14	- 12.52	- 11.34	- 11.32	- 9.45
15	- 2.43	- 9.64	- 10.76	- 9.50
16	- 8.76	- 8.53	- 9.71	- 9.35
17	- 1.92	- 8.06	- 9.26	- 9.10
18	+ 2.52	- 6.41	- 8.43	- 8.80
19	- 4.50	- 6.16	- 7.87	- 8.55
20	- 16.09	- 8.50	- 8.09	- 8.25
21	- 20.08	- 10.23	- 8.98	- 8.25
22	- 24.58	- 14.40	- 10.77	- 8.50
23	- 23.51	- 15.97	- 12.60	- 9.05
24	- 24.24	- 17.23	- 13.81	- 9.85
25	- 19.15	- 16.93	- 14.63	- 10.55
26	- 18.19	- 15.21	- 14.22	- 11.10
27	- 23.98	- 16.94	- 14.72	- 11.50
28	- 22.59	- 17.80	- 15.56	- 11.85
29	- 20.82	- 17.71	- 15.93	- 12.40
30	- 18.62	- 16.61	- 15.81	- 12.70
Med.	- 14.24	- 11.92	- 11.18	- 9.22

Dat.	Luft	Erde in Tiefe:		
		3 dm.	5 dm.	10 dm.
1	- 21.82	- 16.56	- 15.61	- 12.90
2	- 24.12	- 17.64	- 16.02	- 13.05
3	- 18.25	- 17.06	- 16.14	- 13.25
4	- 23.88	- 17.26	- 15.94	- 13.45
5	- 27.20	- 19.69	- 16.93	- 13.55
6	- 27.41	- 20.89	- 18.06	- 14.00
7	- 26.07	- 21.13	- 18.82	- 14.50
8	- 10.48	- 18.08	- 18.54	- 14.95
9	- 24.70	- 18.47	- 17.41	- 15.00
10	- 23.96	- 19.59	- 18.06	- 15.05
11	- 23.80	- 20.12	- 18.51	- 15.20
12	- 22.48	- 20.19	- 18.71	- 15.15
13	- 20.90	- 20.46	- 19.05	- 15.75
14	- 11.12	- 17.79	- 18.81	- 16.00
15	- 14.81	- 16.53	- 17.33	- 15.90
16	- 8.24	- 15.80	- 16.98	- 15.60
17	- 8.90	- 12.87	- 15.34	- 15.25
18	- 20.10	- 15.59	- 15.29	- 14.75
19	- 22.14	- 17.24	- 16.16	- 14.60
20	- 25.09	- 19.09	- 17.12	- 14.75
21	- 15.02	- 18.41	- 17.77	- 15.05
22	- 18.00	- 16.77	- 17.01	- 15.30
23	- 25.50	- 19.30	- 17.69	- 15.30
24	- 27.15	- 21.02	- 18.61	- 15.60
25	- 26.04	- 21.00	- 19.25	- 16.05
26	- 25.34	- 21.84	- 19.98	- 16.40
27	- 24.74	- 21.31	- 20.06	- 16.85
28	- 20.81	- 20.58	- 20.06	- 17.10
29	- 11.22	- 19.30	- 19.65	- 17.15
30	- 2.80	- 14.67	- 17.91	- 17.05
31	+ 0.86	- 11.85	- 15.62	- 16.40
Med.	- 19.39	- 18.33	- 17.69	- 15.20

Temperaturmittel

Juni 1903

1903 Juli

Dat.	Luft	Erde in Tiefe:		
		3 dm.	5 dm.	10 dm.
1	- 7.27	- 11.06	- 14.16	- 15.55
2	- 15.30	- 13.27	- 14.03	- 14.80
3	- 14.77	- 13.70	- 14.36	- 14.50
4	- 17.73	- 14.96	- 14.73	- 14.30
5	- 17.82	- 16.77	- 15.70	- 14.35
6	- 16.69	- 17.06	- 16.46	- 14.60
7	- 20.32	- 17.79	- 16.79	- 14.95
8	- 23.75	- 18.06	- 17.11	- 15.25
9	- 27.33	- 20.79	- 18.29	- 15.60
10	- 23.14	- 22.21	- 18.97	- 16.15
11	- 21.32	- 20.67	- 19.92	- 16.80
12	- 26.76	- 21.14	- 19.91	- 17.10
13	- 28.14	- 22.74	- 20.62	- 17.40
14	- 29.52	- 24.29	- 21.53	- 17.85
15	- 20.91	- 23.74	- 22.39	- 18.40
16	- 24.20	- 21.97	- 21.62	- 18.80
17	- 24.38	- 22.24	- 21.71	- 18.85
18	- 25.07	- 22.04	- 21.39	- 19.00
19	- 27.73	- 23.24	- 21.82	- 19.05
20	- 31.66	- 25.50	- 22.93	- 19.10
21	- 26.35	- 25.50	- 23.73	- 19.20
22	- 25.66	- 23.34	- 23.06	- 19.50
23	- 21.01	- 22.56	- 22.66	- 19.60
24	- 19.35	- 21.34	- 21.84	- 19.55
25	- 17.49	- 20.33	- 21.21	- 19.40
26	- 24.05	- 21.11	- 20.99	- 19.20
27	- 25.94	- 22.03	- 21.41	- 19.15
28	- 20.09	- 22.91	- 21.96	- 19.15
29	- 3.65	- 18.53	- 21.03	- 19.30
30	- 12.12	- 14.94	- 18.54	- 19.00
Med.	- 21.32	- 20.19	- 19.70	- 17.55

Dat.	Luft	Erde in Tiefe:		
		3 dm.	5 dm.	10 dm.
1	- 20.78	- 17.93	- 18.34	- 18.30
2	- 14.86	- 18.60	- 19.07	- 18.00
3	- 24.73	- 19.52	- 19.06	- 17.95
4	- 21.04	- 19.97	- 19.71	- 17.95
5	- 28.00	- 22.09	- 20.41	- 18.10
6	- 20.03	- 22.83	- 21.49	- 18.45
7	- 11.45	- 18.87	- 20.72	- 18.75
8	- 23.58	- 19.89	- 19.86	- 18.65
9	- 12.76	- 19.83	- 20.30	- 18.55
10	- 23.68	- 19.89	- 19.30	- 18.50
11	- 24.17	- 20.14	- 19.96	- 18.35
12	- 29.35	- 22.47	- 20.76	- 18.45
13	- 29.96	- 24.27	- 21.97	- 18.75
14	- 25.94	- 24.30	- 22.77	- 19.25
15	- 26.24	- 23.43	- 22.86	- 19.65
16	- 28.78	- 24.31	- 22.96	- 19.95
17	- 10.78	- 23.03	- 23.09	- 20.15
18	+ 0.53	- 14.87	- 20.24	- 20.10
19	+ 0.19	- 11.51	- 17.06	- 19.20
20	- 5.16	- 10.41	- 15.10	- 18.00
21	- 11.20	- 13.54	- 14.93	- 16.95
22	- 5.55	- 12.59	- 15.04	- 16.45
23	- 17.01	- 13.97	- 14.91	- 16.10
24	- 8.67	- 14.69	- 15.60	- 15.90
25	- 6.37	- 12.91	- 15.15	- 15.80
26	- 4.61	- 13.06	- 14.90	- 15.60
27	- 22.93	- 14.75	- 14.67	- 15.40
28	- 20.93	- 18.28	- 16.71	- 15.40
29	- 18.58	- 16.30	- 16.97	- 15.80
30	- 21.58	- 17.95	- 17.20	- 16.00
31	- 17.09	- 18.14	- 17.92	- 16.20
Med.	- 17.27	- 18.17	- 18.68	- 17.76

Temperaturmittel

Augusti 1903

1903 September

Dat.	Luft	Erde in Tiefe:		
		3 dm.	5 dm.	10 dm.
1	- 13.94	- 18.50	- 18.15	- 16.50
2	- 13.91	- 18.44	- 18.38	- 16.70
3	- 8.53	- 16.24	- 17.90	- 16.85
4	- 1.88	- 13.65	- 16.53	- 16.70
5	+ 3.52	- 10.48	- 14.61	- 16.25
6	- 18.85	- 12.61	- 13.69	- 15.50
7	- 18.29	- 15.93	- 15.28	- 15.10
8	- 15.09	- 15.07	- 15.96	- 15.20
9	- 24.35	- 17.61	- 16.30	- 15.45
10	- 20.89	- 18.30	- 17.50	- 15.70
11	- 20.98	- 18.40	- 17.94	- 16.00
12	- 13.87	- 18.69	- 18.24	- 16.30
13	- 2.96	- 14.39	- 17.09	- 16.50
14	- 2.23	- 10.40	- 14.67	- 16.15
15	- 10.78	- 10.86	- 13.36	- 15.50
16	- 4.54	- 12.17	- 13.71	- 14.85
17	- 15.51	- 11.22	- 13.00	- 14.55
18	- 16.10	- 14.69	- 14.27	- 14.30
19	- 15.32	- 14.59	- 14.83	- 14.40
20	- 18.25	- 15.39	- 15.23	- 14.55
21	- 12.10	- 15.81	- 15.90	- 14.70
22	- 8.93	- 12.23	- 14.71	- 14.80
23	- 20.81	- 14.73	- 14.45	- 14.65
24	- 22.81	- 17.47	- 16.01	- 14.65
25	- 20.22	- 17.93	- 17.03	- 14.95
26	- 20.86	- 17.63	- 17.15	- 15.35
27	- 22.14	- 18.60	- 17.78	- 15.60
28	- 24.85	- 19.47	- 18.35	- 15.95
29	- 27.87	- 21.01	- 19.14	- 16.35
30	- 28.69	- 22.24	- 20.27	- 16.80
31	- 29.06	- 23.03	- 21.04	- 17.35
Med.	- 15.84	- 16.06	- 16.40	- 15.62

Dat.	Luft	Erde in Tiefe:		
		3 dm.	5 dm.	10 dm.
1	- 28.42	- 23.57	- 21.86	- 17.80
2	- 22.60	- 22.90	- 22.01	- 18.25
3	- 19.41	- 19.79	- 20.91	- 18.60
4	- 15.50	- 19.56	- 20.16	- 18.45
5	- 5.42	- 16.24	- 18.89	- 18.30
6	- 0.02	- 12.01	- 16.49	- 17.80
7	- 15.06	- 12.60	- 14.94	- 17.05
8	- 10.97	- 13.29	- 15.07	- 16.35
9	- 2.62	- 11.09	- 14.23	- 15.90
10	- 1.15	- 9.39	- 13.04	- 15.35
11	- 7.55	- 9.37	- 12.03	- 14.75
12	- 16.62	- 11.89	- 12.53	- 14.25
13	- 23.13	- 15.46	- 14.13	- 14.05
14	- 20.85	- 16.39	- 15.70	- 14.30
15	- 16.16	- 15.21	- 15.71	- 14.70
16	- 16.25	- 14.17	- 15.06	- 14.85
17	- 16.23	- 14.33	- 15.02	- 14.85
18	- 23.33	- 16.76	- 15.70	- 14.85
19	- 20.30	- 17.07	- 16.69	- 15.05
20	- 22.02	- 17.87	- 17.19	- 15.30
21	- 18.80	- 17.77	- 17.57	- 15.60
22	- 17.53	- 16.07	- 17.01	- 15.80
23	- 19.21	- 16.26	- 16.68	- 15.85
24	- 18.51	- 16.01	- 16.73	- 15.80
25	- 24.21	- 17.92	- 17.14	- 15.80
26	- 20.64	- 18.40	- 18.08	- 15.95
27	- 18.28	- 16.52	- 17.38	- 16.20
28	- 21.76	- 17.44	- 17.38	- 16.20
29	- 22.80	- 17.85	- 17.86	- 16.25
30	- 25.82	- 19.41	- 18.08	- 16.30
Med.	- 17.04	- 16.08	- 16.71	- 16.02

Temperaturmittel

Oktober 1903

1903 November

Dat.	Luft	Erde in Tiefe:		
		3 dm.	5 dm.	10 dm.
1	- 24.40	- 20.30	- 19.07	- 16.60
2	- 19.06	- 18.76	- 19.23	- 16.90
3	- 8.56	- 15.14	- 17.81	- 17.05
4	- 1.85	- 10.67	- 15.24	- 16.70
5	- 10.44	- 9.46	- 13.23	- 15.95
6	- 10.46	- 11.30	- 13.31	- 15.15
7	- 11.44	- 9.70	- 12.50	- 14.65
8	- 18.52	- 13.29	- 13.14	- 14.20
9	- 12.53	- 12.43	- 13.73	- 14.15
10	- 15.32	- 11.17	- 12.96	- 14.00
11	- 15.88	- 11.36	- 13.04	- 13.85
12	- 11.94	- 10.74	- 12.61	- 13.70
13	- 11.28	- 9.80	- 11.93	- 13.40
14	- 5.61	- 9.07	- 11.37	- 13.15
15	+ 1.31	- 6.56	- 10.29	- 12.80
16	- 0.90	- 5.13	- 9.10	- 12.30
17	+ 0.95	- 4.61	- 8.32	- 11.70
18	+ 3.96	- 4.01	- 7.57	- 11.10
19	- 0.68	- 3.27	- 6.88	- 10.60
20	- 3.34	- 3.66	- 6.60	- 10.20
21	- 0.87	- 3.24	- 6.27	- 9.75
22	+ 0.58	- 2.97	- 6.03	- 9.40
23	+ 0.21	- 2.80	- 5.75	- 9.05
24	- 7.07	- 2.94	- 5.54	- 8.75
25	- 7.62	- 4.46	- 5.90	- 8.50
26	- 2.46	- 3.87	- 5.89	- 8.40
27	+ 3.25	- 3.09	- 5.54	- 8.20
28	+ 3.90	- 2.27	- 5.14	- 8.05
29	- 0.07	- 2.00	- 4.77	- 7.80
30	- 4.03	- 1.98	- 4.50	- 7.60
31	- 7.00	- 2.24	- 4.42	- 7.35
Med.	- 6.36	- 7.49	- 9.93	- 11.97

Dat.	Luft	Erde in Tiefe:		
		3 dm.	5 dm.	10 dm.
1	- 10.29	- 3.76	- 4.71	- 7.00
2	- 4.01	- 4.52	- 5.37	- 7.00
3	+ 1.26	- 2.83	- 5.06	- 7.05
4	+ 1.31	- 1.97	- 4.56	- 6.90
5	- 0.86	- 1.51	- 4.19	- 6.70
6	+ 3.37	- 1.27	- 3.90	- 6.50
7	+ 0.27	- 1.09	- 3.67	- 6.30
8
9
10
11
12
13
14
15
16
17
18
19
20
21
22
23
24
25
26
27
28
29
30
Med.	- 1.30	- 2.42	- 4.49	- 6.78

Temperaturmaxima und temperaturminima in 10 dm. Tiefe.

Max. oder Min.		Monat 1902	D a t.	
Min.:	- 6.9	April	18	3 p
Max.:	- 6.8	April	19	3 p
Min.:	- 9.7	April	30	o p
Max.:	- 9.2	Mai	3	o p
Min.:	- 10.5	Mai	7	o p
Max.:	- 9.8	Mai	10	o p
Min.:	- 10.0	Mai	11	9 a
Max.:	- 8.9	Mai	13	6 p
Min.:	- 17.1	Juni	13	9 p
Max.:	- 13.6	Juni	26	o p
Min.:	- 16.1	Juli	6	3 p
Max.:	- 15.95	Juli	7	o p
Min.:	- 18.5	Juli	20	9 a
Max.:	- 18.25	Juli	22	9 a
Min.:	- 22.6	Aug.	9	9 p
Max.:	- 22.1	Aug.	11	o p
Min.:	- 22.5	Aug.	15	9 a
Max.:	- 18.9	Aug.	22	o p
Min.:	- 19.3	Aug.	25	o p
Max.:	- 17.75	Aug.	30	3 p
Min.:	- 19.65	Sept.	4	o p
Max.:	- 18.55	Sept.	9	9 a
Min.:	- 18.9	Sept.	11	6 p
Max.:	- 13.8	Sept.	21	o p
Min.:	- 15.3	Sept.	30	9 a
Max.:	- 10.45	Okt.	13	o p
Min.:	- 13.55	Okt.	22	9 a
Max.:	- 12.75	Okt.	25	9 p
Min.:	- 13.2	Okt.	29	9 a
		1903		
Max.:	- 1.50 à 1.55	{ Febr.	15	} —
		{ März	8	
Min.:	- 8.15	April	3	9 a
Max.:	- 7.6	April	6	9 a

Max. oder Min.		Monat 1903	D a t.	
Min.:	- 9.5	April	15	6 p
Max.:	- 8.15	April	20	12 p
Min.:	- 15.1	Mai	9	6 a
Max.:	- 15.0	Mai	10	6 a
Min.:	- 16.05	Mai	14	9 p
Max.:	- 14.55	Mai	19	9 a
Min.:	- 17.2	Mai	29	9 a
Max.:	- 14.25	Juni	4	12 p
Min.:	- 19.7	Juni	23	9 p
Max.:	- 19.1	Juni	27	3 p
Min.:	- 19.35	Juni	29	9 a
Max.:	- 17.9	Juli	3	9 p
Min.:	- 18.8	Juli	7	9 p
Max.:	- 18.3	Juli	11	6 p
Min.:	- 20.3	Juli	17	12 p
Max.:	- 15.25	Juli	27	12 p
Min.:	- 16.9	Aug.	3	6 p
Max.:	- 15.05	Aug.	7	3 p
Min.:	- 16.5	Aug.	13	o p
Max.:	- 14.25	Aug.	18	6 p
Min.:	- 14.85	Aug.	22	12 p
Max.:	- 14.55	Aug.	24	6 a
Min.:	- 18.65	Sept.	3	12 p
Max.:	- 14.0	Sept.	13	3 p
Min.:	- 15.9	Sept.	22	12 p
Max.:	- 15.8	Sept.	24	o p
Min.:	- 17.1	Okt.	3	6 a
Max.:	- 14.1	Okt.	8	6 p
Min.:	- 14.2	Okt.	9	6 a
Max.:	- 14.1	Okt.	9	6 p
Min.:	- 14.15	Okt.	10	6 a
Max.:	- 7.0	Nov.	2	o p
Min.:	- 7.1	Nov.	3	6 a

TAB. VIII.

VERDUNSTUNG

Verdunstung

A: Verdunstungsschale frei; 1.8 m über Erdfläche; 12.5 m über Meeresniveau
 B: Verdunstungsschale vor Sonne geschützt; 1.3 m über Erdfläche; 12.0 m über Meeresniveau

Dat.	Mai 1902.		Juni 1902.		Juli 1902.		August 1902.		September 1902.		Oktober 1902.		November 1902.		December 1902.		Januari 1903.		Februari 1903.		
	A.	B.	A.	B.	A.	B.	A.	B.	A.	B.	A.	B.	A.	B.	A.	B.	A.	B.	A.	B.	
	mm.	mm.	mm.	mm.	mm.	mm.	mm.	mm.	mm.	mm.	mm.	mm.	mm.	mm.	mm.	mm.	mm.	mm.	mm.	mm.	mm.
1	—	—	2.74	2.50	2.48	1.88	4.74	3.48	.	.	*3.42	*1.84	**5.08	*1.88	**2.40	*0.92	
2	—	—	0.42	0.14	*2.42	1.26	*2.52	*1.22	.	.	
3	—	—	2.18	0.26	*1.82	*0.96	.	.	*4.36	1.80	.	.	*1.18	0.68	
4	—	—	0.16	0.18	.	.	**2.40	*1.44	10.10	5.76	**4.00	*1.98	0.88	0.90	.	.	
5	—	—	.	.	0.98	1.00	**5.28	*0.88	.	.	**4.82	*2.20	
6	—	—	1.38	0.68	2.00	1.44	5.50	4.00	*3.60	1.20	
7	—	—	*1.30	0.62	*6.90	2.78	
8	—	—	1.18	1.04	.	.	0.28	0.18	.	.	**4.40	*2.42	2.50	0.98	.	.	2.48	1.56	.	.	
9	—	—	**1.42	*0.66	3.00	1.82	*6.20	*2.44	.	.	**8.10	*3.10	
10	—	—	.	.	1.72	1.52	.	.	2.26	1.58	**1.38	*0.60	*2.29	0.90	
11	**0.00	**0.00	1.78	1.18	1.96	1.02	.	.	5.82	3.68	.	.	.	2.80	0.70
12	2.76	2.60	0.80	0.78	2.82	2.84	.	1.90	0.80
13	1.96	2.04	0.56	0.48	.	.	1.78	1.20	.	.	**4.88	**2.90	*4.70	*2.04	.	.	
14	.	.	0.82	0.80	.	.	0.16	0.02	5.58	3.68	.	.	7.24	4.18	*1.68	*0.92	*2.40	*1.64	.	.	
15	0.18	0.20	1.08	0.58	*2.00	*1.30	.	.	
16	.	.	0.44	0.30	*3.36	*2.00	.	.	
17	.	.	2.02	1.80	*3.90	2.50	1.44	1.08	*5.40	2.90	
18	.	.	1.40	1.40	.	.	2.82	2.16	4.80	2.00	
19	10.36	6.98	.	.	8.20	4.12	2.80	1.80	
20	.	.	*0.98	0.90	1.06	0.50	*3.14	*1.60	*3.00	*1.42	4.20	2.70	
21	0.74	0.58	.	.	**2.00	0.70	*3.40	1.60	
22	.	.	2.48	2.42	.	.	2.38	1.80	.	.	4.18	2.10	1.60	1.00	.	.	**6.60	**2.40	3.64	1.62	
23	0.50	0.14	1.10	0.80	*1.70	*0.80	*0.80	0.40	*1.16	0.70	
24	1.22	0.60	2.74	2.24	0.80	0.55	*2.18	1.52	**3.80	*1.60	.	.	
25	2.40	1.00	.	.	*3.02	*1.20	*4.20	1.60	
26	.	.	0.60	0.40	8.40	3.74	**2.48	1.80	*1.10	0.60	
27	3.10	2.36	*3.22	1.80	*2.50	*1.10	1.80	0.70	
28	5.30	3.09	**5.34	*2.46	.	.	1.40	0.50	
29	5.22	3.14	*3.04	1.14	
30	2.98	1.08	*4.20	*2.20	.	.	
31	1.06	0.78	4.06	2.10	**4.30	*1.70	.	.	
Summa	7.25	6.28	13.85	12.49	4.89	3.97	11.95	8.91	32.19	20.60	34.04	17.58	45.96	26.48	87.90	41.22	58.99	30.45	53.41	23.60	
Med.	0.35	0.30	0.46	0.42	0.16	0.13	0.39	0.29	1.07	0.67	1.10	0.57	1.53	0.88	2.83	1.33	1.90	0.98	1.91	0.84	

*: Das Inhalt, eine Mischung von Wasser und Eis.

**: Das Inhalt, nur flüssiges Wasser.

Verdunstung

A: Verdunstungsschale frei; 1.8 m über Erdfläche; 12.5 m über Meeresniveau
 B: Verdunstungsschale vor Sonne geschützt; 1.3 m über Erdfläche; 12.0 m über Meeresniveau

März 1903.		April 1903.		Mai 1903.		Juni 1903.		Juli 1903.		Augusti 1903.		September 1903.		Oktober 1903.		November 1903.		Dat.
A.	B.	A.	B.	A.	B.	A.	B.	A.	B.	A.	B.	A.	B.	A.	B.	A.	B.	
mm.	mm.	mm.	mm.	mm.	mm.	mm.	mm.	mm.	mm.	mm.	mm.	mm.	mm.	mm.	mm.	mm.	mm.	
*1.90	1.00	0.55	0.40	0.10	0.20	0.90	0.90	0.35	0.30	0.40	0.30	0.10	0.10	.	.	1.10	0.45	1
1.40	1.00	0.20	0.10	0.10	0.00	0.30	0.00	0.00	0.10	0.10	0.00	0.20	0.00	0.90	0.40	**1.90	0.94	2
*0.70	*0.40	1.20	0.70	0.10	0.05	0.30	0.10	0.30	0.30	1.10	1.00	0.70	0.75	0.80	0.40	**4.20	*1.40	3
3.30	2.20	1.40	0.60	0.00	0.00	0.15	0.30	.	.	1.80	1.60	0.45	0.10	*0.90	0.35	**7.80	**7.60	4
3.20	1.90	1.40	1.20	0.15	0.10	.	.	0.30	0.20	3.05	2.40	*0.65	0.40	*2.40	0.80	*3.10	1.60	5
.	.	0.40	0.00	0.15	0.15	0.25	0.00	0.10	0.10	1.75	1.70	7.60	4.45	0.40	0.10	2.15	1.50	6
1.40	1.20	0.40	0.40	0.10	0.10	0.00	0.00	0.40	0.40	0.80	0.80	**2.80	*1.65	0.70	0.20	7.40	6.10	7
1.00	0.80	0.20	0.15	.	.	0.20	0.20	0.60	0.45	0.40	0.50	0.20	0.10	1.20	0.55	—	—	8
1.30	0.80	0.20	0.05	0.80	0.70	0.00	0.00	0.90	0.40	0.20	0.00	—	—	9
0.90	0.40	0.30	0.20	0.15	0.10	0.00	0.00	0.30	0.25	0.40	0.30	1.15	0.75	0.30	0.20	—	—	10
0.50	0.50	0.20	0.20	0.10	0.05	0.25	0.05	0.00	0.05	.	.	*2.30	1.40	.	.	—	—	11
1.00	0.30	0.30	0.20	0.05	0.05	0.25	0.00	0.50	0.35	.	.	—	—	12
0.40	0.10	0.40	0.20	0.20	0.30	0.20	0.30	.	.	0.35	0.20	.	.	1.25	0.30	—	—	13
0.60	0.50	0.50	0.40	0.20	0.00	0.20	0.00	0.75	0.30	*3.30	2.20	1.00	0.60	.	.	—	—	14
0.60	0.30	0.50	0.30	0.50	0.50	0.30	0.20	.	.	2.25	1.50	0.10	0.00	**5.05	2.85	—	—	15
0.90	0.70	.	.	0.80	0.80	0.30	0.20	3.20	1.20	—	—	16
0.70	0.70	1.50	1.05	0.85	0.60	0.25	0.25	.	.	*0.95	0.50	0.20	0.00	2.80	1.00	—	—	17
0.50	0.30	2.20	1.75	0.25	0.00	0.15	0.10	1.70	1.20	0.60	0.50	.	.	4.80	2.20	—	—	18
0.30	0.40	3.00	2.20	0.10	0.00	0.30	0.35	1.90	1.10	8.10	3.40	—	—	19
0.70	0.40	1.10	0.80	0.10	0.00	.	.	0.60	0.50	1.80	1.40	1.10	0.65	3.70	2.15	—	—	20
0.80	0.50	0.00	0.00	0.05	0.00	.	.	0.40	0.25	1.50	0.55	—	—	21
0.60	0.60	0.35	0.40	0.35	0.30	0.20	0.10	0.90	0.30	0.70	0.20	0.90	0.55	3.55	1.85	—	—	22
1.00	0.90	0.30	0.05	0.20	0.10	.	.	0.60	0.20	.	.	0.10	0.00	3.55	2.10	—	—	23
0.50	0.40	0.00	0.05	0.00	0.00	.	.	1.20	1.10	.	.	0.15	0.20	.	.	—	—	24
0.70	0.30	0.15	0.35	1.20	0.70	0.90	0.75	.	.	4.90	3.20	—	—	25
0.80	0.60	0.30	0.00	0.00	0.00	.	.	0.80	0.50	.	.	0.65	0.50	2.70	1.00	—	—	26
1.00	0.80	0.20	0.00	0.05	0.00	.	.	0.40	0.45	.	.	0.30	0.00	1.30	0.75	—	—	27
0.60	0.50	0.00	0.00	3.20	2.25	—	—	28
0.50	0.30	0.25	0.25	0.15	0.10	0.60	0.80	0.90	0.50	11.80	5.85	—	—	29
0.50	0.30	0.10	0.00	0.60	0.40	1.35	0.80	.	.	0.10	0.00	.	.	**5.75	3.00	—	—	30
0.40	0.30	.	.	2.00	2.00	.	.	1.50	1.45	3.00	1.60	—	—	31
27.83	19.00	17.35	11.88	8.60	6.95	5.92	4.35	14.28	11.23	25.18	19.85	23.03	13.32	74.91	36.09	23.56	16.40	Summa.
0.90	0.61	0.58	0.40	0.28	0.23	0.20	0.14	0.46	0.36	0.81	0.64	0.77	0.44	2.42	1.16	3.36	2.34	Med.

*: Das Inhalt, eine Mischung von Wasser und Eis.

**: Das Inhalt, nur flüssiges Wasser.



TAB. IX—XV.

ALLGEMEINE RESULTATE

DURCHSCHNITTSWERTE

FÜR MONAT, JAHRESZEIT UND JAHR

Luftdruck bei 0°

Barometer: 13.0 m. über Meeresniveau

Korr. f. Red zu {Bar.: 706.60 — 12.78 — 18.95 — 25.13 — 31.30
Normalschwere {Korr.: + 1.15; + 1.16; + 1.17; + 1.18;

		1 a. m.	2 a. m.	3 a. m.	4 a. m.	5 a. m.	6 a. m.	7 a. m.	8 a. m.	9 a. m.	10 a. m.	11 a. m.	Mittg.	1 p. m.	2 p. m.	3 p. m.
		mm.	mm.	mm.	mm.	mm.	mm.	mm.	mm.	mm.	mm.	mm.	mm.	mm.	mm.	mm.
März	1902	743.00	742.74	742.76	742.67	742.66	742.62	742.55	742.46	742.65	742.69	742.68	742.65	742.61	742.73	742.99
April	»	44.45	44.38	44.21	44.07	43.38	43.72	43.83	43.89	44.00	44.05	44.11	44.09	44.14	44.26	44.41
Mai	»	39.68	39.60	39.47	39.38	39.45	39.26	39.29	39.53	39.67	39.67	39.62	39.58	39.60	39.50	39.47
Juni	»	45.45	45.49	45.54	45.45	45.31	45.38	45.32	45.37	45.47	45.35	45.16	45.10	44.89	44.72	44.68
Juli	»	41.95	42.03	42.02	41.97	42.08	42.15	42.09	42.23	42.31	42.33	42.46	42.39	42.33	42.21	42.14
Augusti	»	35.41	35.39	35.37	35.38	35.34	35.37	35.52	35.69	35.75	35.85	35.91	35.90	35.78	35.73	35.81
September	»	39.50	39.47	39.35	39.35	39.38	39.43	39.37	39.44	39.57	39.52	39.71	39.62	39.67	39.75	39.76
Oktober	»	36.48	36.38	36.38	36.39	36.31	36.28	36.21	36.06	35.96	35.96	36.02	36.05	36.10	36.14	
November	»	43.68	43.70	43.78	43.82	43.84	43.83	43.82	43.77	43.71	43.70	43.61	43.61	43.56	43.56	43.55
December	»	43.05	43.06	43.10	43.16	43.25	43.27	43.21	43.15	43.14	43.09	43.08	43.05	43.00	42.99	43.00
Januari	1903	43.86	43.76	43.69	43.69	43.76	43.80	43.77	43.76	43.71	43.40	43.63	43.58	43.53	43.56	43.56
Februari	»	37.63	37.59	37.64	37.68	37.73	37.86	37.91	38.00	37.98	37.99	38.01	37.90	37.80	37.80	37.82
März	»	35.60	35.52	35.44	35.42	35.43	35.35	35.42	35.42	35.47	35.45	35.45	35.43	35.45	35.54	35.61
April	»	38.42	38.36	38.30	38.32	38.39	38.29	38.18	38.09	38.20	38.25	38.33	38.15	38.20	38.22	
Mai	»	41.62	41.60	41.53	41.44	41.35	41.20	41.18	41.07	41.02	41.10	41.02	40.86	40.64	40.56	40.49
Juni	»	39.42	39.49	39.47	39.44	39.55	39.59	39.65	39.58	39.77	40.01	40.19	40.16	40.10	40.12	40.10
Juli	»	35.01	35.08	35.09	35.05	35.00	34.98	35.01	35.12	35.26	35.46	35.50	35.49	35.52	35.50	35.58
Augusti	»	39.86	39.81	39.81	39.74	39.72	39.80	39.65	39.53	39.52	39.55	39.62	39.63	39.65	39.48	39.51
September	»	41.49	41.43	41.29	41.19	41.10	40.99	40.88	40.84	40.81	40.70	40.88	40.77	40.77	40.78	40.92
Oktober	»	37.52	37.37	37.38	37.28	37.25	37.21	37.14	37.01	36.88	36.92	36.86	36.70	36.75	36.89	36.96
November (1—7)	»	42.39	42.54	42.66	42.83	43.06	43.39	43.55	43.63	43.73	43.65	43.70	43.71	43.76	43.85	43.95
Herbst 1902 . . .		42.38	42.24	42.15	42.04	42.00	41.87	41.89	41.96	42.11	42.14	42.14	42.11	42.12	42.16	42.29
Winter »		40.93	40.97	40.98	40.93	40.91	40.97	40.98	41.10	41.18	41.18	41.18	41.13	41.00	40.89	40.88
Frühling » . . .		39.89	39.85	39.84	39.85	39.84	39.85	39.80	39.76	39.75	39.73	39.78	39.73	39.76	39.80	39.82
Sommer 1902—03		41.51	41.47	41.48	41.51	41.53	41.64	41.63	41.64	41.61	41.49	41.57	41.51	41.44	41.45	41.46
Herbst 1903 . . .		38.55	38.49	38.42	38.39	38.39	38.28	38.26	38.19	38.23	38.27	38.27	38.17	38.08	38.10	38.11
Winter »		38.10	38.13	38.12	38.08	38.09	38.12	38.10	38.08	38.18	38.34	38.44	38.43	38.42	38.37	38.40
Frühling » . . .		—	—	—	—	—	—	—	—	—	—	—	—	—	—	—
Herbst		40.46	40.36	40.28	40.21	40.19	40.07	40.07	40.07	40.17	40.21	40.21	40.14	40.10	40.13	40.20
Winter		39.51	39.55	39.55	39.50	39.50	39.54	39.54	39.59	39.68	39.76	39.81	39.78	39.71	39.63	39.64
Frühling		40.39	40.36	40.33	40.31	40.29	40.26	40.21	40.15	40.11	40.08	40.12	40.05	40.06	40.11	40.15
Sommer		41.51	41.47	41.48	41.51	41.58	41.64	41.63	41.64	41.61	41.49	41.57	41.51	41.44	41.45	41.46
Jahr		40.47	40.44	40.41	40.38	40.39	40.38	40.36	40.36	40.39	40.39	40.40	40.37	40.33	40.33	40.36

Luftdruck bei 0°

Barometer: 13,0 m. über Meeresniveau

Bar.: 731.30 — 37.47 — 43.64 — 49.81 — 55.98 — 62.15
Korr.: + 1.19; + 1.20; + 1.21; + 1.22; + 1.23

4 p. m.	5 p. m.	6 p. m.	7 p. m.	8 p. m.	9 p. m.	10 p. m.	11 p. m.	Mttm.	Med.	Max. Med.	Min. Med.	Diff.	Absol. Max.	Absol. Min.	Diff.		
mm.	mm.	mm.	mm.	mm.	mm.	mm.	mm.	mm.	mm.	mm.	mm.	mm.	mm.	mm.	mm.		
743.03	743.05	743.04	743.13	743.05	742.89	742.78	742.68	742.59	742.78	744.24	738.37	5.87	758.5	715.6	42.9	März	1902
44.51	44.61	44.63	44.57	44.55	44.57	44.60	44.61	44.50	44.28	47.40	40.82	6.58	61.5	18.5	43.0	April	»
39.56	39.67	39.73	39.62	39.57	39.56	39.55	39.56	39.47	39.54	42.68	36.42	6.26	55.0	21.7	33.3	Mai	»
44.71	44.73	44.81	44.88	44.96	45.21	45.32	45.39	45.70	45.18	49.81	40.87	8.97	61.0	27.3	33.7	Juni	»
42.11	42.04	42.05	42.09	41.99	41.99	41.94	41.98	41.94	42.11	44.83	38.95	5.88	54.9	23.7	31.2	Juli	»
35.96	36.09	36.11	36.03	35.96	35.73	35.79	35.88	35.87	35.73	39.73	31.10	8.63	61.1	21.6	39.5	Augusti	»
39.80	39.75	39.86	39.79	39.70	39.39	39.36	39.31	39.25	39.55	42.92	35.89	7.03	57.4	19.5	37.9	September	»
36.16	36.26	36.30	36.36	36.44	36.41	36.41	36.37	36.36	36.24	39.30	33.20	6.10	52.4	20.4	32.0	Oktober	»
43.59	43.64	43.72	43.80	43.87	43.96	44.02	44.06	44.07	43.76	45.77	41.80	3.97	57.2	20.1	37.1	November	»
43.03	43.10	43.12	43.11	43.09	43.14	43.14	43.16	43.16	43.11	44.84	41.26	3.58	57.3	25.6	31.7	December	»
43.59	43.63	43.67	43.69	43.72	43.70	43.70	43.63	43.56	43.66	45.51	41.83	3.68	57.7	28.0	29.7	Januari	1903
37.76	37.79	37.83	37.83	37.84	37.85	37.74	37.72	37.65	37.81	40.20	34.96	5.24	51.0	23.6	27.4	Februari	»
35.65	35.79	35.84	35.90	35.95	35.91	35.85	35.83	35.76	35.60	38.15	32.96	5.51	47.4	21.3	26.1	März	»
38.29	38.35	38.48	38.53	38.46	38.40	38.45	38.47	38.40	38.32	41.63	35.14	6.49	51.2	22.2	29.0	April	»
40.53	40.55	40.71	40.89	40.98	41.05	41.19	41.23	41.22	41.04	44.56	37.52	7.04	61.3	21.6	39.7	Mai	»
40.16	40.24	40.28	40.24	40.10	40.01	39.78	39.61	39.60	39.86	43.01	36.23	6.78	57.0	08.8	48.2	Juni	»
35.70	35.82	35.78	35.81	35.71	35.52	35.44	35.45	35.56	35.39	39.61	31.28	8.33	56.3	14.5	41.8	Juli	»
39.51	39.72	39.70	39.80	39.78	39.79	39.80	39.85	39.91	39.70	43.19	36.24	6.95	61.6	14.1	47.5	Augusti	»
40.98	41.13	41.24	41.34	41.27	41.33	41.29	41.22	41.18	41.08	44.31	37.88	6.43	61.0	28.0	33.0	September	»
37.05	37.11	37.31	37.47	37.53	37.51	37.54	37.52	37.51	37.19	41.27	33.22	8.05	55.2	09.5	45.7	Oktober	»
44.05	44.21	44.22	44.07	44.16	43.86	43.67	43.70	43.66	43.59	47.16	39.20	7.96	49.7	32.6	17.1	November (1—7)	»
42.37	42.44	42.47	42.44	42.39	42.34	42.31	42.28	42.19	42.20	44.77	38.54	6.23	61.5	15.6	45.9	Herbst	1902
40.93	40.95	40.99	41.00	40.97	40.98	41.02	41.08	41.17	41.01	44.79	36.97	7.83	61.1	21.6	39.5	Winter	»
39.85	39.88	39.96	39.98	40.00	39.92	39.93	39.91	39.89	39.85	42.66	39.96	5.70	57.4	19.5	37.9	Frühling	»
41.46	41.51	41.54	41.54	41.55	41.56	41.53	41.50	41.46	41.53	43.52	35.35	4.17	57.7	23.6	34.1	Sommer 1902—03	
38.16	38.23	38.34	38.44	38.46	38.45	38.50	38.51	38.46	38.32	41.45	33.21	6.34	61.3	21.3	40.0	Herbst	1903
38.46	38.59	38.59	38.62	38.53	38.44	38.34	38.30	38.36	38.32	41.94	34.58	7.36	61.6	08.8	52.8	Winter	»
—	—	—	—	—	—	—	—	—	—	—	—	—	—	—	—	Frühling	»
40.26	40.33	40.40	40.44	40.42	40.39	40.40	40.39	40.32	40.26	43.11	36.87	6.24	61.5	15.6	45.9	Herbst	
39.69	39.77	39.79	39.81	39.75	39.71	39.68	39.69	39.76	39.67	43.36	35.77	7.59	61.0	08.8	52.8	Winter	
40.19	40.26	40.36	40.43	40.45	40.42	40.44	40.42	40.41	40.23	43.22	37.30	5.92	61.0	09.5	51.5	Frühling	
41.46	41.51	41.54	41.54	41.55	41.56	41.53	41.50	41.46	41.53	43.52	39.35	4.17	57.7	23.6	34.1	Sommer	
40.40	40.47	40.52	40.55	40.54	40.52	40.51	40.50	40.49	40.42	43.30	37.32	5.98	61.6	08.8	52.8	Jahr	

Lufttemperatur

Höhe des Thermografen: 1.3 m. über Erdoberfläche; 12 m. über Meeressniveau

		1 a. m.	2 a. m.	3 a. m.	4 a. m.	5 a. m.	6 a. m.	7 a. m.	8 a. m.	9 a. m.	10 a. m.	11 a. m.	Mittg.	1 p. m.	2 p. m.	3 p. m.
März	1902	-9.50	-9.58	-9.88	-10.03	-10.42	-10.43	-10.69	-10.00	-9.90	-9.12	-8.93	-8.50	-8.23	-7.87	-8.06
April	»	-13.64	-13.70	-13.61	-13.73	-13.75	-13.63	-14.34	-14.26	-13.70	-13.51	-13.62	-12.93	-12.66	-12.59	-12.80
Mai	»	-17.03	-17.10	-17.00	-17.12	-16.92	-16.78	-16.75	-16.75	-16.70	-16.41	-16.24	-16.10	-16.13	-16.21	-16.51
Juni	»	-18.23	-18.34	-18.74	-18.79	-18.00	-18.18	-18.00	-17.96	-18.05	-18.00	-17.89	-18.02	-18.07	-18.02	-18.11
Juli	»	-24.11	-24.20	-24.30	-24.10	-24.40	-24.58	-24.67	-24.36	-24.21	-24.27	-24.44	-24.05	-24.05	-24.00	-24.30
Augusti	»	-21.68	-22.11	-22.47	-22.72	-22.69	-23.13	-23.25	-23.18	-22.76	-22.29	-22.03	-22.70	-22.74	-22.47	-23.15
September	»	-15.49	-15.16	-15.13	-15.88	-16.00	-15.71	-15.26	-14.83	-13.85	-13.43	-13.67	-13.32	-12.96	-13.05	-12.86
Oktober	»	-13.38	-13.15	-13.75	-13.87	-13.75	-13.45	-13.34	-12.86	-12.59	-11.93	-11.64	-11.67	-11.37	-11.26	-11.52
November	»	-9.11	-9.45	-9.58	-9.70	-9.67	-9.51	-9.02	-8.59	-8.14	-7.82	-7.38	-7.21	-6.76	-6.42	-6.52
December	»	-3.43	-3.60	-3.70	-3.76	-3.66	-3.07	-2.67	-2.21	-1.71	-1.27	-0.82	-0.56	-0.46	-0.31	-0.42
Januari	1903	-1.62	-1.76	-1.88	-1.98	-1.89	-1.75	-1.46	-1.16	-0.87	-0.54	-0.25	+ 0.07	+ 0.23	+ 0.40	+ 0.35
Februari	»	-4.10	-4.41	-4.75	-4.94	-4.95	-4.88	-4.75	-4.22	-3.91	-3.51	-3.04	-2.70	-2.35	-2.28	-2.20
März	»	-11.65	-11.88	-11.96	-11.88	-11.79	-11.76	-11.78	-11.64	-11.40	-11.25	-10.98	-10.73	-10.67	-10.46	-10.48
April	»	-14.84	-14.46	-14.53	-14.76	-15.09	-14.73	-14.71	-14.15	-13.69	-13.99	-13.71	-13.40	-13.21	-13.18	-13.53
Mai	»	-20.82	-20.74	-20.66	-20.13	-19.99	-19.48	-19.32	-19.36	-19.07	-19.03	-18.94	-18.34	-18.03	-17.92	-18.08
Juni	»	-20.08	-20.31	-20.57	-20.65	-20.86	-20.70	-21.11	-21.60	-22.05	-22.45	-22.12	-22.31	-22.60	-21.90	-21.97
Juli	»	-18.10	-18.27	-17.93	-17.81	-18.20	-17.74	-18.13	-17.87	-17.83	-17.86	-17.16	-16.80	-16.32	-16.00	-16.29
Augusti	»	-16.23	-15.83	-16.23	-15.71	-15.76	-15.56	-15.83	-15.65	-16.00	-15.20	-14.98	-15.02	-14.96	-15.00	-15.58
September	»	-17.51	-17.82	-17.88	-17.56	-17.68	-17.60	-17.67	-17.62	-17.06	-16.82	-16.30	-16.21	-15.59	-15.58	-15.37
Oktober	»	-7.46	-7.62	-7.11	-7.32	-7.28	-7.12	-7.22	-7.25	-6.48	-6.08	-5.44	-5.00	-4.73	-4.35	-4.40
November (1—7)	»	-3.33	-2.76	-2.63	-2.84	-2.93	-2.97	-2.33	-1.87	-1.09	-0.37	-0.24	+ 0.19	+ 0.57	+ 0.70	+ 0.74
Herbst 1902 . . .		-13.39	-13.46	-13.50	-13.63	-13.70	-13.61	-13.93	-13.67	-13.43	-13.01	-12.93	-12.51	-12.34	-12.22	-12.46
Winter » . . .		-21.34	-21.55	-21.84	-21.87	-21.70	-21.96	-21.97	-21.83	-21.67	-21.52	-21.45	-21.59	-21.62	-21.50	-21.85
Frühling » . . .		-12.66	-12.59	-12.82	-13.15	-13.14	-12.89	-12.54	-12.09	-11.53	-11.06	-10.90	-10.73	-10.36	-10.24	-10.30
Sommer 1902—03 .		-3.05	-3.26	-3.44	-3.56	-3.50	-3.23	-2.96	-2.53	-2.16	-1.77	-1.37	-1.06	-0.86	-0.73	-0.76
Herbst 1903 . . .		-15.77	-15.69	-15.72	-15.59	-15.62	-15.32	-15.27	-15.05	-14.72	-14.76	-14.54	-14.16	-13.97	-13.85	-14.03
Winter » . . .		-18.14	-18.14	-18.24	-18.06	-18.27	-18.00	-18.36	-18.37	-18.63	-18.50	-18.09	-18.04	-17.96	-17.63	-17.95
Frühling » . . .		—	—	—	—	—	—	—	—	—	—	—	—	—	—	—
Herbst		-14.58	-14.58	-14.61	-14.61	-14.66	-14.46	-14.60	-14.36	-14.07	-13.88	-13.73	-13.33	-13.16	-13.03	-13.24
Winter		-19.74	-19.86	-20.04	-19.96	-20.03	-19.98	-20.16	-20.10	-20.15	-20.01	-19.77	-19.81	-19.79	-19.56	-19.90
Frühling		-12.01	-12.11	-12.17	-12.17	-12.18	-12.15	-11.92	-11.62	-11.04	-10.65	-10.30	-10.10	-9.69	-9.51	-9.53
Sommer		-3.05	-3.26	-3.44	-3.56	-3.50	-3.23	-2.96	-2.53	-2.16	-1.77	-1.37	-1.06	-0.86	-0.73	-0.76
Jahr		-12.34	-12.45	-12.56	-12.57	-12.59	-12.46	-12.41	-12.15	-11.85	-11.58	-11.29	-11.08	-10.88	-10.71	-10.86

Lufttemperatur

Höhe des Thermografen: 1.3 m. über Erdoberfläche; 12 m. über Meeresniveau

4 p. m.	5 p. m.	6 p. m.	7 p. m.	8 p. m.	9 p. m.	10 p. m.	11 p. m.	Mttn.	Med.	Max. Med.	Min. Med.	Diff.	Absol. Max.	Absol. Min.	Diff.		
- 7.78	- 8.12	- 8.56	- 8.87	- 9.19	- 9.39	- 9.56	- 9.57	- 9.63	- 9.24	- 5.61	-13.38	7.77	+ 7.8	-20.5	28.3	März	1902
-13.23	-13.10	-13.17	-12.85	-12.62	-12.92	-12.93	-13.20	-13.37	-13.33	- 8.52	-17.57	9.05	+ 6.1	-28.5	34.6	April	»
-17.10	-17.22	-17.27	-17.38	-17.55	-17.58	-17.72	-17.84	-17.63	-16.96	-13.40	-20.93	7.53	+ 6.8	-30.1	36.9	Mai	»
-18.23	-18.45	-18.26	-17.72	-18.09	-17.98	-18.02	-17.94	-18.27	-18.14	-13.05	-22.52	9.47	+ 4.2	-31.2	35.4	Juni	»
-24.24	-24.58	-24.39	-24.56	-24.57	-24.47	-24.53	-24.65	-24.47	-24.35	-20.02	-27.35	7.33	- 1.4	-34.8	33.4	Juli	»
-23.25	-23.35	-23.14	-22.74	-22.25	-21.98	-21.77	-21.59	-21.77	-22.55	-15.91	-27.52	11.61	+ 1.1	-41.4	42.5	Augusti	»
-13.22	-13.89	-13.84	-13.84	-13.86	-13.74	-14.17	-14.53	-14.40	-14.25	- 9.29	-19.16	9.87	+ 7.6	-34.9	42.5	September	»
-11.66	-11.78	-12.19	-12.71	-13.05	-13.03	-13.40	-13.52	-13.66	-12.69	- 8.85	-16.41	7.56	+ 6.3	-44.8	31.1	Oktober	»
- 6.60	- 6.76	- 6.96	- 7.49	- 7.77	- 8.14	- 8.38	- 8.56	- 8.80	- 8.10	- 5.71	-10.56	4.85	+ 6.4	-17.0	23.4	November	»
- 0.49	- 0.79	- 1.16	- 1.54	- 1.86	- 2.24	- 2.49	- 2.86	- 3.04	- 2.01	+ 0.46	- 4.84	5.30	+ 3.0	- 9.8	12.8	December	»
+ 0.36	+ 0.01	- 0.26	- 0.57	- 0.73	- 0.97	- 1.42	- 1.55	- 1.72	- 0.87	+ 1.21	- 2.73	3.94	+ 5.6	- 5.7	11.3	Januari	1903
- 2.28	- 2.38	- 2.51	- 2.91	- 3.25	- 3.52	- 3.62	- 3.68	- 3.95	- 3.55	- 1.04	- 6.24	5.20	+ 2.9	-14.5	17.4	Februari	»
-10.65	-10.79	-11.01	-11.48	-11.69	-11.84	-12.02	-12.17	-12.16	-11.42	- 9.46	-13.54	4.08	+ 5.4	-18.5	23.9	März	»
-13.97	-14.17	-14.59	-14.14	-13.87	-14.44	-14.75	-15.05	-14.91	-14.24	-10.07	-18.34	8.27	+ 7.9	-28.2	36.1	April	»
-18.36	-18.16	-18.90	-19.79	-19.96	-19.93	-20.13	-20.32	-20.00	-19.39	-13.72	-24.37	10.65	+ 7.2	-30.7	37.9	Mai	»
-21.81	-21.81	-21.93	-21.61	-21.19	-20.84	-20.66	-20.36	-20.15	-21.32	-15.18	-25.96	10.78	+ 2.3	-35.8	38.1	Juni	»
-16.17	-16.46	-16.71	-16.88	-17.11	-17.24	-16.80	-17.18	-17.69	-17.27	-11.13	-23.79	12.66	+ 4.1	-33.8	37.9	Juli	»
-15.89	-15.57	-15.38	-16.07	-16.43	-16.73	-16.67	-16.96	-17.00	-15.84	- 9.91	-22.45	12.54	+ 9.3	-33.3	42.6	Augusti	»
-15.96	-16.35	-16.85	-17.20	-17.24	-17.78	-18.01	-17.73	-17.54	-17.04	-12.67	-21.08	8.41	+ 6.0	-32.5	38.5	September	»
- 4.92	- 5.66	- 6.12	- 6.57	- 6.40	- 6.98	- 7.09	- 6.98	- 7.07	- 6.36	- 1.14	-11.58	10.44	+ 7.1	-25.7	32.8	Oktober	»
+ 0.03	+ 0.67	- 0.37	- 0.99	- 1.59	- 1.60	- 1.97	- 2.17	- 2.11	- 1.30	+ 4.20	- 5.29	9.49	+ 7.7	-13.0	20.7	November (1-7)	»
-12.70	-12.81	-13.00	-13.03	-13.12	-13.30	-13.40	-13.54	-13.54	-13.18	- 9.18	-17.29	8.11	+ 7.8	-30.1	37.9	Herbst	1902
-21.91	-22.13	-21.93	-21.67	-21.64	-21.48	-21.44	-21.39	-21.50	-21.68	-16.33	-25.80	9.47	+ 4.2	-41.4	45.6	Winter	»
-10.49	-10.81	-11.00	-11.35	-11.56	-11.64	-11.98	-12.20	-12.29	-11.68	- 7.95	-15.38	7.43	+ 5.6	-34.9	42.5	Frühling	»
- 0.80	- 1.05	- 1.31	- 1.67	- 1.95	- 2.24	- 2.51	- 2.70	- 2.90	- 2.14	+ 0.21	- 4.60	4.81	+ 7.6	-14.5	20.1	Sommer	1902-03
-14.33	-14.37	-14.83	-15.14	-15.17	-15.40	-15.63	-15.85	-15.69	-15.02	-11.08	-18.75	7.67	+ 7.9	-30.7	38.6	Herbst	1903
-17.96	-17.95	-18.01	-18.19	-18.24	-18.27	-18.04	-18.17	-18.28	-18.14	-12.07	-24.07	12.00	+ 9.3	-35.8	45.1	Winter	»
—	—	—	—	—	—	—	—	—	—	—	—	—	—	—	—	Frühling	»
-13.51	-13.59	-13.91	-14.08	-14.14	-14.35	-14.51	-14.69	-14.61	-14.10	-10.13	-18.02	7.89	+ 7.9	-30.7	38.6	Herbst	»
-19.93	-20.04	-19.97	-19.93	-19.94	-19.87	-19.74	-19.78	-19.89	-19.91	-14.20	-24.93	10.73	+ 9.3	-41.4	50.7	Winter	»
- 9.83	-10.20	-10.49	-10.88	-11.01	-11.30	-11.57	-11.65	-11.71	-11.09	- 7.23	-14.89	7.66	+ 5.6	-14.5	20.1	Frühling	»
- 0.80	- 1.05	- 1.31	- 1.67	- 1.95	- 2.24	- 2.51	- 2.70	- 2.90	- 2.14	+ 0.21	- 4.60	4.81	+ 7.8	-32.5	40.3	Sommer	»
-11.02	-11.22	-11.42	-11.64	-11.76	-11.94	-12.08	-12.21	-12.28	-11.81	- 7.84	-15.61	7.77	+ 9.3	-41.4	50.7	Jahr	»

Windgeschwindigkeit

Höhe des Anemometers: 2 m. über Erdfläche; 4 m. über Meeresniveau

	1 a. m.	2 a. m.	3 a. m.	4 a. m.	5 a. m.	6 a. m.	7 a. m.	8 a. m.	9 a. m.	10 a. m.	11 a. m.	Mtg.	1 p. m.	2 p. m.	3 p. m.
	m/s	m/s	m/s	m/s	m/s	m/s	m/s	m/s	m/s	m/s	m/s	m/s	m/s	m/s	m/s
März 1902	—	—	—	—	—	—	—	—	—	—	—	—	—	—	—
April >	7.70	8.06	7.58	7.30	7.50	7.29	7.73	7.27	6.88	7.12	7.39	7.35	7.08	7.21	7.21
Mai >	10.71	10.81	11.25	11.38	11.42	11.63	11.68	11.68	11.51	11.22	10.83	10.55	10.54	11.35	11.53
Juni >	10.37	10.66	10.67	10.73	11.12	11.12	11.27	11.17	11.48	11.05	11.06	11.64	11.23	11.26	11.98
Juli >	12.04	11.88	11.81	11.71	12.13	11.92	11.76	11.97	11.98	11.84	11.47	11.43	11.28	11.02	10.75
Augusti >	9.38	8.99	9.25	9.29	9.01	9.34	8.97	8.92	8.90	9.14	9.30	9.81	10.20	10.45	10.26
September >	8.54	8.90	8.93	8.78	8.96	8.67	9.37	9.38	9.31	9.29	8.92	8.69	8.89	8.56	8.58
Oktober >	8.34	7.91	7.91	8.17	8.63	8.79	8.71	9.09	9.26	9.85	9.70	10.05	9.76	9.76	10.23
November >	8.73	8.50	8.35	8.29	8.32	8.58	8.49	8.68	9.09	8.83	8.88	8.92	8.83	9.02	8.88
December >	3.73	3.76	3.76	3.87	4.12	4.19	4.62	4.86	4.86	4.93	4.92	4.90	5.10	5.12	4.90
Januari 1903	4.93	5.01	4.96	4.83	4.51	4.40	4.78	4.94	5.16	5.29	5.51	5.45	5.40	5.37	5.34
Februari >	7.04	7.10	7.49	7.30	7.30	7.25	7.28	7.41	7.47	7.51	7.87	7.99	7.70	7.95	7.78
März >	13.70	13.51	13.80	13.79	13.67	13.91	13.94	13.89	13.83	13.90	13.73	14.15	14.07	13.69	13.88
April >	9.65	9.26	8.84	8.87	8.89	8.48	8.34	8.61	7.65	7.76	7.45	8.12	7.83	8.08	
Mai >	6.00	5.90	5.71	6.17	5.62	5.19	5.36	5.35	5.68	5.85	5.81	6.35	6.69	7.34	7.36
Juni >	5.56	5.51	5.32	5.18	5.32	5.76	5.80	6.35	6.19	6.24	6.21	6.35	6.45	6.68	7.47
Juli >	9.09	9.05	8.85	8.98	9.09	9.12	8.77	8.17	8.46	8.38	8.28	8.01	7.79	8.14	8.14
Augusti >	9.32	9.69	9.40	9.50	9.58	9.07	9.47	8.85	8.50	8.59	8.61	8.29	8.25	8.35	8.44
September >	7.31	7.87	7.58	7.57	7.14	7.09	7.32	7.22	7.68	7.87	7.73	8.04	8.29	8.66	8.22
Oktober >	6.25	6.47	6.35	6.24	6.34	7.19	7.00	6.80	6.79	6.76	6.73	6.45	6.94	6.51	6.24
November (1—) >	5.81	5.31	6.23	4.77	4.59	4.46	4.94	5.89	5.94	6.04	5.64	6.01	5.73	5.23	5.26
Herbst 1902 . . .	—	—	—	—	—	—	—	—	—	—	—	—	—	—	—
Winter > . . .	10.60	10.51	10.58	10.58	10.75	10.79	10.67	10.69	10.79	10.68	10.61	10.96	10.90	10.91	11.00
Frühling > . . .	8.54	8.44	8.40	8.75	8.64	8.68	8.86	9.05	9.22	9.32	9.17	9.22	9.16	9.11	9.23
Sommer 1902—03 . . .	5.23	5.29	5.40	5.33	5.31	5.28	5.56	5.74	5.83	5.91	6.10	6.11	6.07	6.15	6.01
Herbst 1903 . . .	9.78	9.56	9.45	9.61	9.39	9.19	9.24	9.19	9.37	9.13	9.10	9.32	9.63	9.62	9.67
Winter > . . .	7.99	8.08	7.86	7.89	8.00	7.98	8.01	7.79	7.72	7.74	7.70	7.55	7.50	7.72	8.02
Frühling > . . .	—	—	—	—	—	—	—	—	—	—	—	—	—	—	—
Herbst	10.24	10.17	10.17	10.22	10.12	10.07	10.18	10.07	10.06	9.94	9.88	10.00	10.09	10.19	10.22
Winter	9.30	9.29	9.22	9.24	9.37	9.38	9.34	9.24	9.25	9.21	9.15	9.25	9.15	9.31	9.51
Frühling	7.98	8.02	7.91	8.06	7.95	8.15	8.23	8.35	8.54	8.57	8.47	8.51	8.59	8.59	8.50
Sommer	5.23	5.29	5.40	5.33	5.31	5.28	5.56	5.74	5.83	5.91	6.10	6.11	6.07	6.15	6.01
Jahr	8.19	8.19	8.18	8.21	8.19	8.22	8.33	8.36	8.42	8.41	8.40	8.47	8.48	8.56	8.56

Windgeschwindigkeit

Höhe des Anemometers: 2 m. über Erdfläche; 4 m. über Meeresniveau

4 p. m.	5 p. m.	6 p. m.	7 p. m.	8 p. m.	9 p. m.	10 p. m.	11 p. m.	Mittn.	Med.	Max. Med.	Min. Med.	Diff.	Absol. Max.	Absol. Min.	Diff.			
m/s	m/s	m/s	m/s	m/s	m/s	m/s	m/s	m/s	m/s	m/s	m/s	m/s	m/s	m/s	m/s			
6.93	7.16	7.04	7.56	7.50	7.66	7.84	7.62	7.84	7.41	13.83	2.55	11.28	24.8	0.0	24.8	März	1902	
11.39	11.27	11.45	11.40	11.43	11.11	11.04	10.85	10.88	11.19	16.67	6.19	10.48	30.1	0.0	30.1	April	»	
12.38	12.14	11.84	11.96	12.30	11.34	11.35	11.09	10.81	11.33	17.38	5.87	11.51	31.4	0.0	31.4	Mai	»	
10.91	10.65	10.83	10.89	10.69	10.54	11.11	11.14	11.48	11.38	17.82	6.10	11.72	34.4	0.0	34.4	Juni	»	
9.71	9.28	9.50	9.66	9.85	10.23	10.03	9.75	9.50	9.53	16.32	3.39	12.93	33.7	0.0	33.7	Juli	»	
8.73	7.93	7.37	8.04	8.30	8.69	8.45	8.60	8.89	8.70	14.83	4.25	10.58	29.4	0.0	29.4	Augusti	»	
10.38	9.84	9.76	9.94	9.29	9.07	9.04	8.74	8.49	9.20	14.25	3.72	10.53	26.4	0.0	26.4	September	»	
8.54	8.11	8.12	7.82	7.77	7.91	8.18	8.14	8.18	8.47	13.09	4.27	8.82	22.2	0.0	22.2	Oktober	»	
4.61	4.31	4.42	4.35	4.24	4.08	4.07	3.80	3.82	4.39	6.99	1.43	5.56	14.0	0.0	14.0	November	»	
5.67	5.25	5.28	5.15	5.01	4.99	4.82	4.68	4.80	5.06	7.86	2.26	5.60	15.3	0.0	15.3	December	»	
7.79	7.29	6.81	7.45	7.66	7.52	7.66	7.45	7.53	7.48	11.86	3.26	8.60	23.2	0.0	23.2	Januari	1903	
13.24	13.02	12.86	13.12	13.00	13.47	13.68	13.84	14.10	13.65	17.85	9.44	8.41	25.0	0.0	25.0	Februari	»	
8.04	8.24	8.22	7.77	7.92	8.86	8.97	9.19	9.22	8.44	16.56	3.31	13.25	29.3	0.0	29.3	März	»	
7.21	7.28	7.44	7.13	7.64	7.73	7.17	7.22	6.47	6.48	12.27	1.86	10.41	21.5	0.0	21.5	April	»	
7.41	6.60	6.87	7.12	6.93	7.34	6.50	5.47	5.04	6.24	11.69	1.58	10.11	24.5	0.0	24.5	Mai	»	
8.81	8.15	7.98	7.71	7.42	7.60	8.15	8.81	9.07	8.42	15.47	2.52	12.95	26.7	0.0	26.7	Juni	»	
9.00	9.25	9.01	9.44	9.60	9.23	9.04	8.58	8.42	8.98	14.55	4.30	10.25	32.7	0.0	32.7	Juli	»	
8.14	7.68	7.80	8.00	7.56	7.19	6.89	7.46	7.40	7.65	13.42	2.76	10.66	27.2	0.0	27.2	Augusti	»	
6.73	6.57	6.81	6.73	6.58	6.60	6.53	6.55	6.64	6.61	12.19	2.12	10.07	24.9	0.0	24.9	September	»	
4.47	5.17	5.03	4.04	3.87	4.46	5.06	4.63	3.84	5.10	10.83	0.79	10.04	18.3	0.0	18.3	Oktober	»	
—	—	—	—	—	—	—	—	—	—	—	—	—	—	—	—	—	November (1—7)	»
—	—	—	—	—	—	—	—	—	—	—	—	—	—	—	—	—	Herbst	1902
11.00	10.69	10.72	10.84	10.95	10.70	10.83	10.66	10.60	10.75	17.15	5.12	12.05	34.4	0.0	34.4	Winter	»	
9.22	8.63	8.42	8.60	8.45	8.56	8.56	8.49	8.52	8.79	14.06	4.08	9.98	29.4	0.0	29.4	Frühling	»	
6.02	5.62	5.50	5.65	5.64	5.53	5.52	5.31	5.38	5.64	8.90	2.32	6.59	23.2	0.0	23.2	Sommer	1902—03	
9.50	9.51	9.51	9.34	9.52	10.02	9.94	10.08	9.93	9.52	15.56	4.87	10.69	29.3	0.0	29.3	Herbst	1903	
8.41	8.00	7.95	8.09	7.98	8.06	7.90	7.62	7.51	7.88	13.90	2.80	11.10	32.7	0.0	32.7	Winter	»	
—	—	—	—	—	—	—	—	—	—	—	—	—	—	—	—	—	Frühling	»
10.01	10.00	9.98	10.02	10.08	10.38	10.40	10.43	10.43	10.14	15.84	5.47	10.37	30.1	0.0	30.1	Herbst	»	
9.70	9.35	9.33	9.46	9.46	9.38	9.36	9.14	9.07	9.31	15.53	3.96	11.57	34.4	0.0	34.4	Winter	»	
8.51	8.04	8.00	8.06	7.88	7.89	7.88	7.94	7.96	8.18	13.48	3.57	9.91	29.4	0.0	29.4	Frühling	»	
6.02	5.62	5.50	5.65	5.64	5.53	5.52	5.31	5.38	5.64	8.90	2.32	6.59	23.2	0.0	23.2	Sommer	»	
8.56	8.25	8.20	8.30	8.26	8.29	8.29	8.20	8.21	8.32	13.44	3.83	9.61	34.4	0.0	34.4	Jahr		

Bewölkung

		1 a. m.	2 a. m.	3 a. m.	4 a. m.	5 a. m.	6 a. m.	7 a. m.	8 a. m.	9 a. m.	10 a. m.	11 a. m.	Mttg.	1 p. m.	2 p. m.	3 p. m.	4 p. m.
März	1902	—	—	—	—	—	—	—	—	—	—	—	—	—	—	—	—
April	»	6.2	6.4	6.2	6.0	6.2	6.5	7.0	7.1	6.8	7.1	7.2	7.3	7.1	6.6	6.8	6.7
Mai	»	6.5	6.9	7.0	6.9	6.8	6.8	7.1	7.2	7.0	6.9	7.1	7.2	7.4	7.6	7.4	7.7
Juni	»	5.9	5.4	5.5	5.2	5.2	5.1	5.9	6.3	7.1	7.8	7.8	8.1	8.0	7.7	7.7	7.5
Juli	»	6.2	6.3	6.4	6.5	6.8	6.7	6.6	6.9	7.0	6.9	7.0	6.6	6.3	6.3	6.4	6.3
Augusti	»	4.7	5.2	6.9	4.9	4.8	4.6	5.4	5.7	6.1	5.8	5.8	5.8	6.2	6.5	6.4	6.4
September	»	7.2	6.6	6.6	6.3	7.0	6.8	7.5	7.4	6.9	7.1	7.2	7.4	7.9	7.9	7.8	7.3
Oktober	»	6.5	6.3	6.5	7.0	7.4	8.0	8.4	8.4	8.1	8.3	8.4	8.5	8.3	8.3	8.4	8.2
November	»	8.3	8.6	8.8	8.6	8.5	8.9	8.9	9.0	9.0	8.7	8.5	8.2	8.0	8.1	8.0	8.0
December	»	7.6	7.8	7.7	7.5	7.5	7.5	7.3	7.1	7.4	7.4	7.5	7.6	7.7	7.8	7.8	7.6
Januari	1903	9.3	9.1	9.1	9.1	9.3	9.4	9.0	9.2	8.9	9.3	8.8	8.8	9.1	9.0	8.8	8.1
Februari	»	6.3	7.0	7.7	7.9	8.2	7.9	8.1	8.0	8.1	7.6	7.6	7.9	7.9	7.8	7.8	7.8
März	»	8.2	8.4	8.6	8.8	8.9	9.2	9.3	9.4	9.3	9.3	9.4	9.3	8.8	8.8	8.5	8.6
April	»	5.8	5.5	5.3	6.0	6.8	7.7	7.5	7.2	7.6	7.1	7.2	7.4	7.1	7.1	7.4	7.5
Mai	»	5.2	5.1	5.2	5.4	6.2	6.3	6.7	7.6	7.6	7.9	7.6	7.3	7.0	6.8	6.4	6.3
Juni	»	5.8	5.8	5.8	5.9	5.7	6.2	5.7	5.7	6.3	6.5	6.4	6.2	6.4	6.6	6.9	6.1
Juli	»	6.2	6.1	6.4	6.2	6.3	6.8	6.2	7.2	6.6	6.8	6.6	6.3	6.6	6.5	6.1	5.8
Augusti	»	4.5	4.8	5.0	5.4	5.9	6.2	6.3	6.2	6.1	6.5	6.5	6.6	6.5	6.8	6.8	6.6
September	»	7.5	7.4	7.0	7.3	7.3	7.5	7.3	7.3	7.2	7.7	7.7	7.7	7.5	7.8	7.8	7.5
Oktober	»	6.4	6.4	7.0	7.5	7.6	8.0	7.8	7.5	7.5	7.5	7.4	7.7	7.8	7.7	6.7	6.7
November (1—7)	»	5.0	5.2	5.8	6.3	7.0	6.3	7.3	7.3	6.7	7.3	6.5	5.8	5.7	6.3	6.0	5.5
Herbst 1902 . . .		—	—	—	—	—	—	—	—	—	—	—	—	—	—	—	—
Winter »		5.6	5.6	5.6	5.5	5.6	5.5	6.0	6.3	6.7	6.8	6.9	6.8	6.8	6.8	6.8	6.7
Frühling »		7.3	7.2	7.3	7.3	7.6	7.9	8.3	8.3	8.0	8.0	8.0	8.1	8.1	8.1	8.1	7.8
Sommer 1902—03 . . .		7.7	8.0	8.2	8.2	8.3	8.3	8.1	8.1	8.1	8.1	8.1	8.1	8.2	8.2	8.1	7.8
Herbst 1903		6.4	6.3	6.4	6.7	7.3	7.7	7.8	8.1	8.2	8.1	8.1	8.0	7.6	7.6	7.4	7.5
Winter »		5.5	5.6	5.7	5.8	6.0	6.4	6.1	6.4	6.3	6.6	6.5	6.4	6.5	6.6	6.6	6.2
Frühling »		—	—	—	—	—	—	—	—	—	—	—	—	—	—	—	—
Herbst		6.7	6.8	6.8	7.0	7.3	7.6	7.8	8.0	7.9	7.9	8.0	8.0	7.7	7.6	7.5	7.6
Winter		5.5	5.6	5.7	5.7	5.8	5.9	6.0	6.3	6.5	6.7	6.7	6.6	6.7	6.7	6.7	6.5
Frühling		7.4	7.3	7.4	7.5	7.7	8.0	8.1	8.1	8.0	8.0	7.9	7.9	7.9	8.0	7.8	7.6
Sommer		7.7	8.0	8.2	8.2	8.3	8.3	8.1	8.1	8.1	8.1	8.0	8.1	8.2	8.2	8.1	7.8
Jahr		6.8	6.9	7.0	7.1	7.3	7.4	7.5	7.6	7.6	7.7	7.7	7.6	7.6	7.6	7.5	7.4

Bewölkung

5 p. m.	6 p. m.	7 p. m.	8 p. m.	9 p. m.	10 p. m.	11 p. m.	Mittn.	Med.	Anzahl Tage mit Bewölkung:							
									0.0-0.9	1.0-2.9	3.0-6.9	7.0-8.9	9.0-10.0			
—	—	—	—	—	—	—	—	—	—	—	—	—	—	—	März	1902
7.0	6.7	6.3	5.8	6.0	5.6	5.5	5.5	6.6	2	2	9	11	6	April	>	
7.8	7.4	7.4	7.1	6.8	6.5	7.1	6.5	7.1	1	2	8	8	12	Mai	>	
7.2	6.1	6.0	5.9	6.0	5.5	5.5	5.2	6.4	1	3	11	10	5	Juni	>	
5.8	4.9	5.1	5.2	5.7	5.6	5.6	5.6	6.2	2	3	12	3	11	Juli	>	
6.1	5.7	4.5	4.5	4.5	4.0	4.8	5.0	5.4	1	5	14	6	5	Augusti	>	
7.1	7.6	7.4	6.8	7.0	7.4	7.2	7.3	7.2	1	2	10	6	11	September	>	
7.4	7.2	7.3	7.3	7.0	6.5	6.2	6.5	7.5	1	1	8	8	13	Oktober	>	
7.9	8.4	8.7	8.5	8.4	8.1	8.2	8.2	8.4	0	1	5	5	19	November	>	
7.9	7.8	8.2	8.1	7.8	7.6	7.4	7.5	7.6	1	2	7	5	16	December	>	
7.7	8.0	8.1	8.2	8.4	8.4	8.6	9.1	8.8	0	0	4	8	19	Januari	1903	
7.8	7.9	7.8	7.9	7.6	7.1	7.0	6.7	7.7	3	1	2	9	13	Februari	>	
8.9	8.7	8.4	8.1	7.8	7.2	7.9	8.0	8.7	0	0	5	8	18	März	>	
7.3	7.1	6.9	6.9	6.7	6.6	5.9	6.4	6.8	1	2	11	10	6	April	>	
6.1	5.6	6.0	5.6	6.5	5.6	5.0	5.3	6.3	1	3	13	9	5	Mai	>	
5.7	5.3	5.3	5.5	5.7	5.5	5.4	5.3	5.9	2	3	13	7	5	Juni	>	
5.6	5.4	5.6	6.1	5.8	5.7	6.2	6.1	6.2	2	2	12	9	6	Juli	>	
6.7	6.2	5.8	5.8	5.7	5.8	5.5	5.7	6.0	3	4	8	9	7	Augusti	>	
7.6	7.4	7.1	6.3	6.7	7.1	7.4	7.8	7.4	1	1	10	7	11	September	>	
7.4	7.5	7.2	7.0	6.9	5.9	6.0	5.7	7.1	0	2	11	10	8	Oktober	>	
4.5	4.4	3.9	4.0	4.3	4.0	4.1	4.1	5.2	0	1	3	3	0	November (1-7)	>	
—	—	—	—	—	—	—	—	—	—	—	—	—	—	Herbst	1902	
6.4	5.6	5.2	5.2	5.4	5.0	5.3	5.3	6.0	4	11	37	19	21	Winter	>	
7.5	7.7	7.8	7.5	7.5	7.3	7.2	7.3	7.7	2	4	23	19	43	Frühling	>	
7.8	7.9	8.0	8.1	7.9	7.7	7.7	7.8	8.0	4	3	13	22	48	Sommer	1902-03	
7.4	7.1	7.1	6.9	7.0	6.5	6.3	6.6	7.3	2	5	29	27	29	Herbst	1903	
6.0	5.6	5.6	5.8	5.7	5.7	5.7	5.7	6.0	7	9	33	25	18	Winter	>	
—	—	—	—	—	—	—	—	—	—	—	—	—	—	Frühling	>	
7.7	7.4	7.2	6.9	6.9	6.5	6.6	6.6	7.4	3	4	26	27	32	Herbst		
6.2	5.6	5.4	5.6	5.6	5.3	5.5	5.5	6.0	5	10	35	22	20	Winter		
7.6	7.7	7.7	7.4	7.4	7.2	7.2	7.3	7.7	2	4	24	21	40	Frühling		
7.8	7.9	8.0	8.1	7.9	7.7	7.7	7.8	8.0	4	3	13	22	48	Sommer		
7.3	7.2	7.1	7.0	6.9	6.7	6.7	6.8	7.3	14	21	98	92	140	Jahr		

		Feuchtigkeit		Verdunstung in mm.		Temp.	Wind m/s	Sonnen- schein in Stunden.
		in mm.	in %.	frei.	vor der Sonne geschützt.			
März	1902	—	—	—	—	— 9.24	—	—
April	?	1.4	77	—	—	— 13.33	7.41	66.30
Mai	?	1.0	62	0.35	0.30	— 16.96	11.19	30.70
Juni	?	0.9	60	0.46	0.42	— 18.14	11.33	5.35
Juli	?	0.4	49	0.16	0.13	— 24.35	11.38	15.20
Augusti	?	0.7	50	0.39	0.29	— 22.55	9.53	74.20
September	?	1.2	62	1.07	0.67	— 14.25	8.70	83.90
Oktober	?	1.3	72	1.10	0.57	— 12.69	9.20	81.25
November	?	1.8	72	1.53	0.88	— 8.10	8.47	85.90
December	?	2.9	73	2.83	1.33	— 2.01	4.39	147.50
Januari	1903	3.6	80	1.90	0.98	— 0.87	5.06	89.95
Februari	?	2.7	76	1.91	0.84	— 3.55	7.48	96.05
März	?	1.5	75	0.90	0.61	— 11.42	13.65	44.60
April	?	1.2	69	0.58	0.40	— 14.24	8.44	57.30
Mai	?	0.9	63	0.28	0.23	— 19.39	6.48	27.40
Juni	?	0.6	63	0.20	0.14	— 21.32	6.24	14.05
Juli	?	1.1	58	0.46	0.36	— 17.27	8.42	20.20
Augusti	?	1.1	61	0.81	0.64	— 15.84	8.98	58.75
September	?	1.1	77	0.77	0.44	— 17.04	7.65	72.80
Oktober	?	2.2	73	2.42	1.16	— 6.36	6.61	119.70
November (1—7)	?	2.2	73	3.36	2.34	— 1.30	5.10	47.60
Herbst	1902	—	—	—	—	— 13.18	—	—
Winter	?	0.7	50	0.34	0.28	— 21.68	10.75	94.75
Frühling	?	1.4	69	1.23	0.71	— 11.68	8.79	251.05
Sommer 1902—03	?	3.1	78	2.21	1.05	— 2.14	5.64	333.50
Herbst 1903	?	1.2	69	0.59	0.41	— 15.02	9.52	129.30
Winter	?	0.9	61	0.49	0.38	— 18.14	7.88	93.00
Frühling	?	—	—	—	—	—	—	—
Herbst	?	1.2	70	0.60	0.43	— 14.10	10.14	135.70
Winter	?	0.8	55	0.42	0.33	— 19.91	9.31	93.90
Frühling	?	1.6	71	1.40	0.77	— 11.09	8.18	264.65
Sommer	?	3.1	78	2.21	1.05	— 2.14	5.64	333.50
Jahr		1.7	68	1.16	0.65	— 11.81	8.32	827.75

A n z a h l T a g e m i t														
●	*	+	≡	┌	▲	△	∞	Fallenden Eis- nadeln.	Sonnen- halo.	Mond- halo.	Mond- corona.	Irisie- renden Wolken.	Luft- spie- gelung.	
—	—	—	—	—	—	—	—	—	1	1	—	—	—	März 1902
0	13	12	7	7	0	0	0	1	0	2	6	0	0	April >
1	11	20	5	1	0	1	0	1	1	4	5	0	0	Mai >
0	6	21	2	2	0	0	0	1	0	6	9	2	0	Juni >
0	5	27	5	0	0	0	0	1	3	3	2	1	0	Juli >
0	3	20	9	3	0	0	0	1	3	4	5	0	0	Augusti >
1	12	17	3	2	0	0	0	1	0	1	7	0	2	September >
0	14	18	6	3	0	1	0	0	2	2	2	4	2	Oktober >
1	23	19	8	1	0	2	0	2	1	0	0	0	0	November >
1	12	7	12	0	0	4	1	4	0	0	0	0	0	December >
2	21	10	16	1	1	3	2	3	3	0	0	2	0	Januari 1903
1	12	16	14	3	1	1	1	3	2	1	0	0	0	Februari >
2	9	28	4	0	0	0	0	1	1	2	1	1	0	März >
1	12	20	10	2	0	1	0	2	3	5	3	0	1	April >
1	9	16	18	6	0	1	0	4	5	5	10	0	3	Mai >
0	9	21	20	8	0	0	0	1	4	4	4	0	2	Juni >
2	11	23	11	4	0	0	0	1	2	3	8	0	0	Juli >
3	7	19	10	3	0	0	1	1	1	6	11	1	1	Augusti >
0	10	17	11	6	0	0	0	0	2	5	4	0	3	September >
1	11	12	13	3	0	1	0	0	3	3	5	0	0	Oktober >
0	2	1	2	0	0	0	0	0	1	2	1	0	1	November (1—7) >
—	—	—	—	—	—	—	—	2	2	7	—	—	—	Herbst 1902
0	14	68	16	5	0	0	0	3	6	13	16	3	0	Winter >
2	49	54	17	6	0	3	0	3	3	3	9	4	4	Frühling >
4	45	33	42	4	2	8	4	10	5	1	0	2	0	Sommer 1902—03
4	30	64	32	8	0	2	0	7	9	12	14	1	4	Herbst 1903
5	27	63	41	15	0	0	1	3	7	13	23	1	3	Winter >
—	—	—	—	—	—	—	—	—	—	—	—	—	—	Frühling >
3	31	62	23	8	0	1	0	4	5	10	13	1	2	Herbst
3	22	66	24	6	0	0	1	3	6	13	21	2	2	Winter
2	46	51	25	7	0	3	0	2	4	6	9	2	4	Frühling
4	45	33	42	4	2	8	4	10	5	1	0	2	0	Sommer
12	144	212	114	25	2	12	5	19	20	30	43	7	8	Jahr

Sonnenscheindauer

	5 a. m.	6 a. m.	7 a. m.	8 a. m.	9 a. m.	10 a. m.	11 a. m.	Mittg.	1 p. m.	2 p. m.	3 p. m.
März 1902	.	.	.	1.45	2.30	3.30	5.75	6.70	7.00	6.50	5.90
April	.	.	.	1.45	7.80	8.10	11.25	11.00	11.80	9.40	5.25
Mai	1.50	4.60	6.60	7.45	7.15	3.85	.
Juni	2.75	1.80	0.80	.	.
Juli	0.10	2.55	5.95	5.70	0.90	.
Augusti	.	.	.	0.30	6.85	11.50	14.65	14.50	11.30	10.20	4.90
September	.	.	.	2.25	9.75	12.05	11.85	12.25	12.55	10.30	8.60
Oktober	.	.	0.65	5.30	7.45	8.50	8.65	8.00	9.65	7.80	7.95
November	.	0.50	2.95	3.55	4.95	6.10	6.85	8.25	9.35	10.10	9.55
December	.	6.50	10.10	11.00	12.70	12.05	11.20	12.40	11.30	10.65	11.35
Januari 1903	.	0.25	3.45	5.75	8.15	5.35	7.50	8.15	7.00	5.10	5.80
Februari	.	.	1.05	5.45	7.80	9.60	10.70	10.10	10.15	8.55	8.25
März	.	.	.	0.40	2.30	4.00	3.25	6.40	7.65	7.10	6.25
April	3.90	8.20	8.90	8.55	9.50	8.75	7.20
Mai	1.20	4.25	5.50	6.95	6.75	2.75	.
Juni	0.20	4.00	6.45	3.40	.	.
Juli	1.20	5.10	7.10	5.80	1.00	.
Augusti	.	.	.	0.05	4.15	9.45	11.10	12.15	10.65	7.35	3.85
September	.	.	0.05	2.90	8.00	9.50	10.65	10.05	9.70	9.90	9.00
Oktober	.	0.20	3.20	7.30	9.65	10.25	13.00	12.85	11.05	12.30	15.20
November (1—7)	.	2.05	2.75	1.95	3.00	3.15	4.20	5.80	5.10	4.95	3.55
Herbs 1902
Winter	.	.	.	0.30	6.85	11.60	19.95	22.25	17.80	11.10	4.90
Frühling	.	0.50	3.60	11.10	22.15	26.65	27.35	28.50	31.55	28.20	26.10
Sommer 1902—03	.	6.75	14.60	22.20	28.65	27.00	29.40	30.65	28.45	24.30	25.40
Herbst 1903	0.40	7.40	16.45	17.65	21.90	23.90	18.60	13.45
Winter	.	.	.	0.05	4.15	10.85	20.20	25.70	19.85	8.35	3.85
Frühling
Herbst	1.15	9.50	16.55	19.40	23.35	25.25	19.50	12.45
Winter	0.15	5.50	11.25	20.05	24.00	18.80	9.75	4.40
Frühling	0.60	4.90	12.40	22.40	26.25	28.90	29.85	30.80	30.25	29.90
Sommer	6.75	14.60	22.20	28.65	27.00	29.40	30.65	28.45	24.30	25.40
Jahr	7.35	19.50	35.90	66.05	81.05	97.75	107.85	103.30	83.80	72.15

Sonnenscheindauer

4 p. m.	5 p. m.	6 p. m.	7 p. m.	8 p. m.	9 p. m.	Sonnenschein in Stunden.	Tageslänge in Stunden.	Sonnenschein- dauer Tageslänge.	Anzahl Tage ohne Sonnenschein.	
4-45	0.05	43.40	87.60	0.495	.	März 1902
0.25	66.30	214.80	0.309	11	April
.	30.70	145.90	0.206	21	Mai
.	5.35	94.05	0.057	25	Juni
.	15.20	122.30	0.124	23	Juli
.	74.20	187.55	0.396	10	Augusti
3.40	0.90	83.90	271.20	0.309	9	September
8.10	7.20	2.00	.	.	.	81.25	362.40	0.224	13	Oktober
8.00	7.80	5.05	2.70	0.20	.	85.90	413.90	0.208	13	November
11.00	9.15	8.45	7.15	2.30	0.20	147.50	455.65	0.324	9	December
9.50	8.60	8.25	6.30	0.80	.	89.95	446.05	0.202	14	Januari 1903
8.45	7.10	6.80	2.05	.	.	96.05	352.05	0.273	9	Februari
5.05	1.30	0.90	.	.	.	44.60	324.55	0.137	19	März
2.30	57.30	219.25	0.261	13	April
.	27.40	145.90	0.188	21	Mai
.	14.05	94.05	0.149	20	Juni
.	20.20	122.30	0.165	21	Juli
.	58.75	187.55	0.313	16	Augusti
3.05	72.80	257.35	0.283	14	September
12.90	8.60	3.10	0.10	.	.	119.70	354.90	0.337	8	Oktober
3.10	3.75	3.60	0.65	.	.	47.60	78.35	0.608	.	November (1-7)
.	140.40	448.30	0.313	.	Herbst 1902
.	94.75	403.90	0.234	58	Winter
19.50	15.90	7.05	2.70	0.20	.	251.05	1047.50	0.240	35	Frühling
28.95	24.85	23.50	15.50	3.10	0.20	333.50	1253.75	0.267	32	Sommer 1902-03
7.35	1.30	0.90	.	.	.	129.30	689.70	0.186	53	Herbst 1903
.	93.00	403.90	0.230	57	Winter
.	240.10	690.60	0.347	.	Frühling
6.35	1.30	0.90	.	.	.	135.70	687.40	0.198	52	Herbst
.	93.90	403.90	0.232	58	Winter
21.70	16.15	7.60	2.75	0.20	.	264.65	1036.80	0.255	50	Frühling
28.95	24.85	23.50	15.50	3.10	0.20	333.50	1253.75	0.267	32	Sommer
57.00	42.30	32.00	18.25	3.30	0.20	827.75	3381.85	0.245	192	Jahr

Erdtemperatur

Tiefe: 3 dm.

	3 a. m.	6 a. m.	9 a. m.	Mttg.	3 p. m.	6 p. m.	9 p. m.	Mtn.	Med.	
März 1902	—	—	—	—	—	—	—	—	—	März 1902
April	—	—	—	—	—	—	—	—	—	April
Mai	—	—	-14.49	-14.59	-14.37	-14.44	-14.62	—	-14.47	Mai
Juni	—	—	-17.46	-17.50	-17.50	-17.43	-17.39	—	-17.46	Juni
Juli	—	—	-21.45	-21.52	-21.51	-21.50	-21.49	—	-21.49	Juli
Augusti	—	—	-22.00	-22.11	-22.06	-21.93	-21.89	—	-22.00	Augusti
September	—	—	-15.55	-15.60	-15.36	-15.06	-14.83	—	-15.28	Septemcer
Oktober	—	—	-11.16	-11.16	-10.92	-10.68	-10.45	—	-10.87	Oktober
November	-6.78	-6.90	-7.08	-7.13	-6.96	-6.72	-6.50	-6.39	-6.81	November
December	-0.22	-0.26	-0.30	-0.33	-0.28	-0.16	+0.02	+0.04	-0.18	December
Januari 1902	+1.85	+1.60	+1.23	+1.10	+1.20	+1.36	+1.96	+2.06	+1.57	Januari 1903
Februari	+0.70	+0.59	+0.49	+0.39	+0.38	+0.49	+0.59	+0.63	+0.53	Februari
März	—	-6.13	-6.21	-6.30	-6.27	-6.16	-6.10	-6.20	-6.20	März
April	—	-11.93	-12.07	-12.09	-11.99	-11.82	-11.79	-11.79	-11.92	April
Mai	—	-18.45	-18.58	-18.55	-18.35	-18.16	-18.16	-18.09	-18.33	Mai
Juni	—	-20.09	-20.06	-20.17	-20.19	-20.26	-20.33	-20.25	-20.19	Juni
Juli	—	-18.08	-18.17	-18.24	-18.26	-18.22	-18.13	-18.10	-18.17	Juli
Augusti	—	-16.08	-16.09	-16.16	-16.06	-16.00	-15.97	-16.03	-16.06	Augusti
September	—	-16.38	-16.40	-16.50	-16.12	-15.73	-15.65	-15.80	-16.08	September
Oktober	—	-7.77	-7.78	-7.83	-7.60	-7.23	-7.14	-7.08	-7.49	Oktober
November (1—7)	—	-2.50	-2.54	-2.56	-2.51	-2.40	-2.23	-2.22	-2.42	November (1—7)
Herbst 1902	—	—	—	—	—	—	—	—	—	Herbst 1902
Winter	—	—	-20.30	-20.38	-20.36	-20.29	-20.26	—	-20.32	Winter
Frühling	—	—	-11.26	-11.30	-11.08	-10.82	-10.59	—	-10.99	Frühling
Sommer 1902—03	+0.78	+0.64	+0.47	+0.39	+0.43	+0.63	+0.86	+0.91	+0.64	Sommer 1902—03
Herbst 1903	—	-12.17	-12.29	-12.31	-12.20	-12.05	-12.02	-12.03	-12.15	Herbst 1903
Winter	—	-18.08	-18.10	-18.19	-18.17	-18.16	-18.14	-18.13	-18.14	Winter
Frühling	—	—	—	—	—	—	—	—	—	Frühling
Herbst	—	(-11.53)	-11.57	-11.63	-11.56	-11.47	-11.42	(-11.44)	-11.51	Herbst
Winter	—	(-19.18)	-19.20	-19.28	-19.26	-19.28	-19.20	(-19.19)	-19.23	Winter
Frühling	—	(-10.80)	-10.84	-10.89	-10.65	-10.36	-10.18	(-10.19)	-10.56	Frühling
Sommer	+0.78	+0.64	+0.47	+0.39	+0.43	+0.63	+0.86	+0.91	+0.64	Sommer
Jahr	—	-10.22	-10.28	-10.35	-10.26	-10.11	-9.99	-9.98	-10.16	Jahr

Erdtemperatur

Tiefe: 5 dm.

Tiefe: 10 dm.

		3 a. m.	6 a. m.	9 a. m.	Mittg.	3 p. m.	6 p. m.	9 p. m.	Mttn.	Med.
März	1902	—	—	—	—	—	—	—	—	—
April	»	—	—	—	—	—	—	—	—	—
Mai	»	—	—	-13.50	-13.57	-13.59	-13.63	-13.67	—	-13.59
Juni	»	—	—	-17.24	-17.23	-17.23	-17.23	-17.22	—	-17.23
Juli	»	—	—	-20.39	-20.42	-20.45	-20.47	-20.51	—	-20.45
Augusti	»	—	—	-22.16	-22.16	-22.16	-22.18	-22.15	—	-22.16
September	»	—	—	-16.33	-16.32	-16.34	-16.32	-16.29	—	-16.32
Oktober	»	—	—	-11.82	-11.85	-11.89	-11.84	-11.85	—	-11.85
November	»	-8.62	-8.58	-8.56	-8.55	-8.55	-8.53	-8.52	-8.47	-8.55
December	»	-2.26	-2.24	-2.24	-2.21	-2.20	-2.18	-2.17	-2.17	-2.20
Januari	1902	-0.47	-0.46	-0.47	-0.46	-0.46	-0.45	-0.45	-0.46	-0.46
Februari	»	(-0.26)	-0.25	(-0.25)	-0.25	(-0.23)	-0.22	(-0.24)	-0.26	-0.25
März	»	—	-5.13	-5.18	-5.24	-5.30	-5.34	-5.37	-5.42	-5.28
April	»	—	-11.07	-11.11	-11.18	-11.20	-11.24	-11.24	-10.90	-11.18
Mai	»	—	-17.67	-17.69	-17.68	-17.69	-17.73	-17.67	-17.66	-17.69
Juni	»	—	-19.64	-19.65	-19.68	-19.66	-19.72	-19.76	-19.76	-19.70
Juli	»	—	-18.70	-18.67	-18.65	-18.68	-18.72	-18.68	-18.64	-18.68
Augusti	»	—	-16.34	-16.38	-16.38	-16.39	-16.44	-16.44	-16.43	-16.40
September	»	—	-16.67	-16.72	-16.75	-16.76	-16.77	-16.68	-16.62	-16.71
Oktober	»	—	-10.06	-10.01	-9.99	-9.95	-9.89	-9.86	-9.71	-9.93
November (1—7)	»	—	-4.53	-4.49	-4.49	-4.50	-4.48	-4.50	-4.47	-4.49
Herbst 1902 . . .		—	—	—	—	—	—	—	—	—
Winter »		—	—	-19.93	-19.94	-19.95	-19.96	-19.96	—	-19.95
Frühling »		—	—	-12.24	-12.24	-12.26	-12.23	-12.22	—	-12.24
Sommer 1902—03 .	(-1.00)	0.98	(-0.99)	-0.97	(-0.96)	-0.95	(-0.95)	-0.96	-0.97	—
Herbst 1903 . . .	—	-11.29	-11.33	-11.37	-11.40	-11.44	-11.43	-11.33	-11.38	—
Winter »	—	-18.23	-18.23	-18.24	-18.24	-18.29	-18.29	-18.28	-18.26	—
Frühling »	—	—	—	—	—	—	—	—	—	—
Herbst	—	(-10.60)	-10.63	-10.68	-10.71	-10.75	-10.76	(-10.63)	-10.70	—
Winter	—	(-19.06)	-19.06	-19.09	-19.10	-19.12	-19.12	(-19.11)	-19.10	—
Frühling	—	(-12.01)	-12.00	-12.00	-12.01	-12.01	-11.95	(-11.95)	-11.98	—
Sommer	—	-0.98	(-0.99)	-0.97 _r	(-0.96)	-0.95	(-0.95)	-0.96	-0.97	—
Jahr		(-10.66)	-10.67	-10.68	-10.69	-10.71	-10.69	-10.66	-10.69	-10.43

		Med.		
—	März	1902	—	—
—	April	»	—	—
-10.65	Mai	»	—	—
-15.36	Juni	»	—	—
-17.63	Juli	»	—	—
-20.64	Augusti	»	—	—
-16.60	September	»	—	—
-12.50	Oktober	»	—	—
-10.11	November	»	—	—
-4.72	December	»	—	—
-2.45	Januari	1903	—	—
-1.60	Februari	»	—	—
-3.89	März	»	—	—
-9.22	April	»	—	—
-15.20	Mai	»	—	—
-17.55	Juni	»	—	—
-17.76	Juli	»	—	—
-15.62	Augusti	»	—	—
-16.02	September	»	—	—
-11.97	Oktober	»	—	—
-6.78	November (1—7)	»	—	—
—	Herbst 1902		—	—
-17.88	Winter »		—	—
-13.07	Frühling »		—	—
-3.92	Sommer 1902—03		—	—
-9.44	Herbst 1903		—	—
-16.98	Winter »		—	—
—	Frühling »		—	—
-8.68	Herbst		—	—
-17.43	Winter		—	—
-12.88	Frühling		—	—
-3.92	Sommer		—	—
-10.43	Jahr		—	—





Magnetisches Observatorium

Anemometer

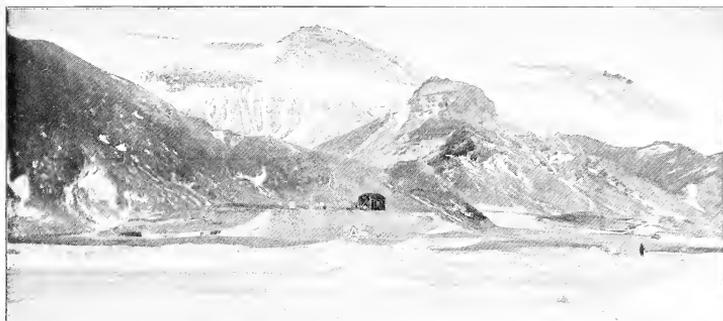
Erdthermometer

"Suishanerecorder" Platz II



Die Umgebungen W. S. W. von der Station, aus der Vogelperspektive gesehen. Station.





*Die Snow-Hill-Station von Norden gesehen.
»A»: Anemometerplatz.*



*Die Umgebungen SW von der Station.
»A»: Anemometerplatz; »M»: Magnetisches Observatorium.*

The first of these was the discovery of gold in California in 1848. This led to a great influx of people to the West, and the discovery of gold in Colorado in 1859 led to a similar influx.

The second was the discovery of silver in Nevada in 1859. This led to a great influx of people to the West, and the discovery of silver in Colorado in 1859 led to a similar influx.

The third was the discovery of copper in Arizona in 1851. This led to a great influx of people to the West, and the discovery of copper in Colorado in 1859 led to a similar influx.

The fourth was the discovery of iron in Colorado in 1859. This led to a great influx of people to the West, and the discovery of iron in Colorado in 1859 led to a similar influx.

The fifth was the discovery of coal in West Virginia in 1842. This led to a great influx of people to the West, and the discovery of coal in Colorado in 1859 led to a similar influx.

The sixth was the discovery of oil in Texas in 1859. This led to a great influx of people to the West, and the discovery of oil in Colorado in 1859 led to a similar influx.

The seventh was the discovery of natural gas in Texas in 1859. This led to a great influx of people to the West, and the discovery of natural gas in Colorado in 1859 led to a similar influx.

The eighth was the discovery of uranium in Colorado in 1871. This led to a great influx of people to the West, and the discovery of uranium in Colorado in 1859 led to a similar influx.

The ninth was the discovery of lead in Colorado in 1859. This led to a great influx of people to the West, and the discovery of lead in Colorado in 1859 led to a similar influx.

The tenth was the discovery of zinc in Colorado in 1859. This led to a great influx of people to the West, and the discovery of zinc in Colorado in 1859 led to a similar influx.

The eleventh was the discovery of nickel in Colorado in 1859. This led to a great influx of people to the West, and the discovery of nickel in Colorado in 1859 led to a similar influx.

The twelfth was the discovery of platinum in Colorado in 1859. This led to a great influx of people to the West, and the discovery of platinum in Colorado in 1859 led to a similar influx.

The thirteenth was the discovery of silver in Colorado in 1859. This led to a great influx of people to the West, and the discovery of silver in Colorado in 1859 led to a similar influx.

The fourteenth was the discovery of gold in Colorado in 1859. This led to a great influx of people to the West, and the discovery of gold in Colorado in 1859 led to a similar influx.

The fifteenth was the discovery of silver in Colorado in 1859. This led to a great influx of people to the West, and the discovery of silver in Colorado in 1859 led to a similar influx.

The sixteenth was the discovery of gold in Colorado in 1859. This led to a great influx of people to the West, and the discovery of gold in Colorado in 1859 led to a similar influx.

The seventeenth was the discovery of silver in Colorado in 1859. This led to a great influx of people to the West, and the discovery of silver in Colorado in 1859 led to a similar influx.

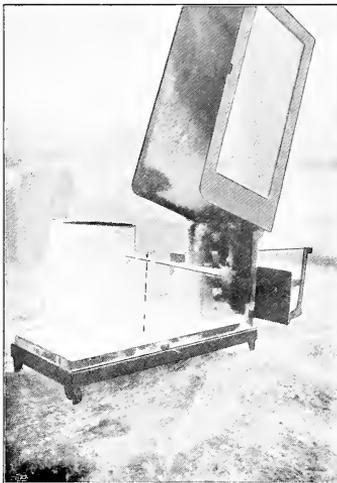
The eighteenth was the discovery of gold in Colorado in 1859. This led to a great influx of people to the West, and the discovery of gold in Colorado in 1859 led to a similar influx.

The nineteenth was the discovery of silver in Colorado in 1859. This led to a great influx of people to the West, and the discovery of silver in Colorado in 1859 led to a similar influx.

The twentieth was the discovery of gold in Colorado in 1859. This led to a great influx of people to the West, and the discovery of gold in Colorado in 1859 led to a similar influx.



Das grosse Thermometergehäuse.



Das Hygrometer nach einem Sturm mit Schneestaub.



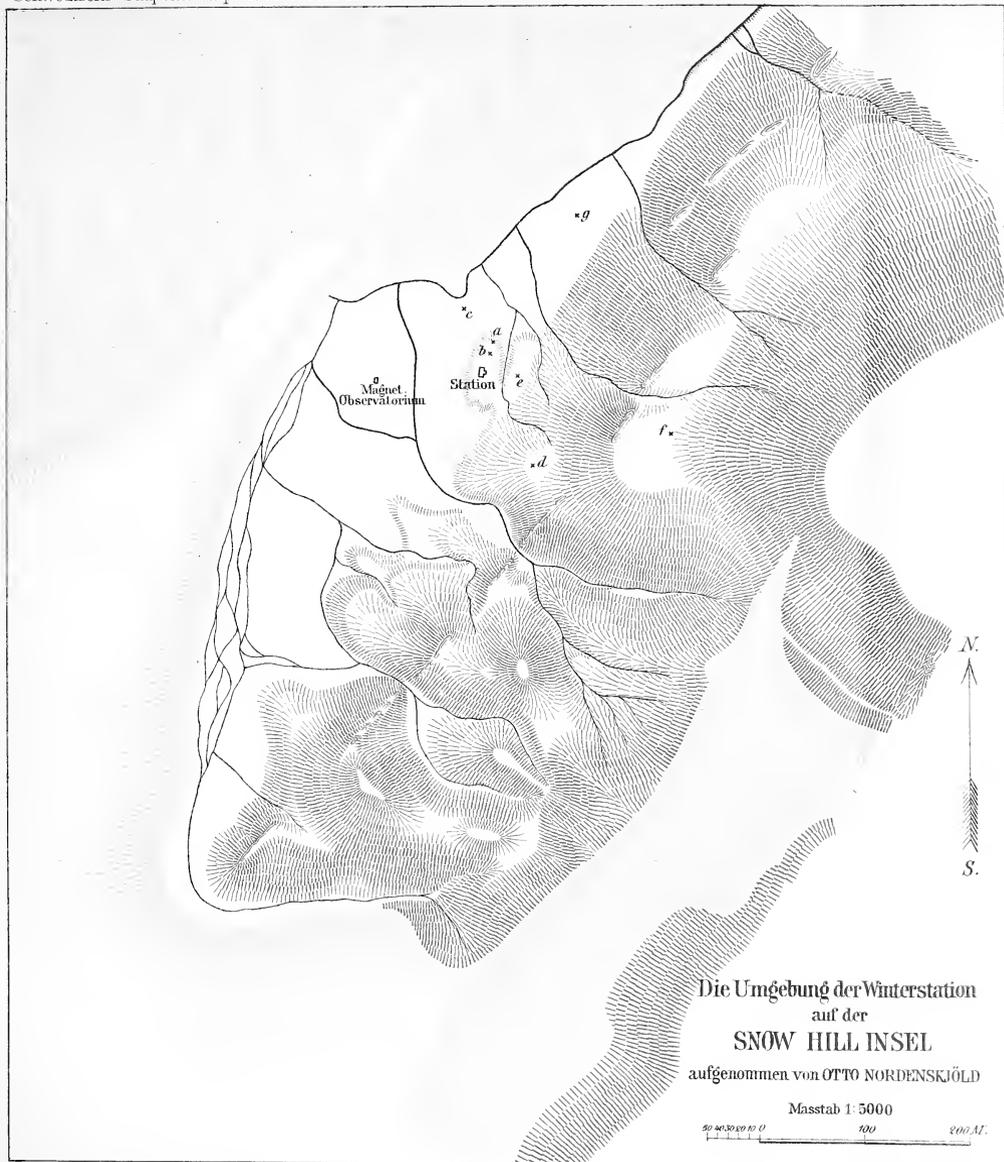
Das kleine Thermometergehäuse mit der geschützten Abdunstungsschale, das astronomische Observatorium und das grosse Thermometergehäuse mit der freien Abdunstungsschale.

THE UNIVERSITY OF CHICAGO

PHILOSOPHY

PHILOSOPHY

PHILOSOPHY



a: Astronom. Observatorium
b: Thermometerhäuschen
c: Anemometer 4 März 1902—2 April 1902

d: Sunshine-Recorder 14 Sept. 1902—7 Apr. 1903
e: Erdthermometer
f: Anemometer 2 April 1902—8 Nov. 1903



5974

WISSENSCHAFTLICHE ERGEBNISSE
DER SCHWEDISCHEN SÜDPOLAR-EXPEDITION
1901—1903

UNTER LEITUNG VON DR. OTTO NORDENSKJÖLD

BAND II. LIEFERUNG 3

METEOROLOGISCHE ERGEBNISSE
DER SCHWEDISCHEN SÜDPOLAR-EXPEDITION

II

TÄGLICHE BEOBACHTUNGEN

AN BORD DER »ANTARCTIC» UND AUF DER PAULET-INSEL

BEARBEITET VON

GÖSTA BODMAN

MIT 1 TAFEL UND 1 KARTE



STOCKHOLM
LITHOGRAPHISCHES INSTITUT DES GENERALSTABS
1909

A. ASHER & Co
BERLIN W

HAAR & STEINERT, A. EICHLER, SUCC:R
PARIS

DULAU & Co
LONDON W

Schwedische Südpolar-Expedition.

Dieses Werk erscheint in 7 Bänden und wird in Abteilungen, welche je eine Monographie enthalten, publiziert. Der Text ist auf etwa 3000 Druckseiten mit ca. 300 Tafeln sowie zahlreichen Textfiguren und Karten veranschlagt. Die Abhandlungen werden in deutscher, englischer oder französischer Sprache gedruckt.

Bis jetzt sind folgende Lieferungen erschienen:

Band I. Reiseschilderung. Geographie. Kartographie. Hydrographie. Erdmagnetismus. Hygiene etc.

Lief. 1 und 2 (noch nicht gedruckt).

Lief. 3 und 4. EKELÖF, E. Die Gesundheits- und Kranken-Pflege. — Über »Präserven-Krankheiten». Preis Mark 3.—.

Band II. Meteorologie.

Lief. 1. BODMAN, G. Das Klima als eine Funktion von Temperatur und Windgeschwindigkeit. Mit 1 Tafel. Preis Mark 4.—. (Für Subskribenten auf das ganze Werk Mark 3.—).

Lief. 2. BODMAN, G. Stündliche Beobachtungen bei Snow Hill. Mit 3 Tafeln und 1 Karte. Preis Mark 28.—. (Für Subskribenten Mark 22.—).

Lief. 3. BODMAN, G. Beobachtungen an Bord der »Antarctic» und auf der Paulet-Insel. Mit 1 Tafel und 1 Karte. Preis Mark 9.—. (Für Subskribenten Mark 7.—).

Band III. Geologie und Paläontologie.

Lief. 1. WIMAN, C. Die alttertiären Vertebraten der Seymourinsel. Mit 8 Tafeln. Preis Mark 10.—. (Für Subskribenten Mark 8.—).

Lief. 2. ANDERSSON, J. G. The Geology of the Falkland Islands. With 9 Plates and Maps. Preis Mark 10.—. (Für Subskribenten Mark 8.—).

Lief. 3. DUSÉN, P. Die tertiäre Flora der Seymourinsel. Mit 4 Tafeln. Preis Mark 5.—. (Für Subskribenten Mark 4.—).

Lief. 4. SMITH WOODWARD, A. On Fossil Fish-Remains. Mit 1 Tafel. Preis Mark 2.—. (Für Subskribenten Mark 1,50).

Lief. 5. FELIX, J. Die fossilen Korallen. Mit 1 Tafel. Preis Mark 3.—. (Für Subskribenten Mark 2.—).

Lief. 6. KILIAN, W., et REBOUL, P. Les Céphalopodes Néocrétacés. Avec 20 planches. Preis Mark 18.—. (Für Subskribenten Mark 15.—).

Lief. 7. BUCKMAN, S. S. Fossil Brachiopoda (im Druck).

Lief. 8. GOTHAN, W. Die fossilen Hölzer von der Seymour- und Snow Hill-Insel. Mit 2 Doppeltafeln. Preis Mark 5.—. (Für Subskribenten Mark 4.—).



Meteorologische Beobachtungen der schwedischen Südpolarexpedition.

II. Tägliche Observationen an Bord der „Antarctic“ und auf der Paulet-Insel

bearbeitet von

Dr. GÖSTA BODMAN.

In den «Stündlichen Beobachtungen bei Snow-Hill»* habe ich in der Einleitung den allgemeinen Gang der meteorologischen Arbeit während der schwedischen Südpolarexpedition skizziert. Vorliegendes Heft befasst sich mit den Arbeiten, welche an Bord der «Antarctic», auf ihrer gesamten letzten Reise, sowie alsdann auf der Paulet-Insel ausgeführt wurden.

Es ist daher wohl nicht unangebracht, hier den Gang und die Verteilung dieser Arbeit noch einmal zu beschreiben.

Am 3. Dezember 1901 nahm die meteorologische Beobachtungstätigkeit an Bord der «Antarctic» ihren Anfang und wurde mit gewissen Unterbrechungen bis zum Tage vor dem Untergang des Schiffes am 12. Februar 1903 fortgesetzt. Doch damit nicht genug! Nachdem die an Bord der «Antarctic» befindlichen Männer nach ungeheueren Schwierigkeiten das nächste Land, die Paulet-Insel, erreicht und daselbst eine Steinhütte für sich errichtet hatten, wurden dort regelmässige Wetterbeobachtungen angestellt, die man also als eine direkte Fortsetzung der Arbeiten an Bord der «Antarctic» betrachten kann.

In der Zeit vom 3. Dezember 1901 bis zum 7. Februar 1902 wurde die Arbeit von Bodman geleitet. Nachdem Bodman bei Snow-Hill an Land gegangen war, übernahm Duse die meteorologischen Arbeiten und leitete sie bis zum 29. Dezember 1902, an welchem Tage er mit J. G. Andersson und Grunden das Schiff bei der Hoffnungsbucht verliess, um der Snow-Hill-Abteilung Entsatz zu bringen. In der Folgezeit, sowohl an Bord der «Antarctic» wie auch auf der Paulet-Insel teilten sich

* Wissenschaftl. Ergebn. d. schwed. Südpolarexp. Nr. 40.
1 — 09258. Schwedische Südpolar-Expedition 1901—1903.

MAY 29 1933

K. A. Andersson und Skottsberg in die Arbeit. Obgleich die meteorologischen Arbeiten daher zu den verschiedenen Perioden nur von einer einzigen Person geleitet wurden, so wurde der Leiter bei seiner Arbeit doch stets von den übrigen Gelehrten bereitwilligst unterstützt.

Die Perioden, in welchen keine Beobachtungen stattfanden, sind folgende:

- | | | |
|--------------|-------------------|--|
| 16. Dezember | 1901—23. Dezember | 1901: in Buenos-Aires, |
| 8. Februar | 1902—12. Februar | 1902: Landung der Überwinterungs-Abteilung bei Snow-Hill, |
| 6. März | 1902—22. März | 1902: in Ushuaia, |
| 27. März | 1902—11. April | 1902: in Port-Stanley, |
| 11. Februar | 1903—1. April | 1903: die Zeit zwischen dem Schiffbruch und dem Beginn der Paulet-Beobachtungen. |

Abgesehen von diesen Unterbrechungen enthält also vorliegende Arbeit Beobachtungen, die in der Zeit vom 3. Dezember 1901—10. November 1903 täglich gemacht worden sind. Da der Umfang der Beobachtungen nach dem Schiffbruch reduziert wurde, halte ich es für angebracht, über die Arbeit an Bord des Schiffes und über die auf der Paulet-Insel in je einem besonderen Abschnitt zu berichten.

I. An Bord der «Antarctic».

Die Beobachtungen wurden täglich 7 a. m., 2 p. m. und 9 p. m. mittlere Ortszeit und 0 p. m. mittlere Greenwicher Zeit vorgenommen und umfassen Luftdruck, Lufttemperatur, Luftfeuchtigkeit (trockenes und feuchtes Thermometer), Windrichtung, Windgeschwindigkeit, Bewölkung, Wolkenformen und Hydrometeore,

In der Offiziersmesse waren zwei Quecksilberbarometer Adie N:o 493 und Adie N:o 1905 sowie ein selbstregistrierender Richardscher Barograph N:o 25968 aufgestellt. In den gewöhnlichen Beobachtungsstunden wurde der Quecksilberbarometer und seine Temperatur abgelesen, gleichzeitig wurde mit einem vertikalen Strich die Stellung des Barographen markiert. Mit den so erhaltenen Beobachtungen verfuhr ich in derselben Weise wie bei der Feststellung des Luftdruckes bei Snow-Hill, d. h. ich benutzte die auf 0° reduzierten und alsdann korrigierten Werte des Quecksilberbarometers als Standardwerte und berechnete aus ihnen Woche für Woche die Korrektur, die man beim Ablesen der Barographenkurven in Anwendung bringen musste. Die Barometerzahlen geben also den Luftdruck bei 0° und Meeresniveau an, sind jedoch nicht auf 45° lat. reduziert.

Zur Bestimmung der Lufttemperatur und der Luftfeuchtigkeit hatte ich hinter dem vordersten Mast über der Decke der Offiziersmesse ein Thermometerhäuschen¹ — von dem kleinen englischen Typus — aufgestellt. Ausser einem trockenen und einem feuchten Thermometer wurden in diesem Häuschen behufs direkter Ablesungen ein Maximum- und ein Minimumthermometer angebracht.

Vom 14. Februar 1902 bis zum 5. März 1902 fehlen die Temperaturangaben, obwohl die übrigen Beobachtungen notiert sind. Dies findet seine Erklärung darin, dass, als das Thermometerhäuschen vom Schiff nach Snow-Hill überführt wurde, man kein neues Thermometerhäuschen zum unmittelbaren Ersatz des alten anfertigen konnte.

Maximum- und Minimumtemperatur — ebenso wie Breite und Länge — sind für jeden Tag in der ersten täglichen Beobachtungsstunde, d. h. um 7 a. m. eingeführt. Dies bedeutet jedoch nicht, dass die Beobachtungen zu dieser Stunde vorgenommen worden sind. Die Maximumtemperatur ist in der Regel um 9 p. m. aufgenommen und gilt also im allgemeinen für den Tag, für den sie notiert ist. Die Minimumtemperatur ist um 2 p. m. beobachtet und gilt ebenfalls für den betreffenden Tag, soweit die Regel, dass die höchste Temperatur zur Mittagszeit und die niedrigste bei Sonnenaufgang herrscht, richtig ist.

In die Spalte nach den Maximum- und Minimumtemperaturen habe ich die am feuchten Thermometer abgelesene Temperatur eingestellt, ohne dass ich es für nötig hielt, aus dieser Temperatur jedesmal den absoluten und den relativen Feuchtigkeitsdruck herauszureduzieren.

In den beiden Windspalten sind, in der ersten die Windrichtung, astronomisch richtig zeigend, und in der zweiten die Windgeschwindigkeit in Metern per Sekunde angegeben.

Diese Angaben erhielt ich, indem ich sie aus den direkt gemachten Beobachtungen reduzierte und zwar 1:0) aus dem Schiffskurs nach dem Kompass, d. h. magnetisch richtig zeigend, 2:0) aus der scheinbaren Windrichtung,² ausgedrückt in dem Winkel, den der Wimpel des Besanmastes mit der Längsrichtung des Schiffes bildete (zeigt die Wimpelzunge nach hinten, so rechnet man den Winkel = 0°, zeigt sie nach vorn, so ist der Winkel = 180° Steuerbord oder Backbord), 3:0) aus der Schiffsgeschwindigkeit in Knoten und 4:0) aus der scheinbaren Windgeschwindigkeit. Letztere wurde vor der Landung bei Snow-Hill mittels eines Handanemometers in

¹ Dasselbe Häuschen wurde später bei Snow-Hill benutzt.

² Eine ebenso gute Methode zur Feststellung der scheinbaren Windrichtung, wie die mit dem Wimpel, deren Anwendung in dunkeln Nächten, wo man den Wimpel schwer beobachten kann, auch sehr zu empfehlen ist, besteht darin, dass man, am besten mit geschlossenen Augen, das Gesicht dem Wind zuwendet. Durch Drehen des Kopfes findet man leicht teils mittels des Gefühls, teils undvielleicht am besten vermittelt des Gehörs die Kopfstellung heraus, bei der man das Gesicht direkt gegen den Wind kehrt, d. h. bei der man dieselbe Empfindung rechts wie links hat.

Metern der Sekunde gemessen. Da aber dieses Instrument dann von der Überwinterungsabteilung mitgenommen wurde, wurde die Windstärke späterhin nach der 6-gradigen Skala abgeschätzt.

Um aus diesen Angaben die «magnetische» Windrichtung und die Windgeschwindigkeit zu erhalten, musste ich die in Knoten ausgedrückte Schiffsgeschwindigkeit wie auch die 6-gradige Windstärkeskala in Meter per Sekunde umrechnen.

Dies, das nach beigefügter Tabelle geschah, konnte natürlich nur approximative Zahlen ergeben, und darum sind auch die in den Tabellen aufgeführten Windrichtungen und Windgeschwindigkeiten nur mit einer dementsprechenden Approximation angegeben.

Knoten	m/s	Stärkegrad	m/s
1	0.5	1	2.5
2	1.0	2	6
3	1.5	3	10
4	2.1	4	15
5	2.6	5	20
6	3.1	6	—
7	3.6	—	—
8	4.1	—	—

Um die gesuchten Grössen, die wirkliche Windrichtung und die wirkliche Windgeschwindigkeit, so bequem als möglich zu erhalten, habe ich mich der graphischen Methode bedient. Der Apparat, den ich hier benutzte, ist von sehr einfacher Konstruktion, aber nichts destoweniger leicht verwendbar und zweckentsprechend.

Ein Kreis wird wie eine Windrose in Striche geteilt. Im Mittelpunkt sind zwei bewegliche Arme befestigt; der eine, A, ist in Abstände eingeteilt, die proportional sind zur Schiffsgeschwindigkeit, ausgedrückt in Knoten, nämlich = 0.5, 1.0, 1.5 . . . cm, der zweite, B, ist in Abstände eingeteilt, die proportional sind zu den in der 6-gradigen Skala ausgedrückten Windgeschwindigkeiten, also 2.5, 6, 10, 15 etc. . . . cm, wobei ich also 1 cm einer Geschwindigkeit = 1 m per 1 Sekunde entsprechen liess.

Die Scheibe lässt sich bequem anwenden. 1. Beispiel: Nehmen wir an, bei einer gewissen Gelegenheit sei der Kurs des Schiffes nach dem Kompass SW und seine Geschwindigkeit dem Loge gemäss = 4 Knoten, gleichzeitig zeige der Wimpel 135° Backbord und der Wind werde auf 1 geschätzt. Die Zeiger werden alsdann so eingestellt, wie die Figur angibt, A₁ in der Richtung auf NE, d. h. 180° zum Kurs, und B₁ so, dass es nach rechts mit A₁ einen Winkel von 135° bildet. Verbindet man Punkt 4 auf A₁ mit Punkt 1 auf B₁, so erhält man eine Linie C₁, deren Länge die Windgeschwindig-

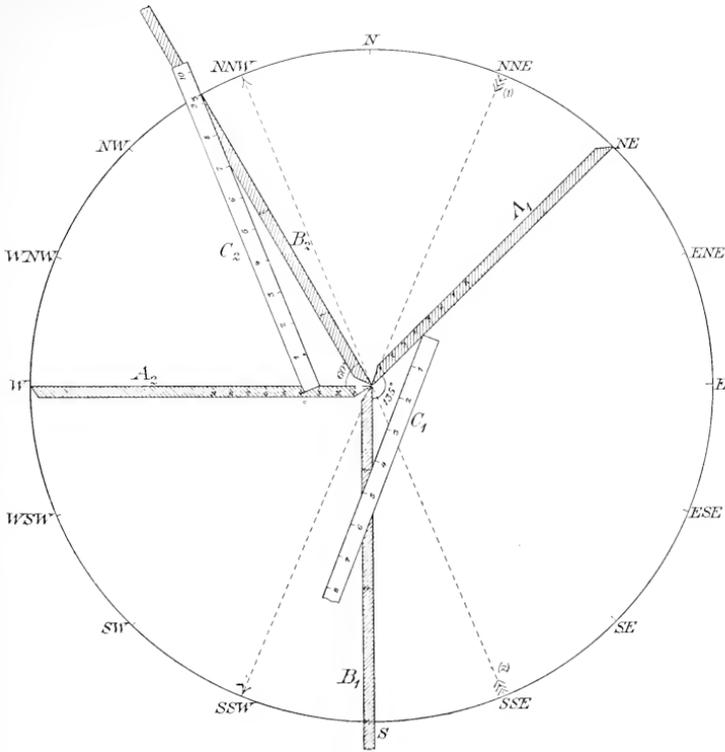


Fig. 1.

Apparat, mit Hilfe dessen sich die wirkliche Windrichtung und Windgeschwindigkeit auf graphischem Wege finden lässt, wenn man den Schiffskurs und die Schiffsgeschwindigkeit sowie die scheinbare Windrichtung und Windgeschwindigkeit kennt.

keit in m/s angibt, und die, wenn sie parallel nach dem Mittelpunkt verschoben wird, direkt die Windrichtung anzeigt und zwar so, dass der Wind vom A_1 -Punkte nach dem B_1 -Punkte hinweht. In unserem Falle war also der Wind NNE mit einer Geschwindigkeit = 4.3 m/s.

2. Beispiel: Das Schiff fährt nach dem Kompass in der Richtung E mit einer Geschwindigkeit = 3 Knoten. (Der Zeiger A_2 wird in der Richtung W eingestellt

und auf ihm ein 3 Knoten entsprechendes Stück d. h. 1,5 cm abgetragen). Wir nehmen ausserdem an, der Wimpel stehe 60° Backbord zur Längsrichtung des Schiffes und die Windstärke werde auf 3 geschätzt. (Der Zeiger B_2 wird 60° rechts von A_2 eingestellt und auf B_2 ein Stück = 10 cm, die Windgeschwindigkeit 3, abgeschnitten). Der Abstand zwischen den Punkten auf A_2 und auf B_2 beträgt, mit einem Lineal gemessen, 9,2 cm. Die parallele Verschiebung des Lineals ergibt die Windrichtung = SSE.

Nachdem ich mit Hülfe dieser graphischen Methode eine unkorrigierte, «magnetische» Windrichtung erhalten hatte, brachte ich bei diesen Windrichtungen die Korrektion an, die von der Deklination für die verschiedenen Positionen bedingt ist.

Dass man bei den approximativen Zahlen für die Schiffsgeschwindigkeit und die abgeschätzte Windstärke die angeführten Windgeschwindigkeiten nicht als Präzisionsdaten auffassen darf, ist selbstverständlich.*

So lange man sich zur See noch damit begnügt, die Windgeschwindigkeit abzuschätzen, statt sie mit einem Anemometer oder einem andern objektiven Instrument zu messen, kann man ja nicht die Genauigkeit bei den Zahlenresultaten erhalten, die man von erstklassigen Landbeobachtungen fordert.

Was die drei letzten Kolonnen, Bewölkung, Wolkenarten und Hydrometeore, angeht, so lässt sich von ihnen nichts anders sagen, als dass sie nach den üblichen Methoden aufgestellt sind. Die Bewölkung ist in der Skala 0—10 angegeben; die Wolkenarten sind nach dem internationalen Wolkenatlas beurteilt und was die Hydrometeore betrifft, so bezeichnet in üblicher Weise ● : Regen, ✕ : Schnee, ≡ : Nebel etc., doch so, dass ✕ nicht nur fallenden Schnee, sondern auch treibenden Schnee, also die Modifikation umfasst, die im ersten Teil mit † bezeichnet wird.

Ausser diesen täglich direkt abgelesenen Beobachtungen um 7 a. m., 2 p. m., 9 p. m. und 0 G.M.Z., die in der ersten Tabelle vorliegen, folgt eine Tabelle II., welche die Veränderungen des Luftdrucks angibt, so wie sie von dem in der Offiziersmesse aufgehängten Barographen abgelesen, wie oben erwähnt berechnet und in völliger Uebereinstimmung mit der entsprechenden Tabelle I. in Bd. II. L. 2 aufgestellt worden sind.

II. Meteorologie der Paulet-Insel.

Am 12. Februar 1902 musste die «Antarctic» infolge des Lecks, das sie durch den Druck des Eises erhalten hatte, verlassen werden. 16 Tage lang arbeitete ihre Besetzung, um sich über das Treibeis nach dem nächsten Land, der Paulet-Insel, zu retten.

* Die Zeit 3. Dezember 1901—7. Februar 1902 ergibt genauere Werte, da wir in dieser Zeit die scheinbare Windgeschwindigkeit mit dem Anemometer gemessen haben.

Die Paulet-Insel ist ein erloschener und teilweise zerstörter Vulkankrater; sie liegt auf 63° 35' südl. Breite und 55° 50' westl. Länge. Nach E—SE—S—SW hat man freie Aussicht auf das Weddelmeer; im NE—N liegt in einer Entfernung von ungefähr 5 km die Dundee-Insel, die sich in nordwestlicher Richtung erstreckt; im NW—W—WSW liegt das Ludwig Philipp-Land mit der Vega-Insel, der Ross-Insel und Snow-Hill; aber keine dieser Landstrecken liegt näher als 50 km.

Auf der nördlichen Seite dieser Paulet-Insel liess sich nun das Personal der «Antarctic» nieder. K. A. Andersson und Skottsberg, die sich ja, nachdem Duse das Schiff verlassen hatte, in die meteorologische Arbeit geteilt hatten, retteten die Journale, die sämtliche an Bord der «Antarctic» gemachten meteorologischen Beobachtungen enthielten. Dagegen liessen es die Umstände nicht zu, ausser einem Aneroid und einem Thermometer noch andere meteorologische Instrumente mitzunehmen.

Wohl ans Land gekommen, war es für alle natürlich die erste Aufgabe, sich ein Dach über dem Haupte und Essen für den kommenden Winter zu verschaffen. Diese Arbeit nahm im März die Zeit so sehr in Anspruch, dass von geordneten Wetterbeobachtungen keine Rede sein konnte. Allerdings wurden diese wissenschaftlichen Arbeiten nicht ganz aus den Augen gelassen und anfangs April begann man im allgemeinen wieder mit regelmässigen Beobachtungen zu drei bestimmten Stunden am Tage, nämlich 1:0) um 8 Uhr morgens, im Juni und in der ersten Hälfte des Juli jedoch um 9 Uhr, 2:0) um 2 Uhr nachm. und schliesslich 3:0) einmal in der Dämmerung, welche letztere Stunde sich jedoch von Monat zu Monat je nach der Zeit des Sonnenuntergangs verschob.

Von der Paulet-Insel enthält das meteorologische Journal Beobachtungen über Luftdruck, Lufttemperatur, Zimmertemperatur, Windrichtung und Windstärke sowie über Bewölkung und Hydrometeore.

In der folgenden Tabelle III lege ich eine Bearbeitung dieser Beobachtungen vor.

Schon auf den ersten Blick merkt man, dass sie keine Kolumne für Luftdruck enthält. Der Barometer, den man auf der Fahrt übers Eis mitgenommen hatte, war nur ein Aneroidbarometer, der vor der Debarkierung nicht einmal durch Vergleichung mit dem Marinebarometer kontrolliert worden war. Ich hielt es deshalb nicht für angebracht, die Zahlen zu notieren, die mit Hilfe dieses Instruments zu den gewöhnlichen Beobachtungsstunden bis zum 26. Juli* abgelesen wurden. Es könnte sich ja doch nur um besonders grobe Approximationswerte handeln, und für solche stehen ja die Tabellen von dem nicht so sehr entfernten (110 km) Snow-Hill zur Verfügung.

In der ersten Tabelle steht die Windrichtung und die damit zusammenhängende Windgeschwindigkeit. Die Windrichtung ist astronomisch richtig zeigend angegeben

* An diesen Tage hörten die Ablesungen des Aneroids auf, weil nunmehr dies Instrument für definitiv unbrauchbar angesehen wurde.

und mit derselben Einteilung der Windrose in 16 Teile, die vorher in dieser Arbeit angewandt worden ist. Norden und Süden wurden mit Hilfe der Sonne bestimmt, alsdann wurde die Windrichtung mit Rücksicht auf den Ursprung des Windes in der umgebenden Landschaftskontur abgeschätzt, also ohne jedwede Anwendung einer Wetterfahne.

Was die Windgeschwindigkeit betrifft, so wurde dieselbe wie an Bord der «Antarctic» nach der 6-gradigen Skala abgeschätzt, ich habe sie jedoch unter Benutzung des oben erwähnten Systems auf Meter per Sekunde reduziert, um auf diese Weise eine Homogenität in den Geschwindigkeitseinheiten zu erhalten, wodurch die Gelegenheit zu Vergleichen erleichtert wird.

Die Temperatur wurde an einem Thermometer abgelesen, der vor und nach dem Aufenthalt auf der Paulet-Insel Kontrollbestimmungen unterworfen wurde. Ein Thermometerhäuschen stand nicht zur Verfügung, sondern die Temperaturablesung wurde an einem schattigem Platz bewerkstelligt. Ich glaubte, es wäre von einem gewissen, wenn auch nur physiologischen Interesse, auch die Temperatur anzugeben, die in der Steinhütte herrschte, in der diese Männer die langen Wintermonate verbrachten, und ist diese Temperatur bis zur letzten Hälfte des Juli incl. notiert worden.

Die Bewölkung ist im Journal nicht so wie in diesen Tabellen angezeichnet, ich habe sie jedoch zu Zahlenwerten reduziert, um auf diese Weise einen greifbareren Vergleich mit andern Stellen zu erhalten. Die Beziehung zwischen den Ausdrücken des Tagebuches und der Bewölkung nach der Skala 0—10 geht aus folgender kleinen Tabelle hervor:

Im Journal:	In Tabelle III:
Klar	= 0
Beinahe klar	= 3
Halbklar, halbbedeckt	= 5
Fast bedeckt	= 7
Bedeckt	= 10

Nach der Bewölkung kommt dann die letzte Tabelle, die die Hydrometeore mit üblicher Bezeichnung enthält.

Schliesslich habe ich zwei Kolonnen eingeschoben, welche Temperatur und Windrichtung, wie sie zu den entsprechenden Zeiten bei Snow-Hill geherrscht haben, angeben, welche Angaben einen guten Vergleich zwischen der Witterung an den beiden Beobachtungsorten gewähren.

Um aus den Observationszahlen, die von der Paulet-Insel vorliegen, Durchschnittszahlen ableiten zu können, trotzdem die Observationen nicht ganz regelmässig

vorgenommen worden sind, habe ich vergleichsweise die Beobachtungen benutzt, die für dieselbe Stunde von Snow-Hill vorliegen.

Mit Rücksicht auf die relativ kurze Entfernung zwischen den beiden Beobachtungs-orten ging ich von der Voraussetzung aus, dass einer Abweichung von dem Normalen an dem einen Orte eine ähnliche Abweichung vom Normalen auch an dem andern Ort entspreche.

So habe ich, um z. B. die mittlere Lufttemperatur auf der Paulet-Insel für April 1903 zu erhalten, das arithmetische Mittel der Lufttemperatur des April genommen, jedoch nur unter Benutzung der drei gewöhnlichen Beobachtungen am Morgen, Mittag und Abend.

Auf diese Weise erhalte ich für April 1903 die unkorrigierte mittlere Temperatur = $-10,82^{\circ}$. Um die wahrscheinliche Korrektion zu finden, die zur Erlangung der richtigen mittleren Temperatur angebracht werden muss, nahm ich das arithmetische Mittel der Lufttemperaturen bei Snow-Hill für ebendieselben Beobachtungsstunden wie auf der Paulet-Insel und erhielt so die Temperatur = $-13,81^{\circ}$. Die richtige mittlere Temperatur für Snow-Hill ist jedoch = $-14,24^{\circ}$. Aus den gegebenen Beobachtungsstunden habe ich also für Snow-Hill eine Temperatur erhalten, zu der man eine Korrektion = $-0,43^{\circ}$ anbringen muss. Wendet man dieselbe Korrektion für den Paulet-Wert an, kommt man also zu dem Resultat, dass die mittlere Temperatur auf der Paulet-Insel für den Monat April 1903 = $-11,25^{\circ}$ angesetzt werden muss.

Eine ähnliche Methode habe ich angewandt, wenn es sich um Windgeschwindigkeit und Bewölkung handelte, aber mit dem Unterschiede, dass ich hier von der Annahme ausging, dass das *Verhältnis*, nicht der *Unterschied*, zwischen einem unkorrigierten und einem richtigen Werte auf der Paulet-Insel dasselbe sein müsse wie bei Snow-Hill.

Am richtigsten wäre es vielleicht gewesen, eine solche Methode auch da anzuwenden, wo es sich um die Temperatur handelte, indem man hierbei mit den Verhältnissen zwischen den *absoluten* Temperaturen rechnete. Diese Methode ergibt jedoch fast dieselben Werte wie die von mir angewandte d. h. die durch Rechnen mit gleichen Differenzen, möglicherweise mit einem Unterschied von einigen Hundertstel Grad, was ja aber belanglos ist, da ich die Temperatur nicht genauer als auf zehntel Grad angebe.

Die Zahlenresultate dieser Berechnungen liegen in den Tabellen A und B vor. In Tabelle A habe ich für Snow-Hill in der ersten Abteilung «Nicht korrigierte» die mittleren Werte angegeben, die man dadurch erhält, dass man aus den Tabellen von Snow-Hill die Beobachtungen verwendet, die auf den Glockenschlag den Pauletbeobachtungen entsprechen. Die zweite Abteilung der Tabelle A gibt die richtigen mittleren Werte für Snow-Hill an.

TAB. A. Snow-Hill.

1903.	Nicht korrigierte			Richtige Durchschnittswerte		
	Windgeschw.	Temperatur	Bewölkung	Windgeschw.	Temperatur	Bewölkung
	April	7,98	— 13,81	7,1	8,44	— 14,24
Mai	6,62	— 19,07	6,7	6,48	— 19,39	6,3
Juni	6,62	— 22,06	6,3	6,24	— 21,32	5,9
Juli	8,25	— 16,84	6,3	8,42	— 17,27	6,2
August	8,82	— 16,01	6,6	8,98	— 15,84	6,0
September	8,23	— 16,94	7,5	7,65	— 17,04	7,4
Oktober	6,67	— 6,29	7,5	6,61	— 6,36	7,1

Tabelle B enthält die entsprechenden Daten von der Paulet-Insel, also die erste Abteilung das arithmetische Mittel der faktischen Observationen, die zweite Abteilung die korrigierten, d. h. wahrscheinlichen mittleren Werte für die Paulet-Insel, für den Punkt, auf dem die Beobachtungsstation lag.

TAB. B. Paulet-Insel.

1903.	Beobachtete Durchschnittswerte			Wahrscheinliche Durchschnittswerte		
	Windgeschw.	Lufttemp.	Bewölkung	Windgeschw.	Lufttemp.	Bewölkung
	April	4,8	— 10,82	7,1	5,1	— 11,3
Mai	4,3	— 14,84	7,2	4,2	— 15,2	6,8
Juni	3,6	— 16,67	6,2	3,4	— 15,9	5,9
Juli	6,7	— 13,19	6,2	6,8	— 13,6	6,1
August	5,2	— 12,60	5,9	5,3	— 12,4	5,4
September	3,4	— 13,49	7,6	3,2	— 13,6	7,5
Oktober	6,5	— 3,19	6,8	6,4	— 3,3	6,4

Ein Blick auf untenstehende Tabelle C, in der ich die Korrektur angegeben habe, die man bei den Snow-Hill-Beobachtungen anbringen muss, um die der Paulet-Insel zu erhalten, gewährt einen direkten Vergleich zwischen der Witterung an den beiden Orten in den verschiedenen Observationsmonaten.

Die Windgeschwindigkeit ist auf der Paulet-Insel auffallend bedeutend niedriger als auf Snow-Hill, und dies scheint durchgehends für sämtliche Monate der Fall zu sein.

Seine Erklärung findet dies hauptsächlich in der Lage des Observationsplatzes d. h. der Steinhütte im Verhältnis zur Umgebung. Die Hütte lag zwar offen für nördliche, nordöstliche und besonders nordwestliche Winde, aber im Süden, Südosten

TAB. C. Die Korrektion, die man bei den Snow-Hill-Zahlen anbringen muss, um die Paulet-Zahlen zu erhalten.

1903.	Windgeschw.	Temperatur	Bewölkung
	April	— 3,5	+ 2,9
Mai	— 2,3	+ 4,2	+ 0,5
Juni	— 2,8	+ 5,4	± 0,0
Juli	— 1,6	+ 3,7	— 0,1
August	— 3,7	+ 3,4	— 0,6
September	— 4,5	+ 3,4	+ 0,1
Oktober	— 0,2	+ 3,1	— 0,7

und Südwesten erhob sich das Terrain in Plateaus zu einer Mauer, die vor den schweren Südwestwinden recht beträchtlichen Schutz gewährte. Ausserdem errichtete man natürlich die Hütte an dem geschütztesten Platze, den man in diesem Terrain fand.

Dass der Schutz jedoch nicht vollständig effektiv war, geht aus einer Schilderung hervor, die Skottsberg von diesem Platze entwirft. An einer Stelle sagt er: «Mit südlichen Winden kommt die Kälte; knallend wie Kanonenschüsse schlagen die Sturm böen gegen die Bergwände. In unserer Hütte flackern die Lampen, und das Dach läuft jeden Augenblick Gefahr abgehoben zu werden». Und an einer andern Stelle heisst es: «An Schlaf war in dieser Nacht nicht zu denken, wir warteten nur auf den Moment, wo das Dach auf und davon fliegen würde. Merkwürdigerweise hat es gehalten. Als wir aber am nächsten Morgen hinaussahen, war das Kuchendach spurlos verschwunden».

Also auch die Bewohner der Steinhütte auf der Paulet-Insel hatten unter diesen schweren SW-Orkanen zu leiden, die in so prägnanter Weise dem Wetter auf Snow-Hill sein Gepräge gaben, wenn auch der Schutz der Bergwand diese Orkane für die Leute auf der Paulet-Insel wohl einigermassen gemildert hat.

Beim Vergleich zwischen den Windgeschwindigkeiten an den beiden Plätzen für die verschiedenen Monate zeigt sich scheinbar die grösste Unregelmässigkeit, das eine Mal, z. B. für Oktober ist die Paulet-Ziffer (= 6.4 m/s) nur 0.2 m/s niedriger als die Snow-Hillziffer, das andere Mal, z. B. im September, dem unmittelbar vorhergehenden Monat, beträgt der Unterschied zwischen den mittleren Geschwindigkeiten nicht weniger als 4.5 m/s (Paulet-Insel = 3.2 m/s; Snow-Hill = 7.7 m/s).

Der grössere oder kleinere Unterschied zwischen der Paulet-Ziffer und dem Snow-Hillwerte scheint keinen Zusammenhang mit den Jahreszeiten zu haben, ebensowenig scheint er auf der Höhe der mittleren Windstärke bei Snow-Hill zu beruhen. Die zwei Snow-Hill-Monate Juli und September, die beide eine mittlere Windgeschwindig-

keit = 8.2 m/s haben, müssen, um die Paulet-Zahlen zu ergeben, der eine um 4.5 m/s, also der maximalen Verminderung, der andere um 1,6 m/s, der beinahe geringsten Verminderung verringert werden. Die Erklärung liegt jedoch nahe bei der Hand und ist gerade in der relativ geschützten oder wenigstens gemilderten Lage der Paulethütte gegenüber den Winden vom SW-Quadranten zu suchen.

Die Erfahrung von Snow-Hill lehrt ja, dass die SW-Winde die unvergleichlich schnellsten sind. Kommt nun ein Monat mit grosser Frequenz von SW-Winden, so ist es ganz selbstverständlich, dass für einen solchen Monat die Windgeschwindigkeit auf der Paulet-Insel einen besonders auffallend verminderten Wert aufweist, vor allem wenn gleichzeitig die Winde vom NE-Quadranten, für die beide Stationen offen lagen, in relativ geringem Prozent vorhanden sind. Und umgekehrt.

TAB. D. **Snow-Hill.**

SW- und NE-Winde in %.

1903.	S—WSW	N—ENE	Windstille
April	56 %	11 %	20 %
Mai	45 »	17 »	28 »
Juni	52 »	13 »	30 »
Juli	48 »	22 »	20 »
August	56 »	18 »	15 »
September	51 »	17 »	21 »
Oktober	36 »	35 »	18 »

Von den Snow-Hillobservationen zeige ich in Tabelle D die Frequenz der SW- und NE-Winde für die verschiedenen Monate in %. August mit 56 % der ersteren und 18 % der letzteren gehört zu den Monaten, von denen man einen grossen Unterschied in der Windgeschwindigkeit erwarten muss. So ist es auch der Fall, derselbe ist nicht geringer als 3,7 m/s (Snow-Hill = 9,0 m/s, Paulet-Insel = 5,3 m/s). Oktober mit nur 36 % SW-Winden und bis zu 35 % NE-Winden muss einen relativ geringen Unterschied ergeben, was auch wirklich der Fall ist.

Der geringe Unterschied gerade für Oktober zeigt uns, dass *die Umgebung der Paulet-Insel* — insoweit sie nicht vor einem bestimmten Wind geschützt liegt —, auch wenn die Tabellen eine schwächere Windgeschwindigkeit angeben, dennoch *aller Wahrscheinlichkeit nach von Winden heimgesucht wird, deren mittlere Geschwindigkeit ebenso gross ist wie die der Snow-Hill-Winde.*

Auch die Bewölkung ist auf den beiden Observations-Stationen annähernd dieselbe.

Bevor ich zur Diskussion der Lufttemperaturfrage übergehe, will ich betreffs der Windrichtung in diesen Gegenden noch auf etwas hinweisen.

In Bd. II, Lief. 2 dieser Arbeit, die die Snow-Hill-Beobachtungen behandelt, habe ich als Erklärung für das seltene Vorkommen der NW-Winde die Konfiguration der Snow-Hill-Lokalität angeführt, die eine Ablenkung der NW-Winde verursachte, sodass sie bei der Station als zu den Winden des NE-Quadranten gehörig notiert wurden. Auf der Paulet-Insel gab es keine die NW-Winde ablenkende Terrainbildung, und dies hat auch zur Folge, dass dort die W—NW-Winde sogar sehr zahlreich vertreten sind und für die verschiedenen Monate zwischen 12 % und 50 % variieren.

Eine nähere Untersuchung zeigt auch, dass zu den Zeiten, wo auf der Paulet-Insel unausgesetzt NW-Winde herrschten, bei Snow-Hill sehr häufig N—NE-Winde, zuweilen SE und Var. notiert wurden, obwohl im übrigen die Wettertypen an den beiden Orten gleicher Art waren.

Auf der Paulet-Insel erhalten wir also nicht die beiden Windarten SW und NE wie bei Snow-Hill, sondern SW und als seine Gegenteil NW.

Ich komme nun zu einer Vergleichung der Temperaturen an beiden Orten. Wie es sich infolge der Lage der Paulet-Insel am offenen Meere erwarten lässt, erhält man hier eine klar und deutlich markierte höhere Durchschnittstemperatur als bei Snow-Hill. In diesem Falle ist der Unterschied offenbar eine Funktion der Jahreszeit. Snow-Hill mit seinem mehr kontinentalen Klima und seiner deshalb grösseren Temperatur-Amplitude hat im Juni eine mittlere Temperatur, die nicht weniger als $5,4^{\circ}$ niedriger ist als die der Paulet-Insel (Snow-Hill = $-21,3^{\circ}$, Paulet = $-15,9^{\circ}$). Im Frühjahr und Herbst ist der Temperaturunterschied geringer, und im Sommer nähern sich wohl, wie man zu glauben allen Anlass hat, die Durchschnittstemperaturen der beiden Orte immer mehr und fallen beinahe zusammen.

Je niedriger die Snow-Hill-Temperatur ist, desto grösser ist ihr Unterschied von der Paulet-Temperatur; je mehr sich die Snow-Hill-Temperatur 0° nähert, desto geringer wird auch dieser Unterschied, denn dann hält sich auch die Witterung auf der Paulet-Insel um 0° herum.

Bei der Diskussion über die Windverhältnisse und die Bewölkung auf der Paulet-Insel sah ich mich zu der Vermutung veranlasst, dass man in dieser Hinsicht für die Paulet-Insel die Durchschnittswerte von Snow-Hill anwenden kann.

Wie verhält es sich nun, wenn es sich um die Durchschnittstemperaturen von der Paulet-Insel handelt? Können auch in diesem Falle die Abweichungen von den Snow-Hill-Temperaturen ebenso wie die Unterschiede in den Windgeschwindigkeiten ihre Erklärung in einer Landkonfiguration finden? Nein! Wenn auch die SW-Winde von der hohen Bergwand etwas gemildert werden, kann sie doch nirgends einen solchen Einfluss haben, dass die Temperatur von ihr wesentlich durch irgend ein Föhnphänomen zum Steigen gebracht wird.

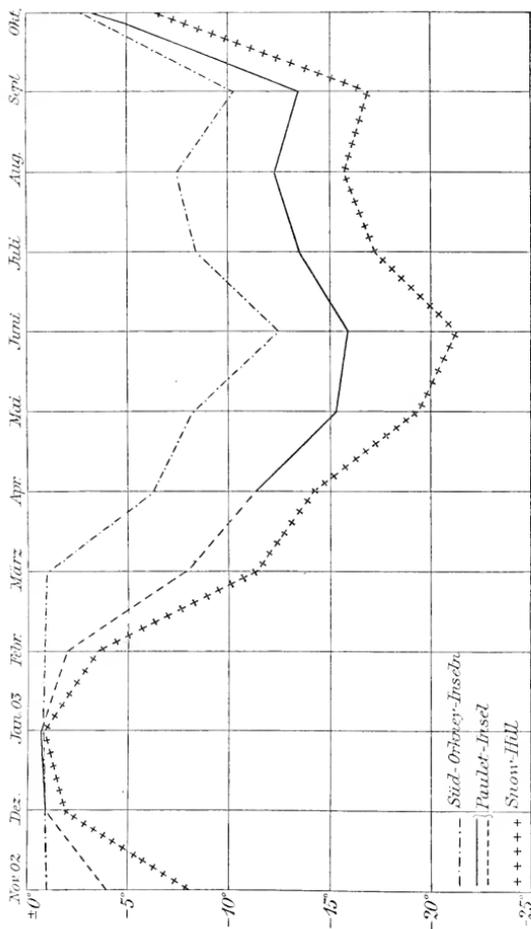


Fig. 2.

Gang der Temperatur in der Zeit Nov. 1902—Okt. 1903 für die Stationen Süd-Orkney-Inseln, Paullet-Insel und Ston-Hill.

Die Erklärung für die höhere mittlere Temperatur der Paulet-Insel liegt meiner Ansicht nach ziemlich nahe und ist, wie oben erwähnt, darin zu suchen, dass diese Insel relativ nahe am stets offenen Meere liegt.

Gibt es da eine Möglichkeit, eine wenigstens einigermaßen wahrscheinliche Jahresdurchschnittstemperatur für diese Insel zu bestimmen?

Zu unserer Verfügung haben wir von 12 Monaten 7 Observationsmonate. Januar 1903 befand sich jedoch die «Antarctic» die ganze Zeit so nahe der Paulet-Insel, dass die Zahlen der «Antarctic» für diesen Monat eine Durchschnittsziffer ergeben, die man ohne Zögern als für die Paulet-Insel gültig annehmen kann. Im Dezember 1902 kreuzte das Schiff ausschliesslich in den antarktischen Gegenden ungefähr auf demselben Breitengrad.

Indem ich auf die in diesen Monaten gemachten Schiffsobservationen (Tab. I) dieselbe Methode anwandte, die ich bei den Paulet-Beobachtungen in Anwendung gebracht habe, erhielt ich als mittlere Temperatur für Dezember 1902 = -1.0° und für Januar 1903 = -0.80° , welche Temperaturen ich daher auch für die Paulet-Insel als recht wahrscheinlich betrachten möchte.

Es bleibt uns daher nun noch übrig, für die Monate November, Februar und März approximative Werte zu finden. Zu ihrer Auffindung habe ich mich der graphischen Methode bedient.

In Figur 2 habe ich für die Zeit, November 1902—Oktober 1903 die Durchschnittstemperaturen sowohl für Snow-Hill wie für die Paulet-Insel und auch für die Süd-Orkney-Inseln* eingetragen.

Die Linien, welche die verschiedenen Punkte verbinden, verlaufen, wie man ja erwarten kann, in ähnlicher Weise für alle drei Orte, so lange es sich um die Wintermonate handelt. Im Sommer, Dezember—Februar, haben die Süd-Orkney-Inseln natürlich eine durchgängig gleiche Temperatur von ungefähr -0.8° . Für die für Paulet fehlenden Monate habe ich Temperaturen interpoliert, die ich für recht wahrscheinlich halte. Zweifel könnten möglicherweise hinsichtlich der Märztemperatur gehegt werden, die ich auf -8° abgeschätzt habe; sie entfernt sich vielleicht zu weit von dem für die Süd-Orkney-Inseln gefundenen Werte. Der Grund, warum ich sie so niedrig angesetzt habe, liegt einerseits darin, dass sich die Kurve der Paulet-Insel näher an die von Snow-Hill als an die der Süd-Orkney-Inseln anschliessen muss, dann aber auch in dem Faktum, dass die beiden vorliegenden Temperaturbeobachtungen² für den 7. und 15. März zeigen, dass schon damals sich auf der Paulet-Insel dieselbe Kälte fühlbar machte wie auf Snow-Hill.

Die Serie von Monatsmitteln, die ich auf diese Weise erhielt, habe ich in Tabelle E aufgestellt. Als Durchschnittszahl dieser Jahresserie finde ich für die Paulet-Insel -8.42° und für Snow-Hill -11.45° .

* Den «Scientific Results of the Scotia» entnommen.

² Siehe Tab. III. S. 106.

Als wahrscheinliche Jahrestemperatur für Snow-Hill habe ich aus den dort vorgenommenen Beobachtungen vorher den Wert $-11,81^{\circ}$ gefunden, *daher würde die mittlere Temperatur für die Paulet-Insel = $-8,8^{\circ}$ sein.*

Paulet-Insel hätte also eine 3° wärmere Temperatur als Snow-Hill. Dieser Unterschied ist bedeutend grösser, als man erwarten sollte, da ja die beiden Stationen nur 110 km von einander entfernt sind und ihr Breitenunterschied weniger als 1° beträgt.

TAB. E. **Mittlere Temperaturen.**

	Paulet-Insel	Snow-Hill	Süd-Orkney-Inseln
November 1902	(- 4,0)	- 8,10	- 1,0
Dezember »	- 1,0	- 2,01	- 1,0
Januar 1903	- 0,9	- 0,87	- 0,9
Februar »	(- 2,0)	- 3,55	- 0,9
März »	(- 8,0)	- 11,42	- 1,0
April »	- 11,3	- 14,24	- 6,3
Mai »	- 15,2	- 19,39	- 8,3
Juni »	- 15,9	- 21,32	- 12,5
Juli »	- 13,6	- 17,27	- 8,4
August »	- 12,4	- 15,84	- 7,3
September »	- 13,6	- 17,04	- 10,3
Oktober »	- 3,3	- 6,36	- 2,8
Mittlere Temperatur November 1902—Oktober 1903	- 8,42	- 11,45	- 5,05

Schliesslich habe ich in Tabelle F die Frequenz von Regen, Schnee und Nebel auf der Paulet-Insel zusammengestellt.

TAB. F. **Hydrometeore.**

Paulet-Insel.

1903.	●	* (und †)	≡
April	1	10	6
Mai	1	12	15
Juni	0	5	11
Juli	0	10	10
August	0	6	9
September	0	11	16
Oktober	0	7	13

Für diese Tabelle will ich noch einmal darauf hinweisen, dass man auf der Paulet-Insel keinen Unterschied machte zwischen fallendem Schnee ✕ und treibendem Schnee †, wie wir es auf Snow-Hill getan haben, sondern sie beide unter gemeinsamer Bezeichnung eingeführt hat.

In diesem Zusammenhang einen Vergleich betreffs derselben mit Snow-Hill zu ziehen, hielt ich nicht für angebracht.

In einem letzten Teil dieser Arbeit finde ich vielleicht Veranlassung zu einer weiteren Besprechung der Pauletobservations im Zusammenhange mit den Snow-Hill-Resultaten und zwar besonders mit Rücksicht auf die Gleichzeitigkeit der verschiedenen Wettertypen an den verschiedenen Orten.

TAB I.

TÄGLICHE BEOBACHTUNGEN
AN BORD DER "ANTARCTIC"

3. DEZ. 1901—11. FEBR. 1903

Dezember 1901

An Bord der

Datum.	Zeit.	Latitude. S.	Longitude. W.	Luftdruck.	Trockenes Thermometer.	Maximum- Temperatur.	Minimum- Temperatur.	Feuchtes Thermometer.	Wind- Richtung.	Wind- Geschwindigkeit Kil.	Wind- Richtung.	Bewölkung.	Wolken-Formen.	Hydro- meteore.	
Dez. 3	7 a.	18°30'	35°25'	mm.	+ 26.2	+ 28.2	+ 25.5	+ 23.3	NE	m/s 7.6		4	Ci-S, Cu, Cu-N		
	o G.			762.3	+ 26.4		+ 23.5	—	—	—	—	—			—
	2 p.			62.6	+ 26.3		+ 23.6	N	4.8	7					
	9 p.			63.1	+ 26.3		+ 23.8	NE	5.4	—					
Dez. 4	7 a.	20°10'	36°56'	63.4	+ 26.1	+ 28.3	+ 25.4	+ 23.6	NE	5.7		8	Ci, Ci-S, Ci-Cu, Cu-N		
	o G.			63.7	+ 26.5		+ 23.8	NE	6.5	4					
	2 p.			62.7	+ 25.9		+ 23.2	NE	6.5	2					
	9 p.			62.3											
Dez. 5	7 a.	21°42'	38°32'	62.0	+ 25.8	+ 27.9	+ 24.6	+ 23.6	NE	5.4		8	Ci, Cu, S Ci-Cu, Ci, S Ci-S, Ci-Cu		
	o G.			62.1	+ 25.9		+ 23.6	NE	6.0	4					
	2 p.			61.2	+ 25.4		+ 23.4	NE	6.2	2					
	9 p.			60.3	+ 24.6		+ 23.5	NE	8.2	1					
Dez. 6	7 a.	23°47'	40°39'	59.0	+ 24.5	+ 24.7	+ 24.2	+ 22.8	N	10.8		9	A-Cu S		
	o G.			59.3	+ 24.4		+ 24.3	N	10.8	10					
	2 p.			59.6	+ 24.3		+ 22.8	N	2.8	10					
	9 p.			61.4	+ 21.9		+ 21.0	SSE	6.0	10					
Dez. 7	7 a.	24°51'	42°01'	62.3	+ 20.6	+ 24.7	+ 19.8	+ 19.3	SSW	7.5		10			
	o G.			62.4	+ 20.4		+ 19.1	S	3.5	10					
	2 p.			62.9	+ 20.4		+ 19.2	S	5.2	10					
	9 p.			63.8	+ 21.4		+ 19.2	SE	4.2	10					
Dez. 8	7 a.	26°06'	43°59'	63.5	+ 21.7	+ 21.5	+ 20.4	+ 20.3	SE	4.0		7	Cu-N, S Cu-N, N, S Cu-N, S		
	o G.			64.0	+ 21.2		+ 20.5	SE	7.5	4					
	2 p.			64.2	+ 21.5		+ 19.4	SSE	4.5	8					
	9 p.			64.1	+ 21.5		+ 19.4	SE	3.0	3					
Dez. 9	7 a.	27°48'	45°52'	64.3	+ 22.2	+ 22.6	+ 21.2	+ 19.3	ESE	1.2		3	S A-Cu, S A-Cu N		
	o G.			64.4	+ 22.6		+ 19.2	ESE	2.0	7					
	2 p.			63.9	+ 22.2		+ 19.6	ESE	2.2	3					
	9 p.			65.2	+ 22.1		+ 21.3	SE	6.8	9					
Dez. 10	7 a.	29°27'	47°18'	62.4	+ 22.9	+ 23.2	+ 22.4	+ 22.2	NE	6.0		9	F-N Cu, Cu-N, N, S		
	o G.			62.4	+ 22.1		+ 21.5	N	4.0	9					
	2 p.			61.0	+ 24.4		+ 22.0	N	5.0	1					
	9 p.			59.4	+ 22.8		+ 22.4	NNE	6.0	—					
Dez. 11	7 a.	31°28'	49°20'	57.9	+ 22.9	+ 24.3	+ 22.1	+ 21.8	NE	6.0		1	N		
	o G.			57.6	+ 23.3		+ 22.2	NE	6.0	0					
	2 p.			56.0	+ 22.7		+ 22.2	NNE	4.0	3					
	9 p.			56.4	+ 22.0		+ 21.8	ESE	3.0	9					
Dez. 12	7 a.	32°51'	50°51'	56.2	+ 20.6	+ 24.1	+ 16.0	+ 20.1	SSW	6.5		3	Ci, Cu-N, S Ci-S, Cu-N Ci-S, Cu-N, S		
	o G.			56.2	+ 20.6		+ 19.6	S	8.0	3					
	2 p.			57.2	+ 19.6		+ 18.4	S	8.0	5					
	9 p.			59.3	+ 18.7		+ 16.6	S	7.5	—					
Dez. 13	7 a.	35°42'	52°25'	61.2	+ 17.8	+ 24.0	—	+ 15.0	SSE	6.0		1	Cu-N Cu-N Cu		
	o G.			61.5	+ 17.9		+ 15.9	S	7.5	1					
	2 p.			62.4	+ 17.0		+ 14.8	SSW	6.0	1					
	9 p.			62.7	+ 16.0		+ 13.9	SW	0.5	1					

»Antarctic«.

Dezember 1901

Datum.	Zeit.	Latitude. S.	Longitude. W.	Luft- druck.	Trockenes Thermometer.	Maximum- Temperatur.	Minimum- Temperatur.	Feuchtes Thermometer.	Recht- Wind- Richtung.	Wind- Geschwin- dige- keit.	Bewölkung.	Wolken-Formen.	Hydro- metere.
Dez. 14	7 a. o G. 2 p. 9 p.	34°46'	54°11'	mm. 762.2 62.3 62.3 61.2	+ 15.3 + 14.6 + 14.9 + 16.0	+ 17.3	+ 14.2	+ 12.8 + 11.8 + 11.4 + 12.4	SW S SE SE	7.5 7.5 2.5 4.0	8 5 3 3	A-Cu, Cu-N	
Dez. 15	7 a. o G. 2 p. 9 p.	35°03'	55°50'	59.6 59.7 59.4 60.4	+ 17.7 + 18.3 + 22.3 + 21.1	+ 22.4	+ 14.9	+ 14.4 + 15.0 + 18.3 + 18.8	NNW NNW NW SSW	11.0 13.0 5.7 10.5	10 6 6 2	A-Cu, Cu-N, N A-Cu, Cu-N Cu-N	
Dez. 16—23: In Buenos-Aires.													
Dez. 23	2 p. 9 p.	37°28'	56°8'	62.5 63.9	+ 15.1 + 14.9	—	+ 14.1	+ 13.9 + 13.3	— ESE	— 7.0	2 —	N, S	
Dez. 24	7 a. o G. 2 p. 9 p.	39°02'	56°22'	65.5 65.6 65.5 65.8	+ 14.3 + 14.8 + 15.3 + 14.4	—	—	+ 12.8 + 13.1 + 13.5 + 13.3	N N — NNW	7.0 6.5 — 5.0	4 2 0 0	Cl, Ci-S Ci-S	
Dez. 25	7 a. o G. 2 p. 9 p.	40°57'	56°46'	65.0 65.1 64.6 63.5	+ 13.0 — + 13.7 + 12.8	+ 14.4	+ 11.7	+ 12.0 — + 12.4 + 12.2	N N N N	6.0 8.0 6.5 7.5	0 0 — —	—	
Dez. 26	7 a. o G. 2 p. 9 p.	42°39'	57°10'	62.0 61.6 59.3 56.6	+ 11.2 + 12.7 + 14.0 + 13.7	+ 14.4	+ 10.8	+ 11.0 + 12.0 + 12.8 + 12.9	N N N N	7.0 7.0 8.0 8.8	4 3 8 1	Ci-S, Ci-Cu, S Cl, Ci-S, Ci-Cu Ci-S, A-Cu S	
Dez. 27	7 a. o G. 2 p. 9 p.	45°07'	57°37'	51.4 50.7 49.3 48.0	+ 13.8 + 13.7 + 13.1 + 14.0	+ 14.6	+ 11.2	+ 13.2 + 13.0 + 12.6 + 12.4	N N NW N	6.5 8.0 4.5 6.5	4 4 2 —	Cl, S Ci-S S	
Dez. 28	7 a. o G. 2 p. 9 p.	47°01'	58°07'	45.5 46.4 49.0 50.5	+ 12.2 — + 11.6 + 10.2	+ 14.2	+ 10.2	+ 11.1 — + 10.1 + 9.8	WSW WSW WNW WNW	8.1 7.4 9.5 5.5	5 0 0 —	—	
Dez. 29	7 a. o G. 2 p. 9 p.	49°14'	58°13'	48.8 48.2 43.8 38.8	+ 10.4 + 11.1 + 10.9 + 9.3	+ 12.4	+ 9.7	+ 8.9 + 9.0 + 9.1 + 8.9	NNW NNW N NW	4.5 5.5 9.5 12.0	1 2 9 10	S Ci-Cu, S N, Cu-N, S N	⊙ (▲ 4 p)
Dez. 30	7 a. o G. 2 p. 9 p.	50°39'	58°38'	45.1 45.5 47.1 49.7	+ 7.4 + 7.3 + 9.4 + 8.8	+ 9.4	+ 6.8	+ 7.2 + 7.2 + 8.6 + 8.3	SSW SW NNW ESE	14.0 15.5 8.0 2.5	9 4 8 8	N, S A-Cu, Cu-N, N Cu-N, S N, S	
Dez. 31	7 a. o G. 2 p. 9 p.	Port-Stanley.		50.3 50.0 47.5 44.3	+ 8.8 — — —	—	+ 7.2	+ 7.5 — — —	C — — —	0.0 — — —	8 — — —	Cu-N	

Januar 1902

An Bord der

Datum.	Zeit.	Latitude. S.	Longitude. W.	Luft- druck.	Trockenes Thermometer.	Maximum- Temperatur.	Minimum- Temperatur.	Fenchtes Thermometer.	Wind- Richtung.	Wind- Geschwin- dige- keit.	Bewölkung.	Wolken-Formen.	Hydro- metere.
				mm.						m/s			
Jan. 1	9 p.	Port-Stanley.		739.0	+ 6.4			+ 6.4	S	9.0	10	N	●
Jan. 2	7 a. 0 G. 2 p. 9 p.	52°05'	57°45'	41.0 41.5 43.6 45.6	+ 8.1 + 7.9 + 6.8 + 7.1	—	+ 6.7	+ 7.9 + 7.4 + 6.5 + 6.5	SE E E NE	9.0 11.7 7.5 8.0	10 10 10 10	N N N N	
Jan. 3	7 a. 0 G. 2 p. 9 p.	53°21'	60°45'	47.9 48.2 48.4 48.6	+ 7.7 — + 8.7 + 8.4	+ 9.2	+ 6.8	+ 7.3 — + 8.5 + 8.4	NE NE N NNW	9.0 8.5 6.0 1.5	10 10 7 10	N N A-Cu, N Cu-N, N	
Jan. 4	7 a. 0 G. 2 p. 9 p.	54°16'	62°59'	47.3 47.1 47.5 45.0	+ 7.1 + 7.7 + 7.6 + 8.8	+ 9.2	+ 6.7	+ 7.0 + 7.5 + 6.9 + 8.3	WNW NW WNW W	4.0 5.0 3.0 14.0	9 9 6 3	N, S A-Cu, Cu-N, S Cu-N, S Cu-N, N, S	
Jan. 5	7 a. 0 G. 2 p. 9 p.	54°13'	63°59'	42.8 43.0 46.9 49.3	+ 7.8 + 8.1 + 8.1 + 8.0	+ 8.7	+ 7.3	+ 7.6 + 8.0 + 8.0 + 7.8	WSW W SW SSW	7.0 5.5 14.0 9.5	— — 8 2	Cu-N, S N, S	
Jan. 6	7 a. 0 G. 2 p. 9 p.	54°34'	63°18'	47.8 47.2 43.4 43.0	— — + 8.7 + 7.4	+ 9.1	+ 7.1	— — + 8.2 + 7.2	— — WNW WSW	— — 9.0 6.0	— — 6 10	A-Cu, Cu-N N	
Jan. 7	7 a. 0 G. 2 p. 9 p.	56°20'	61°14'	46.6 46.9 47.3 46.6	— + 6.2 + 6.8 + 6.1	+ 7.1	+ 6.0	— + 6.0 + 6.4 + 6.1	— SW WSW WSW	— 11.0 9.5 4.0	— 9 8 8	A-Cu, S Cu-N, S N	●
Jan. 8	7 a. 0 G. 2 p. 9 p.	57°56'	60°11'	43.4 43.2 41.9 40.8	+ 5.5 + 5.5 + 5.2 + 4.9	+ 6.9	+ 3.8	+ 4.9 + 5.2 + 5.0 + 4.9	N NNE NNW NNW	6.0 6.0 4.0 3.5	— — 3 3	Cl, Cl-Cu, S Cl, A-Cu, S	
Jan. 9	7 a. 0 G. 2 p. 9 p.	59°50'	59°29'	37.2 36.9 36.4 38.3	+ 4.3 + 4.3 + 3.9 + 3.2	+ 5.3	+ 2.7	+ 4.1 + 4.3 + 3.7 + 3.2	NNW NNE NE NW	5.5 5.5 3.0 3.5	2 4 9 10	A-Cu, S Cl, A-Cu, S F-N S	
Jan. 10	7 a. 0 G. 2 p. 9 p.	61°22'	58°30'	41.2 41.4 42.4 43.5	+ 0.6 + 0.7 + 0.9 + 0.2	+ 3.3	+ 0.6	— 0.2 + 0.0 — 0.1 — 1.0	SW W W WSW	5.8 8.0 6.5 2.5	— — 9 9	S-Cu	
Jan. 11	7 a. 0 G. 2 p. 9 p.	62°32'	59°12'	42.3 41.9 40.7 39.4	— + 0.2 + 1.1 —	+ 1.4	— 0.5	— — 0.6 + 1.0 — 1.6	— ESE ENE ENE	— — 12.5 15.5	— 3 10 8	Cl, Cu, S Cu-N, N Cl, N	
Jan. 12	7 a. 0 G. 2 p. 9 p.	63°35'	59°25'	38.4 38.2 39.6 40.9	— 0.3 — 0.3 + 2.8 + 0.8	+ 2.9	— 1.2	— 2.1 — 2.0 + 1.5 — 0.5	ESE ESE W —	10.5 17.5 5.0 —	— — 8 3	Cl, Cl-S, S Cl-S, Cl-Cu	

Antarctic.

Januar 1902.

Datum.	Zeit.	Latitude. S.	Longitude. W.	Luft- druck.	Thermometer. Fockens	Maximum- Temperatur.	Minimum- Temperatur.	Fuchtes Thermometer.	Wind- Richtung.	Wind- Geschwindigkeit. Kelt.	Bewölkung.	Wolken-Formen.	Hydro- metere.
Jan. 13	7 a.	64°32'	62°10'	mm.	+ 1.3	+ 2.8	+ 0.7	+ 1.0	NE	m/8	8	Ci-Cu, N	
	o G.			744.6	+ 1.9			+ 1.4	NE	6.5	9	Ci-Cu, N, S	
	2 p.			44.8	+ 1.0			0.1	NE	4.5	10	N, S	
	9 p.			45.8	+ 0.9			0.4	NNE	4.5	10	N, S	
Jan. 14	7 a.	63°42'	59°04'	46.2	+ 0.1	+ 2.3	- 0.2	- 1.1	S	3.5	10	N	*
	o G.			46.3					S	3.5	10	N	
	2 p.			46.4	+ 1.0			0.2	WSW	4.0	1	S	
	9 p.			47.3	+ 0.5			0.0	W	5.5	1	S	
Jan. 15	7 a.	63°29'	56°18'	50.0	- 1.9	- 0.4	- 2.2	- 2.4	W	3.5	1	S	Ci, S Ci, Ci-S, S
	o G.			50.0	- 2.0			2.1	SW	6.7	1	S	
	2 p.			50.7	- 1.7			1.9	ESE	5.5	3	S	
	9 p.			50.8	- 2.2			5.0	—	—	1	S	
Jan. 16	7 a.	64°17'	56°34'	50.6	- 2.2	+ 3.4	- 2.3	—	—	—	10	N, S	≡
	o G.			50.7	- 2.2			0.6	—	—	10	N, S	
	2 p.			50.6	- 0.6			1.0	NE	9.5	9	Ci, S	
	9 p.			50.9	- 0.8			0.8	E	7.5	10	N	
Jan. 17	7 a.	64°20'	56°42'	51.0	- 0.8	+ 2.1	- 1.8	- 1.2	C	0.0	—		
	o G.			50.9	- 1.0			—	C	0.0	—		
	2 p.			50.0	—			—	—	—	—		
	9 p.			49.3	- 0.6			- 1.1	N	4.2	5	Ci-Cu, S	
Jan. 18	7 a.	65°30'	57°43'	49.4	- 2.0	—	—	- 2.0	W	4.5	10	N, S	* * *
	o G.			49.5	- 1.9			2.1	W	6.5	10	N	
	2 p.			49.5	- 1.0			1.2	SW	4.0	10	N	
	9 p.			49.9	- 0.5			1.1	SW	3.0	10	N	
Jan. 19	7 a.	65°52'	59°47'	50.4	- 1.2	—	—	—	S	3.5	10	N, S	* *
	o G.			50.4	- 0.8			1.2	SSW	4.5	10	N, S	
	2 p.			51.6	—			—	—	—	—		
	9 p.			53.0	- 0.3			- 0.5	NNE	0.7	9	N, S	
Jan. 20	7 a.	65°02'	58°33'	53.2	—	+ 0.9	- 1.2	—	ENE	2.4	—		
	o G.			53.1	- 1.0			2.1	N	1.5	—		
	2 p.			48.7	+ 0.6			0.1	NE	2.0	8	Ci-S, S	
	9 p.			43.0	- 1.0			1.2	C	0.0	9	S	
Jan. 21	7 a.	64°51'	56°10'	36.9	+ 1.0	+ 5.1	- 0.9	+ 0.8	N	5.0	9	S	* * *
	o G.			36.4	+ 0.9			0.0	NNW	4.5	9	S	
	2 p.			36.5	+ 2.9			1.9	NNW	3.0	1	Ci, Ci-S	
	9 p.			37.7	+ 1.4			1.0	NW	2.5	8	A-Cu, S	
Jan. 22	7 a.	65°59'	54°47'	31.7	+ 0.6	- 0.7	- 0.9	+ 0.2	E	4.0	10	N	* * *
	o G.			31.1	+ 0.6			0.3	E	4.0	10	N	
	2 p.			30.9	—			—	S	4.0	10	N	
	9 p.			33.7	- 1.2			1.3	SSW	5.0	—		
Jan. 23	7 a.	65°24'	54°02'	36.2	- 1.1	- 0.8	- 1.1	- 1.3	WSW	8.5	10	N, S	* * *
	o G.			36.5	- 1.1			1.3	SW	9.0	10	N, S	
	2 p.			37.2	- 1.0			1.3	SW	5.0	10	N, S	
	9 p.			39.6	- 1.3			1.6	SSW	6.0	10	N, S	

Januar 1902

An Bord der

Datum.	Zeit.	Latitude. S.	Longitude. W.	Luft- druck.	Trockenes Thermometer.	Maximum- Temperatur.	Minimum- Temperatur.	Feuchtes Thermometer.	Wind- Richtung.	Wind- Geschwindigkeit Knot.	Wind- Bewölkung.	Wolken-Formen.	Hydro- meteore.				
Jan. 24	7 a.	64° 19'	51° 24'	742.1	— 1.3	— 1.2	— 2.1	—	W	m/s	10	N, S	*				
	o G.			42.3	— 1.6			—		SS E				4.2	10 0	N, S	
	2 p.			43.7	— 2.0			— 2.4		S				4.0	10 0	N, S	
	9 p.			44.8	— 2.9			— 2.7		N				5.5	10	N, S	
4.0	— 3.7	—	—	—	4.0	10	—										
Jan. 25	7 a.	64° 58'	50° 34'	46.3	— 3.7	— 1.1	— 3.9	— 4.2	E	1.4	10	S	—				
	o G.			46.5	— 3.7			— 4.2						N	2.3	10 0	S
	2 p.			46.9	— 2.1			— 2.6						ESE	6.0	10	S
	9 p.			46.8	— 1.1			— 1.3						NE	6.5	10	S
—	—	—	—	—	—	—	—	—	—	—	—	—	—				
Jan. 26	7 a.	64° 50'	50° 26'	44.9	— 1.0	— 0.8	— 3.1	— 1.2	E	7.2	10	S	—				
	o G.			44.3	— 1.3			— 1.3						NNE	8.2	10 0	S
	2 p.			41.9	— 2.8			— 3.1						ESE	9.2	10	S
	9 p.			37.8	— 1.9			— 2.5						ESE	10.7	10	S
—	—	—	—	—	—	—	—	—	—	—	—	—					
Jan. 27	7 a.	64° 56'	51° 05'	35.0	— 2.3	— 0.8	— 2.4	—	ESE	8.3	10	S	—				
	o G.			35.0	— 2.1			— 2.9						ESE	13.0	10	S
	2 p.			36.4	— 1.7			— 2.5						SE	9.6	10	S
	9 p.			38.9	— 1.6			— 2.3						SSE	6.7	9	A-Cu, N, S
—	—	—	—	—	—	—	—	—	—	—	—	—					
Jan. 28	7 a.	64° 30'	50° 37'	42.3	— 3.4	— 1.2	— 3.4	— 4.0	SE	7.0	10	S, F-N	—				
	o G.			42.3	— 3.3			— 4.4						SE	5.0	8	S, F-N
	2 p.			42.2	— 1.6			— 2.6						NE	3.5	10	S
	9 p.			39.7	— 1.8			— 3.0						NE	9.0	10	S
—	—	—	—	—	—	—	—	—	—	—	—	—					
Jan. 29	7 a.	64° 02'	49° 00'	34.5	— 1.2	— 0.2	— 1.8	— 1.8	—	—	10	S	—				
	o G.			34.1	— 1.2			— 1.8						—	10	N	
	2 p.			31.0	— 0.6			— 0.6						NE	9.9	10	N, S
	9 p.			29.2	— 0.4			— 0.5						NE	5.9	10	N
—	—	—	—	—	—	—	—	—	—	—	—	—					
Jan. 30	7 a.	63° 53'	48° 56'	28.8	— 0.5	+ 0.2	— 1.1	— 1.8	W	5.5	10	S	—				
	o G.			28.9	— 0.6			— 1.3						WNW	2.5	10	S
	2 p.			31.0	+ 0.1			— 0.8						C	0.0	9	A-Cu, S
	9 p.			34.9	— 1.4			— 1.9						NNE	5.0	10	N, S
—	—	—	—	—	—	—	—	—	—	—	—	—					
Jan. 31	7 a.	63° 49'	46° 28'	32.1	— 2.1	—	—	— 2.7	N	4.0	10	S	—				
	o G.			32.0	— 2.0			— 2.7						NNW	2.7	10	S
	2 p.			30.7	— 0.9			— 1.3						W	4.8	10	N, S
	9 p.			32.8	— 0.9			— 1.0						N	8.0	10	N, S
—	—	—	—	—	—	—	—	—	—	—	—	—					

Jan. 3. Der Wind dreht sich NE-N-NW-W; Abends dichter Nebel, der die Nacht hindurch anhält.
 > 6. 8 a. frischer NW.
 > 7. Der Wind dreht sich nach SW, flaut nachmittags ab.
 > 10. Abends Sturm.
 > 23. Ab und zu Nebel.
 > 25. Starker Wind.
 > 29. Schnee; kalt; der Wind nimmt gegen Nacht zu.

»Antarctic«.

Februar 1902

Datum.	Zeit.	Latitude. S.	Longitude. W.	Luft- druck.	Trockenes Thermometer.	Maximum- Temperatur.	Minimum- Temperatur.	Feuchtes Thermometer.	Feuchtes Thermometer.	Wind- Richtung.	Geschwindigkeit Knot.	Wind- geschwindigkeit m/s.	Bewölkung.	Wolken-Formen.	Hydro- meteore.
Febr. 1	7 a.	63°36'	45°12'	725.6	- 0.3	—	—	- 0.3	N	m/s	1.4	10	10		☉ ☉ ☉ ☉
	o G.			25.4	- 0.3	—	—	- 0.3	N	2.3	10				
	2 p.			25.3	- 0.3	—	—	- 0.3	WNW	3.3	10				
	9 p.			29.6	- 1.1	—	—	- 1.5	WSW	12.9	10				
Febr. 2	7 a.	63°35'	44°24'	34.9	- 0.5	—	—	—	W	4.2	10	10	S	☉ ☉ ☉ ☉	
	o G.			35.6	- 0.8	—	—	- 1.0	W	5.3	10				
	2 p.			37.0	- 0.7	—	—	- 0.7	WSW	2.1	10				
	9 p.			30.2	- 0.4	—	—	- 0.4	ESE	6.0	10				
Febr. 3	7 a.	63°18'	45°16'	31.4	- 1.8	—	—	- 2.0	WSW	13.5	10	10	N N Ci-Cu, F-N S	☉ ☉ ☉ ☉	
	o G.			32.9	- 1.3	—	—	- 1.8	SW	13.5	10				
	2 p.			39.0	- 1.3	—	—	- 1.9	WSW	10.6	9				
	9 p.			42.1	- 1.8	—	—	- 2.6	W	6.2	10				
Febr. 4	7 a.	63°22'	45°35'	41.3	- 2.3	—	—	- 2.8	SE	3.6	9	9	Cu-N, S N, S S	☉ ☉ ☉ ☉	
	o G.			41.4	- 2.5	—	—	- 2.9	SE	0.5	10				
	2 p.			42.6	- 2.2	—	—	- 2.8	SW	2.5	10				
	9 p.			42.6	- 3.6	—	—	- 4.2	SW	2.2	10				
Febr. 5	7 a.	63°21'	46°34'	42.1	- 3.5	—	—	- 4.3	SSW	5.2	9	9	S S S S, F-N	☉ ☉ ☉ ☉	
	o G.			42.4	- 3.4	—	—	- 4.0	SSW	4.4	10				
	2 p.			43.2	- 3.7	—	—	- 4.6	W	9.0	10				
	9 p.			46.6	- 4.9	—	—	- 6.1	SW	7.3	9				
Febr. 6	7 a.	63°51'	49°37'	47.7	- 4.1	—	—	- 5.7	SSW	6.3	10	10	S S S S	☉ ☉ ☉ ☉	
	o G.			47.8	- 5.0	—	—	- 5.9	S	8.5	10				
	2 p.			49.2	- 5.1	—	—	- 6.0	S	7.0	9				
	9 p.			50.0	- 5.6	—	—	- 6.3	S	1.8	9				
Febr. 7	7 a.	64°16'	52°14'	47.4	- 3.5	—	—	- 4.7	N	7.3	10	10	S S S	☉ ☉ ☉ ☉	
	o G.			46.8	- 3.0	—	—	- 4.0	N	4.0	10				
	2 p.			42.5	- 0.7	—	—	- 0.9	ENE	6.0	10				
	9 p.			—	—	—	—	—	—	—	—				
Febr. 8—11: Sturm; Vorbereitungen zur Landung auf Snow-Hill.															
Febr. 12	7 a.	64°21'	57°00'	39.6	- 5.6	- 1.6	- 5.6	- 6.4	WSW	5.3	8	8	A-Cu A-Cu A-Cu, S Cu, S	☉ ☉ ☉ ☉	
	o G.			39.5	- 5.8	—	—	- 6.6	SW	6.0	4				
	2 p.			39.1	- 2.4	—	—	- 4.4	SW	6.9	7				
	9 p.			39.0	- 3.1	—	—	- 4.7	W	4.9	8				
Febr. 13	7 a.	64°21'	57°00'	39.8	- 1.3	+ 0.9	- 4.1	- 2.5	C	0.0	2	2	Ci, S Ci-S, S Cu, S S	☉ ☉ ☉ ☉	
	o G.			39.9	+ 0.4	—	—	- 1.0	C	0.0	3				
	2 p.			40.1	+ 0.6	—	—	- 1.1	C	0.0	5				
	9 p.			40.4	- 3.2	—	—	- 4.1	NE	3.5	1				
Febr. 14	7 a.	64°21'	57°00'	40.0	—	—	—	—	—	—	—	—	—	—	
	o G.			40.0	—	—	—	—	—	—	—				—
	2 p.			39.4	—	—	—	—	—	—	—				—
	9 p.			40.0	—	—	—	—	NE	3.5	6				

Februar 1902

An Bord der

Datum.	Zeit.	Latitude. S.	Longitude. W.	Luft- druck.	Trockenes Thermometer.	Maximum- Temperatur.	Minimum- Temperatur.	Fenchtes Thermometer.	Wind- Richtung.	Geschwindigkeit Kelt.	Wind- Richtung.	Bewölkung.	Wolken-Formen.	Hydro- metre.
Febr. 15	7 a.	64°30'	56°55'	740.4	—	—	—	—	WNW	m/s	10	10	S, N	
	0 G.			40.7	—	—	—	WSW	6.0	10	S			
	2 p.			41.7	—	—	—	NNW	2.0	10	S			
	9 p.			42.0	—	—	—	WNW	6.0	10	N, S			
Febr. 16	7 a.	65°10'	58°22'	44.3	—	—	—	—	SSW	5.0	10	10	S	
	0 G.			44.7	—	—	—	SSW	4.5	10	S			
	2 p.			45.1	—	—	—	SSW	1.0	10	S			
	9 p.			45.1	—	—	—	WSW	2.0	10	S			
Febr. 17	7 a.	64°59'	58°21'	44.0	—	—	—	—	NNE	1.5	10	10	S	
	0 G.			44.0	—	—	—	NNW	5.5	8	S			
	2 p.			43.8	—	—	—	ESE	4.0	10	Cu, S			
	9 p.			44.8	—	—	—	SSE	1.0	10	S			
Febr. 18	7 a.	65°19'	56°48'	46.0	—	—	—	—	SSE	2.5	10	10	S	
	0 G.			46.0	—	—	—	SSE	2.5	10	S			
	2 p.			46.4	—	—	—	—	—	—	—			
	9 p.			46.7	—	—	—	ENE	3.5	10	S			
Febr. 19	7 a.	65°11'	56°59'	46.7	—	—	—	—	SE	6.0	10	10	N, S	■
	0 G.			46.6	—	—	—	ESE	6.0	10	N, S			
	2 p.			45.2	—	—	—	ESE	6.5	10	S			
	9 p.			43.5	—	—	—	SE	6.5	10	S			
Febr. 20	7 a.	64°32'	56°29'	43.5	—	—	—	—	SSW	13.0	10	10	S	✱
	0 G.			43.6	—	—	—	SSW	13.0	10	S			
	2 p.			44.5	—	—	—	SW	15.0	10	S			
	9 p.			47.9	—	—	—	SSW	15.0	10	S			
Febr. 21	7 a.	64°21'	57°00'	51.5	—	—	—	—	S	7.0	6	10	Cu, N	
	0 G.			51.6	—	—	—	SSE	3.5	7	Cu, S			
	2 p.			51.6	—	—	—	SSW	1.0	10	Cu, S			
	9 p.			51.0	—	—	—	WSW	4.0	10	Cu, N, S			
Febr. 22	7 a.	64°00'	55°36'	49.5	—	—	—	—	ESE	13.5	10	10	N, S	✱
	0 G.			49.5	—	—	—	ESE	13.5	10	S			
	2 p.			49.3	—	—	—	SW	10.0	9	N, S			
	9 p.			50.8	—	—	—	S	10.0	7	Cu, S			
Febr. 23	7 a.	63°39'	56°05'	52.6	—	—	—	—	E	6.0	8	10	S-Cu	
	0 G.			52.6	—	—	—	NNE	2.0	10	S			
	2 p.			52.6	—	—	—	E	2.0	10	S			
	9 p.			51.0	—	—	—	NNE	1.0	9	N, S			
Febr. 24	7 a.	63°04'	56°37'	48.4	—	—	—	—	ENE	9.5	10	10	N, S	●
	0 G.			47.9	—	—	—	ENE	9.0	10	N, S			
	2 p.			48.1	—	—	—	SE	10.0	10	N, S			
	9 p.			46.1	—	—	—	SE	9.0	3	A-S			
Febr. 25	7 a.	62°45'	56°43'	39.0	—	—	—	—	SE	25.0	10	10	N	✱
	0 G.			38.6	—	—	—	—	—	—	—			
	2 p.			39.4	—	—	—	ESE	20.0	10	N, S			
	9 p.			42.7	—	—	—	ESE	15.0	10	N, S			

»Antarctic«.

Februar 1902

Datum.	Zeit.	Latitude. S.	Longitude. W.	Luft- druck.	Trockenes Thermometer.	Maximum- Temperatur.	Minimum- Temperatur.	Fenchles Thermometer.	Richtung. Wind- richtung.	Wind- Geschwindigkeit Knot.	Bewölkung.	Wolken-Formen.	Hydro- meteore.	
Febr. 26	7 a.	62° 16'	57° 09'	mm.	—	—	—	—	SSE	m/s	—	—	≡	
	0 G.			743.8	—	—	—	—	—	—	25.0	—	—	—
	2 p.			43.8	—	—	—	—	—	—	—	—	—	—
	9 p.			44.0	—	—	—	—	—	SSE	20.0	10	N, S	≡
Febr. 27	7 a.	61° 29'	58° 00'	40.7	—	—	—	—	WSW	13.0	10	N	*	
	0 G.			40.3	—	—	—	—	—	—	11.0	10		N
	2 p.			39.6	—	—	—	—	—	WSW	10.0	8		Cu-N
	9 p.			42.7	—	—	—	—	—	SW	3.0	10		S
Febr. 28	7 a.	60° 11'	58° 47'	44.7	—	—	—	—	SW	6.0	6	Ci, Cu-N		
	0 G.			44.9	—	—	—	—	—	ENE	4.5	8		Cu-N, S
	2 p.			45.3	—	—	—	—	—	SE	12.5	10		S
	9 p.			48.2	—	—	—	—	—	SE	10.0	10		S

Febr. 2. Kalt, Schneegestöber.
 > 9. Starker Wind, nimmt gegen Abend zu, und erreicht 9 p. 19 m/s.
 > 10. Sturm.

März 1902

An Bord der

Datum.	Zeit.	Latitude. S.	Longitude. W.	Luft- druck.	Trockenes Thermometer.	Maximum- Temperatur.	Minimum- Temperatur.	Fenchtes Thermometer.	Wind- Richtung.	Wind- Geschwindigkeit. Kelt.	Bewölkung.	Wolken-Formen.	Hydro- metere.
März 1	7 a. o G. 2 p. 9 p.	57°48'	61°02'	mm. 752.2 52.7 54.4 57.0	— — — —	— — — —	— — — —	— — — —	SSE S SSW —	9 8 7.5 —	10 8 9 10	Cu, S Cu-N, S S-Cu, N S	
März 2	7 a. o G. 2 p. 9 p.	56°49'	63°00'	58.7 58.8 58.8 57.4	— — — —	— — — —	— — — —	— — — —	SW SE E ENE	3 2.5 3 6.5	10 10 10 8	Cu, S N, S N, S N	
März 3	7 a. o G. 2 p. 9 p.	55°53'	64°44'	54.0 53.7 49.3 46.3	— — — —	— — — —	— — — —	— — — —	ENE ENE E NNW	6.5 6 7 2	8 10 10 10	S-Cu, Cu-N S S S	
März 4	7 a. o G. 2 p. 9 p.	Beagle-Kanal		48.0 48.2 49.8 52.3	— — — —	— — — —	— — — —	— — — —	S SSW SW ENE	3 3 5 2.5	10 10 8 1	S, N S S-Cu, N, S Cu	
März 5	7 a. o G. 2 p.	Beagle-Kanal		52.1 53.4 54.7	— — —	— — —	— — —	— — —	SW — SW	5 — 4.5	8 — 10	Cu, S — N, S	
März 6—23: In Ushuaia.													
März 23	7 a. o G. 2 p. 9 p.	Beagle-Kanal		44.5 44.7 43.9 44.8	+ 8.9 + 9.4 + 12.8 + 12.6	+ 13.9	+ 6.8	+ 6.7 + 7.1 + 9.7 + 10.2	ESE ESE W SW	1 1 4 4.5	2 2 4 8	Ci-Cu Ci-Cu A-Cu, S S	
März 24*	7 a. o G. 2 p. 9 p.	54°22'	64°09'	38.3 37.5 34.6 40.4	+ 8.0 + 8.1 + 7.2 + 7.2	+ 12.9	+ 6.4	+ 7.4 + 7.4 + 6.5 + 6.5	C C WNW NW	0 0 3.5 6.5	10 10 10 10	N, S — S S	
März 25	7 a. o G. 2 p. 9 p.	53°29'	61°35'	50.7 51.8 56.4 59.2	+ 6.8 + 7.1 + 7.7 + 7.1	+ 9.2	+ 6.5	+ 5.4 + 5.5 + 5.9 + 5.8	NW NW SSW WSW	3 3 4.5 5	4 3 1 9	N N S Cl, Cu, N	
März 26	7 a. o G. 2 p.	52°13'	58°38'	60.4 60.4 59.8	+ 7.5 + 7.6 + 10.0	—	+ 6.8	+ 6.2 + 6.2 + 8.2	SW SW SW	5 8.5 5	2 3 10	S-Cu Cu S	
März 27—31: In Port Stanley.													

»Antarctic«.

April 1902

Datum.	Zeit.	Latitude, S.	Longitude, W.	Luft- druck.	Trockenes Thermometer.	Maximum- Temperatur.	Minimum- Temperatur.	Fuchtes Thermometer.	Wind- Richtung.	Wind- Geschwindigkeit, Knot.	Wind- Richtung.	Bewölkung.	Wolken-Formen.	Hydro- meteore.
April 1—10.	In Port-Stanley.			mm.						m/s		10		
April 11	9 p.	51°40'	57°42'	749.7	+ 5.5			+ 4.8	C	0			S	
April 12	7 a. 0 G. 2 p. 9 p.	52°06'	53°32'	49.1 49.1 49.2 48.9	+ 5.2 + 5.1 + 4.9 + 4.3	+ 5.9	+ 4.7	+ 4.3 + 4.0 + 4.2 + 3.4	S S C C	1.5 1.5 0 0		9 8 10 3	Cu, S S-Cu S N	●
April 13	7 a. 0 G. 2 p. 9 p.	52°22'	54°26'	41.4 40.3 30.8 27.8	+ 5.2 + 5.3 + 5.6 + 5.8	+ 5.9	+ 4.2	+ 4.8 + 4.8 + 5.2 + 5.3	NNW NNW NE W	6.5 6.5 9.5 5		10 10 10 10	S S N, S S	●●
April 14	7 a. 0 G. 2 p. 9 p.	52°55'	53°32'	31.0 31.9 34.2 35.3	+ 2.5 + 2.5 + 2.6 + 2.3	+ 5.8	+ 2.2	+ 2.0 + 2.0 + 2.0 + 1.9	SSE SSE SE ENE	5.5 5.5 1.5 5		10 10 10 10	S S S S	*
April 15	7 a. 0 G. 2 p. 9 p.	53°01'	51°53'	38.9 39.6 41.8 42.6	+ 0.9 + 1.5 + 1.3 + 1.0	+ 2.5	+ 0.3	+ 0.2 + 0.6 + 0.5 + 0.4	S SSW SSW SW	6 10.5 10.0 21		9 10 10 9	Cl, S-Cu N, S N S-Cu, N	
April 16	7 a. 0 G. 2 p. 9 p.	53°03'	49°35'	45.4 46.3 50.2 54.8	+ 2.0 + 2.0 + 2.1 + 1.3	+ 2.6	+ 0.2	+ 1.6 + 1.5 + 1.3 + 1.1	SSW S S SW	19 14 10 15		9 6 8 10	N, S Cl-Cu Cl-Cu, N, S S	*
April 17	7 a. 0 G. 2 p. 9 p.	53°00'	48°27'	59.1 59.3 60.8 61.1	+ 1.8 + 1.9 + 2.1 + 1.5	+ 2.4	+ 1.7	+ 1.3 + 1.3 + 1.3 + 1.0	NNW NNW N C	6 6 2.5 0		10 10 10 9	S S S S	
April 18	7 a. 0 G. 2 p. 9 p.	53°23'	46°17'	58.4 57.9 55.0 49.4	+ 1.8 + 1.8 + 3.3 + 3.4	+ 3.4	+ 1.4	+ 0.9 + 0.9 + 2.0 + 2.4	NNW NNW NNW N	3.5 7 6.5 14		8 6 10 5	N, S N, S N, S Cu, S	*
April 19	7 a. 0 G. 2 p. 9 p.	53°34'	43°23'	40.7 40.6 39.3 37.9	+ 4.0 + 3.2 + 2.6 + 2.3	+ 4.1	+ 2.4	+ 3.8 + 3.0 + 2.1 + 1.4	NNW W C C	2 4 0 0		10 10 10 8	S S S Cu, S	●●●
April 20	7 a. 0 G. 2 p. 9 p.	53°29'	40°43'	37.7 37.9 38.0 38.3	+ 2.3 + 2.4 + 3.5 + 3.0	+ 3.8	+ 2.2	+ 2.1 + 2.2 + 2.8 + 2.4	W C W W	4.5 0 4.5 5		10 10 10 3	S S S A-Cu	
April 21	7 a. 0 G. 2 p. 9 p.	53°44'	37°29'	38.2 38.5 39.0 39.5	+ 3.2 + 2.6 + 0.9 + 0.6	+ 2.7	+ 1.2	+ 2.8 + 2.4 + 0.7 - 0.7	C W C ESE	0 4.5 0 4.5		10 10 10 10	S S S Cu, N, S	●●●●

April 1902

An Bord der

Datum.	Zeit.	Latitude. S.	Longitude. W.	Luft- druck.	Trockenes Thermometer.	Maximum- Temperatur.	Minimum- Temperatur.	Feuchtes Thermometer.	Wind- Richtung.	Geschwindigkeit Kell.	Wind- Bewölkung.	Wolken-Formen.	Hydro- meteore.
April 22	7 a.	54° 10'	36° 29'	mm.	— 0.5	+ 0.8	— 1.1	— 0.9	SE	m/s	10	N, S Cu, N, S N	
	0 G.			737.9	— 1.0		— 1.4	SE	5	10			
	2 p.			38.0	— 0.8		2.1	E	5	3			
	9 p.			37.9	— 1.0		1.9	—	1.5	0			
April 23	7 a.	Jason-Bay		44.5	—	— 0.2	— 1.4	—	—	—	—	S-Cu	
	0 G.			45.3	—		—	—	—	—			
	2 p.			50.0	—		—	—	—	—			
	9 p.			55.6	— 0.4		— 1.2	C	0	8			
April 24	7 a.	»	»	56.3	—	+ 1.2	— 2.9	—	—	—	—	S	***
	0 G.			56.3	—		—	—	—	10			
	2 p.			51.8	+ 0.5		+ 0.2	C	0	10			
	9 p.			53.4	+ 0.7		+ 0.3	WSW	2.5	10			
April 25	7 a.	Cumberland-Bay	»	45.0	—	+ 6.4	+ 0.4	—	—	—	—	Ci-Cu, N	
	0 G.			43.0	—		—	—	—	—			
	2 p.			44.4	+ 5.6		+ 4.5	W	2.5	8			
	9 p.			50.7	+ 2.1		+ 0.4	W	15	0			
April 26	7 a.	»	»	49.5	+ 0.7	+ 4.8	+ 1.2	+ 0.2	W	19	2	Cu, S	
	0 G.			49.4	+ 1.0		+ 0.2	—	—	—			
	2 p.			48.5	+ 4.0		+ 2.6	WNW	14.5	4			
	9 p.			50.7	+ 1.8		+ 1.1	WSW	19	3			
April 27	7 a.	54° 26'	36° 00'	54.6	+ 0.5	+ 2.7	— 1.1	— 0.3	SW	4.5	5	Ci-Cu, S Ci-Cu, Cu, S	***
	0 G.			54.8	+ 0.8		— 0.1	W	2	5			
	2 p.			56.3	— 0.1		— 1.8	C	0	3			
	9 p.			54.0	+ 2.0		+ 0.9	C	0	2			
April 28	7 a.	Royal-Bay	»	40.6	+ 0.5	+ 5.9	+ 0.1	— 0.1	WSW	23	9	N, S N, S Cu-N, S S	**
	0 G.			39.9	+ 0.6		— 0.1	W	23	8			
	2 p.			45.5	+ 0.6		— 0.1	W	6	4			
	9 p.			51.8	+ 0.2		— 0.9	WSW	10	4			
April 29	7 a.	»	»	55.4	— 3.0	+ 0.1	— 3.9	— 4.7	ESE	3	1	N	
	0 G.			55.8	—		—	—	—	—			
	2 p.			57.8	—		—	—	—	—			
	9 p.			58.8	— 3.6		— 4.8	C	0	3			
April 30	7 a.	»	»	58.5	— 4.3	+ 2.9	— 4.8	— 5.6	C	0	6	N, S N, S Cu	
	0 G.			58.5	— 4.2		— 5.6	C	0	5			
	2 p.			57.9	— 3.2		— 5.1	C	0	2			
	9 p.			59.9	— 4.2		— 6.0	C	0	3			

April 14. 7 a. Vergangene Nacht war regnerisch.
 » 21. 2 p. Schneefall seit 11 a.
 » 24. 2 p. Schneegestöber seit 8 a.
 » 25. 2 p. Heftige Orkanwinde, zwischendurch beinahe ruhig.
 » 28. 7 a. Orkanwinde.
 » 0 G. »

»Antarctic«.

Datum.	Zeit.	Latitude. S.	Longitude. W.	Luftdruck.	Thermometer. Terrometer.	Maximum- Temperatur.	Minimum- Temperatur.	Feuchtes Thermometer.	Feuchtes Thermometer.	Wind- Richtung.	Wind- Geschwindigkeit. Knot.	Wind- Geschwindigkeit. m/s	Bewölkung.	Wolken-Formen.	Hydro- meteore.		
Mai 1	7 a.	Cumberland-Bay		762.0	- 1.0	+ 0.2	- 4.2	- 1.8	—	—	—	2	2	Cu, N			
	0 G.			62.2	—	—	—	—	—	—	—	—	—	—	N		
	2 p.			61.9	+ 0.2	—	—	—	—	—	WNW	2	2	2	N		
	9 p.			61.8	± 0.0	—	—	—	—	—	C	0	0	1	N		
Mai 2	7 a.	Possession-Bay		57.9	+ 1.2	+ 1.5	- 1.0	+ 0.8	WNW	5.5	5.5	4	4	S			
	0 G.			57.5	+ 1.4	—	—	+ 0.4	—	WNW	5.5	5.5	4	4	S-Cu		
	2 p.			54.0	+ 0.4	—	—	± 0.0	—	± 0.0	SW	2.5	2.5	10	10	S	☐ ☐
	9 p.			45.7	+ 1.5	—	—	+ 1.0	—	+ 1.0	C	0	0	10	10	S	☐ ☐
Mai 3	7 a.	Antarctic-Bay		42.7	+ 1.5	—	+ 2.5	- 0.8	WNW	6	6	2	2	Ci, N, S			
	0 G.			43.6	+ 1.6	—	—	- 0.2	—	W	6	6	2	2	Ci-S		
	2 p.			44.5	—	—	—	—	—	—	—	—	—	—	—	—	
	9 p.			43.8	+ 1.5	—	—	+ 0.2	—	+ 0.2	SW	2.5	2.5	0	0	—	☐
Mai 4	7 a.	»	»	40.6	+ 1.7	—	- 0.2	- 0.2	W	6	6	2	2	Ci, Cu, N			
	0 G.			40.2	+ 1.3	—	—	+ 0.2	—	W	6	6	4	4	S		
	2 p.			38.7	+ 0.6	—	—	- 0.1	—	- 0.1	W	6	6	3	3	A-Cu, S	
	9 p.			38.2	+ 2.0	—	—	—	—	—	W	2.5	2.5	0	0	—	
Mai 5	7 a.	»	»	33.4	- 3.0	+ 2.0	- 3.8	- 4.0	SW	2.5	2.5	3	3	N, S			
	0 G.			33.4	- 2.7	—	—	- 4.0	—	WSW	6	6	10	10	—	☐	
	2 p.			32.6	- 4.6	—	—	- 6.2	—	- 6.2	SW	2.5	2.5	4	4	S	☐
	9 p.			35.4	- 6.5	—	—	- 7.5	—	- 7.5	SW	6	6	3	3	S	☐
Mai 6	7 a.	Bay of Isles		41.4	- 4.8	—	- 6.5	- 5.7	SW	2.5	2.5	2	2	Ci-S			
	0 G.			41.5	- 1.8	—	—	- 2.5	—	WSW	2	2	1	1	Ci, Cu		
	2 p.			46.4	- 1.2	—	—	- 1.5	—	- 1.5	SW	6	6	3	3	Cu, S	☐
	9 p.			49.8	- 2.0	—	—	—	—	—	SSW	6	6	3	3	S	☐
Mai 7	7 a.	»	»	44.6	+ 0.9	—	- 2.0	+ 0.0	SW	10	10	4	4	S	☐ ☐		
	0 G.			44.8	+ 1.5	—	—	+ 0.1	—	SW	6	6	3	3	S-Cu	☐ ☐	
	2 p.			44.8	+ 1.5	—	—	+ 0.0	—	+ 0.0	SW	10	10	3	3	Ci, Cu, S	☐ ☐
	9 p.			44.5	+ 4.0	—	—	—	—	—	WSW	15	15	3	3	S	☐
Mai 8	7 a.	»	»	41.8	+ 1.5	—	+ 1.0	+ 0.6	WSW	2.5	2.5	10	10	S	☐		
	0 G.			41.7	+ 1.8	—	—	+ 0.7	—	SW	2.5	2.5	3	3	S	☐	
	2 p.			41.3	+ 0.8	—	—	- 1.0	—	- 1.0	SSW	2.5	2.5	4	4	Ci, Cu, S	☐
	9 p.			42.8	- 0.8	—	—	—	—	—	SSW	20	20	10	10	S	
Mai 9	7 a.	»	»	48.9	- 2.4	+ 1.5	- 2.5	- 3.1	SSW	2.5	2.5	3	3	S			
	0 G.			48.8	- 0.8	—	—	- 1.2	—	W	3	3	3	3	Ci, Cu		
	2 p.			44.8	± 0.0	—	—	- 0.2	—	- 0.2	W	3	3	10	10	S	☐ ☐
	9 p.			39.0	- 0.5	—	—	—	—	—	W	10	10	4	4	S	☐
Mai 10	7 a.	Possession-Bay		35.5	- 1.5	+ 0.2	—	- 2.2	SW	20	20	3	3	Ci-Cu, S			
	0 G.			36.4	- 3.0	—	—	—	—	SW	20	20	2	2	Ci, S		
	2 p.			40.1	- 4.5	—	—	- 4.5	—	- 4.5	S	20	20	10	10	—	☐ ☐
	9 p.			42.5	- 5.5	—	—	- 6.2	—	- 6.2	WSW	15	15	10	10	S	
Mai 11	7 a.	»	»	41.8	- 5.2	- 4.5	- 6.0	- 6.8	SSW	15	15	10	10	—	☐ ☐		
	0 G.			41.9	- 5.2	—	—	- 5.2	—	S	15	15	3	3	Cu, S	☐ ☐	
	2 p.			44.0	- 5.8	—	—	- 7.2	—	- 7.2	SSW	10	10	3	3	S	
	9 p.			47.2	- 5.8	—	—	- 6.0	—	- 6.0	SSW	6	6	3	3	S	

Mai 1902

An Bord der

Datum.	Zeit.	Latitude. S.	Longitude. W.	Luft- druck	Trockenes Thermometer.	Maximum- Temperatur.	Minimum- Temperatur.	Feuchtes Thermometer.	Wind- Richtung.	Wind- Geschwindigkeit. Knot.	Wind- Bewölkung.	Wolken- Formen.	Hydro- meteore.	
Mai 12	7 a.	Cumberland-Bay		mm.	749.9					m/s				
	0 G.			49.9	+ 4.0	+ 7.0	- 6.0	+ 5.2	SW	6	2			
	2 p.			44.3	+ 5.5			+ 4.8	SW	8	2			
	9 p.			35.5	+ 6.2			+ 3.0	NW NNW	6.5 2.5	0 0		Ci-Cu Cu, S S	* III
Mai 13	7 a.	Jason-Bay		39.3	+ 7.2	+ 10.0	- 1.0	+ 2.0	SW	2.5	2			
	0 G.			39.4	+ 7.8			+ 2.0	—	—	2			
	2 p.			40.6	+ 5.5			+ 2.3	NW	6	2		S	
9 p.	42.6	+ 4.5			+ 2.0	NW	10	1		Cu Cu Cu				
Mai 14	7 a.	Topf-Bucht		44.5	+ 4.2	+ 7.1	—	+ 1.6	NNW	2.5	1			
	0 G.			44.6	—			—	—	—	—	—		
	2 p.			43.6	—			—	—	—	—	—		
9 p.	43.7	+ 1.6			+ 0.9	NNW	2.5	—	—					
Mai 15	7 a.	»		42.0	+ 1.8	+ 6.4	+ 1.5	+ 0.9	NW	2.5	—			
	0 G.			41.9	—			—	—	—	—	—		
	2 p.			41.2	—			—	—	—	—	—		
9 p.	44.2	+ 2.9			+ 1.4	C	0	8				●		
Mai 16	7 a.	»		45.0	—	+ 9.2	+ 2.6	—	—	—	—			
	0 G.			44.8	—			—	—	—	—	—		
	2 p.			44.9	—			—	—	—	—	—		
	9 p.			44.7	+ 8.8			+ 4.2	—	—	—	0		
Mai 17	7 a.	»		41.4	+ 6.4	+ 6.6	+ 2.0	—	—	—	—			
	0 G.			41.0	—			—	—	—	—	—		
	2 p.			37.7	—			+ 4.1	—	—	—	—		
	9 p.			36.5	+ 4.1			+ 3.3	—	—	—	—		● ● ● ■ ■
Mai 18	7 a.	»		40.4	+ 2.9	+ 3.6	+ 1.7	+ 0.5	—	—	—			
	0 G.			41.1	—			—	—	—	—	—		
	2 p.			42.8	—			—	—	—	—	—		
	9 p.			44.4	+ 1.7			- 0.8	—	—	—	0		(*) 3 p-5 p)
Mai 19	7 a.	»		43.5	+ 3.4	—	+ 2.7	+ 1.3	—	—	—			
	0 G.			43.6	+ 3.9			+ 1.7	—	—	—	—		
	2 p.			43.0	+ 5.9			+ 3.6	—	—	—	—		
	9 p.			44.0	+ 3.8			+ 1.9	—	—	—	—		
Mai 20	7 a.	»		45.0	+ 0.7	+ 0.6	- 1.1	- 1.3	—	—	—			
	0 G.			45.0	—			—	—	—	—	—		
	2 p.			44.6	—			—	—	—	—	—		
	9 p.			43.8	+ 0.5			- 1.8	—	—	—	—		■ ■ ■ ■ ■
Mai 21	7 a.	»		41.9	+ 4.2	+ 4.6	- 1.4	- 0.9	—	—	10			
	0 G.			41.7	—			—	—	—	—	10		
	2 p.			41.1	—			—	—	—	—	10		
	9 p.			41.4	+ 2.6			- 0.3	—	—	—	10		N, N, S, S, S, S
Mai 22	7 a.	»		43.7	+ 1.3	+ 6.2	+ 1.4	- 0.5	—	—	—			
	0 G.			44.0	—			—	—	—	—	—		
	2 p.			45.0	—			—	—	—	—	—		
	9 p.			46.0	+ 1.6			+ 0.1	—	—	—	—		

»Antarctic».

Mai 1902

Datum.	Zeit.	Latitude. S.	Longitude. W.	Luft- druck.	Trockenes Thermometer.	Maximum- Temperatur.	Minimum- Temperatur.	Feuchtes Thermometer.	Wind- Richtung.	Wind- Geschwindigkeit Kelt.	Bewölkung.	Wolken-Formen.	Hydro- metere.
Mai 23	7 a. o G. 2 p. 9 p.	Topf-Bucht		mm. 746.4 46.4 — 45.6 44.6	+ 1.2 — — ± 0.0	+ 2.0 — — —	- 0.2 — — —	- 0.1 — — - 1.6	— — — —	m/s 	— — — —		
Mai 24	7 a. o G. 2 p. 9 p.	»		40.6 40.6 41.0 40.6	- 1.4 — — - 0.2	+ 0.8 — — —	- 2.9 — — —	- 0.2 — — - 2.5	— — — —	 	— — — —		
Mai 25	7 a. o G. 2 p. 9 p.	»		38.4 38.5 40.6 45.0	- 2.6 — — - 1.9	- 1.2 — — —	- 5.1 — — —	- 4.3 — — - 3.8	— — — —	 	— — — —		
Mai 26	7 a. o G. 2 p. 9 p.	»		47.0 47.1 45.5 40.3	— — — - 1.3	- 0.4 — — —	- 2.0 — — —	— — — - 3.1	— — — —	 	— — — —		*
Mai 27	7 a. o G. 2 p. 9 p.	»		24.7 24.3 23.6 30.5	- 0.9 — — + 0.5	+ 0.7 — — —	- 1.2 — — —	- 1.4 — — - 0.2	— — — —	 	— — — —		***
Mai 28	7 a. o G. 2 p. 9 p.	»		32.7 32.8 30.9 31.5	- 2.1 — — - 1.8	- 1.2 — — —	- 2.8 — — —	- 3.9 — — - 3.5	— — — —	 	— — — —		
Mai 29	7 a. o G. 2 p. 9 p.	»		35.5 35.6 34.8 39.0	+ 2.0 — — + 0.9	+ 2.3 — — —	- 1.8 — — —	- 0.6 — — - 1.7	— — — —	 	— — — —		
Mai 30	7 a. o G. 2 p. 9 p.	»		42.4 42.8 42.7 43.6	+ 0.1 — — + 0.3	+ 4.5 — — —	- 0.3 — — —	- 2.6 — — - 2.7	— — — —	 	— — — —		
Mai 31	7 a. o G. 2 p. 9 p.	»		42.0 42.1 43.0 44.9	± 0.0 - 0.2 - 1.2 - 0.5	+ 1.5 — — —	- 1.7 — — —	- 2.3 - 2.4 - 4.0 - 3.4	— — — —	 	— — — —		

Mai 1. Die Beobachtungen $\frac{1}{5}$ — $\frac{14}{5}$ wurden von K. A. ANDERSSON ausgeführt.

» 8. 7 a. Während der Nacht harter Sturm.
9 p. Der Sturm begann gegen 3 Uhr nachmittags und nimmt zuweilen orkanartige Stärke an.

» 14. 9 p. Die Beobachtungen werden von DUSE übernommen.

» 15. 7 a. Wir liegen in der Topfbucht, deren hohe Berge mehr als $\frac{1}{3}$ des Himmels verdecken und den Wind abhalten, so dass Bewölkung und Wind nicht ordentlich beobachtet werden können.

» 17. 2 p. Es hat den ganzen Tag geregnet, es fängt jetzt an sich aufzuklären.
9 p. Starker Wind über den Berggipfeln; hier unten ruhig.

» 18. 9 p. Wolkenfrei, so weit man sieht.

» 21. 7 a. Sturm über den Bergen von WNW.

Juni 1902

An Bord der

Datum.	Zeit.	Latitude. S.	Longitude. W.	Luft- druck.	Trockenes Thermometer.	Maximum- Temperatur.	Minimum- Temperatur.	Fechtes Thermometer.	Wind- Richtung.	Wind- Geschwindigkeit knt.	Wind- Geschwindigkeit m/s	Bewölkung.	Wolken-Formen.	Hydro- meteore.
Juni 1	7 a.	Topf-Bucht		741.8	- 3.1	- 1.9	—	- 5.2	—	—	m/s	—		
	o G.			41.8	—	—	—	—	—	—	—	—	—	
	2 p.			40.8	- 2.8	—	—	- 5.3	—	—	—	—	—	
	9 p.			41.8	- 2.2	—	—	- 3.8	—	—	—	—	—	
Juni 2	7 a.)		40.6	- 3.4	- 2.0	- 3.8	- 4.9	—	—	—	—		
	o G.			40.7	- 2.8	—	—	- 4.6	—	—	—	—	—	
	2 p.			40.8	- 2.2	—	—	- 4.2	—	—	—	—	—	
	9 p.			43.2	- 7.2	—	—	- 8.5	—	—	—	—	—	
Juni 3	7 a.)		45.5	- 6.0	- 4.4	- 7.0	- 6.8	—	—	—	—		
	o G.			45.7	—	—	—	—	—	—	—	—	—	
	2 p.			46.5	- 4.5	—	—	- 5.6	—	—	—	—	—	
	9 p.			46.6	- 6.1	—	—	- 7.4	—	—	—	—	—	
Juni 4	7 a.)		47.2	- 6.7	- 4.2	- 7.1	- 7.8	—	—	—	—		
	o G.			47.5	—	—	—	—	—	—	—	—	—	
	2 p.			48.5	- 4.5	—	—	- 5.6	—	—	—	—	—	
	9 p.			51.0	- 6.0	—	—	- 7.3	—	—	—	—	—	
Juni 5	7 a.)		52.5	- 4.2	- 2.0	- 6.9	- 5.1	—	—	—	10		
	o G.			52.7	—	—	—	—	—	—	—	—	—	
	2 p.			52.7	—	—	—	—	—	—	—	—	—	
	9 p.			53.8	- 2.2	—	—	- 2.8	—	—	—	—	—	*
Juni 6	7 a.)		50.7	- 0.6	—	- 3.4	- 3.2	—	—	—	—		
	o G.			50.2	—	—	—	—	—	—	—	—	—	
	2 p.			48.0	—	—	—	—	—	—	—	—	—	
	9 p.			45.7	+ 1.2	—	—	- 1.0	—	—	—	—	—	
Juni 7	7 a.)		43.0	± 0.0	+ 3.0	- 0.6	- 1.2	—	—	—	—		
	o G.			42.9	+ 1.3	—	—	± 0.0	—	—	—	—	—	
	2 p.			40.4	+ 2.8	—	—	+ 1.3	—	—	—	—	—	
	9 p.			42.4	+ 2.0	—	—	+ 1.0	—	—	—	—	—	
Juni 8	7 a.)		31.5	+ 1.4	+ 2.8	± 0.0	+ 0.9	—	—	—	—		*
	o G.			30.4	+ 0.8	—	—	+ 0.4	—	—	—	—	—	
	2 p.			34.0	+ 1.3	—	—	- 0.1	—	—	—	—	—	
	9 p.			39.0	+ 0.8	—	—	- 0.2	—	—	—	—	—	
Juni 9	7 a.)		35.8	+ 1.2	+ 1.8	+ 0.3	+ 0.4	—	—	—	—		*
	o G.			34.7	+ 1.3	—	—	+ 0.4	—	—	—	—	—	
	2 p.			30.7	+ 1.2	—	—	- 0.8	—	—	—	—	—	
	9 p.			30.8	+ 1.0	—	—	- 0.8	—	—	—	—	—	
Juni 10	7 a.)		33.5	- 0.3	+ 1.9	- 1.5	- 2.1	—	—	—	—		*
	o G.			34.0	- 1.2	—	—	- 3.0	—	—	—	—	—	
	2 p.			35.7	- 1.3	—	—	- 3.2	—	—	—	—	—	
	9 p.			36.2	- 2.5	—	—	- 3.9	—	—	—	—	—	
Juni 11	7 a.)		37.5	- 4.0	- 1.4	- 3.5	- 5.6	—	—	—	—		*
	o G.			38.0	- 2.5	—	—	- 4.3	—	—	—	—	—	
	2 p.			40.8	- 3.5	—	—	- 4.7	—	—	—	—	—	
	9 p.			43.4	- 4.2	—	—	- 5.2	—	—	—	—	—	

»Antarctic«.

Juni 1902

Datum.	Zeit.	Latitude. S.	Longitude. W.	Luft- druck.	Trockenes Thermometer.	Maximum- Temperatur.	Minimum- Temperatur.	Feuchtes Thermometer.	Feuchtes Thermometer.	Wind- Richtung.	Wind- Geschwindigkeit Kelt.	Wind- Bewölkung.	Wolken-Formen.	Hydro- meteore.	
Juni 12	7 a.	Tofp-Bucht		mm.	— 2.8	—	—	— 3.8	—	—	m/s	—		**	
	o G.			747.7	—	—	—	—	—	—	—	—	—		
	2 p.			47.8	—	—	—	—	—	—	—	—	—		
Juni 13	7 a.	»	»	49.1	— 3.4	— 0.9	— 4.8	— 3.7	—	—	—	—		**	
	o G.			51.3	—	—	—	—	—	—	—	—	—		
	2 p.			50.7	—	—	—	—	—	—	—	—	—		
Juni 14	7 a.	»	»	54.0	— 3.4	—	—	— 5.1	—	—	—	0		**	
	o G.			57.4	—	—	—	—	—	—	—	—	—		
	2 p.			60.5	— 7.0	— 2.7	— 7.8	— 9.1	—	—	—	—	—		
Juni 15	7 a.	Cumberland-Bay		61.9	— 4.5	—	—	— 5.9	—	—	—	—		**	
	o G.			63.6	— 6.4	—	—	— 7.6	—	—	—	—	—		
	2 p.			63.9	— 8.3	— 2.0	— 8.9	— 10.6	—	—	—	—	—		
Juni 16	7 a.	53° 10'	36° 30'	63.9	— 8.1	— 2.0	— 8.9	— 10.5	—	—	—	—	Cu, S	**	
	o G.			60.3	— 2.0	—	—	— 4.1	—	—	—	7	6		Cu
	2 p.			56.5	— 0.8	± 0.0	— 2.6	— 1.8	WSW	4.5	8	—	—		Cu, S
Juni 17	7 a.	52° 39'	37° 35'	56.2	— 0.6	—	—	— 1.7	WSW	8.5	8	—	Cu, N	**	
	o G.			54.8	— 0.1	—	—	— 1.6	W	9	10	—	—		N, S
	2 p.			53.9	± 0.0	—	—	— 1.9	SW	10	7	—	—		Ci, Cu-N, S
Juni 18	7 a.	51° 33'	38° 42'	57.5	— 1.2	— 0.1	— 3.1	— 2.4	E	1	8	—	Ci, N, S	**	
	o G.			57.7	— 2.0	—	—	— 3.8	W	0.5	9	—	—		Ci, S
	2 p.			57.5	— 2.5	—	—	— 4.3	WSW	2.5	8	—	—		Ci, Cu, N, S
Juni 19	7 a.	50° 47'	38° 56'	58.0	— 1.2	—	—	— 2.7	WSW	5	9	—	S	**	
	o G.			60.0	+ 0.3	± 0.0	— 2.5	— 1.8	W	13.5	10	—	—		N, S
	2 p.			60.1	± 0.0	—	—	— 1.7	WSW	9.5	10	—	—		S
Juni 20	7 a.	50° 42'	40° 34'	59.2	— 1.2	—	—	— 3.2	SW	6	10	—	S	**	
	o G.			56.2	— 0.9	—	—	— 2.1	W	2	10	—	—		N, S
	2 p.			44.0	— 1.3	— 0.8	— 2.5	— 2.5	SSE	3	10	—	—		S
Juni 21	7 a.	50° 19'	41° 37'	42.2	—	—	—	— 3.9	S	14.5	10	—	S	**	
	o G.			35.5	— 0.9	—	—	— 3.8	SSE	15	8	—	—		S-Cu
	2 p.			36.7	— 1.3	—	—	—	—	—	—	—	—		—
Juni 22	7 a.	49° 25'	42° 22'	43.5	— 3.3	— 1.2	— 4.3	— 5.1	SSE	20	8	—	S	**	
	o G.			44.8	— 3.8	—	—	— 6.0	SSE	15	10	—	—		S
	2 p.			51.0	— 3.6	—	—	— 5.7	S	10	9	—	—		S-Cu, N
Juni 23	7 a.	50° 19'	41° 37'	56.7	— 3.0	—	—	— 4.1	SSE	3	6	—	A-Cu, N	**	
	o G.			57.0	+ 0.8	+ 2.8	— 3.4	— 1.5	SW	5	10	—	—		S
	2 p.			57.0	+ 1.0	—	—	— 1.4	W	5	10	—	—		S
Juni 24	7 a.	49° 25'	42° 22'	56.5	+ 2.7	—	—	— 0.2	SW	6	10	—	N, S	**	
	o G.			60.7	+ 2.4	—	—	+ 1.1	SSE	6	10	—	—		S
	2 p.			64.7	+ 3.0	+ 3.9	+ 2.6	+ 1.8	SW	6	7	—	—		Cu, Ci-N
Juni 25	7 a.	49° 25'	42° 22'	65.0	+ 3.3	—	—	+ 2.1	W	5.5	9	—	Cu-N, S	**	
	o G.			66.5	+ 3.6	—	—	+ 3.4	WSW	6	10	—	—		S
	2 p.			68.5	+ 4.2	—	—	+ 3.5	SW	2.5	2	—	—		Ci

Juni 1902

An Bord der

Datum.	Zeit.	Latitude. S.	Longitude. W.	Luft- druck.	Thermometer. Trockenes	Maximum- Temperatur.	Minimum- Temperatur.	Feuchtes Thermometer.	Wind- Richtung.	Wind- Geschwindigkeit. Knot.	Wind- Geschwindigkeit. m/s	Bewölkung.	Wolken-Formen.	Hydro- metere.			
Juni 23	7 a.	48°27'	42°36'	769.8	+ 6.2	+ 6.6	+ 2.9	+ 4.9	SW	2.5	6		N				
	o G.			70.0	+ 6.2			+ 4.7	WSW						3	4	Cl, Cu, N
	2 p.			72.3	+ 6.4			+ 4.4	C						0	3	Cl-Cu
	9 p.			74.2	+ 5.8			+ 5.0	SW						2.5	7	Cl, Cu, Cu-N
Juni 24	7 a.	48°28'	43°53'	76.0	+ 7.2	—	—	+ 7.0	N	2.5	9		Cu, S	☉ ☐			
	o G.			75.9	+ 8.2			+ 7.5	N						2.5	2	Cl, Cu
	2 p.			76.2	+ 7.6			+ 6.4	NNW						5.5	9	Cu, N, S
	9 p.			77.0	+ 6.9			+ 6.0	NNW						3	8	N, S
Juni 25	7 a.	48°56'	46°10'	74.8	+ 6.8	—	—	+ 6.0	NW	9	9		Cu-N, S				
	o G.			75.0	+ 6.7			+ 5.8	SSE						10	10	S
	2 p.			73.0	+ 6.7			+ 5.8	NNW						10	8	Cu, Cu-N, S
	9 p.			71.2	+ 6.1			+ 5.6	NNW						9.5	6	Cl, S-Cu
Juni 26	7 a.	49°22'	49°00'	67.4	+ 5.9	+ 6.4	+ 5.2	+ 4.7	N	10	9		S				
	o G.			67.0	+ 6.0			+ 4.7	N						10.5	8	N, S
	2 p.			62.2	+ 6.2			+ 4.8	NNW						14.5	10	S
	9 p.			57.2	+ 5.8			+ 5.6	NNW						16	10	S
Juni 27	7 a.	49°56'	49°56'	55.2	+ 3.7	+ 4.1	+ 2.7	+ 3.5	SW	2.5	10		S	☐ ☉ ☐ ☐			
	o G.			56.8	+ 3.6			+ 3.3	WSW						2.5	10	S
	2 p.			53.6	+ 2.6			+ 2.4	WSW						2.5	10	N, S
	9 p.			60.4	+ 2.8			+ 2.4	C						0	3	
Juni 28	7 a.	50°19'	50°50'	56.1	+ 2.1	+ 2.7	+ 1.9	+ 2.0	C	0	10		S-Cu, S	☉ ☐ ☐ ☐ ☐ ☐			
	o G.			55.7	+ 2.2			+ 2.2	C						0	10	
	2 p.			54.1	+ 2.5			+ 2.2	C						0	10	
	9 p.			56.8	+ 2.6			+ 2.5	C						0	8	
Juni 29	7 a.	50°55'	51°41'	60.0	+ 4.0	+ 4.5	+ 2.5	+ 3.5	NNW	1.5	4		Cl, A-Cu				
	o G.			60.2	+ 4.2			+ 3.8	NW						5	3	Cl
	2 p.			58.9	+ 4.2			+ 3.7	NW						9.5	10	S
	9 p.			56.2	+ 4.1			+ 3.7	NW						9.5	10	S
Juni 30	7 a.	51°29'	53°03'	53.1	+ 5.0	+ 5.0	+ 4.2	+ 5.0	NW	5.5	10			☐ ☉ ☐ ☐			
	o G.			52.9	+ 5.0			+ 4.7	NW						5.5	10	
	2 p.			50.0	+ 4.8			+ 4.7	NNW						2	10	
	9 p.			46.5	+ 5.0			+ 5.0	N						2	10	

Juni 3. 9 p. Der Schneefall hörte gegen 4 Uhr Nachmittags auf.
 » 8. 2 p. Starker Sturm von WSW.
 » 9 p. Der Sturm hält an; gegen 5 p. m. hörte es auf zu schneien.
 » 9. 2 p. Der Regen hörte gegen 0.30 p. m. auf.
 » 10. 7 a. Starker Wind von W.
 » 22. 9 p. Mondhof.
 » 23. 7 a. Heute Nacht regnerisch.

»Antarctic«.

Juli 1902

Datum.	Zeit.	Latitude. S.	Longitude. W.	Luft- druck.	Thermometer Trockenes	Maximum- Temperatur.	Minimum- Temperatur.	Feuchtes Thermometer	Wind- Richtung.	Wind- Geschwindigkeit Knot.	Wind- Geschwindigkeit m/s	Bewölkung	Wolken-Formen.	Hydro- meteore.	
Juli 1	7 a.	51°44'	54°27'	740.5	+ 5.4	+ 5.4	+ 4.8	+ 5.3	WNW	2.5	10			☐ ☐	
	o G.			40.6	+ 5.3			+ 5.0	WNW	2.5	10			☐ ☐	
	2 p.			43.8	+ 5.2			+ 4.0	SW	6	10			☐ ☐	
9 p.				47.8	+ 3.8			WSW	2	5		S	☐ ☐		
Juli 2	7 a.	51°18'	54°27'	47.5	+ 3.9	+ 4.4	+ 3.7	+ 3.0	NW	5	10		S		
	o G.			47.0						W	19	7		Cu, N, S	
	2 p.			45.6	+ 4.2			+ 2.6	SW	14	8			N, S	* ▲
9 p.				48.5	+ 3.8										
Juli 3	7 a.	51°40'	54°42'	55.7	+ 1.2	+ 4.2	+ 0.6	+ 0.5	SW	17	6		Cu, S, N		
	o G.			57.0	+ 1.2			+ 0.5	SW	15	6			Cu, S, N	
	2 p.			60.8	+ 3.6			+ 2.0	SW	9	7			S-Cu, Cu-N	
9 p.				62.6	+ 3.9			SE	2	8		S			
Juli 4	7 a.	51°40'	57°42'	58.6	+ 6.1	—	+ 3.9	+ 6.0	N	3.5	10			☐ ☐	
	o G.			58.4	+ 6.1			+ 6.0	N	3.5	10			☐ ☐	
	2 p.			55.8	+ 5.7			+ 5.4	C	0	10			☐ ☐	
9 p.				51.6	+ 3.2			WSW	3	10		S	☐ ☐		
Juli 5	7 a.	Port-Stanley		50.1	+ 2.9	—	+ 2.7	+ 2.3	C	0	8		S-Cu		
	o G.			50.2											
	2 p.			50.5	+ 5.1			+ 4.0	WNW	6	6			Cu, S	
9 p.				52.7											
Juli 6	7 a.	»	»	53.4	+ 2.9	+ 6.9	+ 2.0	+ 2.2	WSW	3	6		A-Cu, S		
	o G.			53.5	+ 2.9			+ 2.3	SW	3	7			A-Cu, S	
	2 p.			53.0											
9 p.				52.6	+ 2.1			C	0	10		S			
Juli 7	7 a.	»	»	48.7	+ 2.4	+ 3.6	+ 1.1	+ 1.6	C	0	10		S		
	o G.			47.0	+ 2.5			+ 1.6	C	0	10			S	
	2 p.			43.3											
9 p.				43.1	+ 1.6			+ 0.9	WSW	3	3		S	☐	
Juli 8	7 a.	»	»	47.0	+ 0.5	+ 1.7	+ 0.8	- 0.2	C	0	4		N, S		
	o G.			46.8											
	2 p.			45.5	+ 1.0			- 0.8	C	0	7			Ci, S	
9 p.				40.0	+ 0.3			- 0.7	SSW	6	5		Ci-Cu, S		
Juli 9	7 a.	»	»	33.5	- 0.8	—	- 1.2	- 1.7	SW	6	10		S		
	o G.			33.3											
	2 p.			33.4	+ 2.3			+ 1.4	SSW	6	6			Cu-N, S	
9 p.				35.7											
Juli 10	7 a.	»	»	39.2	- 0.9	+ 1.0	- 1.0	- 2.2	WSW	3	3		Ci, N		
	o G.			39.5	- 0.7			- 2.1	WSW	3	3			Ci, N	
	2 p.			44.3	+ 0.5			- 1.8	SSW	3	2			Ci, Cu	
9 p.				50.0	- 2.8			- 4.3	S	6	8		S		
Juli 11	7 a.	»	»	53.1	- 3.7	- 0.9	- 3.6	- 4.9	S	3	5		Ci, Cu, N, S		
	o G.			53.4	- 3.7			- 4.8	S	3	6			Cu, N, S	
	2 p.			53.2	- 1.2			- 3.1	WSW	3	8			S	
9 p.				50.8	- 0.8			- 2.3	W	6	9		Cu-N, S		

Juli 1902

An Bord der

Datum.	Zeit.	Latitude. S.	Longitude. W.	Luft- druck.	Thermometer. Tookenes	Maximum- Temperatur.	Minimum- Temperatur.	Fenchles Thermometer.	Wind- Richtung.	Wind- Geschwindig- keit.	Bewölkung	Wolken-Formen.	Hydro- meteore.	
Juli 12	7 a.	Port-Stanley		751.9	+ 1.5	+ 2.1	- 1.0	+ 0.5	WNW	m/s	8	N, S		
	o G.			52.0	+ 1.7			+ 0.7	W	3	7	N, S		
	2 p.			53.0	—			—	—	—	—	—	—	
	9 p.	56.9	+ 1.2			+ 0.6	W	3	9		S			
Juli 13	7 a.	»		60.5	+ 0.6	+ 1.8	- 1.4	- 0.2	C	0	6	Cl, S		
	o G.			60.6	—			—	—	—	—	—	—	
	2 p.			62.2	—			—	—	—	—	—	—	
	9 p.	62.5	+ 1.1			- 0.4	C	0	3		Cu, S			
Juli 14	7 a.	»		60.5	+ 2.0	+ 4.9	+ 1.0	+ 0.6	WNW	3	9	Cu-N, S		
	o G.			60.4	+ 1.9			+ 0.6	WNW	3	9	Cu-N, S		
	2 p.			56.4	+ 4.6			+ 2.1	W	3	7	Cl-Cu, S		
	9 p.	53.3	+ 2.3			+ 1.4	C	0	3		S			
Juli 15	7 a.	»		42.9	+ 1.0	+ 4.0	+ 0.8	+ 0.8	NW	10	8	Cu, N, S		
	o G.			41.7	+ 1.6			+ 0.9	NW	10	8	N, S		
	2 p.			35.7	+ 3.5			+ 2.1	WNW	3	1	Cu		
	9 p.	35.0	+ 0.5			- 0.6	W	6	9	S				
Juli 16	7 a.	»		35.2	- 3.0	—	- 3.6	- 4.2	W	3	7	N, S		
	o G.			35.3	- 2.6			- 4.0	W	3	8	N, S		
	2 p.			33.1	- 1.2			- 3.1	W	3	6	S		
	9 p.	35.0	—			—	S	2.5	—	—	—			
Juli 17	7 a.	»		38.7	+ 0.1	+ 0.9	- 7.4	—	—	—	—	—		
	o G.			38.7	—			—	—	—	—	—	—	
	2 p.			34.1	—			- 0.9	N	3	9	N, S		
	9 p.	32.1	- 3.6			- 4.1	W	6	2		Cu, S			
Juli 18	7 a.	»		31.7	- 4.1	+ 0.2	- 5.1	- 5.2	SW	10	10	N, S	*	
	o G.			31.5	- 3.6			- 4.6	WSW	10	10	S	*	
	2 p.			32.6	+ 0.0			- 0.8	SW	6	8	S		
	9 p.	39.1	- 1.7			- 2.1	SSE	6	7		S-Cu, N			
Juli 19	7 a.	»		43.3	- 4.0	- 3.0	- 5.7	- 5.1	C	0	3	Cu, S		
	o G.			43.1	- 4.1			- 5.1	W	3	3			
	2 p.			39.7	- 3.6			- 4.2	W	3	10		N, S	
	9 p.	42.5	- 3.9			- 4.1	WSW	10	4		S	*		
Juli 20	7 a.	»		48.2	- 4.6	- 1.0	- 4.8	- 5.0	SSW	10	8	N, S		
	o G.			49.1	- 3.9			- 4.6	SSW	10	9	Cu-N, S		
	2 p.			51.0	—			—	—	—	—	—	—	
	9 p.	49.5	- 1.8			—	W	3	2		N, Cl			
Juli 21	7 a.	»		44.2	- 1.2	+ 2.3	- 2.0	- 2.2	C	0	10	S		
	o G.			43.5	- 1.2			- 2.0	C	0	10		S	
	2 p.			38.0	+ 0.9			+ 0.9	E	3	10		S	
	9 p.	36.5	+ 1.4			+ 0.5	E	3	10		S			
Juli 22	7 a.	»		38.6	+ 0.2	+ 3.4	- 1.4	- 1.0	E	3	10	S		
	o G.			39.0	—			—	—	—	—	—	—	
	2 p.			40.4	+ 1.1			+ 0.5	E	3	10		N, S	*
	9 p.	39.1	+ 3.5			+ 2.9	N	10	10		S	*		

»Antarctic«.

Datum.	Zeit.	Latitude. S.	Longitude. W.	Luft- druck.	Trockenes Thermometer.	Maximum- Temperatur.	Minimum- Temperatur.	Fechtes Thermometer.	Wind- Richtung.	Wind- Geschwindigkeit. Kett.	Wind- Geschwindigkeit. m/s	Bewölkung.	Wolken-Formen.	Hydrometeore.	
Juli 23	7 a.	Port-Stanley		736.5	+ 3.3	+ 5.1	+ 0.6	+ 2.4	WNW	3	3	3	Ci-Cu, S Ci-Cu, S Cu Cl, S		
	o G.			36.5	+ 3.3			+ 2.4	WNW	3	4				
	2 p.			35.5	+ 4.5			+ 2.7	C	0	1				
	9 p.			35.9	+ 1.9			+ 0.8	W	3	2				
Juli 24	7 a.	»	»	40.5	—	—	—	—	—	—	—	—			
	o G.			41.4	—			—	—	—	—				
	2 p.			45.5	—			—	—	—	—				
	9 p.			50.1	—			—	—	—	—				
Juli 25	7 a.	»	»	53.6	— 5.5	+ 1.3	— 6.4	— 6.7	WNW	3	2	S S Ci, N, S	*		
	o G.			53.7	— 4.8			— 6.4	WNW	3	3				
	2 p.			53.2	+ 0.9			— 0.9	NNW	3	7				
	9 p.			52.6	+ 0.2			— 0.1	WNW	10	10				
Juli 26	7 a.	»	»	48.6	— 0.4	—	— 1.1	— 1.1	C	0	10	N, S S Ci, S			
	o G.			48.7	— 0.4			— 1.0	C	0	10				
	2 p.			49.5	+ 2.0			+ 0.4	S	6	7				
	9 p.			52.2	—			—	—	—	—				
Juli 27	7 a.	»	»	59.1	— 3.0	— 1.8	— 4.1	— 3.8	W	3	8	N, S N, S Ci, N, S N, S	* * ▲ *		
	o G.			59.3	— 2.8			— 3.8	WNW	3	7				
	2 p.			61.5	— 2.0			— 3.4	WSW	6	7				
	9 p.			64.5	— 3.2			— 4.1	W	6	6				
Juli 28	7 a.	»	»	67.8	— 1.2	—	—	— 1.4	W	3	10	S			
	o G.			68.3	—			—	—	—	—				
	2 p.			68.5	—			—	—	—	—				
	9 p.			68.4	+ 4.5			+ 3.2	NNW	6	8				
Juli 29	7 a.	»	»	64.7	—	—	—	—	—	—	—	Ci, S S			
	o G.			63.5	—			—	—	—	—				
	2 p.			60.8	—			—	NNW	3	9				
	9 p.			56.7	+ 2.2			+ 5.1	NNW	10	10				
Juli 30	7 a.	»	»	48.7	+ 3.0	+ 4.6	+ 1.8	+ 2.9	NW	10	10	S S S S	● ● ● ●		
	o G.			48.2	+ 3.2			+ 3.0	NNW	15	10				
	2 p.			45.0	+ 3.8			+ 3.5	N	15	10				
	9 p.			40.5	+ 3.3			+ 2.8	NNW	3	10				
Juli 31	7 a.	»	»	35.3	+ 3.6	—	+ 2.5	+ 3.1	NW	3	6	Cu-N, S Cu-N, S S			
	o G.			35.4	+ 3.8			+ 3.3	NW	3	7				
	2 p.			35.4	+ 4.5			+ 3.2	NNW	3	6				
	9 p.			35.4	—			—	—	—	—				
Juli 2.	2 p.	Sturmwinde.													
» 3.	7 a.	»													
	o G.	»													
» 12.	9 p.	Der Wind am stärksten gegen 2 Uhr Nachm., nachher ruhiger.													
» 16.	2 p.	Um 7.30 p. m. brach ein heftiger Schneesturm von S los, während der Nacht zog sich der Wind nach SE hinüber.													
» 22.	9 p.	Sturmwinde.													
» 26.	2 p.	Am späteren Abend südliche und südöstliche Sturmwinde.													
» 27.	9 p.	Heftige Stürme und Schneegestöber.													

August 1902

An Bord der

Datum.	Zeit.	Latitude. S.	Longitude. W.	Luft- druck.	Trockenes Thermometer.	Maximum- Temperatur.	Minimum- Temperatur.	Feuchtes Thermometer.	Wind- Richtung.	Wind- Geschwindigkeit Knot.	Wind- geschwindigkeit m/s	Bewölkung.	Wolken-Formen.	Hydro- meteore.
Aug. 1	7 a.	Port-Stanley		738.6	+ 1.2	+ 2.5	+ 1.3	+ 1.0	SW	m/s	10	N, S	●●●	
	0 G.			59.4	+ 1.2			+ 1.0	SW	3	10			S
	2 p.			45.9	+ 2.4			+ 2.0	SW	6	10			S
	9 p.			48.4	+ 2.5			+ 2.0	C	0	8			N, S
Aug. 2	7 a.	"	"	41.6	+ 4.0	+ 5.5	± 0.0	+ 3.4	W	6	9	N, S	●	
	0 G.			41.2	+ 4.3			+ 3.5	W	6	10			S
	2 p.			43.3	+ 4.8			+ 3.9	W	6	10			S
	9 p.			46.4	+ 3.9			+ 3.5	W	10	8			S
Aug. 3	7 a.	"	"	50.7	+ 3.7	+ 4.9	+ 1.1	+ 3.1	WSW	3	6	Ci-S, N		
	0 G.			50.6	—			—	—	—	—			—
	2 p.			48.6	—			—	—	—	—			—
	9 p.			43.0	+ 2.5			+ 2.0	" C	0	7			S-Cu
Aug. 4	7 a.	"	"	39.6	+ 3.3	+ 4.8	+ 2.0	+ 2.2	W	3	3	Ci, S	* * ▲	
	0 G.			39.8	+ 3.1			+ 2.2	W	4	3			S
	2 p.			39.9	+ 3.6			+ 2.2	W	10	6			S
	9 p.			44.2	+ 2.8			+ 1.7	W	6	10			N, S
Aug. 5	7 a.	"	"	49.4	- 1.8	—	- 2.0	- 2.5	C	0	3	Ci, S		
	0 G.			49.4	—			—	C	0	5			Ci-Cu, S
	2 p.			46.4	+ 3.6			+ 3.1	N	3	10			S
	9 p.			39.3	—			—	—	—	—			—
Aug. 6	7 a.	"	"	32.3	+ 2.5	+ 5.5	- 2.5	+ 2.0	SSW	3	3	Ci, S	●●	
	0 G.			32.3	+ 2.5			+ 2.1	SSW	3	3			Ci, S
	2 p.			32.8	+ 5.5			+ 4.0	SW	15	10			S
	9 p.			40.4	± 0.0			- 0.5	SSW	10	10			S
Aug. 7	7 a.	"	"	49.0	- 0.2	+ 3.0	- 1.5	- 1.5	C	0	3	Ci-Cu		
	0 G.			49.5	± 0.0			- 1.4	WNW	3	3			Ci-Cu
	2 p.			53.8	+ 2.5			+ 0.5	WSW	3	2			Cu, S
	9 p.			55.2	- 1.0			- 2.0	C	0	6			N, S
Aug. 8	7 a.	"	"	49.7	+ 3.0	+ 6.5	- 1.5	+ 2.0	C	0	10	S	●●	
	0 G.			48.2	+ 3.4			+ 2.1	E	3	10			S
	2 p.			39.2	+ 4.5			+ 4.0	E	10	10			S
	9 p.			31.4	+ 6.0			+ 5.5	N	15	10			S
Aug. 9	7 a.	"	"	30.3	+ 4.0	+ 6.0	+ 4.0	+ 3.0	N	10	10	S	●	
	0 G.			32.4	+ 4.0			+ 3.0	N	10	10			S
	2 p.			35.0	+ 4.0			+ 2.0	NW	2	7			Cu, S
	9 p.			38.3	+ 2.0			+ 0.5	WNW	1	5			N, S
Aug. 10	7 a.	"	"	38.3	+ 2.5	+ 5.0	+ 1.0	+ 2.0	C	0	4	Cu, S		
	0 G.			37.7	+ 2.4			+ 2.0	C	0	4			Cu, S
	2 p.			33.1	+ 5.0			+ 4.0	WSW	3	6			Cu-N, S
	9 p.			35.2	+ 2.5			+ 2.0	WNW	3	10			S
Aug. 11	7 a.	"	"	34.0	+ 0.5	+ 9.0	- 1.0	- 1.0	C	0	8	Ci-Cu, S	*	
	0 G.			33.3	+ 0.7			- 0.9	C	0	8			Ci-Cu, S
	2 p.			30.7	+ 2.0			+ 1.0	SSW	6	10			Cu-N, N, S
	9 p.			32.8	+ 1.0			± 0.0	C	0	7			Cu, S

»Antarctic».

August 1902

Datum.	Zeit.	Latitude. S.	Longitude. W.	Luft- druck.	Thermometer. Trockenes	Maximum- Temperatur.	Minimum- Temperatur.	Feuchtes Thermometer.	Wind- Richtung.	Wind- Geschwindigkeit Knot.	Wind- m/s	Bewölkung.	Wolken-Formen.	Hydro- meteore.		
Aug. 12	7 a.	Port-Stanley		736.5	+ 0.0	+ 1.5	- 1.5	- 1.5	WNW	3	3	10	S	✱		
	o G.			36.7	+ 0.6			- 1.2	WNW	3	10	S	✱			
	2 p.			39.4	+ 1.0			+ 1.1	C	0	6	Cu, S				
	9 p.			43.8	+ 1.0			1.8	C	0	8	S				
Aug. 13	7 a.	»	»	45.1	+ 0.3	+ 5.0	- 1.6	- 1.4	C	0	8	S				
	o G.			45.3	+ 0.7			- 1.0	C	0	8	S				
	2 p.			44.1	+ 1.9			- 0.2	C	0	10	S				
	9 p.			42.1	+ 2.5			+ 1.4	C	0	10	S				
Aug. 14	7 a.	»	»	42.4	- 1.2	+ 2.5	- 2.6	- 1.4	S	10	10	S	✱			
	o G.			43.3	- 1.3			- 1.6	S	6	10	S	✱			
	2 p.			46.7	- 0.7			- 1.0	SSW	6	10	N, S				
	9 p.			51.5	+ 1.3			- 1.7	SW	1	7	Ci-Cu, Cu				
Aug. 15	7 a.	»	»	52.2	+ 0.1	+ 3.1	- 1.5	- 0.6	WSW	3	4	N, S				
	o G.			52.7	+ 1.4			- 0.3	WSW	3	7	Cu-N, S				
	2 p.			53.9	+ 2.4			+ 1.2	W	3	10	S				
	9 p.			56.8	- 0.1			- 1.0	C	0	10	S				
Aug. 16	7 a.	»	»	59.2	+ 0.5	—	—	- 0.9	SSW	3	7	Cu, N				
	o G.			59.8	+ 1.1			+ 0.0	SSW	3	5	Cu, N, S				
	2 p.			62.0	+ 0.7			- 1.2	SSW	3	9	Cu, N, S				
	9 p.			64.5	+ 0.1			- 0.9	C	0	10	S				
Aug. 17	7 a.	»	»	63.2	- 1.2	+ 3.4	- 1.7	- 1.9	C	0	10	N, S				
	o G.			62.9	- 1.2			- 1.6	C	0	10	N, S				
	2 p.			58.2	+ 2.5			+ 1.6	N	3	10	S	☉			
	9 p.			54.0	+ 1.1			- 0.2	C	0	10	S				
Aug. 18	7 a.	»	»	50.4	+ 3.6	+ 6.1	+ 2.3	+ 3.2	C	0	10		☐			
	o G.			50.1	+ 3.6			+ 3.3	C	0	10		☐			
	2 p.			50.0	+ 5.1			+ 4.4	N	3	10	S	☐			
	9 p.			46.0	+ 3.1			+ 3.0	C	0	10	S	☐			
Aug. 19	7 a.	»	»	38.2	+ 4.3	+ 5.2	+ 3.4	+ 3.9	NNE	10	10	S	☉			
	o G.			38.0	+ 4.3			+ 4.0	NNE	6	10	S	☉			
	2 p.			35.3	+ 4.6			+ 3.8	N	3	10		☐			
	9 p.			33.0	+ 4.1			+ 3.7	C	0	10	S	☉			
Aug. 20	7 a.	»	»	32.3	+ 2.8	—	—	+ 2.2	SSW	10	10	Cu-N, S	☉			
	o G.			33.0	—			—	—	—	—	—	—	—	—	—
	2 p.			34.1	+ 2.2			+ 1.4	WSW	6	3	N				
	9 p.			34.9	+ 2.0			+ 1.4	C	0	10	S	✱			
Aug. 21	7 a.	»	»	37.1	+ 0.9	+ 4.5	—	- 0.6	C	0	3	Cu				
	o G.			37.7	+ 1.0			- 0.6	C	0	3	Ci-Cu				
	2 p.			39.0	+ 1.5			+ 0.3	WSW	3	4	Ci-Cu, N				
	9 p.			41.7	- 2.0			- 2.5	C	0	5	S				
Aug. 22	7 a.	»	»	43.1	+ 0.0	+ 4.5	- 1.5	- 0.5	WSW	3	8	Cu-N, S				
	o G.			44.0	+ 0.1			- 0.5	WSW	3	10	S				
	2 p.			47.9	+ 3.0			+ 2.5	WSW	12	10	N, S	✱			
	9 p.			50.1	- 2.0			- 2.5	WSW	3	10	S				

August 1902

An Bord der

Datum.	Zeit.	Latitude. S.	Longitude. W.	Luft- druck.	Trockenes Thermometer.	Maximum- Temperatur.	Minimum- Temperatur.	Fenchens Thermometer	Wind- Richtung.	Wind- Geschwindigkeit kelt.	Bewölkung.	Wolken-Formen.	Hydro- meteore.
Aug. 23	7 a.	Port-Stanley.		748.0	+ 1.0	+ 2.5	- 4.0	+ 0.5	C	m/s	8	S-Cu	
	0 G.			48.2	+ 1.0			+ 0.6	C	0	10	S	
	2 p.			49.0	+ 2.0			+ 1.5	WSW	6	8	Cu, S	
	9 p.			49.6	+ 2.0			+ 1.5	W	6	7	Cl, Cu, Cu-N, S	
Aug. 24	7 a.	»	»	50.3	- 1.0	+ 1.5	- 1.5	- 1.5	W	6	10	N, S	
	0 G.			51.3	- 1.0			- 1.5	W	8	10	S	
	2 p.			54.8	+ 0.0			- 1.0	WSW	10	8	Cu-N, S	
	9 p.			58.2	+ 0.5			- 1.0	WNW	3	7	Cu, S	
Aug. 25	7 a.	»	»	62.9	- 1.0	+ 2.6	- 1.6	- 1.5	W	3	10	S	
	0 G.			63.3	—			—	—	3	10	S	
	2 p.			64.2	+ 1.9			+ 0.8	WSW	6	10	S	
	9 p.			65.4	+ 1.8			+ 1.0	W	6	0		
Aug. 26	7 a.	»	»	64.6	+ 0.9	+ 4.9	+ 1.2	+ 0.4	WNW	3	8	Cl, N, S	
	0 G.			64.2	+ 1.2			+ 0.4	WNW	3	8	Cl, S	
	2 p.			61.3	+ 4.2			+ 3.0	WNW	10	8	Cl, S	
	9 p.			58.4	+ 3.8			+ 3.3	C	0	10	S	
Aug. 27	7 a.	»	»	55.1	+ 3.4	+ 7.1	+ 1.6	+ 3.1	SSW	3	10	S	III
	0 G.			55.2	—			—	—	0	10	S	
	2 p.			55.5	+ 4.9			+ 4.4	C	0	9	N, S	
	9 p.			54.3	+ 3.0			+ 2.8	C	0	10	S	
Aug. 28	7 a.	»	»	46.4	+ 4.0	+ 5.4	+ 2.1	+ 3.7	C	0	10	N, S	●
	0 G.			46.3	—			—	—	3	10	S	
	2 p.			52.2	+ 3.0			+ 1.5	SSW	10	8	N, S	
	9 p.			57.3	+ 0.0			- 0.9	W	3	0		
Aug. 29	7 a.	»	»	52.0	+ 2.7	+ 3.8	- 0.2	+ 2.5	W	3	10	S	
	0 G.			51.3	+ 3.0			+ 2.7	W	3	10	S	
	2 p.			49.8	+ 3.3			+ 2.2	SW	15	3	Cu, S	
	9 p.			52.0	+ 2.6			+ 1.9	SW	10	0		
Aug. 30	7 a.	»	»	48.0	+ 1.9	+ 3.6	+ 0.3	+ 1.5	W	20	5	Cl, S	
	0 G.			48.7	+ 2.0			+ 1.5	W	20	6	Cl, Cl-Cu, S	
	2 p.			53.2	+ 3.5			+ 2.3	W	10	8	Cl, Cl-Cu, S	
	9 p.			50.9	+ 2.7			+ 2.0	W	6	10	S-Cu, S	
Aug. 31	7 a.	»	»	44.6	+ 2.0	—	- 1.2	+ 1.8	W	6	10		III *
	0 G.			45.2	+ 2.2			+ 1.9	W	6	10		
	2 p.			50.0	- 0.9			- 2.6	SW	15	4	S	
	9 p.			56.7	—			—	W	1	—		

Aug. 6. Der Steward bewerkstelligte die Beobachtungen Aug. 6—Aug. 12. Wind und Bewölkung wurden von Duse in Port Louis aufgenommen.

- » 6. 9 p. Ein orkanartiger Sturm von SSW mit Regen hielt den ganzen Abend an.
- » 9. 2 p. Den ganzen Vormittag bis 3 p. m. Regenschauer.
- » 10. 9 p. Regen 3 p. m.—4.30 p. m.
- » 11. 9 p. Gegen 3 Uhr brach ein starker Sturm los, ging aber bald vorüber.
- » 14. 7 a. Starker Schneefall heute Nacht.
- » 22. 2 p. Heftige Schneegestöber seit 10 a. m., endigen gegen 5 Uhr.

»Antarctic».

September 1902

Datum.	Zeit.	Latitude. S.	Longitude. W.	Luftdruck.	Trockenes Thermometer.	Maximum- Temperatur.	Minimum- Temperatur.	Fenchens Thermometer.	Richtung.	Wind- Richtung.	Wind- Geschwindigkeit knot.	Bewölkung.	Wolken-Formen.	Hydro- meteore.	
Sept. 1	7 a.	Port-Stanley.		763.2	+ 1.9	—	—	+ 1.5	W	—	2.5	8	S		
	o G.			63.5	—	—	—	—	—	—	—	—	—		—
	2 p.			64.2	—	—	—	—	—	—	—	—	—		—
	9 p.			61.7	—	—	—	—	—	—	—	—	—		—
Sept. 2	7 a.	»	»	55.8	+ 3.5	+ 4.5	- 3.0	—	—	—	—	—	—	*	
	o G.			55.8	—	—	—	—	—	—	—	—	—		—
	2 p.			55.2	+ 3.5	—	—	+ 2.8	—	—	—	—	—		—
	9 p.			55.8	+ 1.0	—	—	+ 0.0	—	—	—	—	—		—
Sept. 3	7 a.	»	»	60.0	+ 0.8	+ 1.2	- 0.5	- 0.7	S	5	6	10	S-Cu, S		
	o G.			61.5	—	—	—	—	—	S	6	6	9		S-Cu, Cu-N, S
	2 p.			66.4	+ 0.8	—	—	- 2.3	—	C	0	6	6		Cu, S
	9 p.			69.1	- 2.2	—	—	- 3.4	—	C	0	0	0		—
Sept. 4	7 a.	»	»	68.4	+ 0.0	—	- 1.4	- 1.3	W	—	2.5	10	S		
	o G.			67.8	—	—	—	—	—	—	—	—	—		—
	2 p.			64.8	+ 2.5	—	—	+ 1.0	—	NNW	10	10	10		S
	9 p.			58.8	—	—	—	—	—	NNW	10	10	6		S
Sept. 5	7 a.	»	»	46.9	+ 4.8	—	—	+ 4.7	NW	10	10	10	S		
	o G.			46.7	—	—	—	—	—	WNW	6	10	10		S
	2 p.			46.8	+ 6.2	—	—	+ 5.9	—	W	2.5	10	10		S
	9 p.			49.9	—	—	—	—	—	—	—	—	—		—
Sept. 6	7 a.	51°46'	57°44'	55.4	+ 2.1	+ 3.6	+ 2.5	+ 1.4	SSW	2.5	3	3	Ci-S, Cu		
	o G.	56.0	—	—	—	—	—	—	—	—	—	—	Ci-S, Cu, S		
	2 p.	58.6	+ 2.7	—	—	+ 1.3	—	NNE	1.5	2	2	Ci-S			
	9 p.	60.6	+ 2.7	—	—	+ 1.4	—	NNE	1.5	0	0	—			
Sept. 7	7 a.	52°30'	59°30'	59.3	+ 2.2	+ 4.8	+ 2.0	+ 1.7	NE	3	3	3	Ci-Cu		
	o G.	58.8	+ 2.6	—	—	+ 2.2	—	ENE	3.5	7	7	A-Cu, S-Cu			
	2 p.	55.8	+ 4.5	—	—	+ 4.1	—	NE	3	3	10	S-Cu, S			
	9 p.	52.6	+ 4.7	—	—	+ 4.2	—	NNE	2.5	9	9	Cu, N, S			
Sept. 8	7 a.	Port-Albermarle		48.3	+ 4.4	+ 6.1	—	+ 4.3	ESE	4.5	10	10	S		
	o G.			48.2	+ 4.5	—	—	+ 4.4	—	W	5	0	0		S
	2 p.			48.1	+ 3.7	—	—	+ 3.2	—	C	0	0	0		—
	9 p.			50.0	+ 2.1	—	—	+ 1.5	—	W	2.5	10	10		S
Sept. 9	7 a.	»	»	51.0	- 0.2	+ 3.2	- 0.2	- 0.8	SSW	2.5	8	8	S, N	*	
	o G.			51.0	+ 1.6	—	—	- 0.4	—	WSW	6	8	8		N, S
	2 p.			52.6	+ 2.3	—	—	+ 0.5	—	SSW	10	8	8		Cu, N, S
	9 p.			57.0	+ 0.3	—	—	+ 0.0	—	SW	2.5	3	3		Cu
Sept. 10	7 a.	»	»	59.0	+ 1.5	—	- 1.1	+ 0.8	WSW	10	9	9	S-Cu, S		
	o G.			59.0	+ 2.1	—	—	- 0.4	—	W	10	10	10		S
	2 p.			58.4	+ 3.6	—	—	+ 1.4	—	SSW	10	5	5		Ci, Cu, S
	9 p.			62.3	+ 0.3	—	—	- 1.2	—	C	0	6	6		Cu, N
Sept. 11	7 a.	52°22'	60°35'	66.6	- 0.8	+ 3.2	- 1.5	- 2.5	—	0	8	8	Ci, S		
	o G.	66.8	—	—	—	—	—	—	—	0	8	8	S-Cu, S		
	2 p.	66.9	+ 1.5	—	—	- 0.7	—	NW	3.5	9	9	S-Cu, S			
	9 p.	67.6	—	—	—	—	—	NW	3.5	10	10	S-Cu, N, S			

September 1902

An Bord der

Datum.	Zeit.	Latitude. S.	Longitude. W.	Luft- druck.	Trockenes Thermometer.	Maximum- Temperatur.	Minimum- Temperatur.	Faches Thermometer.	Wind- Richtung.	Wind- Geschwindigkeit knt.	Wind- m/s	Bewölkung.	Wolken-Formen.	Hydro- meteore.
Sept. 12	7 a.	53°45'	61°08'	mm.	+ 3.2	+ 4.1	+ 1.3	+ 2.8	WNW	m/s	10.5	1	S	
	0 G.			763.8	+ 3.1			+ 2.8	WNW	10.5	2	S		
	2 p.			63.5	+ 3.9			+ 3.2	NW	1.5	6	Ci-Cu, A-Cu, Cu		
	9 p.			61.4	+ 3.8			+ 3.5	NW	9.5	6	Ci-Cu, Cu, S		
Sept. 13	7 a.	54°06'	63°05'	50.6	+ 3.1	+ 4.5	+ 2.9	+ 3.0	N	6.5	10	S	☉	
	0 G.			49.0	+ 3.1			+ 3.0	N	10.5	10	S	☉	
	2 p.			43.8	+ 4.7			+ 4.4	N	3.5	10		☉	
	9 p.			45.0	+ 3.3			+ 2.7	SW	5	7	Ci-Cu, S-Cu, S	☉	
Sept. 14	7 a.	55°05'	64°07'	48.6	+ 5.0	—	+ 3.8	+ 4.0	NNW	2.5	5	Ci-Cu, S-Cu, Cu		
	0 G.			48.7	+ 5.0			+ 4.0	NNW	2.5	6	Ci-Cu, N, S		
	2 p.			49.4	+ 4.5			+ 4.0	NNW	6	10	S		
	9 p.			52.6	—			—	NNW	2	1	Ci		
Sept. 15	7 a.	Beagle-Kanal		55.2	+ 4.0	+ 7.1	+ 2.3	+ 3.6	NNW	1.5	0	0		
	0 G.			55.6	+ 3.2			+ 2.3	C	0	0			
	2 p.			55.0	+ 6.5			+ 4.4	W	1.5	0			
	9 p.			54.0	+ 5.9			+ 3.6	C	0	0			
Sept. 16	7 a.	Ushnata		50.5	+ 3.8	+ 6.2	+ 3.6	+ 3.7	C	0	10	S	☉	
	0 G.			50.4	—			—	C	0	10	S	☉	
	2 p.			46.5	+ 4.6			+ 4.4	NE	3	6	Ci, Cu, S	☉	
	9 p.			47.4	+ 3.9			+ 3.1	NW	10	10	N, S	☉	
Sept. 17	7 a.	,		39.2	+ 4.0	—	+ 4.5	+ 3.9	C	0	10	S	☉	
	0 G.			38.6	—			—	C	0	10	S	☉	
	2 p.			36.4	+ 8.3			+ 7.2	C	0	10	S	☉	
	9 p.			37.5	+ 4.0			—	C	0	10	S	☉	
Sept. 18	7 a.	,		41.2	+ 0.1	+ 6.1	± 0.0	- 0.6	C	0	1	S-Cu		
	0 G.			41.3	+ 0.3			+ 0.5	C	0	2	S-Cu, S		
	2 p.			41.1	+ 4.7			+ 2.0	C	0	6	Ci, S-Cu		
	9 p.			40.4	+ 4.5			+ 2.7	C	0	9	N, S		
Sept. 19	7 a.	,		36.6	+ 5.0	+ 6.4	- 0.9	+ 3.8	C	0	7	Ci, N, S		
	0 G.			36.3	—			—	C	0	5	Ci, Cu, S		
	2 p.			31.5	—			—	C	0	—		☉	
	9 p.			36.3	- 1.1			—	C	0	0		☉	
Sept. 20	7 a.	,		35.2	- 1.0	—	—	- 1.3	C	0	8	S	☉	
	0 G.			35.0	—			—	C	0	10	S	☉	
	2 p.			35.6	—			—	WNW	15	10	S	☉	
	9 p.			39.5	—			—	WNW	1	10	S	☉	
Sept. 21	7 a.	,		43.7	- 1.1	—	—	- 2.4	C	0	4	Ci, N		
	0 G.			43.3	—			—	C	0	5	Ci, N, S		
	2 p.			43.4	—			—	W	10	10	S	☉	
	9 p.			50.4	—			—	C	0	0		☉	
Sept. 22	7 a.	,		49.4	—	—	- 3.0	—	C	0	10	S	☉	
	0 G.			49.3	—			—	C	0	10	S	☉	
	2 p.			50.9	- 2.8			—	W	2.5	8	S	☉	
	9 p.			55.7	—			—	W	2.5	8	S	☉	

»Antarctic«.

September 1902

Datum.	Zeit.	Latitude. S.	Longitude. W.	Luft- druck.	Trockenes Thermometer.	Maximum- Temperatur.	Minimum- Temperatur.	Fenchtes Thermometer.	Richtung.	Wind- Richtung.	Wind- Geschwindigkeit. Knot.	Wind- Richtung.	Wind- Geschwindigkeit. Knot.	Bewölkung.	Wolken-Formen.	Hydro- meteore.														
Sept. 23	7 a.	Ushuaia		mm.	- 1.0	+ 3.5	- 3.8	—	WNW	WNW	2.5	2.5	7	S-Cu, N																
	o G.			763.8													—	—	—	—	—	—	—	—	—	—	—	—	—	—
	2 p.			64.0													+ 2.4	+ 1.8	C	0	2	S-Cu								
	9 p.			64.3													+ 1.2	- 2.4	C	0	0	Cl								
Sept. 24	7 a.	»	»	45.5	+ 4.8	+ 9.9	- 2.6	+ 3.4	NE	15	10	10	10	Cu-N, N, S																
	o G.			44.5	—	—	—	—	—	—	—	—	—	—	—	—	—	—												
	2 p.			40.1	+ 8.8	+ 7.1	NE	10	9	Cu-N, S																				
	9 p.			37.3	+ 6.4	+ 6.2	C	0	3	Cl, Cu																				
Sept. 25	7 a.	»	»	36.7	+ 3.2	—	- 2.5	+ 2.6	C	0	10	10	10	S																
	o G.			36.7	—	—	—	—	—	—	—	—	—	—	—	—	—	—												
	2 p.			33.5	+ 4.2	+ 2.1	W	2.5	7	Cu, S																				
	9 p.			36.0	—	—	WSW	2.5	4	S-Cu, S																				
Sept. 26	7 a.	»	»	35.1	+ 0.8	+ 1.0	- 1.0	- 0.2	SSW	2.5	2	2	2	Cu, S																
	o G.			34.7	+ 0.8	—	—	—	—	—	—	—	—	—	—	—	—	—												
	2 p.			35.6	+ 0.2	- 1.0	SSW	6	6	Cu, S																				
	9 p.			40.4	- 0.2	- 1.0	SSW	6	8	Cu-N, S																				
Sept. 27	7 a.	»	»	46.5	- 1.5	- 0.3	- 2.0	- 1.8	SW	2.5	10	10	10	S		*														
	o G.			46.4	- 1.5	—	—	—	—	—	—	—	—	—	—	—	—	*												
	2 p.			47.0	- 1.5	- 2.0	WSW	6	10	S																				
	9 p.			54.0	- 0.6	- 1.0	W	2.5	8	S-Cu, S																				
Sept. 28	7 a.	»	»	46.5	- 2.4	—	- 5.0	- 2.7	SW	6	10	10	10	N, S		*														
	o G.			46.4	—	—	—	—	—	—	—	—	—	—	—	—	—	*												
	2 p.			47.0	- 5.0	- 5.6	WSW	6	10	S																				
	9 p.			54.0	—	—	W	6	10	S																				
Sept. 29	7 a.	»	»	62.5	- 2.4	+ 2.0	- 6.7	- 2.9	WNW	6	10	10	10	N, S		*														
	o G.			63.1	—	—	—	—	—	—	—	—	—	—	—	—	—	*												
	2 p.			66.8	+ 1.0	- 0.8	WNW	10	10	N, S																				
	9 p.			69.5	+ 1.7	+ 0.4	NNW	10	6	S																				
Sept. 30	7 a.	»	»	68.8	+ 1.5	+ 8.2	+ 1.2	+ 0.0	C	0	3	3	3	Cl, S																
	o G.			68.3	+ 1.7	—	—	—	—	—	—	—	—	—	—	—	—	—												
	2 p.			64.5	+ 7.5	+ 4.8	WNW	2.5	8	S																				
	9 p.			63.8	+ 5.5	+ 3.6	C	0	3	Cu																				

Sept. 19. 9 p. 2.30 p. m. kam von NNW ein Orkan mit Schnee und Regen.

- » 21. 9 p. Schneegestöber 11 a.—8 p.
- » 22. 7 a. Leichter Schneefall heute Nacht.
- » 24. 7 a. Sturmwinde mit kurzen Unterbrechungen.
- » 28. 7 a. Es hat die ganze Nacht geschneit.

Oktober 1902

An Bord der

Datum.	Zeit.	Latitude. S.	Longitude. W.	Luft- druck.	Trockenes Thermometer.	Maximum- Temperatur.	Minimum- Temperatur.	Faches Thermometer.	Wind- Richtung.	Wind- Geschwindigkeit Knt.	Wind- Geschwindigkeit m/s	Bewölkung.	Wolken-Formen.	Hydro- meteore.
Okt. 1	7 a.	Ushuaia.		mm.										
	0 G.			764.8	+ 5.3	+ 7.2	—	+ 3.6	NW	6	10	N, S		
	2 p.			64.6	+ 5.3			+ 3.6	NW	6	10	N, S		
	9 p.			62.6	—			—	—	—	—	—	—	
Okt. 2	7 a.	»		64.2	+ 6.9	+ 8.6	+ 6.5	+ 5.4	WNW	6	9	9	N, S	
	0 G.			64.3	+ 6.4			+ 5.1	W	10	9	9	S	
	2 p.			63.7	+ 8.3			+ 5.6	WNW	6	10	10	N, S	
	9 p.			64.8	+ 5.0			+ 3.7	C	0	10	10	N, S	
Okt. 3	7 a.	»		63.5	+ 3.0	+ 10.3	+ 2.6	+ 2.4	C	0	7	6	A-Cu, S	
	0 G.			62.9	+ 4.0			+ 3.0	C	0	0	6	A-Cu	
	2 p.			59.6	+ 9.2			+ 6.0	C	0	10	10	N, S	
	9 p.			59.3	+ 5.0			+ 3.2	C	0	0	3	N	
Okt. 4	7 a.	»		59.0	+ 6.0	+ 8.0	+ 2.4	+ 3.8	NW	6	3	3	N, S	
	0 G.			59.2	+ 6.0			+ 3.8	NW	6	4	4	N, S	
	2 p.			59.0	+ 7.8			+ 4.5	WNW	2.5	0	1	Ci-S, S	
	9 p.			59.0	+ 4.5			+ 2.5	C	0	0	1	N	
Okt. 5	7 a.	»		59.5	+ 5.1	+ 6.8	+ 3.1	+ 3.0	C	0	2	2	S	
	0 G.			59.5	+ 5.1			+ 3.1	C	0	0	2	S	
	2 p.			59.9	+ 6.0			+ 3.2	SW	15	9	9	N, S	
	9 p.			63.9	+ 4.8			+ 3.0	—	—	—	2	S	
Okt. 6	7 a.	»		65.6	+ 6.5	+ 8.1	+ 4.6	+ 4.1	WNW	2.5	2	2	S	
	0 G.			65.1	+ 6.6			+ 4.4	WNW	2.5	2	2	S	
	2 p.			65.1	+ 8.1			+ 5.0	W	2.5	3	3	Ci, S	
	9 p.			65.7	+ 5.5			+ 3.4	W	2.5	3	3	S	
Okt. 7	7 a.	»		64.7	+ 3.7	+ 8.9	+ 1.7	+ 2.4	C	0	2	2	N, S	
	0 G.			64.4	—			—	C	0	0	2	N, S	
	2 p.			63.6	+ 7.7			+ 5.1	C	0	0	0	Ci	
	9 p.			62.7	+ 1.6			+ 0.9	C	0	0	0		
Okt. 8	7 a.	»		59.2	+ 2.3	+ 8.2	+ 0.1	+ 1.8	C	0	10	10	N, S	
	0 G.			58.7	—			—	C	0	10	10	S-Cu, S	
	2 p.			56.8	+ 8.1			+ 6.2	C	0	10	10	N, S	
	9 p.			56.5	+ 5.0			+ 4.0	C	0	10	10	S	
Okt. 9	7 a.	»		58.0	+ 5.0	+ 12.5	+ 0.9	+ 4.2	C	0	0	0		
	0 G.			57.8	—			—	C	0	0	0		
	2 p.			56.2	+ 11.3			+ 8.0	C	0	0	2	Ci, S	
	9 p.			54.1	+ 6.9			+ 4.8	C	0	8	8	A-Cu, Cu, S	
Okt. 10	7 a.	»		54.0	+ 6.0	+ 8.8	+ 3.4	+ 4.9	C	0	4	4	Ci, S	
	0 G.			54.3	—			—	C	0	5	5	Ci, S	
	2 p.			55.9	+ 5.5			+ 4.0	WNW	2.5	10	10	S	
	9 p.			57.9	+ 3.2			+ 1.8	C	0	0	0		
Okt. 11	7 a.	»		53.1	+ 5.4	+ 8.4	+ 1.7	+ 3.7	C	0	7	7	Ci, S, N	
	0 G.			53.0	+ 5.4			—	W	0	7	7	Ci, N, S	
	2 p.			53.6	+ 9.0			+ 6.8	W	18	4	4	S-Cu, S	
	9 p.			56.0	+ 7.2			+ 6.0	C	0	6	6	Cu-N, S	

»Antarctic«.

Oktober 1902

Datum.	Zeit.	Latitude. S.	Longitude. W.	Luft- druck	Trocken- Thermometer.	Maximum- Temperatur.	Minimum- Temperatur.	Feuchtes Thermometer.	Wind- Richtung.	Wind- Geschwin- digkeit.	Wind- Richtung.	Bewöl- kung.	Wolken-Formen.	Hydro- meteore.
Okt. 12	7 a.	Ushunia.		mm.	+ 6.8	+ 11.1	+ 5.3	+ 6.3	C	m/s		10	N, S	
	o G.			756.0	+ 7.5			+ 6.8	C	0	0	10	N, S	
	2 p.			56.1	+ 10.0			+ 6.4	W	6	6	10	S	
	9 p.			55.7	+ 4.4			+ 3.2	C	0	0	10	S	
Okt. 13	7 a.	»	»	45.8	+ 8.8	+ 11.1	+ 1.6	+ 6.5	C	0	0	2	S	
	o G.			45.5	—			—	C	0	0	4	Cu, S	
	2 p.			43.7	+ 10.3			+ 6.4	NNE	6	6	8	S	●
	9 p.			42.3	+ 4.2			+ 2.1	C	0	0	1	Ci	
Okt. 14	7 a.	»	»	42.5	+ 6.5	+ 11.4	+ 1.9	+ 4.0	C	0	0	7	Cu, N, S	
	o G.			42.4	+ 6.4			+ 3.5	W	2.5	2.5	10	N, S	
	2 p.			41.6	+ 8.2			+ 5.5	C	0	0	10	S	
	9 p.			40.1	+ 3.4			+ 3.0	C	0	0	0	0	0
Okt. 15	7 a.	»	»	32.6	+ 9.6	+ 9.7	+ 1.3	+ 5.6	N	10	8	8	Cu-N, S	
	o G.			32.0	—			—	N	6	5	5	Cu-N, N, S	
	2 p.			32.6	+ 9.8			+ 5.4	N	2.5	4	4	Ci, N, S	
	9 p.			40.4	+ 2.7			+ 2.0	C	0	3	3	Cu	
Okt. 16	7 a.	»	»	40.5	+ 5.7	+ 9.9	± 0.0	+ 2.9	C	0	0	10	S	
	o G.			39.9	—			—	C	0	0	10	S	
	2 p.			36.9	+ 8.6			+ 5.5	NNE	2.5	7	7	Ci, S-Cu, S	
	9 p.			36.0	+ 4.5			+ 3.2	C	0	4	4	A-Cu, S	
Okt. 17	7 a.	»	»	38.7	+ 4.0	—	- 0.1	+ 2.7	WNW	2.5	10	S		
	o G.			38.9	+ 5.0			+ 3.6	C	0	2	2	S	
	2 p.			38.3	+ 6.6			+ 4.1	SSW	12	3	3	Ci, A-Cu, Cu	
	9 p.			33.7	—			—	—	—	—	—	—	
Okt. 18	7 a.	»	»	33.3	+ 5.7	+ 11.3	+ 4.5	+ 5.1	C	0	0	10	S	
	o G.			33.9	—			—	C	0	0	10	S	
	2 p.			30.2	+ 10.7			+ 7.5	C	0	0	10	Cu-N, S	
	9 p.			24.7	+ 7.2			+ 6.1	C	0	0	10	S	●
Okt. 19	7 a.	»	»	29.7	+ 1.3	+ 8.2	—	+ 0.4	C	0	0	8	Ci, N, S	● *
	o G.			29.8	—			—	C	0	0	7	N, S	●
	2 p.			27.8	—			—	—	—	—	—	—	—
	9 p.			25.7	+ 4.5			+ 3.0	WNW	2.5	10	10	N, S	●
Okt. 20	7 a.	»	»	33.9	+ 3.5	+ 5.5	+ 1.3	+ 2.8	C	0	0	10	Cu-N, N, S	
	o G.			34.8	—			—	C	0	0	10	Cu-N, N, S	
	2 p.			38.3	+ 5.5			+ 2.9	WNW	2.5	8	8	Ci, Cu-N, S	
	9 p.			38.3	—			—	NNE	2.5	10	10	S	
Okt. 21	7 a.	»	»	38.7	+ 3.1	+ 6.1	+ 2.0	+ 2.1	W	2.5	7	7	Cu, Cu-N, S	
	o G.			39.6	—			—	W	6	7	7	Cu, Cu-N, S	*
	2 p.			41.0	—			—	—	—	—	—	—	—
	9 p.			42.8	+ 0.4			- 1.8	C	0	0	0	0	
Okt. 22	7 a.	»	»	38.9	+ 4.1	+ 5.4	- 1.5	+ 1.6	E	2.5	1	1	Ci-S	
	o G.			39.1	+ 4.2			+ 1.5	E	2.5	1	1	Ci-S	
	2 p.			38.9	+ 4.8			+ 2.3	C	0	9	9	Cu, S	
	9 p.			36.0	+ 4.8			+ 2.6	ENE	2.5	3	3	N, S	
Okt. 23	7 a.	»	»	32.2	+ 6.6	+ 8.8	+ 3.1	+ 4.4	NE	6	8	8	Ci, Cu, S	
	o G.			31.6	+ 6.6			—	NE	6	8	8	Ci, Cu, S	
	2 p.			28.4	—			—	—	—	—	—	—	—
	9 p.			28.1	+ 5.0			+ 2.8	C	0	4	4	N, S	(●) Mtg)

Oktober 1902

An Bord der

Datum.	Zeit.	Latitude. S.	Longitude. W.	Luft- druck.	Trockenes Thermometer.	Maximum- Temperatur.	Minimum- Temperatur.	Feuchtes Thermometer.	Wind- Richtung.	Wind- Geschwindigkeit Knot.	Wind- Geschwindigkeit m/s	Bewölkung.	Wolken-Formen.	Hydro- meteore.
Okt. 24	7 a.	Ushuaia		725.4	+ 4.4	+ 5.4	+ 1.6	+ 2.3	C	0	0	8	N, S	☉ ☽ ☼ ☼
	0 G.			25.1	+ 4.3			+ 3.3	C	0	8	N, S		
	2 p.			29.2	+ 2.6			+ 2.5	W	2.5	10			
	9 p.			33.6	+ 1.0			+ 1.0	C	0	10			
Okt. 25	7 a.	"	"	34.7	+ 0.2	+ 1.3	- 1.9	- 0.8	E	2.5	8	S-Cu, Cu, S		
	0 G.			34.6	- 0.2			- 0.9	WNW	2.5	9	Ci-Cu, N, S		
	2 p.			36.1	- 0.2			- 2.4	WSW	6	9	Cu, N, S		
	9 p.			42.1	- 2.0			- 3.6	C	0	7	N, S		
Okt. 26	7 a.	"	"	46.3	- 1.0	—	- 2.4	- 2.8	C	0	8	S-Cu, N		
	0 G.			46.0	- 1.0			—	C	0	8	S-Cu, N		
	2 p.			42.4	+ 3.8			+ 0.9	C	0	10	S		
	9 p.			38.2	—			—	—	—	—	—		
Okt. 27	7 a.	"	"	45.3	+ 1.0	+ 5.0	- 2.2	+ 0.3	WSW	2.5	10		☼ ☼ ☼ ☼	
	0 G.			46.1	—			—	WSW	2.5	10			
	2 p.			46.8	+ 3.0			+ 1.7	W	15	6	Ci, Cu, S-Cu		
	9 p.			44.7	+ 3.2			+ 2.3	C	0	10	S		
Okt. 28	7 a.	"	"	39.5	+ 5.6	+ 9.8	+ 2.5	+ 4.2	C	0	10	N, S		
	0 G.			39.1	+ 5.9			+ 4.7	C	0	10	N, S		
	2 p.			35.5	+ 7.5			+ 5.5	C	0	10	N, S		
	9 p.			34.5	+ 4.0			+ 3.5	C	0	4	Cu, S		
Okt. 29	7 a.	"	"	34.2	+ 2.5	+ 2.5	+ 1.1	+ 2.0	C	0	10	S	☼ ☼ ☼ ☼	
	0 G.			34.3	—			—	C	0	10	S		
	2 p.			36.3	+ 1.8			+ 1.3	SW	10	10	S		
	9 p.			42.0	+ 1.9			+ 1.6	W	2.5	10	S		
Okt. 30	7 a.	Harberton	"	51.2	+ 1.5	+ 5.9	± 0.0	+ 1.0	SSE	9.5	7	Ci, Cu, S	☼	
	0 G.			51.7	+ 1.5			+ 1.0	S	1.5	7	Ci-Cu, Cu, S		
	2 p.			52.4	+ 4.7			+ 2.2	E	2	10	Cu, Cu-N, S		
	9 p.			48.7	+ 3.0			+ 2.1	C	0	10	S		
Okt. 31	7 a.	"	"	41.5	+ 5.5	+ 9.2	+ 3.5	+ 4.2	C	0	10	S		
	0 G.			41.0	—			—	—	—	—	—		
	2 p.			39.2	+ 7.1			+ 5.9	S	2.5	10	Cu-N, N, S		
	9 p.			43.3	+ 4.0			+ 2.7	W	2.5	5	Cu, N		

Okt. 5. 2 p. Der Sturm fing gleich nach 8 a. an.
 » 11. 2 p. Sturm 8 a.—6 p.
 » 13. 2 p. Sturmwinde seit 8.30 a.
 » 18. 2 p. Schwere Stürme von N 9 a.—1.30 p.
 9 p. Sturmwinde mit langen Pausen.
 » 19. 0 G. Sturmwinde.
 » 23. 2 p. Gegen 12 Uhr Regen; etwas später Sturmwinde.
 » 24. 2 p. Es hat den ganzen Vormittag geschneit.
 » 25. 9 p. Dichter Schneefall 4 p.—8 p.
 » 26. 7 a. Auf dem Deck hoher Schnee.
 » 29. 9 p. Heftige Schneegestöber seit 9 a.
 » 30. 2 p. Schneegestöber den ganzen Vormittag.

»Antarctic«.

November 1902

Datum.	Zeit.	Latitude. S.	Longitude. W.	Luft- druck.	Trockenes Thermometer.	Maximum- Temperatur.	Minimum- Temperatur.	Fenchtes Thermometer.	Richtung. Wind- richtung.	Wind- Geschwindigkeit. Kett.	Bewölkung.	Wolken-Formen.	Hydro- metere.
Nov. 1	7 a.	Harberton		745.5	+ 4.3	+ 9.6	+ 3.0	+ 2.8	C	0	10	Cu, S-Cu, S	
	o G.			45.4	+ 4.4			+ 2.7	C	0	10	S-Cu, Cu-N, S	
	2 p.			43.5	+ 8.3			+ 5.2	WNW	2.5	6	Cl, Cu, S	
	9 p.			44.9	+ 7.0			+ 4.4	C	0	2	Cu, S	
Nov. 2	7 a.	»	»	42.9	+ 4.7	+ 9.4	+ 1.8	+ 4.0	C	0	7	Cl, Cl-Cu, S-Cu, S	
	o G.			42.8	—			—	—	0	6	Cl, S-Cu, S	
	2 p.			41.2	—			—	—	0	—	—	
	9 p.			40.7	—			—	—	0	—	—	
Nov. 3	7 a.	»	»	44.0	+ 2.0	+ 5.4	+ 0.9	+ 1.1	W	2.5	4	Cl, Cu, S	* ■
	o G.			44.3	+ 2.0			+ 1.4	W	2.5	10	S	
	2 p.			46.5	+ 4.5			+ 2.3	W	2.5	7	Cu, S	
	9 p.			48.2	+ 1.9			+ 0.7	C	0	3	Cu, N	
Nov. 4	7 a.	Ushuaia		45.1	+ 3.6	+ 6.0	± 0.0	+ 2.6	C	0	3	Cl, S	
	o G.			44.5	+ 3.8			+ 2.7	C	0	4	Cl, S	
	2 p.			40.9	+ 6.6			+ 3.2	ENE	3.5	10	S-Cu, Cu-N, S	
	9 p.			39.2	+ 3.5			+ 2.5	C	0	10	N, S	
Nov. 5	7 a.	Nassau-Bay		38.8	+ 3.6	—	+ 0.3	+ 2.7	WSW	1	3	Cl, S-Cu	■
	o G.			38.9	+ 3.6			+ 2.8	WSW	1	4	Cl, S-Cu, S	
	2 p.			40.9	+ 5.5			+ 4.8	SW	4	10	S-Cu, N, S	
	9 p.			45.4	—			—	—	—	—	—	
Nov. 6	7 a.	Teknika-Bay		50.0	+ 1.8	+ 5.5	—	+ 1.7	C	0	10	N, S	* * * * *
	o G.			50.3	—			—	C	0	10	N, S	
	2 p.			52.2	—			—	—	0	10	S	
	9 p.			53.3	+ 1.2			+ 0.2	WNW	6	10	S	
Nov. 7	7 a.	Orange-Bay		54.5	+ 1.9	—	+ 1.2	+ 1.3	WSW	4	10	N, S	* * * * *
	o G.			54.6	+ 1.9			+ 1.7	SW	6	10	S	
	2 p.			54.7	+ 4.0			+ 3.5	WSW	9.5	10	S-Cu, S	
	9 p.			54.5	—			—	—	—	10	S-Cu, S	
Nov. 8	7 a.	57°16'	67°03'	49.7	+ 1.9	+ 2.4	+ 0.2	+ 0.8	WSW	9	10	N, S	■
	o G.			48.7	+ 1.8			+ 0.8	W	10.5	10	S-Cu, N, S	
	2 p.			43.0	+ 2.3			+ 1.7	W	10	10	N, S	
	9 p.			46.0	+ 1.4			+ 0.6	WNW	3	9	S-Cu, S	
Nov. 9	7 a.	58°51'	65°56'	46.5	- 1.0	+ 0.2	- 1.6	- 2.4	WNW	3.5	10	S-Cu, N, S	* * * * *
	o G.			46.0	- 1.0			- 2.2	WNW	3.5	10	N, S	
	2 p.			44.0	- 0.4			- 2.1	W	10	9	S-Cu, Cu, S	
	9 p.			38.9	- 0.4			- 1.9	WNW	7	10	S	
Nov. 10	7 a.	60°07'	64°46'	35.6	- 5.4	- 0.2	- 6.3	- 6.5	WNW	3	10	S	* * * * *
	o G.			35.9	- 5.4			- 6.5	WNW	3	10	S	
	2 p.			38.0	- 5.8			- 7.0	W	10	7	Cl, S-Cu, Cu, S	
	9 p.			39.7	- 5.6			- 7.5	WSW	10	8	Cu, S-Cu, N	
Nov. 11	7 a.	60°44'	63°54'	38.8	- 5.6	- 4.3	- 6.0	- 6.7	WSW	6	10	S	* * * * *
	o G.			38.4	- 5.6			—	WSW	6	10	S	
	2 p.			37.0	- 5.2			- 6.6	WSW	6.5	10	S-Cu, S	
	9 p.			37.0	- 5.0			- 6.2	W	4	3	Cl, S	

November 1902

An Bord der

Datum.	Zeit.	Lati- tude. S.	Longi- tude. W.	Luft- druck.	Trockenes Thermometer.	Maximum- Temperatur.	Minimum- Temperatur.	Feuchtes Thermometer.	Wind- Richtung.	Wind- Geschwindigkeit knt.	Wind- m/s	Bewölkung.	Wolken-Formen.	Hydro- meteore.
Nov. 12	7 a.	61°11'	62°17'	737.3	— 6.0	— 3.0	— 6.6	— 6.7	C	0	0	1	S	
	o G.			37.3	— 6.0			— 6.7	C	0	2	Cu, S		
	2 p.			38.0	— 4.2			— 5.5	SW	3	3	Ci-Cu, S		
	9 p.			38.6	— 5.8			— 6.5	SW	2.5	4	Ci-Cu, S-Cu, S		
Nov. 13	7 a.	61°17'	61°39'	39.4	— 7.0	— 4.9	— 6.9	— 7.7	C	0	10	10	N, S	*
	o G.			39.3	— 7.0			—	C	0	10	N, S		
	2 p.			38.7	— 5.1			— 7.0	C	0	10	N, S		
	9 p.			37.9	— 6.3			— 7.2	C	0	9	Ci-Cu, N, S		
Nov. 14	7 a.	61°18'	61°31'	35.5	— 6.0	— 3.8	— 8.0	— 6.8	C	0	7	7	Ci, Cu, S-Cu	
	o G.			35.5	— 5.8			— 6.4	C	0	8	Ci-Cu, Cu-N, S		
	2 p.			36.3	— 4.6			— 5.9	SE	2.5	8	Cu, Cu-N, N, S		
	9 p.			38.9	— 6.1			— 6.7	C	0	1	Ci-S		
Nov. 15	7 a.	61°14'	61°02'	41.2	— 7.2	— 4.8	— 7.6	— 7.8	SW	2.5	7	7	Ci-Cu, Cu-N, S	
	o G.			41.3	— 7.2			—	SW	2.5	7	Ci-Cu, Cu-N, S		
	2 p.			43.1	— 5.0			— 6.4	WSW	2.5	3	Ci, Ci-Cu, S-Cu		
	9 p.			45.6	— 6.1			— 7.0	C	0	7	S-Cu, N		
Nov. 16	7 a.	61°19'	60°53'	44.0	— 6.5	— 1.9	— 9.2	— 7.1	ENE	2.5	9	9	Cu, S	
	o G.			44.2	— 6.3			— 6.9	E	2.5	7	Cu, S		
	2 p.			46.6	— 2.6			— 3.9	ESE	2.5	3	Ci-Cu, Cu, S		
	9 p.			52.0	— 4.6			— 5.1	C	0	2	Ci, S		
Nov. 17	7 a.	61°34'	60°42'	53.3	— 4.8	— 3.3	— 8.5	— 5.5	C	0	1	1	Ci	
	o G.			53.5	— 4.7			— 5.5	C	0	1	Ci		
	2 p.			53.3	— 3.4			— 4.4	ENE	6	8	Ci, S-Cu, Cu-N		
	9 p.			50.3	— 4.9			— 5.9	ENE	15	10	S-Cu, S		
Nov. 18	7 a.	61°53'	60°45'	46.0	— 4.2	— 3.5	— 6.5	— 4.6	ESE	15	10	10	S	*
	o G.			45.5	— 4.0			— 4.5	ESE	15	10	S		
	2 p.			44.7	— 4.2			— 5.6	SE	20	10	S		
	9 p.			46.2	— 3.8			— 4.5	E	18	10	S-Cu, S		
Nov. 19	7 a.	61°55'	61°20'	48.6	— 3.3	— 2.4	— 3.6	— 3.9	SE	10	10	10	S-Cu, S	
	o G.			48.8	— 3.4			— 3.9	SE	10	10	S-Cu, N, S		
	2 p.			49.2	— 2.9			— 3.6	E	6	10	S		
	9 p.			49.1	— 2.8			— 3.1	E	10	10	S		
Nov. 20	7 a.	61°56'	61°52'	48.0	— 2.6	— 1.8	— 2.9	— 2.8	ESE	10	10	10	S	
	o G.			48.0	— 2.6			— 2.9	ESE	10	10	S		
	2 p.			47.7	— 2.2			— 3.4	ESE	6	10	S		
	9 p.			46.6	— 2.1			— 2.3	E	15	10	S		
Nov. 21	7 a.	62°05'	62°12'	44.4	— 3.2	— 2.0	— 4.5	— 3.5	ENE	15	10	10	S	**
	o G.			44.3	— 3.0			— 3.2	ENE	10	10	S		
	2 p.			42.9	— 4.1			— 4.5	ENE	15	10	S		
	9 p.			43.5	— 3.8			— 4.0	E	15	10	S		
Nov. 22	7 a.	62°06'	62°30'	47.7	— 3.6	— 1.8	— 3.8	— 3.7	E	10	10	10	S	**
	o G.			48.0	— 3.6			—	E	10	10	S		
	2 p.			50.7	— 3.8			— 4.4	E	6	10	S		
	9 p.			53.0	—			— 4.0	ENE	3	10	S-Cu, N, S		

»Antarctic«.

November 1902

Datum.	Zeit.	Latitude. S.	Longitude. W.	Luft- druck.	Trockenes Thermometer.	Maximum- Temperatur.	Minimum- Temperatur.	Feuchtes Thermometer.	Wind- Richtung.	Wind- Geschwindigkeit. Kett.	Bewölkung.	Wolken-Formen.	Hydro- metere.	
Nov. 23	7 a.	62°52'	61°30'	754.1	- 2.7	- 1.8	- 3.8	- 3.1	NE	2.5	10	S-Cu, N, S		
	o G.			54.1	- 2.6			- 3.1	NNE		10	S-Cu, N, S		
	2 p.			54.2	- 2.0			- 2.9	NNE		10	Cu, S-Cu, N, S		
	9 p.			53.7	- 2.5			- 3.6	C		10	S-Cu, N, S		
Nov. 24	7 a.	63°02'	60°34'	53.0	- 2.9	- 0.9	- 3.5	- 3.6	C	0	10	S	* ■	
	o G.			52.8	- 2.7			- 3.6	C		10	S		
	2 p.			52.7	- 3.4			- 4.0	WNW		10	S		
	9 p.			52.4	- 3.9			- 4.3	NW		2.5	S		
Nov. 25	7 a.	62°46'	59°24'	51.3	- 3.5	- 1.6	- 4.2	- 4.0	NW	2.5	10	Cu, S	■ * ●	
	o G.			50.0	- 3.0			- 3.6	NW		2.5	Cu, S		
	2 p.			48.8	- 2.4			- 3.7	NNW		2.5	S		
	9 p.			44.7	- 2.8			- 3.1	N		6	S		
Nov. 26	7 a.	63°16'	58°28'	42.4	- 1.5	+ 3.2	- 3.2	- 2.2	C	0	1	S		
	o G.			42.5	- 1.3			- 2.2	C		4	Cu, S		
	2 p.			41.5	- 0.9			- 2.3	C		10	S-Cu, S		
	9 p.			40.4	- 2.5			- 3.9	E		2.5	S		
Nov. 27	7 a.	63°29'	58°39'	43.4	+ 0.0	+ 2.5	- 3.4	- 1.2	ENE	2.5	7	Ci, Cu, S-Cu		
	o G.			43.7	+ 0.0			- 1.1	ENE		2.5	7		Ci-Cu, Cu, S-Cu
	2 p.			47.2	- 2.1			- 3.6	ESE		9	S-Cu, N, S		
	9 p.			51.1	- 2.0			- 3.2	E		6	6		
Nov. 28	7 a.	63°42'	59°05'	55.4	- 1.0	+ 3.8	- 2.2	- 2.6	SW	2.5	0			
	o G.			55.5	- 1.0			- 2.6	C		1	Ci		
	2 p.			56.6	+ 1.4			- 0.7	C		0	Ci, S		
	9 p.			57.0	- 1.0			- 2.2	C		6			
Nov. 29	7 a.	63°44'	60°16'	55.9	- 1.3	+ 3.6	—	- 2.0	—	—	7	Ci, Cu, S		
	o G.			55.7	—			—	—		—	—		
	2 p.			53.4	—			—	—		—	—		
	9 p.			48.9	- 1.0			- 2.0	NE		6	9		N, S
Nov. 30	7 a.	63°57'	60°42'	45.6	- 0.6	—	- 1.0	—	NE	2.5	8			
	o G.			45.5	—			—	—		—	8		
	2 p.			46.5	- 0.2			- 1.3	N		2.5	8		Ci, S
	9 p.			49.1	- 2.0			- 2.0	WNW		2.5	10		Ci, S

Nov. 3. 2 p. Sturmwinde mit Schnee.
 » 6. 9 p. Schneegestöber während des ganzen Tages.
 » 10. 7 a. Die ganze Nacht Schneefall.
 » 22. 2 p. Sturmwinde.
 » 27. 27./11.—5./12. werden die Beobachtungen von K. A. ANDERSSON vorgenommen.

Dezember 1902

An Bord der

Datum.	Zeit.	Latitude. S.	Longitude. W.	Luft- druck.	Trockenes Thermometer.	Maximum- Temperatur.	Minimum- Temperatur.	Feuchtes Thermometer.	Wind- Richtung.	Wind- Geschwindigkeit kelt.	Wind- Geschwindigkeit m/s	Bewölkung.	Wolken-Formen.	Hydro- meteore.		
Dez. 1	7 a.	64°09'	61°10'	mm.	- 2.0	- 1.0	- 2.0	- 3.2	NE	2.5	10	10	S			
	o G.			752.6	—	—	—	—	—	—	—	—	6	Cu, S		
	2 p.			32.7	- 1.1	—	—	—	—	—	—	—	—	—	S	
	9 p.			54.7	- 2.3	—	—	—	—	—	NW	2.5	10	—	—	
Dez. 2	7 a.	64°19'	61°19'	58.0	- 2.2	+ 0.2	- 2.2	- 3.6	C	0	8	10	Cu, S			
	o G.			58.3	—	—	—	—	—	—	—	—	—	—	—	
	2 p.			58.7	- 1.3	—	—	—	—	—	C	0	10	—	—	
	9 p.			58.9	- 2.2	—	—	—	—	—	C	0	6	10	—	
Dez. 3	7 a.	63°52'	61°32'	58.9	- 3.2	- 1.5	- 3.0	- 4.3	ENE	2.5	10	10	Cu, S			
	o G.			58.7	—	—	—	—	—	—	—	—	—	—	—	
	2 p.			57.8	- 2.2	—	—	—	—	—	C	0	10	—	—	
	9 p.			55.8	- 1.8	—	—	—	—	—	ENE	2.5	8	10	—	
Dez. 4	7 a.	63°55'	60°24'	53.7	- 2.2	+ 4.0	- 2.2	- 3.4	C	0	8	—	S, Cu	■		
	o G.			53.1	—	—	—	—	—	—	—	—	—	—	—	
	2 p.			52.7	+ 0.5	—	—	—	—	—	C	0	10	—	—	
	9 p.			51.8	- 0.4	—	—	—	—	—	C	0	10	—	—	
Dez. 5	7 a.	63°33'	59°43'	50.3	—	+ 5.0	- 0.2	—	—	—	—	—	—	—		
	o G.			50.2	- 0.2	—	—	—	—	—	—	—	—	—	—	
	2 p.			48.6	+ 0.6	—	—	—	—	—	C	0	10	—	—	
	9 p.			47.4	- 1.3	—	—	—	—	—	C	0	10	—	—	
Dez. 6	7 a.	63°05'	57°06'	47.1	+ 0.8	+ 1.0	- 3.2	- 0.7	SSE	1.5	8	8	Cu, S	■		
	o G.			47.1	+ 0.8	—	—	—	—	—	—	—	—	—	—	
	2 p.			47.8	- 0.5	—	—	—	—	—	SSE	2.0	10	—	—	
	9 p.			49.7	+ 0.2	—	—	—	—	—	S	1.4	10	10	—	
Dez. 7	7 a.	63°06'	56°56'	51.0	- 0.8	+ 5.5	- 0.9	- 2.0	S	9.5	9	9	S-Cu, S			
	o G.			51.0	- 0.3	—	—	—	—	—	—	—	—	—	—	
	2 p.			52.0	+ 0.1	—	—	—	—	—	SSW	9.5	9	9	S-Cu, N, S	
	9 p.			51.7	± 0.0	—	—	—	—	—	C	0	4	9	—	
Dez. 8	7 a.	63°11'	56°37'	49.2	- 0.4	+ 1.5	- 1.3	- 1.0	C	0	2	2	Ci, Cu, S			
	o G.			48.9	- 0.4	—	—	—	—	—	—	—	—	—	—	
	2 p.			48.0	- 0.3	—	—	—	—	—	ENE	1	3	3	Ci, Cu, S	
	9 p.			48.0	- 1.8	—	—	—	—	—	C	0	10	10	—	
Dez. 9	7 a.	62°38'	55°22'	48.0	- 1.5	+ 0.2	- 1.9	- 1.8	C	0	10	10	S	■		
	o G.			48.0	- 1.2	—	—	—	—	—	—	—	—	—	—	
	2 p.			48.1	- 1.0	—	—	—	—	—	C	0	10	10	—	
	9 p.			48.1	- 0.8	—	—	—	—	—	ESE	2.5	10	10	—	
Dez. 10	7 a.	62°09'	54°12'	47.8	- 1.6	+ 0.8	- 1.2	- 1.9	SSW	3	10	10	S	■		
	o G.			47.7	- 1.5	—	—	—	—	—	—	—	—	—	—	
	2 p.			47.1	- 0.6	—	—	—	—	—	SSW	3	10	10	S	
	9 p.			46.4	- 1.2	—	—	—	—	—	NNE	2	10	10	—	
Dez. 11	7 a.	62°07'	54°17'	45.5	- 0.8	+ 2.9	- 0.8	- 1.1	C	0	10	10	—	■		
	o G.			45.5	- 0.6	—	—	—	—	—	—	—	—	—	—	
	2 p.			45.7	- 0.2	—	—	—	—	—	C	0	10	10	—	
	9 p.			46.4	- 0.6	—	—	—	—	—	C	0	10	10	—	

»Antarctic«.

Dezember 1902

Datum.	Zeit.	Latitude. S.	Longitude. W.	Luft- druck.	Trockenes Thermometer.	Maximum- Temperatur.	Minimum- Temperatur.	Feuchtes Thermometer.	Wind- Richtung.	Wind- Geschwindigkeit. kelt.	Wind- geschwindigkeit. m/s	Bewölkung.	Wolken-Formen.	Hydro- meteore.
Dez. 12	7 a.	62°01'	53°57'	746.0	- 0.8	+ 0.1	- 1.1	- 1.3	NNW	2.5	10	S	☼ ☼	
	o G.			46.0	- 0.8		- 1.3	NNW	2.5	10	S			
	2 p.			46.1	+ 0.2		- 0.8	C	0	10	S			
	9 p.			45.6	- 0.8		- 1.1	N	2.5	10				
Dez. 13	7 a.	62°01'	53°32'	44.4	- 1.1	+ 0.2	- 0.8	- 1.9	NNE	2.5	10	S-Cu, S		
	o G.			44.3	—		—	—	—	—	—	—		
	2 p.			43.3	- 0.1		- 1.6	SSE	2.5	10	N, S			
	9 p.			42.4	- 0.9		- 1.8	C	0	9	S-Cu, S			
Dez. 14	7 a.	61°57'	53°17'	39.2	- 0.7	+ 0.4	- 1.9	- 1.6	NNE	2.5	4	Ci, Ci-Cu, S	☼	
	o G.			38.7	- 0.5		- 1.5	NNE	2.5	6	Ci, Ci-Cu, Cu, S			
	2 p.			33.5	+ 0.1		- 1.1	NE	2.5	10	S			
	9 p.			30.9	- 0.8		- 1.1	W	6	10	N, S			
Dez. 15	7 a.	61°53'	53°00'	32.0	- 1.6	- 0.1	- 2.7	- 2.2	NNW	6	10	S-Cu, S	☼	
	o G.			31.3	- 1.6		- 2.3	NNW	6	10	S-Cu, S			
	2 p.			29.4	- 1.2		- 2.5	NW	6	10	S			
	9 p.			30.0	- 1.8		- 2.7	WNW	6	9	S-Cu, Cu, S			
Dez. 16	7 a.	61°43'	52°44'	30.4	- 1.8	- 0.4	- 3.2	- 2.3	C	0	10	N, S		
	o G.			30.7	- 1.8		- 2.3	SSW	2.5	9	Cu, N, S			
	2 p.			34.4	- 1.2		- 2.1	S	10	10	S			
	9 p.			37.0	- 1.6		- 2.2	SSW	2.5	6	Ci-Cu, Cu, N, S			
Dez. 17	7 a.	62°04'	53°25'	38.7	- 1.6	- 0.8	- 2.4	- 2.1	SSE	10	10	S	☼	
	o G.			38.8	- 1.5		- 1.9	S	6.5	10	S			
	2 p.			41.3	- 1.7		- 2.9	S	5	8	Cu, Cu-N, S			
	9 p.			43.1	- 2.0		- 2.6	S	2.5	8	Ci, Cu, S-Cu, S			
Dez. 18	7 a.	62°13'	55°30'	44.5	- 2.3	+ 4.5	- 2.7	- 3.0	SSW	2.5	1	Cu		
	o G.			44.6	- 2.0		- 2.7	C	0	1	Ci-S			
	2 p.			44.0	- 0.2		- 1.9	C	0	1	Ci, S			
	9 p.			42.9	- 2.1		- 2.9	NE	6	8	S-Cu, Cu, N			
Dez. 19	7 a.	62°40'	56°51'	41.7	- 2.4	- 0.7	- 2.7	- 2.9	E	3.5	6	Ci-S, Cu, N, S		
	o G.			41.8	- 2.0		- 2.8	C	0	4	Ci, Cu, S			
	2 p.			43.1	- 1.4		- 2.9	NNE	3	7	Ci-Cu, S-Cu, S			
	9 p.			44.1	- 1.7		- 2.6	C	0	9	S-Cu, Cu-N, S			
Dez. 20	7 a.	62°55'	55°57'	42.5	- 2.6	- 0.9	- 3.2	- 3.0	C	0	10	S	☼ ☼	
	o G.			42.0	- 2.7		- 3.1	NE	6	10				
	2 p.			37.7	- 1.6		- 1.9	ENE	10	10				
	9 p.			34.0	- 1.1		- 1.3	C	0	10				
Dez. 21	7 a.	62°55'	55°57'	34.9	- 2.2	- 0.8	- 2.5	- 3.1	SSW	6	6	Ci, S	☼ ☼ ☼	
	o G.			35.0	- 2.0		- 3.0	SSW	2.5	8	Ci, Cu, S			
	2 p.			36.4	- 1.0		- 2.3	S	2.5	9	Ci-Cu, S-Cu, S			
	9 p.			36.3	- 1.8		- 2.2	NE	3.5	10	Ci, Ci-Cu, Cu-N, S			
Dez. 22	7 a.	63°13'	56°34'	34.3	- 1.0	+ 1.8	- 2.3	- 1.3	NNW	2.5	10	S	☼ ☼ ☼ ☼	
	o G.			34.1	- 1.0		- 1.2	NNW	2.5	10				
	2 p.			33.2	- 0.4		- 0.6	NNE	3	10				
	9 p.			31.7	+ 0.4		+ 0.2	C	0	10				

Dezember 1902

An Bord der

Datum.	Zeit.	Latitude. S.	Longitude. W.	Luft- druck.	Trockenes Thermometer.	Maximum- Temperatur.	Minimum- Temperatur.	Reelles Thermometer.	Wind- Richtung.	Wind- Geschwindigkeit. kelt.	Wind- Geschwindigkeit. m/s	Bewölkung.	Wolken-Formen.	Hydro- metere.	
Dez. 23	7 a.	63° 19'	56° 32'	732.1	- 0.4	+ 1.0	- 2.4	- 0.7	C	0	10	10	S	III III	
	o G.			32.4	- 0.2			- 0.2	C	0	10	10	S		
	2 p.			32.4	+ 0.1			- 0.2	C	0	10	10	S		
	9 p.			32.7	- 2.0			- 2.4	NNW	2.5	10	10	N, S		
Dez. 24	7 a.	»	»	35.0	- 0.6	+ 1.8	- 3.0	- 1.1	C	0	6	6	Ci-Cu, S-Cu, S		
	o G.			35.2	± 0.0			- 1.0	C	0	7	7	Ci, Ci-Cu, S-Cu, S		
	2 p.			36.2	0.6			- 1.1	C	0	1	1	Ci, Ci-S		
	9 p.			38.9	± 1.2			- 2.0	C	0	7	7	S-Cu, Cu, N		
Dez. 25	7 a.	»	»	39.6	- 3.1	+ 5.8	- 5.3	- 4.0	C	0	0	0			
	o G.			39.6	- 3.0			- 3.0	C	0	0	0	0		Cu, S
	2 p.			39.8	- 1.6			-	C	0	7	7	Ci, Ci-S		
	9 p.			40.0	- 2.8			- 3.6	C	0	1	1	Ci, Ci-S		
Dez. 26	7 a.	63° 08'	56° 39'	40.6	- 1.5	+ 3.0	-	- 2.2	C	0	3	3	Ci		
	o G.			40.7	- 1.1			- 1.9	SSW	3	4	4	Ci, S		
	2 p.			40.7	+ 0.2			- 1.1	SSW	3.5	8	8	Ci, Cu, S		
	9 p.			42.1	- 0.2			- 0.9	C	0	8	8	S-Cu, N, S		
Dez. 27	7 a.	63° 32'	58° 36'	44.0	+ 1.0	+ 3.8	+ 0.1	+ 0.2	C	0	1	1	Ci, Cu		
	o G.			44.0	+ 1.6			+ 0.5	C	0	2	2	Ci, Cu, S		
	2 p.			45.1	+ 1.8			+ 0.1	C	0	3	3	Ci, Ci-Cu, Cu, S		
	9 p.			45.9	+ 0.6			± 0.0	C	0	3	3	Ci, Cu, S		
Dez. 28	7 a.	»	»	47.2	+ 1.8	+ 3.3	- 0.4	-	C	0	7	7	Ci, S-Cu, N, S		
	o G.			47.2	+ 1.0			- 0.6	C	0	7	7	Ci, Cu, N		
	2 p.			48.1	+ 1.2			- 0.3	WNW	1	4	4	Ci-Cu, N		
	9 p.			48.5	± 0.0			- 0.7	WSW	4	8	8	Cu, S		
Dez. 29	7 a.	63° 09'	55° 46'	47.9	- 0.7	+ 0.6	- 0.8	- 1.7	W	4	9	9	S		
	o G.			47.7	- 0.7			- 1.6	W	7.5	9	9	S, N		
	2 p.			45.0	+ 0.4			- 1.0	NNW	1.5	7	7	Cu, N, S		
	9 p.			41.7	+ 0.2			- 1.1	WNW	2.5	8	8	N, S		
Dez. 30	7 a.	63° 03'	56° 34'	44.3	+ 0.3	+ 1.3	- 0.5	- 1.1	SSW	14.5	4	4	Ci-Cu, S		
	o G.			44.7	+ 0.4			- 0.7	SSW	14.5	5	5	Ci, Cu, N		
	2 p.			46.7	± 0.0			- 0.6	SSE	3	8	8	Ci, S, N		
	9 p.			47.4	± 0.0			- 0.5	WSW	2	8	8	Cu, N, S		
Dez. 31	7 a.	63° 09'	54° 53'	50.3	- 1.4	-	- 1.3	- 2.4	S	2.5	3	3	Cu, S		
	o G.			50.6	+ 1.0			- 1.8	C	0	2	2	Ci, Cu		
	2 p.			52.1	± 0.0			- 0.8	SSE	3	7	7	Ci, Cu, S		
	9 p.			54.1	± 0.5			- 1.3	E	3	10	10	N, S		

Dez. 12. 7 a. Heute Nacht ist viel Schnee gefallen.

» 15. 2 p. Schneegestöber am Vormittag.

» 20. 9 p. Es hat stark geschneit, hörte gegen 7 p. auf.

»Antarctic».

Januar 1903

Datum.	Zeit.	Latitude. S.	Longitude. W.	Luftdruck.	Trockenes Thermometer.	Maximum- Temperatur.	Minimum- Temperatur.	Feuchtes Thermometer.	Feuchtes Thermometer.	Wind- Richtung.	Wind- Geschwindigkeit kettl.	Wind- Geschwindigkeit m/s	Bewölkung.	Wolken-Formen.	Hydrometeore.	
Jan. 1	7 a.	63°07'	54°42'	757.0	- 2.5	- 1.0	- 3.3	—	—	NE	2.5	10		N, S		
	o G.			57.5	- 2.4	—	—	—	—	NE	2.5	10		S		
	2 p.			59.0	- 1.2	—	—	—	—	E	2.5	10		S	≡	
	9 p.			60.4	- 1.5	—	—	—	—	NNE	2.5	10		S		
Jan. 2	7 a.	63°13'	54°47'	60.5	- 1.2	- 0.3	- 1.4	—	—	ENE	6	10		S	≡≡	
	o G.			60.4	- 1.1	—	—	—	—	E	6	10		S	≡≡	
	2 p.			59.6	- 0.6	—	—	—	—	E	6	10		N, S		
	9 p.			56.4	- 1.4	—	—	—	—	NE	6	10		N, S		
Jan. 3	7 a.	63°47'	54°32'	51.4	- 1.3	—	- 1.5	- 1.7	- 1.7	NE	10	10		S		
	o G.			51.2	- 1.4	—	—	—	—	ENE	10	10		S		
	2 p.			50.9	- 1.2	—	—	—	—	ENE	6	10		S	××≡≡	
	9 p.			53.0	- 0.6	—	—	—	—	C	0	10		S	××≡≡	
Jan. 4	7 a.	63°41'	55°26'	55.0	- 0.9	+ 2.1	- 1.1	—	—	NNE	2	10		S	≡	
	o G.			54.8	- 1.0	—	—	—	—	NE	2.5	10		S		
	2 p.			54.6	+ 1.9	—	—	—	—	C	0	4		Cl, Cu		
	9 p.			53.3	+ 0.2	—	—	—	—	ENE	6	5		Cl, Cu, N		
Jan. 5	7 a.	63°47'	55°47'	48.5	- 0.2	+ 1.6	- 1.0	- 0.2	- 0.2	NE	6	10		S	≡≡≡	
	o G.			48.0	- 0.1	—	—	—	—	NE	2.5	10		S	≡≡≡	
	2 p.			44.1	+ 0.5	—	—	—	—	ESE	2.5	10		S	⊙	
	9 p.			41.2	- 1.4	—	—	—	—	SSW	10	10		S	⊕	
Jan. 6	7 a.	63°48'	55°57'	41.1	- 2.2	- 0.8	- 2.1	- 2.2	- 2.2	WSW	6	10		S	×××	
	o G.			41.3	—	—	—	—	—	SSW	10	10		S	≡	
	2 p.			42.9	- 1.3	—	—	—	—	SW	3	10		S	×××	
	9 p.			44.8	- 0.8	—	—	—	—	SW	3	10		S	≡	
Jan. 7	7 a.	63°49'	56°10'	46.2	- 0.4	+ 8.0	—	- 0.6	- 0.6	C	0	10		S	≡	
	o G.			46.2	± 0.0	—	—	—	—	C	0	10		S	⊕	
	2 p.			48.0	+ 3.2	—	—	—	—	—	—	—	10		S	⊕
	9 p.			49.5	± 0.0	—	—	—	—	- 0.4	- 0.4	—	3		Cl-Cu, N	
Jan. 8	7 a.	63°50'	56°13'	50.9	- 3.2	± 0.0	- 3.6	—	—	C	0	10		S	≡≡≡	
	o G.			51.0	- 2.5	—	—	—	—	E	2.5	10		S	≡≡≡	
	2 p.			50.8	- 0.5	—	—	—	—	C	0	10		S	⊕	
	9 p.			49.4	- 1.4	—	—	—	—	SW	3	10		S	⊕	
Jan. 9	7 a.	63°50'	56°16'	47.2	- 1.2	- 0.8	- 1.1	- 1.2	- 1.2	ESE	3	10		S	×××	
	o G.			47.0	- 1.0	—	—	—	—	E	3	10		S	⊕	
	2 p.			47.0	- 0.8	—	—	—	—	C	0	10		S	⊕	
	9 p.			45.5	- 1.2	—	—	—	—	SW	6	10		S	⊕	
Jan. 10	7 a.	63°49'	56°18'	41.3	- 2.4	- 0.8	- 2.2	- 2.5	- 2.5	SW	10	10		S	×××	
	o G.			41.1	- 2.4	—	—	—	—	SW	12	10		S	×××	
	2 p.			38.9	- 1.7	—	—	—	—	SW	18	10		S	×××	
	9 p.			40.3	- 1.8	—	—	—	—	SW	15	10		S	×××	
Jan. 11	7 a.	63°46'	56°22'	44.8	—	- 1.0	- 2.5	—	—	S	3	5		S		
	o G.			45.0	—	—	—	—	—	S	3	5		S		
	2 p.			46.5	- 1.5	—	—	—	—	S	3	5		S		
	9 p.			47.8	- 2.6	—	—	—	—	C	0	4		Cu, Cu-N		

Datum.	Zeit.	Latitude. S.	Longitude. W.	Luft- druck.	Trockenes Thermometer.	Maximum- Temperatur.	Minimum- Temperatur.	Fuchtes Thermometer.	Wind- Richtung.	Wind- Geschwindigkeit kelt.	Bewölkung.	Wolken-Formen.	Hydro- meteore.	
Jan. 12	7 a.	63°46'	56°22'	mm.	—	+ 0.2	- 3.1	—	C	m/s	10	N, S		
	0 G.			746.6	—	—	—	—	1.0	C	0	10	N, S	
	2 p.			46.4	±	0.3	—	—	1.1	C	0	9	S	
	9 p.			46.2	±	1.1	—	—	1.8	C	0	8	Ci, N, S	
				45.0	—	—	—	—						
Jan. 13	7 a.	»	»	42.8	—	± 0.0	- 3.0	—	—	—	—	S		
	0 G.			42.8	—	1.4	—	—	1.9	C	0	10	S	
	2 p.			43.9	—	0.1	—	—	1.0	C	0	8	Ci-Cu, Cu, S	
	9 p.			44.9	—	1.0	—	—	1.8	C	0	8	Cu, N, S	
Jan. 14	7 a.	»	»	45.0	- 1.1	+ 1.5	- 1.7	—	C	0	8	S	*	
	0 G.			45.1	- 1.6	—	—	—	2.1	C	0	8	Cu, N, S	
	2 p.			45.2	- 0.7	—	—	—	1.7	C	0	9	Ci-Cu	
	9 p.			44.5	- 1.6	—	—	—	2.3	C	0	5	Ci-Cu, N	
Jan. 15	7 a.	»	»	40.5	- 1.2	- 0.5	- 2.2	—	C	0	9	Ci-Cu, Cu, S		
	0 G.			40.5	- 1.1	—	—	—	1.5	WNW	3	9	S	
	2 p.			42.4	- 1.2	—	—	—	2.0	C	0	10	S	*
	9 p.			45.6	- 3.5	—	—	—	4.0	W	3	5	Ci-Cu, Cu, N	
Jan. 16	7 a.	»	»	48.8	- 2.5	+ 5.0	- 7.9	- 4.0	C	0	3	Ci-Cu		
	0 G.			48.8	- 3.5	—	—	—	4.2	C	0	3	Ci-Cu	
	2 p.			49.2	- 1.2	—	—	—	2.1	C	0	5	Cu, S	
	9 p.			49.3	- 2.1	—	—	—	2.7	ESE	3	10	Cu, N, S	
Jan. 17	7 a.	»	»	49.1	- 3.5	- 1.8	- 3.5	—	ENE	3	9	N, S		
	0 G.			48.9	- 2.5	—	—	—	3.0	E	3	9	Cu, S, N	
	2 p.			47.9	- 2.0	—	—	—	2.3	ENE	3	10	S	*
	9 p.			46.3	- 2.2	—	—	—	2.3	C	0	10	S	*
Jan. 18	7 a.	»	»	46.9	- 3.1	- 0.8	- 3.0	—	C	0	10	S	+	
	0 G.			46.9	- 3.0	—	—	—	3.0	C	0	10	S	
	2 p.			47.2	- 0.8	—	—	—	1.2	C	0	10	S	*
	9 p.			47.2	- 1.4	—	—	—	1.6	C	0	9	N, S	*
Jan. 19	7 a.	63°46'	56°21'	48.4	- 1.8	—	- 2.0	—	C	0	10	S	*	
	0 G.			48.4	- 1.2	—	—	—	1.6	C	0	10	N, S	
	2 p.			49.2	+ 1.0	—	—	—	0.2	C	0	10	N, S	
	9 p.			50.0	- 1.5	—	—	—	1.9	C	0	10	S	
Jan. 20	7 a.	»	»	49.2	- 1.6	- 0.2	- 1.5	- 1.6	C	0	10	S	■	
	0 G.			49.1	- 1.2	—	—	—	1.2	C	0	10	S	
	2 p.			48.5	- 0.8	—	—	—	1.2	C	0	10	S	
	9 p.			47.1	- 1.0	—	—	—	1.2	C	0	8	Ci, Cu, N, S	
Jan. 21	7 a.	63°49'	56°20'	46.5	+ 2.0	+ 3.0	- 1.8	—	N	3	3	Ci		
	0 G.			46.5	+ 2.2	—	—	—	1.0	NNW	3	3	Ci, Cu-N	
	2 p.			46.2	+ 2.3	—	—	—	1.2	N	3	4	Ci, Ci-S	
	9 p.			47.1	+ 1.0	—	—	—	0.6	NNW	6	10	Ci, S	
Jan. 22	7 a.	63°58'	56°11'	47.4	+ 1.0	+ 2.0	+ 1.0	+ 0.5	NNW	6	3	Ci, Cu, S		
	0 G.			47.6	+ 1.2	—	—	—	0.6	NNW	10	3	Ci, Cu	
	2 p.			47.6	+ 1.6	—	—	—	0.8	NNW	6	2	Ci, Cu	
	9 p.			46.6	+ 1.0	—	—	—	0.5	NNW	3	8	Cu, N	

»Antarctic».

Januar 1903

Datum.	Zeit.	Latitude. S.	Longitude. W.	Luft- druck.	Thermokens Thermometer.	Maximum- Temperatur.	Minimum- Temperatur.	Fenchens Thermometer.	Wind- Richtung.	Wind- Geschwindigkeit Kelt.	Bewölkung.	Wolken-Formen.	Hydro- meteore.
				mm.						m/s			
Jan. 23	7 a.	63°59'	56°08'	745.8	- 0.2	+ 8.0	- 1.2	-	C	0	10	Cu, S Ci-Cu, S-Cu Ci-S S	
	0 G.			45.9	+ 0.6			++ 0.0	C	6			
	2 p.			45.9	+ 4.2			+ 1	C	8			
	9 p.			45.6	+ 4			+ 0.2	C	10			
Jan. 24	7 a.	63°57'	56°07'	42.7	- 1.0	+ 1.5	- 1.1	-	C	0	10	S Ci, Cu, Cu-N S	● *
	0 G.			42.3	- 0.6			- 0.7	C	10			
	2 p.			39.1	+ 0.9			+ 0.1	N	5			
	9 p.			35.0	- 1.4			- 1.5	N	6			
Jan. 25	7 a.	64°07'	56°07'	29.5	- 0.5	+ 3.5	- 1.0	- 0.6	N	3	10	S S Cu, N	■ *
	0 G.			29.3	- 0.5			- 0.6	N	3			
	2 p.			28.5	+ 3.5			+ 3.0	C	10			
	9 p.			30.4	+ 0.1			- 0.3	C	10			
Jan. 26	7 a.	64°02'	56°10'	33.1	-	+ 7.0	- 0.7	-	-	-	-	S, N Cu, S N, S	
	0 G.			33.4	+ 2.0			+ 1.5	C	10			
	2 p.			34.7	+ 2.2			+ 1.1	C	10			
	9 p.			35.4	+ 0.0			- 0.4	C	10			
Jan. 27	7 a.	64°03'	56°15'	34.8	- 1.1	± 0.0	- 1.0	- 1.4	C	0	10	S S S N, S	*
	0 G.			34.6	-			-	C	10			
	2 p.			32.6	- 0.1			- 0.9	C	10			
	9 p.			29.9	- 0.4			- 0.5	C	10			
Jan. 28	7 a.	64°04'	56°20'	29.3	- 1.4	- 0.5	- 2.0	- 1.6	C	0	10	Cu, N, S S Cu-N, S	*
	0 G.			29.3	-			-	2	-			
	2 p.			29.8	- 0.8			- 1.2	SW	3	10		
	9 p.			29.9	- 1.2			- 1.8	SW	3	10		
Jan. 29	7 a.	64°02'	56°10'	30.2	- 0.9	± 0.0	- 2.0	- 2.2	SW	6	10	N, S S N, S Cu, N, S	
	0 G.			30.7	- 1.6			- 1.9	SSW	10	10		
	2 p.			32.4	- 0.8			- 1.4	SW	6	10		
	9 p.			34.4	- 1.0			- 1.5	SW	3	10		
Jan. 30	7 a.	64°00'	56°03'	36.6	- 1.0	-	-	- 1.5	SSW	3	10	S Ci-Cu, Cu, Cu-N Cu, N	**
	0 G.			36.9	- 0.5			- 1.1	SSW	3	10		
	2 p.			38.3	+ 1.6			+ 0.6	C	0	10		
	9 p.			39.8	+ 0.8			+ 0.4	C	0	8		
Jan. 31	7 a.	»	»	41.1	- 0.3	+ 4.0	- 3.2	- 1.0	C	0	8	Ci-Cu, Cu, Cu-N Cu, N	
	0 G.			41.2	-			-	-	-			
	2 p.			42.2	+ 1.0			+ 0.8	C	0	2		
	9 p.			42.7	- 2.8			- 3.2	C	0	2		

- Jan. 5. 2 p. Regen seit 10 a.
 » 6. 9 p. Der Schneefall hörte nachmittags auf.
 » 8. 9 p. Um 11 Uhr schneite es ziemlich stark.
 » 25. 7 a. Gegen 3 Uhr morgens hörte es auf zu wehen und zu schneien.
 » 29. 7 a. Heute Nacht hat es stärker geblasen.

Februar 1903

An Bord der »Antarctic«.

Datum.	Zeit.	Latitude. S.	Longitude. W.	Luft- druck.	Trockenes Thermometer.	Maximum- Temperatur.	Minimum- Temperatur.	Feuchtes Thermometer.	Wind- Richtung.	Wind- Geschwindigkeit Kelt.	Wind- Geschwindigkeit m/s	Bewölkung.	Wolken-Formen.	Hydro- metere.	
Febr. 1	7 a.	64°01'	56°07'	740.8	-1.4	+0.8	-3.0	-2.1	C	0	0	4	Ci-Cu, Cu		
	0 G.			40.3	—	—	—	—	—	—	—	—	—	—	
	2 p.			37.7	-0.5	—	—	-0.8	—	NE	3	10	—	—	*
9 p.				34.9	-0.6	—	—	-0.6	C	0	10	—	**		
Febr. 2	7 a.	»	»	35.5	—	+0.8	-2.3	—	SSW	3	10	—	—	*	
	0 G.			35.7	—	—	—	—	—	—	—	—	—	—	
	2 p.			37.3	-0.6	—	—	-2.3	—	SW	3	8	—	Ci-Cu, Cu	
9 p.				38.4	-2.3	—	-3.0	WSW	3	6	—	Cu-N, N			
Febr. 3	7 a.	64°02'	56°13'	39.0	-3.1	-2.3	-4.6	-3.3	WSW	3	10	—	Cu, N, S		
	0 G.			39.2	-3.5	—	—	-4.0	—	—	—	—	—	Cu-N, S	
	2 p.			40.2	-2.4	—	—	-3.0	—	SW	3	8	—	Cu, N, S	
9 p.				41.6	-2.7	—	-3.0	SW	3	10	—	Cu-N, S			
Febr. 4	7 a.	64°03'	56°17'	43.4	—	-0.2	-3.2	—	N	2	—	—	—		
	0 G.			43.6	—	—	—	—	N	3	—	—	—	—	
	2 p.			43.9	±0.0	—	—	-1.2	—	NNE	3	3	—	Ci, Cu	
9 p.				43.7	-1.2	—	-1.8	ENE	3	8	—	S			
Febr. 5	7 a.	64°04'	56°20'	43.1	-0.2	+0.6	-1.4	-0.9	C	0	7	—	Ci, Ci-Cu, N		
	0 G.			43.0	±0.0	—	—	-0.6	—	NE	3	7	—	Ci-Cu, Cu	
	2 p.			42.2	+0.8	—	—	±0.0	—	ENE	3	9	—	Ci-Cu, N, S	{ (* Mtg -1 p.)
9 p.				41.9	+1.0	—	—	+0.5	C	0	9	S			
Febr. 6	7 a.	64°06'	56°23'	44.1	-1.0	+5.0	-1.0	—	WSW	2	10	—	S		
	0 G.			44.2	-1.1	—	—	-1.3	—	C	0	10	—	S	
	2 p.			44.0	+1.1	—	—	+0.2	—	C	0	10	—	S	
9 p.				40.1	+1.2	—	—	+0.7	N	2	9	Cu-N, S			
Febr. 7	7 a.	64°01'	56°03'	30.3	+1.3	+2.5	-0.4	+1.1	NNW	6	5	—	Ci-Cu, Cu		
	0 G.			30.5	+2.0	—	—	+1.2	—	NNW	6	4	—	Ci, Ci-Cu, Cu	
	2 p.			31.4	+1.9	—	—	+0.9	—	NNW	4	5	—	Ci-Cu, N	
9 p.				34.1	-0.2	—	—	—	ENE	6	10	S			
Febr. 8	7 a.	63°56'	55°52'	37.2	-1.6	—	—	—	WSW	22	10	—	S	*	
	0 G.			38.2	-1.4	—	—	-1.9	—	WSW	22	10	—	S	
	2 p.			42.6	-0.9	—	—	-1.5	—	SW	22	10	—	S	
9 p.				48.1	-1.0	—	—	-1.5	WSW	5	10	N, S			
Febr. 9	7 a.	»	»	49.5	-1.6	+0.5	-3.5	-2.1	C	0	3	—	Ci, Cu		
	0 G.			48.1	-0.9	—	—	-1.5	—	NE	3	2	—	Ci, S	
	2 p.			—	-0.2	—	—	-0.8	—	NE	3	9	—	S	
9 p.				—	-1.0	—	—	-1.0	NE	3	10	—	*		
Febr. 10	7 a.	»	»	—	-1.2	±0.0	-1.2	—	WSW	3	10	—	S	⊙	
	0 G.			—	-1.4	—	—	-1.5	—	WSW	3	10	—	S	⊙
	2 p.			—	-1.2	—	—	-1.9	—	WSW	3	9	—	Cu, S	⊙
9 p.				—	-2.4	—	—	-2.9	C	0	3	Ci, Cu, Cu-N			
Febr. 11	7 a.	»	»	—	-3.0	—	-4.5	-3.2	C	0	10	—	—	*	
	0 G.			—	-1.5	—	—	-1.6	—	C	0	10	—	—	*
	2 p.			—	-0.3	—	—	-0.4	—	C	0	10	—	S	

Febr. 2. 7 a. Es hat die ganze Nacht geschneit. Gegen 2 Uhr morgens begann SSW-Wind.

» 4. 2 p. Gegen 12 Uhr etwas Schnee.

» 7. 7 a. Es regnete um 2 Uhr nachts.

» 11. 7 a. Ruhig um 4 a.

TAB. II.

LUFTDRUCK GEMÄSS DEM
BAROGRAPH DER "ANTARCTIC"

1. DEZ. 1901—9. FEBR. 1903

Barograph an Bord

Dezember 1901 (Luftdruck zu 0° und Meeresniveau reducirt)

Dat.	Latitude.	Longitude.	1 a. m.	2 a. m.	3 a. m.	4 a. m.	5 a. m.	6 a. m.	7 a. m.	8 a. m.	9 a. m.	10 a. m.	11 a. m.	Mittg.	1 p. m.	2 p. m.		
	S.	W.	mm.	mm.	mm.	mm.	mm.	mm.	mm.	mm.	mm.	mm.	mm.	mm.	mm.	mm.		
1	14° 31'	33° 36'	760.3	759.9	760.0	760.1	760.2	760.7	761.2	761.7	762.3	762.3	762.3	762.0	761.9	761.7		
2	16° 51'	34° 36'	61.2	61.0	61.2	61.4	61.7	62.0	62.5	62.8	63.0	63.0	63.0	62.9	62.7	62.4		
3	18° 30'	35° 21'	62.3	61.7	61.5	61.5	61.6	62.0	62.3	62.6	63.0	63.2	63.1	63.1	62.8	62.7		
4	20° 10'	36° 36'	62.5	62.3	62.3	62.4	62.5	63.1	63.4	63.7	64.0	64.0	63.7	63.3	63.1	62.7		
5	21° 42'	38° 32'	61.9	61.5	61.4	61.4	61.5	61.6	62.0	62.1	62.2	62.3	62.2	62.0	61.4	61.2		
6	23° 47'	40° 39'	59.3	58.5	58.4	58.3	58.4	58.6	59.0	59.3	59.4	59.5	59.6	59.5	59.5	59.6		
7	24° 51'	42° 01'	61.3	61.2	61.3	61.3	61.4	61.8	62.3	62.4	62.6	63.0	63.3	63.3	63.1	62.9		
8	26° 06'	43° 59'	63.5	63.3	63.0	63.0	63.1	63.3	63.5	64.0	64.2	64.5	64.4	64.4	64.3	64.2		
9	27° 48'	45° 52'	64.1	63.6	63.5	63.5	63.6	64.0	64.3	64.4	64.9	65.2	65.4	65.0	64.4	63.9		
10	29° 27'	47° 18'	62.4	62.2	62.2	62.2	62.1	62.2	62.4	62.4	62.4	62.3	62.3	62.1	61.4	61.0		
11	31° 28'	49° 20'	58.4	58.1	57.7	57.7	58.0	58.0	57.9	57.6	57.3	57.3	57.3	57.2	56.4	56.0		
12	32° 51'	50° 51'	55.4	54.7	55.1	55.2	56.0	56.0	56.2	56.2	56.4	56.5	56.7	57.0	57.2	57.2		
13	33° 42'	52° 23'	60.0	59.8	59.8	60.2	60.6	61.0	61.2	61.5	61.9	62.1	62.2	62.2	62.3	62.4		
14	34° 46'	54° 11'	61.6	61.3	61.2	61.3	61.4	61.8	62.2	62.3	62.6	62.6	62.7	62.6	62.5	62.3		
15	35° 03'	55° 50'	59.4	59.1	59.0	59.1	59.2	59.3	59.6	59.7	59.7	59.6	59.6	59.7	59.5	59.4		
16	In Buenos-Aires.		62.7	62.9	63.3	63.4	63.9	64.2	64.4	65.1	65.2	65.2	65.2	65.2	65.1	65.0		
17			64.7	64.4	64.3	64.5	64.7	64.9	65.2	65.2	65.2	65.1	64.8	64.7	64.2	63.8		
18			61.1	60.7	60.6	60.8	61.0	61.2	61.3	61.2	61.0	60.6	60.1	59.5	59.0	58.4		
19			57.0	56.9	56.7	56.8	57.1	58.0	58.0	57.7	57.6	57.3	57.0	56.4	56.1	55.4		
20			55.9	56.3	56.2	56.3	56.3	56.2	56.5	56.7	56.7	56.9	57.0	56.6	56.6	56.2		
21			56.2	56.1	56.0	56.1	56.2	56.5	57.2	57.3	57.4	57.6	57.5	57.2	57.2	57.1		
22			35° 48'	56° 19'	56.8	56.6	56.6	57.0	57.4	57.4	57.5	57.4	57.2	57.2	57.4	57.5	57.5	
23			37° 28'	56° 08'	58.5	58.4	58.3	58.9	59.4	59.6	60.2	60.7	61.4	61.4	61.9	62.2	62.3	62.5
24			39° 02'	56° 22'	63.9	63.8	64.0	64.3	64.9	65.2	65.5	65.6	65.7	67.0	66.4	66.6	66.7	65.5
25			40° 57'	56° 46'	65.3	64.6	64.5	64.6	64.8	64.8	65.0	65.1	65.2	65.2	65.1	64.8	64.7	64.6
26	42° 39'	57° 10'	62.5	62.0	61.9	61.7	61.8	62.3	62.0	61.6	61.2	60.7	60.2	60.1	59.8	59.3		
27	45° 07'	57° 37'	55.0	54.0	53.3	52.8	52.3	51.8	51.4	50.7	50.0	49.8	49.6	49.4	49.3	49.3		
28	47° 01'	58° 07'	45.0	45.2	44.9	44.8	44.5	44.8	45.5	46.4	47.1	47.5	48.3	48.8	48.9	49.0		
29	49° 14'	58° 13'	50.7	50.7	50.4	50.1	49.7	49.5	48.8	48.2	47.2	46.9	46.3	45.2	44.2	43.8		
30	50° 39'	58° 38'	39.8	40.8	41.7	42.7	43.9	44.6	45.1	45.5	45.6	45.9	46.0	46.2	46.7	47.1		
31	Port-Stanley.		50.2	50.2	50.2	50.2	50.3	50.3	50.3	50.0	49.3	49.1	48.9	48.4	48.0	47.5		

der »Antarctic«.

(Luftdruck zu 0° und Meeresniveau reducirt)

Dezember 1901

3 p. m.	4 p. m.	5 p. m.	6 p. m.	7 p. m.	8 p. m.	9 p. m.	10 p. m.	11 p. m.	Mitt.	Med.	Maximum.	Minimum.	Diff.	Dat.		
mm.	mm.	mm.	mm.	mm.	mm.	mm.	mm.	mm.	mm.	mm.	h. m.	h. m.	mm.	mm.		
761.4	761.3	761.2	761.3	761.5	761.8	761.9	761.8	761.7	761.5	761.33	9 a.	762.3	2 a.	759.9	2.4	1
62.1	61.7	61.7	61.8	61.8	62.2	62.4	62.7	62.8	62.5	62.19	10 a.	63.0	2 a.	61.0	2.0	2
62.5	62.3	62.3	62.4	62.6	63.0	63.1	63.2	63.3	63.1	62.55	11 p.	63.3	3 a.	61.5	1.8	3
62.4	62.3	62.0	61.9	61.8	62.2	62.3	62.5	62.5	62.3	62.72	10 a.	64.0	7 p.	61.8	2.2	4
60.8	60.2	60.0	59.9	60.0	60.0	60.3	60.3	60.2	59.8	61.09	10 a.	62.3	12 p.	59.8	2.5	5
59.4	59.2	59.2	59.9	60.4	60.8	61.4	61.8	61.9	61.8	59.70	11 p.	61.9	4 a.	58.3	3.6	6
62.9	62.4	62.7	63.0	63.3	63.5	63.8	64.4	64.4	64.4	62.74	11 p.	64.4	2 a.	61.2	3.2	7
64.1	63.8	63.6	63.5	63.5	64.0	64.1	64.4	64.5	64.4	63.86	10 a.	64.5	4 a.	63.0	1.5	8
63.5	63.1	63.0	62.7	62.9	63.0	63.2	63.2	63.2	62.9	63.77	10 a.	65.2	6 p.	62.7	2.5	9
60.4	59.7	59.3	59.2	59.3	59.3	59.4	59.4	59.2	59.1	61.00	8 a.	62.4	12 p.	59.1	3.3	10
56.0	55.7	56.0	56.0	56.1	56.6	56.4	56.0	56.6	55.7	56.92	1 a.	58.4	12 p.	55.7	2.7	11
57.2	58.1	58.2	58.4	58.9	59.1	59.3	59.5	60.0	60.0	57.27	12 p.	60.0	2 a.	54.7	5.3	12
62.4	62.1	62.0	62.2	62.3	62.6	62.7	62.4	62.1	62.0	62.50	9 p.	62.7	3 a.	59.8	2.9	13
62.0	61.9	61.6	61.2	61.0	61.1	61.2	61.0	60.4	60.2	66.67	11 a.	62.7	12 p.	60.2	2.5	14
59.0	58.8	58.2	58.7	59.7	60.0	60.4	61.3	62.0	62.5	59.69	12 p.	62.5	5 p.	58.2	4.3	15
64.8	64.6	64.6	64.6	64.7	65.0	65.1	65.2	65.1	65.0	64.65	10 a.	65.2	1 a.	62.7	2.5	16
63.2	62.9	62.4	62.2	62.2	62.2	62.2	62.1	61.8	61.4	63.68	8 a.	65.2	12 p.	61.4	3.8	17
58.2	58.1	58.0	58.0	58.1	58.1	58.1	58.1	57.9	57.6	59.45	7 a.	61.3	12 p.	57.6	3.7	18
54.8	54.4	54.3	54.2	54.4	54.4	55.2	54.9	55.0	56.0	56.07	7 a.	58.0	6 p.	54.2	3.8	19
55.8	55.2	54.9	55.3	55.9	55.2	55.1	57.0	57.1	56.7	56.19	11 p.	57.1	5 p.	54.9	2.2	20
56.9	56.4	56.4	56.6	56.7	57.1	57.2	57.2	57.2	57.1	56.85	10 a.	57.6	3 a.	56.0	1.6	21
57.7	57.4	57.7	58.8	59.0	59.0	58.9	58.6	58.7	58.5	57.72	7 p.	59.0	2 a.	56.6	2.4	22
62.6	62.7	62.8	63.0	63.2	63.7	63.9	64.0	64.0	64.0	61.65	11 p.	64.0	3 a.	58.3	5.7	23
66.0	65.5	65.1	65.2	65.5	65.7	65.8	65.7	65.8	65.7	65.46	1 p.	66.7	2 a.	63.8	2.9	24
64.3	64.0	63.7	63.4	63.5	63.5	63.5	63.5	63.0	62.5	64.30	1 a.	65.3	12 p.	62.5	2.8	25
58.7	57.7	57.5	57.3	57.0	56.5	56.6	56.4	56.4	56.0	59.47	1 a.	62.5	12 p.	56.0	6.5	26
49.2	49.2	48.9	48.6	48.6	48.2	48.0	47.8	46.9	46.0	50.00	1 a.	55.0	12 p.	46.0	9.0	27
49.2	49.1	49.5	50.0	50.3	50.4	50.5	51.1	51.1	51.0	48.04	10 p.	51.1	5 a.	44.5	6.6	28
43.0	42.3	41.2	40.7	39.6	39.0	38.8	38.5	38.5	39.2	44.67	1 a.	50.7	10 p.	38.5	12.2	29
47.6	47.8	48.1	48.7	49.1	49.6	49.7	50.0	50.1	50.1	46.35	12 p.	50.1	1 a.	39.8	10.3	30
47.1	46.4	46.1	45.6	45.2	44.8	44.3	43.8	43.2	42.6	47.58	6 a.	50.3	12 p.	42.6	7.7	31

Barograph an Bord

Januar 1902

(Luftdruck zu 0° und Meeresniveau reducirt)

Dat.	Latitude.	Longitude.	1 a. m.	2 a. m.	3 a. m.	4 a. m.	5 a. m.	6 a. m.	7 a. m.	8 a. m.	9 a. m.	10 a. m.	11 a. m.	Mttg.	1 p. m.	2 p. m.
	S.	W.	mm.	mm.	mm.	mm.	mm.	mm.	mm.	mm.	mm.	mm.	mm.	mm.	mm.	mm.
1	Port-Stanley		741.8	740.3	739.3	738.2	738.1	738.1	738.1	738.2	738.5	738.6	738.8	738.9	739.0	739.1
2	52°05'	57°45'	38.1	38.1	38.5	39.1	39.6	40.2	41.0	41.5	42.0	42.3	42.9	43.1	43.4	43.6
3	53°21'	60°45'	46.5	46.6	46.8	47.0	47.3	47.6	47.9	48.2	48.4	48.5	48.6	48.5	48.5	48.4
4	54°16'	62°59'	47.6	47.0	46.7	46.6	46.7	47.1	47.3	47.1	46.9	46.9	47.2	47.4	47.8	47.5
5	54°13'	63°59'	44.0	43.8	43.6	43.3	43.1	42.9	42.8	43.0	43.8	44.2	44.7	45.7	46.4	46.9
6	54°34'	63°18'	49.9	49.5	49.1	48.8	48.2	48.0	47.8	47.2	46.8	46.0	45.4	44.8	44.1	43.4
7	56°20'	61°14'	44.5	44.8	45.0	45.5	45.7	46.2	46.6	46.9	46.9	47.0	47.1	47.4	47.4	47.3
8	57°56'	60°11'	46.2	45.7	45.0	44.6	44.3	43.8	43.4	43.2	42.7	42.4	42.2	42.1	42.0	41.9
9	59°50'	59°29'	39.0	38.6	38.1	38.0	37.7	37.4	37.2	36.9	36.8	36.5	36.3	36.2	36.3	36.4
10	61°22'	58°30'	39.7	40.0	40.2	40.5	40.6	40.9	41.2	41.4	41.5	41.5	41.8	42.2	42.4	42.4
11	62°32'	59°12'	43.3	43.2	43.0	42.9	42.8	42.7	42.3	41.9	41.6	41.3	41.0	41.0	40.9	40.7
12	63°35'	59°25'	39.1	39.1	39.2	39.3	38.9	38.6	38.4	38.2	38.6	39.0	38.9	39.0	39.4	39.6
13	64°32'	62°10'	42.5	43.0	43.3	43.7	44.0	44.4	44.6	44.8	45.0	45.5	45.8	46.0	45.9	45.8
14	63°42'	59°04'	46.3	46.2	46.2	46.1	46.1	46.2	46.2	46.3	46.3	46.2	46.3	46.3	46.4	46.4
15	63°29'	56°18'	48.7	49.1	49.3	49.4	49.4	49.5	50.0	50.0	50.2	50.3	50.5	50.7	50.7	50.7
16	64°17'	56°34'	50.5	50.4	50.3	50.4	50.4	50.5	50.6	50.7	50.5	50.4	50.5	50.4	50.4	50.6
17	64°20'	56°42'	50.6	50.7	50.9	51.0	51.0	51.1	51.0	50.9	50.8	50.7	50.5	50.4	50.2	50.0
18	65°30'	57°43'	49.0	49.0	49.1	49.1	49.2	49.4	49.4	49.5	49.5	49.5	49.5	49.5	49.5	49.5
19	65°52'	59°47'	49.9	50.0	50.1	50.2	50.3	50.3	50.4	50.4	50.6	50.9	51.0	51.2	51.3	51.6
20	65°02'	58°33'	53.3	53.3	53.4	53.4	53.5	53.4	53.2	53.1	52.6	52.0	51.5	50.6	49.7	48.7
21	64°51'	56°10'	39.5	38.9	38.4	37.8	37.4	37.0	36.9	36.4	36.3	36.2	36.2	36.1	36.2	36.5
22	65°59'	54°47'	36.3	35.3	34.4	33.9	32.9	32.2	31.7	31.1	30.9	30.8	30.7	30.8	30.8	30.9
23	65°24'	54°02'	34.5	34.7	35.0	35.3	35.7	36.0	36.2	36.5	36.7	37.0	37.1	37.2	37.2	37.2
24	64°19'	51°24'	40.5	40.6	40.7	41.1	41.4	41.7	42.1	42.3	42.5	42.7	42.9	43.1	43.4	43.7
25	64°58'	50°34'	45.7	45.8	45.9	46.0	46.1	46.2	46.3	46.5	46.8	47.0	47.1	47.0	47.0	46.9
26	64°50'	50°26'	46.1	46.0	45.8	45.6	45.4	45.2	44.9	44.3	44.1	43.9	43.4	43.0	42.6	41.9
27	64°56'	51°05'	36.2	35.8	35.6	35.2	35.1	35.1	35.0	35.0	35.0	35.1	35.4	35.7	36.0	36.4
28	64°30'	50°37'	40.4	40.8	41.4	41.6	42.0	42.2	42.3	42.3	42.2	42.1	42.4	42.4	42.3	42.2
29	64°02'	49°00'	37.9	37.3	36.4	35.9	35.5	34.8	34.5	34.1	33.2	33.0	32.5	32.2	31.5	31.0
30	63°53'	48°56'	28.5	28.5	28.5	28.6	28.7	28.7	28.8	28.9	29.0	29.2	29.4	29.9	30.4	31.0
31	63°49'	46°28'	31.6	31.7	32.0	32.1	32.1	32.2	32.1	32.0	31.7	31.6	31.5	31.4	31.2	30.7

der »Antarctic«.

(Luftdruck zu 0° und Meeresniveau reducirt)

Januar 1902

3 p. m.	4 p. m.	5 p. m.	6 p. m.	7 p. m.	8 p. m.	9 p. m.	10 p. m.	11 p. m.	Mtn.	Med.	Maximum.	Minimum.	Diff.	Dat.		
mm.	mm.	mm.	mm.	mm.	mm.	mm.	mm.	mm.	mm.	mm.	h. m.	mm.	h. m.	mm.		
739.2	739.3	739.2	739.1	739.0	739.0	739.0	739.0	738.6	738.5	738.95	1 a.	741.8	6 a.	738.1	3.7	1
44.1	44.3	44.5	44.7	45.1	45.3	45.6	45.8	46.0	46.2	42.71	12 p.	46.2	2 a.	38.1	8.1	2
48.5	48.6	48.6	48.6	48.7	48.6	48.6	48.5	48.3	48.0	48.11	7 p.	48.7	1 a.	46.5	2.2	3
47.6	47.5	47.2	46.6	46.0	45.3	45.0	44.8	44.6	44.3	46.61	1 p.	47.8	12 p.	44.3	3.5	4
47.2	48.0	48.6	49.0	49.1	49.1	49.3	49.8	49.9	50.1	45.76	12 p.	50.1	7 a.	42.8	7.3	5
43.3	43.2	42.9	42.7	42.7	42.7	43.0	43.6	44.0	44.3	45.48	1 a.	49.9	7 p.	42.7	7.2	6
47.3	47.2	46.9	46.7	46.5	46.3	46.6	46.7	46.6	46.4	46.49	1 p.	47.4	1 a.	44.5	2.9	7
41.9	41.8	41.7	41.3	41.1	41.0	40.8	40.4	39.9	39.4	43.28	1 a.	46.2	12 p.	39.4	6.8	8
36.5	36.8	37.1	37.3	37.8	38.1	38.3	38.8	39.1	39.4	37.53	12 p.	39.4	0 p.	36.2	3.2	9
42.5	42.7	42.7	43.0	43.1	43.3	43.5	43.4	43.4	43.3	41.97	9 p.	43.5	1 a.	39.7	3.8	10
40.5	40.3	40.2	40.0	39.5	39.4	39.4	39.4	39.4	39.2	41.08	1 a.	43.3	12 p.	39.2	4.1	11
39.8	39.9	40.0	40.1	40.5	40.7	40.9	41.1	41.6	41.9	39.66	12 p.	41.9	8 a.	38.2	3.7	12
46.1	46.3	46.4	46.4	46.4	46.6	46.6	46.8	46.7	46.4	45.29	10 p.	46.8	1 a.	42.5	4.3	13
46.6	46.9	47.0	47.1	47.2	47.2	47.3	47.7	48.0	48.3	46.67	12 p.	48.3	5 a.	46.1	2.2	14
50.9	50.9	51.0	50.8	50.7	50.7	50.8	50.8	50.7	50.5	50.26	5 p.	51.0	1 a.	48.7	2.3	15
50.8	50.8	50.7	50.7	50.6	50.7	50.9	51.0	50.9	50.8	50.60	10 p.	51.0	3 a.	50.3	0.7	16
50.0	50.1	49.9	49.8	49.1	49.5	49.3	49.2	49.2	49.1	62.71	6 a.	51.1	12 p.	49.1	2.0	17
49.5	49.6	49.7	49.7	49.9	49.8	49.9	49.9	49.9	49.9	49.52	12 p.	49.9	1 a.	49.0	0.9	18
52.0	52.1	52.3	52.4	52.6	52.7	53.0	53.2	53.3	53.3	51.46	12 p.	53.3	1 a.	49.9	3.4	19
47.9	47.1	46.2	45.3	44.8	43.9	43.0	42.2	40.8	40.5	48.89	5 a.	53.5	12 p.	40.5	13.0	20
36.9	37.0	37.2	37.5	37.7	37.8	37.7	37.6	37.5	36.8	37.23	1 a.	39.5	0 p.	36.1	3.4	21
31.2	31.4	31.7	32.0	32.5	33.0	33.7	33.9	34.1	34.3	32.52	1 a.	36.3	11 a.	30.7	5.6	22
37.6	37.9	38.3	38.7	39.1	39.2	39.6	39.8	40.1	40.5	37.38	12 p.	40.5	1 a.	34.5	6.0	23
43.9	44.1	44.2	44.3	44.5	44.7	44.8	45.0	45.2	45.5	43.12	12 p.	45.5	1 a.	40.5	5.0	24
46.8	46.8	46.8	46.7	46.7	46.7	46.8	46.8	46.7	46.5	46.57	11 a.	47.1	1 a.	45.7	1.4	25
41.0	40.7	40.0	39.4	39.0	38.1	37.8	37.2	36.9	36.6	42.04	1 a.	46.1	12 p.	36.6	9.5	26
36.8	37.0	37.7	37.9	38.2	38.4	38.9	39.5	39.8	40.3	36.71	12 p.	40.3	8 a.	35.0	5.3	27
41.7	41.5	41.3	40.8	40.1	40.2	39.7	39.2	38.9	38.4	41.18	8 a.	42.3	12 p.	38.4	3.9	28
30.4	30.3	30.2	29.8	29.5	29.3	29.2	28.8	28.6	28.4	32.26	1 a.	37.9	12 p.	28.4	9.5	29
31.5	32.3	32.9	33.5	34.0	34.5	34.9	35.5	36.2	36.5	31.25	12 p.	36.5	1 a.	28.5	8.0	30
35.5	35.2	34.8	34.5	34.1	33.6	32.8	32.0	31.4	30.5	32.43	6 a.	32.2	12 p.	30.5	1.7	31

Barograph an Bord

Februar 1902

(Luftdruck zu 0° und Meeresniveau reducirt)

Dat.	Latitude.	Longitude.	1 a. m.	2 a. m.	3 a. m.	4 a. m.	5 a. m.	6 a. m.	7 a. m.	8 a. m.	9 a. m.	10 a. m.	11 a. m.	Mittg.	1 p. m.	2 p. m.
	S.	W.	mm.	mm.	mm.	mm.	mm.	mm.	mm.	mm.	mm.	mm.	mm.	mm.	mm.	mm.
1	63°36'	45°12'	729.4	728.5	727.5	726.9	726.5	726.2	725.6	725.4	725.2	725.1	725.2	725.2	725.2	725.3
2	63°35'	44°24'	32.9	33.4	34.1	34.5	34.6	34.6	34.9	35.6	35.8	36.2	36.8	37.2	37.3	37.0
3	63°18'	45°16'	27.2	26.9	26.8	26.9	27.8	30.0	31.4	32.9	33.9	35.0	36.6	37.8	38.6	39.0
4	63°22'	45°35'	41.6	41.4	41.3	41.1	41.1	41.1	41.3	41.4	41.7	42.4	42.3	42.3	42.5	42.6
5	63°21	46°34'	42.2	42.0	41.9	41.8	41.9	42.0	42.1	42.4	42.5	42.5	42.6	42.7	42.9	43.2
6	63°51'	49°37'	47.1	47.2	47.4	47.5	47.5	47.6	47.7	47.8	47.9	48.2	48.6	48.8	49.0	49.2
7	64°16'	52°14'	49.4	49.0	48.9	48.4	48.2	47.7	47.4	46.8	46.0	45.5	44.9	44.0	43.4	42.5
8	64°11'	53°04'	37.0	36.6	36.2	35.9	35.8	35.7	35.6	35.6	35.8	36.1	36.4	36.6	36.6	36.6
9	64°16'	56°23'	37.6	37.7	37.6	37.6	37.6	37.6	37.6	37.6	37.6	37.6	37.8	38.4	38.6	38.8
10	63°53'	57°22'	39.1	39.5	39.5	39.4	39.4	39.8	39.6	39.6	39.7	39.8	39.8	39.7	39.5	39.6
11	64°03'	56°37'	41.0	41.0	41.0	41.1	41.1	41.1	41.2	41.2	41.7	41.8	41.8	41.7	41.7	41.7
12	64°21'	57°00'	40.0	39.9	39.9	39.8	39.7	39.6	39.6	39.5	39.4	39.3	39.2	39.2	39.2	39.1
13	64°21'	57°00'	39.2	39.2	39.3	39.4	39.5	39.7	39.8	39.9	39.9	40.0	40.0	40.1	40.1	40.1
14	64°21'	57°00'	40.4	40.3	40.3	40.2	40.2	40.1	40.0	40.0	39.9	39.8	39.8	39.7	39.7	39.4
15	64°30'	56°55'	40.0	40.0	39.9	40.0	40.0	40.1	40.4	40.7	40.8	40.9	41.2	41.4	41.6	41.7
16	65°10'	58°22'	42.7	42.7	42.8	43.1	43.5	44.0	44.3	44.7	44.8	45.0	45.2	45.1	45.2	45.1
17	64°59'	58°21'	44.9	44.7	44.6	44.4	44.2	44.1	44.0	44.0	43.9	43.9	44.0	43.9	43.8	43.8
18	65°19'	56°48'	44.9	45.3	45.4	45.5	45.7	45.8	46.0	46.0	46.1	46.1	46.1	46.4	46.4	46.4
19	65°11'	56°59'	46.6	46.6	46.6	46.6	46.6	46.7	46.7	46.6	46.6	46.5	46.3	46.0	45.7	45.2
20	64°32'	56°29'	42.6	42.8	42.9	42.9	42.0	43.3	43.5	43.6	43.7	43.9	44.2	44.0	44.0	44.5
21	64°21'	57°00'	49.4	49.7	50.3	50.5	50.8	51.0	51.5	51.6	51.7	51.8	52.1	51.9	51.8	51.6
22	64°00'	55°36'	50.5	50.3	50.1	49.8	49.8	49.8	49.5	49.5	49.4	49.4	49.4	49.2	49.3	49.3
23	63°39'	56°05'	51.9	51.9	52.0	52.2	52.3	52.5	52.6	52.6	52.7	52.8	52.6	52.6	52.6	52.6
24	63°04'	56°37'	50.6	50.5	49.6	49.2	48.7	48.5	48.4	47.9	47.7	47.6	47.6	48.1	48.1	48.1
25	62°45'	56°43'	43.6	42.4	41.3	40.7	40.2	39.5	39.0	38.6	38.6	38.3	38.5	38.6	39.0	39.4
26	62°16'	57°09'	44.0	44.0	43.9	43.7	43.7	43.8	43.8	43.8	44.0	44.2	44.2	44.2	44.0	44.0
27	61°29'	58°00'	43.3	42.7	42.2	42.0	41.6	41.2	40.7	40.3	40.0	39.2	39.1	39.2	39.2	39.6
28	60°11'	58°47'	43.7	43.9	44.0	44.0	44.2	44.4	44.7	44.9	44.9	44.7	44.8	45.0	45.2	45.3

der »Antarctic«.

(Luftdruck zu 0° und Meeresniveau reduziert)

Februar 1902

3 p. m.	4 p. m.	5 p. m.	6 p. m.	7 p. m.	8 p. m.	9 p. m.	10 p. m.	11 p. m.	Mtn.	Med.	Maximum.	Minimum.	Diff.	Dat.		
mm.	mm.	mm.	mm.	mm.	mm.	mm.	mm.	mm.	mm.	mm.	h. m.	mm.	h. m.	mm.		
725.3	725.6	726.4	727.1	727.9	728.9	729.6	730.8	731.8	732.4	727.21	—	732.4	10 a.	725.1	7.3	1
36.9	36.6	35.9	34.5	33.1	31.6	30.2	29.3	28.6	26.8	34.10	1 p.	37.3	12 p.	26.8	10.5	2
40.1	40.5	41.0	41.6	42.1	42.1	42.1	42.1	42.0	41.8	36.10	8 p.	42.1	3 a.	26.8	15.3	3
42.7	42.6	42.6	42.5	42.5	42.6	42.6	42.7	42.6	42.5	42.08	3 p.	42.7	5 a.	41.1	1.6	4
43.7	44.1	44.7	45.4	46.0	46.3	46.6	46.8	47.0	47.0	43.76	12 p.	47.0	4 a.	41.8	5.2	5
49.4	49.6	49.7	49.7	49.8	49.9	50.0	50.1	50.0	49.6	48.76	10 p.	50.1	1 a.	47.1	3.0	6
41.6	41.2	40.6	40.3	39.9	39.4	39.0	38.5	38.0	37.6	43.68	1 a.	49.4	12 p.	37.6	11.8	7
36.8	36.9	37.0	37.0	37.2	37.4	37.4	37.5	37.5	37.4	36.61	11 p.	37.5	8 a.	35.6	1.9	8
39.0	39.3	39.4	39.5	39.0	38.7	38.7	39.3	39.4	39.3	38.44	6 p.	39.5	6 a.	37.6	1.9	9
39.7	39.7	39.6	39.8	40.0	40.0	40.5	40.5	40.8	41.0	39.82	12 p.	41.0	1 a.	39.1	1.9	10
41.5	41.2	41.0	40.8	40.6	40.3	40.2	40.1	40.0	40.0	41.03	11 a.	41.8	12 p.	40.0	1.8	11
39.1	39.1	39.1	39.0	38.9	38.9	39.0	39.1	39.1	39.2	39.33	1 a.	40.0	8 p.	38.9	1.1	12
40.2	40.2	40.2	40.2	40.2	40.2	40.4	40.6	40.5	40.5	39.98	10 p.	40.6	1 a.	39.2	1.4	13
39.4	39.4	39.4	39.3	39.7	39.9	40.0	40.0	40.0	40.0	39.88	1 a.	40.4	6 p.	39.3	1.1	14
41.8	41.9	42.0	42.0	42.0	42.0	42.0	42.3	42.3	42.6	41.65	12 p.	42.6	3 a.	39.9	2.7	15
45.2	45.2	45.2	45.3	45.2	45.2	45.1	45.1	45.0	45.0	44.57	6 p.	45.3	1 a.	42.7	2.6	16
44.0	44.0	44.1	44.1	44.4	44.6	44.8	44.8	44.8	44.8	44.28	1 a.	44.9	2 p.	43.8	1.1	17
46.5	46.6	46.7	46.7	46.8	46.7	46.7	46.7	46.6	46.6	46.20	7 p.	46.8	1 a.	44.9	1.9	18
45.0	44.9	44.7	44.5	44.0	43.7	43.5	43.2	42.8	42.6	45.34	6 a.	46.7	12 p.	42.6	4.1	19
45.0	45.4	46.0	46.3	46.6	47.7	47.9	48.4	48.6	49.0	44.95	12 p.	49.0	5 a.	42.0	7.0	20
51.6	51.6	51.6	51.9	51.4	51.3	51.0	50.8	50.6	50.6	51.17	11 a.	52.1	1 a.	49.4	2.7	21
49.3	49.3	49.6	49.7	50.1	50.6	50.8	51.4	51.6	51.8	49.98	12 p.	51.8	0 p.	49.2	2.6	22
52.0	51.8	51.5	51.5	51.4	51.0	51.0	51.0	50.8	50.7	51.94	10 a.	52.8	12 p.	50.7	2.1	23
48.1	48.1	47.8	47.3	47.0	46.7	46.1	45.5	45.0	44.3	47.77	1 a.	50.6	12 p.	44.3	6.3	24
40.0	40.6	41.1	41.6	42.2	42.4	42.7	43.2	43.6	43.8	40.79	12 p.	43.8	10 a.	38.3	5.3	25
43.8	43.7	43.7	43.7	43.7	43.8	43.8	43.6	43.6	43.6	43.85	11 a.	44.2	12 p.	43.6	0.6	26
40.3	41.0	41.3	41.8	42.3	42.6	42.7	43.1	43.2	43.6	41.34	12 p.	43.6	11 a.	39.1	4.5	27
45.6	45.8	46.1	46.6	46.9	47.4	48.2	48.4	49.0	49.2	45.70	12 p.	49.2	1 a.	43.7	5.5	28

Barograph an Bord

März 1902

(Luftdruck zu 0° und Meeresniveau reduciert)

Dat.	Latitude.	Longitude.	1 a. m.	2 a. m.	3 a. m.	4 a. m.	5 a. m.	6 a. m.	7 a. m.	8 a. m.	9 a. m.	10 a. m.	11 a. m.	Mittg.	1 p. m.	2 p. m.
	S.	W.	mm.	mm.	mm.	mm.	mm.	mm.	mm.	mm.	mm.	mm.	mm.	mm.	mm.	mm.
1	57°48'	61°02'	749.6	750.2	750.4	750.8	751.1	751.6	752.2	752.7	753.1	753.3	753.7	754.0	754.2	754.4
2	56°49'	63°00'	57.9	57.9	58.0	58.2	58.3	58.4	58.7	58.8	58.8	59.0	59.0	59.0	58.9	58.8
3	55°53'	64°44'	56.2	56.0	55.6	55.3	54.8	54.4	54.0	53.7	53.2	52.4	51.7	50.7	50.2	49.3
4	Beagle-Kanal		46.8	46.8	47.0	47.1	47.1	47.5	48.0	48.2	48.8	49.0	49.2	49.4	49.8	49.8
5	Beagle-Kanal		52.9	52.9	52.9	52.9	52.8	52.9	53.1	53.4	53.8	54.3	54.4	54.4	54.6	54.7
6			58.5	58.9	59.2	59.4	59.8	60.4	61.0	61.5	61.8	62.2	62.5	62.9	63.1	63.4
7			68.0	68.2	68.7	68.9	68.9	68.9	69.1	69.4	69.4	69.6	69.5	69.5	69.4	69.3
8			69.0	68.8	68.6	68.4	68.4	68.5	68.5	68.4	68.3	68.2	67.9	67.5	67.2	67.0
9			64.5	64.1	63.4	62.9	62.8	62.4	62.3	62.0	61.7	61.5	60.9	60.5	60.3	60.1
10			59.3	59.8	59.8	60.4	60.6	61.0	61.4	61.8	62.4	62.8	63.4	63.6	63.8	63.8
11			65.4	65.3	65.4	65.4	65.4	65.5	65.6	65.7	65.6	65.6	65.2	64.8	64.3	63.9
12			61.9	61.5	61.2	60.7	60.5	60.1	59.9	59.6	59.2	58.6	58.0	57.7	57.0	56.4
13			53.6	53.0	52.7	52.6	52.2	52.3	52.0	52.0	51.9	51.7	51.7	51.8	51.7	51.5
14			53.5	53.5	53.6	53.7	53.8	53.7	53.5	53.0	52.9	52.7	52.0	51.5	50.8	50.0
15	Ushuaia		44.6	43.9	43.2	42.7	42.4	42.0	41.5	41.1	41.0	40.8	40.5	40.8	40.9	40.9
16			46.7	46.9	46.9	47.0	47.5	47.7	47.8	48.0	48.1	48.1	48.1	48.1	48.2	48.2
17			50.0	50.6	51.0	51.7	52.6	52.1	53.5	53.9	54.2	53.8	53.3	52.6	52.4	51.9
18			50.1	49.9	49.5	48.9	48.5	47.8	47.8	47.8	47.7	47.6	47.3	47.1	46.9	46.8
19			53.6	53.9	54.4	55.7	56.4	57.3	57.9	58.3	59.0	59.5	59.7	60.1	60.6	60.7
20			59.8	59.0	58.1	57.8	56.8	55.9	54.9	54.5	53.6	52.9	51.8	51.0	49.8	48.8
21			40.5	39.7	39.0	38.6	38.6	38.8	38.8	38.8	38.7	38.8	38.8	38.8	38.8	38.9
22			40.2	40.5	41.0	41.6	41.9	42.5	43.2	43.6	44.0	44.5	44.7	45.0	45.5	45.8
23	Beagle-Kanal		41.7	41.8	42.2	42.6	43.3	43.9	44.5	44.7	44.9	44.8	44.6	44.3	44.0	43.9
24	54°22'	64°09'	44.0	43.1	42.6	41.6	40.8	39.5	38.3	37.5	36.8	36.4	36.0	35.1	34.8	34.6
25	53°29'	61°35'	45.5	46.6	47.3	48.0	48.7	49.6	50.7	51.8	52.9	53.9	54.5	55.2	56.1	56.4
26	52°13'	58°38'	60.0	60.1	60.2	60.3	60.3	60.4	60.4	60.4	60.3	60.3	60.3	60.2	60.0	59.8
27			55.8	55.5	54.8	54.4	54.0	54.0	53.9	53.5	53.3	53.1	52.9	52.7	52.6	52.5
28			56.9	57.5	57.9	58.1	58.8	58.8	58.9	58.9	58.9	59.0	58.9	58.4	58.0	57.3
29			54.7	54.2	53.9	53.6	53.1	52.7	52.2	51.8	51.6	51.1	50.2	50.0	49.9	49.9
30	Port-Stanley		51.4	50.8	50.3	49.4	49.0	48.7	47.7	45.8	44.1	43.3	42.5	41.9	41.3	40.9
31			48.6	49.0	49.3	49.4	49.7	49.9	49.9	50.0	50.1	50.0	49.7	49.6	49.2	48.9

der »Antarctic«.

(Luftdruck zu 0° und Meeresniveau reducirt)

März 1902

3 p. m.	4 p. m.	5 p. m.	6 p. m.	7 p. m.	8 p. m.	9 p. m.	10 p. m.	11 p. m.	Mtta.	Med.	Maximum.	Minimum.	Diff.	Dat.		
mm.	mm.	mm.	mm.	mm.	mm.	mm.	mm.	mm.	mm.	mm.	h. m.	h. m.	mm.	mm.		
755.0	755.2	755.6	756.2	756.4	756.7	757.0	757.2	757.3	757.6	753.98	12 p.	757.6	1 a.	749.6	8.0	1
58.7	58.6	58.2	58.2	58.0	57.8	57.4	57.2	57.0	56.6	58.23	11 a.	59.0	12 p.	56.6	2.4	2
48.2	47.4	46.8	46.1	45.9	46.1	46.3	46.4	46.5	46.4	50.57	1 a.	56.2	7 p.	45.9	10.3	3
50.6	50.9	51.1	51.3	51.4	51.8	52.3	52.7	52.7	52.8	49.69	12 p.	52.8	1 a.	46.8	6.0	4
55.0	55.3	55.6	56.0	56.4	56.6	57.1	57.4	57.8	58.1	54.80	12 p.	58.1	5 a.	52.8	5.3	5
63.8	64.1	64.7	65.1	65.8	66.2	67.2	67.3	67.5	67.6	63.49	12 p.	67.5	1 a.	58.5	9.0	6
69.2	69.1	69.0	69.0	69.1	69.2	69.2	69.1	69.0	69.0	64.90	10 a.	69.6	1 a.	68.0	1.6	7
66.8	66.3	66.0	65.8	65.5	65.4	65.2	65.0	64.8	64.7	67.09	1 a.	69.0	12 p.	64.7	4.7	8
59.8	59.7	59.5	59.4	59.4	59.5	59.6	59.6	59.6	59.6	61.05	1 a.	64.5	7 p.	59.4	5.1	9
63.8	64.0	64.1	64.6	64.9	65.0	65.5	65.5	65.5	65.3	63.00	10 p.	65.5	1 a.	59.3	6.2	10
63.5	63.5	63.3	63.4	63.5	63.6	63.2	63.0	62.7	62.4	64.38	8 a.	65.7	12 p.	62.4	3.3	11
56.0	55.5	55.1	54.9	54.8	54.8	54.6	54.5	54.0	53.7	57.51	1 a.	61.9	12 p.	53.7	8.2	12
51.5	51.5	51.6	51.7	51.9	52.1	52.5	53.0	53.1	53.3	52.20	1 a.	53.6	3 p.	51.5	2.1	13
49.5	48.9	48.5	47.9	47.6	47.0	46.6	46.1	45.6	45.0	50.45	5 a.	53.8	12 p.	45.0	8.8	14
41.1	42.3	43.1	44.0	44.7	45.0	45.1	45.7	46.0	46.5	42.91	12 p.	46.5	11 a.	40.5	6.0	15
48.3	48.4	48.5	48.6	48.8	48.9	49.0	49.3	49.7	49.9	48.20	12 p.	49.9	1 a.	46.7	3.2	16
51.8	51.9	51.3	51.4	51.3	51.3	50.9	50.5	50.4	50.3	51.86	9 a.	54.2	1 a.	50.0	4.2	17
47.0	47.6	48.1	48.8	49.7	50.3	50.9	51.6	52.5	53.0	48.88	12 p.	53.0	2 p.	46.8	6.2	18
61.0	61.3	61.5	61.6	61.5	61.1	61.0	60.7	60.6	60.2	59.07	6 p.	61.6	1 a.	53.6	8.0	19
47.8	47.0	46.4	45.6	44.7	44.2	43.7	43.0	42.2	41.1	50.43	1 a.	59.8	12 p.	41.1	18.7	20
39.0	39.1	39.2	39.3	39.3	39.4	39.4	39.5	39.9	40.0	39.15	1 a.	40.5	5 a.	38.6	1.9	21
45.9	45.8	45.7	45.6	45.5	44.7	44.0	43.9	42.3	41.3	43.70	3 p.	45.9	1 a.	40.2	5.7	22
43.8	43.9	44.3	44.4	44.3	44.8	44.8	44.8	44.3	44.3	43.95	9 a.	44.9	1 a.	41.7	3.2	23
34.6	35.0	36.0	37.0	38.9	39.9	40.4	41.6	43.3	44.5	38.85	12 p.	44.5	2 p.	34.6	9.9	24
57.0	57.4	57.7	58.0	58.7	58.9	59.2	59.7	59.7	59.9	54.31	12 p.	59.9	1 a.	45.5	14.4	25
59.6	59.4	59.4	59.0	58.6	57.9	57.7	57.1	56.6	56.1	59.35	7 a.	60.4	12 p.	56.1	4.3	26
52.9	53.2	53.6	54.0	54.3	54.6	55.0	55.2	55.4	56.1	54.05	12 p.	56.1	2 p.	52.5	3.6	27
57.2	57.0	56.9	56.9	56.9	56.4	55.9	55.6	55.3	54.9	57.47	10 a.	59.0	12 p.	54.9	5.1	28
50.0	50.5	50.9	51.3	51.8	52.0	52.4	52.1	52.0	52.0	51.83	1 a.	54.7	1 p.	49.9	4.8	29
41.6	42.0	42.8	43.1	43.9	44.4	45.7	46.8	47.7	48.1	45.55	1 a.	51.4	2 p.	40.9	10.5	30
48.6	48.6	48.5	48.4	48.3	48.4	48.4	48.5	48.4	48.3	49.07	9 a.	50.1	7 p.	48.3	1.8	31

Barograph an Bord

April 1902

(Luftdruck zu 0° und Meeresniveau reducirt)

Dat.	Latitude.	Longitude.	1 a. m.	2 a. m.	3 a. m.	4 a. m.	5 a. m.	6 a. m.	7 a. m.	8 a. m.	9 a. m.	10 a. m.	11 a. m.	Mtg.	1 p. m.	2 p. m.
	S.	W.	mm.	mm.	mm.	mm.	mm.	mm.	mm.	mm.	mm.	mm.	mm.	mm.	mm.	mm.
1	Port-Stanley		748.2	748.3	748.5	748.9	749.0	749.4	749.5	749.7	750.2	750.5	750.9	750.9	750.7	750.7
2			50.8	50.1	49.0	48.0	48.1	47.7	47.1	46.9	46.5	46.2	45.8	45.6	45.3	45.1
3			45.9	46.1	46.5	47.0	47.7	48.6	50.3	51.5	52.5	53.4	53.7	53.9	54.4	54.7
4			56.8	56.0	55.9	55.5	55.4	54.4	54.2	53.3	52.8	51.5	51.0	50.3	50.2	49.8
5			48.5	48.0	47.5	47.4	47.6	48.0	48.7	49.7	51.0	52.4	53.2	53.8	54.6	55.2
6			60.0	58.9	58.9	58.5	58.3	57.4	57.3	56.7	55.9	55.0	54.5	53.0	51.9	51.0
7			45.9	45.7	45.8	45.9	46.0	46.2	46.8	47.4	47.8	48.0	48.0	47.7	47.7	47.7
8			45.9	45.9	46.0	46.8	47.4	48.3	50.5	51.5	53.3	54.0	55.0	55.8	56.3	56.8
9			60.2	60.3	60.3	60.1	60.0	60.3	60.3	60.3	60.4	60.6	60.5	60.5	60.3	59.7
10			56.3	55.8	55.0	54.5	53.9	53.5	53.0	52.5	52.1	51.5	51.1	50.6	50.3	50.1
11	51°40'	57°42'	49.5	49.5	49.5	49.5	49.5	49.5	49.5	49.6	49.6	49.8	49.9	49.8	49.6	49.4
12	52°06'	55°32'	49.7	49.5	49.3	49.1	49.1	49.1	49.1	49.1	49.1	49.1	49.0	49.0	49.0	49.2
13	52°22'	54°26'	46.7	46.0	45.4	44.2	43.5	42.5	41.4	40.3	38.9	37.5	36.3	35.5	33.2	30.8
14	52°55'	53°32'	27.3	27.6	27.9	28.5	29.3	30.2	31.0	31.9	32.5	33.3	33.4	33.5	33.8	34.2
15	53°01'	51°53'	35.9	36.2	36.4	36.8	37.7	38.3	38.9	39.6	40.0	40.3	40.8	41.0	41.5	41.8
16	53°03'	49°35'	41.6	41.8	42.2	43.0	43.7	44.5	45.4	46.3	47.1	48.0	48.6	49.3	49.7	50.2
17	53°00'	48°27'	56.9	57.1	57.5	57.9	58.1	58.6	59.1	59.3	59.7	60.3	60.5	60.6	60.8	60.8
18	53°23'	46°17'	60.9	60.7	60.0	59.3	59.2	58.8	58.4	57.9	57.5	57.1	56.6	56.1	55.6	55.0
19	53°34'	43°23'	45.3	44.2	42.6	42.0	41.4	40.8	40.7	40.6	40.6	40.5	40.3	40.1	39.7	39.3
20	53°29'	40°43'	37.5	37.5	37.5	37.4	37.5	37.6	37.7	37.9	38.1	38.2	38.2	38.0	37.9	38.0
21	53°44'	37°29'	38.3	38.2	38.0	38.0	38.1	38.1	38.2	38.5	38.6	38.6	38.8	39.0	39.3	39.0
22	54°10'	36°29'	38.3	38.4	38.3	38.2	38.0	37.8	37.9	38.0	38.1	38.1	38.1	38.0	38.0	37.9
23	Jason-Bay		39.7	40.2	41.0	41.8	42.6	43.0	44.5	45.3	46.1	47.0	48.0	48.6	49.2	50.0
24	»		57.3	57.4	56.7	56.4	56.4	56.3	56.3	56.3	55.9	55.3	54.8	54.2	53.2	51.8
25	Cumberland-Bay		53.0	52.4	52.3	50.8	48.2	47.1	45.0	43.0	40.0	38.6	38.0	40.0	41.2	44.4
26	»		51.2	51.3	50.8	50.0	49.8	49.6	49.5	49.4	49.7	50.0	50.1	50.0	49.4	48.5
27	54°26' 36°00'		53.2	53.2	53.7	54.0	54.1	54.5	54.6	54.8	55.1	55.8	56.0	56.0	56.2	56.3
28	Royal-Bay		50.8	49.2	47.8	45.7	43.9	42.4	40.6	39.9	39.8	39.5	38.5	42.0	43.3	45.5
29	»		53.0	53.7	53.8	54.2	54.6	54.9	55.4	55.8	56.6	56.8	57.1	57.5	57.8	57.8
30	»		58.4	58.4	58.3	58.2	58.3	58.4	58.5	58.5	58.8	58.8	58.7	58.5	58.2	57.9

der »Antarctic«.

(Luftdruck zu 0° und Meeresniveau reducirt)

April 1902

3 p. m.	4 p. m.	5 p. m.	6 p. m.	7 p. m.	8 p. m.	9 p. m.	10 p. m.	11 p. m.	Mtta.	Med.	Maximum.		Minimum.		Diff.	Dat.
mm.	mm.	mm.	mm.	mm.	mm.	mm.	mm.	mm.	mm.	mm.	h. m.	mm.	h. m.	mm.	mm.	
750.6	750.8	751.2	751.4	751.6	751.7	751.7	751.4	751.1	750.7	750.32	8 p.	751.7	1 a.	748.2	3.5	1
45.0	44.7	44.8	44.8	44.9	45.0	45.0	45.1	45.3	45.6	46.35	1 a.	50.8	4 p.	44.7	6.1	2
55.0	55.6	56.1	56.5	56.7	56.8	57.0	57.1	57.3	57.0	52.97	11 p.	57.3	1 a.	45.9	11.4	3
49.7	49.5	49.5	49.5	49.3	49.3	49.3	49.1	49.1	48.7	51.67	1 a.	56.8	12 p.	48.7	8.1	4
56.6	57.5	58.5	58.9	60.0	60.4	60.6	60.7	60.7	60.4	54.16	10 p.	60.7	4 a.	47.4	13.3	5
50.3	49.7	49.4	48.8	48.5	48.4	47.7	46.9	47.0	46.7	52.95	1 a.	60.0	12 p.	46.7	13.3	6
48.0	48.3	48.4	48.5	48.5	48.3	48.0	47.5	47.2	46.5	47.33	6 p.	48.5	2 a.	45.7	2.8	7
57.3	57.5	58.0	58.4	58.7	59.2	59.6	59.6	60.0	60.0	54.24	12 p.	60.0	2 a.	45.9	14.1	8
59.5	59.2	58.8	58.7	58.5	58.0	57.7	57.6	57.3	56.7	59.41	10 a.	60.6	12 p.	56.7	3.9	9
50.1	49.9	49.9	49.9	49.6	49.5	49.5	49.5	49.5	49.5	51.55	1 a.	56.3	12 p.	49.5	6.8	10
49.5	49.5	49.5	49.4	49.5	49.6	49.7	49.8	49.7	49.7	49.59	11 a.	49.9	6 p.	49.4	0.5	11
49.5	49.5	49.5	49.4	49.2	49.0	48.9	48.5	48.0	47.4	49.05	1 a.	49.7	12 p.	47.4	2.3	12
29.9	29.4	28.8	28.5	28.1	28.0	27.8	27.5	27.0	27.1	35.16	1 a.	46.7	11 p.	27.0	19.3	13
34.5	35.0	35.1	35.0	35.2	35.3	35.3	35.3	35.4	35.6	32.75	12 p.	35.6	1 a.	27.3	8.3	14
41.9	42.0	42.9	42.8	43.0	42.8	42.6	42.6	42.2	41.8	40.41	7 p.	43.0	1 a.	35.9	7.1	15
50.7	51.6	52.2	53.0	53.6	54.3	54.8	55.5	55.9	56.4	49.14	12 p.	56.4	1 a.	41.6	14.8	16
60.8	60.9	61.0	61.0	61.0	61.2	61.1	61.1	61.0	61.0	59.90	8 p.	61.2	1 a.	56.9	4.3	17
54.4	53.6	52.7	51.9	50.9	50.1	49.4	48.8	47.8	46.5	54.97	1 a.	60.9	12 p.	46.5	14.4	18
39.0	38.9	38.8	38.8	38.7	38.4	37.9	37.8	37.6	37.6	40.07	1 a.	45.3	12 p.	37.6	7.7	19
38.1	38.4	38.4	38.5	38.4	38.3	38.3	38.4	38.4	38.4	38.03	6 p.	38.5	4 a.	37.4	1.1	20
39.1	39.3	39.5	39.5	39.5	39.6	39.5	39.2	38.6	38.4	38.79	8 p.	39.6	4 a.	38.0	1.6	21
37.9	37.9	38.0	38.2	38.5	38.9	39.1	39.2	39.3	39.6	38.32	12 p.	39.6	6 a.	37.8	1.8	22
50.9	51.8	52.4	53.1	54.1	54.9	55.6	56.0	56.4	56.9	48.71	12 p.	56.9	1 a.	39.7	17.2	23
50.8	50.5	50.0	51.4	51.8	52.3	53.4	53.6	53.8	53.4	54.14	2 a.	57.4	5 p.	50.0	7.4	24
46.1	48.0	48.9	49.8	50.4	50.5	50.7	51.5	51.5	51.4	47.20	1 a.	53.0	11 a.	38.0	15.0	25
47.4	47.9	47.9	48.0	49.0	49.8	50.7	51.4	51.7	52.4	49.81	12 p.	52.4	3 p.	47.4	5.0	26
56.1	55.8	55.8	55.2	54.8	54.5	54.0	53.5	53.2	52.0	54.68	2 p.	56.3	12 p.	52.0	4.3	27
47.4	48.6	49.7	50.4	50.9	51.3	51.8	52.3	52.4	52.7	46.52	12 p.	52.7	11 a.	38.5	14.2	28
57.8	58.2	58.4	58.8	58.9	58.8	58.8	58.7	58.6	58.4	56.85	7 p.	58.9	1 a.	53.0	5.9	29
57.9	58.0	58.3	59.0	59.5	59.9	59.9	60.1	60.7	61.0	58.84	12 p.	61.0	3 p.	57.9	3.1	30

Barograph an Bord

Mai 1902

(Luftdruck zu 0° und Meeresniveau reduciert)

Dat.	Latitude.	Longitude.	1 a. m.	2 a. m.	3 a. m.	4 a. m.	5 a. m.	6 a. m.	7 a. m.	8 a. m.	9 a. m.	10 a. m.	11 a. m.	Mittg.	1 p. m.	2 p. m.
	S.	W.	mm.	mm.	mm.	mm.	mm.	mm.	mm.	mm.	mm.	mm.	mm.	mm.	mm.	mm.
1	Cumberland-Bay		760.8	761.0	761.1	761.2	761.6	761.9	762.0	762.2	762.6	762.7	762.5	762.5	762.1	761.9
2	Possession-Bay		60.5	60.2	59.8	59.4	58.9	58.5	57.9	57.5	56.7	56.4	55.9	55.6	54.8	54.0
3	Antarctic-Bay		40.5	39.7	39.5	40.3	41.3	41.8	42.7	43.6	44.5	44.8	44.8	44.9	44.7	44.5
4	"		42.6	42.0	41.3	41.2	41.0	40.9	40.6	40.2	39.8	39.7	39.5	39.3	39.2	38.7
5	"		36.2	35.8	34.5	33.4	33.5	33.5	33.4	33.4	33.3	33.3	33.0	32.6	32.2	32.6
6	Bay of Isle		36.6	37.2	37.9	38.5	39.4	40.4	41.4	41.5	41.3	42.6	43.4	44.3	45.7	46.4
7	"		49.0	48.1	47.1	46.0	45.1	44.3	44.6	44.8	44.7	45.1	45.3	45.3	45.0	44.8
8	"		43.4	43.4	42.9	43.4	41.8	41.8	41.7	41.5	41.4	41.4	41.0	40.7	41.3	
9	"		44.5	46.4	47.7	48.1	48.7	48.9	48.9	48.8	48.5	47.9	47.7	47.0	46.0	44.8
10	Possession-Bay		36.9	36.7	36.4	36.5	36.5	36.0	35.5	36.4	36.9	37.7	38.2	38.9	39.7	40.1
11	"		42.2	41.8	41.8	41.6	41.5	41.7	41.8	41.9	42.3	42.5	42.7	43.4	43.6	44.0
12	Cumberland-Bay		48.9	49.4	49.5	49.7	49.8	49.8	49.9	49.6	49.6	49.2	47.8	47.1	45.8	44.3
13	Jason-Bay		37.7	38.0	38.7	39.1	39.1	39.2	39.3	39.4	39.2	39.2	39.5	39.8	39.8	40.6
14	Topf-Bucht		43.0	43.1	43.4	43.5	43.8	44.0	44.5	44.6	44.9	44.8	44.9	45.0	44.0	43.6
15	"		43.0	42.9	42.8	42.5	42.4	42.2	42.0	41.9	41.9	41.8	41.7	41.6	41.4	41.2
16	"		44.9	45.0	45.0	45.1	45.1	45.1	45.0	44.8	44.8	44.9	45.0	44.9	45.0	44.9
17	"		44.6	44.3	43.7	43.2	42.8	42.0	41.4	41.0	40.4	40.0	39.8	39.6	38.7	37.7
18	"		37.5	37.9	38.7	39.0	39.4	39.9	40.4	41.1	41.6	41.9	42.0	42.6	42.7	42.8
19	"		44.9	44.6	43.9	43.5	43.3	43.2	43.5	43.6	43.7	43.7	43.7	43.6	43.3	43.0
20	"		44.8	44.8	45.0	45.1	45.0	45.0	45.0	45.0	45.1	45.4	45.5	45.2	44.9	44.6
21	"		43.4	43.2	43.0	42.9	42.6	42.3	41.9	41.7	41.6	41.6	41.7	41.6	41.4	41.1
22	"		42.0	42.3	42.5	42.8	43.3	43.4	43.7	44.0	44.2	44.3	44.5	44.6	44.8	45.0
23	"		46.2	46.2	46.4	46.4	46.6	46.4	46.4	46.4	46.2	46.5	46.4	46.4	45.8	45.6
24	"		42.7	42.0	41.6	41.4	41.2	40.8	40.6	40.6	40.7	40.8	40.9	41.2	41.1	41.0
25	"		40.0	39.8	39.1	38.7	38.4	38.3	38.4	38.3	38.6	38.8	39.1	39.7	40.0	40.6
26	"		46.2	46.5	46.7	46.7	46.7	46.9	47.0	47.1	47.1	47.5	46.9	46.1	45.6	45.5
27	"		34.4	32.6	30.5	28.8	27.0	25.8	24.7	24.3	24.0	23.9	23.8	23.7	23.6	23.6
28	"		32.1	32.5	32.6	32.8	32.9	32.8	32.7	32.8	32.8	32.8	32.2	32.0	31.5	30.9
29	"		32.5	33.0	33.6	34.1	34.8	35.1	35.5	35.6	35.5	35.0	34.5	34.4	34.6	34.8
30	"		40.6	41.0	41.2	41.4	41.8	42.0	42.4	42.8	42.7	42.8	42.8	42.8	42.7	42.7
31	"		43.0	42.8	42.6	42.4	42.3	42.3	42.0	42.1	42.5	42.8	42.8	42.9	42.9	43.0

der »Antarctic«.

(Luftdruck zu 0° und Meeresniveau reduziert)

Mai 1902

3 p. m.	4 p. m.	5 p. m.	6 p. m.	7 p. m.	8 p. m.	9 p. m.	10 p. m.	11 p. m.	Mttm.	Med.	Maximum.	Minimum.	Diff.	Dat.		
mm.	mm.	mm.	mm.	mm.	mm.	mm.	mm.	mm.	mm.	mm.	h. m.	h. m.	mm.	mm.		
761.9	761.9	761.8	761.9	762.0	762.0	761.8	761.5	761.2	760.7	761.78	10 a.	762.7	12 p.	760.7	2.0	1
52.7	52.0	50.7	49.6	48.5	47.2	45.7	44.6	43.3	41.7	53.42	1 a.	60.5	12 p.	41.7	18.8	2
43.8	43.7	43.7	43.8	43.7	44.0	43.8	43.6	43.6	43.4	43.11	0 p.	44.9	3 a.	39.5	5.4	3
38.7	38.8	38.7	38.6	38.5	38.4	38.2	37.5	37.4	37.0	39.49	1 a.	42.6	12 p.	37.0	5.6	4
32.7	32.9	33.2	33.8	34.3	34.9	35.4	35.8	36.1	36.2	34.00	12 p.	36.2	1 p.	32.2	4.0	5
46.9	47.1	47.4	47.9	48.2	49.4	49.8	49.7	49.7	49.5	44.26	9 p.	49.8	1 a.	36.6	13.2	6
44.5	44.4	44.4	44.0	44.2	44.4	44.5	44.5	44.0	43.7	45.08	1 a.	49.0	12 p.	43.7	5.3	7
42.4	43.0	43.7	44.1	43.8	43.5	42.8	43.7	44.0	44.3	42.62	12 p.	44.3	1 p.	40.7	3.6	8
43.6	42.8	41.7	41.0	40.3	39.6	39.0	38.2	37.9	37.4	44.39	7 a.	48.9	12 p.	37.4	15.5	9
39.7	39.9	41.1	41.6	41.8	42.4	42.5	42.4	42.3	42.3	39.10	9 p.	42.5	7 a.	35.5	7.0	10
44.2	44.5	45.2	45.5	45.8	46.5	47.2	47.5	48.1	48.5	43.99	12 p.	48.5	5 a.	41.5	7.0	11
43.0	41.3	39.4	38.1	37.4	35.9	35.5	35.0	36.7	37.6	44.18	7 a.	49.9	10 p.	35.0	14.9	12
40.8	40.8	41.4	42.0	42.3	42.6	42.6	42.7	42.7	42.8	40.39	12 p.	42.8	1 a.	37.7	5.1	13
43.7	43.8	44.4	44.0	44.4	44.1	43.7	43.5	43.5	43.4	43.98	12 a.	45.0	1 a.	43.0	2.0	14
41.5	41.7	42.1	42.8	43.1	43.8	44.2	44.5	44.6	44.7	42.60	12 p.	44.7	2 p.	41.2	3.5	15
44.8	44.8	44.8	44.8	44.8	44.8	44.7	44.2	44.5	44.5	44.84	5 a.	45.1	10 p.	44.2	0.9	16
37.2	37.0	36.7	36.6	36.6	36.6	36.5	36.9	37.0	37.1	39.48	1 a.	44.6	9 p.	36.5	9.1	17
42.9	43.0	43.2	43.1	43.4	43.8	44.4	44.7	44.8	45.0	41.9	12 p.	45.0	1 a.	37.5	7.5	18
43.0	42.8	42.8	43.1	43.6	43.7	44.0	44.7	44.7	44.8	43.70	1 a.	44.9	4 p.	42.8	2.1	19
44.2	43.9	43.8	43.8	43.9	43.9	43.8	43.8	43.7	43.6	44.53	11 a.	45.5	12 p.	43.6	1.9	20
41.1	41.0	41.1	41.2	41.4	41.5	41.4	41.5	41.6	41.9	41.82	1 a.	43.4	4 p.	41.0	2.4	21
45.1	45.3	45.5	45.7	45.8	45.9	46.0	46.1	46.3	46.2	44.55	11 p.	46.3	1 a.	42.0	4.3	22
45.6	44.9	45.8	44.9	44.9	45.0	44.6	43.8	43.7	43.0	45.58	5 a.	46.6	12 p.	43.0	3.6	23
41.0	41.3	41.4	41.4	41.3	40.7	40.6	40.4	40.3	40.4	41.06	1 a.	42.7	11 p.	40.3	2.4	24
41.4	41.9	42.7	43.5	43.8	44.5	45.0	45.6	45.8	46.0	41.18	12 p.	46.0	6 a.	38.3	7.7	25
44.8	44.5	44.2	43.5	42.0	41.5	40.3	39.0	37.5	36.0	44.41	10 a.	47.5	12 p.	36.0	11.5	26
24.2	24.9	25.9	26.7	27.5	29.7	30.5	31.0	31.9	32.1	27.30	1 a.	34.4	1 p.	23.6	10.8	27
30.5	30.4	30.6	30.7	31.2	31.3	31.5	31.7	32.0	32.1	31.89	5 a.	32.9	4 p.	30.4	2.5	28
35.3	35.9	36.5	36.8	37.2	38.0	39.0	39.5	39.7	40.2	35.88	12 p.	40.2	1 a.	32.5	7.7	29
42.7	43.0	43.1	43.4	43.6	43.6	43.6	43.5	43.3	43.1	42.61	8 p.	43.6	1 a.	40.6	3.0	30
43.2	43.8	44.0	44.2	44.6	44.8	44.9	45.0	44.7	44.3	43.33	10 p.	45.0	7 a.	42.0	3.0	31

Barograph an Bord

Juni 1902

(Luftdruck zu 0° und Meeresniveau reducirt)

Dat.	Latitude.		1 a. m.	2 a. m.	3 a. m.	4 a. m.	5 a. m.	6 a. m.	7 a. m.	8 a. m.	9 a. m.	10 a. m.	11 a. m.	Mttg.	1 p. m.	2 p. m.
	S.	W.														
1	Topf-Bucht		744.1	743.9	743.7	742.9	742.8	742.4	741.8	741.8	741.7	741.7	741.5	741.3	741.0	740.8
2	»		41.5	41.3	41.2	40.9	40.8	40.7	40.6	40.7	40.8	40.8	40.7	40.7	40.8	40.9
3	»		43.9	44.1	44.5	44.8	45.0	45.4	45.5	45.7	45.8	46.0	46.2	46.0	46.0	46.5
4	»		46.8	46.8	46.8	46.1	46.8	46.9	47.2	47.5	47.8	48.0	48.3	48.3	48.4	48.5
5	»		51.7	51.8	52.0	52.1	52.1	52.4	52.5	52.7	52.8	52.9	52.9	52.9	52.8	52.7
6	»		53.0	52.9	52.6	52.4	51.7	50.9	50.7	50.2	50.0	49.8	49.5	48.8	48.5	48.0
7	»		44.8	44.7	44.7	44.4	43.8	43.7	43.0	42.9	42.1	41.2	40.8	40.6	40.4	40.4
8	»		41.9	40.7	38.0	35.8	34.5	33.0	31.5	30.4	29.3	28.9	29.7	31.4	32.9	34.0
9	»		39.5	39.2	39.2	38.6	37.9	36.9	35.8	34.7	33.6	33.4	31.5	31.3	30.8	30.7
10	»		31.5	31.2	30.8	30.8	32.5	33.0	33.5	34.0	34.8	35.3	35.7	35.9	35.8	35.7
11	»		37.2	37.5	37.6	37.2	37.3	37.0	37.5	38.0	38.3	38.8	39.4	39.4	39.8	40.8
12	»		45.0	45.5	46.2	46.8	47.5	47.7	47.7	47.8	47.9	48.2	48.5	48.6	48.8	49.1
13	»		51.0	50.3	49.5	48.8	48.9	48.9	49.8	50.7	51.5	52.0	52.8	53.1	53.6	54.0
14	»		58.8	59.0	59.6	59.7	59.8	60.0	60.5	60.7	60.9	61.1	61.6	61.7	61.9	61.9
15	Cumberland-Bay		63.8	63.8	63.8	63.8	63.8	63.8	63.9	63.9	63.9	63.9	64.0	63.9	63.4	63.0
16	53° 10'	36° 30'	59.0	58.6	58.1	57.8	57.6	57.0	56.5	56.2	56.0	56.0	55.9	55.6	55.3	54.8
17	52° 39'	37° 55'	55.6	56.1	56.6	56.7	57.1	57.2	57.5	57.7	57.8	58.0	58.1	58.0	57.8	57.5
18	51° 33'	38° 42'	59.1	59.2	59.4	59.4	59.4	59.3	59.7	60.0	60.2	60.1	60.0	59.9	59.6	59.2
19	50° 47'	38° 56'	53.3	52.0	50.5	48.4	46.8	45.3	44.0	42.2	41.0	39.5	38.0	37.2	36.2	35.5
20	50° 42'	40° 34'	38.3	39.0	39.8	40.6	41.4	42.3	43.5	44.8	46.0	47.1	48.4	49.6	50.4	51.0
21	50° 19'	41° 37'	58.3	58.4	58.4	58.2	57.9	57.4	57.0	57.0	56.9	56.8	56.7	56.7	56.5	56.5
22	49° 25'	42° 22'	63.5	63.9	64.1	64.2	64.4	64.6	64.7	65.0	65.5	66.0	66.2	66.2	66.4	66.5
23	48° 27'	42° 36'	69.1	69.1	69.1	69.2	69.2	69.4	69.8	70.0	70.1	70.4	71.0	71.6	72.0	72.3
24	48° 28'	43° 53'	75.4	75.5	75.5	75.4	75.6	75.7	76.0	75.9	76.1	76.4	76.5	76.5	76.5	76.2
25	48° 56'	46° 10'	76.5	76.4	76.4	76.0	75.4	75.0	74.8	75.0	74.7	74.5	74.3	74.3	73.5	73.0
26	49° 22'	49° 00'	69.8	69.6	69.2	68.9	68.6	67.8	67.4	67.0	66.0	65.4	65.1	64.4	63.3	62.2
27	49° 56'	49° 56'	55.9	55.8	55.8	55.3	55.7	55.0	55.2	56.8	57.2	57.4	57.9	58.1	58.4	58.6
28	50° 19'	50° 50'	59.5	58.5	57.9	57.3	56.9	56.7	56.1	55.7	55.1	55.0	54.7	54.5	54.2	54.1
29	50° 55'	51° 41'	58.3	58.6	59.0	59.5	59.5	60.0	60.0	60.2	60.3	60.4	60.1	59.8	59.3	58.9
30	51° 29'	53° 03'	54.2	54.1	54.1	53.8	53.4	53.5	53.1	52.9	52.8	52.3	52.1	51.4	50.7	50.0

der »Antarctic«.

(Luftdruck zu 0° und Meeresniveau reducirt)

Juni 1902

3 p. m.	4 p. m.	5 p. m.	6 p. m.	7 p. m.	8 p. m.	9 p. m.	10 p. m.	11 p. m.	Mttm.	Med.	Maximum.	Minimum.	Diff.	Dat.		
741.1	741.3	741.2	741.4	741.5	741.7	741.8	741.8	741.7	741.7	741.7	1 a.	744.1	2 p.	740.8	3.3	1
41.0	41.2	41.6	42.0	42.3	43.5	43.2	43.4	43.5	43.7	41.58	12 p.	43.7	2 a.	40.6	3.1	2
46.4	46.4	46.7	46.6	46.6	46.7	46.6	46.6	46.7	46.7	45.89	12 p.	46.7	1 a.	43.9	2.8	3
48.6	48.8	49.1	49.6	50.2	50.6	51.0	51.4	51.5	51.6	48.61	12 p.	51.6	4 a.	46.1	5.5	4
52.9	53.2	53.4	53.5	53.7	53.8	53.8	53.9	53.7	53.6	52.91	10 p.	53.9	1 a.	51.7	2.2	5
47.7	47.1	46.4	45.2	45.3	45.4	45.7	45.7	45.4	45.4	48.68	1 a.	53.0	6 p.	45.2	7.8	6
40.5	40.6	40.6	40.7	40.9	41.4	42.4	42.9	43.1	42.9	42.23	1 a.	44.8	2 p.	40.4	4.4	7
34.7	35.7	36.5	37.2	38.0	38.4	39.0	39.2	39.4	39.6	35.40	1 a.	41.9	10 a.	28.9	3.0	8
30.8	30.6	30.5	30.5	30.4	30.5	30.8	31.2	31.5	31.5	33.39	1 a.	39.5	7 p.	30.4	9.1	9
34.9	34.9	34.8	35.7	35.8	36.0	36.2	36.5	36.9	37.2	34.56	12 p.	37.2	3 a.	30.8	6.4	10
40.9	41.1	41.3	42.0	42.5	42.7	43.4	43.8	44.2	44.7	40.10	12 p.	44.7	6 a.	37.0	7.7	11
49.4	49.9	50.1	50.3	50.9	51.2	51.3	51.5	51.7	51.5	48.88	11 p.	51.7	1 a.	45.0	6.7	12
54.6	55.3	55.8	56.2	56.8	57.0	57.4	57.8	58.2	58.7	53.45	12 p.	58.7	4 a.	48.8	9.9	13
61.9	62.0	62.5	63.0	63.2	63.5	63.6	63.7	63.8	63.8	61.59	12 p.	63.8	1 a.	58.8	5.0	14
62.6	62.5	62.4	62.0	61.6	61.0	60.3	60.0	59.8	59.2	62.67	11 a.	64.0	12 p.	59.2	4.8	15
53.5	53.2	53.0	53.1	53.2	53.6	53.9	54.4	54.9	55.4	55.53	1 a.	59.0	5 p.	53.0	6.0	16
57.3	57.3	57.4	57.3	57.6	57.8	58.0	58.3	58.6	58.7	57.50	12 p.	58.7	1 a.	55.6	3.1	17
58.8	59.0	58.8	58.5	57.2	56.8	56.2	55.5	55.2	54.2	58.56	9 a.	60.2	12 p.	54.2	6.0	18
35.2	35.7	35.5	36.1	36.6	36.6	36.7	36.7	37.2	37.6	40.58	1 a.	53.3	3 p.	35.2	18.1	19
51.7	52.4	53.6	54.3	55.3	56.0	56.7	57.2	57.6	58.2	48.97	12 p.	58.2	1 a.	38.3	19.9	20
56.5	57.0	58.0	58.7	59.4	60.1	60.7	61.4	62.0	62.8	58.30	12 p.	62.8	2 p.	56.5	6.3	21
66.4	66.5	67.0	67.1	67.5	67.9	68.5	68.6	68.9	69.0	66.19	12 p.	69.0	1 a.	63.5	5.5	22
72.3	72.6	72.8	73.4	73.7	74.0	74.2	74.4	74.9	75.2	71.66	12 p.	75.2	1 a.	69.1	6.1	23
76.0	76.3	76.4	76.7	77.0	77.0	77.0	77.0	76.8	76.7	76.25	9 p.	77.0	1 a.	75.4	1.6	24
72.7	72.4	72.2	72.0	71.7	71.7	71.2	71.0	70.5	70.2	73.56	1 a.	76.5	12 p.	70.2	6.3	25
61.2	60.5	60.2	60.0	59.2	58.2	57.2	56.8	56.4	56.1	63.35	1 a.	69.8	12 p.	56.1	13.7	26
58.7	59.0	59.4	59.5	60.0	60.4	60.4	60.5	59.8	59.5	57.93	10 p.	60.5	6 a.	55.0	5.5	27
54.2	54.2	54.7	55.4	55.8	56.3	56.8	57.2	57.8	58.0	56.11	1 a.	59.5	2 p.	54.1	5.4	28
58.2	57.8	57.7	57.0	56.8	56.7	56.2	55.9	54.9	54.7	58.83	10 a.	60.4	12 p.	54.7	5.7	29
49.5	49.0	48.6	48.2	47.9	47.3	46.5	56.0	45.3	44.5	50.47	1 a.	54.2	12 p.	44.5	9.7	30

Barograph an Bord

Juli 1902

(Luftdruck zu 0° und Meeresniveau reducirt)

Dat.	Latitude.	Longitude.	1 a. m.	2 a. m.	3 a. m.	4 a. m.	5 a. m.	6 a. m.	7 a. m.	8 a. m.	9 a. m.	10 a. m.	11 a. m.	Mttg.	1 p. m.	2 p. m.
	S.	W.	mm.	mm.	mm.	mm.	mm.	mm.	mm.	mm.	mm.	mm.	mm.	mm.	mm.	mm.
1	51°44'	54°27'	743.5	742.9	742.2	741.2	740.8	740.6	740.5	740.6	741.0	741.4	741.8	742.5	743.2	743.8
2	51°18'	54°27'	48.7	48.8	48.9	48.5	48.3	48.1	47.5	47.0	46.8	46.8	46.9	46.3	45.4	45.6
3	51°21'	54°42'	49.7	50.8	51.8	52.3	53.2	54.4	55.7	57.0	58.0	59.0	59.8	60.3	60.7	60.8
4	51°40'	57°42'	61.2	60.8	60.3	59.8	59.0	58.8	58.6	58.4	58.3	58.1	57.8	57.3	56.4	55.8
5	Port-Stanley		49.9	49.8	49.6	49.6	49.7	50.0	50.1	50.2	50.3	50.4	50.5	50.6	50.6	50.5
6	"	"	53.5	53.5	53.6	53.5	53.5	53.4	53.4	53.5	53.4	53.4	53.3	53.3	53.2	53.0
7	"	"	52.0	51.5	51.0	50.4	49.6	48.7	48.0	47.0	46.7	46.0	45.4	45.0	44.6	43.3
8	"	"	46.2	46.5	46.7	47.0	47.0	47.1	47.0	46.8	46.7	46.7	46.6	46.5	45.8	45.5
9	"	"	36.9	36.2	35.5	34.8	34.5	34.0	33.5	33.3	32.8	33.0	33.3	33.5	33.5	33.4
10	"	"	37.2	37.3	37.5	38.1	38.5	38.9	39.2	39.5	40.3	41.0	41.9	42.5	43.5	44.3
11	"	"	52.9	52.8	53.0	52.9	52.9	52.8	53.1	53.4	53.7	53.8	53.9	54.0	53.5	53.2
12	"	"	50.6	50.8	51.2	51.5	51.7	51.9	51.9	52.0	52.1	52.3	52.4	52.5	53.0	53.0
13	"	"	58.7	58.8	59.4	59.6	59.9	60.3	60.5	60.6	61.0	61.3	61.7	62.0	62.2	62.2
14	"	"	61.6	61.5	61.2	61.1	60.7	60.6	60.5	60.4	60.3	60.2	60.0	59.1	58.2	56.4
15	"	"	49.2	47.9	46.8	46.0	45.0	44.0	42.9	41.7	40.2	39.3	38.2	37.2	36.7	35.7
16	"	"	34.7	34.7	34.8	34.8	35.0	35.1	35.2	35.3	35.4	35.3	35.2	35.0	34.1	33.3
17	"	"	38.7	39.3	39.2	39.1	39.0	38.9	38.7	38.7	38.6	38.5	38.0	37.1	35.7	34.1
18	"	"	32.3	31.9	31.7	31.7	31.2	31.4	31.7	31.5	31.6	31.9	32.1	32.2	32.5	32.6
19	"	"	41.8	42.5	43.0	43.1	43.2	43.1	43.3	43.1	43.0	42.2	41.3	41.0	40.1	39.7
20	"	"	44.9	45.5	46.8	46.8	47.2	47.8	48.2	49.1	49.9	50.5	51.0	51.2	51.0	51.0
21	"	"	48.1	47.6	47.1	46.4	45.8	45.8	44.2	43.5	42.5	42.1	41.6	40.2	38.9	38.0
22	"	"	36.9	37.0	37.2	37.3	37.6	38.0	38.6	39.0	39.4	39.6	40.3	40.5	40.4	40.4
23	"	"	38.4	38.0	37.6	37.0	36.5	36.3	36.5	36.5	36.2	36.3	36.6	36.5	35.7	35.5
24	"	"	37.0	37.1	37.5	37.9	38.5	39.5	40.5	41.4	42.7	43.1	44.0	43.5	45.1	45.5
25	"	"	52.0	52.2	52.7	52.8	53.2	53.4	53.6	53.7	53.9	54.0	54.4	53.9	53.5	53.2
26	"	"	52.2	51.7	51.2	50.2	49.4	48.7	48.6	48.7	48.8	49.0	49.2	49.3	49.3	49.5
27	"	"	54.8	55.9	56.5	56.9	57.9	58.4	59.1	59.3	59.9	60.2	60.5	61.3	61.5	61.5
28	"	"	66.0	66.5	66.9	67.2	67.3	67.5	67.8	68.3	68.5	68.6	68.5	68.7	68.5	68.5
29	"	"	66.5	66.0	65.8	65.4	65.1	64.9	64.7	63.5	62.5	62.4	62.8	62.0	61.6	60.8
30	"	"	54.0	52.9	51.5	50.8	50.0	49.5	48.7	48.2	47.8	47.5	46.7	46.4	45.5	45.0
31	"	"	38.6	38.0	36.9	36.2	35.8	35.2	35.3	35.4	35.5	35.7	36.0	35.8	35.6	35.4

der »Antarctic«.

(Luftdruck zu 0° und Meeresniveau reducirt)

Juli 1902

3 p. m.	4 p. m.	5 p. m.	6 p. m.	7 p. m.	8 p. m.	9 p. m.	10 p. m.	11 p. m.	Mtn.	Med.	Maximum.		Minimum.		Diff.	Dat.
mm.	mm.	mm.	mm.	mm.	mm.	mm.	mm.	mm.	mm.	mm.	h. m.	mm.	h. m.	mm.	mm.	
744.5	745.1	746.0	746.4	746.9	747.3	747.8	748.1	748.4	748.5	743.96	12 p.	748.5	7	740.5	8.0	1
45.7	46.2	46.6	46.9	47.5	48.2	48.5	48.9	48.9	49.5	47.52	12 p.	49.5	1 p.	45.4	4.1	2
60.9	61.5	61.7	62.3	62.4	62.7	62.6	62.4	62.2	61.9	58.50	8 p.	62.7	1 a.	49.7	13.0	3
55.0	54.4	54.0	53.4	52.6	52.3	51.6	51.0	50.4	50.2	56.06	1 a.	61.2	12 p.	50.2	11.0	4
50.7	51.1	51.4	51.6	52.0	52.4	52.7	53.1	53.2	53.4	50.98	12 p.	53.4	4 a.	49.6	3.8	5
52.9	52.8	52.8	52.7	52.7	52.6	52.6	52.6	52.5	52.3	53.08	3 a.	53.6	12 p.	52.3	1.3	6
42.7	42.3	42.2	42.2	42.2	42.7	43.1	44.0	44.6	45.3	45.85	1 a.	52.1	6 p.	42.2	9.9	7
44.5	43.7	43.1	42.0	41.1	40.7	40.0	39.2	38.5	37.6	44.27	6 a.	47.1	12 p.	37.6	9.5	8
33.4	33.5	33.9	34.3	34.6	34.8	35.7	35.9	36.3	36.6	34.47	1 a.	36.9	9 a.	32.8	4.1	9
44.5	45.0	45.7	46.7	48.0	49.2	50.0	50.5	50.9	51.5	43.40	12 p.	51.5	1 a.	37.2	15.3	10
52.5	52.2	51.7	51.5	51.0	51.0	50.8	50.2	50.2	50.4	52.39	0 p.	54.0	11 p.	50.2	3.8	11
53.0	53.5	54.2	55.0	55.7	56.2	56.9	57.5	57.9	58.3	53.55	12 p.	58.3	1 a.	50.6	7.7	12
61.8	61.8	61.9	62.1	62.4	62.5	62.5	62.5	62.1	61.8	61.23	9 p.	62.5	1 a.	58.7	3.8	13
56.8	56.7	56.0	55.0	55.4	54.2	53.3	52.5	51.5	50.6	57.66	1 a.	61.6	12 p.	50.6	11.0	14
35.5	35.0	34.7	34.7	34.8	35.0	35.0	35.1	35.1	34.8	39.19	1 a.	49.2	6 p.	34.7	14.5	15
33.2	33.3	33.3	33.4	33.3	33.5	35.0	37.0	37.7	38.6	34.80	12 p.	38.6	3 p.	33.2	5.4	16
32.5	32.0	31.5	31.8	31.7	32.0	32.1	32.2	32.4	32.5	35.60	2 a.	39.3	5 p.	31.5	7.8	17
33.0	34.0	34.7	35.7	36.9	38.0	39.1	39.9	40.8	41.5	34.16	1 a.	41.5	5 a.	31.2	10.3	18
39.6	39.7	39.8	40.1	40.8	41.7	42.5	43.1	43.7	44.6	41.92	12 p.	44.6	3 p.	39.6	5.0	19
50.8	50.8	50.8	50.6	50.1	49.9	49.5	49.0	48.6	48.6	49.15	0 p.	51.2	1 a.	44.9	6.3	20
37.5	37.2	37.0	36.7	36.7	36.5	36.5	36.4	36.6	36.7	40.73	1 a.	48.1	10 p.	36.7	11.4	21
40.4	40.4	40.4	40.1	39.8	39.5	39.1	39.0	38.6	38.6	39.09	0 p.	40.5	1 a.	36.9	3.6	22
35.5	35.8	35.9	36.0	35.8	35.6	35.9	36.0	36.2	36.5	36.36	1 a.	38.4	2 p.	35.5	2.9	23
46.1	46.6	48.0	48.5	49.0	49.5	50.1	50.6	51.2	51.5	44.35	12 p.	51.5	1 a.	37.0	14.5	24
52.7	52.6	52.5	52.6	52.8	52.8	52.6	52.5	52.5	52.5	53.03	11 a.	54.4	1 a.	52.0	3.4	25
49.7	50.3	50.6	51.0	51.3	51.5	52.2	52.6	53.5	54.2	50.53	12 p.	54.2	7 a.	48.6	5.6	26
62.0	62.5	62.9	63.3	63.6	64.0	64.5	64.6	65.1	65.6	60.91	12 p.	65.6	1 a.	54.8	10.8	27
68.4	68.5	68.6	68.5	68.6	68.6	68.4	68.0	67.6	67.4	67.97	0 p.	68.7	1 a.	66.9	1.8	28
60.0	60.5	59.3	58.9	58.2	57.5	56.7	55.7	54.7	54.5	61.25	1 a.	66.5	12 p.	54.5	2.0	29
44.2	43.8	42.7	42.1	41.8	41.3	40.5	40.2	39.5	39.4	45.83	1 a.	54.0	12 p.	39.4	14.6	30
35.4	35.4	35.2	35.1	35.2	35.3	35.4	35.5	35.5	35.6	35.79	1 a.	38.6	6 p.	35.1	3.5	31

Barograph an Bord

August 1902

(Luftdruck zu 0° und Meeresniveau reduciert)

Dat.	Latitude.	Longitude.	1 a. m.	2 a. m.	3 a. m.	4 a. m.	5 a. m.	6 a. m.	7 a. m.	8 a. m.	9 a. m.	10 a. m.	11 a. m.	Mttg.	1 p. m.	2 p. m.
	S.	W.	mm.	mm.	mm.	mm.	mm.	mm.	mm.	mm.	mm.	mm.	mm.	mm.	mm.	mm.
1	Port-Stanley		735.8	736.0	736.4	736.9	737.4	738.0	738.6	739.4	741.1	741.8	742.7	743.4	744.5	745.0
2	»		45.8	44.7	44.0	43.1	42.1	41.7	41.6	41.2	41.8	42.0	43.0	43.1	43.2	43.3
3	»		48.7	49.1	49.7	50.0	50.1	50.6	50.7	50.6	50.5	50.2	50.2	50.1	49.5	48.6
4	»		41.0	41.0	40.7	40.2	39.8	39.7	39.6	39.8	40.1	40.0	40.0	40.0	39.9	39.9
5	»		47.1	48.0	48.5	48.9	49.0	49.2	49.4	49.4	49.5	49.4	49.3	48.8	47.7	46.4
6	»		36.8	35.4	34.7	34.0	33.3	32.8	32.3	32.3	32.4	32.5	32.5	33.0	32.8	32.8
7	»		44.8	45.5	46.5	46.9	48.0	48.5	49.0	49.5	50.3	51.0	51.9	52.8	53.0	53.3
8	»		54.1	54.0	53.2	52.5	51.7	51.0	49.7	48.2	46.8	45.3	43.7	42.5	40.8	39.2
9	»		29.2	29.0	28.7	29.2	29.3	29.5	30.3	32.4	33.7	34.4	34.4	34.7	34.7	35.0
10	»		39.0	39.2	39.0	38.5	38.4	38.3	38.3	37.7	37.4	37.2	36.0	34.6	33.3	33.1
11	»		35.0	35.1	35.2	35.2	35.3	34.7	34.0	33.3	32.3	31.4	30.8	30.5	30.5	30.7
12	»		35.4	35.7	35.7	35.9	35.9	36.4	36.5	36.7	37.4	37.8	38.1	38.8	39.2	39.4
13	»		44.9	44.9	44.9	45.0	45.0	45.1	45.1	45.3	45.2	45.2	45.0	44.9	44.6	44.1
14	»		41.3	41.2	41.0	41.2	41.8	42.2	42.4	43.3	43.9	44.1	44.5	45.1	45.9	46.7
15	»		51.9	51.8	51.8	51.7	51.9	52.1	52.2	52.7	53.1	53.4	53.7	53.9	53.9	53.9
16	»		57.4	57.5	57.6	57.8	58.3	58.8	59.2	59.8	60.2	60.7	61.4	61.8	62.0	62.0
17	»		64.4	64.2	64.2	63.8	63.7	63.4	63.2	62.9	62.2	61.4	60.8	60.0	59.0	58.2
18	»		52.0	51.7	51.1	50.9	50.7	50.3	50.4	50.1	50.0	50.1	51.7	51.9	50.8	50.0
19	»		42.6	41.7	40.7	40.0	39.4	38.8	38.2	38.0	37.8	37.8	37.4	37.0	35.8	35.3
20	»		32.8	32.8	32.4	32.3	32.2	32.2	32.3	33.0	33.4	33.9	34.0	34.1	34.2	34.1
21	»		35.7	35.8	35.7	35.9	36.2	36.7	37.1	37.7	37.8	38.2	38.8	39.0	39.0	39.0
22	»		42.3	42.4	42.2	42.2	42.3	42.4	43.1	44.0	44.5	45.6	46.1	47.1	47.5	47.9
23	»		49.5	48.6	48.0	47.9	47.8	47.9	48.0	48.2	48.5	48.6	48.9	49.0	49.0	49.0
24	»		47.7	47.8	47.3	47.3	48.0	49.1	50.3	51.3	52.1	52.9	53.5	54.0	54.2	54.8
25	»		59.9	60.5	60.9	61.4	61.9	62.2	62.9	63.3	63.7	63.9	64.0	64.1	64.2	64.2
26	»		65.5	65.4	65.4	65.3	65.1	64.9	64.6	64.2	63.6	63.3	62.6	62.4	61.7	61.3
27	»		56.0	55.4	55.3	55.1	55.0	55.1	55.2	55.3	55.3	55.3	55.4	55.8	55.9	55.5
28	»		50.5	49.7	47.7	47.3	46.6	46.5	46.4	46.3	47.0	47.4	48.3	49.5	51.0	52.2
29	»		56.3	55.4	54.2	53.8	53.3	52.5	52.0	51.3	51.0	50.4	50.2	50.0	49.7	49.8
30	»		47.4	46.4	46.2	46.3	47.1	47.4	48.0	48.7	49.4	50.4	51.3	52.3	53.0	53.2
31	»		46.8	45.8	44.4	43.9	43.3	43.4	44.6	45.2	45.8	47.1	47.3	48.1	49.3	50.0

der »Antarctic«.

(Luftdruck zu 0° und Meeresniveau reduziert)

August 1902

3 p. m.	4 p. m.	5 p. m.	6 p. m.	7 p. m.	8 p. m.	9 p. m.	10 p. m.	11 p. m.	Mtn.	Med.	Maximum.	Minimum.	Diff.	Dat.		
mm.	mm.	mm.	mm.	mm.	mm.	mm.	mm.	mm.	mm.	mm.	h. m.	mm.	h. m.	mm.		
745.8	746.6	747.4	747.8	748.0	748.2	748.4	748.3	747.6	747.0	743.00	9 p.	748.4	1 a.	735.8	12.6	1
43.4	43.7	44.0	44.3	45.2	45.6	46.4	47.0	47.5	48.4	44.00	12 p.	48.4	7 a.	41.6	6.8	2
47.7	47.0	45.9	45.2	44.4	43.6	43.0	42.3	42.0	41.5	47.50	7 a.	50.7	12 p.	41.5	9.2	3
40.2	40.6	41.2	42.2	43.0	43.3	44.2	44.9	45.6	46.5	41.39	12 p.	46.5	2 p.	39.0	7.5	4
45.3	44.7	43.5	42.5	41.2	40.5	39.3	38.7	38.2	37.3	45.49	9 a.	49.5	12 p.	37.3	12.2	5
32.9	33.8	35.0	36.5	37.2	38.7	40.4	41.3	42.5	43.6	35.40	12 p.	43.6	8 a.	32.3	11.3	6
53.9	54.3	54.8	55.3	55.4	55.3	55.2	55.3	55.2	55.0	51.69	7 p.	55.4	1 a.	44.8	10.6	7
38.0	36.4	35.2	34.2	33.2	32.5	31.4	30.5	29.6	29.4	41.80	1 a.	54.1	12 p.	29.4	24.7	8
35.6	36.4	36.9	37.3	37.7	38.0	38.3	38.5	38.7	38.8	34.20	12 p.	38.8	3 a.	28.7	10.1	9
32.4	32.4	33.9	35.0	35.3	35.5	35.2	35.1	35.0	35.0	36.03	2 a.	39.2	3 p.	32.4	6.8	10
30.7	30.6	30.6	30.8	31.0	31.8	32.8	33.7	34.4	35.2	32.73	5 a.	35.3	1 p.	30.5	4.8	11
40.3	40.9	42.0	42.6	43.2	43.3	43.8	44.0	44.2	44.8	39.50	12 p.	44.8	1 a.	35.4	9.4	12
43.9	43.8	43.3	43.1	42.9	42.8	42.1	41.9	41.6	41.5	44.00	8 a.	45.3	12 p.	41.5	3.8	13
47.5	48.3	49.0	49.9	50.5	51.0	51.5	51.9	51.9	52.0	46.17	12 p.	52.0	3 a.	41.0	11.0	14
54.0	54.2	54.7	55.3	55.7	56.1	56.8	56.9	57.3	57.5	54.02	12 p.	57.5	4 a.	51.7	5.8	15
62.4	62.9	63.1	63.7	64.2	64.3	64.5	64.7	64.7	64.4	61.39	10 p.	64.7	1 a.	54.7	10.0	16
57.5	57.3	57.0	56.0	55.4	54.8	54.0	53.7	53.5	52.4	59.29	1 a.	64.4	12 p.	52.4	12.0	17
49.5	49.2	48.7	48.0	47.6	46.8	46.0	44.7	43.9	43.5	49.15	1 a.	52.0	12 p.	43.5	8.5	18
34.9	34.2	34.1	33.9	33.7	33.1	33.0	33.0	32.9	32.9	36.51	1 a.	42.6	12 p.	32.9	9.7	19
34.1	34.2	34.4	34.8	34.7	34.8	34.9	35.0	35.2	35.7	33.81	12 p.	35.7	5 a.	32.3	3.4	20
39.1	39.6	39.7	40.3	40.8	41.2	41.7	42.2	42.3	42.3	38.83	12 p.	42.3	1 a.	35.7	6.6	21
48.3	48.9	49.1	49.7	50.0	50.1	50.1	50.2	50.1	50.0	46.50	10 p.	50.2	4 a.	42.2	8.0	22
49.3	49.6	50.0	50.1	50.0	49.9	49.6	49.0	48.4	48.1	48.87	6 p.	50.1	5 a.	47.8	2.3	23
55.1	55.7	56.1	56.8	57.2	57.7	58.2	58.5	59.1	59.3	53.50	12 p.	59.3	3 a.	47.3	12.0	24
64.2	64.3	64.6	65.1	65.2	65.3	65.4	65.5	65.6	65.5	63.66	11 p.	65.6	1 a.	59.9	5.7	25
60.5	60.2	59.6	59.6	59.3	58.5	58.4	58.0	57.0	56.4	61.78	1 a.	65.5	12 p.	56.4	9.1	26
55.4	55.3	55.2	55.1	55.1	54.3	54.2	53.4	52.8	51.6	54.91	1 a.	56.0	12 p.	51.6	4.4	27
53.4	54.3	55.3	56.4	57.0	57.3	57.3	57.4	57.3	56.7	51.62	10 p.	57.4	8 a.	46.3	11.1	28
50.7	51.3	51.8	52.2	52.3	52.2	52.0	51.4	50.5	49.3	51.86	1 a.	56.3	12 p.	49.3	7.0	29
53.3	53.2	53.0	52.6	52.1	51.4	50.9	49.5	49.0	47.9	50.00	3 p.	53.3	3 a.	46.2	7.1	30
51.0	52.0	53.1	54.0	54.9	56.0	56.7	57.3	57.7	58.5	49.84	12 p.	58.5	5 a.	43.3	15.2	31

Barograph an Bord

September 1902 (Luftdruck zu 0° und Meeresniveau reduciert)

Dat.	Latitude.		Longitude.		1 a. m.	2 a. m.	3 a. m.	4 a. m.	5 a. m.	6 a. m.	7 a. m.	8 a. m.	9 a. m.	10 a. m.	11 a. m.	Mttg.	1 p. m.	2 p. m.
	S.	W.	mm.	mm.	mm.	mm.	mm.	mm.	mm.	mm.	mm.	mm.	mm.	mm.	mm.	mm.	mm.	mm.
1	Port-Stanley		758.3	760.1	761.0	761.4	761.6	762.3	763.2	763.5	764.1	764.5	765.0	764.9	764.6	764.2	764.2	764.2
2	»		58.8	58.0	57.2	57.1	56.8	56.0	55.8	55.8	55.8	55.8	55.7	55.8	55.5	55.2	55.2	55.2
3	»		56.0	56.1	56.8	57.2	58.3	58.9	60.0	61.5	62.3	63.0	64.1	65.2	65.7	66.4	66.4	66.4
4	»		69.8	69.8	69.4	69.1	68.9	68.8	68.4	67.8	67.4	66.9	66.5	66.0	65.6	64.8	64.8	64.8
5	»		53.8	51.8	50.2	49.0	48.5	47.7	46.9	46.7	45.9	46.1	46.6	46.9	46.8	46.8	46.8	46.8
6	51°46'	57°44'	52.5	52.7	52.8	53.5	54.0	54.5	55.4	56.0	56.3	56.8	57.7	58.2	58.6	58.6	58.6	58.6
7	52°30'	59°30'	60.8	60.9	60.6	60.0	59.6	59.5	59.3	58.8	58.6	58.2	57.8	57.2	56.7	55.8	55.8	55.8
8	Port Albermarle		50.6	50.3	49.5	48.9	48.4	48.4	48.3	48.2	48.5	48.6	48.4	48.2	48.2	48.1	48.1	48.1
9	»		50.3	50.2	50.1	50.4	50.7	50.8	51.0	51.0	51.2	51.4	51.4	51.8	51.9	52.6	52.6	52.6
10	»		58.6	58.7	58.8	58.9	59.0	59.1	59.0	59.0	59.0	59.0	58.9	58.9	58.6	58.4	58.4	58.4
11	52°22'	60°35'	64.6	64.9	65.0	65.3	65.9	66.1	66.6	66.8	66.9	66.9	66.9	66.9	66.9	66.9	66.9	66.9
12	53°45'	61°08'	66.3	65.8	65.1	64.9	64.5	64.0	63.8	63.5	63.4	63.0	62.7	62.3	61.6	61.4	61.4	61.4
13	54°06'	63°05'	57.1	56.4	55.2	54.4	53.1	51.8	50.6	49.0	47.8	46.8	45.7	44.9	43.9	43.8	43.8	43.8
14	55°05'	64°07'	46.3	46.4	46.5	46.7	47.1	47.7	48.6	48.7	49.0	49.4	49.4	49.4	49.4	49.4	49.4	49.4
15	Beagle-Kanal		53.6	53.9	54.1	54.4	54.9	55.0	55.2	55.6	55.7	56.0	55.8	55.4	55.2	55.0	55.0	55.0
16	Ushuaia		53.1	52.8	51.4	51.4	51.2	51.0	50.5	50.4	50.2	49.9	49.2	48.0	47.1	46.5	46.5	46.5
17	»		41.3	40.9	40.0	39.5	39.4	39.3	39.2	38.6	38.4	38.1	37.8	37.1	36.6	36.4	36.4	36.4
18	»		39.3	39.6	40.0	40.1	40.3	40.5	41.2	41.3	41.4	41.4	41.5	41.3	41.2	41.1	41.1	41.1
19	»		38.9	38.3	37.9	37.3	37.0	36.8	36.6	36.3	35.3	34.3	33.2	33.0	32.3	31.5	31.5	31.5
20	»		35.3	35.3	35.3	35.4	35.6	35.4	35.2	35.0	34.7	34.8	35.0	35.3	35.4	35.6	35.6	35.6
21	»		41.5	42.7	42.9	43.0	43.4	43.5	43.7	43.3	42.9	42.6	42.3	42.5	42.6	43.4	43.4	43.4
22	»		52.3	52.2	51.4	50.6	50.1	49.9	49.4	49.3	48.8	48.8	49.0	48.8	50.5	50.9	50.9	50.9
23	»		59.4	60.2	61.0	61.6	62.4	63.2	63.8	64.0	64.2	64.5	64.4	64.4	64.4	64.3	64.3	64.3
24	»		55.9	54.2	52.4	50.2	49.3	47.2	45.5	44.3	43.3	42.6	42.0	41.3	40.3	40.1	40.1	40.1
25	»		38.0	38.2	37.6	37.6	37.3	37.3	36.7	36.7	36.2	36.1	34.8	33.7	33.6	33.5	33.5	33.5
26	»		36.0	36.5	36.5	36.3	36.0	35.8	35.1	34.7	33.6	34.2	34.0	34.4	35.4	35.6	35.6	35.6
27	»		43.5	43.8	44.4	45.0	46.0	46.8	47.6	48.2	48.5	48.5	48.4	48.7	49.2	49.9	49.9	49.9
28	»		48.6	48.0	47.3	46.4	46.4	46.4	46.5	46.4	46.4	46.3	46.4	46.4	46.6	47.0	47.0	47.0
29	»		58.4	58.8	59.6	60.3	61.4	61.7	62.5	63.1	63.5	64.2	64.8	65.6	66.7	66.8	66.8	66.8
30	»		69.8	69.8	69.8	69.3	69.4	69.3	68.8	68.3	67.8	67.4	66.3	65.8	65.0	64.3	64.3	64.3

»der Antarctic«.

(Luftdruck zu 0° und Meeresniveau reducirt) September 1902

3 p. m.	4 p. m.	5 p. m.	6 p. m.	7 p. m.	8 p. m.	9 p. m.	10 p. m.	11 p. m.	Mttm.	Med.	Maximum.	Minimum.	Diff.	Dat.		
mm.	mm.	mm.	mm.	mm.	mm.	mm.	mm.	mm.	mm.	mm.	h. m.	h. m.	mm.	mm.		
763.8	763.2	762.6	762.2	762.7	761.9	761.7	760.5	759.7	759.1	762.34	11 a.	765.0	1 a.	758.3	6.7	1
55.5	55.4	55.6	55.6	55.6	55.6	55.8	55.7	55.6	55.8	55.85	1 a.	58.8	2 p.	55.2	3.6	2
66.7	67.2	67.8	68.1	68.5	68.8	69.1	69.4	69.7	69.7	64.02	12 p.	69.7	1 a.	56.0	13.7	3
63.6	63.2	62.1	61.0	60.7	60.3	58.8	57.7	55.8	55.2	64.48	1 a.	69.8	12 p.	55.2	14.6	4
47.5	47.6	47.8	47.8	48.5	49.1	49.9	50.6	50.9	51.7	48.55	1 a.	53.8	9 a.	45.9	7.9	5
58.8	59.0	59.3	59.5	59.9	60.7	60.6	60.7	60.6	60.7	57.39	12 p.	60.7	1 a.	52.5	8.2	6
55.2	54.7	54.2	53.8	53.7	53.0	52.6	52.3	51.8	51.0	56.50	2 a.	60.9	12 p.	51.0	9.9	7
48.1	48.8	49.0	49.4	49.5	49.8	50.0	50.1	50.2	50.1	49.07	1 a.	50.6	2 p.	48.1	2.5	8
53.0	53.8	54.5	55.4	55.9	56.4	57.0	57.7	57.8	58.0	53.10	12 p.	58.0	3 a.	50.1	7.9	9
58.4	58.4	59.0	60.1	61.1	61.8	62.3	62.9	63.4	63.9	59.80	12 p.	63.9	3 p.	58.4	5.5	10
66.9	66.9	67.0	67.3	67.4	67.7	67.6	67.3	66.8	66.6	66.59	8 p.	67.7	1 a.	64.6	3.1	11
61.1	60.9	60.6	60.4	60.1	59.5	59.3	59.1	58.6	57.9	62.08	1 a.	66.3	12 p.	57.9	8.4	12
43.6	43.5	43.3	43.4	43.9	44.4	45.0	45.5	45.9	46.0	47.71	1 a.	57.1	5 p.	43.3	13.8	13
49.7	49.9	50.5	50.8	51.4	52.1	52.6	53.0	53.4	53.5	49.62	12 p.	53.5	1 a.	46.3	7.2	14
54.6	54.2	54.0	54.1	54.0	54.1	54.0	54.1	53.8	53.3	54.58	10 a.	56.0	12 p.	53.3	2.7	15
46.0	45.5	44.8	44.3	44.1	43.7	47.4	43.3	42.4	42.0	47.84	1 a.	53.1	12 p.	42.0	11.1	16
36.4	36.4	36.4	36.5	37.0	37.4	37.5	37.1	38.4	38.7	38.10	1 a.	41.3	4 p.	36.4	4.9	17
40.7	40.5	40.6	41.0	41.2	40.8	40.4	40.2	39.9	39.4	40.62	11 a.	41.5	1 a.	39.3	2.2	18
30.8	32.0	34.0	34.5	35.3	36.1	36.3	36.2	35.8	35.4	35.21	1 a.	38.9	2 p.	31.5	7.4	19
36.3	36.6	37.3	38.3	38.6	39.2	39.5	40.8	41.1	41.3	36.76	12 p.	41.3	9 a.	34.7	6.7	20
44.3	45.3	46.4	47.1	48.4	49.7	50.4	51.1	52.0	52.2	45.30	12 p.	52.2	1 a.	41.5	10.7	21
51.4	51.9	52.3	52.8	53.7	54.4	55.7	56.9	57.9	58.6	52.03	12 p.	58.6	10 a.	48.8	9.8	22
64.0	63.8	63.6	63.3	62.7	62.1	61.0	59.5	58.4	57.3	62.40	10 a.	64.5	12 p.	57.3	7.2	23
39.6	39.4	38.5	38.3	37.5	37.4	37.3	37.0	37.3	37.4	42.85	1 a.	55.9	10 p.	37.0	18.9	24
34.0	34.5	35.6	36.3	36.6	37.0	36.0	36.1	35.6	35.7	36.03	2 a.	38.2	2 p.	33.5	4.7	25
36.4	36.9	37.5	38.4	39.3	39.6	40.4	41.6	42.3	42.8	37.05	12 p.	42.8	9 a.	33.6	9.2	26
49.8	49.7	49.8	50.2	50.5	50.4	50.2	50.0	49.4	48.9	48.23	7 p.	50.5	1 a.	43.5	7.0	27
47.3	48.2	49.8	51.2	52.4	53.3	54.0	55.2	56.2	57.2	49.16	12 p.	57.2	10 a.	46.3	10.9	28
67.3	67.7	68.5	68.8	69.0	69.2	69.5	69.8	69.8	69.8	65.28	12 p.	69.8	1 a.	58.4	11.4	29
63.7	63.0	63.0	63.2	63.4	63.5	63.8	64.3	64.4	64.5	66.17	1 a.	69.8	5 p.	63.0	6.8	30

Barograph an Bord

Oktober 1902

(Luftdruck zu 0° und Meeresniveau reducirt)

Dat.	Latitude.	Longitude.	1 a. m.	2 a. m.	3 a. m.	4 a. m.	5 a. m.	6 a. m.	7 a. m.	8 a. m.	9 a. m.	10 a. m.	11 a. m.	Mttg.	1 p. m.	2 p. m.
	S.	W.	mm.	mm.	mm.	mm.	mm.	mm.	mm.	mm.	mm.	mm.	mm.	mm.	mm.	mm.
	Ushuaia		764.6	764.7	764.8	764.8	764.9	765.0	764.8	764.6	764.3	763.8	763.8	763.1	763.0	762.6
1																
2			63.5	63.5	63.5	63.5	63.6	63.8	64.2	64.3	64.6	64.6	64.5	64.2	63.9	63.7
3			64.1	64.1	63.7	63.6	63.6	63.5	63.5	62.9	62.7	62.5	62.0	61.6	60.7	59.6
4			58.1	58.0	58.1	58.2	58.4	58.8	59.0	59.2	59.6	59.8	59.6	59.3	59.2	59.0
5			59.1	59.1	59.0	58.9	59.0	59.1	59.5	59.5	59.5	59.4	59.3	59.4	59.5	59.9
6			64.9	65.0	65.2	65.5	65.6	65.6	65.6	65.1	65.0	65.0	65.0	65.1	65.1	65.1
7			65.2	65.2	65.2	65.2	65.0	64.9	64.7	64.4	64.4	64.3	64.3	64.2	64.1	63.6
8			61.6	61.1	60.5	60.3	60.0	59.6	59.2	58.7	58.4	58.2	57.9	57.3	57.2	56.8
9			56.9	57.0	57.0	57.2	57.3	57.4	58.0	57.8	57.5	57.3	57.0	56.5	56.4	56.2
10			53.3	53.0	52.6	53.3	53.4	53.8	54.0	54.3	54.4	54.6	54.6	54.8	55.3	55.9
11			55.3	55.1	54.6	54.3	53.6	53.2	53.1	53.0	52.9	52.6	53.0	53.1	53.4	53.6
12			56.3	56.2	56.0	55.9	55.8	55.9	56.0	56.1	56.3	56.4	56.3	56.2	56.0	55.7
13			50.0	49.0	47.9	47.1	46.2	45.3	45.8	45.5	45.2	44.9	44.8	44.5	44.1	43.7
14			41.5	41.6	41.7	41.7	41.8	42.4	42.5	42.4	42.6	42.0	41.8	41.7	41.6	41.6
15			38.0	37.4	36.1	34.8	34.2	33.7	32.6	32.0	31.8	32.7	32.3	32.3	32.0	32.6
16			41.5	41.4	41.4	40.9	40.8	40.7	40.5	39.9	39.5	38.9	38.6	38.0	37.4	36.9
17			36.6	36.9	37.1	37.2	37.6	38.1	38.7	38.9	38.8	38.8	38.7	38.7	38.8	38.8
18			30.7	31.0	32.0	32.5	32.7	32.8	33.3	33.9	33.5	32.7	32.9	31.4	30.5	30.2
19			26.0	25.9	26.5	27.6	28.6	29.2	29.7	29.8	30.3	30.7	30.5	30.2	29.1	27.8
20			31.8	32.1	32.4	32.6	33.4	33.7	33.9	34.8	35.9	36.2	37.1	37.6	38.1	38.3
21			35.1	34.2	33.9	34.1	35.3	37.4	38.7	39.6	40.1	40.2	40.5	40.5	40.6	41.0
22			41.5	41.0	40.1	39.7	39.2	38.9	38.9	39.1	39.3	39.3	39.3	39.2	39.0	38.9
23			34.4	34.2	34.0	33.9	33.3	33.0	32.2	31.6	30.8	30.0	29.3	29.1	28.8	28.4
24			27.6	26.1	26.9	26.6	26.3	26.1	25.4	25.1	25.3	25.7	27.0	27.3	28.3	29.2
25			34.5	34.1	34.1	34.2	34.1	34.0	34.7	34.6	34.7	34.7	34.9	34.9	35.1	36.1
26			44.0	44.4	45.2	45.6	45.9	46.2	46.3	46.0	45.8	45.5	44.9	44.2	43.3	42.4
27			38.5	39.2	40.4	41.8	42.7	44.2	45.3	46.1	46.9	47.2	47.2	47.1	47.0	46.8
28			42.6	42.0	41.5	41.1	40.4	40.1	39.5	39.1	38.5	38.0	37.3	36.7	36.0	35.5
29			33.8	33.2	33.6	33.7	34.2	34.2	34.2	34.3	34.1	34.2	34.9	35.2	35.9	36.3
30	Harberton		45.3	46.6	47.2	48.2	49.1	50.2	51.2	51.7	52.4	52.6	52.7	52.7	52.6	52.4
31			45.9	44.7	43.4	42.5	42.1	41.9	41.5	41.0	40.2	39.8	39.5	39.2	39.0	39.2

der »Antarctic«.

(Luftdruck zu 0° und Meeresniveau reducirt)

Oktober 1902

3 p. m.	4 p. m.	5 p. m.	6 p. m.	7 p. m.	8 p. m.	9 p. m.	10 p. m.	11 p. m.	Mttm.	Med.	Maximum.		Minimum.		Dif.	Dat.
mm.	mm.	mm.	mm.	mm.	mm.	mm.	mm.	mm.	mm.	mm.	h. m.	mm.	h. m.	mm.	mm.	
762.5	762.5	762.6	762.9	762.9	763.0	763.3	763.3	763.1	762.9	763.66	6 a.	765.0	4 p.	762.5	2.5	1
63.6	63.7	63.9	64.0	64.3	64.6	64.8	64.6	64.5	64.3	64.07	9 p.	64.8	1 a.	63.5	1.3	2
59.3	58.8	58.7	58.6	58.7	59.0	59.3	59.4	59.1	58.8	61.16	1 a.	64.1	6 p.	58.6	5.5	3
58.9	58.8	58.8	58.8	58.8	58.9	59.0	59.0	59.0	59.2	58.90	10 a.	59.8	2 a.	58.0	1.8	4
60.6	60.8	61.6	62.0	61.9	62.9	63.9	64.0	64.3	64.8	60.70	12 p.	64.8	4 a.	58.9	5.9	5
65.1	65.0	65.2	65.3	65.4	65.6	65.7	65.5	65.3	65.3	65.26	9 p.	65.7	1 a.	64.9	0.8	6
63.4	63.3	63.1	63.0	62.9	62.8	62.7	62.5	62.2	62.1	63.86	1 a.	65.2	12 p.	62.1	3.1	7
56.4	56.4	56.3	56.3	56.3	56.4	56.5	56.5	56.5	56.6	57.96	1 a.	61.6	6 p.	56.3	5.3	8
55.8	55.4	55.2	55.4	55.1	55.0	54.1	54.0	53.9	53.4	56.13	7 a.	58.0	12 p.	53.4	4.6	9
56.3	56.8	57.0	57.2	57.9	58.0	57.9	57.5	57.5	57.1	55.44	8 p.	58.0	3 a.	52.6	5.4	10
54.4	54.4	55.1	55.3	55.6	55.7	56.0	56.1	56.2	56.1	54.40	11 p.	56.2	10 a.	52.6	3.6	11
55.3	55.3	55.1	54.7	54.0	53.5	52.7	52.1	51.3	50.4	54.98	10 a.	56.4	12 p.	50.4	6.0	12
43.2	43.1	43.2	42.6	43.2	43.4	42.3	41.9	41.7	41.7	45.59	1 a.	50.0	12 p.	41.7	8.3	13
41.5	41.4	41.0	40.6	40.5	40.4	40.1	39.7	39.5	38.9	41.27	9 a.	42.6	12 p.	38.9	3.7	14
33.0	34.0	35.8	37.0	38.0	38.9	40.4	40.7	40.0	41.4	35.52	12 p.	41.4	9 a.	31.8	9.6	15
36.3	35.9	35.7	35.8	35.8	35.9	36.0	36.4	36.7	36.5	38.26	1 a.	41.5	5 p.	35.7	5.8	16
38.6	38.3	37.4	36.8	35.8	34.9	33.7	33.0	31.9	31.1	36.80	8 a.	38.9	12 p.	31.1	7.8	17
29.0	28.2	26.8	25.9	24.8	25.4	24.7	23.3	24.7	26.0	29.50	8 a.	33.9	10 p.	23.3	10.6	18
27.5	26.9	26.6	26.0	25.7	25.6	25.7	28.8	29.8	31.2	28.24	12 p.	31.2	8 p.	25.6	5.6	19
39.5	39.9	40.1	40.2	40.1	40.0	38.3	38.0	36.9	36.0	36.54	6 p.	40.2	1 a.	31.8	8.4	20
41.5	42.1	42.4	42.9	43.0	42.9	42.8	42.7	42.2	41.9	49.82	7 p.	43.0	1 a.	35.1	7.9	21
38.7	38.3	37.9	37.4	37.0	36.3	36.0	35.2	35.1	35.0	38.35	1 a.	41.5	12 p.	35.0	6.5	22
28.3	28.2	28.7	28.8	28.7	28.4	28.1	27.7	27.4	27.6	30.20	1 a.	34.4	11 p.	27.4	7.0	23
29.8	30.3	31.9	31.6	32.0	32.8	33.6	34.1	34.5	34.7	29.09	12 p.	34.7	8 a.	25.1	9.6	24
36.2	36.6	37.7	38.8	40.1	41.2	42.1	42.8	43.2	43.9	36.96	12 p.	43.9	6 a.	34.0	9.9	25
41.1	39.8	39.1	38.3	38.1	38.0	38.2	38.3	38.3	38.6	42.39	7 a.	46.3	8 p.	38.0	8.3	26
46.6	46.4	46.2	45.9	45.4	44.7	44.7	44.4	44.0	43.2	44.66	11 a.	47.2	1 a.	38.5	8.7	27
34.9	34.7	34.4	34.7	34.3	34.5	34.5	34.3	34.0	33.8	37.19	1 a.	42.6	12 p.	33.8	8.8	28
36.8	37.7	38.8	39.3	40.5	41.0	42.0	42.7	43.4	44.4	37.02	12 p.	44.4	2 a.	33.2	11.2	29
52.1	51.7	51.2	50.4	49.6	49.2	48.7	47.9	47.4	46.7	50.00	0 p.	52.7	1 a.	45.3	7.4	30
39.7	40.4	41.1	41.4	42.0	42.6	43.3	43.9	44.1	44.4	41.78	1 a.	45.9	1 p.	39.0	6.9	31

Barograph an Bord

November 1902 (Luftdruck zu 0° und Meeresniveau reducirt)

Dat.	Latitude.	Longitude.	1 a. m.	2 a. m.	3 a. m.	4 a. m.	5 a. m.	6 a. m.	7 a. m.	8 a. m.	9 a. m.	10 a. m.	11 a. m.	Mttg.	1 p. m.	2 p. m.
1	S.	W.	mm.	mm.	mm.	mm.	mm.	mm.	mm.	mm.	mm.	mm.	mm.	mm.	mm.	mm.
	Harberton		744.5	744.6	745.0	745.2	745.3	745.4	745.5	745.4	745.4	745.0	745.0	744.6	744.1	743.5
2	»		44.4	44.4	43.6	43.3	42.9	42.7	42.9	42.8	42.7	42.4	42.0	41.9	41.5	41.2
3	»		42.0	42.2	42.3	42.8	43.0	43.5	44.0	44.3	44.7	45.2	45.3	45.8	46.0	46.5
4	Ushunia		47.5	47.0	46.7	46.3	46.0	45.7	45.1	44.5	43.7	43.2	42.5	41.4	41.4	40.9
5	Nassau-Bay		38.5	38.5	38.3	38.4	38.5	38.7	38.8	38.9	38.9	39.0	39.6	39.8	40.2	40.9
6	Tekenika-Bay		47.5	48.0	48.3	48.7	49.2	49.5	50.0	50.3	50.7	51.2	51.7	51.9	52.0	52.2
7	Orange-Bay		54.0	54.0	53.9	53.8	54.2	54.4	54.5	54.6	54.7	54.7	54.7	54.8	54.7	54.7
8	57° 16'	67° 03'	52.7	52.5	51.9	51.4	51.0	50.7	49.7	48.7	47.0	45.5	45.2	44.5	43.8	43.0
9	58° 51'	65° 56'	47.0	47.0	47.1	47.0	47.0	46.9	46.5	46.0	45.7	45.5	45.2	44.9	44.2	44.0
10	60° 07'	64° 46'	35.8	35.4	35.1	35.2	35.3	35.4	35.6	35.9	36.2	36.5	37.2	37.7	38.0	38.0
11	60° 44'	63° 54'	39.1	39.0	39.2	39.2	39.2	39.0	38.8	38.4	38.0	37.8	37.4	37.0	37.0	37.0
12	61° 11'	62° 17'	37.0	37.0	37.1	37.2	37.3	37.3	37.3	37.3	37.3	37.3	37.4	37.5	37.7	38.0
13	61° 17'	61° 39'	39.4	39.4	39.5	39.6	39.5	39.4	39.4	39.3	38.9	38.8	38.7	38.8	38.8	38.7
14	61° 18'	61° 31'	37.0	36.9	36.4	36.2	36.0	35.9	35.5	35.0	35.4	35.6	35.5	35.7	35.9	36.3
15	61° 14'	61° 02'	39.4	39.8	40.0	40.4	40.5	41.0	41.2	41.3	41.7	41.9	42.0	42.3	42.6	43.1
16	61° 19'	60° 53'	46.0	45.9	45.8	45.3	45.0	44.5	44.0	44.2	44.3	44.4	45.0	45.4	46.2	46.6
17	61° 34'	60° 42'	52.9	53.1	53.3	53.3	53.4	53.3	53.3	53.3	53.2	53.1	53.0	53.2	53.3	53.3
18	61° 53'	60° 45'	48.6	48.2	47.7	47.6	47.5	46.8	46.0	45.5	45.7	45.7	45.8	45.8	44.8	44.7
19	61° 55'	61° 20'	47.2	47.7	47.9	48.1	48.3	48.7	48.6	48.8	49.0	49.0	49.1	49.1	49.2	49.2
20	61° 56'	61° 52'	49.0	48.9	48.8	48.7	48.4	48.2	48.0	48.0	48.1	48.0	48.0	48.0	47.8	47.7
21	62° 05'	62° 12'	46.0	46.0	45.6	45.4	45.1	44.9	44.4	44.3	43.9	43.7	43.6	43.4	43.1	42.9
22	62° 06'	62° 30'	44.8	45.0	45.7	46.4	46.8	47.1	47.7	48.0	48.7	49.2	49.8	50.0	50.5	50.7
23	62° 52'	61° 30'	53.6	53.6	53.7	53.9	54.0	54.0	54.1	54.1	54.1	54.2	54.2	54.3	54.2	54.2
24	63° 02'	60° 34'	53.7	53.6	53.5	53.4	53.6	53.4	53.0	52.8	52.7	52.7	52.7	52.7	52.7	52.7
25	62° 46'	59° 24'	52.2	52.0	51.9	52.9	52.8	51.7	51.3	50.0	50.5	50.3	50.0	49.7	49.2	48.8
26	63° 16'	58° 28'	43.0	42.6	42.4	42.2	42.4	42.4	42.4	42.5	42.2	42.0	41.9	41.9	41.8	41.5
27	63° 29'	58° 39'	40.8	40.9	41.1	41.6	42.1	42.6	43.4	43.7	44.6	45.0	46.0	46.1	46.9	47.2
28	63° 42'	59° 05'	53.0	53.4	54.0	54.5	54.8	54.9	55.4	55.5	55.7	55.9	56.2	56.4	56.5	56.6
29	63° 44'	60° 16'	56.9	56.7	56.6	56.4	56.2	56.0	55.9	55.7	55.4	55.3	54.8	54.6	53.9	53.4
30	63° 57'	60° 42'	46.9	46.6	46.4	46.2	46.0	45.8	45.6	45.5	45.6	45.7	45.8	46.0	46.2	46.5

der »Antarctic«.

(Luftdruck zu 0° und Meeresniveau reducirt) November 1902

3 p. m.	4 p. m.	5 p. m.	6 p. m.	7 p. m.	8 p. m.	9 p. m.	10 p. m.	11 p. m.	Mtnn.	Med.	Maximum.	Minimum.	Diff.	Dat.		
mm.	mm.	mm.	mm.	mm.	mm.	mm.	mm.	mm.	mm.	mm.	h. m.	mm.	h. m.	mm.		
743.2	743.7	744.1	744.2	744.4	744.5	744.9	745.0	744.9	744.8	744.67	7 a.	745.5	3 p.	743.2	2.3	1
41.0	40.9	40.7	40.5	40.7	40.6	40.7	41.0	41.3	41.5	41.98	1 a.	44.4	6 p.	40.5	3.9	2
46.9	47.2	47.3	47.6	47.7	47.8	48.2	48.1	47.8	47.8	45.58	9 p.	48.2	1 a.	42.0	6.2	3
40.6	40.5	40.0	39.8	39.5	39.4	39.2	39.1	39.0	39.0	42.42	1 a.	47.5	12 p.	39.0	8.5	4
41.1	41.7	42.1	42.8	43.7	44.2	45.4	46.0	46.8	47.2	41.68	12 p.	47.2	3 a.	38.3	8.9	5
52.4	52.4	52.5	52.5	52.6	52.8	53.3	53.5	53.8	53.9	51.29	12 p.	53.9	1 a.	47.5	6.4	6
54.7	54.7	54.7	54.7	54.7	54.7	54.5	53.9	53.7	53.4	54.39	0 p.	54.8	12 p.	53.4	1.4	7
42.6	42.8	43.1	43.5	44.4	45.2	46.0	46.2	46.6	46.9	46.91	1 a.	52.7	3 p.	42.6	10.1	8
43.2	42.8	42.0	41.5	40.6	40.0	38.9	37.8	36.7	36.5	43.50	3 a.	47.1	12 p.	36.5	10.6	9
38.4	38.5	38.7	39.2	39.3	39.6	39.7	39.7	39.5	39.3	37.47	9 p.	39.7	3 a.	35.1	4.6	10
37.0	37.0	37.0	37.0	37.0	37.0	37.0	37.0	37.0	37.0	37.75	4 a.	39.2	7 p.	37.0	2.2	11
38.2	38.3	38.3	38.3	38.3	38.4	38.6	39.0	39.2	39.3	37.86	12 p.	39.3	1 a.	37.0	2.3	12
38.7	38.6	38.6	38.5	38.3	38.1	37.9	37.8	37.6	37.3	37.73	4 a.	39.6	12 p.	37.3	2.3	13
36.8	37.0	37.3	37.6	38.2	38.4	38.9	39.0	39.3	39.4	36.91	12 p.	39.4	9 a.	35.4	4.0	14
43.6	44.0	44.3	44.6	45.1	45.5	45.6	45.9	46.0	46.1	42.83	12 p.	46.1	1 a.	39.4	6.7	15
47.5	48.3	49.1	50.0	50.9	51.1	52.0	52.1	52.3	52.4	47.43	12 p.	52.4	7 a.	44.0	8.4	16
53.2	53.0	52.9	52.5	51.6	51.2	50.3	49.8	49.5	49.2	52.42	5 a.	53.4	12 a.	49.2	4.2	17
44.7	44.9	45.0	45.3	45.6	45.7	46.2	46.4	46.6	47.0	46.16	1 a.	48.6	2 p.	44.7	3.9	18
49.2	49.2	49.2	49.4	49.5	49.4	49.1	49.1	49.2	49.0	48.81	7 p.	49.5	1 a.	47.2	2.3	19
47.3	47.2	47.1	46.9	46.6	46.6	46.6	46.5	46.5	46.3	47.63	1 a.	49.0	12 p.	46.3	2.7	20
42.4	42.5	42.3	42.4	42.7	42.9	43.5	43.8	44.0	44.4	43.88	1 a.	46.0	5 p.	42.3	3.7	21
51.1	51.3	52.0	52.3	52.6	52.8	53.0	53.1	53.2	53.3	49.79	12 p.	53.3	1 a.	44.8	8.5	22
54.1	54.1	54.0	54.0	54.0	53.9	53.7	53.8	53.8	53.7	53.97	0 p.	54.3	1 a.	53.6	0.7	23
52.7	52.7	52.6	52.5	52.5	52.4	52.4	52.4	52.3	52.2	52.83	1 a.	53.7	12 p.	52.2	1.5	24
48.1	47.8	47.4	46.7	45.9	45.4	44.7	44.0	43.8	43.4	48.77	4 a.	52.9	12 p.	43.4	9.5	25
41.3	41.2	41.1	41.0	40.9	40.6	40.4	40.5	40.6	40.7	41.94	1 a.	43.0	9 p.	40.4	2.6	26
47.7	48.1	48.7	49.6	50.4	50.7	51.1	51.6	52.2	52.6	46.48	12 p.	52.6	1 a.	40.8	11.8	27
56.7	56.8	56.8	56.8	56.8	56.9	57.0	57.0	57.1	57.1	55.91	11 p.	57.1	1 a.	53.0	4.1	28
52.9	52.0	51.6	51.0	50.0	49.7	48.9	48.4	48.0	47.7	53.25	1 a.	56.9	12 p.	47.7	9.2	29
46.8	47.0	47.0	47.7	48.1	48.7	49.1	49.6	49.9	50.4	47.05	12 p.	50.4	8 a.	45.5	4.9	30

Barograph an Bord

Dezember 1902 (Luftdruck zu 0° und Meeresniveau reducirt)

Dat.	Latitude.	Longitude.	1 a. m.	2 a. m.	3 a. m.	4 a. m.	5 a. m.	6 a. m.	7 a. m.	8 a. m.	9 a. m.	10 a. m.	11 a. m.	Mttg.	1 p. m.	2 p. m.
	S.	W.	mm.	mm.	mm.	mm.	mm.	mm.	mm.	mm.	mm.	mm.	mm.	mm.	mm.	mm.
1	64°09'	61°10'	750.7	751.0	751.5	751.8	752.0	752.4	752.6	752.7	753.0	753.3	753.7	754.2	754.6	754.7
2	64°19'	61°19'	57.5	57.6	57.7	57.8	57.8	57.9	58.0	58.3	58.3	58.4	58.5	58.5	58.6	58.7
3	63°52'	61°32'	59.3	59.3	59.2	59.1	59.1	59.0	58.9	58.7	58.5	58.2	58.1	58.0	58.0	57.8
4	63°55'	60°24'	54.7	54.6	54.3	54.1	54.0	53.9	53.7	53.1	53.1	52.9	52.8	52.8	52.7	52.7
5	63°33'	59°43'	51.1	51.0	51.0	50.9	50.8	50.7	50.3	50.2	49.8	49.5	49.2	49.0	48.9	48.6
6	63°05'	57°06'	47.5	47.4	47.2	47.0	47.1	47.1	47.1	47.1	47.2	47.2	47.5	47.8	47.7	47.8
7	63°06'	56°56'	50.1	50.2	50.4	50.8	50.8	50.9	51.0	51.0	51.1	51.4	51.5	51.6	51.9	52.0
8	63°11'	56°37'	50.5	50.0	49.9	49.8	49.7	49.4	49.2	48.9	48.8	48.8	48.4	48.0	48.0	48.0
9	62°38'	55°22'	48.0	48.0	48.0	48.0	48.0	48.0	48.0	48.0	48.0	48.0	48.2	48.0	48.0	48.1
10	62°09'	54°12'	47.8	47.8	47.8	47.8	47.8	47.8	47.8	47.7	47.6	47.6	47.5	47.4	47.3	47.1
11	62°07'	54°17'	45.6	45.5	45.5	45.5	45.5	45.5	45.5	45.5	45.5	45.5	45.6	45.7	45.7	45.7
12	62°01'	53°57'	46.4	46.3	46.1	45.9	45.9	46.0	46.0	46.0	45.9	45.9	46.0	46.1	46.2	46.1
13	62°01'	53°32'	45.3	45.0	44.8	44.7	44.1	44.5	44.4	44.3	44.1	43.8	43.6	43.5	43.4	43.3
14	61°57'	53°17'	41.5	41.4	40.9	40.6	40.2	39.7	39.2	38.7	37.6	37.2	36.5	35.5	34.4	33.5
15	61°53'	53°00'	31.9	32.0	32.3	32.5	32.6	32.3	32.0	31.3	30.6	30.0	30.0	29.8	29.7	29.4
16	61°43'	52°44'	29.4	28.9	28.9	29.0	29.7	30.0	30.4	30.7	30.8	31.1	31.4	32.2	32.8	34.4
17	62°04'	53°25'	38.4	38.5	38.6	38.7	38.8	38.8	38.7	38.8	39.6	39.8	40.3	40.6	40.8	41.3
18	62°13'	55°30'	43.8	43.9	44.0	44.2	44.3	44.5	44.5	44.6	44.4	44.4	44.3	44.1	44.1	44.0
19	62°40'	56°51'	42.0	41.8	41.7	41.6	41.6	41.7	41.7	41.8	41.9	42.4	42.3	42.8	43.1	43.1
20	62°55'	55°57'	44.3	44.0	43.8	43.7	43.6	43.0	42.5	42.0	41.7	40.8	40.2	39.4	38.5	37.7
21	»	»	33.8	33.9	34.1	34.4	34.6	34.8	34.9	35.0	35.3	35.5	35.6	35.8	36.2	36.4
22	63°13'	56°34'	35.0	34.7	34.6	34.5	34.4	34.4	34.3	34.1	34.0	34.0	34.0	33.6	33.4	33.2
23	63°19'	56°32'	31.2	31.0	31.1	31.3	31.5	31.8	32.1	32.4	32.4	32.4	32.4	32.4	32.4	32.4
24	»	»	33.4	33.5	33.8	34.1	34.5	34.8	35.0	35.2	35.4	35.4	35.5	35.5	35.7	36.2
25	»	»	39.7	39.8	39.7	39.7	39.8	39.8	39.6	39.6	39.8	39.8	39.9	39.8	39.8	39.8
26	63°08'	56°39'	40.4	40.3	40.3	40.4	40.4	40.5	40.6	40.7	40.7	40.7	40.7	40.7	40.7	40.7
27	63°32'	58°36'	42.7	42.6	43.0	43.2	43.4	43.5	44.0	44.0	44.1	44.2	44.5	44.8	45.0	45.1
28	»	»	46.2	46.3	46.4	46.5	46.7	46.9	47.2	47.2	47.3	47.5	47.6	47.7	47.8	48.1
29	63°09'	55°46'	48.4	48.4	48.4	48.4	48.4	48.4	47.9	47.7	47.4	46.9	46.6	45.6	45.5	45.0
30	63°03'	56°34'	42.3	42.4	42.7	43.0	43.4	43.8	44.3	44.7	44.9	45.6	46.0	46.5	46.6	46.7
31	63°09'	54°53'	48.0	48.3	48.6	48.8	49.3	49.6	50.3	50.6	50.7	51.4	51.6	51.8	52.0	52.1

der »Antarctic«.

(Luftdruck zu 0° und Meeresniveau reducirt) Dezember 1902

3 p. m.	4 p. m.	5 p. m.	6 p. m.	7 p. m.	8 p. m.	9 p. m.	10 p. m.	11 p. m.	Mittn.	Med.	Maximum.	Minimum.	Diff.	Det.		
mm.	mm.	mm.	mm.	mm.	mm.	mm.	mm.	mm.	mm.	mm.	h. m.	mm.	h. m.	mm.		
754.9	755.1	755.5	756.0	756.2	756.5	756.7	756.9	757.2	757.5	754.20	12 p.	757.5	1 a.	750.7	6.8	1
58.7	58.8	58.8	58.8	59.0	58.9	58.9	59.0	59.1	59.2	58.45	12 p.	59.2	1 a.	57.5	1.7	2
57.7	57.3	57.1	56.9	56.3	56.1	55.8	55.6	55.5	55.1	57.72	1 a.	59.3	12 p.	55.1	4.2	3
52.6	52.4	52.3	52.2	52.1	52.0	51.8	51.5	51.4	51.2	52.87	1 a.	54.7	12 p.	51.2	3.5	4
48.5	48.5	48.4	48.2	47.8	47.6	47.4	47.2	47.4	47.5	49.15	1 a.	51.1	10 p.	47.2	3.9	5
48.2	48.5	48.7	49.0	49.2	49.3	49.7	49.8	49.8	49.9	48.12	12 p.	49.9	4 a.	47.0	2.9	6
52.5	52.4	52.3	52.3	52.0	51.8	51.7	51.5	51.1	50.7	51.38	3 p.	52.5	1 a.	50.1	2.4	7
48.0	48.0	48.0	48.0	48.0	48.0	48.0	48.0	48.0	48.0	48.64	1 a.	50.5	12 p.	48.0	2.5	8
48.1	48.2	48.3	48.4	48.3	48.2	48.1	48.0	47.9	47.9	48.07	6 p.	48.4	12 p.	47.9	0.5	9
46.9	46.8	46.7	46.6	46.5	46.4	46.4	46.3	46.0	45.7	47.13	1 a.	47.8	12 p.	45.7	2.1	10
45.9	46.0	46.0	46.0	46.2	46.3	46.4	46.5	46.5	46.5	45.83	11 p.	46.5	6 a.	45.5	1.0	11
46.0	45.9	45.8	45.8	45.7	45.6	45.6	45.5	45.5	45.4	45.90	1 a.	46.4	12 p.	45.4	1.0	12
43.1	43.0	42.9	42.8	42.6	42.5	42.4	42.3	42.0	41.8	43.51	1 a.	45.3	12 p.	41.8	3.5	13
32.5	31.7	31.3	30.9	30.7	30.5	30.9	31.4	31.5	31.7	35.42	1 a.	41.5	8 p.	30.5	6.0	14
29.1	29.2	29.6	30.0	30.1	30.0	30.0	30.0	30.0	29.8	30.59	5 a.	32.6	3 p.	29.1	3.5	15
34.0	34.6	35.0	35.3	36.0	36.6	37.0	37.3	37.7	38.0	32.96	12 p.	38.0	3 a.	28.9	9.1	16
41.6	41.8	42.3	42.5	42.6	42.7	43.1	43.4	43.6	43.8	40.80	12 p.	43.8	1 a.	38.4	5.4	17
44.0	43.8	43.3	42.8	42.9	42.9	42.9	42.4	42.3	42.1	43.69	8 a.	44.6	12 p.	42.1	2.5	18
43.2	43.3	43.5	43.8	44.0	44.0	44.1	44.3	44.2	44.2	43.82	10 p.	44.3	5 a.	41.6	2.7	19
36.6	35.8	35.4	34.8	34.7	34.4	34.0	33.9	33.9	33.8	38.85	2 a.	44.0	12 p.	33.8	10.2	20
36.6	36.7	36.7	36.8	36.7	36.6	36.3	36.2	36.0	35.4	35.60	6 p.	36.8	1 a.	33.8	3.0	21
33.1	32.8	32.7	32.5	32.3	31.9	31.7	31.7	31.5	31.4	33.32	1 a.	35.0	12 p.	31.4	3.6	22
32.4	32.4	32.4	32.4	32.5	32.6	32.7	32.9	33.2	33.3	32.23	12 p.	33.3	2 a.	31.0	2.3	23
36.3	36.6	37.2	37.5	38.0	38.4	38.9	39.2	39.4	39.5	36.21	12 p.	39.5	1 a.	33.4	6.1	24
39.5	39.5	39.7	39.8	39.8	39.9	40.0	40.2	40.4	40.4	39.82	12 p.	40.4	4 p.	39.5	0.9	25
40.9	41.4	41.4	41.5	41.6	41.7	42.1	42.4	42.6	42.6	41.84	12 p.	42.6	2 a.	40.3	2.3	26
45.2	45.3	45.4	45.5	45.6	45.2	45.9	46.1	46.2	46.2	44.62	9 p.	46.2	2 a.	42.6	3.6	27
48.2	48.3	48.3	48.3	48.3	48.3	48.5	48.4	48.4	48.4	47.61	9 p.	48.5	1 a.	46.2	2.3	28
44.7	44.0	43.5	43.1	42.4	42.3	41.7	41.9	42.0	42.1	45.45	2 a.	48.4	9 p.	41.7	6.7	29
46.9	47.1	47.1	47.2	47.3	47.4	47.4	47.5	47.5	48.0	45.69	12 p.	48.0	1 a.	42.3	5.7	30
52.6	52.7	52.8	53.0	53.5	53.7	54.1	54.6	54.8	55.0	51.66	12 p.	55.0	1 a.	48.0	7.0	31

Barograph an Bord

Januar 1903

(Luftdruck zu 0° und Meeresniveau reduziert)

Dat.	Latitude.	Longitude.	1 a. m.	2 a. m.	3 a. m.	4 a. m.	5 a. m.	6 a. m.	7 a. m.	8 a. m.	9 a. m.	10 a. m.	11 a. m.	Mttg.	1 p. m.	2 p. m.
	S.	W.	mm.	mm.	mm.	mm.	mm.	mm.	mm.	mm.	mm.	mm.	mm.	mm.	mm.	mm.
1	63°07'	54°42'	755.3	755.5	755.8	756.0	756.4	756.8	757.0	757.5	757.7	758.0	758.2	758.4	758.7	759.0
2	63°13'	54°47'	60.7	60.6	60.6	60.6	60.6	60.6	60.5	60.4	60.1	60.1	60.2	60.1	59.7	59.6
3	63°47'	54°52'	53.6	53.1	53.0	52.4	51.9	51.8	51.4	51.2	51.0	50.9	50.8	50.7	50.8	50.9
4	63°41'	55°26'	54.3	54.5	54.9	55.1	55.3	55.2	55.0	54.8	54.8	54.8	54.8	54.8	54.7	54.6
5	63°47'	55°47'	51.5	51.3	50.8	50.4	50.1	49.6	48.5	48.0	47.5	46.9	46.2	45.2	44.7	44.1
6	63°48'	55°57'	40.3	40.3	40.5	40.7	40.8	41.0	41.1	41.3	41.4	41.6	41.9	42.1	42.5	42.9
7	63°49'	56°10'	45.2	45.4	45.5	45.6	45.8	46.0	46.2	46.2	46.5	46.8	47.0	47.2	47.4	48.0
8	63°50'	56°13'	50.2	50.3	50.4	51.0	51.0	51.0	50.9	51.0	51.0	51.0	51.0	51.0	51.1	50.8
9	63°50'	56°16'	48.2	47.9	47.8	47.5	47.5	47.4	47.2	47.0	47.2	47.2	47.0	47.0	47.1	47.0
10	63°49'	56°18'	43.9	43.3	43.0	42.5	42.4	42.0	41.3	41.1	40.3	39.8	39.5	39.0	39.0	38.9
11	63°46'	56°22'	42.0	42.4	42.8	43.3	43.9	44.2	44.8	45.0	45.4	45.8	46.0	46.1	46.3	46.5
12	"	"	47.3	47.2	47.2	47.1	47.0	46.9	46.6	46.4	46.4	46.4	46.3	46.3	46.2	46.2
13	"	"	44.2	43.8	43.4	42.9	42.8	42.7	42.8	42.8	43.0	43.2	43.3	43.4	43.7	43.9
14	"	"	45.1	45.0	45.0	45.0	45.0	45.0	45.0	45.1	45.1	45.2	45.2	45.3	45.2	45.2
15	"	"	43.5	43.0	42.2	41.5	41.1	40.9	40.5	40.5	40.3	40.4	40.9	41.4	42.0	42.4
16	"	"	47.6	48.0	48.1	48.2	48.3	48.4	48.8	48.8	48.8	48.9	48.9	49.0	49.1	49.2
17	"	"	49.3	49.3	49.3	49.3	49.2	49.2	49.1	48.9	48.4	48.3	48.2	48.1	48.0	47.9
18	"	"	46.3	46.3	46.3	46.4	46.5	46.7	46.9	46.9	46.9	46.9	47.0	47.0	47.1	47.2
19	63°46'	56°21'	47.7	47.8	47.9	48.0	48.2	48.3	48.4	48.4	48.5	48.6	48.7	49.0	49.1	49.2
20	"	"	50.2	49.9	49.4	49.6	49.5	49.3	49.2	49.1	49.0	48.9	48.7	48.7	48.5	48.5
21	63°49'	56°20'	46.8	46.7	46.5	46.6	46.5	46.5	46.5	46.5	46.4	46.2	46.2	46.2	46.2	46.2
22	63°58'	56°11'	47.2	47.2	47.3	47.3	47.2	47.3	47.4	47.6	47.5	47.6	47.7	47.8	47.6	47.6
23	63°59'	56°08'	45.7	45.4	45.4	45.4	45.3	45.5	45.8	45.9	45.8	45.7	45.8	45.8	45.8	45.9
24	63°57'	56°07'	45.0	44.5	44.1	43.7	43.3	43.1	42.7	42.3	41.9	41.3	40.8	40.1	39.5	39.1
25	64°07'	56°07'	33.0	32.2	31.4	31.0	30.6	30.0	29.5	29.3	29.1	29.1	29.0	28.8	28.6	28.5
26	64°02'	56°10'	31.3	31.4	31.9	32.0	32.4	32.6	33.1	33.4	33.5	33.6	33.9	34.4	34.6	34.7
27	64°03'	56°15'	35.4	35.3	35.2	35.2	35.1	34.9	34.8	34.6	34.2	34.0	33.7	33.4	32.9	32.6
28	64°04'	56°20'	29.4	29.2	29.2	29.1	29.2	29.4	29.3	29.3	29.3	29.4	30.0	30.1	30.0	29.8
29	64°02'	56°10'	29.3	29.3	29.3	29.4	29.6	30.0	30.2	30.7	30.8	31.1	31.5	31.6	31.9	32.4
30	64°00'	56°03'	35.5	35.6	35.8	36.0	36.1	36.4	36.6	36.9	37.2	37.4	37.6	37.8	38.0	38.3
31	"	"	40.3	40.5	40.5	40.6	40.8	40.6	41.1	41.2	41.3	41.6	41.8	41.9	42.1	42.2

der »Antarctic«.

(Luftdruck zu 0° und Meeresniveau reducirt)

Januar 1903

3 p. m.	4 p. m.	5 p. m.	6 p. m.	7 p. m.	8 p. m.	9 p. m.	10 p. m.	11 p. m.	Mttm.	Med.	Maximum.	Minimum.	Diff.	Dat.		
mm.	mm.	mm.	mm.	mm.	mm.	mm.	mm.	mm.	mm.	mm.	h. m.	h. m.	mm.	mm.		
759.3	759.5	759.7	760.0	760.0	760.1	760.4	760.5	760.6	760.8	758.38	12 p.	760.8	1 a.	755.3	5.5	1
59.4	58.7	58.0	57.8	57.3	56.9	56.4	55.8	55.3	54.8	58.94	1 a.	60.6	12 p.	54.8	5.8	2
51.3	51.4	51.6	51.9	52.2	52.3	53.0	53.4	53.8	54.0	52.02	12 p.	54.0	0 p.	50.7	3.3	3
54.5	54.4	54.2	54.0	53.7	53.4	53.3	52.6	52.3	51.9	54.24	5 a.	55.3	12 p.	51.9	3.4	4
43.9	43.5	43.9	43.9	43.3	42.4	41.2	41.1	40.9	40.6	45.81	1 a.	51.5	12 p.	40.6	10.9	5
43.2	43.6	44.0	44.0	44.3	44.4	44.8	45.0	45.0	45.0	42.57	2 a.	40.3	12 p.	45.0	4.7	6
48.2	48.5	48.9	49.1	49.1	49.3	49.5	49.8	50.0	50.2	47.55	12 p.	50.2	1 a.	45.2	5.0	7
50.8	50.5	50.4	50.3	50.1	49.8	49.4	49.2	48.9	48.4	50.40	1 p.	51.1	12 p.	48.4	2.7	8
46.9	46.8	46.7	46.5	46.3	46.0	45.5	45.1	45.0	44.5	46.77	1 a.	48.2	12 p.	44.5	3.7	9
39.0	39.1	39.2	39.6	39.8	40.0	40.3	40.6	41.3	41.9	40.70	1 a.	43.9	2 p.	38.9	5.0	10
46.8	47.0	47.1	47.2	47.3	47.4	47.8	47.9	47.7	47.4	45.34	10 p.	47.9	1 a.	42.0	5.9	11
46.0	45.7	45.6	45.6	45.4	45.2	45.0	44.9	44.8	44.6	45.85	1 a.	47.3	12 p.	44.6	2.7	12
44.0	44.2	44.3	44.4	44.5	44.8	44.9	44.9	45.0	45.1	43.73	12 p.	45.1	6 a.	42.7	2.4	13
45.1	45.0	44.9	44.9	44.8	44.6	44.5	44.4	44.1	43.9	44.90	0 a.	45.3	12 p.	43.9	1.4	14
43.1	43.4	43.8	44.3	44.8	45.3	45.6	46.0	46.8	47.1	42.95	12 p.	47.1	9 a.	40.3	6.4	15
49.4	49.3	49.3	49.3	49.2	49.3	49.3	49.3	49.3	49.3	48.90	3 p.	49.4	1 a.	47.6	1.8	16
47.7	47.5	47.2	47.0	46.6	46.4	46.3	46.3	46.3	46.3	47.93	1 a.	49.3	12 p.	46.3	3.0	17
47.3	47.3	47.4	47.3	47.4	47.2	47.2	47.3	47.4	47.6	46.57	12 p.	47.6	1 a.	46.3	1.3	18
49.4	49.4	49.6	49.7	49.8	49.9	50.0	50.2	50.2	50.3	49.01	12 p.	50.3	1 a.	47.7	2.6	19
48.5	48.3	48.0	47.9	47.8	47.5	47.1	47.0	46.9	46.8	48.51	1 a.	50.2	12 p.	46.8	3.4	20
46.2	46.2	46.4	46.7	46.6	46.9	47.1	47.2	47.2	47.2	46.61	12 p.	47.2	1 p.	46.2	1.0	21
47.5	47.5	47.5	47.2	47.0	46.9	46.6	46.6	46.2	45.9	47.22	0 p.	47.8	12 p.	45.9	1.9	22
45.8	45.9	45.9	46.0	45.9	45.9	45.6	45.5	45.3	45.2	45.63	6 p.	46.0	12 p.	45.2	0.8	23
38.5	38.0	37.5	37.1	36.2	35.7	35.0	34.6	34.2	33.7	39.64	1 a.	45.0	12 p.	33.7	11.3	24
28.6	29.0	29.2	29.6	29.9	30.1	30.4	30.9	31.0	31.2	30.00	1 a.	33.0	2 p.	28.5	4.5	25
34.8	35.1	35.1	35.1	35.2	35.3	35.4	35.7	35.6	35.5	33.98	10 p.	35.7	1 a.	31.3	4.4	26
32.1	31.7	31.0	30.9	30.6	30.3	29.9	29.8	29.6	29.5	32.78	1 a.	35.4	12 p.	29.5	5.9	27
29.7	29.6	29.6	29.7	29.8	29.9	29.9	30.0	30.0	29.6	29.60	0 p.	30.1	4 a.	29.1	1.0	28
32.6	33.0	33.3	33.8	34.0	34.3	34.4	34.8	35.2	35.3	32.00	12 p.	35.3	2 a.	29.3	6.0	29
38.5	38.6	38.8	38.9	39.1	39.2	39.8	40.0	40.1	40.2	37.88	12 p.	40.2	1 a.	35.5	4.7	30
42.3	42.5	42.6	42.7	42.8	42.7	42.7	42.6	42.6	42.5	41.77	7 p.	42.8	1 a.	40.3	2.5	31

Barograph an Bord

Februar 1903

(Luftdruck zu 0° und Meeresniveau reduciert)

Dat.	Latitude.	Longitude.	1 a. m.	2 a. m.	3 a. m.	4 a. m.	5 a. m.	6 a. m.	7 a. m.	8 a. m.	9 a. m.	10 a. m.	11 a. m.	Mttg.	1 p. m.	2 p. m.
	S.	W.	mm.	mm.	mm.	mm.	mm.	mm.	mm.	mm.	mm.	mm.	mm.	mm.	mm.	mm.
1	64°01'	56°07'	742.3	741.9	741.7	741.6	741.4	741.0	740.8	740.3	739.9	739.4	739.0	738.6	738.1	737.7
2	»	»	34.1	34.3	34.4	34.8	35.2	35.2	35.5	35.7	35.9	36.0	36.2	36.5	37.1	37.2
3	64°02'	56°13'	38.7	38.8	38.9	38.9	38.9	38.9	39.0	39.2	39.2	39.4	39.7	39.7	39.9	40.2
4	64°03'	56°17'	42.4	42.6	42.7	43.0	43.1	43.3	43.4	43.6	43.7	43.7	43.8	43.8	43.8	43.9
5	64°04'	56°20'	43.4	43.4	43.3	43.3	43.2	43.1	43.1	43.0	42.8	42.7	42.6	42.4	42.3	42.2
6	64°06'	56°23'	42.5	42.7	43.0	43.2	43.5	43.8	44.1	44.2	44.4	44.6	44.5	44.3	44.2	44.0
7	64°01'	56°03'	35.5	34.5	33.4	32.0	31.0	30.4	30.3	30.5	31.2	31.3	31.2	31.2	31.2	31.4
8	63°56'	55°52'	34.1	34.3	34.5	34.9	35.2	36.1	37.2	38.2	39.0	39.6	40.2	40.7	41.6	42.6
9	»	»	49.9	49.9	49.9	50.0	49.9	49.8	49.5	48.1	48.7	48.3	—	—	—	—

der »Antarctic«.

(Luftdruck zu 0° und Meeresniveau reduciert)

Februar 1903

3 p. m.	4 p. m.	5 p. m.	6 p. m.	7 p. m.	8 p. m.	9 p. m.	10 p. m.	11 p. m.	Mtn.	Med.	Maximum.	Minimum.	Diff.	Dat.	
mm.	mm.	mm.	mm.	mm.	mm.	mm.	mm.	mm.	mm.	mm.	h. m.	mm.	h. m.	mm.	
737.0	736.6	736.6	735.6	735.1	735.0	734.9	734.8	734.4	734.1	738.23	1 a.	742.3	12 p.	734.1	8.2
37.4	37.7	37.9	38.0	38.1	38.2	38.4	38.5	38.6	38.7	36.66	12 p.	38.7	1 a.	34.1	4.6
40.4	40.6	40.7	40.9	41.2	41.3	41.6	41.7	41.9	42.1	40.08	12 p.	42.1	1 a.	38.7	3.4
43.9	43.9	43.8	43.8	43.8	43.7	43.7	43.8	43.7	43.7	43.52	3 p.	43.9	1 a.	42.4	1.5
42.1	42.0	42.0	41.9	41.8	41.9	41.9	42.0	42.2	41.4	42.50	1 a.	43.4	12 p.	41.4	2.0
43.6	43.2	42.6	42.0	41.4	40.9	40.1	39.3	38.2	36.5	42.53	10 a.	44.6	12 p.	36.5	8.1
32.0	32.4	33.0	33.2	33.7	33.9	34.1	34.2	34.2	34.1	32.50	1 a.	35.5	7 a.	30.3	5.2
43.2	44.5	45.4	46.5	47.2	47.7	48.1	48.9	49.4	49.7	41.62	12 p.	49.7	1 a.	34.1	15.6
—	—	—	—	—	—	—	—	—	—	—	—	—	—	—	9



TAB. III.

TÄGLICHE BEOBACHTUNGEN
AUF DER PAULET-INSEL

2. APR. 1903—10. NOV. 1903

- Febr. 13. Frischer Südwestwind; es schneit stark; Schneegestöber.
- » 14. Besseres Wetter.
 - » 17. Während der ganzen Nacht gewaltiger Schneefall, kaltes, abscheuliches Wetter, vormittags etwas besser.
 - » 19. Seit 1 Uhr morgens frischer südlicher Wind; am Tage etwas Sonnenschein; abends klar aber kalt.
 - » 20. Keine Wolke am Himmel; die Wärme ist in der Sonne beinahe drückend.
 - » 21. Die ganze Nacht frischer NE; der Wind flaut vormittags ab.
 - » 22. Nachts ruhig und sternenklar.
 - » 23. Ruhig. Nebel, so dass man nur einige wenige Meter aufs Eis hinaus sieht.
 - » 24. Nachts dichter Nebel, der jedoch am Vormittag nachlässt.
 - » 28. Nachts Nebel, der $\frac{1}{2}$ 8 Uhr morgens nachlässt.
- März 1. Den ganzen Tag furchtbarer Wind. Das Wasser im Sund spritzt mit dicker Gischt empor.
- » 3. Morgens schönes Wetter; vormittags springt der Wind nach NW um und wird frischer.
 - » 4. Den ganzen Tag harter Wind.
 - » 6. Frischer und kalter südlicher Wind. Stärker werdendes Schneegestöber.
 - » 7. Dasselbe Wetter. Es lässt sich winterlich an, den ganzen Tag hindurch -8° à -10° .
 - » 14. Garstiges Wetter, Schneesturm von WSW; Arbeit ausser dem Hause unmöglich.
 - » 15. Frischer Südwind, Schneegestöber; den ganzen Tag -12° .
 - » 18. Schlechtes Wetter; abends Schneesturm von SW.
 - » 19. In der Nacht wurde das Kuchendach fortgeweht.
-

Paulet-Insel.

April 1903

Datum.	Zeit.	Wind- Richtung.	Wind- Geschwindigkeit Knot.	Wind- Richtung.	Temperatur in der Scheinhöhe.	Temperatur. Luft- Temperatur.	Luft- temperatur bei Snow-Hill.	Wind- richtung	Bewölkung.	Hydro- meteore.
April 2	8 a.	NE	10	—	-1.0	-5.6	-5.8	E	10	☼ ☉ ☉
	2 p.	NE	15	—	-1.0	-1.8	-0.3	NNE	10	
	7 p.	NNW	3	—	-0.5	+1.0	-1.1	ESE	10	
April 3	8 a.	N	3	+	+0.2	-0.5	-1.0	ENE	5	
	2 p.	NW	6	+	+3.0	+1.2	-7.1	Var.	0	
	7 p.	NW	3	+	+1.0	+1.0	-11.2	C	3	
April 4	8 a.	NW	15	—	-0.7	-0.7	-1.1	NNE	5	
	2 p.	NW	15	±	0.0	-0.7	-0.7	Var.	3	
	7:30 p.	NW	15	—	-0.3	-3.0	-2.5	C	7	
April 5	8 a.	NNW	15	—	-0.2	-0.2	-18.0	SW	10	☼ ☼ ☼
	2 p.	SE	4	+	+2.0	-11.0	-13.8	SW	10	
	7 p.	SE	3	+	+2.8	-11.6	-13.8	SW	10	
April 6	8 a.	S	6	+	+2.5	-13.6	-16.8	SW	10	☼
	2 p.	S	3	+	+2.6	-11.8	-16.9	SW	3	
	7 p.	SW	3	+	+1.4	-13.5	-16.6	WSW	3	
April 7	8 a.	SW	2	—	-0.2	-13.3	-17.0	SSW	10	
	2 p.	C	0	+	+1.8	-9.0	-16.3	SSW	10	
	7 p.	C	0	+	+3.2	-13.3	-16.6	SSW	10	
April 8	8 a.	C	0	+	+0.7	-15.4	-17.2	SSW	10	☼
	2 p.	C	0	+	+2.3	-11.3	-17.4	SW	10	
	7 p.	SE	3	+	+4.2	-14.2	-17.3	SSW	10	
April 9	8 a.	NW	3	—	-1.0	-14.1	-17.5	SSW	10	☼
	2 p.	C	0	+	+1.9	-11.5	-14.3	SW	3	
	7 p.	C	0	+	+2.1	-16.3	-14.9	ENE	3	
April 10	0 a.	—	—	—	—	-17.2	-14.2	E	—	☼ ☼ ☼ ☼ ☼ ☼
	8:30 a.	NE	4	—	-1.5	-9.5	-11.3	ENE	10	
	2 p.	E	4	+	+1.7	-7.8	-12.8	C	10	
April 11	7 p.	E	2	+	+2.8	-7.4	-8.3	NE	10	
	8 a.	C	0	—	-2.0	-12.5	-17.5	C	10	
	2 p.	S	2	+	+6.2	-10.7	-12.8	ESE	10	
April 12	7 p.	C	0	+	+4.1	-7.2	-12.4	SE	10	☼
	8 a.	SW	3	+	+0.2	-14.3	-18.5	SW	10	
	2 p.	SW	3	+	+2.5	-14.0	-18.1	SW	10	
April 12	7 p.	SW	10	+	+3.9	-16.2	-16.4	SW	7	☼

Paulet-Insel.

April 1903

Datum.	Zeit.	Wind- Richtung.	Wind- Geschwindigkeit Knot.	Wind- Temperatur in der Schatten.	Luft- Temperatur.	Luft- temperatur		Wind- richtung	Bewölkung.	Hydro- meteore.
						bei Snow-Hill.				
April 13	8 a.	SW	6	+ 0.7	- 11.3	- 14.1	WSW	7	*	
	2.50 p.	SW	3	+ 2.7	- 9.3	- 14.0	SW	10		
	7 p.	SW	3	+ 4.0	- 13.3	- 13.4	SW	10		
April 14	8 a.	SW	6	- 0.3	- 11.2	- 12.4	S	7		
	2 p.	C	0	+ 2.7	- 5.4	- 11.0	C	3		
	7 p.	C	0	+ 2.5	- 12.0	- 12.4	C	3		
April 15	8 a.	W	10	- 0.8	± 0.0	- 4.0	C	7		
	2 p.	NW	10	- 0.5	+ 0.8	+ 3.4	C	7		
	7 p.	C	0	+ 2.8	+ 1.0	+ 4.1	S	10		
April 16	8 a.	W	5	+ 0.5	- 9.6	- 10.2	SE	0	Ci	
	2 p.	S	3	+ 1.3	- 6.2	- 9.0	NE	5		
	7 p.	NW	10	—	+ 0.7	- 6.9	C	3		
April 17	8 a.	W	2	+ 1.0	- 1.0	- 5.5	C	3	Ci, Ci-Cu	
	2 p.	C	0	+ 2.2	- 0.1	- 0.9	C	3		
	8 p.	C	0	+ 4.0	- 3.8	+ 0.7	NW	3		
April 18	8 a.	W	6	+ 1.0	- 0.8	+ 5.5	C	3	Ci-Cu	
	2 p.	W	15	+ 1.0	- 0.1	+ 3.6	S	3		
	7 p.	W	2	+ 3.6	+ 0.3	+ 1.3	SSW	0		
April 19	8 a.	W	20	+ 0.5	- 0.3	- 2.2	C	5	Ci-Cu	
	2 p.	W	20	- 1.0	± 0.0	+ 4.0	Var.	5		
	7 p.	W	20	- 0.3	+ 0.2	- 9.4	SW	5		
April 20	8 a.	SE	2	- 1.5	- 13.0	- 16.4	Var.	10	S, N	
	2 p.	SE	3	- 1.0	- 11.9	- 15.5	E	10		
	7 p.	SE	2	+ 1.2	- 11.1	- 17.0	SE	10		
April 21	1 a.	—	—	—	- 8.6	- 16.8	S	—	*	
	8 a.	S	10	- 0.8	- 13.0	- 18.8	SW	10		
	2 p.	S	6	± 0.0	- 15.0	- 19.9	SW	10		
	7 p.	S	6	+ 0.8	- 18.0	- 23.0	SW	10		
April 22	8 a.	S	2	- 4.3	- 20.0	- 24.5	S	10	N	
	2 p.	S	3	+ 0.3	- 17.6	- 24.4	SW	10		
	7 p.	S	6	- 1.0	- 20.7	- 24.7	SW	10		
April 23	8 a.	S	10	- 8.0	- 20.9	- 23.2	WSW	10	S	
	2 p.	S	3	- 2.5	- 18.3	- 22.8	SW	10		
	7 p.	S	6	- 4.5	- 20.2	- 24.1	WSW	10		

Paulet-Insel.

April 1903

Datum.	Zeit.	Wind- Richtung.	Wind- Geschwindigkeit Knot.	Wind- geschwindigkeit m/s	Temperatur in der Schatten.	Luft- Temperatur.	Luft- tempera- tur	Wind- richtung	Bewölkung.	Hydro- meteore.
							bei Snow-Hill.			
April 24	8 a.	S	5	-9.5	-21.5	-24.8	SW		3	
	2 p.	S	6	-6.0	-20.0	-24.1	SW		7	
	7 p.	S	3	-4.5	-20.4	-23.6	SW		3	Ci-S
April 25	8.40 a.	S	2	-8.6	-22.9	-21.0	NE		3	S
	2 p.	SW	6	-4.0	-8.0	-18.3	WNW		7	Ci-S, S
	7 p.	SW	6	-0.9	-9.8	-19.5	C		10	S
April 26	8.20 a.	C	0	-5.1	-15.2	-14.1	C		10	S
	2 p.	S	2	-1.5	-14.3	-16.7	ESE		3	Ci-S, S
	7 p.	C	0	-1.5	-19.4	-22.5	S		5	Ci-S, S
April 27	8 a.	SE	3	-8.2	-23.2	-22.5	C		3	Ci-Cu, S
	2 p.	C	0	-4.0	-20.2	-23.4	NNE		7	S
	7 p.	C	0	-3.7	-22.3	-27.2	C		7	S
April 28	8.30 a.	C	0	-7.5	-20.8	-20.0	C		10	S
	2 p.	SE	2	-3.3	-20.0	-22.8	SW		10	S
	7 p.	SE	3	-3.5	-20.0	-22.1	SSW		7	S
April 29	8 a.	S	3	-7.8	-22.4	-20.0	S		10	S
	2 p.	S	6	-3.0	-15.8	-19.7	SSW		0	
	7 p.	S	3	-0.5	-16.1	-18.7	SSW		3	S
April 30	8 a.	W	6	-6.0	-17.2	-17.4	SW		10	S
	2 p.	S	5	-2.1	-1.7	-19.1	S		10	S
	6.30 p.	S	3	-3.8	-18.4	-18.2	SSW		10	S

Paulet-Insel.

Mai 1903

Datum.	Zeit.	Wind- Richtung.	Wind- Geschwindigkeit kelt.	Wind- geschwindigkeit Stemhöfche	Temperatur in der Stemhöfche	Temperatur Luft-	Luft- temperatur	Wind- richtung	Bewölkung.	Hydro- meteore.
Mai 1	8 a.	S	3	—	6.7	—	21.4	ENE	10	* ≡
	2 p.	C	3	—	4.0	—	21.5	ENE	5	S
	6 p.	C	0	—	2.8	—	21.1	C	7	S
Mai 2	8 a.	S	3	—	6.0	—	20.8	C	10	* ≡
	2 p.	C	0	—	4.0	—	19.8	W	10	* ≡
	6 p.	S	3	+	0.6	—	21.8	C	10	* ≡
Mai 3	8 a.	C	0	—	3.1	—	19.6	C	10	* ≡
	2 p.	C	0	—	4.2	—	16.0	ENE	10	≡
	6 p.	C	0	+	1.0	—	16.0	NE	10	≡
Mai 4	8 a.	S	6	—	2.1	—	15.0	SW	10	* ≡
	9-15 a.	—	—	—	—	—	20.0	SW	—	—
	2 p.	SW	3	—	2.2	—	20.1	SW	10	S
6 p.	C	0	—	0.9	—	20.8	SSW	10	S	
Mai 5	8 a.	SW	3	—	6.0	—	22.8	SSW	10	S
	2 p.	SE	3	—	4.8	—	24.1	SSW	10	S
	6 p.	SW	3	—	0.7	—	25.0	SW	10	S
	9 p.	—	—	—	—	—	27.9	SSW	—	—
11 p.	—	—	—	—	—	30.5	SSW	—	—	
Mai 6	8 a.	SW	2	—	9.2	—	28.3	S	3	Cl-Cu
	2 p.	C	0	—	6.1	—	26.0	NE	3	Cl
	6 p.	C	0	—	1.5	—	30.0	C	3	Cl-Cu
	9-45 p.	—	—	—	—	—	32.0	E	—	—
Mai 7	8 a.	S	3	—	10.0	—	25.5	C	3	≡
	2 p.	C	0	—	3.5	—	20.2	C	7	Cl, S, ≡
	6 p.	C	0	—	1.8	—	21.3	C	10	S
	11 p.	—	—	—	—	—	4.0	C	—	—
Mai 8	8 a.	W	15	—	2.9	—	1.9	NE	7	Cl-Cu, S-Cu
	2-30 p.	W	18	±	0.0	—	0.8	NE	7	Cl-Cu, S
	6 p.	WNW	10	+	3.5	—	0.3	NE	7	Cl-Cu, S
Mai 9	8 a.	S	10	—	4.0	—	21.8	W'SW	10	* ≡
	2 p.	S	3	—	3.3	—	19.8	W'SW	7	S
	5-30 p.	S	3	+	2.0	—	22.0	SSW	10	S
Mai 10	9 a.	S	3	—	4.8	—	22.2	SW	5	Cl-Cu, S
	2 p.	SW	3	—	3.4	—	21.1	SW	3	S-Cu
	5-30 p.	SW	3	—	1.0	—	21.4	SSW	10	S

Paulet-Insel.

Mai 1903

Datum.	Zeit.	Wind- Richtung.	Wind- Geschwindigkeit Knot.	Wind- Temperatur in der Steinflöhe.	Luft- Temperatur.	Luft- tempera- tur	Wind- richtung	Bewölkung.	Hydro- meteore.
						bei Snow-Hill.			
Mai 11	8 a.	S	6	- 8.0	- 21.8	- 24.5	SW	10	☼ ☼
	2 p.	S	5	- 4.5	- 20.8	- 23.9	WSW	10	S
	5:30 p.	S	5	- 3.5	- 21.0	- 23.3	SSW	10	☼
Mai 12	9 a.	C	0	- 8.0	- 23.7	- 25.0	C	3	S
	2 p.	C	0	- 2.5	- 21.8	- 21.3	C	0	
	5:30 p.	C	0	- 7.0	- 23.1	- 22.0	C	0	
Mai 13	8:30 a.	C	0	- 8.0	- 24.0	- 20.9	C	0	
	2 p.	C	0	- 3.3	- 15.6	- 21.8	C	0	
	5:30 p.	C	0	- 0.9	- 23.7	- 22.3	C	0	
Mai 14	8 a.	W	10	- 0.7	+ 0.4	+ 0.0	ENE	10	S
	2 p.	W	5	+ 0.1	+ 1.0	- 14.1	SSW	3	☼, ☼
	5:30 p.	SW	3	+ 1.5	+ 5.8	- 7.7	S	3	☼
Mai 15	8 a.	S	2	- 4.5	- 14.3	- 20.4	C	3	☼
	2 p.	C	0	- 2.0	- 13.6	- 13.0	ESE	3	☼
	5:45 p.	C	0	- 2.0	- 18.0	- 9.7	SE	5	☼-S
Mai 16	8 a.	C	0	- 6.2	- 17.7	- 9.2	NE	3	☼, ☼
	2 p.	S	2	- 2.0	- 7.3	- 8.3	NE	5	☼, ☼
	5:30 p.	W	2	+ 2.5	- 3.1	- 6.2	NE	7	☼, ☼, N
Mai 17	8 a.	W	12	- 1.3	- 2.0	- 6.0	SSE	3	☼
	2 p.	SW	3	+ 2.7	- 1.1	- 0.7	SSW	7	☼-☼, S
	5:30 p.	SW	3	+ 5.0	- 3.5	- 12.3	SSW	3	☼
	11 p.	S	5	—	- 12.1	- 21.7	SSW	—	
Mai 18	8 a.	C	0	- 2.0	- 17.8	- 19.2	SW	7	S
	2 p.	S	3	+ 0.8	- 11.6	- 17.7	E	10	☼ ☼
	5:30 p.	SW	15	+ 2.5	- 13.6	- 22.1	SSW	10	☼
Mai 19	8 a.	W	6	+ 0.3	- 0.8	- 19.7	SE	7	S
	2 p.	WNW	15	+ 1.2	+ 2.5	- 24.9	SSW	5	S, ☼
	5:30 p.	WNW	15	+ 1.5	+ 1.1	- 24.5	SSW	10	☼
Mai 20	8 a.	C	0	+ 2.5	- 21.3	- 24.7	NE	10	☼ ☼
	1 p.	—	—	—	- 17.0	- 21.8	E	—	
	2 p.	W	10	+ 3.6	- 1.3	- 21.3	E	5	☼-☼, S
5:30 p.	W	15	+ 4.4	- 1.0	- 20.2	S	5	S	
Mai 21	8 a.	C	0	+ 2.0	- 3.8	- 21.2	C	10	S
	2 p.	NE	3	+ 2.3	- 1.8	- 6.5	C	10	S
	5:30 p.	N	2	+ 2.0	- 3.0	- 9.2	C	10	☼

Paulet-Insel.

Mai 1903

Datum.	Zeit.	Wind- Richtung	Wind- Geschwindigkeit Knt.	Wind- geschwindigkeit m/s	Temperatur in der Schatten.	Luft- Temperatur.	Luft- tempera- tur	Wind- richtung	Bewölkung.	Hydro- meteore.
							bei Snow-Hill.			
Mai 22	8 a.	WNW	20	+ 2.0	- 2.0	- 11.0	SW	10		Ci, S
	2 p.	W	20	+ 2.5	- 3.1	- 22.6	SSW	3		Ci, S
	5:30 p.	C	0	+ 0.0	- 14.4	- 23.1	SSW	3		Ci, S
Mai 23	8 a.	SE	2	- 3.0	- 23.0	- 25.9	C	10		≡
	2 p.	C	2	- 0.8	- 22.4	- 23.3	Var.	10		≡ *
	5:30 p.	S	2	+ 4.0	- 21.0	- 23.0	SW	10		≡ *
Mai 24	8.15 a.	S	5	+ 4.5	- 23.7	- 28.5	SSW	10		≡
	2 p.	S	8	+ 1.5	- 23.1	- 26.4	SW	10		≡
	5:30 p.	SW	6	+ 4.0	- 22.5	- 26.1	SW	10		S
Mai 25	8 a.	SW	3	- 6.8	- 22.0	- 24.9	SW	10		S
	2 p.	C	0	- 2.6	- 21.9	- 26.0	C	10		≡
	5 p.	C	0	- 3.8	- 22.0	- 28.1	C	10		≡
Mai 26	8 a.	C	0	- 7.2	- 26.0	- 30.7	C	3		Ci, S
	2 p.	C	0	- 5.5	- 26.0	- 21.9	ENE	3		Ci, Cu
	5 p.	C	0	- 4.0	- 23.9	- 20.0	NNE	7		Ci, Cu, S
	9 p.	N	—	—	- 5.3	- 24.7	SSW	—		—
Mai 27	8.30 a.	SE	3	- 2.8	- 19.1	- 25.8	SSW	10		≡ *
	2 p.	C	2	+ 0.5	- 20.0	- 24.0	SSW	10		≡
	5 p.	SW	2	+ 2.5	- 21.7	- 23.6	SSW	10		≡ *
Mai 28	8 a.	WSW	15	- 1.2	- 7.0	- 30.2	Var.	10		≡ *
	2 p.	ESE	3	+ 1.3	- 6.2	- 16.9	SSW	10		≡ *
	5 p.	SW	6	+ 2.2	- 15.4	- 21.1	SSW	10		≡
Mai 29	8 a.	NE	2	- 5.0	- 18.0	- 19.4	NE	5		Ci, Ci-Cu
	2 p.	W	10	- 1.5	- 2.2	- 3.0	NE	10		≡
	5 p.	W	8	+ 1.0	- 2.0	- 0.3	SW	10		N, S
Mai 30	8 a.	C	0	+ 0.8	- 5.2	- 3.1	NE	3		Ci, S
	2 p.	NW	3	+ 2.0	+ 0.3	- 1.6	Var.	7		Ci, N
	5 p.	NW	3	+ 4.5	- 1.0	- 1.0	C	7		Cu, N
Mai 31	8 a.	W	20	+ 2.0	± 0.0	+ 4.4	Var.	3		Cu, N
	2 p.	WNW	15	+ 2.8	+ 1.5	+ 1.1	ENE	7		N, S
	5 p.	WNW	3	+ 8.0	+ 4.7	+ 2.5	SE	10		S

Mai 17. 8 a. Harter westlicher Wind während der ganzen Nacht.
 > 20. 2 p. Der Umschlag um 2 Uhr wird ganz augenblicklich empfunden.
 > 21. 8 a. Der Weststurm hörte kurz vor 8 Uhr vormittags auf.
 > 26. 9 p. Harte nördliche Böen; am 27. morgens wieder Wetterumschlag.

Paulet-Insel.

Juni 1903

Datum.	Zeit.	Wind- Richtung.	Wind- Geschwin- dige- keit.	Temperatur in der Schein- höhe.	Temperatur Luft- Temperatur.	Luft- temperatur bei Snow-Hill.		Wind- richtung	Bewölkung.	Hydro- meteore.
Juni 1	8.30 a.	W	6	+ 4.0	+ 2.0	- 3.1	SW	5		N
	2.30 p.	C	0	+ 2.0	+ 1.0	- 7.8	Var.	5		Ci, Cu, S
	5 p.	C	0	+ 1.4	+ 1.8	- 9.8	SSW	10		S
Juni 2	8.30 a.	SE	3	+ 0.5	- 12.0	- 17.0	SSW	10		☐
	2 p.	WSW	10	+ 1.8	- 9.7	- 16.9	SW	10		☐ *
	5 p.	C	0	+ 2.2	- 14.0	- 14.9	SW	10		☐ *
Juni 3	8.30 p.	SW	10	- 1.4	- 13.0	- 15.6	SW	10		☐ *
	2 p.	SW	2	+ 0.0	- 12.8	- 14.6	WSW	10		S
	5 p.	SW	3	+ 2.0	- 12.9	- 15.0	WSW	10		☐ *
Juni 4	10 a.	SW	20	- 2.0	- 17.0	- 21.7	SW	5		S
	2 p.	SW	3	- 2.0	- 19.0	- 18.0	SSW	3		Ci-Cu
	5 p.	SW	3	- 1.8	- 17.4	- 18.8	W	3		Ci
Juni 5	10 a.	W	15	- 1.6	- 8.5	- 13.2	C	5		Ci, Cu, S
	2 p.	W	6	+ 0.2	- 9.2	- 18.5	C	3		Ci
	5 p.	W	6	- 1.0	- 10.0	- 18.1	C	0		
Juni 6	8.30 a.	C	0	- 1.2	- 11.5	- 13.6	WSW	7		Ci, S
	2 p.	SE	3	+ 3.5	- 8.0	- 18.0	SSW	10		☐
	5 p.	S	6	+ 0.8	- 17.5	- 18.6	SSW	3		S
Juni 7	2 a.	—	—	—	- 21.2	- 22.9	—	—		
	8.30 a.	C	0	- 6.0	- 25.3	- 23.0	C	0		
	2 p.	SE	2	- 4.0	- 19.8	- 21.7	ENE	3		S
Juni 8	9.30 a.	WSW	10	- 2.5	- 8.1	- 24.2	E	3		Ci
	2 p.	WSW	5	+ 1.0	- 7.2	- 25.2	S	3		Ci, S
	5 p.	SE	6	- 0.3	- 6.9	- 26.5	SSW	3		Ci
Juni 9	9 a.	SE	2	- 6.0	- 25.3	- 28.1	SW	10		S
	2 p.	S	2	- 5.5	- 25.8	- 26.1	SSW	7		Ci, S
	5 p.	C	0	- 6.5	- 27.8	- 28.0	C	0		
Juni 10	9 a.	C	0	- 7.5	- 17.9	- 26.9	C	0		
	2 p.	WSW	6	- 5.5	- 11.7	- 18.0	C	5		Ci
	5 p.	WSW	6	- 5.8	- 11.0	- 19.1	C	3		Ci
Juni 11	9 a.	W	15	- 2.5	- 7.3	- 21.7	S	3		Ci, S
	2 p.	SW	2	- 2.2	- 16.8	- 22.7	SSW	5		☐, N
	5 p.	C	0	- 1.6	- 17.2	- 22.3	SSW	10		☐ *

Paulet-Insel.

Juni 1903

Datum.	Zeit.	Wind- Richtung.	Wind- Geschwindig- keit.	Wind- richtung.	Temperatur in der Schicht.	Temperatur. Luft- Temperatur.	Luft- temper- atur	Wind- richtung	Beobach- tung.	Hydro- meteore.
							bei Snow-Hill.			
Juni 12	9 a.	WSW	5	—	-3.8	-21.3	-23.9	SSW	10	S
	2 p.	SW	3	—	-0.8	-23.0	-27.5	SSW	10	≡
	4:30 p.	S	3	—	-1.0	-23.2	-28.1	SSW	10	S
Juni 13	9 a.	SW	2	—	-5.2	-25.4	-28.6	SSW	10	≡ S
	2 p.	SW	2	—	-3.5	-24.9	-27.5	SSW	10	≡
	4:30 p.	SW	2	—	-0.8	-25.4	-28.3	SSW	10	≡
Juni 14	9 a.	C	0	—	-3.8	-27.5	-31.6	C	3	S
	2 p.	C	0	—	-4.0	-25.2	-29.5	C	3	S
	4:30 p.	C	0	—	-2.8	-22.0	-29.4	C	0	
Juni 15	9 a.	SW	4	—	-5.5	-16.7	-18.8	SW	0	
	2 p.	C	0	—	-6.5	-23.6	-18.5	SSW	0	
	4:30 p.	C	0	—	-5.0	-16.0	-19.3	SSW	0	
Juni 16	9:30 a.	SW	3	—	-6.0	-21.1	-25.8	SSW	10	S
	2 p.	SW	3	—	-4.0	-24.1	-26.8	SSW	5	Ci, S
	4:30 p.	SW	3	—	-5.0	-23.8	-25.9	SSW	5	S
Juni 17	9 a.	SW	3	—	-5.2	-23.7	-25.2	SW	10	≡ *
	2 p.	SW	3	—	-3.0	-23.5	-24.8	SSW	10	S
	4:30 p.	SW	6	—	-3.6	-23.0	-25.4	SW	10	S ≡
Juni 18	9 a.	SE	3	—	-7.0	-21.8	-24.6	SSW	10	S
	2 p.	SE	3	—	-4.5	-21.2	-25.5	SSW	10	S
	4:30 p.	SE	3	—	-4.5	-22.3	-27.4	SSW	10	S
Juni 19	9 a.	C	0	—	-9.5	-29.1	-27.7	SSW	3	Ci, S
	2 p.	S	3	—	-7.0	-25.6	-28.9	SW	7	S
	4:30 p.	S	3	—	-7.2	-27.6	-27.1	SSW	3	S
Juni 20	8 a.	—	—	—	—	-31.2	-35.8	SSW	—	
	9 a.	C	0	—	-10.0	-30.7	-35.0	C	0	
	2 p.	C	0	—	-5.5	-27.9	-27.5	C	3	Ci
	4:30 p.	C	0	—	-4.0	-28.8	-30.3	C	3	Ci
Juni 21	9 a.	C	0	—	-9.0	-26.0	-31.4	C	3	Ci-Cu
	2 p.	C	0	—	-5.5	-25.5	-25.0	NE	5	S
	4:30 p.	SE	2	—	-7.0	-24.5	-23.8	NE	10	S
Juni 22	9 a.	SE	2	—	-6.0	-18.6	-25.8	SSW	10	≡ S
	2 p.	C	0	—	-5.0	-21.4	-27.5	C	10	≡
	4:30 p.	C	0	—	-4.0	-21.2	-26.2	C	3	S ≡

Paulet-Insel.

Juni 1903

Datum.	Zeit.	Wind- Richtung.	Wind- Geschwindigkeit Kelt.	Wind- Temperatur in der Senshöhe.	Luft- Temperatur.	Luft- temperatur		Wind- richtung	Bewölkung.	Hydro- meteore.
						bei Snow-Hill.				
Juni 23	9 a.	SE	3	- 4.0	- 11.1	- 19.3	C	10 10 10	S S ☼	
	2 p.	E	2	- 0.1	- 4.0	- 20.5	ENE			
	4:30 p.	NE	3	- 0.1	- 2.5	- 20.7	NE			
Juni 24	9 a.	E	3	+ 2.8	± 0.0	- 19.6	C	10 10 10	S S S	
	2 p.	E	6	+ 0.5	- 0.4	- 21.7	WNW			
	5 p.	NW	3	+ 3.5	- 1.0	- 22.4	C			
Juni 25	9 a.	E	2	+ 0.2	- 8.4	- 23.0	SSW	5 10 10	Ci, S ☼ ☼	
	2 p.	S	5	+ 2.0	- 14.0	- 21.7	SSW			
	4:30 p.	SW	10	± 0.0	- 16.0	- 21.7	SW			
Juni 26	9 a.	C	0	- 3.5	- 16.9	- 25.7	C	5 3 5	Ci-S, S Ci Ci, S	
	2 p.	SW	8	- 2.9	- 20.2	- 26.4	SSW			
	4:30 p.	SW	8	- 2.2	- 22.5	- 25.8	SW			
Juni 27	9 a.	SW	3	- 6.5	- 22.2	- 24.7	SW	10 10 5	☼ ☼ ☼ S	
	2 p.	S	3	- 5.1	- 22.1	- 25.5	SSW			
	4:30 p.	S	6	- 3.0	- 22.0	- 25.9	SSW			
Juni 28	9 a.	C	0	- 4.2	- 23.2	- 24.6	C	3 3 10	Ci, S S S	
	2 p.	W	5	- 5.5	- 12.5	- 23.0	ENE			
	5 p.	WNW	8	- 2.5	- 11.0	- 22.4	SSW			
Juni 29	9 a.	WNW	8	- 1.0	- 2.8	- 8.1	SW	5 7 10	Ci, Cu, S Ci, S N, S	
	2 p.	WNW	3	- 0.3	- 3.2	- 3.6	NE			
	5 p.	NW	3	- 0.5	- 2.2	- 2.5	NE			
Juni 30	9 a.	W	10	+ 1.7	- 1.8	- 6.4	SE	5 5 3	Ci-Cu, S Ci-S, S S	
	2:30 p.	SW	6	± 0.0	- 11.3	- 18.2	SSW			
	5 p.	SE	3	- 0.2	- 15.8	- 16.0	SSW			

Juni 8. 8 a. Heute Nacht 1 Uhr erhob sich ein Sturm von WSW.

Paulet-Insel.

Juli 1903

Datum.	Zeit.	Wind- Richtung.	Wind- Geschwindigkeit Knot.	Wind- Richtung in Strehleite.	Temperatur in Strehleite.	Temperatur Luft- temperatur	Luft- temperatur		Wind- richtung	Bewölkung.	Hydro- meteore.
							bei Snow-Hill.				
			m. s.								
Juli 1	4 a.	NE	—	—	—	— 6.5	— 9.9	SSW	—		
	9 a.	S	3	— 1.7	—	— 11.3	— 23.6	C	3	S	
	2 p.	S	3	— 1.0	—	— 16.8	— 20.5	SSE	3	S	
	5 p.	SW	3	— 3.0	—	— 17.8	— 28.0	C	0		
	9 p. 9.20 p.	C W	0 —	— —	— —	— 20.0 — 12.0	— 22.5 — 22.6	C C	— —		
Juli 2	9 a.	WNW	10	— 1.0	—	— 4.5	— 9.2	SE	10	S	
	2 p.	NW	6	— 0.2	—	— 2.5	— 12.5	ESE	10	S ×	
	5 p.	WNW	6	+ 3.5	—	— 2.2	— 16.1	Var.	10	≡ ×	
Juli 3	9.30 a.	WSW	15	— 8.0	—	— 23.7	— 25.2	SW	10	≡	
	2 p.	WSW	15	— 4.5	—	— 23.2	— 24.8	SW	10	≡	
	5 p.	WSW	15	— 4.3	—	— 23.0	— 25.0	SW	10	≡	
Juli 4	9 a.	SW	2	— 6.3	—	— 18.9	— 20.3	SSW	10	S	
	2 p.	SW	3	— 4.5	—	— 19.5	— 19.5	SSW	3	Cu-N	
	5 p.	SW	3	— 1.0	—	— 20.5	— 23.1	SSW	3	Ci, S	
	12 p.	—	—	—	—	— 26.5	— 24.1	ENE	—		
Juli 5	9 a.	SW	6	— 9.0	—	— 25.5	— 30.7	SW	3	S	
	2 p.	SW	6	— 8.0	—	— 27.0	— 28.8	SSW	0		
	5 p.	SW	3	— 8.0	—	— 26.0	— 24.0	SSW	0		
Juli 6	9 a.	C	0	— 9.0	—	— 24.0	— 23.7	C	3	Ci, Cu	
	2 p.	C	0	— 5.0	—	— 17.6	— 19.0	C	3	S	
	5 p.	W	6	— 3.3	—	— 8.0	— 16.3	SSW	10	S	
Juli 7	9 a.	W	10	— 1.0	—	— 4.8	— 9.1	C	10	Ci, S, N	
	2 p.	W	15	+ 0.8	—	— 4.0	— 5.8	S	10	Cu, S	
	5 p.	W	2	— 2.2	—	— 3.9	— 10.1	SSW	10	S	
Juli 8	9 a.	C	0	— 4.0	—	— 22.6	— 25.0	ENE	7	Ci, S	
	2 p.	SE	2	— 1.5	—	— 19.4	— 22.5	ENE	10	S	
	5 p.	SE	2	— 1.3	—	— 15.5	— 22.1	ENE	0		
Juli 9	9 a.	W	3	— 2.0	—	— 6.0	— 18.8	C	5	Cu, S	
	2 p.	W	18	+ 0.0	—	— 4.5	— 12.1	Var.	5	Cu, S	
	5 p.	W	10	+ 0.0	—	— 4.8	— 2.2	NNE	5	Cu, S	
Juli 10	9 a.	SW	2	— 1.5	—	— 18.2	— 22.8	SSW	3	Cu, S	
	2 p.	C	0	— 3.3	—	— 21.5	— 22.3	Var.	0		
	5 p.	C	0	— 5.0	—	— 22.0	— 27.3	C	0		

Paulet-Insel.

Juli 1903

Datum.	Zeit.	Wind- Richtung.	Wind- Geschwindigkeit kelt.	Wind- m/s	Temperatur in der Schatten.	Temperatur. Luft.	Luft- temperatur		Wind- richtung	Bewölkung.	Hydro- meteore.
							bei Snow-Hill.				
Juli 11	9 a.	E	6	6	- 2.3	- 6.2	- 21.8	C	10	N, S	
	2 p.	N	3	3	0.0	- 5.0	- 26.3	SSW	5	N, S	
	4:30 p.	NW	2	2	+1.0	- 4.5	- 27.4	SSW	10	S	
Juli 12	9 a.	SE	2	2	- 4.3	- 22.2	- 28.8	SSW	10	S ≡	
	2 p.	C	0	0	- 1.6	- 20.8	- 28.7	SW	5	≡ *	
	4:30 p.	SW	6	6	- 0.3	- 22.0	- 29.5	SSW	10	≡ *	
Juli 13	9 a.	S	10	10	- 8.0	- 29.0	- 30.8	SW	10	≡ S	
	2 p.	S	2	2	- 6.5	- 28.5	- 29.2	SW	3	S	
	4:30 p.	C	0	0	- 8.0	- 28.7	- 29.0	SW	0		
Juli 14	8:30 a.	C	0	0	- 8.0	- 24.9	- 27.9	C	3	S	
	2 p.	C	0	0	- 7.5	- 25.5	- 28.0	Var.	7	Ci-Cu, Cu	
	4:30 p.	C	0	0	- 6.3	- 21.0	- 25.7	Var.	5	S	
Juli 15	8:30 a.	W	10	10	- 4.2	- 19.5	- 23.4	SSW	10	S	
	2 p.	SW	3	3	- 2.8	- 19.7	- 28.0	SSW	10	≡ *	
	4:30 p.	SW	3	3	- 3.0	- 20.8	- 28.7	SSW	10	≡	
Juli 16	9 a.	S	5	5	- 8.2	- 26.8	- 28.7	SW	10	Ci, S	
	2 p.	S	3	3	- 5.8	- 25.6	- 28.3	SSW	7	Ci-Cu, S	
	4:30 p.	S	3	3	- 6.6	- 26.2	- 27.4	SSW	3	S	
Juli 17	9 a.	W	10	10	- 5.0	- 5.2	- 15.5	C	3	Cu, S	
	2 p.	W	10	10	- 1.5	- 2.9	- 2.5	ENE	10	Ci, S-Cu, N	
	4:30 p.	W	15	15	- 2.0	- 2.8	- 0.1	NE	10	N, S *	
Juli 18	9 a.	W	12	12	- 0.8	- 1.2	- 0.5	NNE	7	Ci, Cu, S	
	2 p.	W	6	6	0.0	- 0.9	+ 1.5	NNE	7	Ci, Cu, S	
	4:30 p.	NW	6	6	0.0	- 0.5	+ 0.8	NNE	10	N, S	
Juli 19	8 a.	E	3	3	+ 2.5	+ 1.0	+ 0.2	NNE	5	Cu, N, S	
	2 p.	NW	10	10	+ 2.0	+ 1.0	- 0.6	NE	5	N, S	
	4:30 p.	WNW	20	20	+ 3.5	+ 1.5	- 0.3	NE	7	N, S	
Juli 20	8 a.	WNW	10	10	+ 3.0	- 0.6	- 0.6	NNE	10	≡ *	
	2 p.	NE	2	2	+ 4.5	- 1.0	- 1.9	NE	5	Cu, S	
	4:30 p.	WNW	10	10	+ 5.7	- 1.0	- 3.2	NNE	10	≡ *	
Juli 21	8 a.	E	3	3	- 0.5	- 12.3	- 19.6	C	3	S	
	2 p.	NE	3	3	+ 1.5	- 5.0	- 7.7	NE	10	S	
	4:30 p.	E	6	6	+ 2.0	- 4.5	- 6.1	ENE	10	≡ *	

Paulet-Insel.

Juli 1903

Datum.	Zeit.	Wind- Richtung	Geschwindig- keit.	Wind- m/s	Temperatur in der Scheinhöhe.	Luft- Temperatur.	Luft- temperatur		Wind- richtung	Bewölkung.	Hydro- mometer.
							bei Snow-Hill.				
Juli 22	8 a.	WSW	3	m/s	+ 0.2	- 7.4	- 6.0	C	3	Ci	
	2 p.	NE	3		+ 1.2	- 2.9	- 2.9	NNE	7	S	
	4:30 p.	NE	3		+ 3.4	- 3.0	- 4.3	NNE	7	S	
Juli 23	8 a.	WNW	20		+ 2.2	- 0.5	- 20.6	SSW	10	S	
	2 p.	W	20		+ 3.0	- 4.8	- 18.5	SW	5	Cu	
	4:30 p.	W	20		+ 3.4	- 7.2	- 16.6	SSW	5	S	
Juli 24	8 a.	SW	2		- 0.3	- 9.4	- 10.0	SSW	3	S	
	2 p.	WSW	8		+ 1.0	- 10.0	- 10.5	Var.	5	Ci-Cu, S	
	4:30 p.	W	10		+ 1.3	- 6.8	- 11.1	Var.	7	S	
Juli 25	8 a.	W	15		+ 2.5	- 3.9	- 4.3	C	5	Cu, S	
	2 p.	W	6		+ 3.0	- 3.4	- 5.2	C	7	N, S	
	5 p.	C	0		—	- 6.0	- 10.1	C	5	Cu, S	
Juli 26	8 a.	W	15		+ 0.3	- 5.0	- 1.5	NNW	5	Cu, S	
	2 p.	W	15		—	- 3.9	- 3.5	NNE	5	Cu, S	
	4:30 p.	WNW	18		—	- 3.9	- 2.0	NNE	7	✱	
Juli 27	8 a.	S	3		—	- 16.2	- 23.0	SSW	10	≡ ✱	
	2 p.	SW	2		—	- 21.3	- 23.8	W	3	S	
	4:30 p.	C	0		—	- 24.0	- 23.4	SSW	3	S	
Juli 28	8 a.	SW	3		—	- 21.0	- 18.9	SSW	5	Ci, S	
	2 p.	WSW	10		—	- 13.5	- 14.0	SSW	10	≡ ✱	
	4:30 p.	W	20		—	- 13.5	- 13.7	SSW	10	S	
Juli 29	9-45 a.	WSW	20		—	- 15.7	- 17.5	SW	7	✱	
	2 p.	WSW	10		—	- 16.2	- 18.2	SSW	10	≡	
	4:30 p.	WSW	10		—	- 18.0	- 19.6	SW	7	✱	
Juli 30	8 a.	S	8		—	- 20.8	- 21.8	SW	10	S	
	2 p.	SW	8		—	- 18.4	- 21.9	SW	3	S	
	4:30 p.	SW	8		—	- 17.6	- 21.8	SW	5	S	
Juli 31	8 a.	SW	3		—	- 17.4	- 17.5	SW	3	Ci-Cu, Ci	
	2 p.	SW	3		—	- 14.0	- 10.1	SW	0		
	4:30 p.	C	0		—	- 17.7	- 13.6	SSW	0		

Paulet-Insel.

August 1903

Datum.	Zeit.	Wind- Richtung.	Wind- Geschwindigkeit Kell.	Wind- m/s	Temperatur in der Stehhöhe.	Temperatur- Luft-	Luft- tempera- tur	Wind- richtung	Bewölkung.	Hydro- meteore.
Aug. 1	8.15 a.	C	0	—	—	-18.7	-15.5	C	0	
	2 p.	C	0	—	—	-13.8	-11.3	C	0	
	5 p.	C	0	—	—	-17.0	-10.0	C	0	
Aug. 2	8 a.	C	0	—	—	-17.0	-14.0	C	0	
	2 p.	C	0	—	—	-12.2	-9.0	ENE	0	
	5 p.	C	0	—	—	-17.0	-10.7	ESE	3	Ci
Aug. 3	8 a.	S	2	—	—	-7.2	-5.8	S	3	Cu, S
	2 p.	WSW	2	—	—	-6.2	-5.5	NE	3	Ci, S
	5 p.	WSW	3	—	—	-3.0	-3.1	SSW	7	Ci-Cu, S
Aug. 4	8 a.	C	0	—	—	-8.1	-7.3	C	7	N, S
	2 p.	W	20	—	—	-4.5	+2.0	WSW	7	N, S
	5 p.	W	20	—	—	-3.5	+1.7	Var.	—	*
Aug. 5	8.30 a.	W	20	—	—	-1.0	+2.7	S	5	Cu, S
	2 p.	WNW	20	—	—	+0.0	+2.8	ENE	7	Cu, S
	5 p.	WNW	20	—	—	+0.7	+0.3	E	7	Cu, N, S
Aug. 6	8 a.	SW	6	—	—	-11.0	-19.7	SW	10	≡ S
	2 p.	SW	3	—	—	-15.0	-21.4	SW	5	S
	5 p.	SW	2	—	—	-14.0	-20.7	WSW	10	S ≡
Aug. 7	8 a.	SW	10	—	—	-14.1	-21.3	SSW	5	Ci, Cu, S
	2 p.	C	0	—	—	-15.1	-14.9	SSW	0	
	5 p.	C	0	—	—	-19.2	-18.3	SSE	3	Ci
Aug. 8	8 a.	N	3	—	—	-8.7	-8.5	ENE	7	Ci, Cu, S
	2 p.	N	6	—	—	-6.5	-15.2	NNE	—	Cu, S
	5 p.	NNE	6	—	—	-5.9	-15.2	NNE	7	N, S
Aug. 9	6 a.	NE	—	—	—	+2.0	-25.1	SSW	—	
	8 a.	SW	6	—	—	-18.2	-25.3	SSW	7	*
	2 p.	SW	6	—	—	-19.4	-24.6	SSW	10	≡ *
	5 p.	S	6	—	—	-18.9	-23.9	SSW	10	S
Aug. 10	8 a.	SW	6	—	—	-18.6	-20.6	SSW	10	≡ *
	2 p.	SW	3	—	—	-17.9	-20.3	SSW	7	Ci-Cu, Ci
	5 p.	SW	2	—	—	-22.7	-20.5	SSW	—	Ci
	8.15 p.	—	—	—	—	-25.0	-19.9	SSW	3	
Aug. 11	8 a.	C	0	—	—	-18.8	-22.2	C	10	≡ * S
	2 p.	S	3	—	—	-18.4	-18.8	SSW	10	≡ *
	5 p.	SW	3	—	—	-18.2	-18.9	NE	5	Ci, S

Paulet-Insel.

August 1903

Datum.	Zeit.	Wind- Richtung.	Wind- Geschwindigkeit knot.	Wind- geschwindigkeit in der Seehütte.	Temperatur in der Seehütte.	Luft- Temperatur.	Luft- temperatur		Wind- richtung	Höhe- kantung.	Hydro- meteore.
							bei Snow-Hill.				
			m s								
Aug. 12	8 a.	W	3	—	—	- 5.8	- 21.7	C	10	S	
	2 p.	W	3	—	—	- 4.9	- 12.3	E	7	Ci, Cu, S	
	5 p.	W	10	—	—	- 5.1	- 7.3	NE	7	S	
Aug. 13	8 a.	E	3	—	—	- 5.2	- 6.3	NE	10	S	
	2 p.	WNW	20	—	—	+ 0.1	+ 20	NE	5	Cu, N	
	5 p.	WNW	20	—	—	+ 0.6	+ 1.7	NNW	7	N, S	
Aug. 14	9-30 a.	NW	10	—	—	- 0.1	± 0.0	N	5	N, S	
	2 p.	NW	20	—	—	- 0.2	+ 0.7	NNE	7	☒	
	5 p.	WNW	20	—	—	—	—	N	7	☒	
Aug. 15	8 a.	WNW	15	—	—	+ 0.8	+ 1.0	N	5	Ci, S	
	2 p.	NW	15	—	—	+ 0.2	- 7.2	W-SW	7	Ci, S ☒	
	5 p.	WNW	15	—	—	- 0.8	- 22.3	SSW	5	N, S ☒	
Aug. 16	8 a.	E	3	—	—	- 2.6	- 3.8	E	5	Ci-S, Cu, S	
	2 p.	NNW	3	—	—	- 0.3	- 1.1	E	5	Ci, S	
	5 p.	NW	6	—	—	- 2.2	- 3.2	NE	5	Ci, Cu, N	
Aug. 17	8 a.	W	3	—	—	- 0.4	- 2.8	NE	7	N, S	
	2 p.	WNW	6	—	—	- 0.3	- 22.0	SSW	5	N, S	
	5 p.	W	3	—	—	- 0.3	- 22.9	SSW	10	N, S	
Aug. 18	8 a.	S	6	—	—	- 14.8	- 19.0	SW	10	S	
	2 p.	S	3	—	—	- 12.5	- 13.9	SSW	10	Ci, S	
	5 p.	WSW	3	—	—	- 13.2	- 13.0	SSW	3	Ci	
Aug. 19	8 a.	SW	3	—	—	- 15.5	- 14.5	SSW	0		
	2 p.	SW	3	—	—	- 11.6	- 12.3	SSW	0		
	5 p.	SW	3	—	—	- 14.2	- 14.9	SSW	0		
Aug. 20	8 a.	SW	3	—	—	- 14.0	- 13.7	SSW	0		
	2 p.	SW	3	—	—	- 12.2	- 10.7	S	0		
	5 p.	SW	3	—	—	- 13.8	- 21.1	C	0		
Aug. 21	8 a.	E	2	—	—	- 14.2	- 20.3	C	7	Ci, S	
	2 p.	NNE	2	—	—	- 7.6	- 9.4	NE	5	S	
	5 p.	NNE	3	—	—	- 6.5	- 9.7	NNE	7	S	
Aug. 22	8 a.	SE	3	—	—	- 2.5	- 3.5	NNE	7	N, S	
	2 p.	N	3	—	—	- 1.7	- 8.0	C	10	N, S	
	5 p.	C	0	—	—	- 2.1	- 12.3	NNE	10	N, S	

Paulet-Insel.

August 1903

Datum.	Zeit.	Wind- Richtung.	Wind- Geschwindigkeit Kelt.	Wind- m/s	Temperatur in der Schatten.	Temperatur. Luft.	Luft- tempera- tur	Wind- richtung	Bewölkung.	Hydro- meteore.
							bei Snow-Hill.			
Aug. 23	8 a.	S	3	—	—	-13.1	-21.1	SSW	7	Cu, S
	2 p.	SW	6	—	—	-14.9	-23.6	SSW	10	≡ S
	5 p.	SW	5	—	—	-16.0	-21.8	SW	10	S
Aug. 24	8 a.	S	8	—	—	-19.2	-23.5	SW	7	≡ S
	2 p.	SW	6	—	—	-18.5	-22.7	WSW	7	Cu, S
	5 p.	SW	8	—	—	-19.3	-22.9	SW	7	≡ Ci, S
Aug. 25	8 a.	SW	4	—	—	-17.8	-21.6	WSW	7	≡ Ci, S
	2 p.	SW	3	—	—	-15.6	-19.1	SW	7	Ci, N
	5 p.	SW	2	—	—	-15.2	-19.5	WSW	10	S ≡ *
Aug. 26	8 a.	SW	3	—	—	-15.9	-20.0	SW	7	Ci-Cu, S
	2 p.	SW	3	—	—	-15.1	-21.4	WSW	7	Ci-Cu, S
	5 p.	SW	2	—	—	-16.8	-21.5	SW	10	≡ S
Aug. 27	8 a.	S	3	—	—	-18.3	-22.0	SW	10	S
	2 p.	S	3	—	—	-17.1	-23.1	SSW	7	S
	5 p.	SW	4	—	—	-18.2	-21.2	SSW	7	Ci, S
Aug. 28	8 a.	C	0	—	—	-21.5	-28.3	C	7	Ci-Cu, S
	2 p.	C	0	—	—	-21.0	-23.5	C	5	Ci-Cu, S
	5 p.	C	0	—	—	-20.7	-25.5	C	7	S
Aug. 29	8 a.	SW	3	—	—	-22.8	-29.0	SW	7	S
	2 p.	SW	3	—	—	-22.3	-27.0	SSW	7	S
	5 p.	S	3	—	—	-23.5	-28.3	SSW	7	S
Aug. 30	7 a.	—	—	—	—	-28.0	-30.5	SSW	—	—
	8 a.	SW	3	—	—	-27.0	-31.0	WSW	7	Ci-Cu, S
	2 p.	C	0	—	—	-25.3	-28.5	SW	7	Cu
	5 p.	SW	2	—	—	-26.6	-28.3	C	3	S
	7 p.	C	0	—	—	-31.0	-31.4	C	—	—
Aug. 31	8 a.	C	0	—	—	-25.3	-25.9	ESE	5	Cu, N
	2 p.	S	2	—	—	-21.4	-33.0	SSW	5	≡
	5 p.	S	6	—	—	-26.2	-30.5	SSW	10	≡

Paulet-Insel.

September 1903

Datum.	Zeit.	Wind- Richtung.	Wind- Geschwindigkeit kelt.	Wind- Stärke.	Temperatur in der Stehhüte.	Luft- Temperatur.	Luft- tempera- tur	Wind- richtung	Beobachtung.	Hydro- meteore.
							bei Snow-Hill.			
Sept. 1	8.15 a.	SW	m/s	3	—	- 27.2	- 30.3	SSW	10	≡ S
	2 p.	C	2	0	—	- 24.2	- 26.5	NE	10	≡ S
	6 p.	S	3	3	—	- 25.0	- 27.2	ENE	7	Ci-Cu, S
Sept. 2	8 a.	C	0	0	—	- 19.8	- 20.8	C	3	Cu
	2 p.	C	0	0	—	- 16.8	- 17.5	C	3	Ci
	6 p.	C	0	0	—	- 23.5	- 17.1	C	3	Ci
Sept. 3	8 a.	S	8	—	—	- 15.6	- 20.8	SW	0	
	2 p.	SW	3	—	—	- 17.3	- 14.3	S	0	
	6 p.	C	0	—	—	- 22.8	- 24.4	NNE	3	Ci
Sept. 4	8 a.	C	0	—	—	- 19.5	- 22.4	C	0	
	2 p.	C	0	—	—	- 2.5	- 11.5	C	7	Ci, Ci-Cu
	6 p.	C	0	—	—	- 6.8	- 14.3	C	5	N
Sept. 5	8 a.	W	6	—	—	+ 1.0	- 6.8	C	5	Ci-Cu
	2 p.	W	15	—	—	- 3.3	- 3.0	NNE	5	Ci
	6 p.	W	15	—	—	- 3.8	- 3.8	C	5	Cu, N
Sept. 6	8 a.	C	0	—	—	+ 1.1	- 3.1	C	7	N, S
	2 p.	W	2	—	—	+ 2.9	+ 4.1	SSW	0	
	6 p.	C	0	—	—	+ 3.0	+ 3.0	WNW	3	S
Sept. 7	8 a.	C	0	—	—	- 13.0	- 15.8	SSW	10	S
	2 p.	SE	2	—	—	- 13.1	- 14.9	Var.	10	S
	6 p.	C	0	—	—	- 14.1	- 16.1	SSE	10	S
Sept. 8	8 a.	C	0	—	—	- 14.2	- 14.8	C	0	
	2 p.	C	0	—	—	- 8.1	- 8.8	NE	0	
	6 p.	C	0	—	—	- 10.9	- 9.5	ENE	3	Ci
Sept. 9	8 a.	W	2	—	—	+ 1.1	- 2.3	NE	10	Cu, N, S
	2 p.	NW	1	—	—	+ 0.8	- 2.5	NE	10	Ci-Cu, S
	6 p.	NW	8	—	—	- 1.3	- 2.2	NE	10	Ci-Cu, N, S
Sept. 10	8 a.	W	8	—	—	- 2.2	- 5.2	C	7	Ci-Cu, S
	2 p.	W	6	—	—	+ 0.1	+ 2.5	SSW	5	Ci, Cu
	6 p.	W	6	—	—	- 1.2	+ 1.9	SSW	5	Ci, Cu
Sept. 11	8 a.	E	2	—	—	+ 0.3	+ 2.2	SE	10	S
	2 p.	C	0	—	—	+ 0.6	- 9.3	SSW	10	≡ *
	6 p.	S	8	—	—	- 4.0	- 13.8	SSW	10	≡ *

Paulet-Insel.

September 1903

Datum.	Zeit.	Wind- Richtung.	Wind- Geschwindigkeit Knt.	Wind- Stärke.	Temperatur in der Stemhöhle.	Luft- Temperatur.	Luft- temperatur	Wind- richtung	Bewölkung.	Hydro- meteore.
							bei Snow-Hill.			
Sept. 12	8 a.	S	3	—	—	-11.0	-15.3	SW	10	S
	2 p.	S	3	—	—	-10.2	-15.2	SW	10	S
	6 p.	SW	3	—	—	-14.0	-16.9	SW	10	S
Sept. 13	8 a.	SW	6	—	—	-19.1	-23.3	SW	10	≡ S
	2 p.	S	6	—	—	-17.9	-23.0	SW	10	≡ * S
	6 p.	S	3	—	—	-19.8	-23.2	SSW	10	S
Sept. 14	8 a.	SW	3	—	—	-19.5	-21.8	C	10	Ci-Cu, S
	2 p.	SW	3	—	—	-17.4	-18.8	Var.	3	Ci-Cu, S
	6 p.	C	0	—	—	-22.3	-20.6	SSW	3	Ci, S
Sept. 15	8 a.	SE	2	—	—	-15.2	-17.9	ENE	10	S
	2 p.	E	2	—	—	-11.3	-15.0	ENE	10	S
	6 p.	E	3	—	—	-13.6	-15.1	C	10	S
Sept. 16	8 a.	C	0	—	—	-10.8	-14.3	C	10	S
	2 p.	C	0	—	—	-10.4	-17.8	SW	10	S ≡
	6 p.	SE	2	—	—	-15.0	-18.3	SSW	10	S
	12 p.	C	0	—	—	-22.0	-17.3	ENE	0	
Sept. 17	8 a.	C	0	—	—	-12.8	-15.8	ENE	3	Ci, Cu
	2 p.	NE	6	—	—	-4.5	-9.0	NNE	10	S ≡
	6 p.	E	3	—	—	-6.4	-19.2	SSW	10	≡ *
Sept. 18	8 a.	SE	3	—	—	-15.7	-24.3	SSW	10	≡ *
	2 p.	SW	3	—	—	-16.5	-23.4	SW	7	S
	6 p.	SW	3	—	—	-21.0	-21.5	S	3	Ci, S
Sept. 19	6.45 a.	SE	—	—	—	-10.0	-14.7	ENE	—	
	8 a.	N	4	—	—	-3.4	-16.7	SW	10	S
	9.30 a.	NW	—	—	+	0.0	-20.6	SW	—	
	10.30 a.	SW	—	—	—	3.0	-21.5	SW	—	
	2 p.	SW	4	—	—	-16.8	-21.2	SW	10	≡ S
	6 p.	WSW	2	—	—	-18.8	-21.7	SW	10	≡
Sept. 20	8 a.	C	0	—	—	-19.7	-22.3	SSW	3	N
	2 p.	SW	3	—	—	-18.0	-20.5	WSW	3	Ci
	6 p.	C	0	—	—	-21.5	-20.8	C	3	Ci
Sept. 21	8 a.	ESE	2	—	—	-20.0	-19.0	ENE	10	Ci
	2 p.	NE	3	—	—	-17.2	-17.8	NE	10	S
	6 p.	NE	3	—	—	-17.0	-18.1	E	10	S

Paulet-Insel.

September 1903

Datum.	Zeit.	Wind- Richtung.	Wind- Geschwindigkeit knt.	Wind- Stärke.	Temperatur Luft.	Temperatur Luft- auf-	Luft- tempera- tur	Wind- richtung	Bewölkung.	Hydro- meteore.
							bei Snow-Hill.			
Sept. 22	8 a.	SE	3	—	— 14.9	— 17.0	ENE	10	S	
	2 p.	ESE	3	—	— 14.0	— 16.0	ENE	10	☒	
	6 p.	ESE	3	—	— 14.2	— 18.2	SSW	10	☒ ☒	
Sept. 23	8 a.	S	3	—	— 16.5	— 20.2	SSW	10	☒ ☒	S
	2 p.	S	6	—	— 16.2	— 20.0	SSW	10	☒	S
	6 p.	S	6	—	— 17.0	— 17.8	SW	10	☒	S
Sept. 24	8.30 a.	E	2	—	— 12.6	— 17.3	Var.	10	S	
	2 p.	SW	3	—	— 14.0	— 18.0	SSW	10	☒ ☒	
	6 p.	SW	6	—	— 16.0	— 18.3	SSW	10	☒ ☒	
Sept. 25	8 a.	S	10	—	— 21.3	— 25.0	SW	10	☒ ☒	
	2 p.	S	10	—	— 20.1	— 24.7	WSW	10	☒ ☒	
	6 p.	SW	10	—	— 20.2	— 24.5	WSW	10	☒ ☒	
Sept. 26	8 a.	SW	6	—	— 20.4	— 23.6	SSW	10	☒ ☒	
	2 p.	SW	3	—	— 17.9	— 19.0	SSW	10	☒ ☒	Cl-Cu, S
	6 p.	E	2	—	— 18.4	— 18.3	ENE	7	☒	S
Sept. 27	8 a.	SE	2	—	— 10.0	— 14.0	NE	10	☒	S
	2 p.	N	2	—	— 6.3	— 20.7	S	5	☒	Cu
	6 p.	E	3	—	— 12.0	— 21.5	SSW	10	☒	☒ ☒
Sept. 28	8 a.	SW	6	—	— 17.1	— 20.5	SSW	10	☒	
	2 p.	SW	6	—	— 16.0	— 20.2	WSW	10	☒ ☒	
	6 p.	SW	6	—	— 19.1	— 22.2	SW	10	☒	S
	10 p.	—	—	—	— 23.0	— 24.7	WSW	7	—	
Sept. 29	8 a.	SE	3	—	— 19.8	— 24.4	C	10	☒	S
	2 p.	C	0	—	— 15.0	— 20.1	NE	5	☒	Cu, S
	6 p.	NE	3	—	— 13.6	— 20.6	WNW	10	☒	☒ ☒
Sept. 30	8 a.	SW	10	—	— 23.4	— 26.2	SW	10	☒	
	2 p.	S	8	—	— 20.2	— 25.2	WSW	10	☒	
	6 p.	S	6	—	— 23.0	— 25.2	SW	7	☒	Cl, S
	10.45 p.	S	6	—	— 27.0	— 26.1	WSW	—	—	

Paulet-Insel.

Oktober 1903

Datum.	Zeit.	Wind- Richtung.	Wind- Geschwindig- keit.	Temperatur in der Schatten.	Temperatur. Luft-.	Luft- temper- tur	Wind- richtung	Bewölkung.	Hydro- meteore.
						bei Snow-Hill.			
Okt. 1	8 a.	S	m/s 10	—	— 21.5	— 25.5	W'SW	10	☼ * Ci, S
	2 p.	S	5	—	— 17.2	— 21.8	W'SW	5	Ci, S
	6 p.	SW	3	—	— 22.5	— 23.6	W'SW	3	Ci-Cu
Okt. 2	8 a.	SW	6	—	— 18.5	— 21.0	SW	10	S
	2 p.	SW	3	—	— 12.6	— 14.6	SSW	5	S
	6 p.	SE	2	—	— 12.3	— 17.8	Var.	3	Ci
Okt. 3	8 a.	N	2	—	— 9.0	— 12.2	NE	10	S
	2 p.	W	6	—	— 2.0	— 5.7	NE	10	S
	6 p.	E	2	—	— 3.6	— 4.4	NE	10	Cu-N, S
Okt. 4	8 a.	NNW	6	—	— 0.5	— 2.2	NE	5	Ci-Cu
	2 p.	W	3	—	+ 1.5	— 0.4	NE	5	Ci, Cu
	6 p.	NW	10	—	+ 0.5	— 0.7	NNE	5	Ci, Cu
Okt. 5	8 a.	WNW	10	—	+ 0.2	— 14.0	SSW	10	N, S
	2 p.	NNW	6	—	+ 2.0	— 12.8	SW	5	Cu, S
	6 p.	ENE	3	—	+ 0.0	— 16.4	SSW	10	S
	8 p.	SW	6	—	— 5.0	— 16.8	SSW	—	
Okt. 6	8 a.	SE	2	—	— 8.0	— 13.7	NE	10	☼
	2 p.	W	6	—	+ 1.2	— 9.2	NE	5	Ci, Cu
	6 p.	W	3	—	— 1.3	— 12.0	C	5	Cu, S
Okt. 7	8 a.	E	3	—	+ 1.4	— 6.2	C	7	Ci, Cu, N
	2 p.	N	8	—	+ 0.0	— 13.0	W'SW	7	Ci, Cu, S
	8 p.	NNE	3	—	— 1.0	— 19.1	SSW	10	☼ *
Okt. 8	8 a.	S	10	—	— 12.9	— 19.6	SSW	10	☼ *
	2 p.	SW	3	—	— 11.4	— 17.7	SW	10	☼
	6 p.	S	6	—	— 13.6	— 17.6	SSW	10	☼ *
Okt. 9	8 a.	C	0	—	— 7.2	— 15.2	SSW	10	☼ *
	2 p.	C	0	—	— 5.8	— 12.4	NW	10	☼
	7 p.	SE	2	—	— 9.1	— 10.8	NNE	10	* S
Okt. 10	8 a.	N	2	—	— 5.4	— 16.5	SSW	10	☼
	2 p.	ESE	3	—	— 7.3	— 16.2	SSW	10	☼ *
	7 p.	S	6	—	— 11.8	— 16.5	SSW	10	☼ *
Okt. 11	6,30 a.	SW	—	—	— 12.5	— 14.9	C	—	* ☼
	8 a.	C	0	—	— 7.0	— 14.7	C	10	☼
	2 p.	W'SW	3	—	— 4.5	— 11.5	W'SW	10	☼
	7 p.	C	0	—	— 9.5	— 18.7	C	10	☼

Paulet-Insel.

Oktober 1903

Datum.	Zeit.	Wind- Richtung	Wind- Geschwindigkeit knot.	Wind- Stärke	Temperatur in der Schicht	Luft- Temperatur	Luft- temperatur		Wind- richtung	Beobachtung	Hydro- meteore.
							bei Snow-Hill.				
Okt. 12	8 a.	C	0	—	—	- 7.1	- 13.7	NNE	10	≡ Ci, Cu, S	
	2 p.	C	0	—	—	- 2.0	- 8.1	N	10		
	7 p.	W	6	—	—	- 3.7	- 8.7	C	10		
Okt. 13	8 a.	SW	3	—	—	- 5.5	- 13.5	C	3	Cu Ci, S S	
	2 p.	C	0	—	—	- 3.2	- 7.1	C	5		
	7 p.	SW	3	—	—	- 10.1	- 9.7	W	3		
	10 p.	—	—	—	—	- 14.0	- 5.6	SSW	0		
Okt. 14	8 a.	C	0	—	—	- 7.0	- 9.1	NE	10	Cu, S ≡ Cu, S	
	2 p.	W	10	—	—	- 2.8	- 1.1	NE	10		
	7 p.	W	15	—	—	- 3.0	- 3.4	Var.	—		
Okt. 15	8 a.	W	8	—	—	- 0.3	+ 0.2	SW	3	Ci-Cu	
	2 p.	W	3	—	—	+ 3.4	+ 4.4	NNE	0		
	7 p.	W	2	—	—	+ 1.0	+ 1.1	C	3		
Okt. 16	8 a.	C	0	—	—	+ 3.7	- 2.6	C	5	Ci Ci, Ci-Cu Cu	
	2 p.	W	10	—	—	± 0.0	+ 3.7	E	5		
	7 p.	W	15	—	—	- 2.3	- 0.2	SE	7		
Okt. 17	8 a.	WNW	15	—	—	+ 0.2	+ 0.7	Var.	5	Cu Ci, Cu, S Cu, N, S	
	2 p.	WNW	20	—	—	± 0.0	+ 1.7	NE	7		
	7 p.	WNW	6	—	—	+ 1.0	+ 2.1	NNE	7		
Okt. 18	8 a.	WNW	15	—	—	+ 0.4	+ 1.8	Var.	3	S Ci, Cu, N Cu	
	2 p.	W	15	—	—	+ 1.8	+ 6.2	WAW	5		
	7 p.	W	20	—	—	- 0.3	+ 4.6	Var.	7		
Okt. 19	8 a.	WNW	10	—	—	+ 0.4	+ 0.7	NE	10	S * Ci-Cu, N, S Cu	
	2 p.	W	3	—	—	+ 1.9	- 0.2	WSW	7		
	8 p.	W	3	—	—	- 5.6	- 2.1	SSW	3		
Okt. 20	8 a.	SW	3	—	—	- 3.0	- 4.5	S	0	Ci	
	2 p.	W	3	—	—	+ 5.8	+ 0.1	C	0		
	8 p.	C	0	—	—	- 3.3	- 3.3	C	3		
Okt. 21	8 a.	W	12	—	—	- 0.2	- 3.0	C	10	Cu, N, S Ci, Cu, S Cu, N	
	2 p.	W	10	—	—	+ 3.3	+ 5.5	C	10		
	8 p.	W	18	—	—	- 1.3	+ 1.2	C	3		
Okt. 22	8 a.	W	15	—	—	± 0.0	± 0.0	W	3	Ci-Cu, Cu, S Ci-Cu, Cu Ci	
	2 p.	W	3	—	—	+ 2.3	+ 1.9	SW	5		
	8 p.	SW	2	—	—	- 2.0	+ 0.6	SSW	3		

Paulet-Insel.

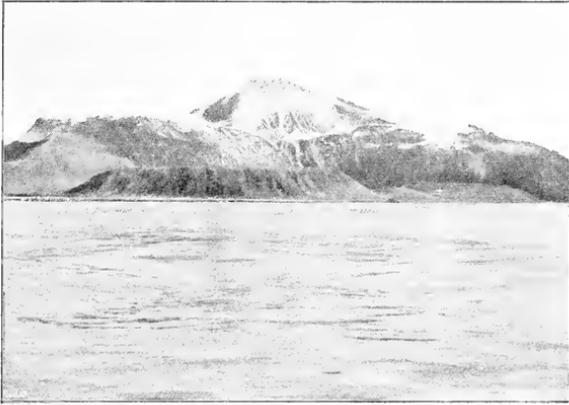
Oktober 1903

Datum.	Zeit.	Wind- Richtung.	Wind- Geschwindig- keit.	Wind- richtung in der Seeblüte.	Temperatur in der Seeblüte.	Temperatur Luft- temperatur.	Luft- temperatur		Wind- richtung	Bewölkung.	Hydro- meteore.
							bei Snow-Hill.				
Okt. 23	8 a.	W	10	—	—	- 0.2	- 0.3	NNE	10	S ≡	
	2 p.	WNW	20	—	—	+ 1.1	+ 4.5	Var.	10	Cu, N, S	
	8 p.	W	18	—	—	+ 0.9	- 0.4	WSW	7	Ci-Cu, S	
Okt. 24	8 a.	W	15	—	—	- 1.0	- 8.4	SSW	3	Ci, Cu, S	
	2 p.	S	3	—	—	- 3.6	- 7.5	SW	5	Ci, Cu, S	
	8 p.	E	3	—	—	- 4.8	- 8.5	SSW	7	Cu, S	
Okt. 25	8 a.	S	3	—	—	- 4.6	- 10.9	SSW	10	N, S	
	2 p.	WSW	2	—	—	+ 0.1	- 5.7	SW	3	Cu	
	8 p.	SW	2	—	—	- 2.1	- 5.4	NNE	7	Cu, S	
Okt. 26	8 a.	W	6	—	—	+ 1.6	+ 0.5	ENE	10	Ci-Cu, S	
	2 p.	NNE	3	—	—	+ 2.8	- 0.4	W	10	Cu, N, S	
	8 p.	W	2	—	—	- 0.4	- 7.9	SSW	5	Cu, S	
Okt. 27	8 a.	W	20	—	—	+ 1.5	+ 5.0	NE	7	Cu, N, S	
	2 p.	W	15	—	—	+ 2.2	+ 4.7	NNE	3	S	
	8 p.	W	15	—	—	+ 0.8	+ 4.1	N	5	Cu, S	
Okt. 28	8 a.	WNW	18	—	—	+ 1.9	+ 4.1	NNE	5	Ci, Cu, S	
	2 p.	W	10	—	—	+ 2.7	+ 3.3	N	7	≡ N, S	
	8 p.	W	10	—	—	+ 0.3	+ 4.0	NNE	3	Ci, Cu	
Okt. 29	8 a.	WNW	6	—	—	+ 2.0	+ 0.9	N	7	Ci-Cu, N, S	
	2 p.	WNW	15	—	—	+ 1.1	+ 4.1	N	5	Ci-Cu, S ≡	
	8 p.	W	4	—	—	± 0.0	- 5.8	SSW	10	S	
Okt. 30	8 a.	S	2	—	—	- 1.2	- 6.7	SSW	7	Ci, Cu	
	2 p.	W	2	—	—	+ 3.2	+ 0.8	S	5	Ci-Cu	
	8 p.	SW	2	—	—	- 2.1	- 2.8	SSW	3	Ci	
Okt. 31	8 a.	SE	3	—	—	- 2.2	- 5.3	ESE	10	≡ ×	
	2 p.	SW	2	—	—	+ 0.6	- 7.2	SSW	10	≡ ×	
	8 p.	SW	2	—	—	- 7.4	- 9.1	SSW	10	≡ × S	

Paulet-Insel.

November 1903

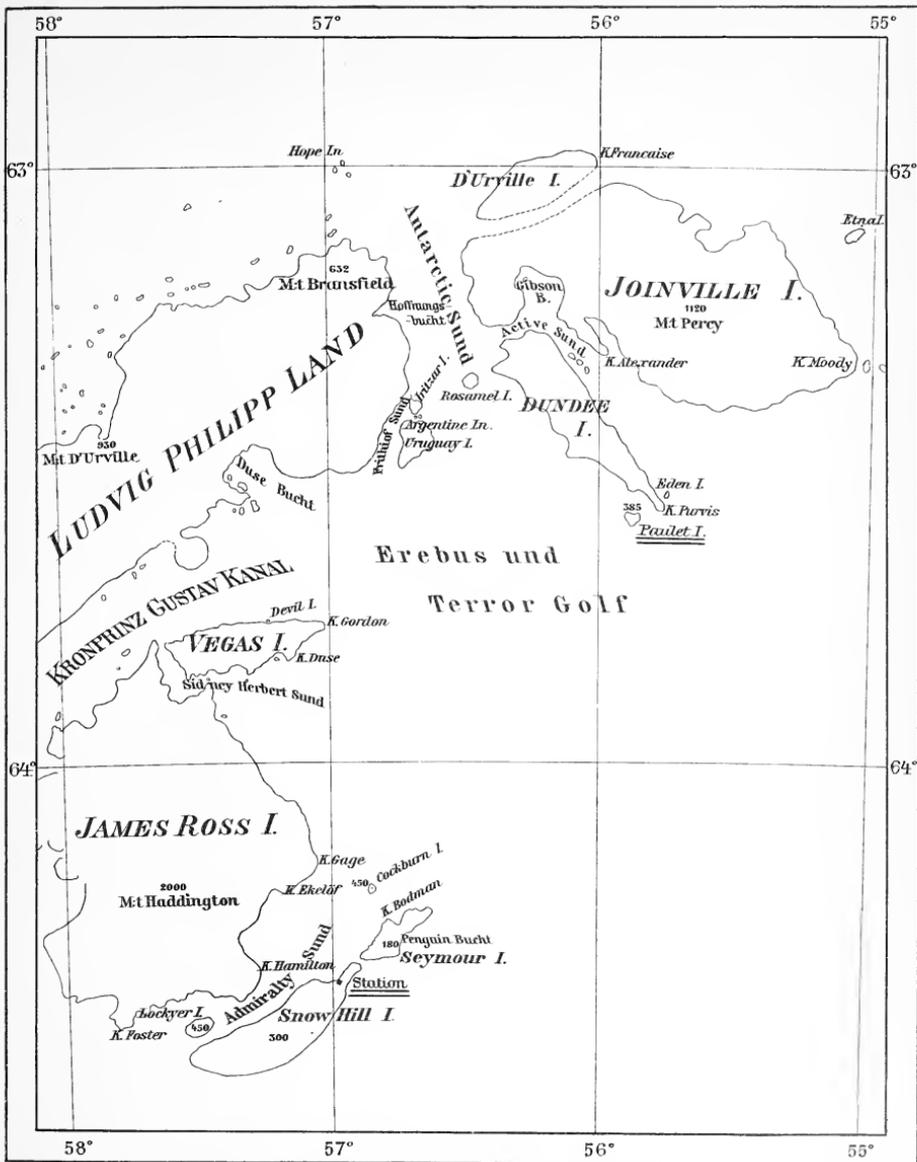
Datum.	Zeit.	Wind- Richtung.	Wind- Geschwindigkeit Knot.	Wind- Richtung.	Temperatur in der Schatten.	Luft- Temperatur.	Luft- temperatur		Wind- richtung	Bewölkung.	Hydro- metere.
							bei Snow-Hill.				
Nov. 1	8 a.	S	6	—	—	8.8	-12.2	WSW	10	≡ S	
	2 p.	SW	5	—	—	5.5	-9.0	SW	10	Ci-Cu, S	
	8 p.	C	0	—	—	10.7	-9.8	C	0		
Nov. 2	8 a.	C	0	—	—	+0.3	-3.0	C	5	Ci	
	2 p.	C	0	—	—	+1.8	-0.7	C	3	Ci	
	8 p.	C	0	—	—	+3.8	-4.7	C	0		
Nov. 3	8 a.	W	10	—	—	+0.8	-1.6	C	5	Cu	
	2 p.	W	15	—	—	+2.2	+3.5	C	5	Ci, S	
	8 p.	W	20	—	—	+1.0	+4.2	ENE	10	S	
Nov. 4	8 a.	WNW	20	—	—	+1.1	+2.4	SW	10	Cu, S	
	2 p.	WNW	15	—	—	+3.0	+1.2	SW	10	Ci-Cu, N, S	
	8 p.	S	2	—	—	-1.8	-3.5	SSW	10	≡ X S	
Nov. 5	8 a.	C	0	—	—	±0.0	-2.6	NE	3	Ci-Cu	
	2 p.	W	2	—	—	+1.8	+1.0	NNE	7	Ci-Cu	
	8 p.	WNW	15	—	—	-0.8	+2.3	NE	10	Cu, S	
Nov. 6	8 a.	WNW	8	—	—	+1.3	+4.1	Var.	10	N, S	
	2 p.	WNW	3	—	—	+3.3	+5.2	SSW	0		
	8 p.	C	0	—	—	+0.2	+1.9	SSW	3	S	
Nov. 7	8 a.	C	0	—	—	-0.1	-0.2	SSW	5	Ci-Cu, S	
	2 p.	W	3	—	—	+1.6	+3.7	SSW	3	Ci	
	8 p.	C	0	—	—	-1.8	-1.5	C	0		
Nov. 8	8.45 a.	C	0	—	—	+1.8	+1.5	—	0		
	2 p.	E	2	—	—	+1.9	+3.3	—	0		
	8 p.	WNW	6	—	—	-1.0	—	—	0		
Nov. 9	8 a.	WNW	10	—	—	+0.6	—	—	3	Cu	
	2 p.	NW	6	—	—	+3.0	—	—	10	Cu, N, S	
	8 p.	NNW	6	—	—	-1.0	—	—	10	≡ X	
Nov. 10	8 a.	WNW	5	—	—	+0.6	—	—	5	Cu	
	2 p.	WNW	6	—	—	+1.5	—	—	5	Ci, Cu, S	



Die Paulet-Insel von Norden gesehen.
+ Die Steinhütte.



Die Steinhütte auf der Paulet-Insel von Norden gesehen.



5974

WISSENSCHAFTLICHE ERGEBNISSE
DER SCHWEDISCHEN SÜDPOLAR-EXPEDITION
1901—1903

UNTER LEITUNG VON DR. OTTO NORDENSKJÖLD

BAND II. LIEFERUNG 4

METEOROLOGISCHE BEOBACHTUNGEN
DER SCHWEDISCHEN SÜDPOLAR-EXPEDITION

III

ZUSAMMENFASSUNG DER ALLGEMEINEN
METEOROLOGISCHEN RESULTATE

SOWIE

BEOBACHTUNGEN WÄHREND DER SCHLITTENFAHRT 30. SEPT.—4. NOV. 1902

BEARBEITET VON

GÖSTA BODMAN

MIT 62 TAFELN



STOCKHOLM
LITHOGRAPHISCHES INSTITUT DES GENERALSTABS
1910

A. ASHER & Co
BERLIN W

HAAR & STEINERT, A. EICHLER, SUCC:R
PARIS

DULAU & Co
LONDON W

Schwedische Südpolar-Expedition.

Dieses Werk erscheint in etwa 7 Bänden und wird in Abteilungen, welche je eine Monographie enthalten, publiziert. Der Text ist auf etwa 3000 Druckseiten mit ca. 300 Tafeln sowie zahlreichen Textfiguren und Karten veranschlagt. Die Abhandlungen werden in deutscher, englischer oder französischer Sprache gedruckt.

Bis jetzt sind folgende Lieferungen erschienen:

Band I. Reiseschilderung. Geographie. Kartographie. Hydrographie. Erdmagnetismus. Hygiene etc.

Lief. 1 und 2 (noch nicht gedruckt).

Lief. 3 und 4. EKELÖF, E. Die Gesundheits- und Kranken-Pflege. — Über »Präserven-Krankheiten«. Preis Mark 3.—.

Band II. Meteorologie.

Lief. 1. BODMAN, G. Das Klima als eine Funktion von Temperatur und Windgeschwindigkeit. Mit 1 Tafel. Preis Mark 4.—. (Für Subskribenten auf das ganze Werk Mark 3.—).

Lief. 2. BODMAN, G. Stündliche Beobachtungen bei Snow Hill. Mit 3 Tafeln und 1 Karte. Preis Mark 28.—. (Für Subskribenten Mark 22.—).

Lief. 3. BODMAN, G. Beobachtungen an Bord der »Antarctic« und auf der Paulet-Insel. Mit 1 Tafel und 1 Karte. Preis Mark 9.—. (Für Subskribenten Mark 7.—).

Lief. 4. BODMAN, G. Zusammenfassung der allgemeinen Resultate. Mit 62 Tafeln. Preis Mark 30.—. (Für Subskribenten Mark 24.—).

Preis des ganzen Bandes II: Mark 71.—. (Bei Subskription auf das ganze Werk Mark 56.—).

Band III. Geologie und Paläontologie.

Lief. 1. WIMAN, C. Die alttertiären Vertebraten der Seymourinsel. Mit 8 Tafeln. Preis Mark 10.—. (Für Subskribenten Mark 8.—).

Lief. 2. ANDERSSON, J. G. The Geology of the Falkland Islands. With 9 Plates and Maps. Preis Mark 10.—. (Für Subskribenten Mark 8.—).

Lief. 3. DUSÉN, P. Die tertiäre Flora der Seymourinsel. Mit 4 Tafeln. Preis Mark 5.—. (Für Subskribenten Mark 4.—).

Lief. 4. SMITH WOODWARD, A. On Fossil Fish-Remains. With 1 Plate. Preis Mark 2.—. (Für Subskribenten Mark 1.50).

Lief. 5. FELIX, J. Die fossilen Korallen. Mit 1 Tafel. Preis Mark 3.—. (Für Subskribenten Mark 2.—).

Lief. 6. KILIAN, W., et REBOUL, P. Les Céphalopodes Néocrétacés. Avec 20 planches. Preis Mark 18.—. (Für Subskribenten Mark 15.—).

Lief. 7. BUCKMAN, S. S. Fossil Brachiopoda. With 3 Plates. Preis Mark 5.—. (Für Subskribenten Mark 4.—).

Lief. 8. GOTHAN, W. Die fossilen Hölzer von der Seymour- und Snow Hill-Insel. Mit 2 Doppeltafeln. Preis Mark 5.—. (Für Subskribenten Mark 4.—).



Meteorologische Beobachtungen der schwedischen Südpolarexpedition.

III. Schlittenfahrt 30. Sept. 1902—4. Nov. 1902, Zusammenfassung der allgemeinen meteorologischen Resultate

bearbeitet von

Dr. GÖSTA BODMAN.

Schlittenfahrt 30. Sept. 1902—4. Nov. 1902.

Oktober 1902 unternahmen Nordenskjöld und Sobral zusammen mit dem Matrosen Jonassen eine Schlittenfahrt von Snow-Hill in südwestlicher Richtung, also längs der Ostküste von König Oscar II Land. In ziemlich gerader Linie ging die Fahrt von Snow-Hill, Lat. = S 64° 21', Long. = W 56° 59' bis zu Borchgrewings Nunatak vor Richthofens Tal Lat. = S 65° 55', Long. = W 62° 15'.

Die Abreise von Snow-Hill fand am 30. September 1902 und die Rückkehr am 4. November 1902 statt. Am 20. Oktober befanden sie sich an dem Punkte, an dem sie Kehrt machten. Die Fahrt nach Süden beanspruchte daher einige Tage mehr als der Rückmarsch.

Die Fahrt kann man hinsichtlich der Lage des Terrains in drei Teile teilen. Die Entfernung zwischen Snow-Hill und den Seehunds-Nunataks wurde auf einem Eis zurückgelegt, das man ohne Bedenken als Meereis bezeichnen muss. Der Abstand zwischen den Seehunds-Nunataks und Borchgrewings Nunatak dagegen schien nicht mit fließendem Meereis, sondern mit einem Eis bedeckt zu sein, von dem man infolge seiner grösseren Höhe annehmen musste, dass es auf fester Unterlage, auf dem Meeresboden ruhe.

Und schliesslich in der Zeit 18. Oktober—21. Oktober befand man sich auf einem viel höheren Niveau über dem Meeresspiegel.

1—002680 Schwedische Südpolar-Expedition 1901—1902

MAY 29 1933

Auf dieser Schlittenfahrt hatte Sobral Thermometer und Aneroidbarometer zur Ausführung meteorologischer Arbeiten mit sich.

Der Thermometer war ein kleiner Schleuderthermometer, den Sobral vor der Abreise mit dem Stationsthermometer verglich. Der Aneroidbarometer wurde sowohl vor der Abfahrt wie nach der Rückkehr mit dem Stationsbarometer verglichen. Die Korrekturen in diesen beiden Fällen waren, wie es sich zeigte, recht wesentlich verschieden, was aus folgende Tabelle hervorgeht:

Dat.	Stationsbarometer	Aneroidbar.	Korrekt.	Mittel
27. Sept.	744.24	750.10	- 5.86	- 5.93
28. »	753.98	759.90	- 5.92	
29. »	753.98	760.00	- 6.20	
7. Nov.	734.20	742.50	- 8.30	- 8.35
7. »	739.59	748.00	- 8.41	

Da kein Anlass zu der Annahme vorliegt, dass der Aneroidbarometer bei einer speziellen Gelegenheit eine augenblickliche Veränderung der Korrektur durchgemacht haben sollte, fand ich es für richtig anzunehmen, dass die Korrektur in dem betreffenden Zeitraum eine Veränderung durchgemacht habe, die proportional zur Zeit war.

Die Observationen wurden während des ganzen Zeitraums von Leutnant Sobral besorgt und die Resultate sind in untenstehender Tabelle angegeben.

Dat.	Uhr	Lufttemp.	Luftdruck	Windricht.	Windgeschw.	Bewölkung	Wolken Hydrometeore
Sept.							
30	2 p	- 8.8	747.0	C	—	10	—
	9 p	- 8.3	46.2	NNE	—	0	—
Okt.							
1	8 a	- 8.4	45.9	—	—	—	—
	2 p	- 6.1	45.1	C	0	10	—
	8 p	- 11.3	46.1	C	0	0	—
2	8.30 a	- 16.9	51.3	C	0	0	—
	2.15 p	- 10.6	49.9	NE	—	1	—
	8 p	- 16.9	47.5	NE	—	2	—
3	8 a	- 10.9	40.2	SW	—	6	—
	2 p	- 0.1	42.8	NNW	—	8	—
	8 p	- 4.4	44.5	NNW	—	2	—
4	8 a	- 9.4	41.7	C	0	10	—
	2 p	- 2.3	39.7	C	0	10	—
	8 p	- 9.4	35.7	C	0	10	Ni
5	9 a	- 5.6	36.2	SSW	10	10	+
	2 p	- 10.6	43.7	SW	12	10	+

Dat.	Uhr	Lufttemp.	Luftdruck	Windricht.	Windgeschw.	Bewölkung	Wolken Hydrometeore
Okt.							
5	7 p	-14.6	747.5	SW	4	2	Ni
6	9.30 a	-4.1	40.6	NNE	—	10	
	2 p	-1.6	40.1	C	0	9	Ci; Ci-S
7	7 p	-5.6	39.6	SW	—	9	Ni
	8 a	-12.9	49.4	C	0	1	Cu
	2 p	-9.4	52.0	NNE	—	1	Cu
8	9 p	-9.4	49.5	NW	—	—	A-S
	8 a	-11.9	49.5	C	0	2	
	2 p	-3.3	48.0	C	0	9	S-Cu
9	8 p	+2.5	47.4	WSW	8	—	
	8 a	-3.4	43.9	NW	—	9	Ni; Cu
10	Mittg	+4.4	—	—	—	—	—
	2 p	-0.4	41.4	C	0	9	Cu; S-Cu
	8 p	+1.6	27.9	C	0	5	A-Cu
11	8 a	+1.9	25.8	SE	—	4	Ni
	2 p	-11.9	41.2	SSE	—	—	≡
	4 p	-13.1	42.2	SSW	—	—	≡
12	8 p	-15.9	42.8	SSW	—	10	Ni
	8 a	-16.9	35.2	—	—	10	
	2 p	-13.4	29.2	NE	—	10	Ni
13	8 p	-9.4	21.3	NE	—	10	Ni
	9 a	-19.4	25.3	SW	—	—	‡
	2 p	-18.6	30.7	SW	5	7	Ci-S
14	8 p	-20.8	31.0	SW	—	7	A-Cu; Cu
	8 a	-27.1	31.3	C	0	4	Ci-S
	2 p	-21.9	28.1	NE	4	3	Ci; Ci-S
15	8 p	-27.0	26.9	C	0	5	Ci-S
	9 a	-22.1	27.1	SW	—	10	Ni
	2 p	-18.4	28.6	SW	5	6	A-S
16	8 p	-25.8	28.6	C	0	3	A-S
	8 a	-28.4	25.0	C	0	1	≡
	2 p	-23.0	27.5	SSW	4	10	Ni
17	8 p	-22.1	28.8	SW	5	10	Ni
	11 a	—	28.9	—	—	—	—
	Mittg	-20.3	29.7	SW	10	10	‡
18	2 p	-20.0	30.9	SW	10	10	‡
	8 p *	-25.6	30.9	SSW	—	3	S-Cu
	8.30 a	-22.5	28.9	SSW	4	10	×
	2 p	-21.9	27.4	SSW	—	10	‡
19	8 p	-24.6	26.9	SSW	—	9	S-Cu

* 6 p — Halo.

Dat.	Uhr	Lufttemp.	Luftdruck	Windricht.	Windgeschw.	Bewölkung	Wolken Hydrometeore
Okt.							
18	8.30 a	-22.5	725.3	SSW	5	5	Ci-S
	8 p	-22.1	08.8	NNE	—	10	≡
19	6 a	-23.1	06.7	—	—	—	—
	11 a	—	04.7	—	—	—	—
	2 p	-22.5	04.3	—	—	—	—
	8 p	-23.0	05.2	WSW	—	10	‡
20	10 a	-16.9	06.4	—	—	10	≡
	3 p	-14.9	07.6	WSW	—	10	≡
	8 p	-16.4	08.6	WSW	—	7	Ni
21	8 a	-13.5	12.6	WSW	—	4	—
	2 p	-13.0	—	SSW	4	5	—
	8 p	-21.3	34.8	SW	—	7	Ci-S, S-Cu
22	7 a	-23.6	34.5	C	0	—	—
	2 p	-17.1	35.5	C	0	2	Ci; Ci-S
	8 p	-18.4	36.5	SW	—	10	—
23	8 a	-16.9	37.7	SW	—	10	≡
	2 p	-14.6	37.4	SW	4	10	≡
	8 p	-15.1	35.4	C	0	10	≡
24	8 a	-17.3	33.9	C	0	10	×
	2 p	-16.0	33.4	WSW	3	10	×
	9 p	-19.1	32.4	SW	10	10	×
25	Mittg	—	28.3	—	—	—	—
	2 p	—	28.7	—	—	—	—
	8 p	—	32.3	—	—	—	—
26	10 a	—	34.3	—	—	—	—
	2 p	—	34.3	—	—	—	—
	4 p	—	34.3	—	—	—	—
	6 p	—	35.3	—	—	—	—
	8 p	—	36.2	—	—	—	—
27	9 a	—	36.2	—	—	—	—
	2 p	-13.8	36.2	SW	5	10	Ni
	6 p	-16.5	33.2	—	—	—	—
	8 p	-19.3	32.2	C	0	10	S
28	8 a	-10.5	28.6	SW	8	10	‡
	10 a	—	29.1	SW	—	—	—
	2 p	-16.9	29.3	SW	10	10	‡
	8 p	-18.0	31.1	SW	—	10	‡
29	8 a	-15.9	34.0	SW	12	10	‡
	2 p	-13.4	36.0	SW	12	10	‡
	9 p	-14.6	39.0	SW	8	10	—
30	7.30 a	-13.4	40.0	SW	5	9	A Cu; S-Cu

Dat.	Uhr	Lufttemp.	Luftdruck	Windricht.	Windgeschw.	Bewölkung	Wolken Hydrometeore
Okt.							
30	2 p	-12.3	741.0	WSW	5	5	Ci; Ci-S
	9 p	-21.1	38.5	C	0	6	Ci-S
31	8 a	-16.8	37.9	SW	—	10	S; Ni
	3 p	-11.9	39.9	SW	—	10	Ni
	8 p	-14.1	42.9	SSW	—	10	*
Nov.							
1	8 a	-12.3	44.3	SSW	—	10	A-S
	2 p	-12.9	44.8	SW	—	10	
	9 p	-13.4	44.8	SW	—	10	*
2	8 a	-13.1	44.8	SW	—	10	*
	2 p	-12.5	43.8	SW	—	10	Ni
	8 p	-13.4	43.8	SW	—	10	Ni
3	9 a	-15.1	41.7	SW	—	10	Ni
	2 p	-13.1	39.7	SW	10	4	Ni
	9.30 p	-14.4	37.7	SW	—	—	—

Die Temperaturen sind natürlich korrigiert und in Celsiusgraden ausgedrückt.

Der Luftdruck ist ebenfalls der auf 0° korrigierte Druck.

Die Windrichtung ist astronomisch rechtweisend angegeben.

Die Windgeschwindigkeit ist in Metern per Sekunde ausgedrückt; sie ist jedoch nicht mit dem Anemometer gemessen, sondern nur abgeschätzt. Bei der Übung, die wir im allgemeinen bei Snow-Hill in der Abschätzung der Windgeschwindigkeit in m/s durch unzählige Vergleiche mit dem Anemometer erlangt hatten, dürften die abgeschätzten Werte als ziemlich zuverlässige gelten.*

Die Bewölkung ist nach üblicher Art geschätzt, nach der Skala 0—10, und für die Hydrometeore werden dieselben Bezeichnungen angewandt wie in den vorhergehenden Teilen dieser Arbeit * = Schnee, † = treibender Schnee, ≡ = Nebel.

Es ist ja nicht möglich, aus dieser kleinen Observationsserie tiefere Schlüsse zu ziehen. Ich will jedoch auf einige Vergleiche hinweisen, die sich mit Hilfe dieses Materials vornehmen lassen.

* Bei den stärksten Stürmen wurden überhaupt keine Beobachtungen angestellt.

Nach Aufzeichnungen im Tagebuch Nordenskjolds herrschte

10.—11. Okt. mittelstarker Wind,
 17. > Sturm,
 19., 20. > Sturm,
 19. > wurde das Zelt vom Sturme zerrissen,
 25.—26. > wurden wir vom Sturm im Zelte eingeschlossen,
 28.—29. > war es wieder stürmisch,
 1.—3. Nov. wehte starker Wind.

Wende ich mich zuerst dem Luftdruck zu, so liegt kaum eine Möglichkeit vor, irgend einen Schluss hinsichtlich seiner Veränderung bei einer Versetzung in südwestlichen Richtung zu ziehen. Dies vor allem aus dem entscheidenden Grunde, dass die Schlittenexpedition nicht die ganze Zeit auf dem gleichen Niveau verblieb, sondern auf der südlichen Hälfte ihrer Wanderung sich auf einer Eisbarriere und dann auf einem Gletscher befand, deren Höhen über dem Meeresspiegel in keiner Weise gemessen wurden.

Im Gegenteil halte ich das Luftdrucksmaterial für verwendbar, wenn es sich darum handelt, eine annähernde Schätzung der Höhe der Barriere und des Gletschers vorzunehmen, wenn man annimmt, dass der Unterschied im mittleren Luftdruck zwischen den verschiedenen Plätzen der Schlittentour und Snow-Hill nur einen so geringen Wert erreichte, dass derselbe hierbei ausser Acht gelassen werden kann.

Zu diesem Zweck habe ich für die drei obenerwähnten Terrainabschnitte der Schlittenfahrt einen Vergleich angestellt zwischen ihrem Luftdruck und dem bei Snow-Hill notierten.

In folgender Tabelle habe ich den Luftdruckunterschied angegeben nämlich den Luftdruck der Schlittentour minus dem von Snow-Hill, also die Korrektion, die man bei den Snow-Hill-Werten anbringen muss, um die Werte der Schlittentour zu erhalten.

Meereis auf der Wegfahrt	+ 1.8 mm	}	Mittel
» » » Heimreise	+ 1.4 mm		+ 1.6 mm
Barriere » » Wegfahrt	— 2.0 mm	}	— 1.4 mm
» » » Heimreise	— 0.8 mm		— 22.6 mm
Gletscher	— 22.6 mm		

Dass man längs des Meereises einen durchgehends höheren Barometerstand hatte als bei Snow-Hill, findet seine natürliche Erklärung in dem Umstand, dass ja der Barometer bei Snow-Hill in einer Höhe von 12 m über dem Meeresspiegel aufgestellt war. Die Korrektion müsste also infolge dieses Umstands positiv sein, wenn sie auch im Durchschnitt etwas höher ist, als man erwartet.

Auf der Eisbarriere hat die Schlittentour durchgehends, natürlich jedoch mit einigen Ausnahmen, niedrigeren Luftdruck als bei Snow-Hill, so dass der Unterschied im Durchschnitt 1,4 mm beträgt. Betrag der Unterschied beim Meereise + 1,6 mm. und nun auf der Barriere — 1,4 mm, so ist die Höhendifferenz zwischen Meereis und Barriere in mm ausgedrückt = 1,6 + 1,4 = 3,0 mm. Um mit diesem Resultat die Höhe abzuschätzen, muss man berücksichtigen, dass sich die Temperatur um — 15° herum hielt und der Luftdruck ungefähr 735 mm betrug. Unter solchen Umständen entspricht eine Veränderung von 1 mm einer Verschiebung in vertikaler Richtung von 10,3 m.

Dies ergäbe also eine *Barrirenhöhe* = 31 m oder *in runder Zahl* 30 m.

Betrachten wir nun den Gletscher bei Borchgrewings Nunatak, so hatte man dort einen 22,6 mm niedrigeren Luftdruck als bei Snow-Hill, d. h. einen $22,6 + 1,6 = 24,2$ mm niedrigeren als auf dem Meereise; man erhält also für diesen Gletscher eine Höhe = 250 m.

Was die Lufttemperatur angeht, so kann man sich auf solche Einzelheiten wie Tagesmedia hier gar nicht einlassen, da die Veränderungen hier zu stark hervortreten. Statt dessen habe ich Perioden zu 5 Tagen zusammengefasst und das arithmetische Mittel aus den vorhandenen Observationen genommen. Die Temperaturzahlen von Snow-Hill ergeben in den entsprechenden Stunden andere Durchschnittswerte für die 5-tägigen Perioden, und die beiden Serien vergleicht man alsdann miteinander.

Tab. 2.

1902	Schlittentour	Snow-Hill	Diff.
Sept. 31—Okt. 4	— 8.8°	— 2.7°	— 6.1
Okt. 5—Okt. 9	— 5.5°	— 3.3	— 2.2
Okt. 10—Okt. 14	— 17.4°	— 13.5	— 4.1
Okt. 15—Okt. 19	— 23.0°	— 19.9	— 3.1
Okt. 20—Okt. 24	— 16.9°	— 15.3	— 1.6
Okt. 25—Okt. 29	— 16.1°	— 15.0	— 1.1
Okt. 30—Nov. 3	— 14.0°	— 14.6	+ 0.6

Eine Symmetrie für die Zeit vor und nach dem Antritt der Rückkehr lässt sich aus dieser Serie nicht ersehen. Mit Ausnahme der letzten fünf Tage, der Rückkehr auf dem Meereise von den Seehunds-Nunataks nach Snow-Hill, erhält man jedoch als Regel, dass man auf der Schlittentour es kälter hatte als bei Snow-Hill. Dieser Temperaturgradient ist wohl nicht ohne weiteres eine direkte Funktion des Abstandes. Eher würde ich glauben, dass er ziemlich bedeutend variiert, je nachdem gerade Windstille oder SW-Winde herrschen. Ein Vergleich zwischen den beiden Serien deutet unbedingt darauf hin, dass bei Windstille oder relativer Windstille das Sinken der Temperatur bei einem weiteren Vordringen nach Süden viel grösser ist, als wenn SW-Winde wehen.

Es ist ja ganz natürlich, dass wenn die Luft sich in sturmartiger Bewegung und heftigem Wechsel befindet, grosse Temperaturveränderungen von einem Ort zum andern ausgeschlossen sind. Auf der Wegfahrt war das Wetter hinsichtlich der Windverhältnisse relativ hübsch, und da war auch der Temperaturunterschied ziemlich gross, im Durchschnitt 3° à 4° , auf der späteren Hälfte der Reise, die ja auch von einer anhaltenden SW-Sturmperiode gekennzeichnet wird, vermindert er sich auf ungefähr 1° .

Um schliesslich noch einige Worte über die Windbeobachtungen auf dieser Schlittentour zu sagen, unterscheiden sie sich in ihren Hauptrichtungen im grossen ganzen nicht von denen bei Snow-Hill. Dies ist von ganz besonderem Interesse, weil dies dafür spricht, dass die orographischen Details in der Umgebung von Snow-Hill die dort beobachteten Windrichtungen nur wenig beeinflusst haben. Nur in einigen Fällen wurden auf der Schlittentour Winde beobachtet, die bei Snow-Hill kein Gegenstück hatten, so z. B. am 7. Oktober 1902, wo man bei den Seehund-Nunataks nachmittags nordöstliche und nordwestliche, wenn auch sehr schwache, Winde beobachtete, während man bei Snow-Hill kein Gegenstück zu ihnen wahrnahm.

Am 8. Oktober hatte man auf der Schlittentour einen WSW-Wind von 8 m/s, der bei Snow-Hill nicht wahrgenommen wurde. Und schliesslich ist im Journal der Schlittenexpedition für den Nachmittag des 13. Oktober ein NE-Wind von 4 m/s notiert, von dem man bei Snow-Hill nichts merkte; daselbst wurde nur eine Geschwindigkeitsabnahme der SW-Winde beobachtet.

Abgesehen von diesen Ausnahmen kann man alsdann die Veränderungen der Windrichtung auf der Schlittentour in ihren Einzelheiten in der Windtabelle für Snow-Hill verfolgen.

Infolge der Richtung, welche die Schlittenexpedition eingeschlagen, nach SW von Snow-Hill, und da die Barometerminima da unten im grossen ganzen in der Richtung SW → NE sich bewegen dürften, ist ja zu erwarten, dass ein Phänomen, das auf der Schlittentour beobachtet wurde, bei Snow-Hill später auftreten werde. (Sieh Tab. 3).

Da man aber auf der Schlittenfahrt ja nur wenige Male am Tage Beobachtungen anstellte, ist es klar, dass diese Verspätung von z. B. einer Veränderung der Windrichtung oft gar nicht wahrgenommen werden kann bei einem Vergleich zwischen den Observationsjournalen. Und wenn man sie bemerkt, so liegt die grösste Wahrscheinlichkeit vor, dass man einen zu kleinen Zeitunterschied erhält.

Tab. 3.

Wind	Auf der Schlitten- tour beobachtet Dat. Uhr	Bei Snow-Hill beobachtet Dat. Uhr	Verspätung
C	7 : 8 a	7 : 7 p	11 Stunden
C	13 : 8 a	13 : 11 a	3 »
C	14 : 8 p	15 : 1 a	5 »
SSW	15 : 2 p	15 : 4 p	2 »
NNE	18 : 8 p	19 : 2 a	6 »
SW	22 : 8 p	23 : 6 a	10 »
C	27 : 8 p	28 : 2 a	6 »
C	30 : 9 p	30 : 12 p	3 »

Zur Erläuterung sei ein Beispiel angeführt. Am 13. Oktober um 8 a wurde auf der Schlittenexpedition »C« notiert, nachdem den ganzen 12. Oktober SW-Winde geherrscht hatten. Auch bei Snow-Hill wehten am 12. Oktober Winde vom SW-Quadranten, am Morgen des 13. fangen sie an abzunehmen und gegen 11 Uhr ist ihre Geschwindigkeit auf < 2 m/s heruntergegangen, d. h. sie sind praktisch genommen zu Ende. Die Verspätung beträgt also drei Stunden. Es ist jedoch die Möglichkeit vorhanden, dass auf der Schlittenexpedition den SW-Winden Windstille in irgend einer Stunde zwischen 10 p am 12. und 7 a am 13. folgte, dies aber nicht notiert ist. War dies der Fall, dann ist der Zeitunterschied also grösser.

Zwar verschieben sich die Minima und daher auch der Witterungsumschlag mit sehr variierender Geschwindigkeit. Aber man darf die Zeitangaben in der letzten Kolonne der Tab. 3 keineswegs als Exponenten einer variierenden Geschwindigkeit für die Luftdruckminima auffassen.

Zusammenfassung der allgemeinen meteorologischen Resultate.

Luftdruck.

Die jährlichen Veränderungen des Luftdrucks habe ich in Taf. 1 veranschaulicht. Die gröbere Linie in der Figur gibt den mittleren Luftdruck für die verschiedenen Monate an. Da sich jedoch die Beobachtungen auf 20 Monate erstrecken, die Kurve aber nur für ein Kalenderjahr, Januar—Januar, gilt, habe ich natürlich für einen Teil Monate das vorhandene doppelte Observationsmaterial in Anwendung gebracht. So sind die Monate März—Oktober solche Durchschnittszahlen der beiden Jahre 1902 und 1903.

Ein eigentlich ausgeprägter Charakter für die Jahreskurve des Luftdrucks geht aus dieser Zahlen nicht direkt hervor. Es ist eine zu kurze Observationszeit; die Zufälligkeiten spielen noch eine zu grosse Rolle. Am besten ergibt sich dies aus Tab. 4, welche die einzelnen Monatsmedien enthält, aus denen man ersieht, wie in den beiden verschiedenen Jahren für denselben Monat der Unterschied des mittleren Luftdrucks bis zu 6 à 7 mm beträgt.

Tab. 4. Jährlicher Gang des Luftdrucks

(700 mm + . . .).

	Jan.	Febr.	März	Apr.	Mai	Juni	Juli	Aug.	Sept.	Okt.	Nov.	Dez.
1902	—	—	42.78	44.28	39.54	45.18	42.11	35.75	39.55	36.24	43.76	43.11
1903	43.66	37.81	35.60	38.32	41.04	39.86	35.39	39.70	41.08	37.19	—	—
Mittel	43.66	37.81	39.19	41.30	40.29	42.52	38.75	37.71	40.31	36.71	43.76	43.11
Diff. v. Mittel	+ 3.26	- 2.61	- 1.23	+ 0.88	- 0.13	+ 2.10	- 1.67	- 2.71	- 0.11	- 3.71	+ 3.34	+ 2.69
Ausgegl. Diff.	+ 1.65	- 0.80	- 1.05	+ 0.10	+ 0.68	+ 0.60	- 0.90	- 1.80	- 1.66	- 1.05	+ 1.41	+ 3.00
Belgien > >	+ 0.1	- 4.6	- 6.0	- 4.1	+ 1.1	+ 4.8	+ 3.5	+ 1.0	- 0.1	+ 0.1	+ 1.5	+ 2.8

Gleicht man ein Monatsmedium in soweit aus, dass man auch die unmittelbar angrenzenden Monatszahlen zur Geltung kommen lässt, dann kann man einigermaßen einen Überblick über den jährlichen Verlauf des Luftdrucks erhalten. Zu dieser

Berechnung habe ich mich bei den direkten Abweichungen vom Jahresmittel der üblichen Formel $b = \frac{a + 2b + c}{4}$ bedient.

Diese ausgeglichenen Abweichungen vom Jahresmedium stimmen mit den Beobachtungen überein, die Arktowski von der Belgica-Expedition mitzurückbrachte, dass nämlich die Jahreskurve auf das Vorkommen von zwei Maxima hinweist, und zwar um die Zeit der Sonnenwenden sowie von Minima in der Zeit der Tag- und Nachtgleichen.

Ein Unterschied zwischen den Snow-Hill-Zahlen und denen der Belgica zeigt sich jedoch in den Zeiten der Hauptmaxima und Hauptminima. Das Hauptmaximum von Snow-Hill fällt in die Zeit der Sommersonnenwende, das der Belgica in die Zeit der Wintersonnenwende, sein Hauptminimum hat Snow-Hill um die Herbstnachtgleiche, während die Belgica ihr Hauptminimum zur Zeit der Frühlingsnachtgleiche notiert.

Wie Meinardus im Bericht über die meteorologischen Resultate der Gauss-Expedition gezeigt hat, scheint es im allgemeinen für die antarktischen Gegenden zu gelten, dass der Luftdruck wirklich eine doppelte Jahresperiode mit Hauptmaximum um die Wintersonnenwende im Dezember und mit Hauptminimum um die Herbstnachtgleiche im September aufweist. Die Discovery-Expedition in Victoria-land zeigt jedoch nur eine einfache Variation mit Maximum im März und Minimum im September.

Was die Grösse der Luftdruckveränderungen angeht, so lässt sich dieselbe am besten übersehen, wenn man sie in verschiedener Weise von verschiedenen Gesichtspunkten aus angibt. Berücksichtigt man nur das Durchschnittsjahr, das man aus den beiden Jahren 1902 und 1903 erhält, so bekommt man einen Unterschied zwischen dem höchsten Monatsmittel (743,8 mm) und dem niedrigsten (736,7 mm) von 7,1 mm welches also *die mittlere jährliche Amplitude* ist.

Für die einzelnen Monate habe ich in Tab. 5 und Tab. 6 die Maxima und Minima des Luftdrucks teils als Durchschnittszahlen für jeden Monat teils als absolute Extreme angegeben.

Die mittlere tägliche Amplitude, die man als Differenz zwischen Durchschnittsmaximum und Durchschnittsminimum erhält, schwankt zwischen 3,6 mm (Dezember) und 7,9 mm (Juni) und zeigt eine deutliche Abhängigkeit von der Jahreszeit mit Minimum im Sommer und Maximum im Winter.

In Taf. 1 habe ich den Verlauf von Durchschnittsmaximum und Durchschnittsminimum graphisch veranschaulicht. Wie zu erwarten, spiegeln diese Linien die Kurve wieder, welche die Monatsmedien angibt.

Auch die absoluten Maxima und Minima habe ich graphisch in dasselbe Bild eingefügt wie die anderen jährlichen Luftdruckveränderungen. Wie natürlich folgen die Kurven den vorhergehenden.

Tab. 5. Mittlere tägliche Extreme des Luftdrucks.

	1902			1903			Mittel von 1902 und 1903		
	Mittl. Max.	Mittl. Min.	Mittl. Ampl.	Mittl. Max.	Mittl. Min.	Mittl. Ampl.	Mittl. Max.	Mittl. Min.	Mittl. Ampl.
Januar	—	—	—	745.51	741.83	3.68	745.51	741.83	3.68
Februar	—	—	—	40.20	34.96	5.24	40.20	34.96	5.24
März	744.24	738.37	5.87	38.15	32.96	5.19	41.20	35.67	5.53
April	47.40	40.82	6.58	41.63	35.14	6.49	43.51	37.98	5.53
Mai	42.68	36.42	6.26	44.56	37.52	7.04	43.62	36.97	6.65
Juni	49.81	40.87	8.94	43.01	36.23	6.78	46.41	38.55	7.86
Juli	44.83	38.95	5.88	39.61	31.28	8.33	42.22	35.12	7.10
August	39.73	31.10	8.63	43.19	36.24	6.95	41.46	33.67	7.79
September	42.92	35.89	7.03	44.31	37.88	6.43	43.61	36.88	6.73
Oktober	39.30	33.20	6.10	41.27	33.22	8.05	40.28	33.21	7.07
November	45.77	41.80	3.97	—	—	—	45.77	41.80	3.97
Dezember	44.84	41.26	3.58	—	—	—	44.84	41.26	3.58

Tab. 6. Absolute Extreme des Luftdrucks.

	1902			1903			Mittel von 1902 und 1903		
	Abs. Max.	Abs. Min.	Abs. Ampl.	Abs. Max.	Abs. Min.	Abs. Ampl.	Abs. Max.	Abs. Min.	Abs. Ampl.
Januar	—	—	—	757.7	728.0	29.7	757.7	728.0	29.7
Februar	—	—	—	51.0	23.6	27.4	51.0	23.6	27.4
März	758.5	715.6	42.9	47.4	21.3	26.1	55.0	18.4	36.6
April	61.5	18.5	43.0	51.2	22.2	29.0	56.4	20.3	36.1
Mai	55.0	21.7	33.3	61.3	21.6	39.7	58.2	21.6	36.6
Juni	61.0	27.3	33.7	57.0	08.8	48.2	59.0	18.0	41.0
Juli	54.9	23.7	31.2	56.3	14.5	41.8	55.6	19.1	36.5
August	61.1	21.6	39.5	61.6	14.1	47.5	61.4	17.8	43.6
September	57.4	19.5	37.9	61.0	28.0	33.0	59.2	18.7	40.5
Oktober	52.4	20.4	32.0	55.2	09.5	45.7	53.8	14.9	38.9
November	57.2	20.1	37.1	—	—	—	57.2	20.1	37.1
Dezember	57.3	25.6	31.7	—	—	—	57.3	25.6	31.7

Im allgemeinen betragen die Maxima für die verschiedenen Monate 750 à 760 mm, und die Minima halten sich um 710 à 720 mm herum. August 1903 zeigt das absolute Maximum von 761,4 mm, während das Minimum, 708,8 mm, in den Juni 1903 fällt, also *eine absolute Amplitude von 52,6 mm*. In den verschiedenen Monaten wechseln die Amplituden recht beträchtlich, nämlich zwischen 26,1 und 48,2 mm.

zeigen jedoch im Durchschnittsjahr eine Regelmässigkeit in der Variation, die sich dem Verlauf der mittleren täglichen Amplitude anschliesst, also mit der geringsten Amplitude im Sommer und der grössten im Winter.

Für Snow-Hill ist also der Sommer die Jahreszeit, welche hinsichtlich des Barometers am beständigsten ist; Snow-Hill folgt hierin der gewöhnlichen Regel. Bei der deutschen Gauss-Expedition hat man aus ähnlichen Beobachtungen von Differenzen zwischen Maxima und Minima den Herbst als die Jahreszeit mit den geringsten Veränderungen des Luftdrucks gefunden.

Nachdem ich mit diesen Daten den Charakter der Barometerveränderung während der längeren Zeitperioden, Jahr und Monat, angegeben habe, will ich mit einigen Worten und Zahlen auch die Schwankung an den verschiedenen Tagen, also die tägliche Amplitude beleuchten.

Diese erreichte im allgemeinen ihre höchsten Werte in den kälteren Monaten mit einem Maximum von 25,6 am 3. Juni 1903 bei einer Steigung an ein und demselben Tage von 708,8 mm auf 734,4 mm. Am nächsten kommt der 23. Oktober 1903 mit einer Amplitude von 25,3 mm sowie ausserdem 6 Tage mit Amplituden zwischen 20 und 25 mm. Alle diese Tage fielen in die Wintermonate, nämlich:

1902 11. Mai Amplitude = 24,9 mm 1902 15. Aug. Amplitude = 23,9 mm
 » 18. Juni » = 23,9 » » 17. » » = 21,1 »
 » 19. » » = 21,2 » 1903 26. Juli. » = 21,4 »

Tab. 7. Die höchsten Tagesamplituden des Luftdrucks.

	Jan.	Febr.	März	April	Mai	Juni	Juli	Aug.	Sept.	Okt.	Nov.	Dez.
1902	—	—	18,0	16,6	24,9	23,9	19,2	23,9	13,6	18,2	11,0	9,2
1903	11,6	12,8	13,9	16,8	16,8	25,6	21,4	16,6	16,3	25,3	—	—
Mittel	11,6	12,8	16,0	16,7	20,9	24,8	20,3	20,3	15,0	21,6	11,0	9,2

Die Werte für die höchsten Amplituden in jedem Monat habe ich in Tab. 7 angegeben. Wie aus den vorhergehenden Tabellen mit Wahrscheinlichkeit zu erwarten ist, fallen also die schnellsten und grössten Luftdruckveränderungen in den Winter und sind dann ungefähr doppelt so gross wie im Sommer.

Genauer tritt dieser Unterschied zwischen den Jahreszeiten in Tab. 8 zu Tage. Ich habe daselbst sowohl für die verschiedenen Jahreszeiten wie für das Jahr im Durchschnitt die Anzahl Amplituden verschiedener Grösse angegeben, die im Durchschnitt in einem Monat eintrifft. Ein deutlicher Unterschied zeigt sich dann, wenn man 8 mm als Grenze zwischen niedrigen und hohen Amplituden setzt.

Bei den niedrigen Amplituden zeigt der Sommermonat ein Maximum von 27,7 mm und der Winter ein Minimum von nur 19,2 mm, während Herbst und Frühling

untereinander ungefähr den gleichen Wert 22,7 haben, der sich vom Jahresdurchschnitt 23,1 nur wenig unterscheidet.

Bei den hohen Amplituden muss man ein umgekehrtes Verhältnis finden und erhält für den Sommer 2,3, grösste Anzahl im Winter 11,5, Herbst und Frühjahr 7,8 ungefähr wie fürs Jahr (7,3).

Tab. 8. Zahl der Tage (eines Monats) mit Tagesamplituden des Luftdrucks von . . . mm.

	0-4	4-8	8-12	12-16	> 16	0-8	> 8	»Gauss«	
								0-8	> 8
Herbst	8.8	13.8	5.5	1.3	1.0	22.6	7.8	25.0	5.7
Winter	9.2	10.0	5.0	4.3	2.2	19.2	11.5	21.0	9.7
Frühling	11.5	11.2	5.7	1.7	0.5	22.7	7.9	19.7	10.7
Sommer	16.0	11.7	2.0	0.3	—	27.7	2.3	25.0	5.0
Jahr	11.4	11.7	4.5	1.9	0.9	23.1	7.3	22.6	7.7
»Gauss»Jahr	11.8	10.8	3.7	2.3	1.7	22.6	7.7	—	—

In obenangeführter Tabelle habe ich einige Vergleiche mit ähnlichen statistischen Resultaten der deutschen Südpolarexpedition angegeben, der einzigen, von der meines Wissens derartige vorliegen.

Ein Durchschnittsmonat für das ganze Jahr zeigt für beide Plätze im grossen ganzen das ebenso häufige Vorkommen der verschiedenen grossen täglichen Amplituden, nämlich 23 Tage mit einer Amplitude von weniger als 8 mm, 7 à 8 Tage mit einer Amplitude gleich oder grösser als 8 mm.

Vor der »Gauss«-Expedition erhält man jedoch nicht den bei Snow-Hill ausgeprägten scharfen Kontrast zwischen Winter und Sommer mit Frühling und Herbst als untereinander gleichartigen Übergangszeiten zwischen den beiden Extremen.

Bei der Überwinterung der »Gauss« sind Sommer und Herbst unter einander vom selben Typus mit einem Minimum grosser Veränderungen, und ebenso sind Winter und Frühling ziemlich gleich mit ungefähr doppelt so häufigem Vorkommen grosser Veränderungen als in den beiden anderen wärmeren Jahreszeiten.

Die grösste Schwankung bei der »Gauss« betrug bis zu 33,3 mm, und im ganzen wurden 4 Amplituden von mehr als 20 mm beobachtet. Die maximalen Amplituden stimmen also mit denen von Snow-Hill, 8 an der Zahl über 20 mm, aber auf zwei Winter verteilt, ziemlich überein.

Zur Ergänzung meiner Angaben hinsichtlich der Luftdruckveränderungen habe ich das 20 Monate umfassende Material von Snow-Hill in der Absicht bearbeitet, einige Zahlen über die interdiurne Luftdruckschwankung anführen zu können. Die

Ergebnisse dieser Statistik, die unten folgenden Ziffern, sind anfänglich Bearbeitungen der täglichen Durchschnittszahlen der Lufttemperatur. Sie sind also keine Resultate der detaillierteren Methode, die mit Stunde nach Stunde rechnet, sondern beziehen sich nur auf die Veränderung der Durchschnittszahl des Luftdrucks beim Übergang von einem Tag zum folgenden.

In den Tabellen 9 und 10 sind die Resultate angegeben, in Tab. 9 für jeden der 20 Monate, in Tab. 10 für die Monate und die Jahreszeiten eines Durchschnittsjahrs, berechnet aus der vorhergehenden Tabelle.

Tab. 9. Interdiurne Veränderlichkeit des Luftdrucks.

	Grösste positive Änderung	Grösste negative Änderung	Mittel von positiven Änderungen	Mittel von negativen Änderungen	Mittel von sämtl. Änderungen
1902					
März	9.3	13.5	4.2	6.1	4.8
April	11.6	11.3	5.0	3.6	4.2
Mai	9.7	15.2	5.0	4.4	4.7
Juni	14.8	14.9	4.6	5.6	5.0
Juli	12.5	12.7	3.4	4.4	3.7
August	14.2	21.2	5.1	7.0	5.9
September	9.0	10.6	5.1	5.1	5.1
Oktober	8.0	7.8	3.4	3.2	3.3
November	8.0	13.4	3.2	3.1	3.1
Dezember	9.3	6.4	3.2	3.1	3.1
1903					
Januar	5.5	8.5	3.2	2.9	3.0
Februar	10.4	10.9	4.2	4.4	4.3
März	8.1	12.1	3.7	4.1	3.9
April	10.1	11.6	4.3	4.7	4.5
Mai	9.6	11.2	4.8	4.6	4.7
Juni	25.3	14.5	4.4	4.2	4.3
Juli	15.8	11.7	5.5	4.4	5.0
August	17.3	17.2	5.3	5.3	5.3
September	15.1	16.7	3.9	5.3	4.6
Oktober	14.6	19.9	5.7	4.5	5.1

In den beiden ersten Kolonnen sind die maximalen Veränderungen teils positiv als Zunahme des Luftdrucks von einem Tag zum andern teils negativ angegeben. Trotz Ausnahmen merkt man auch hier, wie die warme Jahreszeit die barometrisch ruhigste ist. In keinem der Sommermonate betrug die maximale Veränderung des Tagesmittels mehr als 11°. Die absolut grösste Schwankung war eine Steigung um 25,3 mm, von 720,7 mm, als Durchschnitt für den 3. Juni 1903, auf 746,0 mm, den

Tab. 10. Interdiurne Veränderlichkeit des Luftdrucks.

Mittel von 1902 und 1903.

	Grösste positive Änderung	Grösste negative Änderung	Mittel von positiven Änderungen	Mittel von negativen Änderungen	Mittel von sämtl. Änderungen
	mm.	mm.	mm.	mm.	mm.
Januar	5.5	8.5	3.2	2.9	3.0
Februar	10.4	10.9	4.2	4.4	4.3
März	8.7	12.8	4.0	5.1	4.4
April	10.9	11.5	4.7	4.2	4.4
Mai	9.7	13.2	4.9	4.5	4.7
Juni	20.1	14.7	4.5	4.9	4.7
Juli	14.2	12.2	4.5	4.4	4.4
August	10.8	19.2	5.2	6.2	5.6
September	12.1	13.7	4.5	5.2	4.9
Oktober	11.3	13.9	4.6	3.9	4.2
November	8.0	13.4	3.2	3.1	3.1
Dezember	9.3	6.4	3.2	3.1	3.1
Herbst	—	—	4.53	4.60	4.50
Winter	—	—	4.73	5.17	4.90
Frühling	—	—	4.10	4.07	4.07
Sommer	—	—	3.53	3.37	3.47
Jahr	—	—	4.22	4.32	4.23

Durchschnitt für den folgenden Tag, in der Zeit also zusammenfallend mit dem Datum für die grösste tägliche Amplitude.

Der grösste Barometerfall betrug 21,2 mm, von 757,9 mm am 16. August 1902 auf 736,7 mm am darauf folgenden Tage.

In den drei letzten Kolonnen derselben Tabellen, 9 und 10, sind für Monat und Jahreszeiten der Durchschnitt sämtlicher Zunahmen, sämtlicher Abnahmen und dieser beiden zusammen notiert. Wie vorausszusehen, zeigt der Sommer die niedrigsten Schwankungen, im Durchschnitt 3,5 mm, der Winter die höchsten, bis zu 4,9 mm interdiurne Veränderung des Luftdruckmittels.

Ein scharf ausgeprägter Unterschied in der Grösse lässt sich bei Zunahme und Abnahme kaum notieren, mit Ausnahme für den Winter, wo die negativen Veränderungen grösser sind als die positiven.

Die Einzelheiten der Grösse der verschiedenen Schwankungen gehen aus Tab. 11 hervor. In Gruppen, von denen jede einzelne 4 mm umfasst, habe ich für die verschiedenen Jahreszeiten angegeben, wie viele Veränderungen der verschiedenen Grössen jeden Monat im Durchschnitt vorkommen.

**Tab. II. Zahl der interdiurnen Änderungen (eines Monats) des Luftdrucks
von mm.**

	0—4	4—8	8—12	12—16	> 16
Herbst	15.3	9.5	4.8	0.7	—
Winter	15.5	9.8	2.7	1.7	1.0
Frühling	17.8	9.3	2.0	1.0	0.3
Sommer	19.8	8.3	2.0	—	—
Jahr	17.1	9.2	2.9	0.8	0.3
»Gauss« Jahr	17.1	8.2	3.1	1.5	0.5

Dass der Sommer die kleinsten und der Winter die grossen Veränderungen aufweist, lässt sich ja erwarten. Die Zahlen für Herbst und Frühling ergeben das Resultat, dass der Herbst niemals eine grössere Veränderung als 16 mm von einem Tagesmedium bis zum nächsten aufweist, aber um so zahlreichere Schwankungen von der Grösse 8—12 mm; der Frühling dagegen, wenn auch nur ein Monat von dreien, hat Vertreter der maximaleren Schwankungen, aber nur etwas mehr als halb so viele Fälle von 8—12 mm wie der Herbst.

Der Herbst mit seinen relativ gleichgrossen Veränderungen ergibt daher auch eine grössere Durchschnittszahl (4,5 mm) als der Frühling (4,1 mm) mit seinen mehr sporadisch auftretenden Maximalschwankungen.

Die entsprechenden Häufigkeitszahlen der »Gauss«-Expedition zeigen, dass in jenen Gegenden die maximalen Veränderungen von mehr als 8 mm etwas gewöhnlicher sind wie bei Snow-Hill. Der grösste Sprung zwischen zwei aufeinanderfolgenden Tagesmedien war bei der deutschen Expedition 22,1 mm, ein Wert, der nicht so unwesentlich bei Snow-Hill überschritten wurde, indem das Barometermedium vom 3. Juni bis zum 4. Juni eine Veränderung von nicht weniger als 25,3 mm erlitt.

Im Zusammenhang mit der interdiurnen Schwankung des Luftdrucks habe ich auch die Perioden innerhalb dieser Schwankung behandelt.

Bei einer Untersuchung der Dauer der Luftdruckwellen ist es natürlich das Richtige, sich für ein gewisses Minimum der Amplitude zu entscheiden und alsdann direkt vom Barogramm die Zeit des eintretenden Maximums oder Minimums abzulesen.

Für antarktische Stationen ist das Luftdruckmaterial in solcher Weise von Meinardus (»Gauss«) und Arctowski (»Belgica«) bearbeitet worden. Auch ich habe weiten die Barogramme von Snow-Hill bearbeitet (Seite 20).

Da man nun bei Wellen, welche die Veränderung von Temperatur und Windgeschwindigkeit angeben, schwer diese Methode anwenden kann, sondern am besten hierbei gerade von den Perioden ausgeht, welche die interdiurne Veränderung um-

fassen, habe ich mich auch für den Luftdruck einer solchen Berechnungsmethode bedient (indem ich die Tagesmedien benutzte).

Tab. 12. Luftdruckwellen, der interdiurnen Veränderlichkeit entnommen.

	S t e i g e n			F a l l e n			Mittlere Wellen- dauer in Tagen
	Anzahl der pos. Änderung.	Anzahl Perioden	Perioden- dauer in Tagen	Anzahl der neg. Änderung.	Anzahl Perioden	Perioden- dauer in Tagen	
1902							
März	16	9	1.8	13	9	1.4	3.2
April	13	6	2.2	17	6	2.8	5.0
Mai	14	6	2.3	17	7	2.4	4.7
Juni	17	8	2.1	13	8	1.6	3.7
Juli	17	8	2.1	13	8	1.6	3.7
August	18	6	3.0	13	6	2.2	5.2
September	15	6	2.5	15	6	2.5	5.0
Oktober	14	7	2.0	17	8	2.1	4.1
November	16	5	3.2	14	5	2.8	6.0
Dezember	15	6	2.5	16	5	3.2	5.5
1903							
Januar	13	10	1.3	18	9	2.0	3.3
Februar	14	6	2.3	14	6	2.3	4.6
März	16	6	2.7	15	6	2.5	5.2
April	16	10	1.6	14	10	1.4	3.0
Mai	16	7	2.3	15	8	1.9	4.2
Juni	14	6	2.3	16	6	2.7	5.0
Juli	16	10	1.6	15	10	1.5	3.1
August	15	7	2.1	16	8	2.0	4.1
September	16	7	2.3	14	8	1.8	4.1
Oktober	13	8	1.6	18	8	2.8	3.8

Tab. 13. Luftdruckwellen, der interdiurnen Veränderlichkeit entnommen.

	Mittlere Dauer		
	des Steigens	des Fallens	einer Welle
Herbst	2.17	2.07	4.24
Winter	2.00	2.00	4.00
Frühling	2.37	2.41	4.78
Sommer	2.00	2.40	4.40
Jahr	2.14	2.22	4.36

In Tab. 12 habe ich das erhaltene Resultat niedergelegt.

Indem ich zwischen Steigen und Fallen des Tagesmediums von einem Tage zum darauffolgenden schied, habe ich Monat für Monat sowohl die Zahl der Steigungen wie auch die der Steigungsperioden notiert. Durch Division erhält man alsdann einen mittleren Wert für die Länge der Steigungsperiode, ausgedrückt in Tagen und Bruchteilen solcher. Darauf folgen ähnliche Angaben für das Fallen, und durch Addition der beiden Periodenlängen erhält man in der letzten Kolumne einen mittleren Wert für die Zeitdauer einer Luftdruckwelle, so wie sie sich aus den interdiurnen Veränderungen in den verschiedenen Monaten ergibt.

In Tab. 13 sind die Periodenlängen für die verschiedenen Jahreszeiten zusammengestellt. Ein wesentlicher Unterschied zwischen der Zeit für das Steigen und der fürs Fallen des Barometers lässt sich kaum notieren, ausser für den Sommer, wo ein Steigen im Durchschnitt 2 Tage dauert, ein Fallen 2.4 Tage d. h. 2 Tage 10 Stunden.

Die Totalzeit für eine Luftdruckwelle hält sich auf ungefähr 4 Tage 8 Stunden, und es sieht aus, als liesse sich möglicherweise ein jährlicher Verlauf der Periodenlänge auffinden, so dass das Maximum in den Frühling fällt mit kontinuierlicher Abnahme im Sommer und Herbst bis zu einem Minimum im Winter, welche Jahreszeit also die zahlreichsten Luftwellen und die häufigsten Veränderungen aufweisen würde. Dass das Minimum in den Winter fällt, steht ja in vollem Einklang mit obigen Daten, die für die Luftdrucksschwankungen in dieser Jahreszeit gelten, so wie sie im Vorhergehenden angeführt sind. Im Zusammenhange damit könnte man wohl erwarten, dass die längste Periode in den Sommer fiel. Dies kann auch möglicherweise der Fall sein, obwohl in dem gefundenen mittleren Werte der Herbst eine höhere Ziffer aufweist. Der hohe Wert für den Herbst dürfte im wesentlichen wohl daher rühren, dass bei den Berechnungen dem Monat November 1902 doppelt so grosse Bedeutung gegeben werden musste wie jedem einzelnen der übrigen 5 Monate, und November 1902 weist ja die ungleich grösste Periodenlänge von nicht weniger als 6 Tagen auf.

Die Luftdruckwellen habe ich aber auch direkt nach den registrierten Barographenkurven bearbeitet. Dabei habe ich, um vollkommen vergleichbares Material zu erhalten, dieselbe Begrenzung vorgenommen wie Arctowski in seiner Bearbeitung der Observationen von der »Belgica«-Expedition und wie sie auch von Meinardus in Anwendung gebracht worden ist. Nur da, wo die Veränderung wenigstens 5 mm beträgt, habe ich ein Minimum oder ein Maximum in Betracht gezogen. Alle geringeren Wellen in der allgemeinen Luftdruckskurve habe ich übergegangen.

Meinardus hat die Vermutung ausgesprochen, dass eine mittlere Länge von etwas mehr als 5 Tagen möglicherweise allgemein Geltung habe und gründet dies auf die Übereinstimmung der Zahlen, die er, Arctowski, Desroix und Lancaster gefunden

haben. Dies ist schon möglich, aber das zu Gebote stehende Material dürfte wohl doch noch zu gering sein, besonders wenn man sich nicht auf den Jahresdurchschnitt beschränkt, sondern die Werte der einzelnen Jahreszeiten prüft.

Um einen weiteren Beitrag zu diesem statistischen Material zu liefern, bearbeitete ich das Material von Snow-Hill mit Rücksicht auf die Zeit der Luftdruckwellen, für steigende, fallende und totale Zeiten.

In Tab. 13 gebe ich die Resultate für jeden einzelnen Monat. Dass die Summe der Anzahl Tage mit steigendem und mit fallendem Barometer nicht mit der gewöhnlichen Monatslänge zusammenfällt, findet seine Erklärung in der Art der Ablesung. Fiel ein Monatswechsel in die Zeit eines steigenden oder fallenden Luftdrucks, dann habe ich das betreffende Phänomen zum neuen Monat gerechnet. Daraus erklären sich solche scheinbare Fehler, wie dass der Juni 1902 nur 26,4 Tage hat, der Juli 1902 dagegen 35,1.

Tab. 14. Luftdruckwellen (≥ 5 mm) den Barogrammen entnommen.

	Steigen			Fallen			Mittlere Dauer einer Welle
	Totaldauer des Steigens in Tagen	Anzahl Perioden	Mittl. Dauer des Steigens in Tagen	Totaldauer des Fallens in Tagen	Anzahl Perioden	Mittl. Dauer des Fallens in Tagen	
1902							
März	14.9	9	1.66	13.1	8	1.64	3.30
April	15.7	7	2.26	14.2	8	1.78	4.04
Mai	15.0	7	2.14	16.0	7	2.29	4.43
Juni	18.2	9	2.03	8.2	8	1.02	3.05
Juli	16.1	8	2.01	19.0	8	2.38	4.39
August	16.1	7	2.30	10.9	8	1.36	3.66
September	16.6	8	2.08	17.5	7	2.49	4.57
Oktober	12.8	9	1.42	16.6	10	1.66	3.08
November	20.7	4	5.19	13.2	4	3.31	8.50
Dezember	13.0	4	3.25	16.3	4	4.07	7.32
1903							
Januar	16.5	6	2.76	16.3	5	3.30	6.06
Februar	15.8	5	3.16	11.9	5	2.39	5.55
März	13.0	5	2.60	17.4	6	2.89	5.49
April	17.6	13	1.35	12.9	12	1.08	2.43
Mai	13.3	9	1.48	17.2	9	1.92	3.40
Juni	12.7	5	2.54	16.9	6	2.81	5.35
Juli	19.2	11	1.74	15.0	10	1.50	3.24
August	16.5	5	3.29	14.8	6	2.47	5.76
September	15.4	7	2.14	12.8	7	1.83	3.97
Oktober	17.1	7	2.44	14.1	7	2.02	4.46

Ein ausgeprägter Unterschied zwischen der Zeit des Steigens und der des Fallens lässt sich kaum wahrnehmen. Die hierbei zu Tage tretenden Variationen nach der einen oder der andern Richtung bieten kaum einen Anlass, als bewiesen anzunehmen, dass das Steigen länger anhält als das Sinken oder umgekehrt. Damit ein derartiges Phänomen deutlicher hervortrete, scheint mehr Material nötig zu sein.

Die Totallänge der Wellen variiert im Durchschnitt für die verschiedenen Monate zwischen 8,50 Tagen und 2,43 Tagen.

Stellt man sie nach Jahreszeiten — Tab. 15 — zusammen, dann erscheint der Herbst mit einer Wellenlänge von 3,6 Tagen als die unruhigste Zeit, ein direkter Gegensatz also zu der gleichzeitigen deutschen »Gauss«-Expedition, wo man den Herbst als die ruhigste Zeit hinsichtlich der Luftdruckvariation festgestellt hat.

Tab. 15. Luftdruckwellen aus den Barogrammen.

	Mittlere Dauer (in Tagen)		
	des Steigens	des Fallens	einer Welle
Herbst	1.79	1.81	3.60
Winter	2.10	1.76	3.86
Frühling	2.52	2.41	4.93
Sommer	3.02	3.20	6.22
Jahr	2.27	2.18	4.45

Mit dem Fortschreiten des Kalenderjahres nimmt die Dauer der Luftdruckwellen zu und erreicht ihr Maximum um den Dezember herum, d. h. im antarktischen Sommer.

Ein Vergleich — Tab. 16 — zwischen den von den gleichzeitig beobachtenden deutschen, belgischen und schwedischen Stationen gefundenen Werten deutet keineswegs auf einen allgemein geltenden Zusammenhang hinsichtlich der Dauer der Luftdruckwellen an den betreffenden Orten hin.

Tab. 16. Die Luftdruckwellen in der Antarktis.

	Mittlere Dauer (in Tagen) der Luftdruckwellen					Mittl. Ampl. einer Welle	Mittl. tägl. Änderung	Zahl der Wellen im Jahr
	Herbst	Winter	Frühling	Sommer	Jahr			
Snow-Hill	3.60	3.86	4.93	6.22	4.45	14.4	0.27	80
»Gauss«	7.46	4.58	4.38	4.96	5.08	16.3	0.27	71
»Belgica«	5.75	3.46	5.37	8.37	5.25	16.0	0.24	70

Dass die »Belgica« und die »Gauss« eine approximative Übereinstimmung der Durchschnittswerte fürs Jahr aufweisen, findet wohl seine Erklärung in der in barometrischer Hinsicht relativ gleichen Lage der Observationsorte, ziemlich weit nach Süden. In der schnelleren Luftveränderung von Snow-Hill spiegelt sich seine Lage zwischen zwei Hauptminima östlich und westlich von Graham-Land wieder, seine Lage auf einer eisbedeckten Landzunge, die zwischen zwei relativ warmen Meeren vorspringt, ein Platz also mit den Voraussetzungen, häufig von vorübergehenden Minima passiert zu werden.

Die Anzahl der Luftdruckwellen verschiedener Dauer habe ich in Tab. 17 angegeben.

Tab. 17. Zahl der Luftdruckwellen (aus den Barogrammen) von einer Dauer von Tagen.

Dauer in Tagen	0	1	2	3	4	5	6	7	8	9	10	11	—	17	—	—
Anzahl der Wellen	2	26	29	21	21	16	13	5	5	2	3	1	—	1	145	—
Wellenzahl in %	1 %	18 %	20 %	15 %	15 %	11 %	9 %	3 %	3 %	1 %	2 %	1 %	—	1 %	100 %	—
Wellenzahl in wahrscheinl. % . . .	1 %	16 %	19 %	14 %	15 %	12 %	9 %	5 %	3 %	2 %	2 %	1 %	—	1 %	100 %	80 pr. Jahr
»Gauss« Wellenzahl in % . . .	—	1 %	23 %	24 %	14 %	9 %	9 %	10 %	4 %	1 %	1 %	—	4 %	—	100 %	71 pr. Jahr

Im ganzen passierten 145 Wellen; von diesen hatten 2 eine kürzere Dauer als 24 Stunden, die eine 22 Stunden und die andere 20 Stunden. Die längste Welle hatte eine Zeitdauer von nahezu 18 Tagen, nämlich von 17 Tagen und 22 Stunden.

Mit Rücksicht darauf, dass nur eine Sommerperiode vorliegt, während die übrigen Jahreszeiten in doppelten Serien vorhanden sind, passieren im Durchschnitt der Observationszeit jährlich 80 Luftwellen diese Gegenden. In der dritten Zahlenreihe habe ich mit Rücksicht auf diese Ziffer die Anzahl von Luftwellen verschiedener Dauer in wahrscheinlichen % ausgedrückt.

Zum Vergleich habe ich auch die Zahlen der »Gauss« Expedition, in ganze % umgerechnet, angeführt.

Die Wellen, die kürzer als 2 Tage sind, kamen bei der »Gauss« beinahe gar nicht vor; beinahe die Hälfte, 47 %, fällt auf die mit einer Dauer von 2—3 Tagen. Die Luftdruckwellen waren also dort von gleichmässigerer und weniger variierender Art als bei Snow-Hill.

Um ferner einige Details von den wirklichen Luftdruckwellen anzuführen, so wie sie sich aus den Barographenkurven ergeben, habe ich in Tab. 18 eine Zusam-

menstellung geboten, die dazu dient, von ihrem Charakter mit Rücksicht auf die Grösse der Amplitude einen Begriff zu geben.

Tab. 18. Amplitude der Luftdruckwellen (aus den Barogrammen).

	Max. des Steigens	Max. des Fallens	Mittl. Steigen	Mittl. Fallen	Mittl. Amplit.
1902					
März	18.6	31.3	11.6	14.1	12.9
April	25.7	21.7	15.0	13.7	14.3
Mai	32.4	32.5	15.3	16.6	16.0
Juni	28.6	29.3	18.2	15.9	17.1
Juli	21.4	23.9	12.9	14.3	13.6
August	30.6	39.5	15.6	15.7	15.7
September	28.7	26.5	17.2	15.6	16.4
Oktober	14.3	32.0	10.2	11.8	11.0
November	15.1	22.9	17.6	13.5	15.5
Dezember	18.1	25.7	12.3	14.1	13.2
1903					
Januar	16.9	21.5	10.3	12.1	11.2
Februar	27.4	25.5	15.9	15.9	15.9
März	19.7	19.1	14.4	13.7	14.0
April	24.6	21.9	10.8	10.4	10.6
Mai	28.0	21.6	14.2	13.5	13.9
Juni	42.1	43.7	18.2	19.8	19.0
Juli	41.8	26.5	15.7	13.2	14.5
August	35.1	42.2	19.6	18.6	19.1
September	23.5	32.0	13.5	15.0	14.3
Oktober	26.5	40.7	18.4	18.2	18.3

Die grössten Amplituden, steigende sowohl wie sinkende, fallen in die kältere Jahreszeit mit dem höchsten Sinken von 43,7 mm im Juni 1903 und dem grössten Steigen 42,1 mm im Juni 1903.

Im allgemeinen scheint sich die Amplitude mit der Jahreszeit zu verändern, so dass der Winter ein Maximum von 16,1 mm, der Sommer und der Frühling ein Minimum von 13,3 bzw. 13,2 mm ergeben.

Die jährliche mittlere Amplitude von 14,4 mm steht etwas niedriger als die entsprechenden Werte der »Belgica«- und der »Gauss«-Expedition mit 16,0 bzw. 16,3 mm.

Berechnet man die Veränderung des Barometerdrucks nicht als mittlere Amplitude einer Luftdruckwelle, sondern als Veränderung im Luftdruck per Zeiteinheit (Tab. 19), so zeigt es sich, dass man fürs Jahr eine Durchschnittsveränderung per

Stunde = 0,27 mm erhält, ein Wert, der ja mit den Resultaten der »Belgica«- und der »Gauss«-Expedition von 0,24 bzw. 0,27 mm zusammenfällt.

Dies bedeutet also einen Ausgleich, der seine Erklärung darin findet, dass die geringeren Amplituden von Snow Hill von der grossen Menge jährlich passierender Wellen (80 gegenüber 70 bei der »Belgica«) aufgebessert werden.

Auch die Luftdruckveränderung per Stunde zeigt eine deutliche Abhängigkeit von der Jahreszeit mit einem Minimum von 0,18 mm im Sommer und einem Maximum von 0,33 mm im Winter.

Tab. 19.

	Mittl. Amplit. einer Welle	Tägliche Änderung	Stündliche Änderung
	mm	mm	mm
Herbst	13.2	7.21	0.30
Winter	16.1	7.98	0.33
Frühling	14.8	6.81	0.28
Sommer	13.3	4.29	0.18
Jahr	14.4	6.58	0.27

Als Gesamturteil aus den Barographenkurven hinsichtlich der Veränderung ergibt sich also, dass der Winter die unruhigste Jahreszeit mit der Zeit nach kurzen, aber der Amplitude nach grossen Wellen ist, während sich der Sommer als die hinsichtlich des Luftdrucks ungleich ruhigste Jahreszeit erweist mit langanhaltenden flachen Luftwellen von geringer Amplitude, die kaum mehr als halb so gross ist wie die im Winter herrschende.

Von gewissem Interesse ist ein Vergleich zwischen Tab. 12 und Tab. 14, da man dadurch ein Bild von der Zuverlässigkeit der beiden Berechnungsmethoden der Luftdruckwellen erhält.

Ein Überblick über die letzte Reihe der beiden Kolonnen zeigt wesentlich verschiedene Werte für die mittlere Länge der Luftdruckwellen in den verschiedenen Monaten.

Die Unterschiede zwischen den richtigen Werten, aus den Barographenkurven, und den Wellenlängen aus den Tagesmedien, Tab. 20, zeigen jedoch, falls ich sie zusammenstelle, eine gewisse Regelmässigkeit im jährlichen Verlauf. Die Tabelle gewährt einen Überblick über dieses Verhältnis; dort habe ich die Korrekturen angegeben, die man bei den aus den Tagesmedien erhaltenen Wellenlängen anbringen muss, um zu den richtigen Werten zu gelangen.

Tab. 20.

Jan.	Febr.	März	April	Mai	Juni	Juli	Aug.	Sept.	Okt.	Nov.	Dez.
+ 2.8	+ 1.0	+ 0.1	- 0.8	- 0.5	- 0.2	+ 0.4	- 0.1	- 0.2	- 0.1	+ 2.5	+ 1.8

In der Zeit April—Oktober (mit Ausnahme des Juli) ist die Korrektur eine negative, d. h. man erhält mit Hilfe der Tagesmedien zu lange Luftdruckwellen oder, von einem andern Gesichtspunkt betrachtet, man findet zu wenig Wellen in einem Monat. Der April 1903 ergibt z. B. nach den Tagesmedien 10 Wellen, während man nach dem Barographen 13 Wellen erhält. Die naheliegende Erklärung hierfür ist darin zu suchen, dass in der kälteren Jahreszeit recht häufig Wellen von unbedeutender Amplitude und einer Dauer von 1 à 2 Tagen vorkommen.

Trifft, um ein Beispiel anzuführen, bei einem in übrigen allgemeinen Steigen des Luftdrucks eine solche Welle mit ihrem Minimum bzw. Maximum gegen Mitternacht ein, dann kann es leicht vorkommen, dass man in den Tagesmedien den fallenden Druck am folgenden Tage gar nicht merkt, sondern nur ein langsames Steigen des Druckes von einem Tage zum andern beobachtet. Bei der Methode, mit Tagesmedien zu rechnen, verliere ich also eine Welle im Monat; die Zahl der Wellen wird verringert, statt dessen aber erhalten die Wellen im Durchschnitt eine zu lange Dauer.

Tab. 21. Zahl der wirklichen Extreme in den verschiedenen Stunden des Tages

	1 a.	2	3	4	5	6	7	8	9	10	11	Mittg.	1 p.	2	3	4	5	6	7	8	9	10	11	Mittn.
Max. . . .	14	7	8	3	3	4	7	2	6	11	8	1	6	5	1	4	5	9	6	14	5	14	1	
Min. . . .	12	3	4	3	10	3	14	5	5	6	9	0	6	6	10	8	6	5	4	2	10	5	5	5
Max. . . .	25		11		15		20		11		12		26		27									
Min. . . .	17		19		21		16		20		19		15		18									
Diff. . . .	+ 8		- 8		- 6		+ 4		- 9		- 7		+ 11		+ 9									
Ampl. des tägl. Ganges	+ 0.02 mm		- 0.04 mm		- 0.05 mm		- 0.03 mm		- 0.08 mm		+ 0.04 mm		+ 0.12 mm		+ 0.08 mm									

Die Erklärung für die positive und ziemlich hohe Korrektur in der Zeit November—März liegt in dem Umstand, dass man bei der Ablesung des Barographen von solchen Wellen absieht, bei denen die Amplitude zwischen einem Maximum und einem naheliegenden Minimum geringer als 5 mm ist, während ich bei der Berechnung nach Tagesmedien mit noch so kleinem Steigen und Fallen gerechnet habe. Die nach dem Barographen notierten Luftdruckwellen \cong 5 mm sind also während eines Monats an Zahl geringer wie die nach den Tagesmedien berechneten Wellen

Tab. 22. Täglicher Gang des Luftdrucks

Abweichungen vom

	0 a. m.	1 a. m.	2 a. m.	3 a. m.	4 a. m.	5 a. m.	6 a. m.	7 a. m.	8 a. m.	9 a. m.	10 a. m.	11 a. m.
Herbst . . .	+ 0.15	+ 0.12	- 0.03	- 0.05	- 0.10	- 0.11	- 0.23	- 0.22	- 0.22	- 0.11	- 0.07	- 0.06
Winter . . .	- 0.03	- 0.02	± 0.00	- 0.01	- 0.04	- 0.08	- 0.05	- 0.06	- 0.02	+ 0.05	+ 0.12	+ 0.17
Frühling . .	+ 0.14	+ 0.12	+ 0.09	+ 0.06	+ 0.04	+ 0.02	± 0.00	- 0.05	- 0.11	- 0.15	- 0.18	- 0.14
Sommer . . .	+ 0.02	- 0.11	- 0.14	- 0.12	- 0.08	- 0.01	+ 0.06	+ 0.06	+ 0.07	+ 0.05	- 0.06	+ 0.03
Jahr	+ 0.07	+ 0.05	+ 0.02	- 0.01	- 0.04	- 0.03	- 0.04	- 0.06	- 0.06	- 0.03	- 0.03	- 0.02

Das eklatanteste Beispiel hierfür zeigt der Januar 1903, der nach den verschiedenen Berechnungsmethoden 6 bzw. 10 Wellen von 6,1 bzw. 3,3 Tagen hat.

In Zusammenhang mit den den Barogrammen entnommenen Luftdruckswellen habe ich in Tab. 21 die Zahl der wirklichen Maxima und Minima zusammengestellt, so wie sie in den verschiedenen Tagesstunden eintreffen.

Ich sehe also von solchen Maxima und Minima ab (Tab. I in Bd II: L 2), welche, in die Mitternachtsstunden fallend, dadurch bedingt sind, dass nach unserer Zeiteinteilung der Tag gerade mit dieser Stunde beginnt. Wenn z. B. der Luftdruck vom Morgen des einen Tages bis zum Abend des folgenden Tages fortwährend steigt, erhalte ich oft für den ersten Tag ein Maximum um Mitternacht und für den zweiten Tag ein Minimum um 1 a, beide sind aber ja nur willkürliche. Solche Maxima und Minima müssen daher aus einer Statistik ausgeschlossen werden, weil sonst das Resultat nach der Richtung verschoben wird, dass die Mitternachtsstunden, wenn auch mit Unrecht, die grösste Anzahl von Extremen auf ihr Teil erhalten.

Nach der Formel $\text{»} \gg = \frac{a + 2b + c}{4}$ habe ich die so gefundenen Zahlen ausgerechnet und dann die Summen von 3 Stundengruppen genommen.

Ein deutliche periodische Regelmässigkeit zeigt sich mit der grössten Anzahl von Luftdruckmaxima um 11 p, der grössten Anzahl von Minima um 8 a.

Der Unterschied zwischen den Zahlen in den beiden letzten Zeilen ergibt eine Serie, in der die positiven Ausdrücke anzeigen, dass Maxima vorherrschen, die negativen, dass hinsichtlich der Frequenz für die betreffende Stunde die Minima in der Majorität sind.

Dass zwischen den unperiodischen und den periodischen Veränderungen des Luftdrucks ein Zusammenhang besteht, ergibt sich bei einem Blick auf die letzte Zeile, wo die Abweichungen des täglichen Barometerganges vom Jahresdurchschnitt angegeben sind. Die tägliche Kurve zeigt positive über den Durchschnitt hinausgehende Werte ungefähr in denselben Stunden, wo die Zahl eingetretener Maxima überwiegt und umgekehrt.

für Jahreszeiten und fürs Jahr.

Mittel, in mm.

Mittg	1 p. m.	2 p. m.	3 p. m.	4 p. m.	5 p. m.	6 p. m.	7 p. m.	8 p. m.	9 p. m.	10 p. m.	11 p. m.	Mittn	Ampl.
-0.13	-0.15	-0.12	-0.04	+0.04	+0.11	+0.18	+0.22	+0.23	+0.20	+0.21	+0.21	+0.15	0.46
+0.12	-0.01	-0.10	-0.11	+0.01	+0.05	+0.06	+0.03	±0.00	-0.05	-0.14	-0.12	-0.03	0.31
-0.21	-0.20	-0.15	-0.11	-0.07	±0.00	+0.09	+0.16	+0.18	+0.15	+0.17	+0.15	+0.14	0.39
-0.01	-0.08	-0.07	-0.05	-0.04	+0.02	+0.05	+0.06	+0.08	+0.09	+0.07	+0.05	+0.02	0.23
-0.05	-0.09	-0.09	-0.06	-0.02	+0.05	+0.10	+0.13	+0.12	+0.10	+0.09	+0.08	+0.07	0.22

Schliesslich noch einige Worte und Daten zur Kenntnis der periodischen Veränderung im täglichen Verlauf des Luftdruckes.

In dem Teil dieser Arbeit, der die stündlichen Beobachtungen von Snow-Hill enthält, habe ich für jeden Monat den mittleren Luftdruck in den verschiedenen Stunden des Tages angegeben. Diese ersten, rohen Werte müssen bekanntlich erst für die unperiodische Veränderung des Barometers im Laufe des Monats korrigiert werden, bevor man brauchbare Durchschnittswerte erhält.

Den täglichen Gang der Luftdrucksveränderung drückt man alsdann am besten in Form von positiven oder negativen Abweichungen der verschiedenen Stundenmedien vom Monatsmittel aus.

Behandelt man das Material von Snow-Hill nach dieser eingebürgerten Methode, so erhält man für die verschiedenen Monate einen täglichen Verlauf des Barometersdruckes, der kaum eine Regelmässigkeit aufweist. Dies hat seinen natürlichen Grund in der grossen unperiodischen Veränderung des Luftdrucks infolge der relativ häufigen Passage von Luftdruckminima. Ein Monat, also ungefähr 30 Tage, ist ein allzukurzer Zeitraum, als dass man die zufällig eintretenden und störenden Maxima oder Minima im Monatsmittel herauseliminieren könnte.

Ich habe deshalb die so gefundenen täglichen Veränderungen für den Monat nicht veröffentlicht, sondern mich damit begnügt, das Material nur für die verschiedenen Jahreszeiten zu behandeln. Auf diese Weise werden in möglichst hohem Grade die Zufälligkeiten eliminiert, welche die Unregelmässigkeiten im täglichen Gang verursachen.

Für Herbst und Winter ist der tägliche Gang so gefunden, in beiden Fällen als Durchschnitt von 6 Monaten, für den Sommer als den von 3 Monaten und für den Frühling als Durchschnitt von 5 Monaten, unter denen jedoch dem November 1902 eine doppelte Bedeutung im Vergleich mit jedem der 4 übrigen Frühlingsmonate zuerteilt werden musste.

Die Ergebnisse, welche den täglichen Verlauf des Luftdrucks anzeigen, liegen in Tab. 22 vor, in der also die Ziffern für jede Stunde die Abweichung vom Durchschnitt der betreffenden Jahreszeit angeben.

Graphisch sind diese Zahlen in Taf. 2 wiedergegeben.

Dass ich vor der Bearbeitung dieser Abweichungen vom Tagesmittel die Durchschnittszahlen der verschiedenen Jahreszeiten hinsichtlich der Mitternachtsdifferenzen korrigiert habe, brauche ich kaum hervorzuheben. Hier über die dabei angewandte Methode zu berichten, halte ich für überflüssig, ich will nur auf Hann »Lehrbuch der Meteorologie« verweisen. Nur mit einigen Worten sei das Wichtigste hervorgehoben, das man aus der betr. Tabelle und dem Bilde ersehen kann.

Der *Herbst* zeigt eine einfache Variation mit einem Maximum um 8 p und einem Minimum um 6 a; in dieser Jahreszeit erreicht die Amplitude ihren höchsten Wert, nämlich 0,46 mm.

Der *Winter* weist eine wenig ausgeprägte Variation auf, ein Hauptmaximum um 11 a., ein sekundäres Maximum um 6 p., ein Hauptminimum am Abend um 10 p. und ein sekundäres Minimum um 3 p.

Was die Winterkurve betrifft, so will ich indessen betonen, dass diese Jahreszeit hinsichtlich des Luftdrucks so veränderlich ist, dass auch eine Observationsserie, die sich über zwei Jahreszeiten erstreckt, nicht als hinreichend angesehen werden kann, um definitive Werte zu ergeben.

Um dies zu beleuchten, sei auf die beiden graphischen Darstellungen für die Winter 1902 und 1903 hingewiesen. Die Kurven zeigen einen auffallenden Gegensatz im Aussehen.

Winter 1902: im grossen ganzen steigen die Werte über den Durchschnitt zwischen 0 a. und 0 p., also am Vormittag; die Werte bleiben unter dem Durchschnitt am Nachmittag.

Winter 1903: derselbe hat zwar auch doppelte Maxima; im Verhältnis zum vorhergehenden Winter aber zeigt die tägliche Periode eine Verschiebung von nicht weniger als 10 Stunden, beinahe einem halben Tage.

Es liegt ja auf der Hand, dass man durch Zusammensetzung von zwei untereinander so verschiedenen Kurven einen wenig ausgeprägten täglichen Verlauf des Luftdruckes für den Winter im Durchschnitt erhalten muss.

Der *Frühling* zeigt einen täglichen Verlauf des Luftdruckes, der zunächst an die Herbstvariation erinnert; Maximum um 8 p. und Minimum am Mittag.

Der *Sommer* schliesslich hat zwei Maxima, ein Hauptmaximum um 9 p. und ein sekundäres Maximum um 8 a. Zwischen diesen liegt das Hauptminimum um 2 a und das sekundäre Minimum um 1 p.

Fürs *Jahr* werden die Unregelmässigkeiten noch weiter ausgeglichen. Man erhält *ein Hauptmaximum um 7 p. und ein Hauptminimum um 2 p.*

Von den entsprechenden sekundären Phänomenen trifft das Maximum um 11 a. ein, das Minimum um 7 a.

Es zeigt sich also schon auf den ersten Blick, dass offenbar die 24-stündige Welle kräftiger ist als die 12-stündige, da eines der Maxima der 12-stündigen Welle, das am Vormittag, nur ein relatives ist, absolut genommen aber unter dem Durchschnitt liegt.

Um die täglichen periodischen Veränderungen des Luftdrucks noch weiter zu untersuchen, habe ich diese Kurven nach der Fourierschen Formel aufgelöst, indem ich sie in Wellen von 24 und 12 Stunden Länge teilte. Man erhält alsdann die tägliche Variation nach den Formel

$$k_1 \sin (s + \alpha_1) + k_2 \sin (2s + \alpha_2) + \dots$$

Von den Koeffizienten k_1 k_2 $k_3 \dots$ und α_1 α_2 $\alpha_3 \dots$, die gewöhnlich die Fourierschen oder Besselschen Konstanten genannt werden, geben erstere die Amplituden, letztere den Phasenwinkel für die verschiedenen Wellen an.

Wenn man aber nicht ganz zwei Jahre zu seiner Verfügung hat, ist es nur illusorisch, die Variationen für mehr als die beiden ersten Ausdrücke zu berechnen, d. h. die 24- und die 12-stündige Welle.

Die Werte, die ich für Snow-Hill gefunden habe, habe ich in Tab. 23 angegeben, und in den beiden letzten Kolonnen der Tabelle habe ich die Winkel α_1 und α_2 direkt in Zeit umgesetzt; diese Zeiten zeigen also das Eintreffen des Maximums der 24-stündigen Welle und das der beiden Maxima der 12-stündigen Welle an.

Tab. 23. Fouriers Koeffizienten der täglichen Luftdrucksperioden.

	Luftdrucks- mittel	k_1	α_1	k_2	α_2	Max. der 24-stündigen Periode	Max. der 12-stündigen Periode
	mm	mm		mm			
Herbst	740.26	0.018	48°	0.048	158°	2h50m p. m.	9h42m
Winter	739.67	0.045	263°	0.022	153°	0h30m p. m.	9h55m
Frühling . . .	740.23	0.188	109°	0.037	227°	10h42m p. m.	7h25m
Sommer	741.53	0.021	175°	0.085	205°	6h18m p. m.	8h18m
Jahr	740.42	0.083	128°	0.036	194°	9h30m p. m.	8h05m

Was die Amplituden k_1 und k_2 angeht, so gilt ja die Regel, dass für niedrigere Breitengrade k_2 grösser ist als k_1 , für höhere polare Gegenden dagegen, dass k_1 grösser ist als k_2 . Oder mit andern Worten, wenn es sich um mässige Breiten handelt, ist die 12-stündige Kurve die dominierende, je mehr man sich aber den Polen nähert, tritt die 24-stündige Kurve am meisten hervor.

Aufs Jahr berechnet hat Snow-Hill k_1 grösser als k_2 , die 24-stündige Kurve ist also die dominierende. Dies scheint aber nicht durchgehends in allen Jahreszeiten der Fall zu sein. Im Winter und vor allem im Frühling ist die 24-stündige Welle

die vorherrschende, im Sommer und Herbst aber tritt die 12-stündige in den Vordergrund.

Die Amplitude der 24-stündigen Welle ist also am grössten im Frühling oder 0,188 mm und am kleinsten im Herbst oder 0,018 mm, im Durchschnitt fürs Jahr 0,083 mm.

Die Zeit des Maximums dieser Welle trifft im Durchschnitt fürs Jahr um 9^h30^mp ein, variiert aber für die einzelnen Jahreszeiten zwischen 0^h30^mp und 10^h42^mp, also innerhalb recht weiter Grenzen.

Die 12-stündige Welle, die für mässige und niedrigere Breiten so deutlich markiert ist mit Maxima um 10^ha und um 10^hp, trifft hier bei Snow-Hill 2 Stunden früher ein, um 8^h05^m im Durchschnitt fürs Jahr.

Sowohl hinsichtlich der Amplitude wie des Phasenwinkels scheint bei dieser 12-stündigen Welle die Variation in verschiedenen Jahreszeiten geringer zu sein, als sie es offenbar bei der 24-stündigen ist.

Was die Grösse der Konstanten k_2 betrifft, so hat man aus früheren Expeditionen ihre Grösse in direkte Abhängigkeit von der Latitude setzen wollen.

$$\begin{aligned} \text{Teils glaubte man zu finden } k_2 &= (0,988 - 0,573 \sin^2 \varphi) \cos^2 \varphi \\ \text{teils } k_2 &= 0,984 \cos^3 \varphi. \end{aligned}$$

Erstere Formel ergibt für die Breite von Snow-Hill $k_2 = 0,098$, letztere $k_2 = 0,080$, in beiden Fällen also bedeutend höher berechnete Werte für k_2 , als man aus den Observationsdaten findet ($k_2 = 0,036$).

Um einen weiteren Beitrag betreffs des täglichen Verlaufs des Luftdrucks und seiner Abhängigkeit von andern meteorologischen Faktoren zu liefern, habe ich die Verhältnisse bei klarem und trübem Wetter untersucht. Da aber die häufige Passage von Minima das Phänomen beträchtlich verschiebt, habe ich mich in den verschiedenen Serien auf die ruhigen Tagen beschränken müssen. Da diese aber leicht gezählt waren, sah ich mich gezwungen, die obere Grenze für die maximale Windstärke der ruhigen Tage bis auf 8 m/s hinaufzusetzen, weil sonst das statistische Material kaum hingereicht hätte.

Unter klaren Tagen verstehe ich solche, an denen das Tagesmittel für Bewölkung $\cong 3$ ist. Klare und ruhige Tage zu finden, war ziemlich leicht. In Übereinstimmung mit der kleinsten Anzahl solcher Tage habe ich in den übrigen Jahreszeiten eine gleiche Zahl ausgesucht, so dass beim Jahresmedium die verschiedenen Jahreszeiten in gleich hohem Masse in Betracht kommen. Für jede Jahreszeit habe ich 12 à 14 Tage berücksichtigt.

Grösser war dagegen die Schwierigkeit, trübe Tage mit relativer Windstille zu finden. Die Bewölkung für die trüben Tage wählte ich in den Grenzen 8 und 10, und dennoch war es schwer für mich, eine so grosse Anzahl relativ ruhiger Tage zu erhalten, dass sie mit der entsprechenden Anzahl in der »klaren« Serie au niveau kam.

In jeder Serie »klar« und »trüb« habe ich für jede Jahreszeit den Durchschnitt für die verschiedenen Stunden des Tages genommen. Dann wurden bei dieser Serie von Stundemedien die Korrekturen auf Grund der Veränderung von Mitternacht bis Mitternacht angebracht.

Schliesslich habe ich, um die Ungleichheiten, die sich infolge der geringen Anzahl Tage vorfinden, irgendwie zu eliminieren, die Stundemedien ausgeglichen nach der Formel »b« = $\frac{a+2b+c}{4}$.

Tab. 24 veranschaulicht den täglichen Verlauf des Luftdrucks bei verschiedenen Wettertypen in der Weise, dass für jede Stunde der Unterschied zwischen dem Luftdrucksmittel für alle einbezogenen Tage und dem Durchschnitt für die betreffende Stunde angegeben wird; der Unterschied ist in hunderstel mm ausgedrückt.

Auffallend ist der Gegensatz zwischen den beiden Jahresserien, die ganz einfach als gewöhnlicher Durchschnitt obiger Jahreszeitsserien gefunden wurden.

Beide Kurven sind einfache, d. h. sie zeigen nur ein Maximum und ein Minimum, sind aber die direkten Gegensätze von einander, wenn es sich um die Zeitpunkte für das Eintreffen der Extreme handelt.

Für klares und ruhiges Wetter erhält man ein Luftdruckmaximum im täglichen Verlauf um 11 a und ein Minimum um 1 a.

Bei trübem Wetter tritt ein Minimum am Vormittag ein, um 11 a, und ein Maximum um Mitternacht, um 0 a, praktisch genommen also der direkte Gegensatz zum Verlauf bei klarem Wetter.

Mossman hat eine ähnliche Untersuchung für die Süd-Orkney-Inseln in den verschiedenen Jahreszeiten angestellt. Eine Zusammenstellung fürs Jahr hat er nicht geliefert; bei einer ersten annähernden Berechnung für klares Wetter scheint sich aber als Zeit für das Maximum 10 a und für das Minimum 1 a zu ergeben, eine gute Übereinstimmung also mit Snow-Hill. Bei trübem Wetter sind auf den Süd-Orkney-Inseln die Zeiten für Maximum und Minimum etwas verschiedener von denen auf Snow-Hill, nämlich ein Minimum um 8 a und ein Maximum um 0 a.

Was die Jahreszeiten angeht, so ist ihr Typus eine Variation mit nur einem Maximum und einem Minimum. Eine Ausnahme macht jedoch der Winter sowohl für klares wie für trübes Wetter.

Bei klarem Winterwetter werden zwei ungefähr gleich grosse Maxima um 11 a und um 6 p von einem ziemlich unbedeutenden sekundären Minimum um 3 p getrennt; bei trübem Winterwetter findet sich wiederum ein sekundäres Maximum um 1 p zwischen zwei ziemlich gleich grossen Minima um 11 und um 3 p.

Schliesslich zeigt der Sommer bei trübem Wetter eine Andeutung zu einem sekundären Minimum um 2 a, zwischen den Maxima um 10 p und um 6 a.

Tab. 24. Täglicher Gang des Luftdrucks bei klarem Wetter.

Ausgeglichene Abweichungen vom Mittel in hundertstel mm.

Zahl der Tage	1 a.	2 a.	3 a.	4 a.	5 a.	6 a.	7 a.	8 a.	9 a.	10 a.	11 a.	Mittg.	1 p.	2 p.	3 p.	4 p.	5 p.	6 p.	7 p.	8 p.	9 p.	10 p.	11 p.	Mittn.	Zahl der Tage	
14	Herbst .	- 27	- 31	- 36	- 37	- 38	- 36	- 22	- 9	± 0	+ 13	+ 18	+ 18	+ 21	+ 21	+ 18	+ 22	+ 30	+ 34	+ 36	+ 32	+ 18	+ 2	- 10	- 21	14
12	Winter .	- 15	- 15	- 16	- 20	- 20	- 17	- 14	- 9	+ 1	+ 12	+ 16	+ 12	+ 10	+ 5	- 1	+ 3	+ 14	+ 18	+ 15	+ 9	+ 5	+ 1	± 0	- 7	12
12	Frühling	- 100	- 81	- 51	- 26	- 6	+ 14	+ 28	+ 34	+ 47	+ 67	+ 79	+ 73	+ 61	+ 46	+ 34	+ 25	+ 18	+ 11	+ 5	- 11	- 36	- 47	- 67	- 92	12
13	Sommer	- 22	- 19	- 15	- 8	± 0	+ 7	+ 13	+ 16	+ 17	+ 17	+ 16	+ 14	+ 11	+ 7	+ 5	+ 4	± 0	- 1	± 0	- 2	- 7	- 12	- 17	- 21	13
Jahr . . .		- 41	- 37	- 29	- 23	- 16	- 8	+ 1	+ 8	+ 16	+ 27	+ 32	+ 29	+ 26	+ 20	+ 14	+ 14	+ 15	+ 15	+ 14	+ 7	- 5	- 14	- 24	- 35	51

Täglicher Gang des Luftdrucks bei bedecktem Himmel.

Ausgeglichene Abweichungen vom Mittel in hundertstel mm.

Zahl der Tage	1 a.	2 a.	3 a.	4 a.	5 a.	6 a.	7 a.	8 a.	9 a.	10 a.	11 a.	Mittg.	1 p.	2 p.	3 p.	4 p.	5 p.	6 p.	7 p.	8 p.	9 p.	10 p.	11 p.	Mittn.	Zahl der Tage	
14	Herbst .	- 2	+ 3	+ 8	+ 9	+ 11	+ 12	+ 14	+ 20	+ 22	+ 17	+ 8	+ 1	- 3	- 8	- 14	- 17	- 16	- 17	- 21	- 23	- 17	- 7	± 0	- 1	14
12	Winter .	+ 88	+ 79	+ 65	+ 42	+ 24	+ 12	- 5	- 30	- 47	- 57	- 64	- 55	- 46	- 60	- 70	- 56	- 32	- 16	- 3	+ 15	+ 32	+ 51	+ 74	+ 91	12
12	Frühling	± 0	- 2	- 5	- 9	- 15	- 20	- 26	- 30	- 25	- 21	- 21	- 15	- 13	- 2	+ 8	+ 16	+ 25	+ 33	+ 35	+ 33	+ 24	+ 10	+ 2	12	
13	Sommer	+ 4	+ 1	+ 1	+ 4	+ 9	+ 11	+ 10	+ 7	+ 1	+ 6	+ 9	+ 12	+ 12	+ 11	- 7	- 3	± 0	+ 2	+ 3	+ 5	+ 6	+ 5	+ 5	13	
Jahr . . .		+ 22	+ 20	+ 17	+ 12	+ 7	+ 4	- 2	- 8	- 13	- 17	- 21	- 20	- 19	- 20	- 21	- 15	- 6	± 0	+ 4	+ 8	+ 13	+ 19	+ 22	+ 24	51

Bei klarem Wetter scheint die gegenseitige Übereinstimmung zwischen den verschiedenen Jahreszeiten eine bessere und markantere zu sein als bei trübem.

Für sämtliche klare Jahreszeiten (mit Ausnahme für den Winter um 3 p) gilt es, dass der Barometer in der Zeit 9 a—5 p über dem Durchschnitt und in der Zeit 11 p—5 a unter dem Durchschnitt steht.

Für die Jahreszeiten mit trübem Wetter lässt sich keine solche Regelmässigkeit finden, da die Herbstkurve im Verhältnis zu den übrigen drei um 5 à 6 Stunden verschoben ist. Von den übrigen, Winter, Frühling, Sommer gilt es jedoch, dass der Luftdruck in der Zeit 8 p—1 a, über dem Durchschnitt in der Zeit 9 a—2 p aber unter dem Durchschnitt liegt.

Lufttemperatur.

Aus den Lufttemperaturtabellen von Snow-Hill *) habe ich nachstehend eine Reihe Zahlen in Tabellenform zusammengestellt, um den Verlauf und die Veränderungen der Temperatur während eines Jahres in diesen westantarktischen Gegenden zu veranschaulichen.

Aus den mittleren Monatstemperaturen für die beiden Jahre nahm ich das Mittel, also, soweit dies möglich ist, aus den Observationen von 20 Monaten. Tab. 25.

Tab. 25. Jährlicher Gang der Lufttemperatur.

	Jan.	Febr.	März	April	Mai	Juni	Juli	Aug.	Sept.	Okt.	Nov.	Dez.
1902 . .	—	—	— 9.24	— 13.33	— 16.96	— 18.14	— 24.35	— 22.55	— 14.25	— 12.69	— 8.10	— 2.01
1903 . .	— 0.87	— 3.55	— 11.42	— 14.24	— 19.59	— 21.32	— 17.27	— 15.84	— 17.04	— 6.36	—	—
Mittel	— 0.87	— 3.55	— 10.33	— 13.78	— 18.17	— 19.73	— 20.83	— 19.20	— 15.64	— 9.52	— 8.10	— 2.01

Die Jahreskurve, Taf. 3, ist typisch für das antarktische Gebiet mit seiner niedrigen, extrem niedrigen Sommertemperatur und seiner, wenigstens für den hier in Betracht kommenden Breitengrad, ziemlich niedrigen Wintertemperatur. Die Amplitude zwischen dem wärmsten Monat, Januar, und dem kältesten Monat, Juli, beträgt im Durchschnitt 20°. Die Variation von einem Monat zum andern ist natürlich am geringsten im Sommer und Winter und erreicht ihr Maximum um die Tag- und Nachtgleichen von März—April und von September—Oktober, wo sie 6° à 7° beträgt.

Die Variation von November—Dezember scheint zwar ebenso hoch zu sein, aber die graphische Darstellung dieser Temperaturen deutet ja darauf hin, dass die No-

* Bd. II: L. 2.

vember-Temperatur, die nur von einem Jahre stammt, zu niedrig ist. Mit -6° als einer wahrscheinlicheren Temperatur für den November erhält man hier um die Frühjahrszeit eine intermonatliche Veränderung von 3° à 4° .

Die Temperaturenkurve mit ihrer kontinuierlichen Krümmung unterscheidet sich von der der typischsten antarktischen Station, der »Discovery«-Expedition, darin, dass die eigentliche Wintertemperatur erst im Mai eintritt und bis zum September dauert, während auf Victorialand der Temperaturfall bereits zwischen März und April ein derartiger war, dass man dort die Wintertemperatur als bereits im April erreicht ansehen muss.

In Tab. 26 habe ich die Durchschnitte der Maxima und Minima für jeden Monat sowie die Differenz zwischen denselben zusammengestellt.

Tab. 26. Mittlere tägliche Extreme der Lufttemperatur.

	1902			1903			Mittel von 1902 und 1903		
	Mittl. Max.	Mittl. Min.	Mittl. Ampl.	Mittl. Max.	Mittl. Min.	Mittl. Ampl.	Mittl. Max.	Mittl. Min.	Mittl. Ampl.
Januar	—	—	—	+ 1.21	— 2.73	3.94	+ 1.21	— 2.73	3.94
Februar	—	—	—	— 1.04	— 6.24	5.20	— 1.04	— 6.24	5.20
März	— 5.61	— 13.38	7.77	— 9.46	— 13.54	4.08	— 7.53	— 13.46	5.93
April	— 8.52	— 17.57	9.05	— 10.07	— 18.34	8.27	— 9.30	— 17.95	8.65
Mai	— 13.40	— 20.93	7.53	— 13.72	— 24.37	10.65	— 13.56	— 22.65	9.09
Juni	— 13.05	— 22.52	9.47	— 15.18	— 25.96	10.78	— 14.11	— 24.24	10.13
Juli	— 20.02	— 27.55	7.53	— 11.13	— 23.79	12.66	— 15.57	— 25.57	10.00
August	— 15.91	— 27.52	11.61	— 9.91	— 22.45	12.54	— 12.91	— 24.98	12.07
September	— 9.29	— 19.16	9.87	— 12.67	— 21.08	8.41	— 10.98	— 20.12	9.14
Oktober	— 8.85	— 16.41	7.56	— 1.14	— 11.58	10.44	— 5.00	— 14.00	9.00
November	— 5.71	— 10.56	4.85	—	—	—	— 5.71	— 10.56	4.85
Dezember	+ 0.46	— 4.84	5.30	—	—	—	+ 0.46	— 4.84	5.30

Die Kurven (Taf. 3) hatten, wie sich ja erwarten lässt, einen Verlauf, der den mittleren Monatstemperaturen gleicht. Aber in diesem Fall ist offenbar die Minimumkurve viel regelmässiger als die Maximumkurve, und hier bereits kann man eine Andeutung für das sporadische und zufällige Auftreten der hohen Temperaturen erblicken, während es augenscheinlich die niedrigen Temperaturen sind, die, wenn es sich um den Gang der mittleren Temperaturen handelt, die Leitung haben.

Die Differenzen zwischen den mittleren Maxima und den mittleren Minima (Taf. 8) zeigen im allgemeinen (Tab. 27) ziemlich hohe Werte, die grösser als die bei der »Fram«-Expedition gefundenen sind und denen der »Discovery«-Expedition gleichkommen,

wenn sie auch etwas niedriger als diese sind. Ihr Maximum zeigen diese Differenzen im Winter, wo der Unterschied im August bis zu 12° beträgt, und im Sommer ein Minimum von 4°.

Tab. 27. Mittlere tägliche Amplitude der Lufttemperatur.

	Jan.	Febr.	März	April	Mai	Juni	Juli	Aug.	Sept.	Okt.	Nov.	Dez.
Snow-Hill	3.94	5.20	5.93	8.65	9.09	10.13	10.00	12.07	9.14	9.00	4.85	5.30
»Discovery» . . .	7.00	7.56	7.06	9.06	9.83	11.50	10.78	10.94	10.11	8.72	7.28	6.67
	Juli	Aug.	Sept.	Okt.	Nov.	Dez.	Jan.	Febr.	März	April	Mai	Juni
»Fram»	2.05	3.55	6.27	7.69	7.39	6.51	7.05	8.05	7.94	7.26	5.06	3.48

Zum Vergleich sei angeführt, dass auf der »Fram« das Maximum dieser Differenzen 8° und auf der »Discovery« 11,5° betrug. Ein spezielles Kennzeichen für die »Discovery« sind die relativ grossen Fluktuationen in den Sommermonaten.

In Tab. 28 habe ich für jeden Monat den kältesten und den wärmsten Tag und den Unterschied ihrer mittleren Temperaturen notiert und in Taf. 3 das Resultat graphisch dargestellt.

Tab. 28. Extreme Tagesmittel der Lufttemperatur.

	1902			1903			Mittel von 1902 und 1903		
	Höchst. Tagesmittel	Niedrigst. Tagesmittel	Diff.	Höchst. Tagesmittel	Niedrigst. Tagesmittel	Diff.	Höchst. Tagesmittel	Niedrigst. Tagesmittel	Diff.
Januar	—	—	—	+ 1.81	— 2.59	4.40	+ 1.81	— 2.59	4.40
Februar	—	—	—	+ 0.22	— 10.36	10.58	+ 0.22	— 10.36	10.58
März	+ 1.81	— 16.09	17.90	+ 1.22	— 17.83	19.05	+ 1.51	— 16.96	18.45
April	— 0.82	— 21.80	20.98	+ 2.52	— 24.58	27.10	+ 0.85	— 23.19	24.04
Mai	— 0.42	— 26.15	25.73	— 8.24	— 27.41	19.17	— 4.33	— 26.78	22.45
Juni	— 2.60	— 27.75	25.15	— 3.65	— 31.66	28.01	— 3.12	— 29.70	26.58
Juli	— 10.60	— 31.07	20.47	+ 0.53	— 29.96	30.49	+ 5.03	— 30.51	25.48
August	— 4.19	— 36.57	32.38	+ 3.52	— 29.06	32.58	— 0.33	— 32.81	32.48
September	+ 1.97	— 30.69	32.66	— 0.02	— 28.42	28.40	+ 0.97	— 29.55	30.52
Oktober	— 0.25	— 22.39	22.14	+ 3.96	— 24.40	28.36	+ 1.85	— 23.40	25.25
November	— 1.07	— 14.85	13.78	+ 3.37	— 10.29	13.66	+ 1.15	— 12.57	13.72
Dezember	+ 0.19	— 6.08	6.27	—	—	—	+ 0.19	— 6.08	6.27

ARCTOWSKI sagt in seinem Bericht über die Temperaturzahlen der »Belgica«-Expedition, dass es daselbst die niedrigen Temperaturen sind, die das grösste Interesse

auf sich lenken. Für Snow-Hill gilt dies nur insoweit, als seine niedrigen Sommer-temperaturen diese Regel im antarktischen Gebiet bestätigen.

Die mittleren Temperaturen der kältesten Tage verändern sich von Monat zu Monat ziemlich regelmässig bis zum August, wo $-32,8^{\circ}$ der Durchschnitt der kältesten Tage in den beiden Jahren ist. Das absolut niedrigste Tagesmittel war $-36,6^{\circ}$ im August 1902. Im ganzen wurden nur 12 Tagesmittel unter -30° beobachtet, und von diesen fielen 11 in den Winter 1902.

Wenden wir uns nun den höchsten mittleren Temperaturen zu, dann finden wir hier das eigentümliche und scharf hervortretende Verhältnis, dass diese wärmsten Tage nicht in die Sommerzeit fallen. Im Sommer, Dezember—Februar, stieg das Tagesmittel nur ein Mal über $+1^{\circ}$ und zwar auf $+1,8^{\circ}$.

Auf die übrigen Monate kommen im ganzen 9 Tage mit einer mittleren Temperatur, die höher ist als $+1^{\circ}$, und eine der höchsten, $+3,5^{\circ}$, fiel sogar mitten in den Winter, in den August 1903. Im ganzen wurden 24 Plustage notiert und von diesen 10 im Sommer, die übrigen 14 auf die andern Monate verteilt.

Die Kurve für diese wärmsten Tage, als Mittel für ein Jahr berechnet, hat ihr Minimum im Winter, steigt aber dann stark zu Maxima im Frühling und Herbst (Taf. 3).

Fürs Jahr berechnet gelten für Snow-Hill 17 à 18 Tage mit einer mittleren Temperatur über 0° , also bedeutend mehr als die entsprechende Anzahl für die »Discovery« (= 5) und die »Gauss« (= 9), aber auch viel weniger als für die »Belgica« (= 30) und für »Kap Adare« (= 31).

Diese Details ergeben sich aus Tab. 29, wo ich für jeden Monat die mittleren Tagestemperaturen in Gruppen, die 5° umfassen, geordnet habe.

Tab. 29. Zahl der Tage mit Temperaturmitteln von . . . Graden.

	Jan.	Febr.	März	Apr.	Mai	Juni	Juli	Aug.	Sept.	Okt.	Nov.	Dez.	Herbst	Winter	Früh- ling	Sommer	Jahr	Gauss Jahr
über 0°	7	1	1,5	0,5	0,5	—	0,5	0,5	0,5	3,5	—	2	2,5	1	4	10	17,5	9
$\pm 0^{\circ} - -5^{\circ}$	24	21	5,5	5	3	2	1	3	4	7,5	5	27	13,5	6	16,5	72	108	97
$-5^{\circ} - -10^{\circ}$	—	5	3	1,5	2	2	2	2,5	4,5	19	2	6,5	6	26	7	45,5	62	
$-10^{\circ} - -15^{\circ}$	—	1	16,5	7,5	2,5	3	3	4	4	5,5	6	—	26,5	10	15,5	1	53	72
$-15^{\circ} - -20^{\circ}$	—	—	4,5	9	5,5	5,5	4	4,5	10	7	—	—	19	14	17	—	50	63
$-20^{\circ} - -25^{\circ}$	—	—	—	6,5	13	9,5	10,5	7	7	3	—	—	19,5	27	10	—	56,5	37
$-25^{\circ} - -30^{\circ}$	—	—	—	—	4,5	7,5	7,5	8	1	—	—	—	4,5	23	1	—	28,5	20
unter -30°	—	—	—	—	—	0,5	2,5	2	1	—	—	—	—	5	1	—	6	5

Fürs Durchschnittsjahr variiert, wie ja zu erwarten, die mittlere Tagestemperatur ziemlich regelmässig mit einer höchsten mittleren Temperatur von 0° bis -5° als der gewöhnlichsten (in 87% von allen) im Dezember bis zu einer niedrigsten mitt-

leren Temperatur von -25° bis -30° als der gewöhnlichsten (in 26% von allen) im August.

Für die Jahreszeiten gelten als gewöhnlichste Typen für die Tagesmittel

Herbst: -10° à -15° (in 29%)

Winter: -20° à -25° (in 29%)

Frühling: -5° à -10° (in 28%)

Sommer: $\pm 0^{\circ}$ à -5° (in 78%)

Der Frühling hat also mehr warme Tage aufzuweisen als der Herbst, wenn es sich um die gewöhnlichsten Temperaturtypen handelt; so ist es jedoch durchgehends der Fall. In den Frühling fallen mehr Tage mit einer Tagestemperatur, wärmer als -10° , wie in den Herbst. Der Frühling weist weniger Tage auf mit einem Tagesmittel, kälter als -10° , wie der Herbst. Wie bei der »Gauss«-Expedition erhält man im Jahresdurchschnitt die grösste Anzahl von Tagen mit einer mittleren Temperatur von 0° à -5° . Dort fand man dann ein sekundäres Maximum für den Temperatur-Intervall -10° à -15° , innerhalb welchem das Jahresmittel liegt. Ein ähnliches Steigen der Anzahl zeigt sich auch bei Snow-Hill, doch ist wohl zu merken, dass bei Snow-Hill ein anderes noch mehr hervortretendes Maximum beim Temperatur-Intervall -20° à -25° erscheint.

Tab. 30. Absolute Extreme der Lufttemperatur.

	1902			1903			Mittel von 1902 und 1903		
	Abs. Max.	Abs. Min.	Abs. Ampl.	Abs. Max.	Abs. Min.	Abs. Ampl.	Abs. Max.	Abs. Min.	Abs. Ampl.
Januar	—	—	—	+ 5.6	— 5.7	11.3	+ 5.6	— 5.7	11.3
Februar	—	—	—	+ 2.9	— 14.5	17.4	+ 2.9	— 14.5	17.4
März	+ 7.8	— 20.5	28.3	+ 5.4	— 18.5	23.9	+ 6.6	— 19.5	26.1
April	+ 6.1	— 28.5	34.6	+ 7.9	— 28.2	36.1	+ 7.0	— 28.3	35.3
Mai	+ 6.8	— 30.1	36.9	+ 7.2	— 30.7	37.9	+ 7.0	— 30.4	37.4
Juni	+ 4.2	— 31.2	35.4	+ 2.3	— 35.8	38.1	+ 3.3	— 33.5	36.7
Juli	— 1.4	— 34.8	33.4	+ 4.1	— 33.8	37.9	+ 1.3	— 34.3	35.7
August	+ 1.1	— 41.4	42.5	+ 9.3	— 33.3	42.6	+ 5.2	— 37.3	42.5
September	+ 7.6	— 34.9	42.5	+ 6.0	— 32.5	38.5	+ 6.8	— 33.7	40.5
Oktober	+ 6.3	— 24.8	31.1	+ 7.1	— 25.7	32.8	+ 6.7	— 25.2	32.0
November	+ 6.4	— 17.0	23.4	+ 7.7	— 13.0	20.7	+ 7.0	— 18.8	22.0
Dezember	+ 3.0	— 9.8	12.8	—	—	—	+ 3.0	— 9.8	12.8

Da die mittleren Jahrestemperaturen der beiden Expeditionen einander ziemlich nahe liegen, bestätigt diese Verschiedenheit der beiden Orte den so markiert hervortretenden Unterschied in ihren Temperaturtypen, indem nämlich bei Snow-Hill eine

weit grössere Veränderung und Variation im Temperaturverhältnis der *relativ* gleichmässigeren Kälte der »Gauss«-Expedition gegenübertritt.

In Tab. 30 habe ich schliesslich die observierten absoluten Maxima und Minima für jeden Monat zusammengefasst. Auch hier finden wir denselben regelmässigen Verlauf der Kurve hinsichtlich der absoluten Minima als Mittel der beiden Jahre. Eines Kommentars für den Verlauf dieser Kurve (Taf. 3) bedarf es nicht. Es sei nur darauf hingewiesen, dass die *niedrigste beobachtete Temperatur* $-41,2^{\circ}$ war und im August 1902 notiert wurde. Was die übrigen niedrigen Temperaturen anlangt, so kamen Minimumtemperaturen unter -30° nur in der Zeit März-September, 1902 an 33 Tagen, davon an 2 unter -40° , 1903 an 19 Tagen, im Durchschnitt also an 22 Tagen jährlich vor. Im Zusammenhang mit den niedrigen Sommertemperaturen will ich auf die merkwürdige Tatsache hinweisen, dass während unseres ganzen 20 Monate langen Aufenthaltes bei Snow-Hill das *Minimum nur zwei Mal über den Gefrierpunkt hinausging und dies zwar nicht im Sommer, sondern in vereinzeltten Fällen im Oktober 1903*. Tage, an denen das Minimum über 0° hinausgeht, nennt man frostfreie Tage. In Snow-Hill findet man also einen Ort, an welchem es wenigstens so wie im Jahre 1902 vorkommen kann, dass ein ganzes Jahr (genauer berechnet 19 Monate nach einander) keinen einzigen frostfreien Tag hat. Hier haben wir einen der typischsten Charaktere des rein antarktischen Klimas, dessen Kältewirkung also mit Rücksicht auf Snow-Hill sich auf gewissen Longituden sogar über den südlichen Polarkreis hinaus erstrecken muss. Die gleichzeitige »Discovery«-Expedition verlebte zwei Jahre ohne einen einzigen frostfreien Tag; die »Gauss«-Expedition hatte in einem Jahre nur einen frostfreien Tag zu verzeichnen.

Es liegt ja aber eine gewisse Wahrscheinlichkeit vor, dass das erste Jahr 1902 wenigstens für Snow-Hill hinsichtlich der Kälte ein ziemlich extremes war. Dies geht u. a. aus den hohen Temperaturen in der ersten Woche des November 1903 hervor, einer Woche, die im allgemein nicht mitgerechnet ist, wenn es sich um die Statistik von Snow-Hill handelt. In diese Woche fiel der dritte frostfreie Tag im Laufe von 20 à 21 Monaten.

Was die absoluten Maximumkurven angeht, so findet man, wie ja auch zu erwarten ist, in ihrer Jahreskurve (Taf. 3) eine ziemlich treue Abspiegelung der Kurve, welche die wärmsten Tage repräsentiert. Hier zeigt es sich noch deutlicher, dass, was das berechnete Durchschnittsjahr angeht, die extrem hohen Temperaturen nicht in die Sommer-, sondern in die Herbst- und Frühlingsmonate fallen.

Im Sommer war das absolute Maximum $+5,6^{\circ}$ und fiel in den Januar. Dies Maximum wird in der Regel in allen Herbst- und Frühlingsmonaten überschritten und vom Durchschnittswert der beiden observierten Maxima im August beinahe erreicht. In der Tat fiel die *höchste beobachtete Temperatur* $+9,3^{\circ}$ *mitten in den Winter*, in den August 1903. Derartige hohe Temperaturen scheinen nicht zufällig

nur auf Snow-Hill observiert worden zu sein. Auch von der »Discovery«-Expedition kennt man solche relativ milde Oasen mitten in der Frostwüste des Winters, die aber nicht annähernd die hohen Temperaturen von Snow-Hill erreichen*). Dieses Auftreten plötzlicher lauer Luftströmungen mitten im tiefsten Winter dürfte neben den niedrigen mittleren Sommertemperaturen, die bis unter den Gefrierpunkt heruntergehen, zu den interessantesten Kapiteln der antarktischen Meteorologie gehören, wenn dieselben auch augenblicklich sich nicht vollkommen genügend erklären lassen.

Es war übrigens ziemlich gewöhnlich, dass der Thermometer an einem Tage über den Gefrierpunkt hinausging, im Durchschnitt 98 à 99 Mal im Jahre, von denen mehr als die Hälfte auf die Sommermonate kam (51 Mal). Im Dezember und Januar war es, wie man sagen kann, Regel, dass die Maximumtemperatur über $\pm 0^\circ$ betrug.

Die Verteilung der Temperaturextreme auf die verschiedenen Monate des Jahres habe ich in Tab. 31 vorgenommen, ich teilte sie ebenso wie bei den Tagesmitteln in Gruppen, die 5° umfassen.

Tab. 31. Zahl der Tagesextreme von . . . Graden.

Maxima.

	Jan.	Febr.	März	Apr.	Mai	Juni	Juli	Aug.	Sept	Okt.	Nov.	Dez.	Herbst	Winter	Früh- ling	Sommer	Jahr	Gauss- Jahr
über 0°	20	10	5	7.5	4.5	4	2.5	5	6	12	1	21	17	11.5	19	51	98.5	54
0° — 5°	11	16	4	1.5	4	1	4.5	5	3	5	10	10	9.5	10.5	18	37	75	82
-5° — -10°	—	2	8	3.5	1	5.5	2	2	2.5	2.5	15	—	12.5	9.5	20	2	44	74
-10° — -15°	—	—	13	10	2.5	4.5	2	4.5	6.5	5.5	4	—	25.5	11	16	—	52.5	76
-15° — -20°	—	—	1	5	8.5	4	7.5	5	6	5	—	—	14.5	16.5	11	—	42	53
-20° — -25°	—	—	—	2.5	9	7.5	7.5	4	4	1	—	—	11.5	19	5	—	35.5	21
-25° — -30°	—	—	—	—	1.5	3.5	5	4	2	—	—	—	1.5	12.5	2	—	16	3
unter -30°	—	—	—	—	—	—	—	1.5	—	—	—	—	—	1.5	—	—	1.5	2

Minima.

	Jan.	Febr.	März	Apr.	Mai	Juni	Juli	Aug.	Sept.	Okt.	Nov.	Dez.	Herbst	Winter	Früh- ling	Sommer	Jahr	Gauss- Jahr
über 0°	—	—	—	—	—	—	—	—	—	1	—	—	—	—	1	—	1	1
0° — 5°	30	14	1.5	0.5	—	—	1	0.5	1	2.5	—	18	2	1.5	3.5	62	69	54
-5° — -10°	1	9	4.5	1	2	1	—	0.5	2	5.5	12	13	7.5	1.5	1.95	23	51.5	71
-10° — -15°	—	5	11	8	2	1	1	1.5	3.5	6	15	—	21	3.5	24.5	5	54	66
-15° — -20°	—	—	13.5	11	1.5	5	2	4.5	5	9.5	3	—	26	11.5	17.5	—	55	50
-20° — -25°	—	—	0.5	6	12.5	7	8	9	11.5	6	—	—	19	24	17.5	—	60.5	53
-25° — -30°	—	—	—	3.5	12	11.5	9	5.5	4.5	0.5	—	—	15.5	26	5	—	46.5	40
unter -30°	—	—	—	—	1	4.5	9	9.5	2.5	—	—	—	1	23	2.5	—	26.5	30

* Bei der »Gauss«-Expedition treten sie kaum hervor.

Was die Maxima angeht, so fällt ihre grösste Zahl im Herbst in den Temperaturintervall -10° à -15° , im Winter in den Intervall -20° à -25° , im Frühling in die Gruppe -5° à -10° , für diese Jahreszeiten also in dieselben Temperaturintervalle wie die mittleren Temperaturen.

Im Sommer liegen, wie zu erwarten, die meisten Maxima in der Gruppe über 0° . Fürs Jahr ist es ebenso wie bei den mittleren Temperaturen und den Minimumtemperaturen der Sommer, der mit seiner gleichmässigen Temperatur und seinem daher grösseren Einfluss dominiert und die grösste Anzahl von Maxima in der Gruppe über 0° aufweist; doch erzeugen die übrigen Jahreszeiten vereint ein, wenn auch schwach hervortretendes, sekundäres Maximum im Intervall -10° à -15° .

Für die Minima ergibt die Tabelle im allgemeinen die grösste Anzahl in den Temperaturgruppen, die unmittelbar kälter sind als die für die Maxima. So fallen die zahlreichsten Minima im Herbst in die Gruppe -15° à -20° , im Winter in die Gruppe -25° à -30° , im Frühling in den Intervall -10° à -15° und im Sommer so hoch, dass sie zwischen den Temperaturen $\pm 0^{\circ}$ und -5° liegen.

Als Übergang von den unperiodischen Veränderungen zum täglichen Verlauf der Temperatur ist es wohl angebracht, mit einigen Worten den Zeitpunkt für das Eintreffen der Maxima und der Minima sowie den Zusammenhang zu berühren, der möglicherweise zwischen ihnen und dem täglichen Verlauf der Temperatur wahrgenommen werden kann.

Ich habe das thermometrische Tabellenmaterial (Bd II: L 2) in der Absicht bearbeitet, zu ergründen, ob sich hinsichtlich des Zeitpunktes für die Maxima und Minima eine Gesetzmässigkeit nachweisen lässt.

Ebenso wie beim Zeitpunkt für das Eintreten der Luftdruckextreme muss man auch hier die Fälle climinieren, wo infolge eines kontinuierlichen Steigens oder Sinkens der Temperatur ein Maximum oder Minimum in die Mitternachtsstunde fallen müsste. Es ist alsdann nur ein scheinbares Maximum oder Minimum, das man ausser Rechnung lassen muss, weil man sonst infolge des in der Mitternachtsstunde eintretenden Tageswechsels unfehlbar eine unberechtigte Anhäufung von Maxima und Minima in den Mitternachtsstunden erhält. (Vergl. »Discovery«-Exped.)

In der letzten Kolonne von Tab. 32 erhält man einen Überblick über die Bedeutung, die ein Vernachlässigen einer solchen Eliminierung haben kann. In dieser Kolonne steht die Anzahl Maxima und Minima, die beim systematischen Ordnen eintrafen.

Hätte man alle ohne Ausnahme mitgerechnet, dann wären auf die Zeilen »Herbst« und »Winter« 184 Observationen (jede dieser Jahreszeiten 6 Monate), auf Frühling 152 (5 Monate) und auf Sommer 90 (3 Monate), im ganzen 610 Observationen gekommen.

Von diesen musste eine ganze Reihe aus oben angegebenen Gründen ausgeschlossen werden, und im allgemeinen gilt dies, wie man sieht, durchgehends in

Tab. 32. Prozentische Häufigkeit des Eintritts der wahren Temperaturextreme.

Maxima.													
	0a-2a	2a-4a	4a-6a	6a-8a	8a-10a	10a-Mittg	Mittg-2p	2p-4p	4p-6p	6p-8p	8p-10p	10p-Mittg	Observ. Summe
Herbst .	7	5	8	4	7	4	18	13	10	6	7	11	156
Winter .	7	11	8	7	5	7	6	9	7	7	9	17	150
Frühling	5	4	4	6	7	8	11	24	10	5	5	11	135
Sommer	3	0	2	0	2	13	27	32	10	3	2	6	90
Jahr . .	6	5	6	5	6	8	14	18	9	5	6	12	532
Minima.													
Herbst .	8	9	12	16	12	4	1	4	4	6	6	18	141
Winter .	8	9	7	11	7	8	8	3	7	8	5	19	149
Frühling	7	16	21	12	7	2	1	0	4	5	6	19	120
Sommer	13	30	23	9	4	1	0	0	0	0	7	13	76
Jahr . .	9	14	14	12	8	5	3	2	4	5	6	18	486
	0a-2a	2a-4a	4a-6a	6a-8a	8a-10a	10a-Mittg	Mittg-2p	2p-4p	4p-6p	6p-8p	8p-10p	10p-Mittg	Observ. Summe

höherem Grad für Minima als für Maxima. Für die ganze Zeit, 20 Monate, berechnet, wurden 79 Maxima und 124 Minima d. h. 13 % in ersterem und 20 % in letzterem Falle eliminiert. Diese wären sonst alle aufs Konto der Mitternachtsstunden gekommen und hätten daher der Frequenz ein ganz anderes Aussehen verliehen.

Mit Ausschluss also dieser zufälligen Maxima und Minima habe ich die wirklichen Maxima und Minima nach Stunden geordnet. Zur grösseren Übersichtlichkeit hielt ich es für angebracht, sie in Gruppen zu zwei Stunden zusammenzufassen.

Damit alsdann die einzelnen Jahreszeiten direkt miteinander verglichen werden können, habe ich, anstatt für die verschiedenen Stundengruppen die observierte Zahl anzugeben, sie in Prozenten des gesamten Observationsmaterials für die verschiedenen Jahreszeiten ausgedrückt (Tab. 32).

Was die Maxima angeht, so gilt für Frühling, Sommer und Herbst die Regel, dass die meisten zwischen Mittag und 4 Uhr nachm. eintreffen.

Ein sekundäres Maximum nimmt man zwischen 10 abends und Mitternacht wahr; hier ist jedoch die Möglichkeit nicht ausgeschlossen, dass die Eliminierung zufälliger Maxima, d. h. nichtwirklicher, nicht hinreichend war.

Die geringste Anzahl von Maxima in diesen Jahreszeiten fällt in die Morgen- und Vormittagsstunden.

Der Winter wiederum ergibt ein Maximum um 10—12 nachm. und um 2—4 morgens, ersteres ist jedoch einigem Zweifel unterworfen. Die geringste Frequenz fällt in die Zeit 8—10 vorm. Fürs Jahr berechnet treffen die meisten Temperaturmaxima (18%) zwischen 2 und 4 nachm. ein. Abgesehen von der zweifelhaft hohen Anzahl um 10 nachm.—Mitternacht ist die Aussicht auf Maxima zwischen 6 nachm.—10 vorm. für die verschiedenen zweistündigen Perioden ungefähr die gleiche, nämlich 5,5% für jede Periode.

Für die Minima gilt, wenn auch nicht in gleich hohem Grade, das vorher von den Maxima Gesagte hinsichtlich der Eliminierung zufälliger Maxima in der Zeit 10 nachm.—Mitternacht.

Abgesehen von einem eventuellen primären oder sekundären Frequenzmaximum um die Zeit 10 nachm.—Mitternacht treffen im Herbst und Winter die meisten Temperaturmaxima um 6—8 vorm., im Frühling um 4—6 vorm. und im Sommer noch früher, um 2—4 vorm. ein.

Die geringste Aussicht auf ein Minimum besteht im Herbst für die Zeitperiode Mittag—2 nachm., im Winter und Frühling für die Zeit 2 nachm.—4 nachm.

Für den Sommer fehlt jede Minimumtemperatur in der Zeit Mittag—8 nachm.

Fürs Jahr zeigt die Anzahl der Temperaturminima für die einzelnen Stunden ein deutliches Maximum (14%) um 2—4 und um 4—6 vorm. und ein scharfes Frequenzminimum um 2—4 nachm.

Schliesslich habe ich in Tab. 33 die Zahl der Maxima und Minima für die verschiedenen zweistündigen Perioden in derselben Weise behandelt, wie das ähnliche statistische Material hinsichtlich des Luftdruckes. Indem ich für die verschiedenen Stunden die Frequenz des Temperaturminimums von der Frequenz des Temperaturmaximums abziehe, erhalte ich Relativzahlen, die teils positiv teils negativ sind. Die positiven Zahlen zeigen an, dass die Temperaturmaxima in einer gegebenen Stunde in überwiegendem Grad vorherrschen, die negativen, das dasselbe von den Temperaturminima gilt.

Tab. 33. Differenz zwischen den prozentischen Häufigkeiten der wahren Temperaturextreme.

	0a-2a	2a-4a	4a-6a	6a-8a	8a-10a	10a-Mttg	Mttg-2p	2p-4p	4p-6p	6p-8p	8p-10p	10p-Mttn
Herbst	- 1	- 4	- 4	-12	- 5	± 0	+17	+ 9	+ 6	± 0	+ 1	- 7
Winter	- 1	+ 2	+ 1	- 4	- 2	- 1	- 2	+ 6	± 0	- 1	+ 4	- 2
Frühling	- 2	-12	-17	- 6	± 0	+ 6	+10	+24	+ 6	± 0	- 1	- 8
Sommer	-10	-30	-21	- 9	- 2	+12	+27	+32	+10	+ 3	- 5	- 7
Jahr	- 3	- 9	- 8	- 7	- 2	+ 3	+11	+16	+ 5	± 0	± 0	- 6

Die Resultate für die einzelnen Jahreszeiten sind:

Herbst: die Maxima sind am stärksten vorherrschend in den Stunden Mittag—2 nachm., die Minima in der Zeit 6—8 vorm.

Der Winter zeigt kaum eine ausgeprägte Verteilung von Maxima und Minima, möglicherweise eine schwach überwiegende Anzahl Maxima um 2—4 nachm. und eine geringe Mehrzahl Minima in der Zeit 6—8 vorm.

Der Frühling hat einen ausgeprägten Überschuss von Maxima in der Zeit 2—4 nachm. und ebenso eine Mehrzahl von Minima um 4—6 vorm.

Der Sommer hat die typischste Verteilung mit der grössten Zahl von Maxima um 2—4 nachm. und dem grössten Überschuss von Minima um 2—4 vorm.

Fürs Jahr sind die Maxima um 2—4 nachm. und die Minima um 2—4 vorm am vorherrschendsten.

Schon in diesen Resultaten sieht man in grossen Zügen den Zusammenhang zwischen den beiden Phänomen, der täglichen periodischen Temperaturveränderung und den Extremen der unperiodischen Veränderung.

In der wärmeren Jahreszeit, dem Sommer, herrscht die periodische Veränderung vor und bewirkt, dass daselbst die Überschüsse zwischen Maxima und Minima prägnanter sind als sonst.

Im Herbst und Frühling verringert sich die Wirkung der Insolation, die ordinären Maximum und Minimumzeiten der periodischen Veränderung addieren sich mit geringer Zahl zur unperiodischen.

Und im Winter schliesslich hat die periodische Veränderung ihre ganze Bedeutung verloren. Temperaturmaxima und Temperaturminima werden jetzt ausschliesslich von Winden und Cyklonen bedingt. Temperaturmaxima und Temperaturminima verteilen sich gleichmässig auf den ganzen Tag.

Den täglichen Verlauf der Temperatur habe ich sowohl für die verschiedenen Monate des Jahres wie für die Jahreszeiten und auch fürs Jahr in seiner Gesamtheit in Zahlen in den Tab. 34 und 35 mitgeteilt. In Tab. 35 ist für jede Stunde die Abweichung von der mittleren Temperatur angegeben, nachdem die Serie für jeden Monat hinsichtlich der Temperaturveränderung von Monat zu Monat korrigiert worden ist. Zur besseren Übersichtlichkeit habe ich diese Tabelle auch graphisch dargestellt (Taf. 4 und 5).

Der tägliche Verlauf ist natürlich am ausgeprägtesten in den Sommermonaten mit ziemlich grosser Amplitude zwischen Maximum und Minimum, in zwei Monaten, im November und Dezember, sogar grösser als 3°. Das Maximum tritt zwischen 2 und 3 p. m. ein und das Minimum ungefähr beim Sonnenaufgang. Dies in der helleren Jahreshälfte September—März.

Tab. 34. Täglicher Gang

	1 a. m.	2 a. m.	3 a. m.	4 a. m.	5 a. m.	6 a. m.	7 a. m.	8 a. m.	9 a. m.	10 a. m.	11 a. m.	Mittg.
Januar	- 1.63	- 1.77	- 1.89	- 1.99	- 1.90	- 1.76	- 1.47	- 1.16	- 0.87	- 0.54	- 0.25	+ 0.07
Februar	- 4.09	- 4.40	- 4.74	- 4.93	- 4.94	- 4.87	- 4.75	- 4.22	- 3.91	- 3.51	- 3.04	- 2.70
März	- 10.80	- 10.93	- 11.10	- 11.12	- 11.24	- 11.22	- 11.35	- 10.92	- 10.72	- 10.24	- 9.99	- 9.63
April	- 14.15	- 13.99	- 13.97	- 14.17	- 14.35	- 14.12	- 14.47	- 14.16	- 13.63	- 13.72	- 13.65	- 13.16
Mai	- 18.93	- 18.93	- 18.83	- 18.63	- 18.46	- 18.13	- 18.04	- 18.06	- 17.88	- 17.73	- 17.59	- 17.22
Juni	- 19.29	- 19.45	- 19.77	- 19.82	- 19.53	- 19.47	- 19.62	- 19.84	- 20.09	- 20.26	- 20.02	- 20.18
Juli	- 21.17	- 21.30	- 21.17	- 21.00	- 21.35	- 21.20	- 21.44	- 21.14	- 21.04	- 21.03	- 20.81	- 20.43
August	- 19.04	- 19.05	- 19.42	- 19.28	- 19.28	- 19.40	- 19.58	- 19.45	- 19.41	- 18.76	- 18.52	- 18.86
September	- 16.28	- 16.30	- 16.32	- 16.56	- 16.70	- 16.52	- 16.36	- 16.14	- 15.33	- 15.07	- 14.95	- 14.75
Oktober	- 10.40	- 10.36	- 10.41	- 10.38	- 10.50	- 10.27	- 10.26	- 10.05	- 9.53	- 9.00	- 8.53	- 8.33
November	- 8.95	- 9.30	- 9.43	- 9.58	- 9.56	- 9.41	- 8.94	- 8.52	- 8.08	- 7.78	- 7.35	- 7.20
Dezember	- 3.37	- 3.54	- 3.65	- 3.71	- 3.62	- 3.03	- 2.64	- 2.18	- 1.69	- 1.25	- 0.81	- 0.55
Herbst	- 14.63	- 14.62	- 14.63	- 14.64	- 14.68	- 14.48	- 14.62	- 14.38	- 14.08	- 13.89	- 13.74	- 13.34
Winter	- 19.83	- 19.93	- 20.12	- 20.03	- 20.05	- 20.02	- 20.21	- 20.14	- 20.18	- 20.02	- 19.78	- 19.82
Frühling	- 11.88	- 11.99	- 12.05	- 12.24	- 12.25	- 12.07	- 11.85	- 11.57	- 10.98	- 10.62	- 10.28	- 10.09
Sommer	- 3.03	- 3.24	- 3.43	- 3.54	- 3.49	- 3.22	- 2.95	- 2.52	- 2.16	- 1.73	- 1.37	- 1.06
Jahr	- 12.34	- 12.45	- 12.56	- 12.61	- 12.62	- 12.45	- 12.41	- 12.15	- 11.85	- 11.56	- 11.29	- 11.08

Tab. 35. Jährlicher Gang

Abweichungen

	0 a. m.	1 a. m.	2 a. m.	3 a. m.	4 a. m.	5 a. m.	6 a. m.	7 a. m.	8 a. m.	9 a. m.	10 a. m.
Januar	- 0.84	- 0.76	- 0.90	- 1.02	- 1.12	- 1.03	- 0.89	- 0.60	- 0.29	+ 0.00	+ 0.33
Februar	- 0.41	- 0.54	- 0.85	- 1.19	- 1.38	- 1.39	- 1.32	- 1.27	- 0.67	- 0.36	+ 0.04
März	- 0.34	- 0.47	- 0.60	- 0.77	- 0.79	- 0.91	- 0.89	- 1.02	- 0.59	- 0.39	+ 0.09
April	- 0.46	- 0.37	- 0.21	- 0.19	- 0.39	- 0.57	- 0.34	- 0.69	- 0.38	+ 0.15	+ 0.06
Mai	- 0.64	- 0.76	- 0.76	- 0.66	- 0.46	- 0.29	+ 0.04	+ 0.13	+ 0.11	+ 0.29	+ 0.41
Juni	+ 0.65	+ 0.44	+ 0.28	- 0.04	- 0.09	+ 0.20	+ 0.26	+ 0.11	- 0.11	- 0.36	- 0.53
Juli	- 0.18	- 0.34	- 0.47	- 0.34	- 0.17	- 0.52	- 0.37	- 0.61	- 0.31	- 0.21	- 0.20
August	- 0.10	+ 0.16	+ 0.15	- 0.22	- 0.08	- 0.08	- 0.20	- 0.38	- 0.25	- 0.21	+ 0.44
September	- 0.55	- 0.64	- 0.66	- 0.68	- 0.92	- 1.06	- 0.88	- 0.72	- 0.50	+ 0.31	+ 0.57
Oktober	- 0.88	- 0.88	- 0.84	- 0.89	- 1.06	- 0.98	- 0.75	- 0.74	- 0.53	- 0.01	+ 0.52
November	- 0.46	- 0.85	- 1.20	- 1.33	- 1.48	- 1.46	- 1.31	- 0.84	- 0.42	+ 0.02	+ 0.32
Dezember	- 1.09	- 1.16	- 1.53	- 1.64	- 1.70	- 1.61	- 1.02	- 0.63	- 0.17	+ 0.32	+ 0.76
Herbst	- 0.47	- 0.53	- 0.52	- 0.53	- 0.54	- 0.58	- 0.38	- 0.52	- 0.28	+ 0.02	+ 0.21
Winter	+ 0.11	+ 0.08	- 0.02	- 0.21	- 0.12	- 0.14	- 0.11	- 0.30	- 0.23	- 0.27	- 0.11
Frühling	- 0.64	- 0.67	- 0.78	- 0.84	- 1.03	- 1.04	- 0.86	- 0.64	- 0.36	+ 0.23	+ 0.59
Sommer	- 0.78	- 0.89	- 1.10	- 1.29	- 1.40	- 1.35	- 1.08	- 0.81	- 0.58	- 0.02	+ 0.41
Jahr	- 0.49	- 0.54	- 0.65	- 0.76	- 0.81	- 0.82	- 0.65	- 0.61	- 0.35	- 0.05	+ 0.24

der Lufttemperatur.

1 p.m.	2 p.m.	3 p.m.	4 p.m.	5 p.m.	6 p.m.	7 p.m.	8 p.m.	9 p.m.	10 p.m.	11 p.m.	Mittn	Ampl.
+ 0.23	+ 0.40	+ 0.35	+ 0.36	+ 0.01	- 0.25	- 0.56	- 0.72	- 0.96	- 1.41	- 1.54	- 1.71	2.39
- 2.35	- 2.28	- 2.20	- 2.28	- 2.38	- 2.52	- 2.92	- 3.26	- 3.53	- 3.63	- 3.69	- 3.96	2.74
- 9.43	- 9.13	- 9.21	- 9.15	- 9.36	- 9.67	- 10.05	- 10.29	- 10.44	- 10.60	- 10.66	- 10.67	2.22
- 12.94	- 12.90	- 13.19	- 13.63	- 13.68	- 13.93	- 13.55	- 13.36	- 13.76	- 13.92	- 14.23	- 14.24	1.57
- 17.07	- 17.06	- 17.29	- 17.73	- 17.68	- 18.08	- 18.56	- 18.75	- 18.74	- 18.92	- 19.07	- 18.81	2.01
- 20.32	- 19.94	- 20.00	- 19.97	- 20.07	- 20.02	- 19.57	- 19.55	- 19.31	- 19.22	- 19.02	- 19.08	1.30
- 20.18	- 19.99	- 20.27	- 20.18	- 20.49	- 20.51	- 20.68	- 20.80	- 20.81	- 20.60	- 20.85	- 21.01	1.45
- 18.84	- 18.72	- 19.35	- 19.54	- 19.42	- 19.22	- 19.35	- 19.28	- 19.29	- 19.25	- 19.20	- 19.30	1.02
- 14.30	- 14.35	- 14.17	- 14.67	- 15.21	- 15.45	- 15.65	- 15.70	- 15.92	- 16.28	- 16.33	- 16.19	2.53
- 8.05	- 7.81	- 7.96	- 8.29	- 8.73	- 9.17	- 9.66	- 9.74	- 10.02	- 10.26	- 10.27	- 10.40	2.77
- 6.77	- 6.45	- 6.56	- 6.66	- 6.83	- 7.04	- 7.59	- 7.88	- 8.26	- 8.52	- 8.71	- 8.96	3.13
- 0.47	- 0.32	- 0.44	- 0.51	- 0.82	- 1.19	- 1.58	- 1.90	- 2.29	- 2.54	- 2.92	- 3.10	3.39
- 13.15	- 13.03	- 13.23	- 13.50	- 13.57	- 13.89	- 14.05	- 14.13	- 14.31	- 14.48	- 14.65	- 14.57	1.65
- 19.78	- 19.55	- 19.87	- 19.90	- 19.99	- 19.92	- 20.03	- 19.88	- 19.80	- 19.69	- 19.69	- 19.80	0.66
- 9.71	- 9.54	- 9.56	- 9.87	- 10.26	- 10.55	- 10.97	- 11.11	- 11.40	- 11.69	- 11.77	- 11.85	2.71
- 0.86	- 0.73	- 0.76	- 0.81	- 1.06	- 1.32	- 1.69	- 1.96	- 2.26	- 2.53	- 2.72	- 2.92	2.81
- 10.88	- 10.71	- 10.85	- 11.02	- 11.22	- 11.42	- 11.68	- 11.77	- 11.94	- 12.10	- 12.21	- 12.29	1.90

der Lufttemperatur.

vom Mittel.

11 a.m.	0 p.m.	1 p.m.	2 p.m.	3 p.m.	4 p.m.	5 p.m.	6 p.m.	7 p.m.	8 p.m.	9 p.m.	10 p.m.	11 p.m.	12 p.m.
+ 0.62	+ 0.94	+ 1.10	+ 1.27	+ 1.22	+ 1.23	+ 0.88	+ 0.62	+ 0.31	+ 0.15	- 0.09	- 0.54	- 0.67	- 0.84
+ 0.51	+ 0.85	+ 1.20	+ 1.27	+ 1.35	+ 1.27	+ 1.17	+ 1.03	+ 0.63	+ 0.29	+ 0.02	- 0.08	- 0.14	- 0.41
+ 0.34	+ 0.70	+ 0.90	+ 1.20	+ 1.12	+ 1.18	+ 0.97	+ 0.66	+ 0.28	+ 0.04	- 0.11	- 0.27	- 0.33	- 0.34
+ 0.13	+ 0.62	+ 0.84	+ 0.88	+ 0.59	+ 0.15	+ 0.10	- 0.15	+ 0.23	+ 0.42	+ 0.02	- 0.14	- 0.45	- 0.46
+ 0.58	+ 0.95	+ 1.10	+ 1.11	+ 0.88	+ 0.44	+ 0.49	+ 0.09	- 0.39	- 0.58	- 0.57	- 0.75	- 0.90	- 0.64
- 0.29	- 0.45	- 0.59	- 0.21	- 0.27	- 0.24	- 0.34	- 0.29	+ 0.16	+ 0.18	+ 0.42	+ 0.51	+ 0.71	+ 0.65
+ 0.02	+ 0.40	+ 0.65	+ 0.84	+ 0.56	+ 0.65	+ 0.34	+ 0.31	+ 0.15	+ 0.03	+ 0.02	+ 0.23	- 0.02	- 0.18
+ 0.68	+ 0.34	+ 0.36	+ 0.48	- 0.15	- 0.34	- 0.22	- 0.02	- 0.15	- 0.08	- 0.09	- 0.05	± 0.00	- 0.10
+ 0.69	+ 0.89	+ 1.34	+ 1.29	+ 1.47	+ 0.97	+ 0.43	+ 0.22	+ 0.02	- 0.03	- 0.28	- 0.64	- 0.69	- 0.55
+ 0.99	+ 1.19	+ 1.47	+ 1.71	+ 1.56	+ 1.23	+ 0.79	+ 0.35	- 0.14	- 0.22	- 0.50	- 0.74	- 0.75	- 0.88
+ 0.75	+ 0.90	+ 1.33	+ 1.65	+ 1.54	+ 1.44	+ 1.27	+ 1.06	+ 0.51	+ 0.22	- 0.16	- 0.42	- 0.61	- 0.46
+ 1.20	+ 1.46	+ 1.54	+ 1.60	+ 1.57	+ 1.50	+ 1.19	+ 0.82	+ 0.43	+ 0.11	- 0.28	- 0.53	- 0.91	- 1.09
+ 0.36	+ 0.76	+ 0.95	+ 1.07	+ 0.87	+ 0.60	+ 0.53	+ 0.21	+ 0.05	- 0.03	- 0.21	- 0.38	- 0.55	- 0.47
+ 0.13	+ 0.09	+ 0.13	+ 0.36	+ 0.04	+ 0.01	- 0.08	- 0.01	+ 0.05	+ 0.03	+ 0.11	+ 0.22	+ 0.22	+ 0.11
+ 0.93	+ 1.12	+ 1.50	+ 1.67	+ 1.65	+ 1.34	+ 0.95	+ 0.66	+ 0.24	+ 0.10	- 0.19	- 0.48	- 0.56	- 0.64
+ 0.77	+ 1.08	+ 1.28	+ 1.41	+ 1.38	+ 1.33	+ 1.08	+ 0.82	+ 0.45	+ 0.18	- 0.12	- 0.39	- 0.78	- 0.78
+ 0.51	+ 0.94	+ 1.10	+ 1.27	+ 1.22	+ 1.23	+ 0.88	+ 0.62	+ 0.31	+ 0.15	- 0.09	- 0.54	- 0.67	- 0.49

In der dunkleren oder kälteren Zeit sind die Kurven bedeutend unregelmässiger. Der Grund hierfür liegt abgesehen von der verringerten Einwirkung der Sonne vor allem in der Veränderlichkeit und Unbeständigkeit speziell der Temperaturen, die in dieser Zeit herrschen.

Vereinzelte Temperatursprünge von 10° à 20° von einer Stunde zur andern können natürlich nicht ohne grossen Einfluss auf das Aussehen der täglichen Kurve bleiben. Sie hat nicht mehr den gleichmässigen Verlauf, den sie in der helleren Jahreshälfte aufweist.

Man darf jedoch wohl annehmen, dass in doppelten Monatsserien diese Ungleichheiten sich irgendwie aufheben, so dass die Kurven im grossem ganzen in ihren groben Zügen auch für die Wintermonate repräsentativ sind. Der Monat, der infolge seiner von den übrigen Monaten scharf abweichenden täglichen Temperaturkurve sofort die Aufmerksamkeit auf sich lenkt, ist der Juni. Er hat sein Maximum um die Mitternachtszeit, während dagegen die niedrigste Temperatur gleich nach Mittag fällt.

Auf eine ähnliche Erscheinung machte auch Mohn in seinem Bericht über die Resultate der »Fram«-Expedition mit Rücksicht auf ihre Wintermonate aufmerksam. Mohn suchte und fand die Erklärung für diesen Temperaturfall um die Mittagszeit in dem Zusammenhang zwischen der Temperatur und dem Winde. Im Winter nämlich hatten, wie es sich zeigte, die kalten Winde ihr Maximum am Tage, ohne dass sie dann von einer Insolation gemildert wurden.

Ich habe für die Monate Juni 1902 und 1903 Stunde für Stunde die Anzahl von observierten kalten Windrichtungen, d. h. von Winden zwischen S und WSW zusammengerechnet. Von einem nennenswerten Unterschied zwischen den verschiedenen Stunden lässt sich kaum reden. Dem Temperaturmaximum um die Mitternachtszeit und dem Minimum um die Mittagstunde würde also eine kleinere bzw. grössere Häufigkeit dieser Winde entsprechen. Dies ist, wie es sich zeigt, auch der Fall, wenn ich in beiden Fällen die längeren Perioden 10p—3a bzw. 10a—3p nehme. Gegenüber 193 solchen Windobservationen um die Mitternachtszeit stehen 211 um die Mittagsstunde. Es stimmt also mit der Mohnschen Erklärung überein, wenn sich auch die Details der Temperaturvariation in der Anzahl von SW- Winden nicht wieder spiegeln.

Aber auch aus andern Ziffern kann man eine Bestätigung der Mohnschen Hypothese erhalten, nämlich aus der täglichen Variation der Windgeschwindigkeit.

In den Wintermonaten, wo die Insolation ein Minimum ist, muss sich ja auch die Amplitude des täglichen Ganges der Windgeschwindigkeit auf ein Minimum reduzieren. Findet man aber dennoch in einem Wintermonat einen ausgeprägten täglichen Verlauf der Windgeschwindigkeit mit beträchtlicher Amplitude, dann muss natürlich dieser tägliche Verlauf die Variation besonders der stärksten Winde, in diesem Falle gerade der kalten des SW-Quadranten abspiegeln.

Aus dem Windgeschwindigkeitsmittel der beiden Junimonate erhält man ein Minimum 7,94 m/s um 12 p. m. und ein Maximum 9,90 m/s um 4 p. m. Das Temperaturmaximum fällt also mit der geringsten Windstärke, der geringsten Frequenz der starken und kalten SW-Winde zusammen. Das Temperaturminimum fällt auf 1 p., also ziemlich nahe dem Windmaximum um 4 p., der Zeit der stärksten und zahlreichsten SW-Winde.

Den täglichen Verlauf der Temperatur habe ich auch in Form Fourierscher Koeffizienten für die Temperaturfunktionen dargestellt (Tab. 36).

Tab. 36. Fouriers Koeffizienten der täglichen Temperaturperioden.

	Temp.- Mittel	k_1	α_1	k_2	α_2	Max. der 24-stünd. Periode	Max. der 12-stünd. Periode
Januar	- 0.87	1.16	229°	0.13	49°		
Februar	- 3.55	1.21	214°	0.34	69°		
März	- 10.33	0.96	216°	0.29	34°		
April	- 13.78	0.49	228°	0.19	62°		
Mai	- 18.17	0.87	262°	0.18	14°		
Juni	- 19.73	0.45	87°	0.10	336°		
Juli	- 20.83	0.50	210°	0.16	62°		
August	- 19.20	0.15	272°	0.25	89°		
September	- 15.64	1.00	239°	0.31	63°		
Oktober	- 9.52	1.24	238°	0.38	41°		
November	- 8.10	1.43	222°	0.33	39°		
Dezember	- 2.01	1.64	234°	0.16	284°		
Herbst	- 14.10	0.72	236°	0.19	46°	2h18mp	1h30m
Winter	- 19.91	0.14	172°	0.13	83°	6h25mp	0h20m
Frühling	- 11.09	1.18	235°	0.29	48°	2h20mp	1h35m
Sommer	- 4.60	1.34	226°	0.14	60°	2h55mp	1h 0m
Jahr	- 11.81	0.84	228°	0.19	55°	2h40mp	1h10m

Mit Rücksicht auf die kurze Serie von nur zwei Jahren und in Anbetracht der grossen interdiurnen Temperaturveränderlichkeit begnügte ich mich der Berechnung der Konstanten für die ersten und zweiten Ausdrücke, der 24-stündigen und der 12-stündigen Wellen.

k_1 und k_2 sind die Amplituden in Celsiusgraden ausgedrückt,

α_1 und α_2 sind die Phasenwinkel.

Bei der 24-stündigen Welle merkt man eine deutliche Regelmässigkeit in der Veränderung der Amplitude k_1 ; vom Minimum des Winters, das hier viel ausgeprägter ist als auf der »Discovery«-Expedition 1901—1903, steigt sie rasch im Frühling erreicht ihr Maximum im Vorsommer und nimmt dann im Herbst ab.

Die Konstante des Frühlings (1,18'), die bedeutend höher ist als die des Herbstes (0,72'), weist deutlich auf die Stärke der Insolation im Frühling hin.

Was den Phasenwinkel derselben 24-stündigen Variation betrifft, so variiert er von September—April ziemlich wenig und entspricht einer Verschiebung des Wellenmaximums zwischen 2^h05^m und 3^h40^m.

Im Mai und August treffen Maxima um 0^h30^m p. m. bzw. 11^h59^m a. m. ein. Der Juli mit seinem Maximum um 4^h00^m p. m. scheint sich dem Phasenwinkel des Spätsommers zu nähern, der Juni aber, in dem der Phasenwinkel 87° beträgt und das Maximum um die Mitternachtszeit fällt, scheint auch hier ausserhalb der übrigen Serie zu stehen.

Unter Anwendung der Methode, Isolethen darzustellen, habe ich versucht, in Taf. 6 den täglichen Gang der Temperatur von Monat zu Monat zu veranschaulichen. Es geschieht dies in Form von Isolethen, welche für die verschiedenen Stunden die Abweichung vom Tagesmittel angeben. Die Abweichung ist für jeden 0,5-ten Grad zwischen —1,5° und +1,5° angegeben.

Ich habe auch zwei Extraliniien eingezeichnet, welche sowohl die Zeit des Eintreffens des Maximums als auch die des Minimums anzeigen.

Ein weitere Erklärung der Aufstellung ist wohl kaum nötig.

Man sieht deutlich, dass die Amplitude am geringsten im August ist und ihr Maximum im Dezember und Februar hat.

Besondere Hervorhebung verdient jedoch, wie ich glaube, die Maximumlinie. Sie deutet darauf hin, dass der Phasenwinkel des Juni, der in der Tab. 8 vollständig ausserhalb der übrigen zu liegen scheint, doch als ein Glied ihrer Serie betrachtet werden kann.

Es sieht aus, als fände von März zum August eine ziemlich kontinuierliche Verschiebung der Zeit für das Eintreffen des Maximums statt, so dass es nach und nach immer früher am Tage eintritt.

Diese Verschiebung beträgt vom März—April 1 Stunde

› April—Mai	2 1/2	Stunden
› Mai—Juni	12	›
› Juni—Juli	8	›
› Juli—August	4	›

Ich wage es jedoch im Augenblick nicht, mich darüber zu äussern, ob diese zeitliche Zurückschiebung des Maximums für die betreffende Zeitperiode nur eine Zufälligkeit oder eine wirkliche Regel ist.

In den verschiedenen Jahreszeiten fällt das Maximum der 24-stündigen Welle, im Frühling um 2^h20^m, im Sommer um 2^h55^m, im Herbst um 2^h18^m, während der Winter mit seinem Maximum um 0^h25^m offenbar kein eigentliches Zeitmittel, sondern

eine Art Kompromiss zwischen der Zeit des Juni einerseits und den Zeiten des Juli und August andererseits repräsentiert.

Bei der 12-stündigen Welle fällt es auf, dass die Konstante k_2 , die Amplitude, am geringsten im Sommer und Winter, zur Zeit der Sonnenwenden ist (0,14 bzw. 0,13) und am grössten im Frühling. Das Maximum dieser Welle trifft im Sommer um 1 vorm. und nachm. ein, im Winter um 12 vorm. und nachm. und im Frühling und Herbst um 1^h30^m vorm.

Fürs Jahr liegt im Durchschnitt das Maximum der 24-stündigen Welle um 2^h40^m p. m., das der 12-stündigen Welle um 1^h10^m a. m. bzw. p. m.

Die Jahresgleichung des täglichen Temperaturengangs wäre also in Celsiusgraden ausgedrückt:

$$11,81 + 0,24 \sin(228^\circ + x) + 0,19 \sin(55^\circ + 2x)$$

Es dürfte von einem gewissen Interesse sein, eine Zusammenstellung der Geschwindigkeit und Grösse der Temperaturveränderungen sowohl von einem Tag zum andern innerhalb eines gegebenen Monats als auch in den kürzeren Zeitperioden, im Laufe eines Tages oder in 24 Stunden, zu liefern.

Was die Veränderungen in den verschiedenen Monaten angeht, so habe ich dieselben in Tab. 37 zusammengestellt.

Nur mit den mittleren Tagestemperaturen rechnend habe ich für das Steigen und Fallen der Temperatur die gesamte Anzahl Veränderungen der einen oder andern Art angegeben. Für jede Periode der Temperatur-zunahme und -abnahme berechnet ich, da mir die Anzahl der Änderungsperioden bekannt war, ihre mittlere Länge.

Im Durchschnitt zeigte es sich, dass 7 solcher Wärmewellen im Monat, jede also mit einer Durchschnittslänge von 4,3 Tagen, passierten. Im allgemeinen ist die Steigungsperiode etwas länger als die des Temperatursinkens. Dieser Unterschied macht sich jedoch im Herbst und Winter kaum bemerkbar, im Frühling beträgt er ungefähr 0,2 Tag (Steigen 2,3, Sinken 2,1) und erreicht im Sommer sein Maximum 0,9 Tag (das Steigen dauert im Durchschnitt 2,6 Tage, während das Sinken der Temperatur sich mit einer mittleren Länge = 1,6 Tage vollzieht). Während in den übrigen Jahreszeiten die Veränderungen der mittleren Temperatur von einem Tage zum andern in positiver oder negativer Richtung ziemlich gleich an Zahl sind, kamen im Sommer 1902—1903 53 Fälle Temperaturzunahme auf 37 Fälle Temperaturabnahme. Die Sommerwelle ist also ziemlich unsymmetrisch mit schwachem Steigen und jäherem Sinken.

Ein nennenswerter Unterschied in der Länge der Wärmewelle in den verschiedenen Jahreszeiten lässt sich kaum nachweisen. So wie es im allgemeinen der Fall

Tab. 37. Temperaturwellen.

	S t e i g e n			F a l l e n			Mittl. Wellen- dauer in Tagen
	Anzahl der pos. Änder.	Anzahl Perioden	Perioden- dauer in Tagen	Anzahl der neg. Änder.	Anzahl Perioden	Perioden- dauer in Tagen	
1902							
März	12	9	1.6	17	8	2.0	3.6
April	17	6	2.8	13	6	2.2	5.0
Mai	16	8	2.0	15	8	1.9	3.9
Juni	18	7	2.6	12	8	1.5	4.1
Juli	16	8	2.0	15	7	2.1	4.1
August	15	6	2.5	16	6	2.7	5.2
September	16	6	2.7	14	6	2.3	5.0
Oktober	12	8	1.5	19	8	2.4	3.9
November	16	8	2.0	14	8	1.7	3.7
Dezember	19	8	2.4	12	9	1.3	3.7
1903							
Januar	18	7	2.6	13	7	1.9	4.5
Februar	16	6	2.7	12	7	1.7	4.4
März	12	7	1.7	19	7	2.7	4.4
April	17	8	2.1	13	7	1.9	4.0
Mai	17	6	2.8	14	6	2.3	5.1
Juni	12	6	2.0	18	7	2.6	4.6
Juli	15	10	1.5	16	10	1.6	3.1
August	16	7	2.3	15	7	2.1	4.4
September	19	7	2.7	11	7	1.6	4.3
Oktober	16	6	2.7	15	6	2.5	5.2
	15.7	7.2	2.18	15.1	7.2	2.11	4.3
Herbst			2.17			2.17	4.34
Winter			2.15			2.10	4.25
Frühling			2.32			2.10	4.42
Sommer			2.57			1.63	4.20

ist, erweisen sich die Winter- und Sommerwellen ungefähr $0,1$ à $0,2$ Tag kürzer als die Herbst- und Frühjahrswellen.

Geht man alsdann noch weiter auf das Kapitel der Temperaturveränderungen und der Wärmewellen ein, so kann man es durch ein näheres Studium des Wechsels der mittleren Temperatur von einem Tage zum andern recht gut beleuchten. Die Anzahl Veränderungen und deren Länge sagt nicht genug; erst durch Hinzufügung der Grösse der Veränderungen erhält man ein Gesamtbild vom Temperatur-

charakter der verschiedenen Monate. Diese interdiurne Temperaturveränderlichkeit suchte ich auf zwei Arten zu beleuchten.

Tab. 38. Häufigkeit bestimmter Werte der interdiurnen Veränderlichkeit der mittleren Tagestemperatur.

	2°-4°	4°-6°	6°-8°	8°-10°	10°-12°	12°-14°	14°-16°	16°-18°	18°-20°	20°-22°	22°-24°	> 2°	> 8°
1902													
März	5	7	2	—	—	1	—	—	—	—	—	15	1
April	11	3	2	2	2	—	1	—	—	—	—	21	5
Mai	2	2	2	3	—	2	1	—	1	—	—	13	7
Juni	8	3	1	1	—	—	2	—	—	—	—	15	3
Juli	13	5	5	—	1	—	—	—	—	—	—	24	1
August	10	3	5	—	2	1	—	—	—	1	—	22	4
September . .	8	8	1	3	1	1	—	—	—	—	—	22	5
Oktober . . .	13	5	1	—	—	—	—	—	—	—	—	19	—
November . .	8	2	1	—	—	—	—	—	—	—	—	11	—
Dezember . .	1	—	—	—	—	—	—	—	—	—	—	1	—
1903													
Januar	1	—	—	—	—	—	—	—	—	—	—	1	—
Februar . . .	4	4	—	—	—	—	—	—	—	—	—	8	—
März	8	4	—	1	—	—	—	—	—	—	—	13	1
April	8	3	4	—	3	1	—	—	—	—	—	19	4
Mai	8	2	2	4	1	—	2	—	—	—	—	19	7
Juni	6	7	1	4	—	—	—	1	—	—	—	19	5
Juli	5	5	4	4	4	1	—	—	2	—	—	25	11
August	9	4	2	2	2	1	—	—	—	—	1	21	6
September . .	10	4	3	2	1	—	1	—	—	—	—	21	4
Oktober . . .	8	7	4	1	1	—	—	—	—	—	—	21	2

In Tab. 38 habe ich den Temperaturwechsel von einem Tag zum folgenden nach seiner Grösse geordnet, jedoch ohne Rücksicht darauf, ob dieser Wechsel positiv oder negativ ist, ob die Temperatur steigt oder fällt. Die Zahlen geben direkt an, wie oft eine Veränderung des Tagesmittels um 2°, 4°, 6° usw. in den betreffenden Monaten eintrat.

In Tab. 39 habe ich diese Zahlen im Durchschnitt für jeden Monat und für die verschiedenen Jahreszeiten zusammengestellt.

In den Sommermonaten Dezember—Januar ist der Typus vollständig derselbe, wie man ihn in polaren Gegenden findet, nur 10 Veränderungen (= 11%) von mehr als 2°—4° und von diesen vier Stück (= 4%), wo der Wechsel 4° à 6° beträgt.

Tab. 39. Häufigkeit pr. Monat verschiedener Werte der interdiurnen Temperaturveränderlichkeit im Durchschnitt für 1902 und 1903.

	2°-4°	4°-6°	6°-8°	8°-10°	10°-12°	12°-14°	14°-16°	16°-18°	18°-20°	20°-22°	22°-24°	> 2°	> 8°
Januar . . .	1	—	—	—	—	—	—	—	—	—	—	1.0	—
Februar . . .	4	4	—	—	—	—	—	—	—	—	—	8.0	—
März	6.5	5.5	1	0.5	—	0.5	—	—	—	—	—	14.0	1.0
April	9.5	3	3	1	2.5	0.5	0.5	—	—	—	—	20.0	4.5
Mai	5	2	2	3.5	0.5	1	1.5	—	0.5	—	—	16.0	7.0
Juni	7	5	1	2.5	—	—	1	0.5	—	—	—	17.0	4.0
Juli	9	5	4.5	2	2.5	0.5	—	—	1	—	—	24.5	6.0
August	9.5	3.5	3.5	1	2	1	—	—	—	0.5	0.5	21.5	5.0
September . .	9	6	2	2.5	1	0.5	0.5	—	—	—	—	21.5	4.5
Oktober . . .	10.5	6	2.5	0.5	0.5	—	—	—	—	—	—	20.0	1.0
November . .	8	2	1	—	—	—	—	—	—	—	—	11.0	—
Dezember . .	1	—	—	—	—	—	—	—	—	—	—	1.0	—
Herbst	7.0	3.5	2.0	1.7	1.3	0.7	0.7	—	0.2	—	—	16.7	4.2
Winter	8.5	4.5	3.0	1.8	1.5	0.5	0.3	0.2	0.3	0.2	0.2	21.0	5.0
Frühling . . .	9.2	4.7	1.8	1.0	0.5	0.2	0.2	—	—	—	—	17.5	1.8
Sommer	2.0	1.3	—	—	—	—	—	—	—	—	—	3.3	0.0
Herbst und Frühling . . .	8.1	3.9	2.1	1.3	0.9	0.5	0.4	—	0.1	—	—	17.3	3.2

Mit dem Eintritt des Herbstes und dem allgemeinen Sinken der Temperatur folgt sofort eine gesteigerte Möglichkeit für grössere Temperaturveränderungen.

Auch die heftig auftretenden Südweststürme mit dem sie begleitenden schnellen Sinken der Temperatur beginnen jetzt und erhöhen die Temperaturveränderungen sowohl der Zahl wie der Grösse nach. Mehr als die Hälfte der Veränderungen (54%) beträgt 2° oder mehr, und von diesen 54% sind nahezu 14% solche, bei denen der Wechsel sich auf mehr als 8° beläuft.

Ihr Maximum erreichen diese Veränderungen im Mittwinter, im Juli und August. 68 à 69% von ihnen betragen 2° oder mehr, und die Grenze das von 8° wird in 16% von allen überschritten.

Gegen das Frühjahr nehmen die Veränderungen ab und erreichen ungefähr dieselbe Grösse und dieselbe Anzahl wie im Herbst: 57% mit einem Wechsel von über 2°, 6% von ihnen mit einem solchen von über 8°.

Wenn also der Typus der Temperaturveränderlichkeit im Sommer der polarer Gegenden ist, so kann man behaupten, dass im Winter Snow-Hill mit seinen schnellen Temperaturveränderungen von einem Tagesmittel zum andern in hohen Grade an die grossen Kältezentren erinnert, an Westsibirien und Nordamerika auf ungefähr 50° Lat. mit ihren kontinental strengen Wintern.

Von diesem Gesichtspunkte aus könnte man das Klima von Snow-Hill ein kontinentales Polarklima nennen, trotzdem der Ort im Osten, Norden und Westen so nahe am Meere liegt.

Tab. 40. Grösse der Temperaturveränderlichkeit im Winter.

	2°	4°	6°	8°	10°	12°	14°	16°	18°	20°	22°	> 24°
Barnaul	6.9	4.8	3.4	2.9	1.7	1.3	0.5	0.4	0.3	0.1	—	7.2
Winnipeg	7.7	4.5	4.2	1.8	1.8	1.0	0.2	0.1	0.1	0.1	—	5.1
Snow-Hill	8.5	4.5	3.0	1.8	1.5	0.5	0.3	0.2	0.3	0.2	0.2	5.0
Spitzbergen	8.0	4.8	3.8	1.3	0.8	0.3	0.7	0.5	—	—	—	3.6
»Fram«	7.8	5.4	2.4	2.0	1.0	0.2	—	0.2	—	0.1	—	3.5
»Gauss«	8.3	4.0	3.3	3.3	0.3	—	—	0.3	—	—	—	4.9

Einen mehr direkten Vergleich bietet Tab. 40, wo ich detaillierte Zahlen anführe von der Frequenz der grossen Temperaturveränderungen im Winter für eine Station von Westsibirien, Barnaul, eine in Nordamerika, Winnipeg, Snow-Hill und schliesslich für Spitzbergen *) und die »Fram« als Typen des nördlichen Polarmeeres, sowie zuletzt auch für die deutsche Südpolar-Expedition an Bord der »Gauss«, der einzigen antarktischen, von der ich eine derartige Bearbeitung gefunden habe.

Man sieht, dass sich Spitzbergen zwar wenig, aber doch ziemlich markiert von Snow-Hill und den beiden kontinentalen Punkten unterscheidet. Wenn es sich um niedrigere Veränderungen bis zu 6° à 8° handelt, ist die Übereinstimmung zwischen den beiden polaren Orten eine ziemlich gute. Ein Unterschied zeigt sich jedoch sowohl darin, dass Spitzbergen keine Veränderungen über 18° hat, als auch darin, dass dasselbst die Zahl der Veränderungen von mehr als 8° nur 3,6 beträgt gegenüber 5,0 bei Snow-Hill im Monat.

Vom selben Typus wie das von Spitzbergen ist das Observationsmaterial von der »Fram«-Expedition (hier fehlen jedoch Veränderungen mehr maximaler Natur von mehr als 20° nicht ganz).

Die »Gauss«-Expedition schliesslich ergibt Zahlen, die sich hauptsächlich denen anschliessen, die den Charakter Spitzbergens ausmachen. Obwohl man also von dieser Expedition kein Beispiel für eine grössere interdiurne Veränderung als 18° hat, schliesst sie sich doch insoweit dem Charakter Snow-Hills an, als die Anzahl Veränderungen, die grösser als 8° sind (4,9), ungefähr ebenso gross ist wie die bei Snow-Hill beobachtete (5,0).

Aus den Details der interdiurnen Temperaturveränderlichkeit von Snow-Hill habe ich in Tab. 41 die Daten angeführt, die ein gewisses Interesse dadurch haben, dass

* Die schwedischen Expeditionen 1873 und 1900.

sie die vorhergehenden Angaben nach zwei Richtungen ergänzen. Ich habe in ihr sowohl die grösste Zunahme wie auch die grösste Abnahme der mittleren Temperatur bei zwei unmittelbar aufeinanderfolgenden Tagen angeführt als auch die monatliche Temperaturveränderlichkeit im Durchschnitt.

Tab. 41. Interdiurne Veränderlichkeit der Lufttemperatur.

	1902			1903			1902 und 1903	Mittlere Änderung »Gauss«	Mittlere Änderung »Frans«	
	Grösste pos. Änderung	Grösste neg. Änderung	Mittlere Änderung	Grösste pos. Änderung	Grösste neg. Änderung	Mittlere Änderung	Mittlere Änderung			
Januar .	—	—	—	1.29	2.13	0.67	0.67	0.81	0.56	Juli . .
Februar	—	—	—	4.31	4.78	1.76	1.76	1.20	0.91	August .
März . .	6.35	13.83	2.77	5.27	8.22	2.11	2.44	2.38	2.35	Septemb.
April . .	10.41	14.41	4.01	10.50	12.43	4.02	4.01	3.64	3.55	Oktober
Mai . . .	15.62	18.87	4.32	15.59	14.32	4.54	4.43	3.60	3.91	Novemb.
Juni . . .	14.27	15.32	3.22	16.44	8.43	3.95	3.59	5.05	3.53	Dezemb.
Juli . . .	7.99	11.14	3.53	18.00	18.32	6.44	4.98	4.29	3.27	Januar .
August .	21.05	12.77	4.44	10.91	22.37	4.61	4.52	3.63	4.74	Februar
Septemb.	13.09	10.20	4.42	10.08	15.04	4.19	4.30	3.72	3.97	März . .
Oktober	5.47	7.89	2.57	10.50	8.59	3.73	3.15	2.76	2.56	April . .
Novemb.	5.89	7.32	1.98	—	—	—	1.99	1.54	2.03	Mai . . .
Dezemb.	3.63	1.60	0.89	—	—	—	0.89	0.79	1.02	Juni . . .

Was die maximalen Werte betrifft, so ist im August 1903 ein Sinken von nicht weniger als 22,37° zu notieren, von + 3,52° auf — 18,85°, eine Grösse, die wohl selbst in dem westsibirischen und nordamerikanischen Kältezentrum kaum oder höchst selten ein Gegenstück findet.

Eine direkte Berechnung, in welcher Weise sich die grösseren Temperaturveränderungen zwischen Steigen und Sinken, zwischen Plus und Minus verteilen, habe ich nicht ausgeführt. Die Durchschnittszahlen dieser Monatsmaxima, — 11,40° und + 10,33°, dürften jedoch wohl aufs Richtige hinzeigen, dass nämlich das Sinken der Temperatur im allgemeinen grösser ist als ihr Steigen. Dies steht auch mit dem vorher dargelegten Umstand in Einklang, dass die grossen Temperaturwellen lang-sames Steigen, aber jähes Sinken aufweisen.

In Tab. 41 habe ich ausser den Maximalwerten der interdiurnen Veränderungen auch für jeden Monat den Durchschnitt dieser Temperaturveränderlichkeit angegeben. Die geringsten Werte finden wir natürlich im Sommer; im Winter halten sich die Zahlen für die verschiedenen Monate um 4° herum, aber mit einem gewaltigen Maximum im Juli 1903, wo die Temperaturveränderlichkeit bis auf die hohe Ziffer 6,4° in die Höhe ging.

Die Durchschnittszahlen für die beiden Jahre gleichen die Unregelmässigkeiten jedes einzelnen Jahres etwas aus und liefern eine Kurve, welche die Abhängigkeit der Temperaturveränderlichkeit von den Jahreszeiten dartut (Taf. 7). Mit ihrem Minimum $1,1^{\circ}$ im Sommer finden wir auch hier den Typus eines polaren Klimas; ihr Maximum $4,4^{\circ}$ im Winter lässt sich mit den Wintern im Innern der Kontinente vergleichen.

Ein Vergleich mit den Zahlen der »Fram«-Expedition (Tab. 42) zeigt denselben Verlauf der interdiurnen Veränderlichkeit wie bei Snow-Hill, wenn auch in der kälteren Jahreszeit, von Ende Herbst bis Anfang Frühjahr, die Veränderung in dieser antarktischen Gegend grösser ist als in den arktischen.

In innigem Zusammenhang mit dem interdiurnen Temperaturwechsel, d. h. der Veränderung von einem Tag zum andern, stehen auch natürlich die Temperaturveränderungen an ein und demselben Tage.

Tab. 42. Interdiurne Temperaturveränderlichkeit der Lufttemperatur.

	Snow-Hill	»Gauss«	»Fram«
Herbst	3.63	3.21	3.27
Winter	4.37	4.32	3.85
Frühling	3.38	2.67	2.83
Sommer	1.11	0.93	0.83
Jahr	3.12	2.78	2.70

Diese habe ich im folgenden auf zwei verschiedene Weisen behandelt, nämlich sowohl durch statistische Bearbeitung der Tagesamplituden als auch durch ein eingehenderes Studium der Thermogramme.

Um eine direkte Vergleichsmöglichkeit mit der südpolaren Statistik zu erhalten, wie sie bisher hinsichtlich der täglichen Amplituden vorliegt, habe ich in Tab. 43 die Anzahl der verschiedenen grossen Amplituden zusammengestellt. Die Grösse der Amplituden bestimmte ich nach der von Meinardus angewandten Einteilung, nämlich in Gruppen zu 4° , also Amplituden $0^{\circ}-4^{\circ}$, $4^{\circ}-8^{\circ}$, $8^{\circ}-12^{\circ}$ usw. In solchen Gruppen habe ich die täglichen Amplituden für jeden Monat während unseres gesamten Aufenthaltes vereinigt, sie ausserdem in Form einer Art von Durchschnittsjahr zusammengestellt und sie ferner Jahreszeit für Jahreszeit zusammengefasst. (Tab. 44).

Im grossen ganzen stimmen die entsprechenden Monatswerte der beiden Jahre ziemlich miteinander überein, so dass also das Durchschnittsjahr wirklich ein recht gutes und zuverlässiges Bild von der Anzahl der verschiedenen grossen Amplituden zu geben scheint.

Tab. 43. Zahl der Tage mit Amplituden der Temperatur von . . . Graden.

	1902												1903											
	März	April	Mai	Juni	Juli	Aug.	Sept.	Okt.	Nov.	Dez.	Jan.	Febr.	März	April	Mai	Juni	Juli	Aug.	Sept.	Okt.				
0°—4°	5	5	10	8	9	3	5	10	14	8	18	10	19	8	3	1	3	2	5	2				
4°—8°	13	7	9	6	12	8	10	9	13	19	11	13	8	8	11	11	6	9	14	4				
8°—12°	—	12	6	6	6	8	5	6	2	4	2	4	4	4	8	3	6	7	3	16				
12°—16°	—	2	2	6	2	3	7	3	1	—	—	1	—	7	3	10	8	5	3	6				
16°—20°	3	4	2	2	—	6	1	2	—	—	—	—	—	2	—	3	3	4	4	3				
Σ	—	—	2	2	2	2	3	2	1	—	—	—	—	1	6	2	5	4	1	—				

Tab. 44. Zahl der Tage mit Temperaturamplituden von . . . Graden.

	Snow-Hill (Mittel von 1902 und 1903)												»Gauss»									
	Jan.	Febr.	März	April	Mai	Juni	Juli	Aug.	Sept.	Okt.	Nov.	Dez.	Herbst	Winter	Frühling	Sommer	Jahr	Herbst	Winter	Frühling	Sommer	Jahr
0°—4°	18	10	12	6.5	6.5	4.5	6	2.5	5	6	14	8	25	13	25	36	99	29	22	17	40	108
4°—8°	11	13	10.5	7.5	10	8.5	9	8.5	12	6.5	13	19	28	26	31.5	43	128.5	25	24	34	25	108
8°—12°	2	4	7	3.5	6	7.5	6	7.5	4	11	2	4	22	18	17	10	67	25	30	23	23	101
12°—16°	—	1	—	4.5	2.5	8	5	4	5	4.5	1	—	7	16	10.5	1	34.5	9	12	14	2	37
16°—20°	—	—	1.5	3	1	2.5	1.5	2.5	2.5	2.5	—	—	5.5	9	5	—	19.5	4	4	3	—	11
Σ	—	—	—	0.5	4	2	3.5	3.5	1.5	0.5	—	—	4.5	9	2	—	15.5	—	—	—	—	—

Wie man erwarten darf, findet man einen deutlichen Zusammenhang zwischen der Grösse der Amplituden und der Jahreszeit. Je wärmer die Jahreszeit, desto seltener sind die grossen Veränderungen, während man den Winter als die ausgeprägte Jahreszeit der grossen Amplituden bezeichnen kann.

Ein gemeinsamer Zug sämtlicher Jahreszeiten ist es, dass die Amplituden zwischen 4° und 8° die grösste Anzahl aufweisen. Damit ist aber auch die Ähnlichkeit zwischen den Jahreszeiten zu Ende. Der Unterschied zwischen den Jahreszeiten tritt am deutlichsten zu Tage, wenn man die grösseren Amplituden untersucht. Betrachte ich da diejenigen, welche $\cong 12^{\circ}$ sind, so hat der Sommer nur 1% solcher Amplituden, für den Winter dagegen steigt ihre Anzahl bis zu der gewaltigen Ziffer von 37%, Herbst und Frühling sind hinsichtlich der Amplituden über 12° praktisch genommen einander gleich, dieselben betragen nämlich 18% bzw. 19%.

Wie schon erwähnt, liegt auch von der »Gauss«-Expedition eine ähnliche Bearbeitung der Amplituden des Temperaturwechsels vor, und habe ich ihre Resultate neben den Zahlen von Snow-Hill angeführt.

Schon ein oberflächlicher Blick auf die Ergebnisse der beiden Expeditionen zeigt, dass bei Snow-Hill maximale Tagesamplituden in einer Ausdehnung vorkommen, die bei der deutschen Expedition keineswegs erreicht werden.

Bei der »Gauss« haben u. a. die meisten Tagesamplituden im Sommer und Herbst die Grösse 0° — 4° , während bei Snow-Hill auch in diesen Jahreszeiten die Veränderung 4° — 8° die häufigste ist.

Bei der »Gauss« fallen im Winter die meisten Amplituden in die Gruppe 8° — 12° , während bei Snow-Hill die grösste Anzahl auf die Gruppe 4° — 8° kommt. Dies hat jedoch nicht direkt die Bedeutung, dass bei der »Gauss« die Veränderung grösser ist als bei Snow-Hill, sondern nur dass die Veränderungen von mehr als 8° bei der »Gauss« gerade auf die Gruppe 8° — 12° konzentriert sind, während sie sich bei Snow-Hill in ziemlich grossem Umfang auch auf die höheren Gruppen verteilen.

Die grössten Amplituden, die über 16° , sind bei der »Gauss«-Expedition nur in geringer Anzahl repräsentiert, nämlich 3 à 4 in jeder der drei kälteren Jahreszeiten, im ganzen 11 im Jahre. Gegenüber diesen Zahlen steht bei Snow-Hill ein viel häufigeres Auftreten dieser grossen Veränderungen, im Frühjahr 7, im Herbst 10 und im Winter nicht weniger als 18, führs Jahr also 35 oder dreimal so viel als bei der deutschen Expedition.

Die Amplitude von $\cong 20^{\circ}$ kam bei der »Gauss« nur ein Mal vor, bei Snow-Hill trat sie im Jahr 1902 12 Mal, 1903 19 Mal oder im Durchschnitt fürs Jahr 15 à 16 Mal ein, und von diesen grossen Veränderungen stiegen im Jahre 1902 4 bis zu Werten über 25° , im Jahre 1903 5 bis zu dieser Höhe. Die grösste Amplitude erreichte die respektable Ziffer $34,4^{\circ}$ (am 17. Juli nämlich, wo die Temperatur von $-29,8^{\circ}$ auf $+4,6^{\circ}$ stieg).

Die Darstellung der Temperaturveränderungen bei Snow-Hill will ich mit einer Reihe statistischer Angaben ergänzen, wie ich sie aus den Thermographenkurven erhielt.

Schon in der interdiurnen Temperaturveränderlichkeit liegt a priori die Voraussetzung, dass auch die Temperatur, so wie sie ununterbrochen von einem Thermographen registriert wird, bedeutende Veränderungen aufweist.

In Tab. 45 gebe ich für die Monate der verschiedenen Jahre eine Übersicht über die grössten und kleinsten täglichen Amplituden, über den Unterschied zwischen beobachtetem Maximum und observiertem Minimum an ein und demselben Tage.

Tab. 45. Tagesamplituden der Lufttemperatur.

	Grösste Tagesamplituden			Kleinste Tagesamplituden			Mittlere Tagesamplituden		
	1902	1903	^{1902/1903}	1902	1903	^{1902/1903}	1902	1903	^{1902/1903}
Januar	—	10.2	10.2	—	0.9	0.9	—	3.9	3.9
Februar	—	13.0	13.0	—	0.9	0.9	—	5.2	5.2
März	19.6	11.1	15.3	1.7	1.2	1.5	7.8	4.1	6.0
April	19.3	20.0	19.6	2.0	1.2	1.6	9.1	8.3	8.7
Mai	24.0	25.9	25.0	1.7	1.5	1.6	7.5	10.7	9.1
Juni	24.1	23.5	23.8	0.9	2.5	1.7	9.5	10.8	10.2
Juli	24.4	33.9	29.2	1.4	2.6	2.0	7.3	12.7	10.0
August	29.6	27.1	28.7	1.8	2.6	2.2	11.6	12.5	12.0
September	27.3	20.4	23.7	1.5	1.2	1.3	9.9	8.4	9.2
Oktober	22.7	18.5	20.6	1.6	3.6	2.6	7.6	10.4	9.0
November	12.7	[11.6]	12.7	1.4	[6.8]	1.4	4.9	—	4.9
Dezember	10.8	—	10.8	2.3	—	2.3	5.3	—	5.3

Die kleinsten Amplituden zeigen wenig Interessantes, sie erreichen in den verschiedenen Monaten dieselbe Höhe, nämlich einen oder ein paar Grade. Bei den grössten Amplituden finden wir, wie ganz natürlich, ein deutliches Variieren mit der Jahreszeit, kleine Maximumamplituden im Sommer, grosse in der kalten Jahreszeit.

Diese Maximalamplituden in der Zeit April—Oktober stehen in innigem Zusammenhang mit der grossen monatlichen interdiurnen Temperaturveränderlichkeit, die in der entsprechenden Zeit durchschnittlich nicht unter 3° hinabging.

So wie diese Temperaturveränderlichkeit als eine für eine polare Station hohe bezeichnet werden muss, so scheint es auch mit den grössten täglichen Veränderungen der Fall zu sein.

Zum Vergleich seien die entsprechenden Zahlen von der »Discovery«- und der »Gauss«-Expedition als Repräsentanten der Ostantarktis angeführt (Tab. 46).

Tab. 46. Grösste Tagesamplituden der Lufttemperatur in der Antarktis.

	Jan.	Febr.	März	April	Mai	Juni	Juli	Aug.	Sept.	Okt.	Nov.	Dez.
»Snow-Hill» . . .	10.2	13.0	15.3	19.6	25.0	23.8	29.2	28.7	23.7	20.6	12.7	10.8
»Discovery» . . .	13.4	12.8	14.2	16.0	19.4	23.3	18.9	19.5	20.9	15.6	12.2	11.7
Diff.	-3.2	+0.2	+1.1	+3.6	+5.6	+0.5	+10.3	+9.2	+2.8	+5.0	+0.5	-1.1
»Gauss»	12.1	11.4	16.1	19.7	17.1	20.5	19.9	14.1	15.6	16.8	17.2	13.0
Diff.	-1.9	+1.6	-0.8	-0.1	+7.9	+3.3	+8.3	+14.6	+8.1	+3.8	-4.5	-2.8

Im grossen ganzen liegt, was die West- und Ostantarktis angeht, ein sehr ausgeprägter Unterschied in den maximalen Tagesamplituden vor. In der kälteren Jahreszeit zeigt Snow-Hill die grössten Amplituden, die mit den hastig auftretenden, äusserst hohen Temperaturen in dieser Jahreszeit zusammenhängen. Im Sommer hinwiederum sind die Veränderungen grösser in der Ostantarktis, soweit dieselbe von der »Gauss« und der »Discovery« repräsentiert wird; dieser Umstand lässt sich leicht daraus erklären, dass in diesen Gegenden noch so niedrige Temperaturen vorkommen, für die es bei Snow-Hill an einem Gegenstück fehlt.

Die Durchschnittszahl der »Discovery«-Expedition für die beiden Junimonate 23,3°, wird bei Snow-Hill von nicht weniger als den fünf Monaten Mai—September überschritten. Die grösste Tagesamplitude der »Discovery«-Expedition, die mit 24,7° notiert wurde, wurde bei Snow-Hill im ganzen 11 Mal überschritten.

Am 17. Juli 1903 hatten wir bei Snow-Hill die grösste Veränderung in der Temperaturkurve; mit einem Minimum am Morgen von -29,8° steigt die Temperatur binnen 24 Stunden anfangs langsam, dann rascher, so dass sie um 10 Uhr abends ihr Maximum +4,1° erreicht hat, eine Variation also an ein und demselben Tage in der gewaltigen Grösse von 33,9°.

Dass im Mittwinter die relativ grossen täglichen Veränderungen nicht nur zufällig waren, sondern mit das Charakteristischste am Snow-Hill-Klima sind, geht aus den letzten Kolumnen der Tab. 45 hervor. Dasselbst ist das Mittel der Tagesamplituden per Monat angegeben. In vereinzelt Wintermonaten betrug der Durchschnitt mehr als 12°, und der Winter in seiner Gesamtheit als Durchschnitt von sechs Monaten ergibt die sehr hohe Zahl 10,7°.

Im Durchschnitt liegt von Victorialand ungefähr dieselbe Zahl vor, 11,0°; ist also sogar noch etwas höher als bei Snow-Hill. Zum Vergleich sei erwähnt, dass von Spitzbergen (1899—1900) die mittlere Tagesamplitude für den Winter mit 8,2° angeführt wird.

Nach oben angeführten Zahlen lässt sich nicht abstreiten, dass die Temperaturveränderungen bei Snow-Hill eine nähere Untersuchung verdienen; ich habe sie in

nöch weitergehenden Details geprüft. Ich habe dabei die Untersuchung auf ein näheres Studium des Ganges der Temperatur von Stunde zu Stunde ausgedehnt, aber nicht nach dem Tabellenmaterial, sondern direkt nach den Thermographenkurven, da diese die meisten Details enthalten.

Um einen Begriff von der Grösse und Schnelligkeit der Temperaturveränderungen zu geben, summierte ich für jeden Monat die Anzahl solcher Temperaturveränderungen, die im Laufe einer Stunde 5° oder mehr betragen. Um das Material nicht unnötig zu vermehren, nahm ich als untere Grenze der Veränderung 5° .

Diese Temperaturveränderungen können nicht den Temperaturtabellen entnommen werden, sondern sind direkt vom Thermographenpapier abgelesen worden; der Zeitabschnitt, eine Stunde, bedeutet also im Laufe von beliebigen 60 Minuten oder weniger und nicht von einem Stundenschlag zum andern.

Ich will jedoch darauf hinweisen, dass diese hastigen grossen Veränderungen oft in weniger als 60 Minuten vorsichgingen, bisweilen »augenblicklich«, d. h. so, dass der Zeitintervall auf der Thermographenkurve 10 Minuten oder weniger ausmachte.

Hier sei noch die Erläuterung hinzugefügt, dass die hastigen Temperaturveränderungen selten auf einen Schlag ein bleibendes Steigen oder Sinken der Temperatur bewirkten. Im allgemeinen ging es so zu, dass auf eine hastige Veränderung nach der einen Seite unmittelbar eine Reaktion rückwärts folgte, so dass die Temperatur eine Zeitlang auf und nieder oszillierte, bis sie schliesslich eine feste Form annahm. Als Illustration hierfür mögen die Reproduktionen dienen, die man in Taf. 27 u. s. w. findet.

Das statistische Material in Tab. 47 ist so geordnet, dass ich innerhalb der verschiedenen Grade zwischen positiver Veränderung, Temperaturzunahme, und negativer Veränderung, Temperaturabnahme, unterschieden habe. Im allgemeinen scheinen die Fälle, wo ein Sinken der Temperatur stattfand, zahlreicher zu sein, als die, wo ein Steigen erfolgte. In beiden Jahren betrug das Fallen der Temperatur 55%, ihr Steigen 46% aller Beobachtungen. Auch hier sieht man also den Fall, dass die Temperatur schneller und ausgeprägter sinkt als steigt.

Die Majorität der Fälle eines Sinkens der Temperatur macht sich besonders dann geltend, wenn man zu den höheren Werten, einer Veränderung von über 13° kommt. Auf 17 solche negative Veränderungen kommt kaum die Hälfte oder 8 positive. Die absolut grösste Veränderung wurde am 8. Mai 1903 wahrgenommen, wo die Temperatur von 6,45 p. m. bis 7,45 p. m. von $-0,8^{\circ}$ auf $-21,5^{\circ}$ herunterging, ein Sinken von $20,7^{\circ}$. Auf der negativen Seite notierte man ausserdem am 10. Juli 1903 ein Sinken der Temperatur um $17,4^{\circ}$, am 14. August 1903 ein solches von $16,4^{\circ}$ und ferner dreimal ein solches von 15° . Gegenüber diesen negativen Veränderungen steht auf der positiven Seite nur ein Fall, wo die Temperatur um mehr als 15° stieg, nämlich am 3. April 1902, wo die Temperatur im Lauf einer Stunde von $-27,0^{\circ}$ auf $-10,0^{\circ}$ hinaufging.

Auffallend ist unbestreitbar die viel grössere Anzahl von hastigen Veränderungen im Jahre 1903 im Vergleich mit dem Jahre 1902; letzteres Jahr notierte man 472 Veränderungen gegenüber 195 in ersterem Jahre; 1903 hatte also $2\frac{1}{2}$ Mal so viel solcher Veränderungen wie 1902.

Im Durchschnitt (Tab. 48) zeigt der jährliche Verlauf dieser schnellen Temperaturveränderungen einen ausgeprägten Charakter. In den Monaten November—März gehören sie zu den Ausnahmen und kommen nur äusserst sporadisch vor; die Monate April und Oktober können einander ungefähr gleichgestellt werden und bezeichnen die Übergänge zu dem langen Wintermaximum, das Mai—September umfasst.

Tab. 48. Zahl der Temperaturänderungen $> 5^\circ$ binnen 60 Minuten.

Mittel für 1902 und 1903.

	Dez.	Jan.	Febr.	März	April	Mai	Juni	Juli	Aug.	Sept.	Okt.	Nov.	Dez.
Steigen . .	0	0	0	2	11,5	17,5	27,5	27,5	26	25,5	13	2	0
Fallen . .	0	0	2	3,5	18	22	31,5	35	27,5	28,5	14,5	1	0
Total . .	0	0	2	5,5	29,5	39,5	59	62,5	53,5	54	27,5	3	0
	2			74,5			175			84,5			
	Sommer			Herbst			Winter			Frühling			

Feuchtigkeitsgehalt des Bodens bei Snow-Hill.

Bei meinen Observationen der Erdtemperatur in verschiedenen Tiefen unter der Erdoberfläche wurde ich im Sommer 1902—1903 darauf aufmerksam, mit welcher auffallenden Langsamkeit sich die Temperatur einer gegebenen Schicht änderte, wenn dieselbe auf $\pm 0^\circ$ angelangt war. So vergingen bei der 3 dm—Schicht bei steigender Temperatur 9 Tage, ehe ihre mittlere Temperatur von $-0,2^\circ$ auf $+0,3$ gelangte, und bei fallender Temperatur hielt sich die mittlere Temperatur der Schicht nicht weniger als 22 Tage lang zwischen $+0,3^\circ$ und $-0,4^\circ$. Bei der 5dm—Schicht, wo die höchste Temperatur, die je beobachtet wurde, $\pm 0^\circ$ war, hielt sie sich 24 Tage lang zwischen $-0,2^\circ$ und $\pm 0^\circ$.

In dieser Zeit waren zwar die Veränderungen der täglichen mittleren Lufttemperatur relativ gering, aber wenn die mittlere Temperatur der 3 dm—Schicht einmal auf Plusgrade gekommen war, dann konnte man von einem Tagesmedium zum andern oft ein Steigen oder Sinken von $0,5^\circ$, ja sogar von 1° beobachten.

Die Erklärung hierfür liegt auf der Hand. Dieses retardierende Moment im Gang der Temperatur musste offenbar in innigem Zusammenhang stehen mit der

latent Wärme des Eises und also mit dem mehr oder weniger grossen Feuchtigkeitsgehalt des Bodens.

Da es mir von einem gewissen Interesse erschien zu sehen, wie gross diese Feuchtigkeit, dieser Wassergehalt, sein könnte, unternahm ich eine dahingehende Untersuchung, als der Boden fest gefroren war, also im Winter 1903.

15 à 20 m von den Erdthermometern entfernt hob ich daher eine Grube von ungefähr 1 m Tiefe aus, und bereits, als ich einige dm unter die Erdoberfläche gekommen war, wurde es mir klar, dass der Wassergehalt ziemlich gross sein müsse. An den Wänden blitzte es hier und da von Eisflächen, und nach jedem Hieb mit dem Breicheisen entstand ein weisses Mal von zerstossenem Eis. Die Grube wurde täglich wieder aufgefüllt und zugedeckt.

Was die Konsistenz und das Aussehen des Bodens bis zu 1 m Tiefe hinab angeht, will ich folgendes anführen.

Obenauf bis zu ungefähr 5 cm Tiefe liegt eine grobkörnige Schicht, die man unmöglich in Stücken erhalten kann. Dieselbe ruht auf einer 2 à 3 cm dicken Kruste, die auf einer Lage von feinerem Kies bis zu 12 cm unter der Oberfläche liegt. In ungefähr 13 cm Tiefe trifft man auf die erste kompakte Schicht: braun, sandsteinähnlich, die aus von Eis zusammengehaltenen Schlammteilchen besteht. Je tiefer man alsdann kommt, desto grösser wird der Eisgehalt, so dass man bei 20 cm wirklich mit dem Auge das Eis wahrnehmen kann. Die Erde wird nun deutlicher geschichtet und lässt sich leicht in Scheiben und Klumpen erhalten.

Der Eisgehalt nimmt zu, so dass es in einer Tiefe von 35 cm flimmert und glitzert. Mit dem Maximumgehalt an Eis in 60 à 65 cm Tiefe fällt auch eine Änderung des Farbentons der Erde zusammen, die jetzt mehr ins Graue als ins Braune spielt. In 70 cm Tiefe verringert sich offenbar das Eis und nimmt alsdann nach unten ab, und mit dieser Änderung folgt auch eine Veränderung in der Konsistenz des Bodens. In 80 cm Tiefe kann man ihn nicht mehr in grossen Stücken erhalten, und in 95 cm Tiefe erhält man nur zerbröckeltes Zeug.

Bei 50 cm Tiefe beobachtet man eine deutliche Schichtung. Eisreiche und eisarme Schichten folgen mit variierender Mächtigkeit aufeinander. Die eisreichen, zwischen 0,1 und 1 cm dicken, sind körnig, granitähnlich, mit Eis und Lehm in körniger Vermischung, zum Unterschied von den übrigen mehr sandsteinähnlichen Lagen.

Ob diese eisreichen Schichten nicht vielleicht Zeugen verschiedener kalter und warmer Jahre sind? Die Eisschicht würde dann die Grenze für die tiefste Lage der Nullgradtemperatur in einem gegebenen Jahre bilden und wäre alsdann gerade durch das Frieren des Grundwassers entstanden.

Die Bestimmung des Feuchtigkeitsgehaltes kombinierte ich in einigen Fällen mit einer spezifischen Gewichtsbestimmung an einer neuen Probe.

Die Feuchtigkeit erhielt ich dadurch, dass ich in einem vorher abgewogenen Blechbehälter zuerst Erde von der zu untersuchenden Schicht wog*); alsdann setzte ich die Schale mit der Erde an einen warmen Platz, auf den Küchenherd oder in den Bratofen. Indem ich nun die Schale wiederholt in Pausen von mehreren Stunden wog, erhielt ich die Gewichtssumme der Schale und der von Feuchtigkeit befreiten, trockenen Erde. Aus den so erhaltenen Gewichtszahlen lässt sich die Feuchtigkeit leicht berechnen.

Um das spezifische Gewicht der Erde zu finden, verfuhr ich in folgender, einfacher, wenn auch vielleicht etwas primitiver Weise, die ja keineswegs einen Anspruch auf Vollkommenheit macht. Die Erde wurde in möglichst kompakten Stücken herausgehauen und bis auf 0,1 g abgewogen. Die ganzen Stücke wurden darauf in einen trockenen und kalten gradierten Zylinder gelegt. In einen andern Messzylinder goss ich 100 cm³ kaltes Wasser, so genau abgemessen, als es die Gradierung zuliess. Das kalte Wasser wurde in den Zylinder mit den Erdstücken gegossen und die Höhe des Wassers so schnell wie möglich abgelesen. Dann fand man unmittelbar die Summe des Volumens der Erde und des Wassers und hieraus das Volumen der Erde. Das spezifische Gewicht liess sich dann leicht berechnen, indem man Gewicht mit Volumen dividierte.

In untenstehender Tabelle (Tab. 49) liegen die Bestimmungen des Feuchtigkeitsgehalts von 16 von mir genommenen Proben vor, und ausserdem habe ich das Resultat auch graphisch wiedergegeben. (Taf. 8).

In einer Tiefe von einigen Centimetern ist die Feuchtigkeit relativ gering, nur 8 %, was seine natürliche Erklärung darin findet, dass diese Schichten der trocknenden Luft nahe liegen. Die Feuchtigkeit nimmt alsdann, wie es den Anschein hat, ziemlich gleichmässig zu bis zu einer Tiefe von 1 1/2 dm, wo sie 25 % erreicht. Mit Variationen von einigen Prozent bleibt dieser Gehalt derselbe bis zu einer Tiefe von 30 à 35 cm hinab. Dann nimmt er zu, ist bei 50 cm 31 % und erreicht sein Maximum ungefähr in 65 cm Tiefe, nämlich 37 %, beim Hinabgehen in grössere Tiefen nimmt der Wassergehalt ganz deutlich ab und beträgt in einer Tiefe von 95 cm nur 28 %.

Dieser maximale Gehalt in einer Tiefe von 60 à 65 cm scheint mir von recht grossem Interesse zu sein, weil er *das Mass für die grösste Tiefe angeben dürfte, bis zu welcher der Boden in extrem warmen Jahren und Sommern auftaut*. Der Sommer 1902—1903, wo, wie wir fanden, die 0° Temperatur nur bis zu 50 cm hinabging, würde also zu den kalten Sommern zu rechnen sein, was ja auch, sowohl nach den Eisverhältnissen in den betreffenden Gegenden wie nach den Temperaturen in den Gegenden um Kap Horn zu urteilen, zweifellos der Fall war.

* Die Abwiegung der Erde musste, wenn möglich, stets im Freien oder auch auf dem kalten Hausflur ausgeführt werden, damit nicht durch sonstige kondensierte Feuchtigkeit die Resultate fehlerhaft würden.

Tab. 49. Feuchtigkeit der Erde.

N:r	Dat.	Tiefe in cm.	Gewicht der feuchten Erde in g	Gewicht der getrockneten Erde in g	Trockene Erde in %	Wassergehalt in Gewichts %
1	17 Juli	2 à 3	380	348	92	8
2	8 Aug.	2 à 3	485	443	92	8
3	8 Aug.	5 à 8	485	416	86	14
4	8 Aug.	5 à 8	457	395	86	14
5	12 Aug.	12—14	485	358	74	26
6	12 Aug.	12—14	442	327	74	26
7	22 Juli	14	482	365	76	24
8	16 Aug.	17—22	487	367	75	25
9	16 Aug.	17—22	475	362	76	24
10	18 Juli	20	350	270	77	23
11	21 Juli	35	500	375	75	25
12	24 Juli	50	500	347	69	31
13	25 Juli	65	438	274	63	37
14	26 Juli	70	388	255	66	34
15	2 Aug.	85	495	335	68	32
16	4 Aug.	95	428	310	72	28

Spezifische Gewichtsbestimmungen habe ich 6 gemacht mit den Resultaten, wie sie in Tab. 50 vorliegen. Es zeigt sich deutlich, dass das spezifische Gewicht, das mit 1,88 beginnt, von dem zunehmenden Eisgehalt abhängig ist, so dass es mit der Tiefe abnimmt und bei 65 cm bis auf 1,50 gefallen ist.

Tab. 50. Spezifisches Gewicht und Eisgehalt verschiedener Erdproben.

N:r	Dat.	Tiefe cm	Gewicht der Probe in g	Volum der Probe cm ³	Spez. Gewicht	Mittel	Volum in cm ³	Wasser in g	Eis in cm ³	Eis i vol. %
1	22 Juli	15	79.1	42	1.88	1.87	53.6	25	27.8	51.8
2	22 Juli	15	78.9	42	1.88					
3	22 Juli	23	103.8	56	1.85					
4	24 Juli	50	89.9	54	1.67	1.69	59.2	31	34.5	58.2
5	24 Juli	50	101.2	59	1.71					
6	25 Juli	65	95.9	64	1.50	1.50	66.7	37	41.1	61.7

Indem ich Feuchtigkeitsgehalt und spezifisches Gewicht mit einander kombinierte, berechnete ich für drei Schichten den Eisgehalt des Bodens, ausgedrückt in Volumenprozenten, wobei ich davon ausging, dass das spezifische Gewicht des Eises = 0,9 ist.

Bei den von mir untersuchten Erdschichten steigt der Eisgehalt von 52 vol. % bei 20 cm Tiefe auf 62 vol. % bei 65 cm Tiefe.

Wenn es sich also selbst bei Anwendung von Gewichtsprozenten schon zeigen muss, dass der antarktische Boden bei Snow-Hill ziemlich bedeutende Quantitäten Wasser enthält, so tritt der Wassergehalt, in Volumenprozenten ausgedrückt, womöglich noch schärfer hervor.

In den wasserreichsten Schichten nimmt ja in der Tat das Eis $\frac{2}{3}$ des ganzen Volumens ein. Daher müsste man vielleicht die Angabe, der Boden sehe wie eine von glitzernden Eiskristallen durchzogene Sand- oder Lehmschicht aus, sogar dahin ändern, dass man in dieser 65 cm-Tiefe den Boden vielmehr als eine mit festeren Erdpartikeln untermischte Eisschicht bezeichnet.

Erdtemperaturen.

Im Zusammenhang mit den angeführten Daten über die Temperaturen des Meereises und des Gletschereises habe ich unter den Tafeln einige graphische Darstellungen geliefert, um die Temperaturverhältnisse der untersuchten Bodenschichten 3 dm, 5 dm bzw. 10 dm in den verschiedenen Monaten zu verdeutlichen. In Taf. 9 und 10 kann man daher für jeden Monat die mittlere Temperatur dieser drei Schichten ablesen, ebenso wie auch annähernd für die verschiedenen Tiefen bis zu 10 dm hinab. Hier gilt jedoch ebenso wie bei dem Bild, das sich auf die Temperatur des Meereises bezieht, dass keine Temperaturen der Erdoberfläche zur Verfügung standen, und dies ist wahrscheinlich auch der Grund, warum das Knie der Kurven auf die Tiefe von 3 dm fällt, statt dass es an der Erdoberfläche liegt.

In Taf. 9 habe ich die Beobachtungen der Erdtemperatur zu Isoplethen zusammengestellt, mit deren Hilfe man deutlich die Fortpflanzung der Wärme- und Kälte- welle im Boden verfolgen kann. Die Verspätung des Winterminimums 1902 beim Gang in immer grössere Tiefen scheint ziemlich gering gewesen zu sein. Wenn dann im Sommer die Temperatur wieder steigt, sieht man deutlich, sowohl dass in der 10 dm-Schicht das Maximum viel später eintritt als in den höher gelegenen Schichten, als auch dass die Amplitude abnimmt, wenn die Tiefe wächst. Will jedoch jemand näher auf diese Frage eingehen, so verweise ich auf die Observationsresultate in Bd. II: L. 2.

Die Temperatur des Meereises bei Snow-Hill.

Zwischen der Insel Snow-Hill und der James Ross-Insel zieht sich ein Sund, der Admiralitäts-Sund, der an seiner breitesten Stelle ungefähr 20 km, an seiner schmalsten ungefähr 5 km breit ist.

Als die Überwinterungspartie am 14. Februar die »Antarctic« verliess und auf der Insel Snow-Hill ans Land ging, war der Sund beinahe ganz eisfrei; in den klarsten Nächten zeigten sich zwar schon damals die ersten Anzeichen des herannahenden Winters oder Herbstes in Form von Neueisbildung an der Meeresoberfläche.

Die Strömungen im Sunde, die von Ebbe und Flut oder von Winden hervorgerufen wurden, waren ziemlich beträchtlich und trugen dazu bei, das Wasser bis Mitte März offen zu halten, obwohl die mittlere Tagestemperatur manchmal einige Grad unter den Gefrierpunkt des Meerwassers herunterging und die nächtlichen Minima sich sogar um -10° herum zu halten angingen. Am Abend des 12. März beginnt der Winter mit einem -14° kalten Südweststurm. Die Wassermassen werden umgerührt und jetzt nicht nur mehr ganz oberflächlich abgekühlt. Als daher der Sturm nach 4 Tagen sich legt, die Temperatur aber sich noch immer recht niedrig hält, beginnt der Sund am 16. abends sich mit einer dünnen Eisdecke zu überziehen und ist Tags darauf, am 17. März, so weit wir von der Station aus sehen können, vollständig zugefroren, und bereits am 18. konnte man die erste, wenn auch etwas riskable Promenade auf dem Eis machen. Indessen kamen neue Stürme, welche die Eisdecke zerbrachen und die Eismassen zu verschiedenen Malen in Bewegung setzten, und erst gegen Mitte Mai 1902 konnte man vom Sunde sagen, dass er definitiv zugefroren war.

Während unseres gesamten Aufenthaltes auf Snow-Hill bis zum 9. November 1903 blieb diese Eisdecke unversehrt und lag noch so da, als die verspätete schwedische Entsatzexpedition Anfang Dezember 1903 Snow-Hill besuchte.

Im ersten Winter war mein Interesse so von andern Arbeiten in Anspruch genommen, dass ich nicht an Eisobservationen dachte. Als uns aber die Umstände zu einer zweiten Überwinterung zwangen, war es für mich eine recht willkommene Unterbrechung der Einförmigkeit, meine Arbeit auch auf ein Studium der Temperatur des Meereises ausdehnen zu können.

Die instrumentale Anordnung stimmt, abgesehen von einer kleinen Modifikation, mit der überein, die ich beim Nehmen der Erdtemperatur benutzte. An einem ausgerangierten runden Skistab von etwas mehr als einem Meter Länge machte ich an zwei Stellen Ausschnitte; in diesen Ausschnitten brachte ich Thermometer an, deren Gefässe mit Staniol und Baumwolle unwickelt waren.

Das unterste Thermometergefäss sass am Ende des Stabes, das andere wurde so angebracht, dass es sich 5 dm über ersterem befand.

Aus Eisenblech lötete ich eine Röhre zusammen, die genau zum Stab passte und versah sie mit einem Boden. Ungefähr 200 m vom nächsten Strand entfernt wurde ins Eis ein Loch, ein Meter tief, gehauen und die Röhre so gestellt, dass ihr Boden ein Meter unter die allgemeine Eisoberfläche kam. Das Loch wurde mit dem aufgehauenen Eis und dann mit Wasser gefüllt. Dieses Auffüllen muss jedoch nach

und nach geschehen, weil sonst die Masse an der Oberfläche zu einer harten Kruste gefriert und die untern Partien sich alsdann beim Erstarren ausdehnen und die Blechröhre deformieren und zerstören. So ging es auch mir zuerst, deshalb musste ich die Installation unter Beobachtung obigen Verfahrens noch einmal vornehmen. Als ich so die Röhre nebst dem Stab mit den Thermometern installiert hatte, brachte ich hier wie bei den Erdthermometern ein kleine dicht schliessende Haube über dem Ganzen an, um ein Eindringen des Schnees von oben zu verhindern.

Die Ablesungen der Thermometer fanden an den Tagen statt, an welchen Sturm und Unwetter dies nicht unmöglich machten. Ich hielt mich an keine bestimmte Stunde, die Observationen wurden aber im allgemeinen zwischen Frühstück und Mittag vorgenommen. Diese Temperaturen stehen in nachfolgender Tabelle 51.

Um von diesen Daten zu richtigen mittleren Temperaturen für die verschiedenen Monate zu gelangen, habe ich folgende Korrigierungsberechnung angewandt. Aus den Observationen zog ich nach üblicher Weise das matematische Mittel. Darauf folgt das Mittel, das ich in entsprechender Tiefe für die Erdtemperatur erhalte, indem ich nur mit den Temperaturen rechne, die für dieselben Observationsstunden gelten wie bei den Eisbeobachtungen. Dadurch dass ich die so gefundenen Monatsmittel für die Erde mit der genauen Erdtemperatur vergleiche, erhalte ich eine Korrektion, die ich alsdann bei der Eistemperatur anbringe. Die auf diese Weise gefundene mittlere Eistemperatur habe ich korrigierte Eistemperatur genannt.

Eine derartige Korrigierungsmethode ist vielleicht, wie es scheinen kann, kaum erlaubt, da das Wärmeleitungsvermögen und die spez. Wärme der betreffenden Stoffe, Erde und Eis, nicht mit einander verglichen werden können, und weil in dem einem Falle, beim Meereis, man bei 2 à 2 $\frac{1}{2}$ m eine begrenzende Fläche mit einer konstanten Temperatur von ungefähr $-1,8^{\circ}$ hat, während man im zweiten Falle kaum eher von einer begrenzenden Schicht mit konstanter Temperatur reden kann als bei Tiefen von 30 à 40 m.

Dass eine solche Berechnung trotzdem gestattet ist, tritt bei einem Vergleich zwischen den Temperaturveränderungen sowohl in den beiden 5 dm- wie den 10 dm-Tiefen klar zu Tage. Ich habe hierzu einen willkürlich gewählten Zeitabschnitt genommen, nämlich die erste Hälfte des August 1903, und habe für diese Zeit die Temperaturveränderungen graphisch veranschaulicht (Taf. 11). Die Zeit steht in der wagerechten Reihe, die Temperatur, das Tagsmittel, in der senkrechten, erstere in derselben Skala für alle Kurven, letztere dagegen in verschiedenen Skalen, damit die Kurven etwas deutlicher werden. So ist die Temperaturskala bei 5 dm-Tiefen 5 mal grösser und bei 10 dm-Tiefen 10 mal grösser als die beim Lufttemperaturdiagramm angewandte.

Wie man sieht, verlaufen die beiden 5 dm-Kurven sehr gleichförmig, nicht bloss in ihren grossen Zügen mit Maximum und Minimum, die im Verhältnis zur Luftkurve

im selben Masse verspätet sind, sondern auch mit denselben kleinen Nuancen in ihren Fluktuationen.

Was die 10 dm-Linien betrifft, so ist auch bei ihnen der Verlauf im grossen ganzen übereinstimmend. Offenbar jedoch ist die Amplitude für die Erdkurve etwas grösser als für die Eiskurve, was ja unter anderem seinen natürlichen Grund darin hat, dass in beiden Fällen die Nähe der konstanten Schicht verschieden ist. Die Übereinstimmung zwischen den Kurven ist jedoch so gross, dass ich mich auch hier ebenso wie bei der 5 dm-Schicht für berechtigt hielt, bei den Monatsmitteln die Korrekturen in oben beschriebener Weise vorzunehmen.

Von den korrigierten Monatsmitteln ausgehend habe ich (Tab. 51) das Temperaturdiagramm für die Zeit gezogen, welche die Observationen umfassten. Ebenso wie bei der Erdtemperatur liegt auch hier das Minimum der 5 dm-Schicht im selben Monat Juni wie das der Lufttemperatur. Dass das Minimum der 10 dm-Schicht für die Erde verspätet ist und auf den 1. Juli fällt, ist ja zu erwarten; dass dies aber auch mit derselben Eisschicht der Fall ist, scheint mir recht eigentümlich, wenn man die mächtige Wärmezufuhr von unten berücksichtigt. Vielleicht liegt eine Erklärung für diese Übereinstimmung in der Konsistenz und der Natur der oberen Bodenschicht in den antarktischen Regionen im Winter. Ihr grosser Wasser- oder Eisgehalt (bis zu 66 Volumen-Prozent) dürfte seinerseits zu einem gleichartigen Verlauf des Wärmeleitungsphänomens in den beiden Fällen beitragen.

Was die Dicke des Eises, während der Untersuchungsperiode betrifft, so habe ich leider nur einige Messungen derselben vorgenommen und nur in der letzten Hälfte der Zeit. Ich verfuhr dabei ganz einfach so, dass ich in einer Entfernung von 50 m vom Eisthermometer ein Loch ins Eis schlug, und als ich 20 dm passiert hatte, unaufhörlich die Tiefe des Loches mass. Als das Eisen schliesslich das Eis durchbrach und das Wasser in die Höhe stieg, konnte der Fehler nicht mehr als ungefähr 2 cm betragen.

In dieser Weise erhielt ich folgende Masse für die Dicke des Eises:

- am 4. Aug. 1903: 24 dm
- am 7. Okt. 1903: 24,3 dm
- am 5. Nov. 1903: 24,8 dm.

Als Beitrag zur Kenntnis des spezifischen Gewichtes des Meereises sei hier angeführt, dass das Wasser in dem Loch bis zu 27 cm unter der oberen Eisfläche stieg, was einen Wert von 0,80, das spezifische Gewicht des Eises, ergibt.

Da dieses Eis ja 2 Winter alt war, liess sich wohl erwarten, dass seine Struktur oder sein Aussehen in irgend einer Weise die dazwischenliegende Sommerperiode markieren würde, in der keine Zunahme stattfand. Ob das, was ich fand, ein solches Jahreszeitmerkmal war, kann ich nicht direkt sagen, aber eine gewisse Wahrscheinlichkeit scheint mir dafür vorzuliegen.

Tab. 51. Meereistemperatur 1903.

	April		Mai		Juni		Juli		August		September		Oktober	
	5 dm	10 dm	5 dm	10 dm	5 dm	10 dm	5 dm	10 dm	5 dm	10 dm	5 dm	10 dm	5 dm	10 dm
1			-12.3	-8.2	-10.3	-9.4	-13.8	-11.2	-13.8	-9.8	-17.5	-11.8	—	—
2			-12.7	-8.3	—	—	-15.2	-11.1	-14.2	-10.1	-18.2	-12.2	-15.2	-11.3
3			-12.9	-8.5	—	—	—	—	-14.2	-10.3	—	—	-14.9	-11.2
4			—	—	—	—	-14.9	-11.2	-13.2	-10.3	-17.2	-12.6	-12.2	-11.0
5			—	—	-11.7	-8.3	—	—	-11.4	-10.0	-16.2	-12.5	-10.2	-10.2
6			-14.2	-9.0	—	—	-17.0	-11.5	—	—	-14.2	-12.2	-10.6	-9.4
7	-5.8	-3.8	-15.2	-9.5	-12.8	-8.9	-16.0	-12.0	-11.9	-9.0	-12.7	-11.3	-9.9	-9.1
8	-6.5	-4.0	-14.8	-9.8	-12.9	-9.1	-15.2	-11.8	-12.4	-9.2	-12.7	-10.8	—	—
9	-7.2	-5.2	-14.0	-10.0	—	—	-15.8	-11.7	—	—	-12.2	-10.5	-10.9	-8.8
10	-7.4	-5.4	-14.2	-9.7	-15.2	-9.7	-14.5	-11.6	-13.3	-9.5	-10.6	-10.2	-10.3	-8.8
11	—	—	—	—	—	—	-15.3	-11.4	-13.9	-9.8	-10.2	-9.5	-10.5	-8.6
12	—	—	-14.6	-10.0	—	—	-15.9	-11.5	-14.2	-9.9	—	—	-10.4	-8.4
13	—	—	-15.2	-10.3	—	—	—	—	-13.1	-10.2	—	—	-10.2	-8.3
14	-7.7	-5.0	-15.2	-10.5	-16.8	-11.0	-17.5	-12.2	-11.2	-9.9	-12.6	-9.2	-10.0	-8.2
15	-7.8	-5.2	-13.8	-10.4	-17.2	-11.6	—	—	-10.5	-9.1	-12.7	-9.5	-8.9	-8.1
16	-7.2	-5.2	-13.7	-10.2	—	—	-18.3	-13.0	-10.2	-8.6	-12.2	-9.6	—	—
17	-7.0	-5.2	-12.2	-10.0	—	—	—	—	—	—	-12.0	-9.5	-7.6	-7.2
18	-6.7	-5.3	-12.3	-9.5	—	—	-15.0	-13.0	-10.5	-8.2	-12.3	-9.4	-6.8	-6.9
19	—	—	—	—	—	—	-12.2	-11.9	-10.9	-8.3	—	—	-5.7	-6.5
20	—	—	-13.4	-9.5	-18.2	-12.3	-10.5	-10.7	-11.5	-8.5	-13.7	-9.9	-5.6	-6.1
21	—	—	-13.8	-9.6	—	—	-10.3	-9.8	-12.3	-8.7	-14.6	-10.2	-5.7	-5.8
22	-7.9	-5.1	—	—	-18.2	-13.2	-10.8	-9.5	-11.2	-9.0	-14.2	-10.5	-5.6	-5.6
23	—	—	-13.9	-9.6	—	—	—	—	—	—	—	—	-5.2	-5.5
24	—	—	—	—	-16.7	-13.0	-11.4	-9.0	—	—	-13.9	-10.4	-4.8	-5.1
25	—	—	—	—	—	—	-11.2	-9.1	—	—	—	—	-5.2	-5.0
26	—	—	—	—	-14.9	-13.1	-11.2	-9.0	—	—	-14.2	-10.5	-5.2	-4.9
27	—	—	—	—	—	—	-10.6	-8.8	-13.4	-9.5	-13.9	-10.7	-4.2	-4.9
28	-12.5	-7.2	-15.6	-10.8	-16.8	-12.1	—	—	-14.2	-9.8	—	—	-1.4	-4.3
29	-12.8	-5.7	-15.2	-10.9	-15.9	-12.3	—	—	—	—	-14.2	-10.6	-1.3	-3.9
30	—	—	-13.4	-10.8	—	—	—	—	-16.2	-10.6	—	—	-1.4	-3.5
31	—	—	-11.5	-10.0	—	—	-11.5	-9.5	-17.0	-11.2	—	—	-1.4	-3.3
Mittel	-8.02	-5.84	-13.82	-9.80	-15.20	-11.12	-13.84	-10.93	-12.81	-9.54	-13.74	-10.62	-7.55	-7.14
Entspr. Erdtemp.	-11.25	-9.37	-17.70	-15.18	-19.86	-17.55	-18.51	-17.54	-16.66	-15.76	-16.79	-16.11	-9.56	-11.71
Exakte Erdtemp.	-11.18	-9.22	-17.69	-15.20	-19.70	-17.55	-18.68	-17.76	-16.40	-15.62	-16.71	-16.02	-9.93	-11.97
Korrig. Eistemp.	-7.59	-5.69	-13.81	-9.82	-15.04	-11.12	-14.01	-11.15	-12.55	-9.40	-13.66	-10.53	-7.92	-7.40

In einer Tiefe von 19 dm unter der Oberfläche schlug mir nämlich ein starker Geruch nach Seetang entgegen, ein Geruch, der offenbar von einer dort befindlichen braungrünen Schicht ausging. Unterhalb dieser Schicht hat das Eis nicht mehr den oberen blauen Farberton, sondern eher einen Stich ins Moosgrüne.

Das Eis bis zu 19 dm Tiefe war wahrscheinlich das Überbleibsel vom Jahr 1902; die Schicht, die dann kam mit ihrem Inhalt an organischen Resten, spricht ja dafür, dass sie aus einem Wasser der diesjährigen Vegetationsperiode gefroren, also die erste Eisbildung im zweiten Winter (1903) war.

Gegen diese Annahme spricht zwar die Dicke von 19 dm bei einem nur ein Jahr alten Eis, das den Angriffen des Sommers ausgesetzt war. Zwar war ja die Sommertemperatur 1902–1903 für diese Breite ganz besonders niedrig = $-2,14^{\circ}$ (Dez. = $-2,0^{\circ}$, Januar = $-0,9^{\circ}$, Februar = $-3,5^{\circ}$), aber daraus darf man ja nicht den Schluss ziehen, dass nicht die Verdunstung im Verein mit der Wärme der Sonnenstrahlung kräftig zur Abnutzung des Eises von oben beitrugen.

Im übrigen liegen von den nördlichen Polargegenden Messungen der Dicke des Eises vor, die zu verschiedenen Zeiten des Jahres vorgenommen worden sind, nämlich von der Nansenschen »Fram«-Expedition. Die Mächtigkeit des Eises im ersten Winter, die ihr Maximum im Hochsommer erreichte (= 27 dm), nahm alsdann rasch ab, so dass sie um den 1. Oktober herum bei ihrem Minimum (= 19 dm) anlangte. Also genau dieselbe Ziffer, die ich bei Snow-Hill gefunden zu haben glaube.

Eine gewisse Wahrscheinlichkeit dafür, dass 19 dm in Wirklichkeit die minimale Dicke des Eises gewesen ist, fand ich auch dadurch, dass ich Weyprechts Tabelle anwandte, welche den Zusammenhang zwischen der Dicke des Eises und der Summe der mittleren Tagestemperaturen angibt.

Gesetzt das Eis habe Ende Februar seine minimale Dicke, dann entspricht die Dicke von 19 dm nach Weyprecht einer Summe von Tagesmedien = -5000° C.

Addiert man zu dieser Anfangssumme die mittleren Tagestemperaturen, so erhält man

am 4. August 1903 = -7720° , was 23,2 dm dickem Eis entspricht
 » 7. Oktober 1903 = -8620° , » 24,4 dm » » »
 » 5. November 1903 = -8750° , » 24,6 dm » » » ,

also Ziffern, die mit den von mir durch direkte Messungen gefundenen ziemlich übereinstimmen.

Zum Vergleich sei hier angeführt, dass nach derselben Berechnungsmethode auf der »Fram«-Expedition die Dicke des Eises im Mai 1895 29,3 dm betragen hätte, während man es in Wirklichkeit zu 30 dm gemessen hat.

Auch für die übrigen Monate habe ich mir durch Anwendung der Weyprechtschen Zahlen wahrscheinliche Werte für die Dicke des Eises verschafft.

Indem ich von der Voraussetzung ausgehe, dass die Tiefe von 19 dm zu Beginn des Herbstes eine bereits vorhandene Temperatursumme von -5000° repräsentiert, erhalte ich die ungefähren Temperatursummen für den 15. jedes Monats in untenstehender Tabelle. Neben ihnen stehen die Werte für die Eisdicke, die ich durch Anwendung von Weyprechts Serie gefunden habe.

	April	Mai	Juni	Juli	August	Sept.	Okt.
Temperatur-Summen	-5570°	-6080°	-6700°	-7270°	-7780°	-8290°	-8640°
Eisdicke in dm	19.8	20.7	21.7	22.4	23.2	23.9	24.4

Über die Temperatur in den verschiedenen Eisschichten habe ich auch ein graphisches Bild für jeden einzelnen der Observationsmonate entworfen. Für jeden Monat standen mir drei Eistemperaturen zur Verfügung, nämlich die Temperatur auf dem Grunde des Eises, nach Messungen von Nordenskjöld = $-1,8^{\circ}$, die bei einer Tiefe von 5 dm und die bei einer Tiefe von 10 dm. In Ermangelung einer Temperatur für die Oberfläche benutzte ich die Lufttemperatur und placierte sie im Koordinatensystem — so wie sie auch gemessen wurde — für eine Höhe von 1 Meter über der Oberfläche.

In der Zeit, in der die Observationen stattfanden, wächst die Temperatur des Eises wenigstens von der Tiefe von 5 dm ab proportional mit dem Abstand von der Oberfläche. Wenigstens deuten die Temperaturlinien für die Monate darauf hin; von dem Punkt, welcher die Temperatur in 5 dm-Tiefe repräsentiert, verläuft sie, praktisch genommen, in gerader Linie bis zur unteren Fläche des Eises hinab.

Das Knie, das sämtliche Linien bei der 5 dm-Schicht aufweisen, ist wahrscheinlich nicht richtig, sondern beruht mit aller Wahrscheinlichkeit darauf, dass die Temperatur der Eisoberfläche im Observationsmaterial fehlt.

Lässt man dagegen die Temperaturlinie im Eise für eine Tiefe von 5 dm mit der Hauptrichtung, die sie zwischen der unteren Fläche und der 5 dm-Tiefe hat, bis zur Oberfläche fortsetzen, so erhält man Schnittpunkte, welche der Eisoberfläche Temperaturen zu Teil werden lassen, die sich nur wenig von den mittleren Lufttemperaturen unterscheiden.

Die ungefähren Temperaturen für die Oberfläche des Meereises sind danach

	April	Mai	Juni	Juli	Aug.	Sept.	Okt.
Berechnete Temperatur für die Oberfläche des Meereises	-10°	-17°	-19°	-18°	-16°	-17°	-10°
Lufttemp.	-14°	-19°	-21°	-17°	-16°	-17°	-6°

Das Knie würde alsdann an der Eisoberfläche liegen, was ja auch viel wahrscheinlicher ist.

Was übrigens den Verlauf der Temperatur beim Meereise betrifft, kann man aus dem Bild ershen, dass in der Zeit Mai—September das Eis sein Winteraussehen hat,

mit hinsichtlich der Temperatur nur geringen Veränderungen von Monat zu Monat. April und wahrscheinlich auch März sind die Zeiten, wo infolge der zunehmenden Kälte die Eisschicht ziemlich schnell sich abkühlt. Mit Oktober und November tritt die Temperaturzunahmeperiode ein mit wesentlich grösserer intermonatlicher Veränderung als in den kälteren Monaten.

Eine direkte Übereinstimmung oder Analogie zwischen den Temperaturen des Meereises und denen des Gletschereises ist nicht zu erwarten, da ja die Bedingungen hinsichtlich des Wärmezuschusses von unten so verschieden sind.

Es bestehen jedoch in zwei Hinsichten einige Gleichheiten, nämlich insofern, dass wie das Gletschereis so auch das Meereis im grossen ganzen im Winter wärmer, im Sommer aber kälter ist als die entsprechende Erdschicht.

Die Temperatur des Gletschereises.

Im Zusammenhang mit den Beobachtungen der Temperatur des Bodens in verschiedenen Tiefen* und des Meereises wurde auch ein Reihe von Observationen hinsichtlich der Temperatur des Gletschereises auf Snow-Hill angestellt. Der Apparat wurde installiert und die Observationen während der ganzen Zeit von Nordenskjöld zusammen mit seinen Arbeiten zur Bestimmung der Bewegung des Gletschers und andern glaciologischen Studien vorgenommen.

Die Anordnung des Apparates stimmte genau mit der überein, die für die Erdthermometer* getroffen wurde, und am 21. Mai 1902 wurde der Apparat installiert.

Der Platz lag Hunderte von Metern von dem nächsten hervortretenden schnee- und eisfreien Boden und ebensoweit von dem nächsten Wasser entfernt. Hier wurden nun die Thermometer aufgestellt, und zwar sollte der eine die Temperatur bei einer Tiefe von 5 dm, der andere dieselbe bei 10 dm-Tiefe angeben. Die Sache war aber nicht so einfach. So lange der Apparat an einem gegebenen Platze stand, erhielt man zwar die Temperatur der beiden gegebenen Schichten. Dies bedeutet aber keineswegs Temperaturen für die 5 dm- und 10 dm-Tiefe, da ja diese Schichten bald näher bei der Gletscheroberfläche lagen, bald weiter von ihr entfernt waren, je nach der Zu- oder Abnahme des Gletschers in den verschiedenen Jahreszeiten. Bald vermehrten Niederschläge oder Schneetreiben die Tiefe der Thermometer, bald verringerten Schmelzen und Verdunstung sowie möglicherweise Winderosion die Tiefen.

In den Tabellen (Tab. 52) mit den Observationen habe ich in den Kolonnen »5 dm» und »10 dm» die direkten Ablesungen von den Thermometern angegeben, die ursprünglich in einer Tiefe von 5 dm bzw. 10 dm aufgestellt worden waren.

* Bd II: L 2 dieses Werkes.

Tab. 52. Gletscher-

Dat.	>5 dm>	>10 dm>	5 dm	10 dm	Dat.	>5 dm>	>10 dm>	5 dm	10 dm
1902					1903				
Juni					Januar				
5	- 20.8°	- 15.8°			2	- 7.8°	-	-	- 7.8°
8	- 20.9	- 16.2			7	- 7.3	-	-	- 7.3
11	- 21.6	- 16.7			21	- 7.7	-	-	- 7.7
16	- 19.1	- 16.3					Med.	-	- 7.6
20	- 18.5	- 15.6			Februar				
22	- 16.5	- 14.9			26	- 5.4	- 4.5	- 6.1	- 5.2
		Med.	- 19.6	- 15.9			Med.	- 6.1	- 5.2
Juli					März				
3	- 20.3	- 15.8			23	- 8.0	- 6.1	- 9.5	- 7.6
		Med.	- 20.3	- 15.8	27	- 9.4	- 7.0	- 11.3	- 8.9
August							Med.	- 10.4	- 8.3
14	- 22.0	- 19.0			April				
28	- 20.5	- 19.0			2	- 11.1	- 8.2	- 13.4	- 10.5
		Med.	- 21.2	- 19.0	3	- 8.9	- 8.3	- 9.4	- 8.8
September					4	- 8.0	- 7.9	- 8.1	- 8.0
6	- 23.0	- 19.5			9	- 9.1	- 7.5	- 10.4	- 8.8
11	- 23.0	- 19.5			10	- 11.0	- 8.7	- 12.8	- 10.5
21	- 16.9	- 14.9			14	- 11.4	- 9.5	- 12.9	- 11.0
		Med.	- 21.0	- 18.0	15	- 11.1	- 9.6	- 12.3	- 10.8
Oktober					17	- 9.2	- 9.1	- 9.3	- 9.2
6	- 14.9	- 14.0			19	- 7.6	- 8.5	- 6.9	- 7.8
23	- 17.5	- 15.5			25	- 13.2	- 9.7	- 16.0	- 12.5
		Med.	- 16.2	- 14.7	27	- 13.7	- 10.6	- 16.2	- 13.1
November							Med.	- 12.4	- 10.7
5	- 16.2	- 14.2			Mai				
22	- 13.3	- 11.8			1	- 14.8	- 12.0	- 17.0	- 14.2
29	- 12.1	- 11.0			6	- 17.8	- 13.2	- 20.6	- 16.0
		Med.	- 13.8	- 12.4	12	- 17.6	- 14.4	- 19.5	- 16.3
Dezember					15	- 16.0	- 14.7	- 16.8	- 15.5
5	- 11.6	- 10.5			17	- 13.8	- 13.4	- 14.0	- 13.6
9	- 10.1	-			20	- 15.3	- 13.3	- 16.5	- 14.5
15	- 9.0	-			21	- 16.3	- 13.7	- 17.9	- 15.3
21	- 9.5	-			25	- 17.4	- 14.2	- 19.3	- 16.1
27	-	- 9.0			28	- 17.4	- 15.0	- 18.8	- 16.4
		Med.	- 10.0	- 9.7			Med.	- 17.8	- 15.3

temperatur.

Dat.	»5 dm»	»10dm»	5 dm	10 dm	Dat.	»5 dm»	»10dm»	5 dm	10 dm
1902					1902				
Juni					September				
1	- 15.0 ^o	- 14.7 ^o	- 15.2	- 14.9	1	- 20.5	- 17.2 ^o	- 20.5	- 16.4 ^o
2	- 14.1	- 14.1	- 14.1	- 14.1	2	- 21.1	- 17.4	- 21.1	- 16.5
5	- 13.7	- 13.2	- 14.0	- 13.5	4	- 19.4	- 17.6	- 19.4	- 17.2
7	- 13.5	- 13.0	- 13.8	- 13.3	5	- 17.9	- 17.5	- 17.9	- 17.4
14	- 15.0	- 13.4	- 15.8	- 14.2	6	- 16.1	- 16.0	- 16.1	- 16.0
15	- 15.2	- 13.7	- 16.0	- 14.5	9	- 14.8	- 15.8	- 14.8	- 16.0
20	- 16.0	- 14.4	- 16.8	- 15.2	14	- 15.5	- 14.7	- 15.5	- 14.5
26	- 16.3	- 14.9	- 17.0	- 15.6	16	- 16.0	- 15.2	- 16.0	- 15.0
		Med.	- 15.4	- 14.4	22	- 17.6	- 16.0	- 17.6	- 15.4
					24	- 17.2	- 16.0	- 17.2	- 15.7
Juli					26	- 17.8	- 16.0	- 17.8	- 15.6
1	- 16.0	- 14.8	- 17.1	- 15.9			Med.	- 17.6	- 16.0
4	- 15.2	- 14.6	- 15.3	- 15.2	Oktober				
7	- 15.0	- 14.1	- 16.1	- 15.2	3	- 17.9	-	- 17.9	-
12	- 14.8	- 14.1	- 15.7	- 14.9	5	- 14.0	- 16.0	- 14.0	- 16.5
18	- 15.3	- 14.2	- 16.6	- 15.5	9	- 14.3	- 14.7	- 14.3	- 14.8
20	- 14.2	- 14.1	- 14.3	- 14.2	12	- 13.7	- 14.5	- 13.7	- 14.7
21	- 13.7	- 13.9	- 13.5	- 13.7	18	- 8.6	- 12.9	- 8.6	- 13.9
26	- 13.0	- 13.0	- 13.0	- 13.0	21	- 8.2	- 11.6	- 8.2	- 12.4
		Med.	- 15.2	- 14.6	23	- 7.0	- 11.1	- 7.0	- 12.1
August					25	- 9.0	- 11.0	- 9.0	- 11.5
8	- 12.9	- 12.5	- 14.0	- 13.6	30	- 4.7	- 6.8	- 4.7	- 7.3
13	- 16.0	- 15.9	- 16.0	- 15.9			Med.	- 10.8	- 12.9
14	- 15.0	- 15.8	- 15.0	- 15.0	November				
15	- 16.4	- 15.0	- 13.9	- 15.3	3	- 7.7	- 9.2	- 8.1	- 9.9
19	- 14.6	- 14.3	- 14.6	- 14.2	4	- 3.9	- 8.5	- 5.9	- 9.0
20	- 17.6	- 15.6	- 17.6	- 15.1	5	- 4.8	- 7.9	- 4.8	- 8.9
30	- 19.2	- 16.3	- 19.2	- 15.6	7	- 1.3	- 6.4	- 2.3	- 7.4
		Med.	- 15.8	- 15.0			Med.	- 5.3	- 8.8

Da diese Werte von einer Jahreszeit zur andern für recht verschiedene Tiefen gelten können, lassen sie sich nicht direkt mit einander vergleichen. Ich habe daher in danebenstehenden Kolumnen die Temperaturen angeführt, wie sie für die Tiefen 5 dm und 10 dm unter der Gletscheroberfläche berechnet worden sind.

Tab. 53. Tiefe der Gletscherthermometer.

1902		
5. Juni—21. Dezember	5 dm = 5 dm	10 dm = 10 dm
27. Dez. 02—2. Jan. 03	5 dm = 8 dm	—
1903		
7. Januar—21. Januar	5 dm = 9 dm	10 dm = 14 dm
26. Februar—1. Mai	5 dm = 9 dm	10 dm = 14 dm
6. Mai—25. Mai	5 dm = 8 dm	10 dm = 13 dm
28. Mai—7. Juni	5 dm = 7 dm	10 dm = 12 dm
14. Juni—26. Juni	5 dm = 7,5 dm	10 dm = 12,5 dm
1. Juli—4. Juli	5 dm = 9,5 dm	10 dm = 14,5 dm
7. Juli—20. Juli	5 dm = 11 dm	10 dm = 16 dm
21. Juli	5 dm = 13 dm	10 dm = 18 dm
26. Juli	5 dm = 15 dm	10 dm = 20 dm
8. August	5 dm = 19 dm	10 dm = 24 dm
13. August—14. August	5 dm = 5 dm	10 dm = 10 dm
15. August—30. Oktober	5 dm = 5 dm	10 dm = 9 dm
3. November	5 dm = 4 dm	10 dm = 8 dm
4. November	5 dm = 3 dm	10 dm = 8 dm
5. November	5 dm = 5 dm	10 dm = 8 dm
7. November	5 dm = 4 dm	10 dm = 9 dm

Da ich die Tiefen der Thermometer zur Zeit der Ablesungen kannte (s. Tab. 53), habe ich diese berechneten Temperaturen durch proportionelle Interpolation und Extrapolation herauskonstruiert.

Dass eine solche Berechnungsmethode keinen Anspruch darauf erheben kann, exakte Werte zu liefern, bin ich der Erste, der dies zugibt; ich habe diese Methode trotzdem angewandt, weil man auf diese Weise doch eine Möglichkeit erhält, wenigstens einige approximative Werte zu finden, die sich zu einem Vergleich mit entsprechenden Temperaturbeobachtungen der 5 dm- und 10 dm-Schicht des Bodens und des Meereises eignen.

Wenn auch die durch Extrapolation gefundenen 5 dm-Temperaturen hinsichtlich der Sicherheit manches zu wünschen übrig lassen können, so dürften sie doch, wenn man sie mit den sichern 10 dm-Temperaturen zusammenstellt, ein vollkommen befriedigendes Material zu einem Vergleich mit den Temperaturen der gleich tiefen Erdschichten liefern.

Aus diesen berechneten 5 dm- und 10 dm-Temperaturen nahm ich für jeden Monat das Mittel, wobei es mir jedoch nicht darauf ankam, ein wirkliches Monatsmedium zu erhalten, sondern ein Material zu finden, das sich leichter mit den Erdtemperaturen vergleichen lässt.

Aus den Erdtemperaturen für die Tiefen 5 dm und 10 dm zog ich die Tagesmittel für die Tage, für welche Gletscherbeobachtungen existieren, und nahm den Durchschnitt für jeden Monat.

Der Vergleich zwischen den Erd- und Gletschertemperaturen wird teils in Tabellenform in Tab. 54 teils auch graphisch in Taf. 12 dargestellt und ergibt ein Resultat, das in Wirklichkeit ganz natürlich ist, wenn es auch auf den ersten Blick etwas überraschend erscheinen kann.

Tab. 54. Gletschertemperatur und Erdtemperatur.

Monat	5 dm			10 dm		
	Gletscher	Erde	Diff.	Gletscher	Erde	Diff.
1902						
Juni	- 19.6	- 17.8	- 1.8	- 15.9	- 15.9	± 0.0
Juli	- 20.3	- 18.3	- 2.0	- 15.8	- 15.5	- 0.3
August	- 21.2	- 20.9	- 0.3	- 19.0	- 20.0	+ 1.0
September	- 21.0	- 17.3	- 3.7	- 18.0	- 17.2	- 0.8
Oktober	- 16.2	- 11.3	- 4.9	- 14.7	- 12.8	- 1.9
November	- 13.8	- 8.1	- 5.7	- 12.4	- 9.8	- 2.6
Dezember	- 10.0	- 2.4	- 7.6	- 9.7	- 4.8	- 4.9
1903						
Januar	-	-	-	- 7.6	- 2.7	- 4.9
Februar	- 6.1	- 0.5	- 5.6	- 5.2	- 1.5	- 3.7
März	- 10.4	- 8.4	- 2.0	- 8.3	- 6.4	- 1.9
April	- 11.6	- 10.8	- 0.8	- 10.1	- 9.1	- 1.0
Mai	- 17.8	- 17.7	- 0.1	- 15.3	- 15.0	- 0.3
Juni	- 15.4	- 18.6	+ 3.2	- 14.4	- 16.8	+ 2.4
Juli	- 15.2	- 18.0	+ 3.8	- 14.6	- 18.0	+ 3.4
August	- 15.8	- 15.9	+ 0.1	- 15.0	- 15.6	+ 0.6
September	- 17.6	- 17.8	+ 0.2	- 16.0	- 16.6	+ 0.6
Oktober	- 10.8	- 9.7	- 1.1	- 12.9	- 11.2	- 1.7
November	- 5.3	- 4.4	- 0.9	- 8.8	- 6.7	- 2.1

Am besten tritt dies zu Tage, wenn man die Temperaturkurven für die verschiedenen Tiefen betrachtet (Taf. 12). Sowohl bei der 5 dm- wie bei der 10 dm-Tiefe zeigen die Erdkurven ein Sommermaximum, welches das der Gletscherkurven beträchtlich überschreitet, während andererseits das Erdminimum im Winter, wenig-

stens im zweiten, mehr eingehend beobachteten, viel tiefer als das Eisminimum heruntergeht.

Noch deutlicher zeigt sich der Unterschied zwischen den verschiedenen Temperaturverhältnissen von Erde und Gletscher in den beiden untersten Kurven. Diese geben graphisch die Zahlen in den Differenzkolumnen der Tab. 54 wieder. Man sieht deutlich, dass für die beiden Tiefen der Unterschied zwischen Gletscher- und Erdtemperatur offenbar eine Funktion der Jahreszeiten ist. Augenscheinlich dürften die Temperaturen zur Zeit der Tag- und Nachtgleichen gleich und kurz nach der Zeit der Sonnenwenden am grössten sein, so dass *im Sommer der Gletscher kälter ist als die Erde, im Winter aber umgekehrt*. Im ersten Sommermonat, Dezember, erwies sich daher die 5 dm-Tiefe des Gletschers um nicht weniger als $7,6^{\circ}$ kälter und die 10 dm-Tiefe um $4,9^{\circ}$ kälter als die entsprechende Erdschicht.

Die Erklärung hierfür liegt in der verschiedenen Wirkung der Insolation; sie wirkt kräftig auf dem dunkeln, schneefreien Boden, dem sie sogar in einer Tiefe von 5 dm eine höhere Temperatur verleiht, als sie die Luft hat; auf der weissen Schneefläche aber ist die Wirkung der Insolation eine äusserst geringe.

Im Winter dagegen, wo der Boden auch in diesen Sturmgebenden, besonders in den hellen und alsdann ruhigen Nächten von einer, wenn auch dünnen Schicht bedeckt ist, haben Gletscher und Boden ungefähr die gleiche Ausstrahlung. Dann aber haben die geringere spezifische Wärme des Bodens und sein grösseres Wärmeleitungsvermögen die Wirkung, dass die »Kältewelle« tiefer und schneller in die Erde eindringt als in das Gletschereis. Die Amplitude für die Temperaturveränderungen muss also für eine Gletscherschicht geringer sein als für eine Erdschicht derselben Tiefe. Die relativen Monatstemperaturen, die ich angeführt habe, ergeben daher für eine Tiefe von 5 dm eine Amplitude für den Boden = $20,4^{\circ}$ und für den Gletscher = $15,1^{\circ}$.

Für die 10 dm-Tiefe sind die entsprechenden Amplituden im Boden $18,5^{\circ}$ und im Gletscher $13,8^{\circ}$.

Es wäre natürlich wünschenswert gewesen, dass sich derartige Temperaturmessungen regelmässiger und bequemer hätten ausführen lassen, so dass es möglich gewesen wäre, nach und nach die Tiefe der Thermometer zu justieren und die mehr oder weniger unsicheren Reduzierungen zu vermeiden.

Der ungefähr $\frac{1}{2}$ Stunde weite beschwerliche Weg zu unseren Gletscherthermometern im Verein mit den besonders schwierigen Witterungsverhältnissen verhinderten eine ausgedehntere Observationstätigkeit bei Snow-Hill als die 1903 ausgeführte.

Den Resultaten muss man jedoch nach meiner Auffassung ein ganz spezielles Interesse zuwenden. Denn in diesem jetzt nachgewiesenen Umstand, dass der Gletscher in seinen oberen Teilen eine so beträchtlich niedrigere Sommertemperatur hat als sowohl der Boden wie die Luft, dürfte wohl wenigstens eine der Erklärungen zu

suchen sein für die extrem niedrigen Sommertemperaturen in den eisbedeckten antarktischen Gegenden, und ihre Erklärung ist eines der interessantesten Probleme der Meteorologie des Südpolargebietes.

Bewölkung.

Wie n. aus Tab. V: 1—20. Bd II: L 2 ersieht, wurde stündlich das Aussehen des Himmels mit Rücksicht auf die herrschende Wolkenmenge abgeschätzt, letztere unter Anwendung der Skala 0—10 (Tab. 55).

Tab. 55. Bewölkung.

	Herbst	Winter	Frühling	Sommer	Jahr
Kap Horn, Orange-Bai	7.8	7.3	8.2	8.3	8.0
Südorkney-Inseln	8.3	7.4	7.8	9.4	8.2
Snow-Hill	7.4	6.0	7.7	8.0	7.3
Port Charcot	6.3	7.2	8.0	8.5	7.5
»Belgica»	7.3	6.2	7.5	8.8	7.3
»Gauss»	7.0	7.4	7.3	7.4	7.3
»Discovery» *	4.5	3.8	5.7	5.1	4.8

Was die jährliche Periode der Bewölkung betrifft, so fällt sie mit der zusammen, die man von einem Orte mit Snow-Hills Lage, unmittelbar vor der Grenze der eigentlichen Antarktis erwartet.

Im Durchschnitt fürs Jahr ist sie ziemlich hoch = 7,3, dieselbe wie für die »Belgica«- und die »Gauss«-Expedition aber etwas niedriger als für die französische Station, Port Charcot, die ja auch auf der Windseite von Grahamland lag und wo man daher eine reichlichere Kondensation des Wasserdampfes zu erwarten hat. Im Vergleich mit nördlicher gelegenen Orten der Gegend um Kap Horn ist die Bewölkung für Snow-Hill niedriger. Bei Kap Horn in der Orange-Bai fanden die Franzosen 1882—1883 die Bewölkung = 8,0 und bei den Südorkneyinseln stellten die Schotten den hohen Durchschnittswert 8,2 fest.

Auffallend niedrig ist die Bewölkung bei der viel südlicher gelegenen englischen Expedition mit der »Discovery«. Annähernd stellte ich sie auf 4,8 fest, einen Wert, der

* Diese Zahlen sind nur approximative. Im Bericht über die Meteorologie der »Discovery« konnte ich keine Ziffern finden, welche die Bewölkung direkt angeben. Dagegen findet sich eine Tabelle, in welcher für jeden Monat die prozentuale Zahl der Bewölkung nach der Beaufortschen Skala angegeben ist. Die vier Bezeichnungen, die daselbst angewandt werden, sind »b« (Bewölkung 0—1) »bc« (1—4) »c« (4—8) »o« (8—10).

Um einen approximativen Wert für die Bewölkung zu erhalten, multiplizierte ich die Prozentzahl für »b« mit 0,5, die für »bc« mit 2,5, die für »c« mit 5,5 und die für »o« mit 9 (Faktoren, die also die Mittel der Bewölkungsgrenzen sind). Die so erhaltenen Produkte habe ich addiert und dann mit 100 dividiert. Als annähernde Werte wenigstens dürften die so gefundenen Zahlen angewandt werden können.

Tab. 56. Täglicher
Abweichungen

	0 a. m.	1 a. m.	2 a. m.	3 a. m.	4 a. m.	5 a. m.	6 a. m.	7 a. m.	8 a. m.	9 a. m.	10 a. m.	11 a. m.
Herbst	- 0.8	- 0.7	- 0.6	- 0.5	- 0.4	- 0.1	+ 0.2	+ 0.4	+ 0.5	+ 0.5	+ 0.5	+ 0.6
Winter	- 0.5	- 0.5	- 0.4	- 0.3	- 0.3	- 0.2	- 0.1	+ 0.1	+ 0.3	+ 0.5	+ 0.6	+ 0.7
Frühling	- 0.4	- 0.4	- 0.3	- 0.3	- 0.2	± 0.0	+ 0.2	+ 0.4	+ 0.4	+ 0.3	+ 0.3	+ 0.2
Sommer	- 0.3	- 0.2	± 0.0	+ 0.1	+ 0.2	+ 0.3	+ 0.2	+ 0.2	+ 0.1	+ 0.1	+ 0.1	± 0.0
Jahr	- 0.5	- 0.5	- 0.4	- 0.3	- 0.2	± 0.0	+ 0.1	+ 0.2	+ 0.3	+ 0.3	+ 0.4	+ 0.4

deutlich die weit zurtücksgezogene Lage der Expedition nach Süden vom offenem Meere anzeigt.

Der jährliche Verlauf der Bewölkung bei Snow-Hill wird von einem ausgeprägten Maximum 8,0 im Sommer und einem Minimum 6,0 im Winter gekennzeichnet. Herbst und Frühling sind untereinander ungefähr gleich und unterscheiden sich nur wenig vom Jahresdurchschnitt.

Den täglichen Verlauf der Bewölkung habe ich sowohl in Tab. 56 wie in Taf. 11 veranschaulicht. Die Zahlen in der Tabelle geben wie gewöhnlich die Abweichung des Stundenmediums vom Tagesmittel an. Die Ziffern in der Tabelle sind aber nicht jene Unterschiede, so wie sie sich direkt der Tab. XII Bd II: L 2 entnehmen lassen, sondern ich habe die Stundenmittel zuerst nach der gewöhnlichen Methode »b« = $\frac{a+2b+c}{4}$ ausgeglichen und dann erst die Differenzen genommen.

Im grossen ganzen ist der Verlauf für sämtliche Jahreszeiten derselbe, wenn er sich auch für den Sommer etwas schwächer markiert. Im Herbst, Winter und Frühling ist die Bewölkung in den Stunden von 7a—4p über dem Durchschnitt, von 6p—5a unter dem Durchschnitt. Die tägliche Kurve passiert also in diesen Jahreszeiten die Mittellinie ungefähr um 6a beim Steigen, ungefähr um 5p beim Fallen.

Die Zeit fürs Maximum verschiebt sich im Laufe des Jahres; am spätesten trifft es im Winter ein, um 0^h30 p, es kommt früher im Frühling, ungefähr um 7^h30^ma und noch früher im Sommer, schon um 5 a; im Herbst tritt es wieder später am Tage ein, nämlich um 11a.

Die grösste Amplitude findet man im Herbst, 1,4, sie nimmt alsdann im Winter und Frühling ab und ist am geringsten im Sommer, 0,6.

Löst man die Tageskurve der Bewölkung in 2 Wellen, eine 24-stündige und eine 12-stündige auf, so dass also die tägliche Variation von der Formel repräsentiert wird

$$k_1 \sin(t + \alpha_1) + k_2 \sin(2t + \alpha_2) + \dots,$$

dann erhält man die Koeffizienten und Konstanten, die ich in Tab. 57 angebe.

Gang der Bewölkung.

vom Mittel.

Mittg	1 p.m.	2 p.m.	3 p.m.	4 p.m.	5 p.m.	6 p.m.	7 p.m.	8 p.m.	9 p.m.	10 p.m.	11 p.m.	Mittn	Amplitude
+ 0.5	+ 0.4	+ 0.2	+ 0.2	+ 0.2	+ 0.2	± 0.0	- 0.2	- 0.4	- 0.6	- 0.8	- 0.8	- 0.8	1.4
+ 0.7	+ 0.7	+ 0.7	+ 0.6	+ 0.5	+ 0.1	- 0.3	- 0.5	- 0.4	- 0.5	- 0.6	- 0.5	- 0.5	1.2
+ 0.2	+ 0.2	+ 0.2	+ 0.1	± 0.0	- 0.1	± 0.0	- 0.1	- 0.2	- 0.3	- 0.5	- 0.4	- 0.4	0.9
+ 0.1	+ 0.2	+ 0.2	± 0.0	- 0.1	- 0.2	- 0.1	± 0.0	± 0.0	- 0.1	- 0.3	- 0.3	- 0.3	0.6
+ 0.3	+ 0.3	+ 0.3	+ 0.2	+ 0.1	± 0.0	- 0.1	- 0.2	- 0.3	- 0.4	- 0.6	- 0.6	- 0.5	1.0

Wie man ja nach dem Aussehen der Kurven erwarten kann, ist die Amplitude der 24-stündigen Kurve bedeutend grösser als die der 12-stündigen. Der Phasenwinkel der 24-stündigen Kurve variiert für die verschiedenen Jahreszeiten zwischen 314° und 273°, was einem Eintreten des Wolkenmaximums um 9^h05^ma und um 11^h48^ma entspricht. Die Amplitude der 12-stündigen Kurve ist 3 à 5 mal so klein wie die der 24-stündigen, und mit Ausnahme des Winters treten die Maxima der 12-stündigen Kurve zwischen 5^h20^m und 6^h48^m vormittags und nachmittags ein. Im Winter hat die kürzere Kurve ihre Maxima ungefähr um 1^ha und 1^hp.

Tab. 57. Fouriers Koeffizienten der täglichen Bewölkungsperioden.

	Mittel	k ₁	α ₁	k ₂	α ₂	Max ₁	Max ₂
Herbst	7.4	0.66	280°	0.13	249°	11 ^h 18 ^m a. m.	6 ^h 42 ^m
Winter	6.0	0.65	273°	0.15	56°	11 ^h 48 ^m a. m.	1 ^h 06 ^m
Frühling	7.7	0.45	286°	0.12	246°	10 ^h 54 ^m a. m.	6 ^h 48 ^m
Sommer	8.0	0.20	314°	0.08	289°	6 ^h 05 ^m a. m.	5 ^h 20 ^m
Jahr	7.3	0.46	283°	0.05	270°	11 ^h 05 ^m a. m.	6 ^h 00 ^m

Was sonst die Bewölkung und die damit zusammenhängende Sonnenscheinzeit betrifft, so verweise ich für Details in den verschiedenen Monaten auf die von mir vorgenommene Zusammenstellung in Bd II: L 2 dieser Arbeit (Tab. XII und Tab. XIV).

Ich habe jedoch auch in Tab. 58 die Resultate zusammengefasst.

In diese Tabelle nehme ich für jeden Monat sowohl die Anzahl Stunden auf, wo der Himmel ganz von Wolken bedeckt war (Bewölkung = 10) als auch die, wo er ganz wolkenfrei war (Bewölkung = 0). Zum Vergleich mit andern Expeditionen, wo man vielleicht im Monat eine geringere Anzahl von Observationen z. B. nur jede zweite oder dritte Stunde gemacht hat, habe ich die so gefundenen Stundenanzahlen in Prozente der gesamten Anzahl Observationen umgerechnet. (Tab. 58.)

Schliesslich stehen in den beiden letzten Kolonnen, ebenfalls in Prozenten ausgedrückt, teils Tage ohne registrierten Sonnenschein teils notierten Sonnenschein als Pro-

zent der möglichen Sonnenscheinzeit, also der Zeit, wo die Sonne über dem lokalen Horizont stand.

Tab. 58. Bewölkung und Sonnenschein.

	Zahl der Stunden mit Bewölkung		Prozentuale Häufigk. der Stunden mit Bewölkung		Zahl der Tage ohne ☉ in %	Sonnenschein in %
	= 10	= 0	= 10	= 0		
1902			%	%		
April	260	83	45	14	37	31
Mai	398	75	54	10	68	21
Juni	294	100	41	14	84	6
Juli	318	170	43	23	74	12
August	244	160	33	21	32	40
September	366	72	51	10	30	31
Oktober	403	65	54	9	42	22
November	503	13	70	2	44	21
Dezember	432	49	58	7	29	32
1903						
Januar	517	10	70	1	45	20
Februar	400	69	60	10	29	27
März	503	11	68	2	61	14
April	316	70	44	10	44	26
Mai	305	101	41	13	68	19
Juni	283	132	39	18	67	15
Juli	315	120	42	16	68	17
August	270	104	36	14	52	31
September	401	62	56	9	47	28
Oktober	322	54	43	7	26	34

Die Stunden mit einer Bewölkung = 10 sind offenbar der gewöhnlichste Bewölkungstypus, mit 53% der gesamten Zeit fürs Jahr, einer Zahl, die abgesehen von dem sehr niedrigen Werte der »Discovery«-Expedition, 42%, doch ziemlich niedrig ist im Vergleich mit den übrigen westantarktischen Expeditionen (s. Tab. 60). Die Ziffer für Snow-Hill (53%) scheint auch etwas niedriger zu sein als die der »Gauss«-Expedition (62%), doch ist dabei zu bemerken, dass in den 62 Proz. der »Gauss« nicht bloss die Stunden mit einer Bewölkung = 10, sondern auch die mit einer Bewölkung = 9 enthalten sind. Mit Rücksicht auf diese Umstand dürfte man die Anzahl Stunden mit vollständiger Wolkenbedeckung bei Snow-Hill und der »Gauss« ziemlich gleich hoch schätzen. Für die West-Antarktis fällt die grösste Anzahl solcher wolkenbedeckter Stunden in den Sommer und das Minimum in den Winter; Herbst und Frühling repräsentieren eine Zahl, die ungefähr der gleich ist, die fürs ganze Jahr gilt.

Tab. 59. Anzahl Stunden in % ausgedrückt, in denen die Bewölkung 10 und 0 war.

Mittel von 1902 und 1903.

	Jan.	Febr.	März	April	Mai	Juni	Juli	Aug.	Sept.	Okt.	Nov.	Dez.
Bewölkung = 10	70	60	68	45	47	40	42	34	52	49	70	58
Bewölkung = 0	1	10	2	12	12	16	19	18	9	8	2	7

Für die Ost-Antarktis ist der Unterschied zwischen der Menge wolkenbedeckter Stunden in den verschiedenen Jahreszeiten weniger scharf markiert, wenigstens bei der deutschen Expedition, wo der Unterschied zwischen den maximalen und minimalen Frequenzen sehr klein ist. Bei der »Discovery«-Expedition trifft die geringste Anzahl wolkenbedeckter Stunden im Winter ein, aber bereits im Frühling haben bei ihr die »overcast«-Stunden ihr Maximum erreicht.

Tab. 60. Bewölkungs- und Sonnenscheinverhältnisse in der Antarktis.

Bewölkung =	Prozentuale Häufigkeit von Stunden mit Bewölkung 10 und 0											
	Snow-Hill		»Belgica«		Süd-Orkney		Port-Charcot		»Gauss«		»Discovery«	
	10	0	10	0	10	0	10	0	9-10	0-1	8-10	0-1
Herbst	53	9	58	9	67	9	—	—	65	20	40	43
Winter	39	18	51	20	62	13	—	—	63	15	34	51
Frühling	57	6	62	10	64	9	—	—	59	13	51	25
Sommer	63	6	74	2	81	0	—	—	62	14	44	32
Jahr	53	10	61	10	68	5	—	—	62	15	42	38
Mittl. Bewölk.	7.3		7.3		8.2		7.5		7.3		4.8	
1: Prozent. Häufigkeit der Tage ohne Sonnenschein (☉). 2: Sonnenscheindauer in %.												
	Ohne ☉	☉ in %			Ohne ☉	☉ in %	Ohne ☉	☉ in %			Ohne ☉	☉ in %
Herbst	56	20	—	—	63	10	26	38	—	—	33	20
Winter	63	23	—	—	71	11	42	28	—	—	—	—
Frühling	55	26	—	—	30	20	46	33	—	—	26	34
Sommer	36	27	—	—	33	13	38	29	—	—	10	48
Jahr	53	25	—	—	49	14	38	32	—	—	—	34
	Snow-Hill		»Belgica«		Süd-Orkney		Port-Charcot		»Gauss«		»Discovery«	

Die Zahl der vollkommen klaren Stunden ist bedeutend niedriger als die der vollkommen bedeckten und zeigt einen jährlichen Verlauf, dessen Charakter dem des oben behandelten entgegengesetzt ist. Im Winter ist die Aussicht auf klares Wetter

am grössten, im Sommer am geringsten. Dies ist wenigstens die Regel für westantarktische Gegenden.

Bei der »Gauss« fallen die meisten klaren Stunden in den Herbst und die kleinste Zahl in den Frühling. Per Jahr hatte die »Gauss« 15 % klare (0—1) Stunden, eine Zahl, die hinsichtlich der Stunden mit einer Bewölkung = 1 der entsprechenden Ziffer (10 %) für Snow-Hill gleichgestellt werden dürfte.

Die britische Expedition 1902—1904 hatte wie die in Westantarktis die grösste Aussicht auf klares Wetter im Winter, wo man nicht weniger als die Hälfte der Stunden mit einer Bewölkung < 1 notierte. Diese Anzahl klarer Stunden hatte ihr Minimum nicht im Sommer, sondern schon im Frühling, nämlich 25 % der Zeit, also einen Wert, der doch recht wesentlich über die klare Zeit hinausgeht, die der Winter auf den übrigen Stationen zeigte.

Im Zusammenhang mit der prozentualen Anzahl Stunden mit einer Bewölkung = 10 und = 0, habe ich zum Vergleich in derselben Tabelle für die Stationen, von denen ich Angaben finden konnte, sowohl die prozentuale Häufigkeit von Tagen ohne registrierten oder notierten Sonnenschein wie auch die Sonnenscheinzeit in Prozenten der Tageslänge mitgeteilt.

Nach obenstehender Tabelle, d. h. aus dem Umstand, dass der Winter die geringste Anzahl trüber und die grösste Zahl klarer Tage aufweist, könnte man erwarten, dass auch hinsichtlich der Sonnenscheinzeit der Winter deshalb die günstigste Jahreszeit wäre. Dies ist aber nicht der Fall. Für Snow-Hill ist es im Gegenteil so, dass in dieser Jahreszeit nicht weniger als 63 % aller Tage dahingingen, ohne dass Sonnenschein registriert wurde, während der Sommer nur 36 % solcher sonnenloser Tage aufweist.

Eine ähnliche Statistik, wenn auch mit weniger scharf ausgesprägtem Gegensatz zwischen Winter und Sommer, trifft man auch bei den übrigen Stationen, so dass die Regel also die ist, dass die kälteste Jahreszeit auch den grössten Mangel an Sonne aufzuweisen hat.

Die Erklärung für diesen scheinbaren Widerspruch zwischen Bewölkungsverhältnissen und Tagen ohne Sonne liegt ziemlich nahe. Wenn der Winter auch eine geringere Bewölkung als der Sommer hat, so ist doch zu bemerken, dass in jener Jahreszeit die Sonne viel kürzere Zeit über dem Horizonte steht als im Sommer und dass schon hierdurch die Wahrscheinlichkeit für direkt registrierten Sonnenschein verringert wird. Ausserdem kann es, wie ich schon früher betont habe, sehr gut vorkommen, dass die Sonne an einem sehr kalten Wintertag sogar ziemlich lange hervorgeblickt hat, ohne dass sie deshalb die Kraft hatte, auf dem Papier des Apparates ein Zeichen einzubrennen. Es zeigt sich auch, dass die registrierte Sonnenscheinzeit auf allen Stationen ein Maximum in der warmen und ein Minimum in der kalten Jahreszeit hat.

Winde.

Die Windverhältnisse bei Snow-Hill sind im einzelnen in einem früheren Teile dieser Arbeit, nämlich Bd II: L 2 angegeben; daselbst sind Windrichtung (rechtweisend) und Windschwelligkeit in Tab. IV: 1—21 mitgeteilt. Bei eingehenderer Bearbeitung dieses Materials fand ich, dass die Winde bei Snow-Hill einen recht extremen Charakter haben, der sich nicht unwesentlich von den Windobservationen unterscheidet, die an andern antarktischen Orten angestellt worden sind. Dies gilt sowohl für die Richtung und die Geschwindigkeit an und für sich als auch für den Zusammenhang zwischen den Windrichtungen und andern meteorologischen Faktoren.

Daher hielt ich es auch für angebracht, das Material in statistischer Hinsicht ziemlich ausführlich von einer Reihe verschiedener Gesichtspunkte aus zu behandeln.

Ich beginne mit der Windgeschwindigkeit, unabhängig von den verschiedenen Windrichtungen, gehe alsdann auf die Frage der verschiedenen Windrichtungen und ihrer Charakterisierung ein, darauf ist es wohl am Platze, im Anschluss an die reproduzierten Registrierungspapiere den gewöhnlichsten und charakteristischen Wettertypen der Ostküste von Grahamland überhaupt näher zu treten.

Windgeschwindigkeit.

Jährliche Variation.

Unser 20-monatlicher Aufenthalt bei Snow-Hill ergab, was die Windbeobachtungen betrifft, nur 19 vollständige Observationsmonate. Die Bearbeitung dieser Windbeobachtungen umfasst daher in der Hauptsache die Zeit April 1902—Oktober 1903. Die Windgeschwindigkeit wurde ausschliesslich mit einem Anemometer von Fuess und einem solchen von Seeman in Hamburg bestimmt und ist in m/s angegeben. Wenn der Anemometer einmal nicht funktionierte und man die Windgeschwindigkeit schätzte, dann wurde sie nicht nach der Beaufortschen Skala, sondern direkt in m/s abgeschätzt.

Den Durchschnitt für die verschiedenen Monate habe ich in Tab. 61 angegeben.

Aus den 19 Monaten, unter denen also von fünf Monaten, u. a. den Sommermonaten, nur einfache Serien vorliegen, erhält man daher, wenn man will, zwei Jahresmittel.

Die Zeit April 1902—März 1903 ergibt einen mittleren Wert = 8,9 m/s, während die Zeit November 1902—Oktober 1903 einen mittleren Wert = 7,4 m/s hat, also ein nicht unbedeutender Unterschied von 1,5 m/s zwischen den verschiedenen Jahren.

Diese Differenz muss also direkt auf der Verschiedenheit der Zeit April—Oktober, oder der kalten Jahreszeit in den beiden Jahren beruhen. Nach meiner Auffassung ist es wahrscheinlich, dass die drei ungleichsten Monate Mai—Juli, oder wenigstens Mai und Juni in beiden Jahren, mit ihren maximalen Geschwindigkeiten 1902, dagegen minimalen 1903, extreme Monate gewesen sind. Das Jahresmittel beider, also 8,3 m/s, scheint mir ein recht annehmbarer wahrscheinlicher Durchschnittswert zu sein, der jedoch vielleicht etwas zu hoch ist mit Rücksicht auf den enorm hohen Wert 13,7 m/s für den gemeinsamen Monat März 1903, der ohne Gegengewicht vom Monat März 1902 mit hineinspielt. In Tab. IV: 1 in Bd II: L 2 ist jedoch angegeben, dass man aus den 464 Observationen im März 1902 einen mittleren Wert = 8,4 m/s erhält, und halte ich es nicht für unwahrscheinlich, dass dieser Wert ein ungefähres Mittel dieses Monats ist. Benutzt man diesen Wert für März 1902 bei der Berechnung des Endwertes, so dass also im Durchschnittsjahr März die Windgeschwindigkeit $\frac{13,65+8,4}{2} = 11,02$ m/s erhält, erreicht man hierdurch doch nur eine unbedeutliche Verminderung des Jahresmittels von 8,3 m/s auf 8,1 m/s.

Tab. 61. Jährlicher Gang der Windgeschwindigkeit (in m/s).

	Jan.	Febr.	März	April	Mai	Juni	Juli	Aug.	Sept.	Okt.	Nov.	Dec.
1902	—	—	—	7.41	11.19	11.33	11.38	9.53	8.70	9.20	8.47	4.39
1903	5.06	7.48	13.65	8.44	6.48	6.24	8.42	8.98	7.65	6.61	—	—
Mittel	5.06	7.48	13.65	7.92	8.84	8.78	9.90	9.25	8.17	7.90	8.47	4.39
Diff. v. Mit.	— 3.26	— 0.84	+ 5.33	— 0.40	+ 0.52	+ 0.46	+ 1.58	+ 0.93	— 0.15	— 0.42	+ 0.15	— 3.93
Diff. ausgeglich.	— 2.82	+ 0.10	+ 2.35	+ 1.29	+ 0.28	+ 0.75	+ 1.14	+ 0.82	+ 0.05	— 0.21	— 1.02	— 2.74

Diese mittlere Windgeschwindigkeit ist im Vergleich zu der der übrigen Stationen in den antarktischen Gegenden die höchste, die man bisher beobachtet hat. Doch muss man hierbei berücksichtigen, dass man bei den meisten übrigen Expeditionen seine Werte oft nur auf eine subjektive Schätzung nach der 12-gradigen Beaufortschen Skala gegründet hat *).

Ein ziemlich deutlicher Unterschied macht sich bemerkbar zwischen den ostantarktischen Gegenden (Kap Adare 2,8 m/s, Kaiser Wilhelm II-Land, »Gauss«, 5,7 m/s und »Discovery«-Expedition 4,6 m/s) und den westantarktischen (»Belgica« 4,0 m/s, Snow-Hill 8,3 m/s, Süd-Orkney-Inseln 5,5 m/s, Süd-Georgien und dem nahegelegenen Kap Horn, 6,7 m/s) s. Tab. 62.

* Bei allen folgenden Vergleichen habe ich Geschwindigkeiten nach der Beaufortschen Skala in absoluten Werten m/s umgerechnet unter Anwendung von Köppens Reduktionszahlen, daher

Beaufort	1	2	3	4	5	6	7	8	9	10	11
m/s . . .	1,7	3,1	4,8	6,7	8,7	10,7	12,9	15,4	18,0	21,0	26,0

Tab. 62. Windgeschwindigkeit (in m/s) verschiedener antarktischer Stationen.

	Snow-Hill	»Belgica» *	Süd-Orkney	Kap Adare	»Gauss»	»Discovery»
Januar	5.1	3.6	3.9	4.3	4.2	3.1
Februar	7.5	4.4	6.7	—	5.9	4.1
März	13.7	4.7	8.6	4.5	4.8	4.8
April	7.9	5.7	2.6	3.1	5.6	4.1
Mai	8.8	4.2	3.4	2.2	8.9	5.8
Juni	8.9	4.0	6.0	2.1	5.2	4.9
Juli	9.9	2.5	7.1	2.5	6.5	5.1
August	9.3	4.3	6.9	1.7	8.9	5.5
September	8.2	3.5	5.2	2.2	4.9	4.6
Oktober	7.9	4.1	6.5	2.5	4.1	5.1
November	8.5	3.3	5.2	2.4	4.7	4.3
Dezember	4.4	3.5	4.0	3.3	4.6	3.7
Jahr	8.3	4.0	5.5	2.8	5.7	4.6

Die Windgeschwindigkeit ist in letzteren Gegenden bedeutend grösser als in ersteren, *und unter den westantarktischen Stationen ist Snow-Hill der Punkt antarktischen Gebietes, von dem man also bis jetzt die grösste Windgeschwindigkeit, fürs Jahr berechnet, verzeichnet hat.*

Die jährliche Veränderung von Monat zu Monat, fürs Durchschnittsjahr geltend, ist in Taf. 13 graphisch wiedergegeben.

Was den jährlichen Verlauf der Windgeschwindigkeit angeht, so habe ich ihn für Snow-Hill in den beiden untersten Zeilen von Tab. 61 ebenfalls angegeben. Die letzte Zeile enthält die ausgeglichenen Werte der vorhergehenden nach der üblichen

$$\text{Methode: } \text{»b»} = \frac{a + 2b + c}{4}.$$

Bei einem solchen Ausgleich verteilt sich das grosse Maximum für März auf die angrenzenden Monate, und der jährliche Wechsel der Windgeschwindigkeit wird gleichmässiger und einermassen von zufälligen Einflüssen befreit. Auf die verschiedenen Jahreszeiten verteilt, stellt sich die Variation der Windgeschwindigkeit während eines Jahres so dar, dass die Winde im Herbst am stärksten sind, alsdann abnehmen und zwar im Winter langsam, im Frühling etwas schneller und ihr Geschwindigkeitsminimum im Sommer erreichen. Im allgemeinen gilt für alle antarktischen Stationen die

* Arctowski hat in seinem Bericht über die Zahlenergebnisse der »Belgica»-Expedition die Frage der Windgeschwindigkeit im Durchschnitt nicht behandelt. Auf dieser Expedition wurde die Geschwindigkeit nach der Beaufortschen Skala notiert. Ich nahm für zwei Stunden, 6 a und 6 p, in jedem Monat die Mittel und erhielt aus diesen beiden einen annähernden Wert für die Geschwindigkeit nach der Beaufortschen Skala. Unter Benutzung von Köppens Reduktionstabelle drückte ich alsdann die so erhaltenen Geschwindigkeiten in absolutem Masse, m/s, aus.

Regel, dass die kältere Jahreszeit am stürmischsten ist und der Sommer die schwächsten Winde hat. Die einzige schärfer markierte Ausnahme bildet Kap Adare, wo im Gegenteil der Sommer und der Vorherbst am stürmischsten sind.

Im allgemeinen ist die Windgeschwindigkeit in den sechs kalten Monaten März—August grösser als das Mittel. In den angrenzenden Monaten Februar und September wird das Mittel überschritten, und in den noch übrigen 4 Monaten Dezember—Januar ist die Geschwindigkeit geringer als für den Jahresdurchschnitt. Die Veränderung der mittleren Geschwindigkeit ist am grössten, wenn die Windstärke von ihrem Minimum im Januar via Februar zum Maximum im März steigt. Die Geschwindigkeit wächst also im Herbst schneller, als sie im Frühling abnimmt, und im allgemeinen unterscheiden sich die ruhigsten Monate mehr vom Durchschnitt fürs Jahr als die stürmigeren. Alles dies gilt für die Zahlen des Durchschnittsjahres.

Die höchste Durchschnittszahl für einen Monat ist 13,65 m/s, nämlich für den März 1903; ihm am nächsten kommen dann 3 Monate, Mai—Juli 1904, mit 11,2 à 11,4 m/s. Schon in diesen enormen mittleren Geschwindigkeiten für ganze Monate tritt das strenge Klima von Snow-Hill gegenüber dem der übrigen antarktischen Stationen zu Tage. Das höchste Monatsmittel bei der »Discovery» war 7,5 m/s im Mai 1902, ein Wert, der bei Snow-Hill in 13 von 20 Monaten erreicht und überschritten wurde. Der höchste Wert, der auf der »Gauss» beobachtet wurde, war 8,9 m/s im Mai 1902 und August 1902, ein Wert, der bei Snow-Hill von nicht weniger als 7 Monaten überschritten wurde.

Tab. 63. Mittlere Extreme der Windgeschwindigkeit (in m/s).

	1902			1903			Mittel von 1902 und 1903			»Gauss»
	Mittl. Max.	Mittl. Min.	Mittl. Ampl.	Mittl. Max.	Mittl. Min.	Mittl. Ampl.	Mittl. Max.	Mittl. Min.	Mittl. Ampl.	Mittl. Ampl.
Januar .	—	—	—	7.86	2.26	5.60	7.86	2.26	5.60	5.5
Februar .	—	—	—	11.86	3.26	8.60	11.86	3.26	8.60	6.1
März . .	—	—	—	17.85	9.44	8.41	17.85	9.44	8.41	5.0
April . .	13.83	2.55	11.28	16.56	3.31	13.25	15.20	2.93	12.27	5.6
Mai . .	16.67	6.19	10.48	12.27	1.86	10.41	14.47	4.04	10.43	7.0
Juni . .	17.38	5.87	11.51	11.69	1.58	10.11	14.54	3.72	10.82	6.9
Juli . .	17.82	6.10	11.72	15.47	2.52	12.95	16.65	4.51	12.34	8.1
August .	16.32	3.39	12.93	14.55	4.30	10.25	15.44	3.84	11.60	11.0
September	14.83	4.25	10.58	13.42	2.76	10.66	14.14	3.50	10.63	7.4
Oktober .	14.25	3.72	10.53	12.19	2.12	10.07	13.22	2.92	10.30	6.3
November	13.09	4.27	8.82	—	—	—	13.09	4.27	8.82	5.3
Dezember	6.99	1.43	5.56	—	—	—	6.99	1.43	5.56	5.2

Zu beiden Seiten von der in Taf. 13 angegebenen Kurve der mittleren Windgeschwindigkeiten im Durchschnittsjahre habe ich die Mittel der Windmaxima und Windminima eingetragen, und auch diese Kurven gelten wie die übrigen in derselben Figur für ein Durchschnittsjahr bei Snow-Hill.

In Tab. 63 habe ich die entsprechenden Zahlenwerte auch für alle Observationsmonate angegeben.

Wie zu erwarten, folgen die mittleren Minima vollständig den Monatsmitteln, wenn auch der Unterschied variieren kann; am grössten ist derselbe im Winter und am kleinsten im Sommer.

Die mittleren Minima scheinen wohl im allgemeinen eine Funktion der jährlichen Veränderungen zu sein, so dass man die niedrigsten Werte für den Sommer erhält, 2,3 m/s und die höchsten für den Frühling und den Winter, 5,5 bzw. 4,0 m/s. Den niedrigsten Wert, 1,43 m/s, zeigt der Dezember 1902, den höchsten der März 1903, wo der Durchschnitt der kleinsten Windgeschwindigkeiten die beträchtliche Höhe von 9,44 m/s erreichte, ein Durchschnittsminimum, das sogar die Durchschnittsmaxima für zwei Sommermonate, Dezember und Januar, überschritt. Nur von der deutschen Expedition liegt auf diesem Gebiet Vergleichsmaterial vor. Das niedrigste Durchschnittsminimum der »Gauss«, ungefähr 1,5 m/s, fiel in den Oktober, und ihr höchstes Durchschnittsminimum war ungefähr 5,7 m/s, ein Wert, der bei Snow-Hill dreimal überschritten wurde. Der Durchschnitt der Minima fürs Jahr ist bei Snow-Hill 3,9 m/s und bei der Winterstation der »Gauss« ungefähr 2,7 m/s.

Für die nördlichen Polargegenden habe ich entsprechende Zahlen von Spitzbergen für die Zeit 1899—1900. Für die Durchschnittsminima gilt daselbst ein Jahresmittel = 1,8 m/s, der Herbst hat den höchsten Wert für die Jahreszeit = 2,1 m/s und der Sommer den niedrigsten = 1,6 m/s. Der grösste Monatswert des Durchschnittsminimums betrug hier nur 3,9 m/s.

Wie für die Minima so gilt auch für die Durchschnittsmaxima, dass die Jahreskurve im einzelnen der mittleren jährlichen Geschwindigkeitskurve folgt, mit ihrem höchsten Wert also im März und dem niedrigsten im Sommer. Tab. 63 ergibt die Zahlen für die verschiedenen Monate.

Hier finden wir sogleich eine viel ausgeprägtere jährliche Variation in dem Phänomen, mit dem niedrigsten Werte im Sommer 8,9 m/s, einem Maximum im Herbst 15,8 m/s und einem solchen im Winter 15,5 m/s; der Frühling ergibt den Wert 13,3 m/s. Die entsprechenden Ziffern der »Gauss« sind ungefähr 6,9, 9,5, 12,5 und 7,0 m/s. Die jährlichen Mittel aus den Durchschnittsmaxima der beiden Stationen sind 13,4 m/s bzw. 9,0 m/s, von denen das grössere natürlich für Snow-Hill gilt. Was die Einzelheiten angeht, so liegen von Snow-Hill einige maximale Zahlen vor, die, wie ich annehme, selbst für ziemlich stürmische Gegenden etwas Ungewöhnliches sind.

Nicht weniger als drei Monate überschritten mit ihren Durchschnittsmaxima den Wert 17 m/s und fernere drei erreichten 16 m/s. Dass diese Durchschnittszahlen für Polargegenden wirklich gross sind, ergibt sich bei einem Vergleich mit der »Gauss«-Expedition und den Ziffern von Spitzbergen für 1899—1900. Das höchste Durchschnittsmaximum der »Gauss« war ungefähr 15,2 m/s und die beiden nächsthöchsten 13,5 m/s und 12,3 m/s, und im Norden, auf Spitzbergen, betrug die drei höchsten Durchschnittsmaxima 15,8, 14,6 und 12,7 m/s, aus beiden Gegenden also viel niedrigere Werte wie bei Snow-Hill.

Man könnte möglicherweise erwarten, dass das Durchschnittsmaximum streng mit der mittleren Geschwindigkeit variiert. Dies ist aber nicht immer der Fall. Vergleicht man Oktober 1902 und April 1903 mit einander, so findet man die mittleren Geschwindigkeiten 9,2 m/s und 7,9 m/s, während die dazu gehörigen Durchschnittsmaxima 14,3 m/s bzw. 16,6 m/s sind; in diesen Fällen wird also eine grössere mittlere Geschwindigkeit von einem kleineren Durchschnittsmaximum begleitet und umgekehrt.

Der Jahreswert der Durchschnittsmaxima für die beiden antarktischen Orte beträgt für Snow-Hill 9,6 m/s und für die »Gauss« ungefähr 6,3 m/s. Schon aus diesen bisher angeführten Windzahlen, den Durchschnittszahlen, den Durchschnittsmaxima und Durchschnittsminima ergibt sich deutlich, dass ein Vergleich zwischen den beiden antarktischen Plätzen zu einem Resultate führt, das nachher von anderm statistischen Material bestätigt wird. Snow-Hill weist nicht nur die grössere Windgeschwindigkeit auf, sondern ferner auch eine viel grössere und schnellere Veränderung in der Windstärke als Kaiser Wilhelm II. Land.

Was das Mittel aus der unperiodischen Veränderung der Windgeschwindigkeit für die einzelnen Monate, d. h. die Unterschiede zwischen Durchschnittsmaxima und Durchschnittsminima angeht, so habe ich dasselbe weiter unten näher behandelt und verweise deshalb dorthin, wenn es sich um die Diskussion dieser Werte handelt.

Tab. 64. Die höchsten Tagesmittel der Windgeschwindigkeit (m/s).

	Jan.	Febr.	März	Apr.	Mai	Juni	Juli	Aug.	Sept.	Okt.	Nov.	Dez.
1902	—	—	—	17,9	25,8	25,0	27,3	30,1	23,6	23,5	14,8	10,9
1903	11,2	15,9	21,9	22,6	14,8	17,7	21,4	24,6	24,3	22,3	—	—
Med.	11,2	15,9	21,9	20,2	20,2	21,3	24,4	27,3	24,0	22,9	14,8	10,9
»Gauss«	14	20	14,5	22	20,5	19	20	20	17	15,5	13,5	14
Diff.	+ 2,8	+ 4,9	— 7,4	+ 1,8	+ 0,3	— 2,3	— 4,4	— 7,3	— 7,0	— 6,6	— 1,3	+ 3,1

In Taf. 13 sind nun noch zwei Kurven übrig, nämlich die für die höchsten Tagesmedien und die für die höchsten Stundenmittel. Für die erstere dieser Kurven, die sich aufs Durchschnittsjahr bezieht, sind die Ziffern in Tab. 64 angegeben; in dieser

Tabelle findet man auch zum Vergleich die Zahlen von der deutschen Südpolar-expedition.

Für Snow-Hill zeigt es sich im Durchschnittsjahre deutlich, dass die maximalen täglichen Windgeschwindigkeiten in der wärmeren Jahreszeit am geringsten und im Winter am grössten sind. Im Dezember betrug das höchste Tagesmittel kaum 10,9 m/s. Der stürmischste Tag im August 1902 war der 10., wo ein Durchschnitt von 30,1 m/s erreicht wurde, d. h. ein orkanartiger Sturm 12. Grades nach der Beaufort-schen Skala.

Die entsprechenden höchsten Tagesmittel für die »Gauss« (s. Tab. 64) zeigen, dass auch dort die grössten Windgeschwindigkeiten im Winter erreicht wurden. Die letzte Zeile der Tabelle ergibt einen direkten Vergleich zwischen der Serie der beiden Orte und zeigt, dass die Veränderung der höchsten Tagesmedia vom Winter zum Sommer bei Snow-Hill grösser ist als auf Kaiser Wilhelm II. Land. Der Unterschied zwischen dem höchsten Wintertagsmedium und dem höchsten Sommertagsmedium beträgt bei Snow-Hill 19,2 m/s (30,1 m/s—10,9 m/s), auf der »Gauss« nur 8,5 m/s, (22 m/s—13,5 m/s). In den Monaten Juni—November liegen die Werte der »Gauss« beträchtlich, bis zu 7 m/s, unter denen von Snow-Hill; Dezember—Mai werden (mit Ausnahme vom März) durch geringere Werte bei Snow-Hill als auf der »Gauss« charakterisiert. Dies bedeutet also, dass man auf der Ostküste von Grahamland im Sommer von Sturmtagen befreit ist, während dies auf Kaiser Wilhelm II. Land nicht der Fall ist.

Um noch weiter zum Verständnis des Windcharakters der verschiedenen Monate und Jahreszeiten beizutragen, habe ich sämtliche Tagesmedia von Snow-Hill in Tab. 65 in verschiedene Gruppen geordnet, von denen jede 2 m/s umfasst.

Tab. 65. Zahl der Tage mit einer mittleren Windgeschwindigkeit von . . . m/s.

	0-2	2-4	4-6	6-8	8-10	10-12	12-14	14-16	16-18	18-20	20-22	22-24	24-26	26-28	28-30	30-32	< 6	6-12	> 12	> 16
Herbst .	7	13	16	10	8	6	8	6	8	4	4	1	1	—	—	—	36	24	32	18
Winter .	12	8	10	19	8	8	6	5	3	3	4	3	1	1	—	1	30	35	27	16
Frühling	8	16	16	10	13	6	7	6	4	1	2	1	1	—	—	—	40	29	22	9
Sommer	4	32	25	11	10	3	—	5	—	—	—	—	—	—	—	—	61	24	5	—
Jahr . .	31	69	67	50	39	23	21	22	15	8	10	5	3	1	—	1	167	112	86	43
»Gauss«	67	71	59	41	39	24	28	15	8	11	2	—	—	—	—	—	197	104	64	21

Hier sieht man nun den scharfen Kontrast zwischen dem Sommer- und Winter-typus bei Snow-Hill noch deutlicher. Im Sommer fällt die grösste Anzahl, 32 Tage, auf die mittlere Geschwindigkeit 2—4 m/s, im Winter sind Tage mit einer mittleren

Geschwindigkeit 6—8 m/s die häufigsten, die Herbst- und Frühlingsmaxima fallen in die Gruppe 4—6 m/s.

Im Durchschnitt fürs Jahr ist die grosse Sommerfrequenz von 2—4 m/s für den Charakter ausschlaggebend, obwohl die Tage von 4—6 m/s beinahe ebenso zahlreich sind. Bezeichnet man die Tage mit einer Windgeschwindigkeit < 6 m/s (ungefähr Beaufort 3) als relativ ruhige Tage, die mit einer solchen von 6—12 m/s (Beaufort 3—6) als Tage mit mässigen Winden und Tage mit > 12 m/s als stürmische Tage, so erhält man ein ziemlich gutes Bild vom Charakter der verschiedenen Jahreszeiten.

Im Herbst haben wir die stürmischste Jahreszeit, jeder dritte Tag ungefähr ist ein Sturmtag, 32 von 92 Tagen gehören zur Gruppe $\cong 12$ m/s; im Winter gibt es zwar vereinzelte höhere Tagesmedien, im grossen ganzen aber ist die Anzahl stürmischer Tage etwas geringer; im Frühling nimmt sie dann noch mehr ab und gleichzeitig wächst die Zahl der ruhigen Tage. Im Sommer haben wir nur ausnahmsweise windiges Wetter, nicht ganz einen Tag in zwei Wochen, und statt dessen haben die ruhigen Tage die entschiedene Majorität erhalten.

Im Durchschnitt kommen aufs Jahr 86 Sturmtage, also einer auf vier Tage. Die geringere Windgeschwindigkeit auf der »Gauss« zeigt sich darin, dass bei ihr nur 64 stürmische Tage im Jahr und eine viel grössere Anzahl (197) ruhiger Tage als bei Snow-Hill (167) beobachtet worden sind.

Bezeichnet man mit Sturm, »gale«, »coup de vent«, die Windgeschwindigkeit $\cong 8$ nach der 12-gradigen Skala, was ungefähr einer Geschwindigkeit 16 m/s entspricht, so erreicht man für Snow-Hill die respektable Zahl von 43 solcher Sturmtage im Jahr, also doppelt so viele wie für die deutsche Expedition. Da dieselben ausschliesslich in die drei kälteren Jahreszeiten fallen, so erhält man mehr als einen Sturmtag in der Woche. Allein auf den Herbst kommen 18 solche stürmische Tage oder einer auf fünf Tage.

Tage mit mehr als 8 Beaufort hatte man auf der »Gauss« zum Unterschied von Snow-Hill nicht nur in der kälteren Zeit, sondern auch im Sommer und zwar drei solche Tage; ihre grösste Anzahl oder 9 fällt in den Winter; ihre Anzahl ist also viel geringer als die von Snow-Hill (16 solche Tage im Winter).

Um schliesslich die Windgeschwindigkeiten in den verschiedenen Monaten noch weiter zu charakterisieren, will ich kurz das Resultat berühren, das man bei einer statistischen Behandlung der beobachteten Extreme, der monatlichen maximalen und minimalen Windgeschwindigkeiten erhält.

Von den absoluten Minima ist wenig oder gar nichts zu sagen; es verging kein Monat ohne eine grosse Anzahl von Stunden mit einer Windgeschwindigkeit = 0,0 m/s.

In Tab. 66 sind für die verschiedenen Monate die absoluten Maxima angegeben, so wie man sie aus den Stundenmitteln der Tab. IV Bd II: L 2 erhält, und in Taf. 13 habe ich die Kurve fürs Durchschnittsjahr gezogen.

Tab. 66. Höchste Stundenmittel der Windgeschwindigkeit (m/s).

	Jan.	Febr.	März	April	Mai	Juni	Juli	Aug.	Sept.	Okt.	Nov.	Dez.
1902	—	—	—	24.8	30.1	31.4	34.4	33.7	29.4	26.4	22.2	14.0
1903	15.3	23.2	25.0	29.3	21.5	24.5	26.7	32.7	27.2	24.9	—	—
Mittel von 1902 und 1903	15.3	23.2	25.0	27.1	25.7	28.0	30.4	33.2	28.3	25.6	22.2	14.0
»Gauss»	21	23.5	17	22	22	21	26	26	32	32	16	20

In dieser Kurve erscheint eine Jahresperiode, die etwas verschieden ist von der Periode, wo es sich um die monatlichen Mittel, um die Durchschnittsmaxima oder Durchschnittsminima in den einzelnen Monaten handelt. Dort erhielt man einen höchsten Wert im Herbst, obwohl der Winter ungefähr denselben Wert erreichte. Hier aber, wo es sich um die Extreme der Details, die absoluten Stundenmaxima handelt, ebenso wie auch in vorhergehender Kurve, wo es sich um die täglichen Maxima handelte, wird der höchste Punkt der Kurve nach vorwärts verschoben, so dass er auf einen Wintermonat fällt, und infolgedessen erscheint das Maximum dieser Kurven viel ausgeprägter als das Herbstmaximum in früheren Kurven. Das höchste absolute Maximum, ungefähr 34 m/s, ist mehr als doppelt so hoch wie das niedrigste, 14 m/s im Dezember.

Die Ziffern der »Gauss« zeigen auch hier die Verschiedenheit, auf die oben hingewiesen wurde, dass man auf der deutschen Expedition auch im Sommer Repräsentanten für Sturm und Wind hatte, die bei Snow-Hill fehlten. Bei der »Gauss«-Expedition beobachtete man in allen drei Sommermonaten Windgeschwindigkeiten, die höher als 20 m/s waren. Die niedrigsten Maxima fielen bei der deutschen Expedition in den November und März, die Übergangsmonate zwischen der kalten und der warmen Jahreszeit.

Vergleicht man die beiden Kurven, die der Durchschnittsmaxima und die der absoluten Maxima, von denen erstere relativ hohe Werte auch im Herbst hat, während letztere die bei weitem höchsten im Winter aufweist, dann findet man einen recht typischen Unterschied für die Herbst- und Winterwitterungen bei Snow-Hill. Der Herbst ist eine durchweg stürmische Jahreszeit mit kurz aufeinander folgenden, wenn auch nicht orkanartigen Stürmen, im Winter dagegen sind die Stürme nicht so zahlreich, aber wenn sie eintreten, haben sie einen extremeren orkanartigen Typus.

Um den Charakter der täglichen Maxima und Minima noch weiter zu erläutern, habe ich in Tab. 67 eine der in Tab. 66 ähnliche Zusammenstellung vorgenommen.

Ich habe hier daher sowohl Maxima wie Minima so geordnet, dass man direkt ablesen kann, in wie grosser Anzahl sie mit den verschiedenen Geschwindigkeitsgraden aufgetreten sind.

Tab. 67. Zahl der Tagesextreme der Windgeschwindigkeit von . . . m/s.

		Maxima.																					
		0-2	2-4	4-6	6-8	8-10	10-12	12-14	14-16	16-18	18-20	20-22	22-24	24-26	26-28	28-30	30-32	32-34	34-36	< 6	6-12	≥12	
Herbst .		1.5	1.5	6	3.5	5	7	10	11	6.5	10	9.5	11	5	0.5	1.5	0.5	—	—	9	15.5	65.5	
Winter .		2.5	2.5	4	3.5	7.5	10	13	8	7.5	7.5	9	5	4	1.5	2	1.5	1.5	0.5	9	21	61	
Frühling .		2	3.5	8.5	4.5	7	10.5	9	9	15.5	6.5	4.5	4.5	2	1.5	0.5	—	—	14	21.5	53.5		
Sommer .		—	5	2.5	1.5	14	14	6	5	1	4	—	1	—	—	—	—	—	30	43	17		
Jahr . .		6	12.5	21	26.5	33.5	41.5	38	33	30.5	28	23	21.5	11	3.5	4	2	1.5	0.5	62	101	197	
		Minima.																					
		0-2	2-4	4-6	6-8	8-10	10-12	12-14	14-16	16-18	18-20	20-22	22-24	24-26	26-28	28-30	30-32	32-34	34-36	< 6	6-12	>12	
Herbst . .		47	5	6.5	1	5	8.5	5.5	5.5	3.5	2.5	1.5	0.5	—	—	—	—	—	—	58.5	14.5	19	
Winter . .		57.5	4.5	4.5	5.5	4.5	4.5	2.5	2	2	1	2.5	0.5	—	—	—	—	—	—	66.5	14.5	10.5	
Frühling .		50.5	13	5	8.5	3	5	3	0.5	4.5	0.5	0.5	—	—	—	—	—	—	—	68.5	16.5	9	
Sommer . .		59	8	12	7	1	2	1	—	—	—	—	—	—	—	—	—	—	—	79	10	1	
Jahr . . .		214	30.5	28	22	13.5	20	12	8	10	4	4.5	1	—	—	—	—	—	—	272.5	55.5	39.5	

Hinsichtlich der Minima gilt für alle Jahreszeiten die Regel, dass ungefähr 55% ihrer Gesamtzahl zwischen 0 und 2 m/s liegen. Was die hohen Werte der Minima angeht, in solchen Fällen, wo die Windgeschwindigkeit an einem Tag bis zu 12 m/s (6 Beaufort) oder darüber beträgt, so findet man dort die vorher hinsichtlich Windgeschwindigkeiten bekannte Verteilung auf Jahreszeiten wieder. Der Sommer hat nur einen einzigen Repräsentanten für diese Klasse, der Frühling und der Winter je 9 à 11 und der Herbst die meisten, nämlich nicht weniger als 19 Tage, an denen also die Windgeschwindigkeit nie unter 12 m/s herunterging.

Die Statistik über die Maxima zeigt, dass auf diesem Gebiet die grösste Variation im Winter zu finden ist. Ziemlich merkwürdig ist es, dass, obwohl man in den drei kälteren Jahreszeiten, wenn auch selten, Tage findet, wo die Windgeschwindigkeit im Maximum nicht 2 m/s erreichte, man im Sommer keinen derartigen Tag antrifft. Dieser Umstand muss wohl mit dem Zusammenhang zwischen den täglichen periodischen Variationen der Windgeschwindigkeit und der Temperatur erklärt werden. Erst im Sommer wird der tägliche Gang der Temperatur so ausgeprägt und so regelmässig, dass man von dem Luftaustausch zwischen verschiedenen Luftschichten eine regelmässige, wenn auch schwache Zunahme der Windgeschwindigkeit um die Mittagszeit erwarten kann.

In Gruppen geordnet entsprechend relativer Ruhe, mässiger Windgeschwindigkeit und starkem Wind fällt, wenn es sich um die maximalen Winde handelt, die

grösste Anzahl mässiger Winde in den Sommer. In den drei übrigen Jahreszeiten dagegen wird das Wetter ganz ausgeprägt von starken und stürmischen Winden charakterisiert, die in runder Zahl 60% (Frühling) à 70% (Herbst) betragen.

Definiert man hinsichtlich des Windes einen schönen oder ruhigen Tag als einen solchen, an dem die Windgeschwindigkeit nie über 6 m/s (ungefähr Beaufort 3) hinausging, und einen absolut stürmischen Tag als einen, an dem die Windgeschwindigkeit nie unter 16 m/s (ungefähr 8 Beaufort) hinunterging, dann erhält man für Snow-Hill die in Tab. 68 angegebenen Zahlen.

Tab. 68.

	Snow-Hill		»Gauss«		Spitzbergen	
	Ruhig Max. < 6 m/s	Sturm Min. > 16 m/s	Ruhig Max. < 3 B	Sturm Min. > 8 B	Ruhig Max. < 6 m/s	Sturm Min. > 16 m/s
Herbst	9	8	18	8	19	—
Winter	9	6,5	13	3	15	—
Frühling	14	5,5	23	—	26	—
Sommer	30	—	24	1	32	—
Jahr	62	20	78	12	92	—

Diese Zusammenstellung ergibt in Kürze einen guten Vergleich zwischen den einzelnen Jahreszeiten.

Der Sommer ist also eine Jahreszeit, die, was Windverhältnisse betrifft, im Vergleich zu den übrigen Jahreszeiten besonders vorteilhaft ist. Da betragen die ruhigen Tage ein Drittel von allen, und im Sommer hat man keinen absoluten Sturmtag. Der Frühling ist die zweitbeste Jahreszeit, jedoch kommt auf alle sechs Tage nur ein ruhiger Tag, und absolute Sturmtage hat man ungefähr alle vierzehn Tage einen.

Herbst und Winter sind einander gleich, sie haben monatlich 2 à 3 Sturmtage, aber auch nur drei ruhige Tage im Monat.

Den Windtabellen im Berichte der deutschen Expedition entnahm ich die entsprechenden Werte, indem ich wie oben Beaufort 3 gleich 6 m/s und Beaufort 8 gleich 16 m/s setzte.

Die »Gauss« hat mehr ruhige Tage mit weniger ausgeprägtem Unterschied in ihrer Anzahl für die verschiedenen Jahreszeiten als Snow-Hill; der Sommer aber hat bei ihr eine geringere Anzahl ruhiger Tage als der bei Snow-Hill.

Die absoluten Sturmtage der »Gauss«-Expedition sind, fürs Jahr berechnet, nur 12, also kaum mehr wie die Hälfte von ihrer Anzahl bei Snow-Hill.

Der Herbst hat die meisten Sturmtage, der Frühling gar keinen, der Sommer aber, wunderbar genug, einen stürmischen Tag.

Zum Vergleich habe ich auch aus dem Tabellenmaterial einer arktischen Station, Spitzbergen, eine ähnliche Zusammenstellung vorgenommen. Ruhige Tage gibt es dort sehr viele, 92 im Jahr (= 35%), die meisten im Sommer, die wenigsten im Winter. Auffallend ist es, dass man auf Spitzbergen in dem betreffenden Observationsjahre keinen absoluten Sturmtag nach der von mir angewandten Definition gehabt hat. Hohe Windgeschwindigkeiten kamen in grosser Zahl vor, in den sechs Monaten des Jahres betrug das absolute Maximum über 30 m/s und ein Mal sogar 44,7 m/s. Die Stürme droben im Norden sind also intensiverer Art, aber von kürzerer Dauer als die in den antarktischen Regionen, so dass sie also nicht ununterbrochen 24 Stunden anhalten und daher nicht unter den Begriff absolute Sturm-tage fallen.

Stürme.

Im Zusammenhang mit diesem statistischen Material über die Windgeschwindigkeiten liegt es nahe, einige Worte über die Stürme, ihre Intensität, ihre Dauer und ihre Häufigkeit zu sagen.

Schon aus oben angeführten Daten geht deutlich hervor, dass die Stürme bei Snow-Hill nicht zum Aussergewöhnlichen gehörten. Ihre Frequenz kann man beinahe direkt aus obigen Zahlen ablesen; dieselbe wird weiter unten näher beleuchtet, wo ich für den Begriff Sturm eine etwas höhere Grenze als Minimumgeschwindigkeit angenommen habe wie die oben angeführte (16 m/s).

Die Dauer der Stürme habe ich statistisch nur in den Fällen bearbeitet, wo es sich um solche handelte, die länger als 24 Stunden anhielten, weil ich nicht mit allzuvielen Details kommen wollte.

Ich bin dabei demselben Plan gefolgt wie Meinardus hinsichtlich der Stürme auf der »Gauss«-Expedition. Als Anfang eines Sturmes nehme ich also die Stunde an, deren mittlere Windgeschwindigkeit in der Zunahmeperiode 16 m/s oder mehr beträgt (8 Beaufort), und das Ende des Sturmes bildet die Stunde, in welcher die mittlere Geschwindigkeit beim Abnehmen zum letzten Male die Grenze 16 m/s passiert. Ein zufälliges Sinken der Geschwindigkeit auf 11 m/s habe ich nicht als Sturmunterbrechung betrachtet. Ging aber die Geschwindigkeit auf < 11 m/s herab und stieg unmittelbar darauf auf > 16 m/s, so betrachtete ich die Stunde mit der neuen 16 m/s-Geschwindigkeit als Anfang einer neuen Sturmperiode.

Für jeden Sturm, den ich behandelt habe, notierte ich ferner die Anzahl Stunden, in denen die mittlere Geschwindigkeit ≥ 21 m/s (10 Beaufort) war.

In Tab. 69 habe ich das Zahlenresultat angegeben und in Tab. 70 ähnliche Bearbeitungen der deutschen und der französischen Expedition 1903—1905 auf der Westküste von Grahamland zusammengestellt.

Tab. 69. Sturmperioden von mehr als 24 Stunden Dauer.

Anfang und Ende der Periode	Zahl der Stunden mit Geschwindigkeit		21 m/s- Stunden in %	Mittl. Geschw. m/s
	≥ 16 m/s	≥ 21 m/s		
1902 Juli 15: 8 a—22: 4 a	164	77	47	21.1
1902 Juni 1: 3 a—7: 8 p	161	64	40	20.6
1903 März 6: 4 a—11: 4 a	120	19	16	19.1
1903 August 22: 9 p—27: 4 a	104	56	54	21.2
1903 April 21: 2 p—24: 9 p	80	31	39	19.3
1902 Oktober 24: 12 a—27: 5 p	78	43	55	21.3
1903 März 18: 8 p—21: 10 p	75	9	12	18.4
1902 April 12 8 p—15: 9 p	74	3	4	16.8
1902 Mai 27: 1 p—30: 11 a	70	54	77	23.0
1903 März 23: 11 p—26: 6 p	68	16	23	18.0
1903 März 29: 4 p—April 1: 11 a	67	28	42	21.8
1902 Mai 1: 11 p—4: 1 p	63	42	67	23.0
1903 September 30: 4 a—Oktober 2: 4 p	60	40	67	21.7
1903 Juli 28: 2 p—30: 9 p	56	27	48	20.6
1902 Juni 8: 4 p—10: 9 p	54	51	94	26.7
1902 Aug. 9: 1 p—11: 5 p	53	48	90	28.9
1902 September 25: 1 a—27: 5 a	53	20	38	20.0
1902 Mai 21: 11 p—23: 4 p	41	0	0	18.8
1902 August 20: 10 a—22: 1 a	40	14	35	20.0
1902 September 27: 4 p—29: 3 a	36	19	53	21.9
1903 Juni 3: 1 a—4: 10 a	34	4	12	18.0
1903 September 24: 11 p—26: 7 a	33	24	73	22.9
1903 April 5: 6 p—7: 1 a	32	5	16	17.0
1903 Juli 2: 11 p—4: 5 a	31	17	55	21.3
1902 Juni 29: 6 p—30: 8 p	27	2	7	16.3
1903 September 12: 12 a—13: 2 p	26	3	11	19.2

In den beiden Jahren oder den Sturmjahreszeiten wurden bei Snow-Hill im ganzen 26 solcher langanhaltenden Stürme verzeichnet, und eigentümlicherweise verteilen sie sich je zur Hälfte auf 1902 und 1903, obwohl man in letzterem Jahre mit seiner ziemlich beträchtlich niedrigeren mittleren Windgeschwindigkeit vielleicht eine geringere Anzahl hätte erwarten können.

Der längste Sturm währte nicht weniger als 164 Stunden, also beinahe ununterbrochen sieben ganze Tage; der zweitlängste steht mit seinen 161 Stunden an Zeitdauer nicht weit hinter ersterem zurück. Unsere Vorstellung, die wir bei Snow-Hill von dem schlimmsten Sturm hatten, haftet jedoch eher an dem zweiten, dem 161-stündigen Sturme, also Anfang Juni 1902. Dieser Sturm endete zwar am 7. Juni abends und gewährte uns eine 20-stündige Pause bis zum 8. Juni nachmittags, dann

aber begann der nächste Sturm mit einer Länge von 54 Stunden und von noch schlimmerem Charakter, da von diesen 54 Stunden nicht weniger als 51 ununterbrochen von einer mittleren Geschwindigkeit beherrscht wurden, die grösser als 21 m/s war.

Dass wir die Zeit der ersten 10 Tage im Juni für die härteste Sturmperiode unseres Aufenthaltes hielten, darf daher nicht wundernehmen; es wird dies noch mehr einleuchten, wenn ich hinzufüge, dass, obwohl sowohl am 1. wie am 8. das Minimum auf 0 m/s fiel, *die Windgeschwindigkeit der ganzen 10-tägigen Periode im Durchschnitt nicht geringer als 20,2 m/s war*, eine Höhe, die, wie ich zu behaupten wage, für eine Polarstation einzig dasteht.

Von den angeführten Sturmperioden haben zwei eine Länge von 6 Tagen, eine von 5 Tagen, eine von 4 Tagen, vier von 3 Tagen, neun von 2 Tagen und neun von einem Tage.

Was die Frequenz von Stunden ≥ 21 m/s angeht, so variierte dieselbe natürlich beträchtlich; im allgemeinen, aber nicht immer war es so, dass, je länger die Sturmperiode dauerte, desto grösser auch die Anzahl von 21 m/s-Stunden war.

Die Intensität und der Grad eines Sturmes lässt sich gerade mit Hilfe der Relation zwischen der Anzahl Stunden von ≥ 21 m/s und der solcher von ≥ 16 m/s gut beurteilen. In dieser Hinsicht steht der oben erwähnte Sturm vom 8.—10. Juni 1902 sowie ein Sturm am 9.—11. August 1902, bei denen 94% bzw. 90% aller Stunden von einer Windgeschwindigkeit ≥ 21 m/s charakterisiert werden, weit vor den übrigen Stürmen. Von den 20 angeführten Stürmen hatten genau die Hälfte die Intensität, dass mehr als 50% der Sturmzeit aus Stunden von 21 m/s oder darüber bestanden. Nur für einen einzigen Fall, den 21.—23. Mai 1902, wurde eine Sturmperiode von mehr als 24-stündiger Dauer notiert, während welcher keine derartige 21 m/s-Stunde beobachtet worden ist.

Dass sich die prozentuale Anzahl von Stunden ≥ 21 m/s auch in der mittleren Windgeschwindigkeit abspiegelt, ist ja ganz natürlich. In der letzten Kolonne der Tab. 69 habe ich die mittlere Windgeschwindigkeit für die verschiedenen Sturmperioden berechnet. Die kleinsten mittleren Windgeschwindigkeiten betragen 16,3 m/s bzw. 16,8 m/s, alle übrigen über 17 m/s. *Die absolut höchste mittlere Windgeschwindigkeit weist die imposante Zahl 28,9 m/s während einer Zeit von 53 Stunden, also mehr als zwei Tagen, auf*, und die zweithöchste 26,7 m/s während 54 Stunden. Es sind dies also mittlere Windstärken ≥ 11 Beaufort, und man muss wohl derartige langanhaltende Stürme mit Rücksicht auf ihre orkanartige Stärke für etwas vollkommen Einzigdastehendes ansehen. Füge ich dann noch die Mittelung hinzu, dass die mittlere Temperatur während des Auguststurmes $-30,5^\circ$ und während des Junisturmes $-26,2^\circ$ war, dann habe ich erst die Daten angegeben, die imstande sind, den Charakter dieser Orkantage zu beleuchten, welche mit ihrer gleichzeitigen Winterkälte ein Polarwetter repräsentieren, für das es in keiner der bisher bekannten Gegenden der ganzen Erde ein Gegenstück gibt.

Aus den Mitteilungen der »Gauss« und »Le Français« habe ich zum Vergleich in Tab. 70 eine entsprechende Statistik aufgestellt, wobei ich mich also auf Sturmperioden ≥ 24 -Stunden beschränkte.

Tab. 70. Sturmperioden von mehr als 24-Stunden Dauer.

»Gauss«.

	Stunden mit Stärke		10 Bft-Stunden in %
	≥ 8 Bft	≥ 10 Bft	
Mai 1902	106	25	24
Juli 1902	98	31	32
April 1902	94	73	78
Februar 1902	64	0	0

»Le Français«.

	Sturmdauer in Stunden	Mittl. Stärke in Beaufort		Sturmdauer in Stunden	Mittl. Stärke in Beaufort
Juni 1904	58	8.0	Okt. 1904	32	9.3
Aug. 1904	53	9.3	Jan. 1905	32	7.5
Aug. 1904	36	8.0	Sept. 1904	31	8.4
Jan. 1905	36	7.6	Sept. 1904	27	8.7
Aug. 1904	33	7.8	Aug. 1904	25	8.3

Snow-Hill hatte jährlich 10 solcher Perioden; »Le Français« hatte jährlich ebenfalls 10. Beide Stationen liegen bekanntlich einander sehr nahe, sind jedoch durch den Gebirgskamm, König Oskar II. Land, von einander getrennt. Die Ostantarktis, die von der Gauss-Expedition repräsentiert wird, weist jährlich weniger, nämlich nur vier solcher Perioden auf, obwohl diese vier im Durchschnitt ziemlich lange anhalten.

Was die mittlere Geschwindigkeit angeht, so habe ich sie für »Le Français« direkt in Beaufortgraden mit einer grössten Durchschnittsgeschwindigkeit von ungefähr 19 m/s angegeben. Für die »Gauss« habe ich sie nicht ausgerechnet, sondern mich damit begnügt, den Prozentsatz von Stunden ≥ 10 Bft. (≥ 21 m/s) während der einzelnen Stürme mitzuteilen. Bei Benutzung der Statistik von Snow-Hill würde dies ungefähr eine Durchschnittsgeschwindigkeit = 23 à 24 m/s während einer Zeit von 94 Stunden bedeuten, ein Sturmtypus also, der unter denselben Stärkegrad fällt wie die schlimmeren, wenn auch nicht die schlimmsten Sturmtypen von Snow-Hill. Dieser 94-stündige »Gauss«-Sturm von 23 à 24 m/s ergibt übrigens beinahe dieselbe

Windwegsumme wie der 104-stündige Snow-Hill-Sturm von 21,2 m/s am 22.- 27. August 1903.

Für alle drei Expeditionen gilt als Regel, dass die Windrichtung eines jeden Ortes in den verschiedenen Sturmperioden sich ziemlich wenig verändert.

Auf Snow-Hill waren die Stürme SW-WSW

» »Le Français» » » » ENE-NNE

» »Gauss» » » » E-ENE.

An den beiden erstgenannten Orten waren die Windrichtungen also einander direkt entgegengesetzt, ein Umstand, der natürlich mit der obenerwähnten Gebirgskette zusammenhängt, die wenigstens, was Snow-Hill angeht, gegen nordwestliche Winde schützt und sie abschwächt.

Was die Windgeschwindigkeiten von Sturmstärke betrifft, so will ich schliesslich eine ausführlichere Statistik über die stündliche Frequenz der grösseren Windgeschwindigkeiten vorlegen. Hierbei habe ich jedoch nicht 16 m/s (8 Beaufort) als untere Grenze angenommen, sondern, um nicht allzugrosses Material zu erhalten, 18 m/s (ungefähr 9 Beaufort) als Sturmgenze gewählt, so wie wir es auf Snow-Hill gewöhnlich taten.

Tab. 71. Häufigkeit der Stunden mit einer Windgeschwindigkeit ≥ 18 m/s (≥ 9 Bft).

	Absolut			In Prozent		
	1902	1903	Mittel	1902	1903	Mittel
Januar	—	0	0	—	0.0	0.0
Februar	—	17	17	—	2.5	2.5
März	(130)	229	179	16.5	31.1	23.7
April	56	97	76	9.0	13.8	11.4
Mai	160	16	88	22.0	2.2	12.1
Juni	216	24	120	30.3	3.4	17.0
Juli	176	88	132	23.7	11.9	17.8
August	122	91	106	16.5	12.3	14.4
September	107	80	93	14.9	11.2	13.0
Oktober	121	36	78	17.7	4.9	11.3
November	6	—	6	0.8	—	0.8
Dezember	0	—	0	0.0	—	0.0

In Tab. 71 habe ich für jeden Monat sowie fürs Durchschnittsjahr die Gesamtzahl Stunden mit obenerwählter mittlerer Windgeschwindigkeit angegeben. In den drei letzten Kolonnen habe ich ausserdem diese Stundenzahlen in Prozente aller Windbeobachtungen umgerechnet.

Hier tritt, was Stürme anlangt, der grosse Unterschied zwischen 1902 und 1903 womöglich noch schärfer hervor; letzteres Jahr ist ja viel ruhiger als das erstere, jedoch mit der scharfen Ausnahme in den Herbstmonaten März und April.

Die grössten Frequenzen von Winden ≥ 18 m/s waren im März 1903 (31,1 %) und im Juni 1902 (30,3 %). Die Frequenz hat eine ausgeprägte Jahresvariation mit der kleinsten Zahl (0,8 %) im Sommer und der grössten im Winter und Herbst (ungefähr 16 %).

So wie vorher in anderen tabellarischen Zusammenstellungen zeigt sich auch hier, in Tab. 72, der durchgängige Unterschied im Typus zwischen Snow-Hill und der »Gauss«, besonders hinsichtlich des Sommers, wo praktisch genommen derartige Stürme bei Snow-Hill fehlen, während sie bei der »Gauss« sogar zahlreicher sind als im Frühling.

Tab. 72. Prozentuale Häufigkeit der Stunden mit einer Geschwindigkeit ≥ 18 ms (≥ 9 Bft).

	Herbst	Winter	Frühling	Sommer	Jahr
Snow-Hill	15.7	16.5	8.4	0.8	10.5
»Gauss«	11.5	10.6	3.1	4.1	7.3

Hinsichtlich der Winde von ≥ 18 m/s verweise ich ferner auf den Abschnitt »dynamische Windrosen«, wo ich u. a. die stärksten Winde nach ihren verschiedenen Richtungen behandelt habe, indem ich sie in die Sturmrichtungen S-WSW einteilte.

Die tägliche Variation der Windgeschwindigkeit.

Ich hielt es für einen passenden Übergang zu der periodischen Veränderung der Windgeschwindigkeit im Laufe von 24 Stunden zuerst, so wie bei den Temperaturen, die Extreme mit Rücksicht auf ihr Eintreffen in den verschiedenen Stunden des Tages zu behandeln. Aber hinsichtlich der Windgeschwindigkeiten ist natürlich der Begriff Extreme, wenigstens was die Minima angeht, etwas verschieden von dem der Temperaturextreme, und zwar insofern, als das Windminimum 0,0 m/s ja kein wirkliches Minimum ist, ähnlich z. B. einer zufälligen niedrigen Temperatur, sondern sich oft über mehrere Stunden hintereinander erstreckt.

Das Verhältnis ist daher das, dass man in diesem Fall viel mehr Stunden von täglichen Minima erhält, als es Tage im Monat oder in der Jahreszeit gibt.

In Tab. 73 habe ich für die verschiedenen Jahreszeiten des Durchschnittsjahres die Gesamtzahl von Stunden mit dem Stundenmittel = 0,0 m/s oder, richtiger ausgedrückt, < 1 m/s zusammengestellt.

Tab. 73. Verteilung der Geschwindigkeiten ≤ 1 m/s und ≥ 18 m/s auf die verschiedenen Stunden des Tages.

Stundenmittel < 1 m/s.																								
	1	2	3	4	5	6	7	8	9	10	11	Mittg.	1	2	3	4	5	6	7	8	9	10	Mittn.	
Herbst .	6	6	6	6	4	7	7	6	5	5	6	4	5	3	3	4	7	7	10	10	6	8	9	7
Winter .	12	13	14	10	12	14	15	16	14	15	16	10	12	9	10	10	12	10	12	10	11	12	9	12
Frühling	9	10	10	10	11	10	6	7	8	8	9	7	7	7	6	6	7	8	7	7	8	9	8	8
Sommer	6	6	10	11	11	7	4	6	6	6	3	2	2	1	1	1	3	5	4	4	6	5	7	7
Jahr . .	33	35	40	37	38	38	32	35	33	34	34	23	26	20	20	21	29	30	33	31	31	34	33	34

Stundenmittel ≥ 18 m/s.																								
	1	2	3	4	5	6	7	8	9	10	11	Mittg.	1	2	3	4	5	6	7	8	9	10	Mittn.	
Herbst .	21	19	19	18	15	17	17	18	16	15	17	16	14	16	17	14	16	15	15	16	18	17	19	20
Winter .	15	16	15	16	15	13	15	15	15	15	15	15	14	15	16	17	16	16	16	17	15	13	14	14
Frühling	8	7	7	8	9	8	7	7	9	8	7	8	10	8	8	8	7	6	7	6	6	8	8	8
Sommer	2	1	1	1	2	2	—	—	—	—	—	—	—	—	—	—	—	—	2	1	1	—	1	1
Jahr . .	46	43	42	43	41	40	41	40	40	38	39	39	38	39	41	39	39	37	40	40	40	40	42	43

In allen Jahreszeiten findet man eine durchgängige Regel für diese Windstillen hinsichtlich ihrer geringsten Frequenz. Dieselbe fällt in allen Jahreszeiten in die Stunden 2—4 nachm., ein Verhältnis, das sich auch bei der »Gauss«-Expedition in der Antarktis und der »Fram«-Expedition in den arktischen Regionen wiederfindet. Was die Zeit der maximalen Frequenz der windstillen Stunden angeht, so fällt sie in den einzelnen Jahreszeiten ziemlich verschieden, im Frühling und Sommer in die Zeit 4—5 a, im Winter 9—11 a und im Herbst 7—8 p.

So scharf ausgeprägte Tagesperioden wie die der »Gauss«-Station können wir hier nicht wahrnehmen. Nur im Sommer ist der Unterschied zwischen der Windstillenfrequenz am Tage und in der Nacht scharf markiert.

Die Veränderungsamplitude lässt sich wohl am besten mit den relativen Zahlen zwischen der grössten und der kleinsten Anzahl beobachteter ruhiger Stunden angeben. Diese Zahlen sind für Snow-Hill: Herbst 3,3, Winter und Frühling 1,8, Sommer 11,0; also mit Ausnahme des Sommers sehr niedrige Werte.

Für das ganze Jahr dürfte es der Sommer sein, der der Variation seinen Stempel aufdrückt, und ist die Zeit für die geringste Aussicht auf ruhiges Wetter um 2—3 p, die für die grösste Aussicht auf ruhiges Wetter um 3 a. Das Verhältnis zwischen der Anzahl Windstille-Observationen um 3 a und 2 p ist = 2,0: 1, also geringer wie sowohl das für die Fram (2,3: 1) als auch wie das für die »Gauss« (4,7: 1).

Fürs Jahr ist bei allen drei Expeditionen die Stunde für die Minima dieselbe, nämlich 2 p, und die für die Maxima ebenfalls, nämlich 2—4 a.*

Auch die starken Winde habe ich in analoger Weise zusammengestellt und ihre Frequenz in den Stunden des Tages für die verschiedenen Jahreszeiten angegeben. Hierbei wählte ich anfangs denselben unteren Grenzwert wie Mohn auf der »Fram«-Expedition und Meinardus auf der »Gauss«-Expedition, nämlich 10 m/s (6 Bft.). Infolge der grossen Anzahl solcher Winde hätte ich mit einem viel zu beschwerlichen und weitläufigen Material zu rechnen gehabt, und ausserdem ergab die erste Jahreszeit gleichgrosse Zahlen für die verschiedenen Tagesstunden.

Ich wählte daher statt dessen als untere Grenze die Winde, die wir Stürme nennen und bearbeitete also nur Stunden von ≥ 18 m/s. Das Material wurde auch hierdurch ungefähr ebenso weitläufig wie da, wo es sich um Winde < 1 m/s handelte, und ergibt daher Zahlen von vergleichbarem Werte.

Es zeigte sich, dass das Resultat, Tab. 73, dem glich, das ich erhielt, als ich die Stunden bis zu 10 m/s herab mitnahm. Es liess sich kaum eine Periodizität merken, wenn es sich um die Aussicht auf Stürme in den verschiedenen Tagesstunden handelte. Nur der Sommer und der Herbst zeigen einen, wenn auch sehr kleinen Unterschied in der maximalen und minimalen Frequenz.

Für das Jahresmittel findet man jedoch eine Variation mit einem Maximum um 1 a und einem Minimum um 10 à 12 a.

* Vergleicht man die Zahlen, die weiter unten die totale und prozentuale Frequenz für Windstille, »Calm«, angeben, so findet man, dass die hier oben angeführten Ziffern für die verschiedenen Jahreszeiten viel niedriger sind als die weiter unten angegebenen.

	Herbst	Winter	Frühling	Sommer
Stunden mit Wind < 1 m/s	6,7 %	13,2 %	8,9 %	5,7 %
» » Windstille: C	13,9 %	20,8 %	15,8 %	8,7 %

Dieser scheinbare Widerspruch findet seine Erklärung in den verschiedenen Begriffen »Windstille«. In der ersten Zeile bedeutet »Windstille« eine Stunde, deren mittlere Windgeschwindigkeit < 1 m/s war, in der zweiten Zeile dagegen bedeutet es eine Stunde, in der zur Zeit, wo die Beobachtung vorgenommen wurde, gar kein Wind wahrgenommen werden konnte. In den Tabellen IV: 1—21, Bd. II L 2 kommen infolgedessen erklärliche Inkonssequenzen vor. Manchmal ist die Windrichtung mit C, d. h. Windstille angegeben, und trotzdem kann die darauffolgende Ziffer ziemlich hoch, ein Mal sogar 10 m/s sein. Der betreffende Stundenschlag war also von Windstille charakterisiert, aber die vorhergehende oder die folgende halbe Stunde hatte eine solche Windgeschwindigkeit, dass das Stundenmittel dennoch ziemlich hohe Werte erhalten kann. Durch diesen Umstand werden auch die scheinbar eigentümlichen Angaben in den dynamischen Windrosen erklärt, dass man in einem Monat für C, Windstille, eine mittlere Windgeschwindigkeit = 1,25 m/s notieren konnte und fürs Jahr der Windweg für »Calm« die nicht unbedeutliche Strecke von 3000 km betragen hat.

Andererseits finden sich in diesen Windtabellen Stunden mit angegebener Windrichtung, während gleichzeitig die Windgeschwindigkeit = 0,0 m/s ist. Dies bedeutet, dass beim Stundenschlag und um diese Zeit herum schwache Lüftchen der angegebenen Richtung herrschten, dass man aber als Durchschnitt für die Stunde keine bemerkbare Geschwindigkeit erreicht hat. Hier spielt natürlich auch die Anemometerkonstante mit, d. h. dass die niedrigste Windgeschwindigkeit, die nötig ist, um den Apparat in Gang zu setzen (1,1 m/s), vielleicht nicht erreicht worden ist.

Dieses, wenn auch kaum markierte Resultat stimmt also nicht mit den Resultaten überein, die Mohn bei einer geringen Anzahl Observationen auf der »Fram«-Expedition gefunden hat. Mohn erhielt für Winde ≥ 10 m/s ein Maximum um 6 p und ein Minimum um 12 p und für Winde ≥ 15 m/s ein Maximum um 0—8 p und ein Minimum um 4 a. Gegenüber den Ergebnissen, die Mohn fand, steht das Resultat von der »Gauss«, wo man aus Stunden mit einer Windgeschwindigkeit von ≥ 6 Bft. (10 m/s) die grösste Aussicht auf diese Winde um 4 a und die geringste Aussicht um 6 p erhielt.

Tab. 74. Eintrittszeiten der drei höchsten Geschwindigkeitsmaxima.

	m/s	Zeit	m/s	Zeit	m/s	Zeit
1902						
März	27.7	— 11 a	27.4	— 11 p	26.3	— 11 p
April	24.8	— 1 a	23.9	— 8 p	23.8	— 7 a
Mai	30.1	— 1 a	29.9	— 9 a	29.9	— 11 p
Juni	31.4	— 10 p	31.0	— 1 a	28.3	— 7 p
Juli	34.4	— 5 a	28.3	— 12 p	25.8	— 5 a
August	33.7	— 5 a	32.6	— 2 a	31.5	— 9 p
September	29.4	— 5 a	25.5	— 8 p	23.1	— 10 p
Oktober	26.4	— 11 p	26.0	— 5 a	24.6	— 2 a
November	22.2	— 1 a	20.2	— 12 p	19.1	— 10 p
Dezember	14.0	— 10 a	13.1	— 4 p	12.2	— 1 p
1903						
Januar	15.3	— 10 p	14.2	— 3 a	13.0	— 11 a
Februar	23.2	— 3 a	19.6	— 8 p	18.9	— 7 p
März	25.0	— 12 p	24.9	— 3 p	22.7	— 5 a
April	29.3	— 11 p	25.7	— 9 a	24.5	— 12 p
Mai	21.5	— 9 a	20.8	— 11 p	20.1	— 2 p
Juni	24.5	— 1 a	21.3	— 6 a	20.7	— 9 p
Juli	26.7	— 3 a	24.6	— 11 p	24.5	— 2 a
August	32.7	— 3 a	28.0	— 12 p	27.4	— 6 a
September	27.2	— 0 p	24.0	— 2 p	23.0	— 1 a
Oktober	24.9	— 0 p	23.5	— 1 p	19.4	— 6 a

Um mit der grossen Masse von hohen Windgeschwindigkeiten, die uns zu Gebote stand, zu dieser Statistik über die Aussichtsöglichkeit auf starke Winde in den verschiedenen Stunden beizutragen, habe ich noch eine Zusammenstellung vorgenommen, nämlich die der Stundenschläge für die Extreme in jedem Monat mit Rücksicht auf die höchsten Windgeschwindigkeiten. Um das Material jedoch etwas zu vermehren, habe ich auch die beiden zunächst folgenden höchsten täglichen Maxima

mitgenommen. In Tab. 74 sind die auf diese Weise gefundenen 60 Werte für die 20 Monate zusammengestellt.

Ordnet man sie nach Stundenschlägen, so erhält man die folgende Zusammenstellung, bei der ich teils nur die 20 absoluten Maxima teils alle 60 Werte mitgenommen habe. Die Verteilung scheint mir ziemlich markiert und für beide Serien überhaupt dieselbe zu sein (s. Tab. 75).

Tab. 75. Verteilung der Geschwindigkeitsmaxima auf die verschiedenen Stunden des Tages.

	1a	2a	3a	4a	5a	6a	7a	8a	9a	10a	11a	Mittg	1p	2p	3p	4p	5p	6p	7p	8p	9p	10p	11p	Mittn
Max: 1	4	0	3	0	3	0	0	0	1	1	1	2	0	0	0	0	0	0	0	0	0	2	2	1
Max: 1-3	6	3	4	0	6	3	1	0	3	1	2	2	2	2	1	1	0	0	2	3	2	4	7	5

	4a-9a	10a-3p	4p-9p	10p-3a	»Tag» 7a-6p	»Nacht» 7p-6a
Max.: 1	4	3	0	12	5	15
Max.: 1-3	13	10	8	29	15	45
Stunde: ≥ 18 m/s	245	234	235	256	470	500

Aus dieser Zusammenstellung für die einzelnen Stunden fasste ich auch die Zahlen, auf grössere Stundengruppen verteilt zusammen, zuerst in Gruppen zu 6 Stunden mit ihren Zentren ungefähr um 6 a, 6 p, Mittag und Mitternacht. (Hier habe ich auch nach derselben Einteilungsweise die Werte für Stunden ≥ 18 m/s geteilt.) Für die beiden Maximum-Serien wird auf diese Weise die Variation ausser Zweifel gestellt; ein scharf markiertes Maximum trifft um Mitternacht ein, und ein beinahe ebenso scharf markiertes Minimum um 6 p; hiermit stimmt auch, wenn auch nicht ganz so ausgeprägt deutlich, die Variation für die Stunden ≥ 18 m/s überein.

Dann habe ich die Observationen auch in Gruppen zu 12 Stunden eingeteilt, in Tag, 7 a-6 p und in Nacht, 7 p-6 a. Auch hier zeigt sich deutlich eine grösste Frequenz von Windmaxima in den Nachtstunden, mit dreimal so vielen Fällen in der Nacht als bei Tage. Vergleicht man die Zahlen von Snow-Hill mit den sich einander widersprechenden Resultaten der »Fram« und der »Gauss«, dann stimmen die Snow-Hill-Ziffern überein mit denen der »Gauss«, also denen der antarktischen Expedition. Bei Snow-Hill war also die Regel dieselbe wie die bei der »Gauss«-Expedition gefundene, dass im allgemeinen die Windgeschwindigkeitsextreme, sowohl Windstille wie Maxima, am wahrscheinlichsten in der Nacht und besonders in einer der Stunden um Mitternacht herum eintreffen. Diese Regel kann man auch so ausdrücken, dass

Tab. 76. Täglicher Gang

Ausgeglichene Abweichungen

	0 a. m.	1 a. m.	2 a. m.	3 a. m.	4 a. m.	5 a. m.	6 a. m.	7 a. m.	8 a. m.	9 a. m.	10 a. m.	11 a. m.
Herbst . . .	+ 0.24	+ 0.13	+ 0.06	+ 0.05	+ 0.05	± 0.00	- 0.02	- 0.01	- 0.04	- 0.08	- 0.13	- 0.19
Winter . . .	- 0.20	- 0.06	± 0.00	- 0.04	- 0.01	+ 0.09	+ 0.13	+ 0.06	- 0.03	- 0.06	- 0.09	- 0.11
Frühling . .	- 0.21	- 0.21	- 0.23	- 0.23	- 0.21	- 0.17	- 0.08	+ 0.04	+ 0.17	+ 0.31	+ 0.35	+ 0.32
Sommer . . .	- 0.32	- 0.35	- 0.32	- 0.27	- 0.28	- 0.32	- 0.27	- 0.09	+ 0.09	+ 0.20	+ 0.30	+ 0.42
Jahr	- 0.11	- 0.12	- 0.13	- 0.13	- 0.12	- 0.12	- 0.08	- 0.01	+ 0.05	+ 0.08	+ 0.09	+ 0.10

ein nächtlicher Sturm grosse Aussichten hat, in den Tagesstunden an Stärke abzunehmen, aber auch, dass eine windstille Nacht wahrscheinlich im Laufe des Tages von Wind unterbrochen wird.

Aus den mittleren Windgeschwindigkeiten der verschiedenen Stunden in einem gegebenen Monat oder einer gegebenen Jahreszeit suchte ich die periodische Veränderung der Windgeschwindigkeit im Laufe von 24 Stunden zu deduzieren.

Bei den gewaltsamen, hastigen und grossen Veränderungen, die in den meteorologischen Erscheinungen bei Snow-Hill so plötzlich auftreten und sich besonders in der Variation der Windstärke bemerkbar machen, hielt ich es nicht für angebracht, für jeden einzelnen Monat diese täglichen Kurven darzulegen. Sie zeigen einen allzudeutlichen Einfluss seitens der unperiodischen Veränderungen, so dass sie nicht die Regelmässigkeit bieten können, welche auf eine erwünschte Elimination von Zufälligkeiten hinweist. Hier habe ich mich, ebenso wie bei den entsprechenden Luftdruckkurven, damit begnügt, in Tab. 76 die Zahlen und in Taf. 14 die jahreszeitlichen Kurven mitzuteilen, um die tägliche Veränderung zu veranschaulichen.

In Tabelle 76 habe ich also für jede Jahreszeit sowie auch fürs Jahr für jede einzelne Stunde die Abweichung des Stundenmittels vom Jahreszeitsmittel angegeben. Die Abweichungen sind, soweit dies nötig war, mit Rücksicht auf die Mitternachtsveränderung korrigiert sowie alsdann noch nach der Formel $b = \frac{a+2b+c}{4}$ ausgeglichen («smoothed»).

Aus den angeführten Darstellungen ergibt sich deutlich, dass die Veränderung im Sommer und Frühling am regelmässigen ist, während sie im Herbst und Winter einen besonders unregelmässigen Verlauf aufweist. Dies hängt natürlich mit dem Umstand zusammen, dass im Herbst und Winter die unperiodischen Veränderungen bis zu dem Grade dominieren, dass die in der kälteren Jahreszeit vielleicht kaum sonst bemerkbare diurne Variation beinahe vollständig verdeckt wird.

Im Sommer und Frühling treffen die Maxima um Mittag oder kurz darauf ein und die Minima in der Nacht zwischen 9 und 12. Die Amplitude im Sommer, 0,81 m/s, ist etwas grösser als die im Herbst, 0,62 m/s.

der Windgeschwindigkeit.

vom Mittel in m/s.

Mittg	1 p.m.	2 p.m.	3 p.m.	4 p.m.	5 p.m.	6 p.m.	7 p.m.	8 p.m.	9 p.m.	10 p.m.	11 p.m.	Mittn	Ampl.
-0.15	-0.05	+0.03	+0.02	-0.08	-0.14	-0.15	-0.13	-0.01	+0.16	+0.25	+0.27	+0.24	0.46
-0.10	-0.08	+0.02	+0.13	+0.23	+0.10	+0.03	+0.09	+0.09	+0.04	-0.05	-0.19	-0.20	0.43
+0.34	+0.39	+0.39	+0.35	+0.22	-0.02	-0.14	-0.16	-0.23	-0.27	-0.25	-0.22	-0.21	0.66
+0.46	+0.46	+0.45	+0.40	+0.26	+0.04	-0.08	-0.04	-0.04	-0.10	-0.19	-0.28	-0.32	0.81
+0.13	+0.18	+0.22	+0.22	+0.16	±0.00	-0.08	-0.06	-0.04	-0.04	-0.05	-0.09	-0.11	0.35

Der Winter hat ein Maximum nachmittags um 4 p und ein Minimum um Mitternacht herum, stimmt also in seinen groben Zügen mit den vorhergehenden Jahreszeiten überein.

Der Herbst dagegen zeigt eine direkt entgegengesetzte tägliche Variation mit einem Maximum um Mitternacht und einem Minimum um die Mittagszeit. Jedoch merkt man in einem sekundären Maximum um 2—3 p ein gewisses Gegenstück zu den Mittagsmaxima der übrigen Jahreszeiten.

Im Jahresmedium verschwinden natürlich die Ungleichheiten, da Sommer und Frühling mit ihren mächtigen Wellen die Leitung übernehmen. Die Jahreskurve verläuft auch ziemlich gleichmässig mit einem Maximum um 3 p und einem Minimum 12 Stunden später, um 3 a, ihre Amplitude hat den Wert = 0,35 m/s.

Tab. 77. Eintrittszeiten der Extreme in der täglichen Periode der Windgeschwindigkeit.

	Herbst		Winter		Frühling		Sommer		Jahr	
	Max.	Min.	Max.	Min.	Max.	Min.	Max.	Min.	Max.	Min.
»Discovery»	1 a	10 a	9—10 p	4—5 a	1 p	1 a	4 p	6 a	1 p, 5 p	5 a
»Scolia» . .	—	—	4 a	6 p	2 p	5 a	2 p	12 p	1 a	5 a
»Gauss» . .	4 a	7 p	4 a	8 p	0 p	9 p	10 a	7 p	5 a	8 p
Snow-Hill .	11 p	11 a	4 p	0 a	1 p	9 p	12 a	1 a	3 p	3 a

Ein Vergleich mit den Resultaten von anderen antarktischen Stationen lehrt, dass man im grossen ganzen überall dieselben Typen für die Frühlings- und Sommerkurven gefunden hat, mit einem Maximum bei Tage und einem Minimum in den Nachtstunden. Was die kalten Jahreszeiten dagegen angeht, so spricht die geringe Übereinstimmung dafür, dass, wie oben angedeutet, das Material sich bis jetzt auf einen zu kurzen Zeitraum erstreckt, um eine effektive Elimination zufälliger Störungen zu ermöglichen.

Aus den angegebenen Zahlenvoraussetzungen habe ich die Fourierschen Koeffizienten für die 24-stündige und 12-stündige Welle der Windgeschwindigkeitskurve berechnet.

Tab. 78. Fouriers Koeffizienten der täglichen Windgeschwindigkeitsperioden.

	Geschwindigk. Mittel	k_1	α_1	k_2	α_2	Max. der 24-stünd. Periode	Max. der 12-stünd. Periode
Herbst	10.14	0.130	87°	0.049	73°	0 ^h 12 ^m a	0 ^h 33 ^m
Winter	9.31	0.040	210°	0.118	290°	4 ^h 00 ^m p	5 ^h 20 ^m
Frühling	8.18	0.304	271°	0.015	3°	11 ^h 55 ^m a	2 ^h 55 ^m
Sommer	5.64	0.382	254°	0.097	355°	1 ^h 00 ^m p	11 ^h 50 ^m
Jahr	8.32	0.147	253°	0.029	70°	1 ^h 10 ^m p	0 ^h 40 ^m

Die Amplituden der 24-stündigen Kurve sind im Frühjahr und Sommer ungefähr gleich gross, sie nehmen im Herbst um mehr als die Hälfte ab und erreichen im Winter ihr Minimum. Fürs Jahr hat sie den Wert 0,15 m/s. Das Maximum dieser Welle fällt in die Zeit um Mittag herum mit nur einer Stunde Unterschied zwischen Frühling und Sommer, im Winter tritt das Maximum einige Stunden später und im Herbst um die Mitternachtszeit ein.

Die 12-stündige Welle hat Amplituden, die mit Ausnahme derer des Winters durchgehends geringer sind als die der 24-stündigen Welle. In der Zeit für diese Welle lässt sich von Jahreszeit zu Jahreszeit kaum eine Regelmässigkeit wahrnehmen, abgesehen von einer ziemlich nahen Übereinstimmung derselben im Frühling und Sommer.

Die interdiurne Veränderung der Windgeschwindigkeit.

Ein guter Ausdruck für die Beständigkeit oder Unbeständigkeit der Witterung in einer Gegend ist ja die sogenannte interdiurne Veränderung der verschiedenen Phänomen, d. h. die Veränderung von Tag zu Tag.

Oben habe ich schon von diesem Gesichtspunkte aus das Luftdruckmaterial und die Temperaturzahlen behandelt und will deshalb jene Zusammenstellungen mit einer ähnlichen betreffs der Windgeschwindigkeit ergänzen.

Ich hielt mich dabei, ebenso wie bei den ebenerwähnten Elementen, nur an die Tagesmittel und verfuhr so, dass ich Monat für Monat die verschiedenen Differenzen zwischen den aufeinanderfolgenden Tage feststellte.

Die Tabellen 79—83 enthalten also die Angaben betreffs der interdiurnen Veränderung der Windgeschwindigkeit, welche Angaben den oben angeführten Tabellen hinsichtlich Barometer und Thermometer entsprechen.

Indem ich zwischen zunehmender und abnehmender Windgeschwindigkeit scheid, habe ich in Tab. 79 für jeden Monat sowohl die maximalen Veränderungen wie auch den Durchschnittswert angegeben und in der letzten Kolonne auch den Durchschnittswert im ganzen für den gesamten Monat.

Tab. 79. Interdiurne Veränderlichkeit der Windgeschwindigkeit (m/s).

	Grösste positive Änderung	Grösste negative Änderung	Mittel von positiven Änderungen	Mittel von negativen Änderungen	Mittel von sämtl. Änderungen
1902					
April	13.8	15.1	3.2	4.0	3.6
Mai	14.3	14.3	5.1	7.3	6.0
Juni	17.0	14.6	5.8	4.8	5.3
Juli	10.3	10.2	4.8	4.4	4.6
August	15.0	22.5	7.7	8.8	8.2
September	12.6	16.4	4.9	4.9	4.9
Oktober	13.2	10.7	5.9	5.3	5.6
November	8.1	8.8	2.7	3.5	3.1
Dezember	7.4	5.4	2.6	1.8	2.2
1903					
Januar	5.2	4.9	2.4	2.5	2.5
Februar	7.2	9.0	3.5	3.8	3.7
März	16.3	9.9	4.6	3.3	4.0
April	8.5	14.5	3.8	5.0	4.4
Mai	11.2	12.1	5.4	4.0	4.5
Juni	8.1	11.3	3.9	4.7	4.2
Juli	13.8	12.5	4.4	5.3	4.8
August	12.3	10.4	5.0	3.7	4.3
September	17.4	13.5	5.4	5.4	5.4
Oktober	5.3	7.7	2.3	3.7	2.9

Was die maximalen Veränderungen angeht, so fallen, wie zu erwarten, die grössten in die kältere Jahreszeit; wenigstens zeigt es sich sehr ausgeprägt, dass die kleinsten Maximalveränderungen im Sommer eintreffen. Ein nennenswerter Grössenunterschied zwischen positiven und negativen Veränderungen tritt nicht besonders hervor.

Die Werte, die hier in den ersten Kolonnen vorliegen, müssen als besonders grosse bezeichnet werden und sind den extremen Windgeschwindigkeiten und den extremen Temperaturveränderungen, die man bei Snow-Hill beobachtet hat, an die Seite zu stellen. Die grösste Veränderung ist eine Abnahme von 22,5 m/s, in welchem Falle die mittlere Geschwindigkeit von 23,1 m/s am 11. August 1902 auf den

niedrigen Wert 0,6 m/s am 12. August herunterging. *Auf einen Tag mit dem Stundenmittel von 33,7 m/s, dem zweitgrössten von allen 20 Monaten folgt ein Tag, an dem 19 von 24 Stunden die mittlere Geschwindigkeit 0,0 m/s haben!!* Einen grösseren Kontrast kann man kaum begehren.

Die zweitgrösste Veränderung ist eine Zunahme von 17,4 m/s, von wesentlich geringerer Grösse also. Vom 24. September 1903 mit einer mittleren Geschwindigkeit = 7,0 m/s stieg das Windgeschwindigkeitsmittel auf 24,4 m/s am folgenden Tag. Die geringste maximale interdiurne Veränderung während eines Monats betrug nur 5,2 m/s, nämlich im Januar.

Von Interesse ist es, einen Vergleich mit der Unbeständigkeit des Windes auf anderen Polarstationen zu erhalten. Aus der Antarktis liegt nur von der »Gauss-Expedition Material zu diesem Zwecke vor. Die grösste Veränderung von einem Tagesmedium zum andern war der Fall, wo ein Steigen von 2,4 Bft auf 9,5 Bft eintrat, was einem Steigen von ungefähr 3,8 m/s auf 19,5 m/s entspricht, d. h. eine Zunahme von 15,7 m/s; die zweitgrösste Veränderung war ein Steigen von 14,9 m/s, die drittgrösste ein solches von 13,1 m/s, Zahlen, die jedoch mit Rücksicht auf die Unsicherheit der Reduktionsfaktoren der Beaufortschen Skala nur approximative Werte sind. Auch dies sind an und für sich hohe Werte, sie bleiben aber doch weit hinter dem höchsten Werte für Snow-Hill zurück und nur zwei betragen mehr als 14 m/s.

Ich sah die Windtabellen der obenerwähnten Spitzbergenexpedition durch und fand wirklich daselbst einige Veränderungen der mittleren Geschwindigkeit von einem Tag zum andern, die den Werten von Snow-Hill ungefähr gleichkommen, nämlich zwei Steigungen von 19,9 m/s bzw. 17,2 m/s. Diese sind jedoch ziemlich einzig dastehend, indem von allen übrigen des Jahres nur noch zwei mehr als 14 m/s betragen. Bei Snow-Hill kommen aufs Durchschnittsjahr nicht weniger als 8 à 9 Veränderungen von mehr als 14 m/s.

In den drei folgenden Kolumnen der Tab. 79 wie auch in den entsprechenden Kolumnen der Tab. 80 habe ich den Durchschnittswert dieser interdiurnen Veränderungen pr Monat angegeben und zwar sowohl der wirklichen wie auch der fürs Durchschnittsjahr geltenden.

Die höchste mittlere Veränderung per Monat wurde im August 1902 erreicht, wo sie bis zu dem geradezu kolossalen Wert von 8,3 m/s stieg, eine Durchschnittsunruhe in der Atmosphäre, die auffallend ist.

Fürs Durchschnittsjahr erhält man für den August die Zahl 6,3 m/s. Ein Vergleich mit den »Gauss-Werten ist ja auch hier von Interesse; er lässt sich aber streng genommen ebensowenig anstellen, wie man ohne weiteres Monatsmedia von einer interdiurnen Veränderung der Windgeschwindigkeit oder überhaupt von Windgeschwindigkeitszahlen nehmen kann, wenn sie in der Beaufortschen Skala ausgedrückt sind. In absoluten Massen sind ja die Abstände zwischen den Skalateilen am An-

Tab. 80. Interdiurne Veränderlichkeit der Windgeschwindigkeit (m/s).

Mittel von 1902 und 1903.

	Grösste positive Änderung	Grösste negative Änderung	Mittel von positiven Änderungen	Mittel von negativen Änderungen	Mittel von sämtl. Änderungen	»Gauss« Mittel
Januar	5.2	4.9	2.4	2.5	2.5	2.6
Februar	7.2	9.0	3.5	3.8	3.7	3.8
März	16.3	9.9	4.6	3.3	4.0	2.8
April	11.2	14.8	3.5	4.5	4.0	3.2
Mai	12.8	13.2	5.3	5.6	5.3	3.2
Juni	12.6	13.0	4.8	4.8	4.8	4.1
Juli	12.0	11.4	4.6	4.9	4.7	4.0
August	13.6	10.3	6.3	6.3	6.3	5.0
September	15.1	15.0	5.2	5.2	5.2	3.9
Oktober	9.2	9.2	4.1	4.5	4.3	3.6
November	8.1	8.8	2.7	3.5	3.1	2.2
Dezember	7.4	5.4	2.6	1.8	2.2	2.6
Herbst	—	—	4.47	4.47	4.47	3.1
Winter	—	—	5.23	5.33	5.27	4.4
Frühling	—	—	4.00	4.40	4.20	3.2
Sommer	—	—	2.83	2.70	2.80	3.0
Jahr	—	—	4.12	4.22	4.18	3.4

fang und am Ende der Skala so wesentlich verschieden. Indem ich jedoch annahm, dass die Durchschnittszahlen, die Meinardus angegeben hat, als Ausgangsmaterial verwendbar sind, suchte ich sie annähernd in m/s umzusetzen. Dabei ging ich davon aus, dass man durchgehends bei diesen Durchschnittszahlen die Grösse eines Beaufortschen Grades anwendet, die derselbe zu beiden Seiten der mittleren Geschwindigkeit hat. So habe ich die Werte der »Gauss« für die interdiurne Veränderung umgerechnet, indem ich die ganze Zeit 1 Beaufortgrad = 2 m/s setze.

Der Vergleich zwischen der schwedischen und der deutschen Expedition ergibt sich sowohl aus den letzten Kolonnen der Tab. 80 als auch aus der mitgeteilten graphischen Darstellung in Taf. 13. Auch hier gilt, ebenso wie oben hinsichtlich von Windstärken, die Regel, dass Snow-Hill für die kälteren Jahreszeiten höhere Werte, für den Sommer aber niedrigere hat. Die höchste Durchschnittsveränderung fällt bei der »Gauss« ebenso wie auf Snow-Hill in den August.

Die jährliche Variation, in Jahreszeiten ausgedrückt, ist viel schärfer markiert für Snow-Hill mit ihrem Minimum 2,80 m/s im Sommer und einem Maximum 5,27 m/s im Winter, das beinahe doppelt so gross ist wie das des Sommers. Das Maximum

Tab. 81. Häufigkeit verschiedener Werte der interdiurnen Veränderlichkeit der Windgeschwindigkeit (m/s).

	0—2	2—4	4—6	6—8	8—10	10—12	12—14	14—16	16—18	18—20	20—22	22—24
1902												
April	11	9	3	4	1	—	1	1	—	—	—	—
Mai	6	6	6	2	5	2	2	2	—	—	—	—
Juni	9	9	3	1	2	1	3	1	1	—	—	—
Juli	10	5	4	4	6	2	—	—	—	—	—	—
August	1	6	7	5	2	1	2	4	1	—	—	1
September	11	7	3	3	1	1	3	—	1	—	—	—
Oktober	6	7	5	6	2	2	3	—	—	—	—	—
November	14	7	5	2	2	—	—	—	—	—	—	—
Dezember	21	4	3	3	—	—	—	—	—	—	—	—
1903												
Januar	15	10	6	—	—	—	—	—	—	—	—	—
Februar	9	8	7	1	3	—	—	—	—	—	—	—
März	14	5	4	4	2	—	1	—	1	—	—	—
April	8	11	2	3	4	—	1	1	—	—	—	—
Mai	9	8	4	4	3	2	1	—	—	—	—	—
Juni	7	7	9	4	1	2	—	—	—	—	—	—
Juli	6	7	7	7	1	1	2	—	—	—	—	—
August	10	4	8	6	1	1	1	—	—	—	—	—
September	7	6	5	5	3	—	2	1	1	—	—	—
Oktober	14	8	6	3	—	—	—	—	—	—	—	—

der »Gauss« ist 4,4 m/s für den Winter; die drei übrigen Jahreszeiten sind praktisch genommen einander gleich, 3,1 m/s.

Die Tabellen 81 und 82 sind analog den entsprechenden Luftdrucks- und Temperaturtabellen so aufgestellt, dass die Ziffern die Anzahl Male angeben, wo im Laufe eines Monats eine interdiurne Veränderung der gegebenen Grösse vorkam. Die Jahreszeiten geben also einen Herbstmonat, einen Wintermonat u. s. w., und das Jahr zeigt die Häufigkeit für einen Normalmonat mit Rücksicht aufs ganze Jahr an.

Man sieht, wie ausgeprägt der Unterschied zwischen den einzelnen Jahreszeiten ist; für alle Jahreszeiten gilt es zwar, dass die Gruppe 0—2 m/s am zahlreichsten vertreten ist, der Unterschied tritt jedoch erst hervor, wenn man die Häufigkeit der grösseren Veränderungen beachtet.

Interdiurne Veränderungen von mehr als 10 m/s fehlen im Sommer ganz, im Frühling und Herbst betragen sie die einander ziemlich gleichen Werte 2,3 m/s bzw. 2,9 m/s und erreichen im Winter ihr Maximum 3,9 m/s.

Tab. 82. Häufigkeit (pr Monat) verschiedener Werte der interdiurnen Veränderlichkeit der Windgeschwindigkeit (m/s).

	0-2	2-4	4-6	6-8	8-10	10-12	12-14	14-16	16-18	18-20	20-22	22-24
Januar	15	10	6	—	—	—	—	—	—	—	—	—
Februar	9	8	7	1	3	—	—	—	—	—	—	—
März	14	5	4	4	2	—	1	—	1	—	—	—
April	9.5	10	2.5	3.5	2.5	—	1	1	—	—	—	—
Mai	7.5	7	5	3	4	2	1.5	1	—	—	—	—
Juni	8	8	6	2.5	1.5	1.5	1.5	0.5	0.5	—	—	—
Juli	8	6	5.5	5.5	3.5	1.5	1	—	—	—	—	—
August	5.5	5	7.5	5.5	1.5	1	1.5	2	0.5	—	—	0.5
September	9	6.5	4	4	2	0.5	2.5	0.5	1	—	—	—
Oktober	10	7.5	5.5	4.5	1	1	1.5	—	—	—	—	—
November	14	7	5	2	2	—	—	—	—	—	—	—
Dezember	21	4	3	3	—	—	—	—	—	—	—	—
Herbst	10.3	7.3	3.8	4.8	2.8	0.7	1.2	0.7	0.3	—	—	—
Winter	7.2	6.3	6.3	4.5	2.2	1.3	1.3	0.8	0.3	—	—	0.2
Frühling	11.0	7.0	4.8	3.8	1.7	0.5	1.3	0.2	0.3	—	—	—
Sommer	15.0	7.3	5.3	1.3	1.0	—	—	—	—	—	—	—
Jahr	10.9	7.0	5.0	3.6	1.9	0.6	0.9	0.4	0.2	—	—	—

Im Zusammenhang mit der interdiurnen Veränderung der Windgeschwindigkeit befasste ich mich auch mit den Perioden in der Zu- und Abnahme der Windgeschwindigkeit und zwar in ähnlicher Weise, wie vorher hinsichtlich Luftdruck und Temperatur. In Tab. 83 habe ich für jeden Monat zusammengestellt, wie oft die interdiurne Veränderung positiv und wie oft sie negativ war. Dann stellte ich für diese verschiedenen Gruppen die Anzahl Perioden auf, in denen ein Steigen oder Sinken der Windgeschwindigkeit beobachtet worden war. Aus diesen Daten erhält man alsdann die Länge der verschiedenartigen Perioden, des Steigens und des Fallens, in Zeitabschnitten von 24 Stunden ausgedrückt. In der letzten Kolonne steht schliesslich die Länge der Windgeschwindigkeitswellen, die Summe von Zu- und Abnahme. Eine ausgeprägte Variation der Wellenlänge scheint bei den Veränderungen der Jahreszeiten kaum vorzukommen. Zwei gleichnamige Jahreszeiten in den beiden verschiedenen Jahren, z. B. die Winter, zeigen für die Wellenlänge Werte von 2,9 bzw. 4,1 Tagen, welche Werte so verschieden von einander sind, — der eine ist ein Minimum, der andere ein Maximum, — dass man hieraus eher den Schluss ziehen kann, dass kurze und lange Wellen mit einander abwechseln können, so dass die eine oder andere Art vorherrscht, unabhängig davon, welche Jahreszeit es auch sein mag.

Tab. 83. Windgeschwindigkeitswellen.

	S t e i g e n			F a l l e n			Mittlere Wellen-dauer in Tagen
	Anzahl der pos. Änderung.	Anzahl Perioden	Perioden-dauer in Tagen	Anzahl der neg. Änderung.	Anzahl Perioden	Perioden-dauer in Tagen	
1902							
April	15	8	1.9	15	8	1.9	3.8
Mai	18	9	2.0	13	9	1.4	3.4
Juni	15	12	1.2	15	11	1.4	2.6
Juli	14	8	1.7	17	9	1.9	3.6
August	17	12	1.4	14	12	1.2	2.6
September	14	8	1.8	16	9	1.8	3.6
Oktober	15	11	1.4	16	11	1.5	2.9
November	16	7	2.3	14	7	2.0	4.3
Dezember	13	7	1.9	18	7	2.6	4.5
1903							
Januar	16	9	1.8	15	9	1.7	3.5
Februar	15	9	1.7	13	8	1.6	3.3
März	15	8	1.9	16	7	2.3	4.2
April	16	7	2.3	14	7	2.0	4.3
Mai	12	10	1.2	19	11	1.7	2.9
Juni	17	8	2.1	13	7	1.9	4.0
Juli	17	7	2.4	14	8	1.9	4.3
August	14	8	1.9	17	8	2.1	4.0
September	16	10	1.6	14	10	1.4	3.0
Oktober	17	10	1.7	14	9	1.6	3.3

	Periodendauer			»Gauss«
	Steigen	Fallen	Total	
Herbst	1.86	1.86	3.7	4.1
Winter	1.78	1.73	3.5	3.8
Frühling	1.76	1.66	3.4	5.1
Sommer	1.80	1.77	3.6	3.5
Jahr	1.80	1.77	3.6	4.1

Diese Wellenlängen scheinen auch in keinem Zusammenhang mit der absoluten Windgeschwindigkeit zu stehen. Der März 1903 mit einer Windgeschwindigkeit von 13 m/s hat eine Wellenlänge von 4,2 Tagen. Die Wellenlänge des Juni 1902, 2,6 Tage, ist die kleinste, obwohl seine Windgeschwindigkeit 11 m/s beträgt.

Es scheint auch hinsichtlich dieser groben Wellen kein nennenswerter Unterschied zwischen der Zeit der Zu- und der Abnahme der Geschwindigkeit zu existieren.

Die mittlere Länge der Windgeschwindigkeitswellen beträgt fürs Jahr 3,6 Tage, und die Werte für die verschiedenen Jahreszeiten unterscheiden sich kaum von diesem Jahresmedium. Dass die Luftwellen in den verschiedenen Monaten eine verschiedene Länge haben, würde also, nach diesen Ziffern für die Jahreszeiten zu urteilen, in gar keiner Abhängigkeit von den Veränderungen der Jahreszeiten stehen.

Zum Vergleich habe ich auch die Jahreszeitsmittel von der »Gauss«-Expedition angeführt; aus dieser Kolumne ersieht man daselbst einen ziemlich ausgeprägten Zug mit langen Wellen zur Zeit der Sonnenwenden und mit kurzen um die Zeit der Tag- und Nachtgleichen, und zwar zeigt sich dies in besonders markierter Weise, während man bei Snow-Hill auch keine Andeutung eines Gegenstückes entdecken kann.

Die täglichen Amplituden.

Da ich mich gerade mit den Veränderungen der Windgeschwindigkeit beschäftige, will ich in diesem Zusammenhang mit einigen Worten auch die unperiodischen Variationen an den verschiedenen Tagen berühren und zwar vor allem die Veränderungen, die zunächst in die Augen fallen, nämlich die tägliche Amplitude, die Differenzen zwischen Maximum und Minimum während eines gegebenen Tages.

Tab. 84. Mittlere Amplitude der Windgeschwindigkeit.

	Jan.	Febr.	März	Apr.	Mai	Juni	Juli	Aug.	Sept.	Okt.	Nov.	Dez.	Herbst	Winter	Früh- ling	Sommer	Jahr
1902 . . .	—	—	—	11.3	10.5	11.5	11.7	12.9	10.6	10.5	8.8	5.6	—	12.1	10.0	6.6	—
1903 . . .	5.6	8.6	8.4	13.3	10.4	10.1	13.0	10.3	10.7	10.1	—	—	10.7	11.1	—	—	—
»Gauss« .	5.5	6.1	5.0	5.6	7.0	6.9	8.1	11.0	7.4	6.3	5.3	5.2	5.9	8.7	6.3	5.6	6.3
Spitzbergen	5.6	9.2	7.6	10.7	10.4	10.6	13.1	9.0	8.4	7.9	7.7	6.0	9.6	10.8	8.0	7.0	8.8
	Jul	Aug.	Sept.	Okt.	Nov.	Dez.	Jan.	Febr.	März	Apr.	Mai	Juni					

Die mittleren Werte für die einzelnen Monate habe ich in Tab. 84 angegeben und daselbst auch zum Vergleich die Zahlen der »Gauss«, in m/s umgerechnet, angeführt. Der Unterschied ist ein auffallender. Die schon so oft vorher besprochene jährliche Variation, die sich bei Snow-Hill so scharf markiert mit einem Sommerminimum und einem Wintermaximum, zeigt sich zwar auch bei der deutschen Expedition, aber viel weniger prononciert.

Der höchste monatliche Wert der »Gauss« von 11 m/s, der an und für sich sehr hoch ist, wird bei Snow-Hill in 6 von den 20 Monaten überschritten und im Durchschnittsjahr von den Monaten April, Juli und August überholt. Noch markierter treten die hohen mittleren Werte von Snow-Hill hinsichtlich der unperiodischen täglichen Amplitude hervor, wenn man erwägt, dass der zweithöchste Wert der »Gauss« von 8,1 m/s im Juli bei Snow-Hill von sämtlichen Monaten mit Ausnahme von Dezember und Januar überschritten wird.

Den Werten von Snow-Hill näher liegen die Ziffern von Spitzbergen, wo man für einen Monat eine mittlere tägliche Amplitude von nicht weniger als 13,1 m/s erhält. Die Werte von Spitzbergen, in denen man hinsichtlich ihrer Grössenvariation mit der Jahreszeit dieselbe Regel wahrnimmt wie bei Snow-Hill, liegen im allgemeinen zwischen denen von Snow-Hill und denen der »Gauss«, jedoch näher den ersteren. Im Jahresmedium ist die mittlere tägliche Amplitude für Snow-Hill 9,6 m/s, für Spitzbergen 8,8 m/s, für die »Gauss« 6,3 m/s.

Tab. 85. Häufigkeit der täglichen Amplituden der Windgeschwindigkeiten (in m/s).

	0-2	2-4	4-6	6-8	8-10	10-12	12-14	14-16	16-18	18-20	20-22	22-24	24-26	26-28	28-30	30-32	< 6	6-12	> 12	Gauss- > 12
Herbst . . .	2	5	17	9	10	14	13	6	7	4	2	1	—	—	2	—	24	33	35	6
Winter . . .	3	4	8	9	15	14	14	7	6	5	4	1	1	—	—	1	15	38	39	26
Frühling . .	3	4	12	14	19	9	8	11	5	4	1	1	—	—	—	—	19	42	30	16
Sommer . . .	2	15	26	24	14	6	—	1	1	—	—	1	—	—	—	—	43	44	3	7
Jahr	10	28	63	56	58	43	35	25	19	13	7	4	1	—	2	1	101	157	107	—
»Gauss»: Jahr	8	54	88	78	49	33	26	13	7	5		2		2		150		160	55	—

Nähere Details in dieser Hinsicht betreffs Snow-Hill erhält man aus Tab. 85, wo ich fürs Durchschnittsjahr die Zahl der täglichen Amplituden verschiedener Grössen angeben habe. Die höchsten Amplituden steigen bis zu Werten von über 26 m/s (11 Beaufort); an solchen Amplituden kommen in den beiden Wintern im ganzen 6 vor, also 3 per Durchschnittsjahr, obwohl sie in Wirklichkeit hauptsächlich ins Jahr 1902 fallen.

	Max.	Min.	Amplitude.
1902 August 11	33.7	1.9	31.8
» » 9	31.5	0.0	31.5
» Mai 8	29.9	0.0	29.9
» » 9	30.1	1.5	28.6
» Juni 8	28.3	0.0	28.3
1903 April 21	29.3	1.2	28.1

Im allgemeinen unterscheidet sich der Sommer von den übrigen Jahreszeiten dadurch, dass in ihm grössere Veränderungen über 12 m/s fast vollständig fehlen, die

kleinen Veränderungen (< 6 m/s) und die mittelgrossen (6—12 m/s) sind an Frequenz einander ungefähr gleich.

Für die übrigen Jahreszeiten gilt die Regel, dass die kleinen Veränderungen in der Minorität sind. Im Frühling sind die mittelgrossen Amplituden am zahlreichsten, im Herbst und Winter dagegen sind die grössten Veränderungen von mehr als 12 m/s in der Majorität, wenn sie auch die Zahl der mittelgrossen nur wenig übertreffen. In runder Zahl kann man die Frequenz der grossen Amplituden so ausdrücken, dass der Frühling alle drei Tage eine, der Winter 3 in der Woche hat, der Herbst zwischen ihnen in der Mitte steht und der Sommer nur eine im Monat aufweist.

Auf die verschiedenen Monate verteilen sich die maximalen Amplituden $\cong 12$ m/s fürs Durchschnittsjahr wie folgt:

Jan.	Febr.	März	April	Mai	Juni	Juli	Aug.	Sept.	Okt.	Nov.	Dez.
1	2	7	15	13	10	18	11	11	12	7	0

Die grösste Frequenz wurde im Juli 1903 erreicht, wo die Zahl der grossen Amplituden die Ziffer 18 aufwies, d. h. von je drei Tagen hatten zwei diese Veränderung.

In Tab. 85 habe ich auch von der »Gauss«-Expedition die Zahl der verschiedenen Amplituden während des Jahres sowie auch die Frequenz der grossen Amplituden für die Jahreszeiten mitgeteilt.

In den niedrigeren Gruppen, 0—8 m/s, hat die »Gauss« eine grössere Anzahl als Snow-Hill, aber hinsichtlich derer, die über 8 m/s hinausgehen, hat Snow-Hill durchgehend eine grössere Frequenz.

Was die Jahreszeiten betrifft, so ist der wichtigste Unterschied der, dass bei der »Gauss« der Herbst die Jahreszeit ist, welche die geringste Anzahl grösserer Amplituden aufweist. Dieser Umstand sowie die ähnlichen Zahlen hinsichtlich der Luftdruckamplituden markieren so scharf die kaum sich verändernde Herbstwitterung der »Gauss« gegenüber dem veränderlichen, unruhigen Herbst bei Snow-Hill.

Im Zusammenhang mit diesen Veränderungen innerhalb 24 Stunden wäre es hier angebracht gewesen, ebenso wie bei der Temperatur die schnell, beinahe plötzlich hereinbrechenden und ebenso schnell abbrechenden Stürme zu berühren, die ziemlich häufig vorkamen. Irgend welches Materiel ähnlich dem der Thermographenkurven zur Aufstellung einer objektiven Statistik über diese hastigen interhorären Veränderungen liegt aber nicht vor. Für diesen Zweck sind ja die Windgeschwindigkeitstabellen vollständig unbrauchbar, da die dort angegebenen Geschwindigkeiten Durchschnittszahlen sind, in denen daher die momentanen Veränderungen vollständig verschwinden.

Windrichtung.

Frequenzwindrosen.

Nachdem ich in dem unmittelbar Vorhergehenden die Frage der Windgeschwindigkeit, ihre Variation und Frequenz behandelt habe, will ich in diesem Kapitel mich mit den verschiedenen Richtungen des Windes, mit der Frequenz der verschiedenen Richtungen und dem Charakter der einzelnen Windrichtungen, ausgedrückt vermittelt dynamischer, thermischer und barischer Windrosen, befassen.

In Tab. IV. 1—21 von Bd. II L. 2 findet man für jeden Monat die Zahl der verschiedenen Winde angegeben, teils als absolute Observationsstunden, teils als Relativzahlen in Promille der gesamten Anzahl von Beobachtungen ausgedrückt. In Tab. 86, der absoluten Frequenz, sind diese Ziffern zusammengestellt und in Tab. 87 in Promille ausgedrückt («Calm» mitgerechnet).

Tab. 86. Absolute Häufigkeit der

	N	NNE	NE	ENE	E	ESE	SE	SSE	S
1902									
März	0	1	5	2	1	0	2	1	9
April	7	8	60	35	24	14	20	9	20
Mai	1	4	23	25	11	5	7	6	48
Juni	10	7	58	42	13	5	3	0	42
Juli	0	2	6	3	12	3	6	0	84
August	4	21	68	33	9	0	7	2	41
September	16	44	51	23	12	4	8	4	20
Oktober	4	11	25	7	3	2	1	1	48
November	1	25	45	10	9	2	1	10	41
Dezember	7	59	89	33	38	5	6	5	34
1903									
Januar	5	92	121	33	13	2	8	11	32
Februar	3	48	93	32	4	6	0	5	27
März	0	4	42	18	10	3	1	0	8
April	7	7	40	34	24	8	11	6	36
Mai	1	5	76	43	23	8	19	2	15
Juni	1	5	53	32	9	1	6	0	12
Juli	8	62	37	39	9	10	4	5	21
August	15	36	56	32	27	6	3	2	33
September	0	13	58	54	41	4	5	2	40
Oktober	41	92	99	20	10	4	5	6	18
November	0	13	16	1	4	0	0	0	4

Die Angaben, die vor allem von Interesse sind, sind natürlich die Relativzahlen, also die in der zweiten Tabelle stehenden Ziffern.

Von vornherein muss die durchgehends absolute Majorität der Südwestwinde, zu denen auch die Richtungen SSW und WSW gerechnet sind, auffallen.

Die gesamte Witterung bei Snow-Hill steht im Zeichen der Südwestwinde, und ihr Charakter wird von diesen bestimmt. Die Hauptrichtung, die an Häufigkeit der südwestlichen am nächsten kommt, sind die nordöstlichen Winde, von denen man jedoch nur in den beiden Monaten Januar 1903 und Oktober 1903 eigentlich sagen kann, dass sie mit den dominierenden Winden konkurrieren. Sehr auffallend ist die durchgängige minimale Frequenz der Nordwestwinde, und die Südostwinde treten kaum zahlreicher auf als die Nordwestwinde.

Im übrigen muss man die nicht in so geringer Zahl vertretene Art von Winden beachten, die in die Rubrik »Var«-Winde gehören, also solche mit Richtungen, die von einer Minute zur andern wechseln.

verschiedenen Windrichtungen.

SSW	SW	WSW	W	WNW	NW	NNW	Var.	C.	Zahl der Observ.	
1902										
6	37	8	0	1	1	0	0	5	79	März.
125	137	57	4	1	0	2	7	92	620	April.
216	230	66	0	3	0	2	2	80	729	Mai.
127	248	36	2	0	1	0	12	106	712	Juni.
86	300	75	0	0	0	0	0	166	743	Juli.
182	147	55	0	1	1	0	15	155	741	August.
114	148	104	4	5	5	5	14	134	715	September.
96	154	150	1	0	2	0	11	166	682	Oktober.
137	192	171	2	2	1	4	18	45	716	November.
134	81	115	5	5	1	0	34	83	734	Dezember.
1903										
165	77	82	5	5	3	2	29	51	736	Januar.
118	87	168	2	0	7	0	13	52	665	Februar.
129	272	215	1	1	0	0	6	29	739	März.
135	171	57	2	3	4	2	19	144	710	April.
194	94	25	4	1	1	1	15	205	732	Mai.
222	106	26	7	2	0	1	8	219	710	Juni.
174	135	24	2	0	0	5	33	148	736	Juli.
223	118	43	1	3	2	6	22	110	738	August.
161	132	33	2	3	0	2	14	152	716	September.
141	77	35	6	6	4	5	35	132	736	Oktober.
44	22	7	0	3	1	0	6	42	164	November.

Tab. 87. Häufigkeit der verschiedenen Windrichtungen in Promille.

	N	NNE	NE	ENE	E	ESE	SE	SSE	S	SSW	SW	WSW	W	WNW	NW	NNW	Var.	C
1901																		
März	0	12	63	25	13	0	25	13	114	76	468	101	0	13	13	0	0	63
April	11	13	96	56	39	23	32	14	32	200	220	91	6	2	0	3	11	148
Mai	1	5	32	34	15	7	7	8	66	296	316	90	0	4	0	3	3	110
Juni	14	10	81	59	18	7	4	0	59	178	349	51	3	0	1	0	17	149
Juli	0	3	8	4	16	4	8	0	113	117	403	101	0	0	0	0	0	223
August	5	28	92	45	12	0	9	3	55	246	198	74	0	1	1	0	23	208
September	22	63	71	32	17	5	11	5	28	160	207	146	5	7	7	7	19	188
Oktober	6	16	37	10	5	3	1	1	71	141	226	220	1	0	3	0	16	243
November	1	35	63	14	12	3	1	14	57	192	268	239	3	3	1	6	25	63
Dezember	10	81	121	45	52	7	8	7	46	183	110	156	7	7	1	0	46	113
1903																		
Januar	7	124	164	45	18	3	11	15	43	224	105	112	7	7	4	3	39	69
Februar	5	72	140	48	6	9	0	7	41	178	131	252	3	0	11	0	19	78
März	0	6	57	24	14	4	1	0	11	175	368	291	1	1	0	0	8	89
April	10	10	56	47	34	11	16	8	51	190	141	80	3	4	6	3	27	203
Mai	1	7	104	59	31	11	26	3	21	194	129	34	5	1	1	1	21	280
Juni	1	7	75	45	13	3	8	0	17	313	149	37	10	3	0	1	11	309
Juli	11	83	77	53	12	14	5	7	28	237	184	33	3	0	0	7	45	201
August	22	49	76	43	36	8	4	3	4	302	160	58	1	4	3	8	30	149
September	0	18	81	76	57	6	7	3	56	225	182	46	3	4	0	3	20	213
Oktober	56	125	135	27	14	5	7	8	24	191	105	48	8	8	5	7	48	179
November	0	79	98	6	24	0	0	0	24	268	134	42	0	18	6	0	37	263

Das Auftreten dieser wechselnden Winde, die immer nur eine geringe Stärke hatten, muss wohl seine Erklärung in den Terrainverhältnissen in unmittelbarer Nähe der Station finden; eigentlich sind es Stunden, während welcher an einem frei gelegenen Platz schwache Winde nordwestlichen oder südöstlichen Charakters herrschten.

In der letzten Kolumne schliesslich stehen die Stunden, wo man in der gewöhnlichen Observationszeit Windstille zu verzeichnen hatte.

In den Figuren (Taf. 21—25) vom gewöhnlichen Windrosentypus habe ich die Anzahl der verschiedenen Winde, in % ausgedrückt, graphisch dargestellt, und sind die Linien, die vom Durchmesser des inneren Kreises ausgehen, proportional zur Richtungsfrequenz. Ich hielt es auch für angebracht, in diesen graphischen Darstellungen einige Angaben zu markieren, die eigentlich bei den dynamischen Windrosen zur Sprache kommen, nämlich die prozentuale Frequenz von Sturmgeschwindigkeiten ≥ 18 m/s für die verschiedenen Windrichtungen. Ausserdem habe ich in jeder Windrose zwei

Tab. 88. Absolute Häufigkeit der verschiedenen Windrichtungen.

Mittel von 1902 und 1903.

	N	NNE	NE	ENE	E	ESE	SE	SSE	S	SSW	SW	WSW	W	WNW	NW	NNW	Var.	C	Zahl der Observ.
Januar . . .	5	92	121	33	13	2	8	11	32	165	77	82	5	5	3	2	29	51	736
Februar . . .	3	48	93	32	4	6	0	5	27	118	87	168	2	0	7	0	13	52	665
März	0	7	46	19	10	1	10	5	49	95	321	147	1	5	5	0	3	39	760
April	7	7	50	34	24	11	15	7	28	130	154	57	3	2	2	2	13	118	667
Mai	1	4	49	34	17	6	13	4	31	205	162	45	2	2	1	1	8	142	730
Juni	5	6	55	37	11	3	4	0	27	174	177	31	4	1	1	1	10	162	710
Juli	4	32	21	21	10	6	5	2	52	130	217	50	1	0	0	2	16	157	739
August . . .	9	28	62	32	18	3	5	2	37	202	132	49	1	2	1	3	18	132	739
September .	8	28	54	38	26	4	6	3	30	137	140	68	3	4	2	3	14	143	715
Oktober . .	22	51	62	13	6	3	3	3	33	118	115	92	3	3	3	2	23	149	708
November .	1	25	45	10	9	2	1	10	41	137	192	171	2	2	1	4	18	45	716
Dezember .	7	59	89	33	38	5	6	5	34	134	81	115	5	5	1	0	34	83	734
Herbst . . .	8	18	145	87	51	18	32	16	108	430	637	249	6	9	8	3	24	299	2157
Winter . . .	18	66	138	90	39	12	14	4	116	506	526	130	6	3	2	6	44	451	2188
Frühling . .	31	104	161	61	41	9	10	16	104	392	447	331	8	9	6	9	55	337	2139
Sommer . . .	15	199	303	98	55	13	14	21	93	417	245	365	12	10	11	2	76	186	2135
Jahr	72	387	747	336	184	52	76	57	421	1745	1855	1075	32	31	27	20	199	1273	8619

Linien gezeichnet, deren Längen die Zahl der windstillen Stunden und der Stunden mit wechselnden Windrichtungen angeben.

Prüft man die Windresultate der verschiedenen Monate, dann fällt immer, wie schon erwähnt, die grösste Zahl auf einen der drei Südwestwinde, in 10 Fällen auf die SW-Richtung, in 9 auf die SSW-Richtung, aber nur in einem einzigen Falle, im Februar 1903, ist die WSW-Richtung am zahlreichsten vertreten. Die grösste Frequenz für eine der 16 Windrichtungen betrug 40,3 %, nämlich die der SW-Winde im Juli 1902.

Um die Beobachtungen aus den beiden Jahren auszunutzen, habe ich nach üblicher Art ein Durchschnittsjahr gebildet, wobei ich jedoch die Werte, welche für die erste Woche im November 1903 gelten, gar nicht verwandt habe.

In Tab. 88 sind die absoluten Zahlen für die verschiedenen Windrichtungen sowohl für die einzelnen Monate des Durchschnittsjahres wie auch für Jahreszeiten und Jahr angegeben.

In Tab. 89 sind diese Werte in Promille umgerechnet.

In Taf. 15 habe ich für Jahr und Jahreszeiten die Frequenz der verschiedenen Winde während dieses Durchschnittsjahres graphisch veranschaulicht. Ich benutzte hierbei eine andere Form von Windrosen, weil ich dieselbe für ergiebiger und über-

Tab. 89. Häufigkeit der verschiedenen Windrichtungen in Promille.

Mittel von 1902 und 1903.

	N	NNE	NE	ENE	E	ESE	SE	SSE	S	SSW	SW	WSW	W	WNW	NW	NNW	Var.	C.
Januar	7	124	164	45	18	3	11	15	43	224	105	112	7	7	4	3	39	69
Februar	5	72	140	48	6	9	0	7	41	178	131	252	3	0	11	0	19	78
März	0	9	60	25	13	1	13	7	64	124	421	193	1	7	7	0	4	51
April	10	12	76	52	36	17	24	11	41	195	231	85	1	4	3	3	15	157
Mai	1	6	68	46	23	9	17	5	44	245	222	62	2	3	0	2	12	195
Juni	7	9	78	52	15	5	6	0	38	246	249	44	6	2	1	0	14	229
Juli	5	43	43	28	14	9	7	3	71	177	293	67	2	0	1	3	22	212
August	14	38	84	44	24	4	7	3	29	274	179	66	1	2	2	4	27	179
September	11	40	76	54	37	6	9	4	42	193	194	96	4	6	3	5	20	200
Oktober	31	71	86	18	10	4	4	4	48	166	170	134	5	4	4	3	32	161
November	1	35	63	14	12	3	1	14	57	192	268	239	3	3	1	6	25	63
Dezember	10	81	121	45	52	7	8	7	46	183	110	156	7	7	1	0	46	113
Herbst	4	8	67	40	24	8	18	7	50	199	297	116	3	4	4	1	11	139
Winter	8	30	64	42	18	6	6	2	53	233	242	60	3	1	1	3	20	208
Frühling	15	49	75	29	19	4	5	8	49	183	210	155	4	4	3	4	26	158
Sommer	7	93	142	46	26	6	7	10	43	196	144	170	6	5	5	1	36	87
Jahr	8	45	87	39	21	6	9	7	49	204	216	125	4	4	3	2	23	148

sichtlicher halte, besonders wenn man auf andere Windrosen kommt. Um alle Jahreszeitswindrosen von demselben vergleichbaren Typus zu erhalten, hielt ich es daher für angebracht, mich schon jetzt derselben zu bedienen.

Bevor ich dazu übergehe, die besonderen Winde zu besprechen, dürfte es wohl am Platze sein, erst einen Augenblick bei der letzten Kolumne der Tabelle zu verweilen, d. h. bei der, die uns darüber Aufschluss gibt, wie oft kein Wind geherrscht hat. Man sieht daselbst, dass die jährliche Periode sehr scharf pointiert ist. Das Maximum ruhiger Stunden fällt in den Juni, im Durchschnitt = 23%, das Minimum in den November, 6%. Teile ich das Jahr in die vier Jahreszeiten, so fällt das Maximum der Windstille in den Winter mit nicht weniger als 21% aller Stunden, Herbst und Frühling stimmen mit 14 bzw. 16% Windstille ziemlich mit einander überein, und im Sommer hat man die geringste Aussicht auf ruhige Stunden, ihre Anzahl beträgt dann nur 9%. In Übereinstimmung mit der totalen Windgeschwindigkeit, die nach obigem ja dieselbe Periode mit Maximum im Winter und Minimum im Sommer hat, muss also das Resultat das sein, dass die Winde, welche den Winter charakterisieren, viel stärker sind wie die des Sommers. Dies war auch, wie es sich zeigte, der Fall. Hinsichtlich ruhiger Wetters und windiger Stunden müssen also Frühling und Herbst in der Mitte zwischen Winter und Sommer stehen und die letzteren sich

in ihrem Charakter so von einander unterscheiden, dass es im Winter ziemlich häufig ruhig ist, dazwischen aber Winde stürmischen Charakters auftreten, dass es im Sommer dagegen selten windstill ist, sondern fast immer Winde wehen, wenn sie auch nur geringe oder mittelgrosse Geschwindigkeit haben. Der Durchschnitt fürs Jahr ist 15% Windstille, ein Wert also, der für die Westantarktis der höchste bisher beobachtete ist.

Tab. 90. Prozentuale Häufigkeit der Stillen.

	Snow-Hill	Port Charcot	»Belgica»	S.-Orkney	»Gauss»	»Discovery»	Kap Adare
Herbst . . .	14	16	8	5	8	25	36
Winter . . .	21	9	13	5	15	24	46
Frühling . .	16	8	15	5	14	24	45
Sommer . . .	9	23	8	6	6	20	[27]
Jahr	15	14	11	5	11	23	41

In Tab. 90 habe ich für die verschiedenen antarktischen Orte eine Zusammenstellung des Windstille-Prozentsatzes per Jahreszeiten und Jahr geliefert. Im allgemeinen gilt die bei Snow-Hill hervortretende Regel, dass der Sommer die geringste und der Winter die grösste Windstille aufweist. Port Charcot, westlich von Grahamland, aber bildet eine entschiedene Ausnahme von dieser Regel, da dort im Gegenteil ein ausgeprägtes Windstille-Maximum (23%) in den Sommer fällt und Minima in den Winter und den Frühling. Die Südorkney-Inseln und die »Discovery»-Expedition zeigen ein kaum nennenswertes Hin- und Herschwanken.

Fürs Jahr haben die Südorkney-Inseln den geringsten Prozentsatz, nur 5%, die anderen westantarktischen Stationen sowie die »Gauss»-Expedition weisen Werte zwischen 11% und 15% auf. Bei Victorialand erreicht der Windstille-Prozentsatz viel höhere Werte, bei der Discovery nämlich 23% und am Kap Adare nicht weniger als 41% aller Observationen.

Wende ich mich dann den verschiedenen Windrichtungen zu, so ist es wohl der grösseren Übersichtlichkeit halber angebracht, dieselben erst auf eine kleinere Anzahl von Richtungen, 8 oder 4 zu reduzieren. Ich entschloss mich, sie zu vier verschiedenen Quadranten zu rechnen, konnte aber dabei durchaus nicht sehen, welch ein Vorteil darin liegt, der allgemein üblichen Methode zu folgen und dieselben auf die Hauptrichtungen N, S, E und W zu verteilen.

Es ist dies zwar infolge von Tradition ja Praxis, aber bei Snow-Hill verteilen sich die Winde, wie ich sagen möchte, von selbst um die Richtungen SW, SE, NE und NW herum, und da hat man ja alle Veranlassung, dieser natürlichen Einteilung zu folgen. Die Zwischenrichtungen, also die Winde S, E, N und W, habe ich pro-

portional auf die angrenzenden Quadranten verteilt in der Weise, wie es Mohn bei der Bearbeitung der Observationen von der »Fram«-Expedition getan hat.

Wenn also z. B. die Summe WSW + SW + SSW = 90 war und die Summe SSE + SE + ESE = 10 sowie S = 10, dann verteilte ich die 10 S-Winde so, dass 9 auf die SW-Gruppe und 1 auf die SE-Gruppe kamen. *) Bei einer solchen Verteilung erhält man den Frequenzprozentsatz der verschiedenen Quadranten, der in Tab. 91 angegeben ist.

Tab. 91. Prozentuale Häufigkeit der Winde nach den vier Hauptrichtungen.

Variabel und Stillen eingerechnet.

	NE	SE	SW	NW	Var.	C.
Herbst	13.7	4.1	66.2	1.1	1.0	13.9
Winter	15.9	1.8	58.9	0.6	2.0	20.8
Frühling	18.5	1.9	60.0	1.2	2.6	15.8
Sommer	31.1	2.8	52.6	1.2	3.6	8.7
Jahr	19.8	2.6	59.5	1.0	2.3	14.8
Stillen nicht eingerechnet.						
Herbst	15.9	4.7	76.8	1.3	1.3	
Winter	20.1	2.3	74.2	0.8	2.6	
Frühling	22.0	2.3	71.3	1.4	3.0	
Sommer	34.0	3.1	57.7	1.3	3.9	
Jahr	23.1	3.0	70.0	1.2	2.7	

Hier sieht man, in welchem hervortretendem Grad die SW-Winde über alle übrigen dominieren. Im ganzen kommen sie in 59,5% aller Observationsstunden vor. Die grösste Anzahl ist die im Herbst mit 66,2% und die kleinste im Sommer mit 52,6% aller Stunden.

*) Bei einer solchen Teilung die auf der Grenze liegenden Winde nur zu halbieren, so dass sie je zur Hälfte auf die beiden Quadranten fallen, kann ich nicht gutheissen. Diese Methode hat Meinardus angewandt; er verteilte die Winde nach den Hauptrichtungen S, N, E und W und hat so nach meiner Ansicht eine Einteilung der Snow-Hill-Winde erhalten, den man nicht als ein befriedigendes und wahres Bild des wirklichen Verhältnisses ansehen kann. Er hat nämlich für Snow-Hill folgende prozentuale Verteilung auf die verschiedenen Hauptrichtungen erhalten NW—NE : 9, NE—SE : 11, SE—SW : 38 und SW—NW : 23. Hierdurch bekommt man die Auffassung, dass die Winde sich ziemlich gleichmässig über die Windrose verteilen, und vor allem ist nach meinem Dafürhalten die Zahl 23 für die SW—NW-Winde irreführend. Da nichts weiter gesagt wird, könnte man glauben, dass in diesem Prozentsatz die WSW-, W- und NNW-Winde ziemlich gleichmässig verteilt sind, und erhält man dann gar keine Ahnung von der wirklichen Seltenheit von W- und NNW-Winden, was für die Witterung bei Snow-Hill so charakteristisch ist.

Von den angrenzenden Quadranten SE und NW kommen nur ausnahmsweise einige Winde aus der NW-Richtung, im Durchschnitt fürs Jahr 1,0%, aus der SE-Richtung einige mehr, nämlich 2,6%. Was letztere betrifft, so scheint eine etwas grössere Frequenz in den Herbstmonaten und möglicherweise im Sommer vorzuliegen als im Winter und Frühling.

Der letzte Quadrant schliesslich, der NE-Quadrant, ist die Richtung, aus der man nächst der SW-Richtung die meisten Winde hatte.

Die Frequenz der nordöstlichen Winde zeigt eine jährliche Variation, die der südwestlichen direkt entgegengesetzt ist; dies muss ja auch notwendig der Fall sein, da sich die Variation der Winde des SE- und des NW-Quadranten in so engen Grenzen hält. So fällt das Minimum dieser Winde in den Herbst (13,7%), ihr Maximum in den Sommer (31,1%), ihr Durchschnitt fürs Jahr ist 19,8% aller Observationsstunden. Mit Hilfe der in Tab. 91 angegebenen, hier oben zitierten Zahlen kann man sich also eine Vorstellung davon machen, wie gross die Wahrscheinlichkeit ist, dass ein Wind der einen oder anderen Art wehen wird, wenn man alle Stunden, also auch die der Windstille mitrechnet.

Da es jedoch ein Interesse haben kann, die Windrichtungsfrequenz auch nach Abzug der windstillen Stunden ausgedrückt zu sehen, so habe ich eine derartige Berechnung für die verschiedenen Jahreszeiten ausgeführt und sie in Tab. 92 dargelegt.

Tab. 92. Häufigkeit der verschiedenen Windrichtungen in Promille.

Stillen nicht eingerechnet.

	N	NNE	NE	ENE	E	ESE	SE	SSE	S	SSW	SW	WSW	W	WNW	NW	NNW	Var.
Herbst . . .	4	10	78	47	28	10	20	9	58	232	343	134	3	5	4	2	13
Winter . . .	10	38	80	52	23	7	8	2	68	294	307	76	3	2	1	3	26
Frühling . .	17	58	90	34	23	5	6	9	58	219	249	185	4	5	3	5	30
Sommer . . .	8	102	156	50	27	7	7	11	48	214	126	187	6	5	6	1	39
Jahr	10	53	102	46	25	7	10	8	58	239	254	146	4	4	4	3	27

In dieser Tabelle findet man also in Promille einen Ausdruck z. B. dafür, wie gross die Wahrscheinlichkeit ist, dass, falls es überhaupt weht, der herrschende Wind zu der einen oder anderen Art gehöre.

Die Promillezahlen müssen also in diesem Fall durchgehends höher sein als in vorhergehender Tabelle, obwohl natürlich die Relation zwischen den verschiedenen Windrichtungen für eine gegebene Jahreszeit in beiden Tabellen dieselbe ist. Dagegen ist infolge des in den verschiedenen Jahreszeiten verschiedenen Calm-Prozentsatzes die ebenerwähnte Erhöhung für die einzelnen Jahreszeiten eine andere. Die

Erhöhung ist am grössten da, wo der Prozentsatz der Windstille am grössten ist, d. h. im Winter, für den Sommer dagegen ist sie relativ gering.

Von diesem reinen Windgesichtspunkt aus betrachtet, erscheint die Frequenzvariation der SW-Winde als eine ausschliesslichere Funktion der Jahreszeiten. Das Resultat ist daher immer dies, dass für alle Jahreszeiten die Wahrscheinlichkeit am grössten ist, dass ein sich erhebender Wind zum SW-Quadranten gehört, und am zweitgrössten, dass er aus der NE-Richtung kommt. Für Frühling und Winter dagegen tritt eine Veränderung ein, so dass die Wahrscheinlichkeit dafür, dass ein Wind von der SW-Seite kommt, im Winter grösser ist als im Frühling, was aus vorhergehender Tabelle nicht direkt ersichtlich war. Von allen Winden sind im Herbst 76,8% SW-Winde, im Sommer fällt der Prozentsatz auf 57,7. Zum Ersatz hat der Sommer 34,0% aller seiner Winde aus der NE-Richtung, während der Herbst nur 15,9% dieser Richtung aufweist.

Die Relation zwischen den SW-Winden und den NE-Winden variiert also mit der Jahreszeit, so dass diese Relation vom Herbst zum Sommer sich verringert. SW-% dividiert mit NE-% ergibt für die Jahreszeiten: für den Herbst 4,8, den Winter 3,7, den Frühling 3,2, den Sommer 1,7 und im Durchschnitt fürs Jahr wehen dreimal so viel SW-Winde als NE-Winde.

Um dies starke Hervortreten der Südwestwinde noch mehr zu charakterisieren, habe ich unter Benutzung der Lambertschen Formel für die verschiedenen Monate die mittlere Windrichtung sowie auch die Grösse der Resultanten bestimmt. Da ich hierbei von der prozentualen Frequenz der verschiedenen Windrichtungen ausging, ist die Resultante in % ausgedrückt. Die Zahlenresultate, die in Tab. 93 und 94 vorliegen, sind jedoch nur dann verwendbar, wenn man bedenkt dass die verschiedenen Windstärken der einzelnen Windrichtungen keinen Einfluss auf das Resultat ausgeübt haben.

Die mittlere Windrichtung, die in 16-strichiger Einteilung angegeben ist, wechselt nur äusserst wenig. In 11 von 20 Monaten herrschen durchgängig die SSW-Winde vor, in 8 Monaten dominieren die SW-Richtungen, und nur ein Monat, der Mai 1903, hat eine Hauptrichtung jenseits von SSW, nämlich S. Für die Jahreszeiten ist auch in drei Fällen die mittlere Windrichtung SSW, nur für den Frühling kann man sie als SW bezeichnen.

Wenn also die Veränderung der mittleren Windrichtung nach der Lambertschen Formel nicht der Rede wert ist, so findet man jedoch den Unterschied zwischen den einzelnen Jahreszeiten, wenn man die Grösse der Resultanten betrachtet. Sehr hohe Werte hat diese im März 1903 und im Juli 1902, nämlich 71,5% bzw. 66,7%. Bei einer Berechnung für die Jahreszeiten zeigt auch der Herbst die grösste Resultante oder 50%, ihm gegenüber steht der Sommer mit dem niedrigen Wert der Resultante von 19,4%, und per Monat beträgt die kleinste Resultante 2,4%, nämlich für den Okto-

Tab. 93. Mittlere Windrichtung.

	1902			1903		
	S n° W	Richtung	Resultat in %	S n° W	Richtung	Resultat in %
Januar	—	—	—	17°	SSW	13.6
Februar	—	—	—	47°	SW	30.1
März	13°	SSW	63.1	47°	SW	71.5
April	18°	SSW	35.8	27°	SSW	40.6
Mai	31°	SSW	66.0	8°	S	29.2
Juni	30°	SSW	45.2	24°	SSW	38.7
Juli	36°	SW	66.7	21°	SSW	25.5
August	21°	SSW	38.4	23°	SSW	34.5
September	44°	SW	32.7	46°	SW	31.8
Oktober	43°	SW	54.2	51°	SW	2.4
November	42°	SW	59.7	—	—	—
Dezember	25°	SSW	19.7	—	—	—

Tab. 94. Mittlere Windrichtung.

	Herbst	Winter	Frühling	Sommer	Jahr
S n° W	21°	28°	39°	34°	29°
Richtung	SSW	SSW	SW	SSW	SSW
Result. in %	49.9	41.3	35.2	19.4	25.3

ber 1903. In diesem Monat waren also die Frequenzen der verschiedenen Windrichtungen — mit Richtungs-differenzen von 180° — einander ziemlich gleich.

Als Schlussresultat steht daher fest, dass bei Snow-Hill praktisch genommen nur zwei Windrichtungen herrschen, nämlich die südwestliche und die nordöstliche, von denen die erstere die weitaus häufigste ist.

Es ist dies ein Windcharakter, der insoweit für die Antarktis ziemlich gemeinsam ist, als man im allgemeinen gefunden hat, dass sich die Windfrequenzen auf zwei einander entgegengesetzte Quadranten verteilen und Winde der dazwischenliegenden Quadranten nur sporadisch auftreten.

Es scheint sich jedoch ein scharfer Unterschied in den Hauptrichtungen zwischen der Ostantarktis und der Westantarktis geltend zu machen. Erstere, die zunächst von der »Discovery«- und der »Gauss«-Expedition repräsentiert wird, befindet sich in einem Gebiet, in dem die östlichen Winde in der Majorität sind.

Snow-Hill und Port Charcot haben das mit einander gemeinsam, dass bei ihnen die SSW-Winde vorherrschen.

Die Frage, ob die SW-Winde in höherem Grade von orographischen Verhältnissen bei Grahamland abgelenkt sind, lasse ich offen. Ich meinerseits glaube es kaum. Von der Schlittentour, die Nordenskjöld mit Sobral und noch einem Mann in südwestlicher Richtung gemacht hat, liegen die täglichen Windobservationen vor (s. Seite 8), und alle diese sprechen dafür, dass weiter südlich ähnliche Windrichtungen herrschten wie bei Snow-Hill.

Dasselbe gilt auch für die Paulet-Insel $63^{\circ}35'$ südl. $55^{\circ}50'$ westl., was deutlich aus den täglichen Observationen hervorgeht, die auf der Paulet-Insel in den Monaten April—Oktober 1903 vorgenommen wurden. (Bd II L. 3). Die Erklärung für die Windverhältnisse bei Snow-Hill ist wohl in seiner Lage im Verhältnis zu den umgebenden Luftdruckminima zu suchen.

Was die Verteilung des Luftdrucks im grossen angeht, muss man ja aus diesen mittleren Windrichtungen für die verschiedenen Jahreszeiten den Schluss ziehen, dass östlich von Snow-Hill, also im Weddellmeer, ein Durchschnittsminimum an Luftdruck liegt mit einem Gradient in der Nähe von Snow-Hill, der im Winter und Herbst stärker ist als im Sommer.

Dieses Kapitel der Luftdruckverteilung bei Grahamland wird augenblicklich sowohl von deutschen wie von englischen Forschern bearbeitet. Ein definitives Urteil über die Verschiebung der Durchschnittsisobaren in diesen Gegenden während der verschiedenen Jahreszeiten kann ich jedoch augenblicklich auf Grund der mir zur Verfügung stehenden Daten nicht abgeben.

Dynamische Windrosen.

Aus dem vorigen Kapitel ergibt sich mit aller Deutlichkeit, dass Snow-Hill vollständig von SW-Winden beherrscht wird; es kommt nur ein geringer Prozentsatz NE-Winde vor, und um die Windfrequenz der beiden andern Quadranten braucht man sich beinahe gar nicht zu kümmern. In vorliegendem Teil will ich nun die beiden vorhergehenden Bearbeitungen von Windgeschwindigkeit und Windrichtung so mit einander kombinieren, dass man vom Gesichtspunkt der Geschwindigkeit aus eine Vorstellung vom verschiedenen Charakter der einzelnen Winde erhält.

Zu diesem Zweck habe ich für die verschiedenen Monate die mittlere Windgeschwindigkeit jeder Windrichtung berechnet. Schon ein erster Blick auf diese Zahlen, die in Tab. 95 vorliegen, lehrt, dass auch hier bei Snow-Hill die allgemein geltende Regel bestätigt wird, dass die häufigsten Winde die schnellsten sind und umgekehrt, wenigstens wenn man die Winde in solchen Quadrantengruppen berech-

Tab. 96. Dynamische

Abweichungen vom

	N	NNE	NE	ENE	E	ESE	SE	SSE
1902								
April	- 4.57	- 2.05	- 3.17	- 3.88	- 4.42	- 4.41	- 3.95	- 4.77
Mai	- 9.39	- 7.01	- 6.68	- 7.84	- 6.73	- 7.85	- 9.49	- 5.57
Juni	- 6.04	- 4.66	- 9.10	- 7.39	- 7.77	- 8.47	- 6.96	-
Juli	-	- 8.98	- 8.60	- 7.71	- 8.15	- 8.01	- 7.55	-
August	- 7.40	- 0.93	- 4.42	- 5.54	- 4.87	-	- 5.59	- 3.03
September	- 2.38	- 0.77	- 3.32	- 4.68	- 4.07	- 1.95	- 4.71	- 2.50
Oktober	- 6.32	- 6.22	- 5.69	- 6.13	- 5.73	- 5.95	- 6.10	- 7.90
November	- 5.07	- 3.51	- 3.81	- 5.14	- 5.57	- 4.77	- 5.87	- 5.16
Dezember	- 3.03	- 0.88	- 1.20	- 1.56	- 1.78	- 1.95	- 2.92	- 1.79
1903								
Januar	- 2.61	- 0.76	- 0.28	- 0.74	- 1.85	- 1.51	- 2.03	- 1.89
Februar	- 4.95	- 1.38	- 1.61	- 2.41	- 3.18	- 2.92	-	- 5.50
März	-	- 10.42	- 9.01	- 8.53	- 9.33	- 8.72	- 6.95	-
April	- 0.74	- 3.75	- 4.14	- 4.04	- 4.46	- 3.90	- 5.38	- 4.41
Mai	- 4.68	- 2.48	- 0.14	- 2.56	- 2.82	- 2.69	- 1.73	- 4.18
Juni	- 4.64	- 2.68	- 2.42	- 2.29	- 3.85	- 0.94	- 2.52	-
Juli	- 1.12	+ 0.81	- 2.19	- 4.15	- 1.19	- 2.25	- 4.77	- 5.12
August	+ 0.27	- 1.63	- 2.34	- 7.79	- 4.73	- 4.20	- 5.58	- 6.08
September	-	- 2.26	- 1.98	- 4.01	- 3.60	- 5.27	- 3.37	- 5.35
Oktober	+ 0.99	+ 0.94	- 0.30	- 2.35	- 2.42	- 2.58	- 2.37	- 2.93

hinsichtlich der mittleren Geschwindigkeiten im allgemeinen. Dieser besteht in der grossen durchgängigen Verschiedenheit in den mittleren Geschwindigkeiten der Hauptrichtungen. Sehe ich von einem Ausnahmefall ab, dessen Richtigkeit Meinardus übrigens zweifelnd gegenübersteht, so haben bei der deutschen Expedition die höchsten mittleren Geschwindigkeiten für eine gewisse bestimmte Richtung Werte, die zwischen 4,3 und 7,5 Beaufort, d. h. 7,3 m/s à 14,2 m/s variieren. Für Snow-Hill hat man wirklich ziemlich niedrige Werte im Sommer 7,8 m/s (SW im Dezember), dann aber steigt im Herbst und Winter die mittlere Geschwindigkeit des WSW-Windes auf ein Maximum von 21,36 m/s (August 1902), und nicht weniger als 13 von 20 Monaten zeigen hinsichtlich der schnellsten Windrichtung eine mittlere Geschwindigkeit auf, welche die der »Gauss«-Expedition (14,2 m/s) überschreitet.

Ich erwähnte vorher, dass, wenn man nur mit vier Hauptquadranten rechnet, die maximale Geschwindigkeit auf den am zahlreichsten vertretenen, den SW-Quadranten fällt. Teilt man den Kompass jedoch in 16 Richtungen ein, so wie wir es allgemein bei Snow-Hill taten, dann verliert diese Regel hinsichtlich des Frequenzmaxi-

Windrosen (m/s).

Monatsmittel.

S	SSW	SW	WSW	W	WNW	NW	NNW	Var.	C	Med.
- 0.83	+ 2.92	+ 6.22	+ 6.61	- 5.64	- 5.91	-	-	- 4.64	- 6.40	7.41
- 3.05	- 0.33	+ 5.49	+ 9.86	-	- 9.46	-	- 9.69	- 8.89	- 9.94	11.19
- 1.55	+ 1.92	+ 6.94	+ 8.08	- 8.08	-	- 8.33	-	- 7.31	- 10.36	11.33
- 1.18	- 0.55	+ 4.95	+ 8.43	-	-	-	-	-	- 10.85	11.38
- 1.03	+ 2.54	+ 7.50	+ 11.83	-	- 8.33	- 5.53	-	- 6.91	- 9.20	9.53
- 2.14	+ 0.23	+ 5.19	+ 9.80	- 4.22	- 7.14	- 6.94	- 2.70	- 6.28	- 8.01	8.70
- 1.72	- 0.29	+ 4.30	+ 6.98	- 6.10	-	- 5.75	-	- 5.40	- 8.44	9.20
- 4.78	- 0.89	+ 2.50	+ 4.38	- 6.12	- 5.82	- 5.77	- 6.47	- 5.67	- 7.42	8.47
- 1.21	+ 1.28	+ 3.40	+ 3.32	- 1.55	- 2.43	- 2.89	-	- 2.20	- 3.90	4.39
- 1.51	+ 1.11	+ 0.90	+ 3.80	- 3.22	- 2.62	- 3.06	- 3.16	- 2.67	- 4.29	5.06
- 3.07	+ 0.01	+ 1.38	+ 4.77	- 5.18	-	- 6.43	-	- 3.68	- 6.85	7.48
- 7.76	- 3.81	+ 2.27	+ 5.27	- 11.05	- 12.35	-	-	- 10.97	- 12.86	13.65
+ 0.30	+ 0.36	+ 6.32	+ 10.11	- 6.94	- 6.07	- 5.24	- 4.09	- 5.83	- 7.89	8.44
+ 2.55	+ 4.18	+ 5.88	+ 4.20	- 1.88	- 4.98	- 3.48	- 5.38	- 4.01	- 5.73	6.48
+ 4.17	+ 4.02	+ 4.61	+ 8.64	- 2.73	- 4.89	-	- 4.64	- 2.98	- 5.86	6.24
- 1.88	+ 2.17	+ 8.57	+ 9.03	- 1.87	-	-	- 0.94	- 5.86	- 7.65	8.42
- 0.20	+ 1.80	+ 7.79	+ 8.19	- 6.58	- 6.05	- 3.13	- 2.38	- 5.03	- 8.47	8.98
+ 0.18	+ 1.76	+ 9.03	+ 8.67	- 5.25	- 4.78	-	- 7.15	- 5.95	- 7.16	7.65
+ 2.36	+ 2.14	+ 4.32	+ 9.24	- 3.66	- 1.86	- 3.81	- 2.31	- 3.67	- 5.92	6.61

mums und des Geschwindigkeitsmaximums ihre Geltung. Wie schon oben angedeutet wurde, ist die Regel die, dass die SW-Winde am zahlreichsten vertreten sind und ihnen zunächst im allgemeinen die SSW-Winde. Die grösste Geschwindigkeit dagegen fällt 45° à $22,5^\circ$ westlich von diesen Richtungen, nämlich beinahe ausnahmslos auf den WSW-Wind.

Dass dies eine gewisse Verschiedenheit hinsichtlich der jahreszeitlichen mittleren Windrichtungen erzeugen muss, wenn ich das eine Mal nur nach der Frequenz rechne, das andere Mal den Gesichtspunkt des Windweges mit in Betracht ziehe, liegt klar auf der Hand und wird im Zusammenhang mit der Frage der Windwege in den verschiedenen Jahreszeiten behandelt.

Einen besseren direkten Vergleich zwischen den einzelnen Monaten oder den verschiedenen Jahreszeiten erhält man jedoch, wenn man anstatt mit den absoluten Werten der Durchschnittsgeschwindigkeit für die verschiedenen Winde mit mehr relativen Zahlen rechnet.

Die geeignetste und einfachste Art ist da die, die mittlere Geschwindigkeit der verschiedenen Windrichtungen mit der für Monat bzw. Jahreszeit gefundenen mittleren Geschwindigkeit zu vergleichen, indem man die Differenzen mit negativen oder positiven Vorzeichen versteht. Dabei bedeutet »+«, dass die mittlere Geschwindigkeit der Windrichtung die mittlere Geschwindigkeit des Monats mit der Anzahl m/s überschritten hat, die auf das »+« folgt; »—« bezeichnet natürlich das Umgekehrte.

So habe ich in Tab. 96 verfahren, und graphisch sind diese Zahlen alsdann in Taf. 16 und 17 wiedergegeben.

Ein Blick auf die Tabelle und auch auf die Figur zeigt das grosse Übergewicht des Minuszeichens, d. h. der Windrichtungen mit Geschwindigkeiten unter dem Monatsmittel. (Dass nur vier Ausnahmen von der Regel vorkommen, dass alle Winde von einem andern Quadranten als dem der SW-Richtung eine Geschwindigkeit unter dem Mittel haben, erscheint vielleicht geradezu wie ein Paradoxon, findet aber seine Erklärung in der überwältigend grossen Frequenz der maximalen Windgeschwindigkeitsrichtungen.)

Die graphische Darstellung zeigt, wie äusserst streng diese Regel in den einzelnen Monaten hervortritt.

Um die verschiedene Geschwindigkeit der Windrichtungen zu veranschaulichen, habe ich es vorgezogen, mich der Methode zu bedienen, die Mohn bei der »Fram-Expedition angewandt hat.

Ich habe also nicht den gewöhnlichen Windrosentypus benutzt, weil er mir für direkte Vergleiche weniger geeignet erscheint, sondern ich habe statt dessen die verschiedenen Geschwindigkeitswerte in ein rechtwinkliges Koordinatensystem verlegt und zwar die Windrichtungen horizontal und die Geschwindigkeiten vertikal.

Die Variation ist, wie man sieht, von Monat zu Monat durchgehends die gleiche nur mit dem einen Unterschied, dass die Amplitude, d. h. die Differenz zwischen der grössten und kleinsten Windgeschwindigkeit nach dem Sommer zu natürlich abnimmt und abnehmen muss, weil ja dann keine hohen Windgeschwindigkeiten vertreten sind.

Um ein übersichtlicheres Bild von diesen Windrosen zu bekommen, habe ich in Tab. 97 sowie auch in Taf. 17 die Resultate für die Jahreszeiten und das Jahr zusammengefasst.

Bei diesen mittleren Geschwindigkeiten für Jahreszeiten und Jahr habe ich auf die verschiedene Frequenz einer gegebenen Windrichtung in den einzelnen Monaten gebührende Rücksicht nehmen müssen.

Um z. B. die mittlere Geschwindigkeit für eine gegebene Windrichtung in einer Jahreszeit zu erhalten, die aus den Monaten A, B und C besteht, und in denen die absolute Frequenz des betreffenden Windes bzw. a, b und c, die mittlere Geschwindigkeit der Windrichtung bzw. α , β und γ ist, hat man daher die Rechnung aus-

Tab. 97. Dynamische Windrosen (m/s) Mittel von 1902 und 1903.

Absolute Geschwindigkeiten.

	N	NNE	NE	ENE	E	ESE	SE	SSE	S	SSW	SW	WSW	W	WNW	NW	NNW	Var.
Herbst	4.6	4.3	5.0	4.1	3.8	3.8	3.7	3.8	7.7	10.2	15.3	18.4	2.9	1.8	3.2	2.6	2.6
Winter	6.9	7.5	5.1	4.2	3.0	4.2	3.8	4.0	9.3	11.2	16.6	18.9	3.9	2.2	4.8	6.6	3.1
Frühling	6.8	6.6	5.4	3.9	3.7	4.1	4.0	3.6	6.1	8.5	12.8	14.8	3.2	3.1	2.5	3.4	3.1
Sommer	2.0	4.5	4.7	4.1	2.9	3.5	2.4	2.8	3.7	6.3	7.6	10.1	2.3	2.2	1.4	2.0	2.5
Jahr	5.7	5.7	4.9	4.1	3.3	3.9	3.5	3.3	6.7	9.2	13.7	14.8	2.9	2.4	2.3	4.1	2.9
Ausgeglic.	5.6	5.5	4.9	4.4	3.8	3.7	3.7	5.8	8.5	10.6	13.0	14.2	13.9	2.6	2.7	4.6	—

Abweichungen vom Mittel.

Herbst	- 5.5	- 5.8	- 5.1	- 6.0	- 6.3	- 6.3	- 6.4	- 6.3	- 2.4	+ 0.1	+ 5.2	+ 8.3	- 7.2	- 8.3	- 6.9	- 7.5	- 7.5
Winter	- 2.4	- 1.8	- 4.2	- 5.1	- 6.3	- 5.1	- 5.5	- 5.3	+ 0.0	+ 1.9	+ 7.3	+ 9.6	- 5.4	- 7.1	- 4.5	- 2.7	- 6.2
Frühling	- 1.4	- 1.6	- 2.8	- 4.3	- 4.5	- 4.1	- 4.2	- 4.6	- 2.1	+ 0.3	+ 4.6	+ 6.6	- 5.0	- 5.1	- 5.7	- 4.8	- 5.1
Sommer	- 3.6	- 1.1	- 0.9	- 1.5	- 2.7	- 2.1	- 3.2	- 2.8	- 1.9	+ 0.7	+ 2.0	+ 4.5	- 3.3	- 3.4	- 4.2	- 3.6	- 3.1
Jahr	- 2.6	- 2.6	- 3.4	- 4.2	- 5.0	- 4.4	- 4.8	- 5.0	- 1.6	+ 0.9	+ 5.4	+ 6.5	- 5.4	- 5.9	- 6.0	- 4.2	- 5.4
Ausgeglic.	- 2.7	- 2.8	- 3.4	- 3.9	- 4.5	- 4.6	- 4.6	- 2.5	+ 0.2	+ 2.3	+ 4.7	+ 5.9	+ 5.6	- 5.7	- 5.6	- 3.7	—

zuführen $\frac{ax + b\beta + c\gamma}{a + b + c}$. Auf diese Weise erhält man einen Durchschnittswert, der verschieden ist von $\frac{1}{3}(\alpha + \beta + \gamma)$, der aber den Vorteil hat, dass man auf die grössere oder kleinere Bedeutung der verschiedenen Monate Rücksicht genommen hat.

Bei den Jahreszeitwindrosen erhält man einen besonders gleichmässigen Verlauf dieser dynamischen Windrosenkurven. Das Maximum fällt in sämtlichen Jahreszeiten in die WSW-Richtung und die geringste Windgeschwindigkeit auf die so nahe liegenden Richtungen WNW und NW.

In Tab. 97 ist für die verschiedenen Jahreszeiten die Abweichung vom Jahreszeitmittel angegeben. Absolut genommen sind es eigentlich nur die schnellsten Winde, die nach der durchgängigen Regel variieren, dass grössere Geschwindigkeit in den Winter, kleinere in den Sommer fällt. Dieser Umstand aber übt auf den Verlauf der Kurven die Wirkung aus, dass sich die Amplituden mit den verschiedenen Jahreszeiten verändern. Die grösste Variation in der Geschwindigkeit herrscht im Winter, wo der Geschwindigkeitsunterschied zwischen den WSW-Winden und den WNW-Winden, den schnellsten und den schwächsten Richtungen, 16,7 m/s beträgt, sie ist etwas geringer im Frühling (12,3 m/s) und erreicht im Sommer ihren geringsten Wert (8,7 m/s), um dann im Herbst praktisch genommen wieder auf den maximalen Winterwert, 16,6 m/s, zu steigen. Ein anderer Unterschied in den Jahreszeiten

Tab. 98. Häufigkeit der kleinen, mittleren und grossen Geschwindigkeiten in verschiedenen Richtungen.

	m/s	N	NNE	NE	ENE	E	ESE	SE	SSE	S	SSW	SW	WSW	W	WNW	NW	NNW
Herbst	0-6	5	14	85	73	45	16	35	9	22	60	37	14	5	9	8	3
	6-12	2	4	44	14	6	3	3	1	23	233	87	13	1	—	—	—
	≡ 12	1	—	16	—	—	—	—	1	63	117	513	222	—	—	—	—
Winter	0-6	9	18	87	65	31	8	14	4	22	55	36	10	5	3	1	2
	6-12	7	38	45	20	8	4	—	—	74	254	89	10	1	—	1	3
	≡ 12	2	10	6	5	—	—	—	—	20	197	401	110	—	—	—	1
Frühling	0-6	14	53	104	53	36	8	8	14	59	91	61	19	7	8	6	8
	6-12	14	43	53	8	5	1	2	1	37	268	117	73	1	1	—	1
	≡ 12	3	8	4	—	—	—	—	1	8	33	269	239	—	—	—	—
Sommer	0-6	15	160	222	85	55	13	14	21	83	182	73	62	12	10	11	2
	6-12	—	37	80	13	—	—	—	—	9	230	150	184	—	—	—	—
	≡ 12	—	2	1	—	—	—	—	—	1	5	22	119	—	—	—	—
Jahr	0-6	43	145	298	276	167	45	71	48	183	388	207	105	29	30	26	15
	6-12	23	122	222	55	19	8	5	2	146	1005	433	280	3	1	1	4
	≡ 12	6	20	27	5	—	—	—	2	92	352	1205	690	—	—	—	1

ausser der relativen Abnahme der Geschwindigkeit der SW-Winde lässt sich nicht verzeichnen.

Die punktierten Linien sind die ausgeglichenen Werte, »smoothed«, aber nicht unter Benutzung der gewöhnlichen Formel $b = \frac{a+2b+c}{4}$ berechnet.

Auch hier muss man einer zahlreicher vertretenen Richtung eine dem entsprechend grössere Bedeutung beilegen.

Haben drei einander naheliegende Windrichtungen L, M, N die absoluten Frequenzen l, m, n und die mittleren Geschwindigkeiten λ , μ , ν , so berechnet man die ausgeglichene mittlere Geschwindigkeit für die Richtung M nach der Formel $\frac{l\lambda + 2m\mu + n\nu}{\lambda + 2\mu + 2\nu}$.

Der Zusammenhang zwischen Geschwindigkeit und Windrichtung erhält dadurch ein abgerundeteres Aussehen, wie aus den mit Strichen angedeuteten Linien der Taf. 17 hervorgeht. Ein auffallender Unterschied zeigt sich zwischen der exakteren und der ausgeglichenen Kurve; bei letzterer nämlich steigt der Wert der Geschwindigkeit des W-Windes ganz gewaltig, im allgemeinen bis zu Werten, die denen der so starken WSW-Winde gleich sind. Ich neige der Seite zu, dass ich auf die nicht ausgeglichene Kurve als die exaktere halte. Die überwältigende Majorität der schnellen WSW-Winde hat den Charakter der spärlich vertretenen W- und WNW-Winde völlig vernichtet. Der W-Wind erhält auf diese Weise einen mathematisch aufgezwungenen

Wert, gegen den man Verwahrung einlegen muss. Obwohl ich mich also selbst gegen diesen Punkt in den Kurven, die W-Richtung, reserviere, habe ich sie doch der Vollständigkeit halber, und weil die Kurven im übrigen einen guten Ausdruck für den Zusammenhang zwischen der Windrichtung und der Windgeschwindigkeit ergeben dürften, mitaufgenommen.

Zur ferneren Erläuterung dieses Zusammenhanges habe ich hinsichtlich der Snow-Hill-Winde, als Stürme betrachtet, eine Statistik über ihre Frequenz innerhalb der verschiedenen Geschwindigkeitsgrade ausgearbeitet.

Ich teile die verschiedenen Winde in Geschwindigkeitsgruppen mit denselben Grenzen, wie sie oben angegeben sind, in schwache 0—6 m/s, mittelstarke 6—12 m/s und stürmische ≥ 12 m/s.

Tab. 98 enthält diese Zusammenstellung in Jahreszeiten und Jahr zusammengezogen, und zwar ist überall nur von dem Durchschnittsjahr die Rede, das man aus unserem 20-monatlichen Aufenthalt bei Snow-Hill erhält. Aus diesen Kolonnen empfängt man eine detaillierte Kenntnis von der Entstehung der Werte der Tab. 97.

Es ist eine durchgängige Regel für sämtliche Windrichtungen, dass die Relation zwischen grösseren und kleineren Geschwindigkeiten im Verlauf des Jahres vom Herbst zum Sommer abnimmt. Für die Winde W—N—E—SSE gilt immer, mit einer einzigen Ausnahme, die Regel, dass die grösste Anzahl von ihnen schwach, < 6 m/s, ist, was freilich nicht hindert, dass im Winter und Frühling für gewisse nordöstliche Richtungen diese Majorität so schwach ist, dass die mittlere Geschwindigkeit dennoch die Grenze 6 m/s überschreitet.

Die Südwinde sind hinsichtlich der Geschwindigkeit offenbar eine sozusagen reine Übergangsform zu den stürmischen SW-Winden. Im Herbst fällt ihre Majorität in die Gruppe der stürmischen Winde, im Winter sind die meisten S-Winde mittelstark, und im Frühling und noch mehr im Sommer liegt ihr Schwerpunkt in der Gruppe der schwachen Winde.

Von den SSW-Winden liegt die grösste Zahl in der Kategorie der mittelstarken Winde. Dieser Prozentsatz variiert zwar (s. Tab. 99) zwischen 50 und 69 aller SSW-Winde, es ist aber nicht dieser grössere oder kleinere Prozentsatz, sondern die relative Anzahl der stürmischen SSW-Winde, welche die schliessliche mittlere Geschwindigkeit bestimmt. Diese relative Anzahl der stürmischen SSW-Winde beträgt im Winter 39%, dann kommt zunächst der Herbst mit 27%; im Winter ist auch die mittlere Geschwindigkeit der SSW-Winde grösser als im Herbst.

Geht man zu der nächsten Richtung über, so befindet man sich im Bereich der eigentlichen Sturmwinde, der SW- und der WSW-Winde. Was die ersteren, die SW-Richtung angeht, so ergeben sie in ihrer Gesamtheit in den verschiedenen Jahreszeiten die relative Frequenz von Sturmwinden, im Herbst 81%, im Winter 76%, im Frühling 60% und im Sommer 9%

Tab. 99. Prozentuale Häufigkeit der kleinen, mittleren und grossen Geschwindigkeiten in den SW-Richtungen.

	m/s	S	SSW	SW	WSW
Herbst	0—6	20	14	6	6
	6—12	21	59	13	5
	$\cong 12$	59	27	81	89
Winter	0—6	19	11	7	8
	6—12	64	50	17	8
	$\cong 12$	17	39	76	84
Frühling	0—6	57	23	14	6
	6—12	35	69	26	22
	$\cong 12$	8	8	60	72
Sommer	0—6	89	44	30	17
	6—12	10	55	61	50
	$\cong 12$	1	1	9	33
Jahr	0—6	43	22	11	10
	6—12	35	58	23	26
	$\cong 12$	22	20	66	64

SW ist daher ein Wind, der in drei Jahreszeiten zur Sturmrichtung gerechnet werden muss, im Sommer aber verhältnissmässig selten höhere Windgeschwindigkeiten erreicht.

Die intensivste Geschwindigkeit hat aber offenbar der WSW-Wind. Von ihm kann man beinahe behaupten, dass für Snow-Hill, mit Ausnahme des ruhigeren Sommers, WSW-Wind ungefähr gleichbedeutend ist mit Sturm. Im Herbst erreichen 89% aller WSW-Winde eine Geschwindigkeit $\cong 12$ m/s, im Winter 84% und im Frühling 72%. Der Sommer ist zwar mit 33% weit zurück, aber infolge des geringen Prozentsatzes, 17%, der schwachen WSW-Winde in dieser Zeit, erreicht die mittlere Windgeschwindigkeit für die WSW-Winde des Sommers dennoch 10,1 m/s.

Fürs ganze Jahr berechnet gilt also von diesen zu den stärksten Winden gehörenden Richtungen, dass die südlichen am häufigsten unter die schwachen, die südwestlichen meistens unter die mittelstarken Geschwindigkeiten fallen. Und wendet man sich zu den noch mehr westlichen Richtungen, den SW- und WSW-Winden, so gehören diese in der Regel zu den stürmischen Winden, jedoch mit dem Unterschied zwischen diesen beiden Richtungen, dass dies für die WSW-Winde in grossem Umfang auch in dem ruhigen Sommer gilt, während die SW-Winde im Sommer sehr wenige Sturmwinde aufweisen.

Ein übersichtlicheres und zusammengedränkteres Bild von der Verteilung der verschiedenen Windstärken auf die verschiedenen Quadranten erhält man aus Tab.

Tab. 100. Häufigkeit der kleinen, mittleren und grossen Geschwindigkeiten in den vier Hauptrichtungen.

	0—6 m/s				6—12 m/s				≥ 12 m/s			
	NE	SE	SW	NW	NE	SE	SW	NW	NE	SE	SW	NW
Herbst	210	80	129	21	69	8	377	—	17	1	915	—
Winter	206	35	123	6	118	5	427	4	23	—	728	—
Frühling	254	44	227	24	123	4	496	2	15	1	549	—
Sommer	531	64	400	25	140	—	573	—	3	—	145	—
Jahr	1201	243	879	76	450	17	1873	6	58	2	2337	—
Snow-Hill . . .	2399 = 34 %				2346 = 32 %				2397 = 34 %			
»Gauss«	3250 = 42 %				2678 = 34 %				1893 = 24 %			

100, wo ich als Hauptrichtungen NE, SE, SW und NW statt der traditionellen N, E, S und W gewählt habe.

Von den beiden Richtungen SE und NW gilt, dass sie im allgemeinen innerhalb des Geschwindigkeitsgrades »schwache Winde« liegen, nur wenige, 7 % jeder Richtung, fallen unter »mittelstarke«, und es ist nur eine Ausnahme, dass zwei SE-Winde bis auf Sturmgeschwindigkeit hinaufgehen.

Für die beiden Hauptrichtungen NE und SW gelten einander entgegengesetzte Regeln. Erstere, die nordöstlichen Winde, fallen hauptsächlich, 70 %, unter die schwache Gruppe, mit nur 3 % Sturmgeschwindigkeiten. Was die SW-Richtungen angeht, so fällt im Herbst, Winter und Frühling ihr grösster Prozentsatz in die Sturmgeschwindigkeitsgruppe, nämlich 64 %, 57 % und 43 % für die respektiven Jahreszeiten; im Sommer dagegen befinden sich die stürmischen SW-Winde in der Minorität. Abgesehen von dieser Ausnahme für den Sommer gilt sonst von den SW-Winden, dass ihre geringste Anzahl in die Kategorie der schwachen Winde fällt. Auf's Jahr berechnet sind 46 % der SW-Winde ≥ 12 m/s, und nur 17 % von ihnen können zu den schwachen Winden gezählt werden.

Teilt man sämtliche Winde in diese drei Geschwindigkeitsgruppen ein, so erhält man das in der vorletzten Zeile der Tab. 100 angegebene Resultat, in welchem die Prozentzahlen die Prozente der gegebenen Windfrequenz nach Abzug von »Var« und »C« sind. Es ist dies also eine ziemlich gleichmässige Verteilung von ungefähr einem Drittel auf jede der drei Gruppen.

Die entsprechenden Zahlen von der »Gauss«-Expedition zeigen, wie man auch von der niedrigeren mittleren Windgeschwindigkeit der »Gauss« erwarten kann, dass der grösste Teil auf die schwächeren Geschwindigkeiten, eine etwas geringere Anzahl auf die mittelstarken und die kleinste Zahl auf die stürmischen Geschwindigkeiten fällt.

Tab. 101. Verteilung der grösseren Geschwindigkeiten (≥ 18 ms) auf die verschiedenen Richtungen.

	Zahl der Stunden ≥ 18 m/s	S		SSW		SW		WSW	
		Total	%	Total	%	Total	%	Total	%
1902									
April	56	1	0.2	7	1.1	33	5.3	15	2.4
Mai	160	—	—	14	1.9	97	13.3	49	6.7
Juni	316	—	—	32	4.5	157	22.1	27	3.8
Juli	176	1	0.1	1	0.1	118	15.9	56	7.6
August	122	—	—	21	2.8	62	8.3	39	5.3
September	107	—	—	1	0.1	39	5.5	67	9.4
Oktober	126	1	0.1	2	0.3	34	5.0	84	12.3
November	6	—	—	—	—	2	0.3	4	0.6
Dezember	0	—	—	—	—	—	—	—	—
1903									
Januar	0	—	—	—	—	—	—	—	—
Februar	17	—	—	3	0.4	1	0.1	13	2.0
März	229	—	—	—	—	87	11.8	142	19.2
April	97	1	0.1	2	0.3	58	8.2	36	5.1
Mai	16	—	—	3	0.4	11	1.5	2	0.3
Juni	24	—	—	4	0.6	11	1.5	9	1.3
Juli	88	—	—	9	1.2	64	8.7	15	2.0
August	91	—	—	13	1.8	52	7.1	26	3.5
September	80	—	—	—	—	63	8.6	17	2.3
Oktober	36	2	0.3	—	—	11	1.5	21	2.9
		[N: 1 0.1]		[NNE: 1 0.1]					

Zur weiteren Charakterisierung der verschiedenen Geschwindigkeiten der Winde, besonders der SW-Winde habe ich auch die Verteilung der Winde, die wir bei Snow-Hill Stürme zu nennen pflegten, Geschwindigkeit ≥ 18 m/s, in den verschiedenen Windrichtungen untersucht und lege in Tab. 101 und 102 das dazugehörige statistische Material vor.

Die erstere von diesen Tabellen enthält in ihrer ersten Kolonne Zahlen, die schon oben in Tab. 71 angegeben sind, nämlich die Anzahl Stunden, in denen die mittleren Windgeschwindigkeiten 18 m/s oder darüber betragen, und in den folgenden Kolonnen findet man eine Einteilung dieser Stunden mit Rücksicht auf die verschiedenen Windrichtungen, in die sie gefallen sind. Für jede Windrichtung sind zwei Zahlen angegeben; die erste von ihnen zeigt die Gesamtzahl von Stunden im Monat an, in denen eine mittlere Geschwindigkeit ≥ 18 m/s der betreffenden Rich-

tung notiert worden ist. Die zweite Zahl drückt die erste als Prozentsatz aller in einem Monat beobachteten Winde derselben Richtung aus.

Wie man nach dem Aussehen der dynamischen Windrosen erwarten kann, fällt die Hauptmasse dieser stürmischen Stunden auf die SW-Richtungen und zwar so ausschliesslich, dass von fremden Richtungen nur zwei vertreten sind, und zwar beide mit je einer Stunde im Oktober 1903, die eine N und die andere NNE. Ausser 6 ferneren Stunden, welche auf die Richtung S fallen, kommen alle übrigen Sturmwinde auf die drei Richtungen SSW, SW und WSW, im ganzen 1634 Stunden in 20 Monaten = 11 %. Die Majorität fällt fast immer, in 14 von 19 Monaten, auf die SW-Richtung; dies hängt ja damit zusammen, dass die SW-Winde, die an und für sich grosse mittlere Geschwindigkeiten haben, auch absolut genommen am zahlreichsten sind.

Der höchste Wert für einen Monat beträgt 157 solcher stürmischer Stunden, nämlich für den Juni 1902. Ihnen zunächst folgen alsdann 142 Stunden für WSW im März 1903; weit dahinter kommt die grösste Zahl der SSW-Winde, nur 32 im Juni 1903.

In Tab. 102 habe ich die entsprechenden Ziffern für die verschiedenen Jahreszeiten des Durchschnittsjahres zusammengestellt.

**Tab. 102. Häufigkeit der Stunden mit Sturmgeschwindigkeiten (≥ 18 m/s).
Wahrscheinlichkeit, in %, der Sturmgeschwindigkeit in den
verschiedenen Windrichtungen.**

	S		SSW		SW		WSW	
	Total	%	Total	%	Total	%	Total	%
Herbst	0.5	0.4	13	3	178	28	152	61
Winter	0.5	0.4	40	8	232	44	86	66
Frühling	2	2	2	0.5	89	21	116	39
Sommer	—	—	3	0.8	1	0.5	13	3.5
Jahr	3	0.7	58	3.3	500	27	367	34

Die totale Frequenz dasebst macht den Eindruck, als änderten diese schnellen Winde im Laufe des Jahres irgendwie ihre Richtung so, dass man im Herbst und Winter Stürme am häufigsten von SW zu erwarten hat, während im Frühling und Sommer sich die Sturmrichtung auf WSW hinüberdreht.

Urteilt man nach der Relation zwischen den Vertretern der WSW- und S-Winde, so ist das Verhältnis zwischen ihren Zahlen im Winter geringer als im Frühling. Schon hier finden wir also eine Andeutung, dass die dynamische mittlere Windrichtung ihren südlichsten Wert im Winter und ihren westlichsten im Frühling und Sommer haben wird (Vergl. weiter unten).

Die zweiten Zahlen in jeder Windkolumne obenerwähnter Tabelle sind Relativzahlen, Prozentzahlen, die man dadurch erhält, dass man die erste Zahl der Kolumne mit der entsprechenden absoluten Frequenzzahl in Tab. 86 dividiert.

Es sind also die Procente eines gegebenen Windes, der mit Sturmgeschwindigkeit auftritt. Der höchste Prozentsatz fällt in den Juni 1902, wo nicht weniger als 22% von allen SW-Winden die Stärke ≥ 18 m/s aufwies, ihm am nächsten kommt der März 1903, wo 19% von allen WSW-Winden Sturmwinde waren.

Ein ausgeprägter Charakterunterschied scheint zwischen den SW-Winden der beiden Jahre zu bestehen.

In dem stürmischeren Jahre 1902 war ja die Zahl starker SW-Winde natürlich absolut genommen grösser als im Jahre 1903, und da die totale Frequenz der SW-Winde überhaupt in beiden Jahren ziemlich die gleiche war, folgt hieraus mit Notwendigkeit, dass in letzterem Jahre ein entsprechendes Sinken auch hinsichtlich der relativen Anzahl von SW-Winden ≥ 18 m/s stattfinden muss.

Für die Jahreszeiten ausgeglichen sind diese Relativzahlen in Tab. 102 angegeben.

Aus dieser Tabelle geht vor allem hervor, dass offenbar im Durchschnitt für die Jahreszeit die WSW-Winde mit einer Geschwindigkeit von 18 m/s in absolut auffallendem Grad die relativ stärksten sind. Im Herbst und Frühling hatten nicht weniger als zwei Drittel aller WSW-Windstunden eine mittlere Geschwindigkeit von 18 m/s oder darüber. Nach den WSW-Winden kommen dann die SW-Winde. Obwohl sie an Zahl also in der Majorität sind, sind sie nicht die relativ stärksten.

Für die drei südwestlichen Richtungen gilt durchgehends die Regel, dass der Winter die Jahreszeit ist, in der ihr grösster Prozentsatz aus Sturmwinden besteht.

Dies sind also einige Details zur Erweiterung des Bildes, das man durch die Frequenzrosen und die dynamischen Windrosen allein erhält.

Den adäquatesten Ausdruck für die Windverhältnisse an einem Orte dürfte man dadurch erhalten, dass man die Frequenz der verschiedenen Winde mit ihrer mittleren Geschwindigkeit kombiniert. Durch geeignete Kombination dieser Grössen findet man einen Ausdruck für die mechanische Wirkung des Windes z. B. bei einem Ballon oder einem Schiff, die sich ausschliesslich infolge Einwirkung des Windes und mit derselben Geschwindigkeit wie dieser bewegen. Man kann auf diese Weise direkt vergleichbare Masse dafür finden, einen wie weiten Weg ein Luftpartikelchen unter Einwirkung des einen oder anderen Windes zurücklegen würde, d. h. die sogenannten Windwege erhalten.

Für die verschiedenen Windrichtungen habe ich die Windwege für jede Jahreszeit und fürs Jahr berechnet und die Zahlenresultate in Tab. 103 angegeben. Ich hielt es nicht für nötig, von diesen Dingen detaillierte Angaben für jeden Monat anzuführen, da derjenige, der sich dafür mehr interessiert, sie sehr leicht aus den angelegenen Daten berechnen kann.

Tab. 104.

	Windwege in Kilometer				Mittlere Richtung		Resultante	
	N	E	S	W	S n° W	—	km.	%
Herbst	1652	4291	48685	48996	43°	SW	65000	82
Winter	4872	4697	48097	38134	38°	SW	54700	74
Frühling	5952	4958	30779	35621	51°	SW	39500	62
Sommer	7284	7005	18925	20783	50°	SW	18000	50
Jahr	19760	20951	146483	143534	44°	SW	176000	67

Aus Tab. 92 nimmt man den Frequenzpromillesatz (p) für die betreffende Richtung und aus Tab. 97 die mittlere Windgeschwindigkeit (v). Ist alsdann die Anzahl der Tage der in Betracht gezogenen Zeitperiode = T , so erhält man den Windweg (W), in km ausgedrückt, aus der Gleichung

$$W = \frac{p}{1000} \cdot v \cdot T \cdot \frac{24 \cdot 60 \cdot 60}{1000} \text{ km.}$$

Bei einer derartigen Behandlung des Windmaterials zeigt sich noch ein weiterer Kontrast zwischen den verschiedenen Windrichtungen als bisher. Ein besonders deutliches Bild erhält man aus der graphischen Darstellung, wo alle Windwege im Verhältnis zu den mächtigen südwestlichen verschwindend klein sind. Ja, infolge der grossen Frequenz der sogenannten windstillen Stunden »C«, trifft sogar das Eigentümliche ein, dass der Windweg derselben nicht nur nicht Null ist, sondern im Gegenteil mit seinen 2988 km nicht weniger als 9 Windrichtungen und auch die variablen Winde übertrifft.

Dieser Umstand ist schon oben aus dem Schluss und dem Anfang von Stürmen erklärt worden, die in die mittlere Geschwindigkeit der »C«-Stunden hineinspielten (Anmerkung Seite 103).

Die grösste totale Windwegssumme fällt natürlich in den Herbst mit seiner grössten mittleren Windgeschwindigkeit und beträgt 79000 km; die totale Windwegssumme fürs Jahr beträgt 261000 km.

In Tab. 104 habe ich die Zahlen der Tab. 103 übersichtlicher zusammengefasst.

Die Tab. 104 erhält also in ihrem ersten Teil die totalen Windwege für die verschiedenen Quadranten, und zwar habe ich dieselben in der Weise berechnet, dass ich, um z. B. die Summe für den NE-Quadranten zu erhalten, die Summe von den Wegen der Winde NNE, NE und ENE genommen habe. Was die Grenzrichtungen N und E betrifft, so habe ich erstere zwischen NW und NE, letztere zwischen NE und SE verteilt in Teilen, die proportional sind zu den vorher gefundenen Quadrantensummen. In den beiden vorletzten Kolonnen der Tab. 103 habe ich den Pro-

zentsatz der totalen jahreszeitlichen Windwegslänge mitgeteilt, der auf die beiden Hauptquadranten SW und NE fiel. Der jährliche Verlauf ist deutlich. Der SW-Komponent dominiert ohne Konkurrenz im ganzen Jahre und am stärksten im Herbst, wo nicht weniger als 91% der gesamten Windwegssumme auf diesen Komponenten fallen. Im Laufe des Kalenderjahres nimmt der SW-Weg sowohl absolut wie auch relativ ab, so dass er im Sommer nur 70% der ganzen Summe ausmacht. Einen umgekehrten Verlauf hat die Windwegssumme des NE-Quadranten; am kleinsten ist sie im Herbst, nur 6% und am grössten im Sommer, 24%. Per Jahr beträgt der SW-Komponent 84% und der NE-Komponent 11% der gesamten Windwegssumme. Auf die anderen Quadranten einschliesslich »C« und »Var.« fallen also die noch übrigen 3 à 7 Prozente.

Nur von der »Gauss«-Expedition liegen ähnliche Angaben betreffs der Windwegssummen vor. Ein Vergleich in absoluten Zahlen zwischen den beiden Stationen muss ja im allgemeinen für Snow-Hill höhere Werte ergeben infolge der daselbst herrschenden grösseren mittleren Geschwindigkeit.

Was die Relativzahlen angeht, so dürfte es ein gewisses Interesse haben, diese beiden Orte mit einander zu vergleichen. Beide werden von dem typischen Verhältnis einer ganz ausgeprägten Majorität von Windrichtungen eines Quadranten charakterisiert, Snow-Hill durch die Majorität der SW-Winde und die »Gauss« durch die der E-Winde.

In der letzten Kolumne von Tab. 103 habe ich für die »Gauss«-Expedition angegeben, wie viele Prozente der ganzen Windwegssumme auf ihre Hauptrichtung E (EzS—EzN) fielen.

Um, wo möglich, einen noch besseren Vergleich mit Snow-Hill zu erzielen, habe ich in der vorhergehenden Kolumne für Snow-Hill den Prozentsatz angegeben, der auf die drei Richtungen SSW, SW und WSW fiel, also ohne Hinzufügung von S und W.

Die Grössen sind für beide Orte offenbar von derselben Ordnung, wenn sie auch für die »Gauss« etwas höher sind. Man sieht also, dass für die »Gauss« die Konzentrierung auf wenige Richtungen nach dieser Betrachtungsweise noch exklusiver ist als für Snow-Hill.

Im jährlichen Verlauf des Wegprozentsatzes dieser Hauptrichtung merkt man auch hier zwischen den beiden Expeditionen den Unterschied, der sich schon früher so oft gezeigt hat, dass nämlich bei Snow-Hill der Kontrast zwischen Sommer und Winter grösser ist als bei der »Gauss«.

Bei der »Gauss« fällt daher der geringste Windwegsprozentsatz der Hauptrichtung nicht in den Sommer, sondern in den Frühling, und der Unterschied zwischen diesem Minimum und dem Wintermaximum ist viel weniger ausgeprägt als die Differenz zwischen Sommerminimum und Wintermaximum bei Snow-Hill.

Tab 105. Thermische

Abso-

	N	NNE	NE	ENE	E	ESE	SE	SSE
1902								
April	- 11.36°	- 8.04°	- 6.02°	- 14.85°	- 12.60°	- 15.65°	- 14.39°	- 11.24°
Mai	- 17.10	- 4.27	- 14.60	- 7.70	- 11.26	- 6.30	- 5.62	- 5.37
Juni	- 4.85	- 4.39	- 9.93	- 12.06	- 14.18	- 14.22	- 8.77	-
Juli	-	- 24.80	- 27.43	- 25.00	- 25.00	- 16.03	- 22.28	-
August	- 19.57	- 7.95	- 18.68	- 19.08	- 20.83	-	- 11.86	- 23.10
September	- 5.37	- 1.19	- 7.53	- 10.13	- 11.74	- 8.67	- 9.00	- 14.72
Oktober	- 2.02	- 8.82	- 5.22	- 7.20	- 14.20	- 15.25	- 5.80	- 10.10
November	- 5.00	- 3.77	- 4.69	- 5.87	- 5.80	- 6.15	- 1.20	- 3.31
Dezember	- 0.33	- 1.07	- 1.32	- 2.14	- 2.45	- 2.66	- 1.77	- 0.62
1903								
Januar	- 0.70	- 0.24	- 0.67	- 0.86	- 0.76	- 1.80	- 0.65	- 1.86
Februar	- 0.93	- 1.76	- 2.09	- 1.73	- 2.00	- 0.40	-	- 3.46
März	-	- 2.67	- 2.46	- 4.61	- 8.17	- 2.63	+ 0.80	-
April	- 2.46	- 7.61	- 7.20	- 9.31	- 13.34	- 14.85	- 16.68	- 6.87
Mai	- 20.10	- 12.68	- 10.53	- 15.97	- 19.72	- 22.33	- 16.28	- 0.90
Juni	- 18.00	- 18.28	- 14.59	- 19.13	- 16.20	- 21.20	- 15.85	-
Juli	+ 0.54	- 2.98	- 8.47	- 13.06	- 20.06	- 17.53	- 14.25	- 16.62
August	+ 1.05	- 5.33	- 6.86	- 12.71	- 11.33	- 11.29	- 4.63	- 7.45
September	-	- 10.85	- 12.80	- 15.67	- 15.73	- 20.18	- 13.00	- 8.20
Oktober	+ 1.66	- 0.78	- 4.78	- 3.55	- 1.85	- 2.15	- 3.37	- 1.15
November	-	+ 0.23	+ 1.39	+ 4.20	+ 0.15	-	-	-

In Tab. 104 habe ich die verschiedenen Windwegssummen durch einfache Addition auf vier Richtungen verteilt, ohne mich darum zu kümmern, dass in einem Quadranten die verschiedenen Wege verschiedene Richtungen repräsentieren.

In Tab. 104 habe ich weiter unter Anwendung der Lambert'schen Formel die in Tab. 103 stehenden Windwege für jede Richtung ausgenutzt, um die mechanische oder dynamische mittlere Windrichtung und die Windwegssumme für die verschiedenen Jahreszeiten zu erhalten.

Die Windwege der verschiedenen Komponenten sind also zuerst auf die Richtungen N, E, S, W reduziert durch Multiplikation mit dem Cosinus der Deviationswinkel von diesen Richtungen.

Aus diesen Zahlen berechnete ich alsdann sowohl die Abweichung nach Westen von der Südrichtung, welche die mittlere Windrichtung macht, sowie auch die Windwegssumme dieser mittleren Windrichtung, also die absolute Grösse der Resultante,

Windrosen.

lute.

S	SSW	SW	WSW	W	WNW	NW	NNW	Var.	C.	Med.
- 15.65°	- 15.59°	- 16.04°	- 15.36°	- 19.40°	- 5.90°	- 14.70°	- 7.25°	- 18.59°	- 13.43°	- 13.33°
- 17.27	- 18.24	- 20.28	- 21.68	-	- 17.70	-	- 19.35	- 0.20	- 10.15	- 16.96
- 15.39	- 20.04	- 22.68	- 21.95	- 14.65	-	- 8.40	-	- 6.12	- 16.26	- 18.14
- 26.77	- 24.02	- 25.52	- 23.00	-	-	-	-	-	- 21.06	- 24.35
- 22.89	- 24.03	- 24.51	- 27.67	-	- 24.20	- 33.10	-	- 8.54	- 24.39	- 22.55
- 12.70	- 15.70	- 16.30	- 20.50	- 20.30	- 23.18	- 25.24	- 3.66	- 9.65	- 15.96	- 14.25
- 11.85	- 14.10	- 16.63	- 16.76	- 20.50	-	- 6.40	-	- 13.55	- 6.31	- 12.69
- 7.09	- 9.18	- 9.47	- 8.83	- 4.25	- 3.55	- 10.60	- 6.05	- 7.75	- 5.88	- 8.10
- 2.00	- 2.16	- 2.18	- 1.34	- 1.64	- 1.02	± 0.00	-	- 1.65	- 3.96	- 2.01
-	-	-	-	-	-	-	-	-	-	-
- 1.49	- 1.14	- 0.85	- 1.17	- 0.52	+ 1.60	+ 1.13	- 0.50	+ 0.07	- 1.11	- 0.87
- 3.11	- 4.35	- 3.63	- 3.44	- 5.60	-	- 2.19	-	- 3.20	- 5.61	- 3.55
- 9.00	- 10.40	- 13.41	- 15.46	- 16.20	- 16.30	-	-	- 4.37	- 6.48	- 11.42
- 11.34	- 17.11	- 18.58	- 18.00	- 6.75	- 12.97	- 9.07	- 0.08	- 9.27	- 11.12	- 14.24
- 16.50	- 23.66	- 22.97	- 21.64	- 15.85	- 25.70	- 24.00	- 12.80	- 15.47	- 18.77	- 19.39
- 21.21	- 22.63	- 21.98	- 15.90	- 19.73	- 21.35	-	- 19.5	- 17.02	- 22.48	- 21.32
- 15.44	- 20.91	- 22.81	- 23.20	- 28.80	-	-	- 0.36	- 15.85	- 19.76	- 17.27
- 14.00	- 19.97	- 21.08	- 20.55	- 28.10	- 9.35	- 5.45	+ 0.63	- 4.61	- 17.23	- 15.84
- 15.06	- 18.32	- 21.05	- 22.68	- 12.10	- 12.60	-	- 21.60	- 9.79	- 15.35	- 17.04
- 6.22	- 11.03	- 9.73	- 17.64	- 7.53	+ 1.68	- 3.98	+ 1.45	+ 1.38	- 7.83	- 6.36
- 2.20	+ 0.04	- 2.63	- 6.10	-	-	- 3.00	-	- 2.08	- 3.49	- 1.30

und schliesslich auch die Grösse der Resultante, ausgedrückt in Prozenten der gesamten Wegssumme der Jahreszeit.

Hier erst erhält man den besten Ausdruck für die Windveränderung in den verschiedenen Jahreszeiten. Die mittlere Windrichtung fürs Jahr ist ziemlich genau SW, und im grossen ganzen gilt sie für alle Jahreszeiten. Man merkt jedoch, dass sie im Winter südlich von Südwesten ist, im Frühjahr und Sommer aber westlicher als SW. Der Unterschied zwischen der Frequenz der SSW-Winde und der der WSW-Winde in den verschiedenen Jahreszeiten, auf den oben hingewiesen wurde, erhält also hier eine mehr direkte mathematische Bestätigung. Die Zunahme des NE-Komponenten vom Herbst zum Sommer macht sich in der Grösse der Resultante geltend. Von 65000 km im Herbst fällt sie im Winter und Frühling so, dass sie im Sommer auf den Wert 18000 km gesunken ist, eine Abnahme, die in den Prozentzahlen als ein Sinken von 82 % auf 42 %, die Hälfte ersteren Wertes, hervortritt.

Tab. 106. Thermische

Abweichungen vom

	N	NNE	NE	ENE	E	ESE	SE	SSE
1902								
April	+ 1.97 ^o	+ 5.29 ^o	+ 7.31 ^o	- 1.52 ^o	+ 0.73 ^o	- 2.32 ^o	- 1.06 ^o	+ 2.17 ^o
Mai	- 0.14	+ 12.69	+ 2.36	+ 9.26	+ 5.70	+ 10.66	+ 11.34	+ 11.59
Juni	+ 13.29	+ 13.75	+ 8.21	+ 6.08	+ 3.96	+ 3.92	+ 9.37	-
Juli	-	- 0.45	- 3.08	- 0.65	- 0.65	+ 8.22	+ 2.07	-
August	+ 2.98	+ 14.60	+ 3.87	+ 3.47	+ 1.72	-	+ 10.69	- 0.55
September	+ 8.88	+ 13.06	+ 6.72	+ 4.12	+ 2.51	+ 5.58	+ 5.25	- 0.47
Oktober	+ 10.67	+ 3.87	+ 7.47	+ 5.47	- 1.51	- 2.56	+ 6.89	+ 2.59
November	+ 3.10	+ 4.33	+ 3.41	+ 2.23	+ 2.30	+ 1.95	+ 6.90	+ 4.79
Dezember	+ 1.68	+ 0.94	+ 0.69	- 0.13	- 0.44	- 0.65	+ 0.24	+ 1.39
1903								
Januar	+ 0.17	+ 0.63	+ 0.20	+ 0.01	+ 0.11	- 0.93	+ 0.22	- 0.99
Februar	+ 2.62	+ 1.79	+ 1.46	+ 1.82	+ 1.55	+ 3.15	-	+ 0.09
März	-	+ 8.75	+ 8.96	+ 6.81	+ 3.25	+ 8.79	+ 10.62	-
April	+ 11.78	+ 6.63	+ 7.04	+ 4.93	+ 0.90	- 0.61	- 2.44	+ 7.37
Mai	- 0.71	+ 6.71	+ 8.86	+ 3.42	- 0.33	- 2.94	+ 3.11	+ 18.49
Juni	+ 3.32	+ 3.04	+ 6.73	+ 2.19	+ 5.12	+ 0.12	+ 5.47	-
Juli	+ 17.81	+ 14.29	+ 8.80	+ 4.21	- 2.79	- 0.26	+ 3.02	+ 0.65
August	+ 16.89	+ 10.51	+ 8.98	+ 3.13	+ 4.51	+ 4.55	+ 11.21	+ 8.39
September	-	+ 6.19	+ 4.24	+ 1.37	+ 1.31	- 3.14	+ 4.04	+ 8.84
Oktober	+ 8.02	+ 5.58	+ 1.58	+ 2.81	+ 4.51	+ 4.21	+ 2.99	+ 5.21

Zum Vergleich habe ich auch die entsprechenden »Gauss«-Werte angeführt. Die absoluten Werte der Resultante sind fürs Jahr und die drei Jahreszeiten, Herbst, Winter und Frühling niedriger als bei Snow-Hill, im Sommer aber viel höher als dort. Was die Relativzahlen der Resultante angeht, so sind sie bei der »Gauss« durchgängig und in der wärmeren Jahreszeit viel grösser als bei Snow-Hill. Dieser Umstand beweist deutlich, dass die E-Winde der deutschen Expedition das ganze Jahr — auch in dynamischer Hinsicht — in viel höherem Grade über alle anderen Winde dominierten, als dies mit den SW-Winden bei Snow-Hill der Fall war.

Thermische Windrosen.

In den vorhergehenden Abteilungen habe ich gezeigt, wie die verschiedenen Windrichtungen hinsichtlich ihrer grösseren oder kleineren Geschwindigkeit charakterisiert werden. Ich hielt es für angebracht, ihren Charakter auch mit Rücksicht auf das Temperaturverhältnis zu ergründen. Von dem zugänglichen Tabellenmate-

Windrosen.

Monatsmittel.

S	SSW	SW	WSW	W	WNW	NW	NNW	Var.	C.	Med.
- 2.32°	- 2.27°	- 2.71°	- 2.03°	- 6.07°	+ 7.43°	- 1.37°	+ 6.08°	- 5.26°	- 0.10°	- 13.33°
- 0.31	- 1.28	- 3.32	- 4.72	—	- 0.74	—	- 2.39	+ 16.76	+ 6.81	- 16.96
+ 2.75	- 1.90	- 4.54	- 3.81	+ 3.49	—	+ 9.71	—	+ 12.02	+ 1.88	- 18.14
- 2.42	+ 0.33	- 1.17	+ 1.35	—	—	—	—	—	+ 3.27	- 24.35
- 0.34	- 1.48	- 1.96	- 5.12	—	- 1.65	- 10.55	—	+ 14.01	- 1.84	- 22.55
+ 1.55	- 1.45	- 2.05	- 6.25	- 6.05	- 8.93	- 10.99	+ 10.59	+ 4.60	- 1.71	- 14.25
+ 0.84	- 1.41	- 3.94	- 4.07	- 7.81	—	+ 6.29	—	- 0.86	+ 6.38	- 12.69
+ 1.01	- 1.08	- 1.37	- 0.73	+ 3.85	+ 4.55	- 2.50	+ 2.05	+ 0.35	+ 2.22	- 8.10
+ 0.01	- 0.15	- 0.17	+ 0.67	+ 0.31	+ 0.99	+ 2.01	—	+ 0.36	- 1.95	- 2.01
- 0.62	- 0.27	+ 0.02	- 0.30	+ 0.35	+ 2.47	+ 2.00	+ 0.37	+ 0.94	- 0.24	- 0.87
+ 0.44	- 0.80	- 0.08	+ 0.11	- 2.05	—	+ 1.36	—	+ 0.35	- 2.06	- 3.55
+ 2.42	+ 1.02	- 1.99	- 2.04	- 4.78	- 4.88	—	—	+ 7.05	+ 4.94	- 11.42
+ 2.90	- 2.87	- 4.34	- 3.76	+ 7.49	+ 1.27	+ 5.17	+ 14.16	+ 4.97	+ 3.12	- 14.24
+ 2.89	- 4.27	- 3.58	- 2.25	+ 3.54	- 6.31	- 4.61	+ 6.59	+ 3.92	+ 0.62	- 19.39
+ 0.11	- 1.31	- 0.66	+ 5.41	+ 1.59	- 0.03	—	+ 1.82	+ 4.30	- 1.16	- 21.32
+ 1.83	- 3.64	- 5.54	- 5.93	- 11.53	—	—	+ 16.91	+ 1.42	- 2.49	- 17.27
+ 1.84	- 4.13	- 5.24	- 4.71	- 12.26	+ 6.49	+ 10.39	+ 16.47	+ 11.23	- 1.39	- 15.84
+ 1.98	- 1.28	- 4.01	- 5.64	+ 4.94	+ 4.44	—	- 4.56	+ 7.25	+ 1.69	- 17.04
+ 0.14	- 4.67	- 3.37	- 11.28	- 1.17	+ 8.04	+ 2.38	+ 7.81	+ 7.74	- 1.47	- 6.36

rial ausgehend habe ich daher für jeden Monat die mittlere Temperatur der verschiedenen Windrichtungen berechnet und sie in Tab. 105 angegeben.

Von diesen wirklichen Temperaturen lässt sich nicht viel sagen. Nur in wenigen Fällen stieg die mittlere Temperatur über den Gefrierpunkt und dann niemals (mit einer einzigen Ausnahme) bei Winden, die zum SW-Quadranten gehörten. Sonst fielen diese hohen mittleren Temperaturen auf Winde zwischen WNW—N—SE.

In noch höherem Masse als hinsichtlich der Windgeschwindigkeiten gilt es hier infolge der grossen Veränderungen, die die mittlere Temperatur von Jahreszeit zu Jahreszeit durchmacht, dass man, um einen Vergleich zwischen den verschiedenen Monaten zu erlangen, die mittlere Temperatur des betreffenden Monats berücksichtigen muss. Die Art und Weise ist hier dieselbe wie bei den dynamischen Windrosen, dass man nämlich anstatt der wahren Temperatur der Windrichtung ihre Abweichung von der Monatstemperatur angibt. Diese Differenzen der Durchschnittszahlen habe ich mit »+» und »-» Vorzeichen in der Tab. 106 angeführt. Graphisch habe ich die Windrosen in Taf. 18 und 19 in ebensolchen rechtwinkligen Koordinaten ange-

Tab. 107. Thermische

Abso-

	N	NNE	NE	ENE	E	ESE	SE	SSE
Herbst	- 8.4°	- 6.9°	- 7.3°	- 40.2°	- 13.4°	- 13.8°	- 13.6°	- 7.6°
Winter	- 3.6	- 5.4	- 12.2	- 15.1	- 16.5	- 15.2	- 13.8	- 16.0
Frühling	- 2.7	- 2.6	- 6.7	- 10.6	- 11.2	- 10.0	- 7.5	- 4.6
Sommer	- 0.6	- 0.9	- 1.9	- 1.6	- 2.0	- 1.3	- 1.1	- 2.0
Jahr	- 3.1	- 2.4	- 5.9	- 9.1	- 10.8	- 10.6	- 10.2	- 5.2
Ausgeglic.	- 2.7	- 4.1	- 5.8	- 7.7	- 10.0	- 10.6	- 9.2	- 9.9
Abweichungen								
Herbst	+ 6.0	+ 7.5	+ 7.1	+ 4.2	+ 1.0	+ 0.6	+ 0.8	+ 6.8
Winter	+ 16.3	+ 14.5	+ 7.7	+ 4.8	+ 3.4	+ 4.7	+ 6.1	+ 3.9
Frühling	+ 8.4	+ 8.5	+ 4.4	+ 0.5	- 0.1	+ 1.1	+ 3.6	+ 6.5
Sommer	+ 1.5	+ 1.2	+ 0.2	+ 0.5	+ 0.1	+ 0.8	+ 1.0	+ 0.1
Jahr	+ 8.8	+ 9.5	+ 6.0	+ 2.8	+ 1.1	+ 1.3	+ 1.7	+ 6.7
Ausgeglic.	+ 9.2	+ 7.8	+ 6.1	+ 4.2	+ 1.9	+ 1.3	+ 2.7	+ 2.0

geben wie da, wo es sich um die dynamischen Windrosen handelte. Hier findet man eine geringere Gesetzmässigkeit zwischen Temperatur und Windrichtung, als wo es sich um die zwischen der Geschwindigkeit und der Richtung handelte. Der einzige Charakterzug, der durch alle Monate hindurchgeht, ist der, dass die Winde des SW-Quadranten im allgemeinen sich unter dem Durchschnitt halten und die Winde des NE-Quadranten wärmer sind als das monatliche Temperaturmittel. Was die Zwischenrichtungen, den SE- und den NW-Quadranten betrifft, so wechseln dasebst »+« und »-« mit einander ab, obwohl die positiven Abweichungen wohl die gewöhnlichsten sind.

Rechnet man nur mit den zahlreicher vertretenen Richtungen, so fällt die grösste negative Abweichung auf die WSW-Winde im Oktober 1903, die 11,3° kälter waren als das Monatsmittel, und die grösste positive Differenz auf die N-Winde im Juli 1903, die 17,8° wärmer waren als das Mittel.

Die einzelnen Monate sind ziemlich verschieden von einander, und ein klareres Bild von dem Zusammenhang, um den es sich hier handelt, erhält man wohl, wenn man die Zufälligkeiten wegeliniert, indem man die Windrosen für die Jahreszeiten nimmt.

Ich habe dabei natürlich dieselbe Berechnungsmethode angewandt, die oben (Seite 132) hinsichtlich der dynamischen Windrosen angegeben ist.

Die mittleren Werte per Jahreszeit ebenso wie die Abweichungen von der jahreszeitlichen mittleren Temperatur sind in Tab. 107 angeführt.

Windrosen.

lute.

S	SSW	SW	WSW	W	WNW	NW	NNW	Var.	C.
- 14.1°	- 17.0°	- 16.6°	- 16.0°	- 15.6°	- 15.6°	- 12.5°	- 9.8°	- 8.9°	- 11.8°
- 20.8	- 21.8	- 21.0	- 22.5	- 25.3	- 14.8	- 13.0	- 16.2	- 10.7	- 20.7
- 9.6	- 13.0	- 13.6	- 13.6	- 11.1	- 9.4	- 12.8	- 5.4	- 6.2	- 10.5
- 2.1	- 2.4	- 2.3	- 2.3	- 1.8	+ 0.3	- 1.1	- 0.5	- 1.3	- 3.6
- 11.1	- 13.4	- 15.9	- 11.6	- 10.7	- 7.7	- 7.1	- 4.5	- 5.7	- 13.4
- 12.7	- 14.0	- 14.4	- 13.1	- 11.6	- 8.5	- 6.3	- 3.9	-	-
vom Mittel.									
+ 0.3	- 2.6	- 2.2	- 1.6	- 1.2	- 1.2	+ 1.9	+ 4.6	+ 5.5	+ 2.6
- 0.9	- 1.9	- 1.1	- 2.6	- 5.4	+ 5.1	+ 6.9	+ 3.7	+ 9.2	- 0.8
+ 1.5	- 1.9	- 2.5	- 2.5	± 0.0	+ 1.7	- 1.7	+ 5.7	+ 4.9	+ 0.6
± 0.0	- 0.3	- 0.2	- 0.2	+ 0.3	+ 2.4	+ 1.0	+ 1.6	+ 0.8	- 1.5
+ 0.8	- 1.5	- 4.0	+ 0.3	+ 1.2	+ 4.2	+ 4.8	+ 7.4	+ 6.2	- 1.5
- 0.8	- 2.1	- 2.5	- 1.2	+ 0.3	+ 3.4	+ 5.6	+ 8.0	-	-

Zufällige Abweichungen von den allgemeinen Regeln werden alsdann zuerst in grossen Zügen und darauf etwas genauer eliminiert, wenn man die Werte nach der Seite 134 angegebenen Methode ausgleicht. Ein Blick auf die graphische Darstellung (Taf. 19) des auf diese Weise gefundenen Resultates lehrt, dass die Temperatur von einer Jahreszeit zur andern ziemlich gleichförmig variiert, wenn der Wind den Kompass durchläuft. Es gilt jedoch für die verschiedenen Jahreszeiten, dass die Amplitude oder der Unterschied zwischen der wärmsten und kältesten Windrichtung in der Weise variiert, dass sie im Sommer am geringsten und im Winter am grössten ist. Abgesehen von »C» und »Var.» beträgt dieser Unterschied im Sommer 2,7°, steigt aber im Winter auf 21,7° und ist fürs Jahr = 13,5°.

Die südwestlichen Winde sind durchgehends die kältesten. Denken wir uns eine Drehung des Windes von Osten über Süden nach Westen, dann steigt die Temperatur, wenn man NW-Winde bekommt, und erreicht im allgemeinen ihr Maximum bei nördlichen Winden. Springt der Wind alsdann auf NE über, dann fällt die Temperatur, hält sich aber im allgemeinen über der Durchschnittstemperatur. Bei der SE-Richtung nimmt man einen recht eigentümlichen Umstand wahr, dass man nämlich daselbst hinsichtlich der Temperatur ein sekundäres Maximum findet. Es ist ja möglich, dass diese Winde mehr nördliche sein könnten, durch orographische Umstände aber aus ihrer Richtung gelenkt und südöstliche geworden sind. Denn es dürfte wohl kaum ein Anlass zu der Annahme vorliegen, dass die Gegenden, aus

denen wirkliche SE-Winde kommen, also das Weddellmeer, wärmer seien als die Orte, von denen Snow-Hills E-Winde kommen, welche Orte also in nordöstlicher Richtung von Snow-Hill, d. h. nördlich vom Weddellmeere liegen. Im Durchschnitt fürs Jahr fällt das Minimum $-15,9^\circ$ auf die SW-Richtung und das Maximum $-2,4^\circ$ auf den NNE-Wind, ein Unterschied also von 13,5 Celsiusgraden.

Von zwei anderen nahegelegenen Expeditionen, der »Belgica« und der »Scotia« (den Südorkney-Inseln) liegen ebenfalls thermische Windrosen vor, deren Resultate ich zum Vergleich mit einigen Zahlen anführen will.

Für die Südorkney-Inseln gilt, dass die kältesten Winde von Süden kommen, mit einer Temperatur als Durchschnitt für die Zeit April—Oktober 1903 = $-14,9^\circ$, am wärmsten sind für dieselbe Zeit die NW-Winde mit $-2,8^\circ$, also eine Amplitude von $12,1^\circ$. Auch dort findet ein starkes Steigen der Temperatur statt, wenn man von den SW-Winden zu den W-Winden, mit den respektiven Temperaturen $-13,7^\circ$ und $-4,5^\circ$, übergeht, ein Steigen, das also noch hastiger ist als das bei einer ähnlichen Drehung des Windes auf Snow-Hill.

Auch bei der »Belgica«-Expedition fand man, dass die S-Winde und die SW-Winde am kältesten sind mit $-16,6^\circ$ bzw. $-16,5^\circ$, während die höchsten Temperaturen, $-4,0^\circ$, von NE und ENE kommen, also eine Amplitude von $12,6^\circ$.

Zwischen den drei Gegenden herrscht in den thermischen Windrosen eine Übereinstimmung mit einer so geringen Modifikation, dass man hierin einen Beweis dafür erblicken muss, dass sie sich alle drei im grossen ganzen innerhalb desselben Wind-systemgebietes befinden, und zwar innerhalb eines cyclonalen und nicht eines anti-cyclonalen.

Zum Schluss noch einige Zahlen zur Erläuterung der Bedeutung, welche die verschiedenen Winde in kalorimetrischer Hinsicht haben. In Bd II L. I dieser Arbeit habe ich die Resultate einer Untersuchung dargelegt, die ich bei Snow-Hill gemacht habe, um die abkühlende Wirkung der verschiedenen Wettertypen zu ergründen.

Dabei kam ich zu dem Resultat, dass sich die Strengung eines Wetters im Verhältnis zu einem Körper von $+25^\circ$ nach der Formel $S_{iv} = (1 - t \cdot 0,04) (1 + v \cdot 0,272)$ ausdrücken lässt, wenn S_{iv} = Strengung des Wetters von einer Temperatur = $t^\circ\text{C}$ und einer Windgeschwindigkeit = v m/s und unter Voraussetzung, dass $S_{00} = 1$.

Indem ich diese Berechnung auf die mittlere Temperatur und die mittlere Geschwindigkeit der verschiedenen Windrichtungen anwandte, erhielt ich folgendes Resultat:

	N	NNE	NE	ENE	E	ESE	SE	SSE	S	SSW	SW	WSW	W	WNW	NW	NNW
S =	2,8	2,7	2,8	2,9	2,7	2,9	2,7	2,3	4,1	5,3	7,7	7,3	2,6	2,2	2,1	2,6

Während sich also hinsichtlich ihrer abkühlenden Wirkung die Winde W—N—E—SSE nur wenig von einander unterscheiden, indem sich ihre Strengung zwischen 2,1 und 2,9 bewegt, tritt die Kältewirkung der SW-Richtung um so schärfer hervor mit einem

Maximum 7,7 für die SW-Winde und demnächst mit 7,3 für die WSW-Winde, im Durchschnitt also eine dreimal so starke abkühlende Wirkung als bei den übrigen Winden.

Barische Windrosen.

Auch hinsichtlich der Variation des Barometerdrucks bei Veränderungen der Windrichtung habe ich das statistische Material bearbeitet. Hier sind jedoch ebenso wie z. B. da, wo es sich um die tägliche Variation des Luftdrucks handelte, die verschiedenen Monate so grossen Veränderungen und Unregelmässigkeiten unterworfen, dass ich es nicht für der Mühe wert hielt, für die verschiedenen Monate Daten anzuführen, sondern mich darauf beschränkte, die Monate zu Jahreszeiten zusammenzufassen.

Ebenso wie für die übrigen Elemente habe ich auch, wo es sich um den Barometerdruck handelt, sowohl den absoluten mittleren Luftdruck wie auch die Abweichung vom Durchschnitt der Jahreszeit angeben.

Tab. 108. Barische Windrosen.

Absolute.

	N	NNE	NE	ENE	E	ESE	SE	SSE	S	SSW	SW	WSW	W	WNW	NW	NNW	Var.	C.
	mm	mm	mm	mm	mm	mm	mm	mm	mm	mm	mm	mm	mm	mm	mm	mm	mm	mm
Herbst . .	734.8	738.5	740.2	741.9	741.2	741.6	740.0	743.2	741.6	736.2	735.9	735.5	744.8	740.2	736.0	735.7	73.88	739.7
Winter . .	34.8	34.7	39.2	40.6	40.2	40.5	34.5	33.5	42.1	39.3	39.1	37.6	48.5	35.1	38.3	31.3	33.5	40.6
Frühling .	32.7	38.4	41.7	42.5	41.3	45.6	40.1	45.7	43.7	40.6	39.8	36.8	42.2	44.2	40.8	42.8	41.5	42.1
Sommer . .	44.2	44.9	46.5	44.7	42.3	41.7	40.2	41.7	41.3	40.5	39.0	38.0	43.0	45.1	43.7	47.0	40.7	44.1
Jahr . . .	35.8	41.1	42.8	42.5	41.3	42.0	38.8	42.6	38.3	39.2	38.2	36.9	44.0	42.0	41.5	37.9	38.9	41.3
Abweichungen vom Mittel.																		
Herbst . .	- 4.3	- 0.6	+ 1.1	+ 2.8	+ 2.1	+ 2.5	+ 0.9	+ 4.1	+ 2.5	- 2.9	- 3.2	- 3.6	+ 5.7	+ 1.1	- 3.1	- 3.4	- 0.3	+ 0.6
Winter . .	- 4.9	- 5.0	- 0.5	+ 0.9	+ 0.5	+ 0.8	- 5.2	- 6.2	+ 2.4	- 0.4	- 0.6	- 2.1	+ 8.8	- 4.6	- 1.4	- 8.4	- 6.2	+ 0.9
Frühling .	- 7.5	- 1.8	+ 1.5	+ 2.3	+ 1.1	+ 5.4	- 0.1	+ 5.5	+ 3.5	+ 0.4	- 0.4	- 3.4	+ 2.0	+ 4.0	+ 0.6	+ 2.6	+ 1.3	+ 1.9
Sommer . .	+ 2.7	+ 3.4	+ 5.0	+ 3.2	+ 0.8	+ 0.2	- 1.3	+ 0.2	- 0.2	- 1.0	- 2.5	- 3.5	+ 1.5	+ 3.6	+ 2.2	+ 5.5	+ 0.8	+ 2.6
Jahr . . .	- 4.3	+ 1.0	+ 2.7	+ 2.4	+ 1.2	+ 1.9	- 2.3	+ 2.5	- 1.8	+ 0.9	- 1.9	- 3.2	+ 3.9	+ 1.9	+ 1.4	- 2.2	- 1.2	+ 1.2
Ausgeglichenen Abweichungen vom Mittel.																		
Herbst . .	- 2.7	+ 0.5	+ 1.1	+ 2.4	+ 2.2	+ 1.7	+ 1.5	+ 2.4	- 1.6	- 2.7	- 3.1	- 3.1	+ 2.1	- 1.5	- 3.8			
Winter . .	- 5.1	- 2.7	- 1.1	+ 0.3	+ 0.8	- 0.5	- 3.6	+ 1.1	+ 0.5	- 0.2	- 0.3	- 1.0	- 1.4	+ 1.0	- 4.4	- 6.4		
Frühling .	- 3.7	- 1.0	+ 0.8	+ 1.6	+ 1.8	+ 2.0	+ 2.9	+ 3.6	+ 1.6	+ 0.9	- 0.4	- 1.9	- 2.9	+ 2.6	+ 2.0	- 4.2		
Sommer . .	+ 3.3	+ 4.0	+ 4.4	+ 3.9	+ 1.8	+ 0.3	- 0.5	- 0.3	- 0.8	- 0.7	- 1.8	- 3.2	- 3.2	+ 0.7	+ 3.2	+ 3.0		
Jahr . . .	- 0.5	+ 1.6	+ 2.4	+ 2.4	+ 1.7	+ 0.6	+ 0.1	- 0.5	- 0.4	- 1.1	- 1.7	- 3.2	- 2.5	+ 2.5	- 1.2	- 3.0		

Im allgemeinen zeigen sich zwei Minima und zwei Maxima, erstere für WSW und für N, letztere für W—NW und für NE—ENE.

Ein Minimum ist auch für SE-Winde zu verzeichnen; ich halte es jedoch nicht für unglaublich, dass die Erklärung hierfür ebenso wie bei den Temperaturwindrosen darin liegt, dass die SE-Winde zum Teil durch orographische Umstände entstellte N-Winde sein können.

Die Durchschnittsminima für WSW und N deuten darauf hin, dass diese es sind, die im allgemeinen den Gang der Barometerminima charakterisieren, so dass es also bei sinkendem Barometer das Gewöhnlichere ist, dass der Wind mit ENE beginnt, auf NE übergeht, um mit N-Wind zu endigen, welcher letzterer dann plötzlich in WSW umschlägt. Bei steigendem Luftdruck dreht sich der Wind von WSW nach südlicheren Richtungen.

Dies also betreffs der Winddrehung bei einer Minimumpassage, wenn man nur die beiden Hauptquadranten berücksichtigt.

Die selbstregistrierten Kurven Taf. 27—62.

Durch das im Vorhergehenden gegebene statistische Material, speziell das von der Grösse der schnellen Veränderungen innerhalb der verschiedenen meteorologischen Elemente sowie durch die letzten Kapitel vom Zusammenhang zwischen den Richtungen, der Geschwindigkeit und der Temperatur des Windes, suchte ich eine Gesamtbild vom Wetter bei Snow-Hill, wie es sich in der Zeit März 1902—Oktober 1903 gestaltete, zu ermöglichen.

Trotz der Lage der Station auf der Äquatorseite des südlichen Polarkreises dürfte der Charakter des Wetters es ausser Zweifel stellen, dass man es hier mit einem rein antarktischen Typus mit seinen ausgeprägten Kennzeichen, einem ausserordentlich kalten Sommer und dem Herrschen von Winden von praktisch genommen nur zwei einander entgegengesetzten Hauptrichtungen, zu tun hat.

Als besondere Merkmale lassen sich für Snow-Hill notieren:

- 1) besonders grosse und plötzliche Veränderungen der Windgeschwindigkeit und der Temperatur, die grösser sind als auf irgend einer andern antarktischen Station;
- 2) plötzliches Auftreten hoher Temperaturen im tiefsten Winter, welche die Maximalwerte des Sommers um ein Bedeutendes übertrafen;
- 3) in den kälteren Jahreszeiten ununterbrochene Passagen von Luftdruckminima mit relativ warmen und schwachen Winden vom NE-Quadranten bei sinkendem Barometer und mit einem gewöhnlich sehr schnellen Umschlag in sturmartige, Kälte mit sich bringende, südwestliche Winde bei steigendem Barometer.

Zur näheren Erläuterung der Wetterdetails habe ich für nicht weniger als 36 Wochen die drei registrierten Kurven des Barographen, Thermographen und Hygro-

meters reproduziert. Die Wahl der Wochen wurde in der Absicht vorgenommen, eine möglichst gute Zusammenstellung zu erhalten, welche die verschiedenen Wettertypen in den einzelnen Jahreszeiten repräsentierte. Bei dieser Auswahl hätte ich mich ja vielleicht versucht fühlen können, nur Kurven von reinem und schmuckem Aussehen ohne jede Fehler und Mängel aufzunehmen. Ich bin jedoch der Ansicht, dass der Leser ein besseres Gesamtbild vom Verlauf innerhalb der verschiedenen meteorologischen Elemente erhält, wenn ich jede einzelne Woche mit ihren vier vollständigen Kurven veröffentliche, selbst wenn die eine oder andere von ihnen ein weniger schmuckes Aussehen aufweist. Diese bisweilen verwischten Linien mit unklaren Konturen zeugen übrigens am deutlichsten von den Schwierigkeiten, mit denen der Meteorologe in den stürmischen antarktischen Gegenden zu kämpfen hat.

Die Grössen der Originalkurven waren: die des Barographen $29,3 \times 8,0$ cm, die des Thermographen $40,0 \times 15,0$ cm und die des Hygrometers $39,7 \times 15,5$ cm. Da sie nun für eine gemeinsame Breite reproduziert wurden, haben sie daher verschiedene Skalen erhalten, nämlich die des Barographen $1 : 2,25$, die des Thermographen $1 : 3,08$ und die des Hygrometers $1 : 3,05$.

Bei der Reproduktion kam es zuweilen vor, dass sich die Kurve entweder vertikal oder seitwärts, jedoch höchstens um ein Bruchteil eines Millimeters, verschoben hat. Die Verschiebung seitwärts hat im allgemeinen nichts zu bedeuten, da man ja die Kontrollzeichen für die Stunden 7 a, 8 a, 2 p und 9 p hat, und ein eventueller Fehler in vertikaler Richtung spielt im grossen ganzen eine geringe Rolle, da einerseits die genauen Werte in den Tabellen des Bd I, L. 2 stehen und andererseits diese Reproduktionen mehr den Zweck haben, ein Gesamtbild vom Zusammenhang zwischen den Variationen der verschiedenen Elemente zu geben und nicht, um als Ausgangsmaterial zur Erlangung der genauen Stundenwerte zu dienen.

An den Reproduktionen, welche alle Details der Originalkurven vorzüglich wiedergeben, ist jedoch eins auszusetzen. In einigen Bildern ist die Linie punktiert. Im Original ist dies nicht der Fall; man wollte hierdurch nur andeuten, dass an diesen Stellen die Tinte, durch Schnee verdünnt, heller war als im allgemeinen. Die Kurve ist also keineswegs daselbst interpoliert, sondern ihr Gang ist, so wie er angegeben wird, vollständig genau und rechtweisend.

Ausser diesen drei oben erwähnten Kurven habe ich auch der Vollständigkeit halber ein Bild der Windverhältnisse mitgeteilt, indem ich den Verlauf der Windgeschwindigkeit graphisch veranschaulichte.

Was die Windkurve angeht, so will ich bemerken, dass ich mich bei ihr auf Daten für alle zwei Stunden beschränken zu können glaubte, mit Ausnahme von solchen Fällen, wo mir mehr Details wünschenswert erschienen. Die Windkurve ist also keineswegs so detailliert wie die vorhergehenden Kurven und kann ihnen nicht ganz gleichgestellt werden. Die schnellen Veränderungen und die kleinen Nuancen in

den Windverhältnissen gehen aus diesen Kurven nicht hervor. Hinsichtlich solcher Details verweise ich auf Bd II, L. 2, Tab. IV und speziell auf »Ergänzungen zu den Windbeobachtungen« das. Seite 36—43.

Die verschiedenen Windrichtungen können teilweise auch von dieser Kurve abgelesen werden, da ich zwischen den Richtungen des SW-Quadranten und den Nicht-SW-Winden unterschieden habe. Zu ersteren zähle ich also die SSW—WSW sowie im allgemeinen die S-Winde für den Fall, dass sie infolge ihres Charakters als starke und kalte Winde zu diesem Quadranten zu gehören scheinen. Zu Nicht-SW-Winden zähle ich alle anderen Richtungen sowie »Var.« und »C«. Die SW-Winde markiere ich mit einer ganz ausgezogenen Kurve, Nicht—SW-Winde mit einer gestrichelten Kurve; mit diesen beiden Markierungsarten erhält man schnell einen ersten Überblick über die Hauptrichtung des Windes.

Was die Grösse der Kurven betrifft, so wäre es natürlich von Vorteil gewesen, wenn man die Skala hätte etwas grösser machen können; das Format dieser Arbeit liess dies aber nicht zu. Die Originalkurven sind jedoch an Bibliotheken in Schweden aufbewahrt und stehen deshalb für ein eingehenderes Detailstudium zur Verfügung. Besonders will ich dies hinsichtlich der Hygrometerkurven bemerken; ich habe dieselben, obwohl ich sie selbst nicht behandelt habe, hier aufgenommen, um dem, der daran Interesse hat, anzudeuten, dass sie vorhanden sind und welchen Typus sie im allgemeinen haben.

Was die Reproduktionen insgesamt angeht, so findet man hier und da besonders breite und oft verwischte Linien, hauptsächlich in den kalten und stürmischen Jahreszeiten. Der Grund hierfür liegt nicht in einer mangelhaften Behandlung der Apparate, sondern steht in Zusammenhang mit Windstössen; im allgemeinen verursachen nämlich Windgeschwindigkeiten von > 12 m/s eine solche Erschütterung der Apparate, dass obiges Resultat eintritt.

Im letzten Teil des Winters 1902 sind, wie man sieht, die Barographenkurven augenscheinlich am Tage viel verwischter als nachts. Diese Periodizität im Aussehen der Kurve erklärt sich aus dem Platz des Barographen in der Hütte. Dem allgemeinen Wunsch, den Gang der Barometerkurve für jeden zu jeder Zeit immer zur Hand zu haben, kam ich entgegen und stellte den Barographen auf ein Regal im Wohnzimmer. Hier wurde die Kurve vom Öffnen und Schliessen der Tür beeinflusst und erhielt so obenerwähntes Aussehen.

Eigentlich ist kaum irgend ein Text zu diesen Kurven nötig, es dürfte aber doch wohl am Platze sein, auf das eine oder andere hinzuweisen, das man von ihnen ablesen kann.

Zur Erläuterung der Regel von den Luftdrucksveränderungen im Winter und Sommer, auf die ich Seite 24 hingezeigt habe, dienen für den Winter die Taf. 31,

34, 53, 56, 58 mit sehr schnellen und grossen Barometerwellen, für den Sommer die Taf. 41, 42, 43, 44. Es liegen aber auch Winterkurven mit wenig ausgeprägten Wellen vor, z. B. Taf. 32.

Tage mit grossen Amplituden (Seite 13) findet man in Taf. 29, 31, 34, 56, und in Taf. 57 hat man eine der grössten und mächtigsten Luftdruckswellen der ganzen Zeit.

Betreffs der Thermographenkurven habe ich folgendes notiert. Gute Beispiele für plötzliche hohe Wintertemperaturen findet man in Taf. 31, 34, 53, 55, 58, 59. Hinsichtlich der niedrigeren Temperaturen enthalten die Taf. 61 und 62 zwei Tage, wo das Minimum nicht unter den Gefrierpunkt herunterging, und in Taf. 33 ist das absolute Temperaturminimum und auch das niedrigste Tagesmedium zu verzeichnen.

Ausgeprägter normaler täglicher Verlauf der Thermographenlinie ist nur im Sommer zu suchen, tritt aber dann mit markanter Deutlichkeit und Regelmässigkeit zu Tage, Taf. 41, 42, 43, 45.

Als charakteristisch für die Snow-Hill-Witterung habe ich die grossen Veränderungen hervorgehoben.

Hinsichtlich der Temperatur findet man grosse Tagesamplituden in beinahe allen Winterkurven, grosse interdiurne Veränderungen in Taf. 29, 34, 55, 56, 58 und diese charakteristischen momentanen und grossen Temperaturveränderungen in z. B. Taf. 27, 36, 37, 50, 51, 54, 55, 56, 57, vergl. Seite 60.

Im Gegensatz zu diesen schnellen Temperaturveränderungen will ich jedoch noch auf Taf. 30 mit einem Beispiel für eine der niedrigsten Tagesamplituden hinweisen.

Von den Hygrometerkurven habe ich nur ihre grossen und schnellen Veränderungen anzuführen, die öfters mit den Temperaturveränderungen zusammenhängen und auf ihnen beruhen, sowie auch dass die niedrigsten relativen Feuchtigkeitsgrade, weniger als 30%, in Taf. 36, 37, 49, 57, 62 angegeben sind.

Was dann die vierte Kurve jeder Woche angeht, die, welche die Windverhältnisse angibt, so findet man das absolute Maximum für die Stunde in Taf. 32, im übrigen werden grössere Windgeschwindigkeiten von $\cong 30$ m/s in den Taf. 28, 29, 33, 34 angeführt.

Taf. 41 und 44 zeigen die grössten Geschwindigkeiten im Sommer an, und Taf. 61 gibt Beispiele von den grössten Windgeschwindigkeiten der NE-Winde. Stürme, erwähnt Seite 97, findet man Taf. 28, 30, 32, 33, 35, 47, 57 und 60, alsdann in Taf. 32 den längsten, der 164 Stunden dauerte, und in Taf. 33 den intensivsten mit einer Durchschnittsgeschwindigkeit von 28,9 m/s 53 Stunden hindurch.

Grosse Tagesamplituden findet man in Taf. 29, 33, 34; plötzliche Veränderungen sowohl der Windrichtung wie der Windgeschwindigkeit in Taf. 29, 37, 49, 56.

Dies möge genügen hinsichtlich der besondern Arten von Kurven.

Es erübrigt sich noch, etwas von dem zu erwähnen, was von Interesse sein kann, wenn man die verschiedenen Kurven ein und derselben Woche mit einander kombiniert.

In Bd. II, L. 1 dieser Arbeit habe ich auf Seite 16 eine Tabelle der grimmigsten Tage bei Snow-Hill angegeben, in so weit die Grimmigkeit auf Windgeschwindigkeit und Temperatur beruhte. Es kann von einem gewissen Interesse sein zu sehen, wie diese Tage sich graphisch ausnehmen. Zwölf dieser unserer grimmigsten Tage sind in Taf. 28, 32, 33, 34, 39, 55, 60 vertreten.

Der gewöhnliche Zusammenhang von Temperatur und Windrichtung, SW kalt, NE warm, kann für beinahe jede Woche abgelesen werden.

In Bd. II, L. 2 Seite 36 u. f. findet man jedoch einige Ergänzungen hinsichtlich der Windverhältnisse, unter welchen u. a. die eigentümlichen warmen Windstöße im Winter, die gewöhnlich aus südlicher Richtung kamen, notiert sind. Für sie kann ich keine andere plausible Erklärung finden, als dass man sie für Fallwinde mit darauf folgendem Steigen der Temperatur betrachten muss. Wer sich dafür interessiert, findet eine Reihe solcher Beispiele in den Taf. 29, 37, 49, 53, 54, man muss jedoch, falls die Situation bis ins mindeste Detail klar werden soll, die Bilder mit obenerwähnten »Ergänzungen« vervollständigen.

Schliesslich will ich noch darauf hinweisen, wie man in beinahe allen Tafeln für die kältere Jahreszeit den normalen Zusammenhang zwischen den gewöhnlichen Elementen ablesen kann:

Steigender Barometer — SW-Winde — fallende Temperatur, und umgekehrt
Fallender » — NE- » — steigende Temperatur.

Ausnahmen mit SW-Winden bei fallendem Barometer finden sich in Taf. 28, 30, 46.

Mit diesen kurzen Hinweisen auf die Tafelnummern wollte ich es dem, der sich dafür interessiert, erleichtern, die charakteristischsten Vertreter in den einzelnen Gebieten aufzufinden, da es ja bei der grossen Anzahl nicht immer so leicht ist, das Gesuchte zu finden. Gleichzeitig will ich aber darauf hinweisen, dass dieses kurze Verzeichnis des Inhalts dieser Tafeln keineswegs einen Anspruch darauf macht, vollständig und erschöpfend zu sein.

Inhaltsverzeichnis.

Schlittenfahrt 30. Sept. 1902—4. Nov. 1902.

Beobachtungen	1
Luftdruck	6
Lufttemperatur	7
Winde	8

Zusammenfassung der allgemeinen meteorologischen Resultate.

<i>Luftdruck</i>	10
Jährlicher Gang	10
Tagesamplituden	13
Interdiurne Veränderlichkeit	14
Luftdruckwellen	17
Täglicher Gang	27
<i>Lufttemperatur</i>	33
Jährlicher Gang	33
Eintritt der Temperaturextreme	40
Täglicher Gang	43
Temperaturwellen	49
Interdiurne Veränderlichkeit	50
Tagesamplituden	55
Veränderungen $\cong 5^\circ$ binnen 60 Minuten	59
<i>Feuchtigkeitsgehalt des Bodens</i>	62
<i>Erdttemperatur</i>	66
<i>Temperatur des Meereises</i>	66
<i>Temperatur des Gletschereises</i>	73
<i>Bewölkung</i>	79
<i>Winde</i>	85
Windgeschwindigkeit	85
Jährliche Variation	85
Stürme	96
Tägliche Variation	101
Interdiurne Veränderlichkeit	108
Tagesamplituden	115

Windrichtung	118
Frequenzwindrosen	118
Dynamische Windrosen	128
Thermische Windrosen	146
Barische Windrosen	151
<i>Die selbstregistrierten Kurven Taf. 27—62</i>	<i>152</i>

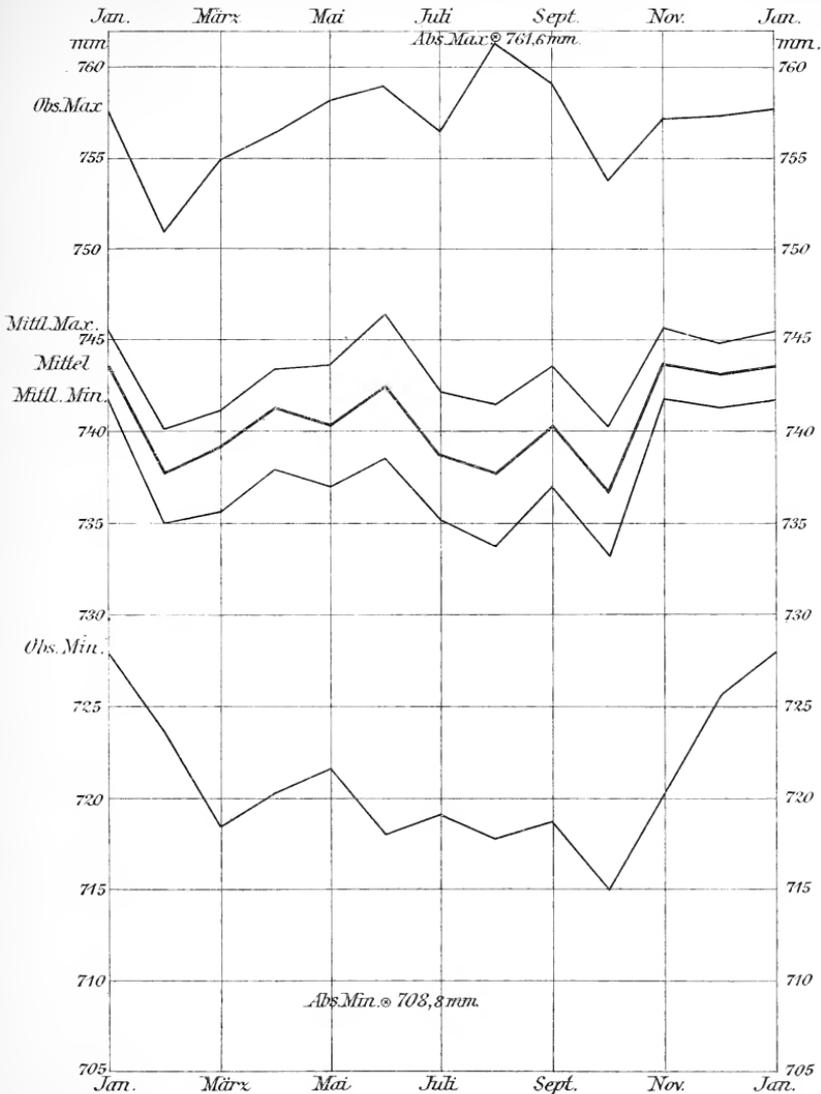
Verzeichnis der Tafeln.

	Nr.
Jährlicher Gang des Luftdrucks	1
Täglicher Gang des Luftdrucks	2
Jährlicher Gang der Lufttemperatur	3
Täglicher Gang der Lufttemperatur I	4
Täglicher Gang der Lufttemperatur II	5
Temperaturisoplethen	6
Interdiurne Veränderlichkeit der Lufttemperatur. Anzahl grösserer Temperaturschwankungen	7
Die unperiod. Schwankung der Lufttemperatur. Wassergehalt des Bodens	8
Bodentemperatur	9
Bodentemperatur. Temperatur des Meereises	10
Vergleich zwischen Luft-, Boden- und Meereis-Temperaturen. Täglicher Gang der Bewölkung	11
Boden- und Gletscher-Temperaturen	12
Windgeschwindigkeit: Jährlicher Gang; Interdiurne Schwankungen	13
Täglicher Gang der Windgeschwindigkeit	14
Prozentische Häufigkeit der verschiedenen Windrichtungen	15
Dynamische Windrosen I	16
Dynamische Windrosen II	17
Thermische Windrosen I	18
Thermische Windrosen II	19
Barische Windrosen	20
Windhäufigkeit in Prozenten	21—25
Windwege	26
Wöchentliche Barograph-, Thermograph- und Hygrometer-Registrierungen. Graphische Darstellungen der Windbeobachtungen	27—62

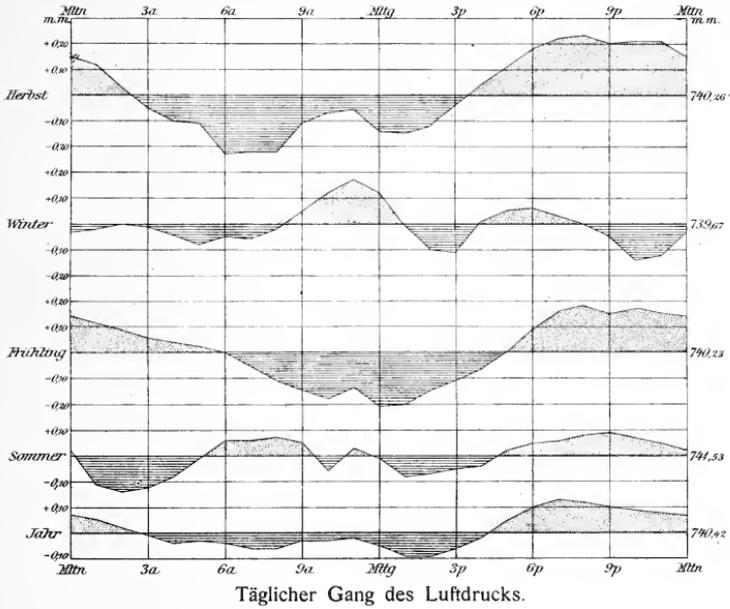
Druckfehler.

Seite	6,	Zeile	3 v. o.	lies	<i>südwestlicher</i>	statt	südwestlichen
»	10,	»	9 v. o.	»	diesen	»	dieser
»	15,	»	5 v. o.	»	einem	»	einen
»	17,	»	4 v. u.	»	weiter unten	»	wei-unten
»	19,	»	4 v. u.	»	allgemeinen	»	allgemeinen
»	21,	»	8 v. o.	»	erscheint	»	erschient
»	26,	»	12 v. u.	»	Eine	»	Ein
»	31,	»	3 v. o.	»	Stundenmedien	»	Stundemedien
»	31,	»	13 v. o.	»	worden	»	wurden
»	43,	»	20 v. o.	»	Maximum-und	»	Maximum unh
»	43,	»	21 v. o.	»	geringer	»	geringen
»	44,	Ueberschrift Tab. 35	lies	Täglicher...	»	Jährlicher...	
»	46,	Zeile	10 v. o.	lies	Ungleichheiten	»	Ungleichkeiten
»	48,	»	1 v. o.	»	Frühlings	»	Frühtings
»	48,	»	18 v. o.	»	Eine	»	Ein
»	52,	»	2 des Textes	»	folgt	»	olgt
»	52,	»	3 v. u.	»	im	»	in
»	57,	»	8 v. u.	»	fürs	»	führs
»	63,	»	3 v. u.	»	das	»	des
»	71,	»	17 v. u.	»	Eises	»	Eise
»	82,	»	5 v. u.	»	diesen	»	diese

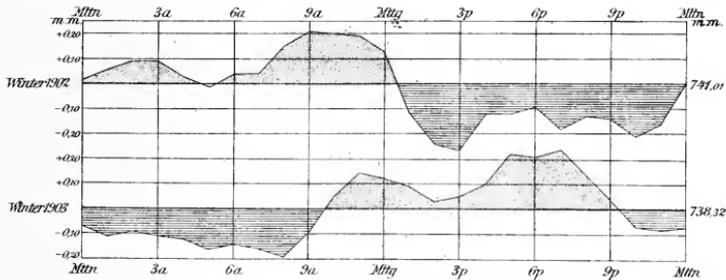
Seiten 73—79. NORDENSKJÖLD hat in Verbindung mit seiner Bearbeitung von dem glaciologischen Material der Expedition nach seinen Aufzeichnungen dem Verfasser mitgeteilt, dass wahrscheinlich an die in der Tabelle Seite 74 mitgeteilten Gletschertemperaturen für eine Tiefe von 5 dm und für die Zeit Juni 1902—Jan. 1903 eine Korrektur von $+ 2^{\circ},3$ anzubringen sei. Wegen näherer Einzelheiten wird an die bald erscheinende Abhandlung NORDENSKJÖLD'S (diese Arbeit Bd I Lief. 1) hingewiesen. Die S. 77—78 mitgeteilten Schlussfolgerungen werden durch eine solche Korrektur nicht verändert.



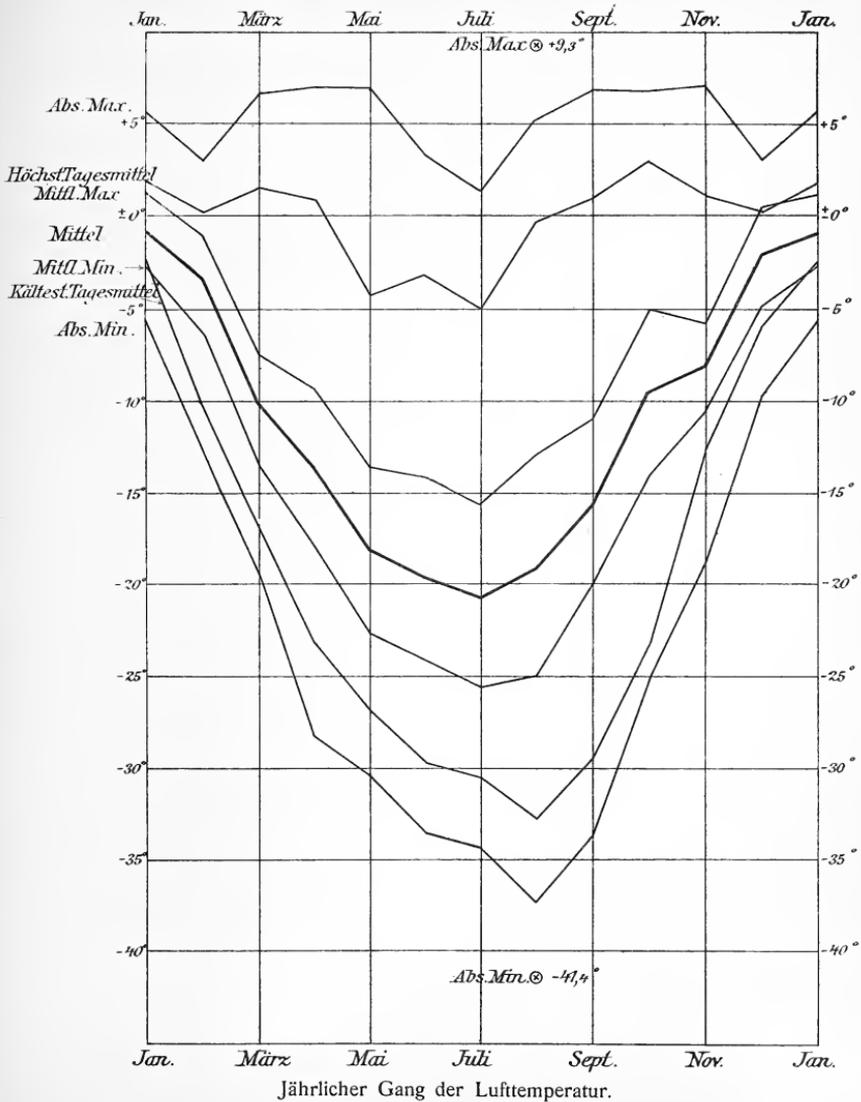
Jährlicher Gang des Luftdrucks.

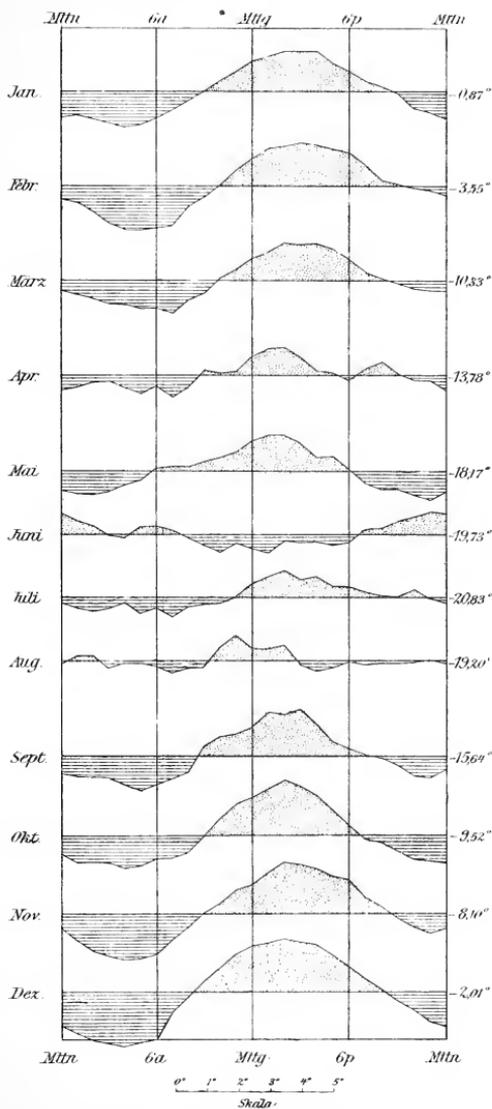


Täglicher Gang des Luftdrucks.

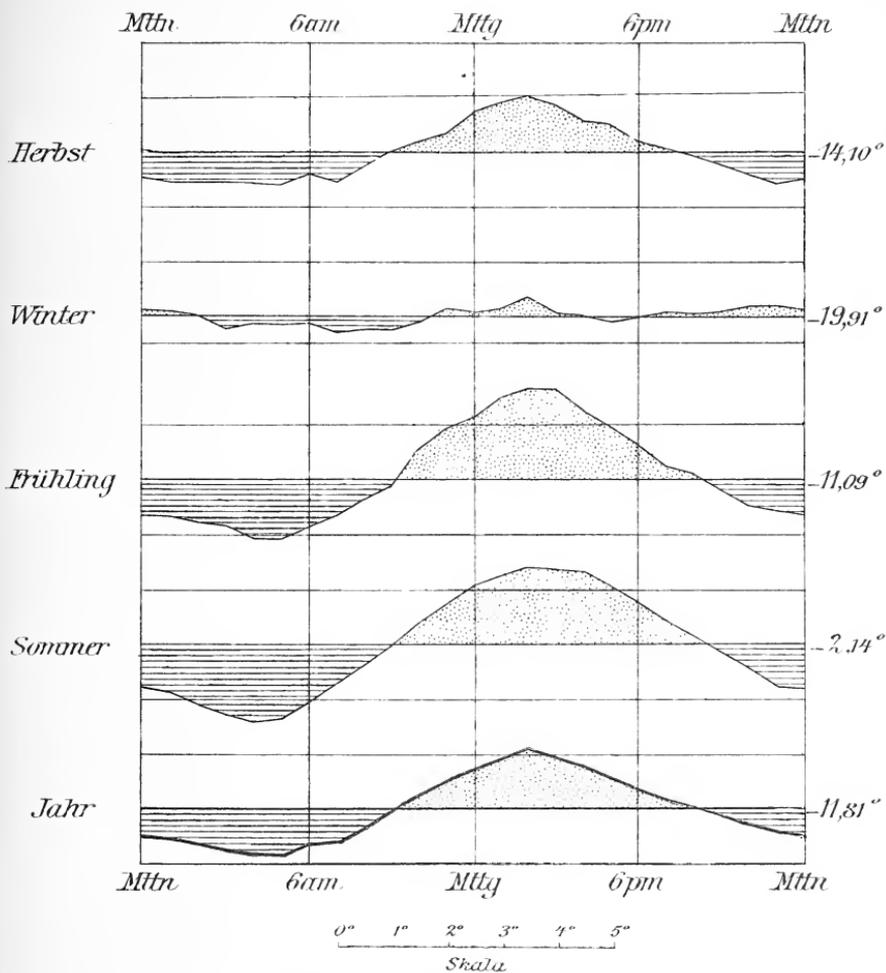


Täglicher Gang des Luftdrucks im Winter 1902 und im Winter 1903

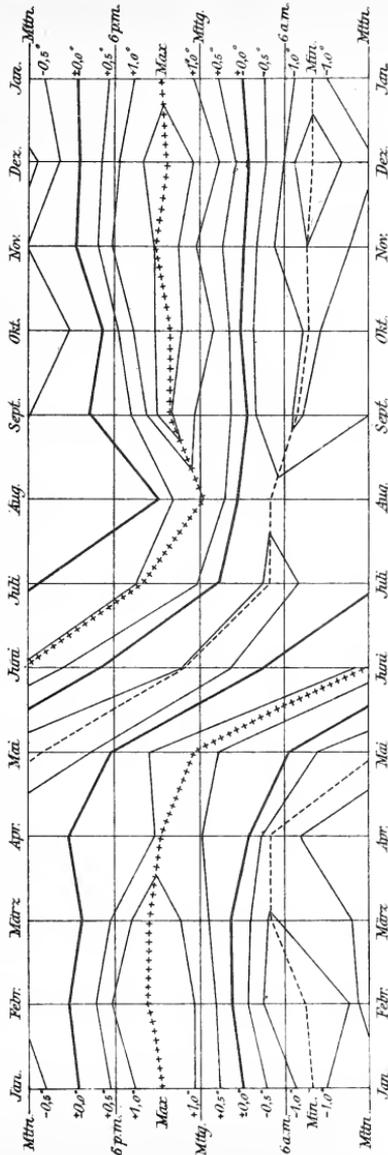




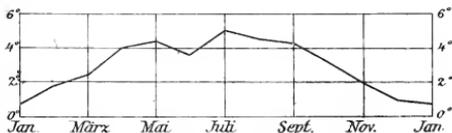
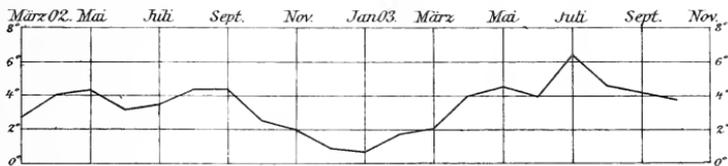
Täglicher Gang der Lufttemperatur I.



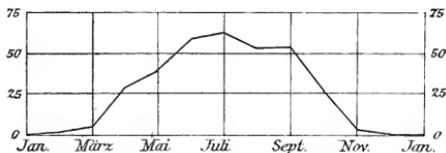
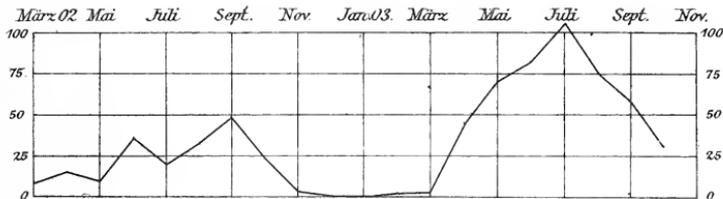
Täglicher Gang der Lufttemperatur II.



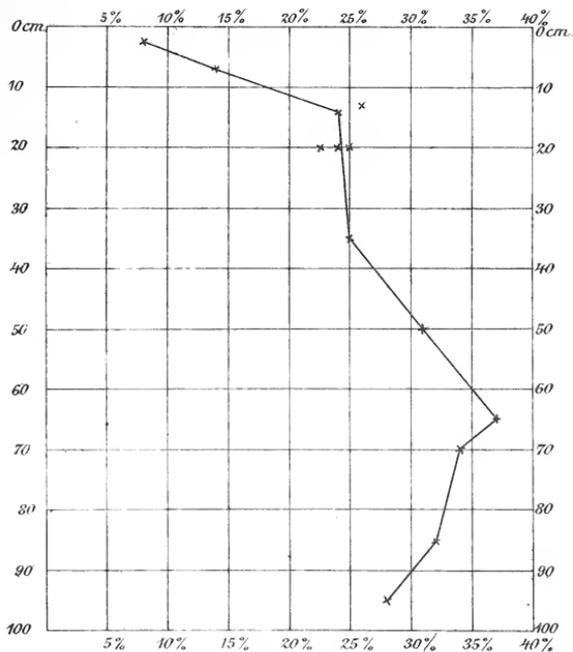
Isoplethen, die Abweichungen der Temperatur vom Tagesmittel angehend.



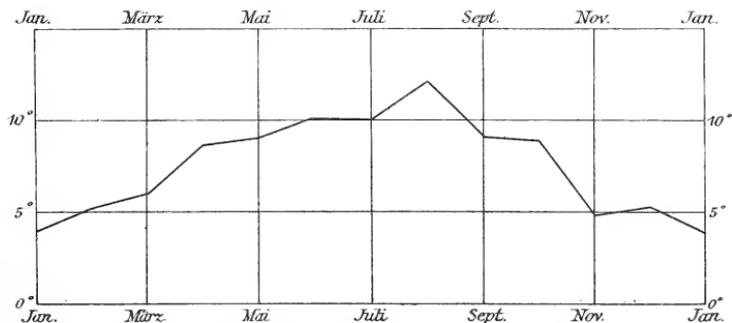
Jährlicher Gang der interdiurnen Veränderlichkeit der Lufttemperatur.



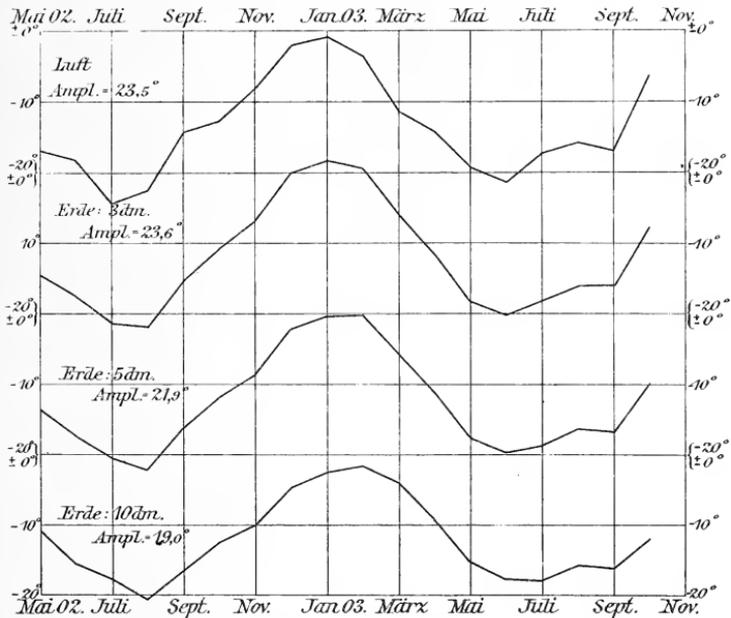
Anzahl Temperaturschwankungen, die in 60 Minuten $\geq 5^\circ$ waren.



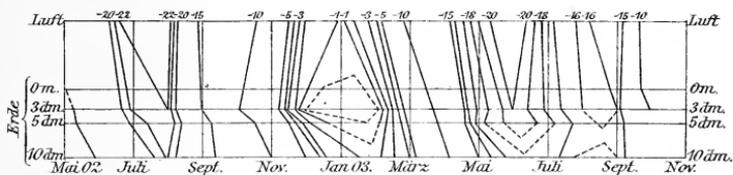
Wasserhalt des Snow-Hill-Bodens in verschiedenen Tiefen, ausgedrückt i Gewicht %.



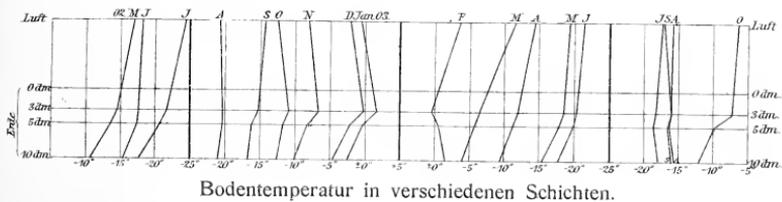
Die unperiodischen Schwankungen der Lufttemperatur. (Differenz zwischen Durchschnittsmax. und Durchschnittsmin.).



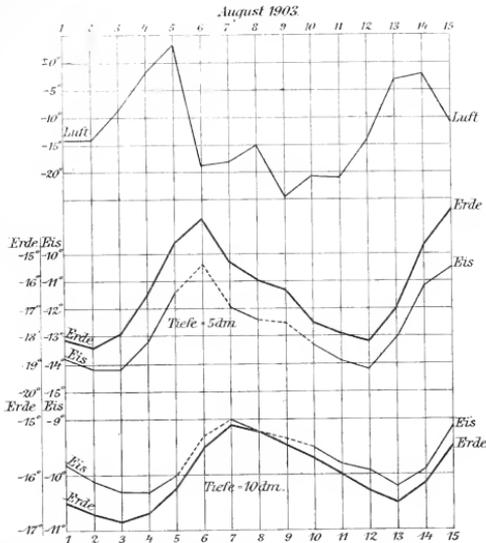
Jährlicher Gang der Temperatur in Luft und in Boden.



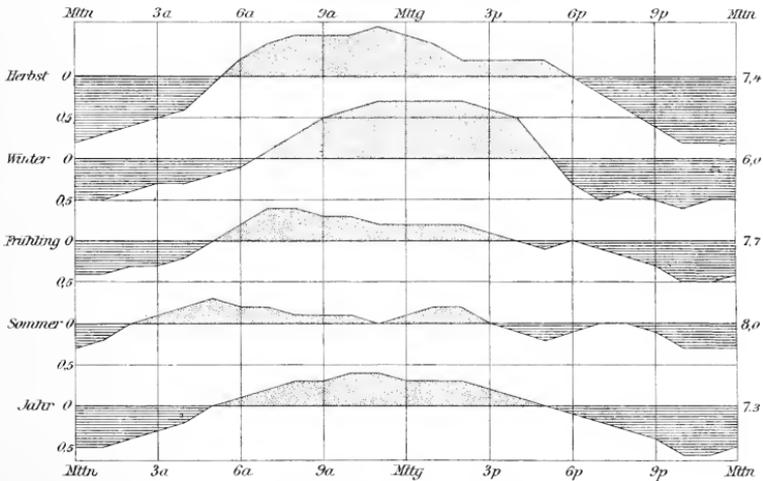
Isolethen die Bodentemperatur anzeigend.



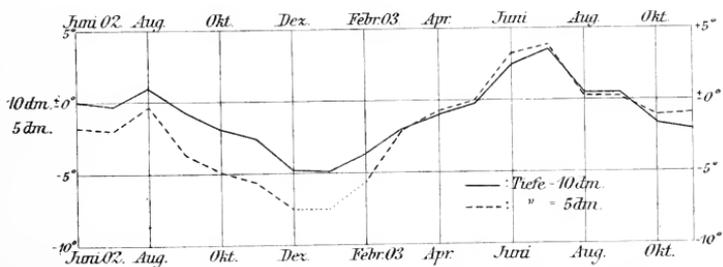
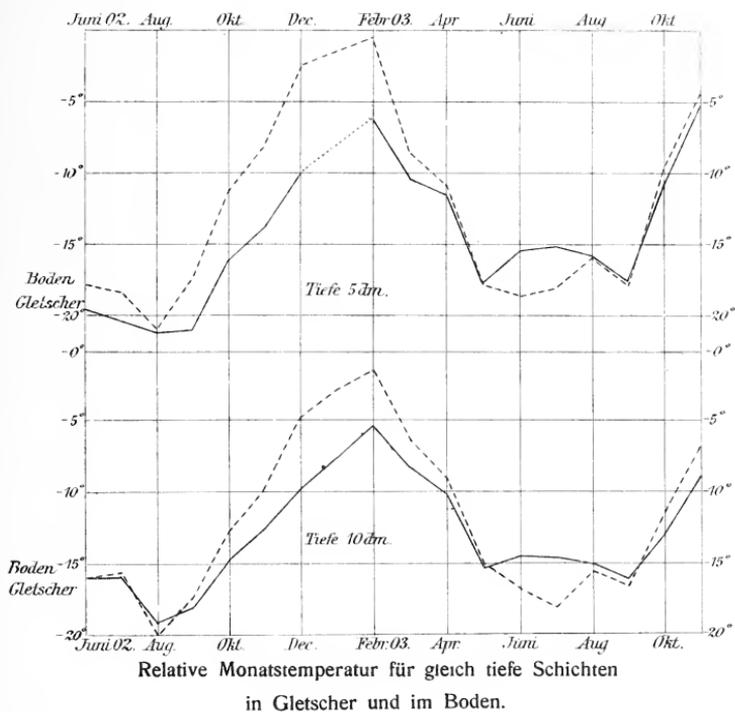


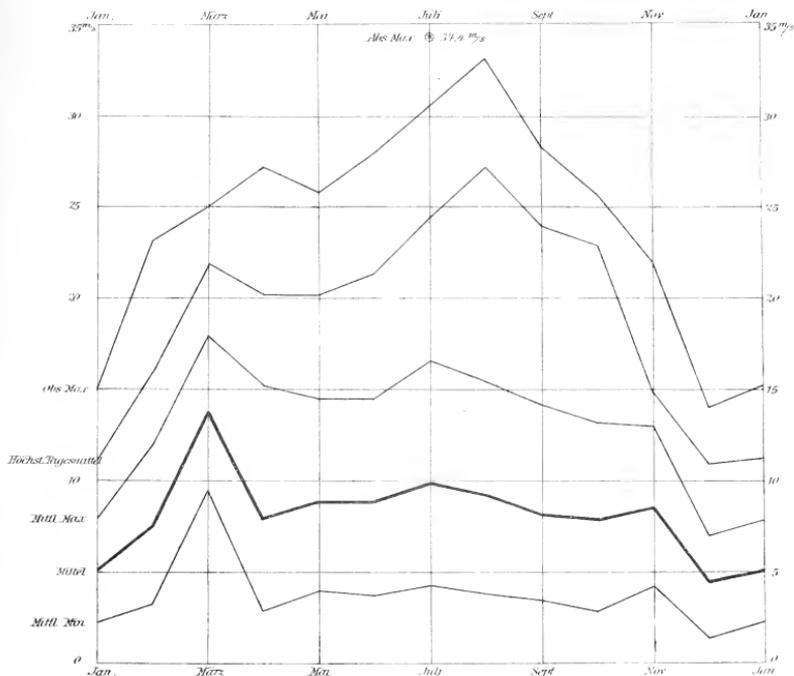


Vergleich zwischen dem Verlauf der Temperatur in der Luft,
im Boden und im Meeris.

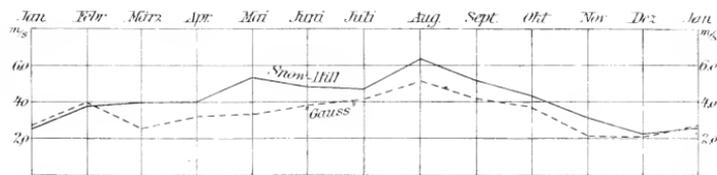


Täglicher Gang der Bewölkung.

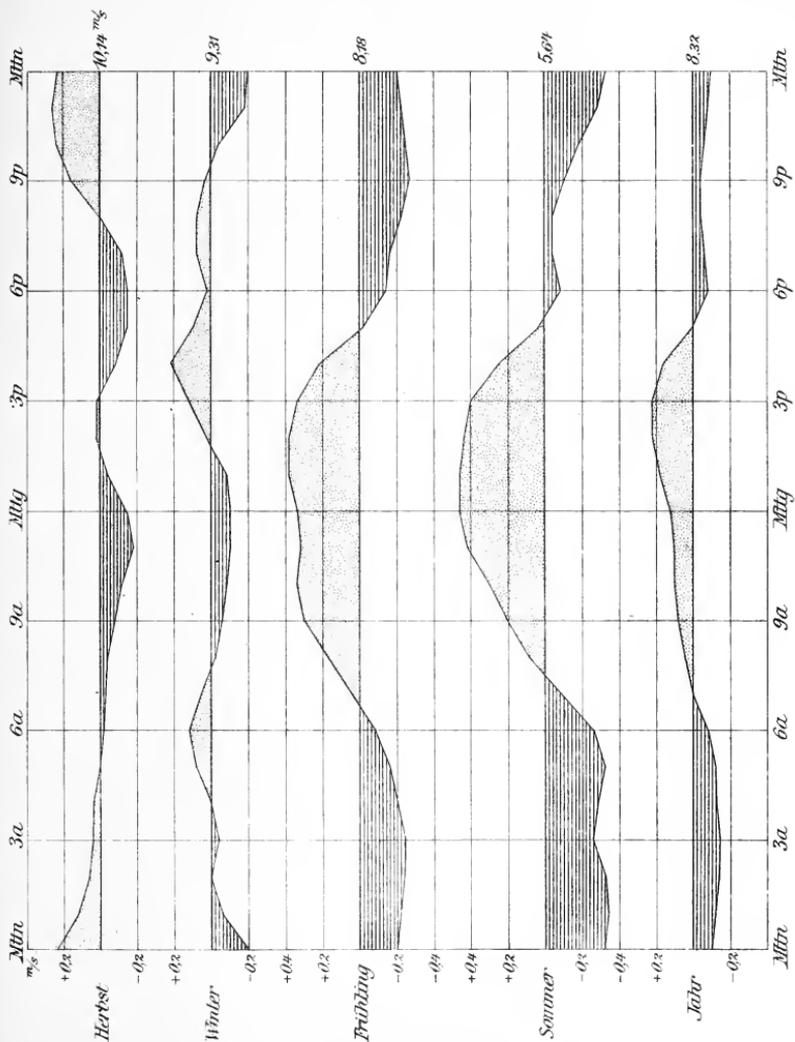




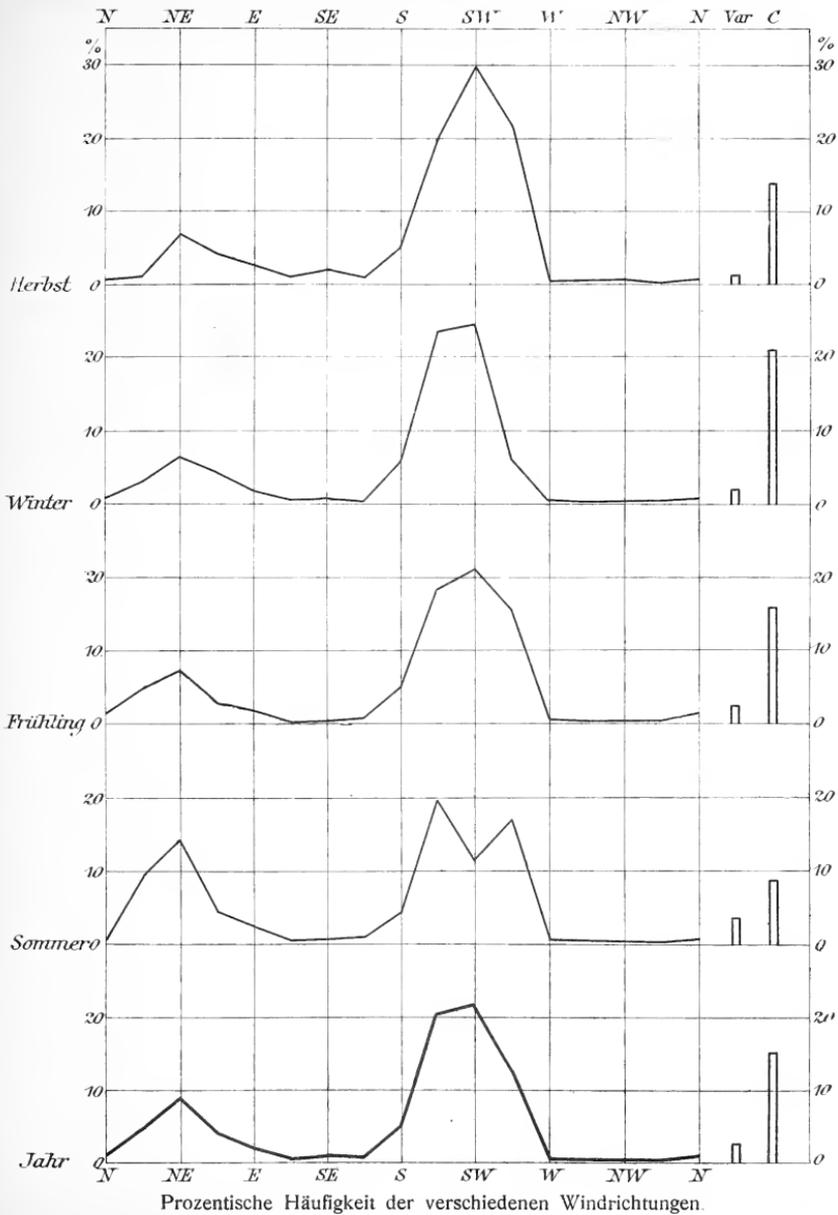
Jährlicher Gang der Windgeschwindigkeit.



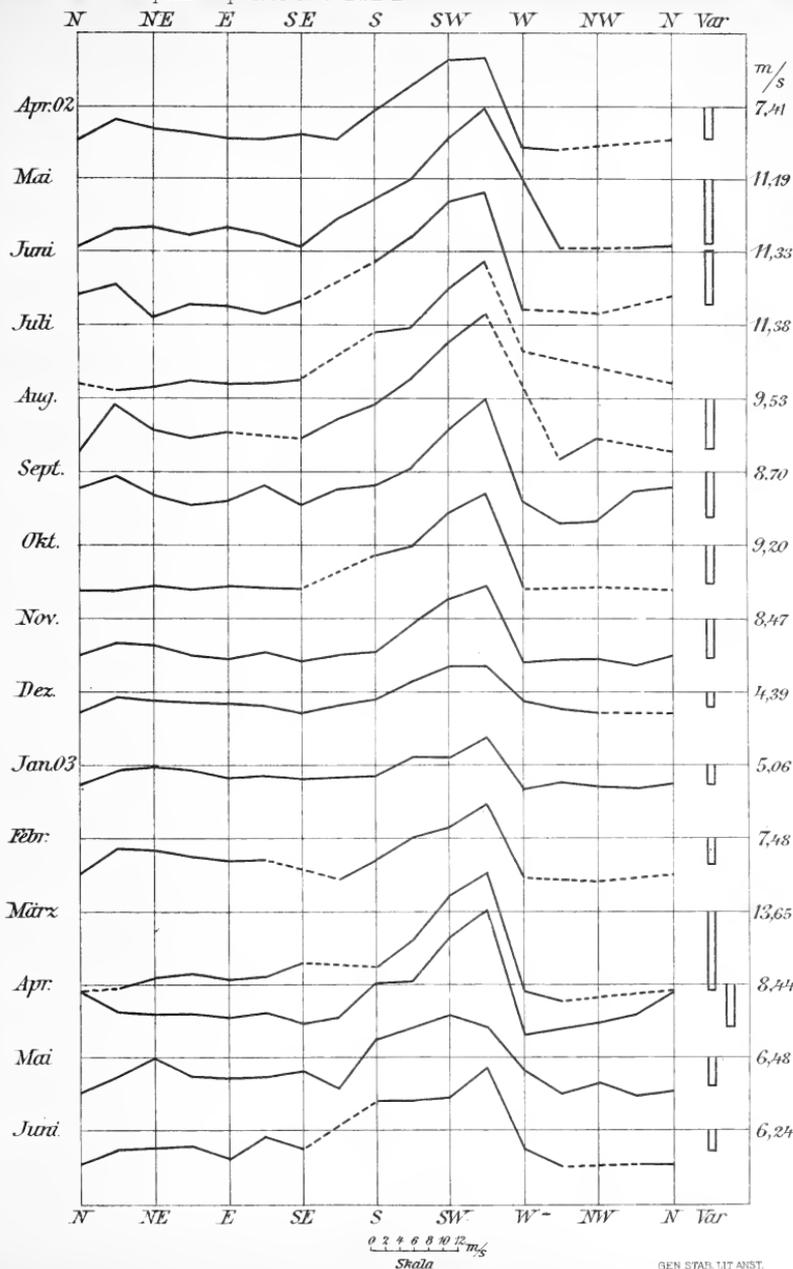
Die interdiurnen Schwankungen der Windgeschwindigkeit bei der schwedischen und der deutschen Südpolarexpeditionen 02-03.



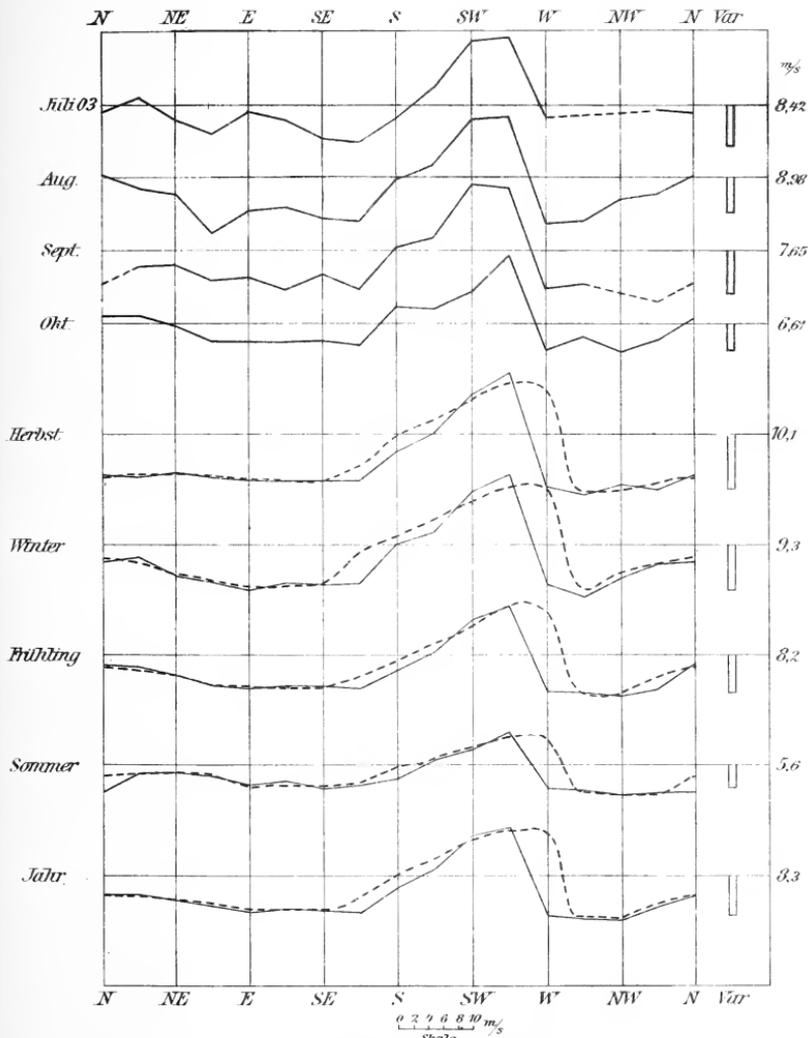
Täglicher Gang der Windgeschwindigkeit.



Prozentische Häufigkeit der verschiedenen Windrichtungen.

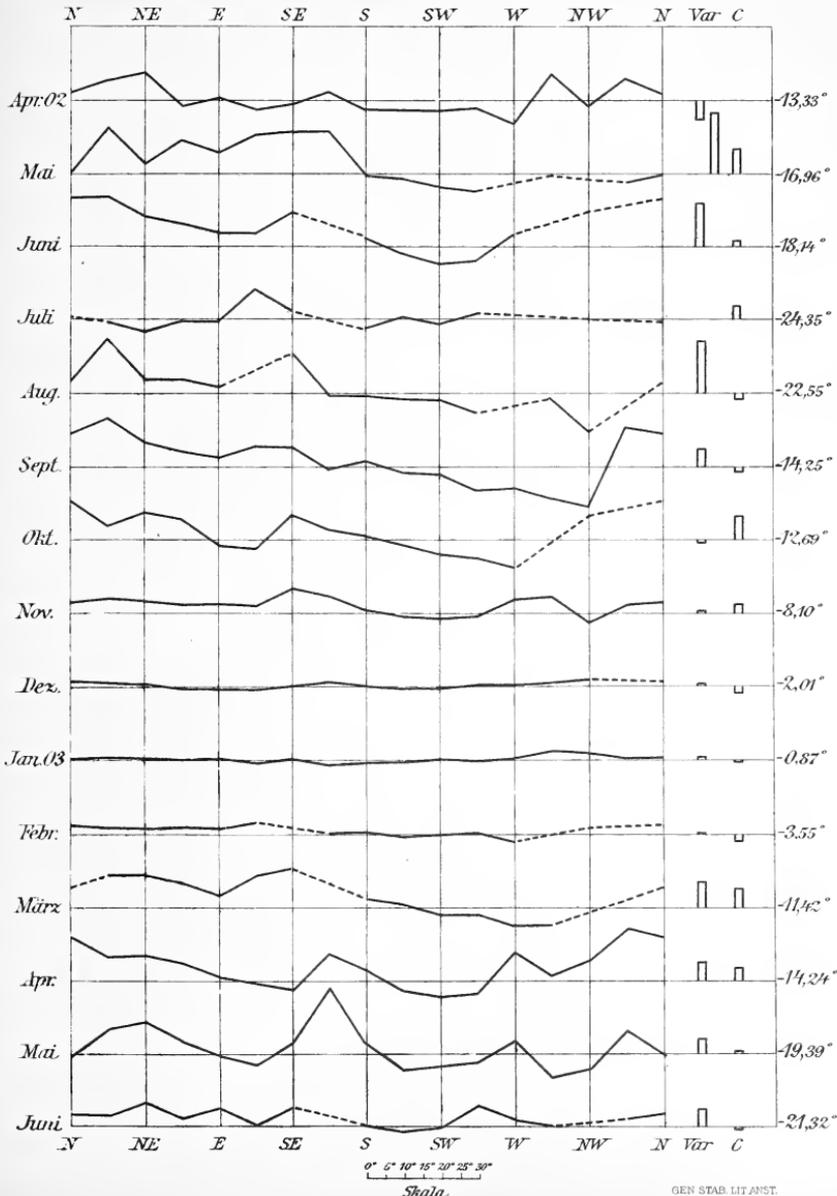


Dynamische Windrosen I.



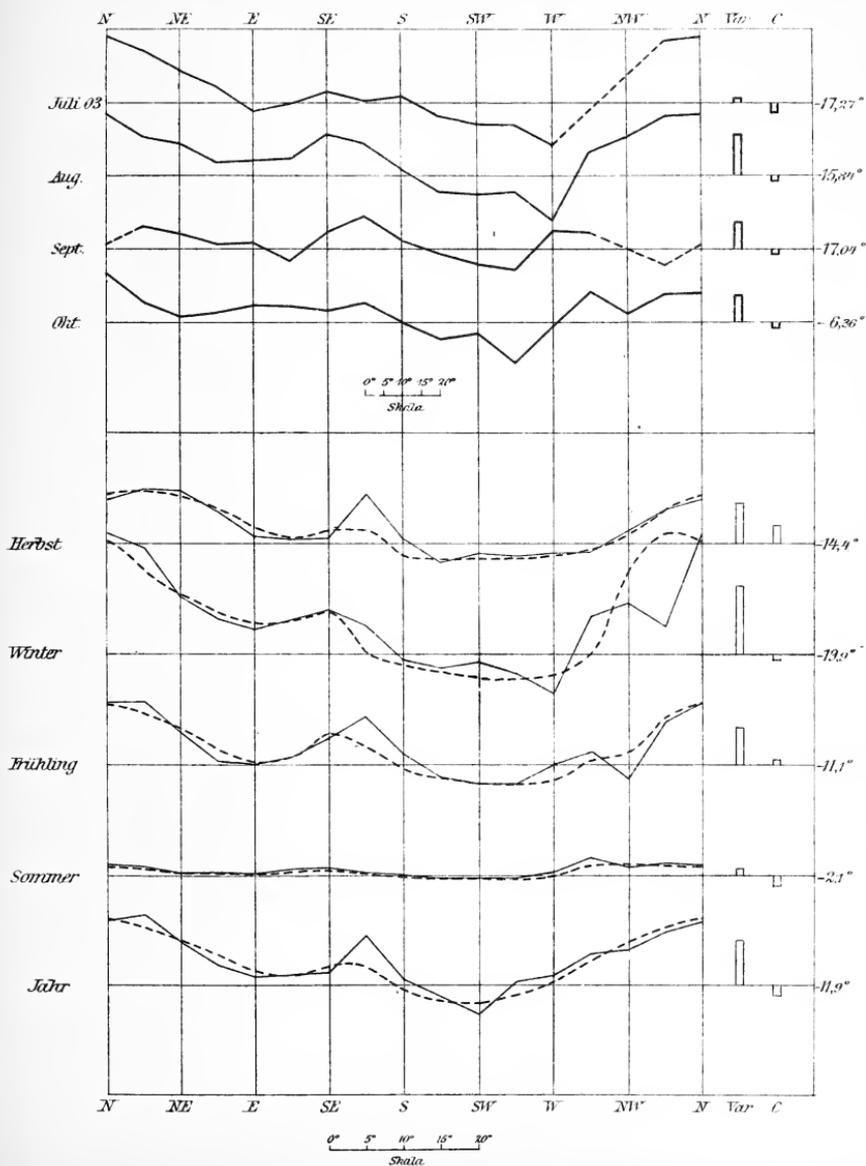
Dynamische Windrosen II.

GEN. STAB. LIT. ANST.

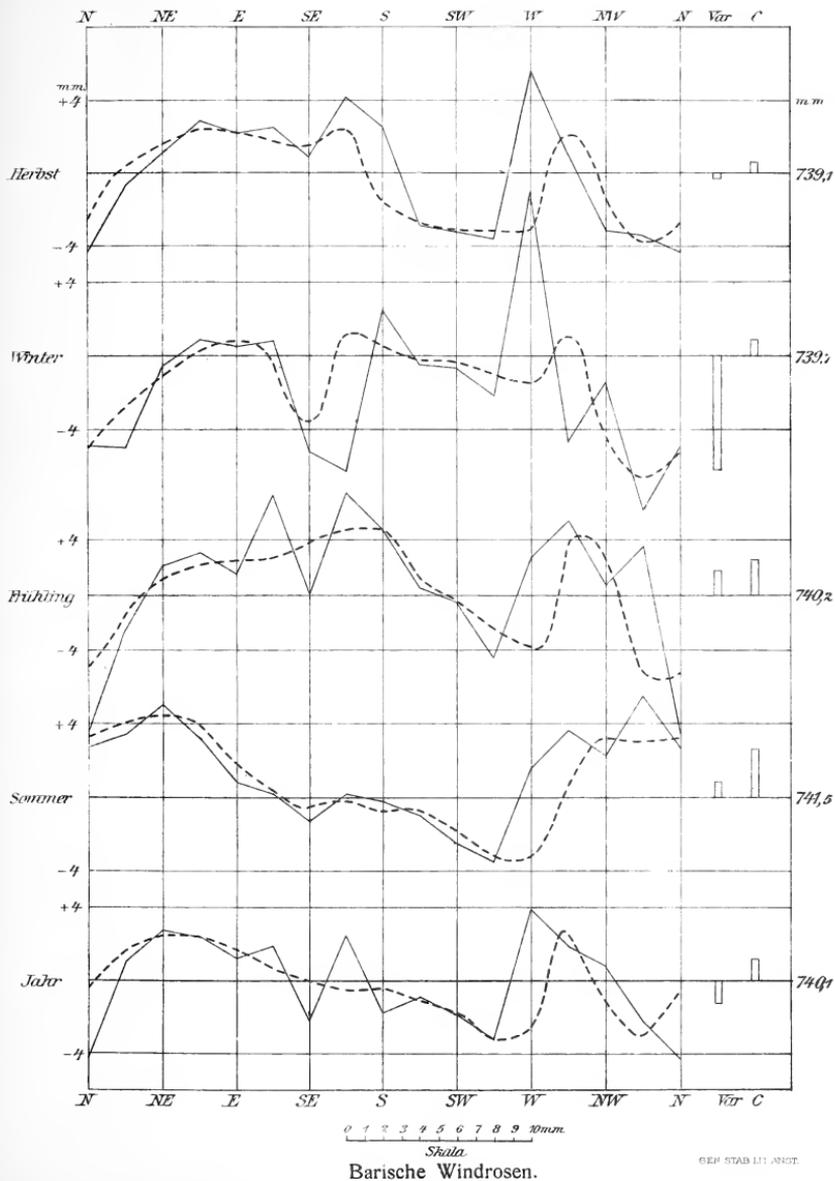


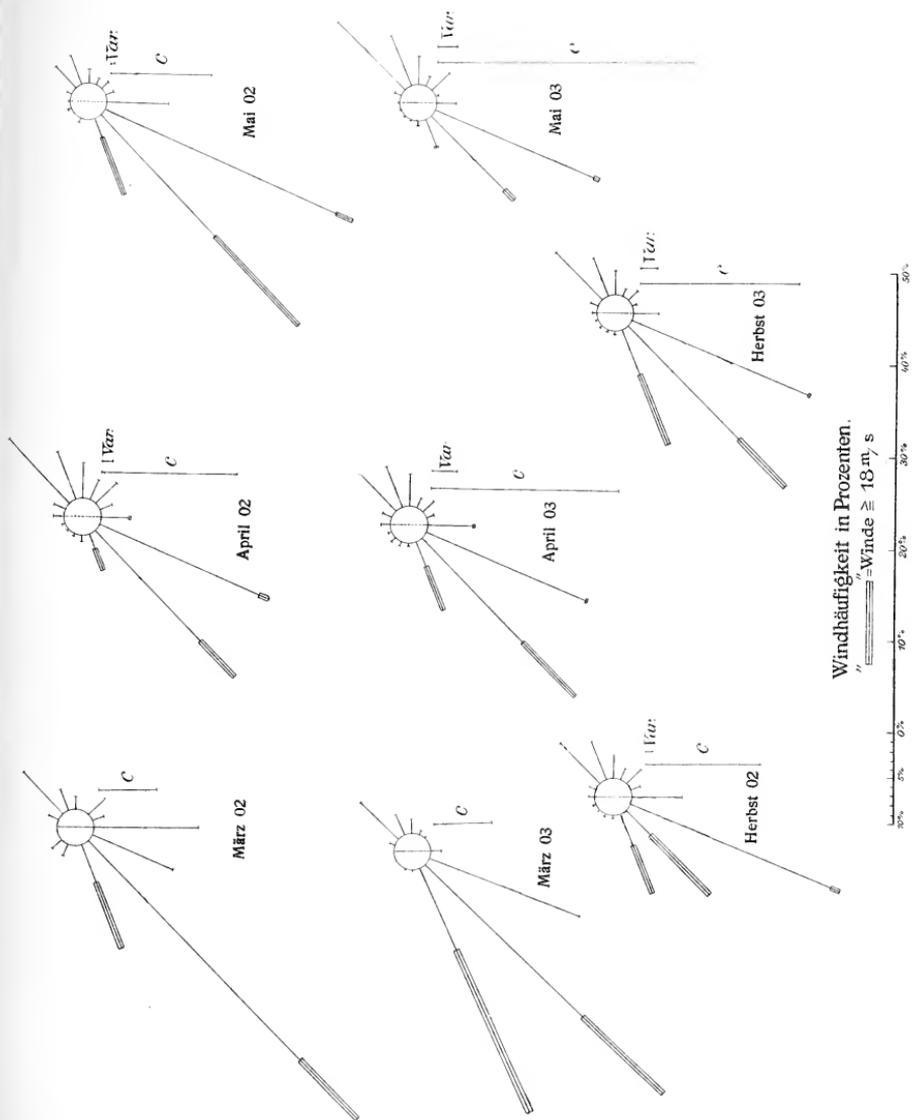
GEN. STAB. LIT. ANST.

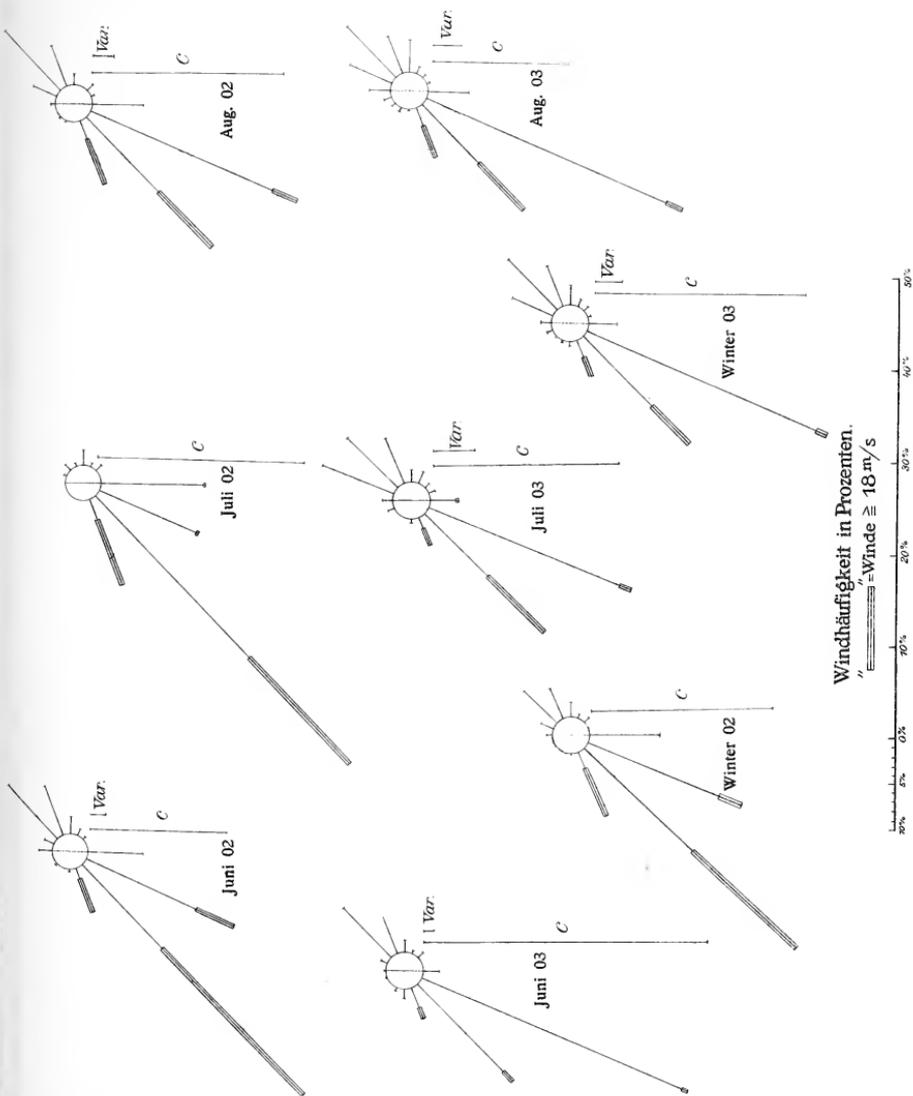
Thermische Windrosen I.

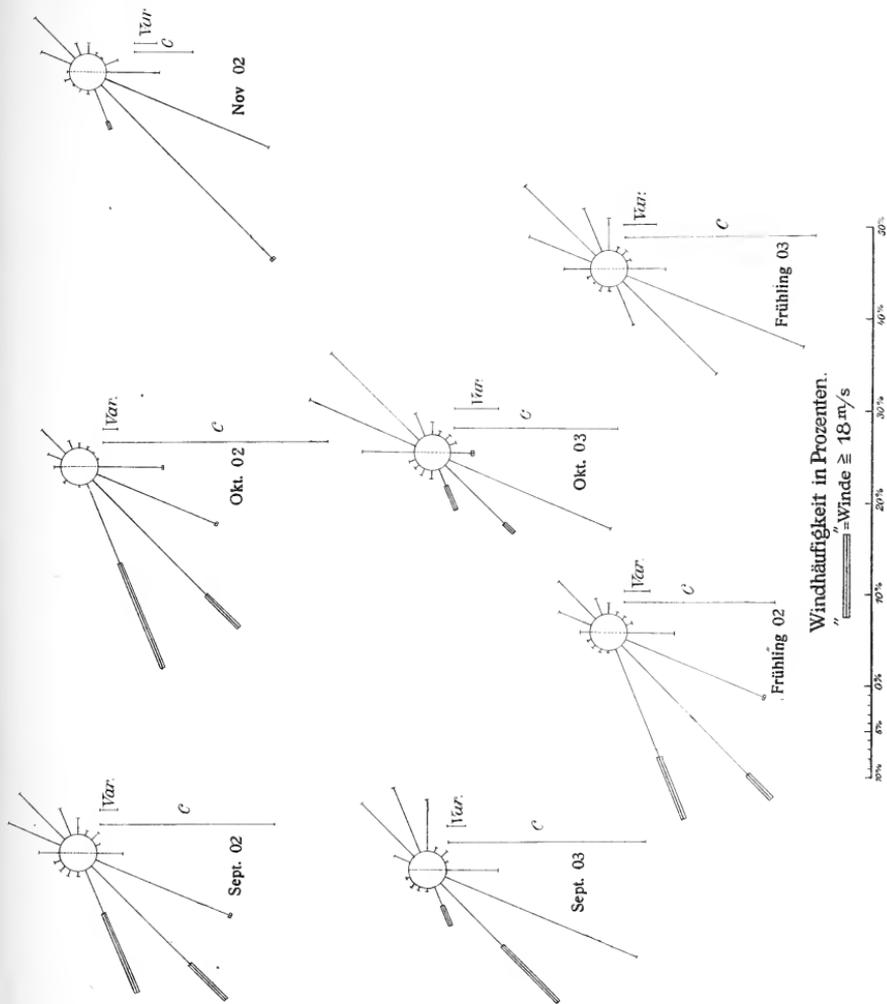


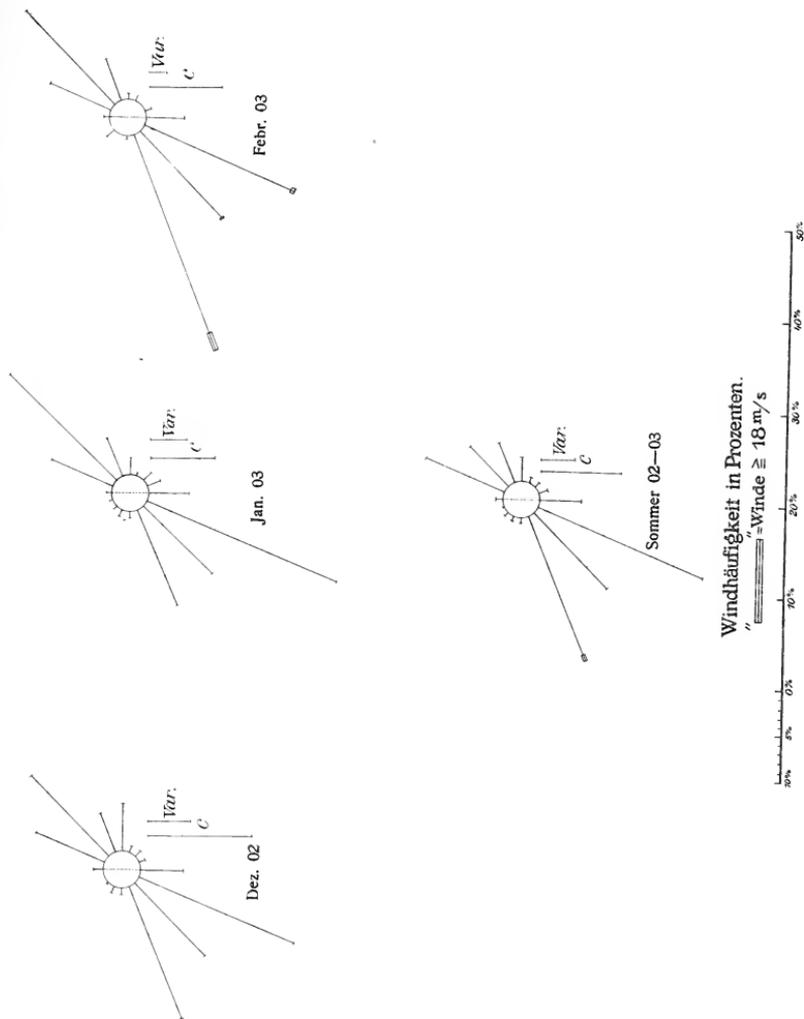
Thermische Windrosen II.

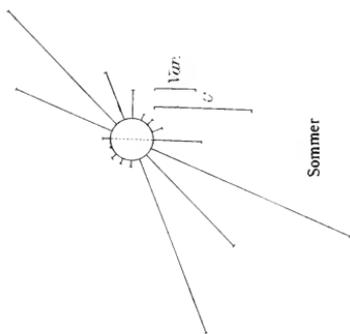
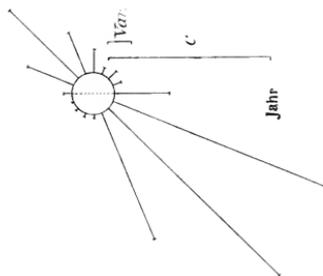
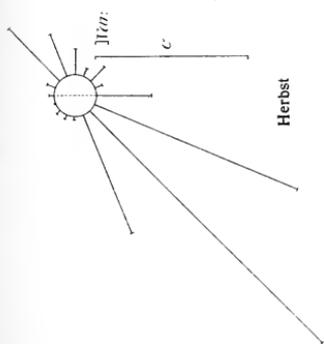
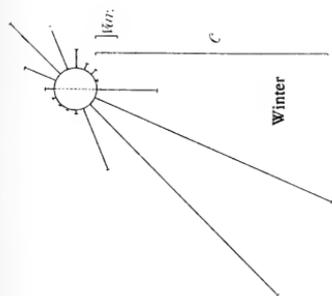
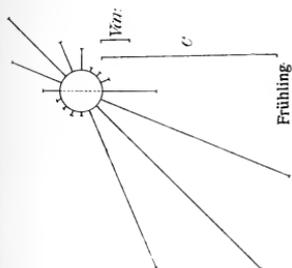






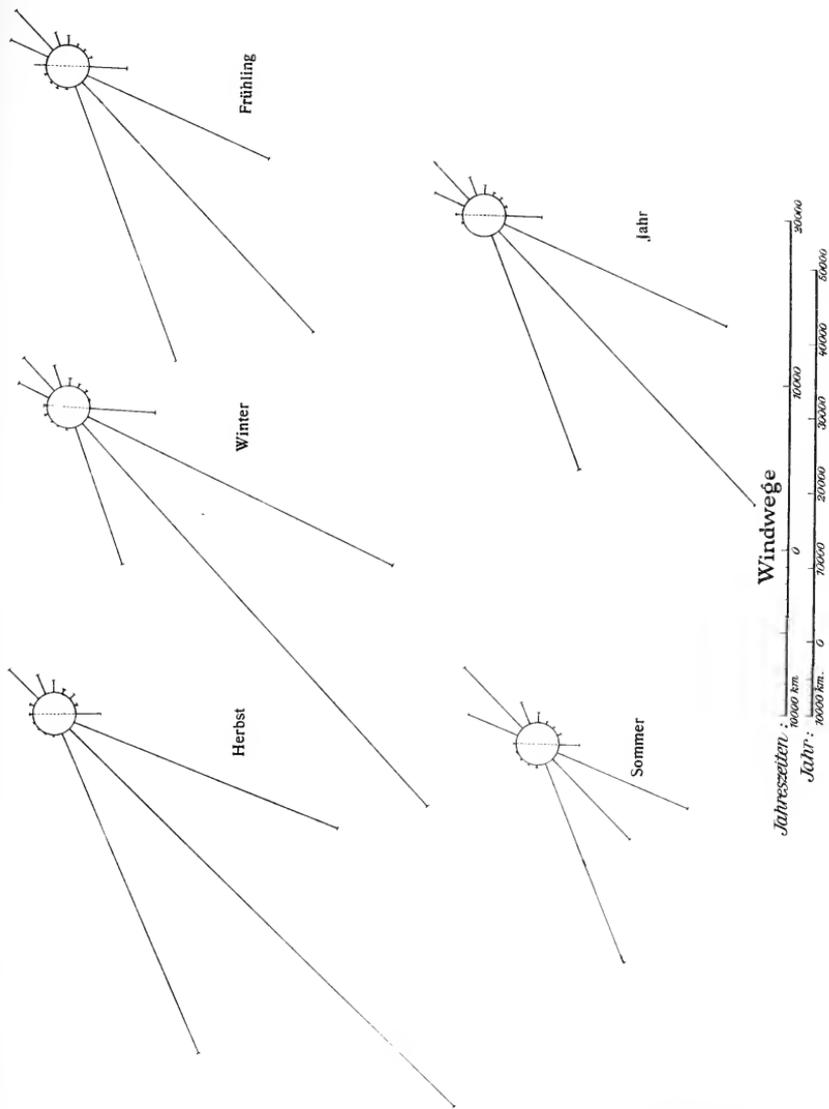


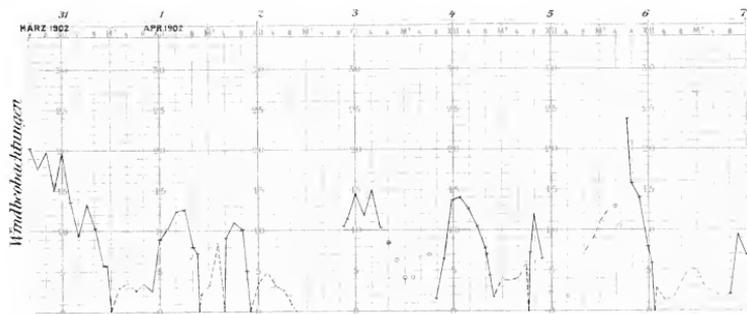
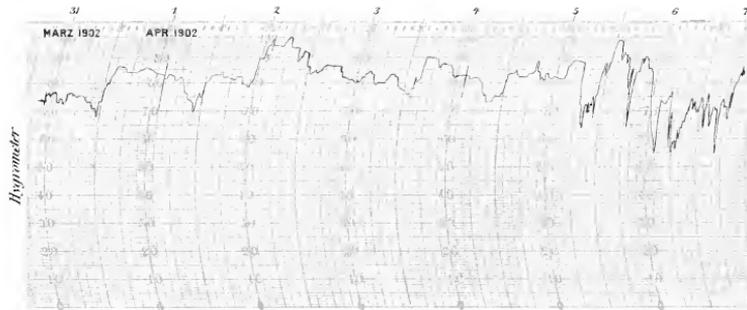
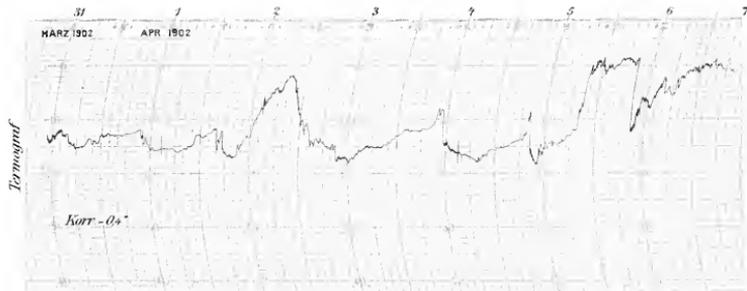
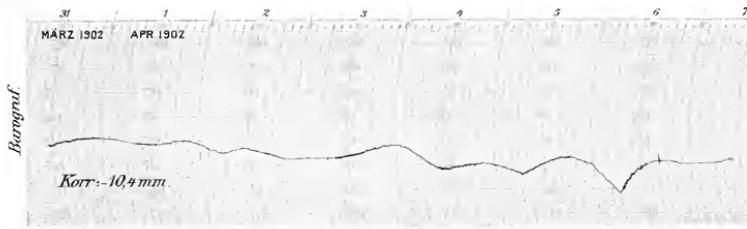


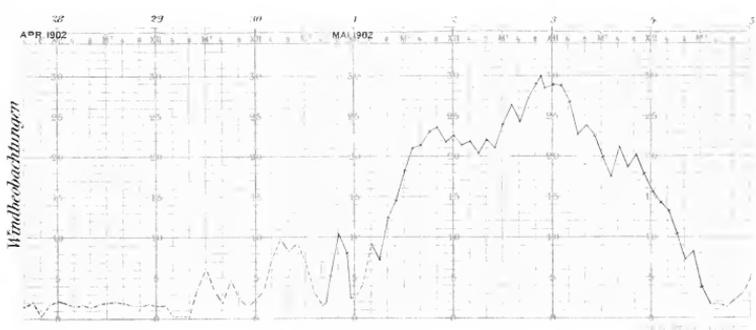
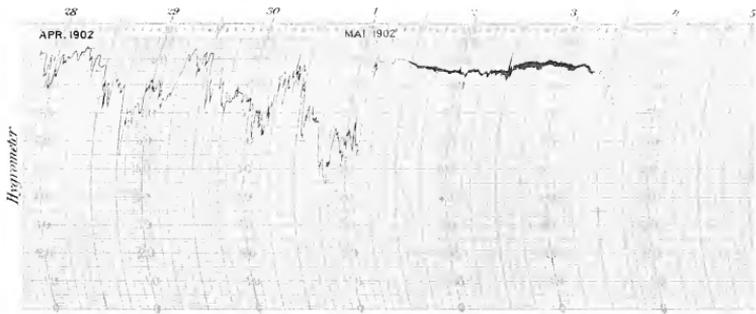
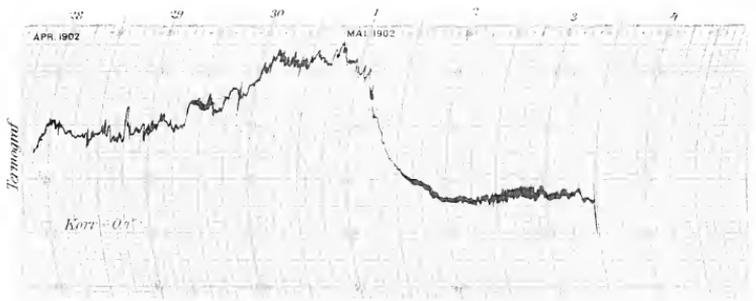
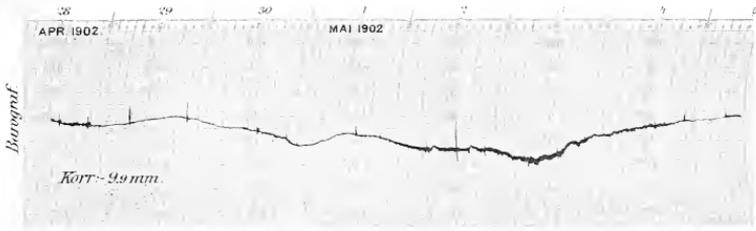


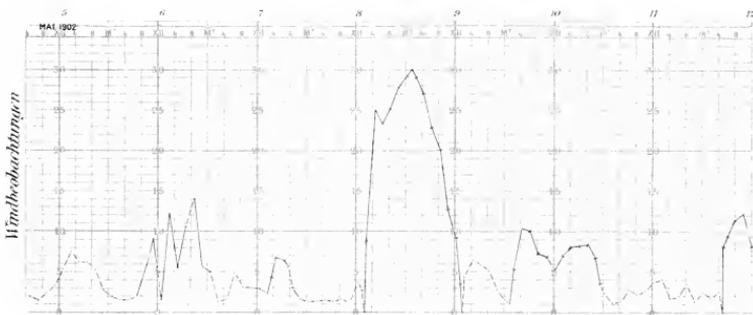
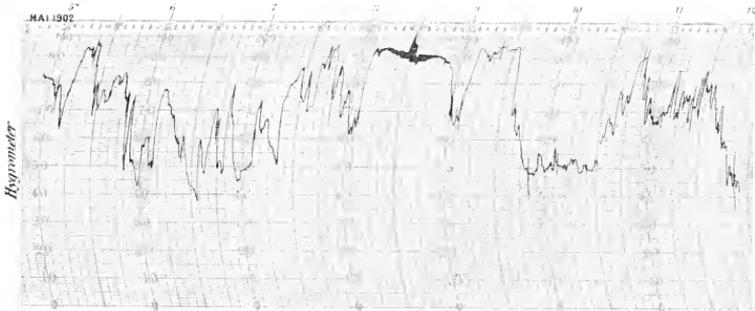
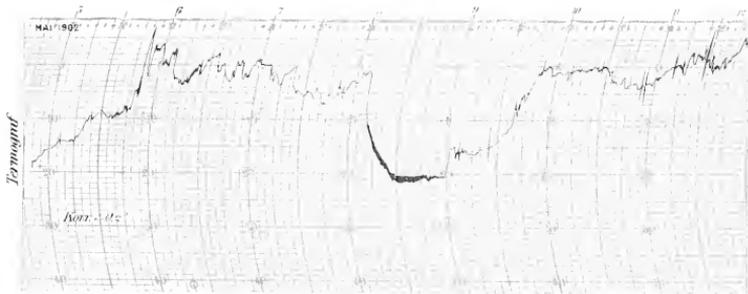
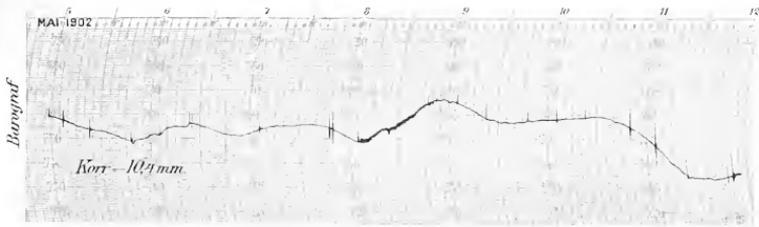
Windhäufigkeit in Prozenten.

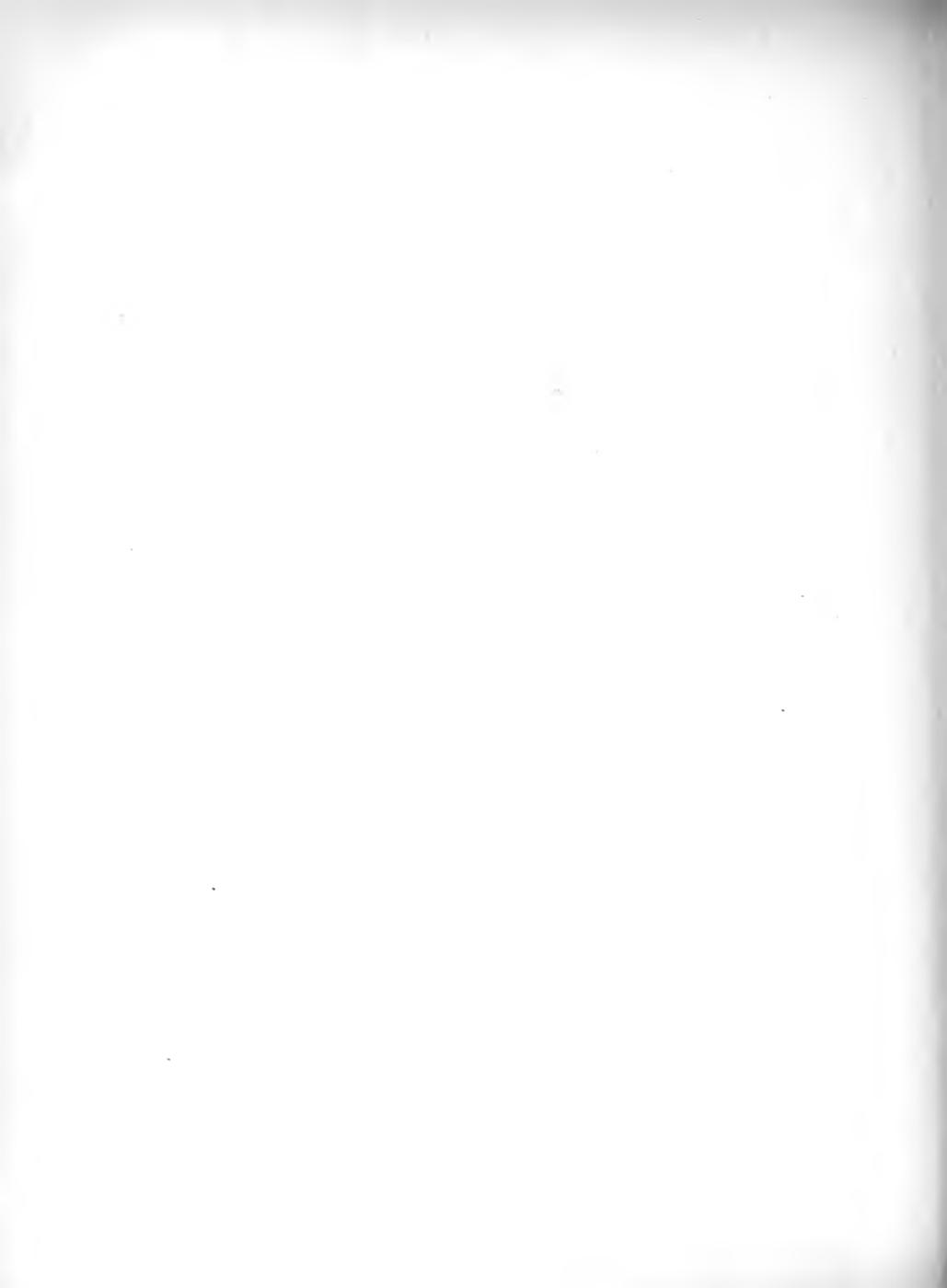


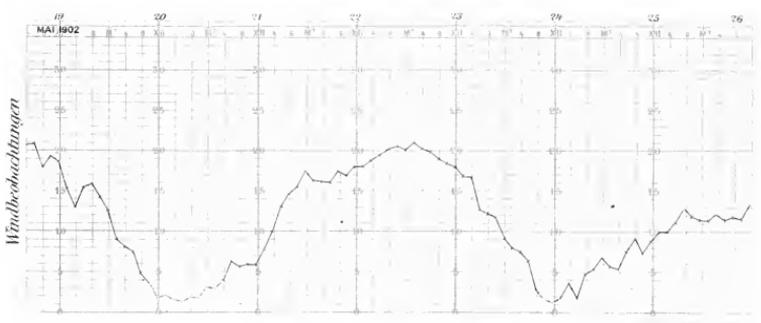
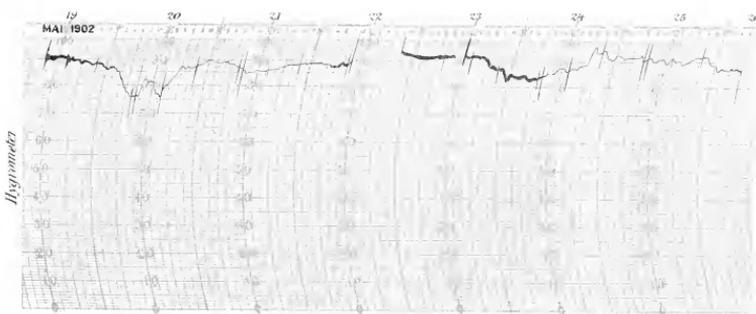
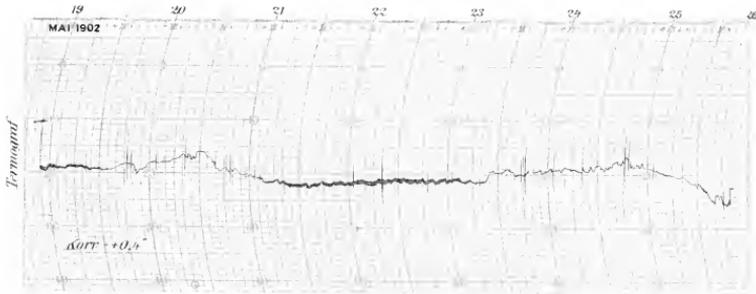
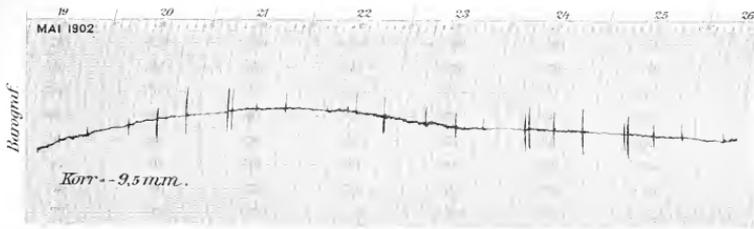


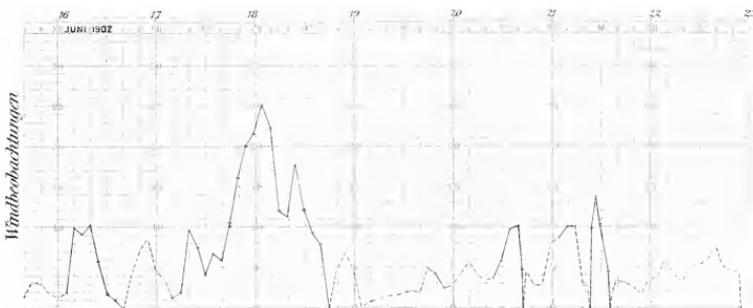
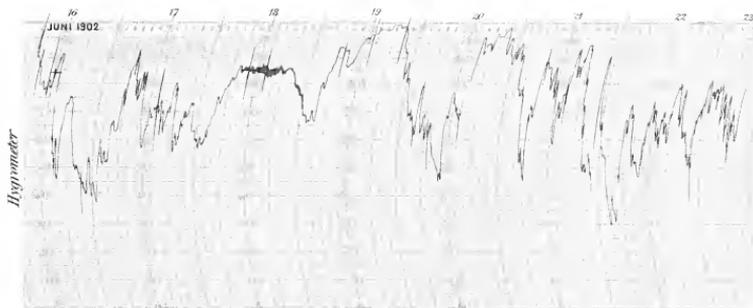
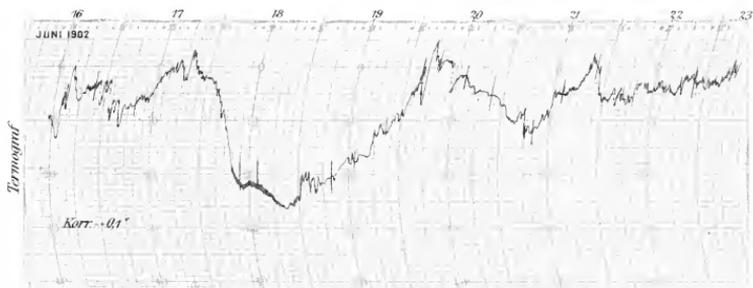
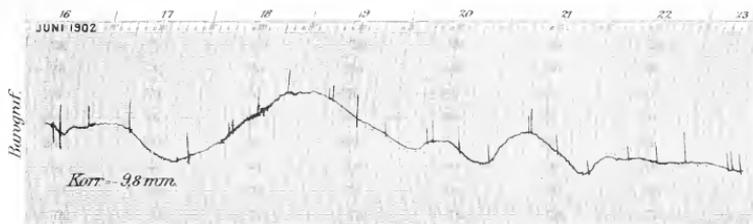




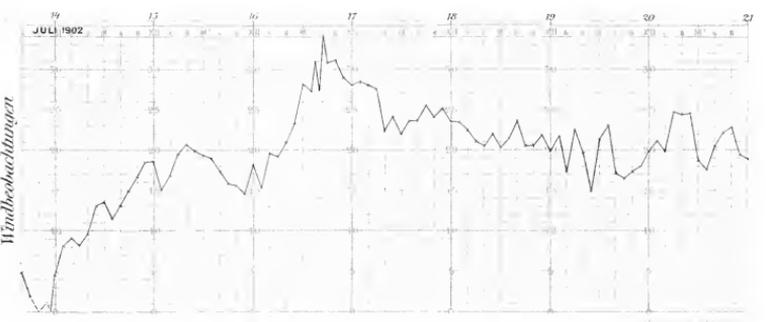
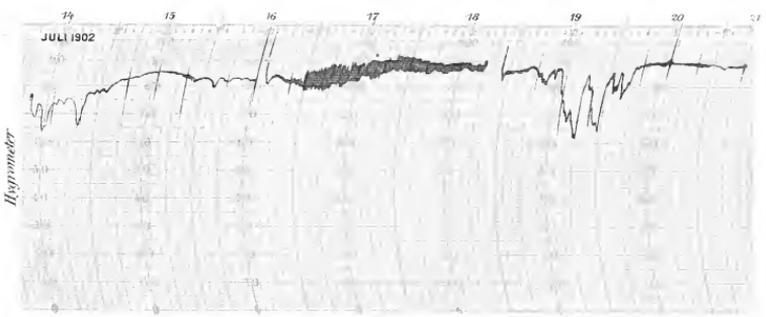
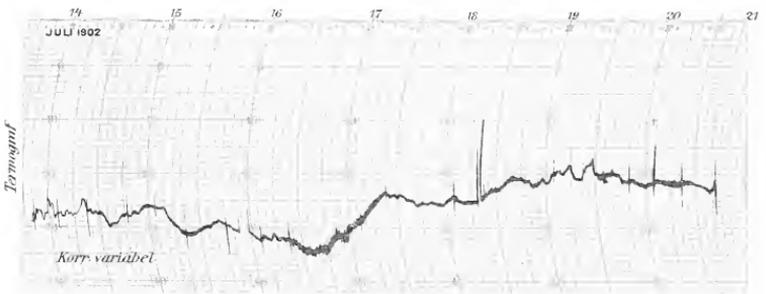
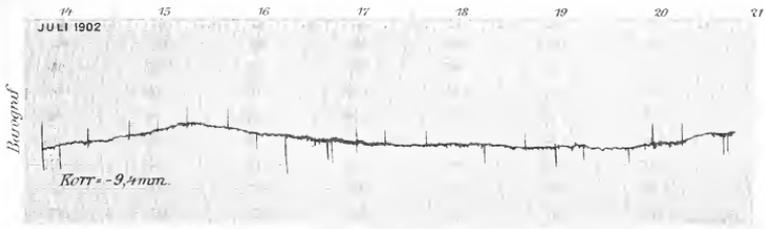


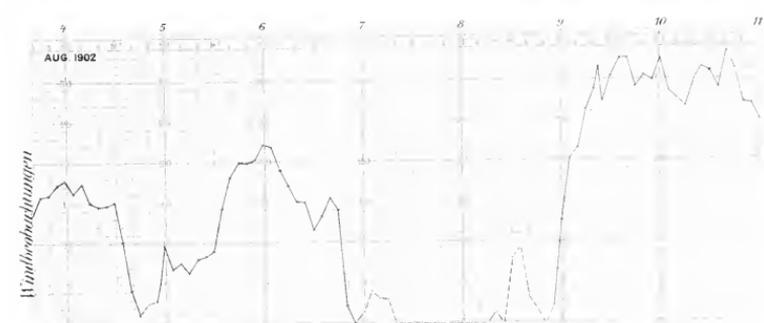
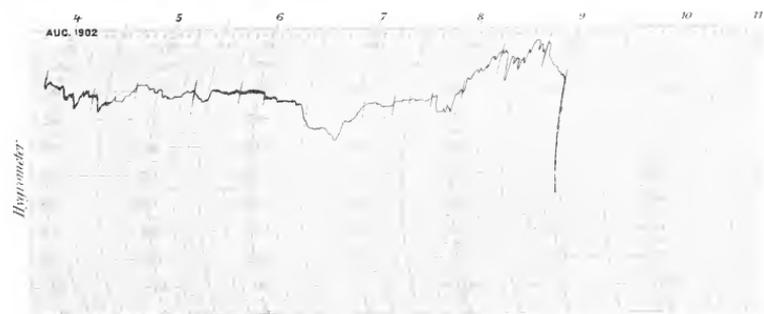
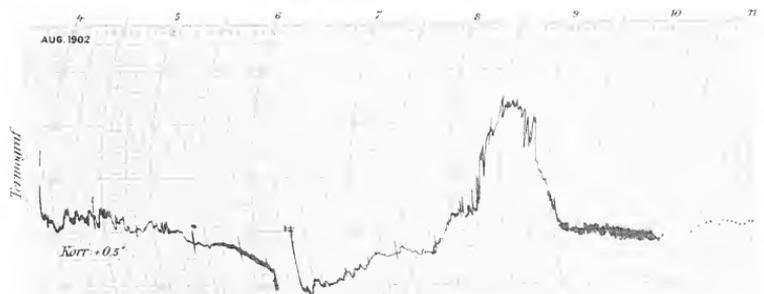
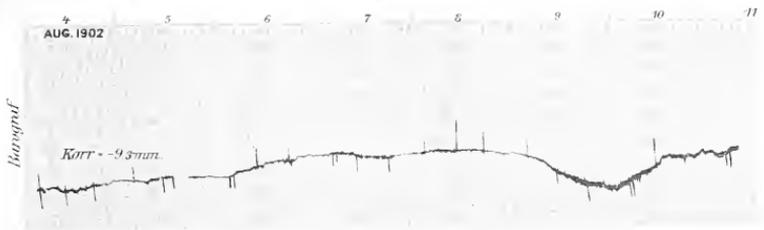


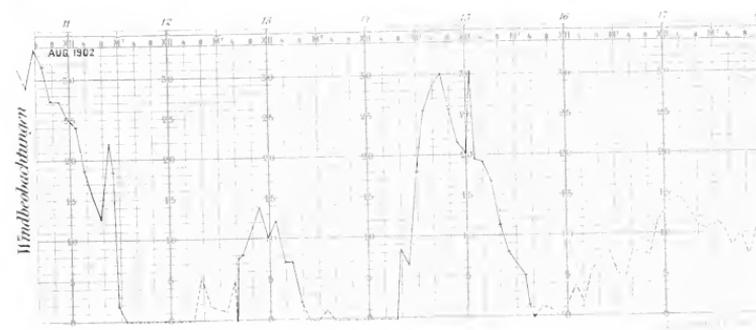
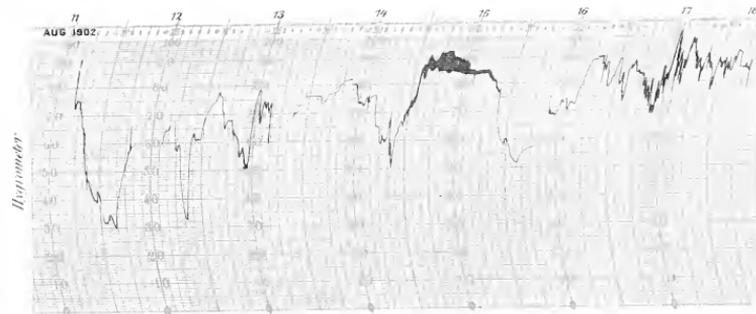
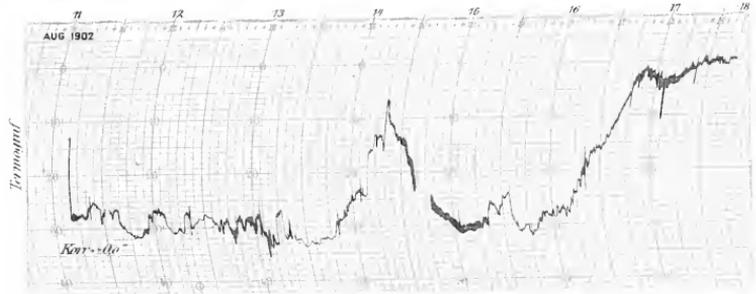
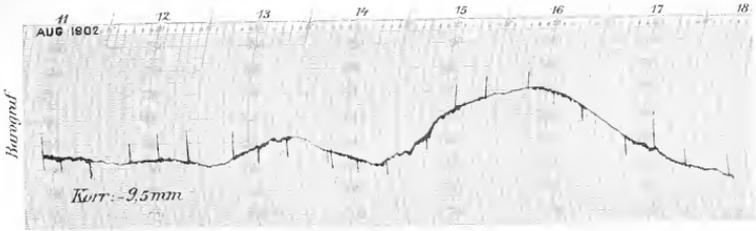




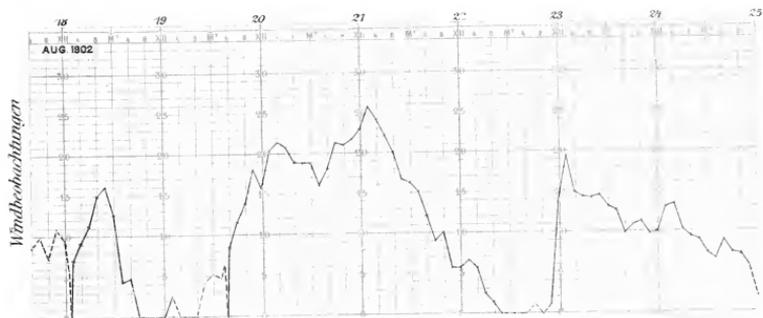
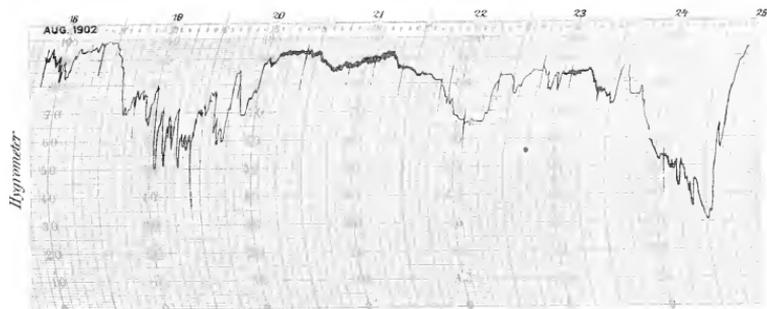
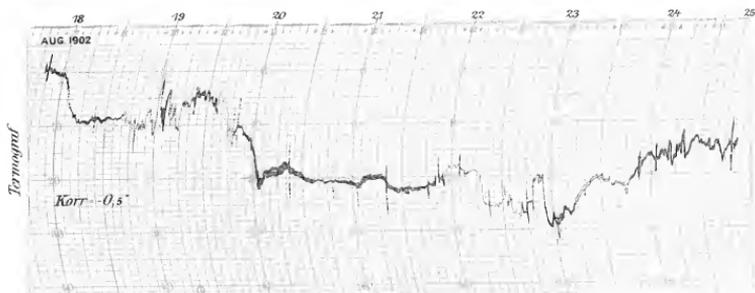
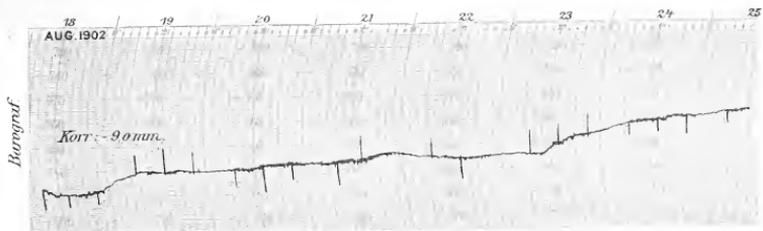




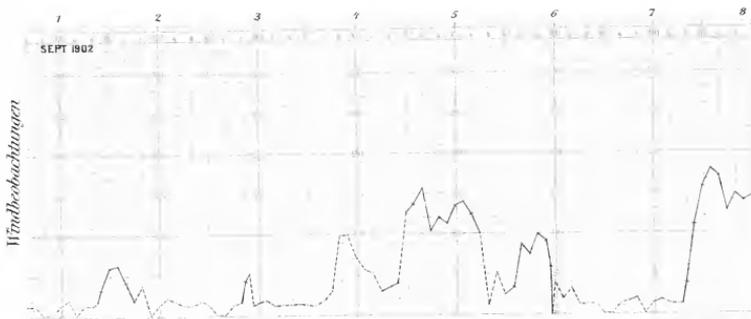
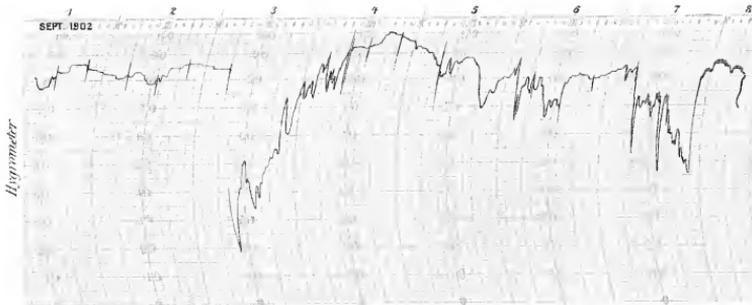
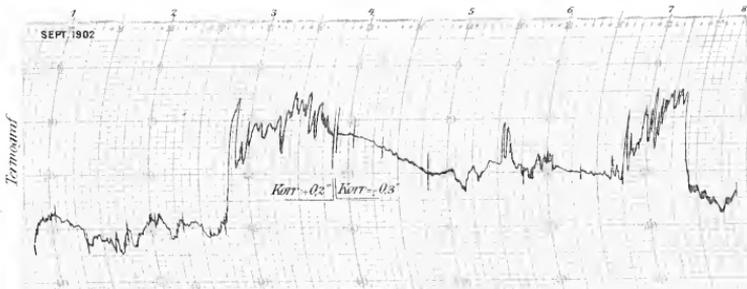
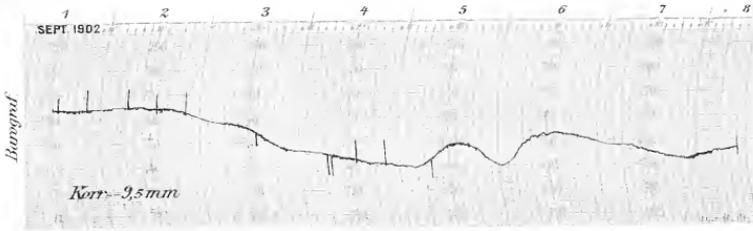


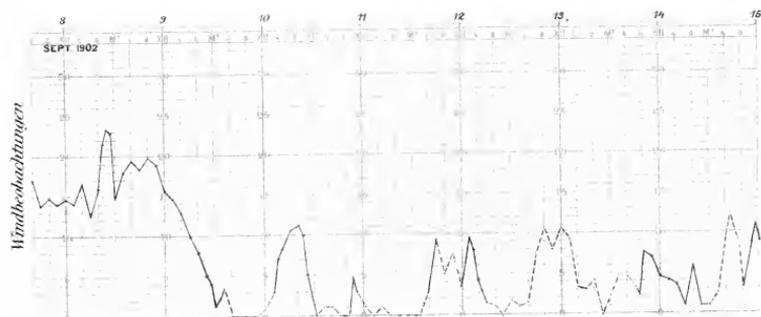
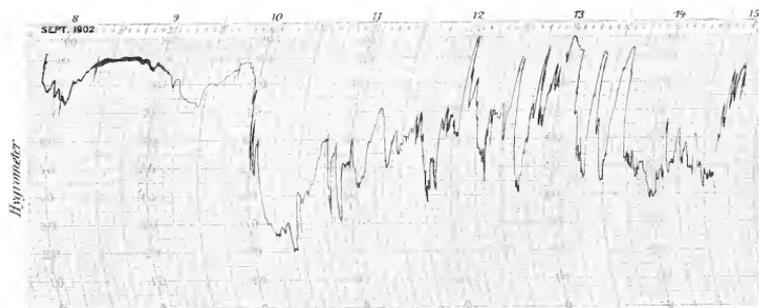


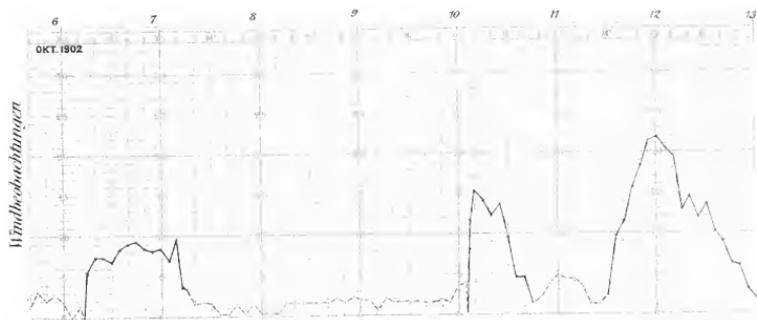
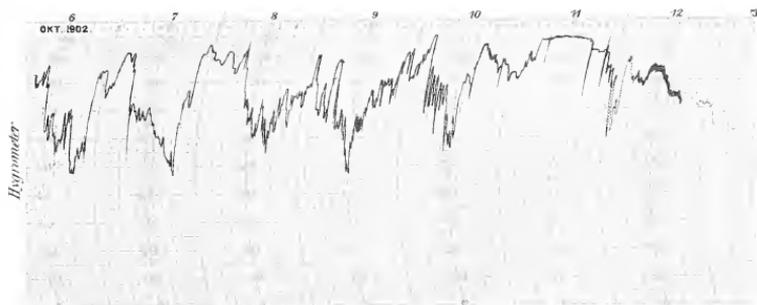
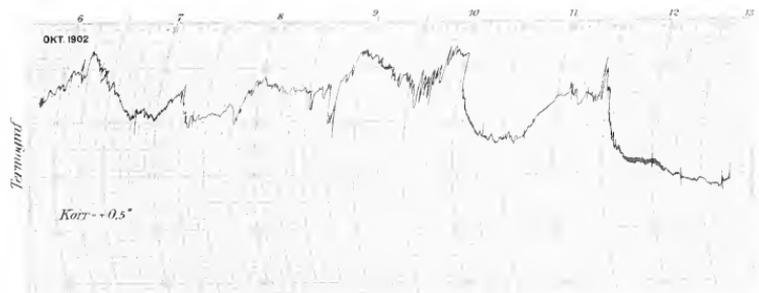


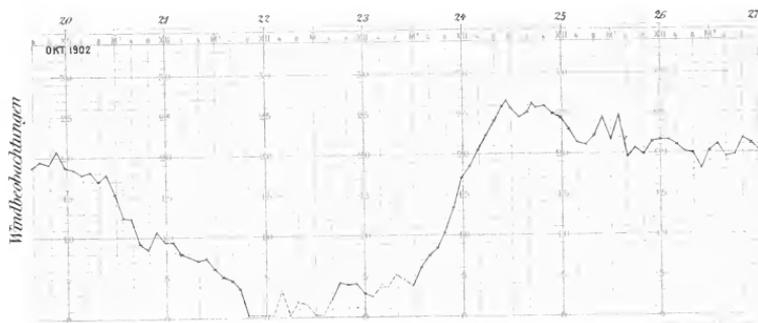
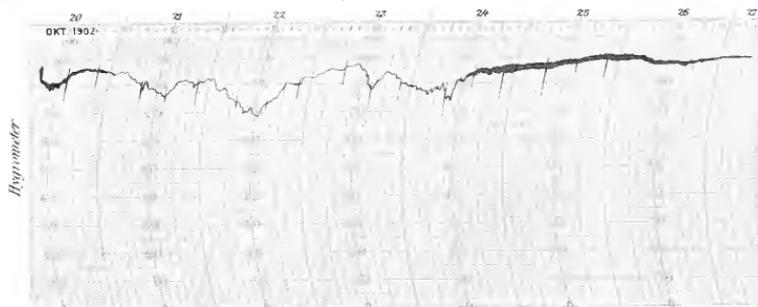
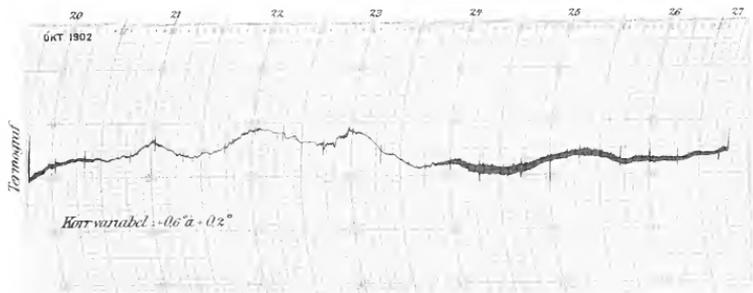


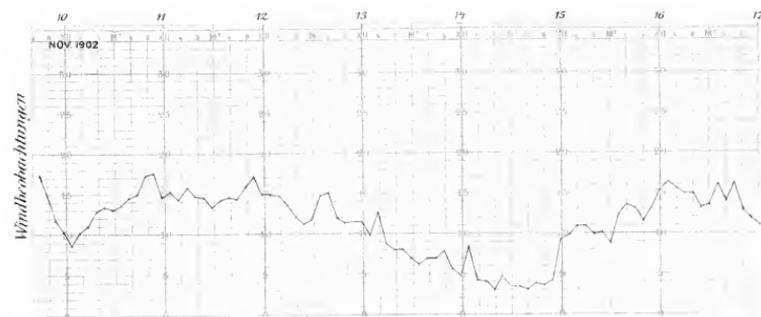
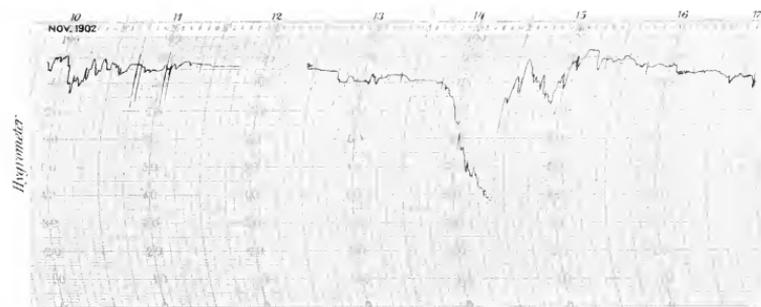
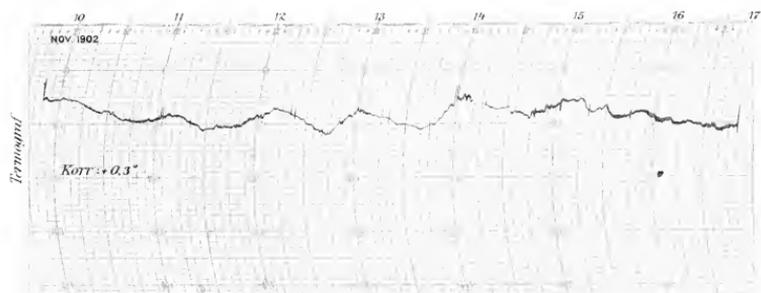
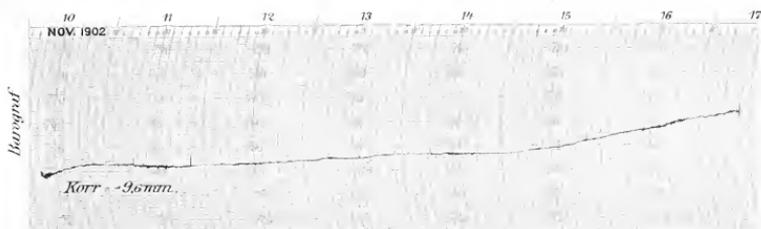


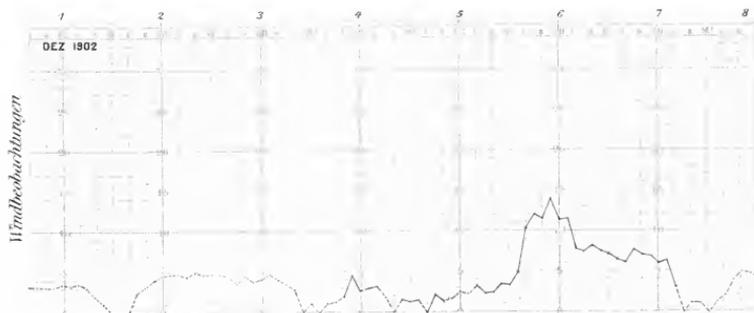
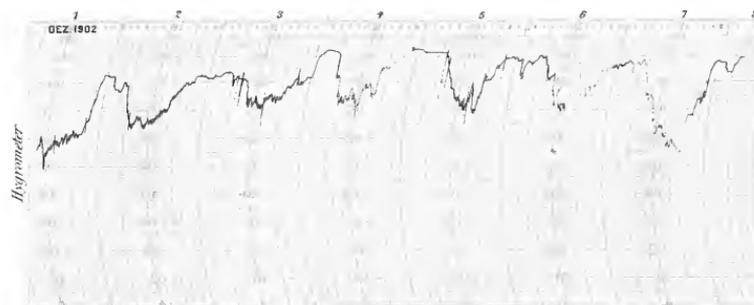
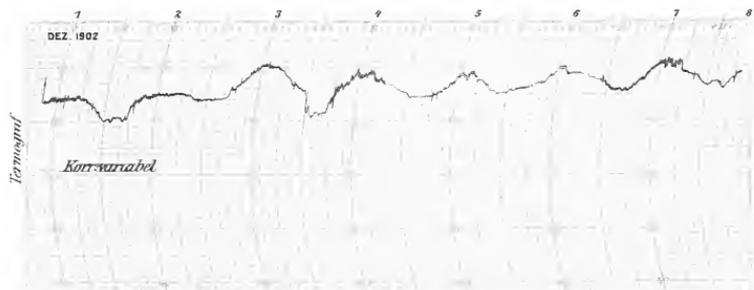
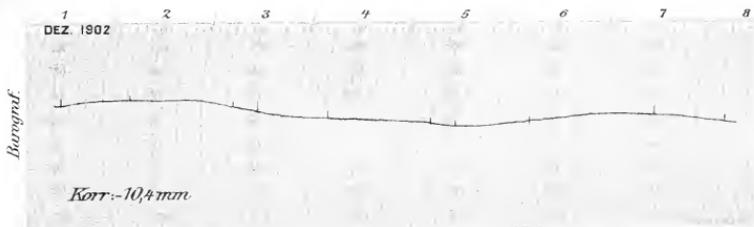


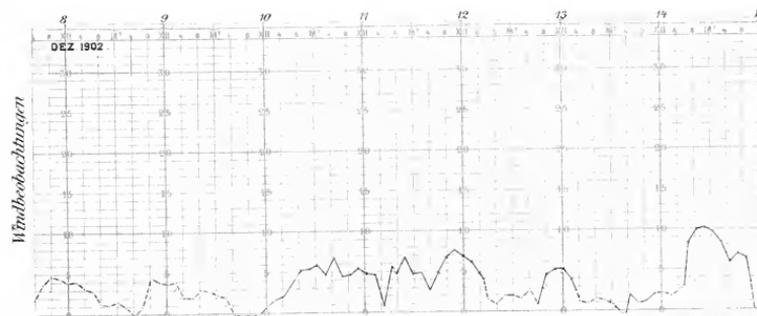
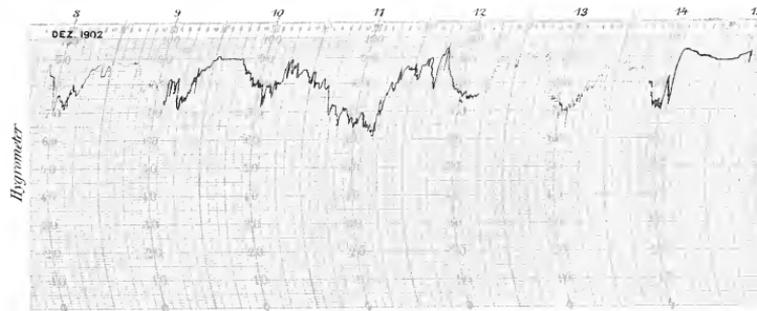
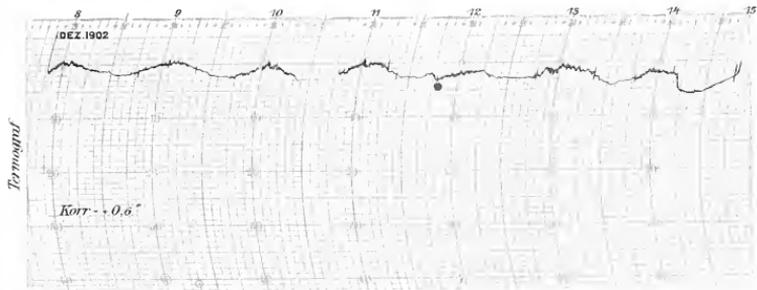
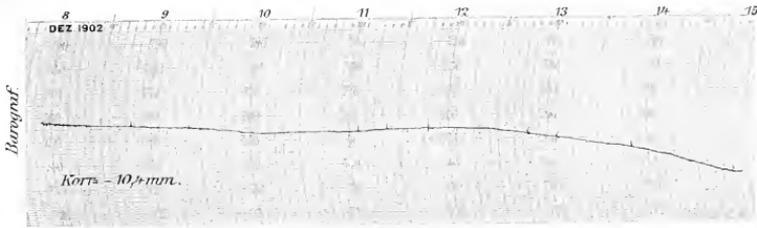


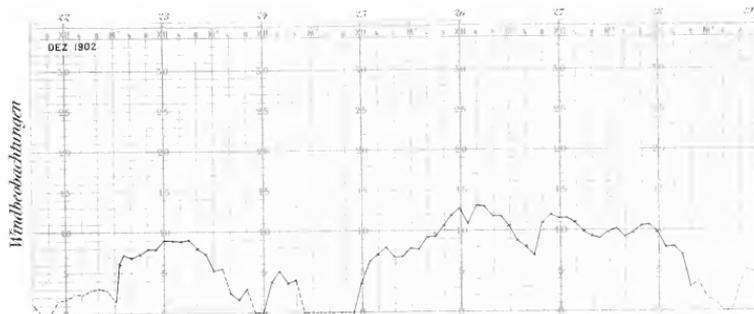
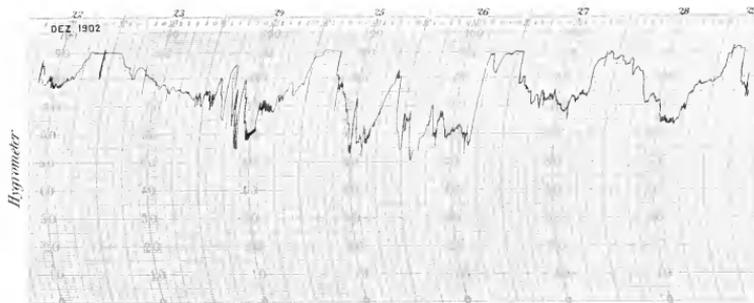
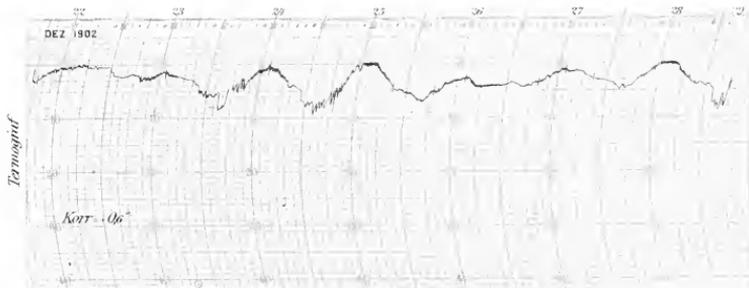
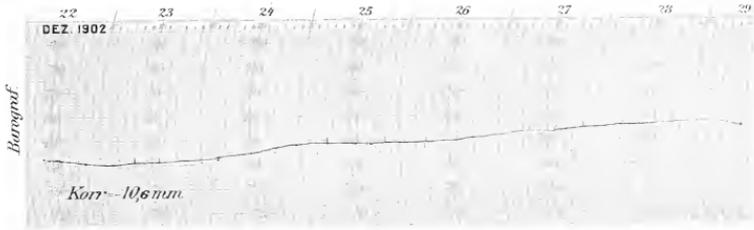


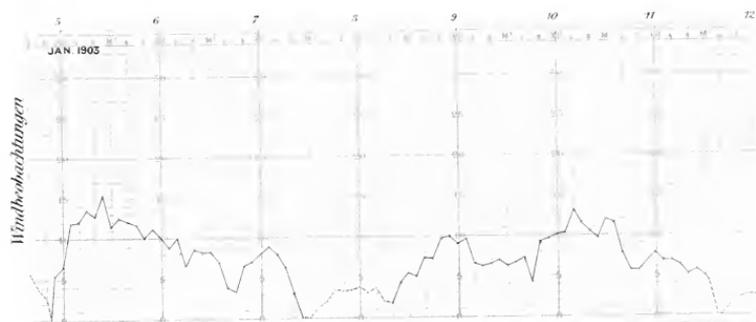
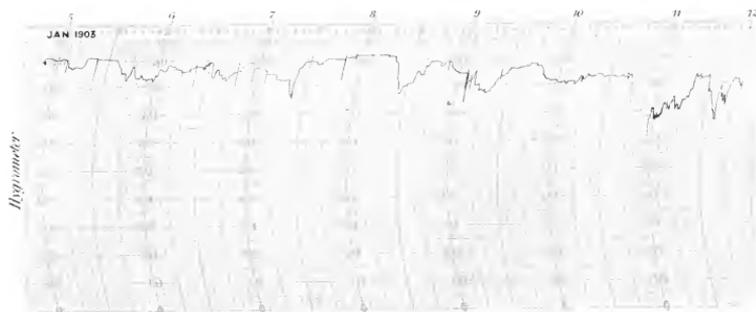
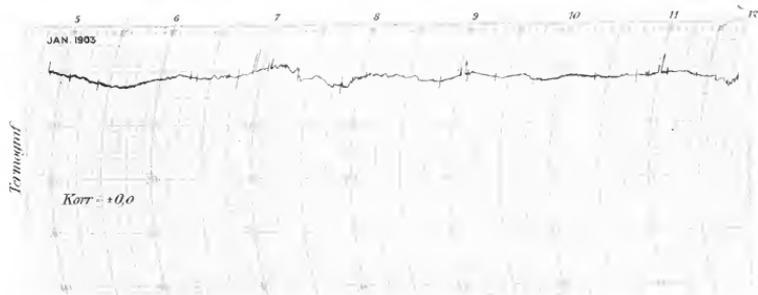
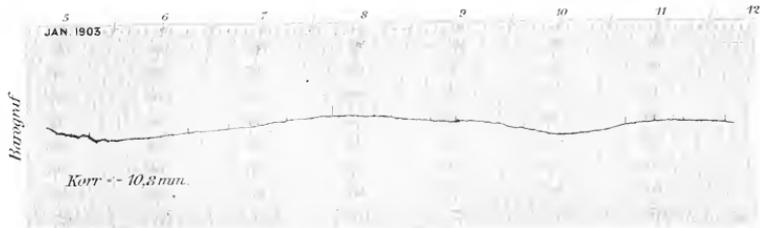




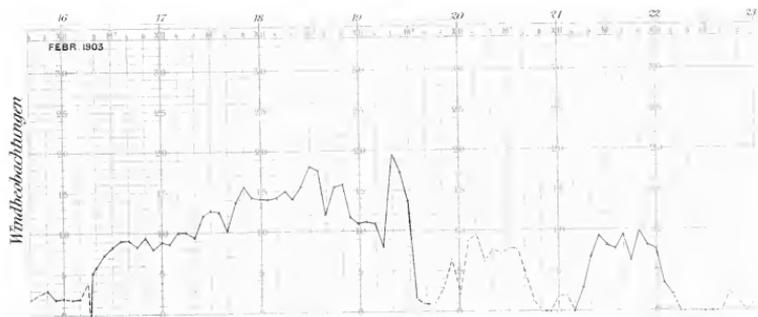
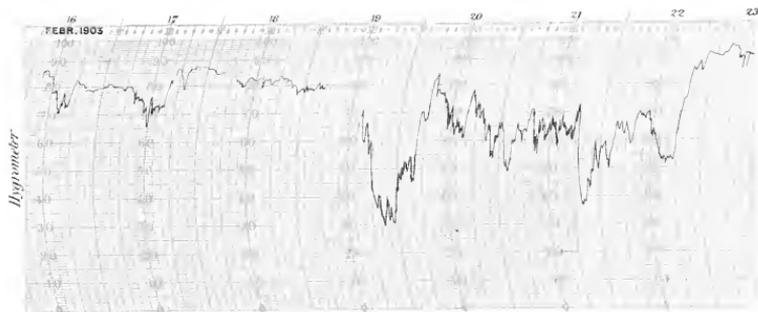
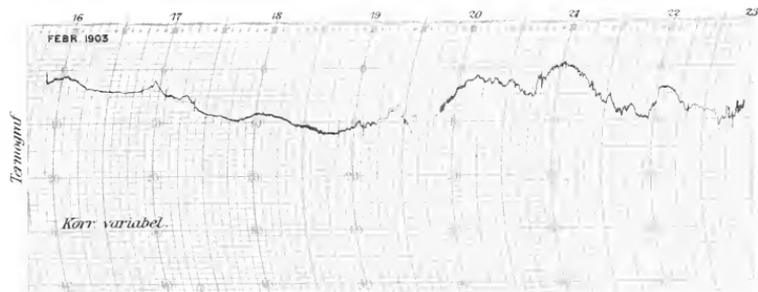
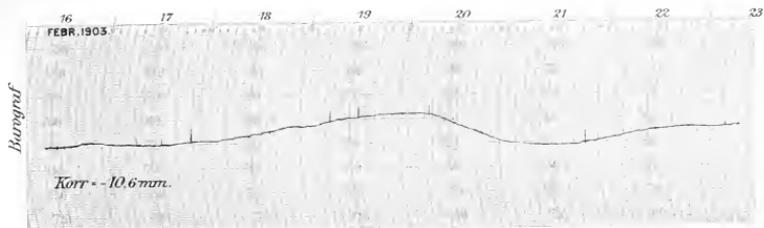


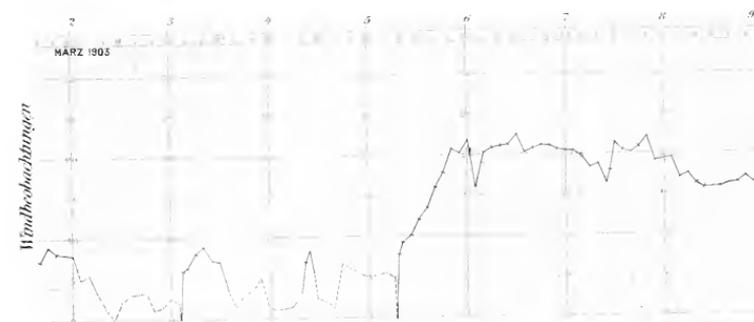
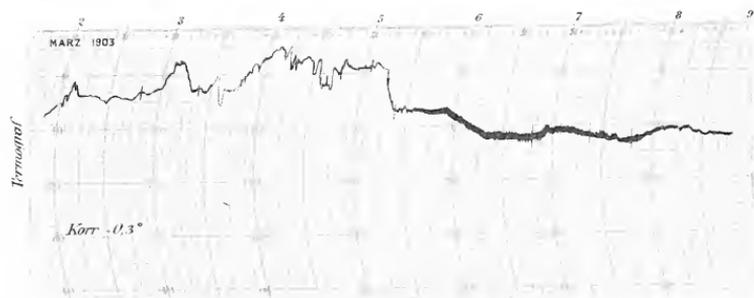
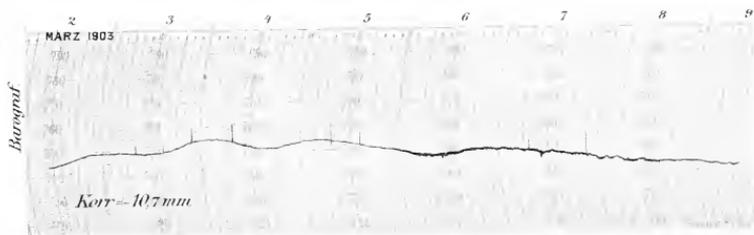


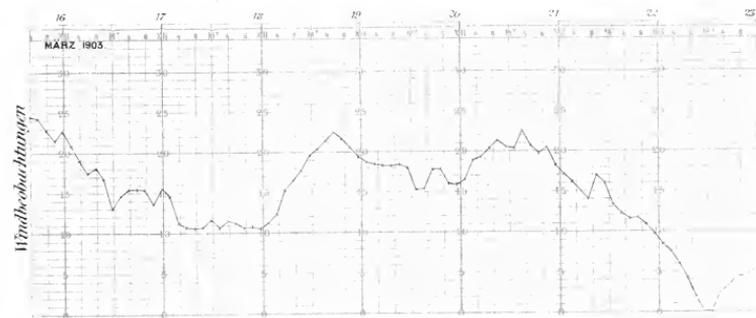
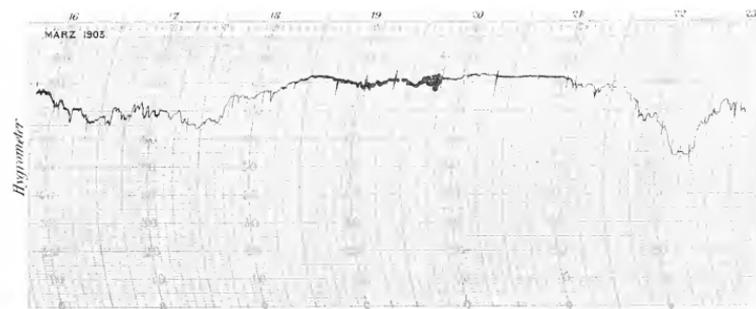
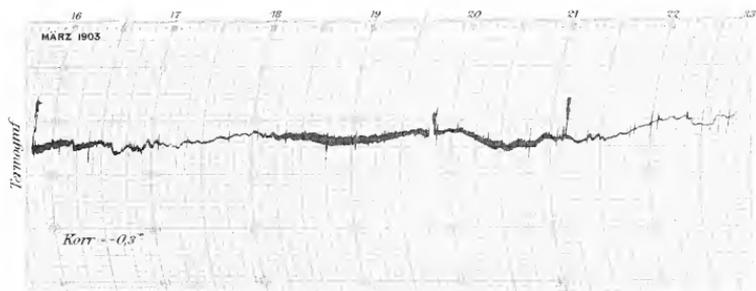
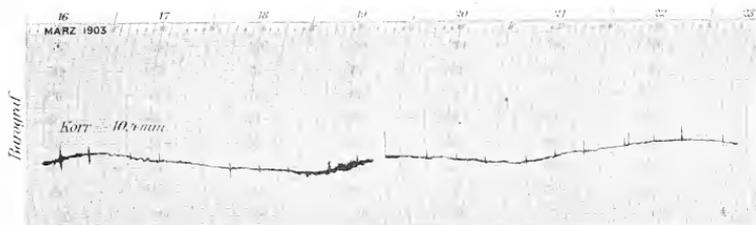


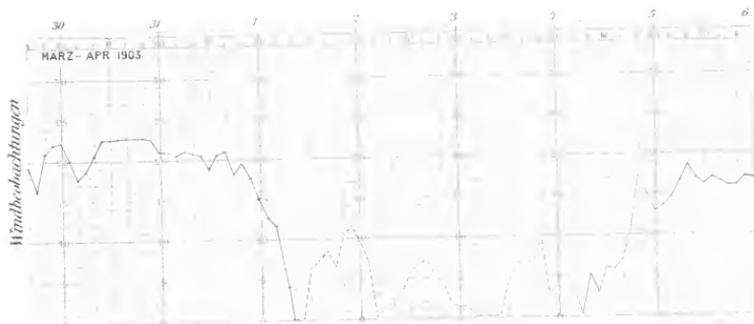
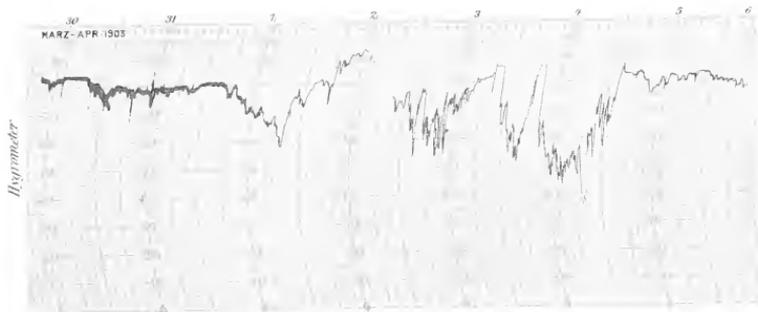
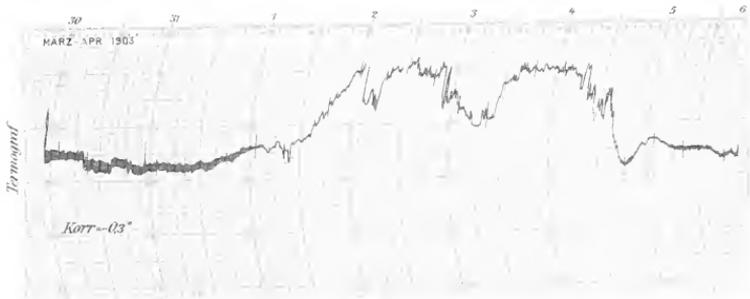
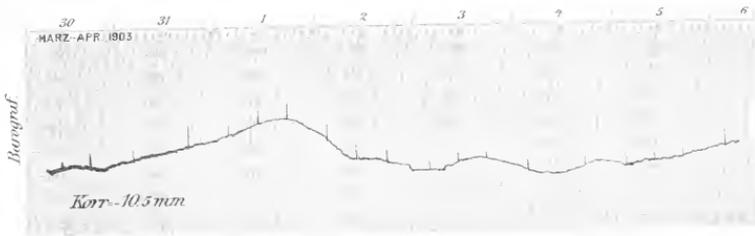


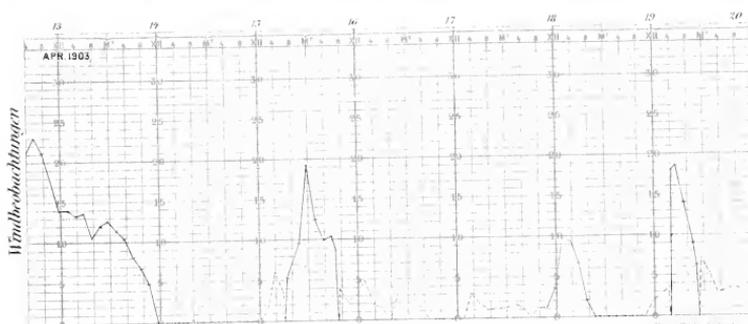
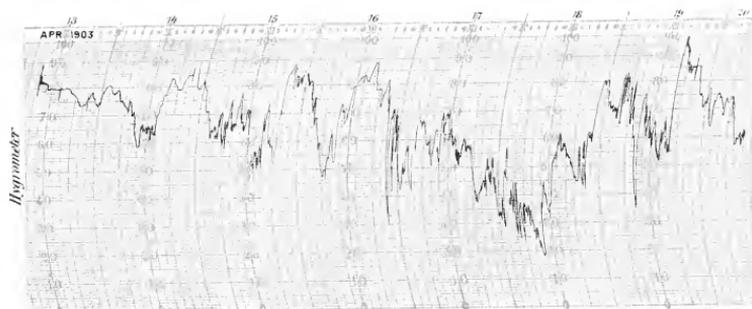
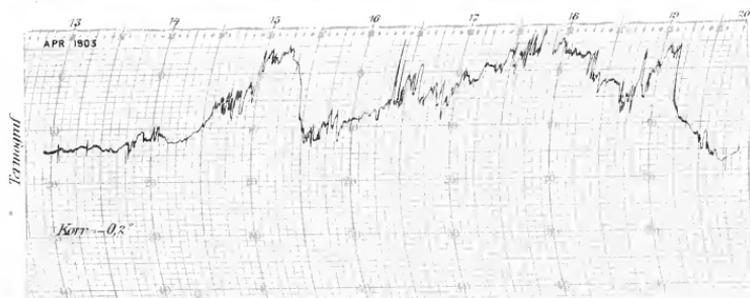
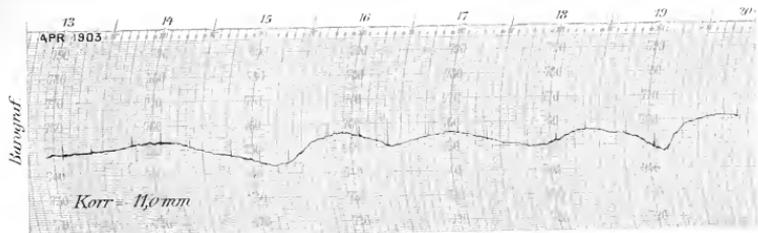


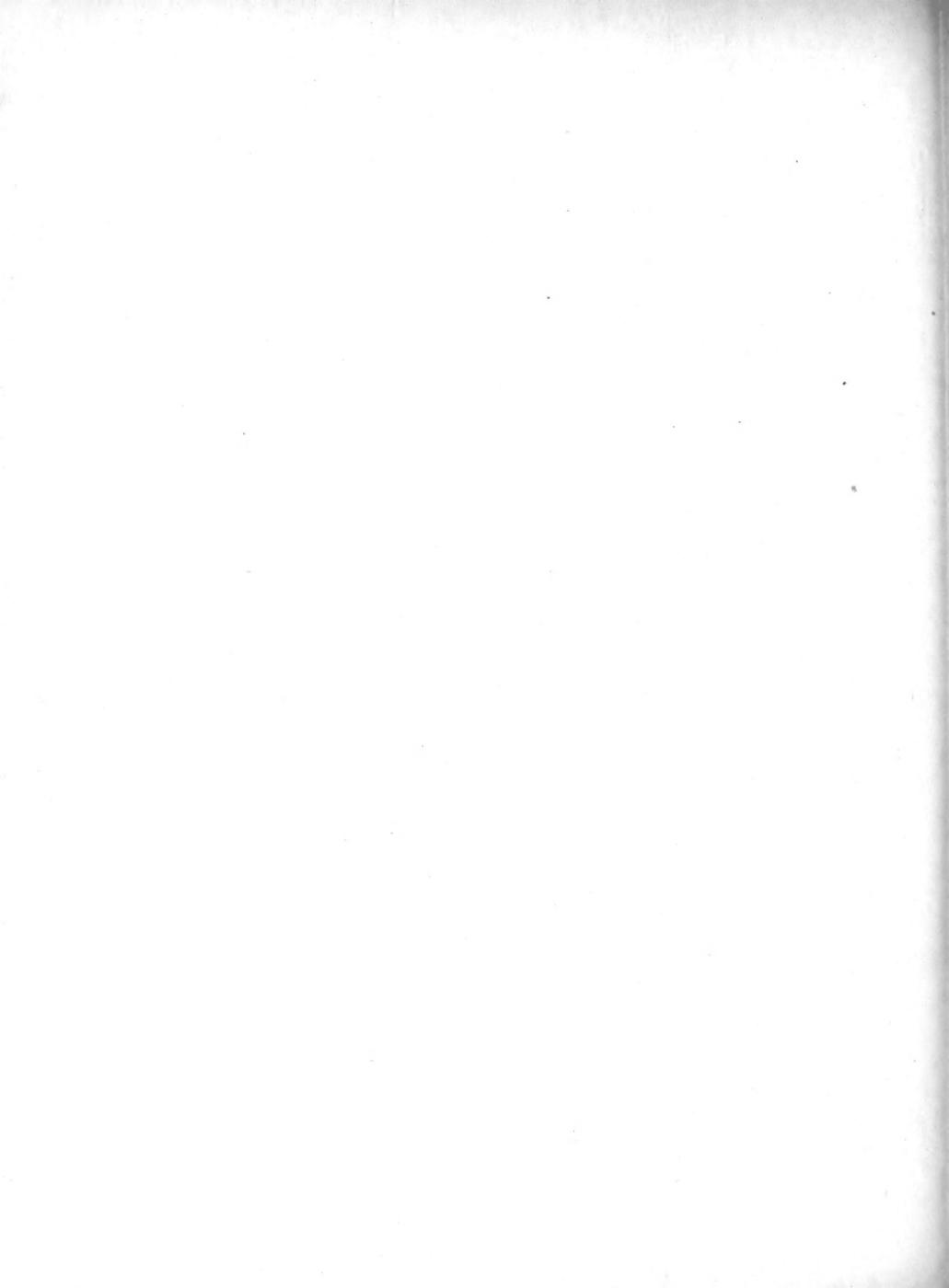


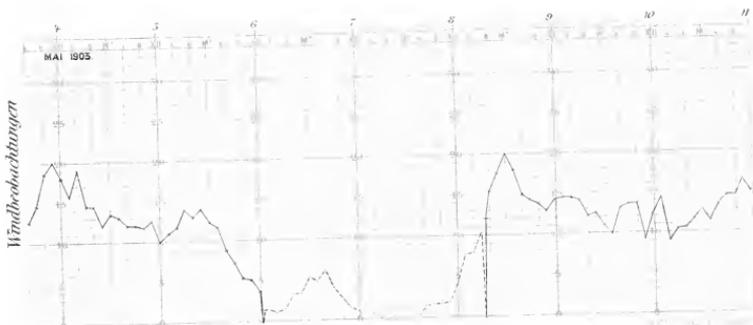
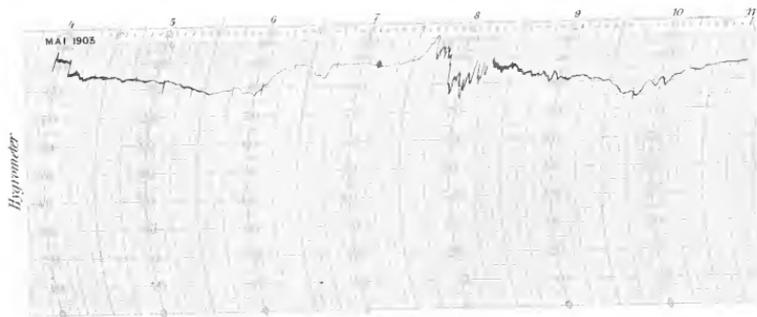
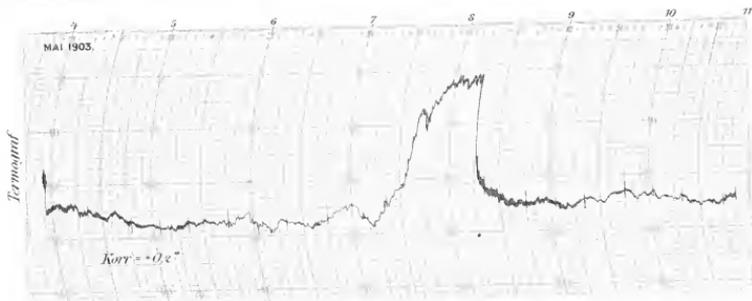
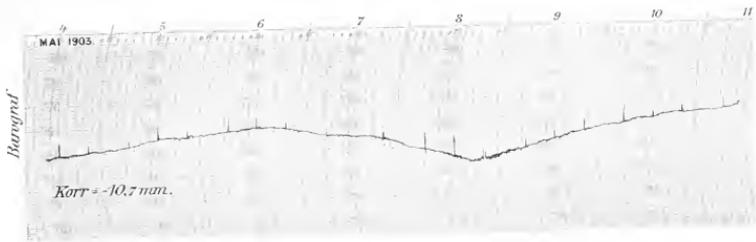


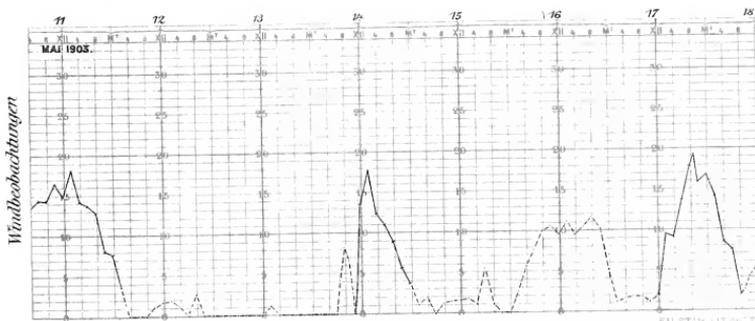
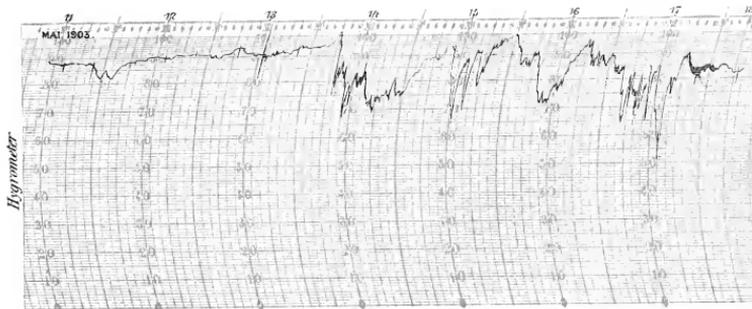
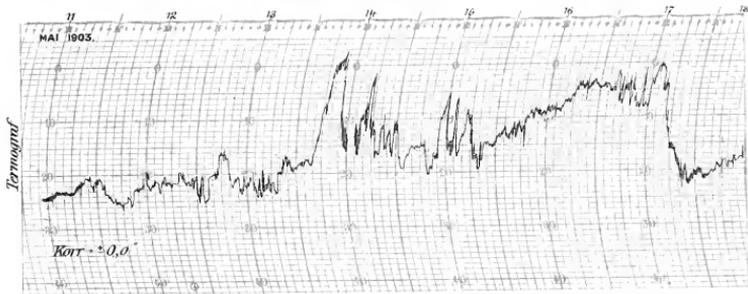
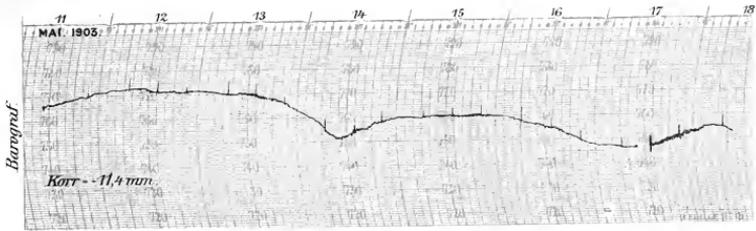


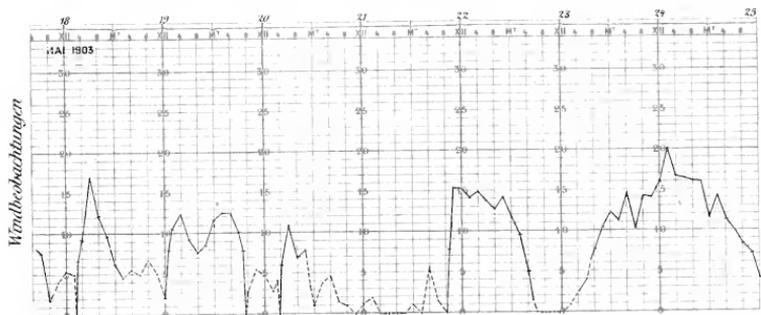
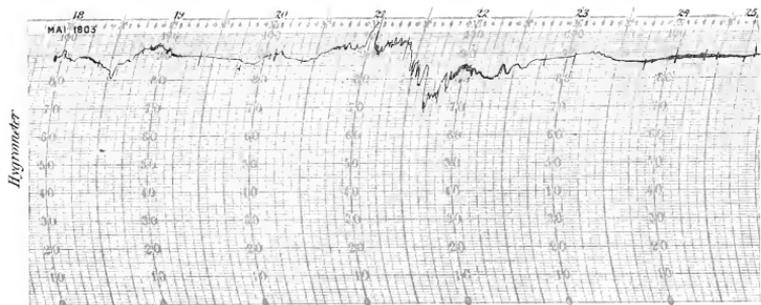
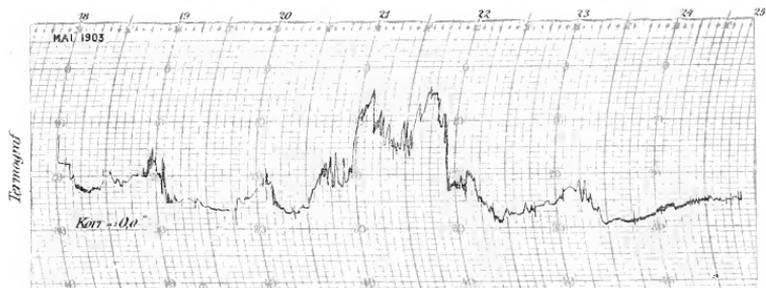
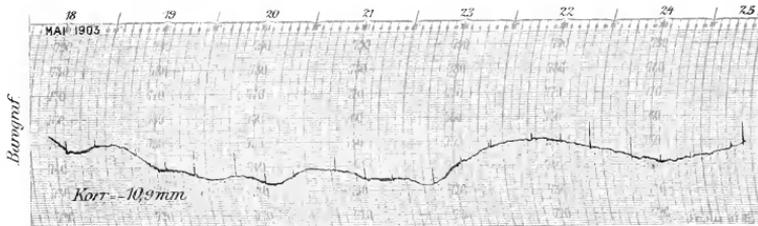


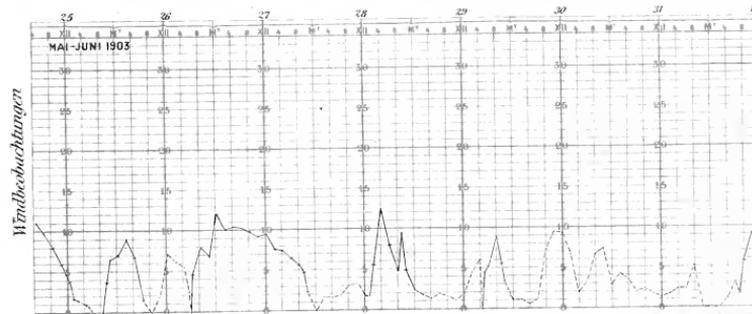
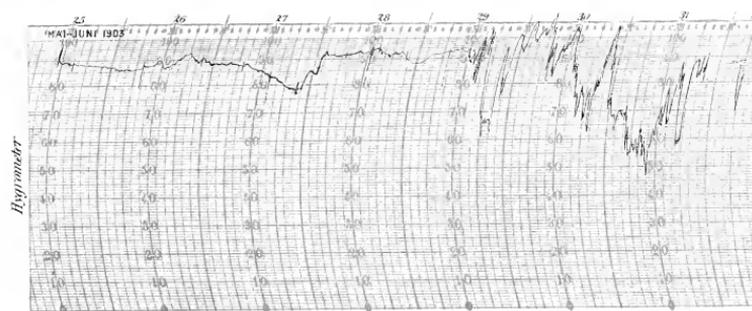
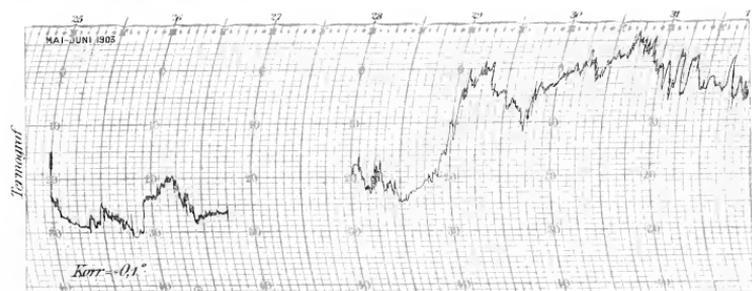
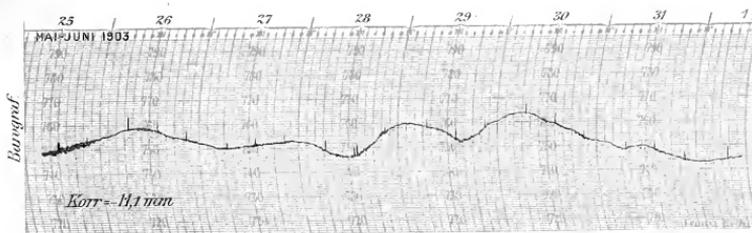


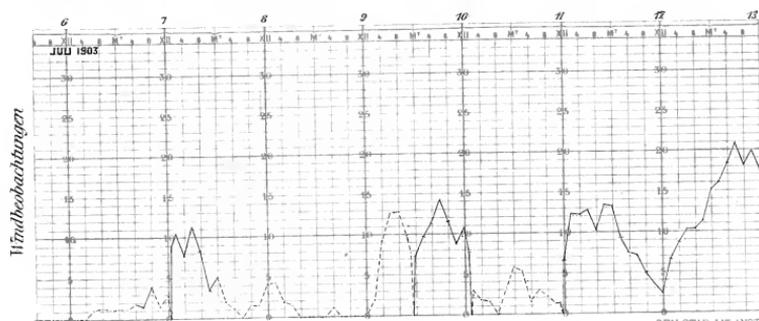
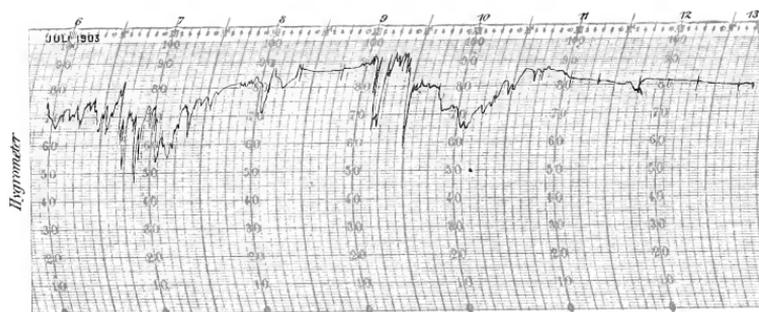
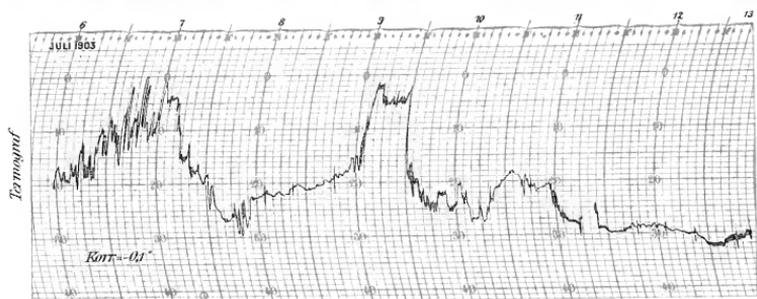
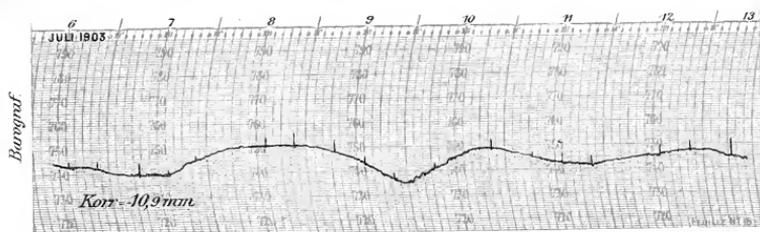


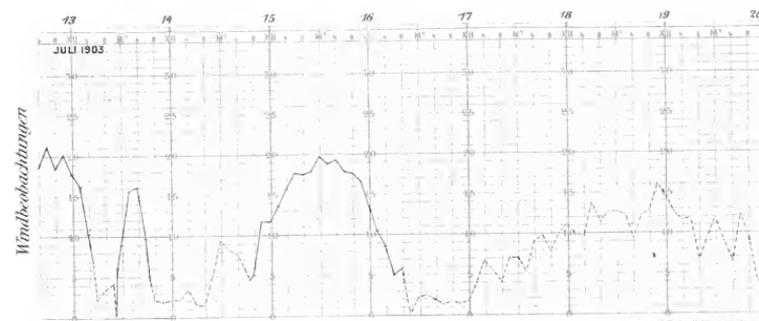
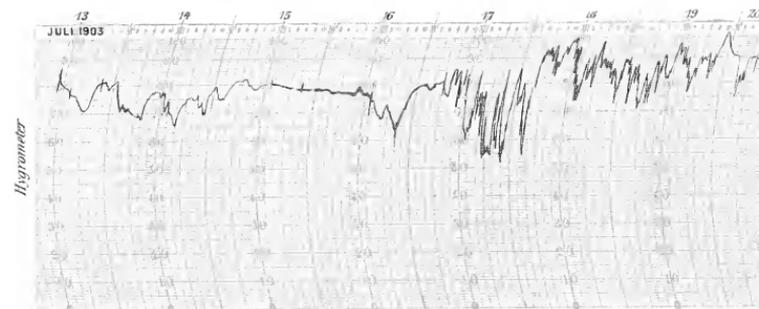
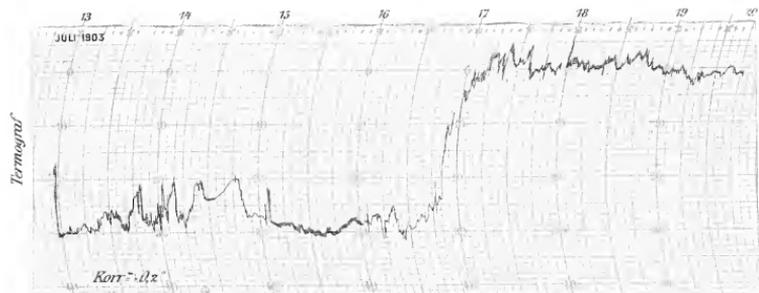
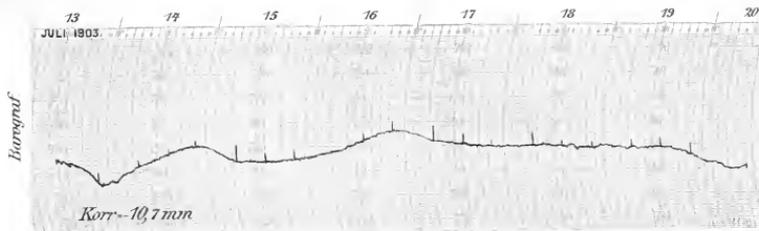


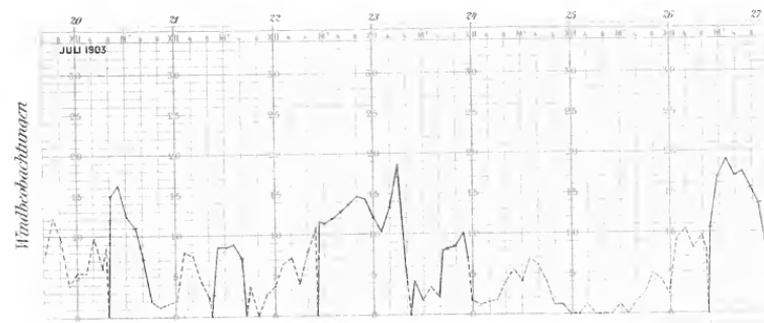
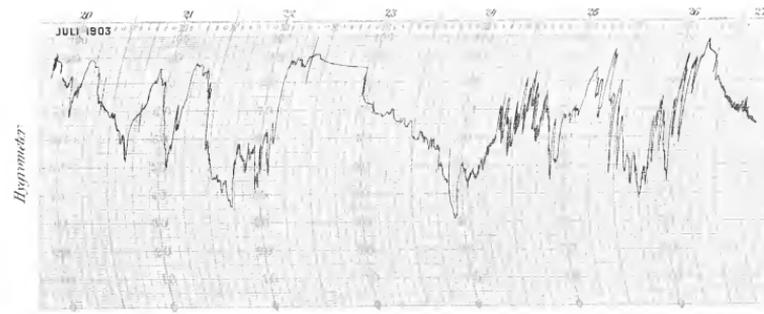
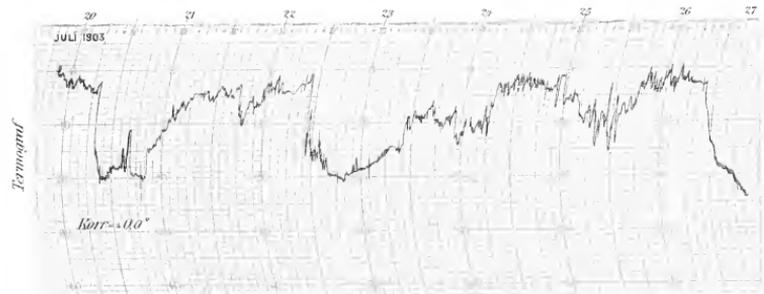
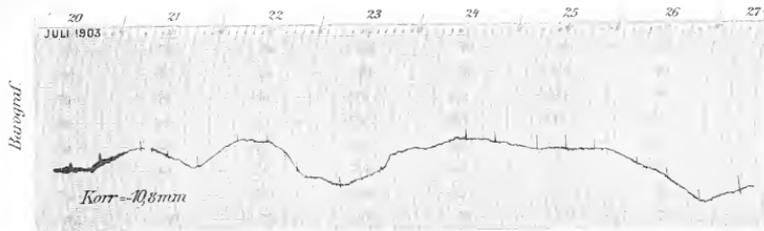


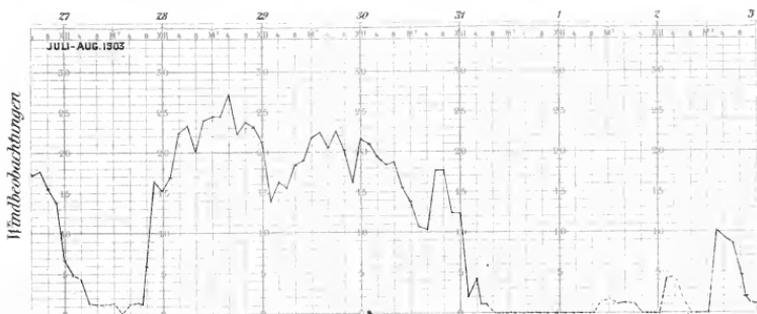
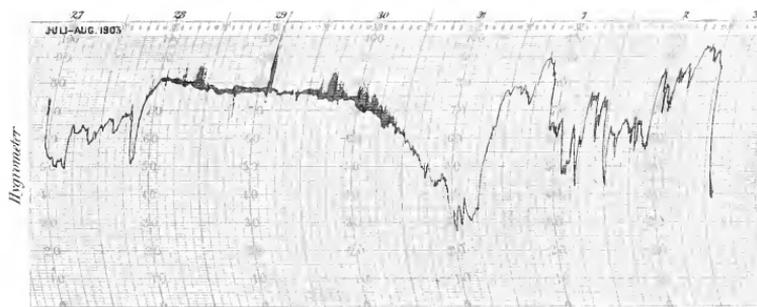
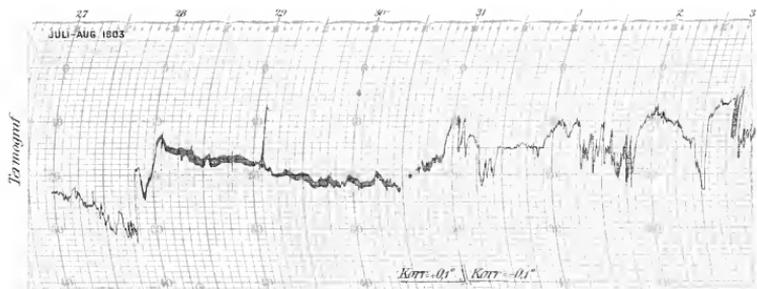
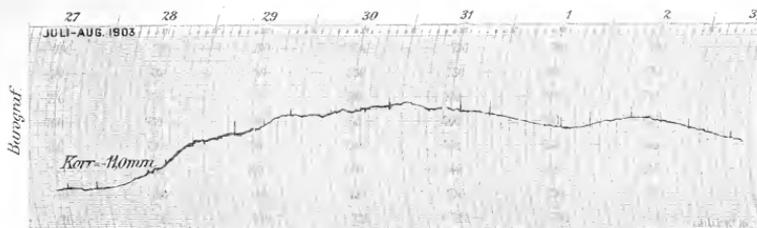


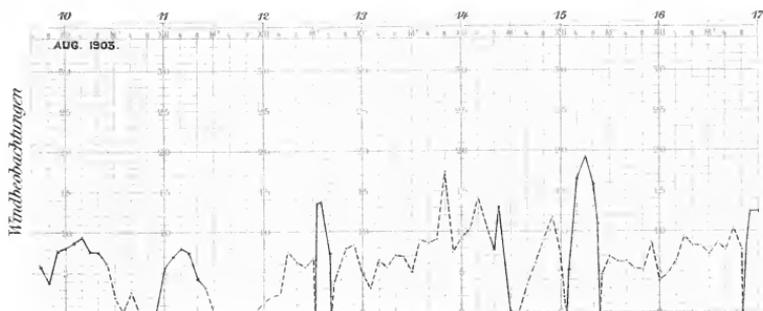
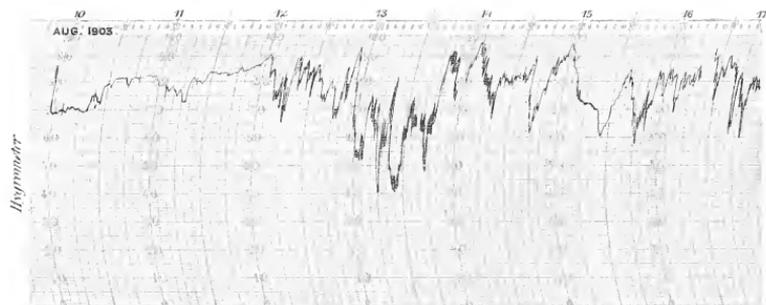
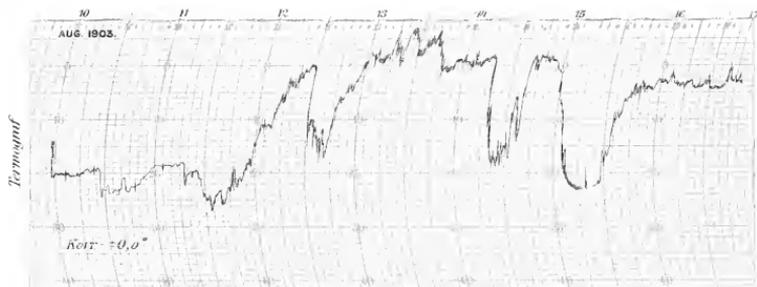
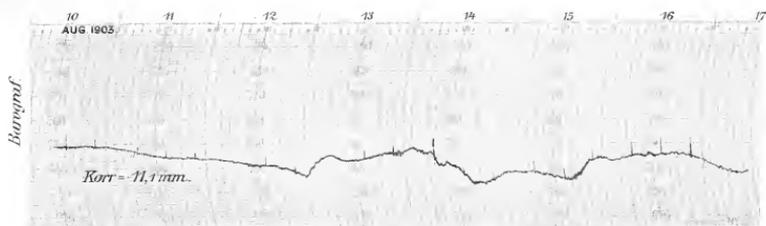


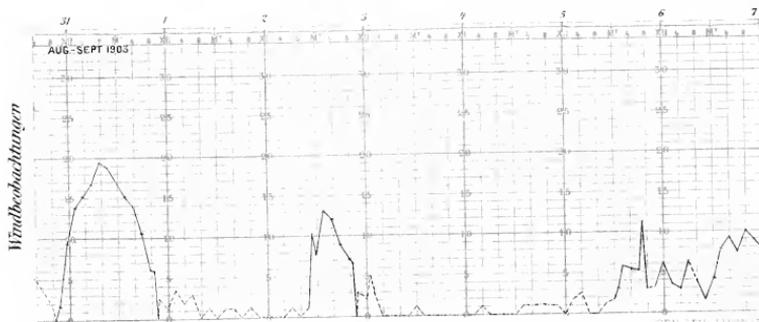
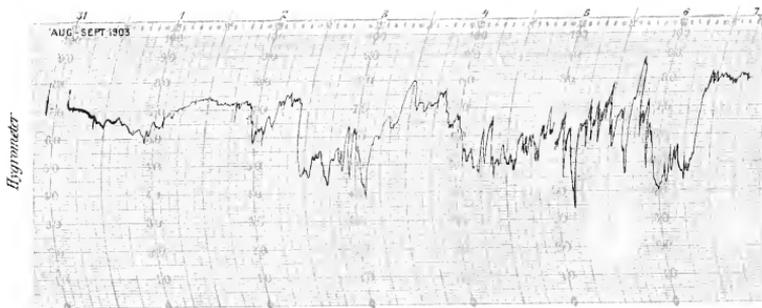
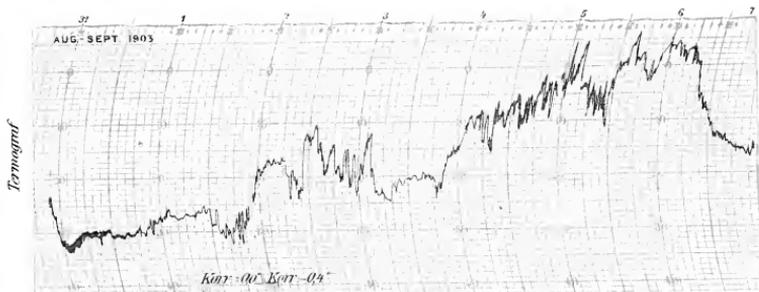
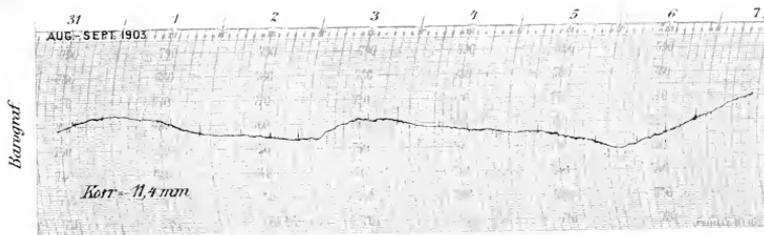


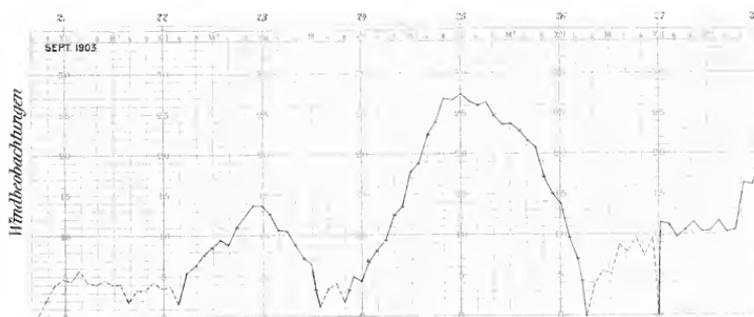
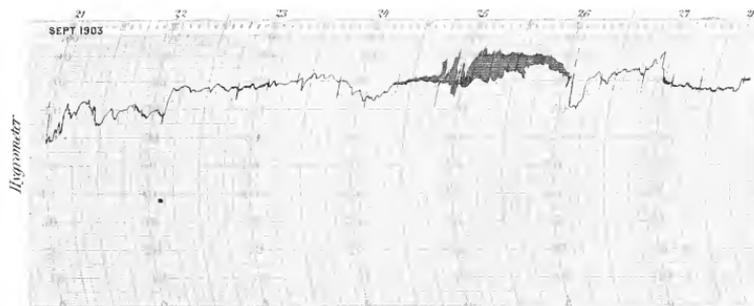
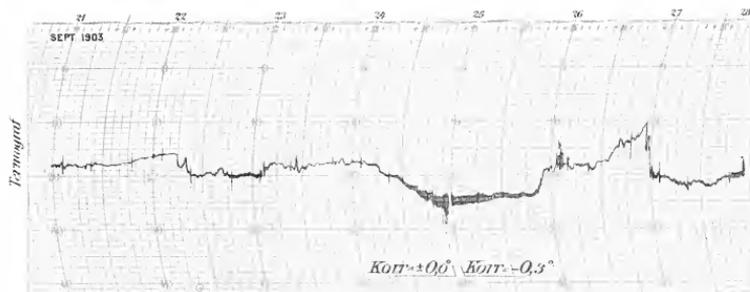
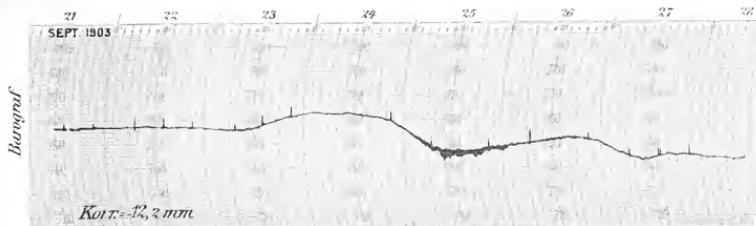


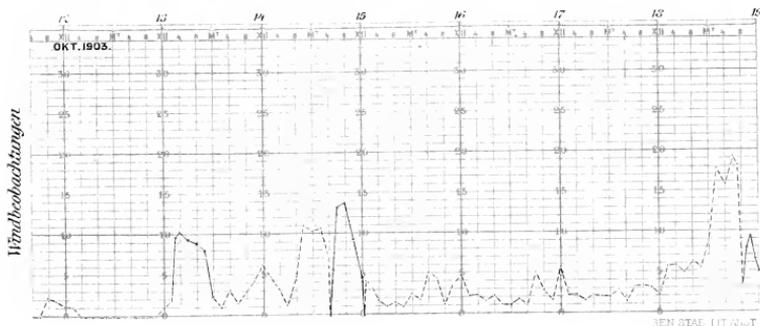
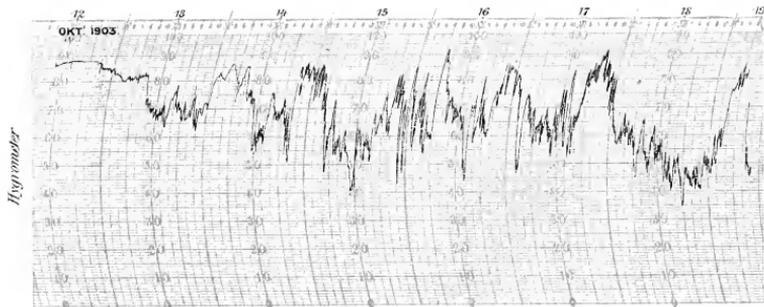
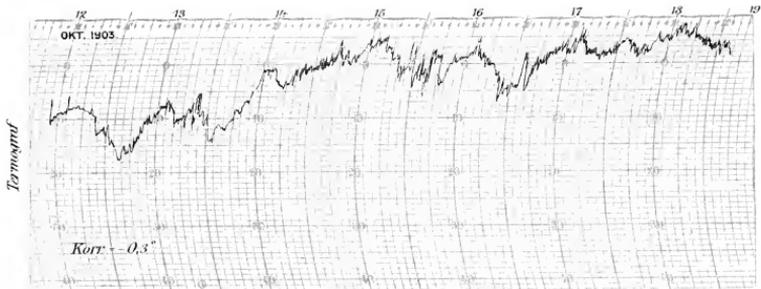
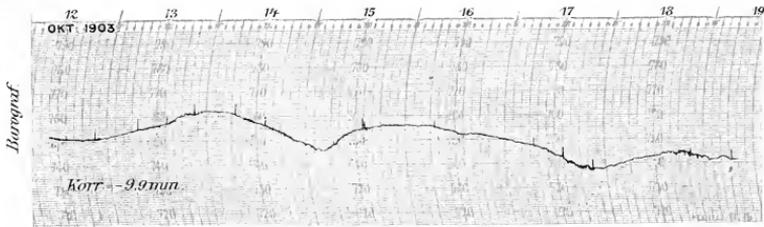




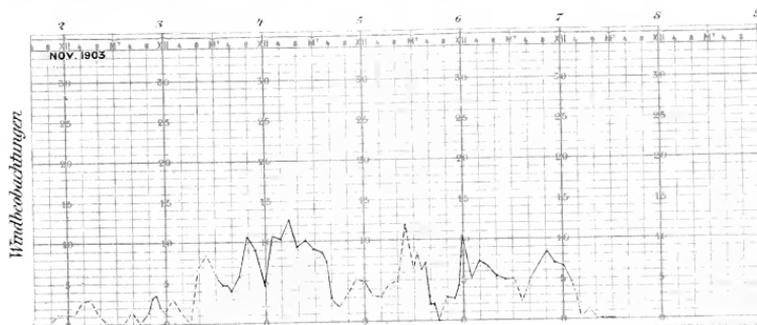
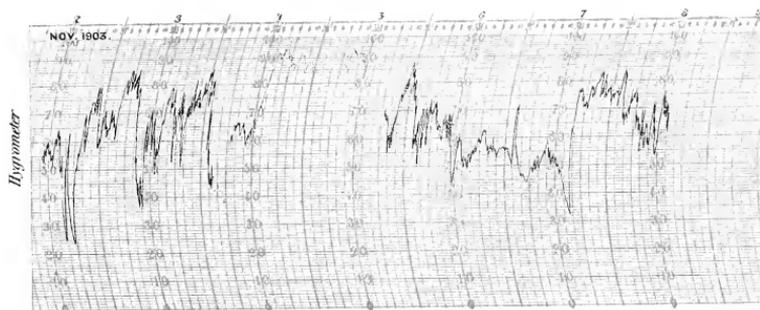
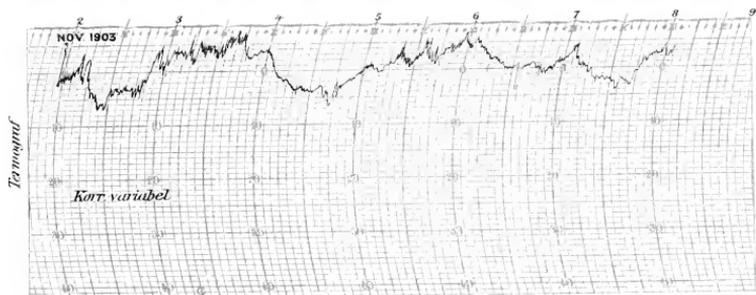
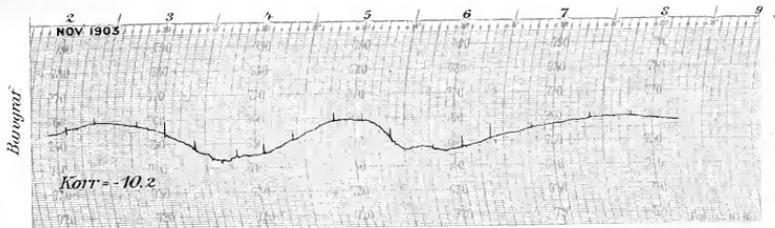










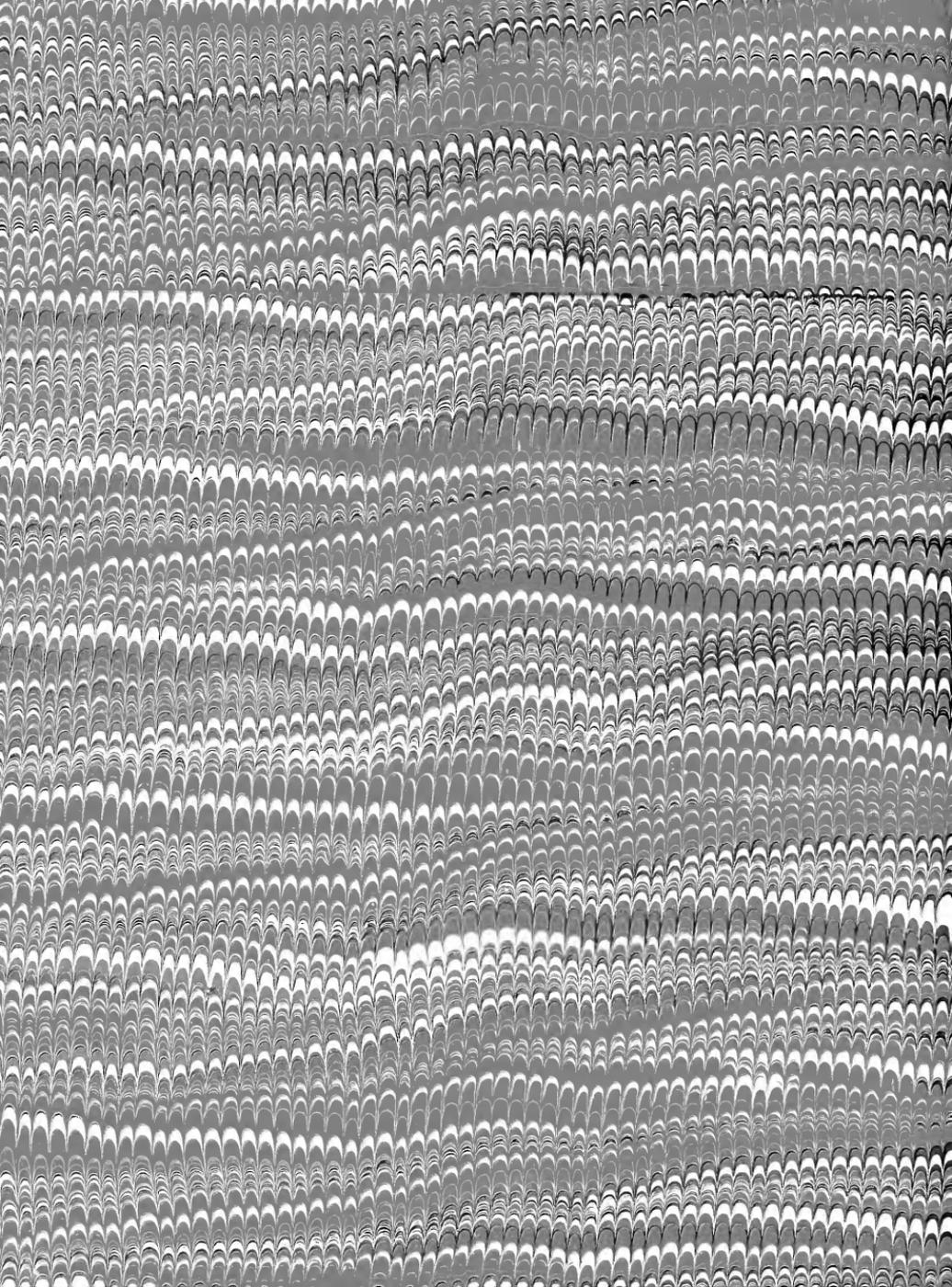


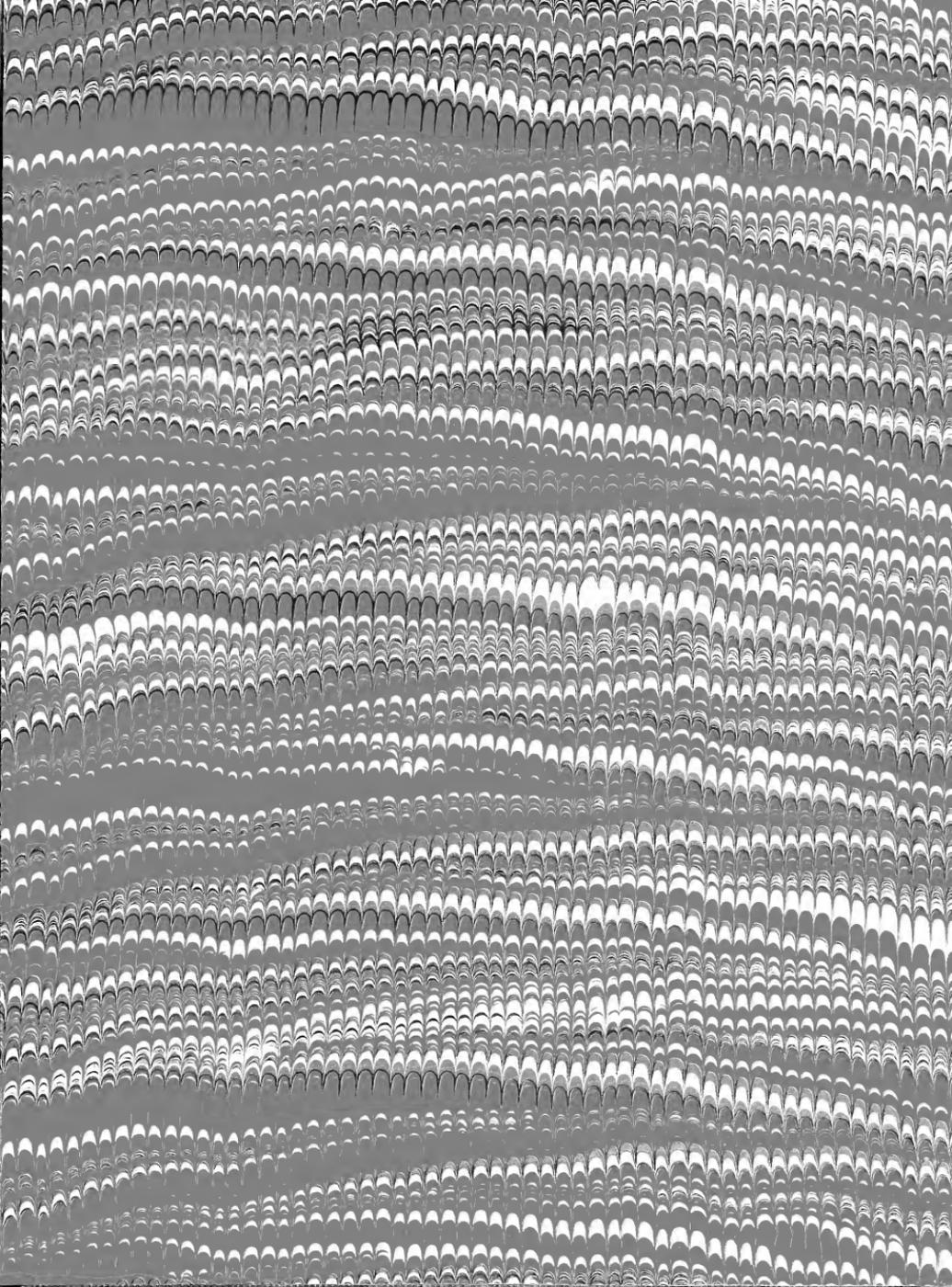












SMITHSONIAN INSTITUTION LIBRARIES



3 9088 00762 9819